

**REGIONE
PUGLIA**



CUP: E75G19000040005

PIANO DEGLI INTERVENTI AIP 2020-2023 DI CUI ALLA DELIBERA N.6 DEL 22/02/2021
CON COPERTURA FINANZIARIA " FONDI DERIVANTI DA PROVENTI TARIFFARI"

PROGETTO DEFINITIVO
POTENZIAMENTO DELL'IMPIANTO DI DEPURAZIONE E DEL RECAPITO
FINALE A SERVIZIO DELL'AGGLOMERATO DEL COMUNE DI
SQUINZANO (LE)

Acquedotto Pugliese S.p.A.
Direzione Ingegneria

Il Responsabile del Procedimento
Ing. Matteo MORELLO

Il Direttore
Ing. Gaetano BARBONE



Ingegneria Ambientale s.r.l.
www.ingegneriambientale.com
info@ingegneriambientale.com

Ing. Franco NACCI

Ing. Stefano SANSONE



Geotek plus s.r.l.
www.geotek-rilievi.com
info@geotek-rilievi.com

PROGETTAZIONE

Il Progettista
Prof. Ing. Matteo Ranieri

Il Coordinatore della Sicurezza in
fase di progettazione
Prof. Ing. Matteo Ranieri



UNING s.r.l.
info@uning.it



Ingegneria s.r.l.
ingegneria@uning.it

Elaborato

R.37.7

TABULATI DI CALCOLO STRUTTURALE
- VASCA DI EQUALIZZAZIONE-

Codice Intervento P1370

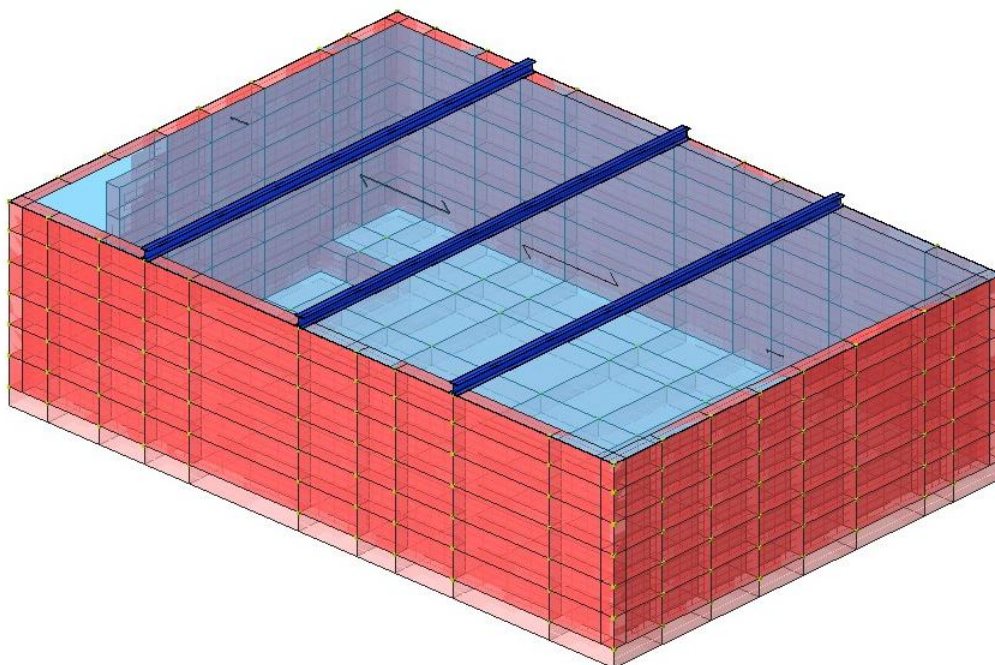
Codice SAP
210000023391

Prot. N. 27346
Data 23/04/2021

Scala:

00	MAG.2021	Emesso per Progetto DEFINITIVO			
N. Rev.	Data	Descrizione	Disegnato	Controllato	Approvato





Vita nominale, classi d'uso e periodo di riferimento

La costruzione in oggetto è definita dalla seguente tipologia (p.to 2.4 delle NT):

Vita della struttura	
Tipo	Opere ordinarie (50-100)
Vita nominale VN [anni]	50.0
Classe d'uso	III
Coefficiente d'uso CU	1.500
Periodo di riferimento VR [anni]	75.000
Probabilità di superamento PVR allo Stato limite di esercizio - SLD	63.0%
Probabilità di superamento PVR allo Stato limite ultimo - SLV	10.0%
Periodo di ritorno TR SLD [anni]	75.4
Periodo di ritorno TR SLV [anni]	711.8

Per maggiori dettagli riguardo l'azione sismica si veda la definizione degli spettri di risposta

Materiali impiegati e resistenze di calcolo

Per la realizzazione dell'opera in oggetto saranno impiegati i seguenti materiali, di cui si riportano nell'ordine le proprietà meccaniche adottate nel calcolo elastico e le resistenze di calcolo per le verifiche di sicurezza:

Materiali		
C35/45		
Peso specifico	kg/mc	2500
Modulo di Young E	daN/cm ²	3E05
Modulo di Poisson ν		0.13
Coefficiente di dilatazione termica λ	1/°C	1e-05
Acciaio		
Peso specifico	kg/mc	7850
Modulo di Young E	daN/cm ²	2E06
Modulo di Poisson ν		0.30
Coefficiente di dilatazione termica λ	1/°C	1.2e-05

Caratteristiche dei materiali delle parti in calcestruzzo armato		
Classe calcestruzzo		C15 C35/45
Resistenza cubica R _{ck}	daN/cm ²	450
Resistenza di calcolo f _{cd}	daN/cm ²	212



**POTENZIAMENTO DELL'IMPIANTO DI DEPURAZIONE E
DEL RECAPITO FINALE DI SQUINZANO (LE)
PROGETTO DEFINITIVO
Tabulati di calcolo strutturale-Equalizzazione**

R.37.7

Maggio 2021

Pagina 2 di 338

Resistenza a trazione di calcolo f_{ctd}	daN/cm ²	16
Resistenza cilindrica f_{ck}	daN/cm ²	374
Resistenza a trazione media f_{ctm}	daN/cm ²	34
Classe acciaio barre longitudinali		Acciaio barre B450C
Resistenza allo snervamento f_{yk}	daN/cm ²	≥ 4500
Resistenza alla rottura barre f_{tk}	daN/cm ²	≥ 5400
Classe acciaio staffe		Acciaio barre B450C
Resistenza allo snervamento f_{yk}	daN/cm ²	≥ 4500
Resistenza alla rottura barre f_{tk}	daN/cm ²	≥ 5400

Spettri di risposta

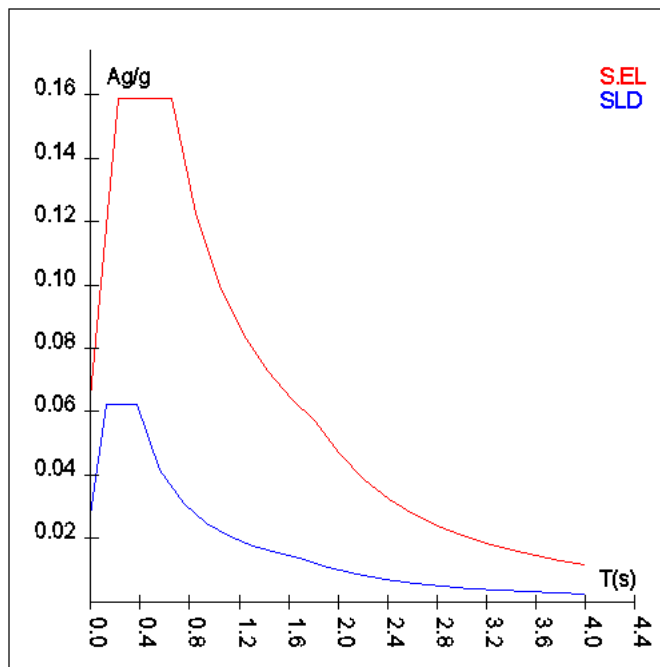
Spettro: **Copia di SpettroNT_2018**

Il calcolo degli spettri e del fattore di comportamento sono stati calcolati per la seguente tipologia di terreno e struttura.

Vita della struttura	
Tipo	Opere ordinarie (50-100)
Vita nominale VN [anni]	50.0
Classe d'uso	III
Coefficiente d'uso CU	1.500
Periodo di riferimento VR [anni]	75.000
Probabilità di superamento PVR allo Stato limite di esercizio - SLD	63.0%
Probabilità di superamento PVR allo Stato limite ultimo - SLV	10.0%
Periodo di ritorno TR SLD [anni]	75.4
Periodo di ritorno TR SLV [anni]	711.8
Parametri del sito	
Comune	Squinzano (LE)
Longitudine	18.0458
Latitudine	40.4344
Id reticolo del sito	34590-34591-34812-34813
Valori di riferimento del sito	
Accelerazione orizzontale massima del sito A_g/g - SLD (TR=75.4)	0.0225
Fattore di amplificazione dello spettro F_o - SLD (TR=75.4)	2.2984
Periodo di riferimento di inizio del tratto a velocità costante T^*C [s] - SLD (TR=75.4)	0.259
Accelerazione orizzontale massima del sito A_g/g - SLV (TR=711.8)	0.0536
Fattore di amplificazione dello spettro F_o - SLV (TR=711.8)	2.4663
Periodo di riferimento di inizio del tratto a velocità costante T^*C [s] - SLV (TR=711.8)	0.523
Coefficiente Amplificazione Topografica S_t	1.000
Categoria terreno	B
Stato limite SLV	
Coefficiente di amplificazione stratigrafica S_s	1.20
Periodo di inizio del tratto ad accelerazione costante dello spettro T_B [s]	0.22
Periodo di inizio del tratto a velocità costante dello spettro T_C [s]	0.65
Periodo di inizio del tratto a spostamento costante dello spettro T_D [s]	1.81
Stato limite SLD	
Coefficiente di amplificazione stratigrafica S_s	1.20
Periodo di inizio del tratto ad accelerazione costante dello spettro T_B [s]	0.12
Periodo di inizio del tratto a velocità costante dello spettro T_C [s]	0.37
Periodo di inizio del tratto a spostamento costante dello spettro T_D [s]	1.69
Spettro Elastico	
Smorzamento viscoso %	5.0

T El. [s]	Sd El. [a/g]	T SLD [s]	Sd SLD [a/g]
0.00000	0.06437	0.00000	0.02706
0.21825	0.15877	0.12459	0.06219
0.65475	0.15877	0.37377	0.06219
0.84805	0.12258	0.56183	0.04137
1.04136	0.09982	0.74989	0.03100
1.23466	0.08419	0.93795	0.02478
1.42797	0.07280	1.12601	0.02064
1.62128	0.06412	1.31407	0.01769
1.81458	0.05729	1.50213	0.01547
2.01326	0.04654	1.69019	0.01375
2.21193	0.03855	1.92117	0.01064
2.41061	0.03246	2.15215	0.00848
2.60928	0.02771	2.38313	0.00692
2.80795	0.02392	2.61411	0.00575
3.00663	0.02087	2.84509	0.00485
3.20530	0.01836	3.07608	0.00415
3.40398	0.01628	3.30706	0.00359
3.60265	0.01453	3.53804	0.00314
3.80133	0.01305	3.76902	0.00277

T El. [s]	Sd El. [a/g]	T SLD [s]	Sd SLD [a/g]
4.00000	0.01179	4.00000	0.00246



Azioni sulla struttura

Descrizione	Tipo
Peso Proprio	Automatica
NEVE	Utente
Peso acqua	Utente
Spinta terreno	Utente
parapetto	Utente
Spinta acqua	Utente
spinta sovraccarico	Utente
Spinta sismica terreno SLV	Utente
Spinta sismica terreno SLD	Utente
QP Solai	Automatica
QV Solai	Automatica
QFissi Solai	Automatica

Scenario di calcolo

Scenario : Set_NT_2018 A2_SLV_SLD_STR_GEO

Combinazione n° 1:

SLU1

Tipo: STR+GEO

Spettro: n.a.

Fattore sisma: n.a.

Angolo ingresso sisma [°]: n.a.

Kmod: 1.00

Condizione di carico	Fattore di combinazione	Attiva	Massa	Fattore massa
Peso Proprio	1.3	Si	n.a.	n.a.
NEVE	1	No	n.a.	n.a.
Peso acqua	1	No	n.a.	n.a.
Spinta terreno	1	No	n.a.	n.a.
parapetto	1.5	Si	n.a.	n.a.
Spinta acqua	1	No	n.a.	n.a.
spinta sovraccarico	1	No	n.a.	n.a.

**POTENZIAMENTO DELL'IMPIANTO DI DEPURAZIONE E
DEL RECAPITO FINALE DI SQUINZANO (LE)
PROGETTO DEFINITIVO
Tabulati di calcolo strutturale-Equalizzazione**

R.37.7

Maggio 2021

Pagina 4 di 338

Condizione di carico	Fattore di combinazione	Attiva	Massa	Fattore massa
Spinta sismica terreno SLV	1	No	n.a.	n.a.
Spinta sismica terreno SLD	1	No	n.a.	n.a.
QP Solai	1.5	Si	n.a.	n.a.
QV Solai	1.5	No	n.a.	n.a.
QFissi Solai	1	No	n.a.	n.a.

Combinazione n° 2: SLU2
 Tipo: STR+GEO
 Spettro: n.a.
 Fattore sisma: n.a.
 Angolo ingresso sisma [°]: n.a.
 Kmod: 0.60

Condizione di carico	Fattore di combinazione	Attiva	Massa	Fattore massa
Peso Proprio	1.3	Si	n.a.	n.a.
NEVE	1.5	No	n.a.	n.a.
Peso acqua	1.5	No	n.a.	n.a.
Spinta terreno	1.5	Si	n.a.	n.a.
parapetto	1.5	Si	n.a.	n.a.
Spinta acqua	1	No	n.a.	n.a.
spinta sovraccarico	1.5	Si	n.a.	n.a.
Spinta sismica terreno SLV	1	No	n.a.	n.a.
Spinta sismica terreno SLD	1	No	n.a.	n.a.
QP Solai	1.5	Si	n.a.	n.a.
QV Solai	1.5	Si	n.a.	n.a.
QFissi Solai	1	No	n.a.	n.a.

Combinazione n° 3: SLU3
 Tipo: STR+GEO
 Spettro: n.a.
 Fattore sisma: n.a.
 Angolo ingresso sisma [°]: n.a.
 Kmod: 0.90

Condizione di carico	Fattore di combinazione	Attiva	Massa	Fattore massa
Peso Proprio	1.3	Si	n.a.	n.a.
NEVE	0.75	Si	n.a.	n.a.
Peso acqua	1.5	Si	n.a.	n.a.
Spinta terreno	1	No	n.a.	n.a.
parapetto	1.5	Si	n.a.	n.a.
Spinta acqua	1.5	Si	n.a.	n.a.
spinta sovraccarico	1	No	n.a.	n.a.
Spinta sismica terreno SLV	1	No	n.a.	n.a.
Spinta sismica terreno SLD	1	No	n.a.	n.a.
QP Solai	1.5	Si	n.a.	n.a.
QV Solai	1	No	n.a.	n.a.
QFissi Solai	1.5	Si	n.a.	n.a.

Combinazione n° 4: SLU4
 Tipo: STR+GEO
 Spettro: n.a.
 Fattore sisma: n.a.
 Angolo ingresso sisma [°]: n.a.
 Kmod: 0.90

Condizione di carico	Fattore di combinazione	Attiva	Massa	Fattore massa
Peso Proprio	1.3	Si	n.a.	n.a.
NEVE	1.5	Si	n.a.	n.a.
Peso acqua	1.5	Si	n.a.	n.a.
Spinta terreno	1.5	Si	n.a.	n.a.
parapetto	1.5	Si	n.a.	n.a.
Spinta acqua	1.5	Si	n.a.	n.a.
spinta sovraccarico	1.5	Si	n.a.	n.a.
Spinta sismica terreno SLV	1	No	n.a.	n.a.
Spinta sismica terreno SLD	1	No	n.a.	n.a.
QP Solai	1.5	Si	n.a.	n.a.
QV Solai	1.5	Si	n.a.	n.a.
QFissi Solai	1.5	Si	n.a.	n.a.

Combinazione n° 5: SISMAX1_SLV
 Tipo: Modale STR+GEO
 Spettro: Copia di SpettroNT_ 2018
 Fattore sisma: 1.00
 Angolo ingresso sisma [°]: 0

Kmod: 1.00

Condizione di carico	Fattore di combinazione	Attiva	Massa	Fattore massa
Peso Proprio	1	Si	Si	1
NEVE	1	No	No	1
Peso acqua	1	Si	Si	1
Spinta terreno	1	Si	Si	1
parapetto	1	Si	No	1
Spinta acqua	1.2	Si	Si	1
spinta sovraccarico	0.6	Si	Si	1
Spinta sismica terreno SLV	1	Si	Si	1
Spinta sismica terreno SLD	1	No	Si	1
QP Solai	1	Si	Si	1
QV Solai	1	No	Si	1
QFissi Solai	1	Si	Si	1

Combinazione n° 6: **SISMAY1_SLV**
 Tipo: Modale STR+GEO
 Spettro: Copia di SpettroNT_ 2018
 Fattore sisma: 1.00
 Angolo ingresso sisma [°]: 90
 Kmod: 1.00

Condizione di carico	Fattore di combinazione	Attiva	Massa	Fattore massa
Peso Proprio	1	Si	Si	1
NEVE	1	No	No	1
Peso acqua	1	Si	Si	1
Spinta terreno	1	Si	Si	1
parapetto	1	Si	No	1
Spinta acqua	1.2	Si	Si	1
spinta sovraccarico	0.6	Si	Si	1
Spinta sismica terreno SLV	1	Si	Si	1
Spinta sismica terreno SLD	1	No	Si	1
QP Solai	1	Si	Si	1
QV Solai	1	No	Si	1
QFissi Solai	1	Si	Si	1

Combinazione n° 7: **SISMAX2_SLV**
 Tipo: Modale STR+GEO
 Spettro: Copia di SpettroNT_ 2018
 Fattore sisma: 1.00
 Angolo ingresso sisma [°]: 0
 Kmod: 1.00

Condizione di carico	Fattore di combinazione	Attiva	Massa	Fattore massa
Peso Proprio	1	Si	Si	1
NEVE	1	No	No	1
Peso acqua	1	Si	Si	1
Spinta terreno	1	Si	Si	1
parapetto	1	Si	No	1
Spinta acqua	1.2	Si	Si	1
spinta sovraccarico	1	No	Si	1
Spinta sismica terreno SLV	1	Si	Si	1
Spinta sismica terreno SLD	1	No	Si	1
QP Solai	1	Si	Si	1
QV Solai	1	No	Si	1
QFissi Solai	1	Si	Si	1

Combinazione n° 8: **SISMAY2_SLV**
 Tipo: Modale STR+GEO
 Spettro: Copia di SpettroNT_ 2018
 Fattore sisma: 1.00
 Angolo ingresso sisma [°]: 90
 Kmod: 1.00

Condizione di carico	Fattore di combinazione	Attiva	Massa	Fattore massa
Peso Proprio	1	Si	Si	1
NEVE	1	No	No	1
Peso acqua	1	Si	Si	1
Spinta terreno	1	Si	Si	1
parapetto	1	Si	No	1
Spinta acqua	1.2	Si	Si	1
spinta sovraccarico	1	No	Si	1
Spinta sismica terreno SLV	1	Si	Si	1
Spinta sismica terreno SLD	1	No	Si	1

**POTENZIAMENTO DELL'IMPIANTO DI DEPURAZIONE E
DEL RECAPITO FINALE DI SQUINZANO (LE)
PROGETTO DEFINITIVO
Tabulati di calcolo strutturale-Equalizzazione**

R.37.7

Maggio 2021

Pagina 6 di 338

Condizione di carico	Fattore di combinazione	Attiva	Massa	Fattore massa
QP Solai	1	Si	Si	1
QV Solai	1	No	Si	1
QFissi Solai	1	Si	Si	1

Combinazione n° 9: Rara 1
 Tipo: SLE Rara
 Spettro: n.a.
 Fattore sisma: n.a.
 Angolo ingresso sisma [°]: n.a.
 Kmod: 1.00

Condizione di carico	Fattore di combinazione	Attiva	Massa	Fattore massa
Peso Proprio	1	Si	n.a.	n.a.
NEVE	0.2	Si	n.a.	n.a.
Peso acqua	1	Si	n.a.	n.a.
Spinta terreno	1	Si	n.a.	n.a.
parapetto	1	Si	n.a.	n.a.
Spinta acqua	1	Si	n.a.	n.a.
spinta sovraccarico	1	Si	n.a.	n.a.
Spinta sismica terreno SLV	1	No	n.a.	n.a.
Spinta sismica terreno SLD	1	No	n.a.	n.a.
QP Solai	1	Si	n.a.	n.a.
QV Solai	1	Si	n.a.	n.a.
QFissi Solai	1	Si	n.a.	n.a.

Combinazione n° 10: Rara 1
 Tipo: SLE Rara
 Spettro: n.a.
 Fattore sisma: n.a.
 Angolo ingresso sisma [°]: n.a.
 Kmod: 1.00

Condizione di carico	Fattore di combinazione	Attiva	Massa	Fattore massa
Peso Proprio	1	Si	n.a.	n.a.
NEVE	0.2	Si	n.a.	n.a.
Peso acqua	1	Si	n.a.	n.a.
Spinta terreno	1	Si	n.a.	n.a.
parapetto	1	Si	n.a.	n.a.
Spinta acqua	1	Si	n.a.	n.a.
spinta sovraccarico	1	Si	n.a.	n.a.
Spinta sismica terreno SLV	1	No	n.a.	n.a.
Spinta sismica terreno SLD	1	No	n.a.	n.a.
QP Solai	1	Si	n.a.	n.a.
QV Solai	1	Si	n.a.	n.a.
QFissi Solai	1	Si	n.a.	n.a.

Combinazione n° 11: Rara 2
 Tipo: SLE Rara
 Spettro: n.a.
 Fattore sisma: n.a.
 Angolo ingresso sisma [°]: n.a.
 Kmod: 1.00

Condizione di carico	Fattore di combinazione	Attiva	Massa	Fattore massa
Peso Proprio	1	Si	n.a.	n.a.
NEVE	1	No	n.a.	n.a.
Peso acqua	1	No	n.a.	n.a.
Spinta terreno	1	Si	n.a.	n.a.
parapetto	1	Si	n.a.	n.a.
Spinta acqua	1	No	n.a.	n.a.
spinta sovraccarico	1	Si	n.a.	n.a.
Spinta sismica terreno SLV	1	No	n.a.	n.a.
Spinta sismica terreno SLD	1	No	n.a.	n.a.
QP Solai	1	Si	n.a.	n.a.
QV Solai	1	No	n.a.	n.a.
QFissi Solai	1	Si	n.a.	n.a.

Combinazione n° 12: AD QVSolai
 Tipo: SLE Freq.
 Spettro: n.a.
 Fattore sisma: n.a.
 Angolo ingresso sisma [°]: n.a.
 Kmod: 1.00

Condizione di carico	Fattore di combinazione	Attiva	Massa	Fattore massa
Peso Proprio	1	Si	n.a.	n.a.
NEVE	1	No	n.a.	n.a.
Peso acqua	1	Si	n.a.	n.a.
Spinta terreno	1	Si	n.a.	n.a.
parapetto	1	Si	n.a.	n.a.
Spinta acqua	1	Si	n.a.	n.a.
spinta sovraccarico	0.6	Si	n.a.	n.a.
Spinta sismica terreno SLV	1	No	n.a.	n.a.
Spinta sismica terreno SLD	1	No	n.a.	n.a.
QP Solai	1	Si	n.a.	n.a.
QV Solai	1	No	n.a.	n.a.
QFissi Solai	1	Si	n.a.	n.a.

Combinazione n° 13: Quasi P1
 Tipo: SLE Q.Perm.
 Spettro: n.a.
 Fattore sisma: n.a.
 Angolo ingresso sisma [°]: n.a.
 Kmod: 1.00

Condizione di carico	Fattore di combinazione	Attiva	Massa	Fattore massa
Peso Proprio	1	Si	n.a.	n.a.
NEVE	1	No	n.a.	n.a.
Peso acqua	1	Si	n.a.	n.a.
Spinta terreno	1	Si	n.a.	n.a.
parapetto	1	Si	n.a.	n.a.
Spinta acqua	1	Si	n.a.	n.a.
spinta sovraccarico	0.6	Si	n.a.	n.a.
Spinta sismica terreno SLV	1	No	n.a.	n.a.
Spinta sismica terreno SLD	1	No	n.a.	n.a.
QP Solai	1	No	n.a.	n.a.
QV Solai	1	No	n.a.	n.a.
QFissi Solai	1	Si	n.a.	n.a.

Combinazione n° 14: SISMAX SLD
 Tipo: Modale SLE
 Spettro: Copia di SpettroNT_ 2018
 Fattore sisma: 1.00
 Angolo ingresso sisma [°]: 0
 Kmod: 1.00

Condizione di carico	Fattore di combinazione	Attiva	Massa	Fattore massa
Peso Proprio	1	Si	Si	1
NEVE	1	Si	No	1
Peso acqua	1	Si	Si	1
Spinta terreno	1	Si	Si	1
parapetto	1	Si	No	1
Spinta acqua	1.1	Si	Si	1
spinta sovraccarico	0.6	No	Si	1
Spinta sismica terreno SLV	1	No	Si	1
Spinta sismica terreno SLD	1	Si	Si	1
QP Solai	1	Si	Si	1
QV Solai	1	No	Si	1
QFissi Solai	1	Si	Si	1

Combinazione n° 15: SISMAX SLD
 Tipo: Modale SLE
 Spettro: Copia di SpettroNT_ 2018
 Fattore sisma: 1.00
 Angolo ingresso sisma [°]: 90
 Kmod: 1.00

Condizione di carico	Fattore di combinazione	Attiva	Massa	Fattore massa
Peso Proprio	1	Si	Si	1
NEVE	1	Si	No	1
Peso acqua	1	Si	Si	1
Spinta terreno	1	Si	Si	1
parapetto	1	Si	No	1
Spinta acqua	1.1	Si	Si	1
spinta sovraccarico	0.6	No	Si	1
Spinta sismica terreno SLV	1	No	Si	1
Spinta sismica terreno SLD	1	Si	Si	1
QP Solai	1	Si	Si	1

**POTENZIAMENTO DELL'IMPIANTO DI DEPURAZIONE E
DEL RECAPITO FINALE DI SQUINZANO (LE)
PROGETTO DEFINITIVO
Tabulati di calcolo strutturale-Equalizzazione**

R.37.7

Maggio 2021

Pagina 8 di 338

Condizione di carico	Fattore di combinazione	Attiva	Massa	Fattore massa
QV Solai	1	No	Si	1
QFissi Solai	1	Si	Si	1

Criteri di verifica

CLS Platee ND		
Generici		
Resistenza caratteristica Rck	daN/cm ²	450
Tensione caratteristica snervamento acciaio barre fyk	daN/cm ²	4500
Tensione caratteristica snervamento acciaio staffe fyk	daN/cm ²	4500
Deformazione unitaria ϵ_{c0}		0.002
Deformazione ultima ϵ_{cu}		0.0022
ϵ_{fu} (solo incrudimento)		0.002
Modulo elastico E acciaio	daN/cm ²	2E06
Copriferro di calcolo	cm	4.6
Copriferro di disegno	cm	3.0
Coefficiente di sicurezza γ_{Cl}		1.5
Coefficiente di sicurezza γ_{Acc}		1.15
Riduzione fcd calcestruzzo		0.85
Usa staffe minime di normativa in assenza di sisma		Si
Usa staffe minime di normativa in presenza di sisma		No
Generici N.T.		
Inclinazione bielle compresse $\cotg(\theta)$		1.00
Modello acciaio		Incrudente
Incrudimento E_y/E_0		0.000
Elemento esistente		No
Generici D.M. 96 T.A.		
Tensione ammissibile σ_c	daN/cm ²	135.0
Tensione ammissibile σ_c in trazione	daN/cm ²	40.2
Tensione ammissibile σ_c acciaio	daN/cm ²	2600.0
Tensione tangenziale ammissibile τ_{c0}	daN/cm ²	8.0
Tensione tangenziale massima τ_{c1}	daN/cm ²	22.6
Coefficiente di omogeneizzazione n		15
Coefficiente di omogeneizzazione n in trazione		0.5
Sezione interamente reagente		No
Fessurazioni		
Verifica a decompressione		No
Verifica formazione fessure		No
Verifica aperture fessure		Si
Classe di esposizione		XA2
Tipo armatura		Poco sensibile
Combinazione Rara		No
Combinazione QP		Si
W ammissibile Combinazione QP	mm	0.200
Combinazione Freq.		Si
W ammissibile Combinazione Freq.	mm	0.300
Valore caratteristico apertura fessure $w_k(*w_m)$		1
Resistenza media a trazione f_{ctm}	daN/cm ²	33.52
Coefficiente di breve o lunga durata k_t		0.40
Coefficiente di aderenza k_l		0.80
Tensioni ammissibili di esercizio		
Verifica Combinazione Rara		Si
Tensione ammissibile σ_{Cl}	daN/cm ²	224
Tensione ammissibile $\sigma_{Acciaio}$	daN/cm ²	3600
Verifica Combinazione QP		Si
Tensione ammissibile σ_{Cl}	daN/cm ²	168
Tensione ammissibile $\sigma_{Acciaio}$	daN/cm ²	3600
Verifica Combinazione Freq.		No
Coefficienti di omogeneizzazione		
Acciaio - Cls compresso		15
Cls teso - Cls compresso		0.5
Armatura muri		
Minima percentuale armatura rispetto al Cls in direzione X	%	0.1
Minima percentuale armatura rispetto al Cls in direzione Y	%	0.1
Massima percentuale armatura rispetto al Cls in direzione X	%	2
Massima percentuale armatura rispetto al Cls in direzione Y	%	2
Verifica muri		
Step incremento armatura	cm ²	0.01
Verifica muri come pareti		No

CLS Muri ND		
Generici		
Resistenza caratteristica Rck	daN/cm ²	450
Tensione caratteristica snervamento acciaio barre fyk	daN/cm ²	4500
Tensione caratteristica snervamento acciaio staffe fyk	daN/cm ²	4500
Deformazione unitaria ϵ_{c0}		0.002
Deformazione ultima ϵ_{cu}		0.0022
ϵ_{fu} (solo incrudimento)		0.002
Modulo elastico E acciaio	daN/cm ²	2E06
Copriferro di calcolo	cm	4.6
Copriferro di disegno	cm	3.0
Coefficiente di sicurezza γ_{Cl}		1.5
Coefficiente di sicurezza γ_{Acc}		1.15
Riduzione fcd calcestruzzo		0.85
Usa staffe minime di normativa in assenza di sisma		Si
Usa staffe minime di normativa in presenza di sisma		No
Generici N.T.		
Inclinazione bielle compresse $\cotg(\theta)$		1.00
Modello acciaio		Incrudente
Incrudimento E_y/E_0		0.000
Elemento esistente		No
Generici D.M. 96 T.A.		
Tensione ammissibile σ_c	daN/cm ²	135.0
Tensione ammissibile σ_c in trazione	daN/cm ²	40.2
Tensione ammissibile σ_c acciaio	daN/cm ²	2600.0
Tensione tangenziale ammissibile τ_{c0}	daN/cm ²	8.0
Tensione tangenziale massima τ_{c1}	daN/cm ²	22.6
Coefficiente di omogeneizzazione n		15
Coefficiente di omogeneizzazione n in trazione		0.5
Sezione interamente reagente		No
Fessurazioni		
Verifica a decompressione		No
Verifica formazione fessure		No
Verifica aperture fessure		Si
Classe di esposizione		XA2
Tipo armatura		Poco sensibile
Combinazione Rara		No
Combinazione QP		Si
W ammissibile Combinazione QP	mm	0.200
Combinazione Freq.		Si
W ammissibile Combinazione Freq.	mm	0.300
Valore caratteristico apertura fessure $w_k(*w_m)$		1
Resistenza media a trazione f_{ctm}	daN/cm ²	33.52
Coefficiente di breve o lunga durata k_t		0.40
Coefficiente di aderenza k_l		0.80
Tensioni ammissibili di esercizio		
Verifica Combinazione Rara		Si
Tensione ammissibile σ_{Cl}	daN/cm ²	224
Tensione ammissibile $\sigma_{Acciaio}$	daN/cm ²	3600
Verifica Combinazione QP		Si
Tensione ammissibile σ_{Cl}	daN/cm ²	168
Tensione ammissibile $\sigma_{Acciaio}$	daN/cm ²	3600
Verifica Combinazione Freq.		No
Coefficienti di omogeneizzazione		
Acciaio - Cls compresso		15
Cls tesoro - Cls compresso		0.5
Armatura muri		
Minima percentuale armatura rispetto al Cls in direzione X	%	0.1
Minima percentuale armatura rispetto al Cls in direzione Y	%	0.1
Massima percentuale armatura rispetto al Cls in direzione X	%	2
Massima percentuale armatura rispetto al Cls in direzione Y	%	2
Verifica muri		
Step incremento armatura	cmq	0.01
Verifica muri come pareti		No

Risultati Analisi Dinamica - Statistiche matrice di rigidità
Scenario di calcolo: Set_NT_2018 A2_SLV_SLD_STR_GEO

Minimo della diagonale	6.147514e+06
Massimo della diagonale	1.142608e+10
Rapporto Max/Min	1.858650e+03
Media della diagonale	1.868579e+09

Densità	1.459446e-01
---------	--------------

Tabulati di input

Dati generali

Nome struttura	Struttura 01
Numero di frequenze	15
% Filtro masse libere	0.1
% Coefficiente di smorzamento viscoso	5
Spostamenti modali con segno	Si
Deformabilità a taglio delle aste	Si
Spostamento ammissibile impalcati	0.0050*h

Impalcati

N°	Quota mm	Rigido mm	Incr.Soll.Pil	Inc.Soll.Par.
0	-800	Si	1.000	1.000
1	0	No	1.000	1.000
2	1000	Si	1.000	1.000
3	2000	Si	1.000	1.000
4	3000	Si	1.000	1.000
5	4000	Si	1.000	1.000
6	5000	Si	1.000	1.000
7	5900	Si	1.000	1.000

Nodi - Geometria e vincoli

Nodo	X	Y	Z	Tx	Ty	Tz	Rx	Ry	Rz	Impalcato
	Coordinate [mm]			Vincoli						
1	14000	23500	0	1	1	0	0	0	1	1
2	4000	23500	0	1	1	0	0	0	1	1
3	2000	23500	0	1	1	0	0	0	1	1
4	0	23500	0	1	1	0	0	0	1	1
5	6000	23500	0	1	1	0	0	0	1	1
6	6000	22000	0	1	1	0	0	0	1	1
7	10000	23500	0	1	1	0	0	0	1	1
8	0	22000	0	1	1	0	0	0	1	1
9	12820	23500	0	1	1	0	0	0	1	1
10	16000	23500	0	1	1	0	0	0	1	1
11	7820	23500	0	1	1	0	0	0	1	1
12	0	2500	4000	0	0	0	0	0	0	5
13	0	10000	4000	0	0	0	0	0	0	5
14	4000	0	4000	0	0	0	0	0	0	5
15	7820	0	4000	0	0	0	0	0	0	5
16	0	8500	4000	0	0	0	0	0	0	5
17	0	6250	4000	0	0	0	0	0	0	5
18	0	0	4000	0	0	0	0	0	0	5
19	6000	0	4000	0	0	0	0	0	0	5
20	2000	0	4000	0	0	0	0	0	0	5
21	0	12250	4000	0	0	0	0	0	0	5
22	4000	0	5000	0	0	0	0	0	0	6
23	10000	0	4000	0	0	0	0	0	0	5
24	12820	0	4000	0	0	0	0	0	0	5
25	0	6250	5000	0	0	0	0	0	0	6
26	0	2500	5000	0	0	0	0	0	0	6
27	2000	0	5000	0	0	0	0	0	0	6
28	0	0	5000	0	0	0	0	0	0	6
29	0	8500	5000	0	0	0	0	0	0	6
30	0	12250	5000	0	0	0	0	0	0	6
31	6000	23500	4000	0	0	0	0	0	0	5
32	2000	23500	4000	0	0	0	0	0	0	5
33	7820	23500	4000	0	0	0	0	0	0	5
34	6000	0	5000	0	0	0	0	0	0	6
35	0	10000	5000	0	0	0	0	0	0	6
36	7820	0	5000	0	0	0	0	0	0	6
37	10000	0	5000	0	0	0	0	0	0	6
38	12820	0	5000	0	0	0	0	0	0	6
39	4000	23500	4000	0	0	0	0	0	0	5
40	10000	23500	4000	0	0	0	0	0	0	5
41	2000	23500	5000	0	0	0	0	0	0	6
42	6000	23500	5000	0	0	0	0	0	0	6
43	7820	23500	5000	0	0	0	0	0	0	6

**POTENZIAMENTO DELL'IMPIANTO DI DEPURAZIONE E
DEL RECAPITO FINALE DI SQUINZANO (LE)
PROGETTO DEFINITIVO
Tabulati di calcolo strutturale-Equalizzazione**

R.37.7

Maggio 2021

Pagina 11 di 338

Nodo	X	Y	Z	Tx	Ty	Tz	Rx	Ry	Rz	Impalcato
44	12820	23500	5000	0	0	0	0	0	0	6
45	10000	23500	5000	0	0	0	0	0	0	6
46	12820	23500	4000	0	0	0	0	0	0	5
47	0	23500	4000	0	0	0	0	0	0	5
48	4000	23500	5000	0	0	0	0	0	0	6
49	0	23500	5000	0	0	0	0	0	0	6
50	16000	23500	4000	0	0	0	0	0	0	5
51	16000	0	4000	0	0	0	0	0	0	5
52	0	16500	5000	0	0	0	0	0	0	6
53	14000	0	4000	0	0	0	0	0	0	5
54	16000	23500	5000	0	0	0	0	0	0	6
55	14000	0	5000	0	0	0	0	0	0	6
56	14000	23500	5000	0	0	0	0	0	0	6
57	14000	23500	4000	0	0	0	0	0	0	5
58	16000	0	5000	0	0	0	0	0	0	6
59	0	16500	4000	0	0	0	0	0	0	5
60	0	22000	4000	0	0	0	0	0	0	5
61	16000	10000	4000	0	0	0	0	0	0	5
62	0	18250	4000	0	0	0	0	0	0	5
63	0	22000	5000	0	0	0	0	0	0	6
64	16000	8500	4000	0	0	0	0	0	0	5
65	0	18250	5000	0	0	0	0	0	0	6
66	0	20000	5000	0	0	0	0	0	0	6
67	0	20000	4000	0	0	0	0	0	0	5
68	16000	6250	4000	0	0	0	0	0	0	5
69	16000	18250	0	1	1	0	0	0	1	1
70	7820	18250	0	1	1	0	0	0	1	1
71	0	18250	0	1	1	0	0	0	1	1
72	2000	20000	0	1	1	0	0	0	1	1
73	4000	20000	0	1	1	0	0	0	1	1
74	12820	20000	0	1	1	0	0	0	1	1
75	6000	20000	0	1	1	0	0	0	1	1
76	7820	20000	0	1	1	0	0	0	1	1
77	10000	18250	0	1	1	0	0	0	1	1
78	14000	20000	0	1	1	0	0	0	1	1
79	16000	6250	5000	0	0	0	0	0	0	6
80	16000	22000	4000	0	0	0	0	0	0	5
81	16000	12250	4000	0	0	0	0	0	0	5
82	16000	8500	5000	0	0	0	0	0	0	6
83	16000	2500	4000	0	0	0	0	0	0	5
84	16000	20000	4000	0	0	0	0	0	0	5
85	16000	16500	4000	0	0	0	0	0	0	5
86	16000	18250	4000	0	0	0	0	0	0	5
87	16000	18250	5000	0	0	0	0	0	0	6
88	16000	22000	5000	0	0	0	0	0	0	6
89	16000	16500	5000	0	0	0	0	0	0	6
90	16000	10000	5000	0	0	0	0	0	0	6
91	16000	2500	5000	0	0	0	0	0	0	6
92	16000	12250	5000	0	0	0	0	0	0	6
93	16000	20000	5000	0	0	0	0	0	0	6
94	7820	0	3000	0	0	0	0	0	0	4
95	2000	23500	2000	0	0	0	0	0	0	3
96	6000	23500	2000	0	0	0	0	0	0	3
97	7820	23500	2000	0	0	0	0	0	0	3
98	12820	0	3000	0	0	0	0	0	0	4
99	10000	0	2000	0	0	0	0	0	0	3
100	10000	0	3000	0	0	0	0	0	0	4
101	12820	0	2000	0	0	0	0	0	0	3
102	4000	23500	2000	0	0	0	0	0	0	3
103	4000	23500	3000	0	0	0	0	0	0	4
104	12820	23500	2000	0	0	0	0	0	0	3
105	12820	23500	3000	0	0	0	0	0	0	4
106	2000	23500	3000	0	0	0	0	0	0	4
107	7820	23500	3000	0	0	0	0	0	0	4
108	6000	23500	3000	0	0	0	0	0	0	4
109	10000	23500	2000	0	0	0	0	0	0	3
110	0	23500	2000	0	0	0	0	0	0	3
111	10000	23500	3000	0	0	0	0	0	0	4
112	0	23500	3000	0	0	0	0	0	0	4
113	14000	0	3000	0	0	0	0	0	0	4
114	16000	0	3000	0	0	0	0	0	0	4
115	0	16500	3000	0	0	0	0	0	0	4
116	0	18250	3000	0	0	0	0	0	0	4
117	14000	23500	2000	0	0	0	0	0	0	3
118	16000	23500	2000	0	0	0	0	0	0	3
119	16000	0	2000	0	0	0	0	0	0	3

**POTENZIAMENTO DELL'IMPIANTO DI DEPURAZIONE E
DEL RECAPITO FINALE DI SQUINZANO (LE)
PROGETTO DEFINITIVO
Tabulati di calcolo strutturale-Equalizzazione**

R.37.7

Maggio 2021

Pagina 12 di 338

Nodo	X	Y	Z	Tx	Ty	Tz	Rx	Ry	Rz	Impalcato
120	14000	0	2000	0	0	0	0	0	0	3
121	14000	23500	3000	0	0	0	0	0	0	4
122	16000	23500	3000	0	0	0	0	0	0	4
123	0	16500	2000	0	0	0	0	0	0	3
124	16000	8500	2000	0	0	0	0	0	0	3
125	16000	10000	2000	0	0	0	0	0	0	3
126	16000	2500	2000	0	0	0	0	0	0	3
127	0	18250	2000	0	0	0	0	0	0	3
128	0	20000	2000	0	0	0	0	0	0	3
129	0	22000	3000	0	0	0	0	0	0	4
130	0	20000	3000	0	0	0	0	0	0	4
131	0	22000	2000	0	0	0	0	0	0	3
132	16000	18250	2000	0	0	0	0	0	0	3
133	16000	10000	3000	0	0	0	0	0	0	4
134	16000	6250	2000	0	0	0	0	0	0	3
135	16000	22000	2000	0	0	0	0	0	0	3
136	16000	8500	3000	0	0	0	0	0	0	4
137	16000	12250	2000	0	0	0	0	0	0	3
138	16000	16500	2000	0	0	0	0	0	0	3
139	16000	2500	3000	0	0	0	0	0	0	4
140	16000	20000	2000	0	0	0	0	0	0	3
141	0	6250	1000	0	0	0	0	0	0	2
142	16000	6250	3000	0	0	0	0	0	0	4
143	0	8500	1000	0	0	0	0	0	0	2
144	16000	12250	3000	0	0	0	0	0	0	4
145	16000	20000	3000	0	0	0	0	0	0	4
146	16000	18250	3000	0	0	0	0	0	0	4
147	16000	16500	3000	0	0	0	0	0	0	4
148	16000	22000	3000	0	0	0	0	0	0	4
149	4000	0	1000	0	0	0	0	0	0	2
150	6000	0	1000	0	0	0	0	0	0	2
151	7820	23500	-800	1	1	0	0	0	1	0
152	12820	22000	-800	1	1	0	0	0	1	0
153	10000	23500	-800	1	1	0	0	0	1	0
154	0	12250	1000	0	0	0	0	0	0	2
155	10000	22000	-800	1	1	0	0	0	1	0
156	7820	22000	-800	1	1	0	0	0	1	0
157	7820	20000	-800	1	1	0	0	0	1	0
158	10000	20000	-800	1	1	0	0	0	1	0
159	12820	20000	-800	1	1	0	0	0	1	0
160	12820	23500	-800	1	1	0	0	0	1	0
161	0	10000	1000	0	0	0	0	0	0	2
162	12820	0	1000	0	0	0	0	0	0	2
163	7820	23500	1000	0	0	0	0	0	0	2
164	4000	23500	1000	0	0	0	0	0	0	2
165	7820	0	1000	0	0	0	0	0	0	2
166	14000	23500	1000	0	0	0	0	0	0	2
167	16000	23500	1000	0	0	0	0	0	0	2
168	10000	0	1000	0	0	0	0	0	0	2
169	6000	23500	1000	0	0	0	0	0	0	2
170	2000	23500	1000	0	0	0	0	0	0	2
171	0	23500	1000	0	0	0	0	0	0	2
172	12820	23500	1000	0	0	0	0	0	0	2
173	10000	23500	1000	0	0	0	0	0	0	2
174	14000	0	1000	0	0	0	0	0	0	2
175	0	18250	1000	0	0	0	0	0	0	2
176	16000	0	1000	0	0	0	0	0	0	2
177	16000	12250	1000	0	0	0	0	0	0	2
178	0	16500	1000	0	0	0	0	0	0	2
179	16000	2500	1000	0	0	0	0	0	0	2
180	0	20000	1000	0	0	0	0	0	0	2
181	16000	8500	1000	0	0	0	0	0	0	2
182	16000	10000	1000	0	0	0	0	0	0	2
183	0	22000	1000	0	0	0	0	0	0	2
184	16000	6250	1000	0	0	0	0	0	0	2
185	0	0	2000	0	0	0	0	0	0	3
186	0	2500	2000	0	0	0	0	0	0	3
187	4000	0	2000	0	0	0	0	0	0	3
188	16000	22000	1000	0	0	0	0	0	0	2
189	16000	16500	1000	0	0	0	0	0	0	2
190	0	6250	2000	0	0	0	0	0	0	3
191	16000	18250	1000	0	0	0	0	0	0	2
192	16000	20000	1000	0	0	0	0	0	0	2
193	2000	0	2000	0	0	0	0	0	0	3
194	0	8500	2000	0	0	0	0	0	0	3
195	4000	0	3000	0	0	0	0	0	0	4

**POTENZIAMENTO DELL'IMPIANTO DI DEPURAZIONE E
DEL RECAPITO FINALE DI SQUINZANO (LE)
PROGETTO DEFINITIVO
Tabulati di calcolo strutturale-Equalizzazione**

R.37.7

Maggio 2021

Pagina 13 di 338

Nodo	X	Y	Z	Tx	Ty	Tz	Rx	Ry	Rz	Impalcato
196	0	10000	2000	0	0	0	0	0	0	3
197	0	2500	3000	0	0	0	0	0	0	4
198	6000	0	2000	0	0	0	0	0	0	3
199	2000	0	3000	0	0	0	0	0	0	4
200	0	8500	3000	0	0	0	0	0	0	4
201	0	6250	3000	0	0	0	0	0	0	4
202	0	0	3000	0	0	0	0	0	0	4
203	6000	0	3000	0	0	0	0	0	0	4
204	0	12250	2000	0	0	0	0	0	0	3
205	0	10000	3000	0	0	0	0	0	0	4
206	0	12250	3000	0	0	0	0	0	0	4
207	7820	0	2000	0	0	0	0	0	0	3
208	0	16500	0	1	1	0	0	0	1	1
209	14000	0	0	1	1	0	0	0	1	1
210	14000	10000	0	1	1	0	0	0	1	1
211	14000	2500	0	1	1	0	0	0	1	1
212	14000	8500	0	1	1	0	0	0	1	1
213	14000	12250	0	1	1	0	0	0	1	1
214	14000	16500	0	1	1	0	0	0	1	1
215	14000	6250	0	1	1	0	0	0	1	1
216	16000	6250	0	1	1	0	0	0	1	1
217	16000	2500	0	1	1	0	0	0	1	1
218	16000	8500	0	1	1	0	0	0	1	1
219	14000	18250	0	1	1	0	0	0	1	1
220	16000	16500	0	1	1	0	0	0	1	1
221	16000	0	0	1	1	0	0	0	1	1
222	16000	12250	0	1	1	0	0	0	1	1
223	16000	10000	0	1	1	0	0	0	1	1
224	12820	18250	0	1	1	0	0	0	1	1
225	2000	18250	0	1	1	0	0	0	1	1
226	6000	18250	0	1	1	0	0	0	1	1
227	4000	18250	0	1	1	0	0	0	1	1
228	2000	0	0	1	1	0	0	0	1	1
229	0	0	0	1	1	0	0	0	1	1
230	0	2500	0	1	1	0	0	0	1	1
231	7820	0	0	1	1	0	0	0	1	1
232	0	0	1000	0	0	0	0	0	0	2
233	2000	0	1000	0	0	0	0	0	0	2
234	4000	6250	0	1	1	0	0	0	1	1
235	4000	2500	0	1	1	0	0	0	1	1
236	0	6250	0	1	1	0	0	0	1	1
237	0	2500	1000	0	0	0	0	0	0	2
238	0	8500	0	1	1	0	0	0	1	1
239	7820	2500	0	1	1	0	0	0	1	1
240	7820	6250	0	1	1	0	0	0	1	1
241	7820	8500	0	1	1	0	0	0	1	1
242	6000	8500	0	1	1	0	0	0	1	1
243	6000	6250	0	1	1	0	0	0	1	1
244	4000	0	0	1	1	0	0	0	1	1
245	2000	10000	0	1	1	0	0	0	1	1
246	4000	8500	0	1	1	0	0	0	1	1
247	6000	0	0	1	1	0	0	0	1	1
248	2000	8500	0	1	1	0	0	0	1	1
249	7820	12250	0	1	1	0	0	0	1	1
250	2000	6250	0	1	1	0	0	0	1	1
251	6000	2500	0	1	1	0	0	0	1	1
252	2000	2500	0	1	1	0	0	0	1	1
253	0	12250	0	1	1	0	0	0	1	1
254	4000	10000	0	1	1	0	0	0	1	1
255	6000	10000	0	1	1	0	0	0	1	1
256	0	10000	0	1	1	0	0	0	1	1
257	7820	10000	0	1	1	0	0	0	1	1
258	10000	6250	0	1	1	0	0	0	1	1
259	2000	12250	0	1	1	0	0	0	1	1
260	6000	12250	0	1	1	0	0	0	1	1
261	4000	12250	0	1	1	0	0	0	1	1
262	10000	0	0	1	1	0	0	0	1	1
263	10000	2500	0	1	1	0	0	0	1	1
264	12820	10000	0	1	1	0	0	0	1	1
265	10000	12250	0	1	1	0	0	0	1	1
266	12820	0	0	1	1	0	0	0	1	1
267	12820	6250	0	1	1	0	0	0	1	1
268	12820	12250	0	1	1	0	0	0	1	1
269	6000	16500	0	1	1	0	0	0	1	1
270	10000	10000	0	1	1	0	0	0	1	1
271	10000	8500	0	1	1	0	0	0	1	1

**POTENZIAMENTO DELL'IMPIANTO DI DEPURAZIONE E
DEL RECAPITO FINALE DI SQUINZANO (LE)
PROGETTO DEFINITIVO
Tabulati di calcolo strutturale-Equalizzazione**

R.37.7

Maggio 2021

Pagina 14 di 338

Nodo	X	Y	Z	Tx	Ty	Tz	Rx	Ry	Rz	Impalcato
272	12820	16500	0	1	1	0	0	0	1	1
273	12820	8500	0	1	1	0	0	0	1	1
274	4000	16500	0	1	1	0	0	0	1	1
275	12820	2500	0	1	1	0	0	0	1	1
276	2000	16500	0	1	1	0	0	0	1	1
277	7820	16500	0	1	1	0	0	0	1	1
278	10000	16500	0	1	1	0	0	0	1	1
279	16000	20000	0	1	1	0	0	0	1	1
280	0	20000	0	1	1	0	0	0	1	1
281	10000	20000	0	1	1	0	0	0	1	1
282	2000	22000	0	1	1	0	0	0	1	1
283	12820	22000	0	1	1	0	0	0	1	1
284	14000	22000	0	1	1	0	0	0	1	1
285	4000	22000	0	1	1	0	0	0	1	1
286	7820	22000	0	1	1	0	0	0	1	1
287	16000	22000	0	1	1	0	0	0	1	1
7001	0	0	5900	0	0	0	0	0	0	7
7002	2000	0	5900	0	0	0	0	0	0	7
7003	4000	0	5900	0	0	0	0	0	0	7
7004	6000	0	5900	0	0	0	0	0	0	7
7005	7820	0	5900	0	0	0	0	0	0	7
7006	10000	0	5900	0	0	0	0	0	0	7
7007	12820	0	5900	0	0	0	0	0	0	7
7008	14000	0	5900	0	0	0	0	0	0	7
7009	16000	0	5900	0	0	0	0	0	0	7
7010	0	2500	5900	0	0	0	0	0	0	7
7018	16000	2500	5900	0	0	0	0	0	0	7
7019	0	6250	5900	0	0	0	0	0	0	7
7027	16000	6250	5900	0	0	0	0	0	0	7
7028	0	8500	5900	0	0	0	0	0	0	7
7036	16000	8500	5900	0	0	0	0	0	0	7
7037	0	10000	5900	0	0	0	0	0	0	7
7045	16000	10000	5900	0	0	0	0	0	0	7
7046	0	12250	5900	0	0	0	0	0	0	7
7054	16000	12250	5900	0	0	0	0	0	0	7
7055	0	16500	5900	0	0	0	0	0	0	7
7063	16000	16500	5900	0	0	0	0	0	0	7
7064	0	18250	5900	0	0	0	0	0	0	7
7072	16000	18250	5900	0	0	0	0	0	0	7
7073	0	20000	5900	0	0	0	0	0	0	7
7081	16000	20000	5900	0	0	0	0	0	0	7
7082	0	22000	5900	0	0	0	0	0	0	7
7090	16000	22000	5900	0	0	0	0	0	0	7
7091	0	23500	5900	0	0	0	0	0	0	7
7092	2000	23500	5900	0	0	0	0	0	0	7
7093	4000	23500	5900	0	0	0	0	0	0	7
7094	6000	23500	5900	0	0	0	0	0	0	7
7095	7820	23500	5900	0	0	0	0	0	0	7
7096	10000	23500	5900	0	0	0	0	0	0	7
7097	12820	23500	5900	0	0	0	0	0	0	7
7098	14000	23500	5900	0	0	0	0	0	0	7
7099	16000	23500	5900	0	0	0	0	0	0	7

Input - Aste - Tabella sezioni tipo

Tipo	Nome	Area	Ix	Iy	It	Fx	Fy	Lx	Lx
G		mq	m ⁴	m ⁴	m ⁴			cm	cm
	HE 340 B	0.0	3.668E-04	9.690E-05	2.630E-06	1.477	4.289	30	34

Aste - Geometria e vincoli

	Ni	Nf	Vin c.	Sez.	Mat.	Crit.pr .	Rot °	f.f.	xi	yi	zi	xf	yf	zf	Tipo	L2	L3
									cm							cm	
701	7019	7027	Cy- Cy	HE 340 B	Acciaio	Acciaio _FlessT ors	0	2525	0	0	0	0	0	0	Trav e	1600	1600
702	7046	7054	Cy- Cy	HE 340 B	Acciaio	Acciaio _FlessT ors	0	2525	0	0	0	0	0	0	Trav e	1600	1600
703	7064	7072	Cy- Cy	HE 340 B	Acciaio	Acciaio _FlessT ors	0	2525	0	0	0	0	0	0	Trav e	1600	1600

Aste - Carichi

Descrizione carichi aste

UnifG	Uniforme globale
UnifL	Uniforme locale
VarG	Variabile lineare globale
VarL	Variabile lineare locale
PolG	Poligonale globale
Termico	Distorsione termica
Torcente	Carico torcente
Precomp.	Carico da precompressione
PolL	Poligonale locale

Sezione	Ni	Nf	Cond.	Tipo c.	Xi	QXi	QYi	QZi	Xf	QXf	QYf	QZf
					cm	car. dist. kg/m			cm	car. dist. kg/m		
						coppie torc. kg*m/m				coppie torc. kg*m/m		
Trave 0												
Sezione Nulla	7001	7002	QP Solai	PolG	0	0	0	94	200	0	0	94
Sezione Nulla	7001	7002	QV Solai	PolG	0	0	0	156	200	0	0	156
Sezione Nulla	7001	7002	QFissi Solai	PolG	0	0	0	94	200	0	0	94
Sezione Nulla	7002	7003	QP Solai	PolG	0	0	0	94	200	0	0	94
Sezione Nulla	7002	7003	QV Solai	PolG	0	0	0	156	200	0	0	156
Sezione Nulla	7002	7003	QFissi Solai	PolG	0	0	0	94	200	0	0	94
Sezione Nulla	7003	7004	QP Solai	PolG	0	0	0	94	200	0	0	94
Sezione Nulla	7003	7004	QV Solai	PolG	0	0	0	156	200	0	0	156
Sezione Nulla	7003	7004	QFissi Solai	PolG	0	0	0	94	200	0	0	94
Sezione Nulla	7004	7005	QP Solai	PolG	0	0	0	94	182	0	0	94
Sezione Nulla	7004	7005	QV Solai	PolG	0	0	0	156	182	0	0	156
Sezione Nulla	7004	7005	QFissi Solai	PolG	0	0	0	94	182	0	0	94
Sezione Nulla	7005	7006	QP Solai	PolG	0	0	0	94	218	0	0	94
Sezione Nulla	7005	7006	QV Solai	PolG	0	0	0	156	218	0	0	156
Sezione Nulla	7005	7006	QFissi Solai	PolG	0	0	0	94	218	0	0	94
Sezione Nulla	7006	7007	QP Solai	PolG	0	0	0	94	282	0	0	94
Sezione Nulla	7006	7007	QV Solai	PolG	0	0	0	156	282	0	0	156
Sezione Nulla	7006	7007	QFissi Solai	PolG	0	0	0	94	282	0	0	94
Sezione Nulla	7007	7008	QP Solai	PolG	0	0	0	94	118	0	0	94
Sezione Nulla	7007	7008	QV Solai	PolG	0	0	0	156	118	0	0	156
Sezione Nulla	7007	7008	QFissi Solai	PolG	0	0	0	94	118	0	0	94
Sezione Nulla	7008	7009	QP Solai	PolG	0	0	0	94	200	0	0	94
Sezione Nulla	7008	7009	QV Solai	PolG	0	0	0	156	200	0	0	156
Sezione Nulla	7008	7009	QFissi Solai	PolG	0	0	0	94	200	0	0	94
Sezione Nulla	7091	7092	QP Solai	PolG	0	0	0	79	200	0	0	79
Sezione Nulla	7091	7092	QV Solai	PolG	0	0	0	131	200	0	0	131
Sezione Nulla	7091	7092	QFissi Solai	PolG	0	0	0	79	200	0	0	79
Sezione Nulla	7092	7093	QP Solai	PolG	0	0	0	79	200	0	0	79
Sezione Nulla	7092	7093	QV Solai	PolG	0	0	0	131	200	0	0	131
Sezione Nulla	7092	7093	QFissi Solai	PolG	0	0	0	79	200	0	0	79
Sezione Nulla	7093	7094	QP Solai	PolG	0	0	0	79	200	0	0	79
Sezione Nulla	7093	7094	QV Solai	PolG	0	0	0	131	200	0	0	131

**POTENZIAMENTO DELL'IMPIANTO DI DEPURAZIONE E
DEL RECAPITO FINALE DI SQUINZANO (LE)
PROGETTO DEFINITIVO
Tabulati di calcolo strutturale-Equalizzazione**

R.37.7

Maggio 2021

Pagina 16 di 338

Sezione	Ni	Nf	Cond.	Tipo c.	Xi	QXi	QYi	QZi	Xf	QXf	QYf	QZf
Sezione Nulla	7093	7094	QFissi Solai	PolG	0	0	0	79	200	0	0	79
Sezione Nulla	7094	7095	QP Solai	PolG	0	0	0	79	182	0	0	79
Sezione Nulla	7094	7095	QV Solai	PolG	0	0	0	131	182	0	0	131
Sezione Nulla	7094	7095	QFissi Solai	PolG	0	0	0	79	182	0	0	79
Sezione Nulla	7095	7096	QP Solai	PolG	0	0	0	79	218	0	0	79
Sezione Nulla	7095	7096	QV Solai	PolG	0	0	0	131	218	0	0	131
Sezione Nulla	7095	7096	QFissi Solai	PolG	0	0	0	79	218	0	0	79
Sezione Nulla	7096	7097	QP Solai	PolG	0	0	0	79	282	0	0	79
Sezione Nulla	7096	7097	QV Solai	PolG	0	0	0	131	282	0	0	131
Sezione Nulla	7096	7097	QFissi Solai	PolG	0	0	0	79	282	0	0	79
Sezione Nulla	7097	7098	QP Solai	PolG	0	0	0	79	118	0	0	79
Sezione Nulla	7097	7098	QV Solai	PolG	0	0	0	131	118	0	0	131
Sezione Nulla	7097	7098	QFissi Solai	PolG	0	0	0	79	118	0	0	79
Sezione Nulla	7098	7099	QP Solai	PolG	0	0	0	79	200	0	0	79
Sezione Nulla	7098	7099	QV Solai	PolG	0	0	0	131	200	0	0	131
Sezione Nulla	7098	7099	QFissi Solai	PolG	0	0	0	79	200	0	0	79
Trave 701												
HE 340 B	7019	7027	Peso Proprio	UnifG	0	0	0	134	1600	0	0	134
HE 340 B	7019	7027	QP Solai	PolG	0	0	0	184	1600	0	0	184
HE 340 B	7019	7027	QV Solai	PolG	0	0	0	306	1600	0	0	306
HE 340 B	7019	7027	QFissi Solai	PolG	0	0	0	184	1600	0	0	184
Trave 702												
HE 340 B	7046	7054	Peso Proprio	UnifG	0	0	0	134	1600	0	0	134
HE 340 B	7046	7054	QP Solai	PolG	0	0	0	180	1600	0	0	180
HE 340 B	7046	7054	QV Solai	PolG	0	0	0	300	1600	0	0	300
HE 340 B	7046	7054	QFissi Solai	PolG	0	0	0	180	1600	0	0	180
Trave 703												
HE 340 B	7064	7072	Peso Proprio	UnifG	0	0	0	134	1600	0	0	134
HE 340 B	7064	7072	QP Solai	PolG	0	0	0	169	1600	0	0	169
HE 340 B	7064	7072	QV Solai	PolG	0	0	0	281	1600	0	0	281
HE 340 B	7064	7072	QFissi Solai	PolG	0	0	0	169	1600	0	0	169

Pareti - geometria e vincoli

Parete	Nodi	Tipo	Materiale	Criterio	N.P.	N.P.X	N.P.Y	Spess.
								cm
1	269-274-261-260	Platea	C35/45	CLS Platee ND	32			60
2	220-214-213-222	Platea	C35/45	CLS Platee ND	16			60
3	214-272-268-213	Platea	C35/45	CLS Platee ND	15			60
4	272-278-265-268	Platea	C35/45	CLS Platee ND	48			60
5	278-277-249-265	Platea	C35/45	CLS Platee ND	32			60
6	277-269-260-249	Platea	C35/45	CLS Platee ND	32			60
7	274-276-259-261	Platea	C35/45	CLS Platee ND	32			60
8	276-208-253-259	Platea	C35/45	CLS Platee ND	30			60
9	222-213-210-223	Platea	C35/45	CLS Platee ND	16			60
10	213-268-264-210	Platea	C35/45	CLS Platee ND	8			60
11	268-265-270-264	Platea	C35/45	CLS Platee ND	24			60
12	265-249-257-270	Platea	C35/45	CLS Platee ND	16			60
13	249-260-255-257	Platea	C35/45	CLS Platee ND	16			60
14	260-261-254-255	Platea	C35/45	CLS Platee ND	16			60
15	261-259-245-254	Platea	C35/45	CLS Platee ND	16			60
16	259-253-256-245	Platea	C35/45	CLS Platee ND	16			60
17	223-210-212-218	Platea	C35/45	CLS Platee ND	16			60
18	210-264-273-212	Platea	C35/45	CLS Platee ND	8			60
19	264-270-271-273	Platea	C35/45	CLS Platee ND	24			60
20	270-257-241-271	Platea	C35/45	CLS Platee ND	16			60
21	257-255-242-241	Platea	C35/45	CLS Platee ND	16			60
22	255-254-246-242	Platea	C35/45	CLS Platee ND	16			60
23	254-245-248-246	Platea	C35/45	CLS Platee ND	16			60
24	245-256-238-248	Platea	C35/45	CLS Platee ND	16			60

**POTENZIAMENTO DELL'IMPIANTO DI DEPURAZIONE E
DEL RECAPITO FINALE DI SQUINZANO (LE)
PROGETTO DEFINITIVO
Tabulati di calcolo strutturale-Equalizzazione**

R.37.7

Maggio 2021

Pagina 17 di 338

Parete	Nodi	Tipo	Materiale	Criterio	N.P.	N.P.X	N.P.Y	Spess.
25	218-212-215-216	Platea	C35/45	CLS Platee ND	16			60
26	212-273-267-215	Platea	C35/45	CLS Platee ND	8			60
27	273-271-258-267	Platea	C35/45	CLS Platee ND	24			60
28	271-241-240-258	Platea	C35/45	CLS Platee ND	16			60
29	241-242-243-240	Platea	C35/45	CLS Platee ND	16			60
30	242-246-234-243	Platea	C35/45	CLS Platee ND	16			60
31	246-248-250-234	Platea	C35/45	CLS Platee ND	16			60
32	248-238-236-250	Platea	C35/45	CLS Platee ND	16			60
33	216-215-211-217	Platea	C35/45	CLS Platee ND	16			60
34	217-211-209-221	Platea	C35/45	CLS Platee ND	16			60
35	215-267-275-211	Platea	C35/45	CLS Platee ND	8			60
36	211-275-266-209	Platea	C35/45	CLS Platee ND	15			60
37	267-258-263-275	Platea	C35/45	CLS Platee ND	42			60
38	275-263-262-266	Platea	C35/45	CLS Platee ND	24			60
39	258-240-239-263	Platea	C35/45	CLS Platee ND	32			60
40	263-239-231-262	Platea	C35/45	CLS Platee ND	24			60
41	240-243-251-239	Platea	C35/45	CLS Platee ND	32			60
42	239-251-247-231	Platea	C35/45	CLS Platee ND	24			60
43	243-234-235-251	Platea	C35/45	CLS Platee ND	32			60
44	251-235-244-247	Platea	C35/45	CLS Platee ND	24			60
45	234-250-252-235	Platea	C35/45	CLS Platee ND	32			60
46	235-252-228-244	Platea	C35/45	CLS Platee ND	24			60
47	252-230-229-228	Platea	C35/45	CLS Platee ND	22			60
48	250-236-230-252	Platea	C35/45	CLS Platee ND	30			60
49	10-1-284-287	Platea	C35/45	CLS Platee ND	16			60
50	287-284-78-279	Platea	C35/45	CLS Platee ND	16			60
51	279-78-219-69	Platea	C35/45	CLS Platee ND	16			60
52	69-219-214-220	Platea	C35/45	CLS Platee ND	16			60
53	1-9-283-284	Platea	C35/45	CLS Platee ND	16			60
54	284-283-74-78	Platea	C35/45	CLS Platee ND	16			60
55	78-74-224-219	Platea	C35/45	CLS Platee ND	13			60
56	219-224-272-214	Platea	C35/45	CLS Platee ND	8			60
57	74-281-77-224	Platea	C35/45	CLS Platee ND	16			60
58	224-77-278-272	Platea	C35/45	CLS Platee ND	23			60
59	281-76-70-77	Platea	C35/45	CLS Platee ND	16			60
60	77-70-277-278	Platea	C35/45	CLS Platee ND	16			60
61	11-5-6-286	Platea	C35/45	CLS Platee ND	16			60
62	286-6-75-76	Platea	C35/45	CLS Platee ND	16			60
63	76-75-226-70	Platea	C35/45	CLS Platee ND	16			60
64	70-226-269-277	Platea	C35/45	CLS Platee ND	16			60
65	5-2-285-6	Platea	C35/45	CLS Platee ND	16			60
66	6-285-73-75	Platea	C35/45	CLS Platee ND	16			60
67	75-73-227-226	Platea	C35/45	CLS Platee ND	16			60
68	226-227-274-269	Platea	C35/45	CLS Platee ND	16			60
69	2-3-282-285	Platea	C35/45	CLS Platee ND	16			60
70	285-282-72-73	Platea	C35/45	CLS Platee ND	16			60
71	73-72-225-227	Platea	C35/45	CLS Platee ND	16			60
72	227-225-276-274	Platea	C35/45	CLS Platee ND	16			60
73	3-4-8-282	Platea	C35/45	CLS Platee ND	16			60
74	282-8-280-72	Platea	C35/45	CLS Platee ND	16			60
75	72-280-71-225	Platea	C35/45	CLS Platee ND	16			60
76	225-71-208-276	Platea	C35/45	CLS Platee ND	16			60
77	155-156-157-158	Platea	C35/45	CLS Platee ND	16			60
78	153-151-156-155	Platea	C35/45	CLS Platee ND	16			60
79	158-157-76-281	Discreto	C35/45	CLS Muri ND	16	4	4	50
80	156-151-11-286	Discreto	C35/45	CLS Muri ND	16	4	4	50
81	157-156-286-76	Discreto	C35/45	CLS Muri ND	16	4	4	50
82	152-155-158-159	Platea	C35/45	CLS Platee ND	16			60
83	160-153-155-152	Platea	C35/45	CLS Platee ND	16			60
84	159-158-281-74	Discreto	C35/45	CLS Muri ND	16	4	4	50
85	153-7-11-151	Discreto	C35/45	CLS Muri ND	16	4	4	50
86	160-9-7-153	Discreto	C35/45	CLS Muri ND	16	4	4	50
87	152-283-9-160	Discreto	C35/45	CLS Muri ND	16	4	4	50
88	159-74-283-152	Discreto	C35/45	CLS Muri ND	16	4	4	50
89	237-141-190-186	Discreto	C35/45	CLS Muri ND	16	4	4	50
90	232-237-186-185	Discreto	C35/45	CLS Muri ND	16	4	4	50
91	232-185-193-233	Discreto	C35/45	CLS Muri ND	16	4	4	50
92	141-143-194-190	Discreto	C35/45	CLS Muri ND	16	4	4	50
93	233-193-187-149	Discreto	C35/45	CLS Muri ND	16	4	4	50
94	149-187-198-150	Discreto	C35/45	CLS Muri ND	16	4	4	50
95	150-198-207-165	Discreto	C35/45	CLS Muri ND	16	4	4	50
96	143-161-196-194	Discreto	C35/45	CLS Muri ND	16	4	4	50
97	238-256-161-143	Discreto	C35/45	CLS Muri ND	16	4	4	50
98	256-253-154-161	Discreto	C35/45	CLS Muri ND	16	4	4	50
99	161-154-204-196	Discreto	C35/45	CLS Muri ND	16	4	4	50
100	231-165-168-262	Discreto	C35/45	CLS Muri ND	16	4	4	50

**POTENZIAMENTO DELL'IMPIANTO DI DEPURAZIONE E
DEL RECAPITO FINALE DI SQUINZANO (LE)
PROGETTO DEFINITIVO
Tabulati di calcolo strutturale-Equalizzazione**

R.37.7

Maggio 2021

Pagina 18 di 338

Parete	Nodi	Tipo	Materiale	Criterio	N.P.	N.P.X	N.P.Y	Spess.
101	165-207-99-168	Discreto	C35/45	CLS Muri ND	16	4	4	50
102	262-168-162-266	Discreto	C35/45	CLS Muri ND	16	4	4	50
103	168-99-101-162	Discreto	C35/45	CLS Muri ND	16	4	4	50
104	163-97-96-169	Discreto	C35/45	CLS Muri ND	16	4	4	50
105	170-164-102-95	Discreto	C35/45	CLS Muri ND	16	4	4	50
106	171-170-95-110	Discreto	C35/45	CLS Muri ND	16	4	4	50
107	11-163-169-5	Discreto	C35/45	CLS Muri ND	16	4	4	50
108	4-3-170-171	Discreto	C35/45	CLS Muri ND	16	4	4	50
109	3-2-164-170	Discreto	C35/45	CLS Muri ND	16	4	4	50
110	2-5-169-164	Discreto	C35/45	CLS Muri ND	16	4	4	50
111	164-169-96-102	Discreto	C35/45	CLS Muri ND	16	4	4	50
112	7-173-163-11	Discreto	C35/45	CLS Muri ND	16	4	4	50
113	173-109-97-163	Discreto	C35/45	CLS Muri ND	16	4	4	50
114	9-172-173-7	Discreto	C35/45	CLS Muri ND	16	4	4	50
115	172-104-109-173	Discreto	C35/45	CLS Muri ND	16	4	4	50
116	1-166-172-9	Discreto	C35/45	CLS Muri ND	16	4	4	50
117	266-162-174-209	Discreto	C35/45	CLS Muri ND	16	4	4	50
118	162-101-120-174	Discreto	C35/45	CLS Muri ND	16	4	4	50
119	166-117-104-172	Discreto	C35/45	CLS Muri ND	16	4	4	50
120	167-118-117-166	Discreto	C35/45	CLS Muri ND	16	4	4	50
121	174-120-119-176	Discreto	C35/45	CLS Muri ND	16	4	4	50
122	10-167-166-1	Discreto	C35/45	CLS Muri ND	16	4	4	50
123	209-174-176-221	Discreto	C35/45	CLS Muri ND	16	4	4	50
124	253-208-178-154	Discreto	C35/45	CLS Muri ND	16	4	4	50
125	154-178-123-204	Discreto	C35/45	CLS Muri ND	16	4	4	50
126	208-71-175-178	Discreto	C35/45	CLS Muri ND	16	4	4	50
127	178-175-127-123	Discreto	C35/45	CLS Muri ND	16	4	4	50
128	71-280-180-175	Discreto	C35/45	CLS Muri ND	16	4	4	50
129	175-180-128-127	Discreto	C35/45	CLS Muri ND	16	4	4	50
130	280-8-183-180	Discreto	C35/45	CLS Muri ND	16	4	4	50
131	180-183-131-128	Discreto	C35/45	CLS Muri ND	16	4	4	50
132	183-171-110-131	Discreto	C35/45	CLS Muri ND	16	4	4	50
133	8-4-171-183	Discreto	C35/45	CLS Muri ND	16	4	4	50
134	176-119-126-179	Discreto	C35/45	CLS Muri ND	16	4	4	50
135	181-124-125-182	Discreto	C35/45	CLS Muri ND	16	4	4	50
136	184-134-124-181	Discreto	C35/45	CLS Muri ND	16	4	4	50
137	223-182-177-222	Discreto	C35/45	CLS Muri ND	16	4	4	50
138	221-176-179-217	Discreto	C35/45	CLS Muri ND	16	4	4	50
139	218-181-182-223	Discreto	C35/45	CLS Muri ND	16	4	4	50
140	179-126-134-184	Discreto	C35/45	CLS Muri ND	16	4	4	50
141	182-125-137-177	Discreto	C35/45	CLS Muri ND	16	4	4	50
142	217-179-184-216	Discreto	C35/45	CLS Muri ND	16	4	4	50
143	216-184-181-218	Discreto	C35/45	CLS Muri ND	16	4	4	50
144	69-191-192-279	Discreto	C35/45	CLS Muri ND	16	4	4	50
145	191-132-140-192	Discreto	C35/45	CLS Muri ND	16	4	4	50
146	220-189-191-69	Discreto	C35/45	CLS Muri ND	16	4	4	50
147	189-138-132-191	Discreto	C35/45	CLS Muri ND	16	4	4	50
148	279-192-188-287	Discreto	C35/45	CLS Muri ND	16	4	4	50
149	192-140-135-188	Discreto	C35/45	CLS Muri ND	16	4	4	50
150	287-188-167-10	Discreto	C35/45	CLS Muri ND	16	4	4	50
151	188-135-118-167	Discreto	C35/45	CLS Muri ND	16	4	4	50
152	222-177-189-220	Discreto	C35/45	CLS Muri ND	16	4	4	50
153	177-137-138-189	Discreto	C35/45	CLS Muri ND	16	4	4	50
154	229-230-237-232	Discreto	C35/45	CLS Muri ND	16	4	4	50
155	229-232-233-228	Discreto	C35/45	CLS Muri ND	16	4	4	50
156	230-236-141-237	Discreto	C35/45	CLS Muri ND	16	4	4	50
157	236-238-143-141	Discreto	C35/45	CLS Muri ND	16	4	4	50
158	228-233-149-244	Discreto	C35/45	CLS Muri ND	16	4	4	50
159	244-149-150-247	Discreto	C35/45	CLS Muri ND	16	4	4	50
160	247-150-165-231	Discreto	C35/45	CLS Muri ND	16	4	4	50
161	186-190-201-197	Discreto	C35/45	CLS Muri ND	16	4	4	50
162	185-186-197-202	Discreto	C35/45	CLS Muri ND	16	4	4	50
163	185-202-199-193	Discreto	C35/45	CLS Muri ND	16	4	4	50
164	190-194-200-201	Discreto	C35/45	CLS Muri ND	16	4	4	50
165	193-199-195-187	Discreto	C35/45	CLS Muri ND	16	4	4	50
166	187-195-203-198	Discreto	C35/45	CLS Muri ND	16	4	4	50
167	198-203-94-207	Discreto	C35/45	CLS Muri ND	16	4	4	50
168	194-196-205-200	Discreto	C35/45	CLS Muri ND	16	4	4	50
169	196-204-206-205	Discreto	C35/45	CLS Muri ND	16	4	4	50
170	207-94-100-99	Discreto	C35/45	CLS Muri ND	16	4	4	50
171	99-100-98-101	Discreto	C35/45	CLS Muri ND	16	4	4	50
172	201-200-16-17	Discreto	C35/45	CLS Muri ND	16	4	4	50
173	197-201-17-12	Discreto	C35/45	CLS Muri ND	16	4	4	50
174	202-18-20-199	Discreto	C35/45	CLS Muri ND	16	4	4	50
175	202-197-12-18	Discreto	C35/45	CLS Muri ND	16	4	4	50
176	195-14-19-203	Discreto	C35/45	CLS Muri ND	16	4	4	50

**POTENZIAMENTO DELL'IMPIANTO DI DEPURAZIONE E
DEL RECAPITO FINALE DI SQUINZANO (LE)
PROGETTO DEFINITIVO
Tabulati di calcolo strutturale-Equalizzazione**

R.37.7

Maggio 2021

Pagina 19 di 338

Parete	Nodi	Tipo	Materiale	Criterio	N.P.	N.P.X	N.P.Y	Spess.
177	203-19-15-94	Discreto	C35/45	CLS Muri ND	16	4	4	50
178	200-205-13-16	Discreto	C35/45	CLS Muri ND	16	4	4	50
179	199-20-14-195	Discreto	C35/45	CLS Muri ND	16	4	4	50
180	205-206-21-13	Discreto	C35/45	CLS Muri ND	16	4	4	50
181	100-23-24-98	Discreto	C35/45	CLS Muri ND	16	4	4	50
182	94-15-23-100	Discreto	C35/45	CLS Muri ND	16	4	4	50
183	97-107-108-96	Discreto	C35/45	CLS Muri ND	16	4	4	50
184	95-102-103-106	Discreto	C35/45	CLS Muri ND	16	4	4	50
185	110-95-106-112	Discreto	C35/45	CLS Muri ND	16	4	4	50
186	102-96-108-103	Discreto	C35/45	CLS Muri ND	16	4	4	50
187	109-111-107-97	Discreto	C35/45	CLS Muri ND	16	4	4	50
188	104-105-111-109	Discreto	C35/45	CLS Muri ND	16	4	4	50
189	107-33-31-108	Discreto	C35/45	CLS Muri ND	16	4	4	50
190	106-103-39-32	Discreto	C35/45	CLS Muri ND	16	4	4	50
191	112-106-32-47	Discreto	C35/45	CLS Muri ND	16	4	4	50
192	103-108-31-39	Discreto	C35/45	CLS Muri ND	16	4	4	50
193	105-46-40-111	Discreto	C35/45	CLS Muri ND	16	4	4	50
194	111-40-33-107	Discreto	C35/45	CLS Muri ND	16	4	4	50
195	101-98-113-120	Discreto	C35/45	CLS Muri ND	16	4	4	50
196	98-24-53-113	Discreto	C35/45	CLS Muri ND	16	4	4	50
197	117-121-105-104	Discreto	C35/45	CLS Muri ND	16	4	4	50
198	121-57-46-105	Discreto	C35/45	CLS Muri ND	16	4	4	50
199	120-113-114-119	Discreto	C35/45	CLS Muri ND	16	4	4	50
200	113-53-51-114	Discreto	C35/45	CLS Muri ND	16	4	4	50
201	118-122-121-117	Discreto	C35/45	CLS Muri ND	16	4	4	50
202	122-50-57-121	Discreto	C35/45	CLS Muri ND	16	4	4	50
203	204-123-115-206	Discreto	C35/45	CLS Muri ND	16	4	4	50
204	206-115-59-21	Discreto	C35/45	CLS Muri ND	16	4	4	50
205	123-127-116-115	Discreto	C35/45	CLS Muri ND	16	4	4	50
206	115-116-62-59	Discreto	C35/45	CLS Muri ND	16	4	4	50
207	127-128-130-116	Discreto	C35/45	CLS Muri ND	16	4	4	50
208	116-130-67-62	Discreto	C35/45	CLS Muri ND	16	4	4	50
209	128-131-129-130	Discreto	C35/45	CLS Muri ND	16	4	4	50
210	130-129-60-67	Discreto	C35/45	CLS Muri ND	16	4	4	50
211	131-110-112-129	Discreto	C35/45	CLS Muri ND	16	4	4	50
212	129-112-47-60	Discreto	C35/45	CLS Muri ND	16	4	4	50
213	124-136-133-125	Discreto	C35/45	CLS Muri ND	16	4	4	50
214	134-142-136-124	Discreto	C35/45	CLS Muri ND	16	4	4	50
215	119-114-139-126	Discreto	C35/45	CLS Muri ND	16	4	4	50
216	126-139-142-134	Discreto	C35/45	CLS Muri ND	16	4	4	50
217	125-133-144-137	Discreto	C35/45	CLS Muri ND	16	4	4	50
218	142-68-64-136	Discreto	C35/45	CLS Muri ND	16	4	4	50
219	136-64-61-133	Discreto	C35/45	CLS Muri ND	16	4	4	50
220	139-83-68-142	Discreto	C35/45	CLS Muri ND	16	4	4	50
221	114-51-83-139	Discreto	C35/45	CLS Muri ND	16	4	4	50
222	133-61-81-144	Discreto	C35/45	CLS Muri ND	16	4	4	50
223	132-146-145-140	Discreto	C35/45	CLS Muri ND	16	4	4	50
224	146-86-84-145	Discreto	C35/45	CLS Muri ND	16	4	4	50
225	138-147-146-132	Discreto	C35/45	CLS Muri ND	16	4	4	50
226	147-85-86-146	Discreto	C35/45	CLS Muri ND	16	4	4	50
227	140-145-148-135	Discreto	C35/45	CLS Muri ND	16	4	4	50
228	145-84-80-148	Discreto	C35/45	CLS Muri ND	16	4	4	50
229	135-148-122-118	Discreto	C35/45	CLS Muri ND	16	4	4	50
230	148-80-50-122	Discreto	C35/45	CLS Muri ND	16	4	4	50
231	137-144-147-138	Discreto	C35/45	CLS Muri ND	16	4	4	50
232	144-81-85-147	Discreto	C35/45	CLS Muri ND	16	4	4	50
233	17-16-29-25	Discreto	C35/45	CLS Muri ND	16	4	4	50
234	12-17-25-26	Discreto	C35/45	CLS Muri ND	16	4	4	50
235	18-28-27-20	Discreto	C35/45	CLS Muri ND	16	4	4	50
236	18-12-26-28	Discreto	C35/45	CLS Muri ND	16	4	4	50
237	14-22-34-19	Discreto	C35/45	CLS Muri ND	16	4	4	50
238	19-34-36-15	Discreto	C35/45	CLS Muri ND	16	4	4	50
239	16-13-35-29	Discreto	C35/45	CLS Muri ND	16	4	4	50
240	20-27-22-14	Discreto	C35/45	CLS Muri ND	16	4	4	50
241	13-21-30-35	Discreto	C35/45	CLS Muri ND	16	4	4	50
242	23-37-38-24	Discreto	C35/45	CLS Muri ND	16	4	4	50
243	15-36-37-23	Discreto	C35/45	CLS Muri ND	16	4	4	50
244	33-43-42-31	Discreto	C35/45	CLS Muri ND	16	4	4	50
245	32-39-48-41	Discreto	C35/45	CLS Muri ND	16	4	4	50
246	47-32-41-49	Discreto	C35/45	CLS Muri ND	16	4	4	50
247	39-31-42-48	Discreto	C35/45	CLS Muri ND	16	4	4	50
248	46-44-45-40	Discreto	C35/45	CLS Muri ND	16	4	4	50
249	40-45-43-33	Discreto	C35/45	CLS Muri ND	16	4	4	50
250	24-38-55-53	Discreto	C35/45	CLS Muri ND	16	4	4	50
251	57-56-44-46	Discreto	C35/45	CLS Muri ND	16	4	4	50
252	50-54-56-57	Discreto	C35/45	CLS Muri ND	16	4	4	50

Parete	Nodi	Tipo	Materiale	Criterio	N.P.	N.P.X	N.P.Y	Spess.
253	53-55-58-51	Discreto	C35/45	CLS Muri ND	16	4	4	50
254	21-59-52-30	Discreto	C35/45	CLS Muri ND	16	4	4	50
255	59-62-65-52	Discreto	C35/45	CLS Muri ND	16	4	4	50
256	62-67-66-65	Discreto	C35/45	CLS Muri ND	16	4	4	50
257	67-60-63-66	Discreto	C35/45	CLS Muri ND	16	4	4	50
258	60-47-49-63	Discreto	C35/45	CLS Muri ND	16	4	4	50
259	68-79-82-64	Discreto	C35/45	CLS Muri ND	16	4	4	50
260	64-82-90-61	Discreto	C35/45	CLS Muri ND	16	4	4	50
261	83-91-79-68	Discreto	C35/45	CLS Muri ND	16	4	4	50
262	51-58-91-83	Discreto	C35/45	CLS Muri ND	16	4	4	50
263	61-90-92-81	Discreto	C35/45	CLS Muri ND	16	4	4	50
264	86-87-93-84	Discreto	C35/45	CLS Muri ND	16	4	4	50
265	85-89-87-86	Discreto	C35/45	CLS Muri ND	16	4	4	50
266	84-93-88-80	Discreto	C35/45	CLS Muri ND	16	4	4	50
267	80-88-54-50	Discreto	C35/45	CLS Muri ND	16	4	4	50
268	81-92-89-85	Discreto	C35/45	CLS Muri ND	16	4	4	50
269	87-7072-7081-93	Discreto	C35/45	CLS Muri ND	16	4	4	50
270	89-7063-7072-87	Discreto	C35/45	CLS Muri ND	16	4	4	50
271	93-7081-7090-88	Discreto	C35/45	CLS Muri ND	16	4	4	50
272	92-7054-7063-89	Discreto	C35/45	CLS Muri ND	16	4	4	50
273	88-7090-7099-54	Discreto	C35/45	CLS Muri ND	16	4	4	50
274	91-7018-7027-79	Discreto	C35/45	CLS Muri ND	16	4	4	50
275	79-7027-7036-82	Discreto	C35/45	CLS Muri ND	16	4	4	50
276	82-7036-7045-90	Discreto	C35/45	CLS Muri ND	16	4	4	50
277	58-7009-7018-91	Discreto	C35/45	CLS Muri ND	16	4	4	50
278	90-7045-7054-92	Discreto	C35/45	CLS Muri ND	16	4	4	50
279	66-63-7082-7073	Discreto	C35/45	CLS Muri ND	16	4	4	50
280	52-65-7064-7055	Discreto	C35/45	CLS Muri ND	16	4	4	50
281	63-49-7091-7082	Discreto	C35/45	CLS Muri ND	16	4	4	50
282	30-52-7055-7046	Discreto	C35/45	CLS Muri ND	16	4	4	50
283	65-66-7073-7064	Discreto	C35/45	CLS Muri ND	16	4	4	50
284	28-7001-7002-27	Discreto	C35/45	CLS Muri ND	16	4	4	50
285	25-29-7028-7019	Discreto	C35/45	CLS Muri ND	16	4	4	50
286	26-25-7019-7010	Discreto	C35/45	CLS Muri ND	16	4	4	50
287	35-30-7046-7037	Discreto	C35/45	CLS Muri ND	16	4	4	50
288	36-7005-7006-37	Discreto	C35/45	CLS Muri ND	16	4	4	50
289	27-7002-7003-22	Discreto	C35/45	CLS Muri ND	16	4	4	50
290	34-7004-7005-36	Discreto	C35/45	CLS Muri ND	16	4	4	50
291	28-26-7010-7001	Discreto	C35/45	CLS Muri ND	16	4	4	50
292	29-35-7037-7028	Discreto	C35/45	CLS Muri ND	16	4	4	50
293	22-7003-7004-34	Discreto	C35/45	CLS Muri ND	16	4	4	50
294	37-7006-7007-38	Discreto	C35/45	CLS Muri ND	16	4	4	50
295	43-7095-7094-42	Discreto	C35/45	CLS Muri ND	16	4	4	50
296	44-7097-7096-45	Discreto	C35/45	CLS Muri ND	16	4	4	50
297	41-48-7093-7092	Discreto	C35/45	CLS Muri ND	16	4	4	50
298	49-41-7092-7091	Discreto	C35/45	CLS Muri ND	16	4	4	50
299	38-7007-7008-55	Discreto	C35/45	CLS Muri ND	16	4	4	50
300	48-42-7094-7093	Discreto	C35/45	CLS Muri ND	16	4	4	50
301	45-7096-7095-43	Discreto	C35/45	CLS Muri ND	16	4	4	50
302	56-7098-7097-44	Discreto	C35/45	CLS Muri ND	16	4	4	50
303	54-7099-7098-56	Discreto	C35/45	CLS Muri ND	16	4	4	50
304	55-7008-7009-58	Discreto	C35/45	CLS Muri ND	16	4	4	50

Muri - Carichi

Shell	Indice dello shell
Cond.	Condizione di carico
Tipo	Tipologia di spinta
γ	Peso specifico: terreno o acqua
Ht	Quota del piano di campagna
\emptyset	Angolo di attrito interno
c	Coesione
δ	Angolo di attrito terreno paramento shell
β	Angolo di inclinazione del piano di campagna
k0	Coefficiente di spinta a riposo (quando richiesto)
β_m	Coefficiente di riduzione dell'accelerazione massima attesa al sito (quando richiesto)
Ag	Accelerazione del sito a meno di 'g': quando richiesto, rappresenta il valore della accelerazione dello spettro per T=0, quindi comprensiva dei coefficienti di amplificazione topografica (S_T) e stratigrafica (S_S)
Q	Valore del carico uniforme
Vert.1	Valore del carico nel primo vertice ⁽¹⁾
Vert.2	Valore del carico nel secondo vertice ⁽¹⁾
Vert.3	Valore del carico nel terzo vertice ⁽¹⁾
Vert.4	Valore del carico nel quarto vertice ⁽¹⁾
Hw	Altezza del pelo libero dell'acqua
⁽¹⁾ : Per shell con numero di vertici maggiori 4, per carichi trapezoidali, il valore del carico nei vertici e' stampato a gruppi di 4 secondo l'ordine con cui i vertici sono stati definiti	

Shel 1	Cond.	Tipo	Ht	γ	\emptyset	c	δ	β	k0	β_m	Ag
			cm	kg/m c	°	daN/ cmq	°	°			
85	Spinta terreno	Terreno - Attivo - Dir.Neg.	470	2000	30	0.00	0	0	--	--	--
85	Spinta sismica terreno SLV	Sisma terreno - Attivo - Dir.Neg.	470	2000	30	0.00	0	0	--	1.00	0.06
85	Spinta sismica terreno SLD	Sisma terreno - Attivo - Dir.Neg.	470	2000	30	0.00	0	0	--	1.00	0.03
86	Spinta terreno	Terreno - Attivo - Dir.Neg.	470	2000	30	0.00	0	0	--	--	--
86	Spinta sismica terreno SLV	Sisma terreno - Attivo - Dir.Neg.	470	2000	30	0.00	0	0	--	1.00	0.06
86	Spinta sismica terreno SLD	Sisma terreno - Attivo - Dir.Neg.	470	2000	30	0.00	0	0	--	1.00	0.03
87	Spinta terreno	Terreno - Attivo - Dir.Neg.	470	2000	30	0.00	0	0	--	--	--
87	Spinta sismica terreno SLV	Sisma terreno - Attivo - Dir.Neg.	470	2000	30	0.00	0	0	--	1.00	0.06
87	Spinta sismica terreno SLD	Sisma terreno - Attivo - Dir.Neg.	470	2000	30	0.00	0	0	--	1.00	0.03
88	Spinta terreno	Terreno - Attivo - Dir.Neg.	470	2000	30	0.00	0	0	--	--	--
88	Spinta sismica terreno SLV	Sisma terreno - Attivo - Dir.Neg.	470	2000	30	0.00	0	0	--	1.00	0.06
88	Spinta sismica terreno SLD	Sisma terreno - Attivo - Dir.Neg.	470	2000	30	0.00	0	0	--	1.00	0.03
89	Spinta terreno	Terreno - Attivo - Dir.Neg.	470	2000	30	0.00	0	0	--	--	--
89	Spinta sismica terreno SLV	Sisma terreno - Attivo - Dir.Pos.	0	1900	30	0.00	0	0	--	0.40	0.06
89	Spinta sismica terreno SLV	Sisma terreno - Attivo - Dir.Neg.	470	2000	30	0.00	0	0	--	1.00	0.06
89	Spinta sismica terreno SLD	Sisma terreno - Attivo - Dir.Neg.	470	2000	30	0.00	0	0	--	1.00	0.03
90	Spinta terreno	Terreno - Attivo - Dir.Neg.	470	2000	30	0.00	0	0	--	--	--
90	Spinta sismica terreno SLV	Sisma terreno - Attivo - Dir.Neg.	470	2000	30	0.00	0	0	--	1.00	0.06
90	Spinta sismica terreno SLV	Sisma terreno - Attivo - Dir.Pos.	0	1900	30	0.00	0	0	--	0.40	0.06
90	Spinta sismica terreno SLD	Sisma terreno - Attivo - Dir.Neg.	470	2000	30	0.00	0	0	--	1.00	0.03
91	Spinta terreno	Terreno - Attivo - Dir.Neg.	470	2000	30	0.00	0	0	--	--	--
91	Spinta sismica terreno SLV	Sisma terreno - Attivo - Dir.Neg.	470	2000	30	0.00	0	0	--	1.00	0.06
91	Spinta sismica terreno SLD	Sisma terreno - Attivo - Dir.Neg.	470	2000	30	0.00	0	0	--	1.00	0.03
92	Spinta terreno	Terreno - Attivo - Dir.Neg.	470	2000	30	0.00	0	0	--	--	--
92	Spinta sismica terreno SLV	Sisma terreno - Attivo - Dir.Neg.	470	2000	30	0.00	0	0	--	1.00	0.06
92	Spinta sismica terreno SLV	Sisma terreno - Attivo - Dir.Pos.	0	1900	30	0.00	0	0	--	0.40	0.06
92	Spinta sismica terreno SLD	Sisma terreno - Attivo - Dir.Neg.	470	2000	30	0.00	0	0	--	1.00	0.03
93	Spinta terreno	Terreno - Attivo - Dir.Neg.	470	2000	30	0.00	0	0	--	--	--
93	Spinta sismica terreno SLV	Sisma terreno - Attivo - Dir.Neg.	470	2000	30	0.00	0	0	--	1.00	0.06
93	Spinta sismica terreno SLD	Sisma terreno - Attivo - Dir.Neg.	470	2000	30	0.00	0	0	--	1.00	0.03
94	Spinta terreno	Terreno - Attivo - Dir.Neg.	470	2000	30	0.00	0	0	--	--	--
94	Spinta sismica terreno SLV	Sisma terreno - Attivo - Dir.Neg.	470	2000	30	0.00	0	0	--	1.00	0.06
94	Spinta sismica terreno SLD	Sisma terreno - Attivo - Dir.Neg.	470	2000	30	0.00	0	0	--	1.00	0.03
95	Spinta terreno	Terreno - Attivo - Dir.Neg.	470	2000	30	0.00	0	0	--	--	--
95	Spinta sismica terreno SLV	Sisma terreno - Attivo - Dir.Neg.	470	2000	30	0.00	0	0	--	1.00	0.06
95	Spinta sismica terreno SLD	Sisma terreno - Attivo - Dir.Neg.	470	2000	30	0.00	0	0	--	1.00	0.03
96	Spinta terreno	Terreno - Attivo - Dir.Neg.	470	2000	30	0.00	0	0	--	--	--
96	Spinta sismica terreno SLV	Sisma terreno - Attivo - Dir.Pos.	0	1900	30	0.00	0	0	--	0.40	0.06
96	Spinta sismica terreno SLV	Sisma terreno - Attivo - Dir.Neg.	470	2000	30	0.00	0	0	--	1.00	0.06
96	Spinta sismica terreno SLD	Sisma terreno - Attivo - Dir.Neg.	470	2000	30	0.00	0	0	--	1.00	0.03
97	Spinta terreno	Terreno - Attivo - Dir.Neg.	470	2000	30	0.00	0	0	--	--	--
97	Spinta sismica terreno SLV	Sisma terreno - Attivo - Dir.Neg.	470	2000	30	0.00	0	0	--	1.00	0.06
97	Spinta sismica terreno SLV	Sisma terreno - Attivo - Dir.Pos.	0	1900	30	0.00	0	0	--	0.40	0.06

**POTENZIAMENTO DELL'IMPIANTO DI DEPURAZIONE E
DEL RECAPITO FINALE DI SQUINZANO (LE)
PROGETTO DEFINITIVO
Tabulati di calcolo strutturale-Equalizzazione**

R.37.7

Maggio 2021

Pagina 22 di 338

Shel l	Cond.	Tipo	Ht	γ	\emptyset	c	δ	β	k0	β_m	Ag
97	Spinta sismica terreno SLD	Sisma terreno - Attivo - Dir.Neg.	470	2000	30	0.00	0	0	--	1.00	0.03
98	Spinta terreno	Terreno - Attivo - Dir.Neg.	470	2000	30	0.00	0	0	--	--	--
98	Spinta sismica terreno SLV	Sisma terreno - Attivo - Dir.Pos.	0	1900	30	0.00	0	0	--	0.40	0.06
98	Spinta sismica terreno SLV	Sisma terreno - Attivo - Dir.Neg.	470	2000	30	0.00	0	0	--	1.00	0.06
98	Spinta sismica terreno SLD	Sisma terreno - Attivo - Dir.Neg.	470	2000	30	0.00	0	0	--	1.00	0.03
99	Spinta terreno	Terreno - Attivo - Dir.Neg.	470	2000	30	0.00	0	0	--	--	--
99	Spinta sismica terreno SLV	Sisma terreno - Attivo - Dir.Pos.	0	1900	30	0.00	0	0	--	0.40	0.06
99	Spinta sismica terreno SLV	Sisma terreno - Attivo - Dir.Neg.	470	2000	30	0.00	0	0	--	1.00	0.06
99	Spinta sismica terreno SLD	Sisma terreno - Attivo - Dir.Neg.	470	2000	30	0.00	0	0	--	1.00	0.03
100	Spinta terreno	Terreno - Attivo - Dir.Neg.	470	2000	30	0.00	0	0	--	--	--
100	Spinta sismica terreno SLV	Sisma terreno - Attivo - Dir.Neg.	470	2000	30	0.00	0	0	--	1.00	0.06
100	Spinta sismica terreno SLD	Sisma terreno - Attivo - Dir.Neg.	470	2000	30	0.00	0	0	--	1.00	0.03
101	Spinta terreno	Terreno - Attivo - Dir.Neg.	470	2000	30	0.00	0	0	--	--	--
101	Spinta sismica terreno SLV	Sisma terreno - Attivo - Dir.Neg.	470	2000	30	0.00	0	0	--	1.00	0.06
101	Spinta sismica terreno SLD	Sisma terreno - Attivo - Dir.Neg.	470	2000	30	0.00	0	0	--	1.00	0.03
102	Spinta terreno	Terreno - Attivo - Dir.Neg.	470	2000	30	0.00	0	0	--	--	--
102	Spinta sismica terreno SLV	Sisma terreno - Attivo - Dir.Neg.	470	2000	30	0.00	0	0	--	1.00	0.06
102	Spinta sismica terreno SLD	Sisma terreno - Attivo - Dir.Neg.	470	2000	30	0.00	0	0	--	1.00	0.03
103	Spinta terreno	Terreno - Attivo - Dir.Neg.	470	2000	30	0.00	0	0	--	--	--
103	Spinta sismica terreno SLV	Sisma terreno - Attivo - Dir.Neg.	470	2000	30	0.00	0	0	--	1.00	0.06
103	Spinta sismica terreno SLD	Sisma terreno - Attivo - Dir.Neg.	470	2000	30	0.00	0	0	--	1.00	0.03
104	Spinta terreno	Terreno - Attivo - Dir.Neg.	470	2000	30	0.00	0	0	--	--	--
104	Spinta sismica terreno SLV	Sisma terreno - Attivo - Dir.Neg.	470	2000	30	0.00	0	0	--	1.00	0.06
104	Spinta sismica terreno SLD	Sisma terreno - Attivo - Dir.Neg.	470	2000	30	0.00	0	0	--	1.00	0.03
105	Spinta terreno	Terreno - Attivo - Dir.Neg.	470	2000	30	0.00	0	0	--	--	--
105	Spinta sismica terreno SLV	Sisma terreno - Attivo - Dir.Neg.	470	2000	30	0.00	0	0	--	1.00	0.06
105	Spinta sismica terreno SLD	Sisma terreno - Attivo - Dir.Neg.	470	2000	30	0.00	0	0	--	1.00	0.03
106	Spinta terreno	Terreno - Attivo - Dir.Neg.	470	2000	30	0.00	0	0	--	--	--
106	Spinta sismica terreno SLV	Sisma terreno - Attivo - Dir.Neg.	470	2000	30	0.00	0	0	--	1.00	0.06
106	Spinta sismica terreno SLD	Sisma terreno - Attivo - Dir.Neg.	470	2000	30	0.00	0	0	--	1.00	0.03
107	Spinta terreno	Terreno - Attivo - Dir.Neg.	470	2000	30	0.00	0	0	--	--	--
107	Spinta sismica terreno SLV	Sisma terreno - Attivo - Dir.Neg.	470	2000	30	0.00	0	0	--	1.00	0.06
107	Spinta sismica terreno SLD	Sisma terreno - Attivo - Dir.Neg.	470	2000	30	0.00	0	0	--	1.00	0.03
108	Spinta terreno	Terreno - Attivo - Dir.Neg.	470	2000	30	0.00	0	0	--	--	--
108	Spinta sismica terreno SLV	Sisma terreno - Attivo - Dir.Neg.	470	2000	30	0.00	0	0	--	1.00	0.06
108	Spinta sismica terreno SLD	Sisma terreno - Attivo - Dir.Neg.	470	2000	30	0.00	0	0	--	1.00	0.03
109	Spinta terreno	Terreno - Attivo - Dir.Neg.	470	2000	30	0.00	0	0	--	--	--
109	Spinta sismica terreno SLV	Sisma terreno - Attivo - Dir.Neg.	470	2000	30	0.00	0	0	--	1.00	0.06
109	Spinta sismica terreno SLD	Sisma terreno - Attivo - Dir.Neg.	470	2000	30	0.00	0	0	--	1.00	0.03
110	Spinta terreno	Terreno - Attivo - Dir.Neg.	470	2000	30	0.00	0	0	--	--	--
110	Spinta sismica terreno SLV	Sisma terreno - Attivo - Dir.Neg.	470	2000	30	0.00	0	0	--	1.00	0.06
110	Spinta sismica terreno SLD	Sisma terreno - Attivo - Dir.Neg.	470	2000	30	0.00	0	0	--	1.00	0.03
111	Spinta terreno	Terreno - Attivo - Dir.Neg.	470	2000	30	0.00	0	0	--	--	--
111	Spinta sismica terreno SLV	Sisma terreno - Attivo - Dir.Neg.	470	2000	30	0.00	0	0	--	1.00	0.06
111	Spinta sismica terreno SLD	Sisma terreno - Attivo - Dir.Neg.	470	2000	30	0.00	0	0	--	1.00	0.03
112	Spinta terreno	Terreno - Attivo - Dir.Neg.	470	2000	30	0.00	0	0	--	--	--

**POTENZIAMENTO DELL'IMPIANTO DI DEPURAZIONE E
DEL RECAPITO FINALE DI SQUINZANO (LE)
PROGETTO DEFINITIVO
Tabulati di calcolo strutturale-Equalizzazione**

R.37.7

Maggio 2021

Pagina 23 di 338

Shel l	Cond.	Tipo	Ht	γ	\emptyset	c	δ	β	k0	β_m	Ag
112	Spinta sismica terreno SLV	Sisma terreno - Attivo - Dir.Neg.	470	2000	30	0.00	0	0	--	1.00	0.06
112	Spinta sismica terreno SLD	Sisma terreno - Attivo - Dir.Neg.	470	2000	30	0.00	0	0	--	1.00	0.03
113	Spinta terreno	Terreno - Attivo - Dir.Neg.	470	2000	30	0.00	0	0	--	--	--
113	Spinta sismica terreno SLV	Sisma terreno - Attivo - Dir.Neg.	470	2000	30	0.00	0	0	--	1.00	0.06
113	Spinta sismica terreno SLD	Sisma terreno - Attivo - Dir.Neg.	470	2000	30	0.00	0	0	--	1.00	0.03
114	Spinta terreno	Terreno - Attivo - Dir.Neg.	470	2000	30	0.00	0	0	--	--	--
114	Spinta sismica terreno SLV	Sisma terreno - Attivo - Dir.Neg.	470	2000	30	0.00	0	0	--	1.00	0.06
114	Spinta sismica terreno SLD	Sisma terreno - Attivo - Dir.Neg.	470	2000	30	0.00	0	0	--	1.00	0.03
115	Spinta terreno	Terreno - Attivo - Dir.Neg.	470	2000	30	0.00	0	0	--	--	--
115	Spinta sismica terreno SLV	Sisma terreno - Attivo - Dir.Neg.	470	2000	30	0.00	0	0	--	1.00	0.06
115	Spinta sismica terreno SLD	Sisma terreno - Attivo - Dir.Neg.	470	2000	30	0.00	0	0	--	1.00	0.03
116	Spinta terreno	Terreno - Attivo - Dir.Neg.	470	2000	30	0.00	0	0	--	--	--
116	Spinta sismica terreno SLV	Sisma terreno - Attivo - Dir.Neg.	470	2000	30	0.00	0	0	--	1.00	0.06
116	Spinta sismica terreno SLD	Sisma terreno - Attivo - Dir.Neg.	470	2000	30	0.00	0	0	--	1.00	0.03
117	Spinta terreno	Terreno - Attivo - Dir.Neg.	470	2000	30	0.00	0	0	--	--	--
117	Spinta sismica terreno SLV	Sisma terreno - Attivo - Dir.Neg.	470	2000	30	0.00	0	0	--	1.00	0.06
117	Spinta sismica terreno SLD	Sisma terreno - Attivo - Dir.Neg.	470	2000	30	0.00	0	0	--	1.00	0.03
118	Spinta terreno	Terreno - Attivo - Dir.Neg.	470	2000	30	0.00	0	0	--	--	--
118	Spinta sismica terreno SLV	Sisma terreno - Attivo - Dir.Neg.	470	2000	30	0.00	0	0	--	1.00	0.06
118	Spinta sismica terreno SLD	Sisma terreno - Attivo - Dir.Neg.	470	2000	30	0.00	0	0	--	1.00	0.03
119	Spinta terreno	Terreno - Attivo - Dir.Neg.	470	2000	30	0.00	0	0	--	--	--
119	Spinta sismica terreno SLV	Sisma terreno - Attivo - Dir.Neg.	470	2000	30	0.00	0	0	--	1.00	0.06
119	Spinta sismica terreno SLD	Sisma terreno - Attivo - Dir.Neg.	470	2000	30	0.00	0	0	--	1.00	0.03
120	Spinta terreno	Terreno - Attivo - Dir.Neg.	470	2000	30	0.00	0	0	--	--	--
120	Spinta sismica terreno SLV	Sisma terreno - Attivo - Dir.Neg.	470	2000	30	0.00	0	0	--	1.00	0.06
120	Spinta sismica terreno SLD	Sisma terreno - Attivo - Dir.Neg.	470	2000	30	0.00	0	0	--	1.00	0.03
121	Spinta terreno	Terreno - Attivo - Dir.Neg.	470	2000	30	0.00	0	0	--	--	--
121	Spinta sismica terreno SLV	Sisma terreno - Attivo - Dir.Neg.	470	2000	30	0.00	0	0	--	1.00	0.06
121	Spinta sismica terreno SLD	Sisma terreno - Attivo - Dir.Neg.	470	2000	30	0.00	0	0	--	1.00	0.03
122	Spinta terreno	Terreno - Attivo - Dir.Neg.	470	2000	30	0.00	0	0	--	--	--
122	Spinta sismica terreno SLV	Sisma terreno - Attivo - Dir.Neg.	470	2000	30	0.00	0	0	--	1.00	0.06
122	Spinta sismica terreno SLD	Sisma terreno - Attivo - Dir.Neg.	470	2000	30	0.00	0	0	--	1.00	0.03
123	Spinta terreno	Terreno - Attivo - Dir.Neg.	470	2000	30	0.00	0	0	--	--	--
123	Spinta sismica terreno SLV	Sisma terreno - Attivo - Dir.Neg.	470	2000	30	0.00	0	0	--	1.00	0.06
123	Spinta sismica terreno SLD	Sisma terreno - Attivo - Dir.Neg.	470	2000	30	0.00	0	0	--	1.00	0.03
124	Spinta terreno	Terreno - Attivo - Dir.Neg.	470	2000	30	0.00	0	0	--	--	--
124	Spinta sismica terreno SLV	Sisma terreno - Attivo - Dir.Neg.	470	2000	30	0.00	0	0	--	1.00	0.06
124	Spinta sismica terreno SLD	Sisma terreno - Attivo - Dir.Neg.	470	2000	30	0.00	0	0	--	1.00	0.03
125	Spinta terreno	Terreno - Attivo - Dir.Neg.	470	2000	30	0.00	0	0	--	--	--
125	Spinta sismica terreno SLV	Sisma terreno - Attivo - Dir.Neg.	470	2000	30	0.00	0	0	--	1.00	0.06
125	Spinta sismica terreno SLD	Sisma terreno - Attivo - Dir.Neg.	470	2000	30	0.00	0	0	--	1.00	0.03
126	Spinta terreno	Terreno - Attivo - Dir.Neg.	470	2000	30	0.00	0	0	--	--	--
126	Spinta sismica terreno SLV	Sisma terreno - Attivo - Dir.Neg.	470	2000	30	0.00	0	0	--	1.00	0.06

Shel l	Cond.	Tipo	Ht	γ	\varnothing	c	δ	β	k0	β_m	Ag
126	Spinta sismica terreno SLV	Sisma terreno - Attivo - Dir.Pos.	0	1900	30	0.00	0	0	--	0.40	0.06
126	Spinta sismica terreno SLD	Sisma terreno - Attivo - Dir.Neg.	470	2000	30	0.00	0	0	--	1.00	0.03
127	Spinta terreno	Terreno - Attivo - Dir.Neg.	470	2000	30	0.00	0	0	--	--	--
127	Spinta sismica terreno SLV	Sisma terreno - Attivo - Dir.Pos.	0	1900	30	0.00	0	0	--	0.40	0.06
127	Spinta sismica terreno SLV	Sisma terreno - Attivo - Dir.Neg.	470	2000	30	0.00	0	0	--	1.00	0.06
127	Spinta sismica terreno SLD	Sisma terreno - Attivo - Dir.Neg.	470	2000	30	0.00	0	0	--	1.00	0.03
128	Spinta terreno	Terreno - Attivo - Dir.Neg.	470	2000	30	0.00	0	0	--	--	--
128	Spinta sismica terreno SLV	Sisma terreno - Attivo - Dir.Neg.	470	2000	30	0.00	0	0	--	1.00	0.06
128	Spinta sismica terreno SLV	Sisma terreno - Attivo - Dir.Pos.	0	1900	30	0.00	0	0	--	0.40	0.06
128	Spinta sismica terreno SLD	Sisma terreno - Attivo - Dir.Neg.	470	2000	30	0.00	0	0	--	1.00	0.03
129	Spinta terreno	Terreno - Attivo - Dir.Neg.	470	2000	30	0.00	0	0	--	--	--
129	Spinta sismica terreno SLV	Sisma terreno - Attivo - Dir.Pos.	0	1900	30	0.00	0	0	--	0.40	0.06
129	Spinta sismica terreno SLV	Sisma terreno - Attivo - Dir.Neg.	470	2000	30	0.00	0	0	--	1.00	0.06
129	Spinta sismica terreno SLD	Sisma terreno - Attivo - Dir.Neg.	470	2000	30	0.00	0	0	--	1.00	0.03
130	Spinta terreno	Terreno - Attivo - Dir.Neg.	470	2000	30	0.00	0	0	--	--	--
130	Spinta sismica terreno SLV	Sisma terreno - Attivo - Dir.Neg.	470	2000	30	0.00	0	0	--	1.00	0.06
130	Spinta sismica terreno SLV	Sisma terreno - Attivo - Dir.Pos.	0	1900	30	0.00	0	0	--	0.40	0.06
130	Spinta sismica terreno SLD	Sisma terreno - Attivo - Dir.Neg.	470	2000	30	0.00	0	0	--	1.00	0.03
131	Spinta terreno	Terreno - Attivo - Dir.Neg.	470	2000	30	0.00	0	0	--	--	--
131	Spinta sismica terreno SLV	Sisma terreno - Attivo - Dir.Neg.	470	2000	30	0.00	0	0	--	1.00	0.06
131	Spinta sismica terreno SLV	Sisma terreno - Attivo - Dir.Pos.	0	1900	30	0.00	0	0	--	0.40	0.06
131	Spinta sismica terreno SLD	Sisma terreno - Attivo - Dir.Neg.	470	2000	30	0.00	0	0	--	1.00	0.03
132	Spinta terreno	Terreno - Attivo - Dir.Neg.	470	2000	30	0.00	0	0	--	--	--
132	Spinta sismica terreno SLV	Sisma terreno - Attivo - Dir.Pos.	0	1900	30	0.00	0	0	--	0.40	0.06
132	Spinta sismica terreno SLV	Sisma terreno - Attivo - Dir.Neg.	470	2000	30	0.00	0	0	--	1.00	0.06
132	Spinta sismica terreno SLD	Sisma terreno - Attivo - Dir.Neg.	470	2000	30	0.00	0	0	--	1.00	0.03
133	Spinta terreno	Terreno - Attivo - Dir.Neg.	470	2000	30	0.00	0	0	--	--	--
133	Spinta sismica terreno SLV	Sisma terreno - Attivo - Dir.Neg.	470	2000	30	0.00	0	0	--	1.00	0.06
133	Spinta sismica terreno SLV	Sisma terreno - Attivo - Dir.Pos.	0	1900	30	0.00	0	0	--	0.40	0.06
133	Spinta sismica terreno SLD	Sisma terreno - Attivo - Dir.Neg.	470	2000	30	0.00	0	0	--	1.00	0.03
134	Spinta terreno	Terreno - Attivo - Dir.Neg.	470	2000	30	0.00	0	0	--	--	--
134	Spinta sismica terreno SLV	Sisma terreno - Attivo - Dir.Neg.	470	2000	30	0.00	0	0	--	1.00	0.06
134	Spinta sismica terreno SLD	Sisma terreno - Attivo - Dir.Neg.	470	2000	30	0.00	0	0	--	1.00	0.03
135	Spinta terreno	Terreno - Attivo - Dir.Neg.	470	2000	30	0.00	0	0	--	--	--
135	Spinta sismica terreno SLV	Sisma terreno - Attivo - Dir.Neg.	470	2000	30	0.00	0	0	--	1.00	0.06
135	Spinta sismica terreno SLD	Sisma terreno - Attivo - Dir.Neg.	470	2000	30	0.00	0	0	--	1.00	0.03
136	Spinta terreno	Terreno - Attivo - Dir.Neg.	470	2000	30	0.00	0	0	--	--	--
136	Spinta sismica terreno SLV	Sisma terreno - Attivo - Dir.Neg.	470	2000	30	0.00	0	0	--	1.00	0.06
136	Spinta sismica terreno SLD	Sisma terreno - Attivo - Dir.Neg.	470	2000	30	0.00	0	0	--	1.00	0.03
137	Spinta terreno	Terreno - Attivo - Dir.Neg.	470	2000	30	0.00	0	0	--	--	--
137	Spinta sismica terreno SLV	Sisma terreno - Attivo - Dir.Neg.	470	2000	30	0.00	0	0	--	1.00	0.06
137	Spinta sismica terreno SLD	Sisma terreno - Attivo - Dir.Neg.	470	2000	30	0.00	0	0	--	1.00	0.03
138	Spinta terreno	Terreno - Attivo - Dir.Neg.	470	2000	30	0.00	0	0	--	--	--
138	Spinta sismica terreno SLV	Sisma terreno - Attivo - Dir.Neg.	470	2000	30	0.00	0	0	--	1.00	0.06

**POTENZIAMENTO DELL'IMPIANTO DI DEPURAZIONE E
DEL RECAPITO FINALE DI SQUINZANO (LE)
PROGETTO DEFINITIVO
Tabulati di calcolo strutturale-Equalizzazione**

R.37.7

Maggio 2021

Pagina 25 di 338

Shel l	Cond.	Tipo	Ht	γ	\emptyset	c	δ	β	k0	β_m	Ag
138	Spinta sismica terreno SLD	Sisma terreno - Attivo - Dir.Neg.	470	2000	30	0.00	0	0	--	1.00	0.03
139	Spinta terreno	Terreno - Attivo - Dir.Neg.	470	2000	30	0.00	0	0	--	--	--
139	Spinta sismica terreno SLV	Sisma terreno - Attivo - Dir.Neg.	470	2000	30	0.00	0	0	--	1.00	0.06
139	Spinta sismica terreno SLD	Sisma terreno - Attivo - Dir.Neg.	470	2000	30	0.00	0	0	--	1.00	0.03
140	Spinta terreno	Terreno - Attivo - Dir.Neg.	470	2000	30	0.00	0	0	--	--	--
140	Spinta sismica terreno SLV	Sisma terreno - Attivo - Dir.Neg.	470	2000	30	0.00	0	0	--	1.00	0.06
140	Spinta sismica terreno SLD	Sisma terreno - Attivo - Dir.Neg.	470	2000	30	0.00	0	0	--	1.00	0.03
141	Spinta terreno	Terreno - Attivo - Dir.Neg.	470	2000	30	0.00	0	0	--	--	--
141	Spinta sismica terreno SLV	Sisma terreno - Attivo - Dir.Neg.	470	2000	30	0.00	0	0	--	1.00	0.06
141	Spinta sismica terreno SLD	Sisma terreno - Attivo - Dir.Neg.	470	2000	30	0.00	0	0	--	1.00	0.03
142	Spinta terreno	Terreno - Attivo - Dir.Neg.	470	2000	30	0.00	0	0	--	--	--
142	Spinta sismica terreno SLV	Sisma terreno - Attivo - Dir.Neg.	470	2000	30	0.00	0	0	--	1.00	0.06
142	Spinta sismica terreno SLD	Sisma terreno - Attivo - Dir.Neg.	470	2000	30	0.00	0	0	--	1.00	0.03
143	Spinta terreno	Terreno - Attivo - Dir.Neg.	470	2000	30	0.00	0	0	--	--	--
143	Spinta sismica terreno SLV	Sisma terreno - Attivo - Dir.Neg.	470	2000	30	0.00	0	0	--	1.00	0.06
143	Spinta sismica terreno SLD	Sisma terreno - Attivo - Dir.Neg.	470	2000	30	0.00	0	0	--	1.00	0.03
144	Spinta terreno	Terreno - Attivo - Dir.Neg.	470	2000	30	0.00	0	0	--	--	--
144	Spinta sismica terreno SLV	Sisma terreno - Attivo - Dir.Neg.	470	2000	30	0.00	0	0	--	1.00	0.06
144	Spinta sismica terreno SLD	Sisma terreno - Attivo - Dir.Neg.	470	2000	30	0.00	0	0	--	1.00	0.03
145	Spinta terreno	Terreno - Attivo - Dir.Neg.	470	2000	30	0.00	0	0	--	--	--
145	Spinta sismica terreno SLV	Sisma terreno - Attivo - Dir.Neg.	470	2000	30	0.00	0	0	--	1.00	0.06
145	Spinta sismica terreno SLD	Sisma terreno - Attivo - Dir.Neg.	470	2000	30	0.00	0	0	--	1.00	0.03
146	Spinta terreno	Terreno - Attivo - Dir.Neg.	470	2000	30	0.00	0	0	--	--	--
146	Spinta sismica terreno SLV	Sisma terreno - Attivo - Dir.Neg.	470	2000	30	0.00	0	0	--	1.00	0.06
146	Spinta sismica terreno SLD	Sisma terreno - Attivo - Dir.Neg.	470	2000	30	0.00	0	0	--	1.00	0.03
147	Spinta terreno	Terreno - Attivo - Dir.Neg.	470	2000	30	0.00	0	0	--	--	--
147	Spinta sismica terreno SLV	Sisma terreno - Attivo - Dir.Neg.	470	2000	30	0.00	0	0	--	1.00	0.06
147	Spinta sismica terreno SLD	Sisma terreno - Attivo - Dir.Neg.	470	2000	30	0.00	0	0	--	1.00	0.03
148	Spinta terreno	Terreno - Attivo - Dir.Neg.	470	2000	30	0.00	0	0	--	--	--
148	Spinta sismica terreno SLV	Sisma terreno - Attivo - Dir.Neg.	470	2000	30	0.00	0	0	--	1.00	0.06
148	Spinta sismica terreno SLD	Sisma terreno - Attivo - Dir.Neg.	470	2000	30	0.00	0	0	--	1.00	0.03
149	Spinta terreno	Terreno - Attivo - Dir.Neg.	470	2000	30	0.00	0	0	--	--	--
149	Spinta sismica terreno SLV	Sisma terreno - Attivo - Dir.Neg.	470	2000	30	0.00	0	0	--	1.00	0.06
149	Spinta sismica terreno SLD	Sisma terreno - Attivo - Dir.Neg.	470	2000	30	0.00	0	0	--	1.00	0.03
150	Spinta terreno	Terreno - Attivo - Dir.Neg.	470	2000	30	0.00	0	0	--	--	--
150	Spinta sismica terreno SLV	Sisma terreno - Attivo - Dir.Neg.	470	2000	30	0.00	0	0	--	1.00	0.06
150	Spinta sismica terreno SLD	Sisma terreno - Attivo - Dir.Neg.	470	2000	30	0.00	0	0	--	1.00	0.03
151	Spinta terreno	Terreno - Attivo - Dir.Neg.	470	2000	30	0.00	0	0	--	--	--
151	Spinta sismica terreno SLV	Sisma terreno - Attivo - Dir.Neg.	470	2000	30	0.00	0	0	--	1.00	0.06
151	Spinta sismica terreno SLD	Sisma terreno - Attivo - Dir.Neg.	470	2000	30	0.00	0	0	--	1.00	0.03
152	Spinta terreno	Terreno - Attivo - Dir.Neg.	470	2000	30	0.00	0	0	--	--	--
152	Spinta sismica terreno SLV	Sisma terreno - Attivo - Dir.Neg.	470	2000	30	0.00	0	0	--	1.00	0.06
152	Spinta sismica terreno SLD	Sisma terreno - Attivo - Dir.Neg.	470	2000	30	0.00	0	0	--	1.00	0.03
153	Spinta terreno	Terreno - Attivo - Dir.Neg.	470	2000	30	0.00	0	0	--	--	--
153	Spinta sismica terreno SLV	Sisma terreno - Attivo - Dir.Neg.	470	2000	30	0.00	0	0	--	1.00	0.06
153	Spinta sismica terreno SLD	Sisma terreno - Attivo - Dir.Neg.	470	2000	30	0.00	0	0	--	1.00	0.03

Shel l	Cond.	Tipo	Ht	γ	\emptyset	c	δ	β	k0	β_m	Ag
154	Spinta terreno	Terreno - Attivo - Dir.Neg.	470	2000	30	0.00	0	0	--	--	--
154	Spinta sismica terreno SLV	Sisma terreno - Attivo - Dir.Neg.	470	2000	30	0.00	0	0	--	1.00	0.06
154	Spinta sismica terreno SLV	Sisma terreno - Attivo - Dir.Pos.	0	1900	30	0.00	0	0	--	0.40	0.06
154	Spinta sismica terreno SLD	Sisma terreno - Attivo - Dir.Neg.	470	2000	30	0.00	0	0	--	1.00	0.03
155	Spinta terreno	Terreno - Attivo - Dir.Neg.	470	2000	30	0.00	0	0	--	--	--
155	Spinta sismica terreno SLV	Sisma terreno - Attivo - Dir.Neg.	470	2000	30	0.00	0	0	--	1.00	0.06
155	Spinta sismica terreno SLD	Sisma terreno - Attivo - Dir.Neg.	470	2000	30	0.00	0	0	--	1.00	0.03
156	Spinta terreno	Terreno - Attivo - Dir.Neg.	470	2000	30	0.00	0	0	--	--	--
156	Spinta sismica terreno SLV	Sisma terreno - Attivo - Dir.Neg.	470	2000	30	0.00	0	0	--	1.00	0.06
156	Spinta sismica terreno SLV	Sisma terreno - Attivo - Dir.Pos.	0	1900	30	0.00	0	0	--	0.40	0.06
156	Spinta sismica terreno SLD	Sisma terreno - Attivo - Dir.Neg.	470	2000	30	0.00	0	0	--	1.00	0.03
157	Spinta terreno	Terreno - Attivo - Dir.Neg.	470	2000	30	0.00	0	0	--	--	--
157	Spinta sismica terreno SLV	Sisma terreno - Attivo - Dir.Neg.	470	2000	30	0.00	0	0	--	1.00	0.06
157	Spinta sismica terreno SLV	Sisma terreno - Attivo - Dir.Pos.	0	1900	30	0.00	0	0	--	0.40	0.06
157	Spinta sismica terreno SLD	Sisma terreno - Attivo - Dir.Neg.	470	2000	30	0.00	0	0	--	1.00	0.03
158	Spinta terreno	Terreno - Attivo - Dir.Neg.	470	2000	30	0.00	0	0	--	--	--
158	Spinta sismica terreno SLV	Sisma terreno - Attivo - Dir.Neg.	470	2000	30	0.00	0	0	--	1.00	0.06
158	Spinta sismica terreno SLD	Sisma terreno - Attivo - Dir.Neg.	470	2000	30	0.00	0	0	--	1.00	0.03
159	Spinta terreno	Terreno - Attivo - Dir.Neg.	470	2000	30	0.00	0	0	--	--	--
159	Spinta sismica terreno SLV	Sisma terreno - Attivo - Dir.Neg.	470	2000	30	0.00	0	0	--	1.00	0.06
159	Spinta sismica terreno SLD	Sisma terreno - Attivo - Dir.Neg.	470	2000	30	0.00	0	0	--	1.00	0.03
160	Spinta terreno	Terreno - Attivo - Dir.Neg.	470	2000	30	0.00	0	0	--	--	--
160	Spinta sismica terreno SLV	Sisma terreno - Attivo - Dir.Neg.	470	2000	30	0.00	0	0	--	1.00	0.06
160	Spinta sismica terreno SLD	Sisma terreno - Attivo - Dir.Neg.	470	2000	30	0.00	0	0	--	1.00	0.03
161	Spinta terreno	Terreno - Attivo - Dir.Neg.	470	2000	30	0.00	0	0	--	--	--
161	Spinta sismica terreno SLV	Sisma terreno - Attivo - Dir.Pos.	0	1900	30	0.00	0	0	--	0.40	0.06
161	Spinta sismica terreno SLV	Sisma terreno - Attivo - Dir.Neg.	470	2000	30	0.00	0	0	--	1.00	0.06
161	Spinta sismica terreno SLD	Sisma terreno - Attivo - Dir.Neg.	470	2000	30	0.00	0	0	--	1.00	0.03
162	Spinta terreno	Terreno - Attivo - Dir.Neg.	470	2000	30	0.00	0	0	--	--	--
162	Spinta sismica terreno SLV	Sisma terreno - Attivo - Dir.Pos.	0	1900	30	0.00	0	0	--	0.40	0.06
162	Spinta sismica terreno SLV	Sisma terreno - Attivo - Dir.Neg.	470	2000	30	0.00	0	0	--	1.00	0.06
162	Spinta sismica terreno SLD	Sisma terreno - Attivo - Dir.Neg.	470	2000	30	0.00	0	0	--	1.00	0.03
163	Spinta terreno	Terreno - Attivo - Dir.Neg.	470	2000	30	0.00	0	0	--	--	--
163	Spinta sismica terreno SLV	Sisma terreno - Attivo - Dir.Neg.	470	2000	30	0.00	0	0	--	1.00	0.06
163	Spinta sismica terreno SLD	Sisma terreno - Attivo - Dir.Neg.	470	2000	30	0.00	0	0	--	1.00	0.03
164	Spinta terreno	Terreno - Attivo - Dir.Neg.	470	2000	30	0.00	0	0	--	--	--
164	Spinta sismica terreno SLV	Sisma terreno - Attivo - Dir.Neg.	470	2000	30	0.00	0	0	--	1.00	0.06
164	Spinta sismica terreno SLV	Sisma terreno - Attivo - Dir.Pos.	0	1900	30	0.00	0	0	--	0.40	0.06
164	Spinta sismica terreno SLD	Sisma terreno - Attivo - Dir.Neg.	470	2000	30	0.00	0	0	--	1.00	0.03
165	Spinta terreno	Terreno - Attivo - Dir.Neg.	470	2000	30	0.00	0	0	--	--	--
165	Spinta sismica terreno SLV	Sisma terreno - Attivo - Dir.Neg.	470	2000	30	0.00	0	0	--	1.00	0.06
165	Spinta sismica terreno SLD	Sisma terreno - Attivo - Dir.Neg.	470	2000	30	0.00	0	0	--	1.00	0.03
166	Spinta terreno	Terreno - Attivo - Dir.Neg.	470	2000	30	0.00	0	0	--	--	--
166	Spinta sismica terreno SLV	Sisma terreno - Attivo - Dir.Neg.	470	2000	30	0.00	0	0	--	1.00	0.06
166	Spinta sismica terreno SLD	Sisma terreno - Attivo - Dir.Neg.	470	2000	30	0.00	0	0	--	1.00	0.03

**POTENZIAMENTO DELL'IMPIANTO DI DEPURAZIONE E
DEL RECAPITO FINALE DI SQUINZANO (LE)
PROGETTO DEFINITIVO
Tabulati di calcolo strutturale-Equalizzazione**

R.37.7

Maggio 2021

Pagina 27 di 338

Shel l	Cond.	Tipo	Ht	γ	\emptyset	c	δ	β	k0	β_m	Ag
167	Spinta terreno	Terreno - Attivo - Dir.Neg.	470	2000	30	0.00	0	0	--	--	--
167	Spinta sismica terreno SLV	Sisma terreno - Attivo - Dir.Neg.	470	2000	30	0.00	0	0	--	1.00	0.06
167	Spinta sismica terreno SLD	Sisma terreno - Attivo - Dir.Neg.	470	2000	30	0.00	0	0	--	1.00	0.03
168	Spinta terreno	Terreno - Attivo - Dir.Neg.	470	2000	30	0.00	0	0	--	--	--
168	Spinta sismica terreno SLV	Sisma terreno - Attivo - Dir.Pos.	0	1900	30	0.00	0	0	--	0.40	0.06
168	Spinta sismica terreno SLV	Sisma terreno - Attivo - Dir.Neg.	470	2000	30	0.00	0	0	--	1.00	0.06
168	Spinta sismica terreno SLD	Sisma terreno - Attivo - Dir.Neg.	470	2000	30	0.00	0	0	--	1.00	0.03
169	Spinta terreno	Terreno - Attivo - Dir.Neg.	470	2000	30	0.00	0	0	--	--	--
169	Spinta sismica terreno SLV	Sisma terreno - Attivo - Dir.Pos.	0	1900	30	0.00	0	0	--	0.40	0.06
169	Spinta sismica terreno SLV	Sisma terreno - Attivo - Dir.Neg.	470	2000	30	0.00	0	0	--	1.00	0.06
169	Spinta sismica terreno SLD	Sisma terreno - Attivo - Dir.Neg.	470	2000	30	0.00	0	0	--	1.00	0.03
170	Spinta terreno	Terreno - Attivo - Dir.Neg.	470	2000	30	0.00	0	0	--	--	--
170	Spinta sismica terreno SLV	Sisma terreno - Attivo - Dir.Neg.	470	2000	30	0.00	0	0	--	1.00	0.06
170	Spinta sismica terreno SLD	Sisma terreno - Attivo - Dir.Neg.	470	2000	30	0.00	0	0	--	1.00	0.03
171	Spinta terreno	Terreno - Attivo - Dir.Neg.	470	2000	30	0.00	0	0	--	--	--
171	Spinta sismica terreno SLV	Sisma terreno - Attivo - Dir.Neg.	470	2000	30	0.00	0	0	--	1.00	0.06
171	Spinta sismica terreno SLD	Sisma terreno - Attivo - Dir.Neg.	470	2000	30	0.00	0	0	--	1.00	0.03
172	Spinta terreno	Terreno - Attivo - Dir.Neg.	470	2000	30	0.00	0	0	--	--	--
172	Spinta sismica terreno SLV	Sisma terreno - Attivo - Dir.Pos.	0	1900	30	0.00	0	0	--	0.40	0.06
172	Spinta sismica terreno SLV	Sisma terreno - Attivo - Dir.Neg.	470	2000	30	0.00	0	0	--	1.00	0.06
172	Spinta sismica terreno SLD	Sisma terreno - Attivo - Dir.Neg.	470	2000	30	0.00	0	0	--	1.00	0.03
173	Spinta terreno	Terreno - Attivo - Dir.Neg.	470	2000	30	0.00	0	0	--	--	--
173	Spinta sismica terreno SLV	Sisma terreno - Attivo - Dir.Neg.	470	2000	30	0.00	0	0	--	1.00	0.06
173	Spinta sismica terreno SLV	Sisma terreno - Attivo - Dir.Pos.	0	1900	30	0.00	0	0	--	0.40	0.06
173	Spinta sismica terreno SLD	Sisma terreno - Attivo - Dir.Neg.	470	2000	30	0.00	0	0	--	1.00	0.03
174	Spinta terreno	Terreno - Attivo - Dir.Neg.	470	2000	30	0.00	0	0	--	--	--
174	Spinta sismica terreno SLV	Sisma terreno - Attivo - Dir.Neg.	470	2000	30	0.00	0	0	--	1.00	0.06
174	Spinta sismica terreno SLD	Sisma terreno - Attivo - Dir.Neg.	470	2000	30	0.00	0	0	--	1.00	0.03
175	Spinta terreno	Terreno - Attivo - Dir.Neg.	470	2000	30	0.00	0	0	--	--	--
175	Spinta sismica terreno SLV	Sisma terreno - Attivo - Dir.Neg.	470	2000	30	0.00	0	0	--	1.00	0.06
175	Spinta sismica terreno SLV	Sisma terreno - Attivo - Dir.Pos.	0	1900	30	0.00	0	0	--	0.40	0.06
175	Spinta sismica terreno SLD	Sisma terreno - Attivo - Dir.Neg.	470	2000	30	0.00	0	0	--	1.00	0.03
176	Spinta terreno	Terreno - Attivo - Dir.Neg.	470	2000	30	0.00	0	0	--	--	--
176	Spinta sismica terreno SLV	Sisma terreno - Attivo - Dir.Neg.	470	2000	30	0.00	0	0	--	1.00	0.06
176	Spinta sismica terreno SLD	Sisma terreno - Attivo - Dir.Neg.	470	2000	30	0.00	0	0	--	1.00	0.03
177	Spinta terreno	Terreno - Attivo - Dir.Neg.	470	2000	30	0.00	0	0	--	--	--
177	Spinta sismica terreno SLV	Sisma terreno - Attivo - Dir.Neg.	470	2000	30	0.00	0	0	--	1.00	0.06
177	Spinta sismica terreno SLD	Sisma terreno - Attivo - Dir.Neg.	470	2000	30	0.00	0	0	--	1.00	0.03
178	Spinta terreno	Terreno - Attivo - Dir.Neg.	470	2000	30	0.00	0	0	--	--	--
178	Spinta sismica terreno SLV	Sisma terreno - Attivo - Dir.Neg.	470	2000	30	0.00	0	0	--	1.00	0.06
178	Spinta sismica terreno SLV	Sisma terreno - Attivo - Dir.Pos.	0	1900	30	0.00	0	0	--	0.40	0.06
178	Spinta sismica terreno SLD	Sisma terreno - Attivo - Dir.Neg.	470	2000	30	0.00	0	0	--	1.00	0.03
179	Spinta terreno	Terreno - Attivo - Dir.Neg.	470	2000	30	0.00	0	0	--	--	--
179	Spinta sismica terreno SLV	Sisma terreno - Attivo - Dir.Neg.	470	2000	30	0.00	0	0	--	1.00	0.06
179	Spinta sismica terreno SLD	Sisma terreno - Attivo - Dir.Neg.	470	2000	30	0.00	0	0	--	1.00	0.03

Shel l	Cond.	Tipo	Ht	γ	\emptyset	c	δ	β	k0	β_m	Ag
180	Spinta terreno	Terreno - Attivo - Dir.Neg.	470	2000	30	0.00	0	0	--	--	--
180	Spinta sismica terreno SLV	Sisma terreno - Attivo - Dir.Neg.	470	2000	30	0.00	0	0	--	1.00	0.06
180	Spinta sismica terreno SLV	Sisma terreno - Attivo - Dir.Pos.	0	1900	30	0.00	0	0	--	0.40	0.06
180	Spinta sismica terreno SLD	Sisma terreno - Attivo - Dir.Neg.	470	2000	30	0.00	0	0	--	1.00	0.03
181	Spinta terreno	Terreno - Attivo - Dir.Neg.	470	2000	30	0.00	0	0	--	--	--
181	Spinta sismica terreno SLV	Sisma terreno - Attivo - Dir.Neg.	470	2000	30	0.00	0	0	--	1.00	0.06
181	Spinta sismica terreno SLD	Sisma terreno - Attivo - Dir.Neg.	470	2000	30	0.00	0	0	--	1.00	0.03
182	Spinta terreno	Terreno - Attivo - Dir.Neg.	470	2000	30	0.00	0	0	--	--	--
182	Spinta sismica terreno SLV	Sisma terreno - Attivo - Dir.Neg.	470	2000	30	0.00	0	0	--	1.00	0.06
182	Spinta sismica terreno SLD	Sisma terreno - Attivo - Dir.Neg.	470	2000	30	0.00	0	0	--	1.00	0.03
183	Spinta terreno	Terreno - Attivo - Dir.Neg.	470	2000	30	0.00	0	0	--	--	--
183	Spinta sismica terreno SLV	Sisma terreno - Attivo - Dir.Neg.	470	2000	30	0.00	0	0	--	1.00	0.06
183	Spinta sismica terreno SLD	Sisma terreno - Attivo - Dir.Neg.	470	2000	30	0.00	0	0	--	1.00	0.03
184	Spinta terreno	Terreno - Attivo - Dir.Neg.	470	2000	30	0.00	0	0	--	--	--
184	Spinta sismica terreno SLV	Sisma terreno - Attivo - Dir.Neg.	470	2000	30	0.00	0	0	--	1.00	0.06
184	Spinta sismica terreno SLD	Sisma terreno - Attivo - Dir.Neg.	470	2000	30	0.00	0	0	--	1.00	0.03
185	Spinta terreno	Terreno - Attivo - Dir.Neg.	470	2000	30	0.00	0	0	--	--	--
185	Spinta sismica terreno SLV	Sisma terreno - Attivo - Dir.Neg.	470	2000	30	0.00	0	0	--	1.00	0.06
185	Spinta sismica terreno SLD	Sisma terreno - Attivo - Dir.Neg.	470	2000	30	0.00	0	0	--	1.00	0.03
186	Spinta terreno	Terreno - Attivo - Dir.Neg.	470	2000	30	0.00	0	0	--	--	--
186	Spinta sismica terreno SLV	Sisma terreno - Attivo - Dir.Neg.	470	2000	30	0.00	0	0	--	1.00	0.06
186	Spinta sismica terreno SLD	Sisma terreno - Attivo - Dir.Neg.	470	2000	30	0.00	0	0	--	1.00	0.03
187	Spinta terreno	Terreno - Attivo - Dir.Neg.	470	2000	30	0.00	0	0	--	--	--
187	Spinta sismica terreno SLV	Sisma terreno - Attivo - Dir.Neg.	470	2000	30	0.00	0	0	--	1.00	0.06
187	Spinta sismica terreno SLD	Sisma terreno - Attivo - Dir.Neg.	470	2000	30	0.00	0	0	--	1.00	0.03
188	Spinta terreno	Terreno - Attivo - Dir.Neg.	470	2000	30	0.00	0	0	--	--	--
188	Spinta sismica terreno SLV	Sisma terreno - Attivo - Dir.Neg.	470	2000	30	0.00	0	0	--	1.00	0.06
188	Spinta sismica terreno SLD	Sisma terreno - Attivo - Dir.Neg.	470	2000	30	0.00	0	0	--	1.00	0.03
189	Spinta terreno	Terreno - Attivo - Dir.Neg.	470	2000	30	0.00	0	0	--	--	--
189	Spinta sismica terreno SLV	Sisma terreno - Attivo - Dir.Neg.	470	2000	30	0.00	0	0	--	1.00	0.06
189	Spinta sismica terreno SLD	Sisma terreno - Attivo - Dir.Neg.	470	2000	30	0.00	0	0	--	1.00	0.03
190	Spinta terreno	Terreno - Attivo - Dir.Neg.	470	2000	30	0.00	0	0	--	--	--
190	Spinta sismica terreno SLV	Sisma terreno - Attivo - Dir.Neg.	470	2000	30	0.00	0	0	--	1.00	0.06
190	Spinta sismica terreno SLD	Sisma terreno - Attivo - Dir.Neg.	470	2000	30	0.00	0	0	--	1.00	0.03
191	Spinta terreno	Terreno - Attivo - Dir.Neg.	470	2000	30	0.00	0	0	--	--	--
191	Spinta sismica terreno SLV	Sisma terreno - Attivo - Dir.Neg.	470	2000	30	0.00	0	0	--	1.00	0.06
191	Spinta sismica terreno SLD	Sisma terreno - Attivo - Dir.Neg.	470	2000	30	0.00	0	0	--	1.00	0.03
192	Spinta terreno	Terreno - Attivo - Dir.Neg.	470	2000	30	0.00	0	0	--	--	--
192	Spinta sismica terreno SLV	Sisma terreno - Attivo - Dir.Neg.	470	2000	30	0.00	0	0	--	1.00	0.06
192	Spinta sismica terreno SLD	Sisma terreno - Attivo - Dir.Neg.	470	2000	30	0.00	0	0	--	1.00	0.03
193	Spinta terreno	Terreno - Attivo - Dir.Neg.	470	2000	30	0.00	0	0	--	--	--
193	Spinta sismica terreno SLV	Sisma terreno - Attivo - Dir.Neg.	470	2000	30	0.00	0	0	--	1.00	0.06
193	Spinta sismica terreno SLD	Sisma terreno - Attivo - Dir.Neg.	470	2000	30	0.00	0	0	--	1.00	0.03
194	Spinta terreno	Terreno - Attivo - Dir.Neg.	470	2000	30	0.00	0	0	--	--	--
194	Spinta sismica terreno SLV	Sisma terreno - Attivo - Dir.Neg.	470	2000	30	0.00	0	0	--	1.00	0.06
194	Spinta sismica terreno SLD	Sisma terreno - Attivo - Dir.Neg.	470	2000	30	0.00	0	0	--	1.00	0.03

**POTENZIAMENTO DELL'IMPIANTO DI DEPURAZIONE E
DEL RECAPITO FINALE DI SQUINZANO (LE)
PROGETTO DEFINITIVO
Tabulati di calcolo strutturale-Equalizzazione**

R.37.7

Maggio 2021

Pagina 29 di 338

Shel l	Cond.	Tipo	Ht	γ	\emptyset	c	δ	β	k0	β_m	Ag
195	Spinta terreno	Terreno - Attivo - Dir.Neg.	470	2000	30	0.00	0	0	--	--	--
195	Spinta sismica terreno SLV	Sisma terreno - Attivo - Dir.Neg.	470	2000	30	0.00	0	0	--	1.00	0.06
195	Spinta sismica terreno SLD	Sisma terreno - Attivo - Dir.Neg.	470	2000	30	0.00	0	0	--	1.00	0.03
196	Spinta terreno	Terreno - Attivo - Dir.Neg.	470	2000	30	0.00	0	0	--	--	--
196	Spinta sismica terreno SLV	Sisma terreno - Attivo - Dir.Neg.	470	2000	30	0.00	0	0	--	1.00	0.06
196	Spinta sismica terreno SLD	Sisma terreno - Attivo - Dir.Neg.	470	2000	30	0.00	0	0	--	1.00	0.03
197	Spinta terreno	Terreno - Attivo - Dir.Neg.	470	2000	30	0.00	0	0	--	--	--
197	Spinta sismica terreno SLV	Sisma terreno - Attivo - Dir.Neg.	470	2000	30	0.00	0	0	--	1.00	0.06
197	Spinta sismica terreno SLD	Sisma terreno - Attivo - Dir.Neg.	470	2000	30	0.00	0	0	--	1.00	0.03
198	Spinta terreno	Terreno - Attivo - Dir.Neg.	470	2000	30	0.00	0	0	--	--	--
198	Spinta sismica terreno SLV	Sisma terreno - Attivo - Dir.Neg.	470	2000	30	0.00	0	0	--	1.00	0.06
198	Spinta sismica terreno SLD	Sisma terreno - Attivo - Dir.Neg.	470	2000	30	0.00	0	0	--	1.00	0.03
199	Spinta terreno	Terreno - Attivo - Dir.Neg.	470	2000	30	0.00	0	0	--	--	--
199	Spinta sismica terreno SLV	Sisma terreno - Attivo - Dir.Neg.	470	2000	30	0.00	0	0	--	1.00	0.06
199	Spinta sismica terreno SLD	Sisma terreno - Attivo - Dir.Neg.	470	2000	30	0.00	0	0	--	1.00	0.03
200	Spinta terreno	Terreno - Attivo - Dir.Neg.	470	2000	30	0.00	0	0	--	--	--
200	Spinta sismica terreno SLV	Sisma terreno - Attivo - Dir.Neg.	470	2000	30	0.00	0	0	--	1.00	0.06
200	Spinta sismica terreno SLD	Sisma terreno - Attivo - Dir.Neg.	470	2000	30	0.00	0	0	--	1.00	0.03
201	Spinta terreno	Terreno - Attivo - Dir.Neg.	470	2000	30	0.00	0	0	--	--	--
201	Spinta sismica terreno SLV	Sisma terreno - Attivo - Dir.Neg.	470	2000	30	0.00	0	0	--	1.00	0.06
201	Spinta sismica terreno SLD	Sisma terreno - Attivo - Dir.Neg.	470	2000	30	0.00	0	0	--	1.00	0.03
202	Spinta terreno	Terreno - Attivo - Dir.Neg.	470	2000	30	0.00	0	0	--	--	--
202	Spinta sismica terreno SLV	Sisma terreno - Attivo - Dir.Neg.	470	2000	30	0.00	0	0	--	1.00	0.06
202	Spinta sismica terreno SLD	Sisma terreno - Attivo - Dir.Neg.	470	2000	30	0.00	0	0	--	1.00	0.03
203	Spinta terreno	Terreno - Attivo - Dir.Neg.	470	2000	30	0.00	0	0	--	--	--
203	Spinta sismica terreno SLV	Sisma terreno - Attivo - Dir.Pos.	0	1900	30	0.00	0	0	--	0.40	0.06
203	Spinta sismica terreno SLD	Sisma terreno - Attivo - Dir.Neg.	470	2000	30	0.00	0	0	--	1.00	0.03
204	Spinta terreno	Terreno - Attivo - Dir.Neg.	470	2000	30	0.00	0	0	--	--	--
204	Spinta sismica terreno SLV	Sisma terreno - Attivo - Dir.Neg.	470	2000	30	0.00	0	0	--	1.00	0.06
204	Spinta sismica terreno SLV	Sisma terreno - Attivo - Dir.Pos.	0	1900	30	0.00	0	0	--	0.40	0.06
204	Spinta sismica terreno SLD	Sisma terreno - Attivo - Dir.Neg.	470	2000	30	0.00	0	0	--	1.00	0.03
205	Spinta terreno	Terreno - Attivo - Dir.Neg.	470	2000	30	0.00	0	0	--	--	--
205	Spinta sismica terreno SLV	Sisma terreno - Attivo - Dir.Pos.	0	1900	30	0.00	0	0	--	0.40	0.06
205	Spinta sismica terreno SLV	Sisma terreno - Attivo - Dir.Neg.	470	2000	30	0.00	0	0	--	1.00	0.06
205	Spinta sismica terreno SLD	Sisma terreno - Attivo - Dir.Neg.	470	2000	30	0.00	0	0	--	1.00	0.03
206	Spinta terreno	Terreno - Attivo - Dir.Neg.	470	2000	30	0.00	0	0	--	--	--
206	Spinta sismica terreno SLV	Sisma terreno - Attivo - Dir.Pos.	0	1900	30	0.00	0	0	--	0.40	0.06
206	Spinta sismica terreno SLV	Sisma terreno - Attivo - Dir.Neg.	470	2000	30	0.00	0	0	--	1.00	0.06
206	Spinta sismica terreno SLD	Sisma terreno - Attivo - Dir.Neg.	470	2000	30	0.00	0	0	--	1.00	0.03
207	Spinta terreno	Terreno - Attivo - Dir.Neg.	470	2000	30	0.00	0	0	--	--	--
207	Spinta sismica terreno SLV	Sisma terreno - Attivo - Dir.Pos.	0	1900	30	0.00	0	0	--	0.40	0.06
207	Spinta sismica terreno SLV	Sisma terreno - Attivo - Dir.Neg.	470	2000	30	0.00	0	0	--	1.00	0.06
207	Spinta sismica terreno SLD	Sisma terreno - Attivo - Dir.Neg.	470	2000	30	0.00	0	0	--	1.00	0.03
208	Spinta terreno	Terreno - Attivo - Dir.Neg.	470	2000	30	0.00	0	0	--	--	--

**POTENZIAMENTO DELL'IMPIANTO DI DEPURAZIONE E
DEL RECAPITO FINALE DI SQUINZANO (LE)
PROGETTO DEFINITIVO
Tabulati di calcolo strutturale-Equalizzazione**

R.37.7

Maggio 2021

Pagina 30 di 338

Shel l	Cond.	Tipo	Ht	γ	ϕ	c	δ	β	k0	β_m	Ag
208	Spinta sismica terreno SLV	Sisma terreno - Attivo - Dir.Neg.	470	2000	30	0.00	0	0	--	1.00	0.06
208	Spinta sismica terreno SLV	Sisma terreno - Attivo - Dir.Pos.	0	1900	30	0.00	0	0	--	0.40	0.06
208	Spinta sismica terreno SLD	Sisma terreno - Attivo - Dir.Neg.	470	2000	30	0.00	0	0	--	1.00	0.03
209	Spinta terreno	Terreno - Attivo - Dir.Neg.	470	2000	30	0.00	0	0	--	--	--
209	Spinta sismica terreno SLV	Sisma terreno - Attivo - Dir.Neg.	470	2000	30	0.00	0	0	--	1.00	0.06
209	Spinta sismica terreno SLV	Sisma terreno - Attivo - Dir.Pos.	0	1900	30	0.00	0	0	--	0.40	0.06
209	Spinta sismica terreno SLD	Sisma terreno - Attivo - Dir.Neg.	470	2000	30	0.00	0	0	--	1.00	0.03
210	Spinta terreno	Terreno - Attivo - Dir.Neg.	470	2000	30	0.00	0	0	--	--	--
210	Spinta sismica terreno SLV	Sisma terreno - Attivo - Dir.Pos.	0	1900	30	0.00	0	0	--	0.40	0.06
210	Spinta sismica terreno SLV	Sisma terreno - Attivo - Dir.Neg.	470	2000	30	0.00	0	0	--	1.00	0.06
210	Spinta sismica terreno SLD	Sisma terreno - Attivo - Dir.Neg.	470	2000	30	0.00	0	0	--	1.00	0.03
211	Spinta terreno	Terreno - Attivo - Dir.Neg.	470	2000	30	0.00	0	0	--	--	--
211	Spinta sismica terreno SLV	Sisma terreno - Attivo - Dir.Pos.	0	1900	30	0.00	0	0	--	0.40	0.06
211	Spinta sismica terreno SLV	Sisma terreno - Attivo - Dir.Neg.	470	2000	30	0.00	0	0	--	1.00	0.06
211	Spinta sismica terreno SLD	Sisma terreno - Attivo - Dir.Neg.	470	2000	30	0.00	0	0	--	1.00	0.03
212	Spinta terreno	Terreno - Attivo - Dir.Neg.	470	2000	30	0.00	0	0	--	--	--
212	Spinta sismica terreno SLV	Sisma terreno - Attivo - Dir.Pos.	0	1900	30	0.00	0	0	--	0.40	0.06
212	Spinta sismica terreno SLV	Sisma terreno - Attivo - Dir.Neg.	470	2000	30	0.00	0	0	--	1.00	0.06
212	Spinta sismica terreno SLD	Sisma terreno - Attivo - Dir.Neg.	470	2000	30	0.00	0	0	--	1.00	0.03
213	Spinta terreno	Terreno - Attivo - Dir.Neg.	470	2000	30	0.00	0	0	--	--	--
213	Spinta sismica terreno SLV	Sisma terreno - Attivo - Dir.Neg.	470	2000	30	0.00	0	0	--	1.00	0.06
213	Spinta sismica terreno SLD	Sisma terreno - Attivo - Dir.Neg.	470	2000	30	0.00	0	0	--	1.00	0.03
214	Spinta terreno	Terreno - Attivo - Dir.Neg.	470	2000	30	0.00	0	0	--	--	--
214	Spinta sismica terreno SLV	Sisma terreno - Attivo - Dir.Neg.	470	2000	30	0.00	0	0	--	1.00	0.06
214	Spinta sismica terreno SLD	Sisma terreno - Attivo - Dir.Neg.	470	2000	30	0.00	0	0	--	1.00	0.03
215	Spinta terreno	Terreno - Attivo - Dir.Neg.	470	2000	30	0.00	0	0	--	--	--
215	Spinta sismica terreno SLV	Sisma terreno - Attivo - Dir.Neg.	470	2000	30	0.00	0	0	--	1.00	0.06
215	Spinta sismica terreno SLD	Sisma terreno - Attivo - Dir.Neg.	470	2000	30	0.00	0	0	--	1.00	0.03
216	Spinta terreno	Terreno - Attivo - Dir.Neg.	470	2000	30	0.00	0	0	--	--	--
216	Spinta sismica terreno SLV	Sisma terreno - Attivo - Dir.Neg.	470	2000	30	0.00	0	0	--	1.00	0.06
216	Spinta sismica terreno SLD	Sisma terreno - Attivo - Dir.Neg.	470	2000	30	0.00	0	0	--	1.00	0.03
217	Spinta terreno	Terreno - Attivo - Dir.Neg.	470	2000	30	0.00	0	0	--	--	--
217	Spinta sismica terreno SLV	Sisma terreno - Attivo - Dir.Neg.	470	2000	30	0.00	0	0	--	1.00	0.06
217	Spinta sismica terreno SLD	Sisma terreno - Attivo - Dir.Neg.	470	2000	30	0.00	0	0	--	1.00	0.03
218	Spinta terreno	Terreno - Attivo - Dir.Neg.	470	2000	30	0.00	0	0	--	--	--
218	Spinta sismica terreno SLV	Sisma terreno - Attivo - Dir.Neg.	470	2000	30	0.00	0	0	--	1.00	0.06
218	Spinta sismica terreno SLD	Sisma terreno - Attivo - Dir.Neg.	470	2000	30	0.00	0	0	--	1.00	0.03
219	Spinta terreno	Terreno - Attivo - Dir.Neg.	470	2000	30	0.00	0	0	--	--	--
219	Spinta sismica terreno SLV	Sisma terreno - Attivo - Dir.Neg.	470	2000	30	0.00	0	0	--	1.00	0.06
219	Spinta sismica terreno SLD	Sisma terreno - Attivo - Dir.Neg.	470	2000	30	0.00	0	0	--	1.00	0.03
220	Spinta terreno	Terreno - Attivo - Dir.Neg.	470	2000	30	0.00	0	0	--	--	--
220	Spinta sismica terreno SLV	Sisma terreno - Attivo - Dir.Neg.	470	2000	30	0.00	0	0	--	1.00	0.06
220	Spinta sismica terreno SLD	Sisma terreno - Attivo - Dir.Neg.	470	2000	30	0.00	0	0	--	1.00	0.03
221	Spinta terreno	Terreno - Attivo - Dir.Neg.	470	2000	30	0.00	0	0	--	--	--
221	Spinta sismica terreno SLV	Sisma terreno - Attivo - Dir.Neg.	470	2000	30	0.00	0	0	--	1.00	0.06

**POTENZIAMENTO DELL'IMPIANTO DI DEPURAZIONE E
DEL RECAPITO FINALE DI SQUINZANO (LE)
PROGETTO DEFINITIVO
Tabulati di calcolo strutturale-Equalizzazione**

R.37.7

Maggio 2021

Pagina 31 di 338

Shel 1	Cond.	Tipo	Ht	γ	\emptyset	c	δ	β	k0	β_m	Ag
221	Spinta sismica terreno SLD	Sisma terreno - Attivo - Dir.Neg.	470	2000	30	0.00	0	0	--	1.00	0.03
222	Spinta terreno	Terreno - Attivo - Dir.Neg.	470	2000	30	0.00	0	0	--	--	--
222	Spinta sismica terreno SLV	Sisma terreno - Attivo - Dir.Neg.	470	2000	30	0.00	0	0	--	1.00	0.06
222	Spinta sismica terreno SLD	Sisma terreno - Attivo - Dir.Neg.	470	2000	30	0.00	0	0	--	1.00	0.03
223	Spinta terreno	Terreno - Attivo - Dir.Neg.	470	2000	30	0.00	0	0	--	--	--
223	Spinta sismica terreno SLV	Sisma terreno - Attivo - Dir.Neg.	470	2000	30	0.00	0	0	--	1.00	0.06
223	Spinta sismica terreno SLD	Sisma terreno - Attivo - Dir.Neg.	470	2000	30	0.00	0	0	--	1.00	0.03
224	Spinta terreno	Terreno - Attivo - Dir.Neg.	470	2000	30	0.00	0	0	--	--	--
224	Spinta sismica terreno SLV	Sisma terreno - Attivo - Dir.Neg.	470	2000	30	0.00	0	0	--	1.00	0.06
224	Spinta sismica terreno SLD	Sisma terreno - Attivo - Dir.Neg.	470	2000	30	0.00	0	0	--	1.00	0.03
225	Spinta terreno	Terreno - Attivo - Dir.Neg.	470	2000	30	0.00	0	0	--	--	--
225	Spinta sismica terreno SLV	Sisma terreno - Attivo - Dir.Neg.	470	2000	30	0.00	0	0	--	1.00	0.06
225	Spinta sismica terreno SLD	Sisma terreno - Attivo - Dir.Neg.	470	2000	30	0.00	0	0	--	1.00	0.03
226	Spinta terreno	Terreno - Attivo - Dir.Neg.	470	2000	30	0.00	0	0	--	--	--
226	Spinta sismica terreno SLV	Sisma terreno - Attivo - Dir.Neg.	470	2000	30	0.00	0	0	--	1.00	0.06
226	Spinta sismica terreno SLD	Sisma terreno - Attivo - Dir.Neg.	470	2000	30	0.00	0	0	--	1.00	0.03
227	Spinta terreno	Terreno - Attivo - Dir.Neg.	470	2000	30	0.00	0	0	--	--	--
227	Spinta sismica terreno SLV	Sisma terreno - Attivo - Dir.Neg.	470	2000	30	0.00	0	0	--	1.00	0.06
227	Spinta sismica terreno SLD	Sisma terreno - Attivo - Dir.Neg.	470	2000	30	0.00	0	0	--	1.00	0.03
228	Spinta terreno	Terreno - Attivo - Dir.Neg.	470	2000	30	0.00	0	0	--	--	--
228	Spinta sismica terreno SLV	Sisma terreno - Attivo - Dir.Neg.	470	2000	30	0.00	0	0	--	1.00	0.06
228	Spinta sismica terreno SLD	Sisma terreno - Attivo - Dir.Neg.	470	2000	30	0.00	0	0	--	1.00	0.03
229	Spinta terreno	Terreno - Attivo - Dir.Neg.	470	2000	30	0.00	0	0	--	--	--
229	Spinta sismica terreno SLV	Sisma terreno - Attivo - Dir.Neg.	470	2000	30	0.00	0	0	--	1.00	0.06
229	Spinta sismica terreno SLD	Sisma terreno - Attivo - Dir.Neg.	470	2000	30	0.00	0	0	--	1.00	0.03
230	Spinta terreno	Terreno - Attivo - Dir.Neg.	470	2000	30	0.00	0	0	--	--	--
230	Spinta sismica terreno SLV	Sisma terreno - Attivo - Dir.Neg.	470	2000	30	0.00	0	0	--	1.00	0.06
230	Spinta sismica terreno SLD	Sisma terreno - Attivo - Dir.Neg.	470	2000	30	0.00	0	0	--	1.00	0.03
231	Spinta terreno	Terreno - Attivo - Dir.Neg.	470	2000	30	0.00	0	0	--	--	--
231	Spinta sismica terreno SLV	Sisma terreno - Attivo - Dir.Neg.	470	2000	30	0.00	0	0	--	1.00	0.06
231	Spinta sismica terreno SLD	Sisma terreno - Attivo - Dir.Neg.	470	2000	30	0.00	0	0	--	1.00	0.03
232	Spinta terreno	Terreno - Attivo - Dir.Neg.	470	2000	30	0.00	0	0	--	--	--
232	Spinta sismica terreno SLV	Sisma terreno - Attivo - Dir.Neg.	470	2000	30	0.00	0	0	--	1.00	0.06
232	Spinta sismica terreno SLD	Sisma terreno - Attivo - Dir.Neg.	470	2000	30	0.00	0	0	--	1.00	0.03
233	Spinta terreno	Terreno - Attivo - Dir.Neg.	470	2000	30	0.00	0	0	--	--	--
233	Spinta sismica terreno SLV	Sisma terreno - Attivo - Dir.Pos.	0	1900	30	0.00	0	0	--	0.40	0.06
233	Spinta sismica terreno SLV	Sisma terreno - Attivo - Dir.Neg.	470	2000	30	0.00	0	0	--	1.00	0.06
233	Spinta sismica terreno SLD	Sisma terreno - Attivo - Dir.Neg.	470	2000	30	0.00	0	0	--	1.00	0.03
234	Spinta terreno	Terreno - Attivo - Dir.Neg.	470	2000	30	0.00	0	0	--	--	--
234	Spinta sismica terreno SLV	Sisma terreno - Attivo - Dir.Neg.	470	2000	30	0.00	0	0	--	1.00	0.06
234	Spinta sismica terreno SLV	Sisma terreno - Attivo - Dir.Pos.	0	1900	30	0.00	0	0	--	0.40	0.06
234	Spinta sismica terreno SLD	Sisma terreno - Attivo - Dir.Neg.	470	2000	30	0.00	0	0	--	1.00	0.03
235	Spinta terreno	Terreno - Attivo - Dir.Neg.	470	2000	30	0.00	0	0	--	--	--
235	Spinta sismica terreno SLV	Sisma terreno - Attivo - Dir.Neg.	470	2000	30	0.00	0	0	--	1.00	0.06
235	Spinta sismica terreno SLD	Sisma terreno - Attivo - Dir.Neg.	470	2000	30	0.00	0	0	--	1.00	0.03
236	Spinta terreno	Terreno - Attivo - Dir.Neg.	470	2000	30	0.00	0	0	--	--	--

**POTENZIAMENTO DELL'IMPIANTO DI DEPURAZIONE E
DEL RECAPITO FINALE DI SQUINZANO (LE)
PROGETTO DEFINITIVO
Tabulati di calcolo strutturale-Equalizzazione**

R.37.7

Maggio 2021

Pagina 32 di 338

Shel 1	Cond.	Tipo	Ht	γ	ϕ	c	δ	β	k0	β_m	Ag
236	Spinta sismica terreno SLV	Sisma terreno - Attivo - Dir.Neg.	470	2000	30	0.00	0	0	--	1.00	0.06
236	Spinta sismica terreno SLV	Sisma terreno - Attivo - Dir.Pos.	0	1900	30	0.00	0	0	--	0.40	0.06
236	Spinta sismica terreno SLD	Sisma terreno - Attivo - Dir.Neg.	470	2000	30	0.00	0	0	--	1.00	0.03
237	Spinta terreno	Terreno - Attivo - Dir.Neg.	470	2000	30	0.00	0	0	--	--	--
237	Spinta sismica terreno SLV	Sisma terreno - Attivo - Dir.Neg.	470	2000	30	0.00	0	0	--	1.00	0.06
237	Spinta sismica terreno SLD	Sisma terreno - Attivo - Dir.Neg.	470	2000	30	0.00	0	0	--	1.00	0.03
238	Spinta terreno	Terreno - Attivo - Dir.Neg.	470	2000	30	0.00	0	0	--	--	--
238	Spinta sismica terreno SLV	Sisma terreno - Attivo - Dir.Neg.	470	2000	30	0.00	0	0	--	1.00	0.06
238	Spinta sismica terreno SLD	Sisma terreno - Attivo - Dir.Neg.	470	2000	30	0.00	0	0	--	1.00	0.03
239	Spinta terreno	Terreno - Attivo - Dir.Neg.	470	2000	30	0.00	0	0	--	--	--
239	Spinta sismica terreno SLV	Sisma terreno - Attivo - Dir.Neg.	470	2000	30	0.00	0	0	--	1.00	0.06
239	Spinta sismica terreno SLD	Sisma terreno - Attivo - Dir.Neg.	0	1900	30	0.00	0	0	--	0.40	0.06
239	Spinta sismica terreno SLD	Sisma terreno - Attivo - Dir.Neg.	470	2000	30	0.00	0	0	--	1.00	0.03
240	Spinta terreno	Terreno - Attivo - Dir.Neg.	470	2000	30	0.00	0	0	--	--	--
240	Spinta sismica terreno SLV	Sisma terreno - Attivo - Dir.Neg.	470	2000	30	0.00	0	0	--	1.00	0.06
240	Spinta sismica terreno SLD	Sisma terreno - Attivo - Dir.Neg.	470	2000	30	0.00	0	0	--	1.00	0.03
241	Spinta terreno	Terreno - Attivo - Dir.Neg.	470	2000	30	0.00	0	0	--	--	--
241	Spinta sismica terreno SLV	Sisma terreno - Attivo - Dir.Neg.	470	2000	30	0.00	0	0	--	1.00	0.06
241	Spinta sismica terreno SLV	Sisma terreno - Attivo - Dir.Pos.	0	1900	30	0.00	0	0	--	0.40	0.06
241	Spinta sismica terreno SLD	Sisma terreno - Attivo - Dir.Neg.	470	2000	30	0.00	0	0	--	1.00	0.03
242	Spinta terreno	Terreno - Attivo - Dir.Neg.	470	2000	30	0.00	0	0	--	--	--
242	Spinta sismica terreno SLV	Sisma terreno - Attivo - Dir.Neg.	470	2000	30	0.00	0	0	--	1.00	0.06
242	Spinta sismica terreno SLD	Sisma terreno - Attivo - Dir.Neg.	470	2000	30	0.00	0	0	--	1.00	0.03
243	Spinta terreno	Terreno - Attivo - Dir.Neg.	470	2000	30	0.00	0	0	--	--	--
243	Spinta sismica terreno SLV	Sisma terreno - Attivo - Dir.Neg.	470	2000	30	0.00	0	0	--	1.00	0.06
243	Spinta sismica terreno SLD	Sisma terreno - Attivo - Dir.Neg.	470	2000	30	0.00	0	0	--	1.00	0.03
244	Spinta terreno	Terreno - Attivo - Dir.Neg.	470	2000	30	0.00	0	0	--	--	--
244	Spinta sismica terreno SLV	Sisma terreno - Attivo - Dir.Neg.	470	2000	30	0.00	0	0	--	1.00	0.06
244	Spinta sismica terreno SLD	Sisma terreno - Attivo - Dir.Neg.	470	2000	30	0.00	0	0	--	1.00	0.03
245	Spinta terreno	Terreno - Attivo - Dir.Neg.	470	2000	30	0.00	0	0	--	--	--
245	Spinta sismica terreno SLV	Sisma terreno - Attivo - Dir.Neg.	470	2000	30	0.00	0	0	--	1.00	0.06
245	Spinta sismica terreno SLD	Sisma terreno - Attivo - Dir.Neg.	470	2000	30	0.00	0	0	--	1.00	0.03
246	Spinta terreno	Terreno - Attivo - Dir.Neg.	470	2000	30	0.00	0	0	--	--	--
246	Spinta sismica terreno SLV	Sisma terreno - Attivo - Dir.Neg.	470	2000	30	0.00	0	0	--	1.00	0.06
246	Spinta sismica terreno SLD	Sisma terreno - Attivo - Dir.Neg.	470	2000	30	0.00	0	0	--	1.00	0.03
247	Spinta terreno	Terreno - Attivo - Dir.Neg.	470	2000	30	0.00	0	0	--	--	--
247	Spinta sismica terreno SLV	Sisma terreno - Attivo - Dir.Neg.	470	2000	30	0.00	0	0	--	1.00	0.06
247	Spinta sismica terreno SLD	Sisma terreno - Attivo - Dir.Neg.	470	2000	30	0.00	0	0	--	1.00	0.03
248	Spinta terreno	Terreno - Attivo - Dir.Neg.	470	2000	30	0.00	0	0	--	--	--
248	Spinta sismica terreno SLV	Sisma terreno - Attivo - Dir.Neg.	470	2000	30	0.00	0	0	--	1.00	0.06
248	Spinta sismica terreno SLD	Sisma terreno - Attivo - Dir.Neg.	470	2000	30	0.00	0	0	--	1.00	0.03
249	Spinta terreno	Terreno - Attivo - Dir.Neg.	470	2000	30	0.00	0	0	--	--	--
249	Spinta sismica terreno SLV	Sisma terreno - Attivo - Dir.Neg.	470	2000	30	0.00	0	0	--	1.00	0.06
249	Spinta sismica terreno SLD	Sisma terreno - Attivo - Dir.Neg.	470	2000	30	0.00	0	0	--	1.00	0.03
250	Spinta terreno	Terreno - Attivo - Dir.Neg.	470	2000	30	0.00	0	0	--	--	--

**POTENZIAMENTO DELL'IMPIANTO DI DEPURAZIONE E
DEL RECAPITO FINALE DI SQUINZANO (LE)
PROGETTO DEFINITIVO
Tabulati di calcolo strutturale-Equalizzazione**

R.37.7

Maggio 2021

Pagina 33 di 338

Shel 1	Cond.	Tipo	Ht	γ	\emptyset	c	δ	β	k0	β_m	Ag
250	Spinta sismica terreno SLV	Sisma terreno - Attivo - Dir.Neg.	470	2000	30	0.00	0	0	--	1.00	0.06
250	Spinta sismica terreno SLD	Sisma terreno - Attivo - Dir.Neg.	470	2000	30	0.00	0	0	--	1.00	0.03
251	Spinta terreno	Terreno - Attivo - Dir.Neg.	470	2000	30	0.00	0	0	--	--	--
251	Spinta sismica terreno SLV	Sisma terreno - Attivo - Dir.Neg.	470	2000	30	0.00	0	0	--	1.00	0.06
251	Spinta sismica terreno SLD	Sisma terreno - Attivo - Dir.Neg.	470	2000	30	0.00	0	0	--	1.00	0.03
252	Spinta terreno	Terreno - Attivo - Dir.Neg.	470	2000	30	0.00	0	0	--	--	--
252	Spinta sismica terreno SLV	Sisma terreno - Attivo - Dir.Neg.	470	2000	30	0.00	0	0	--	1.00	0.06
252	Spinta sismica terreno SLD	Sisma terreno - Attivo - Dir.Neg.	470	2000	30	0.00	0	0	--	1.00	0.03
253	Spinta terreno	Terreno - Attivo - Dir.Neg.	470	2000	30	0.00	0	0	--	--	--
253	Spinta sismica terreno SLV	Sisma terreno - Attivo - Dir.Neg.	470	2000	30	0.00	0	0	--	1.00	0.06
253	Spinta sismica terreno SLD	Sisma terreno - Attivo - Dir.Neg.	470	2000	30	0.00	0	0	--	1.00	0.03
254	Spinta terreno	Terreno - Attivo - Dir.Neg.	470	2000	30	0.00	0	0	--	--	--
254	Spinta sismica terreno SLV	Sisma terreno - Attivo - Dir.Neg.	470	2000	30	0.00	0	0	--	1.00	0.06
254	Spinta sismica terreno SLV	Sisma terreno - Attivo - Dir.Pos.	0	1900	30	0.00	0	0	--	0.40	0.06
254	Spinta sismica terreno SLD	Sisma terreno - Attivo - Dir.Neg.	470	2000	30	0.00	0	0	--	1.00	0.03
255	Spinta terreno	Terreno - Attivo - Dir.Neg.	470	2000	30	0.00	0	0	--	--	--
255	Spinta sismica terreno SLV	Sisma terreno - Attivo - Dir.Neg.	470	2000	30	0.00	0	0	--	1.00	0.06
255	Spinta sismica terreno SLV	Sisma terreno - Attivo - Dir.Pos.	0	1900	30	0.00	0	0	--	0.40	0.06
255	Spinta sismica terreno SLD	Sisma terreno - Attivo - Dir.Neg.	470	2000	30	0.00	0	0	--	1.00	0.03
256	Spinta terreno	Terreno - Attivo - Dir.Neg.	470	2000	30	0.00	0	0	--	--	--
256	Spinta sismica terreno SLV	Sisma terreno - Attivo - Dir.Pos.	0	1900	30	0.00	0	0	--	0.40	0.06
256	Spinta sismica terreno SLV	Sisma terreno - Attivo - Dir.Neg.	470	2000	30	0.00	0	0	--	1.00	0.06
256	Spinta sismica terreno SLD	Sisma terreno - Attivo - Dir.Neg.	470	2000	30	0.00	0	0	--	1.00	0.03
257	Spinta terreno	Terreno - Attivo - Dir.Neg.	470	2000	30	0.00	0	0	--	--	--
257	Spinta sismica terreno SLV	Sisma terreno - Attivo - Dir.Pos.	0	1900	30	0.00	0	0	--	0.40	0.06
257	Spinta sismica terreno SLV	Sisma terreno - Attivo - Dir.Neg.	470	2000	30	0.00	0	0	--	1.00	0.06
257	Spinta sismica terreno SLD	Sisma terreno - Attivo - Dir.Neg.	470	2000	30	0.00	0	0	--	1.00	0.03
258	Spinta terreno	Terreno - Attivo - Dir.Neg.	470	2000	30	0.00	0	0	--	--	--
258	Spinta sismica terreno SLV	Sisma terreno - Attivo - Dir.Pos.	0	1900	30	0.00	0	0	--	0.40	0.06
258	Spinta sismica terreno SLV	Sisma terreno - Attivo - Dir.Neg.	470	2000	30	0.00	0	0	--	1.00	0.06
258	Spinta sismica terreno SLD	Sisma terreno - Attivo - Dir.Neg.	470	2000	30	0.00	0	0	--	1.00	0.03
259	Spinta terreno	Terreno - Attivo - Dir.Neg.	470	2000	30	0.00	0	0	--	--	--
259	Spinta sismica terreno SLV	Sisma terreno - Attivo - Dir.Neg.	470	2000	30	0.00	0	0	--	1.00	0.06
259	Spinta sismica terreno SLD	Sisma terreno - Attivo - Dir.Neg.	470	2000	30	0.00	0	0	--	1.00	0.03
260	Spinta terreno	Terreno - Attivo - Dir.Neg.	470	2000	30	0.00	0	0	--	--	--
260	Spinta sismica terreno SLV	Sisma terreno - Attivo - Dir.Neg.	470	2000	30	0.00	0	0	--	1.00	0.06
260	Spinta sismica terreno SLD	Sisma terreno - Attivo - Dir.Neg.	470	2000	30	0.00	0	0	--	1.00	0.03
261	Spinta terreno	Terreno - Attivo - Dir.Neg.	470	2000	30	0.00	0	0	--	--	--
261	Spinta sismica terreno SLV	Sisma terreno - Attivo - Dir.Neg.	470	2000	30	0.00	0	0	--	1.00	0.06
261	Spinta sismica terreno SLD	Sisma terreno - Attivo - Dir.Neg.	470	2000	30	0.00	0	0	--	1.00	0.03
262	Spinta terreno	Terreno - Attivo - Dir.Neg.	470	2000	30	0.00	0	0	--	--	--
262	Spinta sismica terreno SLV	Sisma terreno - Attivo - Dir.Neg.	470	2000	30	0.00	0	0	--	1.00	0.06
262	Spinta sismica terreno SLD	Sisma terreno - Attivo - Dir.Neg.	470	2000	30	0.00	0	0	--	1.00	0.03
263	Spinta terreno	Terreno - Attivo - Dir.Neg.	470	2000	30	0.00	0	0	--	--	--
263	Spinta sismica terreno SLV	Sisma terreno - Attivo - Dir.Neg.	470	2000	30	0.00	0	0	--	1.00	0.06

**POTENZIAMENTO DELL'IMPIANTO DI DEPURAZIONE E
DEL RECAPITO FINALE DI SQUINZANO (LE)
PROGETTO DEFINITIVO
Tabulati di calcolo strutturale-Equalizzazione**

R.37.7

Maggio 2021

Pagina 34 di 338

Shel 1	Cond.	Tipo	Ht	γ	\emptyset	c	δ	β	k0	β_m	Ag
263	Spinta sismica terreno SLD	Sisma terreno - Attivo - Dir.Neg.	470	2000	30	0.00	0	0	--	1.00	0.03
264	Spinta terreno	Terreno - Attivo - Dir.Neg.	470	2000	30	0.00	0	0	--	--	--
264	Spinta sismica terreno SLV	Sisma terreno - Attivo - Dir.Neg.	470	2000	30	0.00	0	0	--	1.00	0.06
264	Spinta sismica terreno SLD	Sisma terreno - Attivo - Dir.Neg.	470	2000	30	0.00	0	0	--	1.00	0.03
265	Spinta terreno	Terreno - Attivo - Dir.Neg.	470	2000	30	0.00	0	0	--	--	--
265	Spinta sismica terreno SLV	Sisma terreno - Attivo - Dir.Neg.	470	2000	30	0.00	0	0	--	1.00	0.06
265	Spinta sismica terreno SLD	Sisma terreno - Attivo - Dir.Neg.	470	2000	30	0.00	0	0	--	1.00	0.03
266	Spinta terreno	Terreno - Attivo - Dir.Neg.	470	2000	30	0.00	0	0	--	--	--
266	Spinta sismica terreno SLV	Sisma terreno - Attivo - Dir.Neg.	470	2000	30	0.00	0	0	--	1.00	0.06
266	Spinta sismica terreno SLD	Sisma terreno - Attivo - Dir.Neg.	470	2000	30	0.00	0	0	--	1.00	0.03
267	Spinta terreno	Terreno - Attivo - Dir.Neg.	470	2000	30	0.00	0	0	--	--	--
267	Spinta sismica terreno SLV	Sisma terreno - Attivo - Dir.Neg.	470	2000	30	0.00	0	0	--	1.00	0.06
267	Spinta sismica terreno SLD	Sisma terreno - Attivo - Dir.Neg.	470	2000	30	0.00	0	0	--	1.00	0.03
268	Spinta terreno	Terreno - Attivo - Dir.Neg.	470	2000	30	0.00	0	0	--	--	--
268	Spinta sismica terreno SLV	Sisma terreno - Attivo - Dir.Neg.	470	2000	30	0.00	0	0	--	1.00	0.06
268	Spinta sismica terreno SLD	Sisma terreno - Attivo - Dir.Neg.	470	2000	30	0.00	0	0	--	1.00	0.03
269	Spinta terreno	Terreno - Attivo - Dir.Neg.	470	2000	30	0.00	0	0	--	--	--
269	Spinta sismica terreno SLV	Sisma terreno - Attivo - Dir.Neg.	470	2000	30	0.00	0	0	--	1.00	0.06
269	Spinta sismica terreno SLD	Sisma terreno - Attivo - Dir.Neg.	470	2000	30	0.00	0	0	--	1.00	0.03
270	Spinta terreno	Terreno - Attivo - Dir.Neg.	470	2000	30	0.00	0	0	--	--	--
270	Spinta sismica terreno SLV	Sisma terreno - Attivo - Dir.Neg.	470	2000	30	0.00	0	0	--	1.00	0.06
270	Spinta sismica terreno SLD	Sisma terreno - Attivo - Dir.Neg.	470	2000	30	0.00	0	0	--	1.00	0.03
271	Spinta terreno	Terreno - Attivo - Dir.Neg.	470	2000	30	0.00	0	0	--	--	--
271	Spinta sismica terreno SLV	Sisma terreno - Attivo - Dir.Neg.	470	2000	30	0.00	0	0	--	1.00	0.06
271	Spinta sismica terreno SLD	Sisma terreno - Attivo - Dir.Neg.	470	2000	30	0.00	0	0	--	1.00	0.03
272	Spinta terreno	Terreno - Attivo - Dir.Neg.	470	2000	30	0.00	0	0	--	--	--
272	Spinta sismica terreno SLV	Sisma terreno - Attivo - Dir.Neg.	470	2000	30	0.00	0	0	--	1.00	0.06
272	Spinta sismica terreno SLD	Sisma terreno - Attivo - Dir.Neg.	470	2000	30	0.00	0	0	--	1.00	0.03
273	Spinta terreno	Terreno - Attivo - Dir.Neg.	470	2000	30	0.00	0	0	--	--	--
273	Spinta sismica terreno SLV	Sisma terreno - Attivo - Dir.Neg.	470	2000	30	0.00	0	0	--	1.00	0.06
273	Spinta sismica terreno SLD	Sisma terreno - Attivo - Dir.Neg.	470	2000	30	0.00	0	0	--	1.00	0.03
274	Spinta terreno	Terreno - Attivo - Dir.Neg.	470	2000	30	0.00	0	0	--	--	--
274	Spinta sismica terreno SLV	Sisma terreno - Attivo - Dir.Neg.	470	2000	30	0.00	0	0	--	1.00	0.06
274	Spinta sismica terreno SLD	Sisma terreno - Attivo - Dir.Neg.	470	2000	30	0.00	0	0	--	1.00	0.03
275	Spinta terreno	Terreno - Attivo - Dir.Neg.	470	2000	30	0.00	0	0	--	--	--
275	Spinta sismica terreno SLV	Sisma terreno - Attivo - Dir.Neg.	470	2000	30	0.00	0	0	--	1.00	0.06
275	Spinta sismica terreno SLD	Sisma terreno - Attivo - Dir.Neg.	470	2000	30	0.00	0	0	--	1.00	0.03
276	Spinta terreno	Terreno - Attivo - Dir.Neg.	470	2000	30	0.00	0	0	--	--	--
276	Spinta sismica terreno SLV	Sisma terreno - Attivo - Dir.Neg.	470	2000	30	0.00	0	0	--	1.00	0.06
276	Spinta sismica terreno SLD	Sisma terreno - Attivo - Dir.Neg.	470	2000	30	0.00	0	0	--	1.00	0.03
277	Spinta terreno	Terreno - Attivo - Dir.Neg.	470	2000	30	0.00	0	0	--	--	--
277	Spinta sismica terreno SLV	Sisma terreno - Attivo - Dir.Neg.	470	2000	30	0.00	0	0	--	1.00	0.06
277	Spinta sismica terreno SLD	Sisma terreno - Attivo - Dir.Neg.	470	2000	30	0.00	0	0	--	1.00	0.03
278	Spinta terreno	Terreno - Attivo - Dir.Neg.	470	2000	30	0.00	0	0	--	--	--
278	Spinta sismica terreno SLV	Sisma terreno - Attivo - Dir.Neg.	470	2000	30	0.00	0	0	--	1.00	0.06
278	Spinta sismica terreno SLD	Sisma terreno - Attivo - Dir.Neg.	470	2000	30	0.00	0	0	--	1.00	0.03

Shel 1	Cond.	Tipo	Ht	γ	\emptyset	c	δ	β	k0	β_m	Ag
279	Spinta terreno	Terreno - Attivo - Dir.Neg.	470	2000	30	0.00	0	0	--	--	--
279	Spinta sismica terreno SLV	Sisma terreno - Attivo - Dir.Pos.	0	1900	30	0.00	0	0	--	0.40	0.06
279	Spinta sismica terreno SLV	Sisma terreno - Attivo - Dir.Neg.	470	2000	30	0.00	0	0	--	1.00	0.06
279	Spinta sismica terreno SLD	Sisma terreno - Attivo - Dir.Neg.	470	2000	30	0.00	0	0	--	1.00	0.03
280	Spinta terreno	Terreno - Attivo - Dir.Neg.	470	2000	30	0.00	0	0	--	--	--
280	Spinta sismica terreno SLV	Sisma terreno - Attivo - Dir.Neg.	470	2000	30	0.00	0	0	--	1.00	0.06
280	Spinta sismica terreno SLV	Sisma terreno - Attivo - Dir.Pos.	0	1900	30	0.00	0	0	--	0.40	0.06
280	Spinta sismica terreno SLD	Sisma terreno - Attivo - Dir.Neg.	470	2000	30	0.00	0	0	--	1.00	0.03
281	Spinta terreno	Terreno - Attivo - Dir.Neg.	470	2000	30	0.00	0	0	--	--	--
281	Spinta sismica terreno SLV	Sisma terreno - Attivo - Dir.Pos.	0	1900	30	0.00	0	0	--	0.40	0.06
281	Spinta sismica terreno SLV	Sisma terreno - Attivo - Dir.Neg.	470	2000	30	0.00	0	0	--	1.00	0.06
281	Spinta sismica terreno SLD	Sisma terreno - Attivo - Dir.Neg.	470	2000	30	0.00	0	0	--	1.00	0.03
282	Spinta terreno	Terreno - Attivo - Dir.Neg.	470	2000	30	0.00	0	0	--	--	--
282	Spinta sismica terreno SLV	Sisma terreno - Attivo - Dir.Pos.	0	1900	30	0.00	0	0	--	0.40	0.06
282	Spinta sismica terreno SLV	Sisma terreno - Attivo - Dir.Neg.	470	2000	30	0.00	0	0	--	1.00	0.06
282	Spinta sismica terreno SLD	Sisma terreno - Attivo - Dir.Neg.	470	2000	30	0.00	0	0	--	1.00	0.03
283	Spinta terreno	Terreno - Attivo - Dir.Neg.	470	2000	30	0.00	0	0	--	--	--
283	Spinta sismica terreno SLV	Sisma terreno - Attivo - Dir.Pos.	0	1900	30	0.00	0	0	--	0.40	0.06
283	Spinta sismica terreno SLV	Sisma terreno - Attivo - Dir.Neg.	470	2000	30	0.00	0	0	--	1.00	0.06
283	Spinta sismica terreno SLD	Sisma terreno - Attivo - Dir.Neg.	470	2000	30	0.00	0	0	--	1.00	0.03
284	Spinta terreno	Terreno - Attivo - Dir.Neg.	470	2000	30	0.00	0	0	--	--	--
284	Spinta sismica terreno SLV	Sisma terreno - Attivo - Dir.Neg.	470	2000	30	0.00	0	0	--	1.00	0.06
284	Spinta sismica terreno SLD	Sisma terreno - Attivo - Dir.Neg.	470	2000	30	0.00	0	0	--	1.00	0.03
285	Spinta terreno	Terreno - Attivo - Dir.Neg.	470	2000	30	0.00	0	0	--	--	--
285	Spinta sismica terreno SLV	Sisma terreno - Attivo - Dir.Neg.	470	2000	30	0.00	0	0	--	1.00	0.06
285	Spinta sismica terreno SLV	Sisma terreno - Attivo - Dir.Pos.	0	1900	30	0.00	0	0	--	0.40	0.06
285	Spinta sismica terreno SLD	Sisma terreno - Attivo - Dir.Neg.	470	2000	30	0.00	0	0	--	1.00	0.03
286	Spinta terreno	Terreno - Attivo - Dir.Neg.	470	2000	30	0.00	0	0	--	--	--
286	Spinta sismica terreno SLV	Sisma terreno - Attivo - Dir.Neg.	470	2000	30	0.00	0	0	--	1.00	0.06
286	Spinta sismica terreno SLV	Sisma terreno - Attivo - Dir.Pos.	0	1900	30	0.00	0	0	--	0.40	0.06
286	Spinta sismica terreno SLD	Sisma terreno - Attivo - Dir.Neg.	470	2000	30	0.00	0	0	--	1.00	0.03
287	Spinta terreno	Terreno - Attivo - Dir.Neg.	470	2000	30	0.00	0	0	--	--	--
287	Spinta sismica terreno SLV	Sisma terreno - Attivo - Dir.Neg.	470	2000	30	0.00	0	0	--	1.00	0.06
287	Spinta sismica terreno SLV	Sisma terreno - Attivo - Dir.Pos.	0	1900	30	0.00	0	0	--	0.40	0.06
287	Spinta sismica terreno SLD	Sisma terreno - Attivo - Dir.Neg.	470	2000	30	0.00	0	0	--	1.00	0.03
288	Spinta terreno	Terreno - Attivo - Dir.Neg.	470	2000	30	0.00	0	0	--	--	--
288	Spinta sismica terreno SLV	Sisma terreno - Attivo - Dir.Neg.	470	2000	30	0.00	0	0	--	1.00	0.06
288	Spinta sismica terreno SLD	Sisma terreno - Attivo - Dir.Neg.	470	2000	30	0.00	0	0	--	1.00	0.03
289	Spinta terreno	Terreno - Attivo - Dir.Neg.	470	2000	30	0.00	0	0	--	--	--
289	Spinta sismica terreno SLV	Sisma terreno - Attivo - Dir.Neg.	470	2000	30	0.00	0	0	--	1.00	0.06
289	Spinta sismica terreno SLD	Sisma terreno - Attivo - Dir.Neg.	470	2000	30	0.00	0	0	--	1.00	0.03
290	Spinta terreno	Terreno - Attivo - Dir.Neg.	470	2000	30	0.00	0	0	--	--	--
290	Spinta sismica terreno SLV	Sisma terreno - Attivo - Dir.Neg.	470	2000	30	0.00	0	0	--	1.00	0.06
290	Spinta sismica terreno SLD	Sisma terreno - Attivo - Dir.Neg.	470	2000	30	0.00	0	0	--	1.00	0.03
291	Spinta terreno	Terreno - Attivo - Dir.Neg.	470	2000	30	0.00	0	0	--	--	--

**POTENZIAMENTO DELL'IMPIANTO DI DEPURAZIONE E
DEL RECAPITO FINALE DI SQUINZANO (LE)
PROGETTO DEFINITIVO
Tabulati di calcolo strutturale-Equalizzazione**

R.37.7

Maggio 2021

Pagina 36 di 338

Shel 1	Cond.	Tipo	Ht	γ	ϕ	c	δ	β	k0	β_m	Ag
291	Spinta sismica terreno SLV	Sisma terreno - Attivo - Dir.Pos.	0	1900	30	0.00	0	0	--	0.40	0.06
291	Spinta sismica terreno SLV	Sisma terreno - Attivo - Dir.Neg.	470	2000	30	0.00	0	0	--	1.00	0.06
291	Spinta sismica terreno SLD	Sisma terreno - Attivo - Dir.Neg.	470	2000	30	0.00	0	0	--	1.00	0.03
292	Spinta terreno	Terreno - Attivo - Dir.Neg.	470	2000	30	0.00	0	0	--	--	--
292	Spinta sismica terreno SLV	Sisma terreno - Attivo - Dir.Neg.	470	2000	30	0.00	0	0	--	1.00	0.06
292	Spinta sismica terreno SLV	Sisma terreno - Attivo - Dir.Pos.	0	1900	30	0.00	0	0	--	0.40	0.06
292	Spinta sismica terreno SLD	Sisma terreno - Attivo - Dir.Neg.	470	2000	30	0.00	0	0	--	1.00	0.03
293	Spinta terreno	Terreno - Attivo - Dir.Neg.	470	2000	30	0.00	0	0	--	--	--
293	Spinta sismica terreno SLV	Sisma terreno - Attivo - Dir.Neg.	470	2000	30	0.00	0	0	--	1.00	0.06
293	Spinta sismica terreno SLD	Sisma terreno - Attivo - Dir.Neg.	470	2000	30	0.00	0	0	--	1.00	0.03
294	Spinta terreno	Terreno - Attivo - Dir.Neg.	470	2000	30	0.00	0	0	--	--	--
294	Spinta sismica terreno SLV	Sisma terreno - Attivo - Dir.Neg.	470	2000	30	0.00	0	0	--	1.00	0.06
294	Spinta sismica terreno SLD	Sisma terreno - Attivo - Dir.Neg.	470	2000	30	0.00	0	0	--	1.00	0.03
295	Spinta terreno	Terreno - Attivo - Dir.Neg.	470	2000	30	0.00	0	0	--	--	--
295	Spinta sismica terreno SLV	Sisma terreno - Attivo - Dir.Neg.	470	2000	30	0.00	0	0	--	1.00	0.06
295	Spinta sismica terreno SLD	Sisma terreno - Attivo - Dir.Neg.	470	2000	30	0.00	0	0	--	1.00	0.03
296	Spinta terreno	Terreno - Attivo - Dir.Neg.	470	2000	30	0.00	0	0	--	--	--
296	Spinta sismica terreno SLV	Sisma terreno - Attivo - Dir.Neg.	470	2000	30	0.00	0	0	--	1.00	0.06
296	Spinta sismica terreno SLD	Sisma terreno - Attivo - Dir.Neg.	470	2000	30	0.00	0	0	--	1.00	0.03
297	Spinta terreno	Terreno - Attivo - Dir.Neg.	470	2000	30	0.00	0	0	--	--	--
297	Spinta sismica terreno SLV	Sisma terreno - Attivo - Dir.Neg.	470	2000	30	0.00	0	0	--	1.00	0.06
297	Spinta sismica terreno SLD	Sisma terreno - Attivo - Dir.Neg.	470	2000	30	0.00	0	0	--	1.00	0.03
298	Spinta terreno	Terreno - Attivo - Dir.Neg.	470	2000	30	0.00	0	0	--	--	--
298	Spinta sismica terreno SLV	Sisma terreno - Attivo - Dir.Neg.	470	2000	30	0.00	0	0	--	1.00	0.06
298	Spinta sismica terreno SLD	Sisma terreno - Attivo - Dir.Neg.	470	2000	30	0.00	0	0	--	1.00	0.03
299	Spinta terreno	Terreno - Attivo - Dir.Neg.	470	2000	30	0.00	0	0	--	--	--
299	Spinta sismica terreno SLV	Sisma terreno - Attivo - Dir.Neg.	470	2000	30	0.00	0	0	--	1.00	0.06
299	Spinta sismica terreno SLD	Sisma terreno - Attivo - Dir.Neg.	470	2000	30	0.00	0	0	--	1.00	0.03
300	Spinta terreno	Terreno - Attivo - Dir.Neg.	470	2000	30	0.00	0	0	--	--	--
300	Spinta sismica terreno SLV	Sisma terreno - Attivo - Dir.Neg.	470	2000	30	0.00	0	0	--	1.00	0.06
300	Spinta sismica terreno SLD	Sisma terreno - Attivo - Dir.Neg.	470	2000	30	0.00	0	0	--	1.00	0.03
301	Spinta terreno	Terreno - Attivo - Dir.Neg.	470	2000	30	0.00	0	0	--	--	--
301	Spinta sismica terreno SLV	Sisma terreno - Attivo - Dir.Neg.	470	2000	30	0.00	0	0	--	1.00	0.06
301	Spinta sismica terreno SLD	Sisma terreno - Attivo - Dir.Neg.	470	2000	30	0.00	0	0	--	1.00	0.03
302	Spinta terreno	Terreno - Attivo - Dir.Neg.	470	2000	30	0.00	0	0	--	--	--
302	Spinta sismica terreno SLV	Sisma terreno - Attivo - Dir.Neg.	470	2000	30	0.00	0	0	--	1.00	0.06
302	Spinta sismica terreno SLD	Sisma terreno - Attivo - Dir.Neg.	470	2000	30	0.00	0	0	--	1.00	0.03
303	Spinta terreno	Terreno - Attivo - Dir.Neg.	470	2000	30	0.00	0	0	--	--	--
303	Spinta sismica terreno SLV	Sisma terreno - Attivo - Dir.Neg.	470	2000	30	0.00	0	0	--	1.00	0.06
303	Spinta sismica terreno SLD	Sisma terreno - Attivo - Dir.Neg.	470	2000	30	0.00	0	0	--	1.00	0.03
304	Spinta terreno	Terreno - Attivo - Dir.Neg.	470	2000	30	0.00	0	0	--	--	--
304	Spinta sismica terreno SLV	Sisma terreno - Attivo - Dir.Neg.	470	2000	30	0.00	0	0	--	1.00	0.06
304	Spinta sismica terreno SLD	Sisma terreno - Attivo - Dir.Neg.	470	2000	30	0.00	0	0	--	1.00	0.03

She 11	Cond.	Tipo	Q	Vert.1	Vert.2	Vert.3	Vert.4	Hw	γ
			kg/mq	kg/mq	kg/mq	kg/mq	kg/mq	cm	kg/mc

**POTENZIAMENTO DELL'IMPIANTO DI DEPURAZIONE E
DEL RECAPITO FINALE DI SQUINZANO (LE)
PROGETTO DEFINITIVO
Tabulati di calcolo strutturale-Equalizzazione**

R.37.7

Maggio 2021

Pagina 37 di 338

She 11	Cond.	Tipo	Q	Vert.1	Vert.2	Vert.3	Vert.4	Hw	γ
1	Peso Proprio	Peso Proprio kg	12750						
1	Peso acqua	Uniforme GLOBZ	5500						
2	Peso Proprio	Peso Proprio kg	12750						
2	Peso acqua	Uniforme GLOBZ	5500						
3	Peso Proprio	Peso Proprio kg	7522						
3	Peso acqua	Uniforme GLOBZ	5500						
4	Peso Proprio	Peso Proprio kg	17978						
4	Peso acqua	Uniforme GLOBZ	5500						
5	Peso Proprio	Peso Proprio kg	13897						
5	Peso acqua	Uniforme GLOBZ	5500						
6	Peso Proprio	Peso Proprio kg	11603						
6	Peso acqua	Uniforme GLOBZ	5500						
7	Peso Proprio	Peso Proprio kg	12750						
7	Peso acqua	Uniforme GLOBZ	5500						
8	Peso Proprio	Peso Proprio kg	12750						
8	Peso acqua	Uniforme GLOBZ	5500						
9	Peso Proprio	Peso Proprio kg	6750						
9	Peso acqua	Uniforme GLOBZ	5500						
10	Peso Proprio	Peso Proprio kg	3982						
10	Peso acqua	Uniforme GLOBZ	5500						
11	Peso Proprio	Peso Proprio kg	9518						
11	Peso acqua	Uniforme GLOBZ	5500						
12	Peso Proprio	Peso Proprio kg	7357						
12	Peso acqua	Uniforme GLOBZ	5500						
13	Peso Proprio	Peso Proprio kg	6143						
13	Peso acqua	Uniforme GLOBZ	5500						
14	Peso Proprio	Peso Proprio kg	6750						
14	Peso acqua	Uniforme GLOBZ	5500						
15	Peso Proprio	Peso Proprio kg	6750						
15	Peso acqua	Uniforme GLOBZ	5500						
16	Peso Proprio	Peso Proprio kg	6750						
16	Peso acqua	Uniforme GLOBZ	5500						
17	Peso Proprio	Peso Proprio kg	4500						
17	Peso acqua	Uniforme GLOBZ	5500						
18	Peso Proprio	Peso Proprio kg	2655						
18	Peso acqua	Uniforme GLOBZ	5500						
19	Peso Proprio	Peso Proprio kg	6345						
19	Peso acqua	Uniforme GLOBZ	5500						
20	Peso Proprio	Peso Proprio kg	4905						
20	Peso acqua	Uniforme GLOBZ	5500						
21	Peso Proprio	Peso Proprio kg	4095						
21	Peso acqua	Uniforme GLOBZ	5500						
22	Peso Proprio	Peso Proprio kg	4500						
22	Peso acqua	Uniforme GLOBZ	5500						
23	Peso Proprio	Peso Proprio kg	4500						
23	Peso acqua	Uniforme GLOBZ	5500						
24	Peso Proprio	Peso Proprio kg	4500						
24	Peso acqua	Uniforme GLOBZ	5500						
25	Peso Proprio	Peso Proprio kg	6750						
25	Peso acqua	Uniforme GLOBZ	5500						
26	Peso Proprio	Peso Proprio kg	3982						
26	Peso acqua	Uniforme GLOBZ	5500						
27	Peso Proprio	Peso Proprio kg	9518						
27	Peso acqua	Uniforme GLOBZ	5500						
28	Peso Proprio	Peso Proprio kg	7357						
28	Peso acqua	Uniforme GLOBZ	5500						
29	Peso Proprio	Peso Proprio kg	6143						
29	Peso acqua	Uniforme GLOBZ	5500						
30	Peso Proprio	Peso Proprio kg	6750						
30	Peso acqua	Uniforme GLOBZ	5500						
31	Peso Proprio	Peso Proprio kg	6750						
31	Peso acqua	Uniforme GLOBZ	5500						
32	Peso Proprio	Peso Proprio kg	6750						
32	Peso acqua	Uniforme GLOBZ	5500						
33	Peso Proprio	Peso Proprio kg	11250						
33	Peso acqua	Uniforme GLOBZ	5500						
34	Peso Proprio	Peso Proprio kg	7500						
34	Peso acqua	Uniforme GLOBZ	5500						
35	Peso Proprio	Peso Proprio kg	6637						
35	Peso acqua	Uniforme GLOBZ	5500						
36	Peso Proprio	Peso Proprio kg	4425						
36	Peso acqua	Uniforme GLOBZ	5500						
37	Peso Proprio	Peso Proprio kg	15863						
37	Peso acqua	Uniforme GLOBZ	5500						
38	Peso Proprio	Peso Proprio kg	10575						

**POTENZIAMENTO DELL'IMPIANTO DI DEPURAZIONE E
DEL RECAPITO FINALE DI SQUINZANO (LE)
PROGETTO DEFINITIVO
Tabulati di calcolo strutturale-Equalizzazione**

R.37.7

Maggio 2021

Pagina 38 di 338

She 11	Cond.	Tipo	Q	Vert.1	Vert.2	Vert.3	Vert.4	Hw	γ
38	Peso acqua	Uniforme GLOBZ	5500						
39	Peso Proprio	Peso Proprio kg	12263						
39	Peso acqua	Uniforme GLOBZ	5500						
40	Peso Proprio	Peso Proprio kg	8175						
40	Peso acqua	Uniforme GLOBZ	5500						
41	Peso Proprio	Peso Proprio kg	10238						
41	Peso acqua	Uniforme GLOBZ	5500						
42	Peso Proprio	Peso Proprio kg	6825						
42	Peso acqua	Uniforme GLOBZ	5500						
43	Peso Proprio	Peso Proprio kg	11250						
43	Peso acqua	Uniforme GLOBZ	5500						
44	Peso Proprio	Peso Proprio kg	7500						
44	Peso acqua	Uniforme GLOBZ	5500						
45	Peso Proprio	Peso Proprio kg	11250						
45	Peso acqua	Uniforme GLOBZ	5500						
46	Peso Proprio	Peso Proprio kg	7500						
46	Peso acqua	Uniforme GLOBZ	5500						
47	Peso Proprio	Peso Proprio kg	7500						
47	Peso acqua	Uniforme GLOBZ	5500						
48	Peso Proprio	Peso Proprio kg	11250						
48	Peso acqua	Uniforme GLOBZ	5500						
49	Peso Proprio	Peso Proprio kg	4500						
49	Peso acqua	Uniforme GLOBZ	5500						
50	Peso Proprio	Peso Proprio kg	6000						
50	Peso acqua	Uniforme GLOBZ	5500						
51	Peso Proprio	Peso Proprio kg	5250						
51	Peso acqua	Uniforme GLOBZ	5500						
52	Peso Proprio	Peso Proprio kg	5250						
52	Peso acqua	Uniforme GLOBZ	5500						
53	Peso Proprio	Peso Proprio kg	2655						
53	Peso acqua	Uniforme GLOBZ	5500						
54	Peso Proprio	Peso Proprio kg	3540						
54	Peso acqua	Uniforme GLOBZ	5500						
55	Peso Proprio	Peso Proprio kg	3097						
55	Peso acqua	Uniforme GLOBZ	5500						
56	Peso Proprio	Peso Proprio kg	3097						
56	Peso acqua	Uniforme GLOBZ	5500						
57	Peso Proprio	Peso Proprio kg	7403						
57	Peso acqua	Uniforme GLOBZ	5500						
58	Peso Proprio	Peso Proprio kg	7403						
58	Peso acqua	Uniforme GLOBZ	5500						
59	Peso Proprio	Peso Proprio kg	5722						
59	Peso acqua	Uniforme GLOBZ	5500						
60	Peso Proprio	Peso Proprio kg	5722						
60	Peso acqua	Uniforme GLOBZ	5500						
61	Peso Proprio	Peso Proprio kg	4095						
61	Peso acqua	Uniforme GLOBZ	5500						
62	Peso Proprio	Peso Proprio kg	5460						
62	Peso acqua	Uniforme GLOBZ	5500						
63	Peso Proprio	Peso Proprio kg	4778						
63	Peso acqua	Uniforme GLOBZ	5500						
64	Peso Proprio	Peso Proprio kg	4778						
64	Peso acqua	Uniforme GLOBZ	5500						
65	Peso Proprio	Peso Proprio kg	4500						
65	Peso acqua	Uniforme GLOBZ	5500						
66	Peso Proprio	Peso Proprio kg	6000						
66	Peso acqua	Uniforme GLOBZ	5500						
67	Peso Proprio	Peso Proprio kg	5250						
67	Peso acqua	Uniforme GLOBZ	5500						
68	Peso Proprio	Peso Proprio kg	5250						
68	Peso acqua	Uniforme GLOBZ	5500						
69	Peso Proprio	Peso Proprio kg	4500						
69	Peso acqua	Uniforme GLOBZ	5500						
70	Peso Proprio	Peso Proprio kg	6000						
70	Peso acqua	Uniforme GLOBZ	5500						
71	Peso Proprio	Peso Proprio kg	5250						
71	Peso acqua	Uniforme GLOBZ	5500						
72	Peso Proprio	Peso Proprio kg	5250						
72	Peso acqua	Uniforme GLOBZ	5500						
73	Peso Proprio	Peso Proprio kg	4500						
73	Peso acqua	Uniforme GLOBZ	5500						
74	Peso Proprio	Peso Proprio kg	6000						
74	Peso acqua	Uniforme GLOBZ	5500						
75	Peso Proprio	Peso Proprio kg	5250						
75	Peso acqua	Uniforme GLOBZ	5500						

**POTENZIAMENTO DELL'IMPIANTO DI DEPURAZIONE E
DEL RECAPITO FINALE DI SQUINZANO (LE)
PROGETTO DEFINITIVO
Tabulati di calcolo strutturale-Equalizzazione**

R.37.7

Maggio 2021

Pagina 39 di 338

She 11	Cond.	Tipo	Q	Vert.1	Vert.2	Vert.3	Vert.4	Hw	γ
76	Peso Proprio	Peso Proprio kg	5250						
76	Peso acqua	Uniforme GLOBZ	5500						
77	Peso Proprio	Peso Proprio kg	6540						
77	Peso acqua	Uniforme GLOBZ	6050						
78	Peso Proprio	Peso Proprio kg	4905						
78	Peso acqua	Uniforme GLOBZ	6050						
79	Peso Proprio	Peso Proprio kg	2180						
79	Spinta acqua	Idrostatico - Positivo						500	1100
80	Peso Proprio	Peso Proprio kg	938						
80	Spinta acqua	Idrostatico - Positivo						500	1100
81	Peso Proprio	Peso Proprio kg	2000						
81	Spinta acqua	Idrostatico - Positivo						500	1100
82	Peso Proprio	Peso Proprio kg	8460						
82	Peso acqua	Uniforme GLOBZ	6050						
83	Peso Proprio	Peso Proprio kg	6345						
83	Peso acqua	Uniforme GLOBZ	6050						
84	Peso Proprio	Peso Proprio kg	2820						
84	Spinta acqua	Idrostatico - Positivo						500	1100
85	Peso Proprio	Peso Proprio kg	2180						
85	Spinta acqua	Idrostatico - Positivo						500	1100
85	spinta sovraccarico	Uniforme_GLOBY	660						
86	Peso Proprio	Peso Proprio kg	2820						
86	Spinta acqua	Idrostatico - Positivo						500	1100
86	spinta sovraccarico	Uniforme_GLOBY	660						
87	Peso Proprio	Peso Proprio kg	1500						
87	Spinta acqua	Idrostatico - Positivo						500	1100
87	spinta sovraccarico	Uniforme_GLOBX	660						
88	Peso Proprio	Peso Proprio kg	2000						
88	Spinta acqua	Idrostatico - Positivo						500	1100
88	spinta sovraccarico	Uniforme_GLOBX	660						
89	Peso Proprio	Peso Proprio kg	4688						
89	Spinta acqua	Idrostatico - Positivo						500	1100
89	spinta sovraccarico	Uniforme_GLOBX	-660						
90	Peso Proprio	Peso Proprio kg	3125						
90	Spinta acqua	Idrostatico - Positivo						500	1100
90	spinta sovraccarico	Uniforme_GLOBX	-660						
91	Peso Proprio	Peso Proprio kg	2500						
91	Spinta acqua	Idrostatico - Positivo						500	1100
91	spinta sovraccarico	Uniforme_GLOBY	-660						
92	Peso Proprio	Peso Proprio kg	2813						
92	Spinta acqua	Idrostatico - Positivo						500	1100
92	spinta sovraccarico	Uniforme_GLOBX	-660						
93	Peso Proprio	Peso Proprio kg	2500						
93	Spinta acqua	Idrostatico - Positivo						500	1100
93	spinta sovraccarico	Uniforme_GLOBY	-660						
94	Peso Proprio	Peso Proprio kg	2500						
94	Spinta acqua	Idrostatico - Positivo						500	1100
94	spinta sovraccarico	Uniforme_GLOBY	-660						
95	Peso Proprio	Peso Proprio kg	2275						
95	Spinta acqua	Idrostatico - Positivo						500	1100
95	spinta sovraccarico	Uniforme_GLOBY	-660						
96	Peso Proprio	Peso Proprio kg	1875						
96	Spinta acqua	Idrostatico - Positivo						500	1100
96	spinta sovraccarico	Uniforme_GLOBX	-660						
97	Peso Proprio	Peso Proprio kg	1875						
97	Spinta acqua	Idrostatico - Positivo						500	1100
97	spinta sovraccarico	Uniforme_GLOBX	-660						
98	Peso Proprio	Peso Proprio kg	2813						
98	Spinta acqua	Idrostatico - Positivo						500	1100
98	spinta sovraccarico	Uniforme_GLOBX	-660						
99	Peso Proprio	Peso Proprio kg	2813						
99	Spinta acqua	Idrostatico - Positivo						500	1100

She 11	Cond.	Tipo	Q	Vert.1	Vert.2	Vert.3	Vert.4	Hw	γ
99	spinta sovraccarico	Uniforme_GLOBX	-660						
100	Peso Proprio	Peso Proprio kg	2725						
100	Spinta acqua	Idrostatico - Positivo						500	1100
100	spinta sovraccarico	Uniforme_GLOBY	-660						
101	Peso Proprio	Peso Proprio kg	2725						
101	Spinta acqua	Idrostatico - Positivo						500	1100
101	spinta sovraccarico	Uniforme_GLOBY	-660						
102	Peso Proprio	Peso Proprio kg	3525						
102	Spinta acqua	Idrostatico - Positivo						500	1100
102	spinta sovraccarico	Uniforme_GLOBY	-660						
103	Peso Proprio	Peso Proprio kg	3525						
103	Spinta acqua	Idrostatico - Positivo						500	1100
103	spinta sovraccarico	Uniforme_GLOBY	-660						
104	Peso Proprio	Peso Proprio kg	2275						
104	Spinta acqua	Idrostatico - Positivo						500	1100
104	spinta sovraccarico	Uniforme_GLOBY	660						
105	Peso Proprio	Peso Proprio kg	2500						
105	Spinta acqua	Idrostatico - Positivo						500	1100
105	spinta sovraccarico	Uniforme_GLOBY	660						
106	Peso Proprio	Peso Proprio kg	2500						
106	Spinta acqua	Idrostatico - Positivo						500	1100
106	spinta sovraccarico	Uniforme_GLOBY	660						
107	Peso Proprio	Peso Proprio kg	2275						
107	Spinta acqua	Idrostatico - Positivo						500	1100
107	spinta sovraccarico	Uniforme_GLOBY	660						
108	Peso Proprio	Peso Proprio kg	2500						
108	Spinta acqua	Idrostatico - Positivo						500	1100
108	spinta sovraccarico	Uniforme_GLOBY	660						
109	Peso Proprio	Peso Proprio kg	2500						
109	Spinta acqua	Idrostatico - Positivo						500	1100
109	spinta sovraccarico	Uniforme_GLOBY	660						
110	Peso Proprio	Peso Proprio kg	2500						
110	Spinta acqua	Idrostatico - Positivo						500	1100
110	spinta sovraccarico	Uniforme_GLOBY	660						
111	Peso Proprio	Peso Proprio kg	2500						
111	Spinta acqua	Idrostatico - Positivo						500	1100
111	spinta sovraccarico	Uniforme_GLOBY	660						
112	Peso Proprio	Peso Proprio kg	2725						
112	Spinta acqua	Idrostatico - Positivo						500	1100
112	spinta sovraccarico	Uniforme_GLOBY	660						
113	Peso Proprio	Peso Proprio kg	2725						
113	Spinta acqua	Idrostatico - Positivo						500	1100
113	spinta sovraccarico	Uniforme_GLOBY	660						
114	Peso Proprio	Peso Proprio kg	3525						
114	Spinta acqua	Idrostatico - Positivo						500	1100
114	spinta sovraccarico	Uniforme_GLOBY	660						
115	Peso Proprio	Peso Proprio kg	3525						
115	Spinta acqua	Idrostatico - Positivo						500	1100
115	spinta sovraccarico	Uniforme_GLOBY	660						
116	Peso Proprio	Peso Proprio kg	1475						
116	Spinta acqua	Idrostatico - Positivo						500	1100
116	spinta sovraccarico	Uniforme_GLOBY	660						
117	Peso Proprio	Peso Proprio kg	1475						
117	Spinta acqua	Idrostatico - Positivo						500	1100
117	spinta sovraccarico	Uniforme_GLOBY	-660						
118	Peso Proprio	Peso Proprio kg	1475						
118	Spinta acqua	Idrostatico - Positivo						500	1100

**POTENZIAMENTO DELL'IMPIANTO DI DEPURAZIONE E
DEL RECAPITO FINALE DI SQUINZANO (LE)
PROGETTO DEFINITIVO
Tabulati di calcolo strutturale-Equalizzazione**

R.37.7

Maggio 2021

Pagina 41 di 338

She 11	Cond.	Tipo	Q	Vert.1	Vert.2	Vert.3	Vert.4	Hw	γ
118	spinta sovraccarico	Uniforme_GLOBY	-660						
119	Peso Proprio	Peso Proprio kg	1475						
119	Spinta acqua	Idrostatico - Positivo						500	1100
119	spinta sovraccarico	Uniforme_GLOBY	660						
120	Peso Proprio	Peso Proprio kg	2500						
120	Spinta acqua	Idrostatico - Positivo						500	1100
120	spinta sovraccarico	Uniforme_GLOBY	660						
121	Peso Proprio	Peso Proprio kg	2500						
121	Spinta acqua	Idrostatico - Positivo						500	1100
121	spinta sovraccarico	Uniforme_GLOBY	-660						
122	Peso Proprio	Peso Proprio kg	2500						
122	Spinta acqua	Idrostatico - Positivo						500	1100
122	spinta sovraccarico	Uniforme_GLOBY	660						
123	Peso Proprio	Peso Proprio kg	2500						
123	Spinta acqua	Idrostatico - Positivo						500	1100
123	spinta sovraccarico	Uniforme_GLOBY	-660						
124	Peso Proprio	Peso Proprio kg	5313						
124	Spinta acqua	Idrostatico - Positivo						500	1100
124	spinta sovraccarico	Uniforme_GLOBY	-660						
125	Peso Proprio	Peso Proprio kg	5313						
125	Spinta acqua	Idrostatico - Positivo						500	1100
125	spinta sovraccarico	Uniforme_GLOBY	-660						
126	Peso Proprio	Peso Proprio kg	2188						
126	Spinta acqua	Idrostatico - Positivo						500	1100
126	spinta sovraccarico	Uniforme_GLOBY	-660						
127	Peso Proprio	Peso Proprio kg	2188						
127	Spinta acqua	Idrostatico - Positivo						500	1100
127	spinta sovraccarico	Uniforme_GLOBY	-660						
128	Peso Proprio	Peso Proprio kg	2188						
128	Spinta acqua	Idrostatico - Positivo						500	1100
128	spinta sovraccarico	Uniforme_GLOBY	-660						
129	Peso Proprio	Peso Proprio kg	2188						
129	Spinta acqua	Idrostatico - Positivo						500	1100
129	spinta sovraccarico	Uniforme_GLOBY	-660						
130	Peso Proprio	Peso Proprio kg	2500						
130	Spinta acqua	Idrostatico - Positivo						500	1100
130	spinta sovraccarico	Uniforme_GLOBY	-660						
131	Peso Proprio	Peso Proprio kg	2500						
131	Spinta acqua	Idrostatico - Positivo						500	1100
131	spinta sovraccarico	Uniforme_GLOBY	-660						
132	Peso Proprio	Peso Proprio kg	1875						
132	Spinta acqua	Idrostatico - Positivo						500	1100
132	spinta sovraccarico	Uniforme_GLOBY	-660						
133	Peso Proprio	Peso Proprio kg	1875						
133	Spinta acqua	Idrostatico - Positivo						500	1100
133	spinta sovraccarico	Uniforme_GLOBY	-660						
134	Peso Proprio	Peso Proprio kg	3125						
134	Spinta acqua	Idrostatico - Positivo						500	1100
134	spinta sovraccarico	Uniforme_GLOBY	660						
135	Peso Proprio	Peso Proprio kg	1875						
135	Spinta acqua	Idrostatico - Positivo						500	1100
135	spinta sovraccarico	Uniforme_GLOBY	660						
136	Peso Proprio	Peso Proprio kg	2813						
136	Spinta acqua	Idrostatico - Positivo						500	1100
136	spinta sovraccarico	Uniforme_GLOBY	660						
137	Peso Proprio	Peso Proprio kg	2813						
137	Spinta acqua	Idrostatico - Positivo						500	1100

She 11	Cond.	Tipo	Q	Vert.1	Vert.2	Vert.3	Vert.4	Hw	γ
137	spinta sovraccarico	Uniforme_GLOBX	660						
138	Peso Proprio	Peso Proprio kg	3125						
138	Spinta acqua	Idrostatico - Positivo						500	1100
138	spinta sovraccarico	Uniforme_GLOBX	660						
139	Peso Proprio	Peso Proprio kg	1875						
139	Spinta acqua	Idrostatico - Positivo						500	1100
139	spinta sovraccarico	Uniforme_GLOBX	660						
140	Peso Proprio	Peso Proprio kg	4688						
140	Spinta acqua	Idrostatico - Positivo						500	1100
140	spinta sovraccarico	Uniforme_GLOBX	660						
141	Peso Proprio	Peso Proprio kg	2813						
141	Spinta acqua	Idrostatico - Positivo						500	1100
141	spinta sovraccarico	Uniforme_GLOBX	660						
142	Peso Proprio	Peso Proprio kg	4688						
142	Spinta acqua	Idrostatico - Positivo						500	1100
142	spinta sovraccarico	Uniforme_GLOBX	660						
143	Peso Proprio	Peso Proprio kg	2813						
143	Spinta acqua	Idrostatico - Positivo						500	1100
143	spinta sovraccarico	Uniforme_GLOBX	660						
144	Peso Proprio	Peso Proprio kg	2188						
144	Spinta acqua	Idrostatico - Positivo						500	1100
144	spinta sovraccarico	Uniforme_GLOBX	660						
145	Peso Proprio	Peso Proprio kg	2188						
145	Spinta acqua	Idrostatico - Positivo						500	1100
145	spinta sovraccarico	Uniforme_GLOBX	660						
146	Peso Proprio	Peso Proprio kg	2188						
146	Spinta acqua	Idrostatico - Positivo						500	1100
146	spinta sovraccarico	Uniforme_GLOBX	660						
147	Peso Proprio	Peso Proprio kg	2188						
147	Spinta acqua	Idrostatico - Positivo						500	1100
147	spinta sovraccarico	Uniforme_GLOBX	660						
148	Peso Proprio	Peso Proprio kg	2500						
148	Spinta acqua	Idrostatico - Positivo						500	1100
148	spinta sovraccarico	Uniforme_GLOBX	660						
149	Peso Proprio	Peso Proprio kg	2500						
149	Spinta acqua	Idrostatico - Positivo						500	1100
149	spinta sovraccarico	Uniforme_GLOBX	660						
150	Peso Proprio	Peso Proprio kg	1875						
150	Spinta acqua	Idrostatico - Positivo						500	1100
150	spinta sovraccarico	Uniforme_GLOBX	660						
151	Peso Proprio	Peso Proprio kg	1875						
151	Spinta acqua	Idrostatico - Positivo						500	1100
151	spinta sovraccarico	Uniforme_GLOBX	660						
152	Peso Proprio	Peso Proprio kg	5313						
152	Spinta acqua	Idrostatico - Positivo						500	1100
152	spinta sovraccarico	Uniforme_GLOBX	660						
153	Peso Proprio	Peso Proprio kg	5313						
153	Spinta acqua	Idrostatico - Positivo						500	1100
153	spinta sovraccarico	Uniforme_GLOBX	660						
154	Peso Proprio	Peso Proprio kg	3125						
154	Spinta acqua	Idrostatico - Positivo						500	1100
154	spinta sovraccarico	Uniforme_GLOBX	-660						
155	Peso Proprio	Peso Proprio kg	2500						
155	Spinta acqua	Idrostatico - Positivo						500	1100
155	spinta sovraccarico	Uniforme_GLOBY	-660						
156	Peso Proprio	Peso Proprio kg	4688						
156	Spinta acqua	Idrostatico - Positivo						500	1100

She 11	Cond.	Tipo	Q	Vert.1	Vert.2	Vert.3	Vert.4	Hw	γ
156	spinta sovraccarico	Uniforme_GLOBX	-660						
157	Peso Proprio	Peso Proprio kg	2813						
157	Spinta acqua	Idrostatico - Positivo						500	1100
157	spinta sovraccarico	Uniforme_GLOBX	-660						
158	Peso Proprio	Peso Proprio kg	2500						
158	Spinta acqua	Idrostatico - Positivo						500	1100
158	spinta sovraccarico	Uniforme_GLOBY	-660						
159	Peso Proprio	Peso Proprio kg	2500						
159	Spinta acqua	Idrostatico - Positivo						500	1100
159	spinta sovraccarico	Uniforme_GLOBY	-660						
160	Peso Proprio	Peso Proprio kg	2275						
160	Spinta acqua	Idrostatico - Positivo						500	1100
160	spinta sovraccarico	Uniforme_GLOBY	-660						
161	Peso Proprio	Peso Proprio kg	4688						
161	Spinta acqua	Idrostatico - Positivo						500	1100
161	spinta sovraccarico	Uniforme_GLOBX	-660						
162	Peso Proprio	Peso Proprio kg	3125						
162	Spinta acqua	Idrostatico - Positivo						500	1100
162	spinta sovraccarico	Uniforme_GLOBX	-660						
163	Peso Proprio	Peso Proprio kg	2500						
163	Spinta acqua	Idrostatico - Positivo						500	1100
163	spinta sovraccarico	Uniforme_GLOBY	-660						
164	Peso Proprio	Peso Proprio kg	2813						
164	Spinta acqua	Idrostatico - Positivo						500	1100
164	spinta sovraccarico	Uniforme_GLOBX	-660						
165	Peso Proprio	Peso Proprio kg	2500						
165	Spinta acqua	Idrostatico - Positivo						500	1100
165	spinta sovraccarico	Uniforme_GLOBY	-660						
166	Peso Proprio	Peso Proprio kg	2500						
166	Spinta acqua	Idrostatico - Positivo						500	1100
166	spinta sovraccarico	Uniforme_GLOBY	-660						
167	Peso Proprio	Peso Proprio kg	2275						
167	Spinta acqua	Idrostatico - Positivo						500	1100
167	spinta sovraccarico	Uniforme_GLOBY	-660						
168	Peso Proprio	Peso Proprio kg	1875						
168	Spinta acqua	Idrostatico - Positivo						500	1100
168	spinta sovraccarico	Uniforme_GLOBX	-660						
169	Peso Proprio	Peso Proprio kg	2813						
169	Spinta acqua	Idrostatico - Positivo						500	1100
169	spinta sovraccarico	Uniforme_GLOBX	-660						
170	Peso Proprio	Peso Proprio kg	2725						
170	Spinta acqua	Idrostatico - Positivo						500	1100
170	spinta sovraccarico	Uniforme_GLOBY	-660						
171	Peso Proprio	Peso Proprio kg	3525						
171	Spinta acqua	Idrostatico - Positivo						500	1100
171	spinta sovraccarico	Uniforme_GLOBY	-660						
172	Peso Proprio	Peso Proprio kg	2813						
172	Spinta acqua	Idrostatico - Positivo						500	1100
172	spinta sovraccarico	Uniforme_GLOBX	-660						
173	Peso Proprio	Peso Proprio kg	4688						
173	Spinta acqua	Idrostatico - Positivo						500	1100
173	spinta sovraccarico	Uniforme_GLOBX	-660						
174	Peso Proprio	Peso Proprio kg	2500						
174	Spinta acqua	Idrostatico - Positivo						500	1100
174	spinta sovraccarico	Uniforme_GLOBY	-660						
175	Peso Proprio	Peso Proprio kg	3125						
175	Spinta acqua	Idrostatico - Positivo						500	1100

She 11	Cond.	Tipo	Q	Vert.1	Vert.2	Vert.3	Vert.4	Hw	γ
175	spinta sovraccarico	Uniforme_GLOBX	-660						
176	Peso Proprio	Peso Proprio kg	2500						
176	Spinta acqua	Idrostatico - Positivo						500	1100
176	spinta sovraccarico	Uniforme_GLOBY	-660						
177	Peso Proprio	Peso Proprio kg	2275						
177	Spinta acqua	Idrostatico - Positivo						500	1100
177	spinta sovraccarico	Uniforme_GLOBY	-660						
178	Peso Proprio	Peso Proprio kg	1875						
178	Spinta acqua	Idrostatico - Positivo						500	1100
178	spinta sovraccarico	Uniforme_GLOBX	-660						
179	Peso Proprio	Peso Proprio kg	2500						
179	Spinta acqua	Idrostatico - Positivo						500	1100
179	spinta sovraccarico	Uniforme_GLOBY	-660						
180	Peso Proprio	Peso Proprio kg	2813						
180	Spinta acqua	Idrostatico - Positivo						500	1100
180	spinta sovraccarico	Uniforme_GLOBX	-660						
181	Peso Proprio	Peso Proprio kg	3525						
181	Spinta acqua	Idrostatico - Positivo						500	1100
181	spinta sovraccarico	Uniforme_GLOBY	-660						
182	Peso Proprio	Peso Proprio kg	2725						
182	Spinta acqua	Idrostatico - Positivo						500	1100
182	spinta sovraccarico	Uniforme_GLOBY	-660						
183	Peso Proprio	Peso Proprio kg	2275						
183	Spinta acqua	Idrostatico - Positivo						500	1100
183	spinta sovraccarico	Uniforme_GLOBY	660						
184	Peso Proprio	Peso Proprio kg	2500						
184	Spinta acqua	Idrostatico - Positivo						500	1100
184	spinta sovraccarico	Uniforme_GLOBY	660						
185	Peso Proprio	Peso Proprio kg	2500						
185	Spinta acqua	Idrostatico - Positivo						500	1100
185	spinta sovraccarico	Uniforme_GLOBY	660						
186	Peso Proprio	Peso Proprio kg	2500						
186	Spinta acqua	Idrostatico - Positivo						500	1100
186	spinta sovraccarico	Uniforme_GLOBY	660						
187	Peso Proprio	Peso Proprio kg	2725						
187	Spinta acqua	Idrostatico - Positivo						500	1100
187	spinta sovraccarico	Uniforme_GLOBY	660						
188	Peso Proprio	Peso Proprio kg	3525						
188	Spinta acqua	Idrostatico - Positivo						500	1100
188	spinta sovraccarico	Uniforme_GLOBY	660						
189	Peso Proprio	Peso Proprio kg	2275						
189	Spinta acqua	Idrostatico - Positivo						500	1100
189	spinta sovraccarico	Uniforme_GLOBY	660						
190	Peso Proprio	Peso Proprio kg	2500						
190	Spinta acqua	Idrostatico - Positivo						500	1100
190	spinta sovraccarico	Uniforme_GLOBY	660						
191	Peso Proprio	Peso Proprio kg	2500						
191	Spinta acqua	Idrostatico - Positivo						500	1100
191	spinta sovraccarico	Uniforme_GLOBY	660						
192	Peso Proprio	Peso Proprio kg	2500						
192	Spinta acqua	Idrostatico - Positivo						500	1100
192	spinta sovraccarico	Uniforme_GLOBY	660						
193	Peso Proprio	Peso Proprio kg	3525						
193	Spinta acqua	Idrostatico - Positivo						500	1100
193	spinta sovraccarico	Uniforme_GLOBY	660						
194	Peso Proprio	Peso Proprio kg	2725						
194	Spinta acqua	Idrostatico - Positivo						500	1100

She 11	Cond.	Tipo	Q	Vert.1	Vert.2	Vert.3	Vert.4	Hw	γ
194	spinta sovraccarico	Uniforme_GLOBY	660						
195	Peso Proprio	Peso Proprio kg	1475						
195	Spinta acqua	Idrostatico - Positivo						500	1100
195	spinta sovraccarico	Uniforme_GLOBY	-660						
196	Peso Proprio	Peso Proprio kg	1475						
196	Spinta acqua	Idrostatico - Positivo						500	1100
196	spinta sovraccarico	Uniforme_GLOBY	-660						
197	Peso Proprio	Peso Proprio kg	1475						
197	Spinta acqua	Idrostatico - Positivo						500	1100
197	spinta sovraccarico	Uniforme_GLOBY	660						
198	Peso Proprio	Peso Proprio kg	1475						
198	Spinta acqua	Idrostatico - Positivo						500	1100
198	spinta sovraccarico	Uniforme_GLOBY	660						
199	Peso Proprio	Peso Proprio kg	2500						
199	Spinta acqua	Idrostatico - Positivo						500	1100
199	spinta sovraccarico	Uniforme_GLOBY	-660						
200	Peso Proprio	Peso Proprio kg	2500						
200	Spinta acqua	Idrostatico - Positivo						500	1100
200	spinta sovraccarico	Uniforme_GLOBY	-660						
201	Peso Proprio	Peso Proprio kg	2500						
201	Spinta acqua	Idrostatico - Positivo						500	1100
201	spinta sovraccarico	Uniforme_GLOBY	660						
202	Peso Proprio	Peso Proprio kg	2500						
202	Spinta acqua	Idrostatico - Positivo						500	1100
202	spinta sovraccarico	Uniforme_GLOBY	660						
203	Peso Proprio	Peso Proprio kg	5313						
203	Spinta acqua	Idrostatico - Positivo						500	1100
203	spinta sovraccarico	Uniforme_GLOBX	-660						
204	Peso Proprio	Peso Proprio kg	5313						
204	Spinta acqua	Idrostatico - Positivo						500	1100
204	spinta sovraccarico	Uniforme_GLOBX	-660						
205	Peso Proprio	Peso Proprio kg	2188						
205	Spinta acqua	Idrostatico - Positivo						500	1100
205	spinta sovraccarico	Uniforme_GLOBX	-660						
206	Peso Proprio	Peso Proprio kg	2188						
206	Spinta acqua	Idrostatico - Positivo						500	1100
206	spinta sovraccarico	Uniforme_GLOBX	-660						
207	Peso Proprio	Peso Proprio kg	2188						
207	Spinta acqua	Idrostatico - Positivo						500	1100
207	spinta sovraccarico	Uniforme_GLOBX	-660						
208	Peso Proprio	Peso Proprio kg	2188						
208	Spinta acqua	Idrostatico - Positivo						500	1100
208	spinta sovraccarico	Uniforme_GLOBX	-660						
209	Peso Proprio	Peso Proprio kg	2500						
209	Spinta acqua	Idrostatico - Positivo						500	1100
209	spinta sovraccarico	Uniforme_GLOBX	-660						
210	Peso Proprio	Peso Proprio kg	2500						
210	Spinta acqua	Idrostatico - Positivo						500	1100
210	spinta sovraccarico	Uniforme_GLOBX	-660						
211	Peso Proprio	Peso Proprio kg	1875						
211	Spinta acqua	Idrostatico - Positivo						500	1100
211	spinta sovraccarico	Uniforme_GLOBX	-660						
212	Peso Proprio	Peso Proprio kg	1875						
212	Spinta acqua	Idrostatico - Positivo						500	1100
212	spinta sovraccarico	Uniforme_GLOBX	-660						
213	Peso Proprio	Peso Proprio kg	1875						
213	Spinta acqua	Idrostatico - Positivo						500	1100

**POTENZIAMENTO DELL'IMPIANTO DI DEPURAZIONE E
DEL RECAPITO FINALE DI SQUINZANO (LE)
PROGETTO DEFINITIVO
Tabulati di calcolo strutturale-Equalizzazione**

R.37.7

Maggio 2021

Pagina 46 di 338

She 11	Cond.	Tipo	Q	Vert.1	Vert.2	Vert.3	Vert.4	Hw	γ
213	spinta sovraccarico	Uniforme_GLOBX	660						
214	Peso Proprio	Peso Proprio kg	2813						
214	Spinta acqua	Idrostatico - Positivo						500	1100
214	spinta sovraccarico	Uniforme_GLOBX	660						
215	Peso Proprio	Peso Proprio kg	3125						
215	Spinta acqua	Idrostatico - Positivo						500	1100
215	spinta sovraccarico	Uniforme_GLOBX	660						
216	Peso Proprio	Peso Proprio kg	4688						
216	Spinta acqua	Idrostatico - Positivo						500	1100
216	spinta sovraccarico	Uniforme_GLOBX	660						
217	Peso Proprio	Peso Proprio kg	2813						
217	Spinta acqua	Idrostatico - Positivo						500	1100
217	spinta sovraccarico	Uniforme_GLOBX	660						
218	Peso Proprio	Peso Proprio kg	2813						
218	Spinta acqua	Idrostatico - Positivo						500	1100
218	spinta sovraccarico	Uniforme_GLOBX	660						
219	Peso Proprio	Peso Proprio kg	1875						
219	Spinta acqua	Idrostatico - Positivo						500	1100
219	spinta sovraccarico	Uniforme_GLOBX	660						
220	Peso Proprio	Peso Proprio kg	4688						
220	Spinta acqua	Idrostatico - Positivo						500	1100
220	spinta sovraccarico	Uniforme_GLOBX	660						
221	Peso Proprio	Peso Proprio kg	3125						
221	Spinta acqua	Idrostatico - Positivo						500	1100
221	spinta sovraccarico	Uniforme_GLOBX	660						
222	Peso Proprio	Peso Proprio kg	2813						
222	Spinta acqua	Idrostatico - Positivo						500	1100
222	spinta sovraccarico	Uniforme_GLOBX	660						
223	Peso Proprio	Peso Proprio kg	2188						
223	Spinta acqua	Idrostatico - Positivo						500	1100
223	spinta sovraccarico	Uniforme_GLOBX	660						
224	Peso Proprio	Peso Proprio kg	2188						
224	Spinta acqua	Idrostatico - Positivo						500	1100
224	spinta sovraccarico	Uniforme_GLOBX	660						
225	Peso Proprio	Peso Proprio kg	2188						
225	Spinta acqua	Idrostatico - Positivo						500	1100
225	spinta sovraccarico	Uniforme_GLOBX	660						
226	Peso Proprio	Peso Proprio kg	2188						
226	Spinta acqua	Idrostatico - Positivo						500	1100
226	spinta sovraccarico	Uniforme_GLOBX	660						
227	Peso Proprio	Peso Proprio kg	2500						
227	Spinta acqua	Idrostatico - Positivo						500	1100
227	spinta sovraccarico	Uniforme_GLOBX	660						
228	Peso Proprio	Peso Proprio kg	2500						
228	Spinta acqua	Idrostatico - Positivo						500	1100
228	spinta sovraccarico	Uniforme_GLOBX	660						
229	Peso Proprio	Peso Proprio kg	1875						
229	Spinta acqua	Idrostatico - Positivo						500	1100
229	spinta sovraccarico	Uniforme_GLOBX	660						
230	Peso Proprio	Peso Proprio kg	1875						
230	Spinta acqua	Idrostatico - Positivo						500	1100
230	spinta sovraccarico	Uniforme_GLOBX	660						
231	Peso Proprio	Peso Proprio kg	5313						
231	Spinta acqua	Idrostatico - Positivo						500	1100
231	spinta sovraccarico	Uniforme_GLOBX	660						
232	Peso Proprio	Peso Proprio kg	5313						
232	Spinta acqua	Idrostatico - Positivo						500	1100

She 11	Cond.	Tipo	Q	Vert.1	Vert.2	Vert.3	Vert.4	Hw	γ
232	spinta sovraccarico	Uniforme_GLOBX	660						
233	Peso Proprio	Peso Proprio kg	2813						
233	Spinta acqua	Idrostatico - Positivo						500	1100
233	spinta sovraccarico	Uniforme_GLOBX	-660						
234	Peso Proprio	Peso Proprio kg	4688						
234	Spinta acqua	Idrostatico - Positivo						500	1100
234	spinta sovraccarico	Uniforme_GLOBX	-660						
235	Peso Proprio	Peso Proprio kg	2500						
235	Spinta acqua	Idrostatico - Positivo						500	1100
235	spinta sovraccarico	Uniforme_GLOBY	-660						
236	Peso Proprio	Peso Proprio kg	3125						
236	Spinta acqua	Idrostatico - Positivo						500	1100
236	spinta sovraccarico	Uniforme_GLOBX	-660						
237	Peso Proprio	Peso Proprio kg	2500						
237	Spinta acqua	Idrostatico - Positivo						500	1100
237	spinta sovraccarico	Uniforme_GLOBY	-660						
238	Peso Proprio	Peso Proprio kg	2275						
238	Spinta acqua	Idrostatico - Positivo						500	1100
238	spinta sovraccarico	Uniforme_GLOBY	-660						
239	Peso Proprio	Peso Proprio kg	1875						
239	Spinta acqua	Idrostatico - Positivo						500	1100
239	spinta sovraccarico	Uniforme_GLOBX	-660						
240	Peso Proprio	Peso Proprio kg	2500						
240	Spinta acqua	Idrostatico - Positivo						500	1100
240	spinta sovraccarico	Uniforme_GLOBY	-660						
241	Peso Proprio	Peso Proprio kg	2813						
241	Spinta acqua	Idrostatico - Positivo						500	1100
241	spinta sovraccarico	Uniforme_GLOBX	-660						
242	Peso Proprio	Peso Proprio kg	3525						
242	Spinta acqua	Idrostatico - Positivo						500	1100
242	spinta sovraccarico	Uniforme_GLOBY	-660						
243	Peso Proprio	Peso Proprio kg	2725						
243	Spinta acqua	Idrostatico - Positivo						500	1100
243	spinta sovraccarico	Uniforme_GLOBY	-660						
244	Peso Proprio	Peso Proprio kg	2275						
244	Spinta acqua	Idrostatico - Positivo						500	1100
244	spinta sovraccarico	Uniforme_GLOBY	660						
245	Peso Proprio	Peso Proprio kg	2500						
245	Spinta acqua	Idrostatico - Positivo						500	1100
245	spinta sovraccarico	Uniforme_GLOBY	660						
246	Peso Proprio	Peso Proprio kg	2500						
246	Spinta acqua	Idrostatico - Positivo						500	1100
246	spinta sovraccarico	Uniforme_GLOBY	660						
247	Peso Proprio	Peso Proprio kg	2500						
247	Spinta acqua	Idrostatico - Positivo						500	1100
247	spinta sovraccarico	Uniforme_GLOBY	660						
248	Peso Proprio	Peso Proprio kg	3525						
248	Spinta acqua	Idrostatico - Positivo						500	1100
248	spinta sovraccarico	Uniforme_GLOBY	660						
249	Peso Proprio	Peso Proprio kg	2725						
249	Spinta acqua	Idrostatico - Positivo						500	1100
249	spinta sovraccarico	Uniforme_GLOBY	660						
250	Peso Proprio	Peso Proprio kg	1475						
250	Spinta acqua	Idrostatico - Positivo						500	1100
250	spinta sovraccarico	Uniforme_GLOBY	-660						
251	Peso Proprio	Peso Proprio kg	1475						
251	Spinta acqua	Idrostatico - Positivo						500	1100

She 11	Cond.	Tipo	Q	Vert.1	Vert.2	Vert.3	Vert.4	Hw	γ
251	spinta sovraccarico	Uniforme_GLOBY	660						
252	Peso Proprio	Peso Proprio kg	2500						
252	Spinta acqua	Idrostatico - Positivo						500	1100
252	spinta sovraccarico	Uniforme_GLOBY	660						
253	Peso Proprio	Peso Proprio kg	2500						
253	Spinta acqua	Idrostatico - Positivo						500	1100
253	spinta sovraccarico	Uniforme_GLOBY	-660						
254	Peso Proprio	Peso Proprio kg	5313						
254	Spinta acqua	Idrostatico - Positivo						500	1100
254	spinta sovraccarico	Uniforme_GLOBX	-660						
255	Peso Proprio	Peso Proprio kg	2188						
255	Spinta acqua	Idrostatico - Positivo						500	1100
255	spinta sovraccarico	Uniforme_GLOBX	-660						
256	Peso Proprio	Peso Proprio kg	2188						
256	Spinta acqua	Idrostatico - Positivo						500	1100
256	spinta sovraccarico	Uniforme_GLOBX	-660						
257	Peso Proprio	Peso Proprio kg	2500						
257	Spinta acqua	Idrostatico - Positivo						500	1100
257	spinta sovraccarico	Uniforme_GLOBX	-660						
258	Peso Proprio	Peso Proprio kg	1875						
258	Spinta acqua	Idrostatico - Positivo						500	1100
258	spinta sovraccarico	Uniforme_GLOBX	-660						
259	Peso Proprio	Peso Proprio kg	2813						
259	Spinta acqua	Idrostatico - Positivo						500	1100
259	spinta sovraccarico	Uniforme_GLOBX	660						
260	Peso Proprio	Peso Proprio kg	1875						
260	Spinta acqua	Idrostatico - Positivo						500	1100
260	spinta sovraccarico	Uniforme_GLOBX	660						
261	Peso Proprio	Peso Proprio kg	4688						
261	Spinta acqua	Idrostatico - Positivo						500	1100
261	spinta sovraccarico	Uniforme_GLOBX	660						
262	Peso Proprio	Peso Proprio kg	3125						
262	Spinta acqua	Idrostatico - Positivo						500	1100
262	spinta sovraccarico	Uniforme_GLOBX	660						
263	Peso Proprio	Peso Proprio kg	2813						
263	Spinta acqua	Idrostatico - Positivo						500	1100
263	spinta sovraccarico	Uniforme_GLOBX	660						
264	Peso Proprio	Peso Proprio kg	2188						
264	Spinta acqua	Idrostatico - Positivo						500	1100
264	spinta sovraccarico	Uniforme_GLOBX	660						
265	Peso Proprio	Peso Proprio kg	2188						
265	Spinta acqua	Idrostatico - Positivo						500	1100
265	spinta sovraccarico	Uniforme_GLOBX	660						
266	Peso Proprio	Peso Proprio kg	2500						
266	Spinta acqua	Idrostatico - Positivo						500	1100
266	spinta sovraccarico	Uniforme_GLOBX	660						
267	Peso Proprio	Peso Proprio kg	1875						
267	Spinta acqua	Idrostatico - Positivo						500	1100
267	spinta sovraccarico	Uniforme_GLOBX	660						
268	Peso Proprio	Peso Proprio kg	5313						
268	Spinta acqua	Idrostatico - Positivo						500	1100
268	spinta sovraccarico	Uniforme_GLOBX	660						
269	Peso Proprio	Peso Proprio kg	1969						
269	Spinta acqua	Idrostatico - Positivo						440	1100
269	spinta sovraccarico	Uniforme_GLOBX	660						
270	Peso Proprio	Peso Proprio kg	1969						
270	Spinta acqua	Idrostatico - Positivo						440	1100

**POTENZIAMENTO DELL'IMPIANTO DI DEPURAZIONE E
DEL RECAPITO FINALE DI SQUINZANO (LE)
PROGETTO DEFINITIVO
Tabulati di calcolo strutturale-Equalizzazione**

R.37.7

Maggio 2021

Pagina 49 di 338

She 11	Cond.	Tipo	Q	Vert.1	Vert.2	Vert.3	Vert.4	Hw	γ
270	spinta sovraccarico	Uniforme_GLOBX	660						
271	Peso Proprio	Peso Proprio kg	2250						
271	Spinta acqua	Idrostatico - Positivo						440	1100
271	spinta sovraccarico	Uniforme_GLOBX	660						
272	Peso Proprio	Peso Proprio kg	4781						
272	Spinta acqua	Idrostatico - Positivo						440	1100
272	spinta sovraccarico	Uniforme_GLOBX	660						
273	Peso Proprio	Peso Proprio kg	1688						
273	Spinta acqua	Idrostatico - Positivo						440	1100
273	spinta sovraccarico	Uniforme_GLOBX	660						
274	Peso Proprio	Peso Proprio kg	4219						
274	Spinta acqua	Idrostatico - Positivo						440	1100
274	spinta sovraccarico	Uniforme_GLOBX	660						
275	Peso Proprio	Peso Proprio kg	2531						
275	Spinta acqua	Idrostatico - Positivo						440	1100
275	spinta sovraccarico	Uniforme_GLOBX	660						
276	Peso Proprio	Peso Proprio kg	1688						
276	Spinta acqua	Idrostatico - Positivo						440	1100
276	spinta sovraccarico	Uniforme_GLOBX	660						
277	Peso Proprio	Peso Proprio kg	2813						
277	Spinta acqua	Idrostatico - Positivo						440	1100
277	spinta sovraccarico	Uniforme_GLOBX	660						
278	Peso Proprio	Peso Proprio kg	2531						
278	Spinta acqua	Idrostatico - Positivo						440	1100
278	spinta sovraccarico	Uniforme_GLOBX	660						
279	Peso Proprio	Peso Proprio kg	2250						
279	Spinta acqua	Idrostatico - Positivo						440	1100
279	spinta sovraccarico	Uniforme_GLOBX	-660						
280	Peso Proprio	Peso Proprio kg	1969						
280	Spinta acqua	Idrostatico - Positivo						440	1100
280	spinta sovraccarico	Uniforme_GLOBX	-660						
281	Peso Proprio	Peso Proprio kg	1688						
281	Spinta acqua	Idrostatico - Positivo						440	1100
281	spinta sovraccarico	Uniforme_GLOBX	-660						
282	Peso Proprio	Peso Proprio kg	4781						
282	Spinta acqua	Idrostatico - Positivo						440	1100
282	spinta sovraccarico	Uniforme_GLOBX	-660						
283	Peso Proprio	Peso Proprio kg	1969						
283	Spinta acqua	Idrostatico - Positivo						440	1100
283	spinta sovraccarico	Uniforme_GLOBX	-660						
284	Peso Proprio	Peso Proprio kg	2250						
284	Spinta acqua	Idrostatico - Positivo						440	1100
284	spinta sovraccarico	Uniforme_GLOBY	-660						
285	Peso Proprio	Peso Proprio kg	2531						
285	Spinta acqua	Idrostatico - Positivo						440	1100
285	spinta sovraccarico	Uniforme_GLOBX	-660						
286	Peso Proprio	Peso Proprio kg	4219						
286	Spinta acqua	Idrostatico - Positivo						440	1100
286	spinta sovraccarico	Uniforme_GLOBX	-660						
287	Peso Proprio	Peso Proprio kg	2531						
287	Spinta acqua	Idrostatico - Positivo						440	1100
287	spinta sovraccarico	Uniforme_GLOBX	-660						
288	Peso Proprio	Peso Proprio kg	2453						
288	Spinta acqua	Idrostatico - Positivo						440	1100
288	spinta sovraccarico	Uniforme_GLOBY	-660						
289	Peso Proprio	Peso Proprio kg	2250						
289	Spinta acqua	Idrostatico - Positivo						440	1100

She 11	Cond.	Tipo	Q	Vert.1	Vert.2	Vert.3	Vert.4	Hw	γ
289	spinta sovraccarico	Uniforme_GLOBY	-660						
290	Peso Proprio	Peso Proprio kg	2048						
290	Spinta acqua	Idrostatico - Positivo						440	1100
290	spinta sovraccarico	Uniforme_GLOBY	-660						
291	Peso Proprio	Peso Proprio kg	2813						
291	Spinta acqua	Idrostatico - Positivo						440	1100
291	spinta sovraccarico	Uniforme_GLOBY	-660						
292	Peso Proprio	Peso Proprio kg	1688						
292	Spinta acqua	Idrostatico - Positivo						440	1100
292	spinta sovraccarico	Uniforme_GLOBY	-660						
293	Peso Proprio	Peso Proprio kg	2250						
293	Spinta acqua	Idrostatico - Positivo						440	1100
293	spinta sovraccarico	Uniforme_GLOBY	-660						
294	Peso Proprio	Peso Proprio kg	3173						
294	Spinta acqua	Idrostatico - Positivo						440	1100
294	spinta sovraccarico	Uniforme_GLOBY	-660						
295	Peso Proprio	Peso Proprio kg	2048						
295	Spinta acqua	Idrostatico - Positivo						440	1100
295	spinta sovraccarico	Uniforme_GLOBY	660						
296	Peso Proprio	Peso Proprio kg	3173						
296	Spinta acqua	Idrostatico - Positivo						440	1100
296	spinta sovraccarico	Uniforme_GLOBY	660						
297	Peso Proprio	Peso Proprio kg	2250						
297	Spinta acqua	Idrostatico - Positivo						440	1100
297	spinta sovraccarico	Uniforme_GLOBY	660						
298	Peso Proprio	Peso Proprio kg	2250						
298	Spinta acqua	Idrostatico - Positivo						440	1100
298	spinta sovraccarico	Uniforme_GLOBY	660						
299	Peso Proprio	Peso Proprio kg	1328						
299	Spinta acqua	Idrostatico - Positivo						440	1100
299	spinta sovraccarico	Uniforme_GLOBY	-660						
300	Peso Proprio	Peso Proprio kg	2250						
300	Spinta acqua	Idrostatico - Positivo						440	1100
300	spinta sovraccarico	Uniforme_GLOBY	660						
301	Peso Proprio	Peso Proprio kg	2453						
301	Spinta acqua	Idrostatico - Positivo						440	1100
301	spinta sovraccarico	Uniforme_GLOBY	660						
302	Peso Proprio	Peso Proprio kg	1328						
302	Spinta acqua	Idrostatico - Positivo						440	1100
302	spinta sovraccarico	Uniforme_GLOBY	660						
303	Peso Proprio	Peso Proprio kg	2250						
303	Spinta acqua	Idrostatico - Positivo						440	1100
303	spinta sovraccarico	Uniforme_GLOBY	660						
304	Peso Proprio	Peso Proprio kg	2250						
304	Spinta acqua	Idrostatico - Positivo						440	1100
304	spinta sovraccarico	Uniforme_GLOBY	-660						

Tabella solai tipo

Sol.N°	Descrizione	Spessore	QP	QF	QVar.	ψ_0	ψ_1	ψ_2	Luce netta	Def	%QX	%QY
		cm	kg/mq	kg/mq	kg/mq							
1	copertura aalluminio	2	30	30	50	0.00	0.00	0.00	No	Si	100	0

Dati solai

Solaio n°	Nodi	Tipo
0	7028-7019-7027-7036-7045-7054-7046-7037	copertura aalluminio



**POTENZIAMENTO DELL'IMPIANTO DI DEPURAZIONE E
DEL RECAPITO FINALE DI SQUINZANO (LE)
PROGETTO DEFINITIVO
Tabulati di calcolo strutturale-Equalizzazione**

R.37.7

Maggio 2021

Pagina 51 di 338

Solaio n°	Nodi	Tipo
0	7055-7046-7054-7063-7072-7064	copertura aalluminio
0	7091-7073-7064-7072-7081-7099-7098-7097-7096-7095-7094-7093-7092	copertura aalluminio
0	7010-7001-7002-7003-7004-7005-7006-7007-7008-7009-7018-7027-7019	copertura aalluminio

Tabulati di verifica

L'esito di ogni elaborazione viene sintetizzato nei disegni e schemi grafici allegati, che evidenziano i valori numerici nei punti e/o nelle sezioni significative, ai fini della valutazione del comportamento complessivo della struttura, e quelli necessari ai fini delle verifiche di misura della sicurezza.

Di seguito si riportano le tabelle relative a:

- Forze sismiche e masse
- Spostamenti Relativi dei nodi (SLD)
- Massime tensioni terreno platee per combinazione
- Massimi spostamenti dei nodi
- Massime reazioni vincolari
- Massimi spostamenti degli impalcati
- Massimi spostamenti degli impalcati (SLD)
- Massime sollecitazioni travi
- Massime sollecitazioni muri Discretizzati

Risultati Analisi Dinamica - Baricentri masse e masse

Scenario di calcolo: **Set_NT_ 2018 A2_SLV_SLD_STR_GEO**

Piano	Rigido	Massa	X	Y	Z
		kg	cm	cm	cm
0	Si	0	0	0	0
1	No	0	0	0	0
2	Si	98838	881	1291	106
3	Si	98750	880	1293	206
4	Si	99004	880	1284	306
5	Si	98750	880	1293	406
6	Si	93150	883	1293	504
7	Si	86518	907	1285	581

Verifica Degli Spostamenti Relativi

Scenario di calcolo: **Set_NT_ 2018 A2_SLV_SLD_STR_GEO**

Interp	Comb.	η_{Xv}	η_{Xh}	η_{Yv}	η_{Yh}	Nodo1	Nodo2	η	η_{Amm}	Cs
		mm	mm	mm	mm			mm	mm	
0-1	(14+15)-II-2	0.00	0.00	0.00	0.00	151	11	0.00	4.00	>100
0-1	(14+15)-II-2	0.00	0.00	0.00	0.00	152	283	0.00	4.00	>100
0-1	(14+15)-II-2	0.00	0.00	0.00	0.00	153	7	0.00	4.00	>100
0-1	(14+15)-II-2	0.00	0.00	0.00	0.00	156	286	0.00	4.00	>100
0-1	(14+15)-II-2	0.00	0.00	0.00	0.00	157	76	0.00	4.00	>100
0-1	(14+15)-II-2	0.00	0.00	0.00	0.00	158	281	0.00	4.00	>100
0-1	(14+15)-II-2	0.00	0.00	0.00	0.00	159	74	0.00	4.00	>100
0-1	(14+15)-II-2	0.00	0.00	0.00	0.00	160	9	0.00	4.00	>100
1-2	(14+15)-II-2	0.01	0.00	0.07	0.00	1	166	0.07	5.00	67
1-2	(14+15)-II-2	0.02	0.00	0.18	0.01	2	164	0.20	5.00	25
1-2	(14+15)-II-2	0.03	0.00	0.10	0.01	3	170	0.11	5.00	47
1-2	(14+15)-I-3	0.02	0.00	0.01	0.00	4	171	0.02	5.00	>100
1-2	(14+15)-II-2	0.01	0.00	0.22	0.02	5	169	0.24	5.00	21
1-2	(14+15)-II-2	0.00	0.00	0.17	0.02	7	173	0.19	5.00	27
1-2	(14+15)-I-3	0.07	0.01	0.02	0.00	8	183	0.07	5.00	69
1-2	(14+15)-II-2	0.01	0.00	0.11	0.01	9	172	0.12	5.00	43
1-2	(14+15)-I-3	0.01	0.00	0.00	0.00	10	167	0.01	5.00	>100
1-2	(14+15)-II-2	0.00	0.00	0.21	0.02	11	163	0.23	5.00	22
1-2	(14+15)-I-3	0.16	0.02	0.00	0.00	69	191	0.18	5.00	28
1-2	(14+15)-I-3	0.18	0.02	0.01	0.00	71	175	0.20	5.00	25
1-2	(14+15)-I-3	0.20	0.03	0.00	0.00	208	178	0.23	5.00	22
1-2	(14+15)-II-2	0.03	0.00	0.12	0.00	209	174	0.13	5.00	40
1-2	(14+15)-I-3	0.20	0.02	0.01	0.00	216	184	0.22	5.00	23
1-2	(14+15)-I-3	0.11	0.01	0.03	0.00	217	179	0.12	5.00	43
1-2	(14+15)-I-3	0.21	0.03	0.01	0.00	218	181	0.24	5.00	21
1-2	(14+15)-I-3	0.18	0.03	0.00	0.00	220	189	0.21	5.00	24
1-2	(14+15)-I-3	0.02	0.00	0.02	0.00	221	176	0.02	5.00	>100
1-2	(14+15)-I-3	0.21	0.04	0.01	0.00	222	177	0.24	5.00	21
1-2	(14+15)-I-3	0.21	0.03	0.01	0.00	223	182	0.25	5.00	20

**POTENZIAMENTO DELL'IMPIANTO DI DEPURAZIONE E
DEL RECAPITO FINALE DI SQUINZANO (LE)
PROGETTO DEFINITIVO
Tabulati di calcolo strutturale-Equalizzazione**

R.37.7

Maggio 2021

Pagina 52 di 338

Interp	Comb.	η_{Xv}	η_{Xh}	η_{Yv}	η_{Yh}	Nodo1	Nodo2	η	η_{Amm}	Cs
1-2	(14+15)-II-2	0.02	0.00	0.12	0.00	228	233	0.12	5.00	41
1-2	(14+15)-I-3	0.02	0.00	0.02	0.00	229	232	0.02	5.00	>100
1-2	(14+15)-I-3	0.10	0.01	0.02	0.00	230	237	0.11	5.00	45
1-2	(14+15)-II-2	0.00	0.00	0.30	0.01	231	165	0.31	5.00	16
1-2	(14+15)-I-3	0.20	0.02	0.01	0.00	236	141	0.22	5.00	23
1-2	(14+15)-I-3	0.21	0.03	0.01	0.00	238	143	0.24	5.00	21
1-2	(14+15)-II-2	0.01	0.00	0.22	0.01	244	149	0.23	5.00	22
1-2	(14+15)-II-2	0.01	0.00	0.28	0.01	247	150	0.29	5.00	17
1-2	(14+15)-I-3	0.21	0.03	0.00	0.00	253	154	0.25	5.00	20
1-2	(14+15)-I-3	0.21	0.03	0.00	0.00	256	161	0.25	5.00	20
1-2	(14+15)-II-2	0.01	0.00	0.28	0.01	262	168	0.29	5.00	17
1-2	(14+15)-II-2	0.02	0.00	0.19	0.01	266	162	0.19	5.00	26
1-2	(14+15)-I-3	0.11	0.02	0.01	0.00	279	192	0.13	5.00	38
1-2	(14+15)-I-3	0.14	0.01	0.01	0.00	280	180	0.15	5.00	33
1-2	(14+15)-I-3	0.05	0.01	0.01	0.00	287	188	0.06	5.00	90
2-3	(14+15)-I-3	0.16	0.04	0.01	0.00	141	190	0.21	5.00	24
2-3	(14+15)-I-3	0.19	0.05	0.01	0.00	143	194	0.24	5.00	21
2-3	(14+15)-II-2	0.02	0.00	0.24	0.01	149	187	0.26	5.00	19
2-3	(14+15)-II-2	0.01	0.00	0.33	0.02	150	198	0.35	5.00	14
2-3	(14+15)-I-3	0.19	0.06	0.00	0.00	154	204	0.26	5.00	20
2-3	(14+15)-I-3	0.19	0.06	0.00	0.00	161	196	0.25	5.00	20
2-3	(14+15)-II-2	0.02	0.00	0.20	0.01	162	101	0.21	5.00	24
2-3	(14+15)-II-2	0.01	0.00	0.29	0.03	163	97	0.33	5.00	15
2-3	(14+15)-II-2	0.02	0.00	0.21	0.02	164	102	0.23	5.00	22
2-3	(14+15)-II-2	0.00	0.00	0.36	0.02	165	207	0.38	5.00	13
2-3	(14+15)-II-2	0.01	0.00	0.08	0.01	166	117	0.09	5.00	55
2-3	(14+15)-I-3	0.00	0.00	0.00	0.00	167	118	0.01	5.00	>100
2-3	(14+15)-II-2	0.01	0.00	0.33	0.02	168	99	0.35	5.00	14
2-3	(14+15)-II-2	0.01	0.00	0.28	0.03	169	96	0.31	5.00	16
2-3	(14+15)-II-2	0.03	0.00	0.10	0.01	170	95	0.11	5.00	47
2-3	(14+15)-I-3	0.02	0.00	0.00	0.00	171	110	0.02	5.00	>100
2-3	(14+15)-II-2	0.01	0.00	0.15	0.02	172	104	0.16	5.00	30
2-3	(14+15)-II-2	0.00	0.00	0.26	0.03	173	109	0.29	5.00	17
2-3	(14+15)-II-2	0.02	0.00	0.11	0.01	174	120	0.12	5.00	41
2-3	(14+15)-I-3	0.15	0.04	0.01	0.00	175	127	0.19	5.00	26
2-3	(14+15)-I-3	0.01	0.00	0.01	0.00	176	119	0.01	5.00	>100
2-3	(14+15)-I-3	0.19	0.07	0.01	0.00	177	137	0.25	5.00	20
2-3	(14+15)-I-3	0.18	0.05	0.00	0.00	178	123	0.23	5.00	22
2-3	(14+15)-I-3	0.07	0.02	0.02	0.00	179	126	0.08	5.00	60
2-3	(14+15)-I-3	0.11	0.03	0.01	0.00	180	128	0.13	5.00	38
2-3	(14+15)-I-3	0.19	0.06	0.01	0.00	181	124	0.24	5.00	20
2-3	(14+15)-I-3	0.19	0.06	0.01	0.00	182	125	0.25	5.00	20
2-3	(14+15)-I-3	0.04	0.01	0.01	0.00	183	131	0.05	5.00	>100
2-3	(14+15)-I-3	0.17	0.04	0.01	0.00	184	134	0.21	5.00	24
2-3	(14+15)-I-3	0.03	0.01	0.01	0.00	188	135	0.04	5.00	>100
2-3	(14+15)-I-3	0.17	0.05	0.00	0.00	189	138	0.22	5.00	23
2-3	(14+15)-I-3	0.14	0.04	0.00	0.00	191	132	0.18	5.00	28
2-3	(14+15)-I-3	0.09	0.03	0.00	0.00	192	140	0.12	5.00	42
2-3	(14+15)-I-3	0.01	0.00	0.01	0.00	232	185	0.01	5.00	>100
2-3	(14+15)-II-2	0.02	0.00	0.11	0.01	233	193	0.12	5.00	42
2-3	(14+15)-I-3	0.06	0.01	0.02	0.00	237	186	0.08	5.00	63
3-4	(14+15)-II-2	0.02	0.00	0.08	0.01	95	106	0.09	5.00	55
3-4	(14+15)-II-2	0.01	0.00	0.26	0.04	96	108	0.30	5.00	17
3-4	(14+15)-II-2	0.01	0.00	0.29	0.04	97	107	0.33	5.00	15
3-4	(14+15)-II-2	0.01	0.00	0.31	0.03	99	100	0.34	5.00	15
3-4	(14+15)-II-2	0.02	0.00	0.17	0.02	101	98	0.19	5.00	27
3-4	(14+15)-II-2	0.02	0.00	0.19	0.03	102	103	0.21	5.00	23
3-4	(14+15)-II-2	0.01	0.00	0.14	0.02	104	105	0.16	5.00	31
3-4	(14+15)-II-2	0.00	0.00	0.26	0.04	109	111	0.30	5.00	17
3-4	(14+15)-II-2	0.02	0.00	0.00	0.00	110	112	0.02	5.00	>100
3-4	(14+15)-II-2	0.01	0.00	0.07	0.01	117	121	0.08	5.00	60
3-4	(14+15)-I-3	0.00	0.00	0.01	0.00	118	122	0.01	5.00	>100
3-4	(14+15)-I-3	0.01	0.00	0.01	0.00	119	114	0.01	5.00	>100
3-4	(14+15)-II-2	0.02	0.00	0.09	0.01	120	113	0.10	5.00	48
3-4	(14+15)-I-3	0.10	0.07	0.00	0.00	123	115	0.17	5.00	30
3-4	(14+15)-I-3	0.11	0.07	0.01	0.00	124	136	0.18	5.00	28
3-4	(14+15)-I-3	0.11	0.08	0.01	0.00	125	133	0.19	5.00	26
3-4	(14+15)-I-3	0.02	0.02	0.02	0.00	126	139	0.04	5.00	>100
3-4	(14+15)-I-3	0.08	0.05	0.01	0.00	127	116	0.13	5.00	39
3-4	(14+15)-I-3	0.04	0.03	0.01	0.00	128	130	0.08	5.00	66
3-4	(14+15)-I-3	0.01	0.01	0.01	0.00	131	129	0.02	5.00	>100
3-4	(14+15)-I-3	0.06	0.05	0.00	0.00	132	146	0.12	5.00	42
3-4	(14+15)-I-3	0.08	0.06	0.01	0.00	134	142	0.14	5.00	36
3-4	(14+15)-I-3	0.00	0.01	0.00	0.00	135	148	0.01	5.00	>100
3-4	(14+15)-I-3	0.10	0.09	0.01	0.00	137	144	0.19	5.00	27

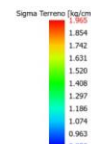
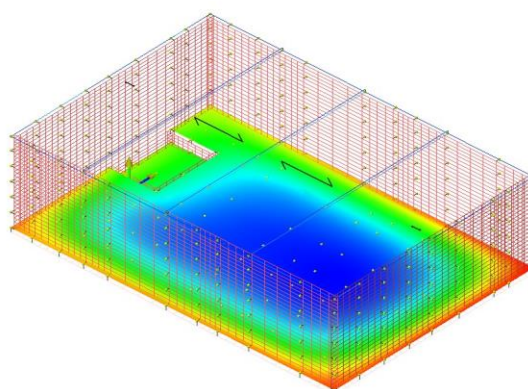
Interp	Comb.	η_{Xv}	η_{Xh}	η_{Yv}	η_{Yh}	Nodo1	Nodo2	η	η_{Amm}	Cs
3-4	(14+15)-I-3	0.09	0.07	0.00	0.00	138	147	0.16	5.00	31
3-4	(14+15)-I-3	0.03	0.04	0.00	0.00	140	145	0.07	5.00	73
3-4	(14+15)-I-3	0.01	0.00	0.00	0.00	185	202	0.01	5.00	>100
3-4	(14+15)-I-3	0.01	0.02	0.01	0.00	186	197	0.03	5.00	>100
3-4	(14+15)-II-2	0.02	0.00	0.22	0.02	187	195	0.24	5.00	21
3-4	(14+15)-I-3	0.08	0.05	0.01	0.00	190	201	0.14	5.00	37
3-4	(14+15)-II-2	0.02	0.00	0.09	0.01	193	199	0.10	5.00	50
3-4	(14+15)-I-3	0.11	0.07	0.01	0.00	194	200	0.18	5.00	28
3-4	(14+15)-I-3	0.11	0.08	0.00	0.00	196	205	0.19	5.00	26
3-4	(14+15)-II-2	0.01	0.00	0.31	0.03	198	203	0.33	5.00	15
3-4	(14+15)-I-3	0.11	0.08	0.00	0.00	204	206	0.19	5.00	26
3-4	(14+15)-II-2	0.00	0.00	0.34	0.03	207	94	0.37	5.00	14
4-5	(14+15)-II-2	0.00	0.00	0.30	0.03	94	15	0.33	5.00	15
4-5	(14+15)-II-2	0.02	0.00	0.14	0.02	98	24	0.16	5.00	32
4-5	(14+15)-II-2	0.01	0.00	0.27	0.03	100	23	0.30	5.00	17
4-5	(14+15)-II-2	0.02	0.00	0.15	0.03	103	39	0.19	5.00	27
4-5	(14+15)-II-2	0.01	0.00	0.11	0.03	105	46	0.14	5.00	36
4-5	(14+15)-II-2	0.02	0.00	0.06	0.01	106	32	0.08	5.00	66
4-5	(14+15)-II-2	0.01	0.00	0.26	0.05	107	33	0.31	5.00	16
4-5	(14+15)-II-2	0.02	0.00	0.23	0.04	108	31	0.27	5.00	18
4-5	(14+15)-II-2	0.00	0.00	0.23	0.04	111	40	0.28	5.00	18
4-5	(14+15)-II-2	0.02	0.00	0.00	0.00	112	47	0.02	5.00	>100
4-5	(14+15)-II-2	0.02	0.00	0.08	0.01	113	53	0.09	5.00	57
4-5	(14+15)-I-3	0.01	0.00	0.00	0.00	114	51	0.01	5.00	>100
4-5	(14+15)-I-3	0.02	0.08	0.00	0.00	115	59	0.09	5.00	55
4-5	(14+15)-I-3	0.01	0.06	0.01	0.00	116	62	0.07	5.00	74
4-5	(14+15)-II-2	0.01	0.00	0.06	0.01	121	57	0.07	5.00	70
4-5	(14+15)-I-3	0.00	0.00	0.01	0.00	122	50	0.01	5.00	>100
4-5	(14+15)-I-3	0.01	0.01	0.00	0.00	129	60	0.03	5.00	>100
4-5	(14+15)-I-3	0.02	0.04	0.00	0.00	130	67	0.06	5.00	85
4-5	(14+15)-I-3	0.01	0.09	0.01	0.00	133	61	0.10	5.00	48
4-5	(14+15)-I-3	0.01	0.08	0.01	0.00	136	64	0.09	5.00	53
4-5	(14+15)-I-3	0.02	0.02	0.01	0.00	139	83	0.05	5.00	>100
4-5	(14+15)-I-3	0.01	0.06	0.01	0.00	142	68	0.08	5.00	65
4-5	(14+15)-I-3	0.00	0.10	0.01	0.00	144	81	0.10	5.00	50
4-5	(14+15)-I-3	0.03	0.04	0.00	0.00	145	84	0.07	5.00	73
4-5	(14+15)-I-3	0.02	0.06	0.00	0.00	146	86	0.08	5.00	64
4-5	(14+15)-I-3	0.01	0.08	0.00	0.00	147	85	0.08	5.00	60
4-5	(14+15)-I-3	0.02	0.02	0.01	0.00	148	80	0.04	5.00	>100
4-5	(14+15)-II-2	0.01	0.00	0.18	0.02	195	14	0.20	5.00	25
4-5	(14+15)-I-3	0.03	0.02	0.01	0.00	197	12	0.05	5.00	>100
4-5	(14+15)-II-2	0.01	0.00	0.07	0.01	199	20	0.08	5.00	59
4-5	(14+15)-I-3	0.02	0.08	0.01	0.00	200	16	0.09	5.00	53
4-5	(14+15)-I-3	0.01	0.06	0.01	0.00	201	17	0.08	5.00	67
4-5	(14+15)-I-3	0.01	0.00	0.00	0.00	202	18	0.01	5.00	>100
4-5	(14+15)-II-2	0.01	0.00	0.27	0.03	203	19	0.30	5.00	17
4-5	(14+15)-I-3	0.02	0.09	0.00	0.00	205	13	0.11	5.00	47
4-5	(14+15)-I-3	0.00	0.09	0.00	0.00	206	21	0.10	5.00	51
5-6	(14+15)-I-3	0.05	0.02	0.00	0.00	12	26	0.08	5.00	67
5-6	(14+15)-I-3	0.06	0.09	0.00	0.00	13	35	0.15	5.00	34
5-6	(14+15)-II-2	0.01	0.00	0.16	0.02	14	22	0.18	5.00	28
5-6	(14+15)-II-2	0.00	0.00	0.26	0.03	15	36	0.30	5.00	17
5-6	(14+15)-I-3	0.05	0.09	0.01	0.00	16	29	0.14	5.00	36
5-6	(14+15)-I-3	0.09	0.07	0.01	0.00	17	25	0.16	5.00	32
5-6	(14+15)-I-3	0.01	0.00	0.00	0.00	18	28	0.01	5.00	>100
5-6	(14+15)-II-2	0.01	0.00	0.23	0.03	19	34	0.26	5.00	19
5-6	(14+15)-II-2	0.01	0.00	0.07	0.01	20	27	0.08	5.00	65
5-6	(14+15)-I-3	0.09	0.10	0.00	0.00	21	30	0.19	5.00	26
5-6	(14+15)-II-2	0.01	0.00	0.24	0.03	23	37	0.27	5.00	19
5-6	(14+15)-II-2	0.02	0.00	0.12	0.02	24	38	0.14	5.00	36
5-6	(14+15)-II-2	0.02	0.00	0.20	0.04	31	42	0.25	5.00	20
5-6	(14+15)-II-2	0.02	0.00	0.05	0.02	32	41	0.07	5.00	72
5-6	(14+15)-II-2	0.01	0.00	0.23	0.05	33	43	0.28	5.00	18
5-6	(14+15)-II-2	0.02	0.00	0.13	0.03	39	48	0.17	5.00	30
5-6	(14+15)-II-2	0.00	0.00	0.20	0.05	40	45	0.25	5.00	20
5-6	(14+15)-II-2	0.01	0.00	0.10	0.03	46	44	0.13	5.00	40
5-6	(14+15)-I-3	0.01	0.00	0.00	0.00	47	49	0.02	5.00	>100
5-6	(14+15)-I-3	0.00	0.00	0.01	0.00	50	54	0.01	5.00	>100
5-6	(14+15)-I-3	0.01	0.00	0.00	0.00	51	58	0.01	5.00	>100
5-6	(14+15)-II-2	0.01	0.00	0.07	0.01	53	55	0.08	5.00	62
5-6	(14+15)-II-2	0.01	0.00	0.05	0.02	57	56	0.07	5.00	76
5-6	(14+15)-I-3	0.05	0.08	0.00	0.00	59	52	0.13	5.00	38
5-6	(14+15)-I-3	0.03	0.02	0.00	0.00	60	63	0.04	5.00	>100
5-6	(14+15)-I-3	0.06	0.10	0.00	0.00	61	90	0.16	5.00	32
5-6	(14+15)-I-3	0.08	0.06	0.00	0.00	62	65	0.14	5.00	36

Interp	Comb.	η_{Xv}	η_{Xh}	η_{Yv}	η_{Yh}	Nodo1	Nodo2	η	η_{Amm}	Cs
5-6	(14+15)-I-3	0.06	0.09	0.01	0.00	64	82	0.14	5.00	35
5-6	(14+15)-I-3	0.06	0.04	0.00	0.00	67	66	0.10	5.00	48
5-6	(14+15)-I-3	0.09	0.07	0.01	0.00	68	79	0.16	5.00	31
5-6	(14+15)-I-3	0.04	0.02	0.01	0.00	80	88	0.05	5.00	94
5-6	(14+15)-I-3	0.10	0.10	0.01	0.00	81	92	0.20	5.00	25
5-6	(14+15)-I-3	0.05	0.03	0.01	0.00	83	91	0.07	5.00	68
5-6	(14+15)-I-3	0.07	0.04	0.01	0.00	84	93	0.11	5.00	44
5-6	(14+15)-I-3	0.06	0.08	0.00	0.00	85	89	0.14	5.00	35
5-6	(14+15)-I-3	0.08	0.07	0.00	0.00	86	87	0.15	5.00	34
6-7	(14+15)-II-2	0.01	0.00	0.14	0.02	22	7003	0.16	4.50	28
6-7	(14+15)-I-3	0.14	0.07	0.00	0.00	25	7019	0.20	4.50	22
6-7	(14+15)-I-3	0.05	0.02	0.01	0.00	26	7010	0.07	4.50	60
6-7	(14+15)-II-2	0.01	0.00	0.06	0.01	27	7002	0.07	4.50	66
6-7	(14+15)-II-2	0.00	0.00	0.01	0.00	28	7001	0.01	4.50	>100
6-7	(14+15)-I-3	0.07	0.08	0.01	0.00	29	7028	0.15	4.50	30
6-7	(14+15)-I-3	0.15	0.10	0.00	0.00	30	7046	0.25	4.50	18
6-7	(14+15)-II-2	0.00	0.00	0.20	0.03	34	7004	0.23	4.50	19
6-7	(14+15)-I-3	0.08	0.09	0.00	0.00	35	7037	0.16	4.50	28
6-7	(14+15)-II-2	0.00	0.00	0.23	0.03	36	7005	0.26	4.50	17
6-7	(14+15)-II-2	0.01	0.00	0.20	0.03	37	7006	0.23	4.50	19
6-7	(14+15)-II-2	0.01	0.00	0.11	0.02	38	7007	0.12	4.50	36
6-7	(14+15)-II-2	0.02	0.00	0.05	0.01	41	7092	0.06	4.50	73
6-7	(14+15)-II-2	0.01	0.00	0.17	0.04	42	7094	0.22	4.50	21
6-7	(14+15)-II-2	0.01	0.00	0.20	0.05	43	7095	0.24	4.50	19
6-7	(14+15)-II-2	0.01	0.00	0.09	0.02	44	7097	0.11	4.50	40
6-7	(14+15)-II-2	0.00	0.00	0.18	0.04	45	7096	0.22	4.50	21
6-7	(14+15)-II-2	0.02	0.00	0.12	0.03	48	7093	0.15	4.50	31
6-7	(14+15)-I-3	0.01	0.00	0.00	0.00	49	7091	0.01	4.50	>100
6-7	(14+15)-I-3	0.07	0.07	0.00	0.00	52	7055	0.14	4.50	32
6-7	(14+15)-I-3	0.00	0.00	0.01	0.00	54	7099	0.01	4.50	>100
6-7	(14+15)-II-2	0.01	0.00	0.06	0.01	55	7008	0.07	4.50	63
6-7	(14+15)-II-2	0.01	0.00	0.04	0.01	56	7098	0.06	4.50	77
6-7	(14+15)-II-2	0.00	0.00	0.01	0.00	58	7009	0.01	4.50	>100
6-7	(14+15)-I-3	0.03	0.02	0.00	0.00	63	7082	0.04	4.50	>100
6-7	(14+15)-I-3	0.12	0.06	0.00	0.00	65	7064	0.18	4.50	25
6-7	(14+15)-I-3	0.07	0.04	0.00	0.00	66	7073	0.11	4.50	42
6-7	(14+15)-I-3	0.14	0.06	0.01	0.00	79	7027	0.20	4.50	22
6-7	(14+15)-I-3	0.08	0.08	0.01	0.00	82	7036	0.15	4.50	29
6-7	(14+15)-I-3	0.12	0.06	0.00	0.00	87	7072	0.18	4.50	24
6-7	(14+15)-I-3	0.04	0.02	0.01	0.00	88	7090	0.05	4.50	85
6-7	(14+15)-I-3	0.08	0.07	0.00	0.00	89	7063	0.15	4.50	30
6-7	(14+15)-I-3	0.08	0.09	0.00	0.00	90	7045	0.17	4.50	27
6-7	(14+15)-I-3	0.05	0.02	0.01	0.00	91	7018	0.07	4.50	62
6-7	(14+15)-I-3	0.16	0.10	0.01	0.00	92	7054	0.25	4.50	18
6-7	(14+15)-I-3	0.08	0.04	0.01	0.00	93	7081	0.12	4.50	39
Minimo										
2-3	(14+15)-II-2	0.00	0.00	0.36	0.02	165	207	0.38	5.00	13

Risultati Analisi Dinamica - Sollecitazioni massime per combinazione - Sigma terreno platea
Scenario di calcolo: Set_NT_2018 A2_SLV_SLD_STR_GEO

Combinazione	Muro	Nodi	SigmaMax daN/cm ²	SigmaMin daN/cm ²
1	34	217-211-209-221	0.83	0.12
2	9	222-213-210-223	0.61	0.17
3	34	217-211-209-221	1.97	0.85
4	34	217-211-209-221	1.72	0.92
5-I-1	34	217-211-209-221	1.31	0.62
5-II-1	47	252-230-229-228	1.28	0.62
6-I-1	34	217-211-209-221	1.25	0.62
6-II-1	34	217-211-209-221	1.29	0.61
Assoluti				
3	34	217-211-209-221	1.97	
1	34	217-211-209-221		0.12

Tipo diagramma: Tensioni medie terreno
Combinazione corrente: Scenario Set_NT_ 2018 A2_SLV_SLD_STR_GEO - C 3
Tensioni medie terreno aste
Tensioni medie terreno platee



Risultati Analisi Dinamica - Spostamenti massimi - Nodi
Scenario di calcolo: Set_NT_ 2018 A2_SLV_SLD_STR_GEO

la tripletta (Cb [-SubC-Cbm]) indica la Combinazione - SottoCombinazione sismica - Posizione Masse, nel caso non sismico mancano SubC-Cbm

Nodo	Trasl. X	Trasl. Y	Trasl. Z	Rotaz. X	Rotaz. Y	Rotaz. Z
	mm	mm	mm	mrad	mrad	mrad
1	0.00(1)	0.00(1)	-1.60(3)	-0.09(3)	0.04(3)	0.00(1)
2	0.00(1)	0.00(1)	-1.73(3)	-0.26(3)	-0.04(3)	0.00(1)
3	0.00(1)	0.00(1)	-1.76(3)	-0.16(3)	-0.06(3)	0.00(1)
4	0.00(1)	0.00(1)	-1.82(3)	-0.06(3)	-0.08(3)	0.00(1)
5	0.00(1)	0.00(1)	-1.70(3)	-0.29(3)	-0.02(3)	0.00(1)
6	0.00(1)	0.00(1)	-1.37(4)	-0.17(3)	-0.01(2)	0.00(1)
7	0.00(1)	0.00(1)	-1.61(3)	-0.17(3)	0.01(3)	0.00(1)
8	0.00(1)	0.00(1)	-1.79(3)	-0.05(3)	-0.13(3)	0.00(1)
9	0.00(1)	0.00(1)	-1.57(3)	-0.10(3)	0.07(3)	0.00(1)
10	0.00(1)	0.00(1)	-1.63(3)	-0.03(3)	0.04(3)	0.00(1)
11	0.00(1)	0.00(1)	-1.63(3)	-0.22(3)	-0.06(3)	0.00(1)
12	-0.37(3)	-0.13(3)	-1.81(3)	0.02(3)	0.10(3)	0.22(3)
13	-1.24(3)	-0.02(3)	-1.74(3)	0.00(3)	0.22(5-I-1)	-0.03(7-II-1)
14	-0.13(3)	-1.98(3)	-1.95(3)	-0.43(2)	-0.01(7-II-1)	-0.48(3)
15	0.02(5-I-1)	-2.98(3)	-2.01(3)	-0.68(2)	0.01(7-I-1)	-0.03(3)
16	-1.21(3)	-0.05(3)	-1.74(3)	0.01(3)	0.21(5-I-1)	0.07(7-II-1)
17	-1.00(3)	-0.08(3)	-1.75(3)	0.01(3)	0.19(5-I-1)	0.12(3)
18	-0.08(3)	-0.05(3)	-1.87(3)	0.01(3)	0.01(5-I-1)	-0.17(3)
19	-0.06(3)	-2.73(3)	-1.99(3)	-0.62(2)	-0.00(7-II-1)	-0.25(3)
20	-0.17(3)	-0.91(3)	-1.90(3)	-0.19(2)	-0.01(7-II-1)	-0.55(3)
21	-1.19(3)	-0.01(3)	-1.72(3)	0.00(3)	0.25(5-I-1)	-0.00(6-II-1)
22	-0.16(3)	-2.34(3)	-1.94(3)	-0.41(2)	-0.01(7-II-1)	-0.58(3)
23	0.09(3)	-2.73(3)	-2.00(3)	-0.62(2)	0.01(7-I-1)	0.25(3)
24	0.18(3)	-1.59(3)	-1.96(3)	-0.33(2)	0.01(7-I-1)	0.53(3)
25	-0.86(7-II-1)	-0.09(3)	-1.71(3)	0.01(3)	0.28(3)	0.13(7-II-1)
26	-0.29(7-II-1)	-0.14(3)	-1.80(3)	0.02(3)	0.13(3)	0.19(3)
27	-0.19(3)	-1.05(3)	-1.90(3)	-0.18(2)	-0.01(7-II-1)	-0.65(3)
28	-0.10(3)	-0.05(3)	-1.87(3)	0.02(3)	0.01(5-I-1)	-0.23(3)
29	-1.13(7-II-1)	-0.06(3)	-1.72(3)	0.01(3)	0.25(5-I-1)	0.09(7-II-1)
30	-1.20(7-II-1)	-0.02(3)	-1.67(3)	0.00(3)	0.34(7-I-1)	0.00(8-I-1)
31	-0.11(3)	2.40(3)	-1.77(3)	0.64(2)	-0.02(3)	-0.23(2)
32	-0.22(3)	0.81(3)	-1.77(3)	-0.19(2)	-0.02(3)	0.50(3)
33	-0.05(3)	2.57(3)	-1.76(3)	0.70(2)	-0.02(3)	-0.04(2)
34	-0.08(3)	-3.27(3)	-1.98(3)	-0.58(2)	-0.00(7-II-1)	-0.32(3)
35	-1.21(7-II-1)	-0.02(7-II-1)	-1.71(3)	0.00(3)	0.27(5-I-1)	-0.06(7-I-1)
36	0.03(5-I-1)	-3.59(3)	-2.00(3)	-0.65(2)	0.01(7-I-1)	-0.03(3)

**POTENZIAMENTO DELL'IMPIANTO DI DEPURAZIONE E
DEL RECAPITO FINALE DI SQUINZANO (LE)
PROGETTO DEFINITIVO
Tabulati di calcolo strutturale-Equalizzazione**

R.37.7

Maggio 2021

Pagina 56 di 338

Nodo	Trasl. X	Trasl. Y	Trasl. Z	Rotaz. X	Rotaz. Y	Rotaz. Z
37	0.11(3)	-3.28(3)	-1.99(3)	-0.58(2)	0.01(7-I-1)	0.31(3)
38	0.21(3)	-1.86(3)	-1.96(3)	-0.32(2)	0.01(7-I-1)	0.64(3)
39	-0.18(3)	1.77(3)	-1.78(3)	0.45(2)	-0.02(3)	0.41(3)
40	-0.06(2)	-2.37(2)	-1.72(3)	0.63(2)	-0.01(3)	-0.23(3)
41	-0.26(3)	-0.94(2)	-1.77(3)	0.19(2)	-0.02(3)	-0.59(2)
42	-0.15(3)	-2.93(2)	-1.77(3)	0.60(2)	-0.02(3)	-0.29(2)
43	-0.06(3)	-3.23(2)	-1.75(3)	0.67(2)	-0.02(3)	-0.04(2)
44	-0.16(2)	-1.70(2)	-1.65(3)	0.33(2)	-0.01(5-II-1)	0.59(2)
45	-0.07(2)	-2.98(2)	-1.71(3)	0.60(2)	-0.01(3)	-0.29(3)
46	-0.13(2)	-1.37(2)	-1.65(3)	0.34(2)	-0.01(5-II-1)	0.47(2)
47	-0.15(3)	0.02(7-II-1)	-1.78(3)	0.01(2)	-0.01(7-II-1)	-0.17(2)
48	-0.23(3)	-2.10(2)	-1.77(3)	0.43(2)	-0.02(3)	-0.52(2)
49	-0.17(3)	0.02(7-II-1)	-1.78(3)	0.02(2)	-0.01(7-II-1)	-0.23(2)
50	-0.07(2)	-0.04(3)	-1.60(3)	0.01(2)	-0.02(3)	0.18(2)
51	0.11(3)	-0.08(3)	-1.93(3)	0.02(3)	0.01(7-I-1)	0.17(3)
52	-1.07(7-II-1)	0.05(3)	-1.70(3)	-0.00(8-I-1)	0.23(5-I-1)	-0.13(3)
53	0.19(3)	-0.93(3)	-1.94(3)	-0.19(2)	0.01(7-I-1)	0.55(3)
54	-0.08(2)	-0.07(3)	-1.60(3)	0.02(2)	-0.02(3)	0.24(2)
55	0.22(3)	-1.08(3)	-1.94(3)	-0.18(2)	0.01(7-I-1)	0.65(3)
56	-0.17(2)	-0.97(2)	-1.63(3)	0.19(2)	-0.01(5-II-1)	0.61(2)
57	-0.14(2)	-0.79(2)	-1.63(3)	0.19(2)	-0.01(5-II-1)	0.49(2)
58	0.13(3)	-0.08(3)	-1.93(3)	0.02(3)	-0.01(5-II-1)	0.23(3)
59	-1.15(3)	0.04(3)	-1.73(3)	-0.00(8-I-1)	0.19(5-I-1)	-0.10(3)
60	-0.21(3)	0.09(3)	-1.76(3)	-0.01(3)	0.06(3)	-0.16(3)
61	1.21(3)	-0.05(3)	-1.73(3)	0.01(3)	-0.23(5-II-1)	0.04(7-II-1)
62	-0.92(3)	0.06(3)	-1.72(3)	-0.01(3)	0.17(5-I-1)	-0.16(3)
63	-0.19(7-II-1)	0.08(3)	-1.75(3)	-0.01(3)	0.08(3)	-0.13(7-II-1)
64	1.19(3)	-0.08(3)	-1.74(3)	0.01(3)	-0.22(5-II-1)	-0.06(7-I-1)
65	-0.81(7-II-1)	0.07(3)	-1.69(3)	-0.00(3)	0.24(7-I-1)	-0.17(3)
66	-0.53(7-II-1)	0.08(3)	-1.71(3)	-0.01(3)	0.17(3)	-0.17(7-II-1)
67	-0.61(3)	0.08(3)	-1.73(3)	-0.01(3)	0.13(5-I-1)	-0.19(3)
68	1.00(3)	-0.11(3)	-1.76(3)	0.02(3)	-0.19(5-II-1)	-0.11(3)
69	0.00(1)	0.00(1)	-1.70(3)	-0.01(3)	0.23(3)	0.00(1)
70	0.00(1)	0.00(1)	-1.10(4)	-0.07(3)	0.02(3)	0.00(1)
71	0.00(1)	0.00(1)	-1.79(3)	-0.01(3)	-0.29(3)	0.00(1)
72	0.00(1)	0.00(1)	-1.36(4)	-0.05(3)	-0.15(3)	0.00(1)
73	0.00(1)	0.00(1)	-1.21(4)	-0.08(3)	-0.06(3)	0.00(1)
74	0.00(1)	0.00(1)	-1.33(4)	-0.04(3)	-0.04(3)	0.00(1)
75	0.00(1)	0.00(1)	-1.19(4)	-0.09(3)	0.01(3)	0.00(1)
76	0.00(1)	0.00(1)	-1.25(4)	-0.09(3)	0.05(3)	0.00(1)
77	0.00(1)	0.00(1)	-1.14(4)	-0.07(3)	0.02(3)	0.00(1)
78	0.00(1)	0.00(1)	-1.39(3)	-0.04(3)	0.09(3)	0.00(1)
79	0.87(7-I-1)	-0.13(3)	-1.73(3)	0.02(3)	-0.28(3)	-0.13(7-I-1)
80	0.15(7-I-1)	-0.06(2)	-1.61(3)	0.01(2)	-0.08(3)	0.15(3)
81	1.14(3)	-0.05(3)	-1.69(3)	0.01(3)	-0.26(5-II-1)	0.01(3)
82	1.15(7-I-1)	-0.10(3)	-1.72(3)	0.01(3)	-0.26(5-II-1)	-0.09(7-I-1)
83	0.39(3)	-0.16(3)	-1.85(3)	0.03(3)	-0.09(3)	-0.22(3)
84	0.51(3)	-0.06(2)	-1.61(3)	0.01(4)	-0.14(7-II-1)	0.19(3)
85	1.05(3)	-0.03(2)	-1.66(3)	0.01(3)	-0.21(5-II-1)	0.10(3)
86	0.81(3)	-0.05(2)	-1.63(3)	0.00(4)	-0.18(5-II-1)	0.16(3)
87	0.76(7-I-1)	-0.06(2)	-1.60(3)	0.01(3)	-0.25(3)	0.17(3)
88	0.14(7-I-1)	-0.07(2)	-1.60(3)	0.01(4)	-0.09(3)	0.14(7-I-1)
89	1.03(7-I-1)	-0.04(2)	-1.63(3)	0.01(3)	-0.24(5-II-1)	0.13(3)
90	1.22(7-I-1)	-0.06(3)	-1.70(3)	0.01(3)	-0.28(5-II-1)	0.06(7-II-1)
91	0.32(7-I-1)	-0.17(3)	-1.84(3)	0.02(3)	-0.13(3)	-0.19(3)
92	1.19(7-I-1)	-0.06(3)	-1.64(3)	0.01(3)	-0.35(7-II-1)	0.01(3)
93	0.47(7-I-1)	-0.07(2)	-1.60(3)	0.01(4)	-0.19(3)	0.17(7-I-1)
94	0.02(5-I-1)	-2.29(3)	-2.03(3)	0.74(3)	0.00(7-I-1)	-0.02(3)
95	-0.12(3)	0.47(3)	-1.79(3)	-0.22(3)	-0.03(3)	0.27(3)
96	-0.05(3)	1.19(3)	-1.81(3)	-0.68(3)	-0.02(3)	-0.09(2)
97	-0.02(3)	1.23(3)	-1.79(3)	-0.74(3)	-0.02(3)	-0.03(2)
98	0.14(3)	-1.27(3)	-1.97(3)	-0.36(2)	0.01(3)	0.40(3)
99	0.04(3)	-1.39(3)	-2.04(3)	0.76(3)	0.01(7-I-1)	0.11(3)
100	0.06(3)	-2.11(3)	-2.02(3)	0.67(3)	0.01(7-I-1)	0.18(3)
101	0.09(3)	-0.87(3)	-1.98(3)	0.43(3)	0.02(3)	0.26(3)
102	-0.09(3)	0.94(3)	-1.80(3)	-0.49(3)	-0.02(3)	0.18(3)
103	-0.14(3)	1.40(3)	-1.79(3)	0.48(2)	-0.02(3)	0.30(3)
104	-0.06(2)	0.66(3)	-1.67(3)	0.39(2)	0.01(7-I-1)	-0.21(3)
105	-0.09(2)	-1.01(2)	-1.66(3)	0.37(2)	-0.01(5-II-1)	-0.35(3)
106	-0.17(3)	0.66(3)	-1.78(3)	0.21(2)	-0.02(3)	0.40(3)
107	-0.03(3)	1.95(3)	-1.78(3)	0.74(2)	-0.02(3)	-0.03(2)
108	-0.08(3)	1.84(3)	-1.79(3)	0.68(2)	-0.02(3)	-0.16(2)
109	-0.02(2)	1.10(3)	-1.75(3)	0.67(2)	-0.01(3)	-0.10(3)
110	-0.08(3)	0.03(3)	-1.79(3)	-0.02(3)	-0.03(3)	-0.06(2)
111	-0.04(2)	1.75(3)	-1.74(3)	0.67(2)	-0.01(3)	-0.17(3)
112	-0.12(3)	0.02(3)	-1.79(3)	0.01(2)	-0.02(3)	-0.11(2)

**POTENZIAMENTO DELL'IMPIANTO DI DEPURAZIONE E
DEL RECAPITO FINALE DI SQUINZANO (LE)
PROGETTO DEFINITIVO
Tabulati di calcolo strutturale-Equalizzazione**

R.37.7

Maggio 2021

Pagina 57 di 338

Nodo	Trasl. X	Trasl. Y	Trasl. Z	Rotaz. X	Rotaz. Y	Rotaz. Z
113	0.16(3)	-0.76(3)	-1.95(3)	-0.20(2)	0.01(3)	0.43(3)
114	0.09(3)	-0.07(3)	-1.93(3)	0.02(3)	0.01(7-I-1)	0.11(3)
115	-1.11(3)	0.03(3)	-1.77(3)	-0.00(8-I-1)	-0.20(7-II-1)	-0.07(3)
116	-0.94(3)	0.05(3)	-1.76(3)	-0.01(3)	-0.15(7-II-1)	-0.13(3)
117	0.07(3)	0.39(3)	-1.64(3)	0.23(2)	0.01(7-I-1)	-0.24(3)
118	0.04(3)	-0.00(7-II-1)	-1.61(3)	0.01(2)	-0.01(2)	0.07(2)
119	0.07(3)	-0.06(3)	-1.94(3)	0.03(3)	0.02(3)	0.06(3)
120	0.11(3)	-0.54(3)	-1.96(3)	0.25(3)	0.02(3)	0.29(3)
121	-0.10(2)	-0.58(2)	-1.63(3)	0.21(2)	-0.01(5-II-1)	-0.37(3)
122	-0.05(2)	-0.02(3)	-1.61(3)	0.01(2)	-0.01(5-II-1)	0.12(2)
123	-0.86(3)	0.02(3)	-1.82(3)	-0.00(3)	-0.35(3)	-0.04(3)
124	0.90(3)	-0.04(3)	-1.84(3)	0.01(3)	0.36(3)	-0.02(7-I-1)
125	0.91(3)	-0.03(3)	-1.83(3)	0.01(3)	0.37(3)	0.01(7-II-1)
126	0.40(3)	-0.10(3)	-1.89(3)	0.03(3)	0.11(3)	-0.17(3)
127	-0.75(3)	0.03(3)	-1.80(3)	-0.01(3)	-0.28(3)	-0.09(3)
128	-0.56(3)	0.05(3)	-1.79(3)	-0.01(3)	-0.18(3)	-0.14(3)
129	-0.25(3)	0.09(3)	-1.77(3)	-0.01(3)	0.03(5-I-1)	-0.18(3)
130	-0.66(3)	0.07(3)	-1.76(3)	-0.01(3)	-0.08(7-II-1)	-0.19(3)
131	-0.23(3)	0.07(3)	-1.78(3)	-0.02(3)	-0.06(3)	-0.16(3)
132	0.68(3)	-0.02(2)	-1.72(3)	-0.00(8-I-1)	0.26(3)	0.09(3)
133	1.17(3)	-0.04(3)	-1.77(3)	0.01(3)	0.24(7-I-1)	0.02(7-II-1)
134	0.82(3)	-0.05(3)	-1.86(3)	0.02(3)	0.31(3)	-0.06(3)
135	0.18(3)	0.04(3)	-1.63(3)	-0.01(3)	0.04(7-I-1)	0.15(3)
136	1.16(3)	-0.06(3)	-1.79(3)	0.01(3)	0.22(7-I-1)	-0.04(7-I-1)
137	0.88(3)	-0.02(3)	-1.80(3)	0.01(3)	0.36(3)	0.01(3)
138	0.80(3)	-0.01(2)	-1.75(3)	0.00(3)	0.33(3)	0.05(3)
139	0.45(3)	-0.14(3)	-1.86(3)	0.03(3)	-0.06(5-II-1)	-0.22(3)
140	0.49(3)	-0.03(2)	-1.68(3)	-0.00(8-I-1)	0.16(3)	0.13(3)
141	-0.42(3)	-0.02(3)	-1.87(3)	0.02(3)	-0.43(3)	0.03(3)
142	1.02(3)	-0.08(3)	-1.81(3)	0.02(3)	0.16(7-I-1)	-0.09(3)
143	-0.46(3)	-0.01(3)	-1.87(3)	0.01(3)	-0.48(3)	0.01(7-II-1)
144	1.13(3)	-0.03(3)	-1.75(3)	0.01(3)	0.23(7-I-1)	0.01(3)
145	0.57(3)	-0.05(2)	-1.64(3)	0.00(2)	-0.09(5-II-1)	0.18(3)
146	0.84(3)	-0.04(2)	-1.67(3)	0.00(4)	0.14(7-I-1)	0.13(3)
147	1.03(3)	-0.02(2)	-1.70(3)	0.00(3)	0.20(7-I-1)	0.08(3)
148	0.18(3)	-0.05(2)	-1.62(3)	0.01(2)	-0.04(5-II-1)	0.18(3)
149	-0.03(3)	-0.49(3)	-1.97(3)	0.55(3)	-0.02(3)	-0.09(3)
150	-0.01(3)	-0.62(3)	-2.01(3)	0.72(3)	-0.01(7-II-1)	-0.04(3)
151	0.00(1)	0.00(1)	-1.58(3)	-0.07(3)	-0.01(2)	0.00(1)
152	0.00(1)	0.00(1)	-1.43(3)	-0.06(3)	0.00(2)	0.00(1)
153	0.00(1)	0.00(1)	-1.58(3)	-0.06(3)	0.00(5-I-1)	0.00(1)
154	-0.46(3)	-0.00(3)	-1.85(3)	-0.00(6-I-1)	-0.49(3)	-0.00(2)
155	0.00(1)	0.00(1)	-1.42(3)	-0.09(3)	0.01(3)	0.00(1)
156	0.00(1)	0.00(1)	-1.37(3)	-0.09(3)	0.01(3)	0.00(1)
157	0.00(1)	0.00(1)	-1.27(4)	-0.03(3)	0.01(3)	0.00(1)
158	0.00(1)	0.00(1)	-1.28(4)	-0.04(3)	0.01(3)	0.00(1)
159	0.00(1)	0.00(1)	-1.33(4)	-0.03(3)	0.00(2)	0.00(1)
160	0.00(1)	0.00(1)	-1.54(3)	-0.03(3)	0.01(3)	0.00(1)
161	-0.46(3)	-0.01(3)	-1.86(3)	0.00(3)	-0.49(3)	0.00(5-II-1)
162	0.04(3)	-0.41(3)	-1.98(3)	0.45(3)	0.02(3)	0.11(3)
163	-0.01(3)	0.50(3)	-1.76(3)	-0.65(3)	-0.02(3)	-0.02(2)
164	-0.04(3)	0.42(3)	-1.80(3)	-0.49(3)	-0.03(3)	0.07(3)
165	0.01(7-I-1)	-0.66(3)	-2.03(3)	0.78(3)	0.01(7-I-1)	-0.00(3)
166	0.03(3)	0.18(3)	-1.63(3)	-0.21(3)	0.02(3)	-0.10(3)
167	0.02(3)	0.01(3)	-1.62(3)	-0.02(3)	-0.02(2)	0.03(2)
168	0.02(3)	-0.62(3)	-2.02(3)	0.73(3)	0.01(3)	0.04(3)
169	-0.02(3)	0.51(3)	-1.79(3)	-0.63(3)	-0.02(3)	-0.03(2)
170	-0.06(3)	0.23(3)	-1.79(3)	-0.25(3)	-0.04(3)	0.12(3)
171	-0.05(3)	0.02(3)	-1.80(3)	-0.03(3)	-0.04(3)	-0.02(2)
172	-0.02(2)	0.28(3)	-1.65(3)	-0.35(3)	0.01(3)	0.09(2)
173	-0.01(2)	0.44(3)	-1.72(3)	-0.58(3)	-0.00(7-II-1)	-0.04(3)
174	0.05(3)	-0.27(3)	-1.96(3)	0.28(3)	0.03(3)	0.13(3)
175	-0.39(3)	0.02(3)	-1.83(3)	-0.01(3)	-0.40(3)	-0.04(3)
176	0.04(3)	-0.04(3)	-1.94(3)	0.04(3)	0.03(3)	0.02(3)
177	0.44(3)	-0.01(3)	-1.82(3)	0.00(3)	0.47(3)	0.01(3)
178	-0.43(3)	0.01(3)	-1.84(3)	-0.01(3)	-0.46(3)	-0.02(3)
179	0.23(3)	-0.05(3)	-1.90(3)	0.04(3)	0.21(3)	-0.09(3)
180	-0.30(3)	0.03(3)	-1.81(3)	-0.02(3)	-0.30(3)	-0.06(3)
181	0.45(3)	-0.02(3)	-1.87(3)	0.02(3)	0.48(3)	-0.01(7-I-1)
182	0.45(3)	-0.01(3)	-1.85(3)	0.01(3)	0.48(3)	0.01(7-II-1)
183	-0.14(3)	0.04(3)	-1.79(3)	-0.03(3)	-0.12(3)	-0.09(3)
184	0.42(3)	-0.03(3)	-1.89(3)	0.02(3)	0.44(3)	-0.02(3)
185	-0.05(3)	-0.05(3)	-1.88(3)	0.02(3)	0.01(2)	-0.06(3)
186	-0.39(3)	-0.09(3)	-1.85(3)	0.02(3)	-0.10(3)	0.17(3)
187	-0.07(3)	-1.06(3)	-1.98(3)	0.55(3)	-0.01(7-II-1)	-0.22(3)
188	0.11(3)	0.02(3)	-1.64(3)	-0.01(3)	0.10(3)	0.08(3)

**POTENZIAMENTO DELL'IMPIANTO DI DEPURAZIONE E
DEL RECAPITO FINALE DI SQUINZANO (LE)
PROGETTO DEFINITIVO
Tabulati di calcolo strutturale-Equalizzazione**

R.37.7

Maggio 2021

Pagina 58 di 338

Nodo	Trasl. X	Trasl. Y	Trasl. Z	Rotaz. X	Rotaz. Y	Rotaz. Z
189	0.40(3)	-0.01(2)	-1.77(3)	0.00(3)	0.43(3)	0.02(3)
190	-0.81(3)	-0.04(3)	-1.84(3)	0.01(3)	-0.31(3)	0.06(3)
191	0.35(3)	-0.01(2)	-1.74(3)	-0.00(8-I-1)	0.37(3)	0.04(3)
192	0.26(3)	-0.01(2)	-1.70(3)	-0.01(3)	0.26(3)	0.06(3)
193	-0.10(3)	-0.52(3)	-1.92(3)	0.24(3)	-0.01(3)	-0.29(3)
194	-0.90(3)	-0.02(3)	-1.84(3)	0.01(3)	-0.37(3)	0.02(7-II-1)
195	-0.10(3)	-1.56(3)	-1.96(3)	-0.46(2)	-0.01(7-II-1)	-0.35(3)
196	-0.92(3)	-0.01(3)	-1.84(3)	0.00(3)	-0.38(3)	0.01(5-II-1)
197	-0.43(3)	-0.12(3)	-1.82(3)	0.02(3)	0.06(5-I-1)	0.22(3)
198	-0.03(3)	-1.39(3)	-2.03(3)	0.76(3)	-0.01(7-II-1)	-0.11(3)
199	-0.14(3)	-0.74(3)	-1.91(3)	-0.20(2)	-0.01(7-II-1)	-0.44(3)
200	-1.17(3)	-0.04(3)	-1.79(3)	0.01(3)	-0.21(7-II-1)	0.04(7-II-1)
201	-1.02(3)	-0.06(3)	-1.80(3)	0.01(3)	-0.15(7-II-1)	0.09(3)
202	-0.07(3)	-0.05(3)	-1.88(3)	0.02(3)	0.01(2)	-0.11(3)
203	-0.05(3)	-2.11(3)	-2.01(3)	0.67(3)	-0.00(7-II-1)	-0.18(3)
204	-0.91(3)	-0.01(3)	-1.83(3)	0.00(8-II-1)	-0.37(3)	-0.00(6-II-1)
205	-1.19(3)	-0.02(3)	-1.78(3)	0.00(3)	-0.23(7-II-1)	0.02(5-II-1)
206	-1.17(3)	-0.01(3)	-1.77(3)	0.00(8-II-1)	-0.24(7-II-1)	-0.00(6-II-1)
207	0.01(5-I-1)	-1.49(3)	-2.05(3)	0.83(3)	0.00(7-I-1)	-0.01(3)
208	0.00(1)	0.00(1)	-1.80(3)	-0.00(3)	-0.31(3)	0.00(1)
209	0.00(1)	0.00(1)	-1.93(3)	0.21(3)	0.06(3)	0.00(1)
210	0.00(1)	0.00(1)	-1.28(4)	0.00(3)	0.20(3)	0.00(1)
211	0.00(1)	0.00(1)	-1.49(3)	0.11(3)	0.14(3)	0.00(1)
212	0.00(1)	0.00(1)	-1.28(4)	0.01(3)	0.21(3)	0.00(1)
213	0.00(1)	0.00(1)	-1.28(4)	0.00(3)	0.19(3)	0.00(1)
214	0.00(1)	0.00(1)	-1.30(4)	-0.02(3)	0.16(3)	0.00(1)
215	0.00(1)	0.00(1)	-1.30(4)	0.02(3)	0.21(3)	0.00(1)
216	0.00(1)	0.00(1)	-1.85(3)	0.02(3)	0.32(3)	0.00(1)
217	0.00(1)	0.00(1)	-1.89(3)	0.06(3)	0.20(3)	0.00(1)
218	0.00(1)	0.00(1)	-1.82(3)	0.01(3)	0.33(3)	0.00(1)
219	0.00(1)	0.00(1)	-1.34(4)	-0.03(3)	0.13(3)	0.00(1)
220	0.00(1)	0.00(1)	-1.73(3)	-0.00(8-I-1)	0.27(3)	0.00(1)
221	0.00(1)	0.00(1)	-1.97(3)	0.08(3)	0.07(3)	0.00(1)
222	0.00(1)	0.00(1)	-1.78(3)	0.01(3)	0.31(3)	0.00(1)
223	0.00(1)	0.00(1)	-1.81(3)	0.01(3)	0.32(3)	0.00(1)
224	0.00(1)	0.00(1)	-1.24(4)	-0.05(3)	0.08(3)	0.00(1)
225	0.00(1)	0.00(1)	-1.31(4)	-0.02(3)	-0.18(3)	0.00(1)
226	0.00(1)	0.00(1)	-1.08(4)	-0.05(3)	-0.01(2)	0.00(1)
227	0.00(1)	0.00(1)	-1.13(4)	-0.04(3)	-0.07(3)	0.00(1)
228	0.00(1)	0.00(1)	-1.89(3)	0.20(3)	-0.05(3)	0.00(1)
229	0.00(1)	0.00(1)	-1.91(3)	0.08(3)	-0.06(3)	0.00(1)
230	0.00(1)	0.00(1)	-1.85(3)	0.06(3)	-0.20(3)	0.00(1)
231	0.00(1)	0.00(1)	-1.93(3)	0.42(3)	0.00(7-I-1)	0.00(1)
232	-0.03(3)	-0.03(3)	-1.89(3)	0.04(3)	-0.02(3)	-0.02(3)
233	-0.05(3)	-0.26(3)	-1.92(3)	0.27(3)	-0.02(3)	-0.13(3)
234	0.00(1)	0.00(1)	-1.07(4)	0.02(3)	-0.10(3)	0.00(1)
235	0.00(1)	0.00(1)	-1.28(4)	0.16(3)	-0.07(3)	0.00(1)
236	0.00(1)	0.00(1)	-1.83(3)	0.02(3)	-0.32(3)	0.00(1)
237	-0.23(3)	-0.05(3)	-1.87(3)	0.03(3)	-0.21(3)	0.09(3)
238	0.00(1)	0.00(1)	-1.82(3)	0.01(3)	-0.33(3)	0.00(1)
239	0.00(1)	0.00(1)	-1.21(4)	0.20(3)	-0.00(7-II-1)	0.00(1)
240	0.00(1)	0.00(1)	-0.95(4)	0.03(2)	-0.00(5-I-1)	0.00(1)
241	0.00(1)	0.00(1)	-0.93(4)	0.01(2)	-0.00(5-I-1)	0.00(1)
242	0.00(1)	0.00(1)	-0.95(4)	0.01(2)	-0.03(4)	0.00(1)
243	0.00(1)	0.00(1)	-0.97(4)	0.03(2)	-0.03(3)	0.00(1)
244	0.00(1)	0.00(1)	-1.91(3)	0.33(3)	-0.03(3)	0.00(1)
245	0.00(1)	0.00(1)	-1.28(4)	0.00(3)	-0.21(3)	0.00(1)
246	0.00(1)	0.00(1)	-1.05(4)	0.01(2)	-0.09(3)	0.00(1)
247	0.00(1)	0.00(1)	-1.92(3)	0.40(3)	-0.01(3)	0.00(1)
248	0.00(1)	0.00(1)	-1.28(4)	0.00(3)	-0.21(3)	0.00(1)
249	0.00(1)	0.00(1)	-0.94(4)	-0.01(3)	-0.00(5-I-1)	0.00(1)
250	0.00(1)	0.00(1)	-1.29(4)	0.02(3)	-0.20(3)	0.00(1)
251	0.00(1)	0.00(1)	-1.22(4)	0.19(3)	-0.02(3)	0.00(1)
252	0.00(1)	0.00(1)	-1.46(3)	0.11(3)	-0.14(3)	0.00(1)
253	0.00(1)	0.00(1)	-1.81(3)	-0.00(2)	-0.33(3)	0.00(1)
254	0.00(1)	0.00(1)	-1.05(4)	0.00(2)	-0.09(3)	0.00(1)
255	0.00(1)	0.00(1)	-0.95(4)	-0.01(3)	-0.03(2)	0.00(1)
256	0.00(1)	0.00(1)	-1.81(3)	0.00(3)	-0.33(3)	0.00(1)
257	0.00(1)	0.00(1)	-0.93(4)	-0.01(3)	-0.00(5-I-1)	0.00(1)
258	0.00(1)	0.00(1)	-0.97(4)	0.03(2)	0.04(3)	0.00(1)
259	0.00(1)	0.00(1)	-1.28(4)	0.00(8-II-1)	-0.20(3)	0.00(1)
260	0.00(1)	0.00(1)	-0.96(4)	-0.01(3)	-0.03(2)	0.00(1)
261	0.00(1)	0.00(1)	-1.05(4)	-0.00(3)	-0.09(3)	0.00(1)
262	0.00(1)	0.00(1)	-1.94(3)	0.40(3)	0.02(3)	0.00(1)
263	0.00(1)	0.00(1)	-1.23(4)	0.19(3)	0.03(3)	0.00(1)
264	0.00(1)	0.00(1)	-1.13(4)	0.00(2)	0.13(3)	0.00(1)

**POTENZIAMENTO DELL'IMPIANTO DI DEPURAZIONE E
DEL RECAPITO FINALE DI SQUINZANO (LE)
PROGETTO DEFINITIVO
Tabulati di calcolo strutturale-Equalizzazione**

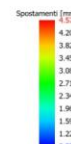
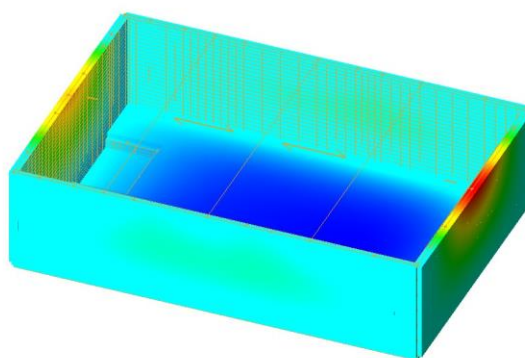
R.37.7

Maggio 2021

Pagina 59 di 338

Nodo	Trasl. X	Trasl. Y	Trasl. Z	Rotaz. X	Rotaz. Y	Rotaz. Z
265	0.00(1)	0.00(1)	-0.96(4)	-0.01(3)	0.03(2)	0.00(1)
266	0.00(1)	0.00(1)	-1.93(3)	0.29(3)	0.04(3)	0.00(1)
267	0.00(1)	0.00(1)	-1.15(4)	0.02(3)	0.14(3)	0.00(1)
268	0.00(1)	0.00(1)	-1.13(4)	-0.00(3)	0.12(3)	0.00(1)
269	0.00(1)	0.00(1)	-1.01(4)	-0.03(4)	-0.02(2)	0.00(1)
270	0.00(1)	0.00(1)	-0.95(4)	-0.01(3)	0.03(4)	0.00(1)
271	0.00(1)	0.00(1)	-0.95(4)	0.01(2)	0.03(4)	0.00(1)
272	0.00(1)	0.00(1)	-1.18(4)	-0.03(3)	0.10(3)	0.00(1)
273	0.00(1)	0.00(1)	-1.13(4)	0.00(2)	0.13(3)	0.00(1)
274	0.00(1)	0.00(1)	-1.08(4)	-0.02(4)	-0.08(3)	0.00(1)
275	0.00(1)	0.00(1)	-1.34(3)	0.15(3)	0.10(3)	0.00(1)
276	0.00(1)	0.00(1)	-1.29(4)	-0.01(3)	-0.19(3)	0.00(1)
277	0.00(1)	0.00(1)	-1.01(4)	-0.04(3)	0.01(3)	0.00(1)
278	0.00(1)	0.00(1)	-1.05(4)	-0.04(3)	0.03(4)	0.00(1)
279	0.00(1)	0.00(1)	-1.67(3)	-0.01(3)	0.18(3)	0.00(1)
280	0.00(1)	0.00(1)	-1.79(3)	-0.03(3)	-0.23(3)	0.00(1)
281	0.00(1)	0.00(1)	-1.27(4)	-0.06(3)	0.02(3)	0.00(1)
282	0.00(1)	0.00(1)	-1.52(3)	-0.12(3)	-0.09(3)	0.00(1)
283	0.00(1)	0.00(1)	-1.44(3)	-0.07(3)	0.02(3)	0.00(1)
284	0.00(1)	0.00(1)	-1.47(3)	-0.06(3)	0.05(3)	0.00(1)
285	0.00(1)	0.00(1)	-1.39(3)	-0.17(3)	-0.04(3)	0.00(1)
286	0.00(1)	0.00(1)	-1.37(3)	-0.15(3)	-0.01(2)	0.00(1)
287	0.00(1)	0.00(1)	-1.64(3)	-0.02(3)	0.09(3)	0.00(1)
7001	-0.09(3)	-0.06(3)	-1.87(3)	0.01(3)	0.03(3)	-0.25(3)
7002	-0.21(3)	-1.19(3)	-1.90(3)	-0.18(2)	-0.01(7-II-1)	-0.70(3)
7003	-0.18(3)	-2.66(3)	-1.95(3)	-0.41(2)	-0.01(7-II-1)	-0.64(3)
7004	-0.09(3)	-3.73(3)	-1.98(3)	-0.59(2)	-0.00(7-II-1)	-0.36(3)
7005	0.03(5-I-1)	-4.11(3)	-2.00(3)	-0.65(2)	0.01(7-I-1)	-0.04(3)
7006	0.13(3)	-3.75(3)	-1.99(3)	-0.59(2)	0.01(7-I-1)	0.35(3)
7007	0.24(3)	-2.11(3)	-1.96(3)	-0.32(2)	0.01(3)	0.70(3)
7008	0.24(3)	-1.22(3)	-1.94(3)	-0.18(2)	0.01(3)	0.70(3)
7009	0.13(3)	-0.10(3)	-1.92(3)	0.02(3)	0.02(2)	0.25(3)
7010	-0.28(7-II-1)	-0.15(3)	-1.80(3)	0.02(3)	0.13(3)	0.17(7-II-1)
7018	0.31(7-I-1)	-0.19(3)	-1.84(3)	0.02(3)	-0.13(3)	-0.17(7-I-1)
7019	-0.84(7-II-1)	-0.10(3)	-1.68(3)	-0.01(2)	0.42(3)	0.14(7-II-1)
7027	0.85(7-I-1)	-0.14(3)	-1.70(3)	0.01(3)	-0.42(3)	-0.14(7-I-1)
7028	-1.21(7-II-1)	-0.07(3)	-1.71(3)	0.01(3)	0.26(5-I-1)	0.10(7-II-1)
7036	1.22(7-I-1)	-0.11(3)	-1.71(3)	0.01(3)	-0.26(5-II-1)	-0.10(7-I-1)
7037	-1.30(7-II-1)	-0.02(7-II-1)	-1.70(3)	0.00(3)	0.28(7-I-1)	-0.07(7-I-1)
7045	1.30(7-I-1)	-0.06(3)	-1.69(3)	0.01(3)	-0.29(7-II-1)	0.08(7-II-1)
7046	-1.22(7-II-1)	-0.02(3)	-1.63(4)	0.01(4)	0.49(3)	0.02(3)
7054	1.20(7-I-1)	-0.07(3)	-1.62(4)	0.01(3)	-0.50(3)	0.02(2)
7055	-1.14(7-II-1)	0.05(3)	-1.70(3)	-0.00(8-I-1)	0.24(7-I-1)	-0.15(3)
7063	1.09(7-I-1)	-0.05(2)	-1.63(3)	0.01(3)	-0.25(7-II-1)	0.16(3)
7064	-0.81(7-II-1)	0.08(3)	-1.66(3)	-0.01(3)	0.37(3)	-0.17(3)
7072	0.75(7-I-1)	-0.06(2)	-1.60(4)	0.01(3)	-0.38(3)	0.18(7-I-1)
7073	-0.53(7-II-1)	0.08(3)	-1.71(3)	-0.01(3)	0.19(3)	-0.17(7-II-1)
7081	0.47(7-I-1)	-0.07(2)	-1.60(3)	0.01(3)	-0.20(3)	0.17(7-I-1)
7082	-0.19(7-II-1)	0.08(3)	-1.75(3)	-0.01(3)	0.09(3)	-0.13(7-II-1)
7090	-0.18(7-II-1)	-0.07(2)	-1.60(3)	0.01(4)	-0.11(3)	0.14(7-I-1)
7091	-0.18(3)	0.02(7-II-1)	-1.78(3)	0.01(4)	-0.03(2)	-0.25(2)
7092	-0.29(3)	-1.11(2)	-1.77(3)	0.18(2)	-0.02(3)	-0.66(2)
7093	-0.26(3)	-2.48(2)	-1.77(3)	0.43(2)	-0.02(3)	-0.59(2)
7094	-0.17(3)	-3.47(2)	-1.77(3)	0.61(2)	-0.02(3)	-0.33(2)
7095	-0.07(3)	-3.83(2)	-1.75(3)	0.67(2)	-0.01(3)	-0.04(2)
7096	-0.08(2)	-3.52(2)	-1.71(3)	0.60(2)	-0.01(7-II-1)	-0.33(3)
7097	-0.18(2)	-2.00(2)	-1.65(3)	0.33(2)	0.01(7-I-1)	0.66(2)
7098	-0.18(2)	-1.14(2)	-1.63(3)	0.18(2)	0.01(7-I-1)	0.68(2)
7099	-0.08(2)	-0.08(3)	-1.60(3)	0.01(4)	-0.03(3)	0.26(2)

Tipo diagramma: Deformata
Combinazione corrente : Scenario Set_NT_ 2018 A2_SLV_SLD_STR_GEO - C 3



Risultati Analisi Dinamica - Reazioni massime - Nodi
Scenario di calcolo: Set_NT_ 2018 A2_SLV_SLD_STR_GEO

Nodo	Rx	Ry	Rz	Mx	My	Mz
	kg	kg	kg	kg*m	kg*m	kg*m
1	5918 (3)	12769 (2)	0	0	0	1073 (3)
2	-3367 (3)	28041 (2)	0	0	0	-885 (3)
3	-7000 (3)	15592 (2)	0	0	0	-1561 (3)
4	-3567 (3)	4093 (3)	0	0	0	-149 (3)
5	-1038 (1)	33673 (2)	0	0	0	-207 (1)
6	-2479 (3)	-9691 (2)	0	0	0	49 (2)
7	3631 (7-II-1)	-52626 (3)	0	0	0	787 (2)
8	-7278 (2)	6368 (3)	0	0	0	1162 (3)
9	-6175 (3)	-31556 (3)	0	0	0	5852 (3)
10	3391 (3)	1373 (3)	0	0	0	511 (3)
11	11825 (3)	40069 (2)	0	0	0	-3316 (3)
69	-20528 (3)	2508 (3)	0	0	0	-258 (3)
70	-2365 (3)	-2559 (4)	0	0	0	-74 (3)
71	20153 (3)	1918 (2)	0	0	0	225 (1)
72	4278 (2)	-606 (2)	0	0	0	-49 (2)
73	-1765 (3)	-3009 (2)	0	0	0	24 (3)
74	3005 (3)	-11130 (3)	0	0	0	4769 (3)
75	-4986 (3)	-3598 (2)	0	0	0	34 (2)
76	-16631 (3)	-16517 (3)	0	0	0	-2517 (3)
77	2193 (3)	-4727 (3)	0	0	0	-135 (3)
78	-3639 (2)	-527 (3)	0	0	0	38 (2)
151	4010 (3)	21103 (3)	0	0	0	3101 (3)
152	1773 (2)	19660 (3)	0	0	0	-5213 (3)
153	-1387 (7-II-1)	30186 (3)	0	0	0	503 (5-I-1)
155	-992 (3)	-8927 (3)	0	0	0	-253 (3)
156	1282 (3)	21351 (3)	0	0	0	5608 (3)
157	1593 (3)	15379 (3)	0	0	0	2196 (3)
158	5375 (3)	21448 (3)	0	0	0	-986 (3)
159	6998 (3)	17143 (3)	0	0	0	-4369 (3)
160	-5074 (3)	20082 (3)	0	0	0	-4360 (3)
208	38038 (3)	989 (2)	0	0	0	4069 (3)
209	8736 (3)	11898 (3)	0	0	0	-982 (3)
210	-6639 (2)	-180 (7-II-1)	0	0	0	203 (2)
211	-7221 (3)	2686 (2)	0	0	0	421 (2)
212	-6663 (2)	-625 (3)	0	0	0	-194 (2)
213	-11727 (2)	316 (2)	0	0	0	1111 (2)
214	-10728 (2)	-500 (3)	0	0	0	-1267 (2)
215	-10288 (2)	-1857 (3)	0	0	0	-657 (2)
216	-35144 (3)	-3057 (2)	0	0	0	-2483 (3)

**POTENZIAMENTO DELL'IMPIANTO DI DEPURAZIONE E
DEL RECAPITO FINALE DI SQUINZANO (LE)
PROGETTO DEFINITIVO
Tabulati di calcolo strutturale-Equalizzazione**

R.37.7

Maggio 2021

Pagina 61 di 338

Nodo	Rx	Ry	Rz	Mx	My	Mz
217	21346 (2)	-9899 (3)	0	0	0	2791 (3)
218	-23831 (3)	1512 (3)	0	0	0	-1082 (3)
219	-5101 (2)	-1340 (3)	0	0	0	54 (3)
220	-37899 (3)	2920 (3)	0	0	0	-4352 (3)
221	4698 (3)	-6778 (3)	0	0	0	-229 (2)
222	-41489 (3)	2924 (3)	0	0	0	-3161 (2)
223	-24099 (3)	1992 (3)	0	0	0	-678 (2)
224	4187 (3)	-4006 (3)	0	0	0	162 (3)
225	5725 (2)	768 (3)	0	0	0	-3 (2)
226	-3552 (3)	1348 (3)	0	0	0	-19 (3)
227	-2661 (3)	1716 (3)	0	0	0	-4 (2)
228	-8246 (3)	-15030 (2)	0	0	0	1631 (3)
229	-4612 (3)	-6939 (3)	0	0	0	221 (2)
230	-21216 (2)	-10683 (3)	0	0	0	-2970 (3)
231	-524 (7-I-1)	36941 (3)	0	0	0	613 (3)
234	-3247 (3)	-2523 (3)	0	0	0	51 (3)
235	-358 (2)	5500 (2)	0	0	0	23 (2)
236	35293 (3)	-3097 (2)	0	0	0	2214 (3)
238	23923 (3)	-1358 (2)	0	0	0	887 (3)
239	165 (7-I-1)	7486 (2)	0	0	0	125 (2)
240	-259 (7-II-1)	-3914 (3)	0	0	0	-59 (3)
241	-256 (7-II-1)	-1632 (3)	0	0	0	-29 (3)
242	-2409 (3)	-1414 (3)	0	0	0	-66 (3)
243	-2261 (3)	-3344 (3)	0	0	0	63 (3)
244	-5419 (3)	27493 (3)	0	0	0	1015 (3)
245	6729 (2)	-149 (7-I-1)	0	0	0	-209 (2)
246	-3725 (3)	-1117 (3)	0	0	0	-118 (3)
247	-2303 (3)	33137 (3)	0	0	0	261 (2)
248	6754 (2)	-575 (3)	0	0	0	207 (2)
249	-345 (7-II-1)	349 (3)	0	0	0	6 (3)
250	7488 (2)	-1267 (3)	0	0	0	-115 (2)
251	-684 (2)	6673 (2)	0	0	0	-42 (2)
252	4307 (3)	2117 (2)	0	0	0	-12 (3)
253	41903 (3)	1017 (2)	0	0	0	-3505 (3)
254	-4011 (3)	-379 (3)	0	0	0	124 (3)
255	-2546 (3)	-480 (3)	0	0	0	84 (3)
256	24223 (3)	937 (3)	0	0	0	667 (2)
257	-267 (7-II-1)	-545 (3)	0	0	0	-8 (5-I-1)
258	2538 (3)	-3858 (3)	0	0	0	8 (7-II-1)
259	8226 (2)	227 (3)	0	0	0	39 (2)
260	-3103 (3)	334 (3)	0	0	0	-17 (3)
261	-4888 (3)	273 (3)	0	0	0	-23 (3)
262	2753 (3)	43254 (3)	0	0	0	-1065 (2)
263	901 (2)	9188 (2)	0	0	0	250 (2)
264	3562 (3)	-341 (3)	0	0	0	-115 (3)
265	3344 (3)	217 (4)	0	0	0	10 (3)
266	5911 (3)	23343 (3)	0	0	0	-2810 (3)
267	-4301 (2)	-3016 (3)	0	0	0	-262 (2)
268	4348 (3)	132 (4)	0	0	0	22 (3)
269	-2966 (3)	1221 (3)	0	0	0	-56 (3)
270	2704 (3)	-590 (3)	0	0	0	-79 (3)
271	2585 (3)	-1610 (3)	0	0	0	102 (3)
272	3495 (3)	-921 (3)	0	0	0	53 (3)
273	3291 (3)	-1045 (3)	0	0	0	-94 (2)
274	-3665 (3)	1317 (3)	0	0	0	-58 (3)
275	-1406 (3)	6642 (2)	0	0	0	-115 (2)
276	7352 (2)	552 (3)	0	0	0	112 (2)
277	-898 (3)	-277 (2)	0	0	0	-12 (3)
278	2307 (3)	-600 (3)	0	0	0	43 (3)
279	-18155 (3)	2885 (3)	0	0	0	-247 (1)
280	17256 (3)	4383 (3)	0	0	0	425 (3)
281	-4011 (3)	-7707 (3)	0	0	0	1341 (3)
282	2680 (3)	-3895 (2)	0	0	0	68 (3)
283	2444 (3)	-22477 (3)	0	0	0	5670 (3)
284	-1016 (2)	-3326 (2)	0	0	0	-136 (2)
285	-1402 (2)	-8260 (2)	0	0	0	-50 (2)
286	5341 (2)	-11923 (2)	0	0	0	-4566 (3)
287	-7634 (3)	2831 (3)	0	0	0	-585 (3)

Risultati Analisi Dinamica - Spostamenti massimi - Impalcati
Scenario di calcolo: Set_NT_ 2018 A2_SLV_SLD_STR_GEO

la tripletta (Cb [-SubC-Cbm]) indica la Combinazione - SottoCombinazione sismica - Posizione Masse, nel caso non sismico mancano SubC-Cbm

**POTENZIAMENTO DELL'IMPIANTO DI DEPURAZIONE E
DEL RECAPITO FINALE DI SQUINZANO (LE)
PROGETTO DEFINITIVO
Tabulati di calcolo strutturale-Equalizzazione**

R.37.7

Maggio 2021

Pagina 62 di 338

Piano	Trasl. X mm	Trasl. Y mm	Trasl. Z mm	Rotaz. X mrad	Rotaz. Y mrad	Rotaz. Z mrad
0	0.00 (1-1)	0.00 (2-1)	-1.39 (3-1)	0.00 (1-1)	0.00 (1-1)	0.00 (7-I-1)
2	-0.04 (7-II-1)	-0.02 (8-II-1)	-1.83 (3-1)	0.00 (1-1)	0.00 (1-1)	0.00 (3-1)
3	-0.08 (7-II-1)	-0.05 (8-II-1)	-1.82 (3-1)	0.00 (1-1)	0.00 (1-1)	0.00 (3-1)
4	-0.14 (7-II-1)	-0.08 (8-II-1)	-1.80 (3-1)	0.00 (1-1)	0.00 (1-1)	0.00 (3-1)
5	-0.20 (7-II-1)	-0.11 (8-II-1)	-1.78 (3-1)	0.00 (1-1)	0.00 (1-1)	0.00 (3-1)
6	-0.27 (7-II-1)	-0.14 (8-II-1)	-1.76 (3-1)	0.00 (1-1)	0.00 (1-1)	0.00 (3-1)
7	-0.30 (5-II-1)	-0.18 (8-II-1)	-1.76 (3-1)	0.00 (1-1)	0.00 (1-1)	0.00 (3-1)

Risultati Analisi Dinamica - Spostamenti massimi - Impalcati (SLD)

Scenario di calcolo: Set_NT_ 2018 A2_SLV_SLD_STR_GEO

la tripletta (Cb [-SubC-Cbm]) indica la Combinazione - SottoCombinazione sismica - Posizione Masse, nel caso non sismico mancano SubC-Cbm

Piano	Trasl. X mm	Trasl. Y mm	Trasl. Z mm	Rotaz. X mrad	Rotaz. Y mrad	Rotaz. Z mrad
0	0.00 (11-1)	0.00 (11-1)	-0.98 (15-I-1)	0.00 (9-1)	0.00 (9-1)	0.00 (14-I-1)
2	-0.02 (14-II-1)	-0.02 (15-II-1)	-1.22 (15-II-1)	0.00 (9-1)	0.00 (9-1)	0.00 (15-I-1)
3	-0.05 (14-II-1)	-0.04 (15-II-1)	-1.22 (14-I-1)	0.00 (9-1)	0.00 (9-1)	0.00 (15-I-1)
4	-0.07 (14-II-1)	-0.06 (15-II-1)	-1.21 (14-I-1)	0.00 (9-1)	0.00 (9-1)	0.00 (15-I-1)
5	-0.11 (14-II-1)	-0.08 (15-II-1)	-1.20 (14-I-1)	0.00 (9-1)	0.00 (9-1)	0.00 (15-I-1)
6	-0.14 (14-II-1)	-0.10 (15-II-1)	-1.20 (14-I-1)	0.00 (9-1)	0.00 (9-1)	0.00 (15-I-1)
7	-0.15 (14-II-1)	-0.12 (15-II-1)	-1.20 (14-I-1)	0.00 (9-1)	0.00 (9-1)	0.00 (14-II-1)

Risultati Analisi Dinamica - Sollecitazioni massime - Involuppi - Travi

Scenario di calcolo: Set_NT_ 2018 A2_SLV_SLD_STR_GEO

Asta	N.in. N.fin.	N kg	Ty kg	Tz kg	Mt kg*m	My kg*m	Mz kg*m
701	7019	17883 (3)	-8 (7-II-1)	-9481 (4)	0	0	-79 (7-II-1)
	7027	17883 (3)	-8 (7-II-1)	9481 (4)	0	0	-74 (7-I-1)
702	7046	22791 (3)	0	-9316 (4)	0	0	-11 (3)
	7054	22791 (3)	0	9316 (4)	0	0	6 (6-I-1)
703	7064	14905 (3)	-9 (7-I-1)	-8821 (4)	0	0	87 (7-II-1)
	7072	14905 (3)	-9 (7-I-1)	8821 (4)	0	0	92 (7-I-1)

Risultati Analisi Dinamica - Sollecitazioni Massime - Muri discretizzati

Scenario di calcolo: Set_NT_ 2018 A2_SLV_SLD_STR_GEO

Muro	Pann.	Sxx daN/cm ²	Syy daN/cm ²	Sxy daN/cm ²	Mxx kg*m/m	Myy kg*m/m	Mxy kg*m/m
1	1	-2.89 (3)	-1.31 (3)	-0.65 (3)	1088 (4)	946 (3)	244 (4)
1	2	-3.22 (3)	-1.17 (3)	-0.41 (3)	1107 (2)	651 (4)	411 (3)
1	3	-3.30 (3)	-1.03 (3)	-0.24 (3)	1136 (2)	590 (2)	362 (3)
1	4	-3.31 (3)	-0.91 (4)	-0.14 (3)	1154 (2)	529 (2)	310 (3)
1	5	-3.28 (3)	-0.80 (4)	-0.09 (4)	1162 (2)	467 (2)	261 (3)
1	6	-3.22 (3)	-0.70 (4)	-0.08 (2)	1162 (2)	407 (2)	210 (3)
1	7	-3.09 (3)	-0.61 (4)	-0.08 (2)	1153 (2)	342 (2)	142 (3)
1	8	-2.67 (3)	-0.57 (4)	0.12 (3)	1096 (2)	270 (2)	228 (3)
1	9	-3.30 (3)	-1.16 (3)	-0.84 (3)	1800 (3)	1147 (3)	251 (2)
1	10	-3.42 (3)	-1.07 (3)	-0.49 (3)	1551 (3)	739 (3)	196 (4)
1	11	-3.42 (3)	-0.99 (3)	-0.34 (3)	1426 (3)	569 (4)	169 (4)
1	12	-3.38 (3)	-0.89 (3)	-0.25 (3)	1348 (3)	503 (2)	156 (3)
1	13	-3.34 (3)	-0.80 (4)	-0.19 (3)	1308 (3)	437 (2)	156 (3)
1	14	-3.29 (3)	-0.71 (4)	-0.14 (4)	1304 (3)	370 (2)	168 (3)
1	15	-3.20 (3)	-0.64 (4)	-0.14 (2)	1340 (3)	296 (2)	173 (3)
1	16	-3.01 (3)	-0.63 (3)	0.28 (3)	1515 (3)	212 (2)	444 (3)
1	17	-3.79 (3)	-1.10 (3)	-0.89 (3)	2522 (3)	1150 (3)	272 (2)
1	18	-3.63 (3)	-1.08 (3)	-0.55 (3)	2609 (3)	843 (3)	174 (4)
1	19	-3.52 (3)	-0.98 (3)	-0.43 (3)	2618 (3)	663 (3)	147 (4)
1	20	-3.45 (3)	-0.88 (3)	-0.35 (3)	2602 (3)	540 (3)	138 (4)
1	21	-3.40 (3)	-0.79 (3)	-0.27 (3)	2569 (3)	451 (3)	135 (3)
1	22	-3.37 (3)	-0.71 (3)	-0.21 (4)	2513 (3)	379 (3)	149 (3)
1	23	-3.39 (3)	-0.67 (3)	-0.19 (2)	2419 (3)	299 (3)	158 (3)
1	24	-3.49 (3)	-0.61 (3)	0.27 (3)	2253 (3)	187 (4)	464 (3)
1	25	-4.20 (3)	-1.22 (3)	-0.76 (3)	3301 (3)	1038 (3)	200 (2)
1	26	-3.76 (3)	-1.11 (3)	-0.66 (3)	3834 (3)	924 (3)	129 (3)
1	27	-3.61 (3)	-0.97 (3)	-0.54 (3)	3951 (3)	813 (3)	78 (2)
1	28	-3.53 (3)	-0.84 (3)	-0.45 (3)	4008 (3)	723 (3)	70 (2)
1	29	-3.49 (3)	-0.74 (3)	-0.36 (3)	4001 (3)	650 (3)	70 (2)
1	30	-3.48 (3)	-0.66 (4)	-0.29 (2)	3927 (3)	582 (3)	81 (2)

**POTENZIAMENTO DELL'IMPIANTO DI DEPURAZIONE E
DEL RECAPITO FINALE DI SQUINZANO (LE)
PROGETTO DEFINITIVO
Tabulati di calcolo strutturale-Equalizzazione**

R.37.7

Maggio 2021

Pagina 63 di 338

Muro	Pann.	Sxx	Syy	Sxy	Mxx	Myy	Mxy
1	31	-3.54 (3)	-0.61 (3)	-0.28 (2)	3779 (3)	503 (3)	103 (2)
1	32	-3.92 (3)	-0.59 (3)	-0.23 (2)	3149 (3)	342 (3)	191 (3)
2	1	-5.78 (3)	-0.79 (3)	0.56 (3)	-6332 (2)	-616 (2)	-493 (3)
2	2	-6.10 (3)	-0.95 (3)	0.65 (3)	-8338 (2)	-1159 (2)	-153 (3)
2	3	-6.10 (3)	-0.97 (3)	0.51 (3)	-8338 (2)	-1156 (2)	-82 (3)
2	4	-5.91 (3)	-0.98 (3)	0.66 (2)	-6438 (2)	-703 (2)	138 (2)
2	5	-5.96 (3)	-0.82 (3)	0.74 (3)	3800 (3)	857 (3)	-956 (3)
2	6	-6.16 (3)	-0.99 (3)	0.68 (3)	3840 (3)	611 (3)	-590 (3)
2	7	-6.19 (3)	-1.02 (3)	0.51 (3)	3832 (3)	595 (3)	-380 (3)
2	8	-6.13 (3)	-1.13 (3)	1.09 (2)	3815 (3)	-427 (2)	569 (2)
2	9	-6.07 (3)	-1.06 (3)	0.86 (3)	4255 (3)	862 (3)	-876 (4)
2	10	-6.07 (3)	-1.13 (3)	0.72 (3)	4627 (3)	875 (3)	-600 (3)
2	11	-6.14 (3)	-1.14 (3)	0.52 (3)	4668 (3)	804 (3)	-381 (3)
2	12	-6.37 (3)	-1.08 (3)	1.02 (2)	4401 (3)	500 (3)	522 (2)
2	13	-6.04 (3)	-1.27 (3)	0.97 (3)	4086 (3)	860 (3)	-706 (3)
2	14	-5.93 (3)	-1.32 (3)	0.71 (3)	4476 (3)	957 (3)	-548 (3)
2	15	-6.05 (3)	-1.24 (3)	0.49 (3)	4567 (3)	864 (3)	-412 (3)
2	16	-6.45 (3)	-1.02 (3)	0.63 (2)	4359 (3)	582 (3)	-267 (3)
3	1	-5.36 (3)	-1.62 (3)	0.68 (3)	2123 (3)	847 (3)	-380 (3)
3	2	-5.48 (3)	-1.60 (3)	0.60 (3)	2025 (3)	813 (3)	-376 (3)
3	3	-5.49 (3)	-1.47 (3)	0.44 (3)	2197 (3)	760 (3)	-338 (3)
3	4	-5.53 (3)	-1.40 (3)	0.41 (3)	2836 (3)	766 (3)	-348 (3)
3	5	-5.83 (3)	-1.23 (3)	0.33 (3)	2835 (3)	668 (3)	-268 (2)
3	6	-5.92 (3)	-0.91 (3)	0.35 (2)	3305 (3)	483 (3)	-203 (3)
3	7	-6.15 (3)	-0.98 (3)	0.44 (2)	4124 (3)	599 (3)	-268 (3)
3	8	-5.80 (3)	-1.26 (3)	0.55 (3)	4164 (3)	850 (3)	-330 (3)
3	9	-5.60 (3)	-1.44 (3)	0.76 (3)	4062 (3)	1001 (3)	-455 (3)
3	10	-5.59 (3)	-1.43 (3)	1.06 (3)	3792 (3)	868 (3)	-584 (3)
3	11	-5.20 (3)	-1.54 (3)	1.08 (3)	2894 (3)	833 (3)	-542 (3)
3	12	-5.37 (3)	-1.58 (3)	0.85 (3)	2473 (3)	912 (3)	-490 (3)
3	13	-5.48 (3)	-1.54 (3)	0.58 (3)	2416 (3)	880 (3)	-436 (3)
3	14	-5.63 (3)	-1.48 (3)	0.60 (3)	2938 (3)	952 (3)	-398 (3)
3	15	-5.45 (3)	-1.50 (3)	0.72 (3)	3110 (3)	949 (3)	-398 (3)
4	1	-4.00 (3)	-1.48 (3)	1.02 (3)	3328 (3)	920 (3)	-322 (3)
4	2	-3.56 (3)	-1.47 (3)	0.84 (3)	4158 (3)	1151 (3)	-470 (3)
4	3	-3.46 (3)	-1.41 (3)	0.66 (3)	4460 (3)	1204 (3)	-362 (3)
4	4	-3.46 (3)	-1.33 (3)	0.55 (3)	4652 (3)	1176 (3)	-279 (3)
4	5	-3.55 (3)	-1.22 (3)	0.45 (3)	4744 (3)	1105 (3)	-218 (3)
4	6	-3.70 (3)	-1.09 (3)	0.37 (2)	4703 (3)	987 (3)	-156 (3)
4	7	-3.99 (3)	-0.96 (3)	0.33 (2)	4562 (3)	813 (3)	-133 (2)
4	8	-4.71 (3)	-0.78 (3)	0.32 (2)	3850 (3)	518 (3)	-318 (3)
4	9	-3.61 (3)	-1.51 (3)	1.15 (3)	2585 (3)	826 (3)	-416 (2)
4	10	-3.37 (3)	-1.50 (3)	0.78 (3)	3032 (3)	1064 (3)	-229 (4)
4	11	-3.33 (3)	-1.40 (3)	0.59 (3)	3272 (3)	1115 (3)	-192 (4)
4	12	-3.37 (3)	-1.30 (3)	0.46 (3)	3423 (3)	1058 (3)	-185 (3)
4	13	-3.45 (3)	-1.20 (3)	0.35 (3)	3484 (3)	965 (3)	-202 (3)
4	14	-3.58 (3)	-1.10 (3)	0.27 (2)	3459 (3)	847 (3)	-231 (3)
4	15	-3.82 (3)	-1.00 (3)	0.27 (2)	3352 (3)	656 (3)	-246 (3)
4	16	-4.29 (3)	-0.78 (3)	0.35 (2)	3027 (3)	387 (3)	-640 (3)
4	17	-3.10 (3)	-1.55 (3)	1.15 (3)	1936 (3)	851 (3)	-417 (2)
4	18	-3.12 (3)	-1.47 (3)	0.71 (3)	2109 (3)	974 (3)	-254 (2)
4	19	-3.19 (3)	-1.36 (3)	0.49 (3)	2232 (3)	969 (3)	-201 (2)
4	20	-3.27 (3)	-1.25 (3)	0.37 (3)	2319 (3)	887 (3)	-148 (2)
4	21	-3.35 (3)	-1.14 (3)	0.27 (3)	2367 (3)	780 (3)	-175 (3)
4	22	-3.44 (3)	-1.05 (3)	0.22 (2)	2379 (3)	661 (3)	-250 (3)
4	23	-3.56 (3)	-0.95 (3)	0.23 (2)	2368 (3)	520 (3)	-288 (3)
4	24	-3.74 (3)	-0.83 (3)	-0.53 (3)	2320 (3)	367 (3)	-731 (3)
4	25	-2.57 (3)	-1.61 (3)	1.03 (3)	1346 (3)	912 (3)	-361 (2)
4	26	-2.86 (3)	-1.44 (3)	0.60 (3)	1291 (3)	898 (3)	-234 (2)
4	27	-3.04 (3)	-1.30 (3)	0.39 (3)	1306 (3)	811 (3)	-186 (2)
4	28	-3.17 (3)	-1.19 (3)	0.27 (3)	1329 (3)	702 (3)	-137 (2)
4	29	-3.26 (3)	-1.07 (3)	0.18 (4)	1368 (3)	583 (3)	-133 (3)
4	30	-3.31 (3)	-0.97 (3)	0.17 (2)	1429 (3)	471 (3)	-211 (3)
4	31	-3.30 (3)	-0.89 (3)	0.19 (2)	1511 (3)	400 (3)	-249 (3)
4	32	-3.19 (3)	-0.87 (3)	-0.57 (3)	1690 (3)	378 (3)	-675 (3)
4	33	-2.11 (3)	-1.67 (3)	0.79 (3)	1010 (2)	959 (3)	-278 (2)
4	34	-2.62 (3)	-1.42 (3)	0.45 (3)	1149 (2)	830 (3)	-185 (2)
4	35	-2.91 (3)	-1.27 (3)	0.27 (3)	1214 (2)	700 (4)	-149 (2)
4	36	-3.08 (3)	-1.14 (3)	0.16 (3)	1252 (2)	596 (4)	-116 (2)
4	37	-3.18 (3)	-1.01 (3)	0.12 (2)	1266 (2)	522 (2)	-86 (4)
4	38	-3.19 (3)	-0.90 (3)	0.12 (2)	1256 (2)	445 (2)	-116 (3)
4	39	-3.08 (3)	-0.81 (3)	-0.17 (3)	1228 (2)	349 (2)	-133 (3)
4	40	-2.73 (3)	-0.87 (3)	-0.47 (3)	1176 (4)	365 (3)	-487 (3)
4	41	-1.77 (3)	-1.70 (3)	0.45 (3)	968 (2)	945 (3)	-174 (2)
4	42	-2.45 (3)	-1.48 (3)	0.29 (3)	1124 (2)	745 (4)	-132 (4)
4	43	-2.80 (3)	-1.30 (3)	0.14 (3)	1204 (2)	656 (2)	-123 (2)

**POTENZIAMENTO DELL'IMPIANTO DI DEPURAZIONE E
DEL RECAPITO FINALE DI SQUINZANO (LE)
PROGETTO DEFINITIVO
Tabulati di calcolo strutturale-Equalizzazione**

R.37.7

Maggio 2021

Pagina 64 di 338

Muro	Pann.	Sxx	Syy	Sxy	Mxx	Myy	Mxy
4	44	-3.00 (3)	-1.14 (3)	0.08 (2)	1253 (2)	604 (2)	-121 (2)
4	45	-3.10 (3)	-0.99 (3)	0.06 (2)	1275 (2)	540 (2)	-116 (2)
4	46	-3.11 (3)	-0.85 (3)	-0.12 (3)	1270 (2)	469 (2)	-106 (2)
4	47	-2.97 (3)	-0.77 (3)	-0.21 (3)	1243 (2)	384 (2)	-88 (2)
4	48	-2.44 (3)	-0.77 (3)	-0.27 (3)	1142 (2)	318 (4)	-155 (3)
5	1	-1.40 (2)	-1.58 (3)	0.18 (4)	891 (4)	1029 (3)	-90 (2)
5	2	-1.45 (2)	-1.34 (3)	0.19 (3)	1200 (3)	937 (3)	-59 (2)
5	3	-1.48 (2)	-1.13 (4)	0.16 (4)	1384 (3)	796 (3)	-35 (2)
5	4	-1.52 (2)	-0.99 (4)	0.15 (2)	1509 (3)	666 (3)	75 (3)
5	5	-1.56 (4)	-0.85 (4)	0.15 (2)	1579 (3)	564 (4)	102 (3)
5	6	-1.60 (2)	-0.75 (4)	0.14 (2)	1594 (3)	477 (4)	122 (3)
5	7	-1.65 (2)	-0.67 (4)	0.12 (2)	1547 (3)	406 (4)	135 (3)
5	8	-1.71 (4)	-0.64 (4)	-0.15 (3)	1273 (3)	329 (4)	-30 (2)
5	9	-1.38 (2)	-1.47 (3)	0.09 (2)	831 (2)	1008 (3)	186 (3)
5	10	-1.44 (2)	-1.29 (3)	0.08 (2)	872 (2)	911 (3)	115 (3)
5	11	-1.48 (2)	-1.11 (4)	0.07 (2)	900 (2)	752 (3)	107 (3)
5	12	-1.52 (2)	-0.98 (4)	0.07 (2)	922 (2)	628 (4)	99 (3)
5	13	-1.55 (2)	-0.86 (4)	-0.07 (3)	948 (4)	513 (4)	90 (3)
5	14	-1.58 (2)	-0.77 (4)	-0.10 (3)	956 (2)	427 (2)	77 (3)
5	15	-1.62 (2)	-0.71 (4)	-0.13 (3)	971 (2)	349 (2)	57 (3)
5	16	-1.65 (2)	-0.66 (4)	-0.24 (3)	980 (2)	272 (2)	-99 (3)
5	17	-1.36 (2)	-1.43 (3)	-0.18 (3)	814 (2)	1023 (3)	242 (3)
5	18	-1.42 (2)	-1.25 (3)	-0.21 (3)	852 (2)	865 (3)	208 (3)
5	19	-1.47 (2)	-1.10 (4)	-0.21 (3)	881 (2)	715 (4)	181 (3)
5	20	-1.52 (2)	-0.96 (4)	-0.21 (3)	900 (2)	587 (4)	147 (3)
5	21	-1.55 (2)	-0.85 (4)	-0.19 (3)	914 (2)	499 (2)	116 (3)
5	22	-1.58 (2)	-0.76 (2)	-0.18 (3)	926 (2)	420 (2)	82 (3)
5	23	-1.61 (2)	-0.70 (2)	-0.18 (3)	937 (2)	348 (2)	53 (3)
5	24	-1.63 (2)	-0.65 (2)	-0.25 (3)	952 (2)	280 (2)	-48 (3)
5	25	-1.33 (2)	-1.49 (3)	-0.38 (3)	801 (2)	989 (3)	233 (3)
5	26	-1.40 (2)	-1.27 (3)	-0.41 (3)	848 (2)	801 (3)	182 (3)
5	27	-1.47 (2)	-1.10 (4)	-0.40 (3)	874 (2)	669 (4)	124 (3)
5	28	-1.52 (2)	-0.95 (4)	-0.37 (3)	892 (2)	565 (2)	80 (3)
5	29	-1.56 (2)	-0.83 (2)	-0.33 (3)	908 (2)	492 (2)	51 (3)
5	30	-1.59 (2)	-0.74 (2)	-0.28 (3)	923 (2)	424 (2)	35 (3)
5	31	-1.62 (2)	-0.67 (2)	-0.24 (3)	937 (2)	365 (2)	29 (3)
5	32	-1.63 (2)	-0.62 (2)	-0.20 (3)	955 (2)	316 (2)	14 (3)
6	1	-1.37 (2)	-1.46 (3)	-0.48 (3)	787 (2)	997 (3)	257 (3)
6	2	-1.48 (4)	-1.25 (3)	-0.31 (3)	812 (2)	758 (4)	345 (3)
6	3	-1.57 (4)	-1.09 (4)	-0.19 (3)	850 (2)	625 (4)	324 (3)
6	4	-1.62 (4)	-0.94 (4)	-0.12 (3)	879 (2)	552 (2)	292 (3)
6	5	-1.64 (4)	-0.82 (2)	-0.09 (3)	904 (2)	483 (2)	255 (3)
6	6	-1.65 (4)	-0.73 (2)	-0.07 (3)	926 (2)	418 (2)	217 (3)
6	7	-1.63 (2)	-0.66 (2)	-0.06 (3)	943 (2)	362 (2)	174 (3)
6	8	-1.64 (2)	-0.61 (2)	-0.05 (5-I-1)	961 (2)	315 (2)	150 (3)
6	9	-1.46 (4)	-1.30 (3)	-0.69 (3)	861 (2)	1099 (3)	182 (3)
6	10	-1.57 (4)	-1.16 (4)	-0.45 (3)	885 (2)	798 (3)	288 (3)
6	11	-1.63 (4)	-1.04 (4)	-0.33 (3)	906 (2)	643 (4)	246 (3)
6	12	-1.66 (4)	-0.91 (4)	-0.26 (3)	922 (2)	552 (2)	211 (3)
6	13	-1.67 (4)	-0.81 (2)	-0.21 (3)	936 (2)	475 (2)	180 (3)
6	14	-1.67 (4)	-0.74 (2)	-0.16 (3)	948 (2)	403 (2)	159 (3)
6	15	-1.64 (4)	-0.67 (2)	-0.11 (3)	958 (2)	338 (2)	140 (3)
6	16	-1.64 (2)	-0.63 (2)	-0.04 (5-I-1)	967 (2)	274 (2)	212 (3)
6	17	-1.68 (3)	-1.21 (4)	-0.80 (3)	1118 (3)	1106 (3)	198 (3)
6	18	-1.68 (3)	-1.13 (4)	-0.57 (3)	1156 (3)	818 (3)	308 (3)
6	19	-1.69 (4)	-1.00 (4)	-0.47 (3)	1173 (3)	654 (4)	252 (3)
6	20	-1.70 (4)	-0.88 (4)	-0.39 (3)	1167 (3)	544 (2)	209 (3)
6	21	-1.71 (4)	-0.80 (2)	-0.31 (3)	1147 (3)	469 (2)	171 (3)
6	22	-1.70 (4)	-0.72 (2)	-0.23 (3)	1110 (3)	398 (2)	140 (3)
6	23	-1.70 (4)	-0.66 (2)	-0.15 (3)	1061 (4)	331 (2)	116 (3)
6	24	-1.71 (4)	-0.61 (2)	-0.07 (2)	1026 (4)	263 (2)	234 (3)
6	25	-1.93 (3)	-1.28 (3)	-0.79 (3)	1615 (3)	1008 (3)	251 (3)
6	26	-1.76 (3)	-1.12 (4)	-0.72 (3)	1897 (3)	821 (3)	230 (3)
6	27	-1.76 (3)	-0.97 (4)	-0.62 (3)	1920 (3)	663 (4)	136 (3)
6	28	-1.76 (3)	-0.86 (2)	-0.51 (3)	1920 (3)	560 (4)	81 (3)
6	29	-1.76 (4)	-0.77 (2)	-0.41 (3)	1893 (3)	471 (4)	48 (3)
6	30	-1.76 (4)	-0.69 (2)	-0.30 (3)	1839 (3)	403 (2)	32 (5-I-1)
6	31	-1.77 (4)	-0.62 (2)	-0.17 (4)	1754 (3)	343 (2)	33 (2)
6	32	-1.84 (4)	-0.56 (2)	-0.10 (2)	1441 (3)	284 (2)	105 (3)
7	1	-5.41 (3)	-1.34 (3)	-0.54 (3)	2583 (3)	905 (3)	335 (2)
7	2	-5.68 (3)	-1.29 (3)	-0.34 (3)	1978 (4)	644 (4)	296 (3)
7	3	-5.72 (3)	-1.21 (3)	-0.19 (3)	1936 (2)	596 (2)	247 (3)
7	4	-5.74 (3)	-1.12 (3)	-0.13 (4)	1983 (2)	562 (2)	213 (3)
7	5	-5.73 (3)	-1.02 (3)	-0.13 (2)	1974 (2)	516 (2)	188 (4)
7	6	-5.70 (3)	-0.92 (3)	-0.16 (2)	1911 (2)	456 (2)	162 (4)
7	7	-5.63 (3)	-0.82 (3)	-0.23 (2)	1825 (4)	353 (2)	146 (2)

**POTENZIAMENTO DELL'IMPIANTO DI DEPURAZIONE E
DEL RECAPITO FINALE DI SQUINZANO (LE)
PROGETTO DEFINITIVO
Tabulati di calcolo strutturale-Equalizzazione**

R.37.7

Maggio 2021

Pagina 65 di 338

Muro	Pann.	Sxx	Syy	Sxy	Mxx	Myy	Mxy
7	8	-5.25 (3)	-0.74 (3)	-0.31 (2)	2325 (3)	279 (3)	223 (3)
7	9	-5.79 (3)	-1.26 (3)	-0.66 (3)	3387 (3)	1067 (3)	552 (2)
7	10	-5.84 (3)	-1.21 (3)	-0.36 (3)	3209 (3)	796 (3)	234 (2)
7	11	-5.82 (3)	-1.18 (3)	-0.24 (3)	3079 (3)	664 (3)	179 (2)
7	12	-5.79 (3)	-1.12 (3)	-0.19 (4)	3001 (3)	581 (3)	132 (2)
7	13	-5.77 (3)	-1.05 (3)	-0.18 (2)	2969 (3)	510 (3)	105 (4)
7	14	-5.77 (3)	-0.96 (3)	-0.21 (2)	2983 (3)	438 (3)	130 (3)
7	15	-5.74 (3)	-0.87 (3)	-0.29 (2)	3051 (3)	371 (3)	152 (3)
7	16	-5.64 (3)	-0.86 (3)	-0.54 (2)	3192 (3)	327 (3)	455 (3)
7	17	-6.21 (3)	-1.20 (3)	-0.66 (3)	4020 (3)	1016 (3)	579 (2)
7	18	-6.01 (3)	-1.22 (3)	-0.38 (3)	4171 (3)	892 (3)	177 (2)
7	19	-5.89 (3)	-1.19 (3)	-0.28 (3)	4186 (3)	825 (3)	135 (2)
7	20	-5.83 (3)	-1.14 (3)	-0.24 (3)	4191 (3)	763 (3)	113 (2)
7	21	-5.81 (3)	-1.08 (3)	-0.24 (4)	4188 (3)	703 (3)	104 (4)
7	22	-5.82 (3)	-1.00 (3)	-0.29 (2)	4171 (3)	635 (3)	142 (3)
7	23	-5.91 (3)	-0.93 (3)	-0.36 (2)	4133 (3)	523 (3)	176 (3)
7	24	-6.13 (3)	-0.83 (3)	-0.63 (2)	3942 (3)	360 (3)	443 (3)
7	25	-6.53 (3)	-1.19 (3)	-0.54 (3)	4487 (3)	872 (3)	242 (2)
7	26	-6.13 (3)	-1.24 (3)	-0.39 (3)	4889 (3)	932 (3)	49 (5-II-1)
7	27	-5.95 (3)	-1.21 (3)	-0.33 (3)	5025 (3)	935 (3)	41 (5-II-1)
7	28	-5.86 (3)	-1.15 (3)	-0.30 (3)	5120 (3)	899 (3)	44 (5-II-1)
7	29	-5.84 (3)	-1.08 (3)	-0.30 (4)	5158 (3)	857 (3)	68 (2)
7	30	-5.88 (3)	-1.01 (3)	-0.39 (2)	5134 (3)	801 (3)	118 (2)
7	31	-6.04 (3)	-0.91 (3)	-0.53 (2)	5055 (3)	678 (3)	204 (2)
7	32	-6.50 (3)	-0.76 (3)	-0.55 (2)	4586 (3)	436 (3)	210 (3)
8	1	-6.38 (3)	-1.06 (3)	-0.22 (2)	4874 (3)	776 (3)	171 (2)
8	2	-6.30 (3)	-1.10 (3)	-0.11 (2)	4955 (3)	834 (3)	147 (4)
8	3	-6.27 (3)	-1.15 (3)	-0.13 (5-II-1)	4995 (3)	875 (3)	164 (4)
8	4	-6.27 (3)	-1.21 (3)	-0.18 (3)	4985 (3)	916 (3)	188 (3)
8	5	-6.38 (3)	-1.23 (3)	0.24 (2)	4934 (3)	889 (3)	219 (3)
8	6	-6.75 (3)	-1.13 (3)	0.44 (2)	4586 (3)	778 (3)	489 (2)
8	7	-6.61 (3)	-1.04 (3)	0.96 (2)	4437 (3)	774 (3)	1068 (2)
8	8	-6.28 (3)	-0.96 (3)	0.87 (2)	3598 (3)	699 (3)	860 (2)
8	9	-5.87 (3)	-0.92 (3)	0.46 (2)	-6372 (2)	-643 (2)	261 (4)
8	10	-6.27 (3)	-0.94 (3)	-0.20 (3)	-8214 (2)	-1125 (2)	44 (5-II-1)
8	11	-6.27 (3)	-0.92 (3)	-0.19 (2)	-8133 (2)	-1128 (2)	-35 (5-I-1)
8	12	-6.01 (3)	-0.89 (3)	-0.64 (2)	-6400 (2)	-718 (2)	-181 (2)
8	13	-6.42 (3)	-0.96 (3)	-1.12 (2)	3789 (3)	-545 (2)	-693 (2)
8	14	-6.74 (3)	-0.91 (3)	-1.23 (2)	4492 (3)	414 (3)	-821 (2)
8	15	-6.90 (3)	-0.80 (3)	-0.75 (2)	4510 (3)	423 (3)	-212 (2)
8	16	-6.55 (3)	-0.98 (3)	-0.47 (2)	4774 (3)	643 (3)	224 (2)
8	17	-6.34 (3)	-1.06 (3)	-0.24 (3)	4569 (3)	762 (3)	259 (2)
8	18	-6.48 (3)	-0.90 (3)	-0.22 (3)	-4386 (2)	-541 (2)	131 (5-II-1)
8	19	-6.21 (3)	-1.04 (3)	-0.26 (3)	4349 (3)	686 (3)	370 (2)
8	20	-6.31 (3)	-0.99 (3)	-0.12 (3)	4150 (3)	593 (3)	66 (5-II-1)
8	21	-6.30 (3)	-1.09 (3)	-0.16 (3)	4995 (3)	831 (3)	146 (2)
8	22	-6.31 (3)	-1.09 (3)	-0.23 (3)	4976 (3)	880 (3)	218 (2)
8	23	-6.36 (3)	-1.12 (3)	-0.21 (3)	4912 (3)	847 (3)	279 (4)
8	24	-6.36 (3)	-1.01 (3)	-0.16 (2)	4586 (3)	694 (3)	-118 (2)
8	25	-6.48 (3)	-0.89 (3)	-0.15 (2)	-4361 (2)	-554 (2)	51 (5-II-1)
8	26	-6.30 (3)	-0.98 (3)	-0.29 (2)	4162 (3)	586 (3)	149 (2)
8	27	-6.25 (3)	-1.00 (3)	-0.29 (2)	4371 (3)	571 (3)	-209 (2)
8	28	-6.47 (3)	-0.99 (3)	-0.42 (2)	4886 (3)	641 (3)	-72 (2)
8	29	-6.36 (3)	-1.01 (3)	-0.19 (2)	4941 (3)	768 (3)	-47 (2)
8	30	-6.32 (3)	-1.06 (3)	-0.14 (4)	4983 (3)	797 (3)	45 (5-II-1)
9	1	5.79 (2)	-0.84 (3)	-0.74 (2)	-5874 (2)	558 (3)	-314 (2)
9	2	-6.06 (3)	0.78 (2)	0.22 (3)	-7361 (2)	-1105 (2)	75 (2)
9	3	-6.07 (3)	0.83 (2)	0.29 (3)	-7369 (2)	-1124 (2)	-75 (3)
9	4	-5.69 (3)	-0.90 (3)	0.65 (2)	-5793 (2)	-600 (2)	383 (2)
9	5	-6.19 (3)	-0.82 (3)	-1.35 (2)	3931 (3)	707 (3)	-884 (2)
9	6	-6.21 (3)	-0.82 (3)	-0.29 (2)	4003 (3)	567 (3)	-277 (3)
9	7	-6.21 (3)	-0.86 (3)	0.34 (3)	3988 (3)	516 (3)	-233 (3)
9	8	-6.24 (3)	-0.98 (3)	1.20 (2)	3902 (3)	413 (3)	966 (2)
9	9	-6.57 (3)	-0.85 (3)	-1.25 (2)	4414 (3)	648 (3)	-793 (2)
9	10	-6.35 (3)	-0.93 (3)	-0.29 (2)	4689 (3)	699 (3)	-275 (3)
9	11	-6.37 (3)	-0.96 (3)	0.39 (3)	4701 (3)	657 (3)	-233 (3)
9	12	-6.63 (3)	-0.92 (3)	1.10 (2)	4434 (3)	529 (3)	880 (2)
9	13	-6.68 (3)	-0.86 (3)	-0.63 (2)	4315 (3)	570 (3)	-262 (3)
9	14	-6.44 (3)	-1.00 (3)	0.30 (3)	4520 (3)	692 (3)	-234 (3)
9	15	-6.46 (3)	-1.00 (3)	0.37 (3)	4554 (3)	678 (3)	-230 (3)
9	16	-6.75 (3)	-0.89 (3)	0.59 (2)	4376 (3)	553 (3)	288 (2)
10	1	-6.32 (3)	-0.89 (3)	0.43 (3)	4138 (3)	543 (3)	-125 (3)
10	2	-6.14 (3)	-0.93 (3)	0.32 (3)	4340 (3)	650 (3)	-206 (3)
10	3	-6.17 (3)	-0.93 (3)	0.33 (3)	4359 (3)	655 (3)	-224 (3)
10	4	-6.41 (3)	-0.89 (3)	0.25 (2)	4190 (3)	579 (3)	-279 (3)
10	5	-5.99 (3)	-0.83 (3)	0.49 (3)	3247 (3)	446 (3)	-157 (3)

**POTENZIAMENTO DELL'IMPIANTO DI DEPURAZIONE E
DEL RECAPITO FINALE DI SQUINZANO (LE)
PROGETTO DEFINITIVO
Tabulati di calcolo strutturale-Equalizzazione**

R.37.7

Maggio 2021

Pagina 66 di 338

Muro	Pann.	Sxx	Syy	Sxy	Mxx	Myy	Mxy
10	6	-6.08 (3)	-0.97 (3)	0.38 (3)	2993 (3)	483 (3)	-218 (3)
10	7	-6.11 (3)	-0.97 (3)	0.27 (3)	3012 (3)	494 (3)	-151 (3)
10	8	-6.09 (3)	-0.84 (3)	0.17 (1)	3316 (3)	490 (3)	-207 (3)
11	1	-4.81 (3)	-0.70 (3)	0.61 (3)	3834 (3)	509 (3)	-94 (2)
11	2	-4.31 (3)	-0.78 (3)	0.40 (3)	4463 (3)	692 (3)	-242 (3)
11	3	-4.35 (3)	-0.78 (3)	0.16 (3)	4461 (3)	708 (3)	-160 (3)
11	4	-4.90 (3)	-0.70 (3)	0.09 (2)	3867 (3)	566 (3)	-280 (3)
11	5	-4.37 (3)	-0.68 (3)	0.87 (3)	3027 (3)	417 (3)	197 (3)
11	6	-4.09 (3)	-0.80 (3)	0.42 (3)	3300 (3)	544 (3)	-184 (3)
11	7	-4.13 (3)	-0.78 (3)	0.13 (3)	3313 (3)	570 (3)	-185 (3)
11	8	-4.47 (3)	-0.63 (3)	-0.31 (3)	3085 (3)	513 (3)	-530 (3)
11	9	-3.81 (3)	-0.71 (3)	0.97 (3)	2347 (3)	394 (3)	295 (3)
11	10	-3.77 (3)	-0.72 (3)	0.44 (3)	2419 (3)	401 (3)	-154 (3)
11	11	-3.82 (3)	-0.69 (3)	0.07 (3)	2448 (3)	423 (3)	-187 (3)
11	12	-3.94 (3)	-0.62 (3)	-0.44 (3)	2441 (3)	480 (3)	-607 (3)
11	13	-3.24 (3)	-0.74 (3)	0.90 (3)	1752 (3)	393 (3)	306 (3)
11	14	-3.44 (3)	-0.62 (3)	0.40 (3)	1682 (3)	297 (4)	-127 (3)
11	15	-3.49 (3)	-0.57 (3)	0.04 (1)	1727 (3)	310 (2)	-161 (3)
11	16	-3.40 (3)	-0.60 (3)	-0.44 (3)	1881 (3)	451 (3)	-571 (3)
11	17	-2.75 (3)	-0.74 (3)	0.68 (3)	1226 (4)	373 (3)	241 (3)
11	18	-3.15 (3)	-0.55 (4)	0.31 (3)	1205 (2)	316 (2)	-105 (3)
11	19	-3.21 (3)	-0.52 (4)	0.04 (3)	1204 (2)	330 (2)	-108 (3)
11	20	-2.94 (3)	-0.57 (3)	-0.32 (3)	1354 (3)	399 (3)	-437 (3)
11	21	-2.44 (3)	-0.67 (3)	0.36 (3)	1131 (2)	323 (4)	42 (3)
11	22	-2.97 (3)	-0.54 (4)	0.23 (3)	1195 (2)	329 (2)	-98 (3)
11	23	-3.02 (3)	-0.53 (2)	0.04 (3)	1189 (2)	339 (2)	14 (2)
11	24	-2.62 (3)	-0.55 (4)	-0.13 (3)	1125 (2)	336 (2)	-148 (3)
12	1	-1.73 (4)	-0.53 (4)	0.18 (3)	1299 (3)	351 (4)	9 (5-I-1)
12	2	-1.69 (4)	-0.53 (2)	0.12 (3)	1582 (3)	315 (2)	-73 (3)
12	3	-1.72 (4)	-0.54 (2)	-0.02 (4)	1611 (3)	326 (2)	-17 (3)
12	4	-1.81 (4)	-0.54 (2)	-0.11 (3)	1388 (3)	346 (2)	-65 (3)
12	5	-1.66 (2)	-0.55 (2)	0.16 (3)	1002 (2)	330 (2)	134 (3)
12	6	-1.67 (2)	-0.55 (2)	0.04 (3)	1008 (2)	307 (2)	3 (6-I-1)
12	7	-1.67 (2)	-0.55 (2)	-0.02 (4)	1011 (2)	320 (2)	-13 (3)
12	8	-1.68 (2)	-0.56 (2)	-0.15 (3)	1014 (2)	371 (2)	-136 (3)
12	9	-1.64 (2)	-0.56 (2)	0.08 (3)	972 (2)	336 (2)	133 (3)
12	10	-1.66 (2)	-0.55 (2)	0.01 (5-I-1)	971 (2)	305 (2)	28 (3)
12	11	-1.66 (2)	-0.56 (2)	-0.04 (3)	975 (2)	317 (2)	7 (5-II-1)
12	12	-1.65 (2)	-0.56 (2)	-0.12 (3)	986 (2)	377 (2)	-103 (3)
12	13	-1.64 (2)	-0.56 (2)	-0.05 (3)	966 (2)	334 (2)	88 (3)
12	14	-1.65 (2)	-0.54 (2)	-0.05 (3)	959 (2)	309 (2)	44 (3)
12	15	-1.66 (2)	-0.55 (2)	-0.04 (3)	961 (2)	318 (2)	37 (3)
12	16	-1.64 (2)	-0.57 (2)	-0.05 (3)	973 (2)	363 (2)	-17 (5-I-1)
13	1	-1.64 (2)	-0.55 (2)	-0.16 (3)	972 (2)	331 (2)	30 (3)
13	2	-1.66 (2)	-0.54 (2)	-0.10 (3)	966 (2)	308 (2)	54 (3)
13	3	-1.66 (2)	-0.55 (2)	-0.08 (3)	968 (2)	317 (2)	34 (3)
13	4	-1.65 (2)	-0.57 (2)	-0.02 (3)	977 (2)	360 (2)	69 (3)
13	5	-1.65 (2)	-0.55 (2)	-0.27 (3)	985 (2)	327 (2)	-29 (3)
13	6	-1.66 (2)	-0.54 (2)	-0.14 (3)	984 (2)	298 (2)	62 (3)
13	7	-1.67 (4)	-0.54 (2)	-0.07 (3)	986 (2)	311 (2)	65 (3)
13	8	-1.66 (2)	-0.56 (2)	0.05 (3)	993 (2)	370 (2)	160 (3)
13	9	-1.71 (4)	-0.53 (2)	-0.32 (3)	1045 (4)	318 (2)	-32 (3)
13	10	-1.71 (4)	-0.53 (2)	-0.16 (3)	1065 (4)	296 (2)	81 (3)
13	11	-1.72 (4)	-0.53 (2)	-0.08 (3)	1072 (4)	309 (2)	67 (3)
13	12	-1.74 (4)	-0.54 (2)	0.07 (3)	1064 (4)	362 (2)	176 (3)
13	13	-1.83 (4)	-0.50 (2)	-0.30 (3)	1440 (3)	303 (2)	64 (3)
13	14	-1.77 (4)	-0.51 (2)	-0.20 (3)	1702 (3)	299 (2)	118 (3)
13	15	-1.78 (4)	-0.52 (2)	-0.05 (3)	1710 (3)	310 (2)	59 (3)
13	16	-1.85 (4)	-0.53 (2)	0.04 (3)	1468 (3)	337 (2)	98 (3)
14	1	-2.65 (3)	-0.49 (4)	-0.39 (3)	1097 (2)	292 (2)	40 (2)
14	2	-3.01 (3)	-0.49 (2)	-0.24 (3)	1143 (2)	301 (2)	119 (3)
14	3	-3.03 (3)	-0.50 (2)	-0.08 (3)	1142 (2)	312 (2)	52 (3)
14	4	-2.70 (3)	-0.50 (2)	0.08 (3)	1097 (2)	327 (2)	169 (3)
14	5	-3.00 (3)	-0.49 (4)	-0.59 (3)	1546 (3)	289 (4)	-195 (3)
14	6	-3.17 (3)	-0.47 (2)	-0.25 (3)	1387 (3)	274 (2)	91 (3)
14	7	-3.18 (3)	-0.47 (2)	-0.08 (3)	1399 (3)	289 (2)	115 (3)
14	8	-3.04 (3)	-0.48 (4)	0.24 (3)	1582 (3)	326 (4)	397 (3)
14	9	-3.48 (3)	-0.46 (4)	-0.62 (3)	2263 (3)	311 (3)	-200 (3)
14	10	-3.38 (3)	-0.49 (3)	-0.26 (3)	2378 (3)	292 (3)	100 (3)
14	11	-3.39 (3)	-0.49 (3)	-0.08 (3)	2382 (3)	303 (3)	118 (3)
14	12	-3.50 (3)	-0.47 (4)	0.27 (3)	2275 (3)	365 (3)	409 (3)
14	13	-3.91 (3)	-0.50 (3)	-0.46 (3)	3134 (3)	399 (3)	43 (2)
14	14	-3.56 (3)	-0.48 (3)	-0.28 (3)	3666 (3)	466 (3)	155 (3)
14	15	-3.57 (3)	-0.49 (3)	-0.06 (3)	3661 (3)	475 (3)	77 (3)
14	16	-3.92 (3)	-0.53 (3)	0.13 (3)	3129 (3)	440 (3)	193 (3)
15	1	-5.23 (3)	-0.69 (3)	-0.45 (3)	2342 (3)	321 (3)	116 (2)

**POTENZIAMENTO DELL'IMPIANTO DI DEPURAZIONE E
DEL RECAPITO FINALE DI SQUINZANO (LE)
PROGETTO DEFINITIVO
Tabulati di calcolo strutturale-Equalizzazione**

R.37.7

Maggio 2021

Pagina 67 di 338

Muro	Pann.	Sxx	Syy	Sxy	Mxx	Myy	Mxy
15	2	-5.57 (3)	-0.70 (3)	-0.29 (3)	1810 (4)	326 (2)	149 (3)
15	3	-5.57 (3)	-0.71 (3)	-0.09 (3)	1811 (4)	339 (2)	60 (3)
15	4	-5.24 (3)	-0.71 (3)	-0.16 (2)	2371 (3)	360 (3)	193 (3)
15	5	-5.64 (3)	-0.75 (3)	-0.61 (3)	3217 (3)	426 (3)	301 (2)
15	6	-5.73 (3)	-0.73 (3)	-0.26 (3)	3102 (3)	369 (3)	100 (3)
15	7	-5.73 (3)	-0.74 (3)	-0.10 (3)	3108 (3)	386 (3)	131 (3)
15	8	-5.65 (3)	-0.76 (3)	-0.34 (2)	3239 (3)	483 (3)	432 (3)
15	9	-6.12 (3)	-0.73 (3)	-0.58 (3)	3949 (3)	465 (3)	343 (2)
15	10	-5.93 (3)	-0.82 (3)	-0.25 (3)	4108 (3)	546 (3)	89 (3)
15	11	-5.92 (3)	-0.84 (3)	-0.10 (3)	4103 (3)	566 (3)	141 (3)
15	12	-6.11 (3)	-0.78 (3)	-0.41 (2)	3941 (3)	532 (3)	415 (3)
15	13	-6.48 (3)	-0.73 (3)	-0.34 (3)	4569 (3)	499 (3)	88 (2)
15	14	-6.06 (3)	-0.87 (3)	-0.20 (3)	4961 (3)	699 (3)	97 (3)
15	15	-6.05 (3)	-0.90 (3)	-0.13 (2)	4942 (3)	717 (3)	112 (3)
15	16	-6.44 (3)	-0.81 (3)	-0.34 (2)	4526 (3)	564 (3)	222 (3)
16	1	-6.91 (3)	-0.76 (3)	0.64 (2)	4481 (3)	497 (3)	250 (2)
16	2	-6.58 (3)	-0.96 (3)	0.26 (2)	4648 (3)	674 (3)	99 (3)
16	3	-6.56 (3)	-0.99 (3)	-0.19 (2)	4639 (3)	686 (3)	83 (3)
16	4	-6.85 (3)	-0.85 (3)	-0.60 (2)	4445 (3)	538 (3)	-278 (2)
16	5	-6.75 (3)	-0.81 (3)	1.23 (2)	4529 (3)	566 (3)	802 (2)
16	6	-6.48 (3)	-0.91 (3)	0.30 (2)	4785 (3)	676 (3)	98 (3)
16	7	-6.47 (3)	-0.94 (3)	-0.19 (1)	4777 (3)	673 (3)	-75 (2)
16	8	-6.71 (3)	-0.88 (3)	-1.10 (2)	4496 (3)	553 (3)	-882 (2)
16	9	-6.32 (3)	-0.86 (3)	1.33 (2)	3982 (3)	581 (3)	897 (2)
16	10	-6.31 (3)	-0.82 (3)	0.29 (2)	4047 (3)	554 (3)	88 (3)
16	11	-6.30 (3)	-0.84 (3)	-0.19 (2)	4040 (3)	542 (3)	-76 (2)
16	12	-6.31 (3)	-0.92 (3)	-1.19 (2)	3957 (3)	495 (3)	-971 (2)
16	13	5.77 (2)	-0.85 (3)	0.73 (2)	-5878 (2)	-467 (2)	333 (2)
16	14	-6.14 (3)	-0.78 (3)	0.19 (2)	-7380 (2)	-1099 (2)	-76 (2)
16	15	-6.14 (3)	0.83 (2)	-0.13 (2)	-7373 (2)	-1121 (2)	36 (5-I-1)
16	16	-5.74 (3)	-0.87 (3)	-0.65 (2)	-5792 (2)	-596 (2)	-386 (2)
17	1	6.04 (2)	-0.85 (3)	-0.71 (2)	-5484 (2)	-540 (2)	-564 (2)
17	2	-5.95 (3)	-0.82 (3)	-0.24 (2)	-6810 (2)	-924 (2)	-88 (3)
17	3	-5.92 (3)	-0.87 (3)	0.22 (3)	-6800 (2)	-894 (2)	-59 (3)
17	4	6.00 (2)	-0.99 (3)	0.61 (2)	-5446 (2)	437 (3)	596 (2)
17	5	-6.26 (3)	-0.85 (3)	-1.36 (2)	3943 (3)	619 (3)	-1179 (2)
17	6	-6.20 (3)	-0.86 (3)	-0.38 (2)	4042 (3)	574 (3)	-255 (3)
17	7	-6.17 (3)	-0.91 (3)	0.32 (3)	4025 (3)	560 (3)	-169 (3)
17	8	-6.20 (3)	-0.99 (3)	1.21 (2)	3888 (3)	543 (3)	1273 (2)
17	9	-6.72 (3)	-0.88 (3)	-1.24 (2)	4413 (3)	583 (3)	-1038 (2)
17	10	-6.49 (3)	-0.96 (3)	-0.39 (2)	4674 (3)	643 (3)	-245 (3)
17	11	-6.49 (3)	-0.98 (3)	0.37 (3)	4680 (3)	659 (3)	-189 (3)
17	12	-6.71 (3)	-0.95 (3)	1.07 (2)	4423 (3)	666 (3)	1141 (2)
17	13	-6.85 (3)	-0.88 (3)	-0.59 (2)	4361 (3)	548 (3)	-399 (2)
17	14	-6.66 (3)	-0.99 (3)	0.27 (3)	4556 (3)	642 (3)	-193 (3)
17	15	-6.65 (3)	-1.02 (3)	0.34 (3)	4586 (3)	673 (3)	-160 (3)
17	16	-6.87 (3)	-0.95 (3)	0.41 (2)	4413 (3)	659 (3)	537 (2)
18	1	-6.52 (3)	-0.91 (3)	0.38 (3)	4176 (3)	500 (3)	-129 (2)
18	2	-6.38 (3)	-0.95 (3)	0.26 (3)	4384 (3)	610 (3)	-196 (3)
18	3	-6.41 (3)	-0.98 (3)	0.23 (3)	4392 (3)	669 (3)	-215 (3)
18	4	-6.57 (3)	-0.98 (3)	0.13 (3)	4216 (3)	715 (3)	-264 (3)
18	5	-6.13 (3)	-0.89 (3)	0.40 (3)	3397 (3)	415 (3)	-128 (2)
18	6	-6.28 (3)	-0.95 (3)	0.33 (3)	3208 (3)	470 (3)	-145 (3)
18	7	-6.30 (3)	-0.99 (3)	0.24 (3)	3234 (3)	544 (3)	115 (2)
18	8	-6.19 (3)	-0.99 (3)	0.12 (3)	3466 (3)	664 (3)	303 (2)
19	1	-5.13 (3)	-0.75 (3)	0.45 (3)	3725 (3)	436 (3)	-47 (2)
19	2	-4.76 (3)	-0.85 (3)	0.27 (3)	4223 (3)	607 (3)	-207 (3)
19	3	-4.78 (3)	-0.89 (3)	-0.14 (2)	4236 (3)	710 (3)	-193 (3)
19	4	-5.19 (3)	-0.87 (3)	-0.13 (4)	3785 (3)	764 (3)	-326 (3)
19	5	-4.63 (3)	-0.79 (3)	0.72 (3)	2997 (3)	275 (3)	322 (3)
19	6	-4.46 (3)	-0.88 (3)	0.34 (3)	3188 (3)	461 (3)	-122 (3)
19	7	-4.48 (3)	-0.89 (3)	-0.12 (2)	3215 (3)	639 (3)	-179 (3)
19	8	-4.67 (3)	-0.81 (3)	-0.34 (3)	3083 (3)	841 (3)	-563 (3)
19	9	-4.02 (3)	-0.82 (3)	0.83 (3)	2407 (3)	224 (4)	399 (3)
19	10	-4.01 (3)	-0.85 (3)	0.40 (3)	2460 (3)	385 (3)	-106 (3)
19	11	-4.02 (3)	-0.85 (3)	-0.10 (2)	2492 (3)	595 (3)	-185 (3)
19	12	-4.05 (3)	-0.84 (3)	-0.42 (3)	2505 (3)	852 (3)	-646 (3)
19	13	-3.42 (3)	-0.85 (3)	0.80 (3)	1895 (3)	229 (2)	388 (3)
19	14	-3.52 (3)	-0.79 (3)	0.38 (3)	1858 (3)	332 (4)	-93 (3)
19	15	-3.54 (3)	-0.79 (3)	-0.09 (2)	1897 (3)	541 (3)	-178 (3)
19	16	-3.46 (3)	-0.85 (3)	-0.37 (3)	2008 (3)	847 (3)	-635 (3)
19	17	-2.89 (3)	-0.83 (3)	0.63 (3)	1421 (3)	251 (2)	303 (3)
19	18	-3.11 (3)	-0.73 (3)	0.32 (3)	1282 (3)	332 (2)	-82 (3)
19	19	-3.15 (3)	-0.73 (3)	-0.09 (2)	1327 (3)	464 (3)	-155 (3)
19	20	-2.96 (3)	-0.83 (3)	-0.20 (3)	1551 (3)	795 (3)	-544 (3)
19	21	-2.53 (3)	-0.71 (3)	0.36 (3)	1101 (2)	301 (2)	114 (3)

**POTENZIAMENTO DELL'IMPIANTO DI DEPURAZIONE E
DEL RECAPITO FINALE DI SQUINZANO (LE)
PROGETTO DEFINITIVO
Tabulati di calcolo strutturale-Equalizzazione**

R.37.7

Maggio 2021

Pagina 68 di 338

Muro	Pann.	Sxx	Syy	Sxy	Mxx	Myy	Mxy
19	22	-2.90 (3)	-0.67 (4)	0.29 (3)	1148 (2)	362 (2)	71 (2)
19	23	-2.93 (3)	-0.71 (3)	0.16 (3)	1146 (2)	417 (2)	88 (2)
19	24	-2.64 (3)	-0.83 (3)	-0.09 (2)	1118 (4)	592 (3)	-240 (3)
20	1	-1.85 (4)	-0.61 (2)	0.14 (3)	1329 (3)	310 (2)	29 (2)
20	2	-1.78 (4)	-0.64 (2)	-0.09 (2)	1554 (3)	367 (2)	-129 (3)
20	3	-1.79 (4)	-0.68 (2)	-0.11 (2)	1589 (3)	462 (3)	-123 (3)
20	4	-1.94 (3)	-0.72 (4)	-0.13 (2)	1445 (3)	642 (3)	-167 (3)
20	5	-1.70 (4)	-0.65 (2)	0.21 (3)	999 (2)	288 (2)	145 (3)
20	6	-1.71 (4)	-0.67 (2)	0.09 (3)	1004 (2)	364 (2)	31 (2)
20	7	-1.72 (4)	-0.70 (2)	-0.07 (2)	1016 (4)	447 (2)	-54 (3)
20	8	-1.71 (4)	-0.72 (2)	-0.13 (3)	1049 (4)	730 (3)	-195 (3)
20	9	-1.65 (2)	-0.67 (2)	0.17 (3)	971 (2)	294 (2)	102 (3)
20	10	-1.65 (2)	-0.69 (2)	0.08 (3)	969 (2)	370 (2)	19 (2)
20	11	-1.64 (4)	-0.71 (2)	-0.04 (2)	970 (2)	455 (2)	-40 (3)
20	12	-1.61 (2)	-0.74 (2)	-0.06 (4)	973 (2)	706 (3)	-164 (3)
20	13	-1.64 (2)	-0.65 (2)	0.07 (3)	966 (2)	333 (2)	72 (3)
20	14	-1.64 (2)	-0.68 (2)	0.09 (3)	957 (2)	385 (2)	71 (3)
20	15	-1.62 (2)	-0.72 (2)	0.07 (3)	953 (2)	446 (2)	57 (3)
20	16	-1.60 (2)	-0.77 (2)	0.04 (3)	955 (2)	553 (4)	-40 (5-I-1)
21	1	-1.64 (2)	-0.64 (2)	-0.15 (3)	969 (2)	334 (2)	-45 (3)
21	2	-1.64 (2)	-0.68 (2)	-0.13 (3)	960 (2)	385 (2)	-49 (3)
21	3	-1.64 (4)	-0.72 (2)	-0.10 (3)	956 (2)	444 (2)	-50 (3)
21	4	-1.60 (2)	-0.77 (2)	-0.03 (3)	957 (2)	536 (4)	40 (3)
21	5	-1.66 (2)	-0.66 (2)	-0.23 (3)	978 (2)	294 (2)	-80 (3)
21	6	-1.68 (4)	-0.68 (2)	-0.12 (3)	976 (2)	369 (2)	31 (3)
21	7	-1.69 (4)	-0.71 (2)	-0.04 (3)	976 (2)	450 (2)	54 (3)
21	8	-1.65 (4)	-0.74 (2)	0.05 (4)	976 (2)	659 (3)	178 (3)
21	9	-1.76 (4)	-0.64 (2)	-0.24 (3)	1035 (4)	287 (2)	-108 (3)
21	10	-1.75 (4)	-0.67 (2)	-0.11 (3)	1057 (4)	362 (2)	49 (3)
21	11	-1.76 (4)	-0.69 (2)	0.06 (2)	1076 (4)	443 (2)	67 (3)
21	12	-1.77 (3)	-0.72 (2)	0.11 (4)	1110 (3)	676 (3)	197 (3)
21	13	-1.92 (3)	-0.60 (2)	-0.17 (3)	1403 (3)	309 (2)	-19 (2)
21	14	-1.82 (4)	-0.64 (2)	0.08 (2)	1629 (3)	365 (2)	147 (3)
21	15	-1.83 (3)	-0.68 (2)	0.11 (2)	1655 (3)	436 (4)	129 (3)
21	16	-2.00 (3)	-0.72 (2)	0.12 (2)	1492 (3)	591 (3)	159 (3)
22	1	-2.61 (3)	-0.60 (4)	-0.36 (3)	1101 (4)	295 (2)	-95 (3)
22	2	-2.93 (3)	-0.62 (4)	-0.27 (3)	1114 (2)	357 (2)	-65 (2)
22	3	-2.94 (3)	-0.67 (4)	-0.14 (3)	1112 (2)	414 (2)	-83 (2)
22	4	-2.69 (3)	-0.74 (3)	0.09 (2)	1146 (4)	541 (3)	214 (3)
22	5	-3.02 (3)	-0.67 (3)	-0.56 (3)	1602 (3)	242 (2)	-273 (3)
22	6	-3.15 (3)	-0.64 (3)	-0.26 (3)	1516 (3)	319 (2)	70 (3)
22	7	-3.17 (3)	-0.66 (3)	0.10 (2)	1548 (3)	424 (4)	135 (3)
22	8	-3.05 (3)	-0.72 (3)	0.22 (3)	1696 (3)	715 (3)	471 (3)
22	9	-3.56 (3)	-0.66 (3)	-0.57 (3)	2213 (3)	211 (2)	-299 (3)
22	10	-3.49 (3)	-0.70 (3)	-0.25 (3)	2302 (3)	331 (3)	76 (3)
22	11	-3.50 (3)	-0.72 (3)	0.13 (2)	2327 (3)	512 (3)	136 (3)
22	12	-3.58 (3)	-0.72 (3)	0.29 (3)	2289 (3)	754 (3)	469 (3)
22	13	-4.06 (3)	-0.64 (3)	-0.35 (3)	2993 (3)	347 (3)	-60 (3)
22	14	-3.75 (3)	-0.70 (3)	-0.19 (3)	3426 (3)	499 (3)	162 (3)
22	15	-3.76 (3)	-0.76 (3)	0.15 (2)	3435 (3)	613 (3)	147 (3)
22	16	-4.09 (3)	-0.79 (3)	0.16 (4)	3039 (3)	710 (3)	275 (3)
23	1	-5.15 (3)	-0.82 (3)	-0.42 (3)	2504 (3)	309 (3)	-87 (3)
23	2	-5.47 (3)	-0.84 (3)	-0.30 (3)	2100 (3)	330 (3)	-88 (2)
23	3	-5.47 (3)	-0.90 (3)	-0.13 (3)	2125 (3)	427 (3)	-119 (2)
23	4	-5.17 (3)	-0.97 (3)	0.05 (5-I-1)	2565 (3)	617 (3)	-265 (2)
23	5	-5.64 (3)	-0.90 (3)	-0.60 (3)	3269 (3)	344 (3)	301 (2)
23	6	-5.71 (3)	-0.88 (3)	-0.27 (3)	3231 (3)	439 (3)	92 (3)
23	7	-5.72 (3)	-0.91 (3)	-0.07 (3)	3249 (3)	568 (3)	152 (3)
23	8	-5.63 (3)	-0.96 (3)	0.23 (3)	3318 (3)	769 (3)	484 (3)
23	9	-6.19 (3)	-0.87 (3)	-0.56 (3)	3891 (3)	414 (3)	379 (2)
23	10	-6.05 (3)	-0.94 (3)	-0.25 (3)	4031 (3)	532 (3)	93 (3)
23	11	-6.05 (3)	-0.96 (3)	0.07 (2)	4038 (3)	649 (3)	141 (3)
23	12	-6.16 (3)	-0.94 (3)	0.26 (3)	3912 (3)	783 (3)	-558 (2)
23	13	-6.60 (3)	-0.83 (3)	0.34 (2)	4418 (3)	495 (3)	159 (2)
23	14	-6.30 (3)	-0.94 (3)	0.25 (2)	4734 (3)	645 (3)	117 (3)
23	15	-6.30 (3)	-0.97 (3)	0.06 (2)	4722 (3)	712 (3)	133 (3)
23	16	-6.58 (3)	-0.94 (3)	0.10 (3)	4406 (3)	708 (3)	-310 (2)
24	1	-6.94 (3)	-0.84 (3)	0.60 (2)	4413 (3)	517 (3)	387 (2)
24	2	-6.73 (3)	-0.98 (3)	0.29 (2)	4586 (3)	632 (3)	97 (3)
24	3	-6.71 (3)	-1.01 (3)	-0.18 (3)	4603 (3)	672 (3)	-101 (2)
24	4	-6.91 (3)	-0.93 (3)	-0.39 (2)	4430 (3)	646 (3)	-545 (2)
24	5	-6.80 (3)	-0.87 (3)	1.24 (2)	4457 (3)	556 (3)	1030 (2)
24	6	-6.56 (3)	-0.95 (3)	0.40 (2)	4708 (3)	630 (3)	126 (3)
24	7	-6.54 (3)	-0.98 (3)	-0.23 (5-I-1)	4707 (3)	665 (3)	-157 (2)
24	8	-6.74 (3)	-0.93 (3)	-1.05 (2)	4443 (3)	681 (3)	-1150 (2)
24	9	-6.32 (3)	-0.89 (3)	1.36 (2)	3973 (3)	553 (3)	1171 (2)

**POTENZIAMENTO DELL'IMPIANTO DI DEPURAZIONE E
DEL RECAPITO FINALE DI SQUINZANO (LE)
PROGETTO DEFINITIVO
Tabulati di calcolo strutturale-Equalizzazione**

R.37.7

Maggio 2021

Pagina 69 di 338

Muro	Pann.	Sxx	Syy	Sxy	Mxx	Myy	Mxy
24	10	-6.25 (3)	-0.88 (3)	0.39 (2)	4073 (3)	562 (3)	123 (3)
24	11	-6.22 (3)	-0.91 (3)	-0.24 (2)	4055 (3)	584 (3)	-151 (2)
24	12	-6.23 (3)	-0.97 (3)	-1.20 (2)	3917 (3)	611 (3)	-1279 (2)
24	13	6.04 (2)	-0.88 (3)	0.71 (2)	-5482 (2)	-542 (2)	560 (2)
24	14	-5.99 (3)	-0.84 (3)	0.24 (2)	-6805 (2)	-923 (2)	54 (5-I-1)
24	15	-5.95 (3)	-0.87 (3)	-0.14 (5-I-1)	-6795 (2)	-891 (2)	29 (5-I-1)
24	16	6.00 (2)	-0.98 (3)	-0.60 (2)	-5443 (2)	496 (3)	-598 (2)
25	1	-5.56 (3)	-0.98 (3)	-0.77 (2)	-5758 (2)	-657 (2)	-363 (2)
25	2	-5.96 (3)	-0.98 (3)	-0.30 (2)	-7292 (2)	-1101 (2)	-72 (5-II-1)
25	3	-5.82 (3)	-1.08 (3)	-0.12 (5-I-1)	-7212 (2)	-1027 (2)	-107 (5-II-1)
25	4	5.36 (2)	-1.34 (3)	0.56 (2)	-5597 (2)	823 (3)	369 (2)
25	5	-6.14 (3)	-1.08 (3)	-1.36 (2)	3809 (3)	527 (3)	-875 (2)
25	6	-6.08 (3)	-1.08 (3)	-0.37 (2)	3798 (3)	583 (3)	-127 (3)
25	7	-5.97 (3)	-1.14 (3)	0.13 (5-II-1)	3742 (3)	696 (3)	157 (2)
25	8	-5.73 (3)	-1.27 (3)	1.08 (2)	3613 (3)	1012 (3)	1059 (2)
25	9	-6.56 (3)	-1.13 (3)	-1.28 (2)	4471 (3)	579 (3)	-769 (2)
25	10	-6.21 (3)	-1.26 (3)	-0.40 (2)	4804 (3)	831 (3)	-149 (3)
25	11	-6.12 (3)	-1.35 (3)	0.15 (5-II-1)	4806 (3)	980 (3)	229 (2)
25	12	-6.33 (3)	-1.33 (3)	0.94 (2)	4427 (3)	1070 (3)	994 (2)
25	13	-6.70 (3)	-1.13 (3)	-0.77 (2)	4542 (3)	652 (3)	-189 (3)
25	14	-6.27 (3)	-1.38 (3)	-0.37 (2)	4924 (3)	950 (3)	269 (2)
25	15	-6.18 (3)	-1.51 (3)	0.17 (5-II-1)	4997 (3)	1091 (3)	190 (2)
25	16	-6.57 (3)	-1.48 (3)	0.32 (2)	4629 (3)	1066 (3)	489 (2)
26	1	-6.53 (3)	-1.25 (3)	-0.54 (2)	4171 (3)	607 (3)	105 (2)
26	2	-6.34 (3)	-1.43 (3)	-0.43 (2)	4294 (3)	899 (3)	219 (2)
26	3	-6.36 (3)	-1.61 (3)	-0.27 (2)	4253 (3)	1057 (3)	-144 (3)
26	4	-6.52 (3)	-1.67 (3)	-0.23 (4)	4147 (3)	1191 (3)	270 (2)
26	5	-6.20 (3)	-1.26 (3)	-0.43 (2)	3423 (3)	558 (3)	95 (2)
26	6	-6.22 (3)	-1.54 (3)	-0.31 (2)	3228 (3)	811 (3)	249 (2)
26	7	-6.18 (3)	-1.76 (3)	-0.30 (2)	3280 (3)	1023 (3)	229 (2)
26	8	-6.17 (3)	-1.83 (3)	-0.27 (4)	3512 (3)	1262 (3)	371 (2)
27	1	-5.10 (3)	-1.24 (3)	-0.42 (2)	3855 (3)	552 (3)	103 (2)
27	2	-4.67 (3)	-1.48 (3)	-0.41 (2)	4406 (3)	993 (3)	-308 (3)
27	3	-4.69 (3)	-1.70 (3)	-0.37 (4)	4368 (3)	1291 (3)	-196 (3)
27	4	-5.17 (3)	-1.84 (3)	-0.56 (3)	3904 (3)	1516 (3)	289 (2)
27	5	-4.65 (3)	-1.42 (3)	0.60 (3)	3064 (3)	259 (4)	225 (3)
27	6	-4.39 (3)	-1.62 (3)	-0.36 (2)	3350 (3)	813 (3)	178 (2)
27	7	-4.42 (3)	-1.75 (3)	-0.34 (2)	3413 (3)	1293 (3)	215 (2)
27	8	-4.65 (3)	-1.76 (3)	-0.71 (3)	3222 (3)	1853 (3)	391 (2)
27	9	-4.12 (3)	-1.51 (3)	0.75 (3)	2428 (3)	283 (2)	297 (3)
27	10	-4.06 (3)	-1.62 (3)	-0.34 (2)	2548 (3)	665 (3)	166 (2)
27	11	-4.08 (3)	-1.72 (3)	-0.30 (2)	2645 (3)	1245 (3)	219 (2)
27	12	-4.12 (3)	-1.84 (3)	-0.63 (3)	2664 (3)	2037 (3)	-388 (3)
27	13	-3.59 (3)	-1.53 (3)	0.78 (3)	1891 (3)	319 (2)	275 (3)
27	14	-3.74 (3)	-1.56 (3)	0.31 (3)	1884 (3)	537 (3)	163 (2)
27	15	-3.76 (3)	-1.66 (3)	-0.28 (2)	1990 (3)	1152 (3)	210 (2)
27	16	-3.63 (3)	-1.87 (3)	-0.45 (3)	2163 (3)	2097 (3)	-448 (3)
27	17	-3.15 (3)	-1.47 (3)	0.71 (3)	1417 (3)	359 (2)	174 (3)
27	18	-3.46 (3)	-1.45 (3)	0.36 (3)	1259 (3)	543 (2)	155 (2)
27	19	-3.51 (3)	-1.63 (3)	-0.26 (2)	1351 (3)	1025 (3)	193 (2)
27	20	-3.23 (3)	-1.88 (3)	-0.29 (2)	1690 (3)	2033 (3)	-418 (3)
27	21	-2.87 (3)	-1.19 (3)	0.55 (3)	1095 (2)	433 (2)	106 (2)
27	22	-3.31 (3)	-1.33 (3)	0.53 (3)	1144 (2)	572 (2)	167 (2)
27	23	-3.32 (3)	-1.67 (3)	0.35 (3)	1111 (2)	892 (3)	201 (4)
27	24	-2.98 (3)	-2.06 (3)	-0.27 (2)	1171 (3)	1613 (3)	214 (2)
28	1	-2.04 (3)	-1.09 (3)	-0.17 (2)	1488 (3)	450 (2)	-122 (3)
28	2	-2.00 (3)	-1.24 (3)	-0.21 (2)	1788 (3)	646 (3)	-313 (3)
28	3	-2.04 (3)	-1.57 (3)	-0.29 (3)	1828 (3)	1088 (3)	-260 (3)
28	4	-2.22 (3)	-1.93 (3)	-0.29 (3)	1691 (3)	1711 (3)	-128 (3)
28	5	-1.79 (3)	-1.29 (3)	0.20 (3)	992 (4)	425 (2)	80 (4)
28	6	-1.87 (3)	-1.38 (3)	-0.13 (2)	1069 (3)	578 (2)	75 (2)
28	7	-1.96 (3)	-1.54 (3)	-0.16 (2)	1195 (3)	1081 (3)	85 (2)
28	8	-1.98 (3)	-1.69 (3)	-0.20 (4)	1312 (3)	2061 (3)	-108 (3)
28	9	-1.66 (4)	-1.29 (3)	0.23 (3)	933 (2)	436 (2)	49 (4)
28	10	-1.78 (3)	-1.36 (3)	0.15 (3)	916 (2)	584 (2)	48 (2)
28	11	-1.87 (3)	-1.52 (3)	0.09 (3)	908 (4)	1030 (3)	57 (2)
28	12	-1.81 (3)	-1.69 (3)	-0.12 (2)	1086 (3)	2057 (3)	-166 (3)
28	13	-1.63 (4)	-1.03 (3)	0.22 (3)	928 (2)	483 (2)	92 (3)
28	14	-1.78 (3)	-1.20 (3)	0.33 (3)	898 (2)	590 (2)	202 (3)
28	15	-1.82 (3)	-1.53 (3)	0.35 (3)	863 (2)	948 (3)	212 (3)
28	16	-1.78 (3)	-1.91 (3)	0.23 (3)	978 (3)	1656 (3)	42 (5-II-1)
29	1	-1.67 (4)	-0.99 (3)	-0.21 (3)	930 (2)	486 (2)	-108 (3)
29	2	-1.85 (3)	-1.18 (3)	-0.32 (3)	900 (2)	592 (2)	-221 (3)
29	3	-1.89 (3)	-1.54 (3)	-0.32 (3)	864 (2)	923 (3)	-251 (3)
29	4	-1.84 (3)	-1.93 (3)	-0.15 (3)	970 (3)	1595 (3)	-73 (5-I-1)
29	5	-1.71 (3)	-1.20 (3)	-0.23 (3)	938 (2)	442 (2)	-54 (3)

**POTENZIAMENTO DELL'IMPIANTO DI DEPURAZIONE E
DEL RECAPITO FINALE DI SQUINZANO (LE)
PROGETTO DEFINITIVO
Tabulati di calcolo strutturale-Equalizzazione**

R.37.7

Maggio 2021

Pagina 70 di 338

Muro	Pann.	Sxx	Syy	Sxy	Mxx	Myy	Mxy
29	6	-1.86(3)	-1.30(3)	-0.14(3)	920(2)	588(2)	-48(2)
29	7	-1.95(3)	-1.50(3)	0.08(2)	939(4)	981(3)	-57(2)
29	8	-1.91(3)	-1.69(3)	0.12(2)	1136(3)	1937(3)	133(3)
29	9	-1.87(3)	-1.19(3)	-0.18(3)	1053(3)	433(2)	-70(4)
29	10	-1.93(3)	-1.32(3)	0.13(2)	1175(3)	583(2)	74(3)
29	11	-2.01(3)	-1.51(3)	0.15(2)	1278(3)	1023(3)	-85(2)
29	12	-2.06(3)	-1.68(3)	0.20(4)	1366(3)	1935(3)	100(3)
29	13	-2.08(3)	-1.01(3)	0.15(2)	1524(3)	457(2)	122(3)
29	14	-2.03(3)	-1.19(3)	0.20(2)	1809(3)	639(3)	312(3)
29	15	-2.08(3)	-1.52(3)	0.30(3)	1841(3)	1040(3)	271(3)
29	16	-2.23(3)	-1.91(3)	0.28(3)	1696(3)	1627(3)	134(3)
30	1	-2.86(3)	-1.11(3)	-0.46(3)	1090(4)	438(2)	-99(2)
30	2	-3.21(3)	-1.30(3)	-0.43(3)	1088(2)	567(2)	-156(2)
30	3	-3.21(3)	-1.63(3)	-0.29(3)	1056(2)	876(3)	-181(4)
30	4	-2.95(3)	-1.99(3)	0.27(2)	1249(3)	1547(3)	-205(2)
30	5	-3.17(3)	-1.32(3)	-0.54(3)	1593(3)	367(2)	-168(3)
30	6	-3.34(3)	-1.40(3)	0.25(2)	1525(3)	534(4)	-151(2)
30	7	-3.39(3)	-1.58(3)	0.28(2)	1616(3)	1009(3)	-188(2)
30	8	-3.25(3)	-1.79(3)	0.31(2)	1841(3)	1879(3)	315(3)
30	9	-3.62(3)	-1.30(3)	-0.48(3)	2240(3)	325(2)	-194(3)
30	10	-3.55(3)	-1.45(3)	0.30(2)	2409(3)	644(3)	-174(2)
30	11	-3.59(3)	-1.61(3)	0.33(2)	2480(3)	1121(3)	-203(2)
30	12	-3.67(3)	-1.75(3)	0.43(3)	2444(3)	1851(3)	-293(2)
30	13	-4.06(3)	-1.16(3)	0.36(2)	3097(3)	476(3)	-138(2)
30	14	-3.77(3)	-1.34(3)	0.39(2)	3589(3)	853(3)	281(3)
30	15	-3.79(3)	-1.61(3)	0.37(2)	3569(3)	1187(3)	196(3)
30	16	-4.09(3)	-1.90(3)	0.45(3)	3143(3)	1580(3)	-253(2)
31	1	-5.27(3)	-1.25(3)	-0.45(3)	2476(3)	448(3)	-90(2)
31	2	-5.53(3)	-1.47(3)	0.34(2)	2053(3)	631(3)	-254(2)
31	3	-5.48(3)	-1.74(3)	0.28(2)	2116(3)	927(3)	-254(2)
31	4	-5.21(3)	-1.97(3)	0.26(2)	2585(3)	1391(3)	-382(2)
31	5	-5.66(3)	-1.40(3)	0.64(2)	3232(3)	392(3)	-167(3)
31	6	-5.70(3)	-1.48(3)	0.40(2)	3177(3)	701(3)	-196(2)
31	7	-5.69(3)	-1.64(3)	0.30(2)	3221(3)	1040(3)	-264(2)
31	8	-5.59(3)	-1.80(3)	0.39(3)	3327(3)	1578(3)	-573(2)
31	9	-6.12(3)	-1.35(3)	0.73(2)	3862(3)	456(3)	-177(3)
31	10	-5.93(3)	-1.51(3)	0.42(2)	4013(3)	827(3)	-205(2)
31	11	-5.91(3)	-1.63(3)	0.31(2)	4024(3)	1121(3)	-242(2)
31	12	-6.01(3)	-1.70(3)	0.50(3)	3889(3)	1479(3)	-611(2)
31	13	-6.47(3)	-1.20(3)	0.66(2)	4393(3)	603(3)	-83(2)
31	14	-6.11(3)	-1.45(3)	0.52(2)	4666(3)	953(3)	-226(2)
31	15	-6.10(3)	-1.61(3)	0.28(4)	4582(3)	1136(3)	92(3)
31	16	-6.37(3)	-1.64(3)	0.45(3)	4284(3)	1214(3)	-315(2)
32	1	-6.72(3)	-1.12(3)	0.82(2)	4538(3)	632(3)	115(1)
32	2	-6.26(3)	-1.40(3)	0.40(2)	4881(3)	956(3)	-289(2)
32	3	-6.13(3)	-1.54(3)	0.09(5-II-1)	4948(3)	1113(3)	-182(2)
32	4	-6.49(3)	-1.48(3)	-0.31(2)	4574(3)	1074(3)	-504(2)
32	5	-6.58(3)	-1.14(3)	1.30(2)	4469(3)	558(3)	756(2)
32	6	-6.20(3)	-1.28(3)	0.42(2)	4782(3)	833(3)	-88(2)
32	7	-6.10(3)	-1.36(3)	0.11(5-II-1)	4771(3)	998(3)	-210(2)
32	8	-6.30(3)	-1.33(3)	-0.90(2)	4397(3)	1093(3)	-1019(2)
32	9	-6.17(3)	-1.12(3)	1.37(2)	3815(3)	-490(2)	867(2)
32	10	-6.08(3)	-1.11(3)	0.38(2)	3801(3)	589(3)	69(5-I-1)
32	11	-5.97(3)	-1.15(3)	0.13(5-II-1)	3735(3)	720(3)	-166(5-II-1)
32	12	-5.75(3)	-1.24(3)	-1.05(2)	3627(3)	1048(3)	-1087(2)
32	13	-5.59(3)	-1.02(3)	0.78(2)	-5757(2)	-660(2)	359(2)
32	14	-5.97(3)	-1.00(3)	0.31(2)	-7296(2)	-1100(2)	55(5-I-1)
32	15	-5.83(3)	-1.09(3)	0.17(3)	-7228(2)	-1022(2)	96(2)
32	16	5.33(2)	-1.30(3)	-0.55(2)	-5600(2)	845(3)	-389(2)
33	1	-5.22(3)	-1.69(3)	-0.98(3)	-5764(2)	-644(2)	-114(2)
33	2	-5.39(3)	-1.77(3)	-1.29(3)	-7026(2)	-970(2)	157(3)
33	3	-4.90(3)	-1.81(3)	-1.83(3)	-6239(2)	-869(2)	372(3)
33	4	-3.23(3)	-1.66(3)	-1.70(3)	-4003(2)	1460(3)	1460(3)
33	5	-5.52(3)	-1.98(3)	-1.36(2)	3162(3)	-465(2)	-358(2)
33	6	-5.31(3)	-1.98(3)	-1.22(3)	-2859(2)	847(3)	693(3)
33	7	-4.79(3)	-2.07(3)	-1.85(3)	-2411(2)	1047(3)	1450(3)
33	8	-3.70(3)	-1.81(3)	-2.11(3)	2244(3)	2241(3)	2801(3)
33	9	-5.87(3)	-2.01(3)	-1.35(2)	4398(3)	748(3)	-245(2)
33	10	-5.07(3)	-2.36(3)	-1.13(3)	4819(3)	1493(3)	607(3)
33	11	-4.45(3)	-2.64(3)	-1.81(3)	4665(3)	1977(3)	1363(3)
33	12	-4.02(3)	-2.80(3)	-2.22(3)	3669(3)	2406(3)	2513(3)
33	13	-5.94(3)	-2.01(3)	-0.98(2)	4985(3)	1117(3)	300(4)
33	14	-4.79(3)	-2.69(3)	-0.88(3)	5862(3)	1957(3)	793(3)
33	15	-4.05(3)	-3.31(3)	-1.54(3)	5878(3)	2551(3)	1251(3)
33	16	-3.98(3)	-3.75(3)	-2.35(3)	4390(3)	2658(3)	1910(3)
34	1	2.55(2)	-2.82(3)	-3.46(3)	-2508(2)	-408(2)	1411(3)

**POTENZIAMENTO DELL'IMPIANTO DI DEPURAZIONE E
DEL RECAPITO FINALE DI SQUINZANO (LE)
PROGETTO DEFINITIVO
Tabulati di calcolo strutturale-Equalizzazione**

R.37.7

Maggio 2021

Pagina 71 di 338

Muro	Pann.	Sxx	Syy	Sxy	Mxx	Myy	Mxy
34	2	-1.88 (3)	-1.75 (3)	-3.55 (3)	-2315 (1)	669 (3)	1782 (3)
34	3	1.02 (2)	-0.79 (3)	-3.14 (3)	-1170 (2)	770 (3)	2210 (3)
34	4	0.73 (2)	0.46 (2)	-1.81 (3)	-547 (2)	619 (3)	1451 (3)
34	5	-2.84 (3)	-3.34 (3)	-5.02 (3)	1529 (3)	525 (3)	2414 (3)
34	6	-2.14 (3)	-2.31 (3)	-4.19 (3)	1263 (3)	1725 (3)	4085 (3)
34	7	-1.39 (3)	-1.61 (3)	-3.74 (3)	1229 (3)	1808 (3)	4754 (3)
34	8	0.68 (2)	1.08 (2)	-3.06 (3)	699 (3)	-1004 (2)	2866 (3)
34	9	-3.55 (3)	-3.28 (3)	-5.06 (3)	2876 (3)	2015 (3)	2267 (3)
34	10	-2.42 (3)	-3.24 (3)	-4.77 (3)	2728 (3)	2629 (3)	3749 (3)
34	11	-1.85 (3)	-2.42 (3)	-4.43 (3)	1977 (3)	2299 (3)	4540 (3)
34	12	-1.36 (3)	1.80 (2)	-3.67 (3)	871 (3)	-2043 (2)	2759 (3)
34	13	-3.64 (3)	-4.02 (3)	-4.49 (3)	3568 (3)	2774 (3)	2212 (3)
34	14	-2.32 (3)	-4.14 (3)	-5.07 (3)	3627 (3)	3148 (3)	2868 (3)
34	15	-2.35 (3)	-3.59 (3)	-5.29 (3)	1658 (3)	2550 (3)	3170 (3)
34	16	-2.19 (3)	3.01 (2)	-3.91 (3)	534 (3)	-2467 (2)	2322 (3)
35	1	-6.40 (3)	-2.31 (3)	-0.88 (2)	3913 (3)	1146 (3)	429 (2)
35	2	-5.95 (3)	-3.16 (3)	-1.19 (3)	3611 (3)	1913 (3)	613 (2)
35	3	-5.46 (3)	-4.09 (3)	-1.71 (3)	3071 (3)	2532 (3)	745 (3)
35	4	-4.95 (3)	-4.66 (3)	-2.40 (3)	2776 (3)	2902 (3)	1368 (3)
35	5	-6.05 (3)	-2.53 (3)	-0.77 (2)	3494 (3)	1260 (3)	376 (2)
35	6	-5.60 (3)	-3.49 (3)	-0.84 (2)	3316 (3)	2074 (3)	560 (4)
35	7	-5.05 (3)	-4.49 (3)	-1.18 (3)	3266 (3)	2843 (3)	800 (3)
35	8	-4.54 (3)	-5.34 (3)	-2.02 (3)	2952 (3)	3372 (3)	1290 (3)
36	1	-2.70 (3)	-6.07 (3)	-4.16 (3)	2004 (3)	4507 (3)	1698 (3)
36	2	-2.81 (3)	-6.01 (3)	-4.51 (3)	1344 (3)	3892 (3)	1272 (3)
36	3	-2.97 (3)	-5.46 (3)	-4.39 (3)	-506 (2)	-3122 (2)	1318 (3)
36	4	-2.72 (3)	5.74 (2)	-2.77 (3)	-395 (2)	-4964 (2)	-650 (2)
36	5	-2.14 (3)	-4.73 (3)	-2.96 (3)	705 (3)	-5487 (2)	853 (3)
36	6	-1.89 (3)	-4.17 (3)	-3.04 (3)	1591 (3)	-4715 (2)	1446 (3)
36	7	-1.43 (3)	3.75 (2)	-2.73 (3)	2230 (3)	-3080 (2)	2460 (3)
36	8	-2.21 (3)	-4.39 (3)	-3.76 (3)	2075 (3)	3496 (3)	3642 (3)
36	9	-3.55 (3)	-5.12 (3)	-3.86 (3)	1825 (3)	3556 (3)	2902 (3)
36	10	-4.34 (3)	-4.89 (3)	-3.49 (3)	2355 (3)	3326 (3)	2146 (3)
36	11	-3.95 (3)	-5.70 (3)	-3.12 (3)	2648 (3)	3911 (3)	1605 (3)
36	12	-3.24 (3)	-5.83 (3)	-3.79 (3)	2438 (3)	4204 (3)	1837 (3)
36	13	-2.63 (3)	-4.92 (3)	-3.83 (3)	412 (3)	-3011 (2)	2628 (3)
36	14	-2.23 (3)	-4.99 (3)	-3.85 (3)	1111 (3)	3209 (3)	3095 (3)
36	15	-2.69 (3)	-5.44 (3)	-4.29 (3)	1373 (3)	3761 (3)	2413 (3)
37	1	-3.61 (3)	-3.87 (3)	0.88 (3)	847 (1)	1866 (3)	743 (3)
37	2	-3.54 (3)	-4.50 (3)	-0.91 (2)	878 (3)	2453 (3)	930 (3)
37	3	-3.39 (3)	-5.21 (3)	-1.04 (2)	1004 (3)	3087 (3)	975 (3)
37	4	-3.28 (3)	-5.86 (3)	-1.11 (2)	1194 (3)	3820 (3)	860 (3)
37	5	-3.08 (3)	-6.48 (3)	-1.07 (2)	1344 (3)	4476 (3)	700 (3)
37	6	-2.79 (3)	-7.02 (3)	-0.97 (2)	1584 (3)	5303 (3)	474 (3)
37	7	-3.39 (3)	-6.07 (3)	-1.03 (3)	2251 (3)	5403 (3)	541 (2)
37	8	-3.84 (3)	-5.64 (3)	-1.40 (3)	2672 (3)	4733 (3)	506 (4)
37	9	-4.30 (3)	-5.56 (3)	-1.95 (3)	2868 (3)	3970 (3)	757 (3)
37	10	-4.42 (3)	-4.66 (3)	-1.53 (3)	3375 (3)	3110 (3)	702 (2)
37	11	-4.51 (3)	-3.71 (3)	-1.08 (3)	3864 (3)	2231 (3)	597 (2)
37	12	-4.95 (3)	-2.80 (3)	-0.62 (2)	3822 (3)	1291 (3)	383 (2)
37	13	-4.64 (3)	-3.27 (3)	-0.66 (2)	3153 (3)	728 (4)	310 (3)
37	14	-4.22 (3)	-3.47 (3)	-0.67 (2)	2429 (3)	815 (2)	483 (3)
37	15	-3.74 (3)	-3.59 (3)	0.61 (3)	1858 (3)	891 (2)	426 (3)
37	16	-3.36 (3)	-3.56 (3)	0.65 (3)	1416 (3)	940 (2)	246 (4)
37	17	-3.14 (3)	-3.06 (3)	0.60 (3)	1221 (3)	936 (3)	193 (4)
37	18	-3.53 (3)	-3.38 (3)	0.76 (3)	929 (2)	1280 (3)	415 (3)
37	19	-3.87 (3)	-4.78 (3)	-0.65 (2)	2283 (3)	3106 (3)	502 (2)
37	20	-4.00 (3)	-5.18 (3)	-0.90 (3)	2642 (3)	3824 (3)	550 (2)
37	21	-4.05 (3)	-4.77 (3)	-0.93 (3)	2891 (3)	3156 (3)	608 (2)
37	22	-3.57 (3)	-5.69 (3)	-0.77 (2)	2011 (3)	4243 (3)	464 (2)
37	23	-3.57 (3)	-4.98 (3)	-0.86 (2)	1378 (3)	2938 (3)	288 (2)
37	24	-3.58 (3)	-5.39 (3)	-0.83 (2)	1691 (3)	3509 (3)	341 (2)
37	25	-3.66 (3)	-4.98 (3)	-0.76 (2)	1845 (3)	3046 (3)	410 (2)
37	26	-3.75 (3)	-4.50 (3)	-0.71 (2)	1731 (3)	2416 (3)	390 (2)
37	27	-3.65 (3)	-4.49 (3)	-0.81 (2)	1295 (3)	2393 (3)	289 (2)
37	28	-3.50 (3)	-3.70 (3)	-0.60 (2)	1491 (3)	988 (4)	310 (2)
37	29	-3.57 (3)	-3.66 (3)	-0.63 (2)	1274 (3)	1323 (3)	297 (2)
37	30	-3.69 (3)	-3.88 (3)	-0.64 (2)	1598 (3)	1363 (3)	341 (2)
37	31	-3.71 (3)	-4.13 (3)	-0.67 (2)	1644 (3)	1833 (3)	367 (2)
37	32	-3.63 (3)	-4.02 (3)	-0.72 (2)	1244 (3)	1835 (3)	290 (2)
37	33	-4.10 (3)	-4.27 (3)	-0.62 (4)	2738 (3)	2374 (3)	517 (2)
37	34	-4.16 (3)	-3.96 (3)	-0.58 (4)	2969 (3)	1960 (3)	481 (2)
37	35	-4.04 (3)	-4.00 (3)	-0.58 (2)	2439 (3)	1810 (3)	439 (2)
37	36	-4.05 (3)	-3.81 (3)	-0.60 (2)	2327 (3)	1382 (3)	386 (2)
37	37	-4.21 (3)	-3.68 (3)	-0.59 (2)	2722 (3)	1290 (3)	378 (2)
37	38	-4.02 (3)	-3.69 (3)	-0.61 (2)	2244 (3)	915 (4)	329 (2)

**POTENZIAMENTO DELL'IMPIANTO DI DEPURAZIONE E
DEL RECAPITO FINALE DI SQUINZANO (LE)
PROGETTO DEFINITIVO
Tabulati di calcolo strutturale-Equalizzazione**

R.37.7

Maggio 2021

Pagina 72 di 338

Muro	Pann.	Sxx	Syy	Sxy	Mxx	Myy	Mxy
37	39	-3.73 (3)	-3.73 (3)	-0.61 (2)	1855 (3)	938 (2)	319 (2)
37	40	-3.85 (3)	-3.88 (3)	-0.61 (2)	1934 (3)	1333 (3)	367 (2)
37	41	-3.84 (3)	-4.12 (3)	-0.62 (2)	2046 (3)	1833 (3)	410 (2)
37	42	-3.93 (3)	-4.39 (3)	-0.64 (2)	2188 (3)	2445 (3)	462 (2)
38	1	-3.91 (3)	-6.27 (3)	-2.21 (3)	2370 (3)	4272 (3)	1397 (3)
38	2	-3.56 (3)	-6.49 (3)	-2.24 (3)	2166 (3)	4551 (3)	1723 (3)
38	3	-2.98 (3)	-6.55 (3)	-2.32 (3)	1972 (3)	4644 (3)	2164 (3)
38	4	-2.26 (3)	-6.47 (3)	-2.27 (3)	1909 (3)	4480 (3)	2514 (3)
38	5	-1.48 (3)	-6.20 (3)	-2.13 (3)	2055 (3)	-3858 (2)	2658 (3)
38	6	-1.43 (3)	-5.78 (3)	-1.63 (3)	1470 (3)	-6426 (2)	1238 (3)
38	7	-3.81 (3)	-6.51 (3)	-1.74 (3)	2489 (3)	4820 (3)	1019 (3)
38	8	-3.32 (3)	-6.79 (3)	-1.94 (3)	2340 (3)	5309 (3)	1156 (3)
38	9	-2.83 (3)	-7.02 (3)	-2.09 (3)	2065 (3)	5532 (3)	1385 (3)
38	10	-2.29 (3)	-7.26 (3)	-2.14 (3)	1635 (3)	5207 (3)	1621 (3)
38	11	-1.87 (3)	-7.47 (3)	-2.02 (3)	1015 (3)	-5348 (2)	1698 (3)
38	12	-1.78 (3)	-7.53 (3)	-1.87 (3)	-1314 (2)	-9202 (2)	-325 (2)
38	13	-3.29 (3)	-7.21 (3)	-1.20 (3)	2068 (3)	4890 (3)	732 (4)
38	14	-2.96 (3)	-7.49 (3)	-1.52 (3)	1956 (3)	5586 (3)	784 (3)
38	15	-2.65 (3)	-7.73 (3)	-1.70 (3)	1716 (3)	5858 (3)	922 (3)
38	16	-2.35 (3)	-7.94 (3)	-1.74 (3)	1350 (3)	5550 (3)	1072 (3)
38	17	-2.06 (3)	-8.12 (3)	-1.65 (3)	893 (3)	-5927 (2)	1211 (3)
38	18	-1.95 (3)	-8.20 (3)	-1.56 (3)	-1459 (2)	-9976 (2)	225 (3)
38	19	-2.63 (3)	-8.09 (3)	-0.99 (2)	1518 (3)	4975 (3)	489 (3)
38	20	-2.53 (3)	-8.38 (3)	-1.53 (2)	1392 (3)	5507 (3)	-500 (2)
38	21	-2.37 (3)	-8.59 (3)	-1.87 (2)	1230 (3)	5755 (3)	-887 (2)
38	22	-2.30 (3)	-8.63 (3)	-1.93 (2)	958 (3)	5601 (3)	-1071 (2)
38	23	-2.37 (3)	-8.46 (3)	-1.68 (4)	-680 (2)	-5397 (2)	-968 (2)
38	24	-2.18 (3)	-8.27 (3)	-1.22 (3)	-800 (2)	-8301 (2)	-383 (2)
39	1	-2.45 (3)	-3.00 (3)	-0.20 (2)	1602 (3)	931 (4)	201 (2)
39	2	-2.44 (3)	-3.33 (3)	-0.52 (3)	1905 (3)	1535 (3)	-469 (3)
39	3	-2.49 (3)	-3.85 (3)	-0.85 (3)	1982 (3)	2083 (3)	-556 (3)
39	4	-2.51 (3)	-4.49 (3)	-1.07 (3)	1982 (3)	2633 (3)	-567 (3)
39	5	-2.50 (3)	-5.21 (3)	-1.20 (3)	1938 (3)	3220 (3)	571 (2)
39	6	-2.46 (3)	-5.97 (3)	-1.24 (3)	1855 (3)	3865 (3)	638 (2)
39	7	-2.38 (3)	-6.72 (3)	-1.14 (3)	1745 (3)	4609 (3)	602 (2)
39	8	-2.33 (3)	-7.35 (3)	-0.89 (3)	1619 (3)	5466 (3)	222 (2)
39	9	-2.14 (3)	-3.55 (3)	-0.15 (2)	1043 (3)	1046 (2)	142 (4)
39	10	-2.16 (3)	-3.80 (3)	-0.16 (5-II-1)	1155 (3)	1160 (3)	135 (2)
39	11	-2.25 (3)	-4.18 (3)	-0.26 (3)	1294 (3)	1880 (3)	146 (2)
39	12	-2.35 (3)	-4.68 (3)	-0.37 (3)	1415 (3)	2543 (3)	153 (2)
39	13	-2.43 (3)	-5.25 (3)	-0.45 (3)	1515 (3)	3240 (3)	162 (2)
39	14	-2.48 (3)	-5.83 (3)	-0.48 (3)	1604 (3)	4031 (3)	169 (2)
39	15	-2.49 (3)	-6.36 (3)	-0.47 (3)	1678 (3)	4986 (3)	129 (2)
39	16	-2.38 (3)	-6.77 (3)	-0.49 (3)	1723 (3)	6208 (3)	138 (3)
39	17	-1.96 (3)	-3.58 (3)	0.30 (3)	873 (2)	1060 (2)	95 (2)
39	18	-2.06 (3)	-3.81 (3)	0.24 (3)	866 (3)	1143 (4)	87 (2)
39	19	-2.18 (3)	-4.20 (3)	0.26 (3)	986 (3)	1858 (3)	87 (2)
39	20	-2.28 (3)	-4.71 (3)	-0.27 (2)	1114 (3)	2523 (3)	85 (2)
39	21	-2.37 (3)	-5.29 (3)	-0.30 (2)	1244 (3)	3222 (3)	81 (2)
39	22	-2.42 (3)	-5.87 (3)	-0.31 (2)	1377 (3)	4020 (3)	85 (5-II-1)
39	23	-2.42 (3)	-6.40 (3)	-0.29 (2)	1504 (3)	4998 (3)	111 (2)
39	24	-2.30 (3)	-6.81 (3)	-0.38 (2)	1622 (3)	6272 (3)	164 (2)
39	25	-1.98 (3)	-3.03 (3)	0.42 (3)	942 (3)	930 (2)	119 (3)
39	26	-2.18 (3)	-3.38 (3)	0.68 (3)	967 (3)	1469 (3)	397 (3)
39	27	-2.27 (3)	-3.93 (3)	0.88 (3)	1018 (3)	2024 (3)	547 (3)
39	28	-2.31 (3)	-4.61 (3)	0.98 (3)	1058 (3)	2590 (3)	621 (3)
39	29	-2.32 (3)	-5.35 (3)	1.00 (3)	1100 (3)	3196 (3)	640 (3)
39	30	-2.28 (3)	-6.13 (3)	0.92 (3)	1143 (3)	3872 (3)	598 (3)
39	31	-2.20 (3)	-6.88 (3)	0.70 (3)	1195 (3)	4651 (3)	456 (3)
39	32	-2.09 (3)	-7.49 (3)	-0.52 (2)	1306 (3)	5577 (3)	111 (3)
40	1	-2.33 (3)	-8.52 (3)	-0.66 (3)	1394 (3)	4902 (3)	396 (2)
40	2	-2.20 (3)	-8.81 (3)	1.26 (2)	1396 (3)	5536 (3)	1003 (2)
40	3	-2.05 (3)	-9.00 (3)	1.78 (2)	1361 (3)	5896 (3)	1329 (2)
40	4	-1.89 (3)	-8.99 (3)	1.97 (2)	1353 (3)	5918 (3)	1423 (2)
40	5	-1.69 (3)	-8.76 (3)	1.72 (2)	1393 (3)	5436 (3)	1173 (2)
40	6	-1.78 (3)	8.48 (2)	0.88 (2)	1222 (3)	-8377 (2)	443 (3)
40	7	-2.42 (3)	-8.57 (3)	-0.37 (3)	1413 (3)	4725 (3)	241 (3)
40	8	-2.23 (3)	-8.76 (3)	-0.37 (3)	1434 (3)	5709 (3)	195 (3)
40	9	-2.08 (3)	-8.91 (3)	0.45 (2)	1406 (3)	6272 (3)	230 (3)
40	10	-1.90 (3)	-9.01 (3)	0.51 (2)	1282 (3)	6332 (3)	310 (3)
40	11	-1.73 (3)	-9.09 (3)	0.41 (2)	1008 (3)	-6361 (2)	358 (3)
40	12	-1.73 (3)	-9.12 (3)	-0.39 (3)	-1469 (2)	-10644 (2)	-186 (2)
40	13	-2.33 (3)	-8.68 (3)	-0.33 (2)	1334 (3)	4704 (3)	232 (2)
40	14	-2.17 (3)	-8.87 (3)	-0.40 (2)	1352 (3)	5733 (3)	118 (5-II-1)
40	15	-2.04 (3)	-9.03 (3)	-0.50 (2)	1315 (3)	6323 (3)	112 (5-II-1)
40	16	-1.89 (3)	-9.15 (3)	-0.50 (2)	1178 (3)	6400 (3)	114 (3)

**POTENZIAMENTO DELL'IMPIANTO DI DEPURAZIONE E
DEL RECAPITO FINALE DI SQUINZANO (LE)
PROGETTO DEFINITIVO
Tabulati di calcolo strutturale-Equalizzazione**

R.37.7

Maggio 2021

Pagina 73 di 338

Muro	Pann.	Sxx	Syy	Sxy	Mxx	Myy	Mxy
40	17	-1.74 (3)	-9.23 (3)	-0.38 (2)	917 (3)	-6466 (2)	145 (3)
40	18	-1.71 (3)	-9.27 (3)	-0.26 (4)	-1537 (2)	-10755 (2)	15 (5-II-1)
40	19	-2.11 (3)	-8.77 (3)	-0.75 (2)	1188 (3)	4953 (3)	-189 (2)
40	20	-2.05 (3)	-9.09 (3)	-1.39 (2)	1174 (3)	5647 (3)	-913 (2)
40	21	-1.93 (3)	-9.34 (3)	-1.84 (2)	1130 (3)	6063 (3)	-1308 (2)
40	22	-1.83 (3)	-9.41 (3)	-1.98 (2)	1047 (3)	6132 (3)	-1453 (2)
40	23	-1.77 (3)	-9.26 (3)	-1.71 (2)	917 (3)	5690 (3)	-1241 (2)
40	24	-1.73 (3)	-8.97 (3)	-0.87 (2)	844 (3)	-8633 (2)	-455 (2)
41	1	-2.05 (3)	-2.93 (3)	-0.31 (3)	957 (3)	957 (4)	-197 (3)
41	2	-2.25 (3)	-3.30 (3)	-0.58 (3)	962 (3)	1517 (3)	-463 (3)
41	3	-2.32 (3)	-3.88 (3)	-0.78 (3)	1022 (3)	2050 (3)	-598 (3)
41	4	-2.33 (3)	-4.58 (3)	-0.88 (3)	1073 (3)	2600 (3)	-667 (3)
41	5	-2.31 (3)	-5.35 (3)	-0.89 (3)	1125 (3)	3190 (3)	-694 (3)
41	6	-2.25 (3)	-6.16 (3)	-0.79 (3)	1173 (3)	3845 (3)	-671 (3)
41	7	-2.15 (3)	-6.95 (3)	0.61 (2)	1226 (3)	4593 (3)	-561 (3)
41	8	-2.06 (3)	-7.59 (3)	0.43 (2)	1307 (3)	5479 (3)	-260 (3)
41	9	-2.05 (3)	-3.39 (3)	-0.23 (3)	939 (3)	1013 (2)	-95 (2)
41	10	-2.13 (3)	-3.63 (3)	0.20 (2)	992 (3)	1266 (3)	-99 (2)
41	11	-2.24 (3)	-4.08 (3)	0.25 (2)	1091 (3)	1926 (3)	-108 (2)
41	12	-2.31 (3)	-4.65 (3)	0.30 (2)	1184 (3)	2545 (3)	-112 (2)
41	13	-2.36 (3)	-5.30 (3)	0.33 (2)	1269 (3)	3200 (3)	-109 (2)
41	14	-2.39 (3)	-5.95 (3)	0.33 (2)	1356 (3)	3944 (3)	-98 (5-I-1)
41	15	-2.38 (3)	-6.54 (3)	0.29 (2)	1442 (3)	4852 (3)	-117 (5-I-1)
41	16	-2.26 (3)	-6.97 (3)	0.35 (2)	1547 (3)	6063 (3)	-140 (5-I-1)
41	17	-2.20 (3)	-3.36 (3)	0.17 (2)	1144 (3)	992 (2)	-135 (4)
41	18	-2.20 (3)	-3.62 (3)	0.17 (5-I-1)	1265 (3)	1301 (3)	-153 (2)
41	19	-2.28 (3)	-4.05 (3)	0.27 (3)	1375 (3)	1959 (3)	-174 (2)
41	20	-2.36 (3)	-4.62 (3)	0.37 (3)	1455 (3)	2564 (3)	-189 (2)
41	21	-2.42 (3)	-5.25 (3)	0.44 (3)	1512 (3)	3202 (3)	-201 (2)
41	22	-2.46 (3)	-5.89 (3)	0.49 (3)	1562 (3)	3925 (3)	-206 (2)
41	23	-2.46 (3)	-6.47 (3)	0.51 (3)	1604 (3)	4807 (3)	-176 (2)
41	24	-2.36 (3)	-6.90 (3)	0.55 (3)	1646 (3)	5971 (3)	-203 (3)
41	25	-2.44 (3)	-2.89 (3)	0.21 (2)	1600 (3)	1004 (3)	-201 (2)
41	26	-2.42 (3)	-3.26 (3)	0.52 (3)	1861 (3)	1606 (3)	461 (3)
41	27	-2.46 (3)	-3.81 (3)	0.81 (3)	1910 (3)	2125 (3)	554 (3)
41	28	-2.48 (3)	-4.47 (3)	1.00 (3)	1902 (3)	2641 (3)	574 (3)
41	29	-2.49 (3)	-5.21 (3)	1.12 (3)	1858 (3)	3188 (3)	-592 (2)
41	30	-2.46 (3)	-5.98 (3)	1.16 (3)	1786 (3)	3792 (3)	-668 (2)
41	31	-2.41 (3)	-6.72 (3)	1.09 (3)	1704 (3)	4478 (3)	-651 (2)
41	32	-2.36 (3)	-7.34 (3)	0.90 (3)	1606 (3)	5283 (3)	-298 (2)
42	1	-2.08 (3)	-8.77 (3)	0.66 (2)	1201 (3)	4974 (3)	289 (2)
42	2	-2.01 (3)	-9.10 (3)	1.36 (2)	1206 (3)	5640 (3)	999 (2)
42	3	-1.90 (3)	-9.36 (3)	1.84 (2)	1151 (3)	6035 (3)	1383 (2)
42	4	-1.82 (3)	-9.43 (3)	1.98 (2)	1033 (3)	6099 (3)	1557 (2)
42	5	-1.82 (3)	-9.25 (3)	1.69 (2)	828 (3)	5675 (3)	1406 (2)
42	6	-1.78 (3)	9.06 (2)	0.82 (2)	788 (3)	-8393 (2)	580 (2)
42	7	-2.27 (3)	-8.70 (3)	0.33 (2)	1297 (3)	4727 (3)	-199 (2)
42	8	-2.12 (3)	-8.88 (3)	0.44 (2)	1316 (3)	5709 (3)	-212 (3)
42	9	-2.01 (3)	-9.04 (3)	0.57 (2)	1282 (3)	6258 (3)	-260 (3)
42	10	-1.88 (3)	-9.13 (3)	0.56 (2)	1152 (3)	6338 (3)	-292 (3)
42	11	-1.72 (3)	-9.16 (3)	0.48 (3)	909 (3)	-6135 (2)	-331 (3)
42	12	-1.70 (3)	-9.18 (3)	0.43 (3)	-1381 (2)	-10308 (2)	-58 (3)
42	13	-2.37 (3)	-8.57 (3)	0.53 (3)	1370 (3)	4714 (3)	-311 (3)
42	14	-2.20 (3)	-8.76 (3)	0.56 (3)	1381 (3)	5660 (3)	-308 (3)
42	15	-2.06 (3)	-8.90 (3)	0.60 (3)	1357 (3)	6193 (3)	-365 (3)
42	16	-1.87 (3)	-8.98 (3)	0.60 (3)	1262 (3)	6267 (3)	-457 (3)
42	17	-1.67 (3)	-9.02 (3)	0.57 (3)	1035 (3)	-6029 (2)	-520 (3)
42	18	-1.67 (3)	-9.02 (3)	0.51 (3)	-1343 (2)	-10174 (2)	108 (2)
42	19	-2.35 (3)	-8.45 (3)	0.77 (3)	1395 (3)	4852 (3)	-501 (2)
42	20	-2.21 (3)	-8.76 (3)	-1.12 (2)	1374 (3)	5470 (3)	-1137 (2)
42	21	-2.03 (3)	-8.98 (3)	-1.64 (2)	1328 (3)	5829 (3)	-1479 (2)
42	22	-1.83 (3)	-8.99 (3)	-1.85 (2)	1320 (3)	5873 (3)	-1584 (2)
42	23	-1.60 (3)	-8.75 (3)	-1.65 (2)	1399 (3)	5438 (3)	-1339 (2)
42	24	-1.65 (3)	8.60 (2)	-0.84 (2)	1208 (3)	-8046 (2)	-532 (3)
43	1	-3.05 (3)	-2.93 (3)	-0.42 (3)	1276 (3)	980 (3)	-201 (4)
43	2	-3.35 (3)	-3.29 (3)	-0.55 (3)	1034 (3)	1481 (3)	-344 (3)
43	3	-3.38 (3)	-3.84 (3)	0.67 (2)	1055 (3)	1976 (3)	-502 (3)
43	4	-3.33 (3)	-4.48 (3)	0.80 (2)	1113 (3)	2494 (3)	-605 (3)
43	5	-3.24 (3)	-5.18 (3)	0.92 (2)	1203 (3)	3047 (3)	-673 (3)
43	6	-3.09 (3)	-5.91 (3)	0.99 (2)	1306 (3)	3650 (3)	-707 (3)
43	7	-2.90 (3)	-6.61 (3)	0.97 (2)	1411 (3)	4321 (3)	-693 (3)
43	8	-2.68 (3)	-7.20 (3)	0.82 (2)	1555 (3)	5091 (3)	-544 (3)
43	9	-3.31 (3)	-3.31 (3)	0.49 (2)	1651 (3)	876 (2)	-243 (4)
43	10	-3.38 (3)	-3.54 (3)	0.53 (2)	1612 (3)	1296 (3)	-314 (2)
43	11	-3.43 (3)	-3.95 (3)	0.59 (2)	1658 (3)	1900 (3)	-354 (2)
43	12	-3.44 (3)	-4.45 (3)	0.65 (2)	1723 (3)	2470 (3)	-383 (2)

**POTENZIAMENTO DELL'IMPIANTO DI DEPURAZIONE E
DEL RECAPITO FINALE DI SQUINZANO (LE)
PROGETTO DEFINITIVO
Tabulati di calcolo strutturale-Equalizzazione**

R.37.7

Maggio 2021

Pagina 74 di 338

Muro	Pann.	Sxx	Syy	Sxy	Mxx	Myy	Mxy
43	13	-3.41 (3)	-5.01 (3)	0.69 (2)	1795 (3)	3061 (3)	-398 (2)
43	14	-3.35 (3)	-5.58 (3)	0.69 (2)	1870 (3)	3714 (3)	-399 (2)
43	15	-3.26 (3)	-6.09 (3)	0.70 (4)	1936 (3)	4472 (3)	-409 (2)
43	16	-3.06 (3)	-6.51 (3)	0.95 (3)	1987 (3)	5418 (3)	-420 (3)
43	17	-3.76 (3)	-3.19 (3)	0.53 (2)	2199 (3)	800 (2)	-313 (3)
43	18	-3.63 (3)	-3.48 (3)	0.53 (2)	2321 (3)	1361 (3)	-369 (2)
43	19	-3.59 (3)	-3.86 (3)	0.53 (2)	2386 (3)	1967 (3)	-418 (2)
43	20	-3.60 (3)	-4.34 (3)	0.63 (3)	2413 (3)	2504 (3)	-454 (2)
43	21	-3.59 (3)	-4.86 (3)	0.80 (3)	2408 (3)	3053 (3)	-479 (2)
43	22	-3.56 (3)	-5.39 (3)	0.97 (3)	2384 (3)	3650 (3)	-487 (2)
43	23	-3.49 (3)	-5.88 (3)	1.14 (3)	2339 (3)	4332 (3)	-446 (2)
43	24	-3.34 (3)	-6.29 (3)	1.34 (3)	2243 (3)	5138 (3)	-590 (3)
43	25	-4.24 (3)	-2.73 (3)	0.56 (2)	2968 (3)	1061 (3)	-330 (2)
43	26	-3.96 (3)	-3.09 (3)	0.60 (4)	3335 (3)	1636 (3)	-478 (2)
43	27	-3.87 (3)	-3.57 (3)	0.94 (3)	3316 (3)	2105 (3)	-560 (2)
43	28	-3.82 (3)	-4.13 (3)	1.20 (3)	3206 (3)	2541 (3)	-648 (2)
43	29	-3.77 (3)	-4.73 (3)	1.40 (3)	3034 (3)	2985 (3)	-736 (2)
43	30	-3.72 (3)	-5.34 (3)	1.55 (3)	2818 (3)	3453 (3)	-798 (2)
43	31	-3.63 (3)	-5.92 (3)	1.66 (3)	2579 (3)	3948 (3)	-763 (2)
43	32	-3.52 (3)	-6.42 (3)	1.73 (3)	2311 (3)	4476 (3)	-748 (3)
44	1	-2.55 (3)	-8.16 (3)	0.90 (2)	1494 (3)	4869 (3)	-526 (3)
44	2	-2.40 (3)	-8.48 (3)	1.47 (2)	1410 (3)	5415 (3)	711 (2)
44	3	-2.23 (3)	-8.71 (3)	1.84 (2)	1246 (3)	5706 (3)	1119 (2)
44	4	-2.15 (3)	-8.74 (3)	1.92 (2)	944 (3)	5639 (3)	1336 (2)
44	5	-2.26 (3)	-8.53 (3)	1.69 (3)	-712 (2)	-5149 (2)	1256 (2)
44	6	-2.09 (3)	8.20 (2)	1.19 (3)	-796 (2)	-7885 (2)	565 (2)
44	7	-2.94 (3)	-7.70 (3)	1.12 (3)	1784 (3)	4740 (3)	-635 (3)
44	8	-2.68 (3)	-7.91 (3)	1.38 (3)	1709 (3)	5472 (3)	-724 (3)
44	9	-2.44 (3)	-8.08 (3)	1.56 (3)	1535 (3)	5838 (3)	-864 (3)
44	10	-2.21 (3)	-8.19 (3)	1.63 (3)	1233 (3)	5717 (3)	-1005 (3)
44	11	-1.97 (3)	-8.23 (3)	1.51 (3)	839 (3)	-5572 (2)	-1127 (3)
44	12	-1.86 (3)	-8.29 (3)	1.36 (3)	-1337 (2)	-9516 (2)	-202 (3)
44	13	-3.21 (3)	-7.29 (3)	1.43 (3)	1990 (3)	4681 (3)	-829 (3)
44	14	-2.90 (3)	-7.51 (3)	1.58 (3)	1903 (3)	5306 (3)	-926 (3)
44	15	-2.57 (3)	-7.65 (3)	1.70 (3)	1764 (3)	5633 (3)	-1101 (3)
44	16	-2.16 (3)	-7.73 (3)	1.74 (3)	1549 (3)	5502 (3)	-1310 (3)
44	17	-1.80 (3)	-7.81 (3)	1.63 (3)	1163 (3)	-5239 (2)	-1433 (3)
44	18	-1.77 (3)	-7.81 (3)	1.49 (3)	-1209 (2)	-9083 (2)	-256 (3)
44	19	-3.32 (3)	-7.13 (3)	1.77 (3)	2011 (3)	4442 (3)	-1103 (3)
44	20	-3.00 (3)	-7.40 (3)	1.80 (3)	1851 (3)	4851 (3)	-1322 (3)
44	21	-2.61 (3)	-7.51 (3)	1.75 (3)	1747 (3)	5055 (3)	-1632 (3)
44	22	-2.15 (3)	-7.39 (3)	1.66 (3)	1795 (3)	4949 (3)	-1981 (3)
44	23	-1.57 (3)	-7.01 (3)	1.56 (3)	2087 (3)	4321 (3)	-2211 (3)
44	24	-1.66 (3)	6.81 (2)	1.21 (3)	1678 (3)	-6812 (2)	-1044 (3)
45	1	-5.17 (3)	-2.65 (3)	0.77 (2)	2657 (3)	1072 (3)	-273 (4)
45	2	-5.27 (3)	-3.01 (3)	0.81 (2)	2419 (3)	1484 (3)	-409 (2)
45	3	-5.11 (3)	-3.48 (3)	0.86 (2)	2433 (3)	1906 (3)	-518 (3)
45	4	-4.90 (3)	-4.02 (3)	0.95 (2)	2479 (3)	2337 (3)	-654 (3)
45	5	-4.65 (3)	-4.57 (3)	1.04 (2)	2543 (3)	2778 (3)	-774 (3)
45	6	-4.37 (3)	-5.14 (3)	1.10 (2)	2594 (3)	3227 (3)	-889 (3)
45	7	-4.09 (3)	-5.67 (3)	1.21 (3)	2600 (3)	3656 (3)	-1015 (3)
45	8	-3.89 (3)	-6.12 (3)	1.73 (3)	2456 (3)	4049 (3)	-1189 (3)
45	9	-5.54 (3)	-2.79 (3)	1.00 (2)	3201 (3)	778 (3)	-284 (3)
45	10	-5.43 (3)	-3.01 (3)	0.84 (2)	3184 (3)	1348 (3)	-435 (2)
45	11	-5.31 (3)	-3.38 (3)	0.83 (2)	3154 (3)	1822 (3)	-532 (2)
45	12	-5.14 (3)	-3.79 (3)	0.86 (2)	3131 (3)	2268 (3)	-616 (2)
45	13	-4.95 (3)	-4.23 (3)	1.02 (3)	3104 (3)	2707 (3)	-677 (2)
45	14	-4.74 (3)	-4.67 (3)	1.33 (3)	3062 (3)	3140 (3)	-717 (2)
45	15	-4.54 (3)	-5.08 (3)	1.68 (3)	2993 (3)	3539 (3)	-896 (3)
45	16	-4.34 (3)	-5.41 (3)	2.04 (3)	2805 (3)	3892 (3)	-1316 (3)
45	17	-6.01 (3)	-2.56 (3)	1.07 (2)	3681 (3)	768 (3)	-353 (3)
45	18	-5.75 (3)	-2.84 (3)	0.86 (2)	3728 (3)	1319 (3)	-476 (2)
45	19	-5.57 (3)	-3.17 (3)	0.93 (3)	3641 (3)	1779 (3)	-572 (2)
45	20	-5.41 (3)	-3.54 (3)	1.19 (3)	3526 (3)	2175 (3)	-644 (2)
45	21	-5.25 (3)	-3.92 (3)	1.45 (3)	3390 (3)	2551 (3)	-699 (2)
45	22	-5.08 (3)	-4.29 (3)	1.74 (3)	3248 (3)	2908 (3)	-799 (4)
45	23	-4.87 (3)	-4.61 (3)	2.06 (3)	3119 (3)	3211 (3)	-1035 (3)
45	24	-4.66 (3)	-4.92 (3)	2.32 (3)	2925 (3)	3410 (3)	-1524 (3)
45	25	-6.46 (3)	-2.09 (3)	0.95 (2)	4058 (3)	913 (3)	-306 (3)
45	26	-6.12 (3)	-2.47 (3)	1.03 (4)	4054 (3)	1348 (3)	-543 (2)
45	27	-5.88 (3)	-2.87 (3)	1.32 (3)	3829 (3)	1707 (3)	-554 (2)
45	28	-5.70 (3)	-3.27 (3)	1.59 (3)	3558 (3)	1999 (3)	-584 (2)
45	29	-5.53 (3)	-3.66 (3)	1.86 (3)	3254 (3)	2272 (3)	-680 (4)
45	30	-5.37 (3)	-4.02 (3)	2.09 (3)	2946 (3)	2529 (3)	-873 (3)
45	31	-5.20 (3)	-4.31 (3)	2.33 (3)	2679 (3)	2719 (3)	-1142 (3)
45	32	-4.85 (3)	-4.50 (3)	2.65 (3)	2661 (3)	2818 (3)	-1626 (3)

**POTENZIAMENTO DELL'IMPIANTO DI DEPURAZIONE E
DEL RECAPITO FINALE DI SQUINZANO (LE)
PROGETTO DEFINITIVO
Tabulati di calcolo strutturale-Equalizzazione**

R.37.7

Maggio 2021

Pagina 75 di 338

Muro	Pann.	Sxx	Syy	Sxy	Mxx	Myy	Mxy
46	1	-3.52 (3)	-6.53 (3)	2.39 (3)	2340 (3)	4407 (3)	-1189 (3)
46	2	-3.09 (3)	-6.83 (3)	2.86 (3)	2210 (3)	4699 (3)	-1220 (3)
46	3	-2.77 (3)	-6.97 (3)	3.30 (3)	1801 (3)	4770 (3)	-1199 (3)
46	4	-2.68 (3)	-6.87 (3)	3.59 (3)	1119 (3)	4445 (3)	-1209 (3)
46	5	-2.96 (3)	-6.52 (3)	3.50 (3)	-647 (2)	-3858 (2)	-1328 (3)
46	6	-2.64 (3)	6.26 (2)	2.41 (3)	-629 (2)	-6136 (2)	-572 (3)
46	7	-4.02 (3)	-5.55 (3)	2.79 (3)	2668 (3)	4446 (3)	-1397 (3)
46	8	-3.54 (3)	-5.80 (3)	3.12 (3)	2490 (3)	4701 (3)	-1765 (3)
46	9	-3.08 (3)	-5.96 (3)	3.40 (3)	2086 (3)	4742 (3)	-2072 (3)
46	10	-2.67 (3)	-6.04 (3)	3.46 (3)	1502 (3)	4305 (3)	-2364 (3)
46	11	-2.27 (3)	-6.01 (3)	3.14 (3)	859 (3)	-3859 (2)	-2560 (3)
46	12	-2.04 (3)	-6.07 (3)	2.75 (3)	-991 (2)	-7007 (2)	-580 (3)
46	13	-4.33 (3)	-4.84 (3)	3.11 (3)	2787 (3)	4114 (3)	-1585 (3)
46	14	-3.86 (3)	-5.05 (3)	3.33 (3)	2561 (3)	4256 (3)	-2118 (3)
46	15	-3.25 (3)	-5.18 (3)	3.53 (3)	2238 (3)	4289 (3)	-2519 (3)
46	16	-2.50 (3)	-5.24 (3)	3.54 (3)	1859 (3)	3921 (3)	-2874 (3)
46	17	-1.84 (3)	-5.32 (3)	3.25 (3)	1314 (3)	-3281 (2)	-3015 (3)
46	18	-1.68 (3)	-5.27 (3)	2.85 (3)	-856 (2)	-6121 (2)	-686 (3)
46	19	-4.49 (3)	-4.52 (3)	3.34 (3)	2437 (3)	3238 (3)	-2030 (3)
46	20	-4.08 (3)	-4.75 (3)	3.52 (3)	1924 (3)	3361 (3)	-2734 (3)
46	21	-3.33 (3)	-4.78 (3)	3.52 (3)	1771 (3)	3423 (3)	-3217 (3)
46	22	-2.39 (3)	-4.54 (3)	3.43 (3)	1945 (3)	3205 (3)	-3643 (3)
46	23	-1.23 (3)	-4.06 (3)	3.17 (3)	2580 (3)	2452 (3)	-3820 (3)
46	24	-1.22 (3)	3.77 (2)	2.31 (3)	1956 (3)	-4085 (2)	-1744 (3)
47	1	-2.17 (3)	-3.82 (3)	5.34 (3)	2297 (3)	2736 (3)	-2563 (3)
47	2	-2.07 (3)	-4.17 (3)	5.04 (3)	3463 (3)	3188 (3)	-2562 (3)
47	3	-2.59 (3)	-4.17 (3)	4.73 (3)	4087 (3)	3092 (3)	-2512 (3)
47	4	-3.76 (3)	-3.86 (3)	4.30 (3)	3418 (3)	2721 (3)	-1979 (3)
47	5	-3.61 (3)	-3.15 (3)	4.96 (3)	2605 (3)	1959 (3)	-2178 (3)
47	6	-2.91 (3)	-3.19 (3)	4.96 (3)	1656 (3)	593 (3)	-2491 (3)
47	7	2.53 (2)	-2.74 (3)	3.46 (3)	-2481 (2)	-384 (2)	-1495 (3)
47	8	-1.88 (3)	-1.73 (3)	3.57 (3)	-2239 (1)	645 (3)	-1904 (3)
47	9	1.01 (2)	-0.79 (3)	3.15 (3)	-1172 (2)	796 (3)	-2315 (3)
47	10	0.73 (2)	0.45 (2)	1.86 (3)	-555 (2)	568 (3)	-1509 (3)
47	11	0.67 (2)	1.09 (2)	3.12 (3)	740 (3)	-1071 (2)	-2903 (3)
47	12	-1.29 (3)	1.86 (2)	3.64 (3)	1443 (3)	-2211 (2)	-2522 (3)
47	13	-2.34 (3)	3.14 (2)	3.41 (3)	346 (3)	-2911 (2)	-1657 (3)
47	14	-2.57 (3)	-3.20 (3)	5.15 (3)	-339 (2)	-1784 (2)	-2741 (3)
47	15	-1.41 (3)	-1.64 (3)	3.82 (3)	1316 (3)	1796 (3)	-4770 (3)
47	16	-1.91 (3)	-2.26 (3)	4.36 (3)	1680 (3)	2249 (3)	-4469 (3)
47	17	-1.78 (3)	-2.45 (3)	4.43 (3)	1150 (3)	1903 (3)	-4306 (3)
47	18	-2.09 (3)	-3.30 (3)	4.90 (3)	2155 (3)	2689 (3)	-3803 (3)
47	19	-2.17 (3)	-3.55 (3)	4.92 (3)	2895 (3)	3013 (3)	-3531 (3)
47	20	-2.57 (3)	-3.47 (3)	4.69 (3)	3331 (3)	2676 (3)	-3264 (3)
47	21	-2.26 (3)	-2.97 (3)	4.75 (3)	2547 (3)	2463 (3)	-3846 (3)
47	22	-2.11 (3)	-2.29 (3)	4.23 (3)	1323 (3)	1777 (3)	-4099 (3)
48	1	-3.78 (3)	-3.34 (3)	1.83 (3)	5678 (3)	2575 (3)	-1472 (3)
48	2	-4.12 (3)	-3.05 (3)	1.42 (3)	5845 (3)	2302 (3)	-1236 (3)
48	3	-4.52 (3)	-2.74 (3)	1.08 (3)	5820 (3)	2042 (3)	-994 (3)
48	4	-4.98 (3)	-2.46 (3)	0.85 (3)	5664 (3)	1745 (3)	-781 (3)
48	5	-5.53 (3)	-2.18 (3)	0.88 (2)	5395 (3)	1349 (3)	-598 (4)
48	6	-6.34 (3)	-1.82 (3)	1.09 (2)	4678 (3)	881 (3)	-166 (3)
48	7	-6.14 (3)	-1.89 (3)	1.59 (2)	4185 (3)	533 (3)	646 (2)
48	8	-5.66 (3)	-1.95 (3)	1.44 (4)	-3316 (2)	-615 (2)	506 (2)
48	9	-5.22 (3)	-1.67 (3)	1.02 (3)	-5750 (2)	-655 (2)	137 (2)
48	10	-5.39 (3)	-1.76 (3)	1.35 (3)	-6847 (2)	-941 (2)	-240 (3)
48	11	-4.87 (3)	-1.76 (3)	1.89 (3)	-6008 (2)	-815 (2)	-569 (3)
48	12	-3.26 (3)	-1.59 (3)	1.79 (3)	-3986 (2)	1301 (3)	-1591 (3)
48	13	-3.65 (3)	-1.74 (3)	2.20 (3)	-1784 (2)	2245 (3)	-2868 (3)
48	14	-4.09 (3)	-2.72 (3)	2.31 (3)	3231 (3)	2359 (3)	-2850 (3)
48	15	-4.14 (3)	-3.65 (3)	2.60 (3)	3907 (3)	2560 (3)	-2199 (3)
48	16	-3.63 (3)	-3.59 (3)	2.20 (3)	5299 (3)	2719 (3)	-1660 (3)
48	17	-5.28 (3)	-2.10 (3)	1.14 (3)	3896 (3)	1115 (3)	-567 (3)
48	18	-5.39 (3)	-1.80 (3)	1.24 (3)	-3430 (2)	670 (3)	-783 (3)
48	19	-5.32 (3)	-2.03 (3)	1.04 (3)	3593 (3)	734 (3)	-380 (3)
48	20	-5.00 (3)	-2.05 (3)	1.47 (3)	3126 (3)	942 (3)	-952 (3)
48	21	-4.82 (3)	-2.41 (3)	1.30 (3)	4913 (3)	1627 (3)	-784 (3)
48	22	-5.12 (3)	-2.25 (3)	1.05 (3)	4891 (3)	1404 (3)	-523 (3)
48	23	-5.53 (3)	-2.11 (3)	0.99 (3)	4779 (3)	999 (3)	-317 (4)
48	24	-4.57 (3)	-2.29 (3)	2.05 (3)	3617 (3)	1612 (3)	-1648 (3)
48	25	-4.82 (3)	-1.84 (3)	1.96 (3)	-2981 (2)	790 (3)	-1529 (3)
48	26	-4.79 (3)	-2.14 (3)	1.66 (3)	3062 (3)	1046 (3)	-1166 (3)
48	27	-4.18 (3)	-2.19 (3)	2.27 (3)	3284 (3)	1598 (3)	-2159 (3)
48	28	-3.90 (3)	-2.82 (3)	2.38 (3)	4365 (3)	2340 (3)	-1977 (3)
48	29	-4.18 (3)	-2.73 (3)	2.02 (3)	2750 (3)	2149 (3)	-1567 (3)
48	30	-4.48 (3)	-2.57 (3)	1.61 (3)	4875 (3)	1852 (3)	-1169 (3)

**POTENZIAMENTO DELL'IMPIANTO DI DEPURAZIONE E
DEL RECAPITO FINALE DI SQUINZANO (LE)
PROGETTO DEFINITIVO
Tabulati di calcolo strutturale-Equalizzazione**

R.37.7

Maggio 2021

Pagina 76 di 338

Muro	Pann.	Sxx	Syy	Sxy	Mxx	Myy	Mxy
49	1	0.74 (2)	-0.39 (3)	0.85 (3)	-490 (2)	870 (3)	-436 (3)
49	2	0.92 (2)	-0.59 (3)	1.51 (3)	-690 (2)	518 (3)	-1033 (3)
49	3	1.17 (2)	-0.88 (3)	1.89 (3)	-1067 (2)	406 (3)	-1080 (3)
49	4	1.67 (2)	-1.28 (3)	2.03 (3)	-1259 (2)	-302 (2)	-978 (3)
49	5	0.68 (2)	1.09 (2)	1.58 (3)	545 (3)	-1277 (2)	-997 (3)
49	6	-0.85 (3)	-1.11 (3)	1.93 (3)	1063 (3)	952 (3)	-2490 (3)
49	7	-1.25 (3)	-1.37 (3)	2.33 (3)	1209 (3)	958 (3)	-2442 (3)
49	8	-1.93 (3)	-1.63 (3)	2.90 (3)	1279 (3)	442 (3)	-1690 (3)
49	9	-0.95 (3)	1.93 (2)	1.80 (3)	565 (3)	-2728 (2)	-723 (3)
49	10	-1.25 (3)	-1.85 (3)	2.12 (3)	1046 (3)	-1264 (2)	-2241 (3)
49	11	-1.79 (3)	-1.81 (3)	2.44 (3)	1459 (3)	1414 (3)	-2066 (3)
49	12	-2.36 (3)	-1.61 (3)	2.67 (3)	1719 (3)	1549 (3)	-1522 (3)
49	13	-1.40 (3)	3.38 (2)	1.52 (3)	-491 (2)	-3185 (2)	-550 (3)
49	14	-1.74 (3)	2.74 (2)	2.09 (3)	-468 (2)	-1788 (2)	-1261 (3)
49	15	-1.92 (3)	-2.48 (3)	2.15 (3)	1071 (3)	1673 (3)	-1161 (3)
49	16	-2.45 (3)	-2.14 (3)	2.06 (3)	1640 (3)	1682 (3)	-1070 (3)
50	1	-1.89 (3)	0.61 (2)	1.58 (3)	-2071 (2)	1125 (3)	-1297 (3)
50	2	-3.08 (3)	-0.84 (3)	1.94 (3)	-3340 (2)	-607 (2)	-700 (3)
50	3	-3.65 (3)	-1.00 (3)	1.94 (3)	-4027 (2)	-671 (2)	-622 (3)
50	4	-3.79 (3)	-1.30 (3)	1.84 (3)	-3560 (2)	-538 (2)	-652 (3)
50	5	-2.47 (3)	-0.84 (3)	2.02 (3)	1757 (3)	1582 (3)	-2287 (3)
50	6	-3.17 (3)	-1.00 (3)	2.15 (3)	2118 (3)	901 (3)	-1924 (3)
50	7	-3.69 (3)	-1.15 (3)	2.18 (3)	2401 (3)	482 (3)	-1727 (3)
50	8	-4.26 (3)	-1.45 (3)	2.53 (3)	2561 (3)	-458 (2)	-1140 (3)
50	9	-2.85 (3)	-1.60 (3)	2.00 (3)	2196 (3)	1221 (3)	-1855 (3)
50	10	-3.22 (3)	-1.41 (3)	2.14 (3)	2879 (3)	1159 (3)	-1588 (3)
50	11	-3.84 (3)	-1.28 (3)	2.24 (3)	3198 (3)	782 (3)	-1445 (3)
50	12	-4.55 (3)	-1.11 (3)	2.40 (3)	3166 (3)	418 (3)	-1095 (3)
50	13	-2.99 (3)	-1.98 (3)	1.77 (3)	2213 (3)	1238 (3)	-1234 (3)
50	14	-3.32 (3)	-1.68 (3)	1.87 (3)	2892 (3)	1192 (3)	-1151 (3)
50	15	-3.92 (3)	-1.34 (3)	1.97 (3)	3159 (3)	890 (3)	-1154 (3)
50	16	-4.64 (3)	-0.96 (3)	2.03 (3)	3140 (3)	565 (3)	-1091 (3)
51	1	-4.01 (3)	-0.56 (3)	1.19 (3)	-3949 (2)	1017 (3)	-993 (3)
51	2	-4.72 (3)	-0.73 (3)	1.49 (3)	-5418 (2)	-763 (2)	-516 (3)
51	3	-4.98 (3)	-0.90 (3)	1.50 (3)	-5739 (2)	-887 (2)	-484 (3)
51	4	-4.88 (3)	-1.18 (3)	1.45 (3)	-4729 (2)	-669 (2)	-472 (3)
51	5	-4.55 (3)	0.51 (2)	1.61 (3)	3047 (3)	1223 (3)	-1795 (3)
51	6	-4.84 (3)	-0.73 (3)	1.76 (3)	3277 (3)	671 (3)	-1552 (3)
51	7	-5.03 (3)	-0.97 (3)	1.81 (3)	3358 (3)	382 (3)	-1453 (3)
51	8	-5.34 (3)	-1.27 (3)	2.09 (3)	3301 (3)	-617 (2)	-934 (3)
51	9	-4.92 (3)	-0.81 (3)	1.82 (3)	3379 (3)	687 (3)	-1503 (3)
51	10	-4.91 (3)	-0.91 (3)	1.94 (3)	3761 (3)	700 (3)	-1424 (3)
51	11	-5.17 (3)	-1.01 (3)	2.02 (3)	3839 (3)	601 (3)	-1368 (3)
51	12	-5.55 (3)	-1.02 (3)	2.08 (3)	3693 (3)	559 (3)	-1039 (3)
51	13	-5.02 (3)	-0.84 (3)	1.97 (3)	3169 (3)	476 (3)	-1245 (3)
51	14	-4.99 (3)	-0.98 (3)	2.06 (3)	3340 (3)	612 (3)	-1238 (3)
51	15	-5.15 (3)	-1.07 (3)	2.03 (3)	3439 (3)	681 (3)	-1180 (3)
51	16	-5.47 (3)	-1.02 (3)	1.92 (3)	3456 (3)	703 (3)	-1071 (3)
52	1	5.03 (2)	-0.63 (3)	0.89 (3)	-4931 (2)	884 (3)	-811 (3)
52	2	-5.53 (3)	-0.80 (3)	1.12 (3)	-6471 (2)	-900 (2)	-397 (3)
52	3	-5.65 (3)	-0.96 (3)	1.14 (3)	-6635 (2)	-663 (2)	-355 (3)
52	4	5.69 (2)	-1.19 (3)	1.13 (3)	-5451 (2)	-538 (2)	357 (2)
52	5	-5.46 (3)	-0.62 (3)	1.26 (3)	3558 (3)	1100 (3)	-1507 (3)
52	6	-5.61 (3)	-0.84 (3)	1.36 (3)	3702 (3)	709 (3)	-1227 (3)
52	7	-5.70 (3)	-1.04 (3)	1.39 (3)	3726 (3)	483 (3)	-1090 (3)
52	8	-5.91 (3)	-1.29 (3)	1.78 (4)	3644 (3)	-502 (2)	765 (2)
52	9	-5.70 (3)	-0.97 (3)	1.50 (3)	3806 (3)	756 (3)	-1370 (4)
52	10	-5.63 (3)	-1.08 (3)	1.53 (3)	4123 (3)	827 (3)	-1151 (3)
52	11	-5.81 (3)	-1.16 (3)	1.56 (3)	4183 (3)	725 (3)	-1036 (3)
52	12	-6.14 (3)	-1.15 (3)	1.72 (4)	4027 (3)	584 (3)	-700 (3)
52	13	-5.64 (3)	-1.14 (3)	1.67 (3)	3561 (3)	685 (3)	-1085 (3)
52	14	-5.62 (3)	-1.28 (3)	1.63 (3)	3788 (3)	841 (3)	-1000 (3)
52	15	-5.76 (3)	-1.31 (3)	1.54 (3)	3890 (3)	840 (3)	-910 (3)
52	16	-6.06 (3)	-1.21 (3)	1.42 (3)	3844 (3)	756 (3)	-762 (3)
53	1	0.43 (2)	4.34 (2)	0.71 (3)	1009 (3)	-4210 (2)	-619 (3)
53	2	0.53 (2)	3.41 (2)	-0.88 (2)	1504 (3)	-2260 (2)	-1339 (3)
53	3	-1.46 (3)	-2.73 (3)	0.89 (3)	1589 (3)	2024 (3)	-1258 (2)
53	4	-2.35 (3)	-2.31 (3)	1.09 (3)	1743 (3)	1797 (3)	-936 (3)
53	5	0.51 (2)	-4.20 (3)	0.59 (3)	-788 (2)	-6140 (2)	-142 (2)
53	6	0.56 (2)	3.74 (2)	-0.33 (2)	456 (3)	-2788 (2)	-517 (3)
53	7	-1.60 (3)	3.28 (2)	0.49 (3)	1211 (3)	2242 (3)	-505 (2)
53	8	-2.39 (3)	2.89 (2)	0.69 (3)	1642 (3)	2021 (3)	-586 (3)
53	9	0.94 (3)	4.79 (2)	-0.15 (3)	-1181 (3)	-7078 (2)	502 (3)
53	10	-0.72 (3)	4.48 (2)	-0.58 (3)	-467 (2)	-3130 (2)	456 (3)
53	11	-1.86 (3)	3.67 (2)	0.20 (3)	989 (3)	2113 (3)	184 (3)
53	12	-2.42 (3)	3.18 (2)	0.43 (2)	1478 (3)	1844 (3)	-342 (3)

**POTENZIAMENTO DELL'IMPIANTO DI DEPURAZIONE E
DEL RECAPITO FINALE DI SQUINZANO (LE)
PROGETTO DEFINITIVO
Tabulati di calcolo strutturale-Equalizzazione**

R.37.7

Maggio 2021

Pagina 77 di 338

Muro	Pann.	Sxx	Syy	Sxy	Mxx	Myy	Mxy
53	13	2.33(3)	8.18(2)	-2.19(3)	-2157(3)	-7159(2)	1833(3)
53	14	-1.44(3)	5.53(2)	1.06(2)	322(3)	-3407(2)	1611(2)
53	15	-2.20(3)	3.57(2)	1.09(2)	672(3)	2008(3)	1300(2)
53	16	-2.37(3)	-2.83(3)	0.68(2)	1039(3)	1758(3)	478(2)
54	1	-2.90(3)	-2.15(3)	1.38(3)	2209(3)	1272(3)	-759(3)
54	2	-3.16(3)	-1.73(3)	1.40(3)	2970(3)	1160(3)	-914(3)
54	3	-3.62(3)	-1.23(3)	1.49(3)	3468(3)	905(3)	-1008(3)
54	4	-4.24(3)	-0.76(3)	1.56(3)	3321(3)	636(3)	-1174(3)
54	5	-2.87(3)	-2.23(3)	1.15(3)	1987(3)	1193(3)	-397(3)
54	6	-3.18(3)	-1.74(3)	1.10(3)	2490(3)	1042(3)	-627(3)
54	7	-3.66(3)	-1.13(3)	1.17(3)	2863(3)	751(3)	-745(3)
54	8	-4.16(3)	-0.53(3)	1.20(3)	2886(3)	629(3)	-1206(3)
54	9	-2.77(3)	-2.29(3)	0.89(3)	1578(3)	-1249(2)	-347(2)
54	10	-3.16(3)	-1.75(3)	0.76(3)	1678(3)	919(3)	-411(3)
54	11	-3.70(3)	-1.10(3)	0.72(3)	1971(3)	562(3)	-428(3)
54	12	-4.06(3)	0.43(2)	0.86(3)	2323(3)	511(3)	-1073(3)
54	13	-2.65(3)	-2.31(3)	0.47(3)	862(3)	1174(3)	48(2)
54	14	-3.10(3)	-1.67(3)	0.51(4)	815(2)	764(3)	372(2)
54	15	-3.70(3)	-1.30(3)	0.34(2)	1077(2)	514(3)	365(2)
54	16	-4.00(3)	-0.36(3)	0.30(2)	1474(3)	383(1)	-236(3)
55	1	-4.00(3)	-0.80(3)	2.02(3)	2076(3)	-710(3)	-658(4)
55	2	-3.77(3)	0.67(2)	1.68(3)	1124(3)	-1020(3)	-417(3)
55	3	-3.85(3)	-0.28(3)	1.88(3)	687(2)	-95(2)	-573(3)
55	4	-4.14(3)	-0.75(3)	1.75(3)	1385(3)	747(3)	-763(3)
55	5	-4.19(3)	-0.89(3)	1.42(3)	2148(3)	1035(3)	-949(3)
55	6	-4.73(3)	-0.91(3)	1.49(3)	3334(3)	1087(3)	-1295(3)
55	7	-4.28(3)	-0.88(3)	1.63(3)	3720(3)	802(3)	-1442(3)
55	8	-4.13(3)	-0.87(3)	1.75(3)	3921(3)	593(3)	-1442(3)
55	9	-4.45(3)	-0.79(3)	1.93(3)	3465(3)	300(3)	-1089(3)
55	10	-4.22(3)	-0.91(3)	2.05(3)	2848(3)	-223(4)	-747(3)
55	11	-3.81(3)	-0.69(3)	1.67(3)	2073(3)	-103(2)	-1212(3)
55	12	-4.05(3)	-0.81(3)	1.65(3)	2621(3)	495(3)	-1259(3)
55	13	-3.98(3)	-0.92(3)	1.76(3)	3053(3)	203(3)	-1292(3)
56	1	-5.04(3)	-1.37(3)	1.66(3)	3321(3)	587(3)	-918(3)
56	2	-5.03(3)	-1.36(3)	1.40(3)	3663(3)	897(3)	-1009(3)
56	3	-5.23(3)	-1.35(3)	1.28(3)	3756(3)	982(3)	-929(3)
56	4	-5.56(3)	-1.29(3)	1.10(3)	3652(3)	986(3)	-870(3)
56	5	-4.47(3)	-1.43(3)	1.54(3)	2320(3)	549(3)	-693(3)
56	6	-4.84(3)	-1.50(3)	1.41(3)	2259(3)	813(3)	-709(3)
56	7	-5.01(3)	-1.51(3)	1.21(3)	2410(3)	923(3)	-624(3)
56	8	-5.05(3)	-1.41(3)	0.96(3)	2761(3)	1000(3)	-681(3)
57	1	-0.89(3)	0.61(4)	1.19(3)	854(3)	-2109(3)	-672(4)
57	2	-1.79(3)	0.35(2)	0.60(4)	2172(3)	-282(2)	-1146(3)
57	3	-2.13(3)	-0.18(3)	0.56(2)	2563(3)	910(3)	-1107(3)
57	4	-2.83(3)	-0.34(3)	0.65(2)	2430(3)	1591(3)	-945(3)
57	5	-0.99(3)	0.14(2)	0.81(3)	257(3)	-3056(3)	-251(2)
57	6	-1.27(3)	0.16(1)	0.79(3)	845(3)	-636(3)	-568(2)
57	7	-1.80(3)	0.21(1)	0.66(2)	1296(3)	1048(3)	-568(2)
57	8	-2.13(3)	0.27(3)	0.69(2)	1647(3)	2327(3)	-815(3)
57	9	-0.88(3)	0.31(3)	0.65(3)	248(2)	-3049(3)	314(3)
57	10	-1.10(3)	0.32(3)	0.57(4)	502(2)	-858(3)	-441(2)
57	11	-1.35(3)	0.30(3)	0.63(2)	727(2)	825(3)	-469(2)
57	12	-1.41(3)	0.27(3)	0.65(2)	1002(3)	2249(3)	-669(3)
57	13	-0.91(2)	1.07(3)	0.65(3)	244(2)	-2256(3)	213(3)
57	14	-1.09(4)	0.65(3)	0.89(3)	-379(3)	-799(3)	232(3)
57	15	-1.04(4)	0.13(3)	0.82(4)	406(2)	369(4)	194(3)
57	16	-0.98(2)	-0.25(3)	0.65(2)	599(2)	1379(3)	-271(2)
58	1	-2.31(3)	-1.32(3)	0.56(2)	1337(3)	1523(3)	-671(3)
58	2	-2.88(3)	-1.23(3)	0.63(2)	1865(3)	1502(3)	-774(3)
58	3	-3.48(3)	-1.17(3)	0.65(2)	2430(3)	1417(3)	-793(3)
58	4	-3.96(3)	-1.29(3)	0.58(2)	3106(3)	1172(3)	-704(3)
58	5	-3.37(3)	-1.41(3)	0.65(4)	3365(3)	1147(3)	-660(3)
58	6	-3.15(3)	-1.42(3)	0.86(3)	3123(3)	922(3)	-714(3)
58	7	-3.23(3)	-1.43(3)	1.10(3)	2450(3)	413(3)	-489(2)
58	8	-2.58(3)	-1.52(3)	1.14(3)	1462(3)	47(2)	-503(2)
58	9	-1.82(3)	-1.53(3)	0.99(3)	813(4)	65(2)	-444(2)
58	10	-1.16(4)	-1.45(3)	0.69(3)	656(2)	323(3)	-293(2)
58	11	-1.58(3)	-1.50(3)	0.55(4)	767(2)	652(3)	-189(2)
58	12	-1.68(3)	-1.57(3)	0.49(2)	861(2)	958(3)	-148(2)
58	13	-1.48(4)	-1.65(3)	0.38(2)	890(2)	1210(3)	-172(3)
58	14	-1.82(3)	-1.44(3)	0.47(2)	963(2)	1469(3)	-503(3)
58	15	-3.05(3)	-1.35(3)	0.59(2)	2274(3)	1224(3)	-449(4)
58	16	-2.72(3)	-1.44(3)	0.75(3)	1872(3)	805(3)	-449(2)
58	17	-2.16(3)	-1.41(3)	0.53(2)	990(4)	961(3)	-364(2)
58	18	-1.99(3)	-1.46(3)	0.59(4)	888(2)	644(3)	-386(2)
58	19	-2.37(3)	-1.39(3)	0.63(4)	1278(3)	889(3)	-412(2)

**POTENZIAMENTO DELL'IMPIANTO DI DEPURAZIONE E
DEL RECAPITO FINALE DI SQUINZANO (LE)
PROGETTO DEFINITIVO
Tabulati di calcolo strutturale-Equalizzazione**

R.37.7

Maggio 2021

Pagina 78 di 338

Muro	Pann.	Sxx	Syy	Sxy	Mxx	Myy	Mxy
58	20	-1.95 (3)	-1.36 (3)	0.52 (2)	884 (2)	850 (3)	-328 (2)
58	21	-1.93 (3)	-1.37 (3)	0.49 (2)	940 (2)	1163 (3)	-287 (2)
58	22	-2.24 (3)	-1.33 (3)	0.54 (2)	1090 (4)	1225 (3)	-332 (2)
58	23	-2.63 (3)	-1.36 (3)	0.58 (2)	1615 (3)	1241 (3)	-367 (4)
59	1	-0.56 (2)	1.33 (3)	0.08 (2)	546 (2)	-2166 (3)	-246 (4)
59	2	-0.46 (2)	0.75 (3)	-0.37 (3)	774 (2)	-625 (3)	-795 (3)
59	3	-0.58 (2)	0.13 (3)	-0.45 (3)	732 (2)	506 (3)	-684 (3)
59	4	-0.77 (2)	-0.32 (3)	-0.24 (3)	681 (2)	1399 (3)	-372 (2)
59	5	0.67 (3)	0.63 (3)	0.37 (3)	-678 (3)	-3252 (3)	112 (3)
59	6	0.45 (3)	0.47 (3)	0.16 (2)	290 (2)	-863 (3)	-457 (3)
59	7	-0.60 (2)	0.29 (3)	0.14 (2)	497 (2)	917 (3)	-359 (4)
59	8	-0.77 (2)	0.17 (3)	0.13 (2)	671 (2)	2253 (3)	-258 (2)
59	9	1.41 (3)	0.49 (3)	0.51 (3)	-1422 (3)	-3714 (3)	-75 (3)
59	10	0.66 (3)	0.32 (3)	0.21 (1)	-872 (3)	-541 (3)	-538 (3)
59	11	-0.61 (2)	0.15 (2)	0.22 (2)	-460 (3)	1190 (3)	-218 (2)
59	12	-0.72 (2)	0.09 (2)	0.20 (2)	565 (2)	2403 (3)	-188 (2)
59	13	2.19 (3)	0.58 (2)	0.59 (3)	-1976 (3)	-1942 (3)	142 (2)
59	14	0.73 (3)	-0.37 (3)	0.73 (3)	-843 (3)	-216 (2)	583 (3)
59	15	-0.51 (2)	-0.75 (3)	0.48 (2)	203 (2)	1133 (3)	666 (3)
59	16	-0.64 (2)	-1.03 (3)	0.25 (2)	449 (2)	1788 (3)	375 (3)
60	1	-1.02 (2)	-1.41 (3)	0.23 (2)	587 (2)	449 (3)	-220 (2)
60	2	-1.14 (2)	-1.44 (3)	0.18 (2)	695 (2)	874 (3)	-296 (2)
60	3	-1.23 (2)	-1.52 (3)	0.17 (2)	773 (4)	1099 (3)	-256 (2)
60	4	-1.32 (2)	-1.55 (3)	0.17 (2)	815 (2)	1221 (3)	-164 (2)
60	5	-1.02 (2)	-1.58 (3)	0.20 (2)	532 (2)	187 (3)	-125 (2)
60	6	-1.10 (2)	-1.53 (3)	0.18 (2)	637 (2)	866 (3)	-133 (2)
60	7	-1.21 (2)	-1.47 (3)	0.15 (2)	734 (2)	1171 (3)	112 (3)
60	8	-1.29 (2)	-1.41 (3)	-0.20 (3)	816 (2)	1316 (3)	-75 (2)
60	9	-0.95 (2)	-1.71 (3)	0.19 (2)	484 (2)	360 (3)	-119 (2)
60	10	-1.05 (2)	-1.62 (3)	-0.18 (3)	599 (2)	934 (3)	203 (3)
60	11	-1.17 (2)	-1.53 (3)	-0.24 (3)	708 (2)	1173 (3)	241 (3)
60	12	-1.26 (2)	-1.46 (3)	-0.28 (3)	795 (2)	1250 (3)	186 (3)
60	13	-0.86 (2)	-1.82 (3)	-0.26 (3)	494 (2)	815 (3)	224 (3)
60	14	-1.01 (2)	-1.71 (3)	-0.31 (3)	638 (2)	1052 (3)	406 (3)
60	15	-1.13 (2)	-1.64 (3)	-0.33 (3)	725 (2)	1120 (3)	370 (3)
60	16	-1.23 (2)	-1.60 (3)	-0.35 (3)	773 (2)	1123 (3)	280 (3)
61	1	3.13 (3)	11.39 (2)	4.35 (3)	-1822 (3)	-10907 (2)	-3405 (3)
61	2	-1.09 (3)	9.11 (2)	-2.12 (2)	675 (3)	-6232 (2)	-1112 (2)
61	3	1.44 (2)	-7.13 (3)	-2.18 (2)	-771 (3)	4957 (3)	-890 (2)
61	4	1.37 (2)	-7.61 (3)	2.45 (3)	-719 (3)	3936 (3)	-1705 (3)
61	5	0.49 (2)	-8.45 (3)	0.88 (3)	-1198 (2)	-11838 (2)	-636 (3)
61	6	1.08 (2)	7.67 (2)	1.94 (3)	-851 (2)	-6243 (2)	-1453 (3)
61	7	1.07 (2)	-7.70 (3)	1.84 (3)	-697 (2)	5020 (3)	-1314 (3)
61	8	1.17 (2)	-7.72 (3)	2.47 (3)	-222 (2)	3613 (3)	-1412 (3)
61	9	0.94 (2)	-8.42 (3)	0.57 (3)	-1452 (2)	-10958 (2)	-461 (3)
61	10	0.98 (2)	-8.06 (3)	1.18 (3)	-922 (2)	-5933 (2)	-1115 (3)
61	11	0.95 (2)	-7.72 (3)	1.76 (3)	-585 (2)	4799 (3)	-1241 (3)
61	12	1.05 (2)	-7.35 (3)	2.04 (3)	654 (3)	3860 (3)	-938 (3)
61	13	-0.99 (3)	9.08 (2)	0.70 (2)	-873 (2)	-8451 (2)	569 (2)
61	14	-0.84 (3)	-8.09 (3)	1.27 (2)	730 (3)	-5271 (2)	1368 (2)
61	15	1.03 (2)	-7.75 (3)	1.27 (4)	1114 (3)	4826 (3)	1303 (2)
61	16	-1.30 (3)	-7.27 (3)	1.34 (3)	1140 (3)	4192 (3)	-703 (3)
62	1	-1.26 (3)	-4.68 (3)	2.07 (3)	-183 (4)	4777 (3)	-1216 (3)
62	2	-2.11 (3)	-3.79 (3)	1.97 (3)	-1441 (3)	2092 (3)	-858 (2)
62	3	-2.11 (3)	-2.69 (3)	1.97 (3)	-2324 (3)	505 (3)	-901 (2)
62	4	-1.90 (3)	-1.69 (3)	1.60 (3)	-960 (3)	-828 (3)	-460 (2)
62	5	-1.09 (3)	-4.11 (3)	1.83 (3)	886 (3)	5979 (3)	-2411 (3)
62	6	-1.90 (3)	-3.78 (3)	1.48 (3)	842 (3)	2740 (3)	-1823 (3)
62	7	-1.97 (3)	-3.30 (3)	1.22 (3)	867 (3)	717 (3)	-1207 (3)
62	8	-2.02 (3)	-2.84 (3)	1.28 (3)	831 (3)	-1114 (3)	452 (3)
62	9	-1.31 (3)	-4.94 (3)	1.17 (3)	1500 (3)	5451 (3)	-1804 (3)
62	10	-1.62 (3)	-4.32 (3)	1.12 (3)	2039 (3)	3377 (3)	-1546 (3)
62	11	-1.85 (3)	-3.82 (3)	0.85 (3)	2215 (3)	1521 (3)	-1012 (3)
62	12	-2.35 (3)	-3.36 (3)	0.93 (3)	1763 (3)	809 (2)	383 (3)
62	13	-1.44 (3)	-5.86 (3)	0.69 (3)	1935 (3)	4627 (3)	-1216 (3)
62	14	-1.44 (3)	-4.95 (3)	0.90 (2)	3013 (3)	3549 (3)	-1396 (3)
62	15	-1.75 (3)	-4.04 (3)	0.79 (2)	3453 (3)	2392 (3)	-1188 (3)
62	16	-2.56 (3)	-3.33 (3)	0.37 (2)	2720 (3)	1197 (3)	185 (2)
63	1	-1.14 (3)	-1.11 (3)	-1.61 (3)	-883 (3)	-961 (2)	649 (3)
63	2	-0.94 (3)	-1.33 (3)	-0.96 (3)	-2151 (3)	488 (3)	443 (3)
63	3	-1.05 (3)	-1.60 (3)	-0.74 (3)	-1445 (3)	849 (3)	388 (3)
63	4	-0.82 (2)	-1.76 (3)	-0.43 (3)	-475 (3)	1262 (3)	560 (3)
63	5	-1.65 (3)	-1.57 (3)	-1.39 (3)	856 (3)	-1142 (2)	-192 (3)
63	6	-1.38 (3)	-1.72 (3)	-0.91 (3)	496 (2)	906 (3)	1109 (3)
63	7	-1.29 (3)	-1.74 (3)	-0.61 (3)	482 (2)	1137 (3)	996 (3)
63	8	-1.14 (3)	-1.77 (3)	-0.30 (4)	648 (2)	1419 (4)	1164 (3)

**POTENZIAMENTO DELL'IMPIANTO DI DEPURAZIONE E
DEL RECAPITO FINALE DI SQUINZANO (LE)
PROGETTO DEFINITIVO
Tabulati di calcolo strutturale-Equalizzazione**

R.37.7

Maggio 2021

Pagina 79 di 338

Muro	Pann.	Sxx	Syy	Sxy	Mxx	Myy	Mxy
63	9	-2.21 (3)	-1.84 (3)	-1.16 (3)	1826 (3)	1454 (3)	-295 (3)
63	10	-1.71 (3)	-2.02 (3)	-0.82 (3)	1906 (3)	1168 (3)	722 (3)
63	11	-1.56 (3)	-2.01 (3)	-0.64 (3)	1650 (3)	1229 (3)	870 (3)
63	12	-1.67 (3)	-1.95 (3)	-0.32 (3)	1297 (3)	1235 (4)	1135 (3)
63	13	-2.58 (3)	-2.28 (3)	-0.77 (3)	2698 (3)	1774 (3)	151 (2)
63	14	-1.82 (3)	-2.25 (3)	-0.85 (3)	3273 (3)	1583 (3)	465 (2)
63	15	-1.73 (3)	-2.14 (3)	-0.72 (3)	2980 (3)	1445 (3)	504 (4)
63	16	-2.11 (3)	-2.04 (3)	-0.51 (3)	2139 (3)	1199 (3)	643 (3)
64	1	-0.98 (2)	-1.94 (3)	-0.79 (3)	439 (2)	1059 (3)	265 (3)
64	2	-1.20 (4)	-1.82 (3)	-0.67 (3)	494 (2)	1022 (3)	421 (3)
64	3	-1.28 (4)	-1.75 (3)	-0.53 (3)	603 (2)	974 (3)	399 (3)
64	4	-1.30 (2)	-1.72 (3)	-0.38 (3)	723 (2)	942 (3)	406 (3)
64	5	-1.18 (4)	-1.91 (3)	-1.13 (3)	605 (2)	1142 (3)	269 (3)
64	6	-1.34 (3)	-1.77 (3)	-0.76 (3)	678 (2)	1118 (3)	578 (3)
64	7	-1.40 (3)	-1.72 (3)	-0.57 (3)	753 (2)	1006 (3)	532 (3)
64	8	-1.40 (4)	-1.68 (3)	-0.34 (3)	826 (2)	917 (4)	610 (3)
64	9	-1.70 (3)	-1.76 (3)	-1.19 (3)	1183 (3)	1288 (3)	265 (3)
64	10	-1.62 (3)	-1.76 (3)	-0.82 (3)	1219 (3)	1151 (3)	585 (3)
64	11	-1.61 (3)	-1.70 (3)	-0.63 (3)	1167 (3)	1005 (3)	538 (3)
64	12	-1.69 (3)	-1.64 (3)	-0.39 (3)	1070 (3)	844 (4)	661 (3)
64	13	-2.14 (3)	-1.80 (3)	-1.01 (3)	1884 (3)	1307 (3)	326 (3)
64	14	-1.81 (3)	-1.73 (3)	-0.90 (3)	2183 (3)	1199 (3)	437 (3)
64	15	-1.81 (3)	-1.63 (3)	-0.70 (3)	2052 (3)	1063 (3)	352 (3)
64	16	-2.00 (3)	-1.56 (3)	-0.51 (3)	1633 (3)	852 (3)	442 (3)
65	1	-1.41 (3)	8.62 (2)	-0.63 (2)	-919 (2)	-8014 (2)	-520 (2)
65	2	-1.48 (3)	-7.87 (3)	-1.21 (2)	-848 (2)	-5093 (2)	-1055 (2)
65	3	-1.72 (3)	-7.59 (3)	-1.17 (2)	738 (3)	4780 (3)	-932 (2)
65	4	-1.92 (3)	-7.17 (3)	0.81 (3)	1000 (3)	4411 (3)	-453 (3)
65	5	-1.71 (3)	-7.77 (3)	-0.18 (3)	-1298 (2)	-9416 (2)	-169 (4)
65	6	-1.74 (3)	-7.54 (3)	-0.15 (2)	866 (3)	-5263 (2)	-159 (3)
65	7	-1.97 (3)	-7.21 (3)	-0.16 (2)	1201 (3)	4885 (3)	-245 (3)
65	8	-2.32 (3)	-6.84 (3)	0.36 (3)	1458 (3)	4599 (3)	335 (2)
65	9	-1.87 (3)	-7.33 (3)	-0.46 (3)	-1158 (2)	-8914 (2)	-211 (2)
65	10	-1.87 (3)	-7.15 (3)	-0.41 (3)	1091 (3)	-4931 (2)	247 (3)
65	11	-2.17 (3)	-6.85 (3)	-0.34 (3)	1480 (3)	4798 (3)	166 (3)
65	12	-2.60 (3)	-6.48 (3)	0.27 (2)	1733 (3)	4724 (3)	233 (2)
65	13	-1.91 (3)	7.11 (2)	0.61 (2)	1397 (3)	-6799 (2)	479 (3)
65	14	-1.85 (3)	-6.57 (3)	1.09 (2)	1629 (3)	-4155 (2)	987 (3)
65	15	-2.24 (3)	-6.60 (3)	0.99 (2)	1679 (3)	4391 (3)	957 (2)
65	16	-2.71 (3)	-6.39 (3)	-0.73 (3)	1787 (3)	4373 (3)	628 (3)
66	1	-2.44 (3)	-6.26 (3)	0.78 (3)	1089 (3)	4243 (3)	-452 (3)
66	2	-3.12 (3)	-5.44 (3)	1.03 (3)	964 (3)	3355 (3)	-582 (2)
66	3	-3.65 (3)	-4.53 (3)	1.00 (3)	1073 (3)	2443 (3)	-486 (2)
66	4	-3.71 (3)	-3.78 (3)	0.62 (3)	1563 (3)	1582 (3)	68 (5-I-1)
66	5	-2.72 (3)	-6.03 (3)	-0.50 (2)	1727 (3)	4542 (3)	-451 (3)
66	6	-3.19 (3)	-5.42 (3)	-0.39 (2)	1880 (3)	3632 (3)	-361 (3)
66	7	-3.54 (3)	-4.81 (3)	-0.42 (2)	2010 (3)	2653 (3)	-265 (3)
66	8	-3.80 (3)	-4.39 (3)	-0.42 (2)	2101 (3)	1556 (4)	363 (2)
66	9	-2.95 (3)	-6.03 (3)	-0.41 (3)	2045 (3)	4338 (3)	-118 (3)
66	10	-3.27 (3)	-5.49 (3)	-0.29 (3)	2385 (3)	3710 (3)	342 (2)
66	11	-3.62 (3)	-4.97 (3)	-0.29 (2)	2552 (3)	2871 (3)	408 (2)
66	12	-4.05 (3)	-4.50 (3)	-0.35 (2)	2517 (3)	1819 (3)	409 (4)
66	13	-3.07 (3)	-6.12 (3)	-0.91 (3)	2144 (3)	3984 (3)	385 (2)
66	14	-3.37 (3)	-5.56 (3)	-0.84 (3)	2683 (3)	3599 (3)	950 (2)
66	15	-3.74 (3)	-4.95 (3)	-0.73 (3)	3027 (3)	3016 (3)	931 (2)
66	16	-4.28 (3)	-4.35 (3)	-0.56 (3)	2949 (3)	2255 (3)	613 (2)
67	1	-3.70 (3)	-2.79 (3)	-0.56 (2)	1645 (3)	2025 (3)	157 (2)
67	2	-3.90 (3)	-2.63 (3)	-0.67 (2)	1053 (3)	1507 (3)	531 (3)
67	3	-3.77 (3)	-2.48 (3)	-0.66 (2)	946 (3)	1198 (3)	545 (3)
67	4	-3.33 (3)	-2.37 (3)	-0.56 (2)	1314 (3)	950 (3)	589 (3)
67	5	-3.84 (3)	-2.93 (3)	-0.66 (4)	2328 (3)	2632 (3)	304 (2)
67	6	-3.94 (3)	-2.78 (3)	-0.57 (2)	2176 (3)	1847 (3)	372 (2)
67	7	-3.86 (3)	-2.69 (3)	-0.58 (2)	2041 (3)	1304 (3)	403 (4)
67	8	-3.72 (3)	-2.67 (3)	-0.57 (2)	2002 (3)	1012 (2)	699 (3)
67	9	-4.13 (3)	-3.13 (3)	-0.81 (3)	2787 (3)	2778 (3)	318 (2)
67	10	-4.07 (3)	-2.99 (3)	-0.65 (4)	2888 (3)	2060 (3)	424 (2)
67	11	-4.06 (3)	-2.85 (3)	-0.59 (2)	2810 (3)	1476 (3)	439 (2)
67	12	-4.17 (3)	-2.72 (3)	-0.60 (2)	2597 (3)	957 (2)	679 (3)
67	13	-4.41 (3)	-3.41 (3)	-0.91 (3)	3210 (3)	2546 (3)	446 (2)
67	14	-4.20 (3)	-3.13 (3)	-0.86 (3)	3628 (3)	2121 (3)	587 (2)
67	15	-4.25 (3)	-2.83 (3)	-0.71 (3)	3661 (3)	1703 (3)	583 (2)
67	16	-4.56 (3)	-2.58 (3)	-0.63 (2)	3254 (3)	1207 (3)	465 (4)
68	1	-3.17 (3)	-1.91 (3)	-0.79 (3)	1344 (3)	1354 (3)	326 (4)
68	2	-3.39 (3)	-1.82 (3)	-0.59 (4)	931 (2)	1016 (3)	559 (3)
68	3	-3.31 (3)	-1.74 (3)	-0.46 (4)	978 (2)	812 (3)	493 (3)
68	4	-2.91 (3)	-1.70 (3)	-0.38 (2)	1133 (3)	712 (4)	510 (3)

**POTENZIAMENTO DELL'IMPIANTO DI DEPURAZIONE E
DEL RECAPITO FINALE DI SQUINZANO (LE)
PROGETTO DEFINITIVO
Tabulati di calcolo strutturale-Equalizzazione**

R.37.7

Maggio 2021

Pagina 80 di 338

Muro	Pann.	Sxx	Syy	Sxy	Mxx	Myy	Mxy
68	5	-3.58 (3)	-1.83 (3)	-0.96 (3)	2069 (3)	1673 (3)	360 (2)
68	6	-3.62 (3)	-1.78 (3)	-0.65 (3)	1867 (3)	1179 (3)	376 (4)
68	7	-3.54 (3)	-1.76 (3)	-0.49 (4)	1759 (3)	832 (3)	371 (3)
68	8	-3.37 (3)	-1.79 (3)	-0.44 (2)	1779 (3)	643 (2)	634 (3)
68	9	-4.07 (3)	-1.83 (3)	-1.00 (3)	2685 (3)	1743 (3)	390 (2)
68	10	-3.92 (3)	-1.83 (3)	-0.66 (3)	2704 (3)	1280 (3)	354 (2)
68	11	-3.85 (3)	-1.79 (3)	-0.51 (4)	2610 (3)	911 (3)	344 (4)
68	12	-3.91 (3)	-1.73 (3)	-0.48 (2)	2432 (3)	573 (2)	632 (3)
68	13	-4.51 (3)	-1.97 (3)	-0.88 (3)	3322 (3)	1577 (3)	386 (2)
68	14	-4.15 (3)	-1.86 (3)	-0.75 (3)	3693 (3)	1329 (3)	351 (2)
68	15	-4.11 (3)	-1.72 (3)	-0.58 (4)	3659 (3)	1075 (3)	338 (2)
68	16	-4.38 (3)	-1.59 (3)	-0.50 (2)	3190 (3)	747 (3)	355 (3)
69	1	-2.52 (3)	6.49 (2)	-1.41 (3)	-666 (2)	-6136 (2)	-481 (2)
69	2	-2.75 (3)	-6.05 (3)	-1.97 (3)	-650 (2)	-3807 (2)	-843 (2)
69	3	-2.70 (3)	-6.09 (3)	-1.94 (3)	1204 (3)	4114 (3)	652 (3)
69	4	-2.90 (3)	-5.90 (3)	-1.69 (3)	1746 (3)	4408 (3)	806 (3)
69	5	-2.23 (3)	-5.68 (3)	-1.82 (3)	-906 (2)	-6871 (2)	220 (3)
69	6	-2.38 (3)	-5.48 (3)	-2.01 (3)	988 (3)	-3650 (2)	1632 (3)
69	7	-2.73 (3)	-5.24 (3)	-2.18 (3)	1558 (3)	4169 (3)	1547 (3)
69	8	-3.09 (3)	-4.91 (3)	-2.17 (3)	2054 (3)	4808 (3)	1379 (3)
69	9	-1.98 (3)	-4.91 (3)	-2.10 (3)	793 (3)	-5988 (2)	347 (3)
69	10	-2.09 (3)	-4.79 (3)	-2.38 (3)	1331 (3)	-3099 (2)	2145 (3)
69	11	-2.58 (3)	-4.51 (3)	-2.61 (3)	1883 (3)	3862 (3)	2056 (3)
69	12	-3.15 (3)	-4.20 (3)	-2.63 (3)	2240 (3)	4590 (3)	1713 (3)
69	13	-1.54 (3)	3.96 (2)	-1.80 (3)	1853 (3)	-4068 (2)	1263 (3)
69	14	-1.53 (3)	-3.75 (3)	-2.54 (3)	2410 (3)	2340 (3)	2931 (3)
69	15	-2.43 (3)	-3.97 (3)	-2.82 (3)	2034 (3)	3055 (3)	2757 (3)
69	16	-3.13 (3)	-3.95 (3)	-2.97 (3)	2061 (3)	3467 (3)	2143 (3)
70	1	-3.35 (3)	-5.99 (3)	-1.36 (3)	2086 (3)	3600 (3)	837 (3)
70	2	-3.82 (3)	-5.45 (3)	-1.28 (2)	2455 (3)	3405 (3)	648 (3)
70	3	-4.35 (3)	-4.84 (3)	-1.30 (2)	2658 (3)	2961 (3)	554 (3)
70	4	-4.77 (3)	-4.25 (3)	-1.10 (2)	2825 (3)	2382 (3)	514 (3)
70	5	-3.62 (3)	-5.57 (3)	-1.88 (3)	2282 (3)	3247 (3)	1216 (3)
70	6	-4.05 (3)	-5.07 (3)	-1.64 (3)	2708 (3)	3271 (3)	883 (3)
70	7	-4.53 (3)	-4.56 (3)	-1.43 (3)	2989 (3)	2895 (3)	750 (4)
70	8	-5.03 (3)	-4.12 (3)	-1.20 (4)	3113 (3)	2272 (3)	660 (4)
70	9	-3.80 (3)	-5.11 (3)	-2.31 (3)	2314 (3)	2807 (3)	1542 (3)
70	10	-4.27 (3)	-4.66 (3)	-2.14 (3)	2708 (3)	3001 (3)	1194 (3)
70	11	-4.78 (3)	-4.23 (3)	-1.86 (3)	3031 (3)	2716 (3)	988 (3)
70	12	-5.29 (3)	-3.81 (3)	-1.61 (3)	3244 (3)	2213 (3)	813 (3)
70	13	-3.86 (3)	-4.56 (3)	-2.72 (3)	2021 (3)	2520 (3)	1792 (3)
70	14	-4.51 (3)	-4.32 (3)	-2.50 (3)	2199 (3)	2632 (3)	1571 (3)
70	15	-5.05 (3)	-3.93 (3)	-2.31 (3)	2608 (3)	2399 (3)	1383 (3)
70	16	-5.50 (3)	-3.42 (3)	-2.02 (3)	3113 (3)	2010 (3)	1126 (3)
71	1	-5.07 (3)	-3.53 (3)	-0.86 (4)	2879 (3)	2388 (3)	554 (2)
71	2	-5.31 (3)	-3.22 (3)	-0.90 (2)	2742 (3)	1958 (3)	534 (3)
71	3	-5.46 (3)	-2.89 (3)	-0.93 (2)	2715 (3)	1585 (3)	487 (4)
71	4	-5.41 (3)	-2.60 (3)	-0.91 (2)	2909 (3)	1221 (3)	458 (3)
71	5	-5.32 (3)	-3.31 (3)	-1.08 (3)	3307 (3)	2517 (3)	829 (2)
71	6	-5.49 (3)	-3.07 (3)	-0.93 (4)	3395 (3)	2008 (3)	658 (2)
71	7	-5.61 (3)	-2.84 (3)	-0.92 (2)	3413 (3)	1564 (3)	579 (2)
71	8	-5.74 (3)	-2.68 (3)	-1.09 (2)	3401 (3)	1072 (3)	504 (3)
71	9	-5.55 (3)	-3.16 (3)	-1.35 (3)	3516 (3)	2325 (3)	860 (2)
71	10	-5.69 (3)	-2.94 (3)	-1.16 (3)	3713 (3)	1944 (3)	675 (2)
71	11	-5.86 (3)	-2.72 (3)	-0.99 (4)	3792 (3)	1543 (3)	608 (2)
71	12	-6.10 (3)	-2.51 (3)	-1.14 (2)	3753 (3)	1091 (3)	552 (3)
71	13	-5.75 (3)	-2.99 (3)	-1.60 (3)	3489 (3)	1958 (3)	881 (3)
71	14	-5.92 (3)	-2.80 (3)	-1.40 (3)	3656 (3)	1770 (3)	658 (4)
71	15	-6.11 (3)	-2.53 (3)	-1.24 (3)	3854 (3)	1498 (3)	639 (4)
71	16	-6.38 (3)	-2.22 (3)	-1.06 (4)	3932 (3)	1143 (3)	581 (3)
72	1	-5.44 (3)	-2.09 (3)	-0.63 (3)	2884 (3)	1455 (3)	522 (2)
72	2	-5.64 (3)	-1.95 (3)	-0.54 (2)	2522 (3)	1123 (3)	428 (4)
72	3	-5.65 (3)	-1.79 (3)	-0.58 (2)	2445 (3)	888 (3)	372 (4)
72	4	-5.39 (3)	-1.67 (3)	-0.62 (2)	2726 (3)	702 (3)	375 (3)
72	5	-5.78 (3)	-1.96 (3)	-0.81 (3)	3496 (3)	1633 (3)	746 (2)
72	6	-5.85 (3)	-1.86 (3)	-0.60 (4)	3446 (3)	1220 (3)	445 (2)
72	7	-5.85 (3)	-1.77 (3)	-0.64 (2)	3400 (3)	913 (3)	351 (2)
72	8	-5.82 (3)	-1.74 (3)	-0.84 (2)	3385 (3)	602 (3)	446 (3)
72	9	-6.14 (3)	-1.89 (3)	-0.90 (3)	3908 (3)	1548 (3)	803 (2)
72	10	-6.09 (3)	-1.82 (3)	-0.66 (3)	4036 (3)	1241 (3)	439 (2)
72	11	-6.14 (3)	-1.73 (3)	-0.64 (2)	4040 (3)	953 (3)	351 (2)
72	12	-6.29 (3)	-1.61 (3)	-0.90 (2)	3917 (3)	630 (3)	433 (3)
72	13	-6.43 (3)	-1.83 (3)	-0.92 (3)	4139 (3)	1302 (3)	525 (2)
72	14	-6.31 (3)	-1.77 (3)	-0.75 (3)	4373 (3)	1192 (3)	309 (4)
72	15	-6.37 (3)	-1.62 (3)	-0.71 (2)	4469 (3)	1003 (3)	354 (2)
72	16	-6.65 (3)	-1.41 (3)	-0.75 (2)	4316 (3)	716 (3)	333 (3)

**POTENZIAMENTO DELL'IMPIANTO DI DEPURAZIONE E
DEL RECAPITO FINALE DI SQUINZANO (LE)
PROGETTO DEFINITIVO
Tabulati di calcolo strutturale-Equalizzazione**

R.37.7

Maggio 2021

Pagina 81 di 338

Muro	Pann.	Sxx	Syy	Sxy	Mxx	Myy	Mxy
73	1	-2.41 (3)	3.18 (2)	-2.68 (3)	-387 (2)	-2878 (2)	1029 (3)
73	2	-2.79 (3)	-2.86 (3)	-4.07 (3)	-360 (2)	-1685 (2)	2411 (3)
73	3	-2.52 (3)	-3.26 (3)	-4.35 (3)	1630 (3)	2341 (3)	2366 (3)
73	4	-2.90 (3)	-3.32 (3)	-4.13 (3)	2158 (3)	2819 (3)	2106 (3)
73	5	-1.34 (3)	1.90 (2)	-2.84 (3)	665 (3)	-2446 (2)	1101 (3)
73	6	-1.70 (3)	-1.97 (3)	-3.48 (3)	1261 (3)	-1179 (2)	3630 (3)
73	7	-2.22 (3)	-2.26 (3)	-4.09 (3)	1695 (3)	1963 (3)	3478 (3)
73	8	-2.66 (3)	-2.33 (3)	-4.54 (3)	1973 (3)	2535 (3)	2518 (3)
73	9	0.61 (2)	1.11 (2)	-2.41 (3)	579 (3)	-1154 (2)	1289 (3)
73	10	-0.97 (3)	-1.13 (3)	-2.92 (3)	1173 (3)	1041 (3)	3765 (3)
73	11	-1.30 (3)	-1.69 (3)	-3.57 (3)	1255 (3)	1352 (3)	3794 (3)
73	12	-1.92 (3)	-2.30 (3)	-4.45 (3)	1263 (3)	845 (3)	2606 (3)
73	13	0.68 (2)	0.42 (2)	-1.25 (3)	651 (3)	599 (3)	587 (3)
73	14	0.87 (2)	0.55 (2)	-2.12 (3)	-678 (2)	541 (3)	1665 (3)
73	15	1.12 (2)	-1.02 (3)	-2.68 (3)	-1060 (2)	564 (3)	1717 (3)
73	16	1.63 (2)	-1.83 (3)	-2.91 (3)	-1253 (2)	-381 (2)	1458 (3)
74	1	-3.11 (3)	-3.74 (3)	-3.13 (3)	2999 (3)	2351 (3)	2334 (3)
74	2	-3.06 (3)	-3.63 (3)	-2.99 (3)	4270 (3)	2623 (3)	1894 (3)
74	3	-3.67 (3)	-3.37 (3)	-2.81 (3)	4658 (3)	2344 (3)	1682 (3)
74	4	-4.86 (3)	-2.95 (3)	-2.59 (3)	4116 (3)	1794 (3)	1129 (3)
74	5	-2.99 (3)	-2.82 (3)	-3.05 (3)	2489 (3)	2038 (3)	3198 (3)
74	6	-3.16 (3)	-2.84 (3)	-3.12 (3)	3318 (3)	2186 (3)	2441 (3)
74	7	-3.81 (3)	-2.82 (3)	-3.04 (3)	3649 (3)	1761 (3)	1947 (3)
74	8	-4.72 (3)	-2.62 (3)	-3.20 (3)	3478 (3)	1192 (3)	872 (3)
74	9	-2.46 (3)	-1.52 (3)	-2.82 (3)	1650 (3)	2345 (3)	3566 (3)
74	10	-3.24 (3)	-1.92 (3)	-2.95 (3)	1811 (3)	1478 (3)	2756 (3)
74	11	-3.73 (3)	-2.22 (3)	-2.87 (3)	2036 (3)	973 (3)	2223 (3)
74	12	-4.18 (3)	-2.66 (3)	-3.34 (3)	2300 (3)	-447 (2)	934 (3)
74	13	1.80 (2)	-1.06 (3)	-2.12 (3)	-2051 (2)	1620 (3)	1905 (3)
74	14	-3.19 (3)	-1.49 (3)	-2.56 (3)	-3328 (2)	-626 (2)	974 (3)
74	15	-3.74 (3)	-1.79 (3)	-2.49 (3)	-4048 (2)	-680 (2)	787 (3)
74	16	3.51 (2)	-2.27 (3)	-2.35 (3)	-3606 (2)	-541 (2)	564 (3)
75	1	-5.42 (3)	-2.51 (3)	-1.46 (3)	4168 (3)	1793 (3)	1331 (3)
75	2	-5.14 (3)	-2.46 (3)	-1.36 (3)	4902 (3)	1757 (3)	961 (3)
75	3	-5.46 (3)	-2.25 (3)	-1.33 (3)	4956 (3)	1497 (3)	825 (3)
75	4	-6.18 (3)	-1.93 (3)	-1.31 (4)	4477 (3)	1088 (3)	482 (3)
75	5	-5.16 (3)	-1.99 (3)	-1.21 (3)	3754 (3)	1736 (3)	1837 (3)
75	6	-5.11 (3)	-2.03 (3)	-1.47 (3)	4287 (3)	1516 (3)	1099 (3)
75	7	-5.42 (3)	-1.97 (3)	-1.56 (3)	4391 (3)	1143 (3)	838 (3)
75	8	-6.00 (3)	-1.82 (3)	-1.78 (4)	4118 (3)	736 (3)	-480 (2)
75	9	-4.46 (3)	-1.41 (3)	-1.08 (3)	2879 (3)	1900 (3)	2189 (3)
75	10	-4.95 (3)	-1.52 (3)	-1.40 (3)	3036 (3)	1116 (3)	1290 (3)
75	11	-5.21 (3)	-1.64 (3)	-1.50 (3)	3155 (3)	670 (3)	980 (3)
75	12	-5.46 (3)	-1.84 (3)	-1.94 (3)	3231 (3)	-565 (2)	-676 (2)
75	13	3.93 (2)	-1.39 (3)	-0.94 (3)	-4032 (2)	1461 (3)	1172 (3)
75	14	-4.78 (3)	-1.37 (3)	-1.28 (3)	-5557 (2)	-742 (2)	370 (3)
75	15	-5.08 (3)	-1.40 (3)	-1.31 (3)	-5893 (2)	-864 (2)	280 (3)
75	16	4.87 (2)	-1.62 (3)	-1.34 (3)	-4839 (2)	-632 (2)	-364 (2)
76	1	-6.41 (3)	-1.62 (3)	-0.64 (3)	4468 (3)	1179 (3)	763 (4)
76	2	-6.14 (3)	-1.64 (3)	-0.61 (3)	4902 (3)	1164 (3)	471 (4)
76	3	-6.30 (3)	-1.51 (3)	-0.68 (4)	4898 (3)	1001 (3)	436 (4)
76	4	-6.76 (3)	-1.27 (3)	-0.96 (2)	4565 (3)	710 (3)	198 (3)
76	5	-6.19 (3)	-1.36 (3)	0.61 (2)	4258 (3)	1176 (3)	1319 (2)
76	6	-6.05 (3)	-1.41 (3)	-0.65 (3)	4644 (3)	1045 (3)	495 (3)
76	7	-6.20 (3)	-1.38 (3)	-0.80 (4)	4682 (3)	834 (3)	360 (3)
76	8	-6.61 (3)	-1.26 (3)	-1.58 (2)	4418 (3)	564 (3)	-731 (2)
76	9	-5.59 (3)	-1.11 (3)	0.82 (2)	3538 (3)	1208 (3)	1375 (2)
76	10	-5.82 (3)	-1.13 (3)	-0.63 (3)	3673 (3)	804 (3)	591 (3)
76	11	-5.96 (3)	-1.19 (3)	-0.77 (3)	3736 (3)	573 (3)	423 (3)
76	12	-6.12 (3)	-1.31 (3)	-1.67 (2)	3739 (3)	-488 (2)	-889 (2)
76	13	5.09 (2)	-1.10 (3)	0.42 (2)	-5039 (2)	920 (3)	686 (3)
76	14	-5.62 (3)	-1.05 (3)	-0.59 (3)	-6626 (2)	-880 (2)	160 (3)
76	15	-5.78 (3)	-1.08 (3)	-0.66 (3)	-6785 (2)	-951 (2)	123 (3)
76	16	5.70 (2)	-1.23 (3)	-0.91 (2)	-5529 (2)	-525 (2)	-426 (2)
77	1	-0.28 (2)	-1.86 (3)	-0.20 (3)	-391 (3)	511 (2)	-240 (3)
77	2	-0.42 (3)	-2.17 (3)	-0.32 (3)	473 (2)	1292 (3)	-203 (3)
77	3	-0.49 (3)	-2.46 (3)	-0.27 (3)	560 (2)	1686 (3)	-111 (3)
77	4	-0.49 (2)	-2.57 (3)	-0.14 (3)	463 (2)	1949 (3)	-46 (2)
77	5	-0.34 (2)	-2.31 (3)	-0.25 (3)	281 (2)	354 (2)	255 (2)
77	6	-0.40 (3)	-2.33 (3)	-0.12 (5-I-1)	520 (2)	1474 (3)	402 (3)
77	7	-0.51 (3)	-2.39 (3)	-0.13 (4)	613 (2)	1824 (3)	395 (3)
77	8	-0.55 (3)	-2.44 (3)	-0.18 (2)	525 (4)	2159 (3)	183 (3)
77	9	-0.46 (3)	-2.63 (3)	-0.21 (3)	223 (2)	1061 (3)	396 (2)
77	10	-0.46 (3)	-2.59 (3)	-0.15 (3)	398 (3)	1566 (3)	751 (3)
77	11	-0.52 (3)	-2.46 (3)	-0.13 (1)	660 (3)	1692 (3)	636 (3)
77	12	-0.46 (3)	-2.47 (3)	-0.19 (2)	558 (3)	1848 (3)	-261 (2)

**POTENZIAMENTO DELL'IMPIANTO DI DEPURAZIONE E
DEL RECAPITO FINALE DI SQUINZANO (LE)
PROGETTO DEFINITIVO
Tabulati di calcolo strutturale-Equalizzazione**

R.37.7

Maggio 2021

Pagina 82 di 338

Muro	Pann.	Sxx	Syy	Sxy	Mxx	Myy	Mxy
77	13	-0.72 (3)	-2.74 (3)	-0.26 (3)	944 (3)	1653 (3)	303 (2)
77	14	-0.42 (3)	-2.68 (3)	-0.28 (3)	865 (3)	1643 (3)	512 (3)
77	15	-0.63 (3)	-2.76 (3)	-0.22 (3)	-669 (2)	1639 (3)	428 (3)
77	16	-0.15 (3)	-2.81 (3)	-0.13 (1)	-508 (2)	1763 (3)	180 (3)
78	1	0.38 (3)	3.09 (3)	-0.36 (3)	-457 (3)	-4628 (3)	-513 (3)
78	2	0.48 (3)	2.18 (3)	-0.60 (3)	-321 (3)	-1881 (3)	-1459 (3)
78	3	0.43 (3)	1.17 (3)	-0.44 (3)	-351 (3)	468 (2)	-1385 (3)
78	4	0.46 (3)	0.39 (3)	-0.23 (2)	196 (2)	2087 (3)	-534 (3)
78	5	0.70 (3)	2.25 (3)	0.15 (3)	-1251 (3)	-7148 (3)	-237 (3)
78	6	0.38 (3)	1.84 (3)	0.20 (3)	-632 (3)	-2408 (3)	-898 (3)
78	7	0.19 (3)	1.56 (3)	0.30 (3)	-299 (3)	1139 (3)	-807 (3)
78	8	0.30 (3)	1.26 (3)	0.43 (3)	328 (2)	4139 (3)	150 (2)
78	9	0.59 (3)	1.89 (3)	0.82 (3)	-1072 (3)	-7940 (3)	-597 (3)
78	10	0.49 (3)	1.58 (3)	0.46 (3)	-473 (3)	-2909 (3)	-1345 (3)
78	11	-0.05 (3)	1.24 (3)	0.39 (3)	-156 (3)	1975 (3)	-1239 (3)
78	12	-0.16 (3)	1.02 (3)	0.99 (3)	419 (3)	5341 (3)	245 (2)
78	13	-0.50 (2)	4.24 (3)	1.67 (3)	-896 (3)	-6659 (3)	826 (3)
78	14	1.08 (3)	2.59 (3)	1.73 (3)	-705 (3)	-3143 (3)	701 (2)
78	15	-0.51 (3)	-0.05 (3)	1.64 (3)	1754 (3)	2130 (3)	508 (2)
78	16	-1.38 (3)	-1.79 (3)	1.76 (3)	2108 (3)	4937 (3)	862 (3)
79	1	0.07 (3)	0.47 (3)	1.68 (3)	598 (3)	4350 (3)	130 (4)
79	2	0.08 (3)	0.76 (3)	1.67 (3)	208 (3)	849 (3)	138 (3)
79	3	0.10 (3)	1.01 (3)	1.66 (3)	-221 (3)	-2245 (3)	15 (1)
79	4	0.12 (3)	1.36 (3)	1.66 (3)	-712 (3)	-5791 (3)	-188 (4)
79	5	0.11 (3)	0.23 (3)	1.27 (3)	519 (3)	4480 (3)	147 (3)
79	6	0.18 (3)	0.56 (3)	1.24 (3)	-58 (4)	685 (3)	26 (4)
79	7	0.23 (3)	0.71 (3)	1.18 (3)	-391 (4)	-2778 (3)	-81 (3)
79	8	0.19 (3)	1.01 (3)	1.15 (3)	-737 (3)	-5878 (3)	-68 (4)
79	9	0.12 (3)	0.44 (3)	0.77 (3)	462 (3)	4258 (3)	-55 (4)
79	10	0.27 (3)	0.73 (3)	0.72 (3)	-136 (4)	434 (3)	-16 (2)
79	11	0.35 (3)	0.92 (3)	0.72 (3)	-486 (3)	-3110 (3)	-27 (3)
79	12	0.34 (3)	1.10 (3)	0.73 (3)	-791 (3)	-6136 (3)	-149 (3)
79	13	0.07 (2)	1.87 (3)	-0.96 (2)	517 (3)	3680 (3)	89 (1)
79	14	-0.03 (3)	2.09 (3)	-0.89 (2)	122 (3)	-127 (2)	28 (2)
79	15	0.07 (2)	2.43 (3)	-0.89 (2)	-354 (3)	-3370 (3)	75 (2)
79	16	0.48 (3)	2.03 (3)	-1.00 (2)	-1000 (3)	-8121 (3)	-115 (3)
80	1	4.08 (3)	6.25 (3)	-9.76 (3)	-51 (1)	374 (3)	157 (3)
80	2	-0.56 (3)	2.82 (3)	-8.34 (3)	-122 (1)	447 (1)	94 (3)
80	3	-12.31 (3)	-2.01 (2)	-12.53 (3)	-84 (2)	1041 (1)	271 (3)
80	4	-7.38 (3)	-3.77 (2)	-6.29 (3)	90 (3)	1455 (1)	868 (3)
80	5	0	0	0	0	0	0
80	6	0	0	0	0	0	0
80	7	0	0	0	0	0	0
80	8	-11.98 (3)	-7.44 (3)	-9.54 (3)	196 (3)	1005 (3)	353 (3)
80	9	0	0	0	0	0	0
80	10	0	0	0	0	0	0
80	11	0	0	0	0	0	0
80	12	10.06 (3)	7.27 (3)	-10.17 (3)	273 (3)	356 (3)	-444 (3)
80	13	-2.26 (3)	-4.98 (3)	-6.15 (3)	81 (4)	1252 (3)	618 (3)
80	14	1.20 (3)	-4.76 (3)	-4.57 (3)	-171 (3)	1336 (3)	461 (3)
80	15	15.38 (3)	-9.17 (3)	-10.56 (3)	-165 (3)	2224 (3)	382 (3)
80	16	5.69 (3)	-7.51 (3)	-8.35 (3)	255 (3)	3782 (3)	732 (3)
81	1	-0.59 (3)	-0.18 (2)	-5.11 (3)	117 (3)	527 (3)	363 (3)
81	2	-0.28 (2)	1.76 (3)	-4.92 (3)	29 (3)	-711 (3)	339 (3)
81	3	-0.21 (2)	4.28 (3)	-5.44 (3)	-159 (3)	-2132 (3)	200 (1)
81	4	1.17 (3)	4.92 (3)	-6.96 (3)	-493 (3)	-4271 (3)	190 (2)
81	5	-0.07 (2)	-0.81 (2)	-8.03 (3)	30 (3)	837 (3)	-53 (2)
81	6	0.35 (3)	-0.57 (2)	-8.14 (3)	-267 (3)	-745 (3)	-16 (2)
81	7	0.80 (3)	0.76 (3)	-8.06 (3)	-417 (3)	-2124 (3)	78 (2)
81	8	0.56 (3)	1.70 (3)	-7.61 (3)	-460 (3)	-3259 (3)	210 (2)
81	9	0.08 (3)	-0.98 (2)	-9.50 (3)	106 (3)	1028 (3)	-155 (3)
81	10	0.21 (3)	0.86 (3)	-9.42 (3)	-92 (3)	-382 (3)	-38 (3)
81	11	0.44 (3)	-1.02 (2)	-9.31 (3)	-221 (3)	-1463 (3)	152 (3)
81	12	0.16 (3)	2.24 (3)	-9.38 (3)	-299 (3)	-2269 (3)	286 (3)
81	13	-0.06 (2)	-1.10 (2)	-10.62 (3)	174 (3)	1028 (3)	-43 (3)
81	14	-0.06 (2)	1.64 (3)	-10.61 (3)	117 (3)	349 (2)	44 (1)
81	15	0.23 (3)	1.67 (3)	-10.53 (3)	63 (2)	619 (2)	222 (3)
81	16	0.07 (3)	3.65 (3)	-10.33 (3)	146 (2)	1220 (2)	545 (3)
82	1	0.20 (2)	-1.01 (3)	0.06 (5-II-1)	-640 (2)	-124 (3)	-445 (3)
82	2	-0.08 (5-II-1)	-1.41 (3)	0.07 (1)	-1100 (2)	582 (3)	-622 (3)
82	3	-0.12 (3)	-1.88 (3)	0.15 (1)	-1162 (2)	1142 (3)	-601 (3)
82	4	0.63 (3)	-2.32 (3)	0.25 (1)	-969 (3)	2015 (3)	117 (2)
82	5	-0.13 (2)	-1.41 (3)	0.40 (3)	149 (2)	-637 (3)	-680 (3)
82	6	-0.12 (1)	-1.56 (3)	0.40 (3)	303 (2)	679 (3)	-647 (3)
82	7	-0.13 (3)	-1.64 (3)	0.35 (3)	378 (3)	1502 (3)	-452 (3)
82	8	-0.12 (3)	-1.76 (3)	0.49 (3)	430 (3)	2348 (3)	340 (2)

**POTENZIAMENTO DELL'IMPIANTO DI DEPURAZIONE E
DEL RECAPITO FINALE DI SQUINZANO (LE)
PROGETTO DEFINITIVO
Tabulati di calcolo strutturale-Equalizzazione**

R.37.7

Maggio 2021

Pagina 83 di 338

Muro	Pann.	Sxx	Syy	Sxy	Mxx	Myy	Mxy
82	9	-0.30 (2)	-1.74 (3)	0.59 (3)	316 (2)	-735 (3)	-634 (3)
82	10	-0.18 (2)	-1.83 (3)	0.49 (3)	576 (2)	921 (3)	-452 (3)
82	11	-0.22 (2)	-1.91 (3)	0.46 (3)	630 (2)	1837 (3)	-274 (3)
82	12	-0.38 (2)	-1.95 (3)	0.51 (3)	611 (3)	2557 (3)	160 (2)
82	13	-0.27 (2)	-1.70 (3)	0.72 (3)	304 (2)	458 (2)	-286 (3)
82	14	-0.24 (2)	-1.99 (3)	0.71 (3)	565 (2)	1190 (3)	74 (3)
82	15	-0.29 (2)	-2.26 (3)	0.62 (3)	653 (2)	1777 (3)	91 (3)
82	16	-0.44 (2)	-2.37 (3)	0.42 (3)	516 (3)	2133 (3)	42 (3)
83	1	-0.56 (3)	2.91 (3)	0.24 (2)	693 (3)	-3951 (3)	-297 (2)
83	2	0.39 (3)	2.13 (3)	0.25 (2)	738 (3)	-1409 (3)	-1126 (3)
83	3	0.38 (3)	1.36 (3)	0.30 (2)	488 (3)	179 (2)	-1047 (3)
83	4	0.33 (2)	0.82 (3)	0.39 (2)	-239 (2)	1210 (3)	-572 (3)
83	5	0.34 (3)	1.82 (3)	0.49 (3)	-996 (3)	-5233 (3)	372 (3)
83	6	0.37 (3)	1.60 (3)	0.40 (3)	-631 (3)	-1730 (3)	-644 (2)
83	7	0.35 (3)	1.44 (3)	0.47 (1)	-135 (3)	733 (2)	-811 (3)
83	8	0.31 (3)	1.30 (3)	0.60 (2)	242 (1)	2512 (3)	-699 (3)
83	9	0.57 (3)	2.07 (3)	0.65 (3)	-1014 (3)	-5691 (3)	33 (3)
83	10	0.38 (3)	1.84 (3)	0.63 (3)	-548 (3)	-2102 (3)	-530 (3)
83	11	0.25 (3)	1.64 (3)	0.65 (3)	167 (2)	808 (2)	-644 (3)
83	12	0.31 (3)	1.44 (3)	0.71 (3)	376 (2)	2906 (3)	-652 (3)
83	13	0.23 (3)	2.80 (3)	0.94 (3)	-704 (3)	-4283 (3)	255 (2)
83	14	0.18 (3)	2.12 (3)	1.44 (3)	-656 (3)	-1836 (3)	254 (2)
83	15	0.35 (3)	1.26 (3)	1.42 (3)	-377 (3)	454 (2)	155 (2)
83	16	0.40 (3)	0.67 (3)	1.03 (3)	237 (2)	1773 (3)	-274 (3)
84	1	0.25 (3)	0.93 (3)	3.61 (3)	475 (3)	3551 (3)	-156 (1)
84	2	0.19 (3)	0.60 (3)	3.53 (3)	122 (3)	615 (3)	-140 (1)
84	3	0.14 (3)	-0.49 (2)	3.76 (3)	-241 (3)	-1915 (3)	-207 (3)
84	4	-0.15 (2)	0.61 (3)	4.43 (3)	-628 (3)	-4899 (3)	-238 (4)
84	5	0.05 (3)	0.81 (3)	3.61 (3)	458 (3)	3888 (3)	59 (4)
84	6	-0.05 (2)	1.06 (3)	3.61 (3)	71 (1)	679 (1)	-18 (3)
84	7	-0.09 (2)	1.42 (3)	3.50 (3)	-282 (3)	-2260 (3)	-58 (4)
84	8	0.06 (3)	1.62 (3)	3.27 (3)	-579 (3)	-4738 (3)	-75 (2)
84	9	0.07 (3)	0.35 (3)	2.83 (3)	486 (3)	4181 (3)	-106 (3)
84	10	0.13 (3)	0.58 (3)	2.83 (3)	50 (1)	744 (3)	13 (1)
84	11	0.17 (3)	0.97 (3)	2.83 (3)	-293 (3)	-2377 (3)	32 (3)
84	12	0.16 (3)	1.23 (3)	2.86 (3)	-620 (3)	-5112 (3)	-108 (2)
84	13	0.06 (3)	0.50 (3)	2.18 (3)	565 (3)	4248 (3)	-121 (3)
84	14	0.08 (3)	0.72 (3)	2.19 (3)	155 (3)	850 (3)	-110 (3)
84	15	0.10 (3)	1.04 (3)	2.22 (3)	-270 (3)	-2138 (3)	-44 (1)
84	16	0.13 (3)	1.33 (3)	2.24 (3)	-705 (3)	-5499 (3)	-37 (1)
85	1	-2.68 (3)	-0.44 (3)	-0.84 (3)	-5750 (3)	-883 (3)	782 (2)
85	2	-2.39 (3)	-0.46 (3)	-0.71 (3)	-6518 (3)	-687 (4)	342 (2)
85	3	-2.83 (3)	-0.42 (3)	0.75 (2)	-7036 (3)	-699 (3)	412 (3)
85	4	-3.96 (3)	-0.32 (3)	1.40 (2)	-6561 (3)	-987 (3)	-1055 (2)
85	5	-2.65 (3)	-0.41 (3)	-0.82 (3)	-5824 (2)	-230 (3)	460 (2)
85	6	-2.62 (3)	-0.47 (3)	-0.72 (3)	-7363 (2)	-1465 (2)	135 (2)
85	7	-3.00 (3)	-0.47 (3)	0.82 (2)	-7199 (2)	-1382 (2)	-130 (2)
85	8	-3.86 (3)	-0.33 (3)	1.23 (2)	-5182 (2)	-211 (3)	-657 (2)
85	9	-2.50 (3)	-0.43 (3)	-0.80 (3)	-9581 (2)	793 (3)	-388 (2)
85	10	-2.60 (3)	-0.49 (3)	-0.71 (3)	-11834 (2)	-1961 (2)	270 (3)
85	11	-3.05 (3)	-0.51 (3)	0.84 (2)	-11751 (2)	-1892 (2)	339 (2)
85	12	-4.17 (3)	-0.35 (3)	1.00 (2)	9276 (3)	929 (3)	422 (2)
85	13	-2.60 (3)	-0.38 (3)	-0.80 (3)	18028 (3)	2200 (3)	-1110 (2)
85	14	-2.51 (3)	-0.49 (3)	-0.73 (3)	19225 (3)	2456 (3)	-316 (2)
85	15	-2.55 (3)	-0.64 (3)	0.89 (2)	19508 (3)	2495 (3)	363 (2)
85	16	-4.37 (3)	-0.55 (3)	0.91 (5-I-1)	21690 (3)	2655 (3)	1895 (2)
86	1	-4.86 (3)	-0.41 (3)	-2.72 (3)	-4277 (3)	-623 (3)	737 (2)
86	2	-2.46 (3)	-0.40 (3)	-1.51 (3)	-4708 (3)	-521 (3)	322 (2)
86	3	-1.87 (3)	-0.35 (3)	-0.97 (3)	-5323 (3)	-556 (3)	221 (3)
86	4	-2.41 (3)	-0.34 (3)	-0.67 (5-II-1)	-5372 (3)	-760 (3)	-544 (2)
86	5	-4.65 (3)	-0.28 (3)	-2.62 (3)	-3901 (2)	-259 (2)	464 (2)
86	6	-2.51 (3)	-0.53 (3)	-1.62 (3)	-5995 (2)	-912 (2)	76 (2)
86	7	-2.06 (3)	-0.42 (3)	-0.98 (3)	-6734 (2)	-1099 (2)	-13 (2)
86	8	-2.44 (3)	-0.30 (3)	-0.70 (5-II-1)	-5771 (2)	-530 (2)	-349 (2)
86	9	-4.73 (3)	-0.30 (3)	-2.61 (3)	-6006 (2)	657 (3)	646 (3)
86	10	-2.54 (3)	-0.55 (3)	-1.63 (3)	-9628 (2)	-1348 (2)	-345 (2)
86	11	-2.08 (3)	-0.44 (3)	-1.00 (3)	-10711 (2)	-1514 (2)	63 (2)
86	12	-2.33 (3)	-0.33 (3)	-0.73 (3)	-9417 (2)	-1050 (2)	259 (2)
86	13	-5.15 (3)	-0.47 (3)	-2.72 (3)	12905 (3)	1623 (3)	-1235 (2)
86	14	-2.25 (3)	-0.51 (3)	-1.68 (3)	14605 (3)	1815 (3)	-472 (2)
86	15	-1.84 (3)	-0.41 (3)	-0.98 (3)	16288 (3)	2007 (3)	270 (3)
86	16	-2.27 (3)	-0.33 (3)	-0.74 (3)	17160 (3)	2175 (3)	627 (2)
87	1	-0.90 (2)	-0.05 (3)	-10.57 (3)	-369 (2)	-84 (2)	-119 (2)
87	2	0.60 (3)	-0.11 (3)	-11.06 (3)	-289 (2)	9 (5-II-1)	-98 (3)
87	3	1.25 (3)	0.21 (2)	-10.57 (3)	-277 (2)	67 (3)	64 (2)
87	4	3.18 (2)	1.14 (3)	-7.53 (3)	844 (3)	54 (3)	671 (3)

**POTENZIAMENTO DELL'IMPIANTO DI DEPURAZIONE E
DEL RECAPITO FINALE DI SQUINZANO (LE)
PROGETTO DEFINITIVO
Tabulati di calcolo strutturale-Equalizzazione**

R.37.7

Maggio 2021

Pagina 84 di 338

Muro	Pann.	Sxx	Syy	Sxy	Mxx	Myy	Mxy
87	5	-0.81(2)	0.14(2)	-10.55(3)	309(3)	-67(2)	-84(2)
87	6	0.67(3)	0.24(2)	-11.01(3)	459(3)	150(2)	-40(2)
87	7	0.59(3)	0.31(2)	-10.90(3)	679(3)	233(3)	31(3)
87	8	2.36(2)	0.53(3)	-7.14(3)	1174(3)	-64(2)	923(3)
87	9	0.83(3)	0.12(2)	-10.50(3)	1063(3)	71(3)	-11(3)
87	10	0.92(3)	-0.28(3)	-10.81(3)	1341(3)	223(2)	82(3)
87	11	0.81(3)	-1.09(3)	-10.95(3)	1751(3)	349(3)	-94(2)
87	12	-4.64(3)	0.62(3)	-8.09(3)	2152(3)	159(3)	1023(3)
87	13	1.15(3)	-0.01(5-I-1)	-10.45(3)	2317(3)	265(3)	58(5-I-1)
87	14	1.14(3)	-0.14(3)	-10.70(3)	2477(3)	333(3)	164(3)
87	15	-0.72(2)	-0.62(3)	-10.10(3)	3343(3)	465(3)	269(3)
87	16	-7.18(3)	-1.42(3)	-10.88(3)	3980(3)	451(3)	958(3)
88	1	-1.22(1)	-0.60(3)	-5.53(3)	-725(3)	-122(2)	214(3)
88	2	-1.13(2)	-0.10(2)	-8.13(3)	-696(2)	-51(1)	-72(2)
88	3	-1.01(2)	-0.07(2)	-9.16(3)	-654(2)	-53(1)	45(2)
88	4	-1.02(2)	-0.08(2)	-9.90(3)	-482(2)	-94(2)	74(2)
88	5	0.63(3)	-0.25(3)	-5.31(3)	375(3)	-40(2)	199(3)
88	6	-0.84(2)	0.21(3)	-8.23(3)	389(2)	137(2)	-47(3)
88	7	-0.80(2)	0.06(3)	-9.13(3)	377(2)	114(2)	16(2)
88	8	-0.87(2)	-0.06(2)	-9.90(3)	276(3)	-46(2)	48(2)
88	9	3.12(3)	-0.15(2)	-5.82(3)	1815(3)	194(3)	184(3)
88	10	-0.74(2)	0.62(3)	-8.13(3)	1615(3)	244(3)	-43(3)
88	11	-0.66(2)	0.13(3)	-9.07(3)	1441(3)	211(2)	-59(3)
88	12	-0.76(2)	-0.04(2)	-9.89(3)	1155(3)	123(3)	-52(2)
88	13	4.16(3)	0.94(3)	-7.37(3)	4288(3)	526(3)	70(2)
88	14	0.83(3)	0.37(3)	-7.62(3)	3188(3)	411(3)	-61(3)
88	15	0.91(3)	0.09(3)	-9.08(3)	2988(3)	375(3)	-100(3)
88	16	1.19(3)	0.07(3)	-9.89(3)	2544(3)	315(3)	-158(2)
89	1	1.29(3)	-2.82(3)	0.45(2)	-1168(3)	-3049(3)	2743(3)
89	2	1.52(3)	-2.62(3)	0.45(2)	-1409(3)	-3958(3)	2677(3)
89	3	1.71(3)	-2.42(3)	0.44(2)	-1589(3)	-4590(3)	2527(3)
89	4	1.86(3)	-2.23(3)	0.43(2)	-1708(3)	-4982(3)	2309(3)
89	5	0.90(3)	-2.58(3)	-0.49(3)	-1139(3)	-2991(3)	2199(3)
89	6	1.13(3)	-2.47(3)	0.44(2)	-1467(3)	-4264(3)	2200(3)
89	7	1.33(3)	-2.34(3)	0.44(2)	-1738(3)	-5207(3)	2130(3)
89	8	1.51(3)	-2.21(3)	0.43(2)	-1952(3)	-5859(3)	2001(3)
89	9	0.66(3)	-2.30(3)	0.49(2)	-955(3)	-2795(5-I-1)	1650(3)
89	10	0.87(3)	-2.22(3)	0.48(2)	-1295(3)	-4298(3)	1682(3)
89	11	1.06(3)	-2.14(3)	0.47(2)	-1581(3)	-5486(3)	1663(3)
89	12	1.25(3)	-2.04(3)	0.45(2)	-1813(3)	-6354(3)	1597(3)
89	13	0.56(3)	-2.20(4)	0.48(2)	-782(3)	-2986(5-I-1)	1212(3)
89	14	0.74(3)	-2.11(4)	0.46(2)	-1105(3)	-4187(3)	1264(3)
89	15	0.92(3)	-2.02(4)	0.45(2)	-1375(3)	-5548(3)	1280(3)
89	16	1.09(3)	-1.93(4)	0.43(2)	-1593(3)	-6576(3)	1264(3)
90	1	2.03(3)	1.71(3)	0.38(3)	5452(3)	-294(2)	455(3)
90	2	2.18(3)	1.57(3)	0.36(3)	6535(3)	-263(2)	341(5-II-1)
90	3	2.29(3)	1.43(3)	0.34(3)	7511(3)	-277(2)	274(5-II-1)
90	4	2.36(3)	1.29(3)	0.33(3)	8373(3)	343(3)	-290(5-I-1)
90	5	2.02(3)	-0.74(2)	0.59(3)	1733(3)	-1346(3)	2117(3)
90	6	2.18(3)	-0.73(2)	0.62(3)	2289(3)	-1329(3)	1778(3)
90	7	2.29(3)	-0.72(2)	0.64(3)	2856(3)	-1262(3)	1396(3)
90	8	2.36(3)	-0.71(2)	0.66(3)	3415(3)	-1155(3)	993(3)
90	9	1.84(3)	-1.68(3)	0.56(1)	-325(2)	-2290(3)	2898(3)
90	10	2.04(3)	-1.51(3)	0.57(1)	-400(2)	-2537(3)	2641(3)
90	11	2.19(3)	-1.36(3)	0.58(3)	-517(2)	-2649(3)	2306(3)
90	12	2.28(3)	-1.21(3)	0.64(3)	-670(2)	-2652(3)	1922(3)
90	13	1.61(3)	-2.46(3)	0.48(2)	-823(3)	-2826(3)	3026(3)
90	14	1.83(3)	-2.26(3)	0.48(1)	-905(3)	-3377(3)	2869(3)
90	15	2.01(3)	-2.06(3)	0.49(1)	-920(3)	-3717(3)	2624(3)
90	16	2.13(3)	-1.87(3)	0.50(1)	-875(3)	-3882(3)	2312(3)
91	1	2.02(3)	2.48(3)	0.53(2)	-500(2)	5614(3)	1880(3)
91	2	-0.67(2)	2.39(3)	0.88(2)	-696(2)	2452(3)	3775(3)
91	3	-1.08(3)	2.21(3)	1.02(2)	-1174(2)	769(3)	4650(3)
91	4	-1.92(3)	1.98(3)	1.04(2)	-1830(2)	-346(4)	4984(3)
91	5	1.87(3)	2.63(3)	0.49(2)	-482(2)	6750(3)	1874(3)
91	6	-0.70(2)	2.57(3)	0.82(2)	-578(4)	3153(3)	3707(3)
91	7	-0.96(3)	2.42(3)	0.96(2)	-1075(4)	1081(3)	4621(3)
91	8	-1.75(3)	2.21(3)	1.00(2)	-1523(4)	-343(4)	5039(3)
91	9	1.71(3)	2.73(3)	0.45(2)	-499(2)	7778(3)	1850(3)
91	10	-0.72(2)	2.68(3)	0.74(2)	-491(4)	3842(3)	3588(3)
91	11	-0.84(3)	2.55(3)	0.89(2)	-989(4)	1440(3)	4505(3)
91	12	-1.60(3)	2.37(3)	0.94(2)	-1457(4)	-322(4)	4987(3)
91	13	1.55(3)	2.78(3)	0.40(2)	625(3)	8685(3)	1814(3)
91	14	-0.74(2)	2.73(3)	0.67(4)	-416(4)	4499(3)	3439(3)
91	15	-0.80(2)	2.63(3)	0.81(2)	-899(3)	1829(3)	4332(3)
91	16	-1.45(3)	2.47(3)	0.87(2)	-1503(3)	-383(2)	4857(3)

**POTENZIAMENTO DELL'IMPIANTO DI DEPURAZIONE E
DEL RECAPITO FINALE DI SQUINZANO (LE)
PROGETTO DEFINITIVO
Tabulati di calcolo strutturale-Equalizzazione**

R.37.7

Maggio 2021

Pagina 85 di 338

Muro	Pann.	Sxx	Syy	Sxy	Mxx	Myy	Mxy
92	1	0.51(3)	-2.16(4)	-0.48(3)	-664(3)	-3106(5-I-1)	942(3)
92	2	0.67(3)	-2.06(4)	-0.46(3)	-979(3)	-4036(3)	1002(3)
92	3	0.83(3)	-1.97(4)	-0.43(3)	-1244(3)	-5494(3)	1040(3)
92	4	0.99(3)	-1.89(4)	-0.40(3)	-1460(3)	-6613(3)	1056(3)
92	5	-0.52(2)	-2.03(4)	-0.47(3)	-582(3)	-3172(5-I-1)	777(3)
92	6	0.61(3)	-1.96(4)	-0.45(3)	-902(3)	-3895(3)	840(3)
92	7	0.77(3)	-1.88(4)	-0.42(3)	-1174(3)	-5402(3)	885(3)
92	8	0.93(3)	-1.81(4)	-0.39(3)	-1398(3)	-6564(3)	916(3)
92	9	-0.54(2)	-2.00(2)	-0.42(3)	-520(3)	-3227(5-I-1)	607(3)
92	10	-0.58(2)	-1.92(2)	-0.41(3)	-846(3)	-3751(3)	668(3)
92	11	0.71(3)	-1.84(2)	-0.39(3)	-1125(3)	-5294(3)	716(3)
92	12	0.87(3)	-1.75(2)	-0.37(3)	-1361(3)	-6487(3)	753(3)
92	13	-0.52(2)	-2.06(2)	-0.37(3)	-478(3)	-3277(5-I-1)	445(3)
92	14	-0.57(2)	-1.95(2)	-0.37(3)	-804(3)	-3646(5-I-1)	495(3)
92	15	0.68(3)	-1.85(2)	-0.36(3)	-1088(3)	-5189(3)	536(3)
92	16	0.82(3)	-1.74(2)	-0.35(3)	-1332(3)	-6404(3)	569(3)
93	1	-2.36(3)	1.71(3)	1.00(2)	-2610(2)	-556(3)	4975(3)
93	2	-2.49(3)	1.42(3)	0.96(2)	-3459(2)	-756(3)	4759(3)
93	3	-2.47(3)	1.17(3)	0.93(2)	-4326(2)	-821(3)	4416(3)
93	4	-2.45(3)	1.00(3)	0.85(2)	-5171(2)	-812(3)	4004(3)
93	5	-2.19(3)	1.95(3)	0.97(2)	-1897(4)	-711(3)	5104(3)
93	6	-2.36(3)	1.67(3)	0.94(2)	-2272(2)	-1043(3)	4941(3)
93	7	-2.38(3)	1.42(3)	0.90(2)	-2926(2)	-1198(3)	4632(3)
93	8	-2.35(3)	1.23(3)	0.82(2)	-3585(2)	-1249(3)	4235(3)
93	9	-2.03(3)	2.13(3)	0.93(2)	-1858(4)	-801(3)	5123(3)
93	10	-2.22(3)	1.87(3)	0.90(2)	-2189(4)	-1269(3)	5020(3)
93	11	-2.27(3)	1.63(3)	0.86(2)	-2454(4)	-1519(3)	4754(3)
93	12	-2.25(3)	1.43(3)	0.79(2)	-2665(4)	-1636(3)	4382(3)
93	13	-1.88(3)	2.26(3)	0.88(2)	-1920(3)	-830(3)	5057(3)
93	14	-2.08(3)	2.03(3)	0.86(2)	-2154(3)	-1434(3)	5014(3)
93	15	-2.15(3)	1.80(3)	0.82(2)	-2403(4)	-1784(3)	4796(3)
93	16	-2.13(3)	1.60(3)	0.76(2)	-2628(4)	-1973(3)	4458(3)
94	1	-2.38(3)	0.87(3)	0.72(2)	-5967(2)	-754(3)	3556(3)
94	2	-2.24(3)	0.74(3)	0.63(2)	-6693(2)	-665(3)	3087(3)
94	3	-2.16(4)	0.62(3)	0.57(2)	-7334(2)	-571(3)	2606(3)
94	4	-2.19(2)	0.56(3)	0.48(2)	-7878(2)	-543(4)	2124(3)
94	5	-2.28(3)	1.08(3)	0.72(2)	-4222(2)	-1233(3)	3786(3)
94	6	-2.15(3)	0.93(3)	0.63(2)	-4814(2)	-1177(3)	3304(3)
94	7	-2.07(4)	0.82(3)	0.56(2)	-5343(2)	-1104(3)	2803(3)
94	8	-2.06(4)	0.74(3)	0.47(2)	-5797(2)	-1032(3)	2294(3)
94	9	-2.17(3)	1.26(3)	0.70(2)	-2832(4)	-1668(3)	3944(3)
94	10	-2.06(3)	1.12(3)	0.62(2)	-3230(2)	-1647(3)	3461(3)
94	11	-1.98(4)	1.00(3)	0.54(2)	-3655(2)	-1599(3)	2950(3)
94	12	-1.95(4)	0.91(3)	0.45(2)	-4024(2)	-1543(3)	2423(3)
94	13	-2.06(3)	1.43(3)	0.68(2)	-2807(4)	-2057(3)	4038(3)
94	14	-1.96(3)	1.29(3)	0.60(2)	-2948(4)	-2075(3)	3563(3)
94	15	-1.87(4)	1.17(3)	0.52(2)	-3057(4)	-2055(3)	3051(3)
94	16	-1.85(4)	1.08(3)	0.44(2)	-3140(4)	-2017(3)	2515(3)
95	1	-2.25(2)	0.52(3)	0.35(2)	-8304(2)	-538(4)	1670(3)
95	2	-2.24(2)	0.48(3)	0.25(2)	-8616(2)	-529(4)	1244(3)
95	3	-2.26(2)	0.45(3)	0.18(2)	-8834(2)	-546(2)	818(3)
95	4	-2.31(2)	0.44(3)	0.13(5-I-1)	-8958(2)	-568(2)	398(3)
95	5	-2.10(2)	0.69(3)	0.35(2)	-6154(2)	-969(3)	1808(3)
95	6	-2.11(2)	0.65(3)	0.26(2)	-6418(2)	-917(3)	1348(3)
95	7	-2.13(2)	0.62(3)	0.17(2)	-6604(2)	-879(3)	887(3)
95	8	-2.16(2)	0.60(3)	0.13(5-I-1)	-6710(2)	-857(3)	431(3)
95	9	-1.96(2)	0.85(3)	0.35(2)	-4317(2)	-1490(3)	1915(3)
95	10	-1.98(2)	0.81(3)	0.26(2)	-4536(2)	-1445(3)	1430(3)
95	11	-2.00(2)	0.78(3)	0.17(2)	-4690(2)	-1411(3)	942(3)
95	12	-2.02(2)	0.76(3)	0.13(5-I-1)	-4779(2)	-1391(3)	458(3)
95	13	-1.83(2)	1.01(3)	0.34(2)	-3199(4)	-1976(3)	1993(3)
95	14	-1.85(2)	0.97(3)	0.25(2)	-3239(4)	-1940(3)	1490(3)
95	15	-1.87(2)	0.94(3)	0.16(2)	-3266(4)	-1911(3)	983(3)
95	16	-1.88(2)	0.92(3)	0.13(5-I-1)	-3280(4)	-1894(3)	478(3)
96	1	-0.50(2)	-2.09(2)	-0.35(3)	-470(5-I-1)	-3317(5-I-1)	337(5-II-1)
96	2	-0.56(2)	-1.97(2)	-0.35(3)	-768(3)	-3685(5-I-1)	375(5-II-1)
96	3	0.66(3)	-1.86(2)	-0.34(3)	-1051(3)	-5116(3)	408(5-II-1)
96	4	0.80(3)	-1.74(2)	-0.33(3)	-1298(3)	-6346(3)	435(5-II-1)
96	5	-0.51(2)	-2.08(2)	-0.34(3)	-464(5-I-1)	-3349(5-I-1)	290(5-II-1)
96	6	-0.56(2)	-1.97(2)	-0.33(3)	-731(3)	-3715(5-I-1)	324(5-II-1)
96	7	0.65(3)	-1.85(3)	-0.32(3)	-1011(3)	-5075(3)	353(5-II-1)
96	8	0.78(3)	-1.74(2)	-0.32(3)	-1255(3)	-6317(3)	377(5-II-1)
96	9	-0.51(2)	-2.08(2)	-0.31(3)	-455(5-I-1)	-3379(5-I-1)	244(5-II-1)
96	10	-0.55(2)	-1.96(2)	-0.31(3)	-687(3)	-3745(5-I-1)	274(5-II-1)
96	11	0.64(3)	-1.85(2)	-0.31(3)	-959(3)	-5051(3)	299(5-II-1)
96	12	0.77(3)	-1.74(2)	-0.30(3)	-1196(3)	-6305(3)	319(5-II-1)

**POTENZIAMENTO DELL'IMPIANTO DI DEPURAZIONE E
DEL RECAPITO FINALE DI SQUINZANO (LE)
PROGETTO DEFINITIVO
Tabulati di calcolo strutturale-Equalizzazione**

R.37.7

Maggio 2021

Pagina 86 di 338

Muro	Pann.	Sxx	Syy	Sxy	Mxx	Myy	Mxy
96	13	-0.50 (2)	-2.08 (2)	-0.29 (3)	-442 (5-I-1)	-3407 (5-I-1)	202 (5-II-1)
96	14	-0.55 (2)	-1.96 (2)	-0.29 (3)	-635 (3)	-3774 (5-I-1)	227 (5-II-1)
96	15	0.63 (3)	-1.85 (2)	-0.29 (3)	-897 (3)	-5042 (3)	248 (5-II-1)
96	16	0.76 (3)	-1.74 (2)	-0.28 (3)	-1121 (3)	-6309 (3)	265 (5-II-1)
97	1	-0.32 (2)	-2.70 (2)	-0.37 (3)	-1752 (2)	-14046 (2)	140 (5-II-1)
97	2	-0.34 (2)	-2.50 (2)	-0.37 (3)	-1340 (2)	-10806 (2)	191 (5-II-1)
97	3	-0.39 (2)	-2.35 (2)	-0.36 (3)	-968 (2)	-7953 (2)	245 (5-II-1)
97	4	-0.45 (2)	-2.21 (2)	-0.36 (3)	-624 (2)	-5452 (2)	294 (5-II-1)
97	5	-0.36 (2)	-2.42 (2)	-0.39 (3)	-1754 (2)	-14034 (2)	109 (5-II-1)
97	6	-0.40 (2)	-2.37 (2)	-0.36 (3)	-1351 (2)	-10859 (2)	156 (5-II-1)
97	7	-0.43 (2)	-2.29 (2)	-0.35 (3)	-981 (2)	-8020 (2)	206 (5-II-1)
97	8	-0.46 (2)	-2.19 (2)	-0.34 (3)	-642 (2)	-5515 (2)	251 (5-II-1)
97	9	-0.36 (2)	-2.40 (2)	-0.27 (3)	-1760 (2)	-14074 (2)	97 (5-II-1)
97	10	-0.40 (2)	-2.36 (2)	-0.30 (3)	-1360 (2)	-10901 (2)	128 (5-II-1)
97	11	-0.43 (2)	-2.28 (2)	-0.31 (3)	-993 (2)	-8061 (2)	169 (5-II-1)
97	12	-0.46 (2)	-2.18 (2)	-0.32 (3)	-659 (2)	-5554 (2)	209 (5-II-1)
97	13	-0.32 (2)	-2.68 (2)	-0.28 (3)	-1771 (2)	-14170 (2)	73 (5-II-1)
97	14	-0.34 (2)	-2.49 (2)	-0.28 (3)	-1368 (2)	-10936 (2)	98 (5-II-1)
97	15	-0.39 (2)	-2.33 (2)	-0.29 (3)	-1006 (2)	-8080 (2)	135 (5-II-1)
97	16	-0.45 (2)	-2.20 (2)	-0.29 (3)	-674 (2)	-5571 (2)	171 (5-II-1)
98	1	-0.32 (2)	-2.60 (2)	-0.29 (3)	-1760 (2)	-14075 (2)	-102 (5-I-1)
98	2	-0.35 (2)	-2.42 (2)	-0.29 (3)	-1362 (2)	-10889 (2)	-98 (5-I-1)
98	3	-0.40 (2)	-2.28 (2)	-0.28 (3)	-1004 (2)	-8061 (2)	-106 (5-I-1)
98	4	-0.46 (2)	-2.16 (2)	-0.27 (3)	-682 (2)	-5564 (2)	127 (5-II-1)
98	5	-0.35 (2)	-2.10 (2)	-0.23 (3)	-1730 (2)	-13862 (2)	-82 (5-I-1)
98	6	-0.43 (2)	-2.12 (2)	-0.23 (3)	-1340 (2)	-10795 (2)	-85 (5-I-1)
98	7	-0.47 (2)	-2.10 (2)	-0.22 (3)	-992 (2)	-8019 (2)	-95 (5-I-1)
98	8	-0.51 (2)	-2.05 (2)	-0.21 (3)	-687 (2)	-5540 (2)	-107 (5-I-1)
98	9	-0.35 (2)	-2.15 (2)	0.16 (2)	-1738 (2)	-13889 (2)	-37 (3)
98	10	-0.42 (2)	-2.16 (2)	0.14 (2)	-1356 (2)	-10797 (2)	-58 (5-I-1)
98	11	-0.46 (2)	-2.13 (2)	-0.11 (3)	-1016 (2)	-8007 (2)	-75 (5-I-1)
98	12	-0.49 (2)	-2.07 (2)	-0.12 (3)	-718 (2)	-5519 (2)	-84 (5-I-1)
98	13	-0.30 (2)	-2.78 (2)	0.12 (2)	-1776 (2)	-14104 (2)	-33 (3)
98	14	-0.32 (2)	-2.53 (2)	0.10 (2)	-1398 (2)	-10877 (2)	-44 (3)
98	15	-0.37 (2)	-2.37 (2)	-0.06 (6-II-1)	-1061 (2)	-8020 (2)	-51 (5-I-1)
98	16	-0.42 (2)	-2.23 (2)	-0.08 (6-II-1)	-758 (2)	-5502 (2)	-52 (5-I-1)
99	1	-0.51 (2)	-2.04 (2)	-0.27 (3)	-421 (5-I-1)	-3439 (5-I-1)	152 (5-II-1)
99	2	-0.56 (2)	-1.94 (2)	-0.26 (3)	-563 (3)	-3808 (5-I-1)	172 (5-II-1)
99	3	0.62 (3)	-1.83 (2)	-0.26 (3)	-807 (3)	-5051 (3)	188 (5-II-1)
99	4	0.75 (3)	-1.73 (2)	-0.25 (3)	-1011 (3)	-6335 (3)	200 (5-II-1)
99	5	-0.54 (2)	-1.98 (2)	-0.21 (3)	-419 (2)	-3472 (5-I-1)	-120 (5-I-1)
99	6	-0.57 (2)	-1.90 (2)	-0.21 (3)	-478 (3)	-3844 (5-I-1)	-134 (5-I-1)
99	7	0.61 (3)	-1.82 (2)	-0.21 (3)	-699 (3)	-5078 (3)	-148 (5-I-1)
99	8	0.75 (3)	-1.73 (2)	-0.21 (3)	-877 (3)	-6382 (3)	-164 (5-I-1)
99	9	-0.52 (2)	-2.00 (2)	-0.13 (3)	-458 (2)	-3494 (5-I-1)	-91 (5-I-1)
99	10	-0.56 (2)	-1.92 (2)	-0.14 (3)	-414 (3)	-3866 (5-I-1)	-97 (5-I-1)
99	11	0.62 (3)	-1.84 (2)	-0.14 (3)	-614 (3)	-5106 (3)	-104 (5-I-1)
99	12	0.75 (3)	-1.75 (2)	-0.15 (3)	-767 (3)	-6426 (3)	-113 (5-I-1)
99	13	-0.47 (2)	-2.10 (2)	-0.09 (6-II-1)	-493 (2)	-3501 (5-I-1)	-51 (5-I-1)
99	14	-0.52 (2)	-1.99 (2)	-0.09 (6-II-1)	-409 (4)	-3872 (5-I-1)	-49 (5-I-1)
99	15	0.63 (3)	-1.88 (2)	-0.10 (6-II-1)	-569 (3)	-5119 (3)	-48 (5-I-1)
99	16	0.76 (3)	-1.78 (2)	-0.10 (6-II-1)	-706 (3)	-6450 (3)	-49 (5-I-1)
100	1	-3.08 (2)	-0.33 (2)	-0.22 (2)	-21665 (2)	-2670 (2)	-68 (2)
100	2	-2.38 (2)	-0.38 (2)	-0.27 (2)	-21259 (2)	-2611 (2)	-281 (3)
100	3	-2.43 (2)	-0.38 (2)	0.19 (3)	-20939 (2)	-2572 (2)	-524 (3)
100	4	-3.18 (2)	-0.31 (2)	-0.17 (2)	-20661 (2)	-2546 (2)	-803 (3)
100	5	-2.83 (2)	-0.30 (2)	-0.17 (2)	-17879 (2)	-2113 (2)	-40 (5-I-1)
100	6	-2.40 (2)	-0.43 (2)	-0.25 (2)	-17642 (2)	-2058 (2)	-351 (3)
100	7	-2.43 (2)	-0.42 (2)	0.17 (3)	-17332 (2)	-2023 (2)	-669 (3)
100	8	-2.88 (2)	-0.27 (2)	-0.22 (2)	-16926 (2)	-1999 (2)	-1003 (3)
100	9	-2.62 (2)	-0.32 (2)	-0.14 (5-II-1)	-14526 (2)	-1583 (2)	-46 (5-I-1)
100	10	-2.36 (2)	-0.43 (2)	-0.21 (2)	-14369 (2)	-1531 (2)	-434 (3)
100	11	-2.38 (2)	-0.41 (2)	0.15 (3)	-14079 (2)	-1499 (2)	-828 (3)
100	12	-2.64 (2)	-0.29 (2)	-0.27 (2)	-13647 (2)	-1477 (2)	-1225 (3)
100	13	-2.45 (2)	-0.34 (2)	-0.13 (5-II-1)	-11570 (2)	-1065 (2)	-58 (5-I-1)
100	14	-2.29 (2)	-0.41 (2)	-0.18 (2)	-11452 (2)	-1023 (2)	-509 (3)
100	15	-2.30 (2)	-0.40 (2)	-0.18 (2)	-11190 (2)	-993 (2)	-967 (3)
100	16	-2.44 (2)	0.36 (3)	-0.31 (2)	-10782 (2)	-964 (2)	-1421 (3)
101	1	-2.29 (2)	0.44 (3)	-0.12 (5-II-1)	-8981 (2)	-563 (2)	-70 (5-I-1)
101	2	-2.20 (2)	0.44 (3)	-0.16 (2)	-8884 (2)	-530 (2)	-573 (3)
101	3	-2.20 (2)	0.47 (3)	-0.21 (2)	-8653 (2)	-518 (4)	-1083 (3)
101	4	-2.27 (2)	0.52 (3)	-0.33 (2)	-8292 (2)	-537 (4)	-1586 (3)
101	5	-2.15 (2)	0.60 (3)	-0.11 (5-II-1)	-6732 (2)	-852 (3)	-80 (5-I-1)
101	6	-2.09 (2)	0.61 (3)	-0.15 (2)	-6651 (2)	-868 (3)	-625 (3)
101	7	-2.08 (2)	0.64 (3)	-0.22 (2)	-6453 (2)	-909 (3)	-1177 (3)
101	8	-2.11 (2)	0.69 (3)	-0.34 (2)	-6144 (2)	-969 (3)	-1720 (3)

**POTENZIAMENTO DELL'IMPIANTO DI DEPURAZIONE E
DEL RECAPITO FINALE DI SQUINZANO (LE)
PROGETTO DEFINITIVO
Tabulati di calcolo strutturale-Equalizzazione**

R.37.7

Maggio 2021

Pagina 87 di 338

Muro	Pann.	Sxx	Syy	Sxy	Mxx	Myy	Mxy
101	9	-2.01 (2)	0.76 (3)	0.11 (5-I-1)	-4799 (2)	-1387 (3)	-89 (5-I-1)
101	10	-1.97 (2)	0.77 (3)	-0.14 (2)	-4731 (2)	-1402 (3)	-666 (3)
101	11	-1.96 (2)	0.80 (3)	-0.23 (2)	-4565 (2)	-1438 (3)	-1251 (3)
101	12	-1.96 (2)	0.85 (3)	-0.34 (2)	-4309 (2)	-1489 (3)	-1824 (3)
101	13	-1.87 (2)	0.92 (3)	0.11 (5-I-1)	-3283 (4)	-1890 (3)	-96 (5-I-1)
101	14	-1.85 (2)	0.93 (3)	-0.14 (2)	-3270 (4)	-1904 (3)	-697 (3)
101	15	-1.83 (2)	0.96 (3)	-0.23 (2)	-3240 (4)	-1934 (3)	-1306 (3)
101	16	-1.82 (4)	1.01 (3)	-0.34 (2)	-3191 (4)	-1975 (3)	-1900 (3)
102	1	-3.03 (2)	-0.32 (2)	-0.73 (2)	-19619 (2)	-2413 (2)	-1181 (3)
102	2	-2.34 (3)	-0.35 (2)	-0.73 (2)	-17822 (2)	-2169 (2)	-1553 (3)
102	3	-2.64 (3)	-0.33 (2)	-0.60 (2)	-16011 (2)	-1942 (2)	-1930 (3)
102	4	-3.35 (3)	-0.30 (2)	-0.67 (2)	-14160 (2)	-1730 (2)	-2370 (3)
102	5	-2.75 (2)	-0.29 (2)	-0.68 (2)	-16017 (2)	-1874 (2)	-1417 (3)
102	6	-2.26 (3)	-0.42 (2)	-0.75 (2)	-14569 (2)	-1641 (2)	-1883 (3)
102	7	-2.58 (3)	-0.40 (2)	-0.61 (2)	-12970 (2)	-1438 (2)	-2358 (3)
102	8	-3.14 (3)	-0.30 (2)	-0.70 (2)	-11240 (2)	-1276 (2)	-2868 (3)
102	9	-2.54 (2)	-0.31 (2)	-0.63 (2)	-12856 (2)	-1359 (2)	-1702 (3)
102	10	-2.23 (3)	-0.45 (2)	-0.72 (2)	-11663 (2)	-1142 (2)	-2258 (3)
102	11	-2.53 (3)	-0.44 (2)	-0.63 (2)	-10277 (2)	-966 (2)	-2825 (3)
102	12	-2.96 (3)	0.58 (3)	-0.73 (2)	-8730 (2)	-848 (2)	-3401 (3)
102	13	-2.35 (2)	0.39 (3)	-0.58 (2)	-10100 (2)	-854 (2)	-1961 (3)
102	14	-2.20 (3)	-0.46 (2)	-0.69 (2)	-9105 (2)	-666 (2)	-2590 (3)
102	15	-2.47 (3)	0.60 (3)	-0.66 (2)	-7924 (2)	-520 (2)	-3222 (3)
102	16	-2.81 (3)	0.87 (3)	-0.75 (2)	-6594 (2)	-509 (4)	-3839 (3)
103	1	-2.18 (4)	0.57 (3)	-0.55 (2)	-7712 (2)	-535 (4)	-2179 (3)
103	2	-2.15 (3)	0.66 (3)	-0.66 (2)	-6884 (2)	-612 (3)	-2862 (3)
103	3	-2.40 (3)	0.85 (3)	-0.67 (2)	-5896 (2)	-737 (3)	-3534 (3)
103	4	-2.67 (3)	1.13 (3)	-0.76 (2)	-4791 (2)	-834 (3)	-4168 (3)
103	5	-2.07 (4)	0.75 (3)	-0.52 (2)	-5659 (2)	-1046 (3)	-2354 (3)
103	6	-2.09 (3)	0.86 (3)	-0.63 (2)	-4978 (2)	-1136 (3)	-3074 (3)
103	7	-2.32 (3)	1.07 (3)	-0.67 (2)	-4172 (2)	-1220 (3)	-3766 (3)
103	8	-2.53 (3)	1.36 (3)	-0.76 (2)	-3285 (2)	-1248 (3)	-4396 (3)
103	9	-1.96 (4)	0.93 (3)	-0.50 (2)	-3913 (2)	-1553 (3)	-2488 (3)
103	10	-2.01 (3)	1.06 (3)	-0.61 (2)	-3365 (2)	-1619 (3)	-3229 (3)
103	11	-2.22 (3)	1.27 (3)	-0.66 (2)	-2821 (4)	-1658 (3)	-3925 (3)
103	12	-2.39 (3)	1.56 (3)	-0.74 (2)	-2577 (4)	-1609 (3)	-4533 (3)
103	13	-1.85 (4)	1.09 (3)	-0.47 (2)	-3111 (4)	-2024 (3)	-2583 (3)
103	14	-1.93 (3)	1.23 (3)	-0.58 (2)	-2984 (4)	-2062 (3)	-3334 (3)
103	15	-2.11 (3)	1.45 (3)	-0.64 (2)	-2799 (4)	-2050 (3)	-4019 (3)
103	16	-2.26 (3)	1.73 (3)	-0.72 (2)	-2534 (4)	-1917 (3)	-4594 (3)
104	1	-3.00 (3)	0.89 (3)	-1.20 (3)	-8807 (2)	-746 (2)	453 (2)
104	2	-2.54 (2)	0.50 (3)	-1.32 (3)	-8922 (2)	-897 (2)	852 (2)
104	3	-2.54 (2)	0.33 (3)	-1.07 (3)	-8868 (2)	-860 (2)	1202 (2)
104	4	-2.48 (2)	0.34 (3)	-0.79 (3)	-8639 (2)	-745 (2)	1500 (2)
104	5	-2.71 (3)	1.04 (3)	-1.03 (3)	-6512 (2)	-405 (3)	399 (2)
104	6	-2.33 (2)	0.76 (3)	-1.17 (3)	-6577 (2)	-628 (3)	840 (2)
104	7	-2.35 (2)	0.58 (3)	-1.03 (3)	-6535 (2)	-812 (3)	1256 (2)
104	8	-2.31 (2)	0.56 (3)	-0.81 (3)	-6367 (2)	-940 (3)	1624 (2)
104	9	-2.45 (3)	1.19 (3)	-0.90 (3)	-4565 (2)	-919 (3)	372 (2)
104	10	-2.14 (2)	0.98 (3)	-1.05 (3)	-4600 (2)	-1117 (3)	839 (2)
104	11	-2.17 (2)	0.83 (3)	-0.97 (3)	-4563 (2)	-1292 (3)	1297 (2)
104	12	-2.15 (2)	0.78 (3)	-0.82 (3)	-4437 (2)	-1425 (3)	1716 (2)
104	13	-2.23 (3)	1.35 (3)	-0.81 (3)	-2928 (2)	-1402 (3)	360 (2)
104	14	-1.98 (4)	1.19 (3)	-0.95 (3)	-2945 (2)	-1579 (3)	845 (2)
104	15	-2.00 (2)	1.06 (3)	-0.92 (3)	-2913 (2)	-1743 (3)	1330 (2)
104	16	-1.98 (2)	1.01 (3)	-0.82 (3)	-2860 (4)	-1874 (3)	1785 (2)
105	1	1.66 (3)	-2.08 (3)	0.99 (2)	-655 (3)	-2740 (2)	4515 (3)
105	2	1.89 (3)	-1.94 (3)	0.96 (2)	-838 (3)	-1897 (4)	4654 (3)
105	3	2.07 (3)	-1.80 (3)	0.92 (2)	-956 (3)	-1862 (4)	4687 (3)
105	4	2.21 (3)	-1.67 (3)	0.86 (2)	-1012 (3)	-1830 (3)	4637 (3)
105	5	1.40 (3)	-2.19 (3)	0.94 (2)	-843 (3)	-3625 (2)	4259 (3)
105	6	1.64 (3)	-2.07 (3)	0.92 (2)	-1151 (3)	-2420 (2)	4452 (3)
105	7	1.84 (3)	-1.95 (3)	0.88 (2)	-1396 (3)	-2187 (4)	4545 (3)
105	8	1.99 (3)	-1.83 (3)	0.83 (2)	-1580 (3)	-2118 (4)	4556 (3)
105	9	1.17 (3)	-2.14 (3)	0.89 (2)	-896 (3)	-4528 (2)	3885 (3)
105	10	1.41 (3)	-2.05 (3)	0.86 (2)	-1288 (3)	-3105 (2)	4114 (3)
105	11	1.61 (3)	-1.96 (3)	0.82 (2)	-1623 (3)	-2444 (4)	4253 (3)
105	12	1.78 (3)	-1.85 (3)	0.78 (2)	-1900 (3)	-2384 (4)	4314 (3)
105	13	1.00 (3)	-2.09 (4)	0.80 (2)	-874 (3)	-5412 (2)	3447 (3)
105	14	1.22 (3)	-1.99 (4)	0.78 (2)	-1322 (3)	-3795 (2)	3695 (3)
105	15	1.41 (3)	-1.88 (3)	0.75 (2)	-1718 (3)	-2641 (4)	3864 (3)
105	16	1.58 (3)	-1.79 (3)	0.71 (2)	-2061 (3)	-2589 (4)	3963 (3)
106	1	2.36 (3)	1.86 (3)	0.51 (2)	5191 (3)	-506 (2)	1720 (3)
106	2	2.52 (3)	1.73 (3)	0.47 (2)	6276 (3)	-485 (2)	1717 (3)
106	3	2.63 (3)	1.59 (3)	0.45 (4)	7259 (3)	-501 (2)	-1770 (2)
106	4	2.68 (3)	1.45 (3)	0.44 (4)	8126 (3)	559 (3)	-1816 (2)

**POTENZIAMENTO DELL'IMPIANTO DI DEPURAZIONE E
DEL RECAPITO FINALE DI SQUINZANO (LE)
PROGETTO DEFINITIVO
Tabulati di calcolo strutturale-Equalizzazione**

R.37.7

Maggio 2021

Pagina 88 di 338

Muro	Pann.	Sxx	Syy	Sxy	Mxx	Myy	Mxy
106	5	2.28 (3)	-0.69 (2)	0.87 (2)	2226 (3)	-727 (2)	3533 (3)
106	6	2.46 (3)	-0.71 (2)	0.80 (2)	2862 (3)	-589 (4)	3479 (3)
106	7	2.58 (3)	-0.74 (2)	0.74 (4)	3490 (3)	-515 (4)	3373 (3)
106	8	2.64 (3)	-0.77 (2)	0.73 (4)	4092 (3)	-448 (4)	3233 (3)
106	9	2.11 (3)	-0.95 (3)	1.01 (2)	-701 (2)	-1236 (2)	4309 (3)
106	10	2.32 (3)	-0.88 (2)	0.95 (2)	881 (3)	-1079 (4)	4295 (3)
106	11	2.46 (3)	-0.85 (2)	0.88 (2)	1190 (3)	-1006 (4)	4195 (3)
106	12	2.55 (3)	-0.81 (2)	0.85 (4)	1529 (3)	-924 (4)	4037 (3)
106	13	1.90 (3)	-1.69 (3)	1.03 (2)	-411 (4)	-1925 (2)	4574 (3)
106	14	2.12 (3)	-1.55 (3)	0.99 (2)	-426 (4)	-1523 (4)	4641 (3)
106	15	2.29 (3)	-1.42 (3)	0.93 (2)	-424 (4)	-1467 (4)	4604 (3)
106	16	2.40 (3)	-1.30 (3)	0.86 (2)	-408 (4)	-1455 (3)	4490 (3)
107	1	-3.69 (2)	-1.00 (3)	-4.18 (3)	-23729 (2)	-2994 (2)	1352 (3)
107	2	-3.61 (2)	-0.39 (2)	-1.29 (3)	-23299 (2)	-2968 (2)	746 (4)
107	3	-3.03 (2)	-0.42 (2)	-0.91 (3)	-22330 (2)	-2814 (2)	616 (2)
107	4	-3.25 (2)	-0.37 (2)	-0.59 (3)	-21591 (2)	-2693 (2)	612 (2)
107	5	-4.16 (3)	0.30 (3)	-2.60 (3)	-18675 (2)	-2425 (2)	1005 (2)
107	6	-3.39 (2)	-0.63 (3)	-1.75 (3)	-18838 (2)	-2487 (2)	842 (2)
107	7	-2.98 (2)	-0.39 (2)	-0.95 (3)	-18357 (2)	-2338 (2)	814 (2)
107	8	-3.04 (2)	-0.32 (2)	-0.62 (3)	-17744 (2)	-2190 (2)	845 (2)
107	9	-3.78 (3)	0.58 (3)	-1.86 (3)	-14729 (2)	-1898 (2)	733 (2)
107	10	-3.05 (2)	-0.19 (2)	-1.68 (3)	-14967 (2)	-1987 (2)	892 (2)
107	11	-2.88 (2)	-0.31 (2)	-1.06 (3)	-14761 (2)	-1857 (2)	1003 (2)
107	12	-2.84 (2)	-0.31 (2)	-0.68 (3)	-14311 (2)	-1706 (2)	1113 (2)
107	13	-3.36 (3)	0.75 (3)	-1.45 (3)	-11511 (2)	-1319 (2)	554 (2)
107	14	-2.77 (2)	-0.22 (2)	-1.50 (3)	-11692 (2)	-1450 (2)	875 (2)
107	15	-2.72 (2)	-0.28 (2)	-1.09 (3)	-11599 (2)	-1365 (2)	1125 (2)
107	16	-2.66 (2)	-0.31 (2)	-0.74 (3)	-11280 (2)	-1226 (2)	1333 (2)
108	1	0.74 (3)	2.02 (3)	0.47 (2)	390 (3)	-1379 (3)	1352 (3)
108	2	1.42 (3)	2.12 (3)	0.52 (2)	1607 (3)	-830 (2)	1527 (3)
108	3	1.83 (3)	2.08 (3)	0.54 (2)	2816 (3)	-683 (2)	1637 (3)
108	4	2.13 (3)	1.98 (3)	0.53 (2)	4025 (3)	-571 (2)	1697 (3)
108	5	0.40 (3)	-0.58 (2)	0.81 (2)	-407 (2)	-2481 (2)	2598 (3)
108	6	1.16 (3)	-0.62 (2)	0.87 (2)	592 (3)	-1891 (2)	3049 (3)
108	7	1.68 (3)	-0.64 (2)	0.91 (2)	1051 (3)	-1410 (2)	3365 (3)
108	8	2.03 (3)	-0.66 (2)	0.91 (2)	1611 (3)	-1022 (2)	3508 (3)
108	9	0.22 (3)	-1.43 (3)	1.02 (2)	-617 (2)	-4689 (2)	2987 (3)
108	10	0.88 (3)	-1.31 (3)	1.05 (2)	-543 (2)	-3514 (2)	3479 (3)
108	11	1.41 (3)	-1.19 (3)	1.06 (2)	-531 (2)	-2574 (2)	3933 (3)
108	12	1.82 (3)	-1.07 (3)	1.05 (2)	-585 (2)	-1824 (2)	4202 (3)
108	13	-0.21 (2)	-2.32 (3)	1.10 (2)	-878 (2)	-7053 (2)	2977 (3)
108	14	0.69 (3)	-2.13 (3)	1.09 (2)	-662 (2)	-5341 (2)	3496 (3)
108	15	1.19 (3)	-1.98 (3)	1.08 (2)	-495 (2)	-3948 (2)	4014 (3)
108	16	1.59 (3)	-1.84 (3)	1.06 (2)	-377 (2)	-2824 (2)	4374 (3)
109	1	-0.25 (2)	-2.81 (3)	0.95 (2)	-1138 (2)	-9302 (2)	2731 (3)
109	2	0.57 (3)	-2.60 (3)	0.98 (2)	-824 (2)	-7173 (2)	3279 (3)
109	3	1.01 (3)	-2.41 (3)	1.00 (2)	-551 (2)	-5400 (2)	3833 (3)
109	4	1.36 (3)	-2.24 (3)	1.01 (2)	-483 (4)	-3937 (2)	4248 (3)
109	5	-0.29 (2)	-2.58 (3)	0.90 (2)	-1383 (2)	-11362 (2)	2429 (3)
109	6	0.39 (3)	-2.51 (3)	0.93 (2)	-1002 (2)	-8933 (2)	2956 (3)
109	7	0.78 (3)	-2.41 (3)	0.95 (2)	-656 (2)	-6850 (2)	3511 (3)
109	8	1.12 (3)	-2.30 (3)	0.95 (2)	-527 (4)	-5091 (2)	3950 (3)
109	9	-0.31 (2)	-2.34 (3)	0.97 (2)	-1629 (2)	-13360 (2)	2106 (3)
109	10	-0.39 (2)	-2.31 (3)	0.97 (2)	-1200 (2)	-10631 (2)	2587 (3)
109	11	0.58 (3)	-2.27 (3)	0.95 (2)	-802 (2)	-8261 (2)	3115 (3)
109	12	0.90 (3)	-2.21 (3)	0.92 (2)	-550 (4)	-6237 (2)	3554 (3)
109	13	-0.30 (2)	-2.61 (2)	0.93 (2)	-1871 (2)	-15284 (2)	1753 (3)
109	14	-0.32 (2)	-2.44 (4)	0.89 (2)	-1203 (2)	-12231 (2)	2189 (3)
109	15	0.49 (3)	-2.32 (4)	0.86 (2)	-969 (2)	-9593 (2)	2685 (3)
109	16	0.75 (3)	-2.20 (4)	0.83 (2)	-567 (4)	-7333 (2)	3111 (3)
110	1	-0.32 (2)	-2.77 (2)	0.59 (2)	-2070 (2)	-16875 (2)	1359 (3)
110	2	-0.31 (2)	-2.55 (2)	0.63 (2)	-1579 (2)	-13627 (2)	1776 (3)
110	3	0.42 (3)	-2.36 (2)	0.66 (2)	-1117 (2)	-10796 (2)	2243 (3)
110	4	0.64 (3)	-2.19 (2)	0.68 (2)	-672 (2)	-8347 (2)	2648 (3)
110	5	-0.37 (2)	-2.44 (2)	0.49 (2)	-2226 (2)	-18138 (2)	997 (3)
110	6	-0.41 (2)	-2.40 (2)	0.52 (2)	-1723 (2)	-14818 (2)	1374 (3)
110	7	-0.42 (2)	-2.32 (2)	0.56 (2)	-1245 (2)	-11861 (2)	1800 (3)
110	8	0.50 (3)	-2.22 (2)	0.57 (2)	-788 (2)	-9262 (2)	2178 (3)
110	9	-0.38 (2)	-2.50 (2)	0.60 (2)	-2385 (2)	-19370 (2)	-689 (2)
110	10	-0.42 (2)	-2.47 (2)	0.59 (2)	-1874 (2)	-15915 (2)	-1044 (2)
110	11	-0.42 (2)	-2.41 (2)	0.56 (2)	-1388 (2)	-12814 (2)	-1445 (2)
110	12	-0.42 (2)	-2.32 (2)	0.54 (2)	-920 (2)	-10072 (2)	-1798 (2)
110	13	-0.36 (2)	-3.08 (2)	0.56 (2)	-2554 (2)	-20618 (2)	-590 (2)
110	14	-0.33 (2)	-2.87 (2)	0.52 (2)	-2041 (2)	-16932 (2)	-915 (2)
110	15	-0.34 (2)	-2.69 (2)	0.48 (1)	-1552 (2)	-13653 (2)	-1260 (2)
110	16	-0.35 (2)	-2.52 (2)	0.50 (3)	-1075 (2)	-10761 (2)	-1554 (2)

**POTENZIAMENTO DELL'IMPIANTO DI DEPURAZIONE E
DEL RECAPITO FINALE DI SQUINZANO (LE)
PROGETTO DEFINITIVO
Tabulati di calcolo strutturale-Equalizzazione**

R.37.7

Maggio 2021

Pagina 89 di 338

Muro	Pann.	Sxx	Syy	Sxy	Mxx	Myy	Mxy
111	1	0.85 (3)	-2.08 (4)	0.68 (2)	-806 (3)	-6245 (2)	2977 (3)
111	2	1.05 (3)	-1.97 (4)	0.67 (2)	-1292 (3)	-4459 (2)	3231 (3)
111	3	1.24 (3)	-1.87 (4)	0.65 (2)	-1730 (3)	-2961 (2)	3417 (3)
111	4	1.41 (3)	-1.76 (4)	0.62 (2)	-2119 (3)	-2740 (4)	3540 (3)
111	5	0.70 (3)	-2.11 (2)	0.58 (2)	-710 (3)	-7007 (2)	2492 (3)
111	6	0.89 (3)	-1.99 (2)	0.57 (2)	-1223 (3)	-5074 (2)	2743 (3)
111	7	1.07 (3)	-1.86 (2)	0.56 (2)	-1690 (3)	-3439 (2)	2936 (3)
111	8	1.25 (3)	-1.74 (2)	0.53 (2)	-2111 (3)	-2841 (4)	-3079 (2)
111	9	0.55 (3)	-2.21 (2)	0.51 (2)	-648 (4)	-7678 (2)	-2094 (2)
111	10	0.74 (3)	-2.09 (2)	0.49 (2)	-1136 (3)	-5615 (2)	-2334 (2)
111	11	0.93 (3)	-1.96 (2)	0.52 (3)	-1619 (3)	-3861 (2)	-2524 (2)
111	12	1.12 (3)	-1.83 (2)	0.58 (3)	-2060 (3)	-2893 (4)	-2668 (2)
111	13	0.43 (3)	-2.37 (2)	0.55 (3)	-663 (4)	-8236 (2)	-1792 (2)
111	14	0.62 (3)	-2.22 (2)	0.61 (3)	-1042 (3)	-6057 (2)	-1978 (2)
111	15	0.83 (3)	-2.07 (2)	0.65 (3)	-1530 (3)	-4202 (2)	-2122 (2)
111	16	1.03 (3)	-1.92 (2)	0.69 (3)	-1979 (3)	-2898 (4)	-2231 (2)
112	1	-2.69 (3)	-0.27 (2)	0.40 (5-II-1)	21401 (3)	2656 (3)	955 (3)
112	2	-3.17 (3)	-0.32 (2)	0.47 (5-II-1)	21420 (3)	2655 (3)	770 (3)
112	3	-4.46 (3)	-0.37 (2)	0.57 (5-II-1)	22351 (3)	2797 (3)	545 (3)
112	4	-6.49 (3)	-0.50 (3)	1.39 (3)	22808 (3)	2861 (3)	1989 (2)
112	5	-2.72 (3)	-0.36 (2)	0.41 (5-II-1)	16699 (3)	2022 (3)	1014 (3)
112	6	-2.92 (3)	-0.37 (2)	0.50 (5-II-1)	17043 (3)	2048 (3)	876 (3)
112	7	-3.49 (3)	-0.35 (2)	0.65 (5-II-1)	17499 (3)	2179 (3)	748 (3)
112	8	-5.91 (3)	0.67 (3)	0.54 (2)	17487 (3)	2205 (3)	1029 (2)
112	9	-2.56 (3)	-0.43 (2)	0.41 (5-II-1)	12652 (3)	1431 (3)	1199 (3)
112	10	-2.83 (3)	-0.43 (2)	0.50 (5-II-1)	13044 (3)	1466 (3)	1004 (3)
112	11	-3.47 (3)	-0.42 (2)	0.57 (5-II-1)	13266 (3)	1587 (3)	823 (3)
112	12	-4.89 (3)	0.90 (3)	0.55 (2)	-13871 (2)	1590 (3)	605 (3)
112	13	-2.47 (3)	-0.50 (2)	0.41 (5-II-1)	-9511 (2)	858 (3)	1392 (3)
112	14	-2.76 (3)	-0.48 (2)	0.48 (5-II-1)	-9954 (2)	915 (3)	1111 (3)
112	15	-3.34 (3)	0.57 (3)	0.50 (2)	-10448 (2)	1002 (3)	825 (3)
112	16	-4.11 (3)	0.99 (3)	0.52 (2)	-11039 (2)	967 (3)	467 (3)
113	1	-2.41 (3)	-0.54 (2)	0.40 (5-II-1)	-7233 (2)	308 (3)	1553 (3)
113	2	-2.67 (3)	0.59 (3)	0.45 (2)	-7691 (2)	377 (3)	1189 (3)
113	3	-3.14 (3)	0.83 (3)	0.48 (2)	-8132 (2)	430 (3)	807 (3)
113	4	-3.54 (3)	1.08 (3)	-0.49 (3)	-8531 (2)	365 (3)	363 (3)
113	5	-2.35 (3)	0.73 (3)	0.39 (5-II-1)	-5273 (2)	532 (2)	1677 (3)
113	6	-2.56 (3)	0.84 (3)	0.43 (2)	-5689 (2)	555 (2)	1245 (3)
113	7	-2.91 (3)	1.04 (3)	0.46 (2)	-6059 (2)	448 (2)	787 (3)
113	8	-3.11 (3)	1.19 (3)	-0.51 (3)	-6342 (2)	-205 (3)	286 (3)
113	9	-2.27 (3)	0.98 (3)	0.37 (2)	-3598 (2)	1009 (2)	1768 (3)
113	10	-2.44 (3)	1.07 (3)	0.41 (2)	-3952 (2)	992 (2)	1283 (3)
113	11	-2.67 (3)	1.22 (3)	0.43 (2)	-4250 (2)	868 (2)	770 (3)
113	12	-2.76 (3)	1.31 (3)	-0.51 (3)	-4456 (2)	-740 (3)	228 (3)
113	13	-2.17 (3)	1.22 (3)	0.36 (2)	-2184 (2)	1453 (2)	1829 (3)
113	14	-2.29 (3)	1.29 (3)	0.39 (2)	-2470 (2)	1411 (2)	1307 (3)
113	15	-2.45 (3)	1.40 (3)	0.39 (2)	-2704 (2)	1281 (2)	755 (3)
113	16	-2.48 (3)	1.45 (3)	-0.50 (3)	-2855 (2)	-1241 (3)	184 (3)
114	1	-5.70 (3)	-0.57 (3)	-1.56 (3)	15050 (3)	1860 (3)	-2440 (2)
114	2	-4.16 (3)	-0.32 (2)	-0.48 (3)	16073 (3)	1931 (3)	-1504 (2)
114	3	-3.08 (3)	-0.28 (2)	0.26 (2)	18041 (3)	2186 (3)	1041 (3)
114	4	-2.69 (3)	-0.26 (2)	0.35 (2)	20219 (3)	2498 (3)	688 (3)
114	5	-6.11 (3)	0.55 (3)	-0.62 (3)	10980 (3)	1283 (3)	-2439 (2)
114	6	-3.30 (3)	-0.41 (2)	-0.58 (3)	12458 (3)	1327 (3)	-1888 (2)
114	7	-2.54 (3)	-0.39 (2)	0.26 (2)	14076 (3)	1549 (3)	1410 (3)
114	8	-2.54 (3)	-0.36 (2)	0.35 (2)	15716 (3)	1863 (3)	1109 (3)
114	9	-5.40 (3)	1.05 (3)	0.20 (2)	-8160 (2)	747 (3)	-2657 (2)
114	10	-3.27 (3)	-0.46 (2)	-0.52 (3)	9208 (3)	771 (3)	-2234 (2)
114	11	-2.54 (3)	-0.47 (2)	0.25 (2)	10578 (3)	963 (3)	1840 (3)
114	12	-2.42 (3)	-0.44 (2)	0.34 (2)	11838 (3)	1268 (3)	1480 (3)
114	13	-4.74 (3)	1.33 (3)	0.28 (1)	-6085 (2)	-306 (2)	3089 (3)
114	14	-3.28 (3)	0.59 (3)	-0.35 (3)	-6993 (2)	262 (3)	2622 (3)
114	15	-2.55 (3)	-0.53 (2)	0.24 (2)	-7950 (2)	425 (3)	2206 (3)
114	16	-2.37 (3)	-0.51 (2)	0.34 (2)	-8866 (2)	697 (3)	1775 (3)
115	1	-4.21 (3)	1.55 (3)	0.39 (1)	-4328 (2)	-240 (3)	3478 (3)
115	2	-3.22 (3)	0.93 (3)	-0.22 (5-I-1)	-5139 (2)	314 (2)	2966 (3)
115	3	-2.54 (3)	0.58 (3)	0.24 (2)	-5921 (2)	242 (2)	2500 (3)
115	4	-2.33 (3)	-0.56 (2)	0.33 (2)	-6655 (2)	182 (1)	2007 (3)
115	5	-3.78 (3)	1.74 (3)	0.55 (3)	-2862 (2)	-667 (3)	3771 (3)
115	6	-3.10 (3)	1.22 (3)	0.22 (2)	-3540 (2)	697 (2)	3240 (3)
115	7	-2.51 (3)	0.86 (3)	0.25 (2)	-4176 (2)	689 (2)	2731 (3)
115	8	-2.29 (3)	0.72 (3)	0.33 (5-II-1)	-4772 (2)	565 (2)	2185 (3)
115	9	-3.41 (3)	1.90 (3)	0.68 (3)	-1679 (4)	-1040 (3)	3973 (3)
115	10	-2.94 (3)	1.47 (3)	0.30 (5-II-1)	-2192 (2)	-1060 (3)	3445 (3)
115	11	-2.45 (3)	1.12 (3)	0.28 (5-II-1)	-2697 (2)	1110 (2)	2904 (3)
115	12	-2.23 (3)	0.97 (3)	0.34 (5-II-1)	-3178 (2)	1040 (2)	2318 (3)

**POTENZIAMENTO DELL'IMPIANTO DI DEPURAZIONE E
DEL RECAPITO FINALE DI SQUINZANO (LE)
PROGETTO DEFINITIVO
Tabulati di calcolo strutturale-Equalizzazione**

R.37.7

Maggio 2021

Pagina 90 di 338

Muro	Pann.	Sxx	Syy	Sxy	Mxx	Myy	Mxy
115	13	-3.10 (3)	2.05 (3)	0.79 (3)	-1754 (4)	-1360 (3)	4094 (3)
115	14	-2.76 (3)	1.69 (3)	0.37 (5-II-1)	-1874 (4)	-1428 (3)	3585 (3)
115	15	-2.36 (3)	1.37 (3)	0.32 (5-II-1)	-1953 (4)	1505 (2)	3027 (3)
115	16	-2.16 (3)	1.22 (3)	0.34 (5-II-1)	-2038 (4)	1482 (2)	2412 (3)
116	1	-2.35 (2)	-0.29 (2)	1.33 (3)	-9707 (2)	-1248 (2)	1923 (3)
116	2	-2.65 (2)	-0.32 (2)	1.57 (3)	-11228 (2)	-1451 (2)	-1739 (2)
116	3	-3.43 (2)	-0.33 (2)	2.27 (3)	-12799 (2)	-1638 (2)	-1848 (2)
116	4	-7.53 (3)	-0.81 (3)	4.11 (3)	-13788 (2)	-1730 (2)	-2270 (2)
116	5	-2.27 (4)	-0.32 (2)	1.42 (3)	-7349 (2)	-1011 (2)	2589 (3)
116	6	-2.73 (4)	-0.32 (2)	1.77 (3)	-8500 (2)	-1176 (2)	2419 (3)
116	7	-3.80 (3)	-0.19 (1)	2.49 (3)	-9526 (2)	-1293 (2)	-2425 (2)
116	8	-6.30 (3)	1.01 (3)	2.15 (3)	-10234 (2)	-1318 (2)	-2525 (2)
116	9	-2.28 (4)	0.63 (3)	1.55 (3)	-5381 (2)	-793 (2)	3302 (3)
116	10	-2.92 (3)	0.52 (3)	1.86 (3)	-6213 (2)	-896 (2)	3182 (3)
116	11	-3.90 (3)	0.76 (3)	2.02 (3)	-6944 (2)	-967 (2)	3043 (3)
116	12	-5.39 (3)	1.30 (3)	1.53 (3)	-7527 (2)	-954 (2)	2894 (3)
116	13	-2.34 (3)	1.05 (3)	1.64 (3)	-3777 (2)	-589 (2)	3853 (3)
116	14	-2.97 (3)	1.07 (3)	1.77 (3)	-4375 (2)	-617 (2)	3764 (3)
116	15	-3.78 (3)	1.26 (3)	1.72 (3)	-4922 (2)	-620 (2)	3628 (3)
116	16	-4.66 (3)	1.54 (3)	1.31 (3)	-5408 (2)	-557 (2)	3454 (3)
117	1	-3.21 (3)	-0.25 (2)	-0.97 (2)	-12602 (2)	-1540 (2)	-2733 (3)
117	2	-3.00 (3)	-0.28 (2)	-1.08 (2)	-11377 (2)	-1398 (2)	-2924 (3)
117	3	-3.03 (3)	-0.28 (2)	-0.98 (2)	-10133 (2)	-1248 (2)	-3036 (3)
117	4	-3.09 (3)	-0.23 (2)	-1.13 (2)	-8888 (2)	-1095 (2)	-3203 (3)
117	5	-3.13 (3)	0.32 (3)	-0.95 (2)	-9841 (2)	-1129 (2)	-3241 (3)
117	6	-2.99 (3)	-0.33 (2)	-1.04 (2)	-8860 (2)	-1028 (2)	-3430 (3)
117	7	-2.96 (3)	0.45 (3)	-1.05 (2)	-7836 (2)	-916 (2)	-3603 (3)
117	8	-2.89 (3)	0.58 (3)	-1.10 (2)	-6782 (2)	-804 (2)	-3757 (3)
117	9	-3.00 (3)	0.72 (3)	-0.92 (2)	-7515 (2)	-754 (2)	-3797 (3)
117	10	-2.91 (3)	0.79 (3)	-1.01 (2)	-6718 (2)	-685 (2)	-3993 (3)
117	11	-2.84 (3)	0.91 (3)	-1.06 (2)	-5892 (2)	-615 (2)	-4175 (3)
117	12	-2.71 (3)	1.05 (3)	-1.10 (2)	-5047 (2)	-556 (2)	-4320 (3)
117	13	-2.86 (3)	1.06 (3)	-0.90 (2)	-5573 (2)	-531 (4)	-4246 (3)
117	14	-2.80 (3)	1.16 (3)	-0.98 (2)	-4932 (2)	-524 (4)	-4437 (3)
117	15	-2.70 (3)	1.30 (3)	-1.04 (2)	-4279 (2)	-502 (4)	-4607 (3)
117	16	-2.54 (3)	1.45 (3)	-1.09 (2)	-3625 (2)	-460 (4)	-4730 (3)
118	1	-2.71 (3)	1.35 (3)	-0.88 (2)	-3961 (2)	-843 (3)	-4569 (3)
118	2	-2.66 (3)	1.47 (3)	-0.96 (2)	-3459 (2)	-796 (3)	-4744 (3)
118	3	-2.55 (3)	1.62 (3)	-1.01 (2)	-2961 (2)	-699 (3)	-4891 (3)
118	4	-2.37 (3)	1.77 (3)	-1.05 (2)	-2473 (2)	-532 (3)	-4983 (3)
118	5	-2.56 (3)	1.59 (3)	-0.86 (2)	-2638 (2)	-1184 (3)	-4777 (3)
118	6	-2.51 (3)	1.73 (3)	-0.92 (2)	-2261 (2)	-1080 (3)	-4929 (3)
118	7	-2.40 (3)	1.87 (3)	-0.97 (2)	-2046 (4)	-912 (3)	-5045 (3)
118	8	-2.21 (3)	2.02 (3)	-1.01 (2)	-1854 (4)	-656 (3)	-5100 (3)
118	9	-2.41 (3)	1.79 (3)	-0.83 (2)	-2356 (4)	-1467 (3)	-4884 (3)
118	10	-2.35 (3)	1.93 (3)	-0.88 (2)	-2194 (4)	-1302 (3)	-5009 (3)
118	11	-2.24 (3)	2.06 (3)	-0.92 (2)	-2010 (4)	-1060 (3)	-5092 (3)
118	12	-2.05 (3)	2.20 (3)	-0.95 (2)	-1801 (4)	-713 (3)	-5108 (3)
118	13	-2.26 (3)	1.95 (3)	-0.80 (2)	-2296 (4)	-1691 (3)	-4907 (3)
118	14	-2.19 (3)	2.08 (3)	-0.84 (2)	-2173 (3)	-1464 (3)	-5003 (3)
118	15	-2.08 (3)	2.21 (3)	-0.87 (2)	-2055 (3)	-1146 (3)	-5051 (3)
118	16	-1.89 (3)	2.33 (3)	-0.89 (2)	-1876 (3)	-709 (3)	-5030 (3)
119	1	-2.35 (3)	1.46 (3)	1.66 (3)	-2498 (2)	-540 (4)	4226 (3)
119	2	-2.91 (3)	1.49 (3)	1.68 (3)	-2919 (2)	-528 (4)	4158 (3)
119	3	-3.54 (3)	1.61 (3)	1.56 (3)	-3326 (2)	-466 (4)	4031 (3)
119	4	-4.11 (3)	1.74 (3)	1.21 (3)	-3717 (2)	-369 (4)	3860 (3)
119	5	-2.29 (3)	1.79 (3)	1.67 (3)	-1496 (2)	-556 (4)	4446 (3)
119	6	-2.79 (3)	1.81 (3)	1.63 (3)	-1777 (2)	-632 (3)	4402 (3)
119	7	-3.28 (3)	1.87 (3)	1.48 (3)	-2066 (2)	-674 (3)	4293 (3)
119	8	-3.67 (3)	1.92 (3)	1.19 (3)	-2362 (2)	-675 (3)	4140 (3)
119	9	-2.20 (3)	2.04 (3)	1.68 (3)	-1301 (4)	-582 (3)	4543 (3)
119	10	-2.62 (3)	2.04 (3)	1.61 (3)	-1418 (4)	-798 (3)	4527 (3)
119	11	-3.01 (3)	2.07 (3)	1.45 (3)	-1514 (4)	-920 (3)	4443 (3)
119	12	-3.31 (3)	2.07 (3)	1.20 (3)	-1593 (4)	-987 (3)	4313 (3)
119	13	-2.08 (3)	2.23 (3)	1.69 (3)	-1280 (4)	-603 (3)	4544 (3)
119	14	-2.45 (3)	2.22 (3)	1.61 (3)	-1415 (4)	-907 (3)	4557 (3)
119	15	-2.76 (3)	2.22 (3)	1.45 (3)	-1532 (4)	-1108 (3)	4502 (3)
119	16	-3.00 (3)	2.21 (3)	1.23 (3)	-1632 (4)	-1238 (3)	4399 (3)
120	1	1.77 (3)	2.14 (3)	1.00 (3)	-531 (2)	4489 (3)	-1722 (2)
120	2	-0.77 (2)	2.01 (3)	1.28 (3)	-766 (2)	1964 (3)	3213 (3)
120	3	-1.11 (2)	1.79 (3)	1.42 (3)	-1276 (2)	-861 (2)	3919 (3)
120	4	-1.67 (3)	1.56 (3)	1.55 (3)	-1930 (2)	-527 (2)	4199 (3)
120	5	1.64 (3)	2.32 (3)	1.05 (3)	-504 (2)	5519 (3)	-1829 (2)
120	6	-0.81 (2)	2.20 (3)	1.36 (3)	-532 (2)	2541 (3)	3247 (3)
120	7	-1.07 (2)	2.03 (3)	1.52 (3)	-832 (4)	-1044 (2)	4006 (3)
120	8	-1.65 (3)	1.86 (3)	1.63 (3)	-1146 (2)	-506 (2)	4367 (3)

**POTENZIAMENTO DELL'IMPIANTO DI DEPURAZIONE E
DEL RECAPITO FINALE DI SQUINZANO (LE)
PROGETTO DEFINITIVO
Tabulati di calcolo strutturale-Equalizzazione**

R.37.7

Maggio 2021

Pagina 91 di 338

Muro	Pann.	Sxx	Syy	Sxy	Mxx	Myy	Mxy
120	9	1.50 (3)	2.45 (3)	1.10 (3)	-515 (2)	6474 (3)	-1897 (2)
120	10	-0.84 (2)	2.35 (3)	1.43 (3)	-432 (4)	3127 (3)	-3322 (2)
120	11	-1.02 (2)	2.22 (3)	1.60 (3)	-790 (4)	-1265 (2)	3996 (3)
120	12	-1.60 (3)	2.09 (3)	1.69 (3)	-1101 (4)	-520 (2)	4416 (3)
120	13	1.36 (3)	2.53 (3)	1.13 (3)	-555 (2)	7333 (3)	-1936 (2)
120	14	-0.87 (2)	2.45 (3)	1.48 (3)	-385 (4)	3702 (3)	-3364 (2)
120	15	-0.98 (2)	2.35 (3)	1.66 (3)	-739 (4)	-1516 (2)	-4049 (2)
120	16	-1.53 (3)	2.27 (3)	1.73 (3)	-1061 (4)	-569 (2)	-4401 (2)
121	1	-1.97 (3)	1.98 (3)	-1.08 (2)	-1862 (2)	-375 (4)	-4966 (3)
121	2	-1.12 (3)	2.22 (3)	-1.04 (2)	-1197 (2)	749 (3)	-4636 (3)
121	3	-0.66 (2)	2.40 (3)	-0.90 (2)	-708 (2)	2445 (3)	-3768 (3)
121	4	2.03 (3)	2.48 (3)	-0.54 (2)	-504 (2)	5617 (3)	-1860 (3)
121	5	-1.81 (3)	2.21 (3)	-1.03 (2)	-1547 (4)	-372 (4)	-5019 (3)
121	6	-0.99 (3)	2.43 (3)	-0.99 (2)	-1095 (4)	1060 (3)	-4604 (3)
121	7	-0.69 (2)	2.57 (3)	-0.83 (2)	-591 (4)	3143 (3)	-3697 (3)
121	8	1.87 (3)	2.64 (3)	-0.50 (2)	-484 (2)	6752 (3)	-1852 (3)
121	9	-1.65 (3)	2.38 (3)	-0.96 (2)	-1472 (4)	-351 (4)	-4967 (3)
121	10	-0.88 (3)	2.56 (3)	-0.91 (2)	-1004 (4)	1417 (3)	-4486 (3)
121	11	-0.72 (2)	2.68 (3)	-0.76 (2)	-502 (4)	3828 (3)	-3577 (3)
121	12	1.72 (3)	2.73 (3)	-0.45 (2)	-501 (2)	7776 (3)	-1826 (3)
121	13	-1.51 (3)	2.49 (3)	-0.89 (2)	-1519 (3)	-406 (2)	-4837 (3)
121	14	-0.81 (2)	2.64 (3)	-0.83 (2)	-914 (3)	1803 (3)	-4312 (3)
121	15	-0.74 (2)	2.74 (3)	-0.71 (4)	-424 (4)	4482 (3)	-3427 (3)
121	16	1.55 (3)	2.78 (3)	-0.41 (4)	616 (3)	8679 (3)	-1790 (3)
122	1	2.15 (3)	0.66 (3)	0.75 (3)	-999 (2)	398 (3)	938 (3)
122	2	-0.61 (2)	0.38 (3)	0.86 (2)	-2575 (2)	-429 (2)	2000 (3)
122	3	-1.18 (2)	0.22 (3)	1.12 (2)	-4962 (2)	-669 (2)	2266 (3)
122	4	-1.88 (2)	-0.25 (2)	1.23 (2)	-7587 (2)	-979 (2)	2171 (3)
122	5	2.12 (3)	1.21 (3)	0.84 (3)	-855 (2)	1332 (3)	1083 (3)
122	6	-0.66 (2)	1.01 (3)	0.95 (1)	-1992 (2)	-591 (2)	2473 (3)
122	7	-1.19 (2)	0.72 (3)	1.15 (2)	-3743 (2)	-625 (2)	2804 (3)
122	8	-1.78 (2)	0.44 (3)	1.24 (2)	-5734 (2)	-809 (2)	2770 (3)
122	9	2.01 (3)	1.60 (3)	0.90 (3)	-716 (2)	2343 (3)	-1352 (2)
122	10	-0.70 (2)	1.44 (3)	1.07 (3)	-1499 (2)	952 (3)	2857 (3)
122	11	-1.17 (2)	1.15 (3)	1.17 (1)	-2743 (2)	-641 (2)	3336 (3)
122	12	-1.73 (4)	0.83 (3)	1.30 (3)	-4194 (2)	-677 (2)	3403 (3)
122	13	1.89 (3)	1.90 (3)	0.95 (3)	-602 (2)	3415 (3)	-1566 (2)
122	14	-0.73 (2)	1.76 (3)	1.19 (3)	-1088 (2)	1423 (3)	3092 (3)
122	15	-1.15 (2)	1.50 (3)	1.28 (3)	-1926 (2)	-723 (2)	3705 (3)
122	16	-1.70 (4)	1.22 (3)	1.44 (3)	-2936 (2)	-584 (2)	3885 (3)
123	1	-2.74 (3)	-0.21 (2)	-1.12 (2)	-7032 (2)	-880 (2)	-3375 (3)
123	2	-1.71 (3)	0.22 (3)	-1.07 (2)	-4651 (2)	-615 (2)	-3326 (3)
123	3	-0.54 (2)	0.45 (3)	-0.84 (2)	-2471 (2)	-408 (2)	-2871 (3)
123	4	2.12 (3)	0.85 (3)	-0.49 (2)	-2069 (3)	379 (3)	-1499 (3)
123	5	-2.49 (3)	0.71 (3)	-1.14 (2)	-5309 (2)	-670 (2)	-3895 (3)
123	6	-1.58 (3)	0.94 (3)	-1.09 (2)	-3484 (2)	-546 (2)	-3831 (3)
123	7	-0.58 (2)	1.21 (3)	-0.90 (2)	-1876 (2)	603 (3)	-3336 (3)
123	8	2.26 (3)	1.58 (3)	-0.54 (2)	-1049 (3)	1766 (3)	-1682 (3)
123	9	-2.31 (3)	1.24 (3)	-1.13 (2)	-3906 (2)	-509 (2)	-4416 (3)
123	10	-1.42 (3)	1.50 (3)	-1.10 (2)	-2543 (2)	-538 (2)	-4287 (3)
123	11	-0.61 (2)	1.77 (3)	-0.94 (2)	-1393 (2)	1130 (3)	-3642 (3)
123	12	2.25 (3)	1.98 (3)	-0.57 (2)	-674 (2)	3095 (3)	-1790 (3)
123	13	-2.14 (3)	1.66 (3)	-1.12 (2)	-2770 (2)	-395 (2)	-4774 (3)
123	14	-1.26 (3)	1.92 (3)	-1.08 (2)	-1789 (2)	-598 (2)	-4546 (3)
123	15	-0.63 (2)	2.14 (3)	-0.94 (2)	-1003 (2)	1761 (3)	-3765 (3)
123	16	2.16 (3)	2.27 (3)	-0.57 (2)	-566 (2)	4389 (3)	-1843 (3)
124	1	-0.33 (2)	-2.67 (2)	-0.22 (2)	-1755 (2)	-13974 (2)	-135 (2)
124	2	-0.34 (2)	-2.49 (2)	-0.19 (2)	-1372 (2)	-10789 (2)	-90 (2)
124	3	-0.38 (2)	-2.34 (2)	-0.17 (2)	-1029 (2)	-7957 (2)	-60 (2)
124	4	-0.43 (2)	-2.21 (2)	-0.14 (2)	-724 (2)	-5457 (2)	-55 (5-II-1)
124	5	-0.32 (2)	-2.07 (2)	-0.16 (2)	-1695 (2)	-13663 (2)	-105 (5-II-1)
124	6	-0.40 (2)	-2.07 (2)	-0.19 (2)	-1288 (2)	-10592 (2)	-114 (5-II-1)
124	7	-0.46 (2)	-2.03 (2)	-0.19 (2)	-925 (2)	-7835 (2)	-125 (5-II-1)
124	8	-0.51 (2)	-1.97 (2)	-0.18 (2)	-603 (2)	-5385 (2)	-137 (5-II-1)
124	9	-0.33 (2)	-2.08 (2)	0.22 (3)	-1680 (2)	-13597 (2)	-132 (5-II-1)
124	10	-0.41 (2)	-2.09 (2)	0.23 (3)	-1257 (2)	-10516 (2)	-169 (5-II-1)
124	11	-0.47 (2)	-2.04 (2)	0.23 (3)	-874 (2)	-7760 (2)	-211 (5-II-1)
124	12	-0.52 (2)	-1.98 (2)	0.23 (3)	-529 (2)	-5319 (2)	-248 (5-II-1)
124	13	-0.34 (2)	-2.70 (2)	0.35 (3)	-1695 (2)	-13636 (2)	-272 (3)
124	14	-0.35 (2)	-2.53 (2)	0.34 (3)	-1272 (2)	-10445 (2)	-351 (3)
124	15	-0.39 (2)	-2.39 (2)	0.33 (3)	-882 (2)	-7631 (2)	-433 (3)
124	16	-0.44 (2)	-2.24 (2)	0.31 (3)	-520 (2)	-5169 (2)	-501 (3)
125	1	-0.48 (2)	-2.09 (2)	-0.12 (2)	-457 (2)	-3465 (5-I-1)	-54 (5-II-1)
125	2	-0.53 (2)	-1.97 (2)	-0.11 (2)	-400 (3)	-3839 (5-I-1)	-53 (5-II-1)
125	3	0.62 (3)	-1.86 (2)	-0.10 (2)	-593 (3)	-5080 (3)	57 (5-I-1)
125	4	0.75 (3)	-1.76 (2)	-0.08 (2)	-737 (3)	-6406 (3)	71 (5-I-1)

**POTENZIAMENTO DELL'IMPIANTO DI DEPURAZIONE E
DEL RECAPITO FINALE DI SQUINZANO (LE)
PROGETTO DEFINITIVO
Tabulati di calcolo strutturale-Equalizzazione**

R.37.7

Maggio 2021

Pagina 92 di 338

Muro	Pann.	Sxx	Syy	Sxy	Mxx	Myy	Mxy
125	5	-0.56(2)	-1.90(2)	-0.17(2)	-375(5-I-1)	-3371(5-I-1)	-148(5-II-1)
125	6	-0.60(2)	-1.82(2)	-0.16(2)	-524(3)	-3750(5-I-1)	-158(5-II-1)
125	7	-0.64(2)	-1.74(2)	-0.14(2)	-761(3)	-4984(3)	-164(5-II-1)
125	8	0.73(3)	-1.66(2)	-0.13(2)	-955(3)	-6280(3)	173(5-I-1)
125	9	-0.56(2)	-1.91(2)	0.22(3)	-410(5-I-1)	-3258(5-I-1)	-278(5-II-1)
125	10	-0.61(2)	-1.82(2)	0.22(3)	-707(3)	-3634(5-I-1)	-302(5-II-1)
125	11	-0.66(2)	-1.74(2)	0.21(3)	-992(3)	-4909(3)	-320(5-II-1)
125	12	0.74(3)	-1.65(2)	0.20(3)	-1239(3)	-6160(3)	-332(5-II-1)
125	13	-0.50(2)	-2.10(2)	0.30(3)	-533(3)	-3151(5-I-1)	-553(3)
125	14	-0.55(2)	-1.98(2)	0.28(3)	-879(3)	-3515(5-I-1)	-590(3)
125	15	0.67(3)	-1.86(2)	0.27(3)	-1185(3)	-4943(3)	-613(3)
125	16	0.80(3)	-1.75(2)	-0.25(2)	-1454(3)	-6140(3)	-622(3)
126	1	-0.30(2)	-2.80(2)	-0.45(2)	-1675(2)	-13462(2)	-466(3)
126	2	-0.32(2)	-2.58(2)	-0.43(2)	-1255(2)	-10233(2)	-557(3)
126	3	-0.37(2)	-2.42(2)	-0.40(2)	-870(2)	-7408(2)	-666(3)
126	4	-0.42(2)	-2.28(2)	-0.37(2)	-506(2)	-4953(2)	-764(3)
126	5	-0.35(2)	-2.34(2)	-0.51(2)	-1614(2)	-12995(2)	-570(3)
126	6	-0.41(2)	-2.32(2)	-0.47(2)	-1200(2)	-9898(2)	-676(3)
126	7	-0.43(2)	-2.27(2)	-0.44(2)	-817(2)	-7146(2)	-804(3)
126	8	-0.46(2)	-2.20(2)	-0.42(2)	-461(2)	-4739(2)	-915(3)
126	9	-0.35(2)	-2.31(2)	0.52(3)	-1556(2)	-12563(2)	-664(3)
126	10	-0.40(2)	-2.29(2)	0.48(3)	-1144(2)	-9533(2)	-811(3)
126	11	-0.43(2)	-2.25(4)	0.44(3)	-762(2)	-6839(2)	-966(3)
126	12	-0.46(2)	-2.19(4)	-0.42(2)	-415(5-I-1)	-4482(2)	-1093(3)
126	13	-0.30(2)	-2.62(4)	0.47(3)	-12196(2)	-12196(2)	-800(3)
126	14	-0.32(2)	-2.48(4)	0.47(3)	-1093(2)	-9144(2)	-967(3)
126	15	-0.37(2)	-2.36(4)	0.46(3)	-713(2)	-6485(2)	-1140(3)
126	16	-0.43(2)	-2.26(4)	-0.45(2)	-423(5-I-1)	-4183(2)	-1279(3)
127	1	-0.48(2)	-2.15(2)	-0.36(2)	-620(3)	-3072(5-I-1)	-842(3)
127	2	0.58(3)	-2.03(2)	-0.35(2)	-969(3)	-3526(3)	-901(3)
127	3	0.72(3)	-1.91(2)	-0.35(2)	-1275(3)	-5028(3)	-941(3)
127	4	0.87(3)	-1.79(2)	-0.35(2)	-1539(3)	-6180(3)	-964(3)
127	5	-0.50(2)	-2.10(2)	-0.41(2)	-663(3)	-3018(5-I-1)	-1002(3)
127	6	0.61(3)	-2.00(2)	-0.41(2)	-1011(3)	-3633(3)	-1065(3)
127	7	0.77(3)	-1.92(4)	-0.40(2)	-1312(3)	-5094(3)	-1105(3)
127	8	0.92(3)	-1.83(4)	-0.40(2)	-1567(3)	-6212(3)	-1125(3)
127	9	-0.50(2)	-2.12(4)	-0.43(2)	-716(3)	-2954(5-I-1)	-1188(3)
127	10	0.66(3)	-2.04(4)	-0.44(2)	-1059(3)	-3738(3)	-1252(3)
127	11	0.82(3)	-1.97(4)	-0.44(2)	-1353(3)	-5151(3)	-1287(3)
127	12	0.98(3)	-1.88(4)	-0.43(2)	-1599(3)	-6225(3)	-1298(3)
127	13	0.55(3)	-2.17(4)	-0.46(2)	-777(3)	-2880(5-I-1)	-1379(3)
127	14	0.72(3)	-2.09(4)	-0.46(2)	-1115(3)	-3837(3)	-1440(3)
127	15	0.89(3)	-2.01(4)	-0.46(2)	-1402(3)	-5189(3)	-1466(3)
127	16	1.05(3)	-1.93(4)	-0.46(2)	-1637(3)	-6209(3)	-1460(3)
128	1	-0.30(2)	-2.57(4)	-0.56(2)	-11627(2)	-11627(2)	-987(3)
128	2	-0.32(2)	-2.45(4)	-0.55(2)	-1022(2)	-8652(2)	-1146(3)
128	3	-0.38(2)	-2.36(4)	-0.52(2)	-646(2)	-6069(2)	-1329(3)
128	4	-0.43(2)	-2.28(4)	-0.51(2)	-456(3)	-3843(2)	-1478(3)
128	5	-0.32(2)	-2.37(3)	-0.58(2)	-1334(2)	-10856(2)	-1141(3)
128	6	-0.38(2)	-2.38(3)	-0.56(2)	-931(2)	-8053(2)	-1332(3)
128	7	-0.42(2)	-2.36(3)	-0.54(2)	-561(2)	-5591(2)	-1537(3)
128	8	0.47(3)	-2.31(3)	-0.53(2)	-529(3)	-3466(2)	-1695(3)
128	9	-0.31(2)	-2.64(3)	0.69(3)	-1237(2)	-10112(2)	-1298(3)
128	10	-0.36(2)	-2.61(3)	0.62(3)	-843(2)	-7419(2)	-1533(3)
128	11	-0.41(2)	-2.53(3)	0.55(3)	-481(2)	-5072(2)	-1764(3)
128	12	0.56(3)	-2.44(3)	-0.51(2)	-608(3)	-3059(2)	-1928(3)
128	13	-0.27(2)	-3.03(3)	0.53(3)	-1144(2)	-9374(2)	-1515(3)
128	14	-0.29(2)	-2.85(3)	0.53(3)	-757(2)	-6748(2)	-1765(3)
128	15	0.43(3)	-2.69(3)	-0.52(2)	-408(2)	-4512(2)	-2005(3)
128	16	0.67(3)	-2.56(3)	-0.53(2)	-679(3)	-2626(2)	-2168(3)
129	1	0.61(3)	-2.19(4)	-0.50(2)	-843(3)	-2793(5-I-1)	-1579(3)
129	2	0.79(3)	-2.11(4)	-0.49(2)	-1177(3)	-3919(3)	-1634(3)
129	3	0.96(3)	-2.03(4)	-0.49(2)	-1458(3)	-5196(3)	-1644(3)
129	4	1.13(3)	-1.95(4)	-0.48(2)	-1684(3)	-6148(3)	-1616(3)
129	5	0.68(3)	-2.25(3)	-0.52(2)	-913(3)	-2691(5-I-1)	-1794(3)
129	6	0.87(3)	-2.17(3)	-0.51(2)	-1242(3)	-3975(3)	-1836(3)
129	7	1.05(3)	-2.08(3)	-0.50(2)	-1515(3)	-5160(3)	-1826(3)
129	8	1.22(3)	-1.99(3)	-0.49(2)	-1732(3)	-6031(3)	-1769(3)
129	9	0.78(3)	-2.35(3)	-0.52(2)	-982(3)	-2574(3)	-2020(3)
129	10	0.98(3)	-2.25(3)	-0.51(2)	-1301(3)	-3992(3)	-2045(3)
129	11	1.16(3)	-2.15(3)	-0.51(2)	-1562(3)	-5070(3)	-2010(3)
129	12	1.32(3)	-2.04(3)	-0.49(2)	-1765(3)	-5847(3)	-1920(3)
129	13	0.90(3)	-2.43(3)	-0.53(2)	-1035(3)	-2681(3)	-2249(3)
129	14	1.10(3)	-2.31(3)	-0.52(2)	-1335(3)	-3960(3)	-2253(3)
129	15	1.28(3)	-2.19(3)	-0.51(2)	-1576(3)	-4915(3)	-2188(3)
129	16	1.44(3)	-2.07(3)	-0.50(2)	-1758(3)	-5584(3)	-2062(3)

Muro	Pann.	Sxx	Syy	Sxy	Mxx	Myy	Mxy
130	1	-0.25 (2)	-2.94 (3)	-0.61 (2)	-1014 (2)	-8339 (2)	-1810 (3)
130	2	-0.30 (2)	-2.78 (3)	-0.60 (2)	-649 (2)	-5905 (2)	-2037 (3)
130	3	0.49 (3)	-2.66 (3)	-0.58 (2)	-359 (4)	-3853 (2)	-2272 (3)
130	4	0.77 (3)	-2.55 (3)	-0.57 (2)	-714 (3)	-2141 (2)	-2428 (3)
130	5	-0.26 (2)	-2.64 (3)	-0.58 (2)	-845 (2)	-7005 (2)	-2039 (3)
130	6	-0.34 (2)	-2.59 (3)	-0.58 (2)	-520 (2)	-4890 (2)	-2301 (3)
130	7	0.57 (3)	-2.54 (3)	-0.57 (2)	-347 (3)	-3103 (2)	-2547 (3)
130	8	0.90 (3)	-2.45 (3)	-0.55 (2)	-687 (3)	-1766 (5-I-1)	-2690 (3)
130	9	-0.23 (2)	-2.70 (3)	0.63 (3)	-685 (2)	-5658 (2)	-2211 (3)
130	10	0.38 (3)	-2.61 (3)	0.53 (3)	-419 (2)	-3858 (2)	-2516 (3)
130	11	0.78 (3)	-2.49 (3)	-0.46 (2)	-316 (3)	-2357 (2)	-2771 (3)
130	12	1.12 (3)	-2.35 (3)	-0.47 (2)	-565 (3)	-1655 (3)	-2888 (3)
130	13	-0.19 (2)	-2.76 (3)	0.40 (3)	-548 (2)	-4363 (2)	-2339 (3)
130	14	0.60 (3)	-2.52 (3)	-0.34 (2)	-375 (2)	-2876 (2)	-2642 (3)
130	15	1.03 (3)	-2.28 (3)	-0.37 (2)	-268 (4)	-1673 (2)	-2868 (3)
130	16	1.37 (3)	-2.06 (3)	-0.39 (2)	-323 (4)	-1663 (3)	-2932 (3)
131	1	1.02 (3)	-2.43 (3)	-0.55 (2)	-1043 (3)	-2744 (3)	-2491 (3)
131	2	1.24 (3)	-2.31 (3)	-0.53 (2)	-1311 (3)	-3852 (3)	-2465 (3)
131	3	1.42 (3)	-2.18 (3)	-0.51 (2)	-1518 (3)	-4657 (3)	-2360 (3)
131	4	1.58 (3)	-2.05 (3)	-0.49 (2)	-1664 (3)	-5198 (3)	-2189 (3)
131	5	1.18 (3)	-2.35 (3)	-0.53 (2)	-964 (3)	-2732 (3)	-2722 (3)
131	6	1.41 (3)	-2.22 (3)	-0.52 (2)	-1175 (3)	-3632 (3)	-2651 (3)
131	7	1.59 (3)	-2.09 (3)	-0.49 (2)	-1321 (3)	-4258 (3)	-2493 (3)
131	8	1.74 (3)	-1.95 (3)	-0.47 (2)	-1404 (3)	-4652 (3)	-2265 (3)
131	9	1.39 (3)	-2.20 (3)	-0.47 (2)	-745 (3)	-2597 (3)	-2871 (3)
131	10	1.61 (3)	-2.05 (3)	-0.47 (2)	-856 (3)	-3262 (3)	-2740 (3)
131	11	1.79 (3)	-1.89 (3)	-0.45 (2)	-900 (3)	-3696 (3)	-2518 (3)
131	12	1.92 (3)	-1.74 (3)	-0.43 (2)	-882 (3)	-3938 (3)	-2226 (3)
131	13	1.63 (3)	-1.86 (3)	-0.40 (2)	-358 (4)	-2288 (3)	-2846 (3)
131	14	1.83 (3)	-1.69 (3)	-0.40 (2)	-373 (4)	-2699 (3)	-2641 (3)
131	15	1.97 (3)	-1.52 (3)	-0.41 (1)	-370 (4)	-2938 (3)	-2348 (3)
131	16	2.08 (3)	-1.37 (3)	-0.41 (1)	-382 (2)	-3036 (3)	-1993 (3)
132	1	1.79 (3)	-1.27 (3)	-0.40 (1)	-592 (2)	-1843 (3)	-2594 (3)
132	2	1.97 (3)	-1.11 (3)	-0.42 (1)	-763 (2)	-2032 (3)	-2323 (3)
132	3	2.10 (3)	-0.98 (3)	-0.42 (1)	1037 (3)	-2110 (3)	-1977 (3)
132	4	2.19 (3)	-0.86 (3)	-0.41 (1)	1379 (3)	-2099 (3)	-1582 (3)
132	5	1.87 (3)	-0.77 (2)	-0.40 (1)	1545 (3)	-1292 (3)	-2095 (3)
132	6	2.04 (3)	-0.74 (2)	-0.39 (1)	2052 (3)	-1314 (3)	-1784 (3)
132	7	2.17 (3)	-0.72 (2)	-0.38 (1)	2574 (3)	-1279 (3)	-1418 (3)
132	8	2.25 (3)	-0.71 (2)	-0.38 (3)	3093 (3)	-1199 (3)	-1023 (3)
132	9	1.89 (3)	-0.62 (2)	-0.31 (1)	3266 (3)	-611 (3)	-1235 (3)
132	10	2.06 (3)	-0.63 (2)	-0.29 (1)	4074 (3)	-504 (3)	-931 (3)
132	11	2.19 (3)	-0.65 (2)	-0.26 (3)	4839 (3)	-388 (3)	-601 (5-II-1)
132	12	2.28 (3)	-0.67 (2)	-0.27 (3)	5546 (3)	-263 (3)	-507 (5-II-1)
132	13	1.87 (3)	1.75 (3)	-0.07 (1)	6029 (3)	-359 (2)	-359 (5-II-1)
132	14	2.05 (3)	1.63 (3)	0.07 (4)	7160 (3)	-359 (2)	-323 (5-II-1)
132	15	2.19 (3)	1.50 (3)	0.08 (2)	8167 (3)	414 (3)	-334 (2)
132	16	2.28 (3)	1.37 (3)	0.09 (2)	9042 (3)	566 (3)	-443 (2)
133	1	-0.15 (2)	-2.10 (3)	-0.27 (1)	-449 (2)	-3248 (2)	-2350 (3)
133	2	0.74 (3)	-1.87 (3)	-0.30 (1)	-399 (2)	-2077 (2)	-2601 (3)
133	3	1.20 (3)	-1.65 (3)	-0.34 (1)	-406 (2)	-1158 (2)	-2765 (3)
133	4	1.54 (3)	-1.45 (3)	-0.38 (1)	-471 (2)	-1511 (3)	-2755 (3)
133	5	0.23 (3)	-1.04 (3)	-0.25 (1)	-394 (2)	-2350 (2)	-2129 (3)
133	6	0.85 (3)	-0.91 (3)	-0.31 (1)	-496 (2)	-1491 (2)	-2330 (3)
133	7	1.30 (3)	-0.81 (2)	-0.36 (1)	676 (3)	-1006 (3)	-2413 (3)
133	8	1.63 (3)	-0.79 (2)	-0.39 (1)	1077 (3)	-1198 (3)	-2320 (3)
133	9	0.42 (3)	-0.56 (2)	0.15 (4)	-390 (2)	-1694 (2)	-1549 (3)
133	10	0.98 (3)	-0.58 (3)	-0.23 (1)	867 (3)	-1060 (2)	-1678 (3)
133	11	1.38 (3)	-0.60 (2)	-0.29 (1)	1622 (3)	-818 (3)	-1653 (3)
133	12	1.67 (3)	-0.61 (2)	-0.31 (1)	2437 (3)	-713 (3)	-1487 (3)
133	13	0.73 (3)	2.04 (3)	0.28 (4)	517 (3)	-1730 (3)	-485 (3)
133	14	1.14 (3)	2.10 (3)	0.12 (4)	2036 (3)	-954 (3)	-545 (3)
133	15	1.41 (3)	2.01 (3)	-0.09 (1)	3451 (3)	-557 (2)	-491 (3)
133	16	1.65 (3)	1.88 (3)	-0.08 (1)	4787 (3)	-416 (2)	-392 (5-II-1)
134	1	1.68 (3)	2.04 (3)	0.30 (3)	-296 (2)	5456 (3)	468 (3)
134	2	-0.73 (2)	2.02 (3)	0.49 (1)	-1358 (3)	1727 (3)	2109 (3)
134	3	-1.76 (3)	1.83 (3)	0.50 (1)	-2309 (3)	-323 (2)	2886 (3)
134	4	-2.56 (3)	1.60 (3)	0.47 (2)	-2853 (3)	-840 (3)	3009 (3)
134	5	1.55 (3)	2.18 (3)	0.28 (3)	-264 (2)	6536 (3)	366 (5-I-1)
134	6	-0.72 (2)	2.18 (3)	0.52 (3)	-1340 (3)	2280 (3)	1769 (3)
134	7	-1.59 (3)	2.04 (3)	0.51 (1)	-2555 (3)	-398 (2)	2626 (3)
134	8	-2.35 (3)	1.82 (3)	0.46 (2)	-3402 (3)	-924 (3)	2850 (3)
134	9	1.42 (3)	2.30 (3)	0.26 (3)	-278 (2)	7509 (3)	300 (5-I-1)
134	10	-0.71 (2)	2.29 (3)	0.55 (3)	-1272 (3)	2844 (3)	1385 (3)
134	11	-1.42 (3)	2.18 (3)	0.51 (1)	-2665 (3)	-515 (2)	2290 (3)
134	12	-2.14 (3)	1.99 (3)	0.43 (2)	-3740 (3)	-941 (3)	2602 (3)

**POTENZIAMENTO DELL'IMPIANTO DI DEPURAZIONE E
DEL RECAPITO FINALE DI SQUINZANO (LE)
PROGETTO DEFINITIVO
Tabulati di calcolo strutturale-Equalizzazione**

R.37.7

Maggio 2021

Pagina 94 di 338

Muro	Pann.	Sxx	Syy	Sxy	Mxx	Myy	Mxy
134	13	1.28 (3)	2.37 (3)	0.25 (3)	338 (3)	8367 (3)	-303 (5-II-1)
134	14	-0.70 (2)	2.36 (3)	0.57 (3)	-1164 (3)	3401 (3)	980 (3)
134	15	-1.27 (3)	2.28 (3)	0.52 (3)	-2666 (3)	-668 (2)	1904 (3)
134	16	-1.94 (3)	2.11 (3)	0.43 (1)	-3902 (3)	-898 (3)	2289 (3)
135	1	-2.09 (2)	-0.51 (2)	-0.62 (3)	-3422 (5-II-1)	-483 (5-II-1)	318 (5-I-1)
135	2	-2.08 (2)	-0.51 (2)	-0.61 (3)	-3456 (5-II-1)	-478 (5-II-1)	267 (5-I-1)
135	3	-2.08 (2)	-0.51 (2)	-0.58 (3)	-3489 (5-II-1)	-470 (5-II-1)	217 (5-I-1)
135	4	-2.08 (2)	-0.51 (2)	-0.56 (3)	-3518 (5-II-1)	-458 (5-II-1)	-193 (5-II-1)
135	5	-1.97 (2)	-0.56 (2)	-0.61 (3)	-3768 (5-II-1)	-789 (3)	357 (5-I-1)
135	6	-1.97 (2)	-0.56 (2)	-0.60 (3)	-3800 (5-II-1)	-754 (3)	302 (5-I-1)
135	7	-1.97 (2)	-0.56 (2)	-0.58 (3)	-3831 (5-II-1)	-711 (3)	248 (5-I-1)
135	8	-1.96 (2)	-0.56 (2)	-0.56 (3)	-3861 (5-II-1)	-660 (3)	-213 (5-II-1)
135	9	-1.86 (2)	-0.62 (2)	-0.60 (3)	-5167 (3)	-1075 (3)	391 (5-I-1)
135	10	-1.86 (2)	-0.62 (2)	-0.58 (3)	-5126 (3)	-1036 (3)	332 (5-I-1)
135	11	-1.86 (2)	-0.62 (2)	-0.57 (3)	-5101 (3)	-985 (3)	274 (5-I-1)
135	12	-1.85 (2)	-0.61 (2)	-0.55 (3)	-5091 (3)	-924 (3)	-232 (5-II-1)
135	13	-1.75 (2)	-0.67 (2)	-0.58 (3)	-6392 (3)	-1324 (3)	419 (5-I-1)
135	14	-1.75 (2)	-0.67 (2)	-0.57 (3)	-6362 (3)	-1282 (3)	357 (5-I-1)
135	15	-1.74 (2)	-0.67 (2)	-0.56 (3)	-6348 (3)	-1223 (3)	294 (5-I-1)
135	16	-1.74 (2)	-0.67 (2)	-0.54 (3)	-6351 (3)	-1149 (3)	-252 (5-II-1)
136	1	-2.20 (4)	-0.47 (2)	-0.73 (3)	-3188 (5-II-1)	-683 (3)	887 (3)
136	2	-2.06 (4)	-0.53 (2)	-0.73 (3)	-3261 (5-II-1)	-601 (3)	719 (3)
136	3	-2.01 (2)	-0.55 (2)	-0.68 (3)	-3322 (5-II-1)	-539 (3)	544 (3)
136	4	-2.06 (2)	-0.52 (2)	-0.64 (3)	-3378 (5-II-1)	-496 (3)	384 (5-I-1)
136	5	-2.10 (4)	0.58 (3)	-0.70 (3)	-4088 (3)	-1000 (3)	947 (3)
136	6	-1.99 (4)	-0.57 (2)	-0.70 (3)	-3949 (3)	-923 (3)	781 (3)
136	7	-1.93 (2)	-0.59 (2)	-0.66 (3)	-3806 (3)	-866 (3)	604 (3)
136	8	-1.96 (2)	-0.57 (2)	-0.63 (3)	-3725 (5-II-1)	-825 (3)	429 (5-I-1)
136	9	-2.00 (4)	0.72 (3)	-0.67 (3)	-5542 (3)	-1266 (3)	984 (3)
136	10	-1.91 (4)	0.64 (3)	-0.66 (3)	-5451 (3)	-1196 (3)	826 (3)
136	11	-1.84 (2)	-0.63 (2)	-0.64 (3)	-5344 (3)	-1148 (3)	651 (3)
136	12	-1.85 (2)	-0.63 (2)	-0.62 (3)	-5240 (3)	-1110 (3)	467 (5-I-1)
136	13	-1.91 (4)	0.86 (3)	-0.63 (3)	-6656 (3)	-1483 (3)	1000 (3)
136	14	-1.83 (4)	0.78 (3)	-0.63 (3)	-6609 (3)	-1422 (3)	856 (3)
136	15	-1.75 (2)	0.70 (3)	-0.61 (3)	-6532 (3)	-1385 (3)	688 (3)
136	16	-1.75 (2)	-0.68 (2)	-0.60 (3)	-6450 (3)	-1357 (3)	500 (3)
137	1	-2.60 (2)	-0.32 (2)	-0.57 (3)	-14074 (2)	-1760 (2)	-148 (5-II-1)
137	2	-2.10 (2)	-0.35 (2)	-0.49 (3)	-13863 (2)	-1730 (2)	-155 (3)
137	3	-2.15 (2)	-0.35 (2)	-0.35 (3)	-13898 (2)	-1740 (2)	-143 (3)
137	4	-2.81 (2)	-0.30 (2)	-0.32 (3)	-14129 (2)	-1780 (2)	-153 (3)
137	5	-2.43 (2)	-0.56 (3)	-0.56 (3)	-10890 (2)	-1361 (2)	-146 (5-II-1)
137	6	-2.13 (2)	-0.43 (2)	-0.49 (3)	-10797 (2)	-1340 (2)	-149 (3)
137	7	-2.17 (2)	-0.43 (2)	-0.36 (3)	-10804 (2)	-1358 (2)	-155 (3)
137	8	-2.56 (2)	-0.32 (2)	-0.32 (3)	-10892 (2)	-1403 (2)	-163 (3)
137	9	-2.28 (2)	-0.41 (2)	-0.55 (3)	-8063 (2)	-1003 (2)	-156 (5-II-1)
137	10	-2.10 (2)	-0.48 (2)	-0.48 (3)	-8022 (2)	-993 (2)	-146 (5-II-1)
137	11	-2.14 (2)	-0.47 (2)	-0.38 (3)	-8012 (2)	-1018 (2)	-161 (3)
137	12	-2.39 (2)	-0.37 (2)	-0.32 (3)	-8028 (2)	-1067 (2)	-163 (3)
137	13	-2.16 (2)	-0.47 (2)	-0.54 (3)	-5566 (2)	-682 (2)	-171 (5-II-1)
137	14	-2.05 (2)	-0.52 (2)	-0.48 (3)	-5543 (2)	-688 (2)	-159 (5-II-1)
137	15	-2.09 (2)	-0.50 (2)	-0.39 (3)	-5522 (2)	-721 (2)	-162 (3)
137	16	-2.25 (2)	-0.42 (2)	-0.33 (3)	-5506 (2)	-764 (2)	-158 (3)
138	1	1.94 (3)	0.71 (3)	-0.18 (2)	-1778 (3)	-398 (2)	849 (3)
138	2	-0.96 (3)	0.27 (3)	0.24 (1)	-2362 (2)	-393 (2)	2299 (3)
138	3	-2.44 (3)	-0.18 (2)	0.39 (2)	-3987 (2)	-517 (2)	2680 (3)
138	4	-3.52 (3)	-0.21 (2)	0.53 (2)	-5857 (2)	-719 (2)	2537 (3)
138	5	1.97 (3)	1.34 (3)	0.29 (3)	-1111 (3)	1727 (3)	915 (3)
138	6	-0.86 (3)	1.00 (3)	0.32 (1)	-1522 (2)	-494 (2)	2497 (3)
138	7	-2.28 (3)	0.65 (3)	0.41 (2)	-2638 (2)	-390 (2)	2899 (3)
138	8	-3.22 (3)	0.46 (3)	0.52 (2)	-3965 (2)	-458 (2)	2775 (3)
138	9	1.91 (3)	1.64 (3)	0.33 (3)	-687 (3)	3028 (3)	833 (3)
138	10	-0.74 (1)	1.48 (3)	0.41 (1)	-1180 (3)	753 (3)	2524 (3)
138	11	-2.11 (3)	1.15 (3)	0.42 (1)	-1545 (2)	-314 (2)	3046 (3)
138	12	-2.99 (3)	0.92 (3)	0.50 (2)	-2423 (2)	-456 (3)	2978 (3)
138	13	1.81 (3)	1.86 (3)	0.32 (3)	-441 (4)	4280 (3)	671 (3)
138	14	-0.73 (2)	1.80 (3)	0.47 (1)	-1313 (3)	1208 (3)	2376 (3)
138	15	-1.94 (3)	1.54 (3)	0.47 (1)	-1889 (3)	-293 (2)	3036 (3)
138	16	-2.77 (3)	1.30 (3)	0.49 (2)	-2052 (3)	-685 (3)	3058 (3)
139	1	-2.70 (2)	-0.32 (2)	-0.65 (3)	-14047 (2)	-1752 (2)	113 (5-I-1)
139	2	-2.42 (2)	-0.36 (2)	-0.66 (3)	-14034 (2)	-1754 (2)	-104 (5-II-1)
139	3	-2.40 (2)	-0.36 (2)	-0.55 (3)	-14073 (2)	-1760 (2)	-100 (5-II-1)
139	4	-2.68 (2)	-0.32 (2)	-0.56 (3)	-14169 (2)	-1771 (2)	-112 (5-II-1)
139	5	-2.51 (2)	-0.34 (2)	-0.65 (3)	-10809 (2)	-1340 (2)	166 (5-I-1)
139	6	-2.37 (2)	-0.40 (2)	-0.64 (3)	-10861 (2)	-1351 (2)	128 (5-I-1)
139	7	-2.36 (2)	-0.41 (2)	-0.58 (3)	-10902 (2)	-1360 (2)	-125 (5-II-1)
139	8	-2.49 (2)	-0.34 (2)	-0.56 (3)	-10936 (2)	-1368 (2)	-136 (5-II-1)

**POTENZIAMENTO DELL'IMPIANTO DI DEPURAZIONE E
DEL RECAPITO FINALE DI SQUINZANO (LE)
PROGETTO DEFINITIVO
Tabulati di calcolo strutturale-Equalizzazione**

R.37.7

Maggio 2021

Pagina 95 di 338

Muro	Pann.	Sxx	Syy	Sxy	Mxx	Myy	Mxy
139	9	-2.35 (2)	-0.39 (2)	-0.64 (3)	-7956 (2)	-968 (2)	221 (5-I-1)
139	10	-2.29 (2)	-0.43 (2)	-0.62 (3)	-8022 (2)	-981 (2)	180 (5-I-1)
139	11	-2.29 (2)	-0.43 (2)	-0.59 (3)	-8063 (2)	-993 (2)	-148 (5-II-1)
139	12	-2.34 (2)	-0.40 (2)	-0.57 (3)	-8082 (2)	-1006 (2)	-156 (5-II-1)
139	13	-2.21 (2)	-0.45 (2)	-0.63 (3)	-5456 (2)	-624 (2)	272 (5-I-1)
139	14	-2.19 (2)	-0.47 (2)	-0.61 (3)	-5518 (2)	-642 (2)	226 (5-I-1)
139	15	-2.19 (2)	-0.47 (2)	-0.59 (3)	-5556 (2)	-659 (2)	180 (5-I-1)
139	16	-2.20 (2)	-0.45 (2)	-0.57 (3)	-5572 (2)	-674 (2)	-175 (5-II-1)
140	1	-2.92 (3)	1.27 (3)	0.44 (2)	-3084 (3)	-1186 (3)	2719 (3)
140	2	-2.66 (3)	0.85 (3)	-0.69 (3)	-3033 (3)	-1157 (3)	2167 (3)
140	3	-2.36 (3)	0.60 (3)	-0.71 (3)	-2858 (5-II-1)	-971 (3)	1610 (3)
140	4	-2.24 (4)	0.50 (3)	-0.69 (3)	-3060 (5-II-1)	-800 (3)	1164 (3)
140	5	-2.71 (3)	1.49 (3)	0.44 (2)	-3990 (3)	-1429 (3)	2651 (3)
140	6	-2.54 (3)	1.08 (3)	-0.59 (3)	-4303 (3)	-1486 (3)	2166 (3)
140	7	-2.28 (3)	0.80 (3)	-0.66 (3)	-4343 (3)	-1313 (3)	1641 (3)
140	8	-2.14 (4)	0.66 (3)	-0.67 (3)	-4236 (3)	-1124 (3)	1215 (3)
140	9	-2.50 (3)	1.68 (3)	0.43 (2)	-4619 (3)	-1611 (3)	2500 (3)
140	10	-2.41 (3)	1.28 (3)	-0.49 (3)	-5243 (3)	-1759 (3)	2096 (3)
140	11	-2.19 (3)	0.99 (3)	-0.60 (3)	-5527 (3)	-1601 (3)	1621 (3)
140	12	-2.05 (4)	0.82 (3)	-0.64 (3)	-5593 (3)	-1396 (3)	1231 (3)
140	13	-2.31 (3)	1.82 (3)	0.42 (2)	-5009 (3)	-1732 (3)	2280 (3)
140	14	-2.28 (3)	1.45 (3)	0.43 (2)	-5892 (3)	-1975 (3)	1965 (3)
140	15	-2.10 (3)	1.16 (3)	-0.54 (3)	-6392 (3)	-1835 (3)	1554 (3)
140	16	-1.96 (4)	0.98 (3)	-0.60 (3)	-6618 (3)	-1616 (3)	1214 (3)
141	1	-2.05 (2)	-0.52 (2)	-0.53 (3)	-3552 (5-II-1)	-439 (5-II-1)	-188 (5-II-1)
141	2	-1.99 (2)	-0.55 (2)	-0.47 (3)	-3585 (5-II-1)	-420 (2)	-173 (5-II-1)
141	3	-2.02 (2)	-0.53 (2)	-0.39 (3)	-3606 (5-II-1)	-461 (2)	-162 (3)
141	4	-2.12 (2)	-0.47 (2)	-0.34 (3)	-3608 (5-II-1)	-498 (2)	-151 (3)
141	5	-1.94 (2)	-0.57 (2)	-0.52 (3)	-3895 (5-II-1)	-589 (3)	-206 (5-II-1)
141	6	-1.91 (2)	-0.58 (2)	-0.47 (3)	-3929 (5-II-1)	-506 (3)	-186 (5-II-1)
141	7	-1.94 (2)	-0.57 (2)	-0.40 (3)	-3949 (5-II-1)	-444 (3)	-164 (3)
141	8	-2.01 (2)	-0.52 (2)	-0.34 (3)	-3950 (5-II-1)	-429 (4)	-145 (3)
141	9	-1.84 (2)	-0.62 (2)	-0.52 (3)	-5098 (3)	-835 (3)	-224 (5-II-1)
141	10	-1.82 (2)	-0.62 (2)	-0.46 (3)	-5120 (3)	-729 (3)	-199 (5-II-1)
141	11	-1.85 (2)	-0.60 (2)	-0.40 (3)	-5141 (3)	-645 (3)	-170 (3)
141	12	-1.90 (2)	-0.57 (2)	-0.34 (3)	-5144 (3)	-601 (3)	-141 (3)
141	13	-1.73 (2)	-0.67 (2)	-0.51 (3)	-6375 (3)	-1041 (3)	-243 (5-II-1)
141	14	-1.73 (2)	-0.66 (2)	-0.46 (3)	-6416 (3)	-907 (3)	-213 (5-II-1)
141	15	-1.76 (2)	-0.64 (2)	-0.40 (3)	-6453 (3)	-798 (3)	-182 (3)
141	16	-1.79 (2)	-0.62 (2)	-0.34 (3)	-6466 (3)	-738 (3)	-139 (3)
142	1	-4.13 (3)	-0.26 (2)	-0.79 (3)	-7754 (2)	-940 (2)	1986 (3)
142	2	-3.16 (3)	-0.28 (2)	-0.92 (3)	-9513 (2)	-1149 (2)	1441 (3)
142	3	-2.78 (3)	-0.30 (2)	-0.81 (3)	-10993 (2)	-1342 (2)	1035 (3)
142	4	-2.82 (4)	-0.32 (2)	-0.66 (3)	-12352 (2)	-1534 (2)	716 (3)
142	5	-3.70 (3)	0.30 (3)	-0.71 (3)	-5449 (2)	-588 (2)	2284 (3)
142	6	-2.97 (3)	-0.36 (2)	-0.92 (3)	-6926 (2)	-745 (2)	1686 (3)
142	7	-2.59 (3)	-0.39 (2)	-0.79 (3)	-8185 (2)	-925 (2)	1208 (3)
142	8	-2.60 (4)	-0.33 (2)	-0.69 (3)	-9280 (2)	-1125 (2)	827 (3)
142	9	-3.39 (3)	0.68 (3)	-0.62 (3)	-3517 (2)	-507 (3)	2542 (3)
142	10	-2.86 (3)	-0.43 (2)	-0.86 (3)	-4691 (2)	-378 (4)	1927 (3)
142	11	-2.50 (3)	-0.45 (2)	-0.77 (3)	-5717 (2)	-545 (2)	1388 (3)
142	12	-2.46 (4)	-0.37 (2)	-0.71 (3)	-6592 (2)	-749 (2)	963 (3)
142	13	-3.14 (3)	1.00 (3)	-0.51 (3)	-2102 (4)	-878 (3)	2687 (3)
142	14	-2.77 (3)	0.60 (3)	-0.78 (3)	-2786 (2)	-771 (3)	2089 (3)
142	15	-2.43 (3)	-0.50 (2)	-0.75 (3)	-3579 (2)	-577 (3)	1525 (3)
142	16	-2.34 (4)	-0.42 (2)	-0.71 (3)	-4263 (2)	-456 (5-II-1)	1079 (3)
143	1	-2.81 (2)	-0.30 (2)	-0.79 (3)	-13097 (2)	-1633 (2)	420 (3)
143	2	-2.20 (2)	-0.35 (2)	-0.84 (3)	-13208 (2)	-1640 (2)	279 (3)
143	3	-2.12 (2)	-0.35 (2)	-0.67 (3)	-13427 (2)	-1665 (2)	216 (5-I-1)
143	4	-2.61 (2)	-0.32 (2)	-0.62 (3)	-13825 (2)	-1722 (2)	181 (5-I-1)
143	5	-2.57 (4)	-0.31 (2)	-0.80 (3)	-9913 (2)	-1226 (2)	554 (3)
143	6	-2.22 (4)	-0.41 (2)	-0.81 (3)	-10134 (2)	-1232 (2)	404 (3)
143	7	-2.15 (2)	-0.43 (2)	-0.68 (3)	-10363 (2)	-1254 (2)	285 (3)
143	8	-2.43 (2)	-0.35 (2)	-0.63 (3)	-10637 (2)	-1308 (2)	219 (5-I-1)
143	9	-2.43 (4)	-0.35 (2)	-0.79 (3)	-7127 (2)	-854 (2)	691 (3)
143	10	-2.18 (4)	-0.45 (2)	-0.79 (3)	-7383 (2)	-860 (2)	532 (3)
143	11	-2.12 (2)	-0.48 (2)	-0.69 (3)	-7608 (2)	-880 (2)	382 (3)
143	12	-2.30 (2)	-0.41 (2)	-0.64 (3)	-7819 (2)	-933 (2)	276 (5-I-1)
143	13	-2.31 (4)	-0.41 (2)	-0.76 (3)	-4706 (2)	-508 (2)	802 (3)
143	14	-2.13 (4)	-0.49 (2)	-0.76 (3)	-4955 (2)	-522 (2)	637 (3)
143	15	-2.07 (2)	-0.51 (2)	-0.69 (3)	-5165 (2)	-543 (2)	470 (3)
143	16	-2.17 (2)	-0.47 (2)	-0.64 (3)	-5341 (2)	-589 (2)	333 (5-I-1)
144	1	-2.42 (2)	-0.29 (2)	-0.56 (2)	-11466 (2)	-1412 (2)	-1114 (3)
144	2	-2.03 (2)	-0.32 (2)	0.67 (3)	-10700 (2)	-1312 (2)	-1222 (3)
144	3	-1.98 (2)	-0.31 (2)	0.86 (3)	-9962 (2)	-1217 (2)	-1333 (3)
144	4	-2.18 (2)	-0.26 (2)	0.84 (3)	-9233 (2)	-1125 (2)	-1474 (3)

**POTENZIAMENTO DELL'IMPIANTO DI DEPURAZIONE E
DEL RECAPITO FINALE DI SQUINZANO (LE)
PROGETTO DEFINITIVO
Tabulati di calcolo strutturale-Equalizzazione**

R.37.7

Maggio 2021

Pagina 96 di 338

Muro	Pann.	Sxx	Syy	Sxy	Mxx	Myy	Mxy
144	5	-2.26 (2)	-0.33 (2)	-0.54 (2)	-8518 (2)	-997 (2)	-1243 (3)
144	6	-2.02 (2)	-0.39 (2)	0.66 (3)	-7920 (2)	-908 (2)	-1384 (3)
144	7	-1.96 (2)	-0.37 (2)	0.81 (3)	-7292 (2)	-821 (2)	-1534 (3)
144	8	-2.03 (2)	-0.30 (2)	0.85 (3)	-6631 (2)	-739 (2)	-1703 (3)
144	9	-2.14 (2)	-0.39 (2)	-0.52 (2)	-5957 (2)	-620 (2)	-1389 (3)
144	10	-1.98 (2)	-0.43 (2)	0.64 (3)	-5480 (2)	-537 (2)	-1556 (3)
144	11	-1.91 (2)	-0.42 (2)	0.76 (3)	-4966 (2)	-459 (2)	-1738 (3)
144	12	-1.90 (2)	-0.37 (2)	0.83 (3)	-4415 (2)	-391 (2)	-1931 (3)
144	13	-2.04 (2)	-0.45 (2)	-0.51 (2)	-3750 (2)	-351 (5-II-1)	-1506 (3)
144	14	-1.92 (2)	-0.48 (2)	0.61 (3)	-3374 (2)	-347 (5-II-1)	-1688 (3)
144	15	-1.84 (2)	-0.47 (2)	0.72 (3)	-2971 (2)	-402 (3)	-1884 (3)
144	16	-1.80 (4)	0.46 (3)	0.79 (3)	-2547 (2)	-461 (3)	-2089 (3)
145	1	-1.94 (2)	-0.51 (2)	-0.50 (2)	-2568 (5-II-1)	-668 (3)	-1583 (3)
145	2	-1.85 (2)	-0.53 (2)	0.58 (3)	-2443 (5-II-1)	-717 (3)	-1769 (3)
145	3	-1.77 (2)	-0.54 (2)	0.67 (3)	-2308 (5-II-1)	-769 (3)	-1966 (3)
145	4	-1.74 (4)	0.62 (3)	0.74 (3)	-2164 (5-II-1)	-814 (3)	-2171 (3)
145	5	-1.85 (2)	-0.58 (2)	-0.49 (2)	-3464 (3)	-995 (3)	-1619 (3)
145	6	-1.77 (2)	-0.59 (2)	0.54 (3)	-3493 (3)	-1040 (3)	-1799 (3)
145	7	-1.71 (4)	0.67 (3)	0.62 (3)	-3497 (3)	-1084 (3)	-1987 (3)
145	8	-1.68 (4)	0.77 (3)	0.68 (3)	-3467 (3)	-1114 (3)	-2178 (3)
145	9	-1.76 (2)	-0.64 (2)	-0.48 (2)	-4804 (3)	-1271 (3)	-1618 (3)
145	10	-1.69 (4)	0.71 (3)	0.50 (3)	-4752 (3)	-1310 (3)	-1782 (3)
145	11	-1.66 (4)	0.80 (3)	0.57 (3)	-4656 (3)	-1345 (3)	-1951 (3)
145	12	-1.62 (4)	0.90 (3)	0.62 (3)	-4509 (3)	-1358 (3)	-2119 (3)
145	13	-1.67 (2)	0.75 (3)	-0.47 (2)	-5814 (3)	-1494 (3)	-1581 (3)
145	14	-1.64 (4)	0.82 (3)	-0.47 (2)	-5688 (3)	-1526 (3)	-1722 (3)
145	15	-1.60 (4)	0.91 (3)	0.51 (3)	-5503 (3)	-1550 (3)	-1864 (3)
145	16	-1.55 (4)	1.02 (3)	0.56 (3)	-5252 (3)	-1546 (3)	-2000 (3)
146	1	-2.78 (2)	-0.30 (2)	-0.50 (2)	-13381 (2)	-1664 (2)	-695 (3)
146	2	-2.28 (2)	-0.35 (2)	-0.54 (2)	-12886 (2)	-1599 (2)	-791 (3)
146	3	-2.23 (2)	-0.35 (2)	0.44 (3)	-12429 (2)	-1537 (2)	-877 (3)
146	4	-2.52 (2)	-0.30 (2)	0.44 (3)	-12042 (2)	-1487 (2)	-984 (3)
146	5	-2.55 (2)	-0.32 (2)	-0.47 (2)	-10155 (2)	-1244 (2)	-754 (3)
146	6	-2.27 (2)	-0.41 (2)	-0.51 (2)	-9801 (2)	-1184 (2)	-862 (3)
146	7	-2.22 (2)	-0.40 (2)	0.40 (3)	-9418 (2)	-1123 (2)	-979 (3)
146	8	-2.35 (2)	-0.33 (2)	0.45 (3)	-9016 (2)	-1069 (2)	-1106 (3)
146	9	-2.39 (2)	-0.37 (2)	-0.43 (2)	-7335 (2)	-858 (2)	-823 (3)
146	10	-2.22 (2)	-0.44 (2)	-0.48 (2)	-7060 (2)	-799 (2)	-947 (3)
146	11	-2.17 (2)	-0.44 (2)	-0.43 (2)	-6740 (2)	-740 (2)	-1088 (3)
146	12	-2.21 (2)	-0.39 (2)	-0.45 (2)	-6377 (2)	-688 (2)	-1234 (3)
146	13	-2.25 (2)	-0.43 (2)	-0.41 (2)	-4887 (2)	-492 (2)	-884 (3)
146	14	-2.15 (2)	-0.47 (2)	-0.45 (2)	-4663 (2)	-442 (2)	-1020 (3)
146	15	-2.10 (2)	-0.48 (2)	-0.45 (2)	-4398 (2)	-387 (2)	-1176 (3)
146	16	-2.10 (2)	-0.45 (2)	-0.46 (2)	-4092 (2)	-356 (5-II-1)	-1337 (3)
147	1	-2.12 (2)	-0.49 (2)	-0.39 (2)	-2981 (5-II-1)	-548 (3)	-932 (3)
147	2	-2.06 (2)	-0.51 (2)	-0.44 (2)	-2891 (5-II-1)	-568 (3)	-1076 (3)
147	3	-2.02 (2)	-0.52 (2)	-0.45 (2)	-2792 (5-II-1)	-593 (3)	-1240 (3)
147	4	-2.00 (2)	-0.51 (2)	-0.47 (2)	-2685 (5-II-1)	-627 (3)	-1408 (3)
147	5	-2.00 (2)	-0.55 (2)	-0.38 (2)	-3330 (5-II-1)	-890 (3)	-965 (3)
147	6	-1.97 (2)	-0.56 (2)	-0.43 (2)	-3303 (3)	-907 (3)	-1113 (3)
147	7	-1.93 (2)	-0.57 (2)	-0.45 (2)	-3362 (3)	-929 (3)	-1280 (3)
147	8	-1.90 (2)	-0.57 (2)	-0.47 (2)	-3418 (3)	-958 (3)	-1448 (3)
147	9	-1.89 (2)	-0.61 (2)	-0.38 (2)	-4770 (3)	-1189 (3)	-984 (3)
147	10	-1.87 (2)	-0.62 (2)	-0.42 (2)	-4798 (3)	-1201 (3)	-1133 (3)
147	11	-1.84 (2)	-0.63 (2)	-0.45 (2)	-4818 (3)	-1216 (3)	-1297 (3)
147	12	-1.81 (2)	-0.63 (2)	-0.47 (2)	-4823 (3)	-1239 (3)	-1457 (3)
147	13	-1.77 (2)	-0.68 (2)	-0.38 (2)	-5946 (3)	-1446 (3)	-990 (3)
147	14	-1.77 (2)	-0.68 (2)	-0.42 (2)	-5947 (3)	-1449 (3)	-1138 (3)
147	15	-1.75 (2)	-0.69 (2)	-0.45 (2)	-5932 (3)	-1455 (3)	-1294 (3)
147	16	-1.72 (2)	-0.69 (2)	-0.46 (2)	-5892 (3)	-1469 (3)	-1440 (3)
148	1	-2.00 (2)	-0.25 (2)	0.91 (3)	-8216 (2)	-998 (2)	-1656 (3)
148	2	-1.62 (4)	-0.26 (2)	1.11 (3)	-6910 (2)	-834 (2)	-1807 (3)
148	3	-1.76 (3)	-0.23 (2)	1.26 (3)	-5597 (2)	-681 (2)	-1933 (3)
148	4	-1.86 (3)	-0.19 (2)	1.15 (3)	-4339 (2)	-551 (2)	-2027 (3)
148	5	-1.86 (2)	-0.30 (2)	0.91 (3)	-5803 (2)	-635 (2)	-1900 (3)
148	6	-1.62 (4)	-0.34 (2)	1.08 (3)	-4812 (2)	-513 (2)	-2098 (3)
148	7	-1.71 (3)	-0.32 (2)	1.19 (3)	-3808 (2)	-421 (2)	-2268 (3)
148	8	-1.70 (3)	0.43 (3)	1.11 (3)	-2856 (2)	-387 (2)	-2368 (3)
148	9	-1.77 (4)	-0.37 (2)	0.90 (3)	-3770 (2)	-311 (2)	-2148 (3)
148	10	-1.61 (4)	0.42 (3)	1.02 (3)	-3039 (2)	-238 (5-II-1)	-2375 (3)
148	11	-1.63 (3)	0.58 (3)	1.10 (3)	-2317 (2)	-237 (4)	-2563 (3)
148	12	-1.54 (3)	0.75 (3)	1.04 (3)	-1657 (2)	-275 (2)	-2646 (3)
148	13	-1.72 (4)	0.54 (3)	0.86 (3)	-2074 (2)	-503 (3)	-2315 (3)
148	14	-1.59 (4)	0.65 (3)	0.96 (3)	-1568 (2)	-506 (3)	-2545 (3)
148	15	-1.55 (3)	0.83 (3)	1.01 (3)	-1306 (5-II-1)	-430 (3)	-2719 (3)
148	16	-1.40 (3)	1.02 (3)	0.95 (3)	-1196 (3)	-299 (4)	-2759 (3)

**POTENZIAMENTO DELL'IMPIANTO DI DEPURAZIONE E
DEL RECAPITO FINALE DI SQUINZANO (LE)
PROGETTO DEFINITIVO
Tabulati di calcolo strutturale-Equalizzazione**

R.37.7

Maggio 2021

Pagina 97 di 338

Muro	Pann.	Sxx	Syy	Sxy	Mxx	Myy	Mxy
149	1	-1.66 (4)	0.72 (3)	0.81 (3)	-2168 (3)	-831 (3)	-2390 (3)
149	2	-1.54 (4)	0.86 (3)	0.88 (3)	-2200 (3)	-785 (3)	-2600 (3)
149	3	-1.47 (3)	1.05 (3)	0.91 (3)	-2139 (3)	-619 (3)	-2739 (3)
149	4	-1.28 (3)	1.24 (3)	0.87 (3)	-1930 (3)	-350 (4)	-2720 (3)
149	5	-1.60 (4)	0.89 (3)	0.74 (3)	-3380 (3)	-1103 (3)	-2376 (3)
149	6	-1.49 (4)	1.04 (3)	0.79 (3)	-3204 (3)	-1003 (3)	-2553 (3)
149	7	-1.38 (3)	1.23 (3)	0.81 (3)	-2903 (3)	-743 (3)	-2641 (3)
149	8	-1.17 (3)	1.42 (3)	0.77 (3)	-2432 (3)	-383 (4)	-2557 (3)
149	9	-1.54 (4)	1.03 (3)	0.67 (3)	-4274 (3)	-1316 (3)	-2285 (3)
149	10	-1.43 (4)	1.19 (3)	0.70 (3)	-3919 (3)	-1158 (3)	-2417 (3)
149	11	-1.30 (3)	1.37 (3)	0.71 (3)	-3421 (3)	-802 (3)	-2449 (3)
149	12	-1.06 (3)	1.56 (3)	0.68 (3)	-2745 (3)	-398 (4)	-2300 (3)
149	13	-1.47 (4)	1.15 (3)	0.60 (3)	-4891 (3)	-1471 (3)	-2127 (3)
149	14	-1.36 (4)	1.31 (3)	0.62 (3)	-4387 (3)	-1254 (3)	-2209 (3)
149	15	-1.21 (3)	1.49 (3)	0.61 (3)	-3732 (3)	-802 (3)	-2183 (3)
149	16	-0.99 (4)	1.67 (3)	0.59 (3)	-2903 (3)	-449 (2)	-1976 (3)
150	1	-1.50 (3)	-0.15 (2)	0.98 (3)	-3257 (2)	-458 (2)	-2025 (3)
150	2	-0.90 (3)	0.12 (3)	0.92 (3)	-2385 (2)	-408 (2)	-1841 (3)
150	3	-0.58 (2)	0.21 (3)	0.84 (3)	-1762 (2)	-409 (2)	-1369 (3)
150	4	0.51 (3)	0.35 (3)	0.81 (3)	-1340 (2)	493 (3)	-572 (3)
150	5	-1.33 (3)	0.50 (3)	0.96 (3)	-2083 (2)	-422 (2)	-2330 (3)
150	6	-0.84 (2)	0.56 (3)	0.87 (3)	-1517 (2)	-526 (2)	-2098 (3)
150	7	-0.61 (2)	0.61 (3)	0.81 (3)	-1104 (2)	783 (3)	-1539 (3)
150	8	0.80 (3)	0.70 (3)	0.69 (3)	-868 (2)	1813 (3)	-724 (3)
150	9	-1.18 (3)	0.86 (3)	0.92 (3)	-1162 (2)	-441 (2)	-2555 (3)
150	10	-0.84 (2)	0.92 (3)	0.83 (3)	-841 (2)	-699 (2)	-2246 (3)
150	11	-0.63 (2)	0.97 (3)	0.77 (3)	-646 (2)	1431 (3)	-1581 (3)
150	12	0.97 (3)	0.97 (3)	0.70 (3)	-594 (2)	3038 (3)	-738 (3)
150	13	-1.04 (3)	1.15 (3)	0.86 (3)	-1156 (3)	-519 (2)	-2603 (3)
150	14	-0.82 (2)	1.22 (3)	0.79 (3)	-954 (3)	954 (3)	-2215 (3)
150	15	-0.64 (2)	1.26 (3)	0.75 (3)	-581 (3)	2146 (3)	-1472 (3)
150	16	1.07 (3)	1.24 (3)	0.73 (3)	-446 (2)	4231 (3)	-670 (3)
151	1	-0.93 (4)	1.38 (3)	0.80 (3)	-1588 (3)	-652 (2)	-2495 (3)
151	2	-0.80 (2)	1.46 (3)	0.75 (3)	-1135 (3)	1365 (3)	-2043 (3)
151	3	-0.65 (2)	1.51 (3)	0.74 (3)	-549 (3)	2891 (3)	-1261 (3)
151	4	1.14 (3)	1.50 (3)	0.76 (3)	-385 (2)	5372 (3)	-563 (5-I-1)
151	5	-0.88 (2)	1.57 (3)	0.73 (3)	-1858 (3)	-834 (2)	-2269 (3)
151	6	-0.77 (2)	1.66 (3)	0.71 (3)	-1225 (3)	1821 (3)	-1774 (3)
151	7	-0.66 (2)	1.72 (3)	0.72 (3)	-493 (3)	3636 (3)	-987 (3)
151	8	1.18 (3)	1.73 (3)	0.78 (3)	-383 (2)	6437 (3)	-538 (5-I-1)
151	9	-0.84 (2)	1.71 (3)	0.65 (3)	-1999 (3)	-1058 (2)	-1960 (3)
151	10	-0.75 (2)	1.81 (3)	0.65 (3)	-1240 (3)	2300 (3)	-1441 (3)
151	11	-0.68 (2)	1.88 (3)	0.69 (3)	-411 (3)	4355 (3)	-689 (5-I-1)
151	12	1.18 (3)	1.90 (3)	0.79 (3)	-420 (2)	7406 (3)	-506 (5-I-1)
151	13	-0.80 (2)	1.82 (3)	0.58 (3)	-2037 (3)	-1316 (2)	-1596 (3)
151	14	-0.73 (2)	1.92 (3)	0.59 (3)	-1195 (3)	2786 (3)	-1070 (3)
151	15	-0.70 (2)	1.99 (3)	0.66 (3)	-309 (3)	5031 (3)	-601 (5-I-1)
151	16	1.16 (3)	2.03 (3)	0.79 (3)	-481 (2)	8264 (3)	-514 (2)
152	1	-2.73 (2)	-0.33 (2)	-0.32 (3)	-13983 (2)	-1757 (2)	-206 (3)
152	2	-2.06 (2)	-0.32 (2)	-0.19 (2)	-13655 (2)	-1695 (2)	-237 (3)
152	3	-2.05 (2)	-0.33 (2)	-0.18 (2)	-13570 (2)	-1677 (2)	-334 (3)
152	4	-2.71 (2)	-0.34 (2)	0.17 (3)	-13575 (2)	-1687 (2)	-509 (3)
152	5	-2.53 (2)	-0.34 (2)	-0.30 (3)	-10793 (2)	-1375 (2)	-181 (3)
152	6	-2.06 (2)	-0.41 (2)	-0.22 (2)	-10582 (2)	-1288 (2)	-223 (3)
152	7	-2.07 (2)	-0.41 (2)	-0.15 (2)	-10487 (2)	-1254 (2)	-341 (3)
152	8	-2.54 (2)	-0.35 (2)	-0.18 (2)	-10388 (2)	-1263 (2)	-555 (3)
152	9	-2.38 (2)	-0.38 (2)	-0.29 (3)	-7958 (2)	-1032 (2)	-159 (3)
152	10	-2.02 (2)	-0.47 (2)	-0.22 (2)	-7824 (2)	-925 (2)	-211 (5-I-1)
152	11	-2.03 (2)	-0.48 (2)	-0.15 (2)	-7730 (2)	-871 (2)	-348 (3)
152	12	-2.38 (2)	-0.39 (2)	-0.20 (2)	-7577 (2)	-873 (2)	-601 (3)
152	13	-2.24 (2)	-0.43 (2)	-0.28 (3)	-5455 (2)	-727 (2)	-140 (3)
152	14	-1.96 (2)	-0.52 (2)	-0.22 (2)	-5372 (2)	-604 (2)	-216 (5-I-1)
152	15	-1.97 (2)	-0.53 (2)	-0.16 (2)	-5290 (2)	-526 (2)	-350 (3)
152	16	-2.23 (2)	-0.44 (2)	-0.23 (2)	-5119 (2)	-510 (2)	-637 (3)
153	1	-2.11 (2)	-0.48 (2)	-0.27 (3)	-3561 (5-II-1)	-461 (2)	-120 (3)
153	2	-1.89 (2)	-0.57 (2)	-0.20 (2)	-3442 (5-II-1)	-393 (5-II-1)	-220 (5-I-1)
153	3	-1.89 (2)	-0.58 (2)	-0.17 (2)	-3286 (5-II-1)	-417 (5-II-1)	-355 (5-I-1)
153	4	-2.10 (2)	-0.50 (2)	-0.24 (2)	-3114 (5-II-1)	-498 (3)	-662 (3)
153	5	-1.99 (2)	-0.53 (2)	-0.26 (3)	-3905 (5-II-1)	-427 (3)	-112 (5-I-1)
153	6	-1.82 (2)	-0.61 (2)	-0.19 (2)	-3793 (5-II-1)	-544 (3)	-223 (5-I-1)
153	7	-1.82 (2)	-0.63 (2)	-0.18 (2)	-3638 (5-II-1)	-708 (3)	-369 (5-I-1)
153	8	-1.97 (2)	-0.57 (2)	-0.26 (2)	-3464 (5-II-1)	-839 (3)	-676 (3)
153	9	-1.88 (2)	-0.58 (2)	-0.25 (3)	-5083 (3)	-621 (3)	-107 (5-I-1)
153	10	-1.74 (2)	-0.65 (2)	-0.17 (2)	-4942 (3)	-779 (3)	-222 (5-I-1)
153	11	-1.73 (2)	-0.67 (2)	-0.18 (2)	-4802 (3)	-988 (3)	-378 (5-I-1)
153	12	-1.85 (2)	-0.63 (2)	-0.27 (2)	-4752 (3)	-1139 (3)	-679 (3)

**POTENZIAMENTO DELL'IMPIANTO DI DEPURAZIONE E
DEL RECAPITO FINALE DI SQUINZANO (LE)
PROGETTO DEFINITIVO
Tabulati di calcolo strutturale-Equalizzazione**

R.37.7

Maggio 2021

Pagina 98 di 338

Muro	Pann.	Sxx	Syy	Sxy	Mxx	Myy	Mxy
153	13	-1.77 (2)	-0.63 (2)	-0.24 (3)	-6400 (3)	-764 (3)	-100 (5-I-1)
153	14	-1.66 (2)	-0.70 (2)	-0.16 (1)	-6232 (3)	-971 (3)	-219 (5-I-1)
153	15	-1.64 (2)	-0.72 (2)	-0.19 (2)	-6053 (3)	-1230 (3)	-383 (5-I-1)
153	16	-1.73 (2)	-0.69 (2)	-0.28 (2)	-5961 (3)	-1401 (3)	-672 (3)
154	1	0.73 (3)	2.00 (3)	0.19 (3)	-399 (2)	-1772 (3)	851 (3)
154	2	1.35 (3)	2.04 (3)	0.36 (3)	1723 (3)	-1100 (3)	907 (3)
154	3	1.64 (3)	1.97 (3)	0.40 (3)	3022 (3)	-676 (3)	821 (3)
154	4	1.85 (3)	1.85 (3)	0.39 (3)	4275 (3)	-435 (4)	658 (3)
154	5	0.28 (3)	-0.84 (3)	0.30 (1)	-393 (2)	-2363 (2)	2292 (3)
154	6	1.01 (3)	-0.77 (3)	0.38 (1)	-495 (2)	-1523 (2)	2496 (3)
154	7	1.49 (3)	-0.73 (2)	0.47 (1)	754 (3)	-1169 (3)	2527 (3)
154	8	1.80 (3)	-0.74 (2)	0.53 (3)	1211 (3)	-1300 (3)	2382 (3)
154	9	-0.18 (2)	-2.35 (3)	0.40 (2)	-518 (2)	-3992 (2)	2674 (3)
154	10	0.67 (3)	-2.19 (3)	0.43 (1)	-392 (2)	-2640 (2)	2899 (3)
154	11	1.16 (3)	-2.02 (3)	0.49 (1)	-316 (2)	-1545 (2)	3052 (3)
154	12	1.55 (3)	-1.85 (3)	0.53 (1)	-295 (2)	-1867 (3)	3046 (3)
154	13	-0.21 (2)	-3.35 (3)	0.52 (2)	-719 (2)	-5855 (2)	2543 (3)
154	14	0.47 (3)	-3.08 (3)	0.51 (2)	-458 (2)	-3963 (2)	2783 (3)
154	15	0.93 (3)	-2.86 (3)	0.50 (2)	-442 (3)	-2422 (2)	2989 (3)
154	16	1.31 (3)	-2.66 (3)	0.49 (2)	-669 (3)	-2021 (3)	3072 (3)
155	1	2.05 (3)	0.85 (3)	0.49 (2)	-2100 (3)	375 (3)	1498 (3)
155	2	-0.57 (2)	0.46 (3)	0.84 (2)	-2472 (2)	-410 (2)	2856 (3)
155	3	-1.51 (3)	0.18 (3)	1.04 (2)	-4640 (2)	-614 (2)	3290 (3)
155	4	-2.67 (3)	-0.21 (2)	1.10 (2)	-6961 (2)	-869 (2)	3371 (3)
155	5	2.22 (3)	1.58 (3)	0.54 (2)	-1061 (3)	1763 (3)	1688 (3)
155	6	-0.61 (2)	1.21 (3)	0.90 (2)	-1868 (2)	601 (3)	3325 (3)
155	7	-1.48 (3)	0.92 (3)	1.07 (2)	-3457 (2)	-545 (2)	3819 (3)
155	8	-2.46 (3)	0.73 (3)	1.10 (2)	-5239 (2)	-655 (2)	3897 (3)
155	9	2.22 (3)	1.98 (3)	0.57 (2)	-671 (2)	3091 (3)	1801 (3)
155	10	-0.63 (2)	1.76 (3)	0.93 (2)	-1380 (2)	1130 (3)	3639 (3)
155	11	-1.35 (3)	1.48 (3)	1.07 (2)	-2511 (2)	-536 (2)	4289 (3)
155	12	-2.27 (3)	1.25 (3)	1.08 (2)	-3845 (2)	-490 (2)	4426 (3)
155	13	2.14 (3)	2.26 (3)	0.56 (2)	-562 (2)	4385 (3)	1859 (3)
155	14	-0.65 (2)	2.14 (3)	0.93 (2)	-990 (2)	1764 (3)	3768 (3)
155	15	-1.22 (3)	1.91 (3)	1.06 (2)	-1760 (2)	-593 (2)	4556 (3)
155	16	-2.09 (3)	1.67 (3)	1.07 (2)	-2723 (2)	-373 (2)	4790 (3)
156	1	-0.26 (2)	-4.00 (3)	-0.58 (3)	-940 (2)	-7752 (2)	2004 (3)
156	2	0.31 (3)	-3.57 (3)	-0.51 (3)	-588 (2)	-5447 (2)	2302 (3)
156	3	0.70 (3)	-3.27 (3)	-0.43 (3)	-494 (3)	-3514 (2)	2562 (3)
156	4	1.02 (3)	-3.03 (3)	0.44 (2)	-862 (3)	-2081 (4)	2709 (3)
156	5	-0.28 (2)	-3.03 (3)	-0.71 (3)	-1148 (2)	-9504 (2)	1467 (3)
156	6	-0.36 (2)	-2.87 (3)	-0.71 (3)	-744 (2)	-6918 (2)	1715 (3)
156	7	-0.42 (2)	-2.77 (3)	-0.65 (3)	-375 (2)	-4683 (2)	1956 (3)
156	8	0.64 (3)	-2.68 (3)	-0.58 (3)	-756 (3)	-2779 (2)	2120 (3)
156	9	-0.30 (2)	-2.72 (3)	-0.59 (3)	-1039 (2)	-10977 (2)	1072 (3)
156	10	-0.38 (2)	-2.53 (3)	-0.57 (3)	-922 (2)	-8171 (2)	1245 (3)
156	11	-0.44 (2)	-2.44 (3)	-0.55 (3)	-542 (2)	-5705 (2)	1425 (3)
156	12	-0.50 (2)	-2.37 (3)	-0.53 (3)	-562 (3)	-3569 (2)	1564 (3)
156	13	-0.31 (2)	-2.74 (4)	0.58 (2)	-1531 (2)	-12330 (2)	756 (3)
156	14	-0.33 (2)	-2.53 (4)	0.55 (2)	-1121 (2)	-9261 (2)	871 (3)
156	15	-0.37 (2)	-2.40 (4)	0.52 (2)	-744 (2)	-6577 (2)	1009 (3)
156	16	-0.42 (2)	-2.30 (4)	0.50 (2)	-445 (4)	-4250 (2)	1126 (3)
157	1	-0.29 (2)	-2.79 (2)	-0.52 (3)	-1629 (2)	-13068 (2)	473 (3)
157	2	-0.31 (2)	-2.55 (2)	-0.54 (3)	-1221 (2)	-9892 (2)	606 (3)
157	3	-0.35 (2)	-2.39 (4)	-0.53 (3)	-848 (2)	-7111 (2)	743 (3)
157	4	-0.41 (2)	-2.27 (4)	-0.51 (3)	-502 (2)	-4693 (2)	856 (3)
157	5	-0.35 (2)	-2.20 (2)	-0.57 (3)	-1638 (2)	-13192 (2)	337 (3)
157	6	-0.41 (2)	-2.21 (2)	-0.55 (3)	-1229 (2)	-10119 (2)	461 (3)
157	7	-0.45 (2)	-2.17 (2)	-0.52 (3)	-856 (2)	-7370 (2)	589 (3)
157	8	-0.48 (2)	-2.10 (2)	-0.50 (3)	-519 (2)	-4944 (2)	694 (3)
157	9	-0.35 (2)	-2.12 (2)	-0.41 (3)	-1664 (2)	-13419 (2)	265 (3)
157	10	-0.43 (2)	-2.15 (2)	-0.42 (3)	-1252 (2)	-10355 (2)	347 (3)
157	11	-0.47 (2)	-2.12 (2)	-0.43 (3)	-879 (2)	-7600 (2)	444 (3)
157	12	-0.51 (2)	-2.07 (2)	-0.43 (3)	-542 (2)	-5157 (2)	533 (3)
157	13	-0.32 (2)	-2.61 (2)	0.40 (2)	-1722 (2)	-13821 (2)	205 (5-II-1)
157	14	-0.35 (2)	-2.43 (2)	0.38 (2)	-1308 (2)	-10633 (2)	246 (3)
157	15	-0.41 (2)	-2.29 (2)	-0.37 (3)	-932 (2)	-7814 (2)	316 (3)
157	16	-0.46 (2)	-2.17 (2)	-0.37 (3)	-588 (2)	-5335 (2)	385 (3)
158	1	-3.22 (3)	-0.24 (2)	0.95 (2)	-9135 (2)	-1117 (2)	3166 (3)
158	2	-2.86 (3)	-0.29 (2)	0.91 (2)	-11097 (2)	-1347 (2)	2907 (3)
158	3	-2.61 (3)	-0.31 (2)	1.04 (2)	-13052 (2)	-1587 (2)	2651 (3)
158	4	-2.82 (3)	-0.29 (2)	0.99 (2)	-14969 (2)	-1829 (2)	2351 (3)
158	5	-2.96 (3)	0.58 (3)	0.98 (2)	-7012 (2)	-803 (2)	3728 (3)
158	6	-2.81 (3)	-0.37 (2)	0.94 (2)	-8703 (2)	-966 (2)	3452 (3)
158	7	-2.61 (3)	-0.39 (2)	1.03 (2)	-10355 (2)	-1156 (2)	3132 (3)
158	8	-2.71 (3)	-0.29 (2)	0.95 (2)	-11919 (2)	-1358 (2)	2778 (3)

**POTENZIAMENTO DELL'IMPIANTO DI DEPURAZIONE E
DEL RECAPITO FINALE DI SQUINZANO (LE)
PROGETTO DEFINITIVO
Tabulati di calcolo strutturale-Equalizzazione**

R.37.7

Maggio 2021

Pagina 99 di 338

Muro	Pann.	Sxx	Syy	Sxy	Mxx	Myy	Mxy
158	9	-2.73 (3)	1.04 (3)	1.00 (2)	-5247 (2)	-531 (2)	4294 (3)
158	10	-2.71 (3)	0.76 (3)	0.97 (2)	-6646 (2)	-619 (2)	4016 (3)
158	11	-2.59 (3)	0.54 (3)	1.00 (2)	-8011 (2)	-755 (2)	3659 (3)
158	12	-2.62 (3)	0.46 (3)	0.91 (2)	-9299 (2)	-917 (2)	3265 (3)
158	13	-2.54 (3)	1.41 (3)	1.01 (2)	-3795 (2)	-433 (4)	4712 (3)
158	14	-2.60 (3)	1.12 (3)	0.97 (2)	-4907 (2)	-471 (4)	4455 (3)
158	15	-2.55 (3)	0.88 (3)	0.96 (2)	-6010 (2)	-491 (4)	4094 (3)
158	16	-2.54 (3)	0.74 (3)	0.88 (2)	-7064 (2)	-508 (4)	3682 (3)
159	1	-2.94 (4)	-0.30 (2)	0.62 (2)	-16489 (2)	-2018 (2)	1982 (3)
159	2	-2.48 (3)	-0.35 (2)	0.51 (2)	-17610 (2)	-2153 (2)	1666 (3)
159	3	-2.32 (4)	-0.36 (2)	0.68 (2)	-18726 (2)	-2293 (2)	1402 (3)
159	4	-2.95 (2)	-0.32 (2)	0.63 (2)	-19863 (2)	-2442 (2)	1142 (3)
159	5	-2.77 (3)	-0.29 (2)	0.66 (2)	-13251 (2)	-1520 (2)	2401 (3)
159	6	-2.46 (3)	-0.40 (2)	0.55 (2)	-14344 (2)	-1640 (2)	2040 (3)
159	7	-2.32 (4)	-0.41 (2)	0.66 (2)	-15343 (2)	-1766 (2)	1704 (3)
159	8	-2.71 (2)	-0.30 (2)	0.58 (2)	-16251 (2)	-1901 (2)	1377 (3)
159	9	-2.62 (3)	0.42 (3)	0.70 (2)	-10445 (2)	-1050 (2)	2859 (3)
159	10	-2.39 (3)	-0.41 (2)	0.59 (2)	-11438 (2)	-1151 (2)	2451 (3)
159	11	-2.29 (4)	-0.42 (2)	0.62 (2)	-12316 (2)	-1264 (2)	2049 (3)
159	12	-2.51 (2)	-0.33 (2)	0.54 (2)	-13073 (2)	-1387 (2)	1658 (3)
159	13	-2.49 (3)	0.65 (3)	0.72 (2)	-8030 (2)	-595 (2)	3248 (3)
159	14	-2.32 (3)	0.52 (3)	0.62 (2)	-8894 (2)	-682 (2)	2804 (3)
159	15	-2.24 (4)	-0.42 (2)	0.60 (2)	-9651 (2)	-780 (2)	2355 (3)
159	16	-2.34 (2)	0.38 (3)	0.51 (2)	-10294 (2)	-886 (2)	1912 (3)
160	1	-3.05 (2)	-0.32 (2)	0.24 (2)	-20602 (2)	-2536 (2)	864 (3)
160	2	-2.54 (2)	-0.38 (2)	-0.15 (3)	-20936 (2)	-2576 (2)	634 (3)
160	3	-2.56 (2)	-0.38 (2)	0.31 (2)	-21296 (2)	-2622 (2)	431 (3)
160	4	-3.14 (2)	-0.33 (2)	0.21 (2)	-21684 (2)	-2673 (2)	221 (3)
160	5	-2.79 (2)	-0.29 (2)	0.28 (2)	-16904 (2)	-1989 (2)	1068 (3)
160	6	-2.52 (2)	-0.41 (2)	0.17 (2)	-17309 (2)	-2032 (2)	789 (3)
160	7	-2.54 (2)	-0.41 (2)	0.27 (2)	-17632 (2)	-2076 (2)	522 (3)
160	8	-2.87 (2)	-0.29 (2)	0.17 (2)	-17874 (2)	-2117 (2)	259 (3)
160	9	-2.58 (2)	-0.32 (2)	0.32 (2)	-13647 (2)	-1469 (2)	1297 (3)
160	10	-2.45 (2)	-0.40 (2)	0.22 (2)	-14045 (2)	-1510 (2)	962 (3)
160	11	-2.47 (2)	-0.39 (2)	0.23 (2)	-14332 (2)	-1551 (2)	632 (3)
160	12	-2.66 (2)	-0.31 (2)	0.14 (5-I-1)	-14508 (2)	-1589 (2)	310 (3)
160	13	-2.40 (2)	0.35 (3)	0.34 (2)	-10792 (2)	-961 (2)	1500 (3)
160	14	-2.35 (2)	-0.39 (2)	0.24 (2)	-11151 (2)	-1004 (2)	1115 (3)
160	15	-2.37 (2)	-0.38 (2)	0.20 (2)	-11403 (2)	-1042 (2)	732 (3)
160	16	-2.47 (2)	-0.33 (2)	0.14 (5-I-1)	-11547 (2)	-1072 (2)	357 (3)
161	1	1.98 (3)	-2.05 (3)	0.41 (2)	-1772 (3)	-5169 (3)	2038 (3)
161	2	2.08 (3)	-1.87 (3)	0.39 (2)	-1786 (3)	-5182 (3)	1729 (3)
161	3	2.15 (3)	-1.69 (3)	0.38 (1)	-1756 (3)	-5048 (3)	1394 (3)
161	4	2.21 (3)	-1.52 (3)	0.38 (1)	-1689 (3)	-4793 (3)	-1180 (2)
161	5	1.67 (3)	-2.07 (3)	0.42 (2)	-6254 (3)	-6254 (3)	1820 (3)
161	6	1.80 (3)	-1.93 (3)	0.41 (2)	-2221 (3)	-6426 (3)	1596 (3)
161	7	1.92 (3)	-1.78 (3)	0.39 (2)	-2282 (3)	-6406 (3)	1339 (3)
161	8	2.02 (3)	-1.63 (3)	0.36 (2)	-2203 (3)	-6222 (3)	1057 (3)
161	9	1.42 (3)	-1.94 (3)	0.43 (2)	-1991 (3)	-6937 (3)	1487 (3)
161	10	1.57 (3)	-1.83 (3)	0.41 (2)	-2116 (3)	-7269 (3)	1339 (3)
161	11	1.71 (3)	-1.71 (3)	0.39 (2)	-2191 (3)	-7138 (3)	1158 (3)
161	12	1.85 (3)	-1.59 (3)	0.36 (2)	-2218 (3)	-7299 (3)	948 (3)
161	13	1.25 (3)	-1.85 (4)	0.42 (2)	-1758 (3)	-7305 (3)	1218 (3)
161	14	1.41 (3)	-1.77 (4)	0.40 (2)	-1870 (3)	-7765 (3)	1145 (3)
161	15	1.56 (3)	-1.69 (4)	0.39 (2)	-1928 (3)	-7988 (3)	1048 (3)
161	16	1.71 (3)	-1.61 (4)	0.37 (2)	-1933 (3)	-8005 (3)	929 (3)
162	1	2.40 (3)	1.14 (3)	0.32 (3)	9119 (3)	491 (3)	-464 (3)
162	2	2.40 (3)	0.99 (3)	0.31 (3)	9749 (3)	631 (3)	-679 (3)
162	3	2.36 (3)	0.84 (3)	0.30 (3)	10268 (3)	761 (3)	-878 (3)
162	4	2.30 (3)	-0.75 (2)	0.29 (3)	10685 (3)	882 (3)	-1059 (3)
162	5	2.40 (3)	-0.70 (2)	0.67 (3)	3954 (3)	-1016 (3)	-671 (2)
162	6	2.40 (3)	-0.68 (2)	0.68 (3)	4464 (3)	-854 (3)	-466 (2)
162	7	2.38 (3)	-0.67 (2)	0.68 (3)	4937 (3)	-673 (3)	-610 (5-I-1)
162	8	2.33 (3)	-0.65 (2)	0.67 (3)	5370 (3)	-481 (3)	-762 (5-I-1)
162	9	2.34 (3)	-1.08 (3)	0.68 (3)	929 (3)	-2567 (3)	1509 (3)
162	10	2.37 (3)	-0.96 (3)	0.71 (3)	1246 (3)	-2413 (3)	-1187 (2)
162	11	2.37 (3)	-0.84 (3)	0.73 (3)	1575 (3)	-2203 (3)	-977 (2)
162	12	2.35 (3)	-0.74 (3)	0.74 (3)	1906 (3)	-1951 (3)	-760 (2)
162	13	2.22 (3)	-1.69 (3)	0.50 (1)	-777 (3)	-3901 (3)	1954 (3)
162	14	2.27 (3)	-1.52 (3)	0.55 (3)	-635 (3)	-3800 (3)	1569 (3)
162	15	2.30 (3)	-1.36 (3)	0.60 (3)	-459 (3)	-3601 (3)	-1313 (2)
162	16	2.32 (3)	-1.20 (3)	0.62 (3)	-343 (5-I-1)	-3325 (3)	-1105 (2)
163	1	1.39 (3)	2.78 (3)	0.36 (4)	757 (3)	9468 (3)	1771 (3)
163	2	-0.76 (2)	2.74 (3)	0.65 (4)	-348 (4)	5114 (3)	3273 (3)
163	3	-0.77 (2)	2.67 (3)	0.78 (4)	-875 (3)	2231 (3)	4123 (3)
163	4	-1.32 (3)	2.53 (3)	0.79 (2)	-1584 (3)	-486 (2)	4674 (3)

Muro	Pann.	Sxx	Syy	Sxy	Mxx	Myy	Mxy
163	5	1.22 (3)	2.75 (3)	0.34 (4)	881 (3)	10127 (3)	-1755 (2)
163	6	-0.77 (2)	2.72 (3)	0.64 (3)	-288 (4)	5679 (3)	3099 (3)
163	7	-0.74 (2)	2.66 (3)	0.77 (4)	-799 (3)	2636 (3)	3895 (3)
163	8	-1.20 (3)	2.56 (3)	0.79 (4)	-1571 (3)	-618 (2)	4457 (3)
163	9	1.06 (3)	2.68 (3)	0.33 (4)	998 (3)	10666 (3)	-1753 (2)
163	10	-0.77 (2)	2.66 (3)	0.66 (3)	-321 (2)	6192 (3)	-3024 (2)
163	11	-0.71 (2)	2.63 (3)	0.80 (3)	-681 (3)	3036 (3)	-3702 (2)
163	12	-1.10 (3)	2.55 (3)	0.81 (3)	-1482 (3)	861 (3)	4223 (3)
163	13	-1.00 (2)	2.59 (3)	0.31 (4)	1108 (3)	11094 (3)	-1746 (2)
163	14	-0.76 (2)	2.58 (3)	0.66 (3)	-389 (2)	6650 (3)	-2976 (2)
163	15	-0.68 (2)	2.57 (3)	0.82 (3)	-529 (3)	3422 (3)	-3633 (2)
163	16	-1.00 (3)	2.52 (3)	0.85 (3)	-1332 (3)	1130 (3)	-4072 (2)
164	1	1.15 (3)	-1.80 (4)	0.39 (2)	-1625 (3)	-7423 (3)	1053 (3)
164	2	1.31 (3)	-1.72 (4)	0.39 (2)	-1740 (3)	-7955 (3)	1035 (3)
164	3	1.46 (3)	-1.65 (4)	0.38 (2)	-1805 (3)	-8239 (3)	1004 (3)
164	4	1.61 (3)	-1.57 (4)	0.38 (2)	-1818 (3)	-8306 (3)	964 (3)
164	5	1.08 (3)	-1.73 (4)	0.36 (2)	-1576 (3)	-7411 (3)	934 (3)
164	6	1.23 (3)	-1.65 (4)	0.37 (2)	-1708 (3)	-7972 (3)	943 (3)
164	7	1.38 (3)	-1.57 (4)	0.37 (2)	-1795 (3)	-8277 (3)	945 (3)
164	8	1.53 (3)	-1.49 (4)	0.37 (2)	-1839 (3)	-8354 (3)	946 (3)
164	9	1.02 (3)	-1.65 (2)	-0.34 (3)	-1555 (3)	-7358 (3)	782 (3)
164	10	1.17 (3)	-1.56 (4)	0.34 (2)	-1710 (3)	-7937 (3)	805 (3)
164	11	1.31 (3)	-1.48 (4)	0.34 (2)	-1829 (3)	-8250 (3)	826 (3)
164	12	1.46 (3)	-1.39 (4)	0.35 (2)	-1913 (3)	-8328 (3)	849 (3)
164	13	0.97 (3)	-1.64 (2)	-0.33 (3)	-1540 (3)	-7292 (3)	596 (3)
164	14	1.11 (3)	-1.53 (2)	-0.31 (3)	-1715 (3)	-7882 (3)	618 (3)
164	15	1.25 (3)	-1.43 (2)	0.30 (2)	-1860 (3)	-8201 (3)	638 (3)
164	16	1.39 (3)	-1.32 (2)	0.29 (2)	-1981 (3)	-8275 (3)	658 (3)
165	1	-1.73 (3)	2.35 (3)	0.81 (2)	-2133 (3)	-804 (3)	4927 (3)
165	2	-1.94 (3)	2.15 (3)	0.80 (2)	-2511 (3)	-1543 (3)	4941 (3)
165	3	-2.02 (3)	1.94 (3)	0.77 (2)	-2737 (3)	-1996 (3)	4772 (3)
165	4	-2.01 (3)	1.75 (3)	0.72 (2)	-2840 (3)	-2260 (3)	4472 (3)
165	5	-1.59 (3)	2.41 (3)	0.76 (4)	-2209 (3)	-731 (3)	4752 (3)
165	6	-1.80 (3)	2.23 (3)	0.74 (2)	-2694 (3)	-1601 (3)	4817 (3)
165	7	-1.88 (3)	2.04 (3)	0.72 (2)	-3033 (3)	-2156 (3)	4697 (3)
165	8	-1.88 (3)	1.87 (3)	0.68 (2)	-3248 (3)	-2500 (3)	4436 (3)
165	9	-1.46 (3)	2.43 (3)	0.77 (4)	-2174 (3)	-619 (3)	4549 (3)
165	10	-1.66 (3)	2.28 (3)	0.71 (4)	-2732 (3)	-1613 (3)	4657 (3)
165	11	-1.75 (3)	2.12 (3)	0.66 (2)	-3154 (3)	-2271 (3)	4582 (3)
165	12	-1.75 (3)	1.97 (3)	0.63 (2)	-3456 (3)	-2695 (3)	4360 (3)
165	13	-1.33 (3)	2.42 (3)	0.80 (3)	-2049 (3)	-476 (3)	4330 (3)
165	14	-1.52 (3)	2.30 (3)	0.73 (4)	-2650 (3)	-1587 (3)	4474 (3)
165	15	-1.61 (3)	2.17 (3)	0.66 (4)	-3129 (3)	-2344 (3)	4439 (3)
165	16	-1.62 (3)	2.04 (3)	0.58 (2)	-3493 (3)	-2849 (3)	4255 (3)
166	1	-1.95 (3)	1.58 (3)	0.65 (2)	-2852 (3)	-2401 (3)	4078 (3)
166	2	-1.86 (3)	1.44 (3)	0.58 (2)	-2863 (4)	-2461 (3)	3618 (3)
166	3	-1.76 (4)	1.33 (3)	0.50 (2)	-2977 (4)	-2471 (3)	3112 (3)
166	4	-1.74 (4)	1.24 (3)	0.42 (2)	-3065 (4)	-2455 (3)	2574 (3)
166	5	-1.83 (3)	1.72 (3)	0.62 (2)	-3365 (3)	-2700 (3)	4071 (3)
166	6	-1.75 (3)	1.58 (3)	0.55 (2)	-3412 (3)	-2805 (3)	3631 (3)
166	7	-1.65 (3)	1.47 (3)	0.48 (2)	-3410 (3)	-2849 (3)	3137 (3)
166	8	-1.63 (4)	1.39 (3)	0.40 (2)	-3380 (3)	-2857 (3)	2605 (3)
166	9	-1.71 (3)	1.83 (3)	0.58 (2)	-3657 (3)	-2958 (3)	4027 (3)
166	10	-1.63 (3)	1.71 (3)	0.52 (2)	-3782 (3)	-3111 (3)	3611 (3)
166	11	-1.55 (3)	1.61 (3)	0.46 (2)	-3849 (3)	-3190 (3)	3133 (3)
166	12	-1.51 (4)	1.53 (3)	0.38 (2)	-3878 (3)	-3224 (3)	2610 (3)
166	13	-1.58 (3)	1.93 (3)	0.54 (2)	-3760 (3)	-3176 (3)	3954 (3)
166	14	-1.51 (3)	1.82 (3)	0.49 (2)	-3946 (3)	-3378 (3)	3563 (3)
166	15	-1.43 (3)	1.74 (3)	0.43 (2)	-4070 (3)	-3496 (3)	3105 (3)
166	16	-1.40 (4)	1.67 (3)	0.36 (2)	-4148 (3)	-3557 (3)	2595 (3)
167	1	-1.71 (4)	1.17 (3)	0.33 (2)	-3127 (4)	-2428 (3)	2045 (3)
167	2	-1.72 (2)	1.13 (3)	0.24 (2)	-3170 (4)	-2402 (3)	1532 (3)
167	3	-1.74 (2)	1.10 (3)	0.16 (2)	-3199 (4)	-2379 (3)	1011 (3)
167	4	-1.75 (2)	1.08 (3)	0.13 (5-I-1)	-3215 (4)	-2365 (3)	492 (3)
167	5	-1.60 (4)	1.33 (3)	0.32 (2)	-3339 (3)	-2846 (3)	2074 (3)
167	6	-1.59 (2)	1.28 (3)	0.24 (2)	-3300 (3)	-2830 (3)	1557 (3)
167	7	-1.61 (2)	1.25 (3)	0.16 (5-I-1)	-3267 (3)	-2815 (3)	1029 (3)
167	8	-1.62 (2)	1.24 (3)	0.13 (5-I-1)	-3247 (3)	-2805 (3)	500 (3)
167	9	-1.49 (4)	1.47 (3)	0.30 (2)	-3884 (3)	-3231 (3)	2084 (3)
167	10	-1.47 (4)	1.43 (3)	0.23 (2)	-3879 (3)	-3227 (3)	1567 (3)
167	11	-1.48 (2)	1.41 (3)	0.16 (5-I-1)	-3871 (3)	-3219 (3)	1037 (3)
167	12	-1.49 (2)	1.39 (3)	0.13 (5-I-1)	-3864 (3)	-3213 (3)	504 (3)
167	13	-1.38 (4)	1.62 (3)	0.29 (2)	-4192 (3)	-3584 (3)	2077 (3)
167	14	-1.36 (4)	1.58 (3)	0.22 (2)	-4215 (3)	-3593 (3)	1564 (3)

**POTENZIAMENTO DELL'IMPIANTO DI DEPURAZIONE E
DEL RECAPITO FINALE DI SQUINZANO (LE)
PROGETTO DEFINITIVO
Tabulati di calcolo strutturale-Equalizzazione**

R.37.7

Maggio 2021

Pagina 101 di
338

Muro	Pann.	Sxx	Syy	Sxy	Mxx	Myy	Mxy
167	15	-1.36(2)	1.56(3)	0.16(5-I-1)	-4228(3)	-3594(3)	1036(3)
167	16	-1.36(2)	1.54(3)	0.13(5-I-1)	-4233(3)	-3592(3)	504(3)
168	1	0.94(3)	-1.63(2)	-0.32(3)	-1511(3)	-7247(3)	457(5-II-1)
168	2	1.08(3)	-1.52(2)	-0.30(3)	-1695(3)	-7846(3)	475(5-II-1)
168	3	1.21(3)	-1.41(2)	-0.28(3)	-1854(3)	-8170(3)	489(5-II-1)
168	4	1.35(3)	-1.30(2)	-0.27(3)	-1993(3)	-8244(3)	499(5-II-1)
168	5	0.92(3)	-1.63(2)	-0.31(3)	-1467(3)	-7229(3)	396(5-II-1)
168	6	1.05(3)	-1.52(2)	-0.29(3)	-1650(3)	-7836(3)	411(5-II-1)
168	7	1.19(3)	-1.40(2)	-0.28(3)	-1810(3)	-8167(3)	422(5-II-1)
168	8	1.33(3)	-1.29(2)	-0.27(3)	-1952(3)	-8247(3)	429(5-II-1)
168	9	0.90(3)	-1.63(2)	-0.29(3)	-1400(3)	-7228(3)	335(5-II-1)
168	10	1.04(3)	-1.51(2)	-0.28(3)	-1575(3)	-7847(3)	346(5-II-1)
168	11	1.17(3)	-1.40(2)	-0.27(3)	-1728(3)	-8188(3)	353(5-II-1)
168	12	1.31(3)	-1.29(2)	-0.26(3)	-1863(3)	-8277(3)	357(5-II-1)
168	13	0.89(3)	-1.62(2)	-0.28(3)	-1311(3)	-7245(3)	277(5-II-1)
168	14	1.03(3)	-1.51(2)	-0.27(3)	-1472(3)	-7878(3)	284(5-II-1)
168	15	1.16(3)	-1.40(2)	-0.27(3)	-1609(3)	-8233(3)	288(5-II-1)
168	16	1.29(3)	-1.29(2)	-0.26(3)	-1725(3)	-8336(3)	-298(5-I-1)
169	1	0.89(3)	-1.62(2)	-0.25(3)	-1179(3)	-7291(3)	-214(5-I-1)
169	2	1.02(3)	-1.52(2)	-0.25(3)	-1313(3)	-7945(3)	-238(5-I-1)
169	3	1.15(3)	-1.41(2)	-0.25(3)	-1418(3)	-8322(3)	-265(5-I-1)
169	4	1.28(3)	-1.31(2)	-0.24(3)	-1499(3)	-8450(3)	-295(5-I-1)
169	5	0.88(3)	-1.63(2)	-0.21(3)	-1012(3)	-7361(3)	-183(5-I-1)
169	6	1.02(3)	-1.54(2)	-0.21(3)	-1108(3)	-8041(3)	-204(5-I-1)
169	7	1.15(3)	-1.44(2)	-0.21(3)	-1167(3)	-8449(3)	-228(5-I-1)
169	8	1.28(3)	-1.34(2)	-0.21(3)	-1193(3)	-8611(3)	-296(3)
169	9	0.89(3)	-1.66(2)	-0.15(3)	-872(3)	-7425(3)	-124(5-I-1)
169	10	1.02(3)	-1.57(2)	-0.15(3)	-933(3)	-8130(3)	-142(3)
169	11	1.16(3)	-1.48(2)	-0.16(3)	-950(3)	-8566(3)	-184(3)
169	12	1.29(3)	-1.39(2)	-0.16(3)	-923(3)	-8761(3)	-238(3)
169	13	0.89(3)	-1.68(2)	-0.10(6-II-1)	-794(3)	-7462(3)	-50(5-I-1)
169	14	1.03(3)	-1.59(2)	-0.10(6-II-1)	-833(3)	-8182(3)	60(2)
169	15	1.16(3)	-1.51(2)	-0.10(6-II-1)	-823(3)	-8637(3)	78(2)
169	16	1.30(3)	-1.42(2)	-0.10(6-II-1)	-764(3)	-8855(3)	100(2)
170	1	-1.74(2)	1.08(3)	0.11(5-I-1)	-3218(4)	-3262(3)	-101(5-I-1)
170	2	-1.72(2)	1.09(3)	-0.13(2)	-3205(4)	-2373(3)	-719(3)
170	3	-1.71(2)	1.12(3)	-0.23(2)	-3174(4)	-2397(3)	-1344(3)
170	4	-1.71(4)	1.17(3)	-0.33(2)	-3124(4)	-2428(3)	-1952(3)
170	5	-1.61(2)	1.23(3)	0.11(5-I-1)	-3241(3)	-2802(3)	-105(5-I-1)
170	6	-1.60(2)	1.24(3)	-0.13(2)	-3256(3)	-2811(3)	-732(3)
170	7	-1.58(2)	1.28(3)	-0.22(2)	-3291(3)	-2828(3)	-1367(3)
170	8	-1.60(4)	1.33(3)	-0.32(2)	-3338(3)	-2846(3)	-1982(3)
170	9	-1.49(2)	1.39(3)	0.10(5-I-1)	-3862(3)	-3212(3)	-108(5-I-1)
170	10	-1.47(2)	1.40(3)	-0.13(5-II-1)	-3868(3)	-3217(3)	-739(3)
170	11	-1.46(4)	1.43(3)	-0.22(2)	-3878(3)	-3227(3)	-1377(3)
170	12	-1.49(4)	1.47(3)	-0.31(2)	-3887(3)	-3232(3)	-1992(3)
170	13	-1.36(2)	1.54(3)	0.10(5-I-1)	-4234(3)	-3592(3)	-109(5-I-1)
170	14	-1.35(2)	1.55(3)	-0.13(5-II-1)	-4232(3)	-3594(3)	-739(3)
170	15	-1.35(4)	1.58(3)	-0.21(2)	-4222(3)	-3595(3)	-1376(3)
170	16	-1.37(4)	1.62(3)	-0.29(2)	-4198(3)	-3587(3)	-1987(3)
171	1	-1.74(4)	1.25(3)	-0.45(2)	-3039(4)	-2458(3)	-2644(3)
171	2	-1.83(3)	1.40(3)	-0.55(2)	-2904(4)	-2463(3)	-3393(3)
171	3	-2.00(3)	1.60(3)	-0.62(2)	-2862(3)	-2396(3)	-4058(3)
171	4	-2.11(3)	1.87(3)	-0.69(2)	-2813(3)	-2174(3)	-4591(3)
171	5	-1.63(4)	1.41(3)	-0.43(2)	-3392(3)	-2856(3)	-2675(3)
171	6	-1.73(3)	1.54(3)	-0.53(2)	-3422(3)	-2824(3)	-3413(3)
171	7	-1.88(3)	1.74(3)	-0.59(2)	-3371(3)	-2696(3)	-4051(3)
171	8	-1.97(3)	1.98(3)	-0.66(2)	-3171(3)	-2381(3)	-4537(3)
171	9	-1.51(4)	1.55(3)	-0.41(2)	-3879(3)	-3219(3)	-2680(3)
171	10	-1.62(3)	1.68(3)	-0.50(2)	-3820(3)	-3146(3)	-3401(3)
171	11	-1.75(3)	1.85(3)	-0.56(2)	-3660(3)	-2954(3)	-4006(3)
171	12	-1.82(3)	2.07(3)	-0.61(2)	-3341(3)	-2543(3)	-4444(3)
171	13	-1.40(4)	1.69(3)	-0.38(2)	-4139(3)	-3548(3)	-2664(3)
171	14	-1.50(3)	1.80(3)	-0.47(2)	-4006(3)	-3431(3)	-3361(3)
171	15	-1.62(3)	1.95(3)	-0.52(2)	-3761(3)	-3172(3)	-3932(3)
171	16	-1.68(3)	2.13(3)	-0.60(4)	-3351(3)	-2664(3)	-4321(3)
172	1	1.76(3)	-1.50(4)	0.37(2)	-1780(3)	-8185(3)	919(3)
172	2	1.91(3)	-1.44(4)	0.36(2)	-1688(3)	-7906(3)	875(3)
172	3	2.05(3)	-1.38(4)	0.35(2)	-1539(3)	-7498(3)	835(3)
172	4	2.19(3)	-1.34(4)	0.34(2)	-1328(3)	-6993(3)	806(3)
172	5	1.68(3)	-1.41(4)	0.37(2)	-1840(3)	-8233(3)	950(3)
172	6	1.82(3)	-1.33(4)	0.38(2)	-1799(3)	-7941(3)	962(3)
172	7	1.96(3)	-1.25(4)	0.38(2)	-1715(3)	-7506(3)	990(3)
172	8	2.10(3)	-1.18(4)	0.38(2)	-1590(3)	-6954(3)	1041(3)

**POTENZIAMENTO DELL'IMPIANTO DI DEPURAZIONE E
DEL RECAPITO FINALE DI SQUINZANO (LE)
PROGETTO DEFINITIVO
Tabulati di calcolo strutturale-Equalizzazione**

R.37.7

Maggio 2021

Pagina 102 di
338

Muro	Pann.	Sxx	Syy	Sxy	Mxx	Myy	Mxy
172	9	1.60 (3)	-1.30 (4)	0.35 (2)	-1966 (3)	-8195 (3)	878 (3)
172	10	1.74 (3)	-1.20 (4)	0.35 (2)	-1992 (3)	-7880 (3)	917 (3)
172	11	1.88 (3)	-1.11 (4)	0.35 (2)	-1996 (3)	-7406 (3)	972 (3)
172	12	2.01 (3)	-1.00 (4)	0.35 (2)	-1983 (3)	-6800 (3)	1049 (3)
172	13	1.53 (3)	-1.21 (2)	0.29 (2)	-2081 (3)	-8131 (3)	682 (3)
172	14	1.67 (3)	-1.10 (4)	0.29 (2)	-2167 (3)	-7796 (3)	713 (3)
172	15	1.81 (3)	-0.99 (4)	0.29 (2)	-2244 (3)	-7294 (3)	753 (3)
172	16	1.94 (3)	-0.88 (4)	0.28 (2)	-2321 (3)	-6651 (3)	806 (3)
173	1	2.26 (3)	-1.36 (3)	0.41 (3)	-1594 (3)	-4439 (3)	-978 (2)
173	2	2.29 (3)	-1.20 (3)	0.43 (3)	-1477 (3)	-4009 (3)	-767 (2)
173	3	2.33 (3)	-1.04 (3)	0.45 (3)	-1348 (3)	-3523 (3)	-833 (5-I-1)
173	4	2.36 (3)	-0.90 (3)	0.45 (3)	-1213 (3)	-3001 (3)	-943 (5-I-1)
173	5	2.11 (3)	-1.47 (3)	0.34 (2)	-2288 (3)	-5899 (3)	-857 (2)
173	6	2.19 (3)	-1.32 (3)	0.32 (2)	-2246 (3)	-5464 (3)	718 (5-II-1)
173	7	2.27 (3)	-1.17 (3)	0.29 (2)	-2186 (3)	-4937 (3)	-750 (5-I-1)
173	8	2.34 (3)	-1.01 (3)	0.27 (2)	-2116 (3)	-4343 (3)	-858 (5-I-1)
173	9	1.97 (3)	-1.47 (3)	0.33 (2)	-2201 (3)	-7056 (3)	797 (5-II-1)
173	10	2.08 (3)	-1.34 (3)	0.30 (2)	-2144 (3)	-6676 (3)	736 (5-II-1)
173	11	2.19 (3)	-1.22 (4)	0.26 (2)	-2054 (3)	-6185 (3)	-675 (5-I-1)
173	12	2.29 (3)	-1.10 (4)	0.22 (2)	-1936 (3)	-5605 (3)	-776 (5-I-1)
173	13	1.85 (3)	-1.53 (4)	0.34 (2)	-1883 (3)	-7844 (3)	793 (3)
173	14	1.99 (3)	-1.46 (4)	0.32 (2)	-1779 (3)	-7535 (3)	747 (5-II-1)
173	15	2.13 (3)	-1.39 (4)	0.28 (2)	-1616 (3)	-7107 (3)	708 (5-II-1)
173	16	2.26 (3)	-1.33 (4)	0.25 (2)	-1394 (3)	-6587 (3)	667 (5-II-1)
174	1	-0.98 (2)	2.47 (3)	0.31 (3)	1212 (3)	11422 (3)	-1738 (2)
174	2	-0.75 (2)	2.49 (3)	0.66 (3)	-475 (2)	7055 (3)	-2925 (2)
174	3	-0.65 (2)	2.49 (3)	0.83 (3)	-440 (4)	3791 (3)	-3556 (2)
174	4	-0.91 (3)	2.46 (3)	0.88 (3)	-1135 (3)	1407 (3)	-3992 (2)
174	5	-0.94 (2)	2.35 (3)	0.31 (3)	1310 (3)	11662 (3)	-1729 (2)
174	6	-0.72 (2)	2.37 (3)	0.65 (3)	587 (3)	7409 (3)	-2877 (2)
174	7	-0.61 (2)	2.40 (3)	0.83 (3)	-357 (4)	4139 (3)	-3476 (2)
174	8	-0.83 (3)	2.39 (3)	0.90 (3)	-905 (3)	1686 (3)	-3903 (2)
174	9	-0.90 (2)	2.21 (3)	0.31 (3)	1403 (3)	11827 (3)	-1722 (2)
174	10	-0.68 (2)	2.25 (3)	0.63 (3)	733 (3)	7716 (3)	-2835 (2)
174	11	-0.57 (2)	2.29 (3)	0.82 (3)	-279 (4)	4464 (3)	-3399 (2)
174	12	-0.77 (3)	2.31 (3)	0.91 (3)	-654 (3)	1960 (3)	-3811 (2)
174	13	-0.86 (2)	2.07 (3)	0.30 (3)	1491 (3)	11935 (3)	-1717 (2)
174	14	-0.64 (2)	2.13 (3)	0.60 (3)	875 (3)	7981 (3)	-2800 (2)
174	15	-0.51 (2)	2.18 (3)	0.81 (3)	-356 (2)	4764 (3)	-3328 (2)
174	16	-0.70 (3)	2.21 (3)	0.90 (3)	-397 (3)	2226 (3)	-3720 (2)
175	1	2.21 (3)	-0.71 (2)	0.28 (3)	11007 (3)	991 (3)	-1218 (3)
175	2	2.10 (3)	-0.65 (2)	0.25 (3)	11245 (3)	1087 (3)	-1355 (3)
175	3	1.99 (3)	-0.58 (2)	0.22 (3)	11413 (3)	1168 (3)	-1467 (3)
175	4	1.87 (3)	-0.50 (2)	0.18 (3)	11519 (3)	1228 (3)	-1555 (3)
175	5	2.26 (3)	-0.64 (2)	0.66 (3)	5760 (3)	-283 (3)	-897 (5-I-1)
175	6	2.19 (3)	-0.61 (2)	0.63 (3)	6108 (3)	-193 (5-I-1)	-1156 (3)
175	7	2.10 (3)	-0.59 (2)	0.58 (3)	6412 (3)	-154 (2)	-1400 (3)
175	8	2.02 (3)	-0.56 (2)	0.52 (3)	6675 (3)	-283 (2)	-1603 (3)
175	9	2.31 (3)	-0.68 (2)	0.73 (3)	2232 (3)	-1669 (3)	-782 (5-I-1)
175	10	2.27 (3)	-0.65 (2)	0.71 (3)	2548 (3)	-1370 (3)	-926 (5-I-1)
175	11	2.23 (3)	-0.62 (2)	0.68 (3)	2848 (3)	-1065 (3)	-1051 (5-I-1)
175	12	2.19 (3)	-0.58 (2)	0.62 (3)	3130 (3)	-767 (3)	-1155 (5-I-1)
175	13	2.32 (3)	-1.06 (3)	0.64 (3)	-278 (5-I-1)	-2989 (3)	-890 (2)
175	14	2.32 (3)	-0.92 (3)	0.64 (3)	224 (5-II-1)	-2611 (3)	-817 (5-I-1)
175	15	2.31 (3)	-0.79 (3)	0.62 (3)	423 (3)	-2207 (3)	-947 (5-I-1)
175	16	2.31 (3)	-0.68 (4)	0.60 (3)	652 (3)	-1794 (3)	-1058 (5-I-1)
176	1	-1.45 (3)	2.01 (3)	0.51 (4)	-3703 (3)	-3358 (3)	3860 (3)
176	2	-1.39 (3)	1.92 (3)	0.46 (2)	-3935 (3)	-3611 (3)	3495 (3)
176	3	-1.32 (3)	1.85 (3)	0.41 (2)	-4102 (3)	-3768 (3)	3057 (3)
176	4	-1.28 (4)	1.80 (3)	0.34 (2)	-4218 (3)	-3859 (3)	2563 (3)
176	5	-1.31 (3)	2.08 (3)	0.51 (4)	-3514 (3)	-3508 (3)	3751 (3)
176	6	-1.26 (3)	2.02 (3)	0.43 (4)	-3778 (3)	-3813 (3)	3411 (3)
176	7	-1.20 (3)	1.97 (3)	0.38 (2)	-3976 (3)	-4010 (3)	2995 (3)
176	8	-1.17 (4)	1.92 (3)	0.32 (2)	-4121 (3)	-4132 (3)	2519 (3)
176	9	-1.17 (3)	2.14 (3)	0.51 (4)	-3222 (3)	-3630 (3)	3635 (3)
176	10	-1.13 (3)	2.10 (3)	0.43 (4)	-3503 (3)	-3987 (3)	3320 (3)
176	11	-1.08 (3)	2.07 (3)	0.35 (4)	-3721 (3)	-4225 (3)	2925 (3)
176	12	-1.05 (4)	2.05 (3)	0.30 (2)	-3884 (3)	-4378 (3)	2466 (3)
176	13	-1.04 (3)	2.20 (3)	0.50 (3)	-2852 (3)	-3729 (3)	3519 (3)
176	14	-1.00 (3)	2.19 (3)	0.42 (4)	-3138 (3)	-4137 (3)	3225 (3)
176	15	-0.95 (3)	2.18 (3)	0.34 (4)	-3364 (3)	-4416 (3)	2850 (3)
176	16	-0.94 (4)	2.17 (3)	0.27 (4)	-3537 (3)	-4601 (3)	2409 (3)
177	1	-1.26 (4)	1.76 (3)	0.27 (2)	-4294 (3)	-3906 (3)	2056 (3)
177	2	-1.25 (4)	1.73 (3)	0.20 (2)	-4340 (3)	-3929 (3)	1552 (3)

Muro	Pann.	Sxx	Syy	Sxy	Mxx	Myy	Mxy
177	3	-1.24(4)	1.71(3)	0.16(5-I-1)	-4369(3)	-3939(3)	1029(3)
177	4	-1.24(2)	1.70(3)	0.13(5-I-1)	-4385(3)	-3943(3)	501(3)
177	5	-1.15(4)	1.89(3)	0.26(2)	-4219(3)	-4201(3)	2026(3)
177	6	-1.14(4)	1.87(3)	0.19(2)	-4284(3)	-4238(3)	1531(3)
177	7	-1.12(4)	1.86(3)	0.15(5-I-1)	-4326(3)	-4258(3)	1016(3)
177	8	-1.12(2)	1.85(3)	0.12(5-I-1)	-4349(3)	-4267(3)	495(3)
177	9	-1.04(4)	2.03(3)	0.24(2)	-3999(3)	-4469(3)	1987(3)
177	10	-1.02(4)	2.01(3)	0.18(5-I-1)	-4076(3)	-4522(3)	1504(3)
177	11	-1.01(4)	2.01(3)	0.15(5-I-1)	-4127(3)	-4552(3)	1000(3)
177	12	-1.01(4)	2.00(3)	0.12(5-I-1)	-4156(3)	-4567(3)	488(3)
177	13	-0.92(4)	2.16(3)	0.22(2)	-3661(3)	-4715(3)	1945(3)
177	14	-0.91(4)	2.16(3)	0.18(5-I-1)	-3745(3)	-4784(3)	1474(3)
177	15	-0.90(4)	2.15(3)	0.14(5-I-1)	-3802(3)	-4825(3)	981(3)
177	16	-0.90(4)	2.15(3)	0.11(5-I-1)	-3834(3)	-4846(3)	479(3)
178	1	1.49(3)	-1.18(2)	-0.25(3)	-2117(3)	-8097(3)	507(5-II-1)
178	2	1.63(3)	-1.07(2)	0.23(2)	-2233(3)	-7753(3)	513(5-II-1)
178	3	1.76(3)	-0.95(2)	0.22(2)	-2347(3)	-7239(3)	517(5-II-1)
178	4	1.90(3)	-0.84(2)	0.21(2)	-2467(3)	-6581(3)	520(5-II-1)
178	5	1.46(3)	-1.17(2)	-0.25(3)	-2082(3)	-8102(3)	434(5-II-1)
178	6	1.60(3)	-1.06(2)	-0.23(3)	-2206(3)	-7759(3)	436(5-II-1)
178	7	1.73(3)	-0.94(2)	-0.22(3)	-2330(3)	-7244(3)	435(5-II-1)
178	8	1.87(3)	-0.82(2)	-0.20(3)	-2462(3)	-6583(3)	433(5-II-1)
178	9	1.44(3)	-1.17(2)	-0.25(3)	-1986(3)	-8140(3)	357(5-II-1)
178	10	1.57(3)	-1.05(2)	-0.24(3)	-2103(3)	-7803(3)	355(5-II-1)
178	11	1.71(3)	-0.94(2)	-0.23(3)	-2221(3)	-7292(3)	-357(5-I-1)
178	12	1.85(3)	-0.82(2)	-0.21(3)	-2348(3)	-6634(3)	-382(5-I-1)
178	13	1.43(3)	-1.18(2)	-0.25(3)	-1829(3)	-8213(3)	-327(5-I-1)
178	14	1.56(3)	-1.06(2)	-0.24(3)	-1924(3)	-7888(3)	-358(5-I-1)
178	15	1.69(3)	-0.95(2)	-0.23(3)	-2020(3)	-7387(3)	-391(5-I-1)
178	16	1.82(3)	-0.83(2)	-0.22(3)	-2124(3)	-6736(3)	-425(5-I-1)
179	1	-1.21(3)	2.40(3)	0.85(3)	-1852(3)	-337(5-I-1)	-4216(2)
179	2	-1.39(3)	2.31(3)	0.76(3)	-2472(3)	-1528(3)	4280(3)
179	3	-1.47(3)	2.21(3)	0.67(4)	-2984(3)	-2381(3)	4279(3)
179	4	-1.48(3)	2.10(3)	0.59(4)	-3390(3)	-2966(3)	4130(3)
179	5	-1.10(3)	2.35(3)	0.88(3)	-1602(3)	-285(5-I-1)	-4131(2)
179	6	-1.26(3)	2.29(3)	0.80(3)	-2220(3)	-1444(3)	-4187(2)
179	7	-1.33(3)	2.22(3)	0.69(3)	-2744(3)	-2387(3)	4112(3)
179	8	-1.34(3)	2.15(3)	0.59(4)	-3173(3)	-3051(3)	3992(3)
179	9	-0.99(3)	2.29(3)	0.90(3)	-1317(3)	231(5-II-1)	-4039(2)
179	10	-1.13(3)	2.26(3)	0.83(3)	-1914(3)	-1341(3)	-4103(2)
179	11	-1.19(3)	2.22(3)	0.72(3)	-2433(3)	-2370(3)	-4027(2)
179	12	-1.20(3)	2.18(3)	0.60(3)	-2868(3)	-3110(3)	3851(3)
179	13	-0.89(3)	2.22(3)	0.90(3)	-1013(3)	327(5-II-1)	-3943(2)
179	14	-1.00(3)	2.22(3)	0.84(3)	-1576(3)	-1225(3)	-4013(2)
179	15	-1.05(3)	2.21(3)	0.73(3)	-2074(3)	-2335(3)	-3948(2)
179	16	-1.06(3)	2.21(3)	0.61(3)	-2499(3)	-3147(3)	-3769(2)
180	1	1.41(3)	-1.20(2)	-0.24(3)	-1560(3)	-8351(3)	-329(5-I-1)
180	2	1.54(3)	-1.09(2)	-0.24(3)	-1608(3)	-8053(3)	-403(3)
180	3	1.67(3)	-0.98(2)	-0.23(3)	-1650(3)	-7578(3)	-523(3)
180	4	1.80(3)	-0.86(2)	-0.23(3)	-1694(3)	-6950(3)	-662(3)
180	5	1.41(3)	-1.24(2)	-0.21(3)	-1188(3)	-8552(3)	-387(3)
180	6	1.54(3)	-1.14(2)	-0.22(3)	-1157(3)	-8298(3)	-501(3)
180	7	1.67(3)	-1.04(2)	-0.22(3)	-1103(3)	-7872(3)	-641(3)
180	8	1.79(3)	-0.94(2)	-0.22(3)	-1033(3)	-7297(3)	-813(3)
180	9	1.42(3)	-1.30(2)	-0.16(3)	-853(3)	-8743(3)	-308(3)
180	10	1.56(3)	-1.22(2)	-0.17(3)	-740(3)	-8537(3)	-397(3)
180	11	1.69(3)	-1.14(4)	-0.18(3)	-582(3)	-8171(3)	-511(3)
180	12	1.81(3)	-1.08(4)	-0.19(4)	-573(5-II-1)	-7670(3)	-657(3)
180	13	1.43(3)	-1.34(2)	-0.09(6-II-1)	-653(3)	-8865(3)	127(2)
180	14	1.57(3)	-1.28(4)	-0.09(6-II-1)	-534(5-II-1)	-8696(3)	161(2)
180	15	1.70(3)	-1.24(4)	-0.09(3)	-524(5-II-1)	-8376(3)	205(2)
180	16	1.83(3)	-1.21(4)	-0.10(4)	-500(5-II-1)	-7938(3)	-262(3)
181	1	-1.28(4)	1.82(3)	-0.36(2)	-4202(3)	-3845(3)	-2630(3)
181	2	-1.38(3)	1.91(3)	-0.43(2)	-4012(3)	-3682(3)	-3302(3)
181	3	-1.48(3)	2.04(3)	-0.49(4)	-3702(3)	-3354(3)	-3836(3)
181	4	-1.53(3)	2.18(3)	-0.61(4)	-3229(3)	-2748(3)	-4180(3)
181	5	-1.17(4)	1.95(3)	-0.34(2)	-4098(3)	-4112(3)	-2583(3)
181	6	-1.25(3)	2.02(3)	-0.40(2)	-3866(3)	-3901(3)	-3228(3)
181	7	-1.34(3)	2.11(3)	-0.50(4)	-3512(3)	-3503(3)	-3727(3)
181	8	-1.38(3)	2.21(3)	-0.62(3)	-3001(3)	-2800(3)	-4028(3)
181	9	-1.05(4)	2.07(3)	-0.31(2)	-3858(3)	-4353(3)	-2528(3)
181	10	-1.12(3)	2.11(3)	-0.39(4)	-3599(3)	-4093(3)	-3145(3)
181	11	-1.20(3)	2.17(3)	-0.50(4)	-3219(3)	-3624(3)	-3611(3)
181	12	-1.23(3)	2.23(3)	-0.65(3)	-2693(3)	-2827(3)	3918(2)

**POTENZIAMENTO DELL'IMPIANTO DI DEPURAZIONE E
DEL RECAPITO FINALE DI SQUINZANO (LE)
PROGETTO DEFINITIVO
Tabulati di calcolo strutturale-Equalizzazione**

R.37.7

Maggio 2021

Pagina 104 di
338

Muro	Pann.	Sxx	Syy	Sxy	Mxx	Myy	Mxy
181	13	-0.94 (4)	2.19 (3)	-0.28 (2)	-3508 (3)	-4571 (3)	-2468 (3)
181	14	-0.99 (3)	2.21 (3)	-0.38 (4)	-3236 (3)	-4261 (3)	-3058 (3)
181	15	-1.06 (3)	2.23 (3)	-0.49 (3)	-2849 (3)	-3722 (3)	3494 (2)
181	16	-1.08 (3)	2.24 (3)	-0.67 (3)	-2328 (3)	-2833 (3)	3847 (2)
182	1	-1.24 (2)	1.70 (3)	0.09 (5-I-1)	-4388 (3)	-3944 (3)	-110 (5-I-1)
182	2	-1.23 (2)	1.71 (3)	-0.13 (5-II-1)	-4379 (3)	-3943 (3)	-734 (3)
182	3	-1.24 (4)	1.73 (3)	-0.20 (2)	-4352 (3)	-3935 (3)	-1366 (3)
182	4	-1.26 (4)	1.76 (3)	-0.28 (2)	-4303 (3)	-3911 (3)	-1968 (3)
182	5	-1.12 (2)	1.85 (3)	0.09 (5-I-1)	-4355 (3)	-4270 (3)	-110 (5-I-1)
182	6	-1.12 (4)	1.86 (3)	-0.12 (5-II-1)	-4340 (3)	-4265 (3)	-725 (3)
182	7	-1.13 (4)	1.87 (3)	-0.18 (2)	-4300 (3)	-4247 (3)	-1348 (3)
182	8	-1.15 (4)	1.90 (3)	-0.26 (2)	-4231 (3)	-4207 (3)	-1940 (3)
182	9	-1.00 (4)	2.00 (3)	0.08 (5-I-1)	-4163 (3)	-4571 (3)	-109 (5-I-1)
182	10	-1.01 (4)	2.01 (3)	-0.12 (5-II-1)	-4144 (3)	-4562 (3)	-714 (3)
182	11	-1.02 (4)	2.02 (3)	-0.17 (2)	-4095 (3)	-4535 (3)	-1325 (3)
182	12	-1.03 (4)	2.04 (3)	-0.24 (2)	-4011 (3)	-4478 (3)	-1904 (3)
182	13	-0.89 (4)	2.16 (3)	-0.08 (5-II-1)	-3842 (3)	-4851 (3)	-108 (5-I-1)
182	14	-0.90 (4)	2.16 (3)	-0.11 (5-II-1)	-3821 (3)	-4838 (3)	-700 (3)
182	15	-0.91 (4)	2.17 (3)	-0.16 (2)	-3766 (3)	-4801 (3)	-1299 (3)
182	16	-0.92 (4)	2.18 (3)	-0.22 (2)	-3674 (3)	-4726 (3)	-1863 (3)
183	1	-2.04 (3)	1.51 (3)	-0.74 (3)	-2610 (4)	-1854 (3)	-383 (3)
183	2	-1.84 (4)	1.38 (3)	-0.87 (3)	-2676 (4)	-2012 (3)	853 (2)
183	3	-1.84 (2)	1.27 (3)	-0.87 (3)	-2736 (4)	-2164 (3)	1355 (2)
183	4	-1.83 (2)	1.22 (3)	-0.81 (3)	-2783 (4)	-2289 (3)	1835 (2)
183	5	-1.86 (3)	1.68 (3)	-0.69 (3)	-2536 (4)	-2575 (3)	-420 (3)
183	6	-1.71 (4)	1.58 (3)	-0.80 (3)	-2582 (4)	-2418 (3)	-893 (3)
183	7	-1.69 (2)	1.48 (3)	-0.83 (3)	-2622 (4)	-2556 (3)	1374 (2)
183	8	-1.68 (2)	1.43 (3)	-0.80 (3)	-2718 (3)	-2672 (3)	1869 (2)
183	9	-1.69 (3)	1.86 (3)	-0.64 (3)	-3101 (3)	-2666 (3)	-445 (3)
183	10	-1.57 (4)	1.77 (3)	-0.75 (3)	-3164 (3)	-2795 (3)	-925 (3)
183	11	-1.54 (2)	1.68 (3)	-0.79 (3)	-3236 (3)	-2919 (3)	-1394 (3)
183	12	-1.53 (2)	1.63 (3)	-0.78 (3)	-3312 (3)	-3023 (3)	1890 (2)
183	13	-1.53 (3)	2.03 (3)	-0.60 (3)	-3557 (3)	-3028 (3)	-461 (3)
183	14	-1.44 (4)	1.96 (3)	-0.70 (3)	-3596 (3)	-3143 (3)	-944 (3)
183	15	-1.40 (4)	1.88 (3)	-0.75 (3)	-3636 (3)	-3254 (3)	-1414 (3)
183	16	-1.39 (2)	1.83 (3)	-0.76 (3)	-3671 (3)	-3344 (3)	1899 (2)
184	1	2.30 (3)	-1.54 (3)	0.83 (4)	-1013 (3)	-2059 (3)	4524 (3)
184	2	2.36 (3)	-1.42 (3)	0.86 (3)	-966 (3)	-2150 (3)	-4472 (2)
184	3	2.39 (3)	-1.31 (3)	0.93 (3)	-879 (3)	-2129 (3)	-4460 (2)
184	4	2.39 (3)	-1.20 (3)	0.98 (3)	-759 (3)	-2017 (3)	-4416 (2)
184	5	2.11 (3)	-1.71 (3)	0.78 (2)	-1708 (3)	-2390 (3)	4502 (3)
184	6	2.20 (3)	-1.59 (3)	0.79 (4)	-1782 (3)	-2587 (3)	-4458 (2)
184	7	2.25 (3)	-1.47 (3)	0.86 (3)	-1811 (3)	-2639 (3)	-4469 (2)
184	8	2.29 (3)	-1.35 (3)	0.93 (3)	-1799 (3)	-2571 (3)	-4444 (2)
184	9	1.92 (3)	-1.74 (3)	0.73 (2)	-2122 (3)	-2566 (3)	4312 (3)
184	10	2.03 (3)	-1.63 (3)	0.73 (4)	-2292 (3)	-2874 (3)	-4300 (2)
184	11	2.11 (3)	-1.52 (3)	0.79 (3)	-2415 (3)	-3009 (3)	-4330 (2)
184	12	2.17 (3)	-1.40 (3)	0.86 (3)	-2495 (3)	-2998 (3)	-4322 (2)
184	13	1.73 (3)	-1.69 (3)	0.67 (2)	-2353 (3)	-2613 (3)	4002 (3)
184	14	1.86 (3)	-1.59 (3)	0.67 (4)	-2595 (3)	-3032 (3)	-4034 (2)
184	15	1.97 (3)	-1.49 (3)	0.74 (3)	-2791 (3)	-3253 (3)	-4077 (2)
184	16	2.06 (3)	-1.38 (3)	0.80 (3)	-2944 (3)	-3307 (3)	-4083 (2)
185	1	2.70 (3)	1.30 (3)	0.43 (4)	8871 (3)	679 (3)	-1844 (2)
185	2	2.67 (3)	1.15 (3)	0.42 (3)	9492 (3)	794 (3)	-1858 (2)
185	3	2.61 (3)	-1.04 (2)	0.43 (3)	9993 (3)	902 (3)	-1864 (2)
185	4	2.52 (3)	-1.04 (2)	0.43 (3)	10382 (3)	1003 (3)	-1865 (2)
185	5	2.66 (3)	-0.78 (2)	0.74 (3)	4657 (3)	-385 (4)	-3208 (2)
185	6	2.65 (3)	-0.79 (2)	0.76 (3)	5176 (3)	-328 (4)	-3195 (2)
185	7	2.60 (3)	-0.79 (2)	0.77 (3)	5645 (3)	-335 (2)	-3164 (2)
185	8	2.52 (3)	-0.79 (2)	0.78 (3)	6061 (3)	-399 (2)	-3122 (2)
185	9	2.59 (3)	-0.78 (2)	0.86 (3)	1884 (3)	-887 (3)	-3893 (2)
185	10	2.59 (3)	-0.75 (2)	0.90 (3)	2246 (3)	-824 (3)	-3877 (2)
185	11	2.57 (3)	-0.72 (2)	0.93 (3)	2604 (3)	-716 (3)	-3833 (2)
185	12	2.51 (3)	-0.69 (2)	0.95 (3)	2952 (3)	-574 (3)	-3769 (2)
185	13	2.47 (3)	-1.18 (3)	0.87 (4)	-487 (2)	-1554 (3)	4323 (3)
185	14	2.50 (3)	-1.08 (3)	0.91 (3)	-618 (2)	-1556 (3)	-4295 (2)
185	15	2.50 (3)	-0.99 (3)	0.97 (3)	-771 (2)	-1480 (3)	-4263 (2)
185	16	2.47 (3)	-0.91 (3)	1.00 (3)	-942 (2)	-1342 (3)	-4203 (2)
186	1	1.57 (3)	-1.66 (4)	0.59 (2)	-2461 (3)	-2634 (4)	3609 (3)
186	2	1.71 (3)	-1.55 (4)	0.63 (3)	-2756 (3)	-3085 (3)	-3689 (2)
186	3	1.85 (3)	-1.44 (4)	0.70 (3)	-3007 (3)	-3391 (3)	-3739 (2)
186	4	1.96 (3)	-1.34 (4)	0.75 (3)	-3217 (3)	-3512 (3)	-3755 (2)
186	5	1.43 (3)	-1.64 (4)	0.58 (3)	-2487 (3)	-2737 (4)	-3204 (2)
186	6	1.59 (3)	-1.54 (4)	0.64 (3)	-2819 (3)	-3057 (3)	-3289 (2)

**POTENZIAMENTO DELL'IMPIANTO DI DEPURAZIONE E
DEL RECAPITO FINALE DI SQUINZANO (LE)
PROGETTO DEFINITIVO
Tabulati di calcolo strutturale-Equalizzazione**

R.37.7

Maggio 2021

Pagina 105 di
338

Muro	Pann.	Sxx	Syy	Sxy	Mxx	Myy	Mxy
186	7	1.74 (3)	-1.44 (4)	0.69 (3)	-3111 (3)	-3446 (3)	-3338 (2)
186	8	1.88 (3)	-1.33 (4)	0.73 (3)	-3364 (3)	-3633 (3)	-3357 (2)
186	9	1.31 (3)	-1.70 (2)	0.63 (3)	-2458 (3)	-2794 (4)	-2774 (2)
186	10	1.49 (3)	-1.57 (2)	0.67 (3)	-2815 (3)	-2972 (3)	-2845 (2)
186	11	1.66 (3)	-1.44 (2)	0.71 (3)	-3135 (3)	-3437 (3)	-2887 (2)
186	12	1.83 (3)	-1.33 (4)	0.73 (3)	-3418 (3)	-3687 (3)	-2905 (2)
186	13	1.24 (3)	-1.78 (2)	0.71 (3)	-2388 (3)	-2807 (4)	-2309 (2)
186	14	1.43 (3)	-1.64 (2)	0.73 (3)	-2761 (3)	-2850 (3)	-2362 (2)
186	15	1.63 (3)	-1.50 (2)	0.75 (3)	-3099 (3)	-3384 (3)	-2393 (2)
186	16	1.81 (3)	-1.36 (2)	0.75 (3)	-3405 (3)	-3693 (3)	-2407 (2)
187	1	-2.06 (3)	1.45 (3)	0.34 (2)	-2223 (4)	1869 (2)	1866 (3)
187	2	-2.14 (3)	1.50 (3)	0.37 (2)	-2330 (4)	1813 (2)	1319 (3)
187	3	-2.24 (3)	1.58 (3)	0.36 (2)	-2437 (4)	1685 (2)	741 (3)
187	4	-2.23 (3)	1.60 (3)	-0.48 (3)	-2533 (4)	-1707 (3)	-159 (2)
187	5	-1.94 (3)	1.67 (3)	0.33 (2)	-2245 (3)	2259 (2)	1884 (3)
187	6	-1.99 (3)	1.71 (3)	0.34 (2)	-2315 (4)	2199 (2)	1321 (3)
187	7	-2.04 (3)	1.75 (3)	0.34 (2)	-2404 (4)	2078 (2)	728 (3)
187	8	-2.01 (3)	1.75 (3)	-0.47 (3)	-2479 (4)	-2140 (3)	-174 (2)
187	9	-1.80 (3)	1.88 (3)	0.31 (2)	-2940 (3)	2626 (2)	1885 (3)
187	10	-1.83 (3)	1.91 (3)	0.32 (2)	-2959 (3)	2569 (2)	1315 (3)
187	11	-1.85 (3)	1.93 (3)	0.31 (2)	-2994 (3)	2456 (2)	-743 (2)
187	12	-1.81 (3)	1.92 (3)	-0.45 (3)	-3043 (3)	-2542 (3)	-183 (2)
187	13	-1.66 (3)	2.09 (3)	0.29 (5-II-1)	-3383 (3)	2971 (2)	1873 (3)
187	14	-1.67 (3)	2.11 (3)	0.30 (2)	-3426 (3)	2921 (2)	-1308 (2)
187	15	-1.68 (3)	2.12 (3)	0.28 (2)	-3470 (3)	-2820 (3)	-761 (2)
187	16	-1.63 (3)	2.09 (3)	-0.43 (3)	-3514 (3)	-2913 (3)	-187 (2)
188	1	-2.81 (3)	2.18 (3)	0.89 (3)	-1841 (3)	-1629 (3)	4146 (3)
188	2	-2.58 (3)	1.88 (3)	0.47 (3)	-1913 (4)	-1758 (3)	3665 (3)
188	3	-2.25 (3)	1.60 (3)	0.36 (5-II-1)	-2018 (4)	1874 (2)	3105 (3)
188	4	-2.07 (3)	1.46 (3)	0.35 (5-II-1)	-2118 (4)	1893 (2)	2471 (3)
188	5	-2.55 (3)	2.29 (3)	0.97 (3)	-2349 (3)	-1849 (3)	4142 (3)
188	6	-2.39 (3)	2.05 (3)	0.57 (3)	-2401 (3)	-2048 (3)	3696 (3)
188	7	-2.12 (3)	1.82 (3)	0.39 (5-II-1)	-2357 (3)	2219 (2)	3143 (3)
188	8	-1.96 (3)	1.69 (3)	0.35 (5-II-1)	-2290 (3)	2274 (2)	2502 (3)
188	9	-2.31 (3)	2.40 (3)	1.03 (3)	-2652 (3)	-2023 (3)	4093 (3)
188	10	-2.19 (3)	2.20 (3)	0.66 (3)	-2836 (3)	-2300 (3)	3686 (3)
188	11	-1.98 (3)	2.01 (3)	0.41 (5-II-1)	-2906 (3)	2540 (2)	3148 (3)
188	12	-1.84 (3)	1.90 (3)	0.36 (5-II-1)	-2928 (3)	2628 (2)	2508 (3)
188	13	-2.08 (3)	2.48 (3)	1.08 (3)	-2781 (3)	-2157 (3)	-4088 (2)
188	14	-2.00 (3)	2.34 (3)	0.72 (3)	-3067 (3)	2545 (2)	3642 (3)
188	15	-1.83 (3)	2.20 (3)	0.46 (3)	-3229 (3)	2837 (2)	3125 (3)
188	16	-1.70 (3)	2.11 (3)	0.36 (5-II-1)	-3324 (3)	2958 (2)	2494 (3)
189	1	-1.38 (3)	2.22 (3)	-0.56 (3)	-3790 (3)	-3362 (3)	-469 (3)
189	2	-1.31 (4)	2.14 (3)	-0.66 (3)	-3810 (3)	-3466 (3)	-950 (3)
189	3	-1.28 (4)	2.07 (3)	-0.72 (3)	-3823 (3)	-3562 (3)	-1420 (3)
189	4	-1.26 (2)	2.02 (3)	-0.74 (3)	-3825 (3)	-3638 (3)	1899 (2)
189	5	-1.23 (3)	2.40 (3)	-0.52 (3)	-3831 (3)	-3670 (3)	-472 (3)
189	6	-1.18 (4)	2.33 (3)	-0.62 (3)	-3836 (3)	-3763 (3)	-948 (3)
189	7	-1.16 (4)	2.26 (3)	-0.68 (3)	-3827 (3)	-3845 (3)	-1413 (3)
189	8	-1.14 (4)	2.20 (3)	-0.72 (3)	-3803 (3)	-3905 (3)	1890 (2)
189	9	-1.09 (3)	2.60 (3)	-0.49 (3)	-3710 (3)	-3954 (3)	-469 (3)
189	10	-1.06 (4)	2.53 (3)	-0.58 (3)	-3703 (3)	-4036 (3)	-938 (3)
189	11	-1.04 (4)	2.45 (3)	-0.64 (3)	-3678 (3)	-4106 (3)	-1396 (3)
189	12	-1.02 (4)	2.38 (3)	-0.68 (3)	-3634 (3)	-4149 (3)	1875 (2)
189	13	-0.95 (3)	2.79 (3)	-0.45 (3)	-3457 (3)	-4217 (3)	-462 (3)
189	14	-0.93 (4)	2.72 (3)	-0.54 (3)	-3441 (3)	-4289 (3)	-924 (3)
189	15	-0.92 (4)	2.64 (3)	-0.60 (3)	-3404 (3)	-4345 (3)	-1373 (3)
189	16	-0.91 (4)	2.56 (3)	-0.65 (3)	-3346 (3)	-4371 (3)	1856 (2)
190	1	2.37 (3)	-1.10 (3)	1.02 (3)	-614 (3)	-1832 (3)	-4348 (2)
190	2	2.33 (3)	-1.00 (3)	1.05 (3)	-500 (5-I-1)	-1595 (3)	-4264 (2)
190	3	2.28 (3)	-0.91 (3)	1.06 (3)	-456 (5-I-1)	-1320 (3)	-4171 (2)
190	4	2.20 (3)	-0.82 (3)	1.05 (3)	-410 (5-I-1)	-1027 (3)	-4076 (2)
190	5	2.30 (3)	-1.24 (3)	0.97 (3)	-1753 (3)	-2406 (3)	-4391 (2)
190	6	2.29 (3)	-1.13 (3)	1.00 (3)	-1681 (3)	-2168 (3)	-4318 (2)
190	7	2.27 (3)	-1.02 (3)	1.02 (3)	-1589 (3)	-1876 (3)	-4232 (2)
190	8	2.23 (3)	-0.91 (3)	1.01 (3)	-1482 (3)	-1551 (3)	-4141 (2)
190	9	2.22 (3)	-1.29 (3)	0.91 (3)	-2537 (3)	-2868 (3)	-4285 (2)
190	10	2.25 (3)	-1.17 (3)	0.94 (3)	-2549 (3)	-2644 (3)	-4226 (2)
190	11	2.26 (3)	-1.05 (3)	0.95 (3)	-2535 (3)	-2350 (3)	-4153 (2)
190	12	2.26 (3)	-0.94 (3)	0.95 (3)	-2502 (3)	-2006 (3)	-4072 (2)
190	13	2.14 (3)	-1.27 (3)	0.84 (3)	-3060 (3)	-3221 (3)	-4061 (2)
190	14	2.20 (3)	-1.16 (3)	0.87 (3)	-3143 (3)	-3023 (3)	-4016 (2)
190	15	2.25 (3)	-1.04 (3)	0.88 (3)	-3198 (3)	-2737 (3)	-3956 (2)
190	16	2.29 (3)	-0.93 (3)	0.88 (3)	-3232 (3)	-2388 (3)	-3887 (2)

**POTENZIAMENTO DELL'IMPIANTO DI DEPURAZIONE E
DEL RECAPITO FINALE DI SQUINZANO (LE)
PROGETTO DEFINITIVO
Tabulati di calcolo strutturale-Equalizzazione**

R.37.7

Maggio 2021

Pagina 106 di
338

Muro	Pann.	Sxx	Syy	Sxy	Mxx	Myy	Mxy
191	1	2.41(3)	-1.02(2)	0.43(3)	10669(3)	1099(3)	-1863(2)
191	2	2.28(3)	-0.98(2)	0.42(3)	10864(3)	1187(3)	-1860(2)
191	3	2.14(3)	-0.94(2)	0.41(3)	10983(3)	1271(3)	-1858(2)
191	4	2.00(3)	-0.90(2)	0.39(3)	11039(3)	1349(3)	-1857(2)
191	5	2.43(3)	-0.77(2)	0.77(3)	6425(3)	-481(2)	-3077(2)
191	6	2.32(3)	-0.74(2)	0.76(3)	6738(3)	-578(2)	-3033(2)
191	7	2.20(3)	-0.69(2)	0.73(3)	7005(3)	-685(2)	-2995(2)
191	8	2.07(3)	-0.64(2)	0.70(3)	7230(3)	-798(2)	-2963(2)
191	9	2.44(3)	-0.65(2)	0.96(3)	3284(3)	-481(4)	-3696(2)
191	10	2.35(3)	-0.61(2)	0.95(3)	3598(3)	-399(4)	-3619(2)
191	11	2.25(3)	-0.56(2)	0.94(3)	3890(3)	-324(4)	-3544(2)
191	12	2.13(3)	-0.51(2)	0.92(3)	4159(3)	-363(2)	-3473(2)
191	13	2.42(3)	-0.84(3)	1.03(3)	-1124(2)	-1156(3)	-4126(2)
191	14	2.36(3)	-0.77(3)	1.04(3)	-1311(2)	-936(3)	-4039(2)
191	15	2.27(3)	-0.72(3)	1.04(3)	1510(3)	-696(3)	-3948(2)
191	16	2.17(3)	-0.66(3)	1.03(3)	1753(3)	-448(3)	-3858(2)
192	1	2.07(3)	-1.23(4)	0.79(3)	-3391(3)	-3476(3)	-3743(2)
192	2	2.16(3)	-1.12(3)	0.81(3)	-3532(3)	-3310(3)	-3711(2)
192	3	2.25(3)	-1.01(3)	0.82(3)	-3645(3)	-3042(3)	-3663(2)
192	4	2.33(3)	-0.90(3)	0.81(3)	-3735(3)	-2696(3)	-3605(2)
192	5	2.02(3)	-1.23(4)	0.76(3)	-3582(3)	-3647(3)	-3352(2)
192	6	2.14(3)	-1.12(4)	0.77(3)	-3768(3)	-3519(3)	-3329(2)
192	7	2.26(3)	-1.01(4)	0.77(3)	-3927(3)	-3273(3)	-3291(2)
192	8	2.37(3)	-0.90(4)	0.76(3)	-4063(3)	-2938(3)	-3245(2)
192	9	1.99(3)	-1.22(4)	0.75(3)	-3669(3)	-3752(3)	-2904(2)
192	10	2.14(3)	-1.12(4)	0.75(3)	-3890(3)	-3661(3)	-2887(2)
192	11	2.28(3)	-1.01(4)	0.74(3)	-4085(3)	-3442(3)	-2858(2)
192	12	2.42(3)	-0.90(4)	0.72(3)	-4257(3)	-3121(3)	-2821(2)
192	13	1.98(3)	-1.23(2)	0.75(3)	-3680(3)	-3806(3)	-2406(2)
192	14	2.16(3)	-1.12(4)	0.73(3)	-3928(3)	-3752(3)	-2394(2)
192	15	2.32(3)	-1.01(4)	0.71(3)	-4150(3)	-3559(3)	-2372(2)
192	16	2.49(3)	-0.90(4)	0.68(3)	-4351(3)	-3255(3)	-2345(2)
193	1	-1.86(3)	2.56(3)	1.11(3)	-2764(3)	-2254(3)	-4060(2)
193	2	-1.81(3)	2.48(3)	0.77(3)	-3126(3)	2773(2)	-3629(2)
193	3	-1.67(3)	2.38(3)	0.49(3)	-3358(3)	3112(2)	-3086(2)
193	4	-1.56(3)	2.31(3)	0.36(5-II-1)	-3511(3)	3265(2)	2464(3)
193	5	-1.66(3)	2.64(3)	1.13(3)	-2629(3)	2321(2)	-4014(2)
193	6	-1.61(3)	2.60(3)	0.79(3)	-3040(3)	2981(2)	-3605(2)
193	7	-1.50(3)	2.55(3)	0.52(3)	-3324(3)	3366(2)	-3077(2)
193	8	-1.41(3)	2.51(3)	0.35(5-II-1)	-3518(3)	3552(2)	-2457(2)
193	9	-1.45(3)	2.70(3)	1.12(3)	-2401(3)	2444(2)	-3953(2)
193	10	-1.42(3)	2.72(3)	0.80(3)	-2839(3)	3169(2)	-3567(2)
193	11	-1.33(3)	2.71(3)	0.53(3)	-3155(3)	3601(2)	-3055(2)
193	12	-1.25(3)	2.71(3)	0.34(5-II-1)	-3378(3)	3821(2)	-2446(2)
193	13	-1.26(3)	2.77(3)	1.10(3)	-2105(3)	2550(2)	-3886(2)
193	14	-1.23(3)	2.84(3)	0.79(3)	-2550(3)	3340(2)	-3519(2)
193	15	-1.16(3)	2.88(3)	0.52(3)	-2880(3)	3818(2)	-3023(2)
193	16	-1.10(3)	2.90(3)	0.32(5-II-1)	-3118(3)	4072(2)	-2427(2)
194	1	-1.52(3)	2.30(3)	0.28(5-II-1)	-3606(3)	3295(2)	-1857(2)
194	2	-1.51(3)	2.30(3)	0.27(2)	-3669(3)	3256(2)	-1325(2)
194	3	-1.50(3)	2.30(3)	0.26(2)	-3719(3)	3167(2)	-769(2)
194	4	-1.46(3)	2.28(3)	-0.41(3)	-3760(3)	-3255(3)	-188(2)
194	5	-1.37(3)	2.50(3)	0.27(5-II-1)	-3641(3)	3602(2)	-1864(2)
194	6	-1.35(3)	2.50(3)	0.25(2)	-3718(3)	3574(2)	-1331(2)
194	7	-1.34(3)	2.50(3)	0.23(2)	-3774(3)	3498(2)	-771(2)
194	8	-1.30(3)	2.46(3)	-0.38(3)	-3812(3)	-3571(3)	-186(2)
194	9	-1.21(3)	2.71(3)	0.25(5-II-1)	-3520(3)	3890(2)	-1860(2)
194	10	-1.20(3)	2.71(3)	0.23(2)	-3606(3)	3877(2)	-1328(2)
194	11	-1.18(3)	2.70(3)	0.21(2)	-3665(3)	3813(2)	-767(2)
194	12	-1.14(3)	2.66(3)	-0.36(3)	-3699(3)	-3862(3)	-181(2)
194	13	-1.06(3)	2.92(3)	0.24(5-II-1)	-3270(3)	4163(2)	-1847(2)
194	14	-1.04(3)	2.92(3)	0.21(2)	-3361(3)	4164(2)	-1318(2)
194	15	-1.02(3)	2.90(3)	0.19(2)	-3421(3)	4113(2)	-759(2)
194	16	-0.99(3)	2.86(3)	-0.33(3)	-3452(3)	-4131(3)	-175(2)
195	1	-2.10(3)	2.07(3)	-0.75(2)	-2677(3)	-1861(3)	-4862(3)
195	2	-2.04(3)	2.19(3)	-0.78(2)	-2523(3)	-1570(3)	-4929(3)
195	3	-1.92(3)	2.31(3)	-0.81(2)	-2318(3)	-1176(3)	-4944(3)
195	4	-1.74(3)	2.42(3)	-0.82(2)	-2056(3)	-652(3)	-4889(3)
195	5	-1.95(3)	2.16(3)	-0.70(2)	-2922(3)	-1980(3)	-4765(3)
195	6	-1.88(3)	2.27(3)	-0.72(2)	-2701(3)	-1624(3)	-4805(3)
195	7	-1.77(3)	2.37(3)	-0.75(4)	-2432(3)	-1156(3)	-4789(3)
195	8	-1.59(3)	2.47(3)	-0.80(4)	-2109(3)	-549(3)	-4705(3)
195	9	-1.80(3)	2.23(3)	-0.67(4)	-3005(3)	-2052(3)	-4629(3)
195	10	-1.73(3)	2.32(3)	-0.72(4)	-2736(3)	-1633(3)	-4644(3)

**POTENZIAMENTO DELL'IMPIANTO DI DEPURAZIONE E
DEL RECAPITO FINALE DI SQUINZANO (LE)
PROGETTO DEFINITIVO
Tabulati di calcolo strutturale-Equalizzazione**

R.37.7

Maggio 2021

Pagina 107 di
338

Muro	Pann.	Sxx	Syy	Sxy	Mxx	Myy	Mxy
195	11	-1.62 (3)	2.41 (3)	-0.77 (4)	-2421 (3)	-1094 (3)	-4602 (3)
195	12	-1.46 (3)	2.48 (3)	-0.81 (3)	-2059 (3)	-409 (3)	-4494 (3)
195	13	-1.64 (3)	2.27 (3)	-0.69 (4)	-2952 (3)	-2084 (3)	-4467 (3)
195	14	-1.58 (3)	2.34 (3)	-0.74 (4)	-2651 (3)	-1603 (3)	-4460 (3)
195	15	-1.48 (3)	2.41 (3)	-0.81 (3)	-2309 (3)	-998 (3)	-4396 (3)
195	16	-1.33 (3)	2.47 (3)	-0.87 (3)	-1925 (3)	-344 (5-II-1)	4271 (2)
196	1	-1.50 (3)	2.29 (3)	-0.71 (3)	-2791 (3)	-2081 (3)	-4290 (3)
196	2	-1.44 (3)	2.34 (3)	-0.79 (3)	-2472 (3)	-1542 (3)	-4265 (3)
196	3	-1.34 (3)	2.40 (3)	-0.86 (3)	-2116 (3)	-873 (3)	4257 (2)
196	4	-1.21 (3)	2.44 (3)	-0.91 (3)	-1725 (3)	-293 (5-II-1)	4198 (2)
196	5	-1.35 (3)	2.29 (3)	-0.76 (3)	-2543 (3)	-2049 (3)	4159 (2)
196	6	-1.30 (3)	2.33 (3)	-0.83 (3)	-2218 (3)	-1455 (3)	4189 (2)
196	7	-1.21 (3)	2.36 (3)	-0.89 (3)	-1863 (3)	-728 (3)	4176 (2)
196	8	-1.09 (3)	2.39 (3)	-0.93 (3)	-1477 (3)	-239 (5-II-1)	4111 (2)
196	9	-1.20 (3)	2.28 (3)	-0.79 (3)	-2232 (3)	-1995 (3)	4083 (2)
196	10	-1.16 (3)	2.30 (3)	-0.85 (3)	-1913 (3)	-1349 (3)	4105 (2)
196	11	-1.09 (3)	2.31 (3)	-0.91 (3)	-1567 (3)	-570 (3)	4086 (2)
196	12	-0.99 (3)	2.33 (3)	-0.95 (3)	-1196 (3)	363 (3)	4017 (2)
196	13	-1.06 (3)	2.25 (3)	-0.80 (3)	-1879 (3)	-1925 (3)	3999 (2)
196	14	-1.03 (3)	2.25 (3)	-0.86 (3)	-1574 (3)	-1231 (3)	4016 (2)
196	15	-0.97 (3)	2.25 (3)	-0.92 (3)	-1248 (3)	-404 (3)	3992 (2)
196	16	-0.89 (3)	2.24 (3)	-0.95 (3)	-900 (3)	575 (3)	3921 (2)
197	1	-1.94 (3)	2.37 (3)	1.71 (3)	-1502 (3)	-576 (3)	-4527 (2)
197	2	-2.26 (3)	2.36 (3)	1.61 (3)	-1664 (3)	-965 (3)	4514 (3)
197	3	-2.53 (3)	2.35 (3)	1.46 (3)	-1775 (3)	-1240 (3)	4488 (3)
197	4	-2.72 (3)	2.32 (3)	1.27 (3)	-1841 (3)	-1433 (3)	4412 (3)
197	5	-1.80 (3)	2.46 (3)	1.72 (3)	-1670 (3)	-505 (3)	-4522 (2)
197	6	-2.08 (3)	2.45 (3)	1.62 (3)	-1902 (3)	-974 (3)	-4514 (2)
197	7	-2.30 (3)	2.44 (3)	1.48 (3)	-2085 (3)	-1321 (3)	-4449 (2)
197	8	-2.46 (3)	2.41 (3)	1.30 (3)	-2225 (3)	-1575 (3)	4368 (3)
197	9	-1.66 (3)	2.52 (3)	1.72 (3)	-1718 (3)	-434 (5-II-1)	-4480 (2)
197	10	-1.90 (3)	2.52 (3)	1.63 (3)	-1999 (3)	-942 (3)	-4490 (2)
197	11	-2.09 (3)	2.51 (3)	1.50 (3)	-2235 (3)	-1357 (3)	-4442 (2)
197	12	-2.23 (3)	2.49 (3)	1.34 (3)	-2430 (3)	-1671 (3)	-4355 (2)
197	13	-1.52 (3)	2.55 (3)	1.71 (3)	-1668 (3)	-405 (5-II-1)	-4412 (2)
197	14	-1.73 (3)	2.56 (3)	1.63 (3)	-1980 (3)	-875 (3)	-4436 (2)
197	15	-1.89 (3)	2.56 (3)	1.51 (3)	-2252 (3)	-1354 (3)	-4404 (2)
197	16	-2.01 (3)	2.55 (3)	1.36 (3)	-2486 (3)	-1724 (3)	-4332 (2)
198	1	-1.39 (3)	2.56 (3)	1.70 (3)	-1540 (3)	-370 (5-II-1)	-4326 (2)
198	2	-1.56 (3)	2.58 (3)	1.62 (3)	-1867 (3)	-779 (3)	-4361 (2)
198	3	-1.70 (3)	2.59 (3)	1.51 (3)	-2160 (3)	-1317 (3)	-4343 (2)
198	4	-1.80 (3)	2.60 (3)	1.37 (3)	-2419 (3)	-1743 (3)	-4284 (2)
198	5	-1.25 (3)	2.55 (3)	1.67 (3)	-1352 (3)	-328 (5-II-1)	-4228 (2)
198	6	-1.40 (3)	2.58 (3)	1.60 (3)	-1682 (3)	-661 (3)	-4272 (2)
198	7	-1.52 (3)	2.61 (3)	1.49 (3)	-1982 (3)	-1255 (3)	-4265 (2)
198	8	-1.60 (3)	2.63 (3)	1.37 (3)	-2253 (3)	-1732 (3)	-4218 (2)
198	9	-1.12 (3)	2.52 (3)	1.63 (3)	-1122 (3)	339 (5-I-1)	-4125 (2)
198	10	-1.25 (3)	2.58 (3)	1.56 (3)	-1443 (3)	-527 (3)	-4176 (2)
198	11	-1.34 (3)	2.62 (3)	1.47 (3)	-1741 (3)	-1172 (3)	-4177 (2)
198	12	-1.40 (3)	2.66 (3)	1.35 (3)	-2013 (3)	1712 (2)	-4140 (2)
198	13	-1.00 (3)	2.48 (3)	1.58 (3)	-866 (3)	442 (3)	-4023 (2)
198	14	-1.10 (3)	2.56 (3)	1.51 (3)	-1171 (3)	458 (2)	-4078 (2)
198	15	-1.17 (3)	2.62 (3)	1.42 (3)	-1456 (3)	1161 (2)	-4086 (2)
198	16	-1.22 (3)	2.69 (3)	1.31 (3)	-1720 (3)	1758 (2)	-4056 (2)
199	1	-1.38 (3)	2.55 (3)	-0.83 (4)	-1597 (3)	-507 (2)	-4655 (3)
199	2	-0.78 (2)	2.68 (3)	-0.82 (4)	-888 (3)	2203 (3)	-4103 (3)
199	3	-0.76 (2)	2.75 (3)	-0.70 (4)	-355 (4)	5094 (3)	-3260 (3)
199	4	1.38 (3)	2.79 (3)	-0.40 (4)	747 (3)	9457 (3)	1758 (2)
199	5	-1.25 (3)	2.58 (3)	-0.83 (4)	-1582 (3)	-636 (2)	-4438 (3)
199	6	-0.75 (2)	2.68 (3)	-0.84 (3)	-810 (3)	2607 (3)	-3875 (3)
199	7	-0.77 (2)	2.73 (3)	-0.71 (3)	-293 (4)	5655 (3)	-3086 (3)
199	8	1.22 (3)	2.75 (3)	-0.38 (4)	871 (3)	10111 (3)	1764 (2)
199	9	-1.14 (3)	2.57 (3)	-0.87 (3)	-1492 (3)	827 (3)	-4204 (3)
199	10	-0.72 (2)	2.64 (3)	-0.87 (3)	-691 (3)	3004 (3)	3711 (2)
199	11	-0.78 (2)	2.67 (3)	-0.73 (3)	-320 (2)	6164 (3)	3034 (2)
199	12	1.05 (3)	2.69 (3)	-0.37 (3)	987 (3)	10645 (3)	1761 (2)
199	13	-1.04 (3)	2.54 (3)	-0.91 (3)	-1341 (3)	1095 (3)	4078 (2)
199	14	-0.69 (2)	2.58 (3)	-0.89 (3)	-539 (3)	3388 (3)	3641 (2)
199	15	-0.77 (2)	2.59 (3)	-0.73 (3)	-387 (2)	6618 (3)	2985 (2)
199	16	-0.99 (2)	2.59 (3)	-0.37 (3)	1096 (3)	11068 (3)	1754 (2)
200	1	-0.95 (3)	2.49 (3)	-0.94 (3)	-1145 (3)	1371 (3)	3997 (2)
200	2	-0.66 (2)	2.51 (3)	-0.90 (3)	-443 (4)	3755 (3)	3562 (2)
200	3	-0.75 (2)	2.49 (3)	-0.72 (3)	-472 (2)	7019 (3)	2933 (2)
200	4	-0.98 (2)	2.48 (3)	-0.38 (3)	1199 (3)	11390 (3)	1745 (2)

**POTENZIAMENTO DELL'IMPIANTO DI DEPURAZIONE E
DEL RECAPITO FINALE DI SQUINZANO (LE)
PROGETTO DEFINITIVO
Tabulati di calcolo strutturale-Equalizzazione**

R.37.7

Maggio 2021

Pagina 108 di
338

Muro	Pann.	Sxx	Syy	Sxy	Mxx	Myy	Mxy
200	5	-0.87(3)	2.41(3)	-0.95(3)	-914(3)	1649(3)	3907(2)
200	6	-0.62(2)	2.41(3)	-0.89(3)	-360(4)	4101(3)	3481(2)
200	7	-0.73(2)	2.38(3)	-0.71(3)	575(3)	7370(3)	2884(2)
200	8	-0.94(2)	2.35(3)	-0.37(3)	1295(3)	11623(3)	1736(2)
200	9	-0.79(3)	2.33(3)	-0.96(3)	-664(3)	1922(3)	3814(2)
200	10	-0.57(2)	2.31(3)	-0.88(3)	-282(4)	4423(3)	3403(2)
200	11	-0.69(2)	2.26(3)	-0.68(3)	721(3)	7673(3)	2840(2)
200	12	-0.90(2)	2.21(3)	-0.36(3)	1387(3)	11783(3)	1728(2)
200	13	-0.73(3)	2.23(3)	-0.95(3)	-407(3)	2186(3)	3723(2)
200	14	-0.52(2)	2.19(3)	-0.86(3)	-353(2)	4721(3)	3331(2)
200	15	-0.64(2)	2.14(3)	-0.65(3)	863(3)	7934(3)	2805(2)
200	16	-0.86(2)	2.07(3)	-0.35(3)	1474(3)	11884(3)	1722(2)
201	1	1.21(3)	2.56(3)	1.16(3)	-616(2)	8085(3)	-1953(2)
201	2	-0.89(2)	2.51(3)	1.52(3)	-341(4)	4252(3)	-3360(2)
201	3	-0.94(2)	2.45(3)	1.70(3)	-681(4)	-1788(2)	-4047(2)
201	4	-1.45(3)	2.39(3)	1.75(3)	-1191(3)	-649(2)	-4421(2)
201	5	-1.09(2)	2.55(3)	1.17(3)	709(3)	8726(3)	-1955(2)
201	6	-0.89(2)	2.53(3)	1.54(3)	-301(4)	4765(3)	-3326(2)
201	7	-0.90(2)	2.50(3)	1.73(3)	-673(3)	2117(3)	-4004(2)
201	8	-1.36(3)	2.47(3)	1.77(3)	-1274(3)	-758(2)	-4394(2)
201	9	-1.11(2)	2.50(3)	1.17(3)	802(3)	9254(3)	-1948(2)
201	10	-0.89(2)	2.51(3)	1.55(3)	-305(2)	5236(3)	-3274(2)
201	11	-0.85(2)	2.51(3)	1.73(3)	-613(3)	2470(3)	-3933(2)
201	12	-1.27(3)	2.52(3)	1.77(3)	-1267(3)	-889(2)	-4334(2)
201	13	-1.10(2)	2.43(3)	1.16(3)	892(3)	9676(3)	-1936(2)
201	14	-0.87(2)	2.46(3)	1.54(3)	-372(2)	5660(3)	-3212(2)
201	15	-0.81(2)	2.50(3)	1.72(3)	-511(3)	2816(3)	-3846(2)
201	16	-1.18(3)	2.53(3)	1.77(3)	-1186(3)	-1039(2)	-4251(2)
202	1	-1.08(2)	2.33(3)	1.14(3)	977(3)	9998(3)	-1921(2)
202	2	-0.85(2)	2.39(3)	1.51(3)	-459(2)	6036(3)	-3148(2)
202	3	-0.75(2)	2.46(3)	1.70(3)	-428(4)	3150(3)	-3752(2)
202	4	-1.09(3)	2.52(3)	1.75(3)	-1048(3)	-1201(2)	-4155(2)
202	5	-1.04(2)	2.21(3)	1.11(3)	-1069(2)	10231(3)	-1908(2)
202	6	-0.81(2)	2.30(3)	1.47(3)	-561(2)	6366(3)	-3087(2)
202	7	-0.70(2)	2.40(3)	1.66(3)	-366(4)	3467(3)	-3657(2)
202	8	-1.00(3)	2.49(3)	1.71(3)	-867(3)	-1372(2)	-4052(2)
202	9	-0.99(2)	2.09(3)	1.07(3)	-1172(2)	10388(3)	-1896(2)
202	10	-0.76(2)	2.20(3)	1.41(3)	-673(2)	6651(3)	-3034(2)
202	11	-0.64(2)	2.33(3)	1.61(3)	-306(4)	3763(3)	-3567(2)
202	12	-0.92(3)	2.44(3)	1.67(3)	-657(3)	1586(3)	-3948(2)
202	13	-0.94(2)	1.96(3)	1.02(3)	-1279(2)	10482(3)	-1887(2)
202	14	-0.69(2)	2.10(3)	1.34(3)	-791(2)	6894(3)	-2990(2)
202	15	-0.57(2)	2.24(3)	1.54(3)	-322(2)	4039(3)	-3485(2)
202	16	-0.83(3)	2.38(3)	1.61(3)	-432(3)	1825(3)	-3849(2)
203	1	0.88(3)	-1.67(2)	-0.07(2)	-833(3)	-7411(3)	85(5-I-1)
203	2	1.02(3)	-1.57(2)	-0.06(2)	-880(3)	-8123(3)	104(3)
203	3	1.15(3)	-1.48(2)	-0.06(6-II-1)	-880(3)	-8569(3)	142(3)
203	4	1.28(3)	-1.40(2)	-0.05(6-II-1)	-832(3)	-8776(3)	188(3)
203	5	0.86(3)	-1.57(2)	-0.12(2)	-1108(3)	-7251(3)	201(5-I-1)
203	6	0.99(3)	-1.48(2)	0.11(3)	-1224(3)	-7922(3)	232(5-I-1)
203	7	1.12(3)	-1.39(2)	0.12(3)	-1305(3)	-8321(3)	266(5-I-1)
203	8	1.25(3)	-1.30(2)	0.12(3)	-1354(3)	-8474(3)	306(3)
203	9	0.87(3)	-1.55(2)	0.19(3)	-1452(3)	-7081(3)	-339(5-II-1)
203	10	1.00(3)	-1.45(2)	0.18(3)	-1636(3)	-7699(3)	-342(5-II-1)
203	11	1.13(3)	-1.35(2)	0.17(3)	-1794(3)	-8041(3)	-339(5-II-1)
203	12	1.26(3)	-1.25(2)	0.17(3)	-1933(3)	-8134(3)	-333(5-II-1)
203	13	0.93(3)	-1.63(2)	-0.26(2)	-1688(3)	-7011(3)	-620(3)
203	14	1.07(3)	-1.52(2)	-0.27(2)	-1891(3)	-7583(3)	-609(3)
203	15	1.20(3)	-1.41(2)	-0.27(2)	-2067(3)	-7886(3)	-590(3)
203	16	1.32(3)	-1.30(2)	-0.27(2)	-2220(3)	-7947(3)	-567(3)
204	1	1.42(3)	-1.32(2)	0.04(6-I-1)	-734(3)	-8772(3)	244(3)
204	2	1.55(3)	-1.25(4)	0.05(6-I-1)	-585(3)	-8584(3)	312(3)
204	3	1.68(3)	-1.21(4)	0.06(4)	-543(5-II-1)	-8242(3)	396(3)
204	4	1.81(3)	-1.17(4)	0.08(4)	-524(5-II-1)	-7773(3)	499(3)
204	5	1.38(3)	-1.20(2)	0.13(3)	-1375(3)	-8407(3)	414(3)
204	6	1.51(3)	-1.10(2)	0.13(3)	-1373(3)	-8145(3)	543(3)
204	7	1.63(3)	-1.00(2)	0.14(3)	-1353(3)	-7714(3)	697(3)
204	8	1.75(3)	-0.90(2)	0.15(3)	-1323(3)	-7137(3)	880(3)
204	9	1.39(3)	-1.14(2)	0.16(3)	-2057(3)	-8003(3)	361(5-I-1)
204	10	1.51(3)	-1.03(2)	0.15(3)	-2173(3)	-7675(3)	399(5-I-1)
204	11	1.64(3)	-0.92(2)	0.14(3)	-2289(3)	-7175(3)	438(5-I-1)
204	12	1.76(3)	-0.81(2)	0.13(3)	-2411(3)	-6528(3)	477(5-I-1)
204	13	1.45(3)	-1.18(2)	-0.27(2)	-2355(3)	-7792(3)	-554(5-II-1)
204	14	1.57(3)	-1.07(4)	-0.27(2)	-2479(3)	-7449(3)	-549(5-II-1)

**POTENZIAMENTO DELL'IMPIANTO DI DEPURAZIONE E
DEL RECAPITO FINALE DI SQUINZANO (LE)
PROGETTO DEFINITIVO
Tabulati di calcolo strutturale-Equalizzazione**

R.37.7

Maggio 2021

Pagina 109 di
338

Muro	Pann.	Sxx	Syy	Sxy	Mxx	Myy	Mxy
204	15	1.70 (3)	-0.96 (4)	-0.27 (2)	-2596 (3)	-6945 (3)	-542 (5-II-1)
204	16	1.82 (3)	-0.85 (4)	-0.26 (2)	-2713 (3)	-6306 (3)	-534 (5-II-1)
205	1	1.01 (3)	-1.69 (4)	-0.36 (2)	-1763 (3)	-7012 (3)	-974 (3)
205	2	1.14 (3)	-1.60 (4)	-0.36 (2)	-1950 (3)	-7554 (3)	-973 (3)
205	3	1.27 (3)	-1.50 (4)	-0.36 (2)	-2101 (3)	-7836 (3)	-965 (3)
205	4	1.40 (3)	-1.40 (4)	-0.36 (2)	-2220 (3)	-7885 (3)	-955 (3)
205	5	1.06 (3)	-1.75 (4)	-0.40 (2)	-1778 (3)	-7015 (3)	-1128 (3)
205	6	1.20 (3)	-1.66 (4)	-0.40 (2)	-1946 (3)	-7536 (3)	-1117 (3)
205	7	1.33 (3)	-1.57 (4)	-0.40 (2)	-2073 (3)	-7803 (3)	-1098 (3)
205	8	1.46 (3)	-1.48 (4)	-0.40 (2)	-2160 (3)	-7847 (3)	-1074 (3)
205	9	1.12 (3)	-1.80 (4)	-0.43 (2)	-1795 (3)	-6993 (3)	-1286 (3)
205	10	1.26 (3)	-1.72 (4)	-0.43 (2)	-1944 (3)	-7485 (3)	-1256 (3)
205	11	1.40 (3)	-1.63 (4)	-0.42 (2)	-2045 (3)	-7733 (3)	-1214 (3)
205	12	1.53 (3)	-1.55 (4)	-0.42 (2)	-2099 (3)	-7766 (3)	-1164 (3)
205	13	1.20 (3)	-1.84 (4)	-0.45 (2)	-1821 (3)	-6930 (3)	-1425 (3)
205	14	1.34 (3)	-1.76 (4)	-0.44 (2)	-1952 (3)	-7384 (3)	-1367 (3)
205	15	1.47 (3)	-1.68 (4)	-0.44 (2)	-2031 (3)	-7603 (3)	-1291 (3)
205	16	1.60 (3)	-1.60 (4)	-0.43 (2)	-2057 (3)	-7618 (3)	-1202 (3)
206	1	1.53 (3)	-1.30 (4)	-0.36 (2)	-2310 (3)	-7730 (3)	-948 (3)
206	2	1.65 (3)	-1.20 (4)	-0.36 (2)	-2376 (3)	-7397 (3)	-947 (3)
206	3	1.77 (3)	-1.09 (4)	-0.36 (2)	-2422 (3)	-6913 (3)	-958 (3)
206	4	1.89 (3)	-0.98 (4)	-0.36 (2)	-2455 (3)	-6303 (3)	1009 (2)
206	5	1.59 (3)	-1.39 (4)	-0.40 (2)	-2209 (3)	-7696 (3)	-1052 (3)
206	6	1.71 (3)	-1.29 (4)	-0.40 (2)	-2223 (3)	-7377 (3)	-1037 (3)
206	7	1.83 (3)	-1.20 (4)	-0.40 (2)	-2206 (3)	-6918 (3)	-1036 (3)
206	8	1.94 (3)	-1.10 (4)	-0.40 (2)	-2160 (3)	-6342 (3)	1088 (2)
206	9	1.66 (3)	-1.47 (4)	-0.42 (2)	-2108 (3)	-7615 (3)	-1112 (3)
206	10	1.78 (3)	-1.39 (4)	-0.41 (2)	-2070 (3)	-7308 (3)	-1064 (3)
206	11	1.89 (3)	-1.31 (4)	-0.41 (2)	-1987 (3)	-6873 (3)	1055 (2)
206	12	2.01 (3)	-1.24 (4)	-0.41 (2)	-1859 (3)	-6338 (3)	1076 (2)
206	13	1.72 (3)	-1.53 (4)	-0.41 (2)	-2032 (3)	-7459 (3)	-1105 (3)
206	14	1.84 (3)	-1.46 (4)	-0.40 (2)	-1953 (3)	-7155 (3)	1038 (2)
206	15	1.96 (3)	-1.39 (4)	-0.39 (2)	-1819 (3)	-6736 (3)	993 (2)
206	16	2.07 (3)	-1.34 (4)	-0.37 (2)	-1625 (3)	-6231 (3)	953 (2)
207	1	1.28 (3)	-1.28 (4)	-0.47 (2)	-1855 (3)	-6811 (3)	-1552 (3)
207	2	1.42 (3)	-1.78 (4)	-0.45 (2)	-1972 (3)	-7216 (3)	-1458 (3)
207	3	1.55 (3)	-1.70 (4)	-0.44 (2)	-2034 (3)	-7396 (3)	-1341 (3)
207	4	1.67 (3)	-1.62 (4)	-0.42 (2)	-2042 (3)	-7382 (3)	-1204 (3)
207	5	1.37 (3)	-1.89 (3)	-0.47 (2)	-1892 (3)	-6623 (3)	-1671 (3)
207	6	1.50 (3)	-1.79 (3)	-0.45 (2)	-1996 (3)	-6968 (3)	-1537 (3)
207	7	1.63 (3)	-1.69 (4)	-0.43 (2)	-2045 (3)	-7099 (3)	-1374 (3)
207	8	1.74 (3)	-1.61 (4)	-0.41 (2)	-2041 (3)	-7045 (3)	-1187 (3)
207	9	1.47 (3)	-1.93 (3)	-0.47 (2)	-1911 (3)	-6356 (3)	-1784 (3)
207	10	1.60 (3)	-1.82 (3)	-0.45 (2)	-2001 (3)	-6632 (3)	-1607 (3)
207	11	1.71 (3)	-1.71 (3)	-0.43 (2)	-2038 (3)	-6705 (3)	-1398 (3)
207	12	1.81 (3)	-1.58 (3)	-0.40 (2)	-2023 (3)	-6605 (3)	1201 (2)
207	13	1.58 (3)	-1.95 (3)	-0.47 (2)	-1883 (3)	-6002 (3)	-1884 (3)
207	14	1.70 (3)	-1.82 (3)	-0.45 (2)	-1952 (3)	-6201 (3)	-1664 (3)
207	15	1.80 (3)	-1.69 (3)	-0.42 (2)	-1969 (3)	-6214 (3)	-1410 (3)
207	16	1.88 (3)	-1.56 (3)	-0.39 (2)	-1939 (3)	-6067 (3)	1218 (2)
208	1	1.79 (3)	-1.55 (4)	-0.40 (2)	-1994 (3)	-7203 (3)	1079 (2)
208	2	1.90 (3)	-1.47 (4)	-0.37 (2)	-1892 (3)	-6889 (3)	986 (2)
208	3	2.00 (3)	-1.41 (4)	-0.34 (2)	-1733 (3)	-6468 (3)	882 (2)
208	4	2.10 (3)	-1.36 (4)	-0.31 (2)	-1513 (3)	-5970 (3)	768 (2)
208	5	1.84 (3)	-1.52 (4)	-0.38 (2)	-1983 (3)	-6836 (3)	1062 (2)
208	6	1.94 (3)	-1.44 (4)	-0.35 (2)	-1875 (3)	-6499 (3)	922 (2)
208	7	2.03 (3)	-1.35 (4)	-0.31 (2)	-1716 (3)	-6061 (3)	762 (2)
208	8	2.11 (3)	-1.27 (4)	-0.26 (2)	-1508 (3)	-5549 (3)	753 (5-I-1)
208	9	1.90 (3)	-1.46 (4)	-0.37 (2)	-1960 (3)	-6360 (3)	1046 (2)
208	10	1.98 (3)	-1.36 (4)	-0.33 (2)	-1853 (3)	-5996 (3)	867 (2)
208	11	2.05 (3)	-1.26 (4)	-0.29 (2)	-1707 (3)	-5536 (3)	759 (5-I-1)
208	12	2.12 (3)	-1.15 (4)	-0.25 (2)	-1528 (3)	-5003 (3)	864 (5-I-1)
208	13	1.96 (3)	-1.42 (3)	-0.36 (2)	-1867 (3)	-5788 (3)	1035 (2)
208	14	2.02 (3)	-1.29 (3)	-0.33 (2)	-1758 (3)	-5399 (3)	828 (2)
208	15	2.07 (3)	-1.16 (4)	-0.29 (2)	-1621 (3)	-4924 (3)	838 (5-I-1)
208	16	2.12 (3)	-1.04 (4)	-0.25 (2)	-1464 (3)	-4384 (3)	951 (5-I-1)
209	1	1.71 (3)	-1.91 (3)	-0.47 (2)	-1751 (3)	-5509 (3)	-1963 (3)
209	2	1.81 (3)	-1.77 (3)	-0.44 (2)	-1785 (3)	-5625 (3)	-1694 (3)
209	3	1.90 (3)	-1.63 (3)	-0.41 (2)	-1768 (3)	-5574 (3)	1399 (2)
209	4	1.97 (3)	-1.49 (3)	-0.38 (2)	-1708 (3)	-5383 (3)	1218 (2)
209	5	1.86 (3)	-1.80 (3)	-0.44 (2)	-1428 (3)	-4847 (3)	-1982 (3)
209	6	1.94 (3)	-1.66 (3)	-0.42 (2)	-1400 (3)	-4875 (3)	-1658 (3)
209	7	2.01 (3)	-1.51 (3)	-0.39 (2)	-1325 (3)	-4764 (3)	1374 (2)
209	8	2.05 (3)	-1.37 (3)	-0.36 (2)	-1212 (3)	-4537 (3)	1171 (2)

**POTENZIAMENTO DELL'IMPIANTO DI DEPURAZIONE E
DEL RECAPITO FINALE DI SQUINZANO (LE)
PROGETTO DEFINITIVO
Tabulati di calcolo strutturale-Equalizzazione**

R.37.7

Maggio 2021

Pagina 110 di
338

Muro	Pann.	Sxx	Syy	Sxy	Mxx	Myy	Mxy
209	9	2.01(3)	-1.59(3)	-0.40(2)	-809(3)	-4021(3)	-1883(3)
209	10	2.07(3)	-1.45(3)	-0.39(1)	-689(3)	-3972(3)	-1507(3)
209	11	2.11(3)	-1.31(3)	-0.38(1)	-531(3)	-3815(3)	1254(2)
209	12	2.13(3)	-1.17(3)	-0.41(3)	-399(4)	-3571(3)	1034(2)
209	13	2.15(3)	-1.24(3)	-0.41(1)	-527(2)	-3021(3)	-1598(3)
209	14	2.19(3)	-1.11(3)	-0.42(3)	-699(2)	-2914(3)	1205(2)
209	15	2.20(3)	-0.99(3)	-0.46(3)	-892(2)	-2732(3)	987(2)
209	16	2.19(3)	-0.87(3)	-0.49(3)	-1098(2)	-2494(3)	756(2)
210	1	2.02(3)	-1.35(3)	-0.35(2)	-1611(3)	-5076(3)	1013(2)
210	2	2.06(3)	-1.21(3)	-0.32(2)	-1485(3)	-4675(3)	789(2)
210	3	2.10(3)	-1.08(3)	-0.29(2)	-1338(3)	-4203(3)	912(5-I-1)
210	4	2.13(3)	-0.94(3)	-0.27(4)	-1181(3)	-3677(3)	1028(5-I-1)
210	5	2.08(3)	-1.23(3)	-0.34(1)	-1069(3)	-4217(3)	949(2)
210	6	2.10(3)	-1.09(3)	-0.35(3)	-904(3)	-3823(3)	857(5-I-1)
210	7	2.12(3)	-0.96(3)	-0.36(3)	-725(3)	-3376(3)	989(5-I-1)
210	8	2.13(3)	-0.83(3)	-0.37(3)	-542(3)	-2893(3)	1106(5-I-1)
210	9	2.14(3)	-1.04(3)	-0.44(3)	-339(4)	-3258(3)	801(2)
210	10	2.13(3)	-0.91(3)	-0.45(3)	-307(2)	-2895(3)	935(5-I-1)
210	11	2.12(3)	-0.80(4)	-0.45(3)	-444(2)	-2497(3)	1070(5-I-1)
210	12	2.11(3)	-0.71(4)	-0.44(3)	-579(2)	-2080(3)	1187(5-I-1)
210	13	2.16(3)	-0.77(4)	-0.51(3)	1328(3)	-2212(3)	862(5-I-1)
210	14	2.13(3)	-0.70(4)	-0.51(3)	1608(3)	-1900(3)	1014(5-I-1)
210	15	2.09(3)	-0.64(2)	-0.50(3)	1880(3)	-1573(3)	1148(5-I-1)
210	16	2.06(3)	-0.60(2)	-0.47(3)	2139(3)	-1243(3)	1262(5-I-1)
211	1	2.24(3)	-0.76(1)	-0.43(3)	1738(3)	-2017(3)	-1162(3)
211	2	2.26(3)	-0.73(2)	-0.47(3)	2105(3)	-1879(3)	835(2)
211	3	2.25(3)	-0.70(2)	-0.50(3)	2469(3)	-1697(3)	608(2)
211	4	2.22(3)	-0.68(2)	-0.51(3)	2823(3)	-1481(3)	763(5-I-1)
211	5	2.29(3)	-0.69(2)	-0.41(3)	3595(3)	-1082(3)	-642(5-II-1)
211	6	2.30(3)	-0.68(2)	-0.43(3)	4070(3)	-937(3)	-524(5-II-1)
211	7	2.28(3)	-0.66(2)	-0.45(3)	4512(3)	-770(3)	651(5-I-1)
211	8	2.23(3)	-0.65(2)	-0.46(3)	4915(3)	-589(3)	809(5-I-1)
211	9	2.32(3)	-0.68(2)	-0.28(3)	6185(3)	-187(4)	415(5-I-1)
211	10	2.32(3)	-0.69(2)	-0.29(3)	6751(3)	-143(4)	559(5-I-1)
211	11	2.29(3)	-0.68(2)	-0.30(3)	7240(3)	-196(2)	727(3)
211	12	2.23(3)	-0.66(2)	-0.31(3)	7655(3)	-291(2)	1018(3)
211	13	2.33(3)	1.24(3)	0.11(2)	9781(3)	705(3)	-554(2)
211	14	2.33(3)	1.09(3)	0.12(2)	10387(3)	831(3)	-662(2)
211	15	2.30(3)	0.94(3)	0.12(2)	10865(3)	944(3)	-764(2)
211	16	2.23(3)	0.78(3)	0.12(2)	11224(3)	1045(3)	887(3)
212	1	2.17(3)	-0.65(2)	-0.52(3)	3161(3)	-1243(3)	924(5-I-1)
212	2	2.11(3)	-0.63(2)	-0.51(3)	3477(3)	-993(3)	1069(5-I-1)
212	3	2.05(3)	-0.61(2)	-0.49(3)	3770(3)	-740(3)	1195(5-I-1)
212	4	1.99(3)	-0.58(2)	-0.45(3)	4036(3)	-496(3)	1393(3)
212	5	2.16(3)	-0.63(2)	-0.46(3)	5277(3)	-401(3)	952(5-I-1)
212	6	2.08(3)	-0.61(2)	-0.44(3)	5596(3)	-261(5-I-1)	1185(3)
212	7	2.00(3)	-0.58(2)	-0.42(3)	5873(3)	-209(5-I-1)	1450(3)
212	8	1.91(3)	-0.56(2)	-0.37(3)	6109(3)	-216(2)	1673(3)
212	9	2.15(3)	-0.64(2)	-0.30(3)	7998(3)	419(3)	1281(3)
212	10	2.05(3)	-0.60(2)	-0.29(3)	8274(3)	545(3)	1513(3)
212	11	1.94(3)	-0.56(2)	-0.27(3)	8487(3)	658(3)	1712(3)
212	12	1.84(3)	-0.52(2)	-0.23(3)	8645(3)	750(3)	1876(3)
212	13	2.14(3)	-0.72(2)	0.12(2)	11475(3)	1131(3)	1010(3)
212	14	2.03(3)	-0.64(2)	0.11(2)	11630(3)	1203(3)	1117(3)
212	15	1.91(3)	-0.55(2)	0.09(2)	11705(3)	1258(3)	1206(3)
212	16	1.78(3)	-0.45(2)	0.07(2)	11712(3)	1292(3)	1278(3)
213	1	-1.64(2)	-0.73(2)	-0.56(3)	-7288(3)	-1539(3)	443(5-I-1)
213	2	-1.63(2)	-0.72(2)	-0.55(3)	-7268(3)	-1495(3)	377(5-I-1)
213	3	-1.63(2)	-0.72(2)	-0.54(3)	-7266(3)	-1428(3)	310(5-I-1)
213	4	-1.63(2)	-0.72(2)	-0.53(3)	-7282(3)	-1341(3)	-273(5-II-1)
213	5	-1.53(2)	0.84(3)	-0.54(3)	-7882(3)	-1724(3)	461(5-I-1)
213	6	-1.52(2)	0.80(3)	-0.53(3)	-7871(3)	-1679(3)	392(5-I-1)
213	7	-1.52(2)	0.77(3)	-0.53(3)	-7880(3)	-1606(3)	322(5-I-1)
213	8	-1.52(2)	-0.77(2)	-0.51(3)	-7909(3)	-1503(3)	-295(5-II-1)
213	9	-1.41(2)	0.95(3)	-0.51(3)	-8201(3)	-1884(3)	475(5-I-1)
213	10	-1.41(2)	0.91(3)	-0.51(3)	-8197(3)	-1841(3)	403(5-I-1)
213	11	-1.40(2)	0.88(3)	-0.51(3)	-8216(3)	-1759(3)	329(5-I-1)
213	12	-1.41(2)	0.85(3)	-0.50(3)	-8259(3)	-1640(3)	-318(5-II-1)
213	13	-1.30(2)	1.06(3)	-0.48(3)	-8272(3)	-2024(3)	486(5-I-1)
213	14	-1.29(2)	1.02(3)	-0.49(3)	-8273(3)	-1984(3)	411(5-I-1)
213	15	-1.29(2)	0.99(3)	-0.49(3)	-8301(3)	-1895(3)	-333(5-II-1)
213	16	-1.29(2)	0.96(3)	-0.48(3)	-8357(3)	-1758(3)	-343(5-II-1)
214	1	-1.83(4)	1.00(3)	-0.59(3)	-7463(3)	-1650(3)	997(3)
214	2	-1.75(4)	0.91(3)	-0.59(3)	-7452(3)	-1601(3)	873(3)

**POTENZIAMENTO DELL'IMPIANTO DI DEPURAZIONE E
DEL RECAPITO FINALE DI SQUINZANO (LE)
PROGETTO DEFINITIVO
Tabulati di calcolo strutturale-Equalizzazione**

R.37.7

Maggio 2021

Pagina 111 di
338

Muro	Pann.	Sxx	Syy	Sxy	Mxx	Myy	Mxy
214	3	-1.66(4)	0.83(3)	-0.58(3)	-7399(3)	-1581(3)	717(3)
214	4	-1.64(2)	0.77(3)	-0.57(3)	-7333(3)	-1567(3)	526(3)
214	5	-1.75(4)	1.14(3)	-0.55(3)	-7991(3)	-1767(3)	978(3)
214	6	-1.67(4)	1.05(3)	-0.55(3)	-8009(3)	-1735(3)	882(3)
214	7	-1.58(4)	0.96(3)	-0.55(3)	-7974(3)	-1738(3)	740(3)
214	8	-1.54(2)	0.89(3)	-0.54(3)	-7919(3)	-1743(3)	549(3)
214	9	-1.67(4)	1.28(3)	-0.50(3)	-8272(3)	-1833(3)	947(3)
214	10	-1.59(4)	1.18(3)	-0.51(3)	-8310(3)	-1824(3)	885(3)
214	11	-1.49(4)	1.09(3)	-0.51(3)	-8284(3)	-1858(3)	762(3)
214	12	-1.43(2)	1.01(3)	-0.51(3)	-8233(3)	-1890(3)	569(3)
214	13	-1.59(4)	1.41(3)	-0.46(3)	-8336(3)	-1848(3)	907(3)
214	14	-1.50(4)	1.31(3)	-0.46(3)	-8384(3)	-1869(3)	886(3)
214	15	-1.40(4)	1.21(3)	-0.47(3)	-8357(3)	-1943(3)	785(3)
214	16	-1.32(2)	1.12(3)	-0.48(3)	-8303(3)	-2012(3)	590(3)
215	1	1.14(3)	2.40(3)	0.25(3)	487(3)	9108(3)	-453(3)
215	2	-0.69(2)	2.40(3)	0.58(3)	-1025(3)	3936(3)	-667(2)
215	3	-1.13(3)	2.33(3)	0.57(3)	-2580(3)	906(3)	1489(3)
215	4	-1.75(3)	2.19(3)	0.43(1)	-3919(3)	-802(3)	1929(3)
215	5	1.00(3)	2.40(3)	0.24(3)	628(3)	9733(3)	-669(3)
215	6	-0.68(2)	2.40(3)	0.59(3)	-861(3)	4442(3)	-477(5-II-1)
215	7	-1.00(3)	2.35(3)	0.61(3)	-2425(3)	1221(3)	-1184(2)
215	8	-1.57(3)	2.24(3)	0.43(3)	-3817(3)	-662(3)	1542(3)
215	9	0.85(3)	2.36(3)	0.23(3)	759(3)	10247(3)	-870(3)
215	10	-0.67(2)	2.37(3)	0.60(3)	-680(3)	4911(3)	-643(5-II-1)
215	11	-0.88(3)	2.35(3)	0.63(3)	-2214(3)	1547(3)	-974(2)
215	12	-1.40(3)	2.27(3)	0.48(3)	-3617(3)	-488(3)	-1310(2)
215	13	-0.75(2)	2.30(3)	0.22(3)	879(3)	10658(3)	-1051(3)
215	14	-0.65(2)	2.32(3)	0.59(3)	-488(3)	5340(3)	-794(5-II-1)
215	15	-0.77(3)	2.33(3)	0.65(3)	-1962(3)	1875(3)	-757(2)
215	16	-1.24(3)	2.28(3)	0.51(3)	-3339(3)	-358(5-II-1)	-1103(2)
216	1	-2.12(3)	1.94(3)	0.41(2)	-5194(3)	-1797(3)	2007(3)
216	2	-2.13(3)	1.60(3)	0.42(2)	-6284(3)	-2137(3)	1782(3)
216	3	-1.99(3)	1.32(3)	-0.48(3)	-6972(3)	-2015(3)	1443(3)
216	4	-1.88(4)	1.13(3)	-0.56(3)	-7343(3)	-1782(3)	1167(3)
216	5	-1.93(3)	2.03(3)	0.39(2)	-5205(3)	-1813(3)	1696(3)
216	6	-1.98(3)	1.72(3)	0.40(2)	-6454(3)	-2247(3)	1557(3)
216	7	-1.88(3)	1.46(3)	-0.42(3)	-7301(3)	-2142(3)	1294(3)
216	8	-1.79(4)	1.27(3)	-0.52(3)	-7800(3)	-1896(3)	1093(3)
216	9	-1.75(3)	2.10(3)	0.37(2)	-5069(3)	-1784(3)	-1362(2)
216	10	-1.83(3)	1.83(3)	0.38(2)	-6432(3)	-2310(3)	1299(3)
216	11	-1.76(3)	1.59(3)	0.38(2)	-7409(3)	-2218(3)	1112(3)
216	12	-1.71(4)	1.41(3)	-0.47(3)	-8020(3)	-1956(3)	996(3)
216	13	-1.57(3)	2.15(3)	0.35(2)	-4812(3)	-1719(3)	-1178(2)
216	14	-1.67(3)	1.93(3)	0.36(2)	-6245(3)	-2332(3)	-1037(2)
216	15	-1.63(3)	1.71(3)	0.36(2)	-7326(3)	-2246(3)	901(3)
216	16	-1.62(4)	1.54(3)	-0.43(3)	-8033(3)	-1962(3)	877(3)
217	1	-1.63(2)	-0.71(2)	-0.50(3)	-7324(3)	-1209(3)	-263(5-II-1)
217	2	-1.64(2)	-0.70(2)	-0.46(3)	-7388(3)	-1043(3)	-229(5-II-1)
217	3	-1.67(2)	-0.68(2)	-0.40(3)	-7444(3)	-904(3)	-200(3)
217	4	-1.70(2)	-0.66(2)	-0.33(3)	-7470(3)	-825(3)	-140(3)
217	5	-1.52(2)	-0.76(2)	-0.49(3)	-7972(3)	-1344(3)	-285(5-II-1)
217	6	-1.54(2)	-0.74(2)	-0.45(3)	-8062(3)	-1140(3)	-251(3)
217	7	-1.58(2)	-0.72(2)	-0.39(3)	-8142(3)	-965(3)	-228(3)
217	8	-1.60(2)	-0.70(2)	-0.33(3)	-8184(3)	-863(3)	-145(3)
217	9	-1.42(2)	0.83(3)	-0.48(3)	-8344(3)	-1450(3)	-309(5-II-1)
217	10	-1.45(2)	0.81(3)	-0.44(3)	-8465(3)	-1199(3)	-305(3)
217	11	-1.48(2)	0.80(3)	-0.39(3)	-8573(3)	-981(3)	-266(3)
217	12	-1.51(2)	0.78(3)	-0.32(3)	-8634(3)	-852(3)	-154(3)
217	13	-1.31(2)	0.93(3)	-0.47(3)	-8467(3)	-1531(3)	-336(5-II-1)
217	14	-1.35(2)	0.91(3)	-0.44(3)	-8622(3)	-1225(3)	-375(3)
217	15	-1.40(2)	0.89(3)	-0.38(3)	-8764(3)	-953(3)	-317(3)
217	16	-1.43(2)	0.88(3)	-0.31(3)	-8849(3)	-791(3)	-170(3)
218	1	-1.52(4)	1.55(3)	-0.41(3)	-8211(3)	-1811(3)	862(3)
218	2	-1.42(4)	1.44(3)	-0.42(3)	-8260(3)	-1872(3)	890(3)
218	3	-1.31(4)	1.33(3)	-0.43(3)	-8221(3)	-1998(3)	813(3)
218	4	-1.21(2)	1.24(3)	-0.44(3)	-8156(3)	-2113(3)	615(3)
218	5	-1.45(4)	1.68(3)	-0.37(3)	-7929(3)	-1720(3)	817(3)
218	6	-1.34(4)	1.56(3)	-0.37(3)	-7964(3)	-1831(3)	902(3)
218	7	-1.21(4)	1.45(3)	-0.38(3)	-7902(3)	-2025(3)	853(3)
218	8	-1.11(4)	1.35(3)	-0.40(3)	-7817(3)	-2200(3)	646(3)
218	9	-1.39(4)	1.80(3)	0.35(2)	-7519(3)	-1572(3)	778(3)
218	10	-1.26(4)	1.69(3)	0.37(2)	-7526(3)	-1749(3)	930(3)
218	11	-1.11(4)	1.57(3)	0.34(2)	-7426(3)	-2030(3)	908(3)
218	12	-1.00(4)	1.47(3)	-0.36(3)	-7312(3)	-2278(3)	687(3)

**POTENZIAMENTO DELL'IMPIANTO DI DEPURAZIONE E
DEL RECAPITO FINALE DI SQUINZANO (LE)
PROGETTO DEFINITIVO
Tabulati di calcolo strutturale-Equalizzazione**

R.37.7

Maggio 2021

Pagina 112 di
338

Muro	Pann.	Sxx	Syy	Sxy	Mxx	Myy	Mxy
218	13	-1.34 (4)	1.93 (3)	0.34 (2)	-7010 (3)	-1362 (3)	-756 (2)
218	14	-1.18 (4)	1.81 (3)	0.37 (2)	-6971 (3)	-1625 (3)	981 (3)
218	15	-1.01 (4)	1.69 (3)	0.34 (2)	-6816 (3)	-2019 (3)	986 (3)
218	16	-0.89 (4)	1.58 (3)	-0.32 (3)	-6666 (3)	-2356 (3)	740 (3)
219	1	-1.19 (2)	1.17 (3)	-0.45 (3)	-8120 (3)	-2150 (3)	494 (5-I-1)
219	2	-1.18 (2)	1.13 (3)	-0.46 (3)	-8124 (3)	-2115 (3)	415 (5-I-1)
219	3	-1.17 (2)	1.09 (3)	-0.46 (3)	-8160 (3)	-2018 (3)	-355 (5-II-1)
219	4	-1.18 (2)	1.06 (3)	-0.46 (3)	-8230 (3)	-1861 (3)	-369 (5-II-1)
219	5	-1.07 (2)	1.29 (3)	-0.42 (3)	-7773 (3)	-2267 (3)	500 (5-I-1)
219	6	-1.06 (2)	1.24 (3)	-0.43 (3)	-7777 (3)	-2240 (3)	416 (5-I-1)
219	7	-1.06 (2)	1.20 (3)	-0.44 (3)	-7819 (3)	-2136 (3)	-377 (5-II-1)
219	8	-1.07 (2)	1.16 (3)	-0.44 (3)	-7901 (3)	-1958 (3)	-396 (5-II-1)
219	9	-0.96 (2)	1.40 (3)	-0.39 (3)	-7255 (3)	-2382 (3)	505 (5-I-1)
219	10	-0.94 (2)	1.35 (3)	-0.40 (3)	-7258 (3)	-2365 (3)	415 (5-I-1)
219	11	-0.94 (2)	1.30 (3)	-0.41 (3)	-7305 (3)	-2255 (3)	-398 (5-II-1)
219	12	-0.95 (2)	1.26 (3)	-0.42 (3)	-7397 (3)	-2054 (3)	-425 (5-II-1)
219	13	-0.84 (2)	1.51 (3)	-0.35 (3)	-6595 (3)	-2502 (3)	508 (5-I-1)
219	14	-0.82 (2)	1.46 (3)	-0.37 (3)	-6595 (3)	-2497 (3)	413 (5-I-1)
219	15	-0.82 (2)	1.41 (3)	-0.38 (3)	-6644 (3)	-2382 (3)	-420 (5-II-1)
219	16	-0.83 (2)	1.36 (3)	-0.39 (3)	-6744 (3)	-2157 (3)	-456 (5-II-1)
220	1	-1.40 (3)	2.19 (3)	0.32 (2)	-4456 (3)	-1626 (3)	-976 (2)
220	2	-1.51 (3)	2.01 (3)	0.34 (2)	-5921 (3)	-2319 (3)	-855 (2)
220	3	-1.50 (3)	1.82 (3)	0.33 (2)	-7080 (3)	-2231 (3)	793 (5-I-1)
220	4	-1.55 (4)	1.67 (3)	-0.39 (3)	-7870 (3)	-1914 (3)	780 (5-I-1)
220	5	-1.23 (3)	2.22 (3)	0.32 (4)	-4025 (3)	-1511 (3)	-765 (2)
220	6	-1.35 (3)	2.08 (3)	0.31 (2)	-5483 (3)	-2278 (3)	713 (5-I-1)
220	7	-1.37 (3)	1.93 (3)	0.29 (2)	-6698 (3)	-2176 (3)	729 (5-I-1)
220	8	-1.47 (4)	1.80 (3)	-0.35 (3)	-7558 (3)	-1810 (3)	744 (5-I-1)
220	9	-1.07 (3)	2.25 (3)	0.34 (3)	-3537 (3)	-1382 (3)	-867 (5-II-1)
220	10	-1.19 (3)	2.15 (3)	0.29 (2)	-4955 (3)	-2219 (3)	-782 (5-II-1)
220	11	-1.24 (3)	2.03 (3)	0.26 (2)	-6204 (3)	-2086 (3)	-709 (5-II-1)
220	12	-1.40 (4)	1.92 (3)	-0.31 (3)	-7127 (3)	-1649 (3)	703 (5-I-1)
220	13	-0.92 (3)	2.28 (3)	0.35 (3)	-3015 (3)	-1249 (3)	-975 (5-II-1)
220	14	-1.04 (3)	2.21 (3)	0.26 (2)	-4358 (3)	-2150 (3)	-886 (5-II-1)
220	15	-1.11 (4)	2.12 (3)	0.22 (2)	-5622 (3)	-1970 (3)	-806 (5-II-1)
220	16	-1.34 (4)	2.04 (3)	-0.29 (3)	-6605 (3)	-1428 (3)	659 (5-I-1)
221	1	-0.70 (2)	2.21 (3)	0.21 (3)	988 (3)	10974 (3)	-1212 (3)
221	2	-0.63 (2)	2.25 (3)	0.58 (3)	-290 (3)	5727 (3)	-929 (5-II-1)
221	3	-0.68 (4)	2.29 (3)	0.65 (3)	-1680 (3)	2199 (3)	-818 (5-II-1)
221	4	-1.09 (3)	2.28 (3)	0.54 (3)	-3003 (3)	-293 (5-II-1)	-887 (2)
221	5	-0.65 (2)	2.10 (3)	0.19 (3)	1085 (3)	11207 (3)	-1350 (3)
221	6	-0.61 (2)	2.17 (3)	0.55 (3)	-196 (5-II-1)	6070 (3)	-1177 (3)
221	7	-0.64 (2)	2.24 (3)	0.63 (3)	-1380 (3)	2511 (3)	-961 (5-II-1)
221	8	-0.95 (3)	2.27 (3)	0.54 (3)	-2624 (3)	-225 (5-II-1)	-854 (5-II-1)
221	9	-0.58 (2)	1.98 (3)	0.16 (3)	1165 (3)	11368 (3)	-1464 (3)
221	10	-0.59 (2)	2.09 (3)	0.52 (3)	-154 (2)	6370 (3)	-1422 (3)
221	11	-0.61 (2)	2.20 (3)	0.60 (3)	-1074 (3)	2809 (3)	-1085 (5-II-1)
221	12	-0.81 (3)	2.26 (3)	0.54 (3)	-2219 (3)	386 (3)	-982 (5-II-1)
221	13	-0.50 (2)	1.87 (3)	0.13 (3)	1225 (3)	11469 (3)	-1554 (3)
221	14	-0.56 (2)	2.01 (3)	0.46 (3)	-283 (2)	6629 (3)	-1626 (3)
221	15	-0.58 (2)	2.16 (3)	0.56 (3)	-776 (3)	3088 (3)	-1188 (5-II-1)
221	16	-0.69 (3)	2.25 (3)	0.52 (3)	-1806 (3)	613 (3)	-1092 (5-II-1)
222	1	-1.20 (2)	1.03 (3)	-0.45 (3)	-8365 (3)	-1592 (3)	-379 (3)
222	2	-1.25 (2)	1.00 (3)	-0.43 (3)	-8560 (3)	-1220 (3)	-464 (3)
222	3	-1.31 (2)	0.99 (3)	-0.38 (3)	-8742 (3)	-882 (3)	-384 (3)
222	4	-1.35 (2)	0.97 (3)	-0.30 (3)	-8856 (3)	-679 (3)	-193 (3)
222	5	-1.09 (2)	1.12 (3)	-0.44 (3)	-8063 (3)	-1640 (3)	-478 (3)
222	6	-1.15 (2)	1.09 (3)	-0.42 (3)	-8302 (3)	-1188 (3)	-575 (3)
222	7	-1.22 (2)	1.08 (3)	-0.37 (3)	-8534 (3)	-768 (3)	-470 (3)
222	8	-1.29 (4)	1.06 (3)	-0.30 (3)	-8684 (3)	-563 (5-I-1)	-225 (3)
222	9	-0.98 (2)	1.22 (3)	-0.42 (3)	-7585 (3)	-1682 (3)	-595 (3)
222	10	-1.05 (2)	1.19 (3)	-0.41 (3)	-7874 (3)	-1133 (3)	-713 (3)
222	11	-1.15 (4)	1.17 (3)	-0.37 (3)	-8166 (3)	-614 (5-I-1)	-581 (3)
222	12	-1.25 (4)	1.16 (3)	-0.29 (3)	-8363 (3)	-550 (5-I-1)	-268 (3)
222	13	-0.87 (2)	1.32 (3)	-0.40 (3)	-6954 (3)	-1726 (3)	-732 (3)
222	14	-0.94 (2)	1.27 (3)	-0.40 (3)	-7297 (3)	-1063 (3)	-883 (3)
222	15	-1.09 (4)	1.26 (3)	-0.36 (3)	-7664 (3)	-604 (5-I-1)	-725 (3)
222	16	-1.22 (4)	1.25 (3)	-0.28 (3)	-7925 (3)	-521 (5-I-1)	-327 (3)
223	1	-1.61 (4)	0.85 (3)	-0.46 (2)	-6528 (3)	-1664 (3)	-1513 (3)
223	2	-1.58 (4)	0.92 (3)	-0.46 (2)	-6336 (3)	-1687 (3)	-1623 (3)
223	3	-1.54 (4)	1.01 (3)	-0.46 (2)	-6074 (3)	-1701 (3)	-1731 (3)
223	4	-1.49 (4)	1.12 (3)	0.49 (3)	-5733 (3)	-1678 (3)	-1831 (3)
223	5	-1.55 (4)	0.94 (3)	-0.45 (2)	-6978 (3)	-1781 (3)	-1418 (3)
223	6	-1.53 (4)	1.01 (3)	-0.44 (2)	-6731 (3)	-1794 (3)	-1492 (3)

**POTENZIAMENTO DELL'IMPIANTO DI DEPURAZIONE E
DEL RECAPITO FINALE DI SQUINZANO (LE)
PROGETTO DEFINITIVO
Tabulati di calcolo strutturale-Equalizzazione**

R.37.7

Maggio 2021

Pagina 113 di
338

Muro	Pann.	Sxx	Syy	Sxy	Mxx	Myy	Mxy
223	7	-1.48 (4)	1.10 (3)	-0.44 (2)	-6402 (3)	-1797 (3)	-1560 (3)
223	8	-1.42 (4)	1.20 (3)	0.43 (3)	-5987 (3)	-1756 (3)	-1620 (3)
223	9	-1.50 (4)	1.02 (3)	-0.43 (2)	-7199 (3)	-1844 (3)	-1301 (3)
223	10	-1.47 (4)	1.09 (3)	-0.42 (2)	-6905 (3)	-1847 (3)	-1332 (3)
223	11	-1.42 (4)	1.17 (3)	-0.41 (2)	-6521 (3)	-1840 (3)	-1357 (3)
223	12	-1.35 (4)	1.27 (3)	-0.40 (2)	-6046 (3)	-1784 (3)	-1375 (3)
223	13	-1.44 (4)	1.09 (3)	-0.41 (2)	-7220 (3)	-1854 (3)	-1166 (3)
223	14	-1.41 (4)	1.16 (3)	-0.40 (2)	-6889 (3)	-1847 (3)	1186 (2)
223	15	-1.35 (4)	1.23 (3)	-0.38 (2)	-6460 (3)	-1833 (3)	1202 (2)
223	16	-1.27 (4)	1.32 (3)	-0.37 (2)	-5938 (3)	-1764 (3)	1214 (2)
224	1	-1.39 (4)	1.15 (3)	-0.39 (2)	-7072 (3)	-1810 (3)	1085 (2)
224	2	-1.35 (4)	1.22 (3)	-0.37 (2)	-6711 (3)	-1795 (3)	1065 (2)
224	3	-1.28 (4)	1.28 (3)	-0.35 (2)	-6247 (3)	-1778 (3)	1046 (2)
224	4	-1.20 (4)	1.36 (3)	-0.34 (2)	-5690 (3)	-1702 (3)	1030 (2)
224	5	-1.34 (4)	1.21 (3)	-0.37 (2)	-6784 (3)	-1711 (3)	992 (2)
224	6	-1.29 (4)	1.26 (3)	-0.34 (2)	-6402 (3)	-1693 (3)	924 (2)
224	7	-1.21 (4)	1.32 (3)	-0.32 (2)	-5910 (3)	-1680 (3)	866 (2)
224	8	-1.11 (4)	1.39 (3)	-0.31 (2)	-5328 (3)	-1605 (3)	822 (2)
224	9	-1.30 (4)	1.26 (3)	-0.34 (2)	-6387 (3)	-1555 (3)	886 (2)
224	10	-1.23 (4)	1.30 (3)	-0.30 (2)	-5988 (3)	-1540 (3)	-765 (5-I-1)
224	11	-1.13 (4)	1.35 (3)	-0.28 (2)	-5473 (3)	-1542 (3)	785 (5-II-1)
224	12	-1.03 (4)	-1.41 (2)	-0.27 (2)	-4874 (3)	-1478 (3)	856 (5-II-1)
224	13	-1.26 (4)	1.30 (3)	-0.31 (2)	-5908 (3)	-1339 (3)	772 (2)
224	14	-1.17 (4)	-1.35 (2)	-0.25 (2)	-5495 (3)	-1338 (3)	782 (5-II-1)
224	15	-1.05 (4)	-1.43 (2)	-0.23 (2)	-4959 (3)	-1372 (3)	884 (5-II-1)
224	16	-0.93 (4)	-1.51 (2)	-0.24 (2)	-4351 (3)	-1331 (3)	962 (5-II-1)
225	1	-1.66 (2)	-0.74 (2)	-0.38 (2)	-6802 (3)	-1664 (3)	-987 (3)
225	2	-1.67 (2)	-0.74 (2)	-0.42 (2)	-6781 (3)	-1654 (3)	-1128 (3)
225	3	-1.66 (2)	-0.75 (2)	-0.44 (2)	-6737 (3)	-1647 (3)	-1272 (3)
225	4	-1.63 (2)	0.78 (3)	-0.46 (2)	-6658 (3)	-1649 (3)	-1398 (3)
225	5	-1.55 (2)	-0.81 (2)	-0.38 (2)	-7367 (3)	-1844 (3)	-976 (3)
225	6	-1.57 (2)	-0.81 (2)	-0.42 (2)	-7331 (3)	-1817 (3)	-1109 (3)
225	7	-1.57 (2)	-0.81 (2)	-0.44 (2)	-7264 (3)	-1791 (3)	-1236 (3)
225	8	-1.56 (4)	0.87 (3)	-0.45 (2)	-7152 (3)	-1778 (3)	-1336 (3)
225	9	-1.45 (2)	-0.87 (2)	-0.38 (2)	-7671 (3)	-1990 (3)	-962 (3)
225	10	-1.47 (2)	-0.87 (2)	-0.41 (2)	-7625 (3)	-1939 (3)	-1084 (3)
225	11	-1.48 (4)	0.89 (3)	-0.43 (2)	-7544 (3)	-1890 (3)	-1189 (3)
225	12	-1.50 (4)	0.95 (3)	-0.44 (2)	-7408 (3)	-1856 (3)	-1258 (3)
225	13	-1.34 (2)	-0.94 (2)	-0.38 (2)	-7741 (3)	-2105 (3)	-947 (3)
225	14	-1.37 (2)	-0.94 (2)	-0.41 (2)	-7694 (3)	-2022 (3)	-1057 (3)
225	15	-1.42 (4)	0.96 (3)	-0.43 (2)	-7606 (3)	-1942 (3)	-1137 (3)
225	16	-1.44 (4)	1.02 (3)	-0.43 (2)	-7455 (3)	-1882 (3)	-1168 (3)
226	1	-1.24 (2)	-1.01 (2)	-0.38 (2)	-7605 (3)	-2191 (3)	-936 (3)
226	2	-1.29 (4)	-1.01 (2)	-0.41 (2)	-7566 (3)	-2069 (3)	-1032 (3)
226	3	-1.35 (4)	1.03 (3)	-0.42 (2)	-7481 (3)	-1948 (3)	-1084 (3)
226	4	-1.39 (4)	1.09 (3)	-0.41 (2)	-7325 (3)	-1857 (3)	1091 (2)
226	5	-1.13 (4)	-1.07 (2)	-0.38 (2)	-7291 (3)	-2252 (3)	-933 (3)
226	6	-1.21 (4)	-1.07 (2)	-0.41 (2)	-7268 (3)	-2080 (3)	-1017 (3)
226	7	-1.29 (4)	1.09 (3)	-0.42 (2)	-7197 (3)	-1910 (3)	1060 (2)
226	8	-1.34 (4)	1.15 (3)	-0.40 (2)	-7046 (3)	-1779 (3)	1046 (2)
226	9	-1.04 (4)	-1.14 (2)	-0.38 (2)	-6824 (3)	-2295 (3)	957 (2)
226	10	-1.13 (4)	-1.14 (2)	-0.41 (2)	-6827 (3)	-2061 (3)	1044 (2)
226	11	-1.23 (4)	-1.15 (2)	-0.42 (2)	-6783 (3)	-1827 (3)	1064 (2)
226	12	-1.30 (4)	1.21 (3)	-0.39 (2)	-6649 (3)	-1647 (3)	1000 (2)
226	13	-0.94 (4)	-1.21 (2)	-0.37 (2)	-6229 (3)	-2325 (3)	1019 (2)
226	14	-1.05 (4)	-1.22 (2)	-0.41 (2)	-6269 (3)	-2014 (3)	1098 (2)
226	15	-1.17 (4)	-1.21 (2)	-0.41 (2)	-6266 (3)	-1698 (3)	1084 (2)
226	16	-1.26 (4)	1.26 (3)	-0.37 (2)	-6163 (3)	-1455 (3)	959 (2)
227	1	-1.41 (4)	1.24 (3)	0.52 (3)	-5267 (3)	-1570 (3)	-1914 (3)
227	2	-1.29 (4)	1.40 (3)	0.53 (3)	-4645 (3)	-1293 (3)	-1944 (3)
227	3	-1.13 (4)	1.57 (3)	0.52 (3)	-3871 (3)	-747 (3)	-1864 (3)
227	4	-0.91 (4)	1.75 (3)	0.51 (3)	-2935 (3)	-601 (2)	-1606 (3)
227	5	-1.33 (4)	1.32 (3)	0.45 (3)	-5436 (3)	-1615 (3)	-1658 (3)
227	6	-1.22 (4)	1.47 (3)	0.45 (3)	-4724 (3)	-1280 (3)	-1638 (3)
227	7	-1.06 (4)	1.63 (3)	0.44 (3)	-3867 (3)	-646 (3)	-1507 (3)
227	8	-0.85 (4)	1.79 (3)	0.43 (3)	-2863 (3)	-781 (2)	-1209 (3)
227	9	-1.26 (4)	1.38 (3)	-0.39 (2)	-5430 (3)	-1611 (3)	1392 (2)
227	10	-1.14 (4)	1.52 (3)	0.38 (3)	-4654 (3)	-1221 (3)	1360 (2)
227	11	-0.99 (4)	1.67 (3)	0.36 (3)	-3746 (3)	-506 (3)	1232 (2)
227	12	-0.78 (2)	1.81 (3)	0.35 (3)	-2708 (3)	-980 (2)	956 (2)
227	13	-1.18 (4)	1.43 (3)	-0.36 (2)	-5276 (3)	-1565 (3)	1210 (2)
227	14	-1.06 (4)	1.55 (3)	-0.33 (2)	-4460 (3)	-1124 (3)	1156 (2)
227	15	-0.91 (4)	1.68 (3)	0.30 (3)	-3528 (3)	-427 (4)	1011 (2)
227	16	-0.75 (2)	1.80 (3)	0.29 (3)	-2488 (3)	-1192 (2)	724 (2)

**POTENZIAMENTO DELL'IMPIANTO DI DEPURAZIONE E
DEL RECAPITO FINALE DI SQUINZANO (LE)
PROGETTO DEFINITIVO
Tabulati di calcolo strutturale-Equalizzazione**

R.37.7

Maggio 2021

Pagina 114 di
338

Muro	Pann.	Sxx	Syy	Sxy	Mxx	Myy	Mxy
228	1	-1.10 (4)	1.45 (3)	-0.33 (2)	-4999 (3)	-1481 (3)	1003 (2)
228	2	-0.98 (4)	1.57 (3)	-0.30 (2)	-4166 (3)	-996 (3)	932 (2)
228	3	-0.84 (4)	1.68 (3)	-0.25 (2)	-3236 (3)	-379 (4)	785 (5-II-1)
228	4	-0.71 (2)	1.78 (3)	0.24 (3)	-2218 (3)	-1412 (2)	852 (5-II-1)
228	5	-1.01 (4)	1.47 (3)	-0.30 (2)	-4622 (3)	-1368 (3)	802 (5-II-1)
228	6	-0.90 (4)	1.57 (3)	-0.28 (2)	-3792 (3)	-846 (3)	863 (5-II-1)
228	7	-0.77 (4)	1.66 (3)	-0.23 (2)	-2887 (3)	-382 (2)	930 (5-II-1)
228	8	-0.68 (2)	1.75 (3)	0.19 (3)	-1914 (3)	-1632 (2)	1000 (5-II-1)
228	9	-0.92 (4)	1.47 (3)	-0.27 (2)	-4168 (3)	-1234 (3)	921 (5-II-1)
228	10	-0.81 (4)	1.56 (3)	-0.26 (2)	-3360 (3)	-681 (3)	989 (5-II-1)
228	11	-0.70 (4)	1.64 (3)	-0.21 (2)	-2498 (3)	-524 (2)	1061 (5-II-1)
228	12	-0.64 (2)	1.70 (3)	0.16 (3)	-1590 (3)	-1848 (2)	1131 (5-II-1)
228	13	-0.83 (4)	-1.57 (2)	-0.24 (2)	-3657 (3)	-1089 (3)	1031 (5-II-1)
228	14	-0.73 (4)	-1.61 (2)	-0.24 (2)	-2887 (3)	-510 (3)	1101 (5-II-1)
228	15	-0.63 (2)	-1.64 (2)	-0.20 (2)	-2088 (3)	-662 (2)	1174 (5-II-1)
228	16	-0.60 (2)	1.66 (3)	-0.14 (2)	-1261 (3)	-2054 (2)	1243 (5-II-1)
229	1	-0.77 (2)	1.88 (3)	0.50 (3)	-1990 (3)	-1600 (2)	-1199 (3)
229	2	-0.71 (2)	1.98 (3)	0.53 (3)	-1102 (3)	3262 (3)	-721 (5-I-1)
229	3	-0.71 (2)	2.06 (3)	0.62 (3)	-230 (4)	5653 (3)	-512 (5-I-1)
229	4	1.12 (3)	2.10 (3)	0.78 (3)	610 (3)	9004 (3)	-621 (2)
229	5	-0.74 (2)	1.92 (3)	0.43 (3)	-1877 (3)	1904 (3)	794 (2)
229	6	-0.70 (2)	2.01 (3)	0.48 (3)	-972 (3)	3720 (3)	-610 (5-I-1)
229	7	-0.72 (2)	2.09 (3)	0.58 (3)	-191 (4)	6212 (3)	532 (5-II-1)
229	8	1.04 (3)	2.13 (3)	0.77 (3)	742 (3)	9622 (3)	-725 (2)
229	9	-0.71 (2)	1.92 (3)	0.37 (3)	-1712 (3)	2251 (3)	-652 (5-I-1)
229	10	-0.68 (2)	2.01 (3)	0.42 (3)	-814 (3)	4151 (3)	632 (5-II-1)
229	11	-0.71 (2)	2.08 (3)	0.54 (3)	-221 (2)	6704 (3)	668 (5-II-1)
229	12	0.95 (3)	2.12 (3)	0.75 (3)	864 (3)	10121 (3)	-822 (2)
229	13	-0.69 (2)	1.90 (3)	0.31 (3)	-1507 (3)	2592 (3)	748 (5-II-1)
229	14	-0.66 (2)	1.97 (3)	0.37 (3)	-637 (3)	4549 (3)	788 (5-II-1)
229	15	-0.69 (2)	2.03 (3)	0.50 (3)	-316 (2)	7128 (3)	935 (3)
229	16	0.84 (3)	2.08 (3)	0.73 (3)	976 (3)	10507 (3)	-910 (2)
230	1	-0.66 (2)	1.86 (3)	0.27 (3)	-1273 (3)	2920 (3)	906 (5-II-1)
230	2	-0.64 (2)	1.92 (3)	0.33 (3)	-447 (3)	4910 (3)	931 (5-II-1)
230	3	-0.66 (2)	1.96 (3)	0.47 (3)	-419 (2)	7485 (3)	1204 (3)
230	4	-0.76 (2)	2.00 (3)	0.71 (3)	1077 (3)	10790 (3)	-988 (2)
230	5	-0.64 (2)	1.80 (3)	0.23 (3)	-1024 (3)	3231 (3)	1049 (5-II-1)
230	6	-0.62 (2)	1.84 (3)	0.30 (3)	-283 (5-II-1)	5233 (3)	1107 (3)
230	7	-0.63 (2)	1.88 (3)	0.44 (3)	-523 (2)	7778 (3)	1443 (3)
230	8	-0.69 (2)	1.91 (3)	0.69 (3)	1163 (3)	10980 (3)	-1053 (2)
230	9	-0.61 (2)	1.74 (3)	0.21 (3)	-769 (3)	3520 (3)	1174 (5-II-1)
230	10	-0.60 (2)	1.76 (3)	0.29 (3)	-228 (5-II-1)	5516 (3)	1376 (3)
230	11	-0.59 (2)	1.77 (3)	0.42 (3)	-624 (2)	8012 (3)	1650 (3)
230	12	-0.59 (2)	1.80 (3)	0.67 (3)	1234 (3)	11091 (3)	-1105 (2)
230	13	-0.58 (2)	1.68 (3)	0.20 (3)	-521 (3)	3785 (3)	1321 (3)
230	14	-0.57 (2)	1.68 (3)	0.28 (3)	-244 (2)	5760 (3)	1606 (3)
230	15	-0.54 (2)	1.67 (3)	0.42 (3)	723 (3)	8191 (3)	1823 (3)
230	16	-0.49 (2)	1.68 (3)	0.65 (3)	1283 (3)	11136 (3)	-1141 (2)
231	1	-1.68 (2)	-0.68 (2)	-0.24 (3)	-7398 (3)	-858 (3)	-93 (5-I-1)
231	2	-1.57 (2)	-0.74 (2)	-0.15 (1)	-7199 (3)	-1121 (3)	-212 (5-I-1)
231	3	-1.55 (2)	-0.77 (2)	-0.19 (2)	-6976 (3)	-1438 (3)	-383 (5-I-1)
231	4	-1.62 (2)	-0.75 (2)	-0.29 (2)	-6845 (3)	-1628 (3)	-657 (3)
231	5	-1.58 (2)	-0.72 (2)	-0.23 (3)	-8105 (3)	-904 (3)	-84 (5-I-1)
231	6	-1.48 (2)	-0.79 (2)	-0.14 (1)	-7868 (3)	-1232 (3)	-202 (5-I-1)
231	7	-1.45 (2)	-0.82 (2)	-0.19 (2)	-7599 (3)	-1616 (3)	-378 (5-I-1)
231	8	-1.51 (2)	-0.82 (2)	-0.29 (2)	-7432 (3)	-1825 (3)	-635 (3)
231	9	-1.49 (2)	-0.76 (2)	-0.21 (3)	-8547 (3)	-902 (3)	-99 (2)
231	10	-1.39 (2)	-0.83 (2)	-0.13 (1)	-8266 (3)	-1309 (3)	237 (5-II-1)
231	11	-1.35 (2)	-0.88 (2)	-0.18 (2)	-7946 (3)	-1768 (3)	-370 (5-I-1)
231	12	-1.40 (2)	-0.88 (2)	-0.29 (2)	-7749 (3)	-1995 (3)	-608 (3)
231	13	-1.41 (2)	0.84 (3)	-0.20 (3)	-8751 (3)	-851 (3)	-131 (2)
231	14	-1.30 (2)	-0.87 (2)	-0.12 (1)	-8420 (3)	-1354 (3)	276 (5-II-1)
231	15	-1.24 (2)	-0.93 (2)	-0.18 (2)	-8046 (3)	-1901 (3)	-358 (5-I-1)
231	16	-1.29 (2)	-0.94 (2)	-0.29 (2)	-7824 (3)	-2142 (3)	-581 (5-I-1)
232	1	-1.33 (2)	0.92 (3)	-0.18 (3)	-8746 (3)	-751 (3)	176 (3)
232	2	-1.20 (2)	-0.92 (2)	-0.11 (1)	-8355 (3)	-1371 (3)	360 (3)
232	3	-1.14 (2)	-0.98 (2)	-0.17 (2)	-7922 (3)	-2020 (3)	355 (5-II-1)
232	4	-1.18 (2)	-1.00 (2)	-0.29 (2)	-7684 (3)	-2272 (3)	-575 (5-I-1)
232	5	-1.25 (4)	1.01 (3)	-0.16 (3)	-8558 (3)	-598 (3)	249 (3)
232	6	-1.10 (2)	-0.96 (2)	-0.10 (1)	-8096 (3)	-1365 (3)	494 (3)
232	7	-1.03 (2)	-1.03 (2)	-0.16 (2)	-7602 (3)	-2130 (3)	393 (5-II-1)
232	8	-1.06 (2)	-1.06 (2)	-0.29 (2)	-7355 (3)	-2390 (3)	-568 (5-I-1)
232	9	-1.21 (4)	1.09 (3)	-0.14 (3)	-8216 (3)	-562 (5-I-1)	336 (3)
232	10	-1.00 (2)	-1.00 (2)	-0.08 (1)	-7668 (3)	-1341 (3)	652 (3)

**POTENZIAMENTO DELL'IMPIANTO DI DEPURAZIONE E
DEL RECAPITO FINALE DI SQUINZANO (LE)
PROGETTO DEFINITIVO
Tabulati di calcolo strutturale-Equalizzazione**

R.37.7

Maggio 2021

Pagina 115 di
338

Muro	Pann.	Sxx	Syy	Sxy	Mxx	Myy	Mxy
232	11	-0.92 (2)	-1.08 (2)	-0.15 (2)	-7109 (3)	-2241 (3)	431 (5-II-1)
232	12	-0.95 (2)	-1.12 (2)	-0.28 (2)	-6864 (3)	-2503 (3)	-560 (5-I-1)
232	13	-1.17 (4)	1.18 (3)	-0.12 (3)	-7748 (3)	-538 (5-I-1)	443 (3)
232	14	-0.90 (2)	1.06 (3)	-0.07 (1)	-7096 (3)	-1307 (3)	838 (3)
232	15	-0.81 (2)	-1.12 (2)	-0.13 (2)	-6471 (3)	-2358 (3)	469 (5-II-1)
232	16	-0.83 (2)	-1.18 (2)	-0.27 (2)	-6237 (3)	-2616 (3)	-552 (5-I-1)
233	1	2.34 (3)	-1.30 (4)	0.34 (2)	-1047 (3)	-6420 (3)	795 (3)
233	2	2.48 (3)	-1.29 (4)	0.33 (2)	-683 (3)	-5816 (3)	-814 (2)
233	3	2.62 (3)	-1.30 (4)	0.33 (2)	-478 (5-II-1)	-5216 (3)	-902 (2)
233	4	2.76 (3)	-1.35 (4)	0.34 (2)	460 (5-I-1)	-4665 (3)	-1082 (2)
233	5	2.24 (3)	-1.10 (4)	0.39 (2)	-1423 (3)	-6310 (3)	1126 (3)
233	6	2.37 (3)	-1.01 (4)	0.39 (2)	-1216 (3)	-5596 (3)	1260 (3)
233	7	2.49 (3)	-0.92 (4)	0.40 (2)	-977 (3)	-4825 (3)	1465 (3)
233	8	2.61 (3)	-0.79 (4)	0.41 (2)	-728 (3)	-3995 (3)	-1784 (2)
233	9	2.15 (3)	-0.89 (4)	0.35 (2)	-1963 (3)	-6082 (3)	1153 (3)
233	10	2.28 (3)	-0.77 (4)	0.34 (2)	-1946 (3)	-5271 (3)	1291 (3)
233	11	2.41 (3)	-0.64 (4)	0.32 (2)	-1953 (3)	-4384 (3)	1464 (3)
233	12	2.55 (3)	-0.50 (4)	0.29 (2)	-2008 (3)	-3434 (3)	-1678 (2)
233	13	2.08 (3)	-0.77 (4)	0.27 (2)	-2406 (3)	-5891 (3)	872 (3)
233	14	2.22 (3)	-0.65 (4)	0.25 (2)	-2510 (3)	-5039 (3)	950 (3)
233	15	2.37 (3)	-0.53 (4)	0.22 (2)	-2641 (3)	-4122 (3)	1038 (3)
233	16	2.52 (3)	-0.40 (4)	0.19 (2)	-2808 (3)	-3170 (3)	-1138 (2)
234	1	2.40 (3)	-0.76 (3)	0.43 (3)	-1080 (3)	-2465 (3)	-1037 (5-I-1)
234	2	2.44 (3)	-0.63 (3)	0.41 (3)	991 (2)	-1936 (3)	-1114 (5-I-1)
234	3	2.49 (3)	-0.51 (3)	0.38 (3)	990 (2)	-1434 (3)	-1172 (5-I-1)
234	4	2.55 (3)	-0.39 (3)	0.34 (3)	1002 (2)	-982 (3)	-1213 (5-I-1)
234	5	2.41 (3)	-0.86 (3)	0.24 (2)	-2046 (3)	-3701 (3)	-957 (5-I-1)
234	6	2.49 (3)	-0.72 (3)	0.22 (4)	-1988 (3)	-3033 (3)	-1043 (5-I-1)
234	7	2.58 (3)	-0.57 (3)	0.21 (4)	-1950 (3)	-2362 (3)	-1117 (5-I-1)
234	8	2.68 (3)	-0.44 (3)	0.20 (4)	-1940 (3)	-1715 (3)	-1173 (5-I-1)
234	9	2.39 (3)	-0.98 (4)	0.18 (2)	-1801 (3)	-4958 (3)	-878 (5-I-1)
234	10	2.49 (3)	-0.84 (4)	0.13 (2)	-1663 (3)	-4262 (3)	-980 (5-I-1)
234	11	2.58 (3)	-0.69 (4)	0.09 (2)	-1540 (3)	-3529 (3)	-1103 (3)
234	12	2.69 (3)	-0.53 (4)	0.06 (1)	-1465 (3)	-2766 (3)	-1464 (3)
234	13	2.39 (3)	-1.28 (4)	0.20 (2)	-1106 (3)	-6004 (3)	-648 (5-I-1)
234	14	2.52 (3)	-1.24 (4)	0.15 (2)	-745 (3)	-5387 (3)	-718 (5-I-1)
234	15	2.64 (3)	-1.22 (4)	-0.15 (3)	-460 (5-II-1)	-4765 (3)	-794 (5-I-1)
234	16	2.76 (3)	-1.20 (4)	-0.18 (3)	383 (5-I-1)	-4174 (3)	-880 (5-I-1)
235	1	-0.82 (2)	1.94 (3)	0.28 (3)	1572 (3)	12000 (3)	-1712 (2)
235	2	-0.58 (2)	2.00 (3)	0.57 (3)	1008 (3)	8209 (3)	-2771 (2)
235	3	-0.46 (2)	2.05 (3)	0.79 (3)	-473 (2)	5040 (3)	-3263 (2)
235	4	-0.64 (3)	2.09 (3)	0.89 (3)	-252 (4)	2479 (3)	-3634 (2)
235	5	-0.78 (2)	1.80 (3)	0.27 (3)	1643 (3)	12039 (3)	-1704 (2)
235	6	-0.50 (2)	1.86 (3)	0.54 (3)	1121 (3)	8406 (3)	-2745 (2)
235	7	-0.42 (3)	1.90 (3)	0.77 (3)	593 (3)	5293 (3)	-3204 (2)
235	8	-0.59 (3)	1.95 (3)	0.87 (3)	-149 (2)	2719 (3)	-3557 (2)
235	9	-0.73 (2)	1.66 (3)	0.25 (3)	1691 (3)	12072 (3)	-1687 (2)
235	10	-0.41 (2)	1.69 (3)	0.52 (3)	1199 (3)	8581 (3)	-2714 (2)
235	11	-0.42 (3)	1.71 (3)	0.74 (3)	707 (3)	5526 (3)	-3151 (2)
235	12	-0.52 (3)	1.78 (3)	0.83 (3)	252 (3)	2944 (3)	-3492 (2)
235	13	-0.66 (2)	-1.58 (2)	0.23 (3)	1692 (3)	12120 (3)	-1651 (2)
235	14	-0.31 (2)	-1.46 (2)	0.53 (3)	1215 (3)	8748 (3)	-2671 (2)
235	15	-0.40 (3)	1.47 (3)	0.72 (3)	749 (3)	5744 (3)	-3106 (2)
235	16	-0.45 (3)	1.59 (3)	0.77 (3)	364 (3)	3153 (3)	-3443 (2)
236	1	1.77 (3)	-0.42 (2)	0.13 (3)	11574 (3)	1261 (3)	-1618 (3)
236	2	1.69 (3)	-0.35 (2)	0.07 (3)	11584 (3)	1256 (3)	-1656 (3)
236	3	1.66 (3)	-0.30 (1)	0.06 (2)	11546 (3)	1198 (3)	-1667 (3)
236	4	-1.83 (2)	-0.26 (1)	0.13 (2)	11452 (3)	1069 (3)	-1649 (3)
236	5	1.96 (3)	-0.53 (2)	0.44 (3)	6898 (3)	417 (3)	-1763 (3)
236	6	1.92 (3)	-0.49 (2)	0.35 (3)	7084 (3)	517 (3)	-1880 (3)
236	7	1.92 (3)	-0.43 (2)	0.26 (4)	7237 (3)	558 (3)	-1953 (3)
236	8	-1.97 (2)	-0.36 (2)	0.23 (4)	7363 (3)	523 (3)	-1973 (3)
236	9	2.16 (3)	-0.54 (2)	0.56 (3)	3391 (3)	-490 (3)	-1248 (3)
236	10	2.15 (3)	-0.49 (2)	0.48 (3)	3630 (3)	-254 (5-I-1)	-1414 (3)
236	11	2.16 (3)	-0.43 (2)	0.40 (3)	3846 (3)	-175 (5-I-1)	-1527 (3)
236	12	2.18 (3)	-0.36 (2)	0.33 (4)	4038 (3)	114 (5-II-1)	-1580 (3)
236	13	2.31 (3)	-0.59 (4)	0.56 (3)	872 (3)	-1389 (3)	-1148 (5-I-1)
236	14	2.32 (3)	-0.50 (4)	0.51 (3)	1078 (3)	-1007 (3)	-1217 (5-I-1)
236	15	2.34 (3)	-0.42 (4)	0.45 (3)	1265 (3)	-665 (3)	-1264 (5-I-1)
236	16	2.37 (3)	-0.34 (2)	0.38 (3)	1430 (3)	-380 (3)	-1290 (5-I-1)
237	1	-0.90 (3)	2.25 (3)	0.49 (3)	-2429 (3)	-3810 (3)	-3439 (2)
237	2	-0.87 (3)	2.27 (3)	0.40 (4)	-2708 (3)	-4269 (3)	3132 (3)
237	3	-0.83 (4)	2.28 (3)	0.33 (4)	-2932 (3)	-4588 (3)	2775 (3)
237	4	-0.82 (4)	2.29 (3)	0.26 (4)	-3106 (3)	-4804 (3)	2351 (3)

**POTENZIAMENTO DELL'IMPIANTO DI DEPURAZIONE E
DEL RECAPITO FINALE DI SQUINZANO (LE)
PROGETTO DEFINITIVO
Tabulati di calcolo strutturale-Equalizzazione**

R.37.7

Maggio 2021

Pagina 116 di
338

Muro	Pann.	Sxx	Syy	Sxy	Mxx	Myy	Mxy
237	5	-0.76 (3)	2.30 (3)	0.48 (3)	-1979 (3)	-3879 (3)	-3382 (2)
237	6	-0.74 (3)	2.35 (3)	0.37 (3)	-2240 (3)	-4386 (3)	-3057 (2)
237	7	-0.72 (4)	2.38 (3)	0.30 (4)	-2452 (3)	-4744 (3)	2704 (3)
237	8	-0.71 (4)	2.41 (3)	0.24 (4)	-2619 (3)	-4992 (3)	2295 (3)
237	9	-0.63 (3)	2.35 (3)	0.44 (3)	-1525 (3)	-3940 (3)	-3330 (2)
237	10	-0.61 (4)	2.43 (3)	0.35 (3)	-1758 (3)	-4493 (3)	-3013 (2)
237	11	-0.60 (4)	2.49 (3)	0.27 (4)	-1950 (3)	-4890 (3)	2640 (3)
237	12	-0.60 (4)	2.54 (3)	0.22 (4)	-2101 (3)	-5169 (3)	2244 (3)
237	13	-0.50 (4)	2.41 (3)	0.39 (3)	-1090 (3)	-3998 (3)	-3284 (2)
237	14	-0.50 (4)	2.52 (3)	0.30 (3)	-1286 (3)	-4597 (3)	-2973 (2)
237	15	-0.49 (4)	2.61 (3)	0.24 (4)	-1449 (3)	-5030 (3)	-2603 (2)
237	16	-0.49 (4)	2.67 (3)	0.19 (4)	-1578 (3)	-5338 (3)	2201 (3)
238	1	-0.81 (4)	2.30 (3)	0.20 (5-I-1)	-3232 (3)	-4942 (3)	1901 (3)
238	2	-0.80 (4)	2.30 (3)	0.17 (5-I-1)	-3319 (3)	-5026 (3)	1443 (3)
238	3	-0.79 (4)	2.30 (3)	0.13 (5-I-1)	-3379 (3)	-5078 (3)	960 (3)
238	4	-0.79 (4)	2.31 (3)	0.10 (5-I-1)	-3412 (3)	-5105 (3)	469 (3)
238	5	-0.70 (4)	2.43 (3)	0.18 (5-I-1)	-2741 (3)	-5153 (3)	1859 (3)
238	6	-0.69 (4)	2.45 (3)	0.15 (5-I-1)	-2826 (3)	-5253 (3)	1412 (3)
238	7	-0.69 (4)	2.46 (3)	0.12 (5-I-1)	-2884 (3)	-5316 (3)	941 (3)
238	8	-0.68 (4)	2.47 (3)	0.09 (5-I-1)	-2918 (3)	-5349 (3)	460 (3)
238	9	-0.59 (4)	2.57 (3)	0.17 (4)	-2213 (3)	-5352 (3)	1820 (3)
238	10	-0.58 (4)	2.60 (3)	0.13 (5-I-1)	-2291 (3)	-5468 (3)	1383 (3)
238	11	-0.58 (4)	2.61 (3)	0.11 (5-I-1)	-2345 (3)	-5542 (3)	922 (3)
238	12	-0.58 (4)	2.63 (3)	0.08 (5-I-1)	-2376 (3)	-5581 (3)	451 (3)
238	13	-0.48 (4)	2.72 (3)	0.14 (4)	-1673 (3)	-5544 (3)	1786 (3)
238	14	-0.48 (4)	2.75 (3)	0.11 (5-I-1)	-1741 (3)	-5676 (3)	1357 (3)
238	15	-0.48 (4)	2.78 (3)	0.09 (5-I-1)	-1788 (3)	-5759 (3)	905 (3)
238	16	-0.48 (4)	2.79 (3)	0.07 (5-I-1)	-1815 (3)	-5805 (3)	443 (3)
239	1	2.04 (3)	-0.72 (2)	0.20 (2)	-2599 (3)	-5807 (3)	522 (5-II-1)
239	2	2.19 (3)	-0.60 (2)	0.18 (2)	-2751 (3)	-4944 (3)	530 (3)
239	3	2.34 (3)	-0.49 (2)	0.16 (2)	-2927 (3)	-4025 (3)	557 (3)
239	4	2.50 (3)	-0.38 (2)	0.13 (2)	-3132 (3)	-3081 (3)	-595 (2)
239	5	2.01 (3)	-0.71 (2)	-0.18 (3)	-2608 (3)	-5805 (3)	430 (5-II-1)
239	6	2.16 (3)	-0.59 (2)	-0.16 (3)	-2773 (3)	-4940 (3)	427 (5-II-1)
239	7	2.31 (3)	-0.48 (2)	-0.14 (3)	-2962 (3)	-4019 (3)	423 (5-II-1)
239	8	2.46 (3)	-0.37 (2)	-0.12 (3)	-3179 (3)	-3075 (3)	418 (5-II-1)
239	9	1.98 (3)	-0.71 (2)	-0.19 (3)	-2489 (3)	-5856 (3)	-406 (5-I-1)
239	10	2.13 (3)	-0.59 (2)	-0.17 (3)	-2651 (3)	-4988 (3)	-429 (5-I-1)
239	11	2.27 (3)	-0.48 (2)	-0.15 (3)	-2839 (3)	-4061 (3)	-449 (5-I-1)
239	12	2.43 (3)	-0.37 (2)	-0.13 (3)	-3055 (3)	-3110 (3)	-467 (5-I-1)
239	13	1.96 (3)	-0.72 (2)	-0.20 (3)	-2243 (3)	-5961 (3)	-485 (3)
239	14	2.10 (3)	-0.60 (2)	-0.19 (3)	-2384 (3)	-5091 (3)	-589 (3)
239	15	2.24 (3)	-0.49 (2)	-0.16 (3)	-2555 (3)	-4155 (3)	-693 (3)
239	16	2.39 (3)	-0.38 (2)	-0.13 (3)	-2759 (3)	-3189 (3)	-788 (3)
240	1	-0.79 (3)	2.12 (3)	0.89 (3)	-708 (3)	459 (3)	-3851 (2)
240	2	-0.87 (3)	2.16 (3)	0.83 (3)	-1226 (3)	-1103 (3)	-3924 (2)
240	3	-0.91 (3)	2.20 (3)	0.73 (3)	-1689 (3)	-2287 (3)	-3868 (2)
240	4	-0.92 (3)	2.22 (3)	0.61 (3)	-2090 (3)	-3168 (3)	-3700 (2)
240	5	-0.69 (3)	2.02 (3)	0.87 (3)	-422 (3)	649 (3)	-3767 (2)
240	6	-0.75 (3)	2.10 (3)	0.80 (3)	-883 (3)	1036 (2)	-3841 (2)
240	7	-0.78 (3)	2.17 (3)	0.70 (3)	-1299 (3)	-2232 (3)	-3791 (2)
240	8	-0.78 (3)	2.24 (3)	0.59 (3)	-1666 (3)	-3178 (3)	-3633 (2)
240	9	-0.59 (3)	1.89 (3)	0.82 (3)	-173 (3)	829 (3)	-3696 (2)
240	10	-0.63 (3)	2.02 (3)	0.75 (3)	-567 (3)	1014 (2)	-3770 (2)
240	11	-0.64 (3)	2.15 (3)	0.65 (3)	-928 (3)	-2177 (3)	-3723 (2)
240	12	-0.64 (3)	2.26 (3)	0.55 (3)	-1248 (3)	-3184 (3)	-3572 (2)
240	13	-0.48 (3)	1.76 (3)	0.74 (3)	61 (2)	995 (3)	-3644 (2)
240	14	-0.50 (3)	1.95 (3)	0.67 (3)	335 (2)	994 (2)	-3714 (2)
240	15	-0.51 (3)	2.12 (3)	0.58 (3)	-596 (3)	-2125 (3)	-3668 (2)
240	16	-0.51 (3)	2.28 (3)	0.48 (3)	-860 (3)	-3190 (3)	-3521 (2)
241	1	1.93 (3)	-0.75 (2)	-0.22 (3)	-1751 (3)	-6192 (3)	-819 (3)
241	2	2.06 (3)	-0.63 (2)	-0.20 (3)	-1832 (3)	-5328 (3)	-990 (3)
241	3	2.19 (3)	-0.51 (2)	-0.18 (3)	-1948 (3)	-4384 (3)	-1168 (3)
241	4	2.33 (3)	-0.40 (2)	-0.15 (3)	-2109 (3)	-3389 (3)	-1341 (3)
241	5	1.92 (3)	-0.84 (4)	-0.22 (3)	-957 (3)	-6592 (3)	-1022 (3)
241	6	2.03 (3)	-0.73 (4)	-0.23 (4)	-890 (3)	-5775 (3)	-1271 (3)
241	7	2.14 (3)	-0.61 (4)	-0.23 (4)	-854 (3)	-4855 (3)	-1560 (3)
241	8	2.26 (3)	-0.48 (4)	-0.22 (4)	-881 (3)	-3841 (3)	-1876 (3)
241	9	1.93 (3)	-1.02 (4)	-0.22 (4)	-556 (5-II-1)	-7059 (3)	-846 (3)
241	10	2.05 (3)	-0.95 (4)	-0.26 (4)	-530 (5-II-1)	-6358 (3)	-1095 (3)
241	11	2.15 (3)	-0.87 (4)	-0.30 (4)	650 (5-I-1)	-5575 (3)	-1430 (3)
241	12	2.24 (3)	-0.76 (4)	-0.35 (4)	-868 (2)	-4698 (3)	-1884 (3)
241	13	1.96 (3)	-1.20 (4)	-0.12 (4)	540 (5-I-1)	-7414 (3)	-344 (3)
241	14	2.09 (3)	-1.20 (4)	-0.14 (4)	868 (3)	-6843 (3)	-455 (3)

**POTENZIAMENTO DELL'IMPIANTO DI DEPURAZIONE E
DEL RECAPITO FINALE DI SQUINZANO (LE)
PROGETTO DEFINITIVO
Tabulati di calcolo strutturale-Equalizzazione**

R.37.7

Maggio 2021

Pagina 117 di
338

Muro	Pann.	Sxx	Syy	Sxy	Mxx	Myy	Mxy
241	15	2.21(3)	-1.23(4)	-0.18(4)	1472(3)	-6268(3)	-617(3)
241	16	2.32(3)	-1.29(4)	-0.23(4)	2281(3)	-5736(3)	-875(3)
242	1	-0.82(4)	2.31(3)	-0.26(4)	-3077(3)	-4769(3)	-2407(3)
242	2	-0.86(3)	2.30(3)	-0.36(4)	-2805(3)	-4410(3)	-2972(3)
242	3	-0.91(3)	2.28(3)	-0.49(3)	-2426(3)	-3802(3)	3438(2)
242	4	-0.94(3)	2.25(3)	-0.66(3)	-1929(3)	-2825(3)	3774(2)
242	5	-0.71(4)	2.43(3)	-0.24(4)	-2590(3)	-4952(3)	-2348(3)
242	6	-0.73(3)	2.39(3)	-0.33(4)	-2331(3)	-4543(3)	2913(2)
242	7	-0.77(3)	2.33(3)	-0.47(3)	-1976(3)	-3869(3)	3381(2)
242	8	-0.79(3)	2.25(3)	-0.64(3)	-1519(3)	-2808(3)	3704(2)
242	9	-0.60(4)	2.56(3)	-0.22(4)	-2075(3)	-5123(3)	2300(2)
242	10	-0.61(4)	2.49(3)	-0.30(4)	-1840(3)	-4667(3)	2872(2)
242	11	-0.64(3)	2.39(3)	-0.44(3)	-1523(3)	-3929(3)	3329(2)
242	12	-0.65(3)	2.25(3)	-0.59(3)	-1121(3)	-2787(3)	3641(2)
242	13	-0.49(4)	2.70(3)	-0.19(4)	-1555(3)	-5288(3)	2273(2)
242	14	-0.50(4)	2.60(3)	-0.26(3)	-1356(3)	-4785(3)	2835(2)
242	15	-0.50(3)	2.46(3)	-0.39(3)	-1088(3)	-3988(3)	3284(2)
242	16	-0.52(3)	2.26(3)	-0.53(3)	-757(3)	-2768(3)	3590(2)
243	1	-0.79(4)	2.31(3)	-0.07(5-II-1)	-3421(3)	-5112(3)	-107(5-I-1)
243	2	-0.79(4)	2.31(3)	-0.11(5-II-1)	-3399(3)	-5095(3)	-686(3)
243	3	-0.80(4)	2.31(3)	-0.14(2)	-3341(3)	-5047(3)	-1271(3)
243	4	-0.81(4)	2.31(3)	-0.20(2)	-3245(3)	-4955(3)	-1821(3)
243	5	-0.68(4)	2.47(3)	-0.06(5-II-1)	-2926(3)	-5358(3)	-105(5-I-1)
243	6	-0.68(4)	2.47(3)	-0.10(5-II-1)	-2904(3)	-5337(3)	-671(3)
243	7	-0.69(4)	2.47(3)	-0.13(5-II-1)	-2847(3)	-5278(3)	-1244(3)
243	8	-0.70(4)	2.45(3)	-0.18(2)	-2753(3)	-5169(3)	-1780(3)
243	9	-0.58(4)	2.63(3)	-0.06(5-II-1)	-2384(3)	-5592(3)	-104(5-I-1)
243	10	-0.58(4)	2.63(3)	-0.08(5-II-1)	-2364(3)	-5566(3)	658(2)
243	11	-0.58(4)	2.62(3)	-0.12(5-II-1)	-2311(3)	-5498(3)	-1218(3)
243	12	-0.59(4)	2.60(3)	-0.16(2)	-2223(3)	-5371(3)	-1743(3)
243	13	-0.47(4)	2.80(3)	-0.05(5-II-1)	-1822(3)	-5817(3)	-103(5-I-1)
243	14	-0.48(4)	2.80(3)	-0.07(5-II-1)	-1805(3)	-5787(3)	651(2)
243	15	-0.48(4)	2.78(3)	-0.10(5-II-1)	-1758(3)	-5709(3)	-1195(3)
243	16	-0.48(4)	2.75(3)	-0.13(2)	-1682(3)	-5566(3)	1711(2)
244	1	-0.82(4)	3.00(3)	-0.41(3)	-3099(3)	-4462(3)	-453(3)
244	2	-0.81(4)	2.92(3)	-0.49(3)	-3076(3)	-4525(3)	-905(3)
244	3	-0.80(4)	2.83(3)	-0.55(3)	-3033(3)	-4567(3)	1357(2)
244	4	-0.80(4)	2.74(3)	-0.60(3)	-2967(3)	-4576(3)	1834(2)
244	5	-0.70(4)	3.21(3)	-0.37(3)	-2664(3)	-4691(3)	-442(3)
244	6	-0.70(4)	3.13(3)	-0.44(3)	-2638(3)	-4745(3)	-885(3)
244	7	-0.69(4)	3.03(3)	-0.50(3)	-2592(3)	-4775(3)	1343(2)
244	8	-0.68(4)	2.93(3)	-0.55(3)	-2523(3)	-4767(3)	1812(2)
244	9	-0.59(4)	3.44(3)	-0.33(3)	-2178(3)	-4908(3)	-430(3)
244	10	-0.58(4)	3.34(3)	-0.39(3)	-2152(3)	-4954(3)	-865(3)
244	11	-0.58(4)	3.23(3)	-0.44(3)	-2106(3)	-4971(3)	1330(2)
244	12	-0.57(4)	3.12(3)	-0.48(3)	-2040(3)	-4947(3)	1791(2)
244	13	-0.47(4)	3.67(3)	-0.28(3)	-1669(3)	-5117(3)	-419(3)
244	14	-0.47(4)	3.57(3)	-0.33(3)	-1645(3)	-5155(3)	848(2)
244	15	-0.47(4)	3.44(3)	-0.37(3)	-1603(3)	-5161(3)	1317(2)
244	16	-0.47(4)	3.31(3)	-0.41(3)	-1544(3)	-5121(3)	1771(2)
245	1	2.11(3)	-0.74(3)	1.03(3)	-362(5-I-1)	-732(3)	-3982(2)
245	2	2.00(3)	-0.65(3)	0.98(3)	396(5-II-1)	-452(3)	-3897(2)
245	3	1.88(3)	-0.55(3)	0.92(3)	483(5-II-1)	-208(3)	-3824(2)
245	4	1.74(3)	-0.46(3)	0.82(3)	587(3)	-82(5-I-1)	-3770(2)
245	5	2.18(3)	-0.80(3)	0.99(3)	-1368(3)	-1212(3)	-4050(2)
245	6	2.12(3)	-0.69(3)	0.94(3)	-1251(3)	-879(3)	-3965(2)
245	7	2.04(3)	-0.58(3)	0.87(3)	-1138(3)	-572(3)	-3891(2)
245	8	1.97(3)	-0.47(3)	0.77(3)	-1034(3)	332(2)	-3833(2)
245	9	2.25(3)	-0.82(3)	0.92(3)	-2456(3)	-1636(3)	-3988(2)
245	10	2.24(3)	-0.70(3)	0.88(3)	-2403(3)	-1262(3)	-3908(2)
245	11	2.21(3)	-0.58(3)	0.80(3)	-2349(3)	-903(3)	-3838(2)
245	12	2.19(3)	-0.47(3)	0.70(3)	-2298(3)	-582(3)	-3780(2)
245	13	2.33(3)	-0.81(3)	0.85(3)	-3249(3)	-1999(3)	-3813(2)
245	14	2.35(3)	-0.69(3)	0.80(3)	-3256(3)	-1593(3)	-3742(2)
245	15	2.38(3)	-0.58(3)	0.73(3)	-3258(3)	-1193(3)	-3678(2)
245	16	2.41(3)	-0.46(4)	0.64(3)	-3260(3)	-823(3)	-3624(2)
246	1	1.86(3)	-0.85(2)	0.37(3)	11048(3)	1420(3)	-1856(2)
246	2	1.71(3)	-0.80(2)	0.35(3)	11026(3)	1482(3)	-1851(2)
246	3	-1.58(2)	-0.75(2)	0.32(3)	10993(3)	-1555(2)	-1835(2)
246	4	-1.53(2)	-0.66(2)	0.30(3)	-11096(2)	-1603(2)	-1796(2)
246	5	1.93(3)	-0.58(2)	0.66(3)	7417(3)	-911(2)	-2936(2)
246	6	1.78(3)	-0.49(2)	0.63(3)	7574(3)	-1014(2)	-2911(2)
246	7	1.59(3)	-0.40(2)	0.61(3)	7710(3)	-1091(2)	-2880(2)
246	8	-1.39(2)	-0.30(3)	0.61(3)	7838(3)	-1112(2)	-2832(2)

Muro	Pann.	Sxx	Syy	Sxy	Mxx	Myy	Mxy
246	9	1.99 (3)	-0.44 (2)	0.89 (3)	4406 (3)	-477 (2)	-3409 (2)
246	10	1.83 (3)	-0.42 (3)	0.86 (3)	4630 (3)	-576 (2)	-3350 (2)
246	11	1.63 (3)	-0.41 (3)	0.83 (3)	4837 (3)	-638 (2)	-3296 (2)
246	12	1.38 (3)	-0.40 (3)	0.79 (3)	5030 (3)	657 (3)	-3249 (2)
246	13	2.05 (3)	-0.61 (3)	1.00 (3)	1985 (3)	-288 (4)	-3772 (2)
246	14	1.90 (3)	-0.56 (3)	0.97 (3)	2205 (3)	-184 (4)	-3694 (2)
246	15	1.73 (3)	-0.50 (3)	0.91 (3)	2411 (3)	-231 (2)	-3627 (2)
246	16	1.53 (3)	-0.44 (3)	0.84 (3)	2603 (3)	301 (3)	-3577 (2)
247	1	2.40 (3)	-0.79 (3)	0.78 (3)	-3807 (3)	-2298 (3)	-3543 (2)
247	2	2.47 (3)	-0.68 (4)	0.73 (3)	-3866 (3)	-1872 (3)	-3481 (2)
247	3	2.54 (3)	-0.57 (4)	0.67 (3)	-3918 (3)	-1441 (3)	-3424 (2)
247	4	2.61 (3)	-0.47 (4)	0.58 (3)	-3969 (3)	-1029 (3)	-3375 (2)
247	5	2.48 (3)	-0.79 (4)	0.73 (3)	-4180 (3)	-2539 (3)	-3193 (2)
247	6	2.59 (3)	-0.68 (4)	0.68 (3)	-4284 (3)	-2100 (3)	-3141 (2)
247	7	2.69 (3)	-0.57 (4)	0.61 (3)	-4378 (3)	-1648 (3)	-3093 (2)
247	8	2.81 (3)	-0.47 (4)	0.53 (3)	-4469 (3)	-1204 (3)	-3049 (2)
247	9	2.56 (3)	-0.79 (4)	0.68 (3)	-4411 (3)	-2726 (3)	-2780 (2)
247	10	2.70 (3)	-0.68 (4)	0.63 (3)	-4550 (3)	-2282 (3)	-2738 (2)
247	11	2.84 (3)	-0.57 (4)	0.56 (3)	-4680 (3)	-1814 (3)	-2698 (2)
247	12	2.99 (3)	-0.47 (4)	0.48 (3)	-4804 (3)	-1348 (3)	-2662 (2)
247	13	2.65 (3)	-0.79 (4)	0.64 (3)	-4534 (3)	-2867 (3)	-2314 (2)
247	14	2.82 (3)	-0.68 (4)	0.59 (3)	-4702 (3)	-2422 (3)	-2282 (2)
247	15	2.98 (3)	-0.57 (4)	0.52 (3)	-4860 (3)	-1945 (3)	-2252 (2)
247	16	3.16 (3)	-0.47 (4)	0.45 (3)	-5013 (3)	-1461 (3)	-2225 (2)
248	1	-1.07 (3)	2.83 (3)	1.05 (3)	-1766 (3)	2641 (2)	-3816 (2)
248	2	-1.05 (3)	2.97 (3)	0.77 (3)	-2197 (3)	3496 (2)	-3467 (2)
248	3	-1.00 (3)	3.05 (3)	0.51 (3)	-2526 (3)	4021 (2)	-2986 (2)
248	4	-0.94 (3)	3.10 (3)	0.30 (5-II-1)	-2766 (3)	4309 (2)	-2402 (2)
248	5	-0.89 (3)	2.90 (3)	0.98 (3)	-1405 (3)	2723 (2)	-3749 (2)
248	6	-0.88 (3)	3.10 (3)	0.72 (3)	-1807 (3)	3640 (2)	-3416 (2)
248	7	-0.83 (3)	3.23 (3)	0.48 (3)	-2119 (3)	4212 (2)	-2948 (2)
248	8	-0.79 (3)	3.32 (3)	0.28 (5-II-1)	-2350 (3)	4533 (2)	-2374 (2)
248	9	-0.72 (3)	2.99 (3)	0.89 (3)	-1048 (3)	2797 (2)	-3690 (2)
248	10	-0.71 (3)	3.24 (3)	0.65 (3)	-1404 (3)	3775 (2)	-3368 (2)
248	11	-0.67 (3)	3.42 (3)	0.43 (3)	-1686 (3)	4392 (2)	-2911 (2)
248	12	-0.64 (3)	3.54 (3)	0.25 (5-II-1)	-1897 (3)	4747 (2)	-2346 (2)
248	13	-0.56 (3)	3.08 (3)	0.77 (3)	720 (2)	2866 (2)	-3643 (2)
248	14	-0.54 (3)	3.40 (3)	0.56 (3)	-1012 (3)	3906 (2)	-3328 (2)
248	15	-0.52 (3)	3.63 (3)	0.37 (3)	-1252 (3)	4565 (2)	-2877 (2)
248	16	-0.50 (3)	3.78 (3)	0.21 (5-II-1)	-1431 (3)	4953 (2)	-2320 (2)
249	1	-0.91 (3)	3.13 (3)	0.22 (5-II-1)	-2920 (3)	4422 (2)	-1829 (2)
249	2	-0.89 (3)	3.14 (3)	0.19 (2)	-3012 (3)	4437 (2)	-1304 (2)
249	3	-0.88 (3)	3.12 (3)	-0.17 (3)	-3071 (3)	4399 (2)	-748 (2)
249	4	-0.85 (3)	3.07 (3)	-0.31 (3)	-3099 (3)	-4381 (3)	-169 (2)
249	5	-0.76 (3)	3.36 (3)	0.20 (5-II-1)	-2499 (3)	4668 (2)	-1808 (2)
249	6	-0.75 (3)	3.36 (3)	0.17 (2)	-2587 (3)	4699 (2)	-1288 (2)
249	7	-0.73 (3)	3.34 (3)	-0.16 (3)	-2643 (3)	4671 (2)	-735 (2)
249	8	-0.71 (3)	3.29 (3)	-0.28 (3)	-2667 (3)	-4615 (3)	-161 (2)
249	9	-0.62 (3)	3.59 (3)	0.17 (5-II-1)	-2032 (3)	4905 (2)	-1787 (2)
249	10	-0.61 (3)	3.60 (3)	0.15 (2)	-2113 (3)	4950 (2)	-1270 (2)
249	11	-0.60 (3)	3.58 (3)	-0.14 (3)	-2163 (3)	4933 (2)	-722 (2)
249	12	-0.59 (4)	3.52 (3)	-0.24 (3)	-2184 (3)	4875 (2)	-154 (2)
249	13	-0.48 (3)	3.84 (3)	0.15 (5-II-1)	-1546 (3)	5134 (2)	-1765 (2)
249	14	-0.48 (3)	3.86 (3)	0.12 (2)	-1617 (3)	5191 (2)	-1252 (2)
249	15	-0.47 (4)	3.83 (3)	-0.12 (3)	-1660 (3)	5185 (2)	-709 (2)
249	16	-0.48 (4)	3.76 (3)	-0.21 (3)	-1675 (3)	5134 (2)	-146 (2)
250	1	-0.92 (3)	2.22 (3)	-0.79 (3)	-1506 (3)	-1845 (3)	3915 (2)
250	2	-0.89 (3)	2.20 (3)	-0.85 (3)	-1224 (3)	-1106 (3)	3926 (2)
250	3	-0.85 (3)	2.17 (3)	-0.90 (3)	-923 (3)	327 (2)	3899 (2)
250	4	-0.79 (3)	2.14 (3)	-0.94 (3)	-605 (3)	784 (3)	3828 (2)
250	5	-0.78 (3)	2.18 (3)	-0.76 (3)	-1135 (3)	-1761 (3)	3835 (2)
250	6	-0.76 (3)	2.13 (3)	-0.82 (3)	-881 (3)	1015 (2)	3843 (2)
250	7	-0.73 (3)	2.08 (3)	-0.87 (3)	-613 (3)	309 (5-I-1)	3814 (2)
250	8	-0.69 (3)	2.03 (3)	-0.90 (3)	-330 (3)	986 (3)	3743 (2)
250	9	-0.65 (3)	2.14 (3)	-0.71 (3)	-787 (3)	-1676 (3)	3765 (2)
250	10	-0.64 (3)	2.06 (3)	-0.77 (3)	-567 (3)	991 (2)	3771 (2)
250	11	-0.62 (3)	1.98 (3)	-0.82 (3)	-336 (3)	394 (5-I-1)	3741 (2)
250	12	-0.59 (3)	1.90 (3)	-0.85 (3)	-131 (5-II-1)	1176 (3)	3672 (2)
250	13	-0.52 (3)	2.10 (3)	-0.63 (3)	483 (2)	1674 (2)	3708 (2)
250	14	-0.51 (3)	1.99 (3)	-0.69 (3)	335 (2)	968 (2)	3712 (2)
250	15	-0.50 (3)	1.87 (3)	-0.73 (3)	174 (2)	473 (5-I-1)	3684 (2)
250	16	-0.49 (3)	1.76 (3)	-0.77 (3)	85 (3)	1351 (3)	3619 (2)
251	1	-0.88 (3)	2.43 (3)	1.50 (3)	-604 (3)	629 (3)	-3926 (2)
251	2	-0.95 (3)	2.53 (3)	1.44 (3)	-885 (3)	408 (2)	-3983 (2)

**POTENZIAMENTO DELL'IMPIANTO DI DEPURAZIONE E
DEL RECAPITO FINALE DI SQUINZANO (LE)
PROGETTO DEFINITIVO
Tabulati di calcolo strutturale-Equalizzazione**

R.37.7

Maggio 2021

Pagina 119 di
338

Muro	Pann.	Sxx	Syy	Sxy	Mxx	Myy	Mxy
251	3	-1.00(3)	2.62(3)	1.35(3)	-1150(3)	1156(2)	-3996(2)
251	4	-1.04(3)	2.71(3)	1.25(3)	-1398(3)	1792(2)	-3972(2)
251	5	-0.76(3)	2.37(3)	1.41(3)	-352(3)	809(3)	-3839(2)
251	6	-0.81(3)	2.49(3)	1.35(3)	-603(3)	390(5-I-1)	-3897(2)
251	7	-0.84(3)	2.62(3)	1.26(3)	-842(3)	1143(2)	-3913(2)
251	8	-0.87(3)	2.73(3)	1.17(3)	-1067(3)	1818(2)	-3894(2)
251	9	-0.64(3)	2.29(3)	1.28(3)	-149(5-II-1)	980(3)	-3766(2)
251	10	-0.66(3)	2.45(3)	1.22(3)	-347(3)	472(5-I-1)	-3824(2)
251	11	-0.69(3)	2.61(3)	1.15(3)	-555(3)	1128(2)	-3842(2)
251	12	-0.71(3)	2.76(3)	1.06(3)	-751(3)	1838(2)	-3827(2)
251	13	-0.51(3)	2.21(3)	1.13(3)	-64(5-II-1)	1137(3)	-3712(2)
251	14	-0.53(3)	2.42(3)	1.07(3)	201(2)	549(5-I-1)	-3768(2)
251	15	-0.54(3)	2.61(3)	1.00(3)	365(2)	1113(2)	-3786(2)
251	16	-0.55(3)	2.80(3)	0.92(3)	513(2)	1855(2)	-3774(2)
252	1	-0.89(2)	1.83(3)	0.96(3)	-1387(2)	10528(3)	-1878(2)
252	2	-0.62(2)	1.98(3)	1.27(3)	-909(2)	7102(3)	-2953(2)
252	3	-0.55(3)	2.14(3)	1.47(3)	-446(2)	4291(3)	-3410(2)
252	4	-0.75(3)	2.30(3)	1.53(3)	-260(4)	2055(3)	-3756(2)
252	5	-0.83(2)	1.69(3)	0.90(3)	-1491(2)	-10570(2)	-1867(2)
252	6	-0.53(2)	1.85(3)	1.19(3)	-1016(2)	7279(3)	-2920(2)
252	7	-0.53(3)	2.01(3)	1.38(3)	-553(2)	4522(3)	-3344(2)
252	8	-0.67(3)	2.20(3)	1.44(3)	-168(4)	2272(3)	-3673(2)
252	9	-0.77(2)	-1.60(2)	0.83(3)	-1580(2)	-10937(2)	-1846(2)
252	10	-0.42(2)	1.69(3)	1.11(3)	-1095(2)	-7479(2)	-2882(2)
252	11	-0.50(3)	1.85(3)	1.29(3)	-623(2)	4734(3)	-3286(2)
252	12	-0.58(3)	2.08(3)	1.33(3)	-199(2)	2474(3)	-3604(2)
252	13	-0.68(2)	-1.54(2)	0.75(3)	-1626(2)	-11324(2)	-1803(2)
252	14	-0.43(3)	1.46(3)	1.05(3)	-1118(2)	-7762(2)	-2830(2)
252	15	-0.46(3)	1.64(3)	1.18(3)	630(3)	4930(3)	-3236(2)
252	16	-0.49(3)	1.94(3)	1.18(3)	289(3)	2661(3)	-3553(2)
253	1	-0.66(3)	2.11(3)	-0.93(3)	-255(4)	2439(3)	3637(2)
253	2	-0.46(2)	2.06(3)	-0.83(3)	-471(2)	4994(3)	3265(2)
253	3	-0.58(2)	2.00(3)	-0.62(3)	995(3)	8157(3)	2775(2)
253	4	-0.82(2)	1.94(3)	-0.33(3)	1555(3)	11943(3)	1716(2)
253	5	-0.60(3)	1.97(3)	-0.90(3)	-149(4)	2677(3)	3559(2)
253	6	-0.43(3)	1.91(3)	-0.81(3)	583(3)	5244(3)	3206(2)
253	7	-0.51(2)	1.86(3)	-0.59(3)	1108(3)	8351(3)	2749(2)
253	8	-0.78(2)	1.80(3)	-0.31(3)	1624(3)	11976(3)	1708(2)
253	9	-0.53(3)	1.81(3)	-0.86(3)	245(3)	2900(3)	3493(2)
253	10	-0.43(3)	1.73(3)	-0.78(3)	698(3)	5475(3)	3153(2)
253	11	-0.41(2)	1.69(3)	-0.57(3)	1186(3)	8522(3)	2718(2)
253	12	-0.73(2)	1.66(3)	-0.29(3)	1672(3)	12002(3)	1691(2)
253	13	-0.46(3)	1.61(3)	-0.79(3)	360(3)	3106(3)	3445(2)
253	14	-0.41(3)	1.49(3)	-0.75(3)	741(3)	5691(3)	3109(2)
253	15	-0.31(2)	1.46(3)	-0.57(3)	1204(3)	8685(3)	2674(2)
253	16	-0.66(2)	-1.58(2)	-0.27(3)	1674(3)	12044(3)	1654(2)
254	1	1.94(3)	-1.14(4)	0.11(4)	-492(5-II-1)	-7206(3)	630(3)
254	2	2.06(3)	-1.11(4)	0.14(4)	667(5-I-1)	-6572(3)	800(3)
254	3	2.17(3)	-1.10(4)	0.19(4)	1131(3)	-5903(3)	1029(3)
254	4	2.26(3)	-1.09(4)	0.25(4)	1735(3)	-5243(3)	1355(3)
254	5	1.87(3)	-0.79(4)	0.15(3)	-1292(3)	-6437(3)	1095(3)
254	6	1.99(3)	-0.68(4)	0.16(4)	-1275(3)	-5632(3)	1347(3)
254	7	2.10(3)	-0.56(4)	0.17(4)	-1292(3)	-4736(3)	1636(3)
254	8	2.21(3)	-0.43(4)	0.16(4)	-1373(3)	-3754(3)	1957(3)
254	9	1.89(3)	-0.70(2)	0.12(3)	-2548(3)	-5762(3)	516(5-I-1)
254	10	2.02(3)	-0.58(2)	0.11(3)	-2707(3)	-4904(3)	557(3)
254	11	2.16(3)	-0.47(2)	0.10(3)	-2893(3)	-3984(3)	654(3)
254	12	2.31(3)	-0.37(2)	0.08(3)	-3109(3)	-3041(3)	736(3)
254	13	1.95(3)	-0.73(4)	-0.24(2)	-2838(3)	-5560(3)	558(2)
254	14	2.08(3)	-0.61(4)	-0.22(2)	-2976(3)	-4734(3)	595(2)
254	15	2.21(3)	-0.50(4)	-0.20(2)	-3134(3)	-3857(3)	640(2)
254	16	2.36(3)	-0.39(4)	-0.17(2)	-3316(3)	-2959(3)	689(2)
255	1	2.00(3)	-0.87(4)	-0.35(2)	-2482(3)	-5590(3)	1094(2)
255	2	2.11(3)	-0.74(4)	-0.34(2)	-2516(3)	-4796(3)	1207(2)
255	3	2.23(3)	-0.61(4)	-0.31(2)	-2571(3)	-3941(3)	1348(2)
255	4	2.35(3)	-0.47(4)	-0.27(2)	-2662(3)	-3048(3)	1513(2)
255	5	2.05(3)	-1.00(4)	-0.40(2)	-2093(3)	-5675(3)	1172(2)
255	6	2.16(3)	-0.89(4)	-0.40(2)	-2014(3)	-4935(3)	1298(2)
255	7	2.26(3)	-0.76(4)	-0.39(2)	-4137(3)	-4139(3)	1480(2)
255	8	2.35(3)	-0.61(4)	-0.37(2)	-1891(3)	-3291(3)	1731(2)
255	9	2.12(3)	-1.17(4)	-0.41(2)	-1684(3)	-5728(3)	1124(2)
255	10	2.22(3)	-1.10(4)	-0.42(2)	-1462(3)	-5069(3)	1215(2)
255	11	2.32(3)	-1.02(4)	-0.43(2)	-1195(3)	-4382(3)	1377(2)
255	12	2.40(3)	-0.93(4)	-0.45(2)	-891(3)	-3678(3)	1656(2)

Muro	Pann.	Sxx	Syy	Sxy	Mxx	Myy	Mxy
255	13	2.18(3)	-1.31(4)	-0.36(2)	-1366(3)	-5670(3)	924(2)
255	14	2.29(3)	-1.29(4)	-0.35(2)	-1030(3)	-5085(3)	917(2)
255	15	2.40(3)	-1.31(4)	-0.34(2)	-626(5-II-1)	-4513(3)	948(2)
255	16	2.51(3)	-1.37(4)	-0.35(2)	-535(5-II-1)	4064(2)	1052(2)
256	1	2.21(3)	-1.32(4)	-0.27(2)	-1227(3)	-5425(3)	-692(5-II-1)
256	2	2.31(3)	-1.30(4)	-0.22(2)	-864(3)	-4862(3)	745(5-I-1)
256	3	2.41(3)	-1.31(4)	-0.16(2)	-551(5-II-1)	-4319(3)	805(5-I-1)
256	4	2.51(3)	-1.37(4)	-0.08(2)	493(5-I-1)	3952(2)	870(5-I-1)
256	5	2.19(3)	-1.20(4)	-0.21(2)	-1251(3)	-4986(3)	843(5-I-1)
256	6	2.27(3)	-1.12(4)	-0.14(2)	-946(3)	-4396(3)	934(5-I-1)
256	7	2.33(3)	-1.04(4)	-0.07(1)	-595(3)	-3798(3)	1031(5-I-1)
256	8	2.39(3)	-0.94(4)	0.14(4)	-466(5-II-1)	3257(2)	1136(5-I-1)
256	9	2.17(3)	-1.04(4)	-0.20(2)	-1324(3)	-4418(3)	968(5-I-1)
256	10	2.23(3)	-0.92(4)	-0.14(2)	-1104(3)	-3797(3)	1069(5-I-1)
256	11	2.27(3)	-0.79(4)	-0.11(1)	-886(3)	-3153(3)	1168(5-I-1)
256	12	2.32(3)	-0.63(4)	-0.07(1)	-698(3)	-2487(3)	1265(5-I-1)
256	13	2.16(3)	-0.91(4)	-0.22(2)	-1297(3)	-3795(3)	1057(5-I-1)
256	14	2.20(3)	-0.78(4)	-0.18(6-II-1)	-1135(3)	-3177(3)	1155(5-I-1)
256	15	2.25(3)	-0.64(4)	-0.16(6-II-1)	-992(3)	-2543(3)	1244(5-I-1)
256	16	2.30(3)	-0.49(4)	-0.14(6-II-1)	-886(3)	-1911(3)	1320(5-I-1)
257	1	2.16(3)	-0.81(4)	-0.27(3)	-1024(3)	-3117(3)	1132(5-I-1)
257	2	2.19(3)	-0.68(4)	-0.26(3)	-876(3)	-2541(3)	1223(5-I-1)
257	3	2.22(3)	-0.55(4)	-0.24(3)	-751(3)	-1968(3)	1299(5-I-1)
257	4	2.27(3)	-0.43(4)	-0.22(3)	710(2)	-1421(3)	1359(5-I-1)
257	5	2.14(3)	-0.71(4)	-0.36(3)	-363(3)	-2391(3)	1207(5-I-1)
257	6	2.16(3)	-0.60(4)	-0.34(3)	-245(6-II-1)	-1891(3)	1290(5-I-1)
257	7	2.18(3)	-0.49(4)	-0.32(3)	199(6-I-1)	-1410(3)	1355(5-I-1)
257	8	2.21(3)	-0.38(4)	-0.29(4)	268(6-I-1)	-970(3)	1401(5-I-1)
257	9	2.10(3)	-0.62(4)	-0.42(3)	751(3)	-1662(3)	1284(5-I-1)
257	10	2.10(3)	-0.53(4)	-0.39(3)	950(3)	-1257(3)	1360(5-I-1)
257	11	2.11(3)	-0.44(4)	-0.35(4)	1128(3)	-884(3)	1416(5-I-1)
257	12	2.12(3)	-0.35(4)	-0.32(4)	1279(3)	-560(3)	1505(3)
257	13	2.03(3)	-0.55(2)	-0.43(3)	2382(3)	-924(3)	1354(5-I-1)
257	14	2.01(3)	-0.50(2)	-0.38(3)	2604(3)	-631(3)	1498(3)
257	15	2.01(3)	-0.43(2)	-0.34(4)	2804(3)	-378(3)	1640(3)
257	16	-2.02(2)	-0.36(2)	-0.31(4)	2977(3)	-187(5-I-1)	1722(3)
258	1	1.94(3)	-0.54(2)	-0.39(3)	4275(3)	-302(5-I-1)	1611(3)
258	2	1.91(3)	-0.50(2)	-0.32(3)	4488(3)	-238(5-I-1)	1779(3)
258	3	1.90(3)	-0.44(2)	-0.29(4)	4675(3)	-182(5-I-1)	1893(3)
258	4	-2.01(2)	-0.37(2)	-0.27(4)	4837(3)	-169(2)	1946(3)
258	5	1.84(3)	-0.53(2)	-0.31(3)	6306(3)	-329(2)	1854(3)
258	6	1.79(3)	-0.49(2)	-0.24(3)	6468(3)	-415(2)	1991(3)
258	7	-1.80(2)	-0.44(2)	-0.22(4)	6599(3)	-457(2)	2079(3)
258	8	-1.98(2)	-0.37(2)	-0.20(4)	6704(3)	-440(2)	2113(3)
258	9	1.74(3)	-0.47(2)	-0.18(3)	8751(3)	812(3)	2006(3)
258	10	1.66(3)	-0.43(2)	-0.11(4)	8812(3)	832(3)	2100(3)
258	11	-1.69(2)	-0.39(2)	-0.11(4)	8832(3)	-793(2)	2157(3)
258	12	-1.89(2)	-0.33(2)	-0.17(2)	8812(3)	-714(2)	2169(3)
258	13	1.66(3)	-0.35(2)	0.06(3)	11662(3)	1298(3)	1332(3)
258	14	1.57(3)	-0.32(1)	0.09(3)	11562(3)	1268(3)	1368(3)
258	15	-1.58(2)	-0.28(1)	0.13(3)	11407(3)	1186(3)	1385(3)
258	16	-1.77(2)	-0.24(1)	0.18(3)	-11352(2)	-1066(2)	1383(3)
259	1	-1.31(4)	2.06(3)	0.33(2)	-6435(3)	-1083(3)	-772(2)
259	2	-1.10(4)	1.93(3)	0.38(2)	-6325(3)	-1459(3)	1066(3)
259	3	-0.90(4)	1.80(3)	0.34(2)	-6095(3)	-1999(3)	1091(3)
259	4	-0.77(4)	1.70(3)	-0.28(3)	-5903(3)	-2443(3)	807(3)
259	5	-1.29(4)	2.19(3)	0.33(2)	-5828(3)	-720(3)	-813(2)
259	6	-1.02(4)	2.04(3)	0.39(2)	-5608(3)	-1254(3)	1201(3)
259	7	-0.78(4)	1.91(3)	0.33(2)	-5283(3)	-1984(3)	1229(3)
259	8	-0.65(4)	1.82(3)	0.24(2)	-5049(3)	-2547(3)	-905(2)
259	9	-1.31(4)	2.32(3)	0.33(2)	-5226(3)	-491(5-I-1)	-900(2)
259	10	-0.92(4)	2.15(3)	0.40(2)	-4834(3)	-1015(3)	-1431(2)
259	11	-0.65(4)	2.03(3)	0.32(2)	-4393(3)	-1992(3)	-1433(2)
259	12	-0.53(4)	1.94(3)	0.22(2)	-4130(3)	-2679(3)	-1019(2)
259	13	-1.35(4)	2.45(3)	0.34(2)	-4672(3)	-429(2)	-1080(2)
259	14	-0.79(4)	2.25(3)	0.41(2)	-4002(3)	-768(3)	-1783(2)
259	15	-0.50(4)	2.14(3)	0.28(2)	-3440(3)	-2048(3)	-1676(2)
259	16	-0.41(4)	2.08(3)	0.18(2)	-3176(3)	-2846(3)	-1136(2)
260	1	-0.72(2)	1.63(3)	-0.31(3)	-5818(3)	-2635(3)	510(5-I-1)
260	2	-0.71(2)	1.57(3)	-0.33(3)	-5815(3)	-2643(3)	409(5-I-1)
260	3	-0.71(2)	1.52(3)	-0.35(3)	-5863(3)	-2523(3)	-441(5-II-1)
260	4	-0.72(2)	1.47(3)	-0.36(3)	-5967(3)	-2276(3)	-554(3)
260	5	-0.61(2)	1.75(3)	-0.28(3)	-4953(3)	-2787(3)	513(5-I-1)
260	6	-0.59(2)	1.69(3)	-0.30(3)	-4947(3)	-2809(3)	405(5-I-1)

**POTENZIAMENTO DELL'IMPIANTO DI DEPURAZIONE E
DEL RECAPITO FINALE DI SQUINZANO (LE)
PROGETTO DEFINITIVO
Tabulati di calcolo strutturale-Equalizzazione**

R.37.7

Maggio 2021

Pagina 121 di
338

Muro	Pann.	Sxx	Syy	Sxy	Mxx	Myy	Mxy
260	7	-0.59(2)	1.64(3)	-0.31(3)	-4993(3)	-2686(3)	-461(5-II-1)
260	8	-0.60(2)	1.58(3)	-0.32(3)	-5095(3)	-2418(3)	-657(3)
260	9	-0.49(2)	1.88(3)	-0.24(3)	-4031(3)	-2964(3)	-549(2)
260	10	-0.48(2)	1.82(3)	-0.26(3)	-4024(3)	-2998(3)	-408(5-II-1)
260	11	-0.48(2)	1.76(3)	-0.27(3)	-4065(3)	-2874(3)	-479(5-II-1)
260	12	-0.49(2)	1.69(3)	-0.28(3)	-4158(3)	-2588(3)	-760(3)
260	13	-0.38(2)	2.01(3)	-0.20(3)	-3086(3)	-3170(3)	-594(2)
260	14	-0.37(2)	1.95(3)	-0.22(3)	-3079(3)	-3215(3)	-415(5-II-1)
260	15	-0.37(2)	1.88(3)	-0.23(3)	-3113(3)	-3090(3)	-495(5-II-1)
260	16	-0.38(2)	1.81(3)	-0.23(3)	-3190(3)	-2793(3)	-855(3)
261	1	-0.78(3)	2.31(3)	0.35(3)	-2477(3)	-1117(3)	-1066(5-II-1)
261	2	-0.88(3)	2.28(3)	0.24(2)	-3714(3)	-2082(3)	-981(5-II-1)
261	3	-0.99(4)	2.21(3)	0.18(2)	-4973(3)	-1836(3)	-902(5-II-1)
261	4	-1.29(4)	2.16(3)	-0.27(3)	-6019(3)	-1141(3)	-687(5-II-1)
261	5	-0.64(3)	2.35(3)	0.34(3)	-1946(3)	-994(3)	-1140(5-II-1)
261	6	-0.73(3)	2.35(3)	0.22(2)	-3045(3)	-2025(3)	-1063(5-II-1)
261	7	-0.85(4)	2.30(3)	0.13(2)	-4274(3)	-1698(3)	-998(5-II-1)
261	8	-1.25(4)	2.28(3)	-0.25(3)	-5399(3)	-781(3)	-753(5-II-1)
261	9	-0.52(3)	2.39(3)	0.32(4)	-1443(3)	988(2)	-1197(5-II-1)
261	10	-0.58(3)	2.43(3)	0.19(2)	-2372(3)	-1988(3)	-1132(5-II-1)
261	11	-0.70(4)	2.39(3)	-0.12(3)	-3540(3)	-1577(3)	-1152(3)
261	12	-1.22(4)	2.39(3)	-0.25(3)	-4775(3)	-471(5-I-1)	-823(5-II-1)
261	13	-0.40(3)	2.45(3)	0.30(4)	-989(3)	1001(2)	-1235(5-II-1)
261	14	-0.45(3)	2.53(3)	0.17(2)	-1722(3)	-1979(3)	-1211(3)
261	15	-0.53(4)	2.49(3)	-0.11(3)	-2774(3)	-1502(3)	-1513(3)
261	16	-1.21(4)	2.50(3)	-0.26(3)	-4183(3)	-361(5-I-1)	-902(5-II-1)
262	1	-0.42(2)	1.76(3)	0.08(3)	1258(3)	11518(3)	-1618(3)
262	2	-0.53(2)	1.94(3)	0.39(3)	410(3)	6848(3)	-1787(3)
262	3	-0.54(2)	2.13(3)	0.50(3)	-499(3)	3346(3)	-1278(3)
262	4	-0.60(4)	2.25(3)	0.49(3)	-1399(3)	831(3)	-1180(5-II-1)
262	5	-0.35(2)	1.68(3)	0.04(4)	1252(3)	11521(3)	-1658(3)
262	6	-0.49(2)	1.90(3)	0.30(3)	510(3)	7030(3)	-1905(3)
262	7	-0.49(2)	2.11(3)	0.43(3)	-257(3)	3582(3)	-1445(3)
262	8	-0.51(4)	2.26(3)	0.45(3)	-1016(3)	1035(3)	-1247(5-II-1)
262	9	-0.29(2)	1.65(3)	0.06(2)	1194(3)	11477(3)	-1672(3)
262	10	-0.43(2)	1.90(3)	0.24(4)	550(3)	7179(3)	-1978(3)
262	11	-0.43(2)	2.12(3)	0.36(3)	-175(5-II-1)	3796(3)	-1558(3)
262	12	-0.42(4)	2.27(3)	0.40(3)	-673(3)	1221(3)	-1293(5-II-1)
262	13	-0.25(1)	-1.83(2)	0.12(2)	1064(3)	11377(3)	-1655(3)
262	14	-0.36(2)	-1.98(2)	0.21(4)	515(3)	7301(3)	-1999(3)
262	15	-0.36(2)	2.13(3)	0.31(4)	-108(5-II-1)	3987(3)	-1611(3)
262	16	-0.34(2)	2.30(3)	0.34(3)	-387(3)	1384(3)	-1318(5-II-1)
263	1	-0.75(2)	1.41(3)	-0.37(3)	-6195(3)	-1782(3)	-888(3)
263	2	-0.84(4)	1.36(3)	-0.38(3)	-6591(3)	-986(3)	-1090(3)
263	3	-1.02(4)	1.34(3)	-0.36(3)	-7053(3)	-583(5-I-1)	-912(3)
263	4	-1.20(4)	1.33(3)	-0.27(3)	-7402(3)	536(5-II-1)	-406(3)
263	5	-0.63(2)	1.51(3)	-0.34(3)	-5330(3)	-1863(3)	-1058(3)
263	6	-0.73(4)	1.44(3)	-0.36(3)	-5772(3)	-917(3)	-1337(3)
263	7	-0.95(4)	1.41(3)	-0.36(3)	-6351(3)	-553(5-I-1)	-1159(3)
263	8	-1.21(4)	1.42(3)	-0.26(3)	-6831(3)	852(3)	-515(3)
263	9	-0.51(2)	1.60(3)	-0.30(3)	-4384(3)	-1978(3)	-1235(3)
263	10	-0.61(4)	1.51(3)	-0.34(3)	-4852(3)	-880(3)	-1625(3)
263	11	-0.87(4)	1.48(3)	-0.37(4)	-5568(3)	645(5-II-1)	-1492(3)
263	12	-1.23(4)	1.49(3)	-0.26(3)	-6257(3)	1459(3)	-675(3)
263	13	-0.40(2)	1.71(3)	-0.25(3)	-3388(3)	-2139(3)	-1407(3)
263	14	-0.48(4)	1.59(3)	-0.30(3)	-3838(3)	-906(3)	-1940(3)
263	15	-0.76(4)	1.52(3)	-0.41(4)	-4692(3)	-867(2)	-1945(3)
263	16	-1.29(4)	1.56(3)	-0.29(4)	-5727(3)	2270(3)	-932(3)
264	1	-1.24(4)	1.34(3)	-0.27(2)	-5379(3)	-1057(3)	717(5-II-1)
264	2	-1.12(4)	-1.44(2)	-0.20(2)	-4948(3)	-1087(3)	865(5-II-1)
264	3	-0.96(4)	-1.54(2)	-0.18(2)	-4389(3)	-1175(3)	980(5-II-1)
264	4	-0.83(4)	-1.61(2)	-0.20(2)	-3776(3)	-1174(3)	1061(5-II-1)
264	5	-1.24(4)	-1.41(2)	-0.22(2)	-4830(3)	702(2)	773(5-II-1)
264	6	-1.06(4)	-1.53(2)	0.14(3)	-4371(3)	-788(3)	949(5-II-1)
264	7	-0.86(4)	-1.64(2)	0.14(3)	-3780(3)	-962(3)	1073(5-II-1)
264	8	-0.72(4)	-1.72(2)	-0.16(2)	-3167(3)	-1020(3)	1152(5-II-1)
264	9	-1.27(4)	-1.49(2)	-0.15(2)	-4298(3)	-459(5-I-1)	829(5-II-1)
264	10	-1.00(4)	-1.64(2)	0.16(3)	-3782(3)	493(2)	1037(5-II-1)
264	11	-0.74(4)	-1.76(2)	0.13(3)	-3144(3)	-751(3)	1164(5-II-1)
264	12	-0.60(4)	-1.83(2)	-0.13(2)	-2541(3)	-885(3)	1234(5-II-1)
264	13	-1.35(4)	-1.57(2)	0.10(3)	3948(2)	551(5-II-1)	887(5-II-1)
264	14	-0.91(4)	-1.77(2)	0.19(4)	3251(2)	-385(5-I-1)	1132(5-II-1)
264	15	-0.60(4)	-1.89(2)	0.13(3)	-2484(3)	621(2)	1263(3)
264	16	-0.46(4)	-1.94(2)	-0.10(2)	-1913(3)	826(2)	1307(3)

**POTENZIAMENTO DELL'IMPIANTO DI DEPURAZIONE E
DEL RECAPITO FINALE DI SQUINZANO (LE)
PROGETTO DEFINITIVO
Tabulati di calcolo strutturale-Equalizzazione**

R.37.7

Maggio 2021

Pagina 122 di
338

Muro	Pann.	Sxx	Syy	Sxy	Mxx	Myy	Mxy
265	1	-0.83(4)	-1.28(2)	-0.36(2)	-5530(3)	-2350(3)	1104(2)
265	2	-0.95(4)	-1.29(2)	-0.41(2)	-5616(3)	-1945(3)	1181(2)
265	3	-1.11(4)	-1.29(2)	-0.41(2)	-5672(3)	-1523(3)	1131(2)
265	4	-1.24(4)	1.30(3)	-0.36(2)	-5618(3)	-1198(3)	930(2)
265	5	-0.71(4)	-1.34(2)	-0.35(2)	-4748(3)	-2382(3)	1216(2)
265	6	-0.85(4)	-1.37(2)	-0.40(2)	-4890(3)	-1864(3)	1306(2)
265	7	-1.06(4)	-1.36(2)	-0.42(2)	-5027(3)	-1302(3)	1222(2)
265	8	-1.24(4)	-1.36(2)	-0.35(2)	-5047(3)	-864(3)	922(2)
265	9	-0.59(4)	-1.41(2)	-0.32(2)	-3905(3)	-2434(3)	1357(2)
265	10	-0.74(4)	-1.45(2)	-0.40(2)	-4105(3)	-1787(3)	1487(2)
265	11	-0.99(4)	-1.45(2)	-0.43(2)	-4351(3)	-1035(3)	1383(2)
265	12	-1.27(4)	-1.42(2)	-0.34(2)	-4487(3)	-534(5-II-1)	952(2)
265	13	-0.46(4)	-1.46(2)	-0.28(2)	-3022(3)	-2523(3)	1521(2)
265	14	-0.60(4)	-1.54(2)	-0.37(2)	-3267(3)	-1739(3)	1738(2)
265	15	-0.91(4)	-1.56(2)	-0.45(2)	-3657(3)	737(2)	1662(2)
265	16	-1.34(4)	-1.50(2)	-0.35(2)	4061(2)	516(5-II-1)	1056(2)
266	1	-0.73(4)	-1.67(2)	-0.22(2)	-3108(3)	-942(3)	1129(5-II-1)
266	2	-0.64(4)	-1.71(2)	-0.22(2)	-2393(3)	-343(3)	1197(5-II-1)
266	3	-0.57(2)	-1.73(2)	-0.20(2)	-1673(3)	-793(2)	1268(5-II-1)
266	4	-0.55(2)	-1.73(2)	-0.15(2)	-941(3)	-2246(2)	1334(5-II-1)
266	5	-0.62(4)	-1.77(2)	-0.19(2)	-2540(3)	-805(3)	1214(5-II-1)
266	6	-0.55(4)	-1.81(2)	-0.21(2)	-1897(3)	-290(6-II-1)	1277(5-II-1)
266	7	-0.50(2)	-1.83(2)	-0.19(2)	-1269(3)	-909(2)	1342(5-II-1)
266	8	-0.50(2)	-1.82(2)	-0.16(2)	-646(3)	2446(3)	1440(3)
266	9	-0.51(4)	-1.88(2)	-0.17(2)	-1972(3)	-688(3)	1286(5-II-1)
266	10	-0.45(4)	-1.91(2)	-0.19(2)	-1419(3)	-243(6-II-1)	1339(5-II-1)
266	11	-0.43(2)	-1.94(2)	-0.19(2)	-896(3)	1055(3)	1397(5-II-1)
266	12	-0.43(2)	-1.94(2)	-0.17(2)	-390(3)	2643(3)	1588(3)
266	13	-0.40(4)	-1.97(2)	-0.15(2)	-1428(3)	659(2)	1341(5-II-1)
266	14	-0.36(4)	-2.02(2)	-0.17(2)	-980(3)	282(6-I-1)	1383(5-II-1)
266	15	-0.35(2)	-2.05(2)	-0.18(2)	-571(3)	1201(3)	1465(3)
266	16	-0.36(2)	-2.07(2)	-0.18(2)	-187(3)	2814(3)	1676(3)
267	1	-0.55(2)	-1.69(2)	0.20(3)	-309(5-II-1)	4025(3)	1545(3)
267	2	-0.54(2)	-1.64(2)	0.29(3)	-356(2)	5968(3)	1794(3)
267	3	-0.49(2)	-1.58(2)	0.43(3)	796(3)	8321(3)	1962(3)
267	4	-0.38(2)	1.57(3)	0.64(3)	1306(3)	11125(3)	-1162(2)
267	5	-0.50(2)	-1.79(2)	0.21(3)	-241(5-II-1)	4240(3)	1719(3)
267	6	-0.50(2)	-1.72(2)	0.32(3)	-439(2)	6141(3)	1939(3)
267	7	-0.45(2)	-1.63(2)	0.45(3)	-827(2)	8406(3)	2065(3)
267	8	-0.27(2)	-1.54(2)	0.63(3)	1291(3)	-11072(2)	-1166(2)
267	9	-0.45(2)	-1.91(2)	0.22(3)	-183(5-II-1)	4431(3)	1840(3)
267	10	-0.45(2)	-1.84(2)	0.34(3)	-478(2)	-6313(2)	2036(3)
267	11	-0.40(2)	-1.74(2)	0.48(3)	-815(2)	-8626(2)	2131(3)
267	12	-0.19(2)	-1.63(2)	0.63(3)	1224(3)	-11352(2)	1202(3)
267	13	-0.37(2)	-2.06(2)	0.22(3)	-184(2)	4597(3)	1901(3)
267	14	-0.38(2)	-2.02(2)	0.36(3)	-457(2)	-6513(2)	2078(3)
267	15	-0.34(2)	-1.93(2)	0.53(3)	-732(2)	-8840(2)	2152(3)
267	16	-0.14(2)	-1.81(2)	0.63(3)	-1088(2)	-11577(2)	1225(3)
268	1	-1.14(4)	1.25(3)	-0.08(3)	-7183(3)	-499(5-I-1)	576(3)
268	2	-0.79(4)	1.12(3)	0.06(4)	-6400(3)	-1272(3)	1056(3)
268	3	-0.69(2)	-1.16(2)	-0.12(2)	-5713(3)	-2491(3)	505(5-II-1)
268	4	-0.72(2)	-1.23(2)	-0.26(2)	-5503(3)	-2737(3)	568(2)
268	5	-1.12(4)	1.32(3)	0.07(2)	-6551(3)	664(5-II-1)	748(3)
268	6	-0.68(4)	1.18(3)	0.08(4)	-5600(3)	-1250(3)	1309(3)
268	7	-0.58(2)	-1.19(2)	-0.11(2)	-4862(3)	-2646(3)	539(5-II-1)
268	8	-0.60(2)	-1.27(2)	-0.24(2)	-4687(3)	-2871(3)	604(2)
268	9	-1.10(4)	1.38(3)	0.12(4)	-5885(3)	1130(3)	979(3)
268	10	-0.56(4)	1.24(3)	0.10(4)	-4709(3)	-1264(3)	1599(3)
268	11	-0.47(2)	1.22(3)	-0.09(2)	-3951(3)	-2828(3)	635(3)
268	12	-0.49(2)	-1.30(2)	-0.21(2)	-3820(3)	-3026(3)	649(2)
268	13	-1.09(4)	1.43(3)	0.18(4)	-5229(3)	1737(3)	1307(3)
268	14	-0.43(4)	1.29(3)	0.10(4)	-3733(3)	-1342(3)	1921(3)
268	15	-0.37(2)	1.30(3)	-0.08(2)	-3015(3)	-3040(3)	716(3)
268	16	-0.38(2)	-1.33(2)	-0.17(2)	-2931(3)	-3205(3)	698(2)
269	1	-1.48(4)	-1.67(2)	0.17(4)	4053(2)	1097(3)	951(5-II-1)
269	2	-0.78(4)	-1.93(2)	0.29(4)	2941(2)	507(5-II-1)	1417(3)
269	3	-0.44(4)	-2.01(2)	0.11(3)	1972(2)	574(2)	1586(3)
269	4	-0.34(4)	-2.02(2)	-0.09(2)	1389(2)	854(2)	1521(3)
269	5	-1.69(4)	-1.81(2)	0.34(4)	4453(2)	2062(3)	1022(5-II-1)
269	6	-0.56(4)	-2.11(2)	0.36(4)	2437(2)	605(5-II-1)	1922(3)
269	7	-0.29(4)	-2.09(2)	0.07(3)	1357(2)	619(2)	1818(3)
269	8	-0.22(4)	-2.08(2)	-0.08(2)	919(2)	929(2)	1644(3)
269	9	-1.96(4)	-2.11(2)	0.64(4)	5336(2)	3263(3)	-2197(2)
269	10	-0.25(4)	-2.26(2)	0.30(4)	1329(2)	654(5-II-1)	2250(3)

**POTENZIAMENTO DELL'IMPIANTO DI DEPURAZIONE E
DEL RECAPITO FINALE DI SQUINZANO (LE)
PROGETTO DEFINITIVO
Tabulati di calcolo strutturale-Equalizzazione**

R.37.7

Maggio 2021

Pagina 123 di
338

Muro	Pann.	Sxx	Syy	Sxy	Mxx	Myy	Mxy
269	11	-0.14 (4)	-2.09 (2)	-0.03 (2)	654 (2)	702 (2)	1810 (3)
269	12	-0.13 (3)	-2.12 (2)	-0.06 (2)	452 (2)	1027 (2)	1578 (3)
269	13	-2.14 (4)	-2.85 (2)	1.11 (4)	5764 (2)	3666 (3)	-3673 (2)
269	14	-0.03 (1)	-2.05 (2)	-0.03 (2)	-202 (2)	755 (3)	1248 (3)
269	15	-0.02 (1)	-2.06 (2)	-0.01 (2)	205 (2)	719 (2)	1111 (3)
269	16	-0.04 (2)	-2.13 (2)	-0.02 (2)	70 (2)	1040 (2)	875 (3)
270	1	-0.33 (4)	-1.49 (2)	-0.22 (2)	-2170 (3)	-2654 (3)	1675 (2)
270	2	-0.44 (4)	-1.62 (2)	-0.33 (2)	-2421 (3)	-1756 (3)	2028 (2)
270	3	-0.77 (4)	-1.69 (2)	-0.50 (4)	3204 (2)	-599 (5-I-1)	2091 (2)
270	4	-1.48 (4)	-1.59 (2)	-0.38 (2)	4141 (2)	857 (3)	1295 (2)
270	5	-0.22 (4)	-1.49 (2)	-0.15 (2)	-1379 (3)	-2824 (3)	1771 (2)
270	6	-0.29 (4)	-1.66 (2)	-0.24 (2)	1654 (2)	-1848 (3)	2270 (2)
270	7	-0.56 (4)	-1.85 (2)	-0.52 (4)	2614 (2)	-573 (5-I-1)	2678 (2)
270	8	-1.69 (4)	-1.72 (2)	-0.50 (4)	4511 (2)	1805 (3)	1842 (2)
270	9	-0.11 (1)	-1.46 (2)	-0.08 (2)	669 (2)	-3007 (3)	1703 (2)
270	10	-0.13 (4)	-1.62 (2)	-0.12 (2)	792 (2)	-1967 (3)	2251 (2)
270	11	-0.26 (4)	-1.97 (2)	-0.40 (4)	1419 (2)	-570 (5-I-1)	3097 (2)
270	12	-1.96 (4)	-2.02 (2)	-0.74 (4)	5360 (2)	3005 (3)	3134 (2)
270	13	-0.03 (1)	1.57 (3)	-0.03 (2)	-105 (3)	-3010 (3)	990 (2)
270	14	0.03 (4)	-1.54 (2)	-0.03 (2)	230 (2)	2003 (2)	1401 (2)
270	15	-0.03 (1)	-1.73 (2)	-0.02 (2)	-183 (2)	-578 (5-I-1)	1566 (2)
270	16	-2.14 (4)	-2.74 (2)	-1.14 (4)	5759 (2)	3484 (3)	4148 (2)
271	1	-0.30 (4)	-2.06 (2)	-0.13 (2)	979 (2)	688 (2)	1450 (3)
271	2	-0.27 (4)	-2.11 (2)	-0.15 (2)	637 (2)	336 (6-I-1)	1440 (3)
271	3	-0.26 (2)	-2.17 (2)	-0.16 (2)	337 (2)	1313 (3)	1528 (3)
271	4	-0.28 (2)	-2.21 (2)	-0.17 (2)	-110 (5-II-1)	2952 (3)	1704 (3)
271	5	-0.20 (4)	-2.13 (2)	-0.11 (2)	630 (2)	742 (2)	1515 (3)
271	6	-0.19 (4)	-2.20 (2)	-0.12 (2)	398 (2)	379 (6-I-1)	1466 (3)
271	7	-0.19 (2)	-2.28 (2)	-0.13 (2)	197 (2)	1393 (3)	1522 (3)
271	8	-0.20 (2)	-2.35 (2)	-0.14 (2)	69 (5-I-1)	3056 (3)	1663 (3)
271	9	-0.11 (3)	-2.19 (2)	-0.08 (2)	304 (2)	803 (2)	1419 (3)
271	10	-0.11 (2)	-2.28 (2)	-0.08 (4)	189 (2)	412 (6-I-1)	1350 (3)
271	11	-0.11 (2)	-2.39 (2)	-0.09 (2)	86 (2)	1446 (3)	1381 (3)
271	12	-0.11 (2)	-2.50 (2)	-0.10 (2)	45 (5-I-1)	3133 (3)	1483 (3)
271	13	-0.04 (3)	-2.24 (2)	-0.03 (4)	65 (2)	822 (2)	779 (3)
271	14	-0.04 (3)	-2.36 (2)	-0.03 (4)	35 (2)	423 (6-I-1)	783 (3)
271	15	-0.04 (3)	-2.49 (2)	-0.03 (4)	15 (2)	1473 (3)	781 (3)
271	16	-0.05 (3)	-2.64 (2)	-0.03 (2)	18 (3)	3167 (3)	840 (3)
272	1	-1.06 (4)	1.44 (3)	0.27 (4)	4720 (2)	2414 (3)	1753 (3)
272	2	-0.30 (4)	1.35 (3)	0.08 (4)	-2721 (3)	-1506 (3)	2225 (3)
272	3	-0.28 (2)	1.38 (3)	-0.07 (2)	-2148 (3)	-3265 (3)	771 (3)
272	4	-0.28 (2)	1.35 (3)	-0.14 (2)	-2095 (3)	-3399 (3)	739 (2)
272	5	-0.97 (4)	1.43 (3)	0.36 (4)	4727 (2)	3132 (3)	-2380 (2)
272	6	-0.20 (4)	1.42 (3)	0.04 (4)	-1665 (3)	-1758 (3)	2430 (3)
272	7	-0.20 (2)	1.46 (3)	-0.05 (2)	-1383 (3)	-3494 (3)	795 (3)
272	8	-0.19 (2)	1.43 (3)	-0.10 (2)	-1331 (3)	-3594 (3)	760 (2)
272	9	-0.68 (4)	-1.40 (2)	0.45 (4)	4899 (2)	3773 (3)	-3260 (2)
272	10	-0.15 (4)	1.54 (3)	-0.03 (2)	-544 (3)	-1996 (3)	2270 (3)
272	11	-0.16 (4)	1.53 (3)	-0.03 (2)	-726 (3)	-3720 (3)	784 (3)
272	12	-0.13 (4)	1.51 (3)	-0.06 (2)	-626 (3)	-3770 (3)	725 (2)
272	13	-0.55 (4)	-1.48 (2)	0.54 (4)	4407 (2)	3930 (3)	-3446 (2)
272	14	-0.08 (4)	1.67 (3)	-0.01 (1)	-322 (2)	-2035 (3)	1156 (3)
272	15	-0.05 (4)	1.61 (3)	-0.01 (2)	238 (2)	-3752 (3)	422 (3)
272	16	-0.04 (1)	1.59 (3)	-0.02 (2)	-116 (3)	-3840 (3)	434 (2)
273	1	-0.29 (2)	-2.24 (2)	0.20 (3)	-183 (2)	4732 (3)	1899 (3)
273	2	-0.29 (2)	-2.24 (2)	0.36 (3)	-379 (2)	-6676 (2)	2056 (3)
273	3	-0.26 (2)	-2.21 (2)	0.55 (3)	-573 (2)	-8999 (2)	2116 (3)
273	4	0.16 (3)	-2.11 (2)	0.62 (3)	-940 (2)	-11695 (2)	1206 (3)
273	5	-0.20 (2)	-2.42 (2)	-0.16 (2)	-147 (2)	4838 (3)	1827 (3)
273	6	-0.20 (2)	-2.47 (2)	0.30 (3)	-266 (2)	-6805 (2)	1960 (3)
273	7	-0.16 (2)	-2.55 (2)	0.51 (3)	-359 (2)	-9104 (2)	1995 (3)
273	8	0.31 (3)	-2.56 (2)	0.58 (3)	-719 (2)	-11651 (2)	1168 (3)
273	9	-0.12 (2)	-2.60 (2)	-0.11 (2)	-86 (2)	4917 (3)	1611 (3)
273	10	-0.11 (2)	-2.70 (2)	0.19 (3)	-140 (2)	-6905 (2)	1718 (3)
273	11	-0.09 (2)	-2.84 (2)	0.37 (3)	-145 (5-II-1)	-9160 (2)	1708 (3)
273	12	0.58 (3)	-3.11 (2)	0.47 (3)	-416 (2)	-11394 (2)	1012 (3)
273	13	-0.05 (3)	-2.78 (2)	-0.04 (2)	27 (3)	4949 (3)	895 (3)
273	14	-0.06 (3)	-2.93 (2)	0.07 (3)	-32 (2)	-6948 (2)	957 (3)
273	15	-0.06 (4)	-3.08 (2)	0.10 (3)	-44 (5-II-1)	-9179 (2)	942 (3)
273	16	0.33 (3)	-3.25 (2)	0.37 (3)	-98 (5-II-1)	-11049 (2)	496 (3)
274	1	-0.30 (3)	2.51 (3)	0.26 (4)	632 (2)	1026 (2)	-1253 (5-II-1)
274	2	-0.33 (3)	2.64 (3)	0.16 (4)	-1160 (3)	-1996 (3)	-1341 (3)
274	3	-0.37 (4)	2.60 (3)	-0.09 (3)	-2013 (3)	-1509 (3)	-1843 (3)
274	4	-1.20 (4)	2.59 (3)	-0.29 (4)	4036 (2)	827 (3)	-1128 (3)

**POTENZIAMENTO DELL'IMPIANTO DI DEPURAZIONE E
DEL RECAPITO FINALE DI SQUINZANO (LE)
PROGETTO DEFINITIVO
Tabulati di calcolo strutturale-Equalizzazione**

R.37.7

Maggio 2021

Pagina 124 di
338

Muro	Pann.	Sxx	Syy	Sxy	Mxx	Myy	Mxy
274	5	-0.21(3)	2.58(3)	0.20(4)	395(2)	1059(2)	-1236(5-II-1)
274	6	-0.23(3)	2.76(3)	0.13(4)	724(2)	2093(2)	-1393(3)
274	7	-0.23(3)	2.73(3)	-0.05(3)	1268(2)	-1614(3)	-2077(3)
274	8	-1.14(4)	2.64(3)	-0.39(4)	4099(2)	1501(3)	-1637(3)
274	9	-0.14(3)	2.66(3)	0.14(4)	168(2)	1091(2)	-1119(5-II-1)
274	10	-0.15(4)	2.90(3)	0.09(4)	417(2)	2210(2)	-1326(3)
274	11	-0.15(4)	2.94(3)	0.07(2)	-410(3)	-1739(3)	-1991(3)
274	12	-0.90(4)	2.66(3)	-0.50(4)	4344(2)	2131(3)	2449(2)
274	13	-0.04(3)	2.75(3)	0.05(4)	13(2)	1105(2)	-643(5-II-1)
274	14	-0.05(2)	3.07(3)	0.03(4)	174(2)	2202(2)	-760(3)
274	15	-0.07(4)	3.20(3)	0.03(2)	-312(2)	1769(2)	-1000(3)
274	16	-0.73(4)	2.70(3)	-0.62(4)	4043(2)	2299(3)	2840(2)
275	1	-1.46(4)	2.56(3)	0.37(2)	4616(2)	1181(3)	-1433(2)
275	2	-0.62(4)	2.33(3)	0.41(2)	3147(2)	-613(5-I-1)	-2247(2)
275	3	-0.36(4)	2.27(3)	0.23(2)	-2495(3)	-2162(3)	-1907(2)
275	4	-0.30(4)	2.22(3)	-0.14(3)	-2271(3)	-3040(3)	-1234(2)
275	5	-1.64(4)	2.63(3)	0.42(2)	4761(2)	2232(3)	-2105(2)
275	6	-0.39(4)	2.40(3)	0.38(2)	2318(2)	-610(5-I-1)	-2755(2)
275	7	-0.24(4)	2.42(3)	0.16(2)	-1589(3)	-2322(3)	-2051(2)
275	8	-0.20(4)	2.36(3)	-0.11(3)	-1445(3)	-3250(3)	-1287(2)
275	9	-1.91(4)	2.60(3)	0.61(4)	4906(2)	3498(3)	-3269(2)
275	10	-0.13(4)	2.53(3)	0.24(2)	1048(2)	-673(3)	-2934(2)
275	11	-0.11(3)	2.60(3)	0.08(2)	759(2)	-2500(3)	-1983(2)
275	12	-0.11(1)	2.52(3)	-0.07(3)	-687(3)	-3447(3)	-1214(2)
275	13	-1.99(4)	-2.44(2)	1.06(4)	4150(2)	4245(3)	-3585(2)
275	14	-0.04(2)	2.88(3)	-0.05(3)	-140(4)	-626(5-I-1)	-1483(2)
275	15	-0.02(1)	2.80(3)	0.03(2)	202(2)	-2531(3)	-1218(2)
275	16	-0.03(3)	2.68(3)	-0.02(3)	-129(3)	-3506(3)	-674(2)
276	1	-0.28(2)	2.15(3)	-0.16(3)	-2199(3)	-3392(3)	-629(2)
276	2	-0.28(2)	2.08(3)	-0.17(3)	-2194(3)	-3445(3)	-418(5-II-1)
276	3	-0.28(2)	2.01(3)	-0.18(3)	-2220(3)	-3321(3)	-505(5-II-1)
276	4	-0.28(2)	1.93(3)	-0.18(3)	-2277(3)	-3018(3)	-928(3)
276	5	-0.19(2)	2.28(3)	-0.12(3)	-1394(3)	-3620(3)	-642(2)
276	6	-0.19(2)	2.21(3)	-0.13(3)	-1395(3)	-3677(3)	-415(5-II-1)
276	7	-0.19(2)	2.13(3)	-0.13(3)	-1412(3)	-3555(3)	-504(5-II-1)
276	8	-0.19(2)	2.05(3)	-0.13(3)	-1444(3)	-3251(3)	-965(3)
276	9	-0.11(1)	2.43(3)	-0.08(3)	-665(3)	-3824(3)	-598(2)
276	10	-0.11(2)	2.34(3)	-0.08(3)	-669(3)	-3891(3)	-383(5-II-1)
276	11	-0.11(3)	2.26(3)	-0.08(3)	-678(3)	-3770(3)	-468(5-II-1)
276	12	-0.11(2)	2.17(3)	-0.08(3)	-691(3)	-3458(3)	-912(3)
276	13	-0.04(2)	2.57(3)	-0.03(3)	-130(3)	-3874(3)	-320(2)
276	14	-0.04(2)	2.48(3)	-0.03(3)	-133(3)	-3954(3)	-224(5-II-1)
276	15	-0.04(3)	2.39(3)	-0.02(3)	-135(3)	-3834(3)	-276(5-II-1)
276	16	-0.04(3)	2.30(3)	-0.02(3)	-136(3)	-3510(3)	-497(3)
277	1	-0.22(2)	-2.12(2)	-0.19(3)	-900(2)	11202(3)	-1591(3)
277	2	-0.27(2)	-2.19(2)	0.19(2)	-416(2)	7400(3)	-1965(3)
277	3	-0.27(2)	-2.16(2)	0.27(4)	128(3)	4143(3)	-1604(3)
277	4	-0.26(4)	2.33(3)	0.29(4)	223(2)	1514(3)	-1329(3)
277	5	-0.16(2)	-2.51(2)	-0.21(3)	-696(2)	10926(3)	-1492(3)
277	6	-0.18(2)	-2.41(2)	0.16(2)	-280(2)	7484(3)	-1858(3)
277	7	-0.19(2)	-2.32(2)	0.22(4)	129(3)	4266(3)	-1538(3)
277	8	-0.19(4)	2.36(3)	0.23(4)	119(2)	1614(3)	-1298(3)
277	9	-0.15(3)	-2.94(2)	-0.16(3)	-417(2)	-10778(2)	-1268(3)
277	10	-0.15(2)	-2.61(2)	0.10(2)	-125(2)	7550(3)	-1604(3)
277	11	-0.13(2)	-2.47(2)	0.15(4)	86(3)	4366(3)	-1356(3)
277	12	-0.11(2)	2.38(3)	0.15(4)	52(2)	1693(3)	-1161(5-II-1)
277	13	-0.21(3)	-3.02(2)	0.04(5-I-1)	-152(2)	-10615(2)	-663(3)
277	14	-0.07(2)	-2.86(2)	0.07(2)	-10(5-II-1)	7606(3)	-898(3)
277	15	-0.04(1)	-2.63(2)	0.05(4)	27(3)	4391(3)	-751(3)
277	16	-0.03(1)	-2.45(2)	0.06(4)	16(5-I-1)	1716(3)	-646(5-II-1)
278	1	-0.29(2)	1.82(3)	-0.20(3)	-2432(3)	-2334(3)	-1545(3)
278	2	-0.35(4)	1.67(3)	-0.24(3)	-2805(3)	-1010(3)	-2222(3)
278	3	-0.60(4)	1.55(3)	-0.43(4)	-3726(3)	1122(3)	-2493(3)
278	4	-1.42(4)	1.60(3)	-0.34(4)	5437(2)	3328(3)	-1356(3)
278	5	-0.20(2)	1.94(3)	-0.14(3)	-1552(3)	-2552(3)	-1624(3)
278	6	-0.23(4)	1.77(3)	-0.17(3)	-1794(3)	-1175(3)	-2394(3)
278	7	-0.38(4)	1.55(3)	-0.42(4)	2640(2)	1194(3)	-3050(3)
278	8	-1.61(4)	1.61(3)	-0.44(4)	5568(2)	4722(3)	2162(2)
278	9	-0.11(1)	2.05(3)	-0.09(3)	-738(3)	-2759(3)	-1543(3)
278	10	-0.11(2)	1.90(3)	-0.09(3)	-856(3)	-1370(3)	-2325(3)
278	11	-0.13(4)	1.62(3)	-0.27(4)	1195(2)	1060(3)	3284(2)
278	12	-1.91(4)	1.50(3)	-0.63(4)	5596(2)	6414(3)	3551(2)
278	13	-0.03(1)	2.18(3)	-0.03(3)	-136(3)	-2820(3)	-862(3)
278	14	0.02(4)	2.04(3)	-0.03(3)	214(2)	-1400(3)	-1423(3)

Muro	Pann.	Sxx	Syy	Sxy	Mxx	Myy	Mxy
278	15	-0.04 (3)	1.88 (3)	0.04 (4)	-126 (4)	1210 (3)	-1766 (3)
278	16	-1.97 (4)	-1.99 (2)	-1.06 (4)	4499 (2)	7438 (3)	3937 (2)
279	1	2.32 (3)	-0.31 (4)	-0.20 (4)	742 (2)	987 (2)	1465 (3)
279	2	2.39 (3)	-0.21 (3)	-0.17 (4)	798 (2)	636 (2)	1528 (3)
279	3	2.48 (3)	-0.12 (3)	-0.12 (4)	861 (2)	307 (2)	1430 (3)
279	4	2.58 (3)	-0.03 (1)	-0.05 (4)	880 (2)	65 (2)	784 (3)
279	5	2.24 (3)	-0.29 (4)	-0.26 (4)	325 (6-I-1)	646 (2)	1466 (3)
279	6	2.28 (3)	-0.19 (4)	-0.21 (4)	370 (6-I-1)	405 (2)	1488 (3)
279	7	2.33 (3)	-0.11 (2)	-0.14 (4)	404 (6-I-1)	193 (2)	1368 (3)
279	8	2.38 (3)	-0.02 (1)	-0.05 (4)	415 (6-I-1)	36 (2)	792 (3)
279	9	2.14 (3)	-0.27 (2)	-0.28 (4)	1396 (3)	347 (2)	1563 (3)
279	10	-2.22 (2)	-0.19 (2)	-0.23 (4)	1480 (3)	204 (2)	1552 (3)
279	11	-2.33 (2)	-0.11 (2)	-0.15 (4)	1535 (3)	89 (2)	1405 (3)
279	12	-2.43 (2)	-0.03 (1)	-0.05 (4)	1562 (3)	16 (2)	793 (3)
279	13	-2.16 (2)	-0.28 (2)	-0.27 (4)	3116 (3)	-113 (5-I-1)	1744 (3)
279	14	-2.30 (2)	-0.20 (2)	-0.22 (4)	3220 (3)	80 (5-II-1)	1697 (3)
279	15	-2.45 (2)	-0.11 (2)	-0.15 (4)	3298 (3)	51 (5-II-1)	1511 (3)
279	16	-2.59 (2)	-0.05 (3)	-0.05 (4)	3332 (3)	18 (3)	854 (3)
280	1	2.49 (3)	-0.34 (4)	-0.21 (2)	-2795 (3)	-2188 (3)	1667 (2)
280	2	2.64 (3)	-0.22 (4)	-0.14 (2)	-2967 (3)	-1390 (3)	1764 (2)
280	3	2.81 (3)	-0.11 (1)	-0.08 (2)	-3151 (3)	669 (2)	1696 (2)
280	4	3.01 (3)	-0.03 (1)	-0.03 (2)	-3154 (3)	-106 (3)	986 (2)
280	5	2.45 (3)	-0.45 (4)	-0.32 (2)	-1909 (3)	-2437 (3)	2021 (2)
280	6	2.58 (3)	-0.29 (4)	-0.24 (2)	-2002 (3)	1654 (2)	2264 (2)
280	7	2.77 (3)	-0.14 (4)	-0.12 (2)	-2122 (3)	793 (2)	2245 (2)
280	8	3.00 (3)	0.03 (4)	-0.03 (2)	-2143 (3)	230 (2)	1398 (2)
280	9	2.46 (3)	-0.79 (4)	-0.49 (4)	-686 (5-II-1)	3206 (2)	2085 (2)
280	10	2.49 (3)	-0.57 (4)	-0.52 (4)	-663 (5-II-1)	2615 (2)	2673 (2)
280	11	2.56 (3)	-0.26 (4)	-0.40 (4)	-656 (5-II-1)	1420 (2)	3093 (2)
280	12	2.93 (3)	-0.03 (1)	-0.02 (2)	-673 (5-II-1)	-183 (2)	1563 (2)
280	13	2.60 (3)	-1.50 (4)	-0.38 (4)	705 (5-I-1)	4143 (2)	1291 (2)
280	14	2.66 (3)	-1.69 (4)	-0.51 (4)	1642 (3)	4514 (2)	1839 (2)
280	15	2.59 (3)	-1.96 (4)	-0.75 (4)	2842 (3)	5362 (2)	3131 (2)
280	16	-2.63 (2)	-2.14 (4)	-1.14 (4)	3315 (3)	5759 (2)	4146 (2)
281	1	-2.19 (2)	-0.29 (2)	-0.24 (4)	4969 (3)	-172 (2)	1938 (3)
281	2	-2.38 (2)	-0.20 (2)	-0.20 (4)	5071 (3)	-140 (2)	1860 (3)
281	3	-2.57 (2)	-0.12 (2)	-0.13 (4)	5147 (3)	-83 (2)	1637 (3)
281	4	-2.75 (2)	-0.05 (3)	-0.05 (4)	5178 (3)	27 (3)	910 (3)
281	5	-2.20 (2)	-0.29 (2)	-0.21 (2)	6783 (3)	-367 (2)	2086 (3)
281	6	-2.44 (2)	-0.20 (2)	-0.20 (2)	6841 (3)	-259 (2)	1986 (3)
281	7	-2.67 (2)	-0.11 (2)	-0.14 (2)	6887 (3)	-137 (2)	1741 (3)
281	8	-2.90 (2)	-0.04 (4)	-0.05 (2)	6908 (3)	-31 (2)	969 (3)
281	9	-2.17 (2)	-0.26 (2)	-0.24 (2)	-8805 (2)	-560 (2)	2128 (3)
281	10	-2.51 (2)	-0.16 (2)	-0.24 (2)	-8914 (2)	-352 (2)	2009 (3)
281	11	-2.82 (2)	-0.10 (1)	-0.14 (2)	-8973 (2)	-135 (5-I-1)	1729 (3)
281	12	-3.06 (2)	-0.06 (4)	-0.03 (2)	-8993 (2)	-40 (5-I-1)	954 (3)
281	13	-2.08 (2)	-0.19 (1)	0.23 (3)	-11480 (2)	-923 (2)	1345 (3)
281	14	-2.52 (2)	-0.20 (2)	0.24 (3)	-11449 (2)	-707 (2)	1287 (3)
281	15	-3.08 (2)	-0.24 (2)	0.20 (3)	-11204 (2)	-409 (2)	1128 (3)
281	16	-3.25 (2)	0.10 (3)	0.08 (3)	-10866 (2)	-93 (2)	592 (3)
282	1	2.33 (3)	-1.06 (4)	0.31 (4)	2411 (3)	4718 (2)	1801 (3)
282	2	2.36 (3)	-0.97 (4)	0.39 (4)	3127 (3)	4726 (2)	2393 (3)
282	3	2.35 (3)	-0.68 (4)	0.47 (4)	3769 (3)	4898 (2)	-3264 (2)
282	4	2.38 (3)	-0.55 (4)	0.54 (4)	3928 (3)	4407 (2)	-3448 (2)
282	5	2.33 (3)	-0.30 (2)	0.13 (4)	-1540 (3)	-2737 (3)	2261 (3)
282	6	2.46 (3)	-0.20 (4)	0.08 (4)	-1795 (3)	-1675 (3)	2465 (3)
282	7	2.63 (3)	-0.16 (4)	-0.02 (2)	-2035 (3)	-549 (3)	2303 (3)
282	8	2.82 (3)	-0.08 (4)	-0.00 (2)	-2075 (3)	-322 (2)	1176 (3)
282	9	2.45 (3)	-0.28 (2)	0.06 (3)	-3338 (3)	-2166 (3)	791 (3)
282	10	2.60 (3)	-0.20 (2)	-0.05 (2)	-3570 (3)	-1396 (3)	816 (3)
282	11	2.74 (3)	-0.16 (4)	0.03 (3)	-3798 (3)	-732 (3)	803 (3)
282	12	2.88 (3)	-0.04 (2)	0.01 (3)	-3830 (3)	238 (2)	434 (3)
282	13	2.50 (3)	-0.29 (4)	-0.13 (2)	-3513 (3)	-2114 (3)	731 (2)
282	14	2.65 (3)	-0.19 (2)	-0.09 (2)	-3710 (3)	-1344 (3)	752 (2)
282	15	2.81 (3)	-0.13 (4)	-0.06 (2)	-3889 (3)	-632 (3)	718 (2)
282	16	2.97 (3)	-0.04 (2)	-0.02 (2)	-3959 (3)	-117 (3)	430 (2)
283	1	2.59 (3)	-1.50 (4)	0.14 (4)	939 (3)	4057 (2)	943 (5-I-1)
283	2	2.64 (3)	-1.69 (4)	0.32 (4)	1907 (3)	4456 (2)	1031 (5-I-1)
283	3	2.56 (3)	-1.96 (4)	0.63 (4)	3110 (3)	5337 (2)	-2198 (2)
283	4	-2.74 (2)	-2.13 (4)	1.10 (4)	3520 (3)	5765 (2)	-3674 (2)
283	5	2.42 (3)	-0.79 (4)	0.25 (4)	453 (5-I-1)	2946 (2)	1410 (3)
283	6	2.43 (3)	-0.57 (4)	0.33 (4)	558 (5-I-1)	2440 (2)	1915 (3)
283	7	2.48 (3)	-0.26 (4)	0.28 (4)	604 (5-I-1)	1331 (2)	2244 (3)
283	8	2.82 (3)	-0.02 (1)	-0.03 (4)	630 (5-I-1)	-202 (2)	1244 (3)

**POTENZIAMENTO DELL'IMPIANTO DI DEPURAZIONE E
DEL RECAPITO FINALE DI SQUINZANO (LE)
PROGETTO DEFINITIVO
Tabulati di calcolo strutturale-Equalizzazione**

R.37.7

Maggio 2021

Pagina 126 di
338

Muro	Pann.	Sxx	Syy	Sxy	Mxx	Myy	Mxy
283	9	2.37(3)	-0.46(4)	-0.05(1)	598(2)	1978(2)	1584(3)
283	10	2.46(3)	-0.30(4)	-0.04(6-II-1)	645(2)	1361(2)	1816(3)
283	11	2.62(3)	-0.14(4)	-0.05(6-II-1)	729(2)	656(2)	1808(3)
283	12	2.82(3)	-0.02(1)	-0.02(6-II-1)	747(2)	205(2)	1110(3)
283	13	2.37(3)	-0.36(4)	-0.13(6-II-1)	891(2)	1396(2)	1527(3)
283	14	2.46(3)	-0.23(4)	-0.11(3)	968(2)	924(2)	1649(3)
283	15	2.58(3)	-0.13(3)	-0.08(4)	1067(2)	454(2)	1582(3)
283	16	2.73(3)	-0.04(3)	-0.03(4)	1081(2)	71(2)	876(3)
284	1	-0.55(2)	-1.51(2)	0.23(3)	1614(3)	12211(3)	-1561(2)
284	2	-0.32(3)	-1.34(2)	0.55(3)	1133(3)	8912(3)	-2604(2)
284	3	-0.36(3)	-1.20(2)	0.67(3)	696(3)	5943(3)	-3065(2)
284	4	-0.37(3)	1.37(3)	0.68(3)	391(3)	3336(3)	-3408(2)
284	5	-0.36(2)	-1.34(2)	0.24(3)	1408(3)	12373(3)	-1417(2)
284	6	-0.31(3)	-1.13(2)	0.57(3)	928(3)	9094(3)	-2496(2)
284	7	-0.30(3)	-1.06(2)	0.58(3)	550(3)	6121(3)	-3006(2)
284	8	-0.28(3)	1.16(3)	0.55(3)	340(3)	3491(3)	-3349(2)
284	9	-0.41(3)	-0.97(2)	0.24(3)	1033(3)	-12709(2)	-1136(2)
284	10	-0.19(4)	-0.77(2)	0.51(3)	568(3)	9292(3)	-2272(2)
284	11	-0.20(4)	-0.91(2)	0.42(3)	336(3)	6264(3)	-2793(2)
284	12	-0.21(4)	-0.99(2)	0.37(3)	235(3)	3606(3)	-3084(2)
284	13	-0.50(3)	-1.69(3)	0.38(3)	519(3)	-13009(2)	-490(2)
284	14	-0.17(4)	-0.97(4)	0.18(3)	155(3)	9291(3)	-1399(2)
284	15	-0.17(2)	-0.79(2)	0.15(3)	137(3)	6329(3)	-1682(2)
284	16	-0.13(2)	-0.96(2)	0.14(3)	132(4)	3663(3)	-1723(2)
285	1	2.88(3)	-1.46(4)	0.37(2)	1222(3)	4616(2)	-1435(2)
285	2	2.97(3)	-1.63(4)	0.44(4)	2274(3)	4761(2)	-2107(2)
285	3	2.95(3)	-1.91(4)	0.63(4)	3544(3)	4906(2)	-3270(2)
285	4	2.60(3)	-1.99(4)	1.06(4)	4295(3)	4150(2)	-3586(2)
285	5	2.70(3)	-0.62(4)	0.41(2)	-587(5-II-1)	3147(2)	-2249(2)
285	6	2.79(3)	-0.39(4)	0.38(4)	-582(5-II-1)	2318(2)	-2757(2)
285	7	2.93(3)	-0.13(4)	0.25(4)	-630(3)	1048(2)	-2935(2)
285	8	3.29(3)	-0.04(2)	-0.05(4)	-597(5-II-1)	-140(4)	-1484(2)
285	9	2.69(3)	-0.36(4)	0.23(2)	-2122(3)	-2490(3)	-1909(2)
285	10	2.85(3)	-0.24(4)	0.16(2)	-2281(3)	-1586(3)	-2052(2)
285	11	3.05(3)	-0.11(3)	0.08(2)	-2458(3)	759(2)	-1985(2)
285	12	3.27(3)	0.02(4)	0.03(2)	-2489(3)	202(2)	-1219(2)
285	13	2.68(3)	-0.30(4)	0.14(2)	-3001(3)	-2267(3)	-1235(2)
285	14	2.85(3)	-0.20(4)	0.10(2)	-3211(3)	-1442(3)	-1289(2)
285	15	3.02(3)	-0.11(1)	0.06(2)	-3407(3)	-686(3)	-1215(2)
285	16	3.20(3)	-0.03(3)	0.02(2)	-3466(3)	-129(3)	-675(2)
286	1	2.62(3)	-0.30(3)	0.29(3)	1028(2)	632(2)	-1232(5-I-1)
286	2	2.69(3)	-0.21(3)	0.23(3)	1061(2)	395(2)	-1217(5-I-1)
286	3	2.77(3)	-0.13(3)	0.15(3)	1093(2)	168(2)	-1102(5-I-1)
286	4	2.85(3)	-0.04(3)	0.06(4)	1107(2)	13(2)	-633(5-I-1)
286	5	2.79(3)	-0.33(3)	0.18(4)	1985(2)	-1154(3)	-1296(3)
286	6	2.92(3)	-0.22(3)	0.15(4)	2096(2)	725(2)	-1349(3)
286	7	3.06(3)	-0.15(4)	0.10(4)	2213(2)	418(2)	-1285(3)
286	8	3.22(3)	-0.05(4)	0.03(4)	2205(2)	174(2)	-736(3)
286	9	2.81(3)	-0.36(4)	-0.04(4)	-1471(3)	-2007(3)	-1794(3)
286	10	2.95(3)	-0.23(3)	0.04(1)	-1575(3)	1268(2)	-2029(3)
286	11	3.16(3)	-0.15(4)	0.07(2)	1739(2)	-408(3)	-1946(3)
286	12	3.42(3)	-0.06(4)	0.03(4)	1773(2)	-312(2)	-974(3)
286	13	2.86(3)	-1.20(4)	-0.26(4)	865(3)	4036(2)	-1076(3)
286	14	2.92(3)	-1.14(4)	-0.36(4)	1539(3)	4099(2)	-1586(3)
286	15	2.94(3)	-0.90(4)	-0.48(4)	2168(3)	4345(2)	2448(2)
286	16	3.00(3)	-0.73(4)	-0.62(4)	2334(3)	4043(2)	2839(2)
287	1	2.47(3)	-0.29(2)	-0.12(3)	-2305(3)	-2433(3)	-1480(3)
287	2	2.61(3)	-0.20(2)	-0.08(3)	-2523(3)	-1552(3)	-1561(3)
287	3	2.76(3)	-0.11(1)	-0.05(3)	-2730(3)	-738(3)	-1485(3)
287	4	2.92(3)	-0.03(1)	-0.02(3)	-2792(3)	-137(3)	-830(3)
287	5	2.37(3)	-0.35(4)	-0.18(4)	-986(3)	-2808(3)	-2159(3)
287	6	2.50(3)	-0.23(4)	-0.12(4)	-1152(3)	-1796(3)	-2332(3)
287	7	2.67(3)	-0.11(2)	-0.05(3)	-1347(3)	-857(3)	-2269(3)
287	8	2.84(3)	0.02(4)	-0.02(4)	-1378(3)	214(2)	1394(2)
287	9	2.30(3)	-0.60(4)	-0.39(4)	1138(3)	-3731(3)	-2433(3)
287	10	2.34(3)	-0.38(4)	-0.38(4)	1209(3)	2639(2)	3043(2)
287	11	2.44(3)	-0.13(4)	-0.25(4)	1074(3)	1195(2)	3281(2)
287	12	2.75(3)	-0.04(3)	0.05(4)	1224(3)	-126(4)	-1735(3)
287	13	2.41(3)	-1.42(4)	-0.30(4)	3336(3)	5436(2)	1325(2)
287	14	2.46(3)	-1.61(4)	-0.41(4)	4728(3)	5567(2)	2158(2)
287	15	2.39(3)	-1.91(4)	-0.61(4)	6415(3)	5595(2)	3548(2)
287	16	1.96(3)	-1.97(4)	-1.06(4)	7433(3)	4499(2)	3935(2)
288	1	-0.38(4)	2.96(3)	-0.04(5-II-1)	-1292(3)	-6026(3)	-102(5-I-1)
288	2	-0.38(4)	2.96(3)	-0.06(5-II-1)	-1279(3)	-5992(3)	643(2)

**POTENZIAMENTO DELL'IMPIANTO DI DEPURAZIONE E
DEL RECAPITO FINALE DI SQUINZANO (LE)
PROGETTO DEFINITIVO
Tabulati di calcolo strutturale-Equalizzazione**

R.37.7

Maggio 2021

Pagina 127 di
338

Muro	Pann.	Sxx	Syy	Sxy	Mxx	Myy	Mxy
288	3	-0.38 (4)	2.94 (3)	-0.08 (5-II-1)	-1241 (3)	-5904 (3)	1178 (2)
288	4	-0.39 (4)	2.90 (3)	-0.11 (4)	-1179 (3)	-5747 (3)	1689 (2)
288	5	-0.30 (4)	3.12 (3)	-0.03 (5-II-1)	-807 (3)	-6216 (3)	-99 (5-I-1)
288	6	-0.30 (4)	3.12 (3)	-0.04 (5-II-1)	-800 (3)	-6179 (3)	628 (2)
288	7	-0.30 (4)	3.09 (3)	-0.06 (5-II-1)	-773 (3)	-6082 (3)	1148 (2)
288	8	-0.30 (4)	3.05 (3)	-0.08 (4)	737 (2)	-5913 (3)	1646 (2)
288	9	-0.21 (4)	3.29 (3)	0.02 (5-I-1)	452 (2)	-6379 (3)	-90 (5-I-1)
288	10	-0.22 (4)	3.28 (3)	-0.03 (5-II-1)	452 (2)	-6344 (3)	574 (2)
288	11	-0.21 (4)	3.26 (3)	-0.04 (5-II-1)	447 (2)	-6234 (3)	1051 (2)
288	12	-0.21 (4)	3.21 (3)	-0.05 (2)	428 (2)	-6044 (3)	1489 (2)
288	13	-0.14 (4)	3.46 (3)	-0.01 (5-II-1)	169 (2)	-6432 (3)	-50 (5-I-1)
288	14	-0.13 (4)	3.46 (3)	-0.01 (5-II-1)	168 (2)	-6387 (3)	333 (2)
288	15	-0.14 (4)	3.43 (3)	-0.01 (5-II-1)	169 (2)	-6286 (3)	620 (2)
288	16	-0.14 (4)	3.38 (3)	-0.02 (2)	165 (2)	-6095 (3)	822 (2)
289	1	-0.38 (3)	1.62 (3)	0.63 (3)	131 (3)	1137 (3)	-3604 (2)
289	2	-0.39 (3)	1.88 (3)	0.57 (3)	247 (2)	979 (2)	-3668 (2)
289	3	-0.39 (4)	2.11 (3)	0.49 (3)	437 (2)	2157 (2)	-3621 (2)
289	4	-0.40 (4)	2.31 (3)	0.40 (3)	595 (2)	-3201 (3)	-3476 (2)
289	5	-0.29 (4)	1.49 (3)	0.50 (3)	167 (3)	1254 (3)	-3538 (2)
289	6	-0.30 (4)	1.81 (3)	0.44 (3)	180 (2)	969 (2)	-3593 (2)
289	7	-0.30 (4)	2.11 (3)	0.38 (3)	316 (2)	2192 (2)	-3542 (2)
289	8	-0.31 (4)	2.36 (3)	0.31 (3)	426 (2)	-3219 (3)	-3398 (2)
289	9	-0.21 (4)	1.36 (3)	0.33 (3)	152 (4)	1356 (3)	-3246 (2)
289	10	-0.22 (4)	1.76 (3)	0.29 (3)	157 (4)	949 (2)	-3310 (2)
289	11	-0.22 (4)	2.12 (3)	0.24 (3)	197 (2)	2239 (2)	-3255 (2)
289	12	-0.22 (4)	2.42 (3)	0.20 (3)	254 (2)	-3249 (3)	-3097 (2)
289	13	-0.15 (4)	1.27 (3)	0.12 (3)	136 (4)	1379 (3)	-1807 (2)
289	14	-0.17 (4)	1.75 (3)	0.09 (3)	138 (4)	962 (2)	-1960 (2)
289	15	-0.11 (4)	2.15 (3)	0.08 (3)	137 (4)	2228 (2)	-1922 (2)
289	16	-0.13 (4)	2.49 (3)	0.08 (3)	135 (4)	-3239 (3)	-1711 (2)
290	1	-0.39 (4)	2.87 (3)	0.11 (4)	-1173 (3)	-5723 (3)	1754 (3)
290	2	-0.39 (4)	2.91 (3)	0.09 (5-I-1)	-1227 (3)	-5868 (3)	1334 (3)
290	3	-0.38 (4)	2.94 (3)	0.07 (5-I-1)	-1265 (3)	-5961 (3)	890 (3)
290	4	-0.38 (4)	2.95 (3)	0.06 (5-I-1)	-1286 (3)	-6013 (3)	436 (3)
290	5	-0.30 (4)	3.02 (3)	0.09 (4)	736 (2)	-5887 (3)	1707 (3)
290	6	-0.30 (4)	3.06 (3)	0.07 (5-I-1)	763 (2)	-6043 (3)	1297 (3)
290	7	-0.30 (4)	3.09 (3)	0.05 (5-I-1)	-789 (3)	-6145 (3)	867 (3)
290	8	-0.30 (4)	3.11 (3)	0.04 (5-I-1)	-802 (3)	-6203 (3)	425 (3)
290	9	-0.22 (4)	3.17 (3)	0.05 (4)	425 (2)	-6020 (3)	1548 (3)
290	10	-0.22 (4)	3.22 (3)	0.04 (5-I-1)	442 (2)	-6191 (3)	1184 (3)
290	11	-0.22 (4)	3.25 (3)	0.03 (5-I-1)	447 (2)	-6308 (3)	793 (3)
290	12	-0.21 (4)	3.28 (3)	0.03 (5-I-1)	450 (2)	-6366 (3)	387 (3)
290	13	-0.14 (4)	3.34 (3)	0.02 (5-I-1)	163 (2)	-6067 (3)	848 (3)
290	14	-0.14 (4)	3.39 (3)	0.01 (5-I-1)	168 (2)	-6242 (3)	696 (3)
290	15	-0.13 (4)	3.43 (3)	0.01 (5-I-1)	168 (2)	-6352 (3)	462 (3)
290	16	-0.14 (4)	3.45 (3)	0.01 (5-I-1)	168 (2)	-6412 (3)	215 (3)
291	1	-2.12 (2)	-0.22 (2)	0.18 (2)	11284 (3)	-901 (2)	-1584 (3)
291	2	-2.51 (2)	-0.17 (2)	0.21 (2)	11015 (3)	-697 (2)	-1485 (3)
291	3	-2.93 (2)	-0.19 (3)	0.16 (2)	-10779 (2)	-417 (2)	-1262 (3)
291	4	-3.02 (2)	-0.23 (3)	0.05 (5-II-1)	-10615 (2)	-152 (2)	-663 (3)
291	5	-2.19 (2)	-0.27 (2)	0.20 (4)	7464 (3)	-416 (2)	-1938 (3)
291	6	-2.41 (2)	-0.19 (2)	0.16 (2)	7551 (3)	-281 (2)	-1833 (3)
291	7	-2.61 (2)	-0.15 (2)	0.11 (4)	7620 (3)	-125 (2)	-1581 (3)
291	8	-2.86 (2)	-0.07 (2)	0.07 (2)	7676 (3)	10 (5-II-1)	-884 (3)
291	9	2.21 (3)	-0.27 (2)	0.28 (4)	4197 (3)	134 (3)	-1573 (3)
291	10	-2.31 (2)	-0.19 (2)	0.22 (4)	4322 (3)	134 (3)	-1507 (3)
291	11	-2.47 (2)	-0.13 (2)	0.15 (4)	4423 (3)	88 (3)	-1327 (3)
291	12	-2.63 (2)	-0.03 (1)	0.05 (4)	4449 (3)	27 (3)	-734 (3)
291	13	2.40 (3)	-0.26 (4)	0.31 (3)	1562 (3)	224 (2)	-1294 (5-I-1)
291	14	2.43 (3)	-0.18 (4)	0.24 (4)	1662 (3)	120 (2)	-1265 (5-I-1)
291	15	2.45 (3)	-0.11 (2)	0.16 (4)	1743 (3)	52 (2)	-1138 (5-I-1)
291	16	2.48 (3)	-0.03 (1)	0.06 (3)	1766 (3)	17 (5-I-1)	-633 (5-I-1)
292	1	2.65 (3)	-0.28 (2)	0.10 (2)	-3355 (3)	-2195 (3)	-630 (2)
292	2	2.81 (3)	-0.19 (2)	0.07 (2)	-3582 (3)	-1392 (3)	-643 (2)
292	3	2.97 (3)	-0.11 (2)	-0.05 (3)	-3786 (3)	-664 (3)	-600 (2)
292	4	3.14 (3)	-0.04 (2)	-0.02 (3)	-3836 (3)	-130 (3)	-321 (2)
292	5	2.62 (3)	-0.28 (2)	-0.10 (3)	-3409 (3)	-2192 (3)	413 (5-II-1)
292	6	2.77 (3)	-0.19 (2)	-0.07 (3)	-3640 (3)	-1394 (3)	402 (5-II-1)
292	7	2.93 (3)	-0.11 (2)	-0.05 (3)	-3854 (3)	-669 (3)	368 (5-II-1)
292	8	3.09 (3)	-0.04 (2)	-0.02 (3)	-3917 (3)	-133 (3)	215 (5-II-1)
292	9	2.58 (3)	-0.28 (2)	-0.10 (3)	-3286 (3)	-2218 (3)	-479 (5-I-1)
292	10	2.73 (3)	-0.19 (2)	-0.08 (3)	-3520 (3)	-1411 (3)	-480 (5-I-1)
292	11	2.88 (3)	-0.11 (2)	-0.05 (3)	-3735 (3)	-678 (3)	-447 (5-I-1)
292	12	3.04 (3)	-0.04 (3)	-0.01 (3)	-3799 (3)	-135 (3)	-264 (5-I-1)

Muro	Pann.	Sxx	Syy	Sxy	Mxx	Myy	Mxy
292	13	2.54 (3)	-0.28 (2)	-0.11 (3)	-2985 (3)	-2276 (3)	-863 (3)
292	14	2.68 (3)	-0.19 (2)	-0.08 (3)	-3218 (3)	-1444 (3)	-901 (3)
292	15	2.83 (3)	-0.11 (2)	-0.05 (3)	-3426 (3)	-691 (3)	-854 (3)
292	16	2.98 (3)	-0.04 (4)	-0.01 (3)	-3477 (3)	-137 (3)	-466 (3)
293	1	-0.40 (4)	2.48 (3)	0.32 (3)	725 (2)	-4057 (3)	-3242 (2)
293	2	-0.40 (4)	2.62 (3)	0.25 (3)	-869 (3)	-4695 (3)	-2933 (2)
293	3	-0.39 (4)	2.73 (3)	0.19 (4)	-998 (3)	-5160 (3)	-2570 (2)
293	4	-0.39 (4)	2.81 (3)	0.15 (4)	-1099 (3)	-5496 (3)	2163 (3)
293	5	-0.31 (4)	2.56 (3)	0.25 (3)	516 (2)	-4115 (3)	-3166 (2)
293	6	-0.31 (4)	2.72 (3)	0.19 (3)	595 (2)	-4787 (3)	-2862 (2)
293	7	-0.30 (4)	2.85 (3)	0.14 (4)	659 (2)	-5281 (3)	-2509 (2)
293	8	-0.30 (4)	2.95 (3)	0.11 (4)	704 (2)	-5641 (3)	-2109 (2)
293	9	-0.22 (4)	2.65 (3)	0.16 (3)	313 (2)	-4157 (3)	-2881 (2)
293	10	-0.22 (4)	2.84 (3)	0.12 (3)	355 (2)	-4859 (3)	-2620 (2)
293	11	-0.22 (4)	2.99 (3)	0.09 (4)	381 (2)	-5398 (3)	-2295 (2)
293	12	-0.22 (4)	3.10 (3)	0.07 (4)	403 (2)	-5771 (3)	-1918 (2)
293	13	-0.15 (4)	2.77 (3)	0.05 (3)	143 (2)	-4182 (3)	-1589 (2)
293	14	-0.15 (4)	2.99 (3)	0.04 (3)	151 (2)	-4895 (3)	-1542 (2)
293	15	-0.12 (4)	3.14 (3)	0.03 (3)	151 (2)	-5415 (3)	-1345 (2)
293	16	-0.13 (4)	3.26 (3)	0.03 (4)	156 (2)	-5804 (3)	-1053 (2)
294	1	-0.39 (4)	2.83 (3)	-0.15 (4)	-1080 (3)	-5441 (3)	2245 (2)
294	2	-0.40 (4)	2.71 (3)	-0.22 (3)	-925 (3)	-4896 (3)	2798 (2)
294	3	-0.40 (4)	2.53 (3)	-0.32 (3)	723 (2)	-4046 (3)	3241 (2)
294	4	-0.40 (4)	2.28 (3)	-0.44 (3)	534 (2)	-2757 (3)	3547 (2)
294	5	-0.30 (4)	2.97 (3)	-0.11 (4)	692 (2)	-5581 (3)	2190 (2)
294	6	-0.30 (4)	2.83 (3)	-0.16 (3)	623 (2)	-5002 (3)	2732 (2)
294	7	-0.31 (4)	2.61 (3)	-0.25 (3)	516 (2)	-4102 (3)	3164 (2)
294	8	-0.31 (4)	2.31 (3)	-0.34 (3)	389 (2)	-2757 (3)	3471 (2)
294	9	-0.22 (4)	3.13 (3)	-0.07 (4)	394 (2)	-5707 (3)	1985 (2)
294	10	-0.22 (4)	2.96 (3)	-0.10 (3)	361 (2)	-5109 (3)	2501 (2)
294	11	-0.22 (4)	2.71 (3)	-0.16 (3)	311 (2)	-4137 (3)	2893 (2)
294	12	-0.22 (4)	2.36 (3)	-0.22 (3)	252 (2)	2798 (2)	3171 (2)
294	13	-0.13 (4)	3.29 (3)	-0.03 (4)	152 (2)	-5740 (3)	1110 (2)
294	14	-0.12 (4)	3.12 (3)	-0.03 (3)	143 (2)	-5108 (3)	1468 (2)
294	15	-0.16 (4)	2.84 (3)	-0.05 (3)	145 (2)	-4178 (3)	1719 (2)
294	16	-0.15 (4)	2.43 (3)	-0.08 (3)	144 (2)	2817 (2)	1775 (2)
295	1	-0.37 (4)	3.91 (3)	-0.22 (3)	-1186 (3)	-5311 (3)	-407 (3)
295	2	-0.37 (4)	3.79 (3)	-0.27 (3)	-1166 (3)	-5341 (3)	842 (2)
295	3	-0.37 (4)	3.65 (3)	-0.30 (3)	-1132 (3)	-5337 (3)	1303 (2)
295	4	-0.37 (4)	3.50 (3)	-0.33 (3)	-1083 (3)	-5284 (3)	1751 (2)
295	5	-0.28 (4)	4.14 (3)	-0.17 (3)	794 (2)	5511 (2)	-393 (3)
295	6	-0.28 (4)	4.01 (3)	-0.20 (3)	789 (2)	-5511 (3)	826 (2)
295	7	-0.28 (4)	3.86 (3)	-0.23 (3)	773 (2)	-5497 (3)	1274 (2)
295	8	-0.28 (4)	3.69 (3)	-0.25 (3)	746 (2)	-5433 (3)	1710 (2)
295	9	-0.20 (4)	4.39 (3)	-0.11 (3)	445 (2)	5690 (2)	-355 (3)
295	10	-0.20 (4)	4.24 (3)	-0.12 (3)	445 (2)	-5661 (3)	759 (2)
295	11	-0.20 (4)	4.07 (3)	-0.14 (3)	440 (2)	-5633 (3)	1166 (2)
295	12	-0.20 (4)	3.88 (3)	-0.16 (3)	423 (2)	-5555 (3)	1554 (2)
295	13	-0.12 (4)	4.65 (3)	-0.04 (3)	155 (2)	5744 (2)	-196 (3)
295	14	-0.11 (4)	4.49 (3)	-0.04 (3)	155 (2)	-5702 (3)	443 (2)
295	15	-0.13 (4)	4.31 (3)	-0.04 (3)	156 (2)	-5680 (3)	687 (2)
295	16	-0.13 (4)	4.09 (3)	-0.05 (3)	151 (2)	-5597 (3)	851 (2)
296	1	-0.41 (3)	3.19 (3)	0.64 (3)	550 (2)	2931 (2)	-3604 (2)
296	2	-0.41 (3)	3.57 (3)	0.46 (3)	734 (2)	4026 (2)	-3288 (2)
296	3	-0.39 (3)	3.85 (3)	0.30 (3)	877 (2)	4724 (2)	-2843 (2)
296	4	-0.38 (4)	4.02 (3)	0.17 (5-II-1)	-1000 (3)	5141 (2)	-2293 (2)
296	5	-0.30 (4)	3.32 (3)	0.48 (3)	393 (2)	2993 (2)	-3531 (2)
296	6	-0.30 (4)	3.76 (3)	0.35 (3)	516 (2)	4133 (2)	-3214 (2)
296	7	-0.29 (4)	4.07 (3)	0.23 (3)	620 (2)	4869 (2)	-2778 (2)
296	8	-0.29 (4)	4.27 (3)	0.13 (5-II-1)	687 (2)	5311 (2)	-2237 (2)
296	9	-0.21 (4)	3.47 (3)	0.31 (3)	246 (2)	3050 (2)	-3228 (2)
296	10	-0.20 (4)	3.97 (3)	0.22 (3)	303 (2)	4207 (2)	-2941 (2)
296	11	-0.20 (4)	4.33 (3)	0.14 (3)	351 (2)	5007 (2)	-2545 (2)
296	12	-0.20 (4)	4.55 (3)	0.08 (5-II-1)	383 (2)	5457 (2)	-2028 (2)
296	13	-0.13 (4)	3.65 (3)	0.11 (3)	131 (2)	3069 (2)	-1808 (2)
296	14	-0.14 (4)	4.22 (3)	0.07 (3)	132 (2)	4265 (2)	-1748 (2)
296	15	-0.10 (4)	4.61 (3)	0.05 (3)	129 (2)	5016 (2)	-1494 (2)
296	16	-0.11 (4)	4.84 (3)	0.03 (3)	137 (2)	5499 (2)	-1134 (2)
297	1	1.59 (3)	-0.36 (3)	0.69 (3)	719 (3)	97 (3)	-3728 (2)
297	2	1.45 (3)	-0.27 (4)	0.54 (3)	827 (3)	138 (3)	-3657 (2)
297	3	1.31 (3)	-0.19 (4)	0.35 (3)	921 (3)	130 (4)	-3354 (2)
297	4	1.20 (3)	-0.14 (4)	0.14 (3)	943 (3)	116 (4)	-1865 (2)
297	5	1.89 (3)	-0.36 (3)	0.64 (3)	963 (2)	242 (2)	-3785 (2)
297	6	1.82 (3)	-0.28 (4)	0.50 (3)	955 (2)	173 (2)	-3706 (2)

Muro	Pann.	Sxx	Syy	Sxy	Mxx	Myy	Mxy
297	7	1.75 (3)	-0.20 (4)	0.32 (3)	938 (2)	138 (4)	-3412 (2)
297	8	1.72 (3)	-0.15 (4)	0.10 (3)	952 (2)	118 (4)	-2019 (2)
297	9	2.17 (3)	-0.36 (4)	0.59 (3)	-2259 (3)	435 (2)	-3730 (2)
297	10	2.16 (3)	-0.28 (4)	0.45 (3)	-2232 (3)	310 (2)	-3647 (2)
297	11	2.17 (3)	-0.20 (4)	0.29 (3)	-2228 (3)	187 (2)	-3351 (2)
297	12	2.18 (3)	-0.10 (2)	0.09 (3)	-2202 (3)	117 (4)	-1977 (2)
297	13	2.44 (3)	-0.37 (4)	0.53 (3)	-3267 (3)	596 (2)	-3576 (2)
297	14	2.48 (3)	-0.28 (4)	0.40 (3)	-3280 (3)	423 (2)	-3494 (2)
297	15	2.53 (3)	-0.20 (4)	0.25 (3)	-3307 (3)	245 (2)	-3183 (2)
297	16	2.59 (3)	-0.11 (4)	0.09 (3)	-3297 (3)	116 (4)	-1758 (2)
298	1	-1.41 (2)	-0.53 (2)	0.29 (3)	-11521 (2)	-1574 (2)	-1697 (2)
298	2	-1.19 (2)	-0.32 (2)	0.29 (3)	-11993 (2)	-1404 (2)	-1533 (2)
298	3	-0.80 (5-I-1)	-0.59 (3)	0.25 (3)	-12537 (2)	-1021 (2)	-1213 (2)
298	4	-1.96 (3)	-0.60 (3)	0.45 (3)	-12870 (2)	458 (3)	-525 (2)
298	5	-1.23 (2)	-0.34 (3)	0.62 (3)	7970 (3)	-1039 (2)	-2758 (2)
298	6	-0.98 (2)	-0.32 (3)	0.62 (3)	-8157 (2)	844 (3)	-2637 (2)
298	7	-0.74 (5-I-1)	-0.19 (2)	0.55 (3)	-8428 (2)	510 (3)	-2396 (2)
298	8	-1.08 (5-I-1)	-0.14 (4)	0.18 (3)	-8451 (2)	141 (3)	-1468 (2)
298	9	-1.08 (2)	-0.35 (3)	0.73 (3)	5206 (3)	616 (3)	-3205 (2)
298	10	-0.92 (2)	-0.29 (3)	0.62 (3)	5364 (3)	487 (3)	-3140 (2)
298	11	-0.74 (2)	-0.18 (4)	0.44 (3)	5491 (3)	298 (3)	-2913 (2)
298	12	-0.71 (5-I-1)	-0.17 (2)	0.16 (3)	5548 (3)	118 (3)	-1752 (2)
298	13	1.30 (3)	-0.35 (3)	0.73 (3)	2770 (3)	336 (3)	-3539 (2)
298	14	1.07 (3)	-0.26 (3)	0.58 (3)	2912 (3)	296 (3)	-3476 (2)
298	15	-0.84 (2)	-0.19 (4)	0.39 (3)	3016 (3)	205 (3)	-3197 (2)
298	16	-0.78 (2)	-0.12 (2)	0.15 (3)	3068 (3)	109 (4)	-1785 (2)
299	1	-0.39 (3)	2.06 (3)	-0.53 (3)	369 (2)	1683 (2)	3660 (2)
299	2	-0.39 (3)	1.92 (3)	-0.58 (3)	248 (2)	950 (2)	3664 (2)
299	3	-0.39 (3)	1.77 (3)	-0.62 (3)	115 (2)	541 (5-I-1)	3640 (2)
299	4	-0.38 (3)	1.61 (3)	-0.66 (3)	183 (3)	1499 (3)	3580 (2)
299	5	-0.30 (4)	2.04 (3)	-0.41 (3)	273 (2)	1693 (2)	3577 (2)
299	6	-0.30 (4)	1.86 (3)	-0.45 (3)	181 (2)	942 (2)	3587 (2)
299	7	-0.29 (4)	1.67 (3)	-0.49 (3)	145 (4)	597 (5-I-1)	3569 (2)
299	8	-0.29 (4)	1.47 (3)	-0.52 (3)	208 (3)	1620 (3)	3516 (2)
299	9	-0.22 (4)	2.05 (3)	-0.27 (3)	174 (2)	1737 (2)	3262 (2)
299	10	-0.22 (4)	1.83 (3)	-0.29 (3)	152 (4)	945 (2)	3312 (2)
299	11	-0.22 (4)	1.58 (3)	-0.32 (3)	153 (4)	643 (5-I-1)	3295 (2)
299	12	-0.21 (4)	1.32 (3)	-0.34 (3)	166 (3)	1734 (3)	3230 (2)
299	13	-0.14 (4)	2.05 (3)	-0.10 (3)	140 (4)	1742 (2)	1783 (2)
299	14	-0.13 (4)	1.79 (3)	-0.10 (3)	135 (4)	929 (2)	1942 (2)
299	15	-0.15 (4)	1.54 (3)	-0.11 (3)	136 (4)	659 (5-I-1)	1933 (2)
299	16	-0.14 (4)	1.23 (3)	-0.13 (3)	130 (4)	1771 (3)	1771 (2)
300	1	2.69 (3)	-0.37 (4)	0.47 (3)	-4019 (3)	730 (2)	-3330 (2)
300	2	2.77 (3)	-0.28 (4)	0.36 (3)	-4070 (3)	516 (2)	-3250 (2)
300	3	2.86 (3)	-0.20 (4)	0.23 (3)	-4108 (3)	306 (2)	-2958 (2)
300	4	2.97 (3)	-0.13 (4)	0.08 (3)	-4129 (3)	129 (2)	-1631 (2)
300	5	2.92 (3)	-0.37 (4)	0.43 (3)	-4556 (3)	844 (2)	-3007 (2)
300	6	3.03 (3)	-0.28 (4)	0.32 (3)	-4639 (3)	598 (2)	-2934 (2)
300	7	3.15 (3)	-0.20 (4)	0.21 (3)	-4703 (3)	350 (2)	-2685 (2)
300	8	3.30 (3)	-0.14 (4)	0.06 (3)	-4735 (3)	138 (2)	-1581 (2)
300	9	3.13 (3)	-0.37 (4)	0.39 (3)	-4921 (3)	938 (2)	-2627 (2)
300	10	3.27 (3)	-0.28 (4)	0.30 (3)	-5029 (3)	666 (2)	-2564 (2)
300	11	3.42 (3)	-0.20 (4)	0.18 (3)	-5135 (3)	377 (2)	-2346 (2)
300	12	3.58 (3)	-0.10 (4)	0.06 (3)	-5150 (3)	139 (2)	-1375 (2)
300	13	3.33 (3)	-0.37 (4)	0.36 (3)	-5154 (3)	-1017 (3)	-2198 (2)
300	14	3.49 (3)	-0.28 (4)	0.27 (3)	-5286 (3)	713 (2)	-2147 (2)
300	15	3.67 (3)	-0.20 (4)	0.17 (3)	-5404 (3)	400 (2)	-1952 (2)
300	16	3.85 (3)	-0.12 (4)	0.06 (3)	-5433 (3)	143 (2)	-1073 (2)
301	1	-0.38 (4)	4.10 (3)	0.12 (5-II-1)	-1090 (3)	5344 (2)	-1741 (2)
301	2	-0.37 (4)	4.11 (3)	0.10 (2)	-1147 (3)	5413 (2)	-1233 (2)
301	3	-0.37 (4)	4.08 (3)	-0.10 (3)	-1182 (3)	5415 (2)	-696 (2)
301	4	-0.38 (4)	4.01 (3)	-0.17 (3)	-1192 (3)	5370 (2)	-140 (2)
301	5	-0.28 (4)	4.36 (3)	0.09 (5-II-1)	732 (2)	5532 (2)	-1695 (2)
301	6	-0.28 (4)	4.37 (3)	0.07 (2)	766 (2)	5610 (2)	-1199 (2)
301	7	-0.28 (4)	4.34 (3)	-0.08 (3)	786 (2)	5621 (2)	-676 (2)
301	8	-0.28 (4)	4.26 (3)	-0.13 (3)	794 (2)	5581 (2)	-132 (2)
301	9	-0.20 (4)	4.64 (3)	0.05 (5-II-1)	417 (2)	5679 (2)	-1534 (2)
301	10	-0.20 (4)	4.65 (3)	0.05 (2)	437 (2)	5776 (2)	-1095 (2)
301	11	-0.20 (4)	4.61 (3)	-0.05 (3)	443 (2)	5799 (2)	-615 (2)
301	12	-0.20 (4)	4.52 (3)	-0.08 (3)	446 (2)	5758 (2)	-116 (2)
301	13	-0.13 (4)	4.94 (3)	0.02 (2)	151 (2)	5737 (2)	-846 (2)
301	14	-0.13 (4)	4.95 (3)	0.01 (2)	155 (2)	5834 (2)	-645 (2)
301	15	-0.12 (4)	4.90 (3)	0.01 (2)	154 (2)	5849 (2)	-356 (2)
301	16	-0.12 (4)	4.79 (3)	-0.02 (3)	156 (2)	5818 (2)	-60 (2)

Muro	Pann.	Sxx	Syy	Sxy	Mxx	Myy	Mxy
302	1	-0.39(3)	2.14(3)	0.94(3)	140(3)	1269(3)	-3673(2)
302	2	-0.40(3)	2.39(3)	0.89(3)	131(2)	615(5-I-1)	-3724(2)
302	3	-0.40(3)	2.62(3)	0.83(3)	265(2)	1102(2)	-3740(2)
302	4	-0.40(3)	2.85(3)	0.76(3)	387(2)	1870(2)	-3728(2)
302	5	-0.28(4)	2.06(3)	0.72(3)	171(3)	1376(3)	-3609(2)
302	6	-0.28(4)	2.36(3)	0.69(3)	128(4)	669(5-I-1)	-3654(2)
302	7	-0.29(4)	2.65(3)	0.64(3)	187(2)	1099(2)	-3664(2)
302	8	-0.29(4)	2.92(3)	0.58(3)	279(2)	1885(2)	-3647(2)
302	9	-0.19(4)	1.98(3)	0.47(3)	141(3)	1479(3)	-3316(2)
302	10	-0.20(4)	2.35(3)	0.44(3)	134(4)	713(5-I-1)	-3375(2)
302	11	-0.20(4)	2.71(3)	0.41(3)	135(4)	1107(2)	-3385(2)
302	12	-0.21(4)	3.02(3)	0.37(3)	170(2)	1933(2)	-3328(2)
302	13	-0.13(4)	2.02(3)	0.18(3)	109(4)	1512(3)	-1818(2)
302	14	-0.14(4)	2.43(3)	0.15(3)	117(4)	728(5-I-1)	-1980(2)
302	15	-0.10(4)	2.77(3)	0.14(3)	117(4)	1093(2)	-1985(2)
302	16	-0.12(4)	3.12(3)	0.14(3)	122(4)	1939(2)	-1821(2)
303	1	-0.55(2)	-1.42(2)	0.69(3)	-1595(2)	-11739(2)	-1700(2)
303	2	-0.45(3)	-1.24(2)	0.99(3)	-1045(2)	-8031(2)	-2752(2)
303	3	-0.40(3)	1.40(3)	1.04(3)	598(3)	5108(3)	-3192(2)
303	4	-0.39(3)	1.79(3)	1.00(3)	326(3)	2823(3)	-3518(2)
303	5	-0.41(3)	-1.19(2)	0.62(3)	-1421(2)	-12204(2)	-1533(2)
303	6	-0.40(3)	-0.98(2)	0.92(3)	842(3)	-8301(2)	-2630(2)
303	7	-0.32(3)	1.12(3)	0.85(3)	476(3)	5269(3)	-3129(2)
303	8	-0.28(3)	1.64(3)	0.78(3)	293(3)	2961(3)	-3463(2)
303	9	-0.98(3)	-0.78(5-II-1)	0.49(3)	-1033(2)	-12741(2)	-1209(2)
303	10	-0.19(2)	-0.65(5-II-1)	0.75(3)	516(3)	-8570(2)	-2390(2)
303	11	-0.18(4)	0.81(3)	0.58(3)	290(3)	5395(3)	-2900(2)
303	12	-0.19(4)	1.49(3)	0.51(3)	205(3)	3072(3)	-3199(2)
303	13	-0.78(3)	-2.11(3)	0.69(3)	485(3)	-13071(2)	-520(2)
303	14	-0.14(4)	-0.93(5-II-1)	0.22(3)	144(3)	-8592(2)	-1465(2)
303	15	-0.18(2)	-0.58(2)	0.21(3)	113(3)	5453(3)	-1747(2)
303	16	-0.12(2)	1.37(3)	0.20(3)	106(3)	3121(3)	-1781(2)
304	1	-0.37(3)	1.40(3)	-0.70(3)	389(3)	3285(3)	3411(2)
304	2	-0.36(3)	1.20(3)	-0.70(3)	690(3)	5887(3)	3069(2)
304	3	-0.33(3)	-1.34(2)	-0.58(3)	1124(3)	8846(3)	2607(2)
304	4	-0.55(2)	-1.51(2)	-0.27(3)	1598(3)	12130(3)	1564(2)
304	5	-0.28(3)	1.19(3)	-0.56(3)	342(3)	3439(3)	3358(2)
304	6	-0.30(3)	-1.06(2)	-0.60(3)	544(3)	6065(3)	3010(2)
304	7	-0.32(3)	-1.13(2)	-0.60(3)	922(3)	9025(3)	2498(2)
304	8	-0.36(2)	-1.33(2)	-0.27(3)	1395(3)	12289(3)	1419(2)
304	9	-0.21(4)	-0.99(2)	-0.38(3)	237(3)	3562(3)	3102(2)
304	10	-0.20(4)	-0.91(2)	-0.43(3)	330(3)	6205(3)	2793(2)
304	11	-0.19(4)	-0.77(2)	-0.53(3)	566(3)	9221(3)	2275(2)
304	12	-0.45(3)	-0.97(2)	-0.26(3)	1027(3)	-12711(2)	1138(2)
304	13	-0.13(4)	-0.95(2)	-0.15(3)	128(4)	3617(3)	1728(2)
304	14	-0.17(2)	-0.78(2)	-0.15(3)	134(3)	6269(3)	1683(2)
304	15	-0.17(4)	-0.98(5-II-1)	-0.18(3)	155(3)	9218(3)	1400(2)
304	16	-0.52(3)	-1.73(3)	-0.41(3)	517(3)	-13011(2)	491(2)

Verifiche stato limite ultimo

Verifica dei Muri in calcestruzzo

Scenario di calcolo: Set_NT_ 2018 A2_SLV_SLD_STR_GEO

Simbologia:

Muro	Indice del muro in verifica
Nodi	[n1-n2-n3-n4...] Indici dei nodi di attacco del muro
Pann.X	Numero di pannelli in direzione locale X del muro(per muri a pannelli)
Pann.Y	Numero di pannelli in direzione locale Y del muro(per muri a pannelli)
Pann	Numero totale di pannelli (per muri a mesh)
Spess [cm]	Spessore del muro
Criterio	Criterio di verifica adottato per la verifica
Pannello	Indice del pannello
Nx [kg]	Sforzo in direzione x locale per metro lineare (Nx=sxx*spessore)
Ny [kg]	Sforzo in direzione y locale per metro lineare (Ny=syy*spessore)
Nxy [kg]	Sforzo tagliante locale per metro lineare (Nxy=sxy*spessore)
Mx [kg*m]	Momento in direzione x locale per metro lineare
My [kg*m]	Momento in direzione y locale per metro lineare
Mxy [kg*m]	Momento torcente locale per metro lineare
Ax [mq]	Armatura totale pannello in direzione x locale (1)
Ay [mq]	Armatura totale pannello in direzione y locale (1)
εc	Deformazione nel cls (2)

ϵ_f Deformazione nell'acciaio (²)
 Massimi Armature massime riscontrate nel muro
 Massimo massima sigma ideale riscontrata nel muro
 $\sigma_{id+}, \sigma_{id-}$ [daN/cm²] $(\sigma_x^2 + \sigma_y^2 - \sigma_x \sigma_y + 3 \tau_{xy}^2)^{1/2}$ Tensioni ideali ai lembi della lastra (Acciaio)
 $\sigma_{id+}, \sigma_{id-}$ [daN/cm²] $(\sigma_x^2 + \sigma_y^2 - \sigma_x \sigma_y + 3 \tau_{xy}^2)^{1/2}$ Tensioni ideali ai lembi della lastra (Legno)
 Fatt.Ampl.Sisma Fattore moltiplicativo di gruppo per le azioni sismiche (solo se diverso da 1.0)
 Cs Coefficiente di sicurezza definito dal rapporto $|M_r(N)|/|M_d|$ ($M_r(N)$ =Momento resistente corrispondente allo sforzo normale N, M_d =momento agente), quando richiesto dal criterio di verifica
 ζ_s Livello di sicurezza sismico definito come rapporto tra l'accelerazione sopportabile e l'accelerazione di progetto, quando richiesto dal criterio di verifica

Note Verifica muri:

(¹): Le armature A_x ed A_y vanno intese come a metro lineare di pannello.

(²): Le deformazioni sono stampate a meno del fattore 10^{-3} ; esse si riferiscono alla verifica considerando quali sollecitazioni di progetto $M_x, d=M_x \pm |M_{xy}|, M_y, d=M_y \pm |M_{xy}|$ scegliendo il segno in modo tale da rendere massimo in valore assoluto il relativo momento flettente, le sollecitazioni stampate si riferiscono alle sollecitazioni in una data combinazione riferite al sistema locale del pannello

**POTENZIAMENTO DELL'IMPIANTO DI DEPURAZIONE E
DEL RECAPITO FINALE DI SQUINZANO (LE)
PROGETTO DEFINITIVO
Tabulati di calcolo strutturale-Equalizzazione**

R.37.7

Maggio 2021

Pagina 132 di
338

Muro [Platea]: 1 - Nodi: [269-274-261-260]Pann=32Spess.=60 cm, Terreno=Terreno1, ,Criterio=CLS_Platee_ND,
Materiale=C35/45, $\zeta_e=53.735$ [(5+6)-I-1] : **Verificato**

Armatura a maglia doppia

Pannello	Nx kg	Ny kg	Nxy kg	Mx kg*m	My kg*m	Mxy kg*m	Ax cmq	Ay cmq	C	Cs
1	-14271	-7390	-3039	1088	863	244	31.42	31.42	4	26
2	-9347	-5863	-1175	1107	644	197	31.42	31.42	2	26
3	-9260	-5455	-860	1136	590	183	31.42	31.42	2	26
4	-9263	-4978	-642	1154	529	166	31.42	31.42	2	26
5	-9337	-4482	-513	1162	467	147	31.42	31.42	2	26
6	-9486	-4003	-465	1162	407	127	31.42	31.42	2	26
7	-9734	-3567	-490	1153	342	101	31.42	31.42	2	27
8	-10196	-3171	-552	1096	270	48	31.42	31.42	2	30
9	-19803	-6964	-5047	1800	1147	-69	31.42	31.42	3	20
10	-20494	-6424	-2950	1551	739	177	31.42	31.42	3	21
11	-20506	-5951	-2024	1426	517	160	31.42	31.42	3	23
12	-20278	-5323	-1500	1348	384	156	31.42	31.42	3	24
13	-20024	-4707	-1131	1308	287	156	31.42	31.42	3	25
14	-19729	-4179	-774	1304	210	168	31.42	31.42	3	25
15	-19185	-3734	-170	1340	161	173	31.42	31.42	3	24
16	-18071	-3797	1673	1515	136	444	31.42	31.42	3	18
17	-22741	-6587	-5343	2522	1150	-78	31.42	31.42	3	14
18	-21759	-6506	-3294	2609	843	146	31.42	31.42	3	13
19	-21111	-5892	-2565	2618	663	127	31.42	31.42	3	13
20	-20705	-5286	-2078	2602	540	129	31.42	31.42	3	13
21	-20412	-4717	-1649	2569	451	135	31.42	31.42	3	14
22	-20224	-4254	-1165	2513	379	149	31.42	31.42	3	14
23	-20315	-4033	-419	2419	299	158	31.42	31.42	3	14
24	-20956	-3632	1629	2253	176	464	31.42	31.42	3	14
25	-25177	-7335	-4584	3301	1038	97	31.42	31.42	3	11
26	-22538	-6660	-3961	3834	924	129	31.42	31.42	3	9.4
27	-21681	-5829	-3265	3951	813	54	31.42	31.42	3	9.2
28	-21181	-5065	-2688	4008	723	28	31.42	31.42	3	9.1
29	-20918	-4429	-2151	4001	650	19	31.42	31.42	3	9.1
30	-20901	-3953	-1469	3927	582	12	31.42	31.42	3	9.3
31	-21253	-3654	-499	3779	503	-10	31.42	31.42	3	9.7
32	-23532	-3525	545	3149	342	191	31.42	31.42	3	11
Massimi/minimi										
1							31.42			
1								31.42		
28										9.1

Muro [Platea]: 2 - Nodi: [220-214-213-222]Pann=16Spess.=60 cm, Terreno=Terreno1, ,Criterio=CLS_Platee_ND,
Materiale=C35/45, $\zeta_e=13.093$ [(5+6)-I-3] : **Verificato**

Armatura a maglia doppia

Pannello	Nx kg	Ny kg	Nxy kg	Mx kg*m	My kg*m	Mxy kg*m	Ax cmq	Ay cmq	C	Cs
1	29131	3077	-2444	-6332	-616	-228	31.42	31.42	2	3.7
2	24805	3767	620	-8338	-1159	8	31.42	31.42	2	3.0
3	25119	3697	1355	-8338	-1156	-19	31.42	31.42	2	3.0
4	30241	2651	3989	-6438	-703	138	31.42	31.42	2	3.7
5	24515	2370	-4354	-3031	-223	-817	31.42	31.42	2	6.6
6	23053	2818	769	-3608	-399	-185	31.42	31.42	2	6.8
7	23352	2813	1235	-3650	-416	-23	31.42	31.42	2	7.0
8	25614	1881	6520	-3184	-427	569	31.42	31.42	2	6.7
9	-36400	-6376	5181	4255	862	-866	31.42	31.42	3	7.9
10	-36438	-6775	4298	4627	875	-600	31.42	31.42	3	7.7
11	-36867	-6835	3131	4668	804	-381	31.42	31.42	3	8.0
12	-38235	-6483	3723	4401	500	-159	31.42	31.42	3	9.0
13	-36217	-7625	5816	4086	860	-706	31.42	31.42	3	8.4
14	-9769	-4323	2572	3921	868	-375	31.42	31.42	4	7.9
15	-10069	-3883	2262	3957	795	-320	31.42	31.42	4	8.0
16	-38715	-6119	2790	4359	582	-267	31.42	31.42	3	8.9
Massimi/minimi										
1							31.42			
1								31.42		
3										3.0

Muro [Platea]: 3 - Nodi: [214-272-268-213]Pann=15Spess.=60 cm, Terreno=Terreno1, ,Criterio=CLS_Platee_ND,
Materiale=C35/45, $\zeta_e=24.582$ [(5+6)-I-3] : **Verificato**

Armatura a maglia doppia

Pannello	Nx	Ny	Nxy	Mx	My	Mxy	Ax	Ay	C	Cs
	kg	kg	kg	kg*m	kg*m	kg*m	cmq	cmq		
1	-32162	-9746	4071	2123	847	-380	31.42	31.42	3	16
2	-18583	-6750	2468	1954	694	-310	31.42	31.42	4	16
3	-32937	-8820	2637	2197	760	-338	31.42	31.42	3	16
4	-33165	-8387	2450	2836	766	-348	31.42	31.42	3	12
5	-34982	-7373	1986	2835	668	-175	31.42	31.42	3	13
6	-35538	-5456	1127	3305	483	-203	31.42	31.42	3	11
7	-36916	-5855	2079	4124	599	-268	31.42	31.42	3	9.2
8	-34783	-7581	3291	4164	850	-330	31.42	31.42	3	8.9
9	-33588	-8625	4538	4062	1001	-455	31.42	31.42	3	8.8
10	-33529	-8566	6349	3792	868	-584	31.42	31.42	3	9.1
11	-31218	-9218	6485	2894	833	-542	31.42	31.42	3	11
12	-32249	-9505	5094	2473	912	-490	31.42	31.42	3	13
13	-32876	-9242	3473	2416	880	-436	31.42	31.42	3	14
14	-33798	-8851	3608	2938	952	-398	31.42	31.42	3	12
15	-32703	-8976	4329	3110	949	-398	31.42	31.42	3	11
Massimi/minimi										
1							31.42			
1								31.42		
9										8.8

Muro [Platea]: 4 - Nodi: [272-278-265-268]Pann=48Spess.=60 cm, Terreno=Terreno1, ,Criterio=CLS_Platee_ND,
Materiale=C35/45, $\zeta_e=35.312$ [(5+6)-I-3] : **Verificato**

Armatura a maglia doppia

Pannello	Nx	Ny	Nxy	Mx	My	Mxy	Ax	Ay	C	Cs
	kg	kg	kg	kg*m	kg*m	kg*m	cmq	cmq		
1	-23973	-8889	6126	3328	920	-322	31.42	31.42	3	10
2	-21342	-8825	5057	4158	1151	-470	31.42	31.42	3	8.0
3	-20787	-8484	3965	4460	1204	-362	31.42	31.42	3	7.6
4	-20787	-7964	3286	4652	1176	-279	31.42	31.42	3	7.4
5	-21311	-7334	2711	4744	1105	-218	31.42	31.42	3	7.4
6	-22206	-6561	1930	4703	987	-156	31.42	31.42	3	7.6
7	-23924	-5734	1033	4562	813	-114	31.42	31.42	3	8.0
8	-28273	-4706	-18	3850	518	-318	31.42	31.42	3	9.2
9	-21646	-9033	6908	2585	826	96	31.42	31.42	3	14
10	-20241	-9000	4656	3032	1064	-207	31.42	31.42	3	11
11	-19977	-8411	3520	3272	1115	-184	31.42	31.42	3	11
12	-20196	-7818	2757	3423	1058	-185	31.42	31.42	3	10
13	-20687	-7189	2121	3484	965	-202	31.42	31.42	3	10.0
14	-21465	-6601	1384	3459	847	-231	31.42	31.42	3	10.0
15	-22906	-5995	340	3352	656	-246	31.42	31.42	3	10
16	-25727	-4696	-2031	3027	387	-640	31.42	31.42	3	10
17	-18576	-9315	6910	1936	851	286	31.42	31.42	3	16
18	-18730	-8812	4254	2109	974	-54	31.42	31.42	3	17
19	-19131	-8159	2938	2232	969	-57	31.42	31.42	3	16
20	-19601	-7483	2191	2319	887	-109	31.42	31.42	3	15
21	-20107	-6859	1608	2367	780	-175	31.42	31.42	3	14
22	-20666	-6297	910	2379	661	-250	31.42	31.42	3	14
23	-21384	-5712	-381	2368	520	-288	31.42	31.42	3	14
24	-22439	-4989	-3162	2320	367	-731	31.42	31.42	3	12
25	-15430	-9648	6156	1346	912	327	31.42	31.42	3	21
26	-8406	-5075	1280	1127	619	-234	31.42	31.42	2	25
27	-8317	-4856	1214	1164	602	-186	31.42	31.42	2	25
28	-14774	-6271	1443	1324	665	-102	31.42	31.42	4	25
29	-15117	-5744	1092	1348	564	-120	31.42	31.42	4	24
30	-19847	-5806	406	1429	471	-211	31.42	31.42	3	22
31	-19804	-5325	-812	1511	400	-249	31.42	31.42	3	21
32	-19139	-5220	-3392	1690	378	-675	31.42	31.42	3	15
33	-8736	-5672	1322	1010	599	-278	31.42	31.42	2	26
34	-8312	-5552	1110	1149	665	-185	31.42	31.42	2	25
35	-8212	-5283	957	1214	650	-149	31.42	31.42	2	25
36	-8266	-4942	829	1252	593	-116	31.42	31.42	2	25
37	-8427	-4572	746	1266	522	-86	31.42	31.42	2	25
38	-8706	-4196	743	1256	445	-60	31.42	31.42	2	26
39	-9174	-3811	835	1228	349	-40	31.42	31.42	2	27
40	-16360	-5224	-2833	1121	365	-487	31.42	31.42	3	22
41	-8417	-6191	1270	968	640	-174	31.42	31.42	2	30
42	-8097	-6039	902	1124	676	-127	31.42	31.42	2	27
43	-8054	-5714	646	1204	656	-123	31.42	31.42	2	25
44	-8157	-5272	463	1253	604	-121	31.42	31.42	2	25

**POTENZIAMENTO DELL'IMPIANTO DI DEPURAZIONE E
DEL RECAPITO FINALE DI SQUINZANO (LE)
PROGETTO DEFINITIVO
Tabulati di calcolo strutturale-Equalizzazione**

R.37.7

Maggio 2021

Pagina 134 di
338

Pannello	Nx	Ny	Nxy	Mx	My	Mxy	Ax	Ay	C	Cs
45	-8382	-4786	364	1275	540	-116	31.42	31.42	2	24
46	-8733	-4292	357	1270	469	-106	31.42	31.42	2	25
47	-9254	-3789	431	1243	384	-88	31.42	31.42	2	25
48	-10111	-3255	504	1142	284	-28	31.42	31.42	2	29
Massimi/minimi										
1							31.42			
1								31.42		
5										7.4

Muro [Platea]: 5 - Nodi: [278-277-249-265]Pann=32Spess.=60 cm, Terreno=Terrenol, ,Criterio=CLS_Platee_ND,
Materiale=C35/45, $\zeta_e=130.384$ [(5+6)-I-3] : **Verificato**

Armatura a maglia doppia

Pannello	Nx	Ny	Nxy	Mx	My	Mxy	Ax	Ay	C	Cs
	kg	kg	kg	kg*m	kg*m	kg*m	cmq	cmq		
1	-6194	-9459	1085	857	1029	4	31.42	31.42	3	33
2	-6797	-8056	1144	1200	937	-25	31.42	31.42	3	27
3	-7650	-6775	945	1384	796	34	31.42	31.42	3	24
4	-8230	-5648	686	1509	666	75	31.42	31.42	3	21
5	-8598	-4707	363	1579	551	102	31.42	31.42	3	20
6	-8782	-4024	-87	1594	458	122	31.42	31.42	3	20
7	-8800	-3678	-623	1547	397	135	31.42	31.42	3	20
8	-9537	-3676	-916	1273	327	0	31.42	31.42	3	27
9	-5757	-8795	61	568	1008	186	31.42	31.42	3	28
10	-6745	-7716	-175	665	911	115	31.42	31.42	3	33
11	-8886	-5901	408	900	659	-22	31.42	31.42	2	37
12	-8903	-5869	31	921	628	43	31.42	31.42	4	35
13	-9174	-5182	-37	948	513	37	31.42	31.42	4	34
14	-9331	-4620	-137	955	412	29	31.42	31.42	4	35
15	-9703	-4163	300	971	349	-27	31.42	31.42	2	34
16	-9906	-3862	141	980	272	-28	31.42	31.42	2	34
17	-5370	-8579	-1095	440	1023	242	31.42	31.42	3	27
18	-6646	-7513	-1246	427	865	208	31.42	31.42	3	31
19	-8847	-5943	-47	881	658	8	31.42	31.42	2	38
20	-9104	-5471	-71	900	580	5	31.42	31.42	2	37
21	-9314	-5001	-65	914	499	-0	31.42	31.42	2	37
22	-9490	-4560	-46	926	420	-5	31.42	31.42	2	36
23	-9640	-4185	-36	937	348	-7	31.42	31.42	2	36
24	-9757	-3928	-78	952	280	-9	31.42	31.42	2	35
25	-5281	-8941	-2281	454	989	233	31.42	31.42	3	28
26	-6562	-7592	-2460	436	801	182	31.42	31.42	3	34
27	-8802	-6082	-571	874	637	8	31.42	31.42	2	38
28	-9100	-5522	-598	892	565	-8	31.42	31.42	2	38
29	-9345	-4966	-574	908	492	-18	31.42	31.42	2	37
30	-9546	-4447	-501	923	424	-20	31.42	31.42	2	36
31	-9699	-4010	-387	937	365	-15	31.42	31.42	2	36
32	-9765	-3714	-245	955	316	-1	31.42	31.42	2	36
Massimi/minimi										
1							31.42			
1								31.42		
6										20

Muro [Platea]: 6 - Nodi: [277-269-260-249]Pann=32Spess.=60 cm, Terreno=Terrenol, ,Criterio=CLS_Platee_ND,
Materiale=C35/45, $\zeta_e=151.879$ [(5+6)-I-1] : **Verificato**

Armatura a maglia doppia

Pannello	Nx	Ny	Nxy	Mx	My	Mxy	Ax	Ay	C	Cs
	kg	kg	kg	kg*m	kg*m	kg*m	cmq	cmq		
1	-6899	-8767	-2895	376	997	257	31.42	31.42	3	27
2	-8484	-7492	-1850	213	741	345	31.42	31.42	3	31
3	-9042	-6078	-265	850	623	102	31.42	31.42	2	36
4	-9266	-5504	-99	879	552	99	31.42	31.42	2	35
5	-9457	-4930	-6	904	483	91	31.42	31.42	2	34
6	-9622	-4398	19	926	418	78	31.42	31.42	2	34
7	-9753	-3954	-14	943	362	60	31.42	31.42	2	34
8	-9811	-3656	-85	961	315	35	31.42	31.42	2	34
9	-8323	-7812	-4147	712	1099	182	31.42	31.42	3	26
10	-9237	-6857	-2716	623	798	288	31.42	31.42	3	31
11	-9202	-5873	-707	906	631	93	31.42	31.42	2	34
12	-9377	-5376	-559	922	552	78	31.42	31.42	2	34
13	-9523	-4878	-451	936	475	66	31.42	31.42	2	34

**POTENZIAMENTO DELL'IMPIANTO DI DEPURAZIONE E
DEL RECAPITO FINALE DI SQUINZANO (LE)
PROGETTO DEFINITIVO
Tabulati di calcolo strutturale-Equalizzazione**

R.37.7

Maggio 2021

Pagina 135 di
338

Pannello	Nx	Ny	Nxy	Mx	My	Mxy	Ax	Ay	C	Cs
14	-9651	-4416	-374	948	403	55	31.42	31.42	2	34
15	-9763	-4034	-313	958	338	45	31.42	31.42	2	34
16	-9856	-3785	-222	967	274	36	31.42	31.42	2	34
17	-10083	-7211	-4798	1118	1106	198	31.42	31.42	3	26
18	-10056	-6654	-3401	1156	818	308	31.42	31.42	3	23
19	-10086	-5664	-2811	1173	616	252	31.42	31.42	3	24
20	-10094	-4760	-2314	1167	464	209	31.42	31.42	3	25
21	-10031	-3976	-1856	1147	347	171	31.42	31.42	3	26
22	-9892	-3380	-1400	1110	255	140	31.42	31.42	3	27
23	-9731	-3087	-910	1047	181	116	31.42	31.42	3	29
24	-9721	-2862	48	981	89	234	31.42	31.42	3	28
25	-11585	-7694	-4710	1615	1008	251	31.42	31.42	3	18
26	-10587	-6561	-4349	1897	821	230	31.42	31.42	3	16
27	-10577	-5395	-3706	1920	657	136	31.42	31.42	3	17
28	-10565	-4379	-3074	1920	531	81	31.42	31.42	3	17
29	-10506	-3543	-2470	1893	428	48	31.42	31.42	3	18
30	-10410	-2917	-1792	1839	345	23	31.42	31.42	3	18
31	-10279	-2578	-988	1754	285	-3	31.42	31.42	3	19
32	-10893	-2633	-304	1441	212	105	31.42	31.42	3	22
Massimi/minimi										
1							31.42			
1								31.42		
26										16

Muro [Platea]: 7 - Nodi: [274-276-259-261]Pann=32Spess.=60 cm, Terreno=Terrenol, ,Criterio=CLS_Platee_ND,
Materiale=C35/45,ζ_e=25.470 [(5+6)-I-1] : **Verificato**

Armatura a maglia doppia

Pannello	Nx	Ny	Nxy	Mx	My	Mxy	Ax	Ay	C	Cs
	kg	kg	kg	kg*m	kg*m	kg*m	cmq	cmq		
1	-32481	-8013	-3242	2583	905	146	31.42	31.42	3	14
2	-4227	-3912	-684	1827	593	196	31.42	31.42	2	16
3	-3274	-3724	-737	1936	596	189	31.42	31.42	2	15
4	-2877	-3406	-745	1983	562	177	31.42	31.42	2	15
5	-2844	-3041	-781	1974	516	166	31.42	31.42	2	15
6	-3177	-2652	-956	1911	456	155	31.42	31.42	2	16
7	-4056	-2211	-1361	1792	353	146	31.42	31.42	2	17
8	-31484	-4465	957	2325	279	223	31.42	31.42	3	15
9	-34760	-7536	-3974	3387	1067	-148	31.42	31.42	3	11
10	-35036	-7281	-2180	3209	796	49	31.42	31.42	3	12
11	-34931	-7101	-1467	3079	664	44	31.42	31.42	3	13
12	-34756	-6732	-1096	3001	581	64	31.42	31.42	3	13
13	-34647	-6279	-877	2969	510	93	31.42	31.42	3	13
14	-34591	-5785	-632	2983	438	130	31.42	31.42	3	13
15	-34413	-5225	-126	3051	371	152	31.42	31.42	3	12
16	-33845	-5138	1773	3192	327	455	31.42	31.42	3	11
17	-37273	-7222	-3984	4020	1016	-117	31.42	31.42	3	9.8
18	-36060	-7349	-2298	4171	892	9	31.42	31.42	3	9.6
19	-35360	-7167	-1699	4186	825	11	31.42	31.42	3	9.6
20	-34993	-6851	-1457	4191	763	48	31.42	31.42	3	9.5
21	-34848	-6457	-1305	4188	703	90	31.42	31.42	3	9.4
22	-34935	-6020	-1093	4171	635	142	31.42	31.42	3	9.3
23	-35455	-5596	-491	4133	523	176	31.42	31.42	3	9.3
24	-36752	-4959	1431	3942	360	443	31.42	31.42	3	9.2
25	-39177	-7147	-3213	4487	872	70	31.42	31.42	3	9.0
26	-36797	-7432	-2324	4889	932	47	31.42	31.42	3	8.2
27	-35674	-7270	-1977	5025	935	21	31.42	31.42	3	8.0
28	-35158	-6900	-1815	5120	899	22	31.42	31.42	3	7.8
29	-35019	-6493	-1680	5158	857	33	31.42	31.42	3	7.7
30	-35292	-6069	-1482	5134	801	53	31.42	31.42	3	7.7
31	-36269	-5477	-1010	5055	678	72	31.42	31.42	3	7.9
32	-39013	-4546	34	4586	436	210	31.42	31.42	3	8.6
Massimi/minimi										
1							31.42			
1								31.42		
29										7.7

Muro [Platea]: 8 - Nodi: [276-208-253-259]Pann=30Spess.=60 cm, Terreno=Terrenol, ,Criterio=CLS_Platee_ND,
Materiale=C35/45,ζ_e=14.056 [(5+6)-I-1] : **Verificato**

Armatura a maglia doppia

Pannello	Nx	Ny	Nxy	Mx	My	Mxy	Ax	Ay	C	Cs
	kg	kg	kg	kg*m	kg*m	kg*m	cmq	cmq		
1	-11065	-2933	-887	4087	693	150	31.42	31.42	4	8.1
2	-10471	-3107	-620	4232	751	147	31.42	31.42	4	7.8
3	-10407	-3359	-656	4259	783	164	31.42	31.42	4	7.7
4	-37650	-7232	-1091	4985	916	188	31.42	31.42	3	7.9
5	-38287	-7390	-1281	4934	889	219	31.42	31.42	3	7.9
6	-40523	-6756	-1451	4586	778	347	31.42	31.42	3	8.4
7	-39678	-6246	-147	4437	774	515	31.42	31.42	3	8.3
8	22842	2504	5220	-3581	-323	860	31.42	31.42	2	5.8
9	28996	3077	2763	-6372	-643	237	31.42	31.42	2	3.7
10	24536	3695	-338	-8214	-1125	-6	31.42	31.42	2	3.1
11	24799	3662	-1123	-8133	-1128	-11	31.42	31.42	2	3.1
12	29992	2894	-3863	-6400	-718	-181	31.42	31.42	2	3.7
13	23949	2281	-6722	-3607	-545	-693	31.42	31.42	2	6.0
14	-40463	-5433	-2263	4492	414	-158	31.42	31.42	3	8.9
15	-41393	-4771	-1077	4510	423	9	31.42	31.42	3	9.2
16	-39286	-5894	-584	4774	643	88	31.42	31.42	3	8.4
17	-38050	-6353	-1422	4569	762	198	31.42	31.42	3	8.6
18	21026	3805	-597	-4386	-541	75	31.42	31.42	2	5.9
19	-37243	-6239	-1543	4349	686	296	31.42	31.42	3	8.7
20	23359	2602	343	-2922	-398	-24	31.42	31.42	2	8.8
21	-37828	-6532	-949	4995	831	120	31.42	31.42	3	8.0
22	-37836	-6568	-1353	4976	880	185	31.42	31.42	3	7.9
23	-38160	-6707	-1258	4912	847	245	31.42	31.42	3	7.9
24	-38178	-6089	-624	4586	694	-15	31.42	31.42	3	8.9
25	21358	3841	-914	-4361	-554	16	31.42	31.42	2	6.0
26	23647	2563	-1733	-2900	-402	149	31.42	31.42	2	8.4
27	-37487	-5982	-636	4371	571	-55	31.42	31.42	3	9.2
28	-38806	-5943	-1000	4886	641	-7	31.42	31.42	3	8.4
29	-38168	-6056	-546	4941	768	7	31.42	31.42	3	8.2
30	-37931	-6373	-730	4983	797	41	31.42	31.42	3	8.1
Massimi/minimi										
1							31.42			
1								31.42		
10										3.1

Muro [Platea]: 9 - Nodi: [222-213-210-223]Pann=16Spess.=60 cm, Terreno=Terreno1, ,Criterio=CLS_Platee_ND, Materiale=C35/45, $\zeta_e=12.678$ [(5+6)-I-3] : **Verificato**

Armatura a maglia doppia

Pannello	Nx	Ny	Nxy	Mx	My	Mxy	Ax	Ay	C	Cs
	kg	kg	kg	kg*m	kg*m	kg*m	cmq	cmq		
1	34730	2265	-4427	-5874	-451	-314	31.42	31.42	2	3.7
2	27478	4703	-1155	-7361	-1105	75	31.42	31.42	2	3.3
3	27429	4980	836	-7369	-1124	-19	31.42	31.42	2	3.4
4	33988	3316	3924	-5793	-600	383	31.42	31.42	2	3.7
5	26520	2554	-8092	-2965	-291	-884	31.42	31.42	2	6.5
6	24590	3669	-1740	-3226	-446	-26	31.42	31.42	2	7.8
7	24632	3682	1156	-3244	-446	65	31.42	31.42	2	7.7
8	26357	2712	7174	-2973	-353	966	31.42	31.42	2	6.4
9	-39425	-5124	276	4414	648	-413	31.42	31.42	3	8.5
10	-38106	-5576	1494	4689	699	-275	31.42	31.42	3	8.2
11	-38228	-5577	2365	4701	657	-233	31.42	31.42	3	8.3
12	-39753	-5517	3639	4434	529	-9	31.42	31.42	3	9.3
13	-40103	-5138	1454	4315	570	-262	31.42	31.42	3	9.0
14	-38648	-5990	1810	4520	692	-234	31.42	31.42	3	8.6
15	-38754	-6029	2227	4554	678	-230	31.42	31.42	3	8.6
16	-40477	-5316	2552	4376	553	-155	31.42	31.42	3	9.1
Massimi/minimi										
1							31.42			
1								31.42		
2										3.3

Muro [Platea]: 10 - Nodi: [213-268-264-210]Pann=8Spess.=60 cm, Terreno=Terreno1, ,Criterio=CLS_Platee_ND, Materiale=C35/45, $\zeta_e=24.406$ [(5+6)-I-3] : **Verificato**

Armatura a maglia doppia

Pannello	Nx	Ny	Nxy	Mx	My	Mxy	Ax	Ay	C	Cs
	kg	kg	kg	kg*m	kg*m	kg*m	cmq	cmq		
1	-37945	-5340	2565	4138	543	-125	31.42	31.42	3	9.6
2	-36845	-5553	1943	4340	650	-206	31.42	31.42	3	8.9

Pannello	Nx	Ny	Nxy	Mx	My	Mxy	Ax	Ay	C	Cs
3	-37050	-5568	1979	4359	655	-224	31.42	31.42	3	8.9
4	-38467	-5311	1371	4190	579	-279	31.42	31.42	3	9.2
5	-35961	-4989	2941	3247	446	-157	31.42	31.42	3	12
6	-36485	-5795	2306	2993	483	-218	31.42	31.42	3	13
7	-36639	-5818	1635	3012	494	-151	31.42	31.42	3	13
8	-36545	-5034	840	3316	490	-207	31.42	31.42	3	11
Massimi/minimi										
1							31.42			
1								31.42		
3										8.9

Muro [Platea]: 11 - Nodi: [268-265-270-264]Pann=24Spess.=60 cm, Terreno=Terreno1, ,Criterio=CLS_Platee_ND, Materiale=C35/45, ζ_e =36.160 [(5+6)-I-3] : **Verificato**

Armatura a maglia doppia

Pannello	Nx	Ny	Nxy	Mx	My	Mxy	Ax	Ay	C	Cs
	kg	kg	kg	kg*m	kg*m	kg*m	cmq	cmq		
1	-28855	-4178	3683	3834	509	-77	31.42	31.42	3	9.9
2	-25886	-4676	2400	4463	692	-242	31.42	31.42	3	8.1
3	-26111	-4694	950	4461	708	-160	31.42	31.42	3	8.2
4	-29419	-4214	-327	3867	566	-280	31.42	31.42	3	9.3
5	-26229	-4054	5232	3027	417	197	31.42	31.42	3	12
6	-24542	-4778	2505	3300	544	-184	31.42	31.42	3	11
7	-24771	-4681	775	3313	570	-185	31.42	31.42	3	11
8	-26845	-3810	-1870	3085	513	-530	31.42	31.42	3	11
9	-22833	-4270	5830	2347	394	295	31.42	31.42	3	14
10	-22640	-4315	2635	2419	401	-154	31.42	31.42	3	14
11	-22915	-4119	404	2448	423	-187	31.42	31.42	3	14
12	-23629	-3711	-2618	2441	480	-607	31.42	31.42	3	12
13	-19411	-4465	5399	1752	393	306	31.42	31.42	3	18
14	-20618	-3726	2395	1682	266	-127	31.42	31.42	3	20
15	-20951	-3447	240	1727	276	-161	31.42	31.42	3	19
16	-20413	-3584	-2611	1881	451	-571	31.42	31.42	3	15
17	-16499	-4451	4077	1206	373	241	31.42	31.42	3	25
18	-9643	-3049	-146	1205	316	6	31.42	31.42	2	28
19	-9667	-3061	73	1204	330	14	31.42	31.42	2	28
20	-17623	-3409	-1949	1354	399	-437	31.42	31.42	3	20
21	-10254	-2918	-72	1131	304	-25	31.42	31.42	2	30
22	-9748	-3123	-58	1195	329	9	31.42	31.42	2	28
23	-9762	-3175	39	1189	339	14	31.42	31.42	2	28
24	-10270	-3071	29	1125	336	35	31.42	31.42	2	29
Massimi/minimi										
1							31.42			
1								31.42		
2										8.1

Muro [Platea]: 12 - Nodi: [265-249-257-270]Pann=16Spess.=60 cm, Terreno=Terreno1, ,Criterio=CLS_Platee_ND, Materiale=C35/45, ζ_e =143.398 [(5+6)-I-3] : **Verificato**

Armatura a maglia doppia

Pannello	Nx	Ny	Nxy	Mx	My	Mxy	Ax	Ay	C	Cs
	kg	kg	kg	kg*m	kg*m	kg*m	cmq	cmq		
1	-9715	-2923	1107	1299	342	8	31.42	31.42	3	26
2	-9367	-2173	697	1582	268	-73	31.42	31.42	3	21
3	-9669	-1966	-132	1611	253	-17	31.42	31.42	3	21
4	-10552	-2315	-677	1388	319	-65	31.42	31.42	3	24
5	-9643	-3064	616	964	319	77	31.42	31.42	4	33
6	-10014	-3300	-12	1008	307	3	31.42	31.42	2	34
7	-10038	-3313	-97	1011	320	5	31.42	31.42	2	34
8	-10017	-2744	-655	1007	335	-72	31.42	31.42	4	32
9	-9833	-3382	44	972	336	12	31.42	31.42	2	35
10	-9934	-3322	-20	971	305	6	31.42	31.42	2	35
11	-9961	-3331	-79	975	317	6	31.42	31.42	2	35
12	-9910	-3388	-155	986	377	0	31.42	31.42	2	35
13	-9815	-3355	-78	966	334	14	31.42	31.42	2	35
14	-9918	-3267	-46	959	309	11	31.42	31.42	2	35
15	-9931	-3302	-20	961	318	14	31.42	31.42	2	35
16	-9863	-3441	-38	973	363	5	31.42	31.42	2	35
Massimi/minimi										
1							31.42			
1								31.42		

**POTENZIAMENTO DELL'IMPIANTO DI DEPURAZIONE E
DEL RECAPITO FINALE DI SQUINZANO (LE)
PROGETTO DEFINITIVO
Tabulati di calcolo strutturale-Equalizzazione**

R.37.7

Maggio 2021

Pagina 138 di
338

Pannello	Nx	Ny	Nxy	Mx	My	Mxy	Ax	Ay	C	Cs
2										21

Muro [Platea]: 13 - Nodi: [249-260-255-257]Pann=16Spess.=60 cm, Terreno=Terreno1, ,Criterio=CLS_Platee_ND,
Materiale=C35/45, $\zeta_e=146.352$ [(5+6)-I-1] : **Verificato**

Armatura a maglia doppia

Pannello	Nx	Ny	Nxy	Mx	My	Mxy	Ax	Ay	C	Cs
	kg	kg	kg	kg*m	kg*m	kg*m	cmq	cmq		
1	-9852	-3311	-159	972	331	12	31.42	31.42	2	35
2	-9931	-3232	-131	966	308	7	31.42	31.42	2	35
3	-9939	-3276	-117	968	317	-2	31.42	31.42	2	35
4	-9878	-3426	-55	977	360	1	31.42	31.42	2	35
5	-9911	-3273	-240	985	327	14	31.42	31.42	2	34
6	-9977	-3236	-141	984	298	11	31.42	31.42	2	34
7	-9991	-3263	-55	986	311	6	31.42	31.42	2	34
8	-9945	-3333	43	993	370	5	31.42	31.42	2	34
9	-10248	-2611	-1194	1045	284	-9	31.42	31.42	4	32
10	-9741	-1712	-934	1035	123	81	31.42	31.42	3	31
11	-9861	-1625	-481	1047	121	67	31.42	31.42	3	31
12	-9993	-1598	445	1034	240	176	31.42	31.42	3	28
13	-10816	-2007	-1784	1440	259	64	31.42	31.42	3	23
14	-10237	-1455	-1204	1702	204	118	31.42	31.42	3	19
15	-10358	-1400	-328	1710	201	59	31.42	31.42	3	19
16	-11117	-1858	260	1468	266	98	31.42	31.42	3	22
Massimi/minimi										
1							31.42			
1								31.42		
14										19

Muro [Platea]: 14 - Nodi: [260-261-254-255]Pann=16Spess.=60 cm, Terreno=Terreno1, ,Criterio=CLS_Platee_ND,
Materiale=C35/45, $\zeta_e=53.128$ [(5+6)-I-1] : **Verificato**

Armatura a maglia doppia

Pannello	Nx	Ny	Nxy	Mx	My	Mxy	Ax	Ay	C	Cs
	kg	kg	kg	kg*m	kg*m	kg*m	cmq	cmq		
1	-10234	-2849	-165	1097	292	40	31.42	31.42	2	30
2	-9942	-2928	-130	1143	301	9	31.42	31.42	2	30
3	-9944	-2984	-116	1142	312	-5	31.42	31.42	2	30
4	-10239	-3004	-35	1097	327	-28	31.42	31.42	2	30
5	-18006	-2847	-3530	1546	269	-195	31.42	31.42	3	21
6	-19028	-2477	-1524	1387	135	91	31.42	31.42	3	25
7	-19110	-2440	-469	1399	142	115	31.42	31.42	3	24
8	-18248	-2700	1458	1582	309	397	31.42	31.42	3	18
9	-20898	-2760	-3723	2263	311	-200	31.42	31.42	3	15
10	-20295	-2947	-1546	2378	292	100	31.42	31.42	3	15
11	-20348	-2938	-497	2382	303	118	31.42	31.42	3	15
12	-21001	-2759	1608	2275	365	409	31.42	31.42	3	14
13	-23477	-3030	-2776	3134	399	15	31.42	31.42	3	12
14	-21362	-2892	-1676	3666	466	155	31.42	31.42	3	9.6
15	-21419	-2933	-345	3661	475	77	31.42	31.42	3	9.9
16	-23539	-3179	790	3129	440	193	31.42	31.42	3	11
Massimi/minimi										
1							31.42			
1								31.42		
14										9.6

Muro [Platea]: 15 - Nodi: [261-259-245-254]Pann=16Spess.=60 cm, Terreno=Terreno1, ,Criterio=CLS_Platee_ND,
Materiale=C35/45, $\zeta_e=25.818$ [(5+6)-I-1] : **Verificato**

Armatura a maglia doppia

Pannello	Nx	Ny	Nxy	Mx	My	Mxy	Ax	Ay	C	Cs
	kg	kg	kg	kg*m	kg*m	kg*m	cmq	cmq		
1	-31352	-4121	-2715	2342	321	8	31.42	31.42	3	17
2	-4561	-1754	277	1670	326	-16	31.42	31.42	2	19
3	-4559	-1842	-404	1658	339	6	31.42	31.42	2	20
4	-31444	-4240	579	2371	360	193	31.42	31.42	3	15
5	-33825	-4504	-3658	3217	426	-211	31.42	31.42	3	12
6	-34393	-4362	-1577	3102	369	100	31.42	31.42	3	12
7	-34410	-4418	-609	3108	386	131	31.42	31.42	3	12

Pannello	Nx	Ny	Nxy	Mx	My	Mxy	Ax	Ay	C	Cs
8	-33908	-4586	1405	3239	483	432	31.42	31.42	3	11
9	-36730	-4406	-3461	3949	465	-192	31.42	31.42	3	9.8
10	-35557	-4930	-1486	4108	546	89	31.42	31.42	3	9.6
11	-35531	-5018	-585	4103	566	141	31.42	31.42	3	9.5
12	-36638	-4675	1234	3941	532	415	31.42	31.42	3	9.3
13	-38896	-4363	-2014	4569	499	-23	31.42	31.42	3	8.9
14	-36360	-5234	-1171	4961	699	97	31.42	31.42	3	8.0
15	-36294	-5381	-691	4942	717	112	31.42	31.42	3	8.0
16	-38635	-4841	88	4526	564	222	31.42	31.42	3	8.6
Massimi/minimi										
1							31.42			
1								31.42		
14										8.0

Muro [Platea]: 16 - Nodi: [259-253-256-245]Pann=16Spess.=60 cm, Terreno=Terreno1, ,Criterio=CLS_Platee_ND, Materiale=C35/45, $\zeta_e=13.601$ [(5+6)-I-1] : **Verificato**

Armatura a maglia doppia

Pannello	Nx kg	Ny kg	Nxy kg	Mx kg*m	My kg*m	Mxy kg*m	Ax cmq	Ay cmq	C	Cs
1	-41437	-4550	-191	4481	497	135	31.42	31.42	3	9.0
2	-39490	-5778	-638	4648	674	99	31.42	31.42	3	8.7
3	-39368	-5937	-958	4639	686	83	31.42	31.42	3	8.7
4	-41082	-5088	-1326	4445	538	22	31.42	31.42	3	9.3
5	-40522	-4877	1302	4529	566	257	31.42	31.42	3	8.6
6	-38872	-5463	-167	4785	676	98	31.42	31.42	3	8.4
7	-38800	-5613	-1145	4777	673	68	31.42	31.42	3	8.5
8	-40275	-5305	-2482	4496	553	-131	31.42	31.42	3	8.9
9	26465	2529	8008	-2979	-302	897	31.42	31.42	2	6.5
10	24581	3648	1736	-3247	-442	5	31.42	31.42	2	7.8
11	24631	3695	-1113	-3248	-448	-76	31.42	31.42	2	7.7
12	26388	2730	-7115	-2975	-350	-971	31.42	31.42	2	6.3
13	34592	2301	4376	-5878	-467	333	31.42	31.42	2	3.7
14	27424	4669	1159	-7380	-1099	-76	31.42	31.42	2	3.3
15	27414	4950	-809	-7373	-1121	16	31.42	31.42	2	3.4
16	33995	3307	-3887	-5792	-596	-386	31.42	31.42	2	3.7
Massimi/minimi										
1							31.42			
1								31.42		
14										3.3

Muro [Platea]: 17 - Nodi: [223-210-212-218]Pann=16Spess.=60 cm, Terreno=Terreno1, ,Criterio=CLS_Platee_ND, Materiale=C35/45, $\zeta_e=13.461$ [(5+6)-I-3] : **Verificato**

Armatura a maglia doppia

Pannello	Nx kg	Ny kg	Nxy kg	Mx kg*m	My kg*m	Mxy kg*m	Ax cmq	Ay cmq	C	Cs
1	36230	2649	-4258	-5484	-540	-564	31.42	31.42	2	3.7
2	30093	4211	-1424	-6810	-924	-28	31.42	31.42	2	3.5
3	30014	4213	754	-6800	-894	21	31.42	31.42	2	3.5
4	35981	2700	3677	-5446	-432	596	31.42	31.42	2	3.7
5	26786	2477	-8135	-2869	-394	-1179	31.42	31.42	2	6.2
6	25586	3272	-2300	-2986	-389	-58	31.42	31.42	2	8.3
7	25493	3343	1483	-2970	-335	144	31.42	31.42	2	8.1
8	26575	2702	7274	-2823	-211	1273	31.42	31.42	2	6.1
9	-40307	-5265	-96	4413	583	-472	31.42	31.42	3	8.5
10	-38941	-5745	1076	4674	643	-245	31.42	31.42	3	8.3
11	-38957	-5897	2224	4680	659	-189	31.42	31.42	3	8.4
12	-40237	-5672	3558	4423	666	124	31.42	31.42	3	9.1
13	-41081	-5257	1306	4361	548	-264	31.42	31.42	3	9.0
14	-39940	-5959	1644	4556	642	-193	31.42	31.42	3	8.7
15	-39916	-6138	2040	4586	673	-160	31.42	31.42	3	8.7
16	-41190	-5728	2221	4413	659	-60	31.42	31.42	3	9.3
Massimi/minimi										
1							31.42			
1								31.42		
2										3.5

Muro [Platea]: 18 - Nodi: [210-264-273-212]Pann=8Spess.=60 cm, Terreno=Terreno1, ,Criterio=CLS_Platee_ND,
Materiale=C35/45, $\zeta_e=26.523$ [(5+6)-I-3] : **Verificato**

Armatura a maglia doppia

Pannello	Nx kg	Ny kg	Nxy kg	Mx kg*m	My kg*m	Mxy kg*m	Ax cmq	Ay cmq	C	Cs
1	-39141	-5449	2300	4176	500	-83	31.42	31.42	3	9.6
2	-38287	-5696	1580	4384	610	-196	31.42	31.42	3	8.9
3	-38443	-5871	1364	4392	669	-215	31.42	31.42	3	8.9
4	-39434	-5878	753	4216	715	-264	31.42	31.42	3	9.2
5	-36791	-5331	2424	3397	415	-57	31.42	31.42	3	12
6	-37709	-5713	1981	3208	470	-145	31.42	31.42	3	12
7	-37787	-5967	1450	3234	544	-113	31.42	31.42	3	12
8	-37141	-5963	737	3466	664	-212	31.42	31.42	3	11
Massimi/minimi										
1							31.42			
1								31.42		
3										8.9

Muro [Platea]: 19 - Nodi: [264-270-271-273]Pann=24Spess.=60 cm, Terreno=Terreno1, ,Criterio=CLS_Platee_ND,
Materiale=C35/45, $\zeta_e=37.843$ [(5+6)-I-3] : **Verificato**

Armatura a maglia doppia

Pannello	Nx kg	Ny kg	Nxy kg	Mx kg*m	My kg*m	Mxy kg*m	Ax cmq	Ay cmq	C	Cs
1	-30770	-4504	2721	3725	436	28	31.42	31.42	3	10
2	-28559	-5076	1622	4223	607	-207	31.42	31.42	3	8.7
3	-28670	-5341	419	4236	710	-193	31.42	31.42	3	8.7
4	-31148	-5190	-547	3785	764	-326	31.42	31.42	3	9.5
5	-27783	-4714	4345	2997	275	322	31.42	31.42	3	12
6	-26761	-5289	2060	3188	461	-122	31.42	31.42	3	12
7	-26883	-5355	335	3215	639	-179	31.42	31.42	3	11
8	-28017	-4881	-2046	3083	841	-563	31.42	31.42	3	11
9	-24124	-4934	5000	2407	208	399	31.42	31.42	3	13
10	-24033	-5086	2378	2460	385	-106	31.42	31.42	3	15
11	-24109	-5102	83	2492	595	-185	31.42	31.42	3	14
12	-24322	-5018	-2540	2505	852	-646	31.42	31.42	3	12
13	-20499	-5083	4770	1895	172	388	31.42	31.42	3	16
14	-21120	-4766	2300	1858	322	-93	31.42	31.42	3	19
15	-21219	-4758	159	1897	541	-178	31.42	31.42	3	18
16	-20770	-5091	-2213	2008	847	-635	31.42	31.42	3	14
17	-17326	-4988	3803	1421	137	303	31.42	31.42	3	21
18	-18686	-4360	1908	1282	263	-82	31.42	31.42	3	27
19	-18901	-4386	488	1327	464	-155	31.42	31.42	3	24
20	-17782	-4965	-1210	1551	795	-544	31.42	31.42	3	17
21	-10437	-3389	-425	1101	301	25	31.42	31.42	2	30
22	-10115	-3688	-420	1148	362	71	31.42	31.42	2	28
23	-10042	-3912	-438	1146	417	88	31.42	31.42	2	28
24	-15851	-4978	199	1066	592	-240	31.42	31.42	3	27
Massimi/minimi										
1							31.42			
1								31.42		
2										8.7

Muro [Platea]: 20 - Nodi: [270-257-241-271]Pann=16Spess.=60 cm, Terreno=Terreno1, ,Criterio=CLS_Platee_ND,
Materiale=C35/45, $\zeta_e=140.860$ [(5+6)-I-3] : **Verificato**

Armatura a maglia doppia

Pannello	Nx kg	Ny kg	Nxy kg	Mx kg*m	My kg*m	Mxy kg*m	Ax cmq	Ay cmq	C	Cs
1	-10972	-3255	863	1329	199	15	31.42	31.42	3	26
2	-10381	-3380	390	1554	323	-129	31.42	31.42	3	20
3	-10568	-3680	-108	1589	462	-123	31.42	31.42	3	20
4	-11668	-3993	-348	1445	642	-167	31.42	31.42	3	21
5	-10186	-3798	576	981	159	100	31.42	31.42	4	32
6	-10028	-4034	-313	1004	364	31	31.42	31.42	2	33
7	-9962	-4173	-438	1006	447	38	31.42	31.42	2	33
8	-10003	-3473	-756	1027	730	-195	31.42	31.42	3	28
9	-9913	-4012	-57	971	294	22	31.42	31.42	2	34
10	-9872	-4116	-152	969	370	19	31.42	31.42	2	35
11	-9802	-4263	-234	970	455	22	31.42	31.42	2	34
12	-9524	-4045	-353	918	654	-81	31.42	31.42	4	34

Pannello	Nx	Ny	Nxy	Mx	My	Mxy	Ax	Ay	C	Cs
13	-9830	-3907	45	966	333	17	31.42	31.42	2	35
14	-9815	-4083	84	957	385	27	31.42	31.42	2	35
15	-9716	-4339	69	953	446	28	31.42	31.42	2	35
16	-9579	-4612	-3	955	522	11	31.42	31.42	2	35
Massimi/minimi										
1							31.42			
1								31.42		
3										20

Muro [Platea]: 21 - Nodi: [257-255-242-241]Pann=16Spess.=60 cm, Terreno=Terreno1, ,Criterio=CLS_Platee_ND, Materiale=C35/45, $\zeta_e=146.321$ [(5+6)-I-1] : **Verificato**

Armatura a maglia doppia

Pannello	Nx	Ny	Nxy	Mx	My	Mxy	Ax	Ay	C	Cs
	kg	kg	kg	kg*m	kg*m	kg*m	cmq	cmq		
1	-9854	-3866	-87	969	334	-13	31.42	31.42	2	35
2	-9830	-4061	-110	960	385	-28	31.42	31.42	2	34
3	-9729	-4333	-79	956	444	-31	31.42	31.42	2	34
4	-9595	-4622	20	957	518	-16	31.42	31.42	2	35
5	-9941	-3953	18	978	294	-14	31.42	31.42	2	34
6	-9887	-4073	113	976	369	-16	31.42	31.42	2	34
7	-9817	-4239	196	976	450	-21	31.42	31.42	2	34
8	-9482	-3216	287	882	659	178	31.42	31.42	3	32
9	-10532	-3535	-706	1035	157	-74	31.42	31.42	4	31
10	-10267	-3085	-651	1033	180	49	31.42	31.42	3	32
11	-10458	-3178	-224	1070	381	67	31.42	31.42	3	30
12	-10606	-3210	627	1110	676	197	31.42	31.42	3	26
13	-11501	-2734	-1026	1403	171	17	31.42	31.42	3	24
14	-10856	-2876	-478	1629	285	147	31.42	31.42	3	19
15	-10984	-3255	81	1655	416	129	31.42	31.42	3	19
16	-12002	-3715	337	1492	591	159	31.42	31.42	3	21
Massimi/minimi										
1							31.42			
1								31.42		
15										19

Muro [Platea]: 22 - Nodi: [255-254-246-242]Pann=16Spess.=60 cm, Terreno=Terreno1, ,Criterio=CLS_Platee_ND, Materiale=C35/45, $\zeta_e=54.705$ [(5+6)-I-1] : **Verificato**

Armatura a maglia doppia

Pannello	Nx	Ny	Nxy	Mx	My	Mxy	Ax	Ay	C	Cs
	kg	kg	kg	kg*m	kg*m	kg*m	cmq	cmq		
1	-13703	-3591	-991	1101	221	-68	31.42	31.42	4	30
2	-10078	-3648	359	1114	357	-65	31.42	31.42	2	29
3	-9992	-3891	405	1112	414	-83	31.42	31.42	2	29
4	-16114	-4444	12	1140	541	214	31.42	31.42	3	26
5	-18122	-4003	-3377	1602	101	-273	31.42	31.42	3	19
6	-18910	-3832	-1561	1516	234	70	31.42	31.42	3	23
7	-19037	-3946	-340	1548	422	135	31.42	31.42	3	22
8	-18322	-4291	1321	1696	715	471	31.42	31.42	3	17
9	-21374	-3963	-3398	2213	169	-299	31.42	31.42	3	15
10	-20939	-4228	-1472	2302	331	76	31.42	31.42	3	15
11	-21020	-4350	-240	2327	512	136	31.42	31.42	3	15
12	-21475	-4306	1725	2289	754	469	31.42	31.42	3	13
13	-24331	-3834	-2108	2993	347	-60	31.42	31.42	3	12
14	-22473	-4195	-1132	3426	499	162	31.42	31.42	3	10
15	-22530	-4530	-59	3435	613	147	31.42	31.42	3	10
16	-24540	-4736	757	3039	710	275	31.42	31.42	3	11
Massimi/minimi										
1							31.42			
1								31.42		
14										10

Muro [Platea]: 23 - Nodi: [254-245-248-246]Pann=16Spess.=60 cm, Terreno=Terreno1, ,Criterio=CLS_Platee_ND, Materiale=C35/45, $\zeta_e=27.851$ [(5+6)-I-1] : **Verificato**

Armatura a maglia doppia

Pannello	Nx	Ny	Nxy	Mx	My	Mxy	Ax	Ay	C	Cs
	kg	kg	kg	kg*m	kg*m	kg*m	cmq	cmq		

**POTENZIAMENTO DELL'IMPIANTO DI DEPURAZIONE E
DEL RECAPITO FINALE DI SQUINZANO (LE)
PROGETTO DEFINITIVO
Tabulati di calcolo strutturale-Equalizzazione**

R.37.7

Maggio 2021

Pagina 142 di
338

Pannello	Nx	Ny	Nxy	Mx	My	Mxy	Ax	Ay	C	Cs
1	-30896	-4930	-2490	2504	309	-87	31.42	31.42	3	15
2	-32835	-5045	-1794	2100	330	77	31.42	31.42	3	18
3	-32818	-5382	-798	2125	427	55	31.42	31.42	3	18
4	-31047	-5799	157	2565	617	249	31.42	31.42	3	14
5	-33838	-5392	-3590	3269	344	-274	31.42	31.42	3	11
6	-34270	-5302	-1632	3231	439	92	31.42	31.42	3	12
7	-34304	-5438	-407	3249	568	152	31.42	31.42	3	12
8	-33806	-5750	1409	3318	769	484	31.42	31.42	3	10
9	-37122	-5245	-3346	3891	414	-238	31.42	31.42	3	9.8
10	-36327	-5621	-1525	4031	532	93	31.42	31.42	3	9.8
11	-36296	-5755	-230	4038	649	141	31.42	31.42	3	9.7
12	-36958	-5656	1574	3912	783	414	31.42	31.42	3	9.4
13	-39583	-4978	-1892	4418	495	-39	31.42	31.42	3	9.2
14	-37793	-5623	-1040	4734	645	117	31.42	31.42	3	8.4
15	-37779	-5848	-283	4722	712	133	31.42	31.42	3	8.4
16	-39460	-5631	576	4406	708	211	31.42	31.42	3	8.9
Massimi/minimi										
1							31.42			
1								31.42		
15										8.4

Muro [Platea]: 24 - Nodi: [245-256-238-248]Pann=16Spess.=60 cm, Terreno=Terreno1, ,Criterio=CLS_Platee_ND, Materiale=C35/45, $\zeta_e=14.449$ [(5+6)-I-1] : **Verificato**

Armatura a maglia doppia

Pannello	Nx	Ny	Nxy	Mx	My	Mxy	Ax	Ay	C	Cs
	kg	kg	kg	kg*m	kg*m	kg*m	cmq	cmq		
1	-41641	-5037	-315	4413	517	162	31.42	31.42	3	9.1
2	-40375	-5869	-705	4586	632	97	31.42	31.42	3	8.8
3	-40242	-6088	-1059	4603	672	59	31.42	31.42	3	8.9
4	-41440	-5607	-1269	4430	646	-33	31.42	31.42	3	9.3
5	-40778	-5228	1171	4457	556	351	31.42	31.42	3	8.6
6	-39330	-5719	-62	4708	630	126	31.42	31.42	3	8.5
7	-39235	-5857	-1263	4707	665	75	31.42	31.42	3	8.6
8	-40442	-5594	-2625	4443	681	-215	31.42	31.42	3	8.9
9	26825	2448	8171	-2873	-398	1171	31.42	31.42	2	6.2
10	25627	3251	2353	-2989	-390	51	31.42	31.42	2	8.3
11	25531	3334	-1411	-2973	-332	-151	31.42	31.42	2	8.1
12	26611	2711	-7180	-2824	-204	-1279	31.42	31.42	2	6.1
13	36244	2622	4287	-5482	-542	560	31.42	31.42	2	3.7
14	30118	4187	1467	-6805	-923	27	31.42	31.42	2	3.5
15	30037	4196	-702	-6795	-891	-23	31.42	31.42	2	3.5
16	35991	2697	-3622	-5443	-426	-598	31.42	31.42	2	3.7
Massimi/minimi										
1							31.42			
1								31.42		
14										3.5

Muro [Platea]: 25 - Nodi: [218-212-215-216]Pann=16Spess.=60 cm, Terreno=Terreno1, ,Criterio=CLS_Platee_ND, Materiale=C35/45, $\zeta_e=15.332$ [(5+6)-I-3] : **Verificato**

Armatura a maglia doppia

Pannello	Nx	Ny	Nxy	Mx	My	Mxy	Ax	Ay	C	Cs
	kg	kg	kg	kg*m	kg*m	kg*m	cmq	cmq		
1	33312	2620	-4634	-5758	-657	-363	31.42	31.42	2	3.8
2	26303	4333	-1778	-7292	-1101	-10	31.42	31.42	2	3.4
3	25761	4083	98	-7212	-1027	-97	31.42	31.42	2	3.4
4	32137	1866	3385	-5597	-269	369	31.42	31.42	2	3.9
5	25739	1547	-8148	-2943	-481	-875	31.42	31.42	2	6.6
6	23636	2726	-2197	-3150	-430	37	31.42	31.42	2	8.1
7	23013	2891	518	-3049	-322	157	31.42	31.42	2	8.1
8	24324	2158	6461	-2699	30	1059	31.42	31.42	2	6.8
9	-39366	-6752	-1269	4471	579	-443	31.42	31.42	3	8.4
10	-37241	-7577	-75	4804	831	-149	31.42	31.42	3	8.2
11	-36744	-8096	562	4806	980	-28	31.42	31.42	3	8.4
12	-37963	-7958	2379	4427	1070	390	31.42	31.42	3	8.5
13	-40194	-6787	383	4542	652	-189	31.42	31.42	3	8.7
14	-37628	-8286	719	4924	950	-44	31.42	31.42	3	8.2
15	-37079	-9065	933	4997	1091	1	31.42	31.42	3	8.1
16	-39428	-8873	762	4629	1066	184	31.42	31.42	3	8.5
Massimi/minimi										

Pannello	Nx	Ny	Nxy	Mx	My	Mxy	Ax	Ay	C	Cs
1							31.42			
1								31.42		
2										3.4

Muro [Platea]: 26 - Nodi: [212-273-267-215]Pann=8Spess.=60 cm, Terreno=Terrenol, ,Criterio=CLS_Platee_ND,
Materiale=C35/45,ζ_e=28.824 [(5+6)-I-3] : **Verificato**

Armatura a maglia doppia

Pannello	Nx kg	Ny kg	Nxy kg	Mx kg*m	My kg*m	Mxy kg*m	Ax cmq	Ay cmq	C	Cs
1	-39155	-7483	1231	4171	607	-80	31.42	31.42	3	9.7
2	-38026	-8607	122	4294	899	-159	31.42	31.42	3	9.2
3	-38159	-9670	-263	4253	1057	-144	31.42	31.42	3	9.3
4	-39108	-10015	-1231	4147	1191	-47	31.42	31.42	3	9.8
5	-37204	-7539	2153	3423	558	-63	31.42	31.42	3	12
6	-37291	-9267	1594	3228	811	-60	31.42	31.42	3	12
7	-37098	-10549	455	3280	1023	54	31.42	31.42	3	12
8	-37039	-10960	-1261	3512	1262	108	31.42	31.42	3	11
Massimi/minimi										
1							31.42			
1								31.42		
2										9.2

Muro [Platea]: 27 - Nodi: [273-271-258-267]Pann=24Spess.=60 cm, Terreno=Terrenol, ,Criterio=CLS_Platee_ND,
Materiale=C35/45,ζ_e=41.056 [(5+6)-I-3] : **Verificato**

Armatura a maglia doppia

Pannello	Nx kg	Ny kg	Nxy kg	Mx kg*m	My kg*m	Mxy kg*m	Ax cmq	Ay cmq	C	Cs
1	-30613	-7433	1942	3855	552	-69	31.42	31.42	3	10.0
2	-28004	-8883	-50	4406	993	-308	31.42	31.42	3	8.2
3	-28158	-10210	-1887	4368	1291	-196	31.42	31.42	3	8.4
4	-30992	-11041	-3353	3904	1516	-72	31.42	31.42	3	9.8
5	-27895	-8537	3614	3064	243	225	31.42	31.42	3	12
6	-26347	-9725	845	3350	813	-159	31.42	31.42	3	11
7	-26514	-10509	-1147	3413	1293	-125	31.42	31.42	3	11
8	-27883	-10531	-4251	3222	1853	-226	31.42	31.42	3	11
9	-24693	-9088	4517	2428	126	297	31.42	31.42	3	14
10	-24374	-9737	1491	2548	665	-125	31.42	31.42	3	14
11	-24493	-10294	-809	2645	1245	-131	31.42	31.42	3	14
12	-24714	-11044	-3764	2664	2037	-388	31.42	31.42	3	12
13	-21549	-9199	4691	1891	72	275	31.42	31.42	3	17
14	-22415	-9345	1856	1884	537	-96	31.42	31.42	3	19
15	-22588	-9971	-183	1990	1152	-119	31.42	31.42	3	18
16	-21782	-11192	-2722	2163	2097	-448	31.42	31.42	3	14
17	-18871	-8800	4272	1417	63	174	31.42	31.42	3	23
18	-9348	-5279	-1548	1168	543	155	31.42	31.42	2	26
19	-9157	-5616	-1560	1155	651	193	31.42	31.42	2	25
20	-19408	-11258	-1120	1690	2033	-418	31.42	31.42	3	14
21	-10009	-4846	-1086	1095	433	106	31.42	31.42	2	28
22	-9310	-5528	-1121	1144	572	167	31.42	31.42	2	26
23	-9007	-6069	-1263	1111	661	181	31.42	31.42	2	26
24	-17853	-12366	516	1171	1613	-61	31.42	31.42	3	21
Massimi/minimi										
1							31.42			
1								31.42		
2										8.2

Muro [Platea]: 28 - Nodi: [271-241-240-258]Pann=16Spess.=60 cm, Terreno=Terrenol, ,Criterio=CLS_Platee_ND,
Materiale=C35/45,ζ_e=143.014 [(5+6)-I-3] : **Verificato**

Armatura a maglia doppia

Pannello	Nx kg	Ny kg	Nxy kg	Mx kg*m	My kg*m	Mxy kg*m	Ax cmq	Ay cmq	C	Cs
1	-12243	-6533	722	1488	279	-122	31.42	31.42	3	22
2	-12015	-7470	-727	1788	646	-313	31.42	31.42	3	16
3	-12262	-9394	-1742	1828	1088	-260	31.42	31.42	3	17
4	-13302	-11575	-1765	1691	1711	-128	31.42	31.42	3	19
5	-10608	-6862	360	992	182	80	31.42	31.42	4	32

Pannello	Nx	Ny	Nxy	Mx	My	Mxy	Ax	Ay	C	Cs
6	-11199	-8306	262	1069	468	-68	31.42	31.42	3	30
7	-11751	-9250	-205	1195	1081	-64	31.42	31.42	3	27
8	-11857	-10146	-1208	1312	2061	-108	31.42	31.42	3	16
9	-9570	-5573	-264	933	436	41	31.42	31.42	2	35
10	-9316	-5953	-395	916	584	48	31.42	31.42	2	35
11	-11245	-9101	541	879	1030	-36	31.42	31.42	3	32
12	-10871	-10159	140	1086	2057	-166	31.42	31.42	3	15
13	-9469	-5454	55	928	483	22	31.42	31.42	2	36
14	-10284	-6832	1095	819	558	127	31.42	31.42	4	36
15	-10928	-9197	2078	774	948	212	31.42	31.42	3	29
16	-10696	-11460	1386	978	1656	4	31.42	31.42	3	21
Massimi/minimi										
1							31.42			
1								31.42		
12										15

Muro [Platea]: 29 - Nodi: [241-242-243-240]Pann=16Spess.=60 cm, Terreno=Terreno1, ,Criterio=CLS_Platee_ND, Materiale=C35/45, $\zeta_e=150.667$ [(5+6)-I-1] : **Verificato**

Armatura a maglia doppia

Pannello	Nx	Ny	Nxy	Mx	My	Mxy	Ax	Ay	C	Cs
	kg	kg	kg	kg*m	kg*m	kg*m	cmq	cmq		
1	-9489	-5423	-10	930	486	-29	31.42	31.42	2	35
2	-9248	-5990	-51	900	592	-48	31.42	31.42	2	36
3	-11324	-9226	-1902	740	923	-251	31.42	31.42	3	29
4	-11031	-11559	-887	970	1595	-68	31.42	31.42	3	21
5	-9571	-5543	274	938	442	-40	31.42	31.42	2	35
6	-9299	-5961	392	920	588	-48	31.42	31.42	2	35
7	-11679	-9011	-464	937	981	24	31.42	31.42	3	34
8	-11476	-10134	98	1136	1937	133	31.42	31.42	3	17
9	-10847	-6536	-295	1045	219	-70	31.42	31.42	4	31
10	-11556	-7897	-101	1175	484	74	31.42	31.42	3	28
11	-12086	-9068	327	1278	1023	61	31.42	31.42	3	26
12	-12341	-10087	1166	1366	1935	100	31.42	31.42	3	17
13	-12456	-6065	-536	1524	300	122	31.42	31.42	3	21
14	-12209	-7112	858	1809	639	312	31.42	31.42	3	16
15	-12469	-9138	1782	1841	1040	271	31.42	31.42	3	16
16	-13372	-11467	1709	1696	1627	134	31.42	31.42	3	19
Massimi/minimi										
1							31.42			
1								31.42		
14										16

Muro [Platea]: 30 - Nodi: [242-246-234-243]Pann=16Spess.=60 cm, Terreno=Terreno1, ,Criterio=CLS_Platee_ND, Materiale=C35/45, $\zeta_e=59.701$ [(5+6)-I-1] : **Verificato**

Armatura a maglia doppia

Pannello	Nx	Ny	Nxy	Mx	My	Mxy	Ax	Ay	C	Cs
	kg	kg	kg	kg*m	kg*m	kg*m	cmq	cmq		
1	-9918	-4912	979	1059	438	-99	31.42	31.42	2	29
2	-9384	-5539	1054	1088	567	-156	31.42	31.42	2	27
3	-9068	-6119	1258	1056	657	-175	31.42	31.42	2	28
4	-17720	-11912	-182	1249	1547	38	31.42	31.42	3	22
5	-19013	-7942	-3261	1593	102	-168	31.42	31.42	3	21
6	-20020	-8390	-1395	1525	505	78	31.42	31.42	3	23
7	-20319	-9508	-306	1616	1009	89	31.42	31.42	3	21
8	-19499	-10733	1435	1841	1879	315	31.42	31.42	3	16
9	-21705	-7829	-2868	2240	173	-194	31.42	31.42	3	15
10	-21305	-8705	-674	2409	644	105	31.42	31.42	3	15
11	-21567	-9690	496	2480	1121	102	31.42	31.42	3	14
12	-22022	-10523	2602	2444	1851	249	31.42	31.42	3	14
13	-24354	-6930	-1603	3097	476	59	31.42	31.42	3	12
14	-22616	-8016	228	3589	853	281	31.42	31.42	3	9.6
15	-22718	-9656	1759	3569	1187	196	31.42	31.42	3	9.9
16	-24531	-11393	2727	3143	1580	105	31.42	31.42	3	12
Massimi/minimi										
1							31.42			
1								31.42		
14										9.6

Muro [Platea]: 31 - Nodi: [246-248-250-234]Pann=16Spess.=60 cm, Terreno=Terrenol, ,Criterio=CLS_Platee_ND,
Materiale=C35/45, $\zeta_e=28.882$ [(5+6)-I-1] : **Verificato**

Armatura a maglia doppia

Pannello	Nx kg	Ny kg	Nxy kg	Mx kg*m	My kg*m	Mxy kg*m	Ax cmq	Ay cmq	C	Cs
1	-31639	-7490	-2728	2476	448	-38	31.42	31.42	3	16
2	-4555	-3841	2059	1649	525	-254	31.42	31.42	2	17
3	-20478	-7737	568	1956	795	-206	31.42	31.42	4	17
4	-31268	-11818	1124	2585	1391	-26	31.42	31.42	3	15
5	-33990	-8371	-2996	3232	392	-167	31.42	31.42	3	12
6	-34229	-8906	-891	3177	701	83	31.42	31.42	3	12
7	-34153	-9861	346	3221	1040	69	31.42	31.42	3	12
8	-33545	-10773	2332	3327	1578	202	31.42	31.42	3	11
9	-36705	-8075	-2286	3862	456	-177	31.42	31.42	3	10
10	-35567	-9059	-268	4013	827	68	31.42	31.42	3	9.9
11	-35475	-9752	986	4024	1121	70	31.42	31.42	3	9.8
12	-36078	-10186	2989	3889	1479	110	31.42	31.42	3	10
13	-38819	-7214	-725	4393	603	-28	31.42	31.42	3	9.3
14	-36663	-8704	609	4666	953	111	31.42	31.42	3	8.5
15	-36623	-9662	1446	4582	1136	92	31.42	31.42	3	8.7
16	-38197	-9855	2711	4284	1214	-31	31.42	31.42	3	9.5
Massimi/minimi										
1							31.42			
1								31.42		
14										8.5

Muro [Platea]: 32 - Nodi: [248-238-236-250]Pann=16Spess.=60 cm, Terreno=Terrenol, ,Criterio=CLS_Platee_ND,
Materiale=C35/45, $\zeta_e=16.459$ [(5+6)-I-1] : **Verificato**

Armatura a maglia doppia

Pannello	Nx kg	Ny kg	Nxy kg	Mx kg*m	My kg*m	Mxy kg*m	Ax cmq	Ay cmq	C	Cs
1	-40306	-6732	317	4538	632	111	31.42	31.42	3	8.9
2	-37533	-8398	-20	4881	956	-31	31.42	31.42	3	8.3
3	-36779	-9245	5	4948	1113	-97	31.42	31.42	3	8.0
4	-38932	-8894	385	4574	1074	-293	31.42	31.42	3	8.4
5	-39482	-6842	2020	4469	558	346	31.42	31.42	3	8.5
6	-37221	-7692	855	4782	833	57	31.42	31.42	3	8.4
7	-36591	-8174	317	4771	998	-63	31.42	31.42	3	8.4
8	-37771	-7973	-1225	4397	1093	-497	31.42	31.42	3	8.3
9	25749	1519	8224	-2946	-490	867	31.42	31.42	2	6.6
10	23607	2732	2279	-3153	-434	-40	31.42	31.42	2	8.1
11	22948	2907	-401	-3067	-316	-150	31.42	31.42	2	8.1
12	24143	2191	-6271	-2697	28	-1087	31.42	31.42	2	6.8
13	33301	2586	4686	-5757	-660	359	31.42	31.42	2	3.8
14	26264	4305	1851	-7296	-1100	11	31.42	31.42	2	3.4
15	25674	4064	-7	-7228	-1022	96	31.42	31.42	2	3.4
16	31981	1946	-3305	-5600	-278	-389	31.42	31.42	2	3.9
Massimi/minimi										
1							31.42			
1								31.42		
14										3.4

Muro [Platea]: 33 - Nodi: [216-215-211-217]Pann=16Spess.=60 cm, Terreno=Terrenol, ,Criterio=CLS_Platee_ND,
Materiale=C35/45, $\zeta_e=21.384$ [(5+6)-I-3] : **Verificato**

Armatura a maglia doppia

Pannello	Nx kg	Ny kg	Nxy kg	Mx kg*m	My kg*m	Mxy kg*m	Ax cmq	Ay cmq	C	Cs
1	27259	1181	-5070	-5764	-644	-114	31.42	31.42	2	4.2
2	19779	2679	-2910	-7026	-970	20	31.42	31.42	2	3.8
3	16721	2920	-2122	-6239	-869	18	31.42	31.42	2	4.4
4	16693	3074	522	-4003	-376	274	31.42	31.42	2	6.4
5	22347	-384	-8183	-2774	-465	-358	31.42	31.42	2	8.3
6	18290	1323	-3035	-2859	-267	341	31.42	31.42	2	8.5
7	15437	1986	-2485	-2411	-187	572	31.42	31.42	2	9.3
8	-22172	-10888	-12650	2244	2241	2801	31.42	31.42	3	6.8
9	-35192	-12062	-6244	4398	748	-83	31.42	31.42	3	9.0
10	-30402	-14137	-6773	4819	1493	607	31.42	31.42	3	7.2
11	-26697	-15852	-10882	4665	1977	1363	31.42	31.42	3	6.3

Pannello	Nx	Ny	Nxy	Mx	My	Mxy	Ax	Ay	C	Cs
12	-24100	-16804	-13341	3669	2406	2513	31.42	31.42	3	6.1
13	-35651	-12051	-3853	4985	1117	264	31.42	31.42	3	7.7
14	-28762	-16115	-5307	5862	1957	793	31.42	31.42	3	5.8
15	-24306	-19853	-9269	5878	2551	1251	31.42	31.42	3	5.3
16	-23904	-22508	-14086	4390	2658	1910	31.42	31.42	3	5.9
Massimi/minimi										
1							31.42			
1								31.42		
2										3.8

Muro [Platea]: 34 - Nodi: [217-211-209-221]Pann=16Spess.=60 cm, Terreno=Terrenol, ,Criterio=CLS_Platee_ND,
Materiale=C35/45, $\zeta_e=19.476$ [(5+6)-I-1] : **Verificato**

Armatura a maglia doppia

Pannello	Nx	Ny	Nxy	Mx	My	Mxy	Ax	Ay	C	Cs
	kg	kg	kg	kg*m	kg*m	kg*m	cmq	cmq		
1	15317	2286	-3279	-2508	-408	72	31.42	31.42	2	11
2	-11300	-10528	-21310	-2199	669	1782	31.42	31.42	3	8.7
3	-4723	-4746	-18815	-739	770	2210	31.42	31.42	3	11
4	-95	989	-10837	277	619	1451	31.42	31.42	3	15
5	-17025	-20061	-30115	1529	525	2414	31.42	31.42	3	9.1
6	-12829	-13874	-25162	1263	1725	4085	31.42	31.42	3	6.0
7	-8355	-9633	-22450	1229	1808	4754	31.42	31.42	3	5.2
8	-3905	-3063	-18384	699	669	2866	31.42	31.42	3	9.2
9	-21272	-19708	-30363	2876	2015	2267	31.42	31.42	3	7.2
10	-14517	-19414	-28643	2728	2629	3749	31.42	31.42	3	5.4
11	-11085	-14545	-26599	1977	2299	4540	31.42	31.42	3	5.2
12	-8137	-10528	-22021	871	-154	2759	31.42	31.42	3	9.3
13	-21857	-24144	-26930	3568	2774	2212	31.42	31.42	3	6.4
14	-13911	-24823	-30405	3627	3148	2868	31.42	31.42	3	5.4
15	-14111	-21568	-31761	1658	2550	3170	31.42	31.42	3	6.5
16	2191	18060	-1958	-370	-2467	-117	31.42	31.42	2	11
Massimi/minimi										
1							31.42			
1								31.42		
11										5.2

Muro [Platea]: 35 - Nodi: [215-267-275-211]Pann=8Spess.=60 cm, Terreno=Terrenol, ,Criterio=CLS_Platee_ND,
Materiale=C35/45, $\zeta_e=35.131$ [(5+6)-I-3] : **Verificato**

Armatura a maglia doppia

Pannello	Nx	Ny	Nxy	Mx	My	Mxy	Ax	Ay	C	Cs
	kg	kg	kg	kg*m	kg*m	kg*m	cmq	cmq		
1	-38422	-13834	-3577	3913	1146	236	31.42	31.42	3	9.9
2	-35684	-18974	-7154	3611	1913	405	31.42	31.42	3	10
3	-32763	-24541	-10278	3071	2532	745	31.42	31.42	3	10
4	-29704	-27937	-14417	2776	2902	1368	31.42	31.42	3	9.0
5	-36271	-15203	-1435	3494	1260	262	31.42	31.42	3	11
6	-33597	-20940	-3336	3316	2074	509	31.42	31.42	3	10
7	-30319	-26925	-7064	3266	2843	800	31.42	31.42	3	9.6
8	-27235	-32063	-12145	2952	3372	1290	31.42	31.42	3	8.4
Massimi/minimi										
1							31.42			
1								31.42		
8										8.4

Muro [Platea]: 36 - Nodi: [211-275-266-209]Pann=15Spess.=60 cm, Terreno=Terrenol, ,Criterio=CLS_Platee_ND,
Materiale=C35/45, $\zeta_e=68.850$ [(5+6)-II-1] : **Verificato**

Armatura a maglia doppia

Pannello	Nx	Ny	Nxy	Mx	My	Mxy	Ax	Ay	C	Cs
	kg	kg	kg	kg*m	kg*m	kg*m	cmq	cmq		
1	-16218	-36419	-24975	2004	4507	1698	31.42	31.42	3	6.5
2	-16842	-36030	-27041	1344	3892	1272	31.42	31.42	3	7.8
3	88	27099	-7237	-506	-3122	-1227	31.42	31.42	2	5.7
4	209	34465	-2760	-395	-4964	-650	31.42	31.42	2	4.1
5	1801	26635	-1059	-603	-5487	-110	31.42	31.42	2	4.5
6	2256	23154	380	-551	-4715	44	31.42	31.42	2	5.4
7	-8562	-18970	-16368	2230	1173	2460	31.42	31.42	3	7.2

**POTENZIAMENTO DELL'IMPIANTO DI DEPURAZIONE E
DEL RECAPITO FINALE DI SQUINZANO (LE)
PROGETTO DEFINITIVO
Tabulati di calcolo strutturale-Equalizzazione**

R.37.7

Maggio 2021

Pagina 147 di
338

Pannello	Nx	Ny	Nxy	Mx	My	Mxy	Ax	Ay	C	Cs
8	-13249	-26327	-22551	2075	3496	3642	31.42	31.42	3	5.3
9	-21310	-30696	-23167	1825	3556	2902	31.42	31.42	3	6.0
10	-26047	-29362	-20940	2355	3326	2146	31.42	31.42	3	7.1
11	-23694	-34226	-18716	2648	3911	1605	31.42	31.42	3	7.2
12	-19444	-34958	-22725	2438	4204	1837	31.42	31.42	3	6.6
13	-15761	-29548	-22995	412	2881	2628	31.42	31.42	3	7.0
14	-13373	-29924	-23100	1111	3209	3095	31.42	31.42	3	6.2
15	-16111	-32610	-25748	1373	3761	2413	31.42	31.42	3	6.4
Massimi/minimi										
1							31.42			
1								31.42		
4										4.1

Muro [Platea]: 37 - Nodi: [267-258-263-275]Pann=42Spess.=60 cm, Terreno=Terreno1, ,Criterio=CLS_Platee_ND,
Materiale=C35/45, $\zeta_e=49.800$ [(5+6)-I-3] : **Verificato**

Armatura a maglia doppia

Pannello	Nx	Ny	Nxy	Mx	My	Mxy	Ax	Ay	C	Cs
	kg	kg	kg	kg*m	kg*m	kg*m	cmq	cmq		
1	-21656	-23194	5280	834	1866	743	31.42	31.42	3	14
2	-21266	-27013	5216	878	2453	930	31.42	31.42	3	11
3	-20361	-31248	4475	1004	3087	975	31.42	31.42	3	9.6
4	-19674	-35182	2770	1194	3820	860	31.42	31.42	3	8.6
5	-18464	-38884	127	1344	4476	700	31.42	31.42	3	7.9
6	-16763	-42098	-3283	1584	5303	474	31.42	31.42	3	7.2
7	-20325	-36441	-6161	2251	5403	365	31.42	31.42	3	7.0
8	-23042	-33853	-8418	2672	4733	504	31.42	31.42	3	7.6
9	-25785	-33383	-11681	2868	3970	757	31.42	31.42	3	8.4
10	-26504	-27938	-9178	3375	3110	201	31.42	31.42	3	11
11	-27065	-22286	-6465	3864	2231	-55	31.42	31.42	3	9.8
12	-29679	-16796	-2809	3822	1291	68	31.42	31.42	3	10.0
13	-27851	-19596	330	3153	679	310	31.42	31.42	3	11
14	-25341	-20790	2713	2429	303	483	31.42	31.42	3	13
15	-22460	-21513	3683	1858	204	426	31.42	31.42	3	16
16	-20185	-21357	3893	1416	323	210	31.42	31.42	3	23
17	-18824	-18370	3604	1221	936	177	31.42	31.42	3	26
18	-21202	-20306	4558	873	1280	415	31.42	31.42	3	22
19	-23217	-28695	-3100	2283	3106	71	31.42	31.42	3	12
20	-23976	-31095	-5398	2642	3824	172	31.42	31.42	3	9.8
21	-24329	-28591	-5557	2891	3156	54	31.42	31.42	3	12
22	-21424	-34135	-3049	2011	4243	236	31.42	31.42	3	8.9
23	-21402	-29889	1547	1378	2938	219	31.42	31.42	3	12
24	-21454	-32312	-300	1691	3509	197	31.42	31.42	3	11
25	-21971	-29898	-908	1845	3046	108	31.42	31.42	3	12
26	-22472	-27011	-55	1731	2416	88	31.42	31.42	3	15
27	-21870	-26964	2426	1295	2393	178	31.42	31.42	3	15
28	-15688	-14392	-441	1341	988	172	31.42	31.42	4	23
29	-15636	-14523	-427	1174	1201	182	31.42	31.42	4	25
30	-16089	-14886	-1105	1401	1234	200	31.42	31.42	4	22
31	-22281	-24787	775	1644	1833	61	31.42	31.42	3	20
32	-21779	-24134	2792	1244	1835	118	31.42	31.42	3	19
33	-24601	-25648	-3719	2738	2374	33	31.42	31.42	3	14
34	-24977	-23770	-3249	2969	1960	-25	31.42	31.42	3	13
35	-24214	-24016	-1879	2439	1810	7	31.42	31.42	3	15
36	-24279	-22860	-758	2327	1382	28	31.42	31.42	3	16
37	-25263	-22080	-1267	2722	1290	110	31.42	31.42	3	13
38	-24096	-22169	543	2244	883	78	31.42	31.42	3	16
39	-22362	-22391	1835	1855	808	44	31.42	31.42	3	20
40	-23074	-23307	371	1934	1333	35	31.42	31.42	3	19
41	-23046	-24695	-723	2046	1833	37	31.42	31.42	3	18
42	-23581	-26366	-1882	2188	2445	47	31.42	31.42	3	15
Massimi/minimi										
1							31.42			
1								31.42		
7										7.0

Muro [Platea]: 38 - Nodi: [275-263-262-266]Pann=24Spess.=60 cm, Terreno=Terreno1, ,Criterio=CLS_Platee_ND,
Materiale=C35/45, $\zeta_e=38.003$ [(5+6)-II-1] : **Verificato**

Armatura a maglia doppia

**POTENZIAMENTO DELL'IMPIANTO DI DEPURAZIONE E
DEL RECAPITO FINALE DI SQUINZANO (LE)
PROGETTO DEFINITIVO
Tabulati di calcolo strutturale-Equalizzazione**

R.37.7

Maggio 2021

Pagina 148 di
338

Pannello	Nx kg	Ny kg	Nxy kg	Mx kg*m	My kg*m	Mxy kg*m	Ax cmq	Ay cmq	C	Cs
1	-23457	-37621	-13287	2370	4272	1397	31.42	31.42	3	7.2
2	-21380	-38931	-13438	2166	4551	1723	31.42	31.42	3	6.5
3	-17870	-39314	-13931	1972	4644	2164	31.42	31.42	3	6.0
4	-13563	-38847	-13594	1909	4480	2514	31.42	31.42	3	5.9
5	2931	27935	7331	7	-3858	843	31.42	31.42	2	5.2
6	2816	32895	4350	-507	-6426	71	31.42	31.42	2	3.6
7	-22854	-39032	-10463	2489	4820	1019	31.42	31.42	3	7.0
8	-19899	-40711	-11613	2340	5309	1156	31.42	31.42	3	6.4
9	-17001	-42098	-12523	2065	5532	1385	31.42	31.42	3	6.0
10	-13728	-43567	-12828	1635	5207	1621	31.42	31.42	3	6.2
11	4197	27513	1193	-622	-5348	-61	31.42	31.42	2	4.6
12	5626	29873	922	-1314	-9202	-325	31.42	31.42	2	2.5
13	-12037	-12620	-5406	1545	3949	732	31.42	31.42	4	7.4
14	-17759	-44927	-9122	1956	5586	784	31.42	31.42	3	6.7
15	-15909	-46365	-10181	1716	5858	922	31.42	31.42	3	6.3
16	-14121	-47613	-10445	1350	5550	1072	31.42	31.42	3	6.5
17	3723	31220	-2160	-816	-5927	-21	31.42	31.42	2	4.0
18	5700	33775	-1575	-1459	-9976	-136	31.42	31.42	2	2.3
19	-15786	-48564	-4869	1518	4975	489	31.42	31.42	3	7.9
20	-15159	-50286	-6586	1392	5507	466	31.42	31.42	3	7.3
21	-14230	-51566	-8326	1230	5755	411	31.42	31.42	3	7.1
22	-196	32037	-11568	-575	-3301	-1071	31.42	31.42	2	5.4
23	432	40071	-9674	-680	-5397	-968	31.42	31.42	2	3.4
24	2143	46346	-4990	-800	-8301	-383	31.42	31.42	2	2.3
Massimi/minimi										
1							31.42			
1								31.42		
24										2.3

Muro [Platea]: 39 - Nodi: [258-240-239-263]Pann=32Spess.=60 cm, Terreno=Terreno1, ,Criterio=CLS_Platee_ND,
Materiale=C35/45,ζ_e=79.554 [(5+6)-II-1] : **Verificato**

Armatura a maglia doppia

Pannello	Nx kg	Ny kg	Nxy kg	Mx kg*m	My kg*m	Mxy kg*m	Ax cmq	Ay cmq	C	Cs
1	-14712	-17972	-938	1602	906	-104	31.42	31.42	3	21
2	-14645	-19979	-3111	1905	1535	-469	31.42	31.42	3	15
3	-14934	-23112	-5070	1982	2083	-556	31.42	31.42	3	14
4	-15037	-26967	-6449	1982	2633	-567	31.42	31.42	3	12
5	-15018	-31286	-7216	1938	3220	-527	31.42	31.42	3	10
6	-14782	-35826	-7418	1855	3865	-421	31.42	31.42	3	9.4
7	-14297	-40341	-6851	1745	4609	-215	31.42	31.42	3	8.6
8	-13983	-44073	-5340	1619	5466	139	31.42	31.42	3	7.5
9	-8462	-5959	-910	908	1046	124	31.42	31.42	2	28
10	-7945	-5984	-888	872	1066	135	31.42	31.42	2	28
11	-13489	-25071	-1534	1294	1880	-19	31.42	31.42	3	20
12	-14093	-28085	-2220	1415	2543	1	31.42	31.42	3	15
13	-14571	-31490	-2672	1515	3240	22	31.42	31.42	3	12
14	-14896	-34957	-2874	1604	4031	42	31.42	31.42	3	9.8
15	-14926	-38144	-2816	1678	4986	84	31.42	31.42	3	8.0
16	-14300	-40612	-2913	1723	6208	138	31.42	31.42	3	6.5
17	-8265	-6094	-810	873	1060	95	31.42	31.42	2	29
18	-7828	-6077	-1098	824	1071	87	31.42	31.42	2	29
19	-13067	-25214	1534	986	1858	12	31.42	31.42	3	20
20	-13708	-28282	1536	1114	2523	18	31.42	31.42	3	15
21	-14212	-31737	1347	1244	3222	23	31.42	31.42	3	12
22	-14543	-35237	935	1377	4020	29	31.42	31.42	3	9.9
23	-14549	-38410	271	1504	4998	23	31.42	31.42	3	8.1
24	-13779	-40857	-366	1622	6272	-25	31.42	31.42	3	6.6
25	-11899	-18163	2497	942	863	119	31.42	31.42	3	33
26	-13096	-20260	4103	967	1469	397	31.42	31.42	3	20
27	-13622	-23590	5264	1018	2024	547	31.42	31.42	3	15
28	-13865	-27633	5898	1058	2590	621	31.42	31.42	3	12
29	-13900	-32104	6007	1100	3196	640	31.42	31.42	3	10
30	-13676	-36769	5509	1143	3872	598	31.42	31.42	3	9.1
31	-13173	-41272	4229	1195	4651	456	31.42	31.42	3	8.1
32	-12559	-44943	2105	1306	5577	111	31.42	31.42	3	7.5
Massimi/minimi										
1							31.42			
1								31.42		
16										6.5

Muro [Platea]: 40 - Nodi: [263-239-231-262]Pann=24Spess.=60 cm, Terreno=Terrenol1, ,Criterio=CLS_Platee_ND,
Materiale=C35/45, $\zeta_e=33.649$ [(5+6)-II-1] : **Verificato**

Armatura a maglia doppia

Pannello	Nx kg	Ny kg	Nxy kg	Mx kg*m	My kg*m	Mxy kg*m	Ax cmq	Ay cmq	C	Cs
1	-13959	-51136	-3974	1394	4902	342	31.42	31.42	3	8.4
2	-13221	-52870	-3722	1396	5536	308	31.42	31.42	3	7.6
3	-12322	-53996	-3143	1361	5896	469	31.42	31.42	3	7.0
4	2652	34051	11826	36	-3339	1423	31.42	31.42	2	4.8
5	2469	43268	10339	-202	-5415	1173	31.42	31.42	2	3.1
6	2504	50908	5281	-560	-8377	345	31.42	31.42	2	2.1
7	-14500	-51415	-2247	1413	4725	241	31.42	31.42	3	8.8
8	-13384	-52569	-2214	1434	5709	195	31.42	31.42	3	7.5
9	-12481	-53443	-2342	1406	6272	230	31.42	31.42	3	6.8
10	2979	34075	3038	-303	-3473	76	31.42	31.42	2	6.5
11	5143	38724	2477	-779	-6361	-71	31.42	31.42	2	3.4
12	6539	42232	1465	-1469	-10644	-186	31.42	31.42	2	1.9
13	-13987	-52070	-369	1334	4704	57	31.42	31.42	3	9.2
14	-12997	-53207	-1079	1352	5733	70	31.42	31.42	3	7.6
15	-12240	-54166	-1409	1315	6323	100	31.42	31.42	3	6.9
16	2812	34721	-2973	-419	-3560	-66	31.42	31.42	2	6.3
17	5171	39433	-2257	-871	-6466	-31	31.42	31.42	2	3.3
18	6885	42950	-1512	-1537	-10755	-0	31.42	31.42	2	1.9
19	-12643	-52642	1086	1188	4953	-3	31.42	31.42	3	8.9
20	-12323	-54524	658	1174	5647	41	31.42	31.42	3	7.8
21	-11595	-56032	-220	1130	6063	-63	31.42	31.42	3	7.3
22	2175	35825	-11882	-387	-3581	-1453	31.42	31.42	2	4.5
23	2448	45190	-10273	-578	-5681	-1241	31.42	31.42	2	2.9
24	3530	52938	-5229	-818	-8633	-455	31.42	31.42	2	2.0
Massimi/minimi										
1							31.42			
1								31.42		
18										1.9

Muro [Platea]: 41 - Nodi: [240-243-251-239]Pann=32Spess.=60 cm, Terreno=Terrenol1, ,Criterio=CLS_Platee_ND,
Materiale=C35/45, $\zeta_e=84.109$ [(5+6)-II-1] : **Verificato**

Armatura a maglia doppia

Pannello	Nx kg	Ny kg	Nxy kg	Mx kg*m	My kg*m	Mxy kg*m	Ax cmq	Ay cmq	C	Cs
1	-12295	-17569	-1875	957	942	-197	31.42	31.42	3	30
2	-13502	-19788	-3497	962	1517	-463	31.42	31.42	3	18
3	-13921	-23275	-4662	1022	2050	-598	31.42	31.42	3	14
4	-14005	-27480	-5269	1073	2600	-667	31.42	31.42	3	12
5	-13868	-32122	-5333	1125	3190	-694	31.42	31.42	3	10
6	-13491	-36970	-4763	1173	3845	-671	31.42	31.42	3	9.0
7	-12900	-41671	-3338	1226	4593	-561	31.42	31.42	3	8.1
8	-12354	-45529	-946	1307	5479	-260	31.42	31.42	3	7.4
9	-8110	-6559	868	842	1013	-95	31.42	31.42	2	30
10	-10610	-14878	26	912	1188	-54	31.42	31.42	4	28
11	-13418	-24458	-1278	1091	1926	-11	31.42	31.42	3	19
12	-13884	-27912	-1325	1184	2545	-11	31.42	31.42	3	15
13	-14184	-31792	-1120	1269	3200	-24	31.42	31.42	3	12
14	-14340	-35721	-616	1356	3944	-51	31.42	31.42	3	10
15	-14264	-39251	246	1442	4852	-80	31.42	31.42	3	8.3
16	-13532	-41815	1103	1547	6063	-89	31.42	31.42	3	6.8
17	-13178	-20145	-144	1144	413	-119	31.42	31.42	3	28
18	-13229	-21748	840	1265	1301	37	31.42	31.42	3	27
19	-13688	-24324	1635	1375	1959	45	31.42	31.42	3	19
20	-14173	-27708	2225	1455	2564	31	31.42	31.42	3	15
21	-14533	-31510	2662	1512	3202	6	31.42	31.42	3	12
22	-14762	-35359	2956	1562	3925	-34	31.42	31.42	3	10
23	-14755	-38824	3053	1604	4807	-104	31.42	31.42	3	8.3
24	-14139	-41406	3305	1646	5971	-203	31.42	31.42	3	6.7
25	-14649	-17352	1072	1600	1004	116	31.42	31.42	3	21
26	-14513	-19538	3134	1861	1606	461	31.42	31.42	3	15
27	-14736	-22844	4844	1910	2125	554	31.42	31.42	3	14
28	-14875	-26834	6015	1902	2641	574	31.42	31.42	3	12
29	-14914	-31254	6712	1858	3188	542	31.42	31.42	3	11
30	-14782	-35852	6930	1786	3792	445	31.42	31.42	3	9.5
31	-14443	-40308	6532	1704	4478	239	31.42	31.42	3	8.8

**POTENZIAMENTO DELL'IMPIANTO DI DEPURAZIONE E
DEL RECAPITO FINALE DI SQUINZANO (LE)
PROGETTO DEFINITIVO
Tabulati di calcolo strutturale-Equalizzazione**

R.37.7

Maggio 2021

Pagina 150 di
338

Pannello	Nx	Ny	Nxy	Mx	My	Mxy	Ax	Ay	C	Cs
32	-14140	-44038	5407	1606	5283	-151	31.42	31.42	3	7.8
Massimi/minimi										
1							31.42			
1								31.42		
24										6.7

Muro [Platea]: 42 - Nodi: [239-251-247-231]Pann=24Spess.=60 cm, Terreno=Terreno1, ,Criterio=CLS_Platee_ND,
Materiale=C35/45, $\zeta_e=20.861$ [(5+6)-II-1] : **Verificato**

Armatura a maglia doppia

Pannello	Nx	Ny	Nxy	Mx	My	Mxy	Ax	Ay	C	Cs
	kg	kg	kg	kg*m	kg*m	kg*m	cmq	cmq		
1	-12484	-52592	469	1201	4974	-151	31.42	31.42	3	8.6
2	-12082	-54583	933	1206	5640	-220	31.42	31.42	3	7.6
3	-11395	-56172	1926	1151	6035	-116	31.42	31.42	3	7.3
4	2134	35808	11898	-383	-3540	1557	31.42	31.42	2	4.4
5	2338	45836	10126	-539	-5530	1406	31.42	31.42	2	2.9
6	3174	54380	4896	-729	-8393	580	31.42	31.42	2	2.0
7	-13630	-52221	1672	1297	4727	-160	31.42	31.42	3	9.0
8	-12747	-53298	2455	1316	5709	-212	31.42	31.42	3	7.5
9	-12068	-54218	2905	1282	6258	-260	31.42	31.42	3	6.8
10	2794	34883	3376	-387	-3458	66	31.42	31.42	2	6.5
11	4911	40668	2445	-757	-6135	66	31.42	31.42	2	3.4
12	6294	44677	1354	-1381	-10308	20	31.42	31.42	2	2.0
13	-14205	-51435	3180	1370	4714	-311	31.42	31.42	3	8.7
14	-13205	-52561	3361	1381	5660	-308	31.42	31.42	3	7.4
15	-12337	-53400	3578	1357	6193	-365	31.42	31.42	3	6.8
16	3033	34208	-2958	-278	-3370	-123	31.42	31.42	2	6.6
17	5054	39888	-2432	-680	-6029	8	31.42	31.42	2	3.6
18	6305	43865	-1491	-1343	-10174	108	31.42	31.42	2	2.0
19	-14095	-50682	4641	1395	4852	-386	31.42	31.42	3	8.3
20	-13270	-52590	4746	1374	5470	-393	31.42	31.42	3	7.5
21	-12196	-53879	4276	1328	5829	-582	31.42	31.42	3	6.9
22	2903	33874	-11114	-11	-3285	-1584	31.42	31.42	2	4.7
23	2892	43414	-9900	-285	-5230	-1339	31.42	31.42	2	3.1
24	3303	51598	-5021	-639	-8046	-482	31.42	31.42	2	2.2
Massimi/minimi										
1							31.42			
1								31.42		
12										2.0

Muro [Platea]: 43 - Nodi: [243-234-235-251]Pann=32Spess.=60 cm, Terreno=Terreno1, ,Criterio=CLS_Platee_ND,
Materiale=C35/45, $\zeta_e=70.234$ [(5+6)-I-1] : **Verificato**

Armatura a maglia doppia

Pannello	Nx	Ny	Nxy	Mx	My	Mxy	Ax	Ay	C	Cs
	kg	kg	kg	kg*m	kg*m	kg*m	cmq	cmq		
1	-18305	-17600	-2540	1276	980	-195	31.42	31.42	3	25
2	-20103	-19760	-3297	1034	1481	-344	31.42	31.42	3	20
3	-20282	-23044	-3562	1055	1976	-502	31.42	31.42	3	15
4	-19996	-26909	-3380	1113	2494	-605	31.42	31.42	3	12
5	-19415	-31100	-2744	1203	3047	-673	31.42	31.42	3	11
6	-18541	-35450	-1529	1306	3650	-707	31.42	31.42	3	9.2
7	-17400	-39672	463	1411	4321	-693	31.42	31.42	3	8.2
8	-16099	-43194	3305	1555	5091	-544	31.42	31.42	3	7.5
9	-19855	-19877	-2309	1651	517	-206	31.42	31.42	3	20
10	-20271	-21230	-741	1612	1296	-18	31.42	31.42	3	22
11	-20576	-23695	-140	1658	1900	-39	31.42	31.42	3	19
12	-20611	-26725	483	1723	2470	-64	31.42	31.42	3	15
13	-20461	-30073	1338	1795	3061	-114	31.42	31.42	3	12
14	-20130	-33453	2503	1870	3714	-193	31.42	31.42	3	10
15	-19543	-36568	4011	1936	4472	-304	31.42	31.42	3	8.5
16	-18353	-39042	5693	1987	5418	-420	31.42	31.42	3	7.0
17	-22539	-19157	-863	2199	569	-313	31.42	31.42	3	15
18	-21754	-20905	1260	2321	1361	-42	31.42	31.42	3	16
19	-21556	-23184	2663	2386	1967	-49	31.42	31.42	3	15
20	-21581	-26038	3790	2413	2504	-85	31.42	31.42	3	15
21	-21542	-29180	4820	2408	3053	-148	31.42	31.42	3	12
22	-21369	-32348	5830	2384	3650	-244	31.42	31.42	3	10
23	-20939	-35260	6840	2339	4332	-393	31.42	31.42	3	8.5
24	-20061	-37715	8015	2243	5138	-590	31.42	31.42	3	7.1

**POTENZIAMENTO DELL'IMPIANTO DI DEPURAZIONE E
DEL RECAPITO FINALE DI SQUINZANO (LE)
PROGETTO DEFINITIVO
Tabulati di calcolo strutturale-Equalizzazione**

R.37.7

Maggio 2021

Pagina 151 di
338

Pannello	Nx	Ny	Nxy	Mx	My	Mxy	Ax	Ay	C	Cs
25	-25449	-16374	1205	2968	1061	-89	31.42	31.42	3	12
26	-23733	-18544	3568	3335	1636	223	31.42	31.42	3	11
27	-23219	-21422	5631	3316	2105	240	31.42	31.42	3	10
28	-22905	-24755	7221	3206	2541	187	31.42	31.42	3	11
29	-22639	-28365	8426	3034	2985	82	31.42	31.42	3	12
30	-22304	-32032	9330	2818	3453	-85	31.42	31.42	3	11
31	-21807	-35514	9973	2579	3948	-347	31.42	31.42	3	9.4
32	-21101	-38500	10409	2311	4476	-748	31.42	31.42	3	7.8
Massimi/minimi										
1							31.42			
1								31.42		
16										7.0

Muro [Platea]: 44 - Nodi: [251-235-244-247]Pann=24Spess.=60 cm, Terreno=Terreno1, ,Criterio=CLS_Platee_ND,
Materiale=C35/45, $\zeta_e=39.369$ [(5+6)-II-1] : **Verificato**

Armatura a maglia doppia

Pannello	Nx	Ny	Nxy	Mx	My	Mxy	Ax	Ay	C	Cs
	kg	kg	kg	kg*m	kg*m	kg*m	cmq	cmq		
1	-15275	-48953	5159	1494	4869	-526	31.42	31.42	3	8.0
2	-14419	-50865	6614	1410	5415	-548	31.42	31.42	3	7.3
3	-13373	-52263	8317	1246	5706	-481	31.42	31.42	3	7.1
4	411	32357	11500	-601	-3244	1336	31.42	31.42	2	5.1
5	1105	41463	9583	-712	-5149	1256	31.42	31.42	2	3.3
6	2757	49186	4637	-796	-7885	565	31.42	31.42	2	2.3
7	-17619	-46210	6692	1784	4740	-635	31.42	31.42	3	7.9
8	-16080	-47475	8303	1709	5472	-724	31.42	31.42	3	6.9
9	-14661	-48491	9367	1535	5838	-864	31.42	31.42	3	6.4
10	-13250	-49140	9755	1233	5717	-1005	31.42	31.42	3	6.5
11	3907	34885	2303	-746	-5572	72	31.42	31.42	2	4.0
12	5678	38237	1363	-1337	-9516	131	31.42	31.42	2	2.3
13	-19268	-43740	8552	1990	4681	-829	31.42	31.42	3	7.6
14	-17422	-45077	9492	1903	5306	-926	31.42	31.42	3	6.8
15	-15412	-45922	10205	1764	5633	-1101	31.42	31.42	3	6.3
16	-12968	-46378	10418	1549	5502	-1310	31.42	31.42	3	6.3
17	4295	32502	-1893	-532	-5239	42	31.42	31.42	2	4.4
18	5548	35745	-1221	-1209	-9083	245	31.42	31.42	2	2.4
19	-19923	-42755	10613	2011	4442	-1103	31.42	31.42	3	7.6
20	-17978	-44427	10805	1851	4851	-1322	31.42	31.42	3	6.8
21	-15644	-45059	10514	1747	5055	-1632	31.42	31.42	3	6.3
22	-12871	-44310	9982	1795	4949	-1981	31.42	31.42	3	6.1
23	2723	34168	-8415	51	-4231	-1133	31.42	31.42	2	4.3
24	2683	40851	-4519	-436	-6812	-302	31.42	31.42	2	3.0
Massimi/minimi										
1							31.42			
1								31.42		
6										2.3

Muro [Platea]: 45 - Nodi: [234-250-252-235]Pann=32Spess.=60 cm, Terreno=Terreno1, ,Criterio=CLS_Platee_ND,
Materiale=C35/45, $\zeta_e=34.972$ [(5+6)-I-1] : **Verificato**

Armatura a maglia doppia

Pannello	Nx	Ny	Nxy	Mx	My	Mxy	Ax	Ay	C	Cs
	kg	kg	kg	kg*m	kg*m	kg*m	cmq	cmq		
1	-31004	-15884	-580	2657	1072	-260	31.42	31.42	3	13
2	-31628	-18038	-404	2419	1484	-353	31.42	31.42	3	14
3	-30682	-20899	298	2433	1906	-518	31.42	31.42	3	13
4	-29381	-24098	1410	2479	2337	-654	31.42	31.42	3	12
5	-27873	-27442	2901	2543	2778	-774	31.42	31.42	3	11
6	-26220	-30825	4827	2594	3227	-889	31.42	31.42	3	9.5
7	-24569	-34048	7287	2600	3656	-1015	31.42	31.42	3	8.5
8	-23335	-36724	10367	2456	4049	-1189	31.42	31.42	3	7.7
9	-33263	-16728	-51	3201	778	-284	31.42	31.42	3	11
10	-32592	-18074	1964	3184	1348	-162	31.42	31.42	3	12
11	-31842	-20255	3204	3154	1822	-238	31.42	31.42	3	12
12	-30853	-22754	4545	3131	2268	-334	31.42	31.42	3	11
13	-29708	-25401	6120	3104	2707	-467	31.42	31.42	3	11
14	-28445	-28017	7995	3062	3140	-649	31.42	31.42	3	10
15	-27212	-30462	10109	2993	3539	-896	31.42	31.42	3	8.8
16	-26061	-32463	12266	2805	3892	-1316	31.42	31.42	3	7.6
17	-36089	-15341	1502	3681	768	-353	31.42	31.42	3	10.0

Pannello	Nx	Ny	Nxy	Mx	My	Mxy	Ax	Ay	C	Cs
18	-34516	-17018	3770	3728	1319	-264	31.42	31.42	3	10
19	-33417	-19016	5564	3641	1779	-346	31.42	31.42	3	10.0
20	-32483	-21238	7134	3526	2175	-451	31.42	31.42	3	9.9
21	-31516	-23533	8728	3390	2551	-595	31.42	31.42	3	9.9
22	-30474	-25758	10441	3248	2908	-783	31.42	31.42	3	9.7
23	-29249	-27679	12339	3119	3211	-1035	31.42	31.42	3	9.0
24	-27943	-29517	13938	2925	3410	-1524	31.42	31.42	3	7.9
25	-38762	-12529	3516	4058	913	-306	31.42	31.42	3	9.4
26	-36731	-14833	5990	4054	1348	-259	31.42	31.42	3	9.4
27	-35289	-17222	7908	3829	1707	-324	31.42	31.42	3	9.7
28	-34202	-19594	9565	3558	1999	-454	31.42	31.42	3	9.9
29	-33204	-21936	11133	3254	2272	-642	31.42	31.42	3	10
30	-32194	-24121	12564	2946	2529	-873	31.42	31.42	3	10
31	-31229	-25867	13954	2679	2719	-1142	31.42	31.42	3	9.8
32	-29127	-26995	15928	2661	2818	-1626	31.42	31.42	3	8.6
Massimi/minimi										
1							31.42			
1								31.42		
16										7.6

Muro [Platea]: 46 - Nodi: [235-252-228-244]Pann=24Spess.=60 cm, Terreno=Terrenol, ,Criterio=CLS_Platee_ND,
Materiale=C35/45,ζ=67.806 [(5+6)-II-1] : **Verificato**

Armatura a maglia doppia

Pannello	Nx	Ny	Nxy	Mx	My	Mxy	Ax	Ay	C	Cs
	kg	kg	kg	kg*m	kg*m	kg*m	cmq	cmq		
1	-21150	-39164	14328	2340	4407	-1189	31.42	31.42	3	7.3
2	-18519	-40958	17171	2210	4699	-1220	31.42	31.42	3	7.0
3	-16629	-41800	19780	1801	4770	-1199	31.42	31.42	3	7.0
4	-16096	-41222	21547	1119	4445	-1209	31.42	31.42	3	7.3
5	-405	31048	8115	-647	-3858	921	31.42	31.42	2	5.0
6	1337	37548	3729	-629	-6136	502	31.42	31.42	2	3.3
7	-24103	-33324	16722	2668	4446	-1397	31.42	31.42	3	6.8
8	-21237	-34805	18742	2490	4701	-1765	31.42	31.42	3	6.2
9	-18453	-35767	20379	2086	4742	-2072	31.42	31.42	3	5.9
10	-16014	-36241	20734	1502	4305	-2364	31.42	31.42	3	6.1
11	2448	24024	2305	-515	-3859	-97	31.42	31.42	2	6.5
12	3881	26519	1226	-991	-7007	146	31.42	31.42	2	3.5
13	-25968	-29067	18638	2787	4114	-1585	31.42	31.42	3	6.8
14	-23149	-30276	19965	2561	4256	-2118	31.42	31.42	3	6.1
15	-19517	-31087	21164	2238	4289	-2519	31.42	31.42	3	5.8
16	-14979	-31421	21256	1859	3921	-2874	31.42	31.42	3	5.8
17	-11020	-31947	19494	1314	2617	-3015	31.42	31.42	3	7.0
18	4183	22205	-603	-856	-6121	208	31.42	31.42	2	4.1
19	-26922	-27131	20020	2437	3238	-2030	31.42	31.42	3	7.3
20	-24489	-28520	21137	1924	3361	-2734	31.42	31.42	3	6.3
21	-19993	-28691	21133	1771	3423	-3217	31.42	31.42	3	5.8
22	-14341	-27266	20570	1945	3205	-3643	31.42	31.42	3	5.6
23	-7390	-24334	19037	2580	2452	-3820	31.42	31.42	3	5.2
24	2778	22633	-2935	-299	-4085	-161	31.42	31.42	2	6.1
Massimi/minimi										
1							31.42			
1								31.42		
6										3.3

Muro [Platea]: 47 - Nodi: [252-230-229-228]Pann=22Spess.=60 cm, Terreno=Terrenol, ,Criterio=CLS_Platee_ND,
Materiale=C35/45,ζ=65.262 [(5+6)-I-1] : **Verificato**

Armatura a maglia doppia

Pannello	Nx	Ny	Nxy	Mx	My	Mxy	Ax	Ay	C	Cs
	kg	kg	kg	kg*m	kg*m	kg*m	cmq	cmq		
1	-13022	-22926	32017	2297	2736	-2563	31.42	31.42	3	7.0
2	-12427	-25004	30234	3463	3188	-2562	31.42	31.42	3	5.8
3	-15541	-24993	28387	4087	3092	-2512	31.42	31.42	3	5.4
4	-22563	-23134	25781	3418	2721	-1979	31.42	31.42	3	6.9
5	-21675	-18882	29790	2605	1959	-2178	31.42	31.42	3	7.7
6	-17453	-19120	29734	1656	593	-2491	31.42	31.42	3	8.7
7	15172	2291	3122	-2481	-384	-61	31.42	31.42	2	11
8	-11298	-10365	21419	-2054	645	-1904	31.42	31.42	3	8.7
9	-4422	-4738	18888	-621	796	-2315	31.42	31.42	3	11
10	-373	955	11138	311	568	-1509	31.42	31.42	3	15

Pannello	Nx	Ny	Nxy	Mx	My	Mxy	Ax	Ay	C	Cs
11	-3972	-3851	18730	740	766	-2903	31.42	31.42	3	8.9
12	-7721	-10114	21851	1443	-125	-2522	31.42	31.42	3	8.5
13	1653	18812	1428	-342	-2911	220	31.42	31.42	2	8.6
14	-15422	-19201	30872	132	1714	-2741	31.42	31.42	3	8.2
15	-8445	-9818	22905	1316	1796	-4770	31.42	31.42	3	5.2
16	-11430	-13563	26177	1680	2249	-4469	31.42	31.42	3	5.2
17	-10692	-14705	26565	1150	1903	-4306	31.42	31.42	3	5.7
18	-12540	-19815	29419	2155	2689	-3803	31.42	31.42	3	5.6
19	-13036	-21278	29538	2895	3013	-3531	31.42	31.42	3	5.4
20	-15395	-20840	28150	3331	2676	-3264	31.42	31.42	3	5.4
21	-13553	-17825	28511	2547	2463	-3846	31.42	31.42	3	5.5
22	-12645	-13729	25357	1323	1777	-4099	31.42	31.42	3	6.0
Massimi/minimi										
1							31.42			
1								31.42		
15										5.2

Muro [Platea]: 48 - Nodi: [250-236-230-252]Pann=30Spess.=60 cm, Terreno=Terrenol, ,Criterio=CLS_Platee_ND,
Materiale=C35/45, $\zeta_e=14.104$ [(5+6)-I-1] : **Verificato**

Armatura a maglia doppia

Pannello	Nx kg	Ny kg	Nxy kg	Mx kg*m	My kg*m	Mxy kg*m	Ax cmq	Ay cmq	C	Cs
1	-22704	-20041	10953	5678	2575	-1472	31.42	31.42	3	5.2
2	-24724	-18274	8532	5845	2302	-1236	31.42	31.42	3	5.3
3	-27140	-16456	6502	5820	2042	-994	31.42	31.42	3	5.6
4	-29853	-14778	5090	5664	1745	-781	31.42	31.42	3	6.0
5	-33157	-13063	4486	5395	1349	-564	31.42	31.42	3	6.7
6	-38034	-10938	4439	4678	881	-166	31.42	31.42	3	8.4
7	-36864	-11321	7091	4185	533	229	31.42	31.42	3	9.2
8	21258	-169	8636	-3316	-615	506	31.42	31.42	2	6.9
9	27105	1304	5088	-5750	-655	137	31.42	31.42	2	4.2
10	19538	2608	2856	-6847	-941	-24	31.42	31.42	2	3.9
11	16383	2899	2001	-6008	-815	-70	31.42	31.42	2	4.5
12	16426	3128	-607	-3986	-404	-308	31.42	31.42	2	6.4
13	-21921	-10458	13174	1718	2245	-2868	31.42	31.42	3	6.7
14	-24568	-16309	13869	3231	2359	-2850	31.42	31.42	3	6.2
15	-24849	-21897	15587	3907	2560	-2199	31.42	31.42	3	6.2
16	-21802	-21564	13192	5299	2719	-1660	31.42	31.42	3	5.3
17	-31677	-12610	6854	3896	1115	-567	31.42	31.42	3	8.8
18	17120	2265	2726	-3430	-385	-339	31.42	31.42	2	7.3
19	-31917	-12169	6248	3593	734	-380	31.42	31.42	3	9.9
20	-30028	-12319	8833	3126	942	-952	31.42	31.42	3	9.5
21	-28893	-14436	7813	4913	1627	-784	31.42	31.42	3	6.8
22	-30733	-13506	6305	4891	1404	-523	31.42	31.42	3	7.2
23	-33155	-12669	5958	4779	999	-317	31.42	31.42	3	7.8
24	-27400	-13756	12278	3617	1612	-1648	31.42	31.42	3	7.3
25	13888	2861	2367	-2981	-328	-509	31.42	31.42	2	8.1
26	-28747	-12848	9972	3062	1046	-1166	31.42	31.42	3	9.1
27	-25082	-13160	13609	3284	1598	-2159	31.42	31.42	3	6.9
28	-23381	-16912	14255	4365	2340	-1977	31.42	31.42	3	5.9
29	-25107	-16379	12102	4750	2149	-1567	31.42	31.42	3	6.0
30	-26902	-15437	9668	4875	1852	-1169	31.42	31.42	3	6.3
Massimi/minimi										
1							31.42			
1								31.42		
10										3.9

Muro [Platea]: 49 - Nodi: [10-1-284-287]Pann=16Spess.=60 cm, Terreno=Terrenol, ,Criterio=CLS_Platee_ND,
Materiale=C35/45, $\zeta_e=26.308$ [(5+6)-I-1] : **Verificato**

Armatura a maglia doppia

Pannello	Nx kg	Ny kg	Nxy kg	Mx kg*m	My kg*m	Mxy kg*m	Ax cmq	Ay cmq	C	Cs
1	1983	-2365	5104	210	870	-436	31.42	31.42	3	25
2	-1150	-3547	9033	291	518	-1033	31.42	31.42	3	21
3	-4730	-5275	11311	-218	406	-1080	31.42	31.42	3	22
4	9997	2885	1354	-1259	-302	-40	31.42	31.42	2	22
5	-1742	-4794	9503	545	784	-997	31.42	31.42	3	18
6	-5078	-6654	11580	1063	952	-2490	31.42	31.42	3	9.3
7	-7526	-8232	13970	1209	958	-2442	31.42	31.42	3	9.2

**POTENZIAMENTO DELL'IMPIANTO DI DEPURAZIONE E
DEL RECAPITO FINALE DI SQUINZANO (LE)
PROGETTO DEFINITIVO
Tabulati di calcolo strutturale-Equalizzazione**

R.37.7

Maggio 2021

Pagina 154 di
338

Pannello	Nx	Ny	Nxy	Mx	My	Mxy	Ax	Ay	C	Cs
8	-11567	-9801	17418	1279	442	-1690	31.42	31.42	3	12
9	3746	11599	123	-529	-2728	-59	31.42	31.42	2	10
10	-7511	-11088	12706	1046	1173	-2241	31.42	31.42	3	10
11	-10756	-10845	14615	1459	1414	-2066	31.42	31.42	3	9.7
12	-14182	-9682	16030	1719	1549	-1522	31.42	31.42	3	11
13	2819	20251	1470	-491	-3185	229	31.42	31.42	2	7.8
14	-10454	-15760	12559	73	1498	-1261	31.42	31.42	3	13
15	-11537	-14874	12928	1071	1673	-1161	31.42	31.42	3	12
16	-14712	-12833	12379	1640	1682	-1070	31.42	31.42	3	13
Massimi/minimi										
1							31.42			
1								31.42		
13										7.8

Muro [Platea]: 50 - Nodi: [287-284-78-279]Pann=16Spess.=60 cm, Terreno=Terrenol, ,Criterio=CLS_Platee_ND,
Materiale=C35/45,ζ_e=35.358 [(5+6)-I-3] : **Verificato**

Armatura a maglia doppia

Pannello	Nx kg	Ny kg	Nxy kg	Mx kg*m	My kg*m	Mxy kg*m	Ax cmq	Ay cmq	C	Cs
1	10797	3666	-711	-2071	-320	-278	31.42	31.42	2	12
2	11033	3729	926	-3340	-607	-83	31.42	31.42	2	8.5
3	13804	3204	2154	-4027	-671	-85	31.42	31.42	2	6.9
4	20681	1557	4139	-3560	-538	191	31.42	31.42	2	7.1
5	-14818	-5022	12096	1757	1582	-2287	31.42	31.42	3	8.5
6	-19023	-6018	12898	2118	901	-1924	31.42	31.42	3	9.0
7	-22138	-6910	13062	2401	482	-1727	31.42	31.42	3	9.0
8	-25538	-8672	15170	2561	-217	-1140	31.42	31.42	3	10
9	-17104	-9582	12022	2196	1221	-1855	31.42	31.42	3	8.8
10	-19315	-8452	12855	2879	1159	-1588	31.42	31.42	3	8.1
11	-23058	-7679	13453	3198	782	-1445	31.42	31.42	3	8.0
12	-27325	-6644	14415	3166	418	-1095	31.42	31.42	3	9.0
13	-17947	-11871	10639	2213	1238	-1234	31.42	31.42	3	10
14	-19945	-10092	11247	2892	1192	-1151	31.42	31.42	3	9.0
15	-23550	-8034	11790	3159	890	-1154	31.42	31.42	3	8.7
16	-27838	-5761	12197	3140	565	-1091	31.42	31.42	3	9.1
Massimi/minimi										
1							31.42			
1								31.42		
3										6.9

Muro [Platea]: 51 - Nodi: [279-78-219-69]Pann=16Spess.=60 cm, Terreno=Terrenol, ,Criterio=CLS_Platee_ND,
Materiale=C35/45,ζ_e=22.965 [(5+6)-I-3] : **Verificato**

Armatura a maglia doppia

Pannello	Nx kg	Ny kg	Nxy kg	Mx kg*m	My kg*m	Mxy kg*m	Ax cmq	Ay cmq	C	Cs
1	23219	3032	-1736	-3949	-196	-471	31.42	31.42	2	5.9
2	20091	3851	1002	-5418	-763	4	31.42	31.42	2	4.9
3	21768	3526	2802	-5739	-887	-6	31.42	31.42	2	4.6
4	28832	1686	5187	-4729	-669	354	31.42	31.42	2	4.8
5	-27286	-2905	9676	3047	1223	-1795	31.42	31.42	3	7.9
6	-29036	-4374	10548	3277	671	-1552	31.42	31.42	3	8.0
7	-30193	-5802	10846	3358	382	-1453	31.42	31.42	3	8.1
8	20840	497	9420	-2311	-617	648	31.42	31.42	2	8.9
9	-29510	-4886	10900	3379	687	-1503	31.42	31.42	3	7.9
10	-29474	-5461	11659	3761	700	-1424	31.42	31.42	3	7.5
11	-30994	-6053	12097	3839	601	-1368	31.42	31.42	3	7.5
12	-33281	-6136	12458	3693	559	-1039	31.42	31.42	3	8.4
13	-30114	-5014	11807	3169	476	-1245	31.42	31.42	3	8.8
14	-29942	-5878	12372	3340	612	-1238	31.42	31.42	3	8.5
15	-30929	-6428	12201	3439	681	-1180	31.42	31.42	3	8.5
16	-32821	-6122	11542	3456	703	-1071	31.42	31.42	3	8.7
Massimi/minimi										
1							31.42			
1								31.42		
3										4.6

Muro [Platea]: 52 - Nodi: [69-219-214-220]Pann=16Spess.=60 cm, Terreno=Terreno1, ,Criterio=CLS_Platee_ND,
Materiale=C35/45, $\zeta_e=16.820$ [(5+6)-I-3] : **Verificato**

Armatura a maglia doppia

Pannello	Nx kg	Ny kg	Nxy kg	Mx kg*m	My kg*m	Mxy kg*m	Ax cmq	Ay cmq	C	Cs
1	30172	3170	-2312	-4931	-316	-564	31.42	31.42	2	4.4
2	25420	4206	752	-6471	-900	-29	31.42	31.42	2	3.9
3	26450	3699	2861	-6635	-968	-53	31.42	31.42	2	3.7
4	34168	1309	5688	-5451	-538	357	31.42	31.42	2	4.0
5	22144	2990	-4571	-2362	43	-1348	31.42	31.42	2	7.0
6	-33650	-5067	8187	3702	709	-1227	31.42	31.42	3	8.1
7	-34199	-6248	8331	3726	483	-1090	31.42	31.42	3	8.3
8	24779	1002	10404	-2718	-502	765	31.42	31.42	2	7.3
9	-34227	-5840	9002	3806	756	-1313	31.42	31.42	3	7.8
10	-33777	-6488	9179	4123	827	-1151	31.42	31.42	3	7.5
11	-34849	-6970	9366	4183	725	-1036	31.42	31.42	3	7.7
12	-36835	-6912	9666	4027	584	-700	31.42	31.42	3	8.6
13	-33837	-6852	10044	3561	685	-1085	31.42	31.42	3	8.6
14	-33713	-7683	9753	3788	841	-1000	31.42	31.42	3	8.3
15	-34560	-7856	9266	3890	840	-910	31.42	31.42	3	8.3
16	-36337	-7281	8527	3844	756	-762	31.42	31.42	3	8.8
Massimi/minimi										
1							31.42			
1								31.42		
3										3.7

Muro [Platea]: 53 - Nodi: [1-9-283-284]Pann=16Spess.=60 cm, Terreno=Terreno1, ,Criterio=CLS_Platee_ND,
Materiale=C35/45, $\zeta_e=14.027$ [(5+6)-II-2] : **Verificato**

Armatura a maglia doppia

Pannello	Nx kg	Ny kg	Nxy kg	Mx kg*m	My kg*m	Mxy kg*m	Ax cmq	Ay cmq	C	Cs
1	2598	26029	-3334	-494	-4210	-506	31.42	31.42	2	5.3
2	3210	20472	-5306	-300	-2260	-1223	31.42	31.42	2	7.6
3	-8766	-16397	5368	1589	2024	-1122	31.42	31.42	3	11
4	-14117	-13870	6537	1743	1797	-936	31.42	31.42	3	13
5	3057	25153	-1538	-788	-6140	-142	31.42	31.42	2	4.0
6	3379	22462	-1986	-439	-2788	-374	31.42	31.42	2	8.2
7	-9571	-16001	2920	1211	2242	-384	31.42	31.42	3	14
8	-14329	-13558	4151	1642	2021	-586	31.42	31.42	3	13
9	2275	28767	191	-772	-7078	-67	31.42	31.42	2	3.4
10	3527	26903	-320	-467	-3130	-1	31.42	31.42	2	8.0
11	-11141	-16742	1207	989	2113	184	31.42	31.42	3	16
12	-14506	-14733	2402	1478	1844	-342	31.42	31.42	3	16
13	1237	49088	935	-323	-7159	1019	31.42	31.42	2	2.3
14	1879	33187	6382	-154	-3407	1611	31.42	31.42	2	4.6
15	-266	21412	6553	425	-1323	1300	31.42	31.42	2	10
16	-14192	-16964	796	1039	1758	-133	31.42	31.42	3	19
Massimi/minimi										
1							31.42			
1								31.42		
13										2.3

Muro [Platea]: 54 - Nodi: [284-283-74-78]Pann=16Spess.=60 cm, Terreno=Terreno1, ,Criterio=CLS_Platee_ND,
Materiale=C35/45, $\zeta_e=44.805$ [(5+6)-I-3] : **Verificato**

Armatura a maglia doppia

Pannello	Nx kg	Ny kg	Nxy kg	Mx kg*m	My kg*m	Mxy kg*m	Ax cmq	Ay cmq	C	Cs
1	-17377	-12916	8301	2209	1272	-759	31.42	31.42	3	12
2	-18976	-10397	8415	2970	1160	-914	31.42	31.42	3	9.3
3	-21701	-7351	8948	3468	905	-1008	31.42	31.42	3	8.3
4	-25449	-4548	9338	3321	636	-1174	31.42	31.42	3	8.4
5	-17212	-13395	6895	1987	1193	-397	31.42	31.42	3	15
6	-19057	-10433	6587	2490	1042	-627	31.42	31.42	3	12
7	-21985	-6779	7041	2863	751	-745	31.42	31.42	3	10
8	-24949	-3171	7220	2886	629	-1206	31.42	31.42	3	9.2
9	-1914	1875	1799	153	-1249	-347	31.42	31.42	2	20
10	-18936	-10528	4551	1678	919	-411	31.42	31.42	3	17
11	-22185	-6577	4340	1971	562	-428	31.42	31.42	3	15
12	-24384	-1218	5171	2323	511	-1073	31.42	31.42	3	11

Pannello	Nx	Ny	Nxy	Mx	My	Mxy	Ax	Ay	C	Cs
13	-15905	-13879	2835	862	1174	-41	31.42	31.42	3	29
14	-2223	1225	2954	815	32	372	31.42	31.42	2	27
15	-4359	-808	2036	1077	283	365	31.42	31.42	2	23
16	-24028	-2149	886	1474	324	-236	31.42	31.42	3	22
Massimi/minimi										
1							31.42			
1								31.42		
3										8.3

Muro [Platea]: 55 - Nodi: [78-74-224-219]Pann=13Spess.=60 cm, Terreno=Terrenol, ,Criterio=CLS_Platee_ND, Materiale=C35/45, $\zeta_e=34.863$ [(5+6)-I-3] : **Verificato**

Armatura a maglia doppia

Pannello	Nx	Ny	Nxy	Mx	My	Mxy	Ax	Ay	C	Cs
	kg	kg	kg	kg*m	kg*m	kg*m	cmq	cmq		
1	-24016	-4784	12127	2076	-710	-648	31.42	31.42	3	14
2	-22629	2673	10065	1124	-1020	-417	31.42	31.42	3	22
3	-14355	-109	9074	659	-53	-520	31.42	31.42	4	30
4	-24862	-4521	10480	1385	747	-763	31.42	31.42	3	18
5	-25120	-5369	8492	2148	1035	-949	31.42	31.42	3	12
6	-28370	-5473	8911	3334	1087	-1295	31.42	31.42	3	8.3
7	-25693	-5310	9755	3720	802	-1442	31.42	31.42	3	7.3
8	-24777	-5210	10527	3921	593	-1442	31.42	31.42	3	7.0
9	-26693	-4735	11554	3465	300	-1089	31.42	31.42	3	8.4
10	-25331	-5488	12294	2848	-191	-747	31.42	31.42	3	11
11	-22859	-4145	10016	2073	-24	-1212	31.42	31.42	3	11
12	-24310	-4845	9891	2621	495	-1259	31.42	31.42	3	9.7
13	-23898	-5536	10571	3053	203	-1292	31.42	31.42	3	8.6
Massimi/minimi										
1							31.42			
1								31.42		
8										7.0

Muro [Platea]: 56 - Nodi: [219-224-272-214]Pann=8Spess.=60 cm, Terreno=Terrenol, ,Criterio=CLS_Platee_ND, Materiale=C35/45, $\zeta_e=28.790$ [(5+6)-I-3] : **Verificato**

Armatura a maglia doppia

Pannello	Nx	Ny	Nxy	Mx	My	Mxy	Ax	Ay	C	Cs
	kg	kg	kg	kg*m	kg*m	kg*m	cmq	cmq		
1	-30258	-8214	9938	3321	587	-918	31.42	31.42	3	9.2
2	-30205	-8137	8374	3663	897	-1009	31.42	31.42	3	8.3
3	-31372	-8095	7673	3756	982	-929	31.42	31.42	3	8.4
4	-33362	-7738	6601	3652	986	-870	31.42	31.42	3	8.8
5	-26834	-8605	9268	2320	549	-693	31.42	31.42	3	13
6	-29023	-9023	8447	2259	813	-709	31.42	31.42	3	13
7	-30046	-9069	7280	2410	923	-624	31.42	31.42	3	13
8	-30316	-8488	5759	2761	1000	-681	31.42	31.42	3	11
Massimi/minimi										
1							31.42			
1								31.42		
2										8.3

Muro [Platea]: 57 - Nodi: [74-281-77-224]Pann=16Spess.=60 cm, Terreno=Terrenol, ,Criterio=CLS_Platee_ND, Materiale=C35/45, $\zeta_e=51.964$ [(5+6)-I-3] : **Verificato**

Armatura a maglia doppia

Pannello	Nx	Ny	Nxy	Mx	My	Mxy	Ax	Ay	C	Cs
	kg	kg	kg	kg*m	kg*m	kg*m	cmq	cmq		
1	-5356	3631	7162	854	-2109	-670	31.42	31.42	3	11
2	-10769	1205	3469	2172	-134	-1146	31.42	31.42	3	10
3	-12779	-1104	2585	2563	910	-1107	31.42	31.42	3	9.5
4	-16987	-2033	2665	2430	1591	-945	31.42	31.42	3	11
5	-5950	242	4833	257	-3056	185	31.42	31.42	3	9.8
6	-6084	537	4693	746	-520	-451	31.42	31.42	4	28
7	-10822	1153	3229	1296	1048	-453	31.42	31.42	3	20
8	-12793	1611	760	1647	2327	-815	31.42	31.42	3	10.0
9	-5252	1883	3929	13	-3049	314	31.42	31.42	3	9.3
10	-6615	1926	3299	300	-858	-134	31.42	31.42	3	31
11	-5674	961	3755	727	522	-469	31.42	31.42	2	28

Pannello	Nx	Ny	Nxy	Mx	My	Mxy	Ax	Ay	C	Cs
12	-8479	1614	685	1002	2249	-669	31.42	31.42	3	11
13	-4450	6448	3918	-179	-2256	213	31.42	31.42	3	12
14	-6452	3912	5357	-379	-799	232	31.42	31.42	3	30
15	-6208	765	4563	-270	358	194	31.42	31.42	3	57
16	-5007	-1508	2384	187	1379	-230	31.42	31.42	3	20
Massimi/minimi										
1							31.42			
1								31.42		
9										9.3

Muro [Platea]: 58 - Nodi: [224-77-278-272]Pann=23Spess.=60 cm, Terreno=Terreno1, ,Criterio=CLS_Platee_ND,
Materiale=C35/45, $\zeta_e=41.396$ [(5+6)-I-3] : **Verificato**

Armatura a maglia doppia

Pannello	Nx kg	Ny kg	Nxy kg	Mx kg*m	My kg*m	Mxy kg*m	Ax cmq	Ay cmq	C	Cs
1	-13854	-7910	-1077	1337	1523	-671	31.42	31.42	3	15
2	-17279	-7405	-659	1865	1502	-774	31.42	31.42	3	14
3	-20853	-7021	682	2430	1417	-793	31.42	31.42	3	11
4	-23789	-7769	2954	3106	1172	-704	31.42	31.42	3	9.8
5	-20195	-8478	3801	3365	1147	-660	31.42	31.42	3	9.1
6	-18905	-8548	5151	3123	922	-714	31.42	31.42	3	9.5
7	-19397	-8578	6586	2450	413	-424	31.42	31.42	3	13
8	-12359	-7266	5544	1202	41	-260	31.42	31.42	4	24
9	-7481	-5023	3514	768	65	-444	31.42	31.42	2	28
10	-6637	-5324	3377	656	254	-293	31.42	31.42	2	35
11	-7139	-5702	3239	767	513	-189	31.42	31.42	2	35
12	-10054	-9436	1682	-93	958	71	31.42	31.42	3	33
13	-8764	-9892	426	345	1210	-172	31.42	31.42	3	25
14	-10895	-8621	-641	849	1469	-503	31.42	31.42	3	17
15	-18286	-8106	2900	2274	1224	-441	31.42	31.42	3	13
16	-16335	-8661	4523	1872	805	-372	31.42	31.42	3	16
17	-7650	-4932	3187	955	617	-364	31.42	31.42	2	25
18	-7305	-5005	3252	888	442	-386	31.42	31.42	2	26
19	-14201	-8352	3689	1278	889	-307	31.42	31.42	3	22
20	-7505	-5164	3128	884	614	-328	31.42	31.42	2	28
21	-11563	-8221	1281	529	1163	-146	31.42	31.42	3	26
22	-13455	-8006	1390	1073	1225	-236	31.42	31.42	3	23
23	-15799	-8163	1833	1615	1241	-326	31.42	31.42	3	18
Massimi/minimi										
1							31.42			
1								31.42		
5										9.1

Muro [Platea]: 59 - Nodi: [281-76-70-77]Pann=16Spess.=60 cm, Terreno=Terreno1, ,Criterio=CLS_Platee_ND,
Materiale=C35/45, $\zeta_e=34.401$ [(5+6)-II-1] : **Verificato**

Armatura a maglia doppia

Pannello	Nx kg	Ny kg	Nxy kg	Mx kg*m	My kg*m	Mxy kg*m	Ax cmq	Ay cmq	C	Cs
1	454	7991	48	278	-2166	-235	31.42	31.42	3	12
2	-505	3546	-1483	716	-498	-768	31.42	31.42	4	21
3	-1200	357	-1720	654	492	-684	31.42	31.42	4	24
4	-863	-1930	-1415	421	1399	-330	31.42	31.42	3	19
5	3996	3753	2211	-678	-3252	112	31.42	31.42	3	9.1
6	2710	2816	227	-282	-863	-457	31.42	31.42	3	23
7	697	1752	-262	-59	917	-346	31.42	31.42	3	25
8	-302	1040	-711	234	2253	-152	31.42	31.42	3	13
9	8437	2910	3076	-1422	-3714	-75	31.42	31.42	3	8.2
10	3970	1925	1139	-872	-541	-538	31.42	31.42	3	22
11	1113	416	715	-460	1190	-142	31.42	31.42	3	24
12	326	-264	251	67	2403	13	31.42	31.42	3	13
13	13137	477	3561	-1976	-1942	-31	31.42	31.42	3	14
14	4362	-2195	4369	-843	180	583	31.42	31.42	3	21
15	2726	-4515	2682	-87	1133	666	31.42	31.42	3	18
16	958	-6158	601	155	1788	375	31.42	31.42	3	15
Massimi/minimi										
1							31.42			
1								31.42		
9										8.2

Muro [Platea]: 60 - Nodi: [77-70-277-278] Pann=16 Spess.=60 cm, Terreno=Terrenol, , Criterio=CLS_Platee_ND,
Materiale=C35/45, $\zeta_e=202.715$ [(5+6)-I-3] : **Verificato**

Armatura a maglia doppia

Pannello	Nx kg	Ny kg	Nxy kg	Mx kg*m	My kg*m	Mxy kg*m	Ax cmq	Ay cmq	C	Cs
1	-6098	-5685	1365	587	278	-220	31.42	31.42	2	41
2	-3630	-8668	-433	575	874	-196	31.42	31.42	3	32
3	-4436	-9101	-832	712	1099	-109	31.42	31.42	3	28
4	-5417	-9325	-563	702	1221	-84	31.42	31.42	3	26
5	-6093	-6493	1225	532	84	-125	31.42	31.42	2	51
6	-3209	-9152	-515	165	866	94	31.42	31.42	3	35
7	-4203	-8850	-781	312	1171	112	31.42	31.42	3	26
8	-4845	-8440	-1226	480	1316	40	31.42	31.42	3	25
9	-5724	-6988	1118	484	136	-119	31.42	31.42	2	55
10	-2821	-9707	-1088	82	934	203	31.42	31.42	3	30
11	-3777	-9187	-1419	227	1173	241	31.42	31.42	3	24
12	-4326	-8744	-1700	394	1250	186	31.42	31.42	3	24
13	-1245	-10936	-1589	163	815	224	31.42	31.42	3	33
14	-2421	-10290	-1863	379	1052	406	31.42	31.42	3	23
15	-3520	-9869	-1963	450	1120	370	31.42	31.42	3	23
16	-4226	-9604	-2088	468	1123	280	31.42	31.42	3	24
Massimi/minimi										
1							31.42			
1								31.42		
15										23

Muro [Platea]: 61 - Nodi: [11-5-6-286] Pann=16 Spess.=60 cm, Terreno=Terrenol, , Criterio=CLS_Platee_ND,
Materiale=C35/45, $\zeta_e=20.280$ [(5+6)-II-2] : **Verificato**

Armatura a maglia doppia

Pannello	Nx kg	Ny kg	Nxy kg	Mx kg*m	My kg*m	Mxy kg*m	Ax cmq	Ay cmq	C	Cs
1	-3056	68330	-5091	-4	-10907	-720	31.42	31.42	2	1.2
2	3836	54689	-12716	-243	-6232	-1112	31.42	31.42	2	2.4
3	8637	39645	-13099	-51	-2305	-890	31.42	31.42	2	6.8
4	3883	-45657	14711	-719	3936	-1705	31.42	31.42	3	7.5
5	2952	49146	-2353	-1198	-11838	449	31.42	31.42	2	1.6
6	6451	46006	-2987	-851	-6243	698	31.42	31.42	2	2.9
7	213	-46174	11065	-228	5020	-1314	31.42	31.42	3	6.7
8	-2889	-46340	14842	-93	3613	-1412	31.42	31.42	3	8.5
9	5660	48297	765	-1452	-10958	178	31.42	31.42	2	1.7
10	5899	44841	466	-922	-5933	371	31.42	31.42	2	3.2
11	-2542	-46310	10546	452	4799	-1241	31.42	31.42	3	7.1
12	-5987	-44072	12216	654	3860	-938	31.42	31.42	3	8.8
13	4542	54484	4200	-873	-8451	569	31.42	31.42	2	2.0
14	4966	46396	7613	-659	-5271	1368	31.42	31.42	2	3.0
15	6153	37461	7256	-444	-2727	1303	31.42	31.42	2	5.5
16	-7787	-43595	8060	1140	4192	-703	31.42	31.42	3	8.6
Massimi/minimi										
1							31.42			
1								31.42		
1										1.2

Muro [Platea]: 62 - Nodi: [286-6-75-76] Pann=16 Spess.=60 cm, Terreno=Terrenol, , Criterio=CLS_Platee_ND,
Materiale=C35/45, $\zeta_e=51.039$ [(5+6)-II-2] : **Verificato**

Armatura a maglia doppia

Pannello	Nx kg	Ny kg	Nxy kg	Mx kg*m	My kg*m	Mxy kg*m	Ax cmq	Ay cmq	C	Cs
1	-7579	-28056	12402	-125	4777	-1216	31.42	31.42	3	6.4
2	-12656	-22740	11846	-1441	2092	310	31.42	31.42	3	15
3	-12665	-16153	11819	-2324	505	179	31.42	31.42	3	14
4	-11409	-10117	9605	-960	-828	119	31.42	31.42	3	32
5	-6530	-24674	10979	886	5979	-2411	31.42	31.42	3	4.5
6	-11419	-22695	8873	842	2740	-1823	31.42	31.42	3	8.1
7	-11804	-19779	7348	867	717	-1207	31.42	31.42	3	17
8	-12124	-17018	7679	831	-1114	452	31.42	31.42	3	23
9	-7876	-29630	6990	1500	5451	-1804	31.42	31.42	3	5.4
10	-9727	-25895	6735	2039	3377	-1546	31.42	31.42	3	7.7

Pannello	Nx	Ny	Nxy	Mx	My	Mxy	Ax	Ay	C	Cs
11	-11114	-22943	5091	2215	1521	-1012	31.42	31.42	3	11
12	-14080	-20161	5609	1763	-82	383	31.42	31.42	3	16
13	-8619	-35185	4147	1935	4627	-1216	31.42	31.42	3	6.9
14	-8656	-29720	2574	3013	3549	-1396	31.42	31.42	3	7.7
15	-10499	-24264	1865	3453	2392	-1188	31.42	31.42	3	7.4
16	-15374	-19974	2100	2720	1197	-178	31.42	31.42	3	12
Massimi/minimi										
1							31.42			
1								31.42		
5										4.5

Muro [Platea]: 63 - Nodi: [76-75-226-70]Pann=16Spess.=60 cm, Terreno=Terreno1, ,Criterio=CLS_Platee_ND,
Materiale=C35/45, $\zeta_e=178.650$ [(5+6)-I-1] : **Verificato**

Armatura a maglia doppia

Pannello	Nx	Ny	Nxy	Mx	My	Mxy	Ax	Ay	C	Cs
	kg	kg	kg	kg*m	kg*m	kg*m	cmq	cmq		
1	-6815	-6658	-9678	-883	-30	649	31.42	31.42	3	22
2	-5618	-7966	-5736	-2151	488	443	31.42	31.42	3	13
3	-6291	-9571	-4444	-1445	849	388	31.42	31.42	3	18
4	-4065	-10534	-2572	-475	1262	560	31.42	31.42	3	19
5	-6433	-767	-2886	530	-1142	-9	31.42	31.42	2	28
6	-8297	-10339	-5446	451	906	1109	31.42	31.42	3	17
7	-7752	-10421	-3674	215	1137	996	31.42	31.42	3	16
8	-6846	-10633	-1728	456	1386	1164	31.42	31.42	3	13
9	-13236	-11035	-6966	1826	1454	-295	31.42	31.42	3	16
10	-10277	-12147	-4898	1906	1168	722	31.42	31.42	3	13
11	-9338	-12077	-3869	1650	1229	870	31.42	31.42	3	13
12	-10019	-11688	-1892	1297	1143	1135	31.42	31.42	3	14
13	-15500	-13694	-4630	2698	1774	-79	31.42	31.42	3	13
14	-10915	-13505	-5074	3273	1583	369	31.42	31.42	3	9.4
15	-10409	-12868	-4309	2980	1445	433	31.42	31.42	3	10
16	-12642	-12264	-3085	2139	1199	643	31.42	31.42	3	12
Massimi/minimi										
1							31.42			
1								31.42		
14										9.4

Muro [Platea]: 64 - Nodi: [70-226-269-277]Pann=16Spess.=60 cm, Terreno=Terreno1, ,Criterio=CLS_Platee_ND,
Materiale=C35/45, $\zeta_e=56.846$ [(5+6)-I-1] : **Verificato**

Armatura a maglia doppia

Pannello	Nx	Ny	Nxy	Mx	My	Mxy	Ax	Ay	C	Cs
	kg	kg	kg	kg*m	kg*m	kg*m	cmq	cmq		
1	-4432	-11644	-4730	-94	1059	265	31.42	31.42	3	26
2	-6988	-10903	-4030	-265	1022	421	31.42	31.42	3	24
3	-7383	-10519	-3174	-92	974	399	31.42	31.42	3	25
4	-6440	-10294	-2267	262	942	406	31.42	31.42	3	25
5	-7036	-11462	-6763	521	1142	269	31.42	31.42	3	24
6	-8060	-10640	-4541	459	1118	578	31.42	31.42	3	20
7	-8409	-10296	-3446	499	1006	532	31.42	31.42	3	22
8	-8089	-10097	-2038	629	851	610	31.42	31.42	3	23
9	-10216	-10574	-7128	1183	1288	265	31.42	31.42	3	22
10	-9737	-10586	-4915	1219	1151	585	31.42	31.42	3	19
11	-9665	-10217	-3778	1167	1005	538	31.42	31.42	3	20
12	-10114	-9850	-2318	1070	761	661	31.42	31.42	3	20
13	-12825	-10813	-6071	1884	1307	326	31.42	31.42	3	16
14	-10886	-10388	-5393	2183	1199	437	31.42	31.42	3	13
15	-10838	-9774	-4211	2052	1063	352	31.42	31.42	3	14
16	-11991	-9361	-3031	1633	852	442	31.42	31.42	3	17
Massimi/minimi										
1							31.42			
1								31.42		
14										13

Muro [Platea]: 65 - Nodi: [5-2-285-6]Pann=16Spess.=60 cm, Terreno=Terreno1, ,Criterio=CLS_Platee_ND,
Materiale=C35/45, $\zeta_e=25.395$ [(5+6)-II-2] : **Verificato**

Armatura a maglia doppia

Pannello	Nx	Ny	Nxy	Mx	My	Mxy	Ax	Ay	C	Cs
	kg	kg	kg	kg*m	kg*m	kg*m	cmq	cmq		
1	4466	51736	-3788	-919	-8014	-520	31.42	31.42	2	2.2
2	3588	44577	-7245	-848	-5093	-1055	31.42	31.42	2	3.3
3	3975	36454	-7020	-691	-2751	-932	31.42	31.42	2	6.1
4	-11542	-43023	4866	1000	4411	-453	31.42	31.42	3	8.6
5	6022	42362	-824	-1298	-9416	-147	31.42	31.42	2	2.2
6	4767	40139	-904	-695	-5263	-64	31.42	31.42	2	4.0
7	-11797	-43268	769	1201	4885	-245	31.42	31.42	3	8.2
8	-13912	-41044	2155	1458	4599	-118	31.42	31.42	3	8.8
9	5608	39619	881	-1158	-8914	-211	31.42	31.42	2	2.4
10	4681	37565	1285	-492	-4931	-81	31.42	31.42	2	4.4
11	-13043	-41108	-2042	1480	4798	166	31.42	31.42	3	8.4
12	-15612	-38889	-1129	1733	4724	212	31.42	31.42	3	8.3
13	3609	42651	3684	-534	-6799	263	31.42	31.42	2	2.9
14	3810	36804	6544	-92	-4155	890	31.42	31.42	2	4.4
15	4072	30414	5925	251	-2122	957	31.42	31.42	2	7.8
16	-16242	-38362	-4357	1787	4373	628	31.42	31.42	3	8.2
Massimi/minimi										
1							31.42			
1								31.42		
1										2.2

Muro [Platea]: 66 - Nodi: [6-285-73-75]Pann=16Spess.=60 cm, Terreno=Terrenol, ,Criterio=CLS_Platee_ND, Materiale=C35/45,ζ_e=55.139 [(5+6)-II-2] : **Verificato**

Armatura a maglia doppia

Pannello	Nx	Ny	Nxy	Mx	My	Mxy	Ax	Ay	C	Cs
	kg	kg	kg	kg*m	kg*m	kg*m	cmq	cmq		
1	-14610	-37548	4699	1089	4243	-452	31.42	31.42	3	8.7
2	-18706	-32648	6182	964	3355	-239	31.42	31.42	3	11
3	-21883	-27176	5978	1073	2443	-160	31.42	31.42	3	15
4	-22242	-22685	3732	1563	1582	66	31.42	31.42	3	23
5	-16319	-36188	731	1727	4542	-451	31.42	31.42	3	8.1
6	-19138	-32539	1657	1880	3632	-361	31.42	31.42	3	9.9
7	-21246	-28854	1676	2010	2653	-265	31.42	31.42	3	13
8	-22820	-26330	2312	2101	1534	197	31.42	31.42	3	16
9	-1036	7823	-1359	-155	-3347	20	31.42	31.42	2	8.8
10	-19615	-32928	-1756	2385	3710	-114	31.42	31.42	3	10
11	-21745	-29813	-1201	2552	2871	-53	31.42	31.42	3	13
12	-24316	-26994	-145	2517	1819	349	31.42	31.42	3	13
13	-18395	-36732	-5450	2144	3984	304	31.42	31.42	3	9.4
14	-20225	-33386	-5066	2683	3599	138	31.42	31.42	3	11
15	-22461	-29674	-4404	3027	3016	69	31.42	31.42	3	12
16	-25691	-26089	-3364	2949	2255	331	31.42	31.42	3	12
Massimi/minimi										
1							31.42			
1								31.42		
5										8.1

Muro [Platea]: 67 - Nodi: [75-73-227-226]Pann=16Spess.=60 cm, Terreno=Terrenol, ,Criterio=CLS_Platee_ND, Materiale=C35/45,ζ_e=77.818 [(5+6)-I-1] : **Verificato**

Armatura a maglia doppia

Pannello	Nx	Ny	Nxy	Mx	My	Mxy	Ax	Ay	C	Cs
	kg	kg	kg	kg*m	kg*m	kg*m	cmq	cmq		
1	-22172	-16758	-1958	1645	2025	66	31.42	31.42	3	17
2	-23405	-15777	-2127	1053	1507	531	31.42	31.42	3	17
3	-22596	-14866	-1804	946	1198	545	31.42	31.42	3	20
4	-20005	-14232	-1644	1314	950	589	31.42	31.42	3	19
5	-23030	-17554	-3600	2328	2632	-237	31.42	31.42	3	13
6	-23612	-16670	-2881	2176	1847	240	31.42	31.42	3	15
7	-23156	-16147	-2413	2041	1304	361	31.42	31.42	3	16
8	-22301	-16038	-796	2002	775	699	31.42	31.42	3	14
9	-24756	-18768	-4851	2787	2778	-93	31.42	31.42	3	13
10	-24434	-17915	-3665	2888	2060	219	31.42	31.42	3	12
11	-24358	-17084	-2908	2810	1476	310	31.42	31.42	3	12
12	-25032	-16313	-1281	2597	847	679	31.42	31.42	3	12
13	-26450	-20443	-5447	3210	2546	158	31.42	31.42	3	11
14	-25217	-18768	-5152	3628	2121	146	31.42	31.42	3	10
15	-25506	-16980	-4263	3661	1703	133	31.42	31.42	3	10.0
16	-27370	-15458	-2951	3254	1207	407	31.42	31.42	3	10

**POTENZIAMENTO DELL'IMPIANTO DI DEPURAZIONE E
DEL RECAPITO FINALE DI SQUINZANO (LE)
PROGETTO DEFINITIVO
Tabulati di calcolo strutturale-Equalizzazione**

R.37.7

Maggio 2021

Pagina 161 di
338

Pannello	Nx	Ny	Nxy	Mx	My	Mxy	Ax	Ay	C	Cs
										Massimi/minimi
1							31.42			
1								31.42		
15										10.0

Muro [Platea]: 68 - Nodi: [226-227-274-269]Pann=16Spess.=60 cm, Terreno=Terrenol, ,Criterio=CLS_Platee_ND,
Materiale=C35/45, $\zeta_e=63.534$ [(5+6)-I-1] : **Verificato**

Armatura a maglia doppia

Pannello	Nx	Ny	Nxy	Mx	My	Mxy	Ax	Ay	C	Cs
	kg	kg	kg	kg*m	kg*m	kg*m	cmq	cmq		
1	-18998	-11444	-4717	1344	1354	309	31.42	31.42	3	21
2	-20343	-10935	-3565	841	1016	559	31.42	31.42	3	22
3	-19831	-10422	-2379	782	812	493	31.42	31.42	3	26
4	-17478	-10187	-1546	1133	671	510	31.42	31.42	3	22
5	-21455	-10995	-5770	2069	1673	9	31.42	31.42	3	18
6	-21747	-10694	-3886	1867	1179	355	31.42	31.42	3	17
7	-21234	-10584	-2591	1759	832	371	31.42	31.42	3	17
8	-20216	-10749	-452	1779	494	634	31.42	31.42	3	15
9	-24425	-10973	-5987	2685	1743	11	31.42	31.42	3	14
10	-23535	-10992	-3980	2704	1280	298	31.42	31.42	3	12
11	-23108	-10759	-2675	2610	911	314	31.42	31.42	3	13
12	-23480	-10384	-590	2432	498	632	31.42	31.42	3	12
13	-27048	-11814	-5253	3322	1577	155	31.42	31.42	3	11
14	-24892	-11161	-4503	3693	1329	180	31.42	31.42	3	9.7
15	-24643	-10297	-3249	3659	1075	127	31.42	31.42	3	9.9
16	-26260	-9536	-1861	3190	747	355	31.42	31.42	3	11
										Massimi/minimi
1							31.42			
1								31.42		
14										9.7

Muro [Platea]: 69 - Nodi: [2-3-282-285]Pann=16Spess.=60 cm, Terreno=Terrenol, ,Criterio=CLS_Platee_ND,
Materiale=C35/45, $\zeta_e=38.837$ [(5+6)-II-2] : **Verificato**

Armatura a maglia doppia

Pannello	Nx	Ny	Nxy	Mx	My	Mxy	Ax	Ay	C	Cs
	kg	kg	kg	kg*m	kg*m	kg*m	cmq	cmq		
1	2349	38941	-2773	-666	-6136	-481	31.42	31.42	2	3.3
2	900	33326	-5631	-650	-3807	-843	31.42	31.42	2	5.0
3	-16191	-36538	-11661	1204	4114	652	31.42	31.42	3	8.5
4	-17430	-35422	-10153	1746	4408	806	31.42	31.42	3	7.7
5	3613	29271	-657	-906	-6871	-174	31.42	31.42	2	3.4
6	2390	27757	-967	-411	-3650	16	31.42	31.42	2	6.7
7	-16388	-31413	-13074	1558	4169	1547	31.42	31.42	3	6.9
8	-18528	-29457	-13030	2054	4808	1379	31.42	31.42	3	6.3
9	3604	24738	419	-765	-5988	-186	31.42	31.42	2	4.1
10	2914	23467	331	-235	-3099	82	31.42	31.42	2	8.1
11	-15489	-27042	-15648	1883	3862	2056	31.42	31.42	3	6.5
12	-18897	-25207	-15781	2240	4590	1713	31.42	31.42	3	6.0
13	2787	23752	2221	-322	-4068	160	31.42	31.42	2	6.1
14	-9154	-22522	-15216	2410	2340	2931	31.42	31.42	3	6.4
15	-14580	-23836	-16918	2034	3055	2757	31.42	31.42	3	6.4
16	-18786	-23682	-17822	2061	3467	2143	31.42	31.42	3	6.7
										Massimi/minimi
1							31.42			
1								31.42		
1										3.3

Muro [Platea]: 70 - Nodi: [285-282-72-73]Pann=16Spess.=60 cm, Terreno=Terrenol, ,Criterio=CLS_Platee_ND,
Materiale=C35/45, $\zeta_e=51.576$ [(5+6)-I-1] : **Verificato**

Armatura a maglia doppia

Pannello	Nx	Ny	Nxy	Mx	My	Mxy	Ax	Ay	C	Cs
	kg	kg	kg	kg*m	kg*m	kg*m	cmq	cmq		
1	-20074	-35957	-8167	2086	3600	837	31.42	31.42	3	9.1
2	-22929	-32692	-6537	2455	3405	648	31.42	31.42	3	9.8
3	-26096	-29039	-5237	2658	2961	554	31.42	31.42	3	11
4	-28642	-25477	-4644	2825	2382	514	31.42	31.42	3	12

Pannello	Nx	Ny	Nxy	Mx	My	Mxy	Ax	Ay	C	Cs
5	-21703	-33419	-11263	2282	3247	1216	31.42	31.42	3	8.9
6	-24297	-30403	-9858	2708	3271	883	31.42	31.42	3	9.4
7	-27194	-27347	-8571	2989	2895	690	31.42	31.42	3	10
8	-30185	-24733	-7054	3113	2272	619	31.42	31.42	3	10
9	-22801	-30661	-13844	2314	2807	1542	31.42	31.42	3	9.0
10	-25631	-27982	-12822	2708	3001	1194	31.42	31.42	3	9.2
11	-28708	-25381	-11179	3031	2716	988	31.42	31.42	3	9.6
12	-31717	-22840	-9651	3244	2213	813	31.42	31.42	3	9.7
13	-23149	-27336	-16307	2021	2520	1792	31.42	31.42	3	8.9
14	-27078	-25934	-14991	2199	2632	1571	31.42	31.42	3	9.0
15	-30312	-23573	-13889	2608	2399	1383	31.42	31.42	3	9.8
16	-33017	-20534	-12140	3113	2010	1126	31.42	31.42	3	9.3
Massimi/minimi										
1							31.42			
1								31.42		
13										8.9

Muro [Platea]: 71 - Nodi: [73-72-225-227]Pann=16Spess.=60 cm, Terreno=Terrenol, ,Criterio=CLS_Platee_ND,
Materiale=C35/45,ζ=37.214 [(5+6)-I-1] : **Verificato**

Armatura a maglia doppia

Pannello	Nx kg	Ny kg	Nxy kg	Mx kg*m	My kg*m	Mxy kg*m	Ax cmq	Ay cmq	C	Cs
1	-30423	-21150	-4689	2879	2388	470	31.42	31.42	3	12
2	-31839	-19315	-3512	2742	1958	534	31.42	31.42	3	12
3	-32738	-17312	-2646	2715	1585	466	31.42	31.42	3	12
4	-32435	-15612	-2314	2909	1221	458	31.42	31.42	3	12
5	-31896	-19847	-6465	3307	2517	462	31.42	31.42	3	10
6	-32937	-18402	-5400	3395	2008	426	31.42	31.42	3	10
7	-33682	-17035	-4433	3413	1564	378	31.42	31.42	3	10
8	-34454	-16055	-2848	3401	1072	504	31.42	31.42	3	10
9	-33320	-18969	-8088	3516	2325	689	31.42	31.42	3	9.4
10	-34146	-17613	-6957	3713	1944	540	31.42	31.42	3	9.4
11	-35181	-16334	-5692	3792	1543	471	31.42	31.42	3	9.4
12	-36603	-15055	-4189	3753	1091	552	31.42	31.42	3	9.4
13	-34528	-17912	-9600	3489	1958	881	31.42	31.42	3	9.1
14	-35544	-16776	-8374	3656	1770	644	31.42	31.42	3	9.4
15	-36633	-15178	-7418	3854	1498	575	31.42	31.42	3	9.1
16	-38306	-13297	-6001	3932	1143	581	31.42	31.42	3	9.1
Massimi/minimi										
1							31.42			
1								31.42		
16										9.1

Muro [Platea]: 72 - Nodi: [227-225-276-274]Pann=16Spess.=60 cm, Terreno=Terrenol, ,Criterio=CLS_Platee_ND,
Materiale=C35/45,ζ=30.420 [(5+6)-I-1] : **Verificato**

Armatura a maglia doppia

Pannello	Nx kg	Ny kg	Nxy kg	Mx kg*m	My kg*m	Mxy kg*m	Ax cmq	Ay cmq	C	Cs
1	-32611	-12565	-3791	2884	1455	274	31.42	31.42	3	13
2	-33811	-11725	-2547	2522	1123	401	31.42	31.42	3	14
3	-33906	-10747	-1455	2445	888	326	31.42	31.42	3	14
4	-32360	-10005	-854	2726	702	375	31.42	31.42	3	13
5	-34677	-11778	-4839	3496	1633	93	31.42	31.42	3	11
6	-35107	-11168	-3356	3446	1220	228	31.42	31.42	3	11
7	-35101	-10634	-2219	3400	913	215	31.42	31.42	3	11
8	-34917	-10427	-270	3385	602	446	31.42	31.42	3	10
9	-36838	-11349	-5423	3908	1548	201	31.42	31.42	3	9.9
10	-36565	-10937	-3952	4036	1241	249	31.42	31.42	3	9.4
11	-36813	-10389	-2680	4040	953	228	31.42	31.42	3	9.5
12	-37747	-9666	-858	3917	630	433	31.42	31.42	3	9.4
13	-38557	-11002	-5497	4139	1302	364	31.42	31.42	3	9.1
14	-37868	-10633	-4515	4373	1192	266	31.42	31.42	3	8.8
15	-38215	-9740	-3663	4469	1003	238	31.42	31.42	3	8.7
16	-39919	-8457	-2421	4316	716	333	31.42	31.42	3	8.9
Massimi/minimi										
1							31.42			
1								31.42		
15										8.7

Muro [Platea]: 73 - Nodi: [3-4-8-282]Pann=16Spess.=60 cm, Terreno=Terreno1, ,Criterio=CLS_Platee_ND,
Materiale=C35/45, $\zeta_e=82.172$ [(5+6)-I-3] : **Verificato**

Armatura a maglia doppia

Pannello	Nx kg	Ny kg	Nxy kg	Mx kg*m	My kg*m	Mxy kg*m	Ax cmq	Ay cmq	C	Cs
1	2124	19082	-1273	-387	-2878	-193	31.42	31.42	2	8.8
2	-16759	-17152	-24420	276	1547	2411	31.42	31.42	3	9.1
3	-15121	-19533	-26099	1630	2341	2366	31.42	31.42	3	7.7
4	-17418	-19899	-24771	2158	2819	2106	31.42	31.42	3	7.4
5	3155	11388	-84	-435	-2446	52	31.42	31.42	2	12
6	-10215	-11807	-20856	1261	1173	3630	31.42	31.42	3	7.0
7	-13334	-13578	-24522	1695	1963	3478	31.42	31.42	3	6.4
8	-15986	-13952	-27239	1973	2535	2518	31.42	31.42	3	6.9
9	-2231	-3293	-14440	579	351	1289	31.42	31.42	3	17
10	-5791	-6777	-17495	1173	1041	3765	31.42	31.42	3	6.7
11	-7796	-10134	-21436	1255	1352	3794	31.42	31.42	3	6.6
12	-11519	-13777	-26714	1263	845	2606	31.42	31.42	3	8.9
13	1508	824	-7525	651	599	587	31.42	31.42	3	25
14	27	-2201	-12750	628	541	1665	31.42	31.42	3	14
15	-3534	-6121	-16079	-440	564	1717	31.42	31.42	3	15
16	-4795	-10971	-17471	-365	117	1458	31.42	31.42	3	18
Massimi/minimi										
1							31.42			
1								31.42		
7										6.4

Muro [Platea]: 74 - Nodi: [282-8-280-72]Pann=16Spess.=60 cm, Terreno=Terreno1, ,Criterio=CLS_Platee_ND,
Materiale=C35/45, $\zeta_e=37.254$ [(5+6)-I-3] : **Verificato**

Armatura a maglia doppia

Pannello	Nx kg	Ny kg	Nxy kg	Mx kg*m	My kg*m	Mxy kg*m	Ax cmq	Ay cmq	C	Cs
1	-18684	-22428	-18802	2999	2351	2334	31.42	31.42	3	6.8
2	-18344	-21779	-17950	4270	2623	1894	31.42	31.42	3	5.9
3	-22003	-20199	-16846	4658	2344	1682	31.42	31.42	3	5.8
4	-29169	-17685	-15563	4116	1794	1129	31.42	31.42	3	7.4
5	-17926	-16937	-18311	2489	2038	3198	31.42	31.42	3	6.3
6	-18987	-17013	-18745	3318	2186	2441	31.42	31.42	3	6.3
7	-22839	-16932	-18221	3649	1761	1947	31.42	31.42	3	6.6
8	-28319	-15732	-19194	3478	1192	872	31.42	31.42	3	8.9
9	-14787	-9143	-16949	1650	2345	3566	31.42	31.42	3	5.7
10	-19454	-11533	-17712	1811	1478	2756	31.42	31.42	3	8.0
11	-22361	-13341	-17244	2036	973	2223	31.42	31.42	3	8.7
12	-25087	-15961	-20028	2300	155	934	31.42	31.42	3	12
13	-10049	-6362	-12697	-636	1620	1905	31.42	31.42	3	9.4
14	11201	3969	-1490	-3328	-626	121	31.42	31.42	2	8.4
15	14090	3192	-2751	-4048	-680	137	31.42	31.42	2	6.7
16	21080	1253	-4674	-3606	-541	-137	31.42	31.42	2	7.1
Massimi/minimi										
1							31.42			
1								31.42		
9										5.7

Muro [Platea]: 75 - Nodi: [72-280-71-225]Pann=16Spess.=60 cm, Terreno=Terreno1, ,Criterio=CLS_Platee_ND,
Materiale=C35/45, $\zeta_e=22.861$ [(5+6)-I-1] : **Verificato**

Armatura a maglia doppia

Pannello	Nx kg	Ny kg	Nxy kg	Mx kg*m	My kg*m	Mxy kg*m	Ax cmq	Ay cmq	C	Cs
1	-32503	-15038	-8784	4168	1793	1331	31.42	31.42	3	7.2
2	-30858	-14732	-8159	4902	1757	961	31.42	31.42	3	6.7
3	-32745	-13488	-7977	4956	1497	825	31.42	31.42	3	6.8
4	-37074	-11607	-7872	4477	1088	482	31.42	31.42	3	8.2
5	-30953	-11955	-7247	3754	1736	1837	31.42	31.42	3	7.0
6	-30663	-12161	-8814	4287	1516	1099	31.42	31.42	3	7.3
7	-32538	-11839	-9345	4391	1143	838	31.42	31.42	3	7.6
8	-35982	-10933	-10604	4118	736	163	31.42	31.42	3	9.4
9	-26781	-8460	-6469	2879	1900	2189	31.42	31.42	3	7.5
10	-29697	-9092	-8429	3036	1116	1290	31.42	31.42	3	9.0

Pannello	Nx	Ny	Nxy	Mx	My	Mxy	Ax	Ay	C	Cs
11	-31261	-9827	-8994	3155	670	980	31.42	31.42	3	9.5
12	21094	-173	-9802	-2361	-565	-676	31.42	31.42	2	8.7
13	23559	2745	1424	-4032	-155	529	31.42	31.42	2	5.6
14	20272	3460	-1306	-5557	-742	29	31.42	31.42	2	4.8
15	21937	3058	-3059	-5893	-864	26	31.42	31.42	2	4.4
16	29207	1122	-5414	-4839	-632	-364	31.42	31.42	2	4.7
Massimi/minimi										
1							31.42			
1								31.42		
15										4.4

Muro [Platea]: 76 - Nodi: [225-71-208-276]Pann=16Spess.=60 cm, Terreno=Terreno1, ,Criterio=CLS_Platee_ND, Materiale=C35/45, $\zeta_e=17.216$ [(5+6)-I-1] : **Verificato**

Armatura a maglia doppia

Pannello	Nx	Ny	Nxy	Mx	My	Mxy	Ax	Ay	C	Cs
	kg	kg	kg	kg*m	kg*m	kg*m	cmq	cmq		
1	-38466	-9707	-3855	4468	1179	693	31.42	31.42	3	7.9
2	-36830	-9840	-3670	4902	1164	469	31.42	31.42	3	7.5
3	-37781	-9067	-3782	4898	1001	391	31.42	31.42	3	7.7
4	-40577	-7595	-3980	4565	710	198	31.42	31.42	3	8.7
5	-37116	-8187	-2351	4258	1176	1004	31.42	31.42	3	7.7
6	-36277	-8479	-3906	4644	1045	495	31.42	31.42	3	7.9
7	-37206	-8259	-4792	4682	834	360	31.42	31.42	3	8.1
8	-39653	-7550	-6058	4418	564	-47	31.42	31.42	3	9.2
9	22380	2421	4943	-2404	105	1375	31.42	31.42	2	6.9
10	21867	2593	-484	-2708	-215	345	31.42	31.42	2	8.6
11	22740	2114	-3791	-2833	-376	179	31.42	31.42	2	8.6
12	24753	709	-9994	-2752	-488	-889	31.42	31.42	2	7.0
13	30531	2634	2507	-5039	-274	576	31.42	31.42	2	4.3
14	25487	3782	-535	-6626	-880	11	31.42	31.42	2	3.8
15	26432	3372	-2606	-6785	-951	22	31.42	31.42	2	3.7
16	34194	1115	-5445	-5529	-525	-426	31.42	31.42	2	3.9
Massimi/minimi										
1							31.42			
1								31.42		
15										3.7

Muro [Platea]: 77 - Nodi: [155-156-157-158]Pann=16Spess.=60 cm, Terreno=Terreno1, ,Criterio=CLS_Platee_ND, Materiale=C35/45, $\zeta_e=61.066$ [(5+6)-II-2] : **Verificato**

Armatura a maglia doppia

Pannello	Nx	Ny	Nxy	Mx	My	Mxy	Ax	Ay	C	Cs
	kg	kg	kg	kg*m	kg*m	kg*m	cmq	cmq		
1	-164	-11131	-1182	-391	359	-240	31.42	31.42	3	50
2	-2527	-13024	-1916	-277	1292	-203	31.42	31.42	3	23
3	-2957	-14769	-1650	47	1686	-111	31.42	31.42	3	20
4	-2651	-15449	-850	243	1949	-5	31.42	31.42	3	18
5	-2014	-7540	-532	281	354	255	31.42	31.42	2	55
6	-2395	-13982	-631	49	1474	402	31.42	31.42	3	19
7	-3086	-14358	-728	400	1824	395	31.42	31.42	3	16
8	-3322	-14648	-880	515	2159	183	31.42	31.42	3	15
9	-2754	-15766	-1289	200	1061	4	31.42	31.42	3	33
10	-2741	-15521	-920	398	1566	751	31.42	31.42	3	15
11	-3112	-14744	-725	660	1692	636	31.42	31.42	3	15
12	-2787	-14799	-806	558	1848	85	31.42	31.42	3	18
13	-4345	-16442	-1546	944	1653	255	31.42	31.42	3	19
14	-2541	-16103	-1682	865	1643	512	31.42	31.42	3	17
15	-3785	-16578	-1349	288	1639	428	31.42	31.42	3	17
16	-929	-16883	-646	-155	1763	180	31.42	31.42	3	18
Massimi/minimi										
1							31.42			
1								31.42		
8										15

Muro [Platea]: 78 - Nodi: [153-151-156-155]Pann=16Spess.=60 cm, Terreno=Terreno1, ,Criterio=CLS_Platee_ND, Materiale=C35/45, $\zeta_e=66.851$ [(5+6)-II-1] : **Verificato**

Armatura a maglia doppia

**POTENZIAMENTO DELL'IMPIANTO DI DEPURAZIONE E
DEL RECAPITO FINALE DI SQUINZANO (LE)
PROGETTO DEFINITIVO
Tabulati di calcolo strutturale-Equalizzazione**

R.37.7

Maggio 2021

Pagina 165 di
338

Pannello	Nx	Ny	Nxy	Mx	My	Mxy	Ax	Ay	C	Cs
	kg	kg	kg	kg*m	kg*m	kg*m	cmq	cmq		
1	2298	18561	-2136	-457	-4628	-513	31.42	31.42	3	5.3
2	2854	13074	-3596	-321	-1881	-1459	31.42	31.42	3	8.5
3	2586	7033	-2667	-351	293	-1385	31.42	31.42	3	18
4	2748	2333	-245	-154	2087	-534	31.42	31.42	3	12
5	4178	13519	925	-1251	-7148	-237	31.42	31.42	3	3.8
6	2287	11036	1230	-632	-2408	-898	31.42	31.42	3	8.8
7	1169	9366	1820	-299	1139	-807	31.42	31.42	3	15
8	1794	7586	2596	227	4139	-101	31.42	31.42	3	7.0
9	3514	11362	4944	-1072	-7940	-597	31.42	31.42	3	3.4
10	2911	9452	2767	-473	-2909	-1345	31.42	31.42	3	6.9
11	-322	7443	2314	-156	1975	-1239	31.42	31.42	3	9.3
12	-989	6114	5956	419	5341	-26	31.42	31.42	3	5.6
13	2409	25416	10015	-896	-6659	826	31.42	31.42	3	3.4
14	6475	15513	10373	-705	-3143	397	31.42	31.42	3	7.9
15	-3058	-298	9841	1754	2130	255	31.42	31.42	3	13
16	-8258	-10758	10548	2108	4937	862	31.42	31.42	3	5.9
Massimi/minimi										
1							31.42			
1								31.42		
13										3.4

Muro : 79 - Nodi: [158-157-76-281], Pann.X=4, Pann.Y=4Spess.=50 cm, Terreno=--,Criterio=CLS_Muri_ND,
Materiale=C35/45,ζ_e=89.420 [(5+6)-II-1] : **Verificato**

Armatura a maglia doppia

Pannello	Nx	Ny	Nxy	Mx	My	Mxy	Ax	Ay	C	Cs
	kg	kg	kg	kg*m	kg*m	kg*m	cmq	cmq		
1	359	2362	8386	598	4350	109	20.11	31.42	3	5.7
2	382	3804	8354	208	849	138	20.11	31.42	3	25
3	515	5054	8294	-221	-2245	9	20.11	31.42	3	11
4	602	6825	8321	-712	-5791	-169	20.11	31.42	3	4.1
5	528	1156	6362	519	4480	147	20.11	31.42	3	5.5
6	888	2800	6187	17	685	25	20.11	31.42	3	35
7	1173	3538	5924	-377	-2778	-81	20.11	31.42	3	8.8
8	937	5034	5768	-737	-5878	-64	20.11	31.42	3	4.2
9	582	2217	3869	462	4258	-31	20.11	31.42	3	5.9
10	1375	3625	3604	-89	434	-0	20.11	31.42	3	58
11	1772	4582	3620	-486	-3110	-27	20.11	31.42	3	7.9
12	1700	5506	3646	-791	-6136	-149	20.11	31.42	3	3.9
13	-14	9373	-1771	517	3680	61	20.11	31.42	3	6.4
14	-170	10467	-1057	122	101	-27	20.11	31.42	3	>100
15	212	12159	-45	-354	-3370	10	20.11	31.42	3	6.9
16	2389	10127	1582	-1000	-8121	-115	20.11	31.42	3	2.9
Massimi/minimi										
1							20.11			
1								31.42		
16										2.9

Muro : 80 - Nodi: [156-151-11-286], Pann.X=4, Pann.Y=4Spess.=50 cm, Terreno=--,Criterio=CLS_Muri_ND,
Materiale=C35/45,ζ_e=69.566 [(5+6)-II-1] : **Verificato**

Armatura a maglia doppia

Pannello	Nx	Ny	Nxy	Mx	My	Mxy	Ax	Ay	C	Cs
	kg	kg	kg	kg*m	kg*m	kg*m	cmq	cmq		
1	20389	31232	-48821	-11	374	157	31.42	31.42	3	36
2	-2806	14085	-41699	-58	429	94	31.42	31.42	3	44
3	-61549	5858	-62664	-7	1018	271	31.42	31.42	3	19
4	-36897	-13454	-31437	90	1368	868	31.42	31.42	3	13
8	-59912	-37187	-47697	196	1005	353	31.42	31.42	3	24
12	50300	36346	-50846	273	356	-444	31.42	31.42	3	21
13	-11312	-24875	-30741	43	1252	618	62.83	62.83	3	29
14	6007	-23792	-22827	-171	1336	461	62.83	62.83	3	30
15	76883	-45827	-52824	-165	2224	382	62.83	62.83	3	23
16	28437	-37546	-41767	255	3782	732	62.83	62.83	3	13
Massimi/minimi										
13							62.83			
13								62.83		
16										13

**POTENZIAMENTO DELL'IMPIANTO DI DEPURAZIONE E
DEL RECAPITO FINALE DI SQUINZANO (LE)
PROGETTO DEFINITIVO
Tabulati di calcolo strutturale-Equalizzazione**

R.37.7

Maggio 2021

Pagina 166 di
338

Muro : 81 - Nodi: [157-156-286-76], Pann.X=4, Pann.Y=4Spess.=50 cm, Terreno=--,Criterio=CLS_Muri_ND,
Materiale=C35/45, $\zeta_e=31.767$ [(5+6)-I-3] : **Verificato**

Armatura a maglia doppia

Pannello	Nx kg	Ny kg	Nxy kg	Mx kg*m	My kg*m	Mxy kg*m	Ax cmq	Ay cmq	C	Cs
1	-2967	724	-25570	117	527	363	31.42	31.42	3	29
2	-1015	8802	-24595	29	-711	339	31.42	31.42	3	23
3	-244	21387	-27187	-159	-2132	195	31.42	31.42	3	9.2
4	5870	24584	-34812	-493	-4271	101	31.42	31.42	3	4.7
5	-110	-1235	-40136	30	837	2	31.42	31.42	3	31
6	1769	2244	-40686	-267	-745	5	31.42	31.42	3	34
7	3999	3780	-40310	-417	-2124	50	31.42	31.42	3	11
8	2787	8516	-38064	-460	-3259	195	31.42	31.42	3	6.9
9	377	1177	-47498	106	1028	-155	31.42	31.42	3	22
10	1034	4301	-47117	-92	-382	-38	31.42	31.42	3	59
11	2213	4930	-46532	-221	-1463	152	31.42	31.42	3	15
12	779	11200	-46915	-299	-2269	286	31.42	31.42	3	9.2
13	65	4842	-53081	174	1028	-43	31.42	31.42	3	23
14	-284	-4970	-24383	31	349	36	31.42	31.42	2	69
15	1161	8361	-52646	25	-456	222	31.42	31.42	3	35
16	372	18228	-51640	-73	-802	545	31.42	31.42	3	16
Massimi/minimi										
1							31.42			
1								31.42		
4										4.7

Muro [Platea]: 82 - Nodi: [152-155-158-159]Pann=16Spess.=60 cm, Terreno=Terrenol, ,Criterio=CLS_Platee_ND,
Materiale=C35/45, $\zeta_e=33.562$ [(5+6)-I-3] : **Verificato**

Armatura a maglia doppia

Pannello	Nx kg	Ny kg	Nxy kg	Mx kg*m	My kg*m	Mxy kg*m	Ax cmq	Ay cmq	C	Cs
1	1216	-3182	77	-640	79	-362	31.42	31.42	2	31
2	-439	-8452	291	-754	582	-622	31.42	31.42	3	23
3	-708	-11279	712	-1014	1142	-601	31.42	31.42	3	20
4	3773	-13914	1311	-969	2015	-79	31.42	31.42	3	17
5	-482	-8482	2407	-107	-637	-680	31.42	31.42	3	26
6	-610	-9336	2413	135	679	-647	31.42	31.42	3	26
7	-810	-9824	2127	378	1502	-452	31.42	31.42	3	17
8	-715	-10562	2940	430	2348	233	31.42	31.42	3	13
9	-310	-10417	3535	-112	-735	-634	31.42	31.42	3	25
10	-76	-11003	2912	265	921	-452	31.42	31.42	3	25
11	-933	-11468	2774	550	1837	-274	31.42	31.42	3	16
12	-2220	-11706	3088	611	2557	68	31.42	31.42	3	13
13	-1611	-7246	1220	304	458	-161	31.42	31.42	2	54
14	284	-11959	4230	351	1190	74	31.42	31.42	3	27
15	-472	-13568	3712	583	1777	91	31.42	31.42	3	19
16	-1706	-14223	2491	516	2133	42	31.42	31.42	3	16
Massimi/minimi										
1							31.42			
1								31.42		
12										13

Muro [Platea]: 83 - Nodi: [160-153-155-152]Pann=16Spess.=60 cm, Terreno=Terrenol, ,Criterio=CLS_Platee_ND,
Materiale=C35/45, $\zeta_e=108.256$ [(5+6)-I-1] : **Verificato**

Armatura a maglia doppia

Pannello	Nx kg	Ny kg	Nxy kg	Mx kg*m	My kg*m	Mxy kg*m	Ax cmq	Ay cmq	C	Cs
1	-3387	17466	-44	693	-3951	-192	31.42	31.42	3	6.6
2	2349	12796	-785	738	-1409	-1126	31.42	31.42	3	11
3	2291	8149	-575	488	119	-1047	31.42	31.42	3	20
4	1489	4929	251	231	1210	-572	31.42	31.42	3	17
5	2058	10923	2923	-996	-5233	372	31.42	31.42	3	5.2
6	2195	9623	2386	-631	-1730	-597	31.42	31.42	3	13
7	2110	8659	2780	-135	663	-811	31.42	31.42	3	20
8	1881	7785	2825	224	2512	-699	31.42	31.42	3	9.3
9	3402	12447	3927	-1014	-5691	33	31.42	31.42	3	5.0
10	2278	11031	3776	-548	-2102	-530	31.42	31.42	3	11
11	1478	9826	3913	-159	622	-644	31.42	31.42	3	23

**POTENZIAMENTO DELL'IMPIANTO DI DEPURAZIONE E
DEL RECAPITO FINALE DI SQUINZANO (LE)
PROGETTO DEFINITIVO
Tabulati di calcolo strutturale-Equalizzazione**

R.37.7

Maggio 2021

Pagina 167 di
338

Pannello	Nx	Ny	Nxy	Mx	My	Mxy	Ax	Ay	C	Cs
12	1869	8614	4251	229	2906	-652	31.42	31.42	3	8.3
13	1398	16775	5652	-704	-4283	52	31.42	31.42	3	6.3
14	1072	12699	8649	-656	-1836	127	31.42	31.42	3	15
15	-851	913	3391	78	454	155	31.42	31.42	2	52
16	2396	4023	6185	-80	1773	-274	31.42	31.42	3	15
Massimi/minimi										
1							31.42			
1								31.42		
9										5.0

Muro : 84 - Nodi: [159-158-281-74], Pann.X=4, Pann.Y=4Spess.=50 cm, Terreno=--,Criterio=CLS_Muri_ND,
Materiale=C35/45, $\zeta_e=77.024 [(5+6)-I-1]$: **Verificato**

Armatura a maglia doppia

Pannello	Nx	Ny	Nxy	Mx	My	Mxy	Ax	Ay	C	Cs
	kg	kg	kg	kg*m	kg*m	kg*m	cmq	cmq		
1	1232	4629	18060	475	3551	-143	20.11	31.42	3	6.7
2	932	3011	17632	122	615	-137	20.11	31.42	3	33
3	708	235	18802	-241	-1915	-207	20.11	31.42	3	12
4	-692	3038	22165	-628	-4899	-227	20.11	31.42	3	4.9
5	274	4038	18065	458	3888	50	20.11	31.42	3	6.3
6	-28	5303	18068	42	662	-18	20.11	31.42	3	36
7	-298	7123	17508	-282	-2260	-48	20.11	31.42	3	11
8	278	8116	16338	-579	-4738	-1	20.11	31.42	3	5.1
9	328	1746	14150	486	4181	-106	20.11	31.42	3	5.9
10	673	2898	14148	41	744	7	20.11	31.42	3	33
11	844	4830	14154	-293	-2377	32	20.11	31.42	3	10
12	814	6159	14282	-620	-5112	-73	20.11	31.42	3	4.7
13	288	2475	10885	565	4248	-121	20.11	31.42	3	5.8
14	410	3597	10974	155	850	-110	20.11	31.42	3	26
15	511	5203	11111	-270	-2138	-31	20.11	31.42	3	11
16	652	6655	11224	-705	-5499	13	20.11	31.42	3	4.4
Massimi/minimi										
1							20.11			
1								31.42		
16										4.4

Muro : 85 - Nodi: [153-7-11-151], Pann.X=4, Pann.Y=4Spess.=50 cm, Terreno=--,Criterio=CLS_Muri_ND,
Materiale=C35/45, $\zeta_e=17.000 [(5+6)-II-1]$: **Verificato**

Armatura a maglia doppia

Pannello	Nx	Ny	Nxy	Mx	My	Mxy	Ax	Ay	C	Cs
	kg	kg	kg	kg*m	kg*m	kg*m	cmq	cmq		
1	-13392	-2186	-4194	-5750	-883	-371	31.42	20.11	3	4.6
2	-11935	-2304	-3572	-6518	-665	-243	31.42	20.11	3	4.2
3	-14139	-2076	-2092	-7036	-699	412	31.42	20.11	3	3.8
4	-19808	-1580	3051	-6561	-987	214	31.42	20.11	3	4.4
5	-8853	-1149	1601	-5824	-211	460	31.42	20.11	2	4.4
6	-8584	-1470	2492	-7363	-1465	135	31.42	20.11	2	3.7
7	-9388	-2008	4113	-7199	-1382	-130	31.42	20.11	2	3.8
8	-15499	-710	6143	-5182	-138	-657	31.42	20.11	2	4.9
9	-9232	-1019	1674	-9581	-740	-388	31.42	20.11	2	2.8
10	-9353	-1321	2674	-11834	-1961	-262	31.42	20.11	2	2.3
11	-10601	-1833	4218	-11751	-1892	339	31.42	20.11	2	2.3
12	-20873	-1753	3019	9276	929	-79	31.42	20.11	3	3.2
13	-13006	-1916	-3978	18028	2200	786	31.42	20.11	3	1.5
14	-12550	-2439	-3672	19225	2456	290	31.42	20.11	3	1.4
15	-12765	-3180	-2021	19508	2495	-31	31.42	20.11	3	1.4
16	-21865	-2763	3782	21690	2655	-247	31.42	20.11	3	1.4
Massimi/minimi										
1							31.42			
1								20.11		
16										1.4

Muro : 86 - Nodi: [160-9-7-153], Pann.X=4, Pann.Y=4Spess.=50 cm, Terreno=--,Criterio=CLS_Muri_ND,
Materiale=C35/45, $\zeta_e=20.619 [(5+6)-II-1]$: **Verificato**

Armatura a maglia doppia

**POTENZIAMENTO DELL'IMPIANTO DI DEPURAZIONE E
DEL RECAPITO FINALE DI SQUINZANO (LE)
PROGETTO DEFINITIVO
Tabulati di calcolo strutturale-Equalizzazione**

R.37.7

Maggio 2021

Pagina 168 di
338

Pannello	Nx	Ny	Nxy	Mx	My	Mxy	Ax	Ay	C	Cs
	kg	kg	kg	kg*m	kg*m	kg*m	cmq	cmq		
1	-24319	-2062	-13623	-4277	-623	113	31.42	20.11	3	7.0
2	-12321	-1981	-7545	-4708	-521	-189	31.42	20.11	3	5.8
3	-9370	-1738	-4873	-5323	-556	221	31.42	20.11	3	5.0
4	-12056	-1686	-3171	-5372	-760	411	31.42	20.11	3	4.9
5	-14711	-821	-6214	-3901	-259	464	31.42	20.11	2	6.6
6	-7967	-1786	-2731	-5995	-912	76	31.42	20.11	2	4.5
7	-7599	-1237	-312	-6734	-1099	-13	31.42	20.11	2	4.0
8	-8599	-967	1035	-5771	-530	-349	31.42	20.11	2	4.5
9	-14910	-958	-5485	-6006	-559	-287	31.42	20.11	2	4.6
10	-8895	-1815	-2895	-9628	-1348	-345	31.42	20.11	2	2.8
11	-8181	-1230	-413	-10711	-1514	63	31.42	20.11	2	2.5
12	-8889	-928	983	-9417	-1050	259	31.42	20.11	2	2.8
13	-25764	-2361	-13597	12905	1623	1010	31.42	20.11	3	2.2
14	-11273	-2528	-8388	14605	1815	244	31.42	20.11	3	1.9
15	-9198	-2027	-4914	16288	2007	270	31.42	20.11	3	1.7
16	-11335	-1628	-3711	17160	2175	-270	31.42	20.11	3	1.6
Massimi/minimi										
1							31.42			
1								20.11		
16										1.6

Muro : 87 - Nodi: [152-283-9-160], Pann.X=4, Pann.Y=4Spess.=50 cm, Terreno=--,Criterio=CLS_Muri_ND,
Materiale=C35/45,ζ_e=21.234 [(5+6)-I-1] : **Verificato**

Armatura a maglia doppia

Pannello	Nx	Ny	Nxy	Mx	My	Mxy	Ax	Ay	C	Cs
	kg	kg	kg	kg*m	kg*m	kg*m	cmq	cmq		
1	-4524	168	-22472	-369	-84	-119	31.42	31.42	2	54
2	-2284	483	-22061	-289	6	-84	31.42	31.42	2	70
3	3455	1053	-19729	-277	3	64	31.42	31.42	2	73
4	12262	5707	-37655	844	54	671	31.42	31.42	3	15
5	2316	-125	-52769	309	-26	-63	31.42	31.42	3	68
6	3341	-887	-55053	459	88	-31	31.42	31.42	3	51
7	2959	-603	-54502	679	233	31	31.42	31.42	3	35
8	-3588	2636	-35702	1174	32	923	31.42	31.42	3	13
9	4150	-194	-52514	1063	71	-11	31.42	31.42	3	23
10	4590	-1394	-54066	1341	210	82	31.42	31.42	3	17
11	4028	-5451	-54756	1751	349	91	31.42	31.42	3	14
12	-23200	3093	-40459	2152	159	1023	31.42	31.42	3	9.5
13	5757	-37	-52248	2317	265	56	31.42	31.42	3	10
14	5684	-704	-53500	2477	333	164	31.42	31.42	3	9.3
15	2720	-3105	-50490	3343	465	269	31.42	31.42	3	7.0
16	-35898	-7120	-54416	3980	451	958	31.42	31.42	3	6.6
Massimi/minimi										
1							31.42			
1								31.42		
16										6.6

Muro : 88 - Nodi: [159-74-283-152], Pann.X=4, Pann.Y=4Spess.=50 cm, Terreno=--,Criterio=CLS_Muri_ND,
Materiale=C35/45,ζ_e=30.974 [(5+6)-I-1] : **Verificato**

Armatura a maglia doppia

Pannello	Nx	Ny	Nxy	Mx	My	Mxy	Ax	Ay	C	Cs
	kg	kg	kg	kg*m	kg*m	kg*m	cmq	cmq		
1	-5550	-2995	-27645	-725	-110	214	31.42	31.42	3	29
2	-5638	-503	-19775	-696	-48	-72	31.42	31.42	2	35
3	-5043	-371	-21332	-654	-52	45	31.42	31.42	2	38
4	-5105	-403	-22229	-482	-94	74	31.42	31.42	2	48
5	3158	-1264	-26540	375	5	199	31.42	31.42	3	44
6	-4219	91	-19971	389	137	-44	31.42	31.42	2	61
7	-3980	-279	-21291	377	114	16	31.42	31.42	2	68
8	1780	-150	-49509	276	-3	18	31.42	31.42	3	86
9	15575	-612	-29086	1815	194	184	31.42	31.42	3	11
10	-534	3107	-40670	1615	244	-43	31.42	31.42	3	16
11	1839	656	-45328	1441	192	-59	31.42	31.42	3	17
12	3528	162	-49470	1155	123	-29	31.42	31.42	3	21
13	20812	4679	-36832	4288	526	46	31.42	31.42	3	5.0
14	4174	1872	-38076	3188	411	-61	31.42	31.42	3	7.7
15	4535	470	-45387	2988	375	-100	31.42	31.42	3	8.0
16	5928	337	-49460	2544	315	-125	31.42	31.42	3	9.2

**POTENZIAMENTO DELL'IMPIANTO DI DEPURAZIONE E
DEL RECAPITO FINALE DI SQUINZANO (LE)
PROGETTO DEFINITIVO
Tabulati di calcolo strutturale-Equalizzazione**

R.37.7

Maggio 2021

Pagina 169 di
338

Pannello	Nx	Ny	Nxy	Mx	My	Mxy	Ax	Ay	C	Cs
										Massimi/minimi
1							31.42			
1								31.42		
13										5.0

Muro : 89 - Nodi: [237-141-190-186], Pann.X=4, Pann.Y=4Spess.=50 cm, Terreno=--,Criterio=CLS_Muri_ND,
Materiale=C35/45, $\zeta_e=30.383$ [(5+6)-I-1] : **Verificato**

Armatura a maglia doppia

Pannello	Nx	Ny	Nxy	Mx	My	Mxy	Ax	Ay	C	Cs
	kg	kg	kg	kg*m	kg*m	kg*m	cmq	cmq		
1	6470	-14092	-1108	-1168	-3049	2743	20.11	31.42	3	3.9
2	7608	-13086	-563	-1409	-3958	2677	20.11	31.42	3	3.7
3	8544	-12118	-36	-1589	-4590	2527	20.11	31.42	3	3.6
4	9303	-11175	454	-1708	-4982	2309	20.11	31.42	3	3.7
5	4495	-12910	-2445	-1139	-2991	2199	20.11	31.42	3	4.7
6	5650	-12343	-1980	-1467	-4264	2200	20.11	31.42	3	4.2
7	6671	-11723	-1518	-1738	-5207	2130	20.11	31.42	3	3.8
8	7565	-11059	-1072	-1952	-5859	2001	20.11	31.42	3	3.6
9	3283	-11483	-2467	-955	-2754	1650	20.11	31.42	3	6.1
10	4337	-11102	-2244	-1295	-4298	1682	20.11	31.42	3	4.7
11	5324	-10677	-1990	-1581	-5486	1663	20.11	31.42	3	3.9
12	6240	-10207	-1721	-1813	-6354	1597	20.11	31.42	3	3.5
13	2823	-10769	-2311	-782	-2462	1212	20.11	31.42	3	7.6
14	3722	-10330	-2212	-1105	-4187	1264	20.11	31.42	3	5.1
15	4600	-9897	-2077	-1375	-5548	1280	20.11	31.42	3	4.1
16	5451	-9460	-1918	-1593	-6576	1264	20.11	31.42	3	3.5
										Massimi/minimi
1							20.11			
1								31.42		
12										3.5

Muro : 90 - Nodi: [232-237-186-185], Pann.X=4, Pann.Y=4Spess.=50 cm, Terreno=--,Criterio=CLS_Muri_ND,
Materiale=C35/45, $\zeta_e=7.483$ [(5+6)-I-3] : **Verificato**

Armatura a maglia doppia

Pannello	Nx	Ny	Nxy	Mx	My	Mxy	Ax	Ay	C	Cs
	kg	kg	kg	kg*m	kg*m	kg*m	cmq	cmq		
1	10156	8541	1876	5452	-170	455	20.11	31.42	3	2.5
2	10889	7839	1783	6535	16	230	20.11	31.42	3	2.1
3	11448	7136	1710	7511	185	-3	20.11	31.42	3	1.9
4	11817	6429	1655	8373	343	-237	20.11	31.42	3	1.6
5	10100	-1774	2938	1733	-1346	2117	20.11	31.42	3	3.8
6	10894	-1330	3111	2289	-1329	1778	20.11	31.42	3	3.5
7	11455	-1018	3223	2856	-1262	1396	20.11	31.42	3	3.4
8	11817	-805	3304	3415	-1155	993	20.11	31.42	3	3.2
9	9183	-8406	2154	0	-2290	2898	20.11	31.42	3	5.1
10	10217	-7573	2573	155	-2537	2641	20.11	31.42	3	5.2
11	10942	-6790	2911	371	-2649	2306	20.11	31.42	3	5.4
12	11423	-6064	3184	633	-2652	1922	20.11	31.42	3	5.6
13	8029	-12295	842	-823	-2826	3026	20.11	31.42	3	3.9
14	9172	-11291	1303	-905	-3377	2869	20.11	31.42	3	3.9
15	10027	-10310	1742	-920	-3717	2624	20.11	31.42	3	4.1
16	10648	-9365	2138	-875	-3882	2312	20.11	31.42	3	4.5
										Massimi/minimi
1							20.11			
1								31.42		
4										1.6

Muro : 91 - Nodi: [232-185-193-233], Pann.X=4, Pann.Y=4Spess.=50 cm, Terreno=--,Criterio=CLS_Muri_ND,
Materiale=C35/45, $\zeta_e=5.865$ [(5+6)-II-2] : **Verificato**

Armatura a maglia doppia

Pannello	Nx	Ny	Nxy	Mx	My	Mxy	Ax	Ay	C	Cs
	kg	kg	kg	kg*m	kg*m	kg*m	cmq	cmq		
1	10081	12384	1078	147	5614	1880	31.42	20.11	3	1.9
2	1027	11973	2197	-316	2452	3775	31.42	20.11	3	2.3
3	-5402	11053	2011	-530	769	4650	31.42	20.11	3	2.7
4	-9583	9886	1267	-470	-109	4984	31.42	20.11	3	2.9

Pannello	Nx	Ny	Nxy	Mx	My	Mxy	Ax	Ay	C	Cs
5	9354	13149	1152	329	6750	1874	31.42	20.11	3	1.6
6	1219	12838	2504	-289	3153	3707	31.42	20.11	3	2.0
7	-4775	12096	2519	-742	1081	4621	31.42	20.11	3	2.5
8	-8753	11031	1887	-974	-75	5039	31.42	20.11	3	2.8
9	8573	13643	1224	484	7778	1850	31.42	20.11	3	1.4
10	1303	13382	2742	-239	3842	3588	31.42	20.11	3	1.9
11	-4219	12775	2950	-859	1440	4505	31.42	20.11	3	2.4
12	-7977	11837	2458	-1308	24	4987	31.42	20.11	3	2.8
13	7764	13889	1299	625	8685	1814	31.42	20.11	3	1.3
14	1297	13663	2934	-167	4499	3439	31.42	20.11	3	1.7
15	-3741	13168	3310	-899	1829	4332	31.42	20.11	3	2.3
16	-7262	12366	2965	-1503	178	4857	31.42	20.11	3	2.8
Massimi/minimi										
1							31.42			
1								20.11		
13										1.3

Muro : 92 - Nodi: [141-143-194-190], Pann.X=4, Pann.Y=4Spess.=50 cm, Terreno=--,Criterio=CLS_Muri_ND,
Materiale=C35/45, $\zeta_e=16.950$ [(5+6)-I-1] : **Verificato**

Armatura a maglia doppia

Pannello	Nx kg	Ny kg	Nxy kg	Mx kg*m	My kg*m	Mxy kg*m	Ax cmq	Ay cmq	C	Cs
1	667	-7617	-453	-509	-3106	12	20.11	31.42	(5+6)-I-1	8.7
2	3364	-9645	-2279	-979	-4036	1002	20.11	31.42	3	5.5
3	4173	-9217	-2135	-1244	-5494	1040	20.11	31.42	3	4.2
4	4975	-8799	-1982	-1460	-6613	1056	20.11	31.42	3	3.6
5	446	-7128	-489	-486	-3172	-22	20.11	31.42	(5+6)-I-1	8.5
6	3044	-8934	-2227	-902	-3895	840	20.11	31.42	3	5.8
7	3841	-8574	-2090	-1174	-5402	885	20.11	31.42	3	4.4
8	4627	-8203	-1947	-1398	-6564	916	20.11	31.42	3	3.7
9	320	-6787	-345	-472	-3227	-61	20.11	31.42	(5+6)-I-1	8.2
10	2799	-8327	-2035	-846	-3751	668	20.11	31.42	3	6.2
11	3570	-8000	-1947	-1125	-5294	716	20.11	31.42	3	4.5
12	4332	-7654	-1842	-1361	-6487	753	20.11	31.42	3	3.8
13	332	-6901	-273	-471	-3277	-94	20.11	31.42	(5+6)-I-1	8.0
14	2673	-7934	-1846	-804	-3619	495	20.11	31.42	3	6.6
15	3396	-7585	-1795	-1088	-5189	536	20.11	31.42	3	4.8
16	4119	-7227	-1725	-1332	-6404	569	20.11	31.42	3	3.9
Massimi/minimi										
1							20.11			
1								31.42		
4										3.6

Muro : 93 - Nodi: [233-193-187-149], Pann.X=4, Pann.Y=4Spess.=50 cm, Terreno=--,Criterio=CLS_Muri_ND,
Materiale=C35/45, $\zeta_e=47.573$ [(5+6)-II-2] : **Verificato**

Armatura a maglia doppia

Pannello	Nx kg	Ny kg	Nxy kg	Mx kg*m	My kg*m	Mxy kg*m	Ax cmq	Ay cmq	C	Cs
1	-11800	8551	341	-168	-556	4975	31.42	20.11	3	2.7
2	-12426	7103	-319	300	-756	4759	31.42	20.11	3	2.8
3	-12361	5855	-507	868	-821	4416	31.42	20.11	3	3.0
4	-12245	5005	-540	1483	-812	4004	31.42	20.11	3	3.2
5	-10962	9746	1049	-974	-711	5104	31.42	20.11	3	2.5
6	-11786	8358	380	-788	-1043	4941	31.42	20.11	3	2.5
7	-11888	7111	39	-472	-1198	4632	31.42	20.11	3	2.6
8	-11756	6151	-147	-77	-1249	4235	31.42	20.11	3	2.8
9	-10161	10656	1713	-1545	-801	5123	31.42	20.11	3	2.4
10	-11113	9364	1046	-1592	-1269	5020	31.42	20.11	3	2.3
11	-11339	8156	600	-1492	-1519	4754	31.42	20.11	3	2.4
12	-11226	7155	295	-1291	-1636	4382	31.42	20.11	3	2.5
13	-9393	11317	2317	-1920	-830	5057	31.42	20.11	3	2.4
14	-10420	10145	1665	-2154	-1434	5014	31.42	20.11	3	2.3
15	-10735	9009	1150	-2235	-1784	4796	31.42	20.11	3	2.2
16	-10657	8018	755	-2199	-1973	4458	31.42	20.11	3	2.3
Massimi/minimi										
1							31.42			
1								20.11		
15										2.2

Muro : 94 - Nodi: [149-187-198-150], Pann.X=4, Pann.Y=4Spess.=50 cm, Terreno=--,Criterio=CLS_Muri_ND,
Materiale=C35/45, $\zeta_e=12.869$ [(5+6)-II-2] : **Verificato**

Armatura a maglia doppia

Pannello	Nx kg	Ny kg	Nxy kg	Mx kg*m	My kg*m	Mxy kg*m	Ax cmq	Ay cmq	C	Cs
1	-9836	-2176	3610	-5967	-159	-2581	31.42	20.11	2	3.2
2	-9997	-2226	3141	-6693	-230	-2244	31.42	20.11	2	3.1
3	-10347	-2154	2874	-7334	-312	-1904	31.42	20.11	2	3.0
4	-10953	-1927	2418	-7878	-400	-1556	31.42	20.11	2	3.0
5	-11396	5378	-348	355	-1233	3786	31.42	20.11	3	3.1
6	-10754	4671	-484	790	-1177	3304	31.42	20.11	3	3.5
7	-9779	-2238	2787	-5343	140	-2140	31.42	20.11	2	3.7
8	-10243	-2052	2331	-5797	69	-1753	31.42	20.11	2	3.7
9	-10869	6323	35	-1028	-1668	3944	31.42	20.11	3	2.7
10	-10295	5595	-148	-739	-1647	3461	31.42	20.11	3	3.0
11	-9670	4997	-206	-448	-1599	2950	31.42	20.11	3	3.4
12	-9140	4561	-190	-178	-1543	2423	31.42	20.11	3	4.0
13	-10323	7172	429	-2085	-2057	4038	31.42	20.11	3	2.5
14	-9806	6443	189	-1924	-2075	3563	31.42	20.11	3	2.7
15	-9237	5845	56	-1743	-2055	3051	31.42	20.11	3	3.0
16	-8726	5392	-0	-1563	-2017	2515	31.42	20.11	3	3.4
Massimi/minimi										
1							31.42			
1								20.11		
13										2.5

Muro : 95 - Nodi: [150-198-207-165], Pann.X=4, Pann.Y=4Spess.=50 cm, Terreno=--,Criterio=CLS_Muri_ND,
Materiale=C35/45, $\zeta_e=16.561$ [(5+6)-II-2] : **Verificato**

Armatura a maglia doppia

Pannello	Nx kg	Ny kg	Nxy kg	Mx kg*m	My kg*m	Mxy kg*m	Ax cmq	Ay cmq	C	Cs
1	-11234	-1851	1766	-8304	-467	-1220	31.42	20.11	2	2.9
2	-11183	-1931	1270	-8616	-511	-906	31.42	20.11	2	2.9
3	-11289	-1904	913	-8834	-546	-597	31.42	20.11	2	3.0
4	-11553	-1770	394	-8958	-568	-287	31.42	20.11	2	3.0
5	-10503	-1961	1768	-6154	10	-1378	31.42	20.11	2	3.7
6	-10557	-1968	1284	-6418	-32	-1024	31.42	20.11	2	3.7
7	-10658	-1933	864	-6604	-63	-672	31.42	20.11	2	3.8
8	-10805	-1859	360	-6710	-80	-321	31.42	20.11	2	4.0
9	-8723	4262	-163	47	-1490	1915	31.42	20.11	3	4.6
10	-9911	-2025	1275	-4536	432	-1123	31.42	20.11	2	4.9
11	-10007	-1983	832	-4690	405	-735	31.42	20.11	2	5.1
12	-10095	-1938	344	-4779	391	-350	31.42	20.11	2	5.4
13	-8317	5074	-22	-1407	-1976	1993	31.42	20.11	3	3.9
14	-7992	4848	-16	-1284	-1940	1490	31.42	20.11	3	4.6
15	-7756	4693	17	-1192	-1911	983	31.42	20.11	3	5.4
16	-7626	4607	65	-1137	-1894	478	31.42	20.11	3	6.6
Massimi/minimi										
1							31.42			
1								20.11		
2										2.9

Muro : 96 - Nodi: [143-161-196-194], Pann.X=4, Pann.Y=4Spess.=50 cm, Terreno=--,Criterio=CLS_Muri_ND,
Materiale=C35/45, $\zeta_e=13.674$ [(5+6)-I-1] : **Verificato**

Armatura a maglia doppia

Pannello	Nx kg	Ny kg	Nxy kg	Mx kg*m	My kg*m	Mxy kg*m	Ax cmq	Ay cmq	C	Cs
1	340	-6826	-321	-470	-3317	-116	20.11	31.42	(5+6)-I-1	7.9
2	2606	-7678	-1738	-768	-3529	355	20.11	31.42	3	7.0
3	3297	-7319	-1697	-1051	-5116	385	20.11	31.42	3	4.9
4	3992	-6955	-1643	-1298	-6346	408	20.11	31.42	3	4.0
5	311	-6714	-362	-464	-3349	-129	20.11	31.42	(5+6)-I-1	7.8
6	599	-6386	-350	-518	-3715	-148	20.11	31.42	(5+6)-I-1	7.0
7	3230	-7131	-1619	-1011	-5075	270	20.11	31.42	3	5.1
8	3911	-6773	-1577	-1255	-6317	283	20.11	31.42	3	4.1
9	298	-6632	-383	-455	-3379	-138	20.11	31.42	(5+6)-I-1	7.7
10	582	-6307	-380	-506	-3745	-157	20.11	31.42	(5+6)-I-1	6.9

Pannello	Nx	Ny	Nxy	Mx	My	Mxy	Ax	Ay	C	Cs
11	3177	-6980	-1533	-959	-5051	164	20.11	31.42	3	5.2
12	3849	-6631	-1502	-1196	-6305	165	20.11	31.42	3	4.2
13	300	-6580	-419	-442	-3407	-142	20.11	31.42	(5+6)-I-1	7.6
14	572	-6245	-412	-489	-3774	-160	20.11	31.42	(5+6)-I-1	6.9
15	3139	-6866	-1437	-897	-5042	72	20.11	31.42	3	5.3
16	3804	-6526	-1413	-1121	-6309	63	20.11	31.42	3	4.2
Massimi/minimi										
1							20.11			
1								31.42		
4										4.0

Muro : 97 - Nodi: [238-256-161-143], Pann.X=4, Pann.Y=4Spess.=50 cm, Terreno=--,Criterio=CLS_Muri_ND,
Materiale=C35/45, $\zeta_e=10.080$ [(5+6)-I-3] : **Verificato**

Armatura a maglia doppia

Pannello	Nx	Ny	Nxy	Mx	My	Mxy	Ax	Ay	C	Cs
	kg	kg	kg	kg*m	kg*m	kg*m	cmq	cmq		
1	-1576	-13485	1089	-1752	-14046	-10	20.11	31.42	2	2.0
2	-1679	-12512	1125	-1340	-10806	-35	20.11	31.42	2	2.6
3	-1950	-11734	1224	-968	-7953	-81	20.11	31.42	2	3.5
4	-2235	-11056	1271	-624	-5452	-127	20.11	31.42	2	5.0
5	-1796	-12076	510	-1754	-14034	-12	20.11	31.42	2	2.0
6	-1995	-11852	788	-1351	-10859	-23	20.11	31.42	2	2.6
7	-2131	-11443	937	-981	-8020	-50	20.11	31.42	2	3.5
8	-2310	-10943	1001	-642	-5515	-80	20.11	31.42	2	5.0
9	-1795	-12003	1284	-1760	-14074	18	20.11	31.42	2	2.0
10	-2014	-11801	1024	-1360	-10901	-7	20.11	31.42	2	2.6
11	-2140	-11410	888	-993	-8061	-26	20.11	31.42	2	3.5
12	-2313	-10920	828	-659	-5554	-41	20.11	31.42	2	5.0
13	-1576	-13397	794	-1771	-14170	13	20.11	31.42	2	2.0
14	-1697	-12435	733	-1368	-10936	-2	20.11	31.42	2	2.6
15	-1960	-11672	619	-1006	-8080	-5	20.11	31.42	2	3.5
16	-2235	-11001	564	-674	-5571	-7	20.11	31.42	2	5.0
Massimi/minimi										
1							20.11			
1								31.42		
9										2.0

Muro : 98 - Nodi: [256-253-154-161], Pann.X=4, Pann.Y=4Spess.=50 cm, Terreno=--,Criterio=CLS_Muri_ND,
Materiale=C35/45, $\zeta_e=9.613$ [(5+6)-I-3] : **Verificato**

Armatura a maglia doppia

Pannello	Nx	Ny	Nxy	Mx	My	Mxy	Ax	Ay	C	Cs
	kg	kg	kg	kg*m	kg*m	kg*m	cmq	cmq		
1	-1595	-12997	-166	-1760	-14075	-52	20.11	31.42	2	2.0
2	-1745	-12115	-82	-1362	-10889	-12	20.11	31.42	2	2.6
3	-2022	-11403	55	-1004	-8061	10	20.11	31.42	2	3.5
4	-2305	-10781	162	-682	-5564	20	20.11	31.42	2	5.0
5	-1760	-10511	-236	-1730	-13862	-27	20.11	31.42	2	2.0
6	-2150	-10624	-137	-1340	-10795	-3	20.11	31.42	2	2.6
7	-2371	-10478	-5	-992	-8019	13	20.11	31.42	2	3.5
8	-2537	-10225	84	-687	-5540	25	20.11	31.42	2	5.0
9	-1742	-10743	799	-1738	-13889	34	20.11	31.42	2	2.0
10	-2115	-10805	693	-1356	-10797	7	20.11	31.42	2	2.6
11	-2303	-10649	507	-1016	-8007	-2	20.11	31.42	2	3.5
12	-2456	-10373	352	-718	-5519	4	20.11	31.42	2	5.0
13	-1498	-13875	605	-1776	-14104	12	20.11	31.42	2	2.0
14	-1592	-12661	494	-1398	-10877	-18	20.11	31.42	2	2.6
15	-1828	-11835	321	-1061	-8020	-25	20.11	31.42	2	3.5
16	-2090	-11137	170	-758	-5502	-19	20.11	31.42	2	5.1
Massimi/minimi										
1							20.11			
1								31.42		
9										2.0

Muro : 99 - Nodi: [161-154-204-196], Pann.X=4, Pann.Y=4Spess.=50 cm, Terreno=--,Criterio=CLS_Muri_ND,
Materiale=C35/45, $\zeta_e=13.089$ [(5+6)-I-1] : **Verificato**

Armatura a maglia doppia

**POTENZIAMENTO DELL'IMPIANTO DI DEPURAZIONE E
DEL RECAPITO FINALE DI SQUINZANO (LE)
PROGETTO DEFINITIVO
Tabulati di calcolo strutturale-Equalizzazione**

R.37.7

Maggio 2021

Pagina 173 di
338

Pannello	Nx	Ny	Nxy	Mx	My	Mxy	Ax	Ay	C	Cs
	kg	kg	kg	kg*m	kg*m	kg*m	cmq	cmq		
1	262	-6452	-460	-421	-3439	-136	20.11	31.42	(5+6)-I-1	7.6
2	539	-6142	-433	-462	-3808	-154	20.11	31.42	(5+6)-I-1	6.8
3	3099	-6750	-1286	-807	-5051	-13	20.11	31.42	3	5.3
4	3763	-6434	-1269	-1011	-6335	-31	20.11	31.42	3	4.2
5	192	-6266	-373	-394	-3472	-120	20.11	31.42	(5+6)-I-1	7.5
6	498	-6027	-363	-430	-3844	-134	20.11	31.42	(5+6)-I-1	6.8
7	3074	-6671	-1032	-699	-5078	-69	20.11	31.42	3	5.3
8	3747	-6392	-1033	-877	-6382	-91	20.11	31.42	3	4.2
9	231	-6313	-185	-382	-3494	-91	20.11	31.42	(5+6)-I-1	7.5
10	534	-6067	-225	-410	-3866	-97	20.11	31.42	(5+6)-I-1	6.8
11	3098	-6697	-720	-614	-5106	-73	20.11	31.42	3	5.2
12	3769	-6431	-737	-767	-6426	-88	20.11	31.42	3	4.1
13	355	-6543	-123	-382	-3501	-51	20.11	31.42	(5+6)-I-1	7.6
14	621	-6218	-158	-402	-3872	-49	20.11	31.42	(5+6)-I-1	6.9
15	3143	-6781	-423	-569	-5119	-40	20.11	31.42	3	5.2
16	3801	-6502	-433	-706	-6450	-43	20.11	31.42	3	4.2
Massimi/minimi										
1							20.11			
1								31.42		
12										4.1

Muro : 100 - Nodi: [231-165-168-262], Pann.X=4, Pann.Y=4Spess.=50 cm, Terreno=--,Criterio=CLS_Muri_ND,
Materiale=C35/45,ζ_e=18.381 [(5+6)-II-1] : **Verificato**

Armatura a maglia doppia

Pannello	Nx	Ny	Nxy	Mx	My	Mxy	Ax	Ay	C	Cs
	kg	kg	kg	kg*m	kg*m	kg*m	cmq	cmq		
1	-15382	-1673	-1078	-21665	-2670	-68	31.42	20.11	2	1.3
2	-11916	-1907	-1339	-21259	-2611	84	31.42	20.11	2	1.3
3	-12133	-1883	-337	-20939	-2572	306	31.42	20.11	2	1.3
4	-15917	-1571	-853	-20661	-2546	434	31.42	20.11	2	1.4
5	-14143	-1509	-845	-17879	-2113	-9	31.42	20.11	2	1.6
6	-12012	-2144	-1226	-17642	-2058	181	31.42	20.11	2	1.6
7	-12151	-2092	-478	-17332	-2023	396	31.42	20.11	2	1.6
8	-14381	-1365	-1101	-16926	-1999	575	31.42	20.11	2	1.6
9	-13117	-1596	-606	-14526	-1583	26	31.42	20.11	2	1.9
10	-11813	-2130	-1036	-14369	-1531	278	31.42	20.11	2	1.9
11	-11897	-2066	-724	-14079	-1499	528	31.42	20.11	2	1.9
12	-13209	-1442	-1366	-13647	-1477	782	31.42	20.11	2	2.0
13	-12236	-1716	-437	-11570	-1065	46	31.42	20.11	2	2.4
14	-11456	-2072	-895	-11452	-1023	359	31.42	20.11	2	2.4
15	-11490	-2017	-917	-11190	-993	667	31.42	20.11	2	2.4
16	-12209	-1594	-1552	-10782	-964	987	31.42	20.11	2	2.4
Massimi/minimi										
1							31.42			
1								20.11		
2										1.3

Muro : 101 - Nodi: [165-207-99-168], Pann.X=4, Pann.Y=4Spess.=50 cm, Terreno=--,Criterio=CLS_Muri_ND,
Materiale=C35/45,ζ_e=17.141 [(5+6)-II-2] : **Verificato**

Armatura a maglia doppia

Pannello	Nx	Ny	Nxy	Mx	My	Mxy	Ax	Ay	C	Cs
	kg	kg	kg	kg*m	kg*m	kg*m	cmq	cmq		
1	-11453	-1817	-329	-8981	-563	59	31.42	20.11	2	3.1
2	-10986	-2037	-807	-8884	-530	429	31.42	20.11	2	3.0
3	-10978	-2001	-1045	-8653	-500	794	31.42	20.11	2	3.0
4	-11329	-1750	-1662	-8292	-464	1171	31.42	20.11	2	3.0
5	-10729	-1897	-260	-6732	-76	69	31.42	20.11	2	4.1
6	-10442	-2033	-754	-6651	-51	489	31.42	20.11	2	3.9
7	-10403	-2019	-1118	-6453	-21	906	31.42	20.11	2	3.8
8	-10533	-1895	-1713	-6144	19	1330	31.42	20.11	2	3.7
9	-10040	-1966	-216	-4799	394	77	31.42	20.11	2	5.7
10	-9855	-2054	-719	-4731	414	540	31.42	20.11	2	5.3
11	-9793	-2062	-1152	-4565	443	1000	31.42	20.11	2	5.0
12	-8812	4259	330	65	-1489	-1824	31.42	20.11	3	4.8
13	-7596	4583	120	-1123	-1890	-83	31.42	20.11	3	8.0
14	-7710	4645	180	-1162	-1904	-697	31.42	20.11	3	6.0
15	-7986	4809	215	-1255	-1934	-1306	31.42	20.11	3	4.8
16	-8384	5067	195	-1395	-1975	-1900	31.42	20.11	3	4.0

**POTENZIAMENTO DELL'IMPIANTO DI DEPURAZIONE E
DEL RECAPITO FINALE DI SQUINZANO (LE)
PROGETTO DEFINITIVO
Tabulati di calcolo strutturale-Equalizzazione**

R.37.7

Maggio 2021

Pagina 174 di
338

Pannello	Nx	Ny	Nxy	Mx	My	Mxy	Ax	Ay	C	Cs
Massimi/minimi										
1							31.42			
1								20.11		
3										3.0

Muro : 102 - Nodi: [262-168-162-266], Pann.X=4, Pann.Y=4Spess.=50 cm, Terreno=--,Criterio=CLS_Muri_ND,
Materiale=C35/45, $\zeta_e=8.838$ [(5+6)-I-1] : **Verificato**

Armatura a maglia doppia

Pannello	Nx	Ny	Nxy	Mx	My	Mxy	Ax	Ay	C	Cs
	kg	kg	kg	kg*m	kg*m	kg*m	cmq	cmq		
1	-15157	-1619	-3648	-19619	-2413	437	31.42	20.11	2	1.4
2	-10295	-1730	-3637	-17822	-2169	665	31.42	20.11	2	1.5
3	-9827	-1667	-3023	-16011	-1942	981	31.42	20.11	2	1.6
4	-12476	-1487	-3352	-14160	-1730	1211	31.42	20.11	2	1.8
5	-13758	-1458	-3396	-16017	-1874	757	31.42	20.11	2	1.7
6	-10411	-2103	-3726	-14569	-1641	1037	31.42	20.11	2	1.8
7	-9977	-2006	-3041	-12970	-1438	1362	31.42	20.11	2	1.9
8	-11467	-1501	-3483	-11240	-1276	1643	31.42	20.11	2	2.2
9	-12680	-1533	-3127	-12856	-1359	1090	31.42	20.11	2	2.0
10	-10264	-2234	-3614	-11663	-1142	1451	31.42	20.11	2	2.1
11	-9743	-2224	-3171	-10277	-966	1813	31.42	20.11	2	2.3
12	-10551	-1750	-3630	-8730	-848	2158	31.42	20.11	2	2.6
13	-11737	-1694	-2909	-10100	-854	1381	31.42	20.11	2	2.4
14	-9973	-2305	-3460	-9105	-666	1818	31.42	20.11	2	2.5
15	-9401	-2384	-3280	-7924	-520	2231	31.42	20.11	2	2.7
16	-9737	-2065	-3735	-6594	-440	2630	31.42	20.11	2	3.0
Massimi/minimi										
1							31.42			
1								20.11		
1										1.4

Muro : 103 - Nodi: [168-99-101-162], Pann.X=4, Pann.Y=4Spess.=50 cm, Terreno=--,Criterio=CLS_Muri_ND,
Materiale=C35/45, $\zeta_e=12.201$ [(5+6)-II-2] : **Verificato**

Armatura a maglia doppia

Pannello	Nx	Ny	Nxy	Mx	My	Mxy	Ax	Ay	C	Cs
	kg	kg	kg	kg*m	kg*m	kg*m	cmq	cmq		
1	-10896	-1870	-2739	-7712	-365	1628	31.42	20.11	2	3.0
2	-9578	-2380	-3308	-6884	-210	2127	31.42	20.11	2	3.1
3	-8990	-2534	-3338	-5896	-96	2590	31.42	20.11	2	3.2
4	-13339	5665	840	1197	-834	-4168	31.42	20.11	3	3.1
5	-10129	-2037	-2599	-5659	105	1834	31.42	20.11	2	3.7
6	-9114	-2472	-3166	-4978	228	2384	31.42	20.11	2	3.7
7	-11582	5356	729	336	-1220	-3766	31.42	20.11	3	3.1
8	-12656	6814	295	-267	-1248	-4396	31.42	20.11	3	2.7
9	-9332	4628	318	-235	-1553	-2488	31.42	20.11	3	3.9
10	-10073	5276	357	-632	-1619	-3229	31.42	20.11	3	3.2
11	-11099	6354	265	-1045	-1658	-3925	31.42	20.11	3	2.8
12	-11972	7804	-260	-1396	-1609	-4533	31.42	20.11	3	2.5
13	-8909	5471	132	-1604	-2024	-2583	31.42	20.11	3	3.4
14	-9649	6164	50	-1863	-2062	-3334	31.42	20.11	3	2.9
15	-10568	7238	-193	-2098	-2050	-4019	31.42	20.11	3	2.5
16	-11278	8640	-805	-2232	-1917	-4594	31.42	20.11	3	2.3
Massimi/minimi										
1							31.42			
1								20.11		
16										2.3

Muro : 104 - Nodi: [163-97-96-169], Pann.X=4, Pann.Y=4Spess.=50 cm, Terreno=--,Criterio=CLS_Muri_ND,
Materiale=C35/45, $\zeta_e=18.819$ [(5+6)-II-1] : **Verificato**

Armatura a maglia doppia

Pannello	Nx	Ny	Nxy	Mx	My	Mxy	Ax	Ay	C	Cs
	kg	kg	kg	kg*m	kg*m	kg*m	cmq	cmq		
1	-11794	-1524	1810	-8807	-746	453	31.42	20.11	2	3.0
2	-12679	-1267	690	-8922	-897	852	31.42	20.11	2	2.9
3	-12678	-1386	-393	-8868	-860	1202	31.42	20.11	2	2.8
4	-12415	-1562	-1265	-8639	-745	1500	31.42	20.11	2	2.8

**POTENZIAMENTO DELL'IMPIANTO DI DEPURAZIONE E
DEL RECAPITO FINALE DI SQUINZANO (LE)
PROGETTO DEFINITIVO
Tabulati di calcolo strutturale-Equalizzazione**

R.37.7

Maggio 2021

Pagina 175 di
338

Pannello	Nx	Ny	Nxy	Mx	My	Mxy	Ax	Ay	C	Cs
5	-10914	-1670	1586	-6512	-197	399	31.42	20.11	2	4.0
6	-11644	-1436	659	-6577	-351	840	31.42	20.11	2	3.8
7	-11764	-1477	-314	-6535	-350	1256	31.42	20.11	2	3.6
8	-11561	-1639	-1158	-6367	-266	1624	31.42	20.11	2	3.5
9	-10099	-1818	1403	-4565	324	372	31.42	20.11	2	5.6
10	-10708	-1608	608	-4600	178	839	31.42	20.11	2	5.1
11	-10875	-1609	-259	-4563	153	1297	31.42	20.11	2	4.8
12	-10730	-1746	-1053	-4437	207	1716	31.42	20.11	2	4.5
13	-9334	-1965	1248	-2928	819	360	31.42	20.11	2	8.4
14	-9384	5931	-4735	-249	-1579	-773	31.42	20.11	3	6.6
15	-7862	5279	-4614	-460	-1743	-1202	31.42	20.11	3	5.3
16	-7012	5033	-4080	-707	-1874	-1630	31.42	20.11	3	4.5
Massimi/minimi										
1							31.42			
1								20.11		
4										2.8

Muro : 105 - Nodi: [170-164-102-95], Pann.X=4, Pann.Y=4Spess.=50 cm, Terreno=--,Criterio=CLS_Muri_ND,
Materiale=C35/45,ζ=54.400 [(5+6)-II-1] : **Verificato**

Armatura a maglia doppia

Pannello	Nx kg	Ny kg	Nxy kg	Mx kg*m	My kg*m	Mxy kg*m	Ax cmq	Ay cmq	C	Cs
1	-3130	-6912	4960	-121	-2740	-3624	31.42	20.11	2	2.8
2	-3674	-6378	4809	32	-1776	-3959	31.42	20.11	2	3.1
3	10371	-9002	2854	-956	-1436	4687	31.42	20.11	3	3.0
4	11040	-8338	3402	-1012	-1830	4637	31.42	20.11	3	2.8
5	-2940	-7715	4712	-59	-3625	-3496	31.42	20.11	2	2.6
6	-3334	-7191	4582	190	-2420	-3848	31.42	20.11	2	2.9
7	9198	-9761	2379	-1396	-1445	4545	31.42	20.11	3	3.1
8	9968	-9154	2949	-1580	-2020	4556	31.42	20.11	3	2.8
9	-2693	-8598	4466	-81	-4528	-3281	31.42	20.11	2	2.4
10	-2998	-8029	4305	238	-3105	-3632	31.42	20.11	2	2.7
11	-3308	-7456	4119	526	-1937	-3900	31.42	20.11	2	3.1
12	8901	-9257	2622	-1900	-2054	4314	31.42	20.11	3	2.9
13	-2385	-9566	4018	-154	-5412	-3009	31.42	20.11	2	2.2
14	-2665	-8877	3881	217	-3795	-3348	31.42	20.11	2	2.6
15	-2933	-8223	3727	561	-2452	-3612	31.42	20.11	2	3.0
16	7924	-8941	2442	-2061	-1966	3963	31.42	20.11	3	3.1
Massimi/minimi										
1							31.42			
1								20.11		
13										2.2

Muro : 106 - Nodi: [171-170-95-110], Pann.X=4, Pann.Y=4Spess.=50 cm, Terreno=--,Criterio=CLS_Muri_ND,
Materiale=C35/45,ζ=25.168 [(5+6)-II-2] : **Verificato**

Armatura a maglia doppia

Pannello	Nx kg	Ny kg	Nxy kg	Mx kg*m	My kg*m	Mxy kg*m	Ax cmq	Ay cmq	C	Cs
1	11777	9306	1777	5191	162	1720	31.42	20.11	3	3.4
2	12592	8646	1850	6276	304	1717	31.42	20.11	3	2.9
3	13132	7953	1922	7259	434	1696	31.42	20.11	3	2.6
4	13421	7235	1992	8126	559	1663	31.42	20.11	3	2.3
5	11425	1013	2870	2226	-258	3533	31.42	20.11	3	4.1
6	12305	1194	3149	2862	-275	3479	31.42	20.11	3	3.7
7	12883	1267	3371	3490	-254	3373	31.42	20.11	3	3.4
8	13208	1255	3552	4092	-201	3233	31.42	20.11	3	3.1
9	10570	-4763	2793	621	-428	4309	31.42	20.11	3	3.7
10	11611	-4219	3269	881	-683	4295	31.42	20.11	3	3.5
11	12312	-3740	3672	1190	-832	4195	31.42	20.11	3	3.5
12	12740	-3331	4010	1529	-894	4037	31.42	20.11	3	3.5
13	-3432	-5887	5165	-309	-1925	-3615	31.42	20.11	2	3.2
14	10623	-7752	2852	-230	-876	4641	31.42	20.11	3	3.3
15	11443	-7092	3375	-168	-1238	4604	31.42	20.11	3	3.1
16	11997	-6480	3840	-53	-1455	4490	31.42	20.11	3	3.0
Massimi/minimi										
1							31.42			
1								20.11		
4										2.3

Muro : 107 - Nodi: [11-163-169-5], Pann.X=4, Pann.Y=4Spess.=50 cm, Terreno=--,Criterio=CLS_Muri_ND,
Materiale=C35/45, $\zeta_e=13.785$ [(5+6)-II-1] : **Verificato**

Armatura a maglia doppia

Pannello	Nx kg	Ny kg	Nxy kg	Mx kg*m	My kg*m	Mxy kg*m	Ax cmq	Ay cmq	C	Cs
1	-18426	-866	5253	-23729	-2994	1197	31.42	20.11	2	1.2
2	-18055	-1955	-1154	-23299	-2968	670	31.42	20.11	2	1.2
3	-15145	-2123	-588	-22330	-2814	616	31.42	20.11	2	1.3
4	-16259	-1848	-1052	-21591	-2693	612	31.42	20.11	2	1.3
5	-15424	-1203	3366	-18675	-2425	1005	31.42	20.11	2	1.5
6	-16959	-877	56	-18838	-2487	842	31.42	20.11	2	1.5
7	-14911	-1938	-767	-18357	-2338	814	31.42	20.11	2	1.5
8	-15189	-1590	-1261	-17744	-2190	845	31.42	20.11	2	1.5
9	-13917	-1267	2544	-14729	-1898	733	31.42	20.11	2	1.8
10	-15266	-959	525	-14967	-1987	892	31.42	20.11	2	1.8
11	-14375	-1527	-648	-14761	-1857	1003	31.42	20.11	2	1.8
12	-14212	-1541	-1382	-14311	-1706	1113	31.42	20.11	2	1.9
13	-12773	-1386	2103	-11511	-1319	554	31.42	20.11	2	2.3
14	-13860	-1105	671	-11692	-1450	875	31.42	20.11	2	2.3
15	-13578	-1378	-506	-11599	-1365	1125	31.42	20.11	2	2.2
16	-13296	-1526	-1356	-11280	-1226	1333	31.42	20.11	2	2.2
Massimi/minimi										
1							31.42			
1								20.11		
1										1.2

Muro : 108 - Nodi: [4-3-170-171], Pann.X=4, Pann.Y=4Spess.=50 cm, Terreno=--,Criterio=CLS_Muri_ND,
Materiale=C35/45, $\zeta_e=6.875$ [(5+6)-II-1] : **Verificato**

Armatura a maglia doppia

Pannello	Nx kg	Ny kg	Nxy kg	Mx kg*m	My kg*m	Mxy kg*m	Ax cmq	Ay cmq	C	Cs
1	3714	10117	621	390	-1379	1352	31.42	20.11	3	5.3
2	7082	10602	1328	1607	-654	1527	31.42	20.11	3	6.6
3	9152	10393	1584	2816	-249	1637	31.42	20.11	3	5.4
4	10653	9909	1699	4025	-8	1697	31.42	20.11	3	4.1
5	-444	-2911	4049	-407	-2481	-1152	31.42	20.11	2	4.8
6	-1083	-3087	4372	-546	-1891	-1663	31.42	20.11	2	4.9
7	8380	256	1969	1051	-97	3365	31.42	20.11	3	4.8
8	10164	703	2497	1611	-199	3508	31.42	20.11	3	4.5
9	-883	-5323	5117	-617	-4689	-1308	31.42	20.11	2	3.0
10	-1476	-5252	5257	-543	-3514	-1914	31.42	20.11	2	3.3
11	-2171	-5088	5298	-531	-2574	-2538	31.42	20.11	2	3.5
12	-2995	-4870	5229	-585	-1824	-3028	31.42	20.11	2	3.6
13	-1068	-8075	5512	-878	-7053	-1350	31.42	20.11	2	2.2
14	-1467	-7457	5469	-662	-5341	-1983	31.42	20.11	2	2.5
15	-2050	-6895	5409	-495	-3948	-2654	31.42	20.11	2	2.7
16	-2725	-6371	5318	-377	-2824	-3201	31.42	20.11	2	3.0
Massimi/minimi										
1							31.42			
1								20.11		
13										2.2

Muro : 109 - Nodi: [3-2-164-170], Pann.X=4, Pann.Y=4Spess.=50 cm, Terreno=--,Criterio=CLS_Muri_ND,
Materiale=C35/45, $\zeta_e=6.669$ [(5+6)-II-1] : **Verificato**

Armatura a maglia doppia

Pannello	Nx kg	Ny kg	Nxy kg	Mx kg*m	My kg*m	Mxy kg*m	Ax cmq	Ay cmq	C	Cs
1	-1247	-9526	4774	-1138	-9302	-1349	31.42	20.11	2	1.8
2	-1533	-8796	4912	-824	-7173	-1946	31.42	20.11	2	2.0
3	-2028	-8110	5010	-551	-5400	-2612	31.42	20.11	2	2.3
4	-2574	-7485	5029	-316	-3937	-3179	31.42	20.11	2	2.6
5	-1472	-9365	4512	-1383	-11362	-1259	31.42	20.11	2	1.5
6	-1859	-9093	4642	-1002	-8933	-1832	31.42	20.11	2	1.7
7	-2204	-8689	4750	-656	-6850	-2480	31.42	20.11	2	2.0
8	-2559	-8222	4772	-341	-5091	-3042	31.42	20.11	2	2.3
9	-1574	-10286	4860	-1629	-13360	-1121	31.42	20.11	2	1.3
10	-1941	-10011	4848	-1200	-10631	-1677	31.42	20.11	2	1.5

Pannello	Nx	Ny	Nxy	Mx	My	Mxy	Ax	Ay	C	Cs
11	-2163	-9624	4737	-802	-8261	-2298	31.42	20.11	2	1.8
12	-2409	-9140	4607	-429	-6237	-2838	31.42	20.11	2	2.0
13	-1514	-13059	4654	-1871	-15284	-1006	31.42	20.11	2	1.2
14	-1583	-11997	4468	-1405	-12231	-1519	31.42	20.11	2	1.4
15	-1815	-11104	4290	-969	-9593	-2088	31.42	20.11	2	1.6
16	-2097	-10302	4147	-551	-7333	-2590	31.42	20.11	2	1.9
Massimi/minimi										
1							31.42			
1								20.11		
13										1.2

Muro : 110 - Nodi: [2-5-169-164], Pann.X=4, Pann.Y=4Spess.=50 cm, Terreno=--,Criterio=CLS_Muri_ND,
Materiale=C35/45, $\zeta_e=7.967$ [(5+6)-II-1] : **Verificato**

Armatura a maglia doppia

Pannello	Nx	Ny	Nxy	Mx	My	Mxy	Ax	Ay	C	Cs
	kg	kg	kg	kg*m	kg*m	kg*m	cmq	cmq		
1	-1593	-13857	2970	-2070	-16875	-960	31.42	20.11	2	1.1
2	-1561	-12758	3150	-1579	-13627	-1372	31.42	20.11	2	1.3
3	-1763	-11806	3302	-1117	-10796	-1867	31.42	20.11	2	1.5
4	-2000	-10971	3378	-672	-8347	-2320	31.42	20.11	2	1.8
5	-1830	-12193	2464	-2226	-18138	-842	31.42	20.11	2	1.0
6	-2030	-11980	2609	-1723	-14818	-1210	31.42	20.11	2	1.2
7	-2093	-11592	2779	-1245	-11861	-1649	31.42	20.11	2	1.4
8	-2149	-11102	2874	-788	-9262	-2053	31.42	20.11	2	1.7
9	-1900	-12497	3005	-2385	-19370	-689	31.42	22.00	2	1.0
10	-2112	-12366	2946	-1874	-15915	-1044	31.42	20.11	2	1.1
11	-2106	-12056	2809	-1388	-12814	-1445	31.42	20.11	2	1.3
12	-2092	-11605	2682	-920	-10072	-1798	31.42	20.11	2	1.6
13	-1787	-15401	2805	-2554	-20618	-590	31.42	22.00	2	1.0
14	-1655	-14355	2596	-2041	-16932	-915	31.42	20.11	2	1.1
15	-1692	-13451	2384	-1552	-13653	-1260	31.42	20.11	2	1.3
16	-1752	-12624	2206	-1075	-10761	-1554	31.42	20.11	2	1.6
Massimi/minimi										
1							31.42			
9								22.00		
13										1.0

Muro : 111 - Nodi: [164-169-96-102], Pann.X=4, Pann.Y=4Spess.=50 cm, Terreno=--,Criterio=CLS_Muri_ND,
Materiale=C35/45, $\zeta_e=7.934$ [(5+6)-II-1] : **Verificato**

Armatura a maglia doppia

Pannello	Nx	Ny	Nxy	Mx	My	Mxy	Ax	Ay	C	Cs
	kg	kg	kg	kg*m	kg*m	kg*m	cmq	cmq		
1	-2230	-10215	3387	-246	-6245	-2706	31.42	20.11	2	2.1
2	-2449	-9511	3339	159	-4459	-3023	31.42	20.11	2	2.5
3	-2657	-8840	3247	541	-2961	-3273	31.42	20.11	2	3.0
4	7050	-8377	2403	-2119	-1789	3540	31.42	20.11	3	3.5
5	-2231	-10542	2895	-346	-7007	-2398	31.42	20.11	2	2.0
6	-2337	-9940	2859	78	-5074	-2681	31.42	20.11	2	2.4
7	-2461	-9317	2781	485	-3439	-2907	31.42	20.11	2	2.9
8	-2594	-8686	2670	873	-2078	-3079	31.42	20.11	2	3.6
9	-2110	-11057	2565	-467	-7678	-2094	31.42	20.11	2	1.9
10	-2162	-10451	2448	-26	-5615	-2334	31.42	20.11	2	2.4
11	-2242	-9812	2326	401	-3861	-2524	31.42	20.11	2	2.9
12	-2342	-9157	2199	813	-2393	-2668	31.42	20.11	2	3.7
13	-1812	-11845	2045	-607	-8236	-1792	31.42	20.11	2	1.9
14	-1885	-11088	1897	-148	-6057	-1978	31.42	20.11	2	2.4
15	-1975	-10344	1759	300	-4202	-2122	31.42	20.11	2	3.0
16	-2081	-9611	1631	737	-2647	-2231	31.42	20.11	2	3.8
Massimi/minimi										
1							31.42			
1								20.11		
13										1.9

Muro : 112 - Nodi: [7-173-163-11], Pann.X=4, Pann.Y=4Spess.=50 cm, Terreno=--,Criterio=CLS_Muri_ND,
Materiale=C35/45, $\zeta_e=13.825$ [(5+6)-II-1] : **Verificato**

Armatura a maglia doppia

**POTENZIAMENTO DELL'IMPIANTO DI DEPURAZIONE E
DEL RECAPITO FINALE DI SQUINZANO (LE)
PROGETTO DEFINITIVO
Tabulati di calcolo strutturale-Equalizzazione**

R.37.7

Maggio 2021

Pagina 178 di
338

Pannello	Nx	Ny	Nxy	Mx	My	Mxy	Ax	Ay	C	Cs
	kg	kg	kg	kg*m	kg*m	kg*m	cmq	cmq		
1	-13469	-744	1150	21401	2656	955	31.42	20.11	3	1.3
2	-15841	-391	1528	21420	2655	770	31.42	20.11	3	1.3
3	-22276	-379	2214	22351	2797	545	31.42	20.11	3	1.3
4	-11457	-1469	1625	-20413	-2486	1989	31.42	20.11	2	1.3
5	-13601	-176	1190	16699	2022	1014	31.42	20.11	3	1.6
6	-14603	-559	1878	17043	2048	876	31.42	20.11	3	1.6
7	-17468	-1132	3161	17499	2179	748	31.42	20.11	3	1.6
8	-10919	-2209	2697	-17012	-1915	1029	31.42	20.11	2	1.5
9	-12783	373	1232	12652	1431	1199	31.42	20.11	3	2.0
10	-14133	308	1888	13044	1466	1004	31.42	20.11	3	2.0
11	-17326	1107	2376	13266	1587	823	31.42	20.11	3	2.1
12	-10904	-2114	2774	-13871	-1367	485	31.42	20.11	2	1.9
13	-7639	-2477	2007	-9511	-528	-865	31.42	20.11	2	2.6
14	-8202	-2418	2282	-9954	-386	-424	31.42	20.11	2	2.6
15	-9210	-2301	2501	-10448	-414	-92	31.42	20.11	2	2.6
16	-10634	-2051	2598	-11039	-851	205	31.42	20.11	2	2.5
Massimi/minimi										
1							31.42			
1								20.11		
4										1.3

Muro : 113 - Nodi: [173-109-97-163], Pann.X=4, Pann.Y=4Spess.=50 cm, Terreno=--,Criterio=CLS_Muri_ND, Materiale=C35/45, $\zeta_e=15.112$ [(5+6)-II-1] : **Verificato**

Armatura a maglia doppia

Pannello	Nx	Ny	Nxy	Mx	My	Mxy	Ax	Ay	C	Cs
	kg	kg	kg	kg*m	kg*m	kg*m	cmq	cmq		
1	-7359	-2723	1976	-7233	20	-1066	31.42	20.11	2	3.3
2	-7913	-2614	2233	-7691	98	-617	31.42	20.11	2	3.3
3	-8849	-2423	2408	-8132	23	-280	31.42	20.11	2	3.3
4	-10190	-2064	2372	-8531	-353	51	31.42	20.11	2	3.2
5	-7071	-2914	1928	-5273	532	-1254	31.42	20.11	2	4.2
6	-7602	-2762	2157	-5689	555	-796	31.42	20.11	2	4.2
7	-8467	-2515	2277	-6059	448	-423	31.42	20.11	2	4.2
8	-9662	-2124	2148	-6342	128	-40	31.42	20.11	2	4.3
9	-6774	-3060	1866	-3598	1009	-1418	31.42	20.11	2	5.4
10	-7272	-2876	2061	-3952	992	-947	31.42	20.11	2	5.5
11	-8058	-2598	2128	-4250	868	-531	31.42	20.11	2	5.7
12	-9096	-2208	1941	-4456	595	-97	31.42	20.11	2	6.0
13	-10853	6082	779	36	-1176	1829	31.42	20.11	3	5.1
14	-11471	6463	326	123	-1133	1307	31.42	20.11	3	6.3
15	-12260	7011	-754	126	-1145	755	31.42	20.11	3	8.0
16	-8516	-2305	1753	-2855	1047	-134	31.42	20.11	2	9.2
Massimi/minimi										
1							31.42			
1								20.11		
4										3.2

Muro : 114 - Nodi: [9-172-173-7], Pann.X=4, Pann.Y=4Spess.=50 cm, Terreno=--,Criterio=CLS_Muri_ND, Materiale=C35/45, $\zeta_e=13.652$ [(5+6)-II-2] : **Verificato**

Armatura a maglia doppia

Pannello	Nx	Ny	Nxy	Mx	My	Mxy	Ax	Ay	C	Cs
	kg	kg	kg	kg*m	kg*m	kg*m	cmq	cmq		
1	-13982	-1669	426	-13284	-1610	-2440	31.42	20.11	2	1.8
2	-20820	-1141	-2399	16073	1931	1384	31.42	20.11	3	1.7
3	-15420	-516	-484	18041	2186	1041	31.42	20.11	3	1.5
4	-13450	-752	754	20219	2498	688	31.42	20.11	3	1.4
5	-12993	-1564	583	-10567	-1152	-2439	31.42	20.11	2	2.2
6	-16500	-903	-2900	12458	1327	1790	31.42	20.11	3	2.0
7	-12712	-638	-768	14076	1549	1410	31.42	20.11	3	1.8
8	-12686	-337	568	15716	1863	1109	31.42	20.11	3	1.7
9	-12131	-1534	985	-8160	-715	-2657	31.42	20.11	2	2.6
10	-9059	-2288	619	-9088	-538	-2234	31.42	20.11	2	2.4
11	-12698	266	-758	10578	963	1840	31.42	20.11	3	2.3
12	-12125	346	564	11838	1268	1480	31.42	20.11	3	2.1
13	-11196	-1707	1335	-6085	-306	-2955	31.42	20.11	2	3.1
14	-8792	-2451	768	-6993	-94	-2541	31.42	20.11	2	2.9
15	-7565	-2641	1203	-7950	-233	-2047	31.42	20.11	2	2.7
16	-7360	-2555	1681	-8866	-486	-1448	31.42	20.11	2	2.6

**POTENZIAMENTO DELL'IMPIANTO DI DEPURAZIONE E
DEL RECAPITO FINALE DI SQUINZANO (LE)
PROGETTO DEFINITIVO
Tabulati di calcolo strutturale-Equalizzazione**

R.37.7

Maggio 2021

Pagina 179 di
338

Pannello	Nx	Ny	Nxy	Mx	My	Mxy	Ax	Ay	C	Cs
										Massimi/minimi
1							31.42			
1								20.11		
4										1.4

Muro : 115 - Nodi: [172-104-109-173], Pann.X=4, Pann.Y=4Spess.=50 cm, Terreno=--,Criterio=CLS_Muri_ND,
Materiale=C35/45, $\zeta_e=9.876$ [(5+6)-II-1] : **Verificato**

Armatura a maglia doppia

Pannello	Nx	Ny	Nxy	Mx	My	Mxy	Ax	Ay	C	Cs
	kg	kg	kg	kg*m	kg*m	kg*m	cmq	cmq		
1	-10267	-1996	1598	-4328	80	-3251	31.42	20.11	2	3.7
2	-8437	-2615	940	-5139	314	-2811	31.42	20.11	2	3.4
3	-7336	-2863	1212	-5921	242	-2309	31.42	20.11	2	3.3
4	-7099	-2819	1644	-6655	55	-1677	31.42	20.11	2	3.3
5	-18883	8684	2742	1268	-667	3771	31.42	20.11	3	3.4
6	-15478	6118	174	2044	-654	3240	31.42	20.11	3	4.0
7	-7070	-3043	1239	-4176	689	-2519	31.42	20.11	2	4.1
8	-6829	-3024	1611	-4772	565	-1870	31.42	20.11	2	4.1
9	-17065	9509	3410	-72	-1040	3973	31.42	20.11	3	2.9
10	-14696	7358	1006	456	-1060	3445	31.42	20.11	3	3.4
11	-12233	5614	526	975	-982	2904	31.42	20.11	3	4.0
12	-11152	4873	765	1408	-829	2318	31.42	20.11	3	5.0
13	-15483	10243	3975	-1094	-1360	4094	31.42	20.11	3	2.7
14	-13820	8439	1731	-790	-1428	3585	31.42	20.11	3	3.0
15	-11797	6858	957	-450	-1386	3027	31.42	20.11	3	3.5
16	-10789	6108	880	-156	-1272	2412	31.42	20.11	3	4.2
										Massimi/minimi
1							31.42			
1								20.11		
13										2.7

Muro : 116 - Nodi: [1-166-172-9], Pann.X=4, Pann.Y=4Spess.=50 cm, Terreno=--,Criterio=CLS_Muri_ND,
Materiale=C35/45, $\zeta_e=9.875$ [(5+6)-II-1] : **Verificato**

Armatura a maglia doppia

Pannello	Nx	Ny	Nxy	Mx	My	Mxy	Ax	Ay	C	Cs
	kg	kg	kg	kg*m	kg*m	kg*m	cmq	cmq		
1	-11747	-1443	5888	-9707	-1248	-1660	31.42	20.11	2	2.5
2	-13270	-1620	5722	-11228	-1451	-1739	31.42	20.11	2	2.2
3	-17132	-1657	5996	-12799	-1638	-1848	31.42	20.11	2	2.0
4	-18871	-1302	1805	-13788	-1730	-2270	31.42	20.11	2	1.8
5	-11150	-1578	5986	-7349	-1011	-2320	31.42	20.11	2	2.9
6	-12859	-1615	5822	-8500	-1176	-2361	31.42	20.11	2	2.6
7	-15196	-838	4892	-9526	-1293	-2425	31.42	20.11	2	2.4
8	-16013	-599	2617	-10234	-1318	-2525	31.42	20.11	2	2.3
9	-10496	-1829	5897	-5381	-793	-3010	31.42	20.11	2	3.3
10	-11992	-1486	5424	-6213	-896	-3000	31.42	20.11	2	3.1
11	-13484	-973	4386	-6944	-967	-2957	31.42	20.11	2	2.9
12	-13942	-807	2824	-7527	-954	-2883	31.42	20.11	2	2.7
13	-9746	-2145	5608	-3777	-589	-3546	31.42	20.11	2	3.8
14	-10993	-1734	5038	-4375	-617	-3494	31.42	20.11	2	3.5
15	-12002	-1341	4099	-4922	-620	-3388	31.42	20.11	2	3.4
16	-12327	-1215	2897	-5408	-557	-3247	31.42	20.11	2	3.3
										Massimi/minimi
1							31.42			
1								20.11		
4										1.8

Muro : 117 - Nodi: [266-162-174-209], Pann.X=4, Pann.Y=4Spess.=50 cm, Terreno=--,Criterio=CLS_Muri_ND,
Materiale=C35/45, $\zeta_e=7.193$ [(5+6)-I-1] : **Verificato**

Armatura a maglia doppia

Pannello	Nx	Ny	Nxy	Mx	My	Mxy	Ax	Ay	C	Cs
	kg	kg	kg	kg*m	kg*m	kg*m	cmq	cmq		
1	-12413	-1249	-4848	-12602	-1540	1244	31.42	20.11	2	2.0
2	-10629	-1397	-5408	-11377	-1398	1269	31.42	20.11	2	2.2
3	-9824	-1413	-4918	-10133	-1248	1327	31.42	20.11	2	2.4
4	-9455	-1168	-5656	-8888	-1095	1344	31.42	20.11	2	2.7

Pannello	Nx	Ny	Nxy	Mx	My	Mxy	Ax	Ay	C	Cs
5	-11196	-1391	-4747	-9841	-1129	1780	31.42	20.11	2	2.4
6	-10183	-1637	-5177	-8860	-1028	1841	31.42	20.11	2	2.6
7	-9389	-1593	-5266	-7836	-916	1901	31.42	20.11	2	2.8
8	-8713	-1478	-5522	-6782	-804	1940	31.42	20.11	2	3.1
9	-10260	-1670	-4607	-7515	-754	2373	31.42	20.11	2	2.8
10	-9550	-1833	-5047	-6718	-685	2470	31.42	20.11	2	3.0
11	-8828	-1923	-5302	-5892	-615	2550	31.42	20.11	2	3.3
12	-13553	5264	379	2022	-74	-4320	31.42	20.11	3	3.5
13	-9414	-2030	-4512	-5573	-393	2889	31.42	20.11	2	3.3
14	-13994	5821	451	1643	-448	-4437	31.42	20.11	3	3.2
15	-13520	6486	139	1156	-419	-4607	31.42	20.11	3	3.1
16	-12707	7239	-282	705	-338	-4730	31.42	20.11	3	3.0
Massimi/minimi										
1							31.42			
1								20.11		
1										2.0

Muro : 118 - Nodi: [162-101-120-174], Pann.X=4, Pann.Y=4Spess.=50 cm, Terreno=--,Criterio=CLS_Muri_ND,
Materiale=C35/45, $\zeta_e=38.460$ [(5+6)-II-2] : **Verificato**

Armatura a maglia doppia

Pannello	Nx kg	Ny kg	Nxy kg	Mx kg*m	My kg*m	Mxy kg*m	Ax cmq	Ay cmq	C	Cs
1	-13564	6738	268	578	-843	-4569	31.42	20.11	3	2.8
2	-13298	7372	-105	246	-796	-4744	31.42	20.11	3	2.7
3	-12769	8079	-501	-49	-699	-4891	31.42	20.11	3	2.7
4	-11874	8840	-962	-295	-532	-4983	31.42	20.11	3	2.7
5	-12815	7949	-290	-651	-1184	-4777	31.42	20.11	3	2.5
6	-12545	8629	-701	-826	-1080	-4929	31.42	20.11	3	2.5
7	-11981	9346	-1143	-957	-912	-5045	31.42	20.11	3	2.5
8	-11047	10085	-1621	-1030	-656	-5100	31.42	20.11	3	2.5
9	-12053	8943	-872	-1576	-1467	-4884	31.42	20.11	3	2.3
10	-11765	9626	-1304	-1619	-1302	-5009	31.42	20.11	3	2.3
11	-11179	10322	-1763	-1612	-1060	-5092	31.42	20.11	3	2.4
12	-10234	11015	-2237	-1545	-713	-5108	31.42	20.11	3	2.5
13	-11283	9738	-1444	-2239	-1691	-4907	31.42	20.11	3	2.2
14	-10975	10392	-1883	-2173	-1464	-5003	31.42	20.11	3	2.2
15	-10379	11043	-2341	-2055	-1146	-5051	31.42	20.11	3	2.3
16	-9443	11674	-2795	-1876	-709	-5030	31.42	20.11	3	2.5
Massimi/minimi										
1							31.42			
1								20.11		
13										2.2

Muro : 119 - Nodi: [166-117-104-172], Pann.X=4, Pann.Y=4Spess.=50 cm, Terreno=--,Criterio=CLS_Muri_ND,
Materiale=C35/45, $\zeta_e=10.269$ [(5+6)-II-1] : **Verificato**

Armatura a maglia doppia

Pannello	Nx kg	Ny kg	Nxy kg	Mx kg*m	My kg*m	Mxy kg*m	Ax cmq	Ay cmq	C	Cs
1	-11729	7298	8311	903	-374	4226	31.42	20.11	3	3.3
2	-14557	7442	8413	1304	-411	4158	31.42	20.11	3	3.3
3	-17704	8051	7799	1739	-369	4031	31.42	20.11	3	3.4
4	-20553	8711	6054	2194	-301	3860	31.42	20.11	3	3.6
5	-11456	8936	8365	-18	-507	4446	31.42	20.11	3	3.0
6	-13927	9026	8163	190	-632	4402	31.42	20.11	3	2.9
7	-16378	9340	7401	440	-674	4293	31.42	20.11	3	3.0
8	-18372	9592	5926	725	-675	4140	31.42	20.11	3	3.0
9	-10983	10199	8416	-705	-582	4543	31.42	20.11	3	2.8
10	-13116	10222	8049	-651	-798	4527	31.42	20.11	3	2.7
11	-15070	10341	7252	-549	-920	4443	31.42	20.11	3	2.7
12	-16556	10364	5985	-405	-987	4313	31.42	20.11	3	2.7
13	-10384	11144	8474	-1189	-603	4544	31.42	20.11	3	2.8
14	-12226	11121	8028	-1257	-907	4557	31.42	20.11	3	2.6
15	-13820	11124	7246	-1274	-1108	4502	31.42	20.11	3	2.6
16	-14986	11029	6139	-1246	-1238	4399	31.42	20.11	3	2.5
Massimi/minimi										
1							31.42			
1								20.11		
16										2.5

**POTENZIAMENTO DELL'IMPIANTO DI DEPURAZIONE E
DEL RECAPITO FINALE DI SQUINZANO (LE)
PROGETTO DEFINITIVO
Tabulati di calcolo strutturale-Equalizzazione**

R.37.7

Maggio 2021

Pagina 181 di
338

Muro : 120 - Nodi: [167-118-117-166], Pann.X=4, Pann.Y=4Spess.=50 cm, Terreno=--,Criterio=CLS_Muri_ND,
Materiale=C35/45, $\zeta_e=7.787$ [(5+6)-I-3] : **Verificato**

Armatura a maglia doppia

Pannello	Nx	Ny	Nxy	Mx	My	Mxy	Ax	Ay	C	Cs
	kg	kg	kg	kg*m	kg*m	kg*m	cmq	cmq		
1	8829	10695	5023	285	4489	1361	31.42	20.11		3
2	1409	10037	6408	39	1964	3213	31.42	20.11		3
3	-4073	8960	7084	119	568	3919	31.42	20.11		3
4	-8344	7820	7760	468	-132	4199	31.42	20.11		3
5	8191	11599	5271	353	5519	1391	31.42	20.11		3
6	1334	11009	6817	-62	2541	3247	31.42	20.11		3
7	-3965	10143	7620	-237	805	4006	31.42	20.11		3
8	-8236	9294	8154	-194	-127	4367	31.42	20.11		3
9	7519	12237	5488	433	6474	1400	31.42	20.11		3
10	1180	11743	7153	-106	3127	3217	31.42	20.11		3
11	-3863	11077	8025	-477	1095	3996	31.42	20.11		3
12	-7997	10462	8433	-674	-62	4416	31.42	20.11		3
13	6806	12627	5660	522	7333	1394	31.42	20.11		3
14	975	12250	7414	-104	3702	3141	31.42	20.11		3
15	-3753	11768	8318	-618	1419	3913	31.42	20.11		3
16	-7660	11339	8632	-998	55	4376	31.42	20.11		3
Massimi/minimi										
1							31.42			
1								20.11		
13										1.6

Muro : 121 - Nodi: [174-120-119-176], Pann.X=4, Pann.Y=4Spess.=50 cm, Terreno=--,Criterio=CLS_Muri_ND,
Materiale=C35/45, $\zeta_e=6.682$ [(5+6)-I-1] : **Verificato**

Armatura a maglia doppia

Pannello	Nx	Ny	Nxy	Mx	My	Mxy	Ax	Ay	C	Cs
	kg	kg	kg	kg*m	kg*m	kg*m	cmq	cmq		
1	-9855	9883	-1661	-504	-139	-4966	31.42	20.11		3
2	-5613	11087	-2401	-557	749	-4636	31.42	20.11		3
3	950	12003	-2598	-333	2445	-3768	31.42	20.11		3
4	10127	12413	-1438	139	5617	-1860	31.42	20.11		3
5	-9044	11065	-2285	-1000	-106	-5019	31.42	20.11		3
6	-4973	12133	-2914	-764	1060	-4604	31.42	20.11		3
7	1136	12870	-2901	-304	3143	-3697	31.42	20.11		3
8	9375	13180	-1518	320	6752	-1852	31.42	20.11		3
9	-8273	11900	-2845	-1328	-8	-4967	31.42	20.11		3
10	-4411	12821	-3342	-877	1417	-4486	31.42	20.11		3
11	1213	13417	-3134	-253	3828	-3577	31.42	20.11		3
12	8576	13673	-1594	475	7776	-1826	31.42	20.11		3
13	-7550	12450	-3334	-1519	146	-4837	31.42	20.11		3
14	-3928	13224	-3695	-914	1803	-4312	31.42	20.11		3
15	1203	13701	-3320	-179	4482	-3427	31.42	20.11		3
16	7752	13917	-1668	616	8679	-1790	31.42	20.11		3
Massimi/minimi										
1							31.42			
1								20.11		
16										1.3

Muro : 122 - Nodi: [10-167-166-1], Pann.X=4, Pann.Y=4Spess.=50 cm, Terreno=--,Criterio=CLS_Muri_ND,
Materiale=C35/45, $\zeta_e=7.629$ [(5+6)-II-1] : **Verificato**

Armatura a maglia doppia

Pannello	Nx	Ny	Nxy	Mx	My	Mxy	Ax	Ay	C	Cs
	kg	kg	kg	kg*m	kg*m	kg*m	cmq	cmq		
1	10738	3276	3767	-243	398	938	31.42	20.11		3
2	-3073	-471	4320	-2575	-429	-1250	31.42	20.11		2
3	-5894	-986	5577	-4962	-669	-1442	31.42	20.11		2
4	-9379	-1248	6173	-7587	-979	-1555	31.42	20.11		2
5	10578	6039	4215	33	1332	1083	31.42	20.11		3
6	797	5074	4690	797	586	2473	31.42	20.11		3
7	-5942	-1587	5752	-3743	-625	-2096	31.42	20.11		2
8	-8885	-1635	6188	-5734	-809	-2248	31.42	20.11		2
9	10046	7985	4497	160	2343	1213	31.42	20.11		3
10	1169	7208	5362	455	952	2857	31.42	20.11		3

Pannello	Nx	Ny	Nxy	Mx	My	Mxy	Ax	Ay	C	Cs
11	-4348	5750	5615	1291	322	3336	31.42	20.11	3	4.2
12	-8429	-2087	6109	-4194	-677	-2960	31.42	20.11	2	3.8
13	9447	9504	4761	227	3415	1304	31.42	20.11	3	3.1
14	1369	8796	5927	208	1423	3092	31.42	20.11	3	3.3
15	-4195	7512	6408	616	400	3705	31.42	20.11	3	3.7
16	-8310	6084	7198	1342	-65	3885	31.42	20.11	3	3.9
Massimi/minimi										
1							31.42			
1								20.11		
4										3.0

Muro : 123 - Nodi: [209-174-176-221], Pann.X=4, Pann.Y=4Spess.=50 cm, Terreno=--,Criterio=CLS_Muri_ND,
Materiale=C35/45, $\zeta_e=5.957$ [(5+6)-II-2] : **Verificato**

Armatura a maglia doppia

Pannello	Nx	Ny	Nxy	Mx	My	Mxy	Ax	Ay	C	Cs
	kg	kg	kg	kg*m	kg*m	kg*m	cmq	cmq		
1	-7772	-1068	-5603	-7032	-880	1312	31.42	20.11	2	3.3
2	-5147	-895	-5338	-4651	-615	1266	31.42	20.11	2	4.5
3	-667	2250	-217	-213	180	-2871	31.42	20.11	3	5.3
4	10608	4262	905	-2069	379	-1499	31.42	20.11	3	6.6
5	-7271	-1522	-5702	-5309	-670	1948	31.42	20.11	2	3.7
6	-7891	4717	-416	975	282	-3831	31.42	20.11	3	3.8
7	-200	6046	-819	-338	603	-3336	31.42	20.11	3	3.9
8	11300	7915	-587	-1049	1766	-1682	31.42	20.11	3	4.4
9	-11551	6200	-343	1167	20	-4416	31.42	20.11	3	3.5
10	-7076	7485	-1121	251	351	-4287	31.42	20.11	3	3.3
11	234	8839	-1602	-349	1130	-3642	31.42	20.11	3	3.1
12	11245	9903	-1119	-453	3095	-1790	31.42	20.11	3	3.0
13	-10694	8286	-997	200	-99	-4774	31.42	20.11	3	3.1
14	-6318	9580	-1799	-233	507	-4546	31.42	20.11	3	2.9
15	645	10717	-2186	-345	1761	-3765	31.42	20.11	3	2.6
16	10784	11341	-1330	-98	4389	-1843	31.42	20.11	3	2.3
Massimi/minimi										
1							31.42			
1								20.11		
16										2.3

Muro : 124 - Nodi: [253-208-178-154], Pann.X=4, Pann.Y=4Spess.=50 cm, Terreno=--,Criterio=CLS_Muri_ND,
Materiale=C35/45, $\zeta_e=9.591$ [(5+6)-I-3] : **Verificato**

Armatura a maglia doppia

Pannello	Nx	Ny	Nxy	Mx	My	Mxy	Ax	Ay	C	Cs
	kg	kg	kg	kg*m	kg*m	kg*m	cmq	cmq		
1	-1658	-13341	-1085	-1755	-13974	-135	20.11	31.42	2	2.0
2	-1724	-12447	-966	-1372	-10789	-90	20.11	31.42	2	2.6
3	-1900	-11714	-826	-1029	-7957	-60	20.11	31.42	2	3.5
4	-2132	-11047	-710	-724	-5457	-44	20.11	31.42	2	5.1
5	-1616	-10349	-778	-1695	-13663	-91	20.11	31.42	2	2.0
6	-2024	-10369	-925	-1288	-10592	-71	20.11	31.42	2	2.6
7	-2322	-10136	-940	-925	-7835	-50	20.11	31.42	2	3.5
8	-2564	-9834	-901	-603	-5385	-35	20.11	31.42	2	5.1
9	-1631	-10388	-782	-1680	-13597	45	20.11	31.42	2	2.0
10	-2034	-10462	-645	-1257	-10516	48	20.11	31.42	2	2.6
11	-2336	-10218	-628	-874	-7760	57	20.11	31.42	2	3.6
12	-2590	-9894	-660	-529	-5319	71	20.11	31.42	2	5.1
13	-1688	-13477	-666	-1695	-13636	165	20.11	31.42	2	2.1
14	-1754	-12661	-772	-1272	-10445	180	20.11	31.42	2	2.7
15	-1946	-11890	-897	-882	-7631	221	20.11	31.42	2	3.6
16	-2200	-11181	-1001	-520	-5169	270	20.11	31.42	2	5.1
Massimi/minimi										
1							20.11			
1								31.42		
1										2.0

Muro : 125 - Nodi: [154-178-123-204], Pann.X=4, Pann.Y=4Spess.=50 cm, Terreno=--,Criterio=CLS_Muri_ND,
Materiale=C35/45, $\zeta_e=13.211$ [(5+6)-I-3] : **Verificato**

Armatura a maglia doppia

**POTENZIAMENTO DELL'IMPIANTO DI DEPURAZIONE E
DEL RECAPITO FINALE DI SQUINZANO (LE)
PROGETTO DEFINITIVO
Tabulati di calcolo strutturale-Equalizzazione**

R.37.7

Maggio 2021

Pagina 183 di
338

Pannello	Nx	Ny	Nxy	Mx	My	Mxy	Ax	Ay	C	Cs
	kg	kg	kg	kg*m	kg*m	kg*m	cmq	cmq		
1	331	-6512	-289	-375	-3465	31	20.11	31.42	(5+6)-I-1	7.7
2	595	-6188	-252	-398	-3839	44	20.11	31.42	(5+6)-I-1	6.9
3	3110	-6769	-37	-593	-5080	28	20.11	31.42	3	5.3
4	3763	-6487	-12	-737	-6406	48	20.11	31.42	3	4.2
5	143	-6148	-128	-375	-3371	98	20.11	31.42	(5+6)-I-1	7.8
6	428	-5912	-99	-414	-3750	122	20.11	31.42	(5+6)-I-1	6.9
7	2991	-6651	519	-761	-4984	9	20.11	31.42	3	5.4
8	3652	-6376	537	-955	-6280	43	20.11	31.42	3	4.3
9	143	-6318	194	-410	-3258	106	20.11	31.42	(5+6)-I-1	8.0
10	429	-6067	163	-463	-3634	132	20.11	31.42	(5+6)-I-1	7.2
11	3033	-6903	1040	-992	-4909	-217	20.11	31.42	3	5.3
12	3698	-6592	998	-1239	-6160	-199	20.11	31.42	3	4.3
13	-2478	-10523	-1088	-186	-3035	319	20.11	31.42	2	8.3
14	2647	-8023	1423	-879	-3391	-590	20.11	31.42	3	6.9
15	3329	-7650	1337	-1185	-4943	-613	20.11	31.42	3	4.9
16	4005	-7275	1243	-1454	-6140	-622	20.11	31.42	3	4.0
Massimi/minimi										
1							20.11			
1								31.42		
16										4.0

Muro : 126 - Nodi: [208-71-175-178], Pann.X=4, Pann.Y=4Spess.=50 cm, Terreno=--,Criterio=CLS_Muri_ND,
Materiale=C35/45,ζ_e=11.517 [(5+6)-I-3] : **Verificato**

Armatura a maglia doppia

Pannello	Nx	Ny	Nxy	Mx	My	Mxy	Ax	Ay	C	Cs
	kg	kg	kg	kg*m	kg*m	kg*m	cmq	cmq		
1	-1507	-14012	-2253	-1675	-13462	117	20.11	31.42	2	2.1
2	-1622	-12888	-2136	-1255	-10233	234	20.11	31.42	2	2.7
3	-1856	-12086	-1979	-870	-7408	349	20.11	31.42	2	3.6
4	-2112	-11389	-1867	-506	-4953	448	20.11	31.42	2	5.2
5	-1762	-11691	-2551	-1614	-12995	124	20.11	31.42	2	2.1
6	-2037	-11625	-2364	-1200	-9898	268	20.11	31.42	2	2.8
7	-2145	-11364	-2207	-817	-7146	416	20.11	31.42	2	3.7
8	-2287	-10976	-2114	-461	-4739	541	20.11	31.42	2	5.3
9	-1757	-11548	-1596	-1556	-12563	195	20.11	31.42	2	2.2
10	-1982	-11472	-1847	-1144	-9533	328	20.11	31.42	2	2.8
11	-2129	-11187	-2027	-762	-6839	492	20.11	31.42	2	3.8
12	-2289	-10807	-2120	-410	-4482	641	20.11	31.42	2	5.4
13	-1520	-13077	-2023	-1508	-12196	234	20.11	31.42	2	2.3
14	-1597	-12179	-2081	-1093	-9144	385	20.11	31.42	2	3.0
15	-1865	-11455	-2197	-713	-6485	576	20.11	31.42	2	4.0
16	-2150	-10840	-2272	-360	-4183	749	20.11	31.42	2	5.7
Massimi/minimi										
1							20.11			
1								31.42		
1										2.1

Muro : 127 - Nodi: [178-175-127-123], Pann.X=4, Pann.Y=4Spess.=50 cm, Terreno=--,Criterio=CLS_Muri_ND,
Materiale=C35/45,ζ_e=20.409 [(5+6)-I-1] : **Verificato**

Armatura a maglia doppia

Pannello	Nx	Ny	Nxy	Mx	My	Mxy	Ax	Ay	C	Cs
	kg	kg	kg	kg*m	kg*m	kg*m	cmq	cmq		
1	-2380	-10745	-1802	-166	-2838	533	20.11	31.42	2	8.3
2	2892	-8645	1531	-969	-3526	-901	20.11	31.42	3	6.2
3	3622	-8280	1437	-1275	-5028	-941	20.11	31.42	3	4.6
4	4336	-7903	1321	-1539	-6180	-964	20.11	31.42	3	3.8
5	-2477	-10515	-2059	-130	-2660	645	20.11	31.42	2	8.4
6	3060	-9012	1643	-1011	-3633	-1065	20.11	31.42	3	5.9
7	3833	-8668	1516	-1312	-5094	-1105	20.11	31.42	3	4.4
8	4580	-8302	1370	-1567	-6212	-1125	20.11	31.42	3	3.7
9	2479	-9808	1923	-716	-1953	-1188	20.11	31.42	3	8.5
10	3307	-9471	1767	-1059	-3738	-1252	20.11	31.42	3	5.5
11	4108	-9113	1599	-1353	-5151	-1287	20.11	31.42	3	4.3
12	4878	-8735	1419	-1599	-6225	-1298	20.11	31.42	3	3.7
13	2765	-10357	2015	-777	-2119	-1379	20.11	31.42	3	7.5
14	3617	-9970	1841	-1115	-3837	-1440	20.11	31.42	3	5.3
15	4440	-9578	1647	-1402	-5189	-1466	20.11	31.42	3	4.2
16	5228	-9175	1439	-1637	-6209	-1460	20.11	31.42	3	3.6

**POTENZIAMENTO DELL'IMPIANTO DI DEPURAZIONE E
DEL RECAPITO FINALE DI SQUINZANO (LE)
PROGETTO DEFINITIVO
Tabulati di calcolo strutturale-Equalizzazione**

R.37.7

Maggio 2021

Pagina 184 di
338

Pannello	Nx	Ny	Nxy	Mx	My	Mxy	Ax	Ay	C	Cs
										Massimi/minimi
1							20.11			
1								31.42		
16										3.6

Muro : 128 - Nodi: [71-280-180-175], Pann.X=4, Pann.Y=4Spess.=50 cm, Terreno=--,Criterio=CLS_Muri_ND,
Materiale=C35/45, $\zeta_e=10.001$ [(5+6)-I-3] : **Verificato**

Armatura a maglia doppia

Pannello	Nx	Ny	Nxy	Mx	My	Mxy	Ax	Ay	C	Cs
	kg	kg	kg	kg*m	kg*m	kg*m	cmq	cmq		
1	-1478	-12579	-2815	-1434	-11627	215	20.11	31.42	2	2.4
2	-1622	-11752	-2742	-1022	-8652	437	20.11	31.42	2	3.1
3	-1876	-11101	-2623	-646	-6069	669	20.11	31.42	2	4.1
4	-2159	-10529	-2547	-297	-3843	866	20.11	31.42	2	5.9
5	-1620	-10541	-2919	-1334	-10856	271	20.11	31.42	2	2.5
6	-1917	-10481	-2788	-931	-8053	512	20.11	31.42	2	3.2
7	-2087	-10253	-2689	-561	-5591	772	20.11	31.42	2	4.4
8	-2287	-9922	-2627	-221	-3466	990	20.11	31.42	2	6.2
9	-1569	-10249	-2051	-1237	-10112	368	20.11	31.42	2	2.6
10	-1821	-10133	-2292	-843	-7419	607	20.11	31.42	2	3.5
11	-2036	-9851	-2465	-481	-5072	883	20.11	31.42	2	4.7
12	2806	-12221	2448	-608	-779	-1928	20.11	31.42	3	6.4
13	-1327	-11210	-2409	-1144	-9374	436	20.11	31.42	2	2.9
14	-1465	-10395	-2474	-757	-6748	699	20.11	31.42	2	3.7
15	-1800	-9732	-2579	-408	-4512	1002	20.11	31.42	2	5.0
16	3370	-12776	2227	-679	-1037	-2168	20.11	31.42	3	5.6
										Massimi/minimi
1							20.11			
1								31.42		
1										2.4

Muro : 129 - Nodi: [175-180-128-127], Pann.X=4, Pann.Y=4Spess.=50 cm, Terreno=--,Criterio=CLS_Muri_ND,
Materiale=C35/45, $\zeta_e=28.506$ [(5+6)-I-3] : **Verificato**

Armatura a maglia doppia

Pannello	Nx	Ny	Nxy	Mx	My	Mxy	Ax	Ay	C	Cs
	kg	kg	kg	kg*m	kg*m	kg*m	cmq	cmq		
1	3047	-10808	2062	-843	-2283	-1579	20.11	31.42	3	6.6
2	3957	-10419	1873	-1177	-3919	-1634	20.11	31.42	3	5.0
3	4818	-10010	1652	-1458	-5196	-1644	20.11	31.42	3	4.1
4	5625	-9581	1414	-1684	-6148	-1616	20.11	31.42	3	3.6
5	3391	-11237	2135	-913	-2438	-1794	20.11	31.42	3	5.9
6	4366	-10841	1882	-1242	-3975	-1836	20.11	31.42	3	4.8
7	5261	-10403	1608	-1515	-5160	-1826	20.11	31.42	3	4.0
8	6080	-9934	1327	-1732	-6031	-1769	20.11	31.42	3	3.6
9	3894	-11757	2128	-982	-2574	-2020	20.11	31.42	3	5.3
10	4890	-11266	1802	-1301	-3992	-2045	20.11	31.42	3	4.6
11	5794	-10751	1472	-1562	-5070	-2010	20.11	31.42	3	3.9
12	6608	-10214	1145	-1765	-5847	-1920	20.11	31.42	3	3.6
13	4481	-12157	1912	-1035	-2681	-2249	20.11	31.42	3	4.8
14	5495	-11559	1565	-1335	-3960	-2253	20.11	31.42	3	4.3
15	6402	-10960	1203	-1576	-4915	-2188	20.11	31.42	3	3.9
16	7200	-10350	842	-1758	-5584	-2062	20.11	31.42	3	3.6
										Massimi/minimi
1							20.11			
1								31.42		
8										3.6

Muro : 130 - Nodi: [280-8-183-180], Pann.X=4, Pann.Y=4Spess.=50 cm, Terreno=--,Criterio=CLS_Muri_ND,
Materiale=C35/45, $\zeta_e=8.073$ [(5+6)-I-3] : **Verificato**

Armatura a maglia doppia

Pannello	Nx	Ny	Nxy	Mx	My	Mxy	Ax	Ay	C	Cs
	kg	kg	kg	kg*m	kg*m	kg*m	cmq	cmq		
1	-1249	-10189	-3071	-1014	-8339	458	20.11	31.42	2	3.2
2	-1485	-9460	-3017	-649	-5905	792	20.11	31.42	2	4.1
3	-1829	-8897	-2917	-322	-3853	1134	20.11	31.42	2	5.5
4	3854	-12731	1873	-714	-1289	-2428	20.11	31.42	3	5.1

Pannello	Nx	Ny	Nxy	Mx	My	Mxy	Ax	Ay	C	Cs
5	-1281	-7620	-2920	-845	-7005	546	20.11	31.42	2	3.6
6	-1702	-7584	-2904	-520	-4890	900	20.11	31.42	2	4.7
7	2868	-12692	2078	-347	83	-2547	20.11	31.42	3	5.6
8	4499	-12271	1685	-687	-1511	-2690	20.11	31.42	3	4.7
9	-1168	-6384	-2061	-685	-5658	651	20.11	31.42	2	4.3
10	-1615	-6438	-2204	-419	-3858	995	20.11	31.42	2	5.6
11	3888	-12438	2003	-316	-378	-2771	20.11	31.42	3	5.1
12	5582	-11737	1357	-565	-1655	-2888	20.11	31.42	3	4.5
13	-946	-6078	-1610	-548	-4363	694	20.11	31.42	2	5.3
14	3020	-12590	1577	-4	450	-2642	20.11	31.42	3	6.1
15	5171	-11383	1021	-171	-771	-2868	20.11	31.42	3	5.1
16	6839	-10295	431	-264	-1663	-2932	20.11	31.42	3	4.8
Massimi/minimi										
1							20.11			
1								31.42		
1										3.2

Muro : 131 - Nodi: [180-183-131-128], Pann.X=4, Pann.Y=4Spess.=50 cm, Terreno=--,Criterio=CLS_Muri_ND,
Materiale=C35/45, $\zeta_e=8.808$ [(5+6)-I-3] : **Verificato**

Armatura a maglia doppia

Pannello	Nx kg	Ny kg	Nxy kg	Mx kg*m	My kg*m	Mxy kg*m	Ax cmq	Ay cmq	C	Cs
1	5096	-12143	1566	-1043	-2744	-2491	20.11	31.42	3	4.4
2	6181	-11532	1195	-1311	-3852	-2465	20.11	31.42	3	4.1
3	7111	-10896	797	-1518	-4657	-2360	20.11	31.42	3	3.9
4	7894	-10237	400	-1664	-5198	-2189	20.11	31.42	3	3.8
5	5886	-11732	1231	-964	-2732	-2722	20.11	31.42	3	4.2
6	7035	-11114	753	-1175	-3632	-2651	20.11	31.42	3	4.0
7	7967	-10443	280	-1321	-4258	-2493	20.11	31.42	3	3.9
8	8710	-9741	-167	-1404	-4652	-2265	20.11	31.42	3	4.0
9	6969	-10997	739	-745	-2597	-2871	20.11	31.42	3	4.2
10	8074	-10238	164	-856	-3262	-2740	20.11	31.42	3	4.2
11	8934	-9474	-358	-900	-3696	-2518	20.11	31.42	3	4.3
12	9582	-8717	-824	-882	-3938	-2226	20.11	31.42	3	4.5
13	8137	-9317	-131	-282	-2288	-2846	20.11	31.42	3	4.8
14	9131	-8430	-644	-229	-2699	-2641	20.11	31.42	3	5.1
15	9871	-7619	-1099	-114	-2938	-2348	20.11	31.42	3	5.2
16	10396	-6872	-1495	54	-3036	-1993	20.11	31.42	3	5.4
Massimi/minimi										
1							20.11			
1								31.42		
4										3.8

Muro : 132 - Nodi: [183-171-110-131], Pann.X=4, Pann.Y=4Spess.=50 cm, Terreno=--,Criterio=CLS_Muri_ND,
Materiale=C35/45, $\zeta_e=8.411$ [(5+6)-II-2] : **Verificato**

Armatura a maglia doppia

Pannello	Nx kg	Ny kg	Nxy kg	Mx kg*m	My kg*m	Mxy kg*m	Ax cmq	Ay cmq	C	Cs
1	8935	-6345	-985	466	-1843	-2594	20.11	31.42	3	4.8
2	9851	-5566	-1328	728	-2032	-2323	20.11	31.42	3	4.8
3	10508	-4895	-1634	1037	-2110	-1977	20.11	31.42	3	4.8
4	10948	-4316	-1905	1379	-2099	-1582	20.11	31.42	3	4.9
5	9326	-2449	-1433	1545	-1292	-2095	20.11	31.42	3	4.0
6	10203	-1971	-1597	2052	-1314	-1784	20.11	31.42	3	3.8
7	10830	-1601	-1749	2574	-1279	-1418	20.11	31.42	3	3.6
8	11241	-1320	-1895	3093	-1199	-1023	20.11	31.42	3	3.5
9	9440	2666	-1289	3266	-611	-1235	20.11	31.42	3	3.3
10	10310	2658	-1289	4074	-504	-931	20.11	31.42	3	2.9
11	10954	2572	-1309	4839	-388	-601	20.11	31.42	3	2.6
12	11378	2425	-1351	5546	-263	-259	20.11	31.42	3	2.5
13	9335	8763	-268	6029	56	-233	20.11	31.42	3	2.4
14	10248	8140	-197	7160	247	-71	20.11	31.42	3	2.0
15	10941	7515	-151	8167	414	99	20.11	31.42	3	1.7
16	11400	6867	-126	9042	566	271	20.11	31.42	3	1.5
Massimi/minimi										
1							20.11			
1								31.42		
16										1.5

Muro : 133 - Nodi: [8-4-171-183], Pann.X=4, Pann.Y=4Spess.=50 cm, Terreno=--,Criterio=CLS_Muri_ND,
Materiale=C35/45, $\zeta_e=6.902$ [(5+6)-I-3] : **Verificato**

Armatura a maglia doppia

Pannello	Nx kg	Ny kg	Nxy kg	Mx kg*m	My kg*m	Mxy kg*m	Ax cmq	Ay cmq	C	Cs
1	606	-10521	448	151	883	-2350	20.11	31.42		3
2	3707	-9358	169	108	-221	-2601	20.11	31.42		3
3	6009	-8265	-205	145	-991	-2765	20.11	31.42		3
4	7690	-7247	-605	267	-1511	-2755	20.11	31.42		3
5	1158	-5207	-27	135	-39	-2129	20.11	31.42		3
6	4275	-4542	-582	361	-658	-2330	20.11	31.42		3
7	6504	-3760	-957	676	-1006	-2413	20.11	31.42		3
8	8136	-3048	-1233	1077	-1198	-2320	20.11	31.42		3
9	2082	1765	-261	202	-911	-1549	20.11	31.42		3
10	4918	2011	-778	867	-920	-1678	20.11	31.42		3
11	6904	2343	-1159	1622	-818	-1653	20.11	31.42		3
12	8327	2568	-1277	2437	-713	-1487	20.11	31.42		3
13	3672	10218	758	517	-1730	-485	20.11	31.42		3
14	5712	10499	-228	2036	-954	-545	20.11	31.42		3
15	7028	10031	-401	3451	-483	-491	20.11	31.42		3
16	8241	9401	-353	4787	-174	-378	20.11	31.42		3
Massimi/minimi										
1							20.11			
1								31.42		
16										2.9

Muro : 134 - Nodi: [176-119-126-179], Pann.X=4, Pann.Y=4Spess.=50 cm, Terreno=--,Criterio=CLS_Muri_ND,
Materiale=C35/45, $\zeta_e=7.420$ [(5+6)-I-1] : **Verificato**

Armatura a maglia doppia

Pannello	Nx kg	Ny kg	Nxy kg	Mx kg*m	My kg*m	Mxy kg*m	Ax cmq	Ay cmq	C	Cs
1	8394	10181	1485	-179	5456	468	31.42	20.11		3
2	-2086	10105	2420	-1358	1727	2109	31.42	20.11		3
3	-8805	9149	1538	-2309	-13	2886	31.42	20.11		3
4	-12789	7976	121	-2853	-840	3009	31.42	20.11		3
5	7739	10918	1390	9	6536	243	31.42	20.11		3
6	-1597	10902	2608	-1340	2280	1769	31.42	20.11		3
7	-7938	10186	1969	-2555	140	2626	31.42	20.11		3
8	-11733	9106	594	-3402	-924	2850	31.42	20.11		3
9	7076	11477	1318	179	7509	9	31.42	20.11		3
10	-1243	11461	2735	-1272	2844	1385	31.42	20.11		3
11	-7116	10906	2324	-2665	353	2290	31.42	20.11		3
12	-10706	9945	1050	-3740	-941	2602	31.42	20.11		3
13	6402	11842	1267	338	8367	-225	31.42	20.11		3
14	-991	11817	2830	-1164	3401	980	31.42	20.11		3
15	-6353	11378	2616	-2666	613	1904	31.42	20.11		3
16	-9717	10548	1469	-3902	-898	2289	31.42	20.11		3
Massimi/minimi										
1							31.42			
1								20.11		
13										1.7

Muro : 135 - Nodi: [181-124-125-182], Pann.X=4, Pann.Y=4Spess.=50 cm, Terreno=--,Criterio=CLS_Muri_ND,
Materiale=C35/45, $\zeta_e=12.665$ [(5+6)-I-3] : **Verificato**

Armatura a maglia doppia

Pannello	Nx kg	Ny kg	Nxy kg	Mx kg*m	My kg*m	Mxy kg*m	Ax cmq	Ay cmq	C	Cs
1	-6901	86	-922	-3422	-483	-168	31.42	20.11	(5+6)-I-3	7.5
2	-6777	45	-969	-3456	-478	-181	31.42	20.11	(5+6)-I-3	7.4
3	-6684	20	-996	-3489	-470	-190	31.42	20.11	(5+6)-I-3	7.4
4	-6622	10	-1037	-3518	-458	-193	31.42	20.11	(5+6)-I-3	7.3
5	-6554	312	-903	-3768	-537	-190	31.42	20.11	(5+6)-I-3	6.8
6	-6447	274	-948	-3800	-529	-202	31.42	20.11	(5+6)-I-3	6.8
7	-6358	243	-984	-3831	-517	-210	31.42	20.11	(5+6)-I-3	6.7
8	-6287	217	-1020	-3861	-501	-213	31.42	20.11	(5+6)-I-3	6.6
9	-7415	2473	-2990	-5167	-1075	311	31.42	20.11	3	5.0
10	-7210	2365	-2920	-5126	-1036	193	31.42	20.11	3	5.1

Pannello	Nx	Ny	Nxy	Mx	My	Mxy	Ax	Ay	C	Cs
11	-7043	2273	-2838	-5101	-985	83	31.42	20.11	3	5.2
12	-6912	2196	-2742	-5091	-924	-12	31.42	20.11	3	5.3
13	-7046	3043	-2907	-6392	-1324	334	31.42	20.11	3	4.0
14	-6848	2914	-2848	-6362	-1282	206	31.42	20.11	3	4.1
15	-6691	2805	-2778	-6348	-1223	85	31.42	20.11	3	4.2
16	-6573	2714	-2691	-6351	-1149	-20	31.42	20.11	3	4.2
Massimi/minimi										
1							31.42			
1								20.11		
13										4.0

Muro : 136 - Nodi: [184-134-124-181], Pann.X=4, Pann.Y=4Spess.=50 cm, Terreno=--,Criterio=CLS_Muri_ND,
Materiale=C35/45, $\zeta_e=14.956$ [(5+6)-I-3] : **Verificato**

Armatura a maglia doppia

Pannello	Nx	Ny	Nxy	Mx	My	Mxy	Ax	Ay	C	Cs
	kg	kg	kg	kg*m	kg*m	kg*m	cmq	cmq		
1	-7743	492	-996	-3188	-525	-36	31.42	20.11	(5+6)-I-3	8.5
2	-7214	240	-1055	-3261	-500	-73	31.42	20.11	(5+6)-I-3	8.1
3	-6853	94	-922	-3322	-485	-112	31.42	20.11	(5+6)-I-3	7.9
4	-6754	92	-863	-3378	-484	-147	31.42	20.11	(5+6)-I-3	7.7
5	-9902	2876	-3503	-4088	-1000	947	31.42	20.11	3	5.5
6	-9134	2492	-3490	-3949	-923	781	31.42	20.11	3	5.8
7	-8486	2191	-3320	-3806	-866	604	31.42	20.11	3	6.2
8	-8062	2015	-3151	-3675	-825	426	31.42	20.11	3	6.7
9	-9451	3600	-3329	-5542	-1266	984	31.42	20.11	3	4.2
10	-8761	3196	-3324	-5451	-1196	826	31.42	20.11	3	4.4
11	-8150	2859	-3207	-5344	-1148	651	31.42	20.11	3	4.6
12	-7705	2622	-3075	-5240	-1110	467	31.42	20.11	3	4.8
13	-9012	4317	-3143	-6656	-1483	1000	31.42	20.11	3	3.6
14	-8377	3890	-3148	-6609	-1422	856	31.42	20.11	3	3.7
15	-7794	3517	-3071	-6532	-1385	688	31.42	20.11	3	3.8
16	-7339	3230	-2975	-6450	-1357	500	31.42	20.11	3	3.9
Massimi/minimi										
1							31.42			
1								20.11		
13										3.6

Muro : 137 - Nodi: [223-182-177-222], Pann.X=4, Pann.Y=4Spess.=50 cm, Terreno=--,Criterio=CLS_Muri_ND,
Materiale=C35/45, $\zeta_e=8.984$ [(5+6)-I-1] : **Verificato**

Armatura a maglia doppia

Pannello	Nx	Ny	Nxy	Mx	My	Mxy	Ax	Ay	C	Cs
	kg	kg	kg	kg*m	kg*m	kg*m	cmq	cmq		
1	-13010	-1605	-256	-14074	-1760	-55	31.42	20.11	2	2.0
2	-10515	-1772	-321	-13863	-1730	-29	31.42	20.11	2	2.0
3	-10761	-1759	733	-13898	-1740	33	31.42	20.11	2	2.0
4	-14036	-1509	582	-14129	-1780	8	31.42	20.11	2	2.0
5	-12133	-1763	-172	-10890	-1361	-14	31.42	20.11	2	2.6
6	-10643	-2172	-220	-10797	-1340	-6	31.42	20.11	2	2.6
7	-10847	-2144	633	-10804	-1358	4	31.42	20.11	2	2.6
8	-12816	-1598	452	-10892	-1403	-24	31.42	20.11	2	2.6
9	-11423	-2049	-33	-8063	-1003	7	31.42	20.11	2	3.5
10	-10503	-2404	-84	-8022	-993	10	31.42	20.11	2	3.5
11	-10701	-2336	446	-8012	-1018	-6	31.42	20.11	2	3.5
12	-11974	-1833	258	-8028	-1067	-31	31.42	20.11	2	3.5
13	-10802	-2340	77	-5566	-682	17	31.42	20.11	2	5.0
14	-10254	-2576	6	-5543	-688	21	31.42	20.11	2	5.0
15	-10431	-2491	285	-5522	-721	-1	31.42	20.11	2	5.0
16	-11259	-2100	91	-5506	-764	-24	31.42	20.11	2	5.1
Massimi/minimi										
1							31.42			
1								20.11		
3										2.0

Muro : 138 - Nodi: [221-176-179-217], Pann.X=4, Pann.Y=4Spess.=50 cm, Terreno=--,Criterio=CLS_Muri_ND,
Materiale=C35/45, $\zeta_e=10.899$ [(5+6)-I-1] : **Verificato**

Armatura a maglia doppia

Pannello	Nx	Ny	Nxy	Mx	My	Mxy	Ax	Ay	C	Cs
	kg	kg	kg	kg*m	kg*m	kg*m	cmq	cmq		
1	9686	3563	595	-1778	398	849	31.42	20.11	3	9.0
2	-4776	1350	64	-357	122	2299	31.42	20.11	3	6.8
3	-5083	-912	1931	-3987	-517	-653	31.42	20.11	2	5.8
4	-8233	-1067	2667	-5857	-719	-660	31.42	20.11	2	4.2
5	9839	6706	1456	-1111	1727	915	31.42	20.11	3	5.8
6	-4307	4999	839	-907	394	2497	31.42	20.11	3	5.4
7	-11401	3242	-313	-285	-16	2899	31.42	20.11	3	5.5
8	-7649	-1324	2592	-3965	-458	-1035	31.42	20.11	2	5.5
9	9564	8212	1638	-687	3028	833	31.42	20.11	3	3.9
10	-3526	7411	1603	-1180	753	2524	31.42	20.11	3	4.6
11	-10560	5754	393	-1241	-92	3046	31.42	20.11	3	4.9
12	-14946	4606	-714	-950	-456	2978	31.42	20.11	3	4.6
13	9025	9286	1588	-400	4280	671	31.42	20.11	3	3.0
14	-2735	8998	2114	-1313	1208	2376	31.42	20.11	3	4.1
15	-9691	7706	1014	-1889	-92	3036	31.42	20.11	3	4.8
16	-13861	6494	-333	-2052	-685	3058	31.42	20.11	3	4.1
Massimi/minimi										
1							31.42			
1								20.11		
13										3.0

Muro : 139 - Nodi: [218-181-182-223], Pann.X=4, Pann.Y=4Spess.=50 cm, Terreno=--,Criterio=CLS_Muri_ND,
Materiale=C35/45,ζ_e=9.706 [(5+6)-I-1] : **Verificato**

Armatura a maglia doppia

Pannello	Nx	Ny	Nxy	Mx	My	Mxy	Ax	Ay	C	Cs
	kg	kg	kg	kg*m	kg*m	kg*m	cmq	cmq		
1	-13504	-1584	1002	-14047	-1752	-15	31.42	20.11	2	2.0
2	-12092	-1804	425	-14034	-1754	-16	31.42	20.11	2	2.0
3	-12023	-1803	1198	-14073	-1760	14	31.42	20.11	2	2.0
4	-13419	-1585	704	-14169	-1771	10	31.42	20.11	2	2.0
5	-12530	-1694	1039	-10809	-1340	-38	31.42	20.11	2	2.6
6	-11869	-2011	703	-10861	-1351	-27	31.42	20.11	2	2.6
7	-11820	-2029	938	-10902	-1360	-10	31.42	20.11	2	2.6
8	-12455	-1713	644	-10936	-1368	-5	31.42	20.11	2	2.6
9	-11753	-1970	1139	-7956	-968	-84	31.42	20.11	2	3.5
10	-11460	-2153	852	-8022	-981	-53	31.42	20.11	2	3.5
11	-11429	-2163	802	-8063	-993	-29	31.42	20.11	2	3.5
12	-11691	-1984	531	-8082	-1006	-8	31.42	20.11	2	3.5
13	-11074	-2262	1187	-5456	-624	-129	31.42	20.11	2	5.0
14	-10960	-2339	916	-5518	-642	-83	31.42	20.11	2	5.0
15	-10938	-2343	742	-5556	-659	-44	31.42	20.11	2	5.0
16	-11020	-2267	478	-5572	-674	-10	31.42	20.11	2	5.0
Massimi/minimi										
1							31.42			
1								20.11		
3										2.0

Muro : 140 - Nodi: [179-126-134-184], Pann.X=4, Pann.Y=4Spess.=50 cm, Terreno=--,Criterio=CLS_Muri_ND,
Materiale=C35/45,ζ_e=29.371 [(5+6)-I-3] : **Verificato**

Armatura a maglia doppia

Pannello	Nx	Ny	Nxy	Mx	My	Mxy	Ax	Ay	C	Cs
	kg	kg	kg	kg*m	kg*m	kg*m	cmq	cmq		
1	-14584	6353	-1997	-3084	-1186	2719	31.42	20.11	3	3.9
2	-13301	4273	-3453	-3033	-1157	2167	31.42	20.11	3	4.8
3	-11809	2983	-3538	-2802	-971	1610	31.42	20.11	3	6.2
4	-11107	2479	-3467	-2515	-800	1164	31.42	20.11	3	7.6
5	-13534	7467	-1423	-3990	-1429	2651	31.42	20.11	3	3.7
6	-12711	5395	-2962	-4303	-1486	2166	31.42	20.11	3	4.3
7	-11415	3988	-3298	-4343	-1313	1641	31.42	20.11	3	4.7
8	-10636	3306	-3351	-4236	-1124	1215	31.42	20.11	3	5.1
9	-12524	8378	-866	-4619	-1611	2500	31.42	20.11	3	3.6
10	-12067	6381	-2469	-5243	-1759	2096	31.42	20.11	3	3.8
11	-10972	4926	-3021	-5527	-1601	1621	31.42	20.11	3	3.9
12	-10174	4111	-3195	-5593	-1396	1231	31.42	20.11	3	4.1
13	-11540	9109	-343	-5009	-1732	2280	31.42	20.11	3	3.7
14	-11378	7239	-1990	-5892	-1975	1965	31.42	20.11	3	3.6
15	-10483	5791	-2724	-6392	-1835	1554	31.42	20.11	3	3.5
16	-9711	4890	-3007	-6618	-1616	1214	31.42	20.11	3	3.5

**POTENZIAMENTO DELL'IMPIANTO DI DEPURAZIONE E
DEL RECAPITO FINALE DI SQUINZANO (LE)
PROGETTO DEFINITIVO
Tabulati di calcolo strutturale-Equalizzazione**

R.37.7

Maggio 2021

Pagina 189 di
338

Pannello	Nx	Ny	Nxy	Mx	My	Mxy	Ax	Ay	C	Cs
										Massimi/minimi
1							31.42			
1								20.11		
15										3.5

Muro : 141 - Nodi: [182-125-137-177], Pann.X=4, Pann.Y=4Spess.=50 cm, Terreno=--,Criterio=CLS_Muri_ND,
Materiale=C35/45, $\zeta_e=12.507$ [(5+6)-I-3] : **Verificato**

Armatura a maglia doppia

Pannello	Nx	Ny	Nxy	Mx	My	Mxy	Ax	Ay	C	Cs
	kg	kg	kg	kg*m	kg*m	kg*m	cmq	cmq		
1	-6483	-44	-1078	-3552	-439	-188	31.42	20.11	(5+6)-I-3	7.2
2	-6294	-127	-986	-3585	-415	-173	31.42	20.11	(5+6)-I-3	7.2
3	-6349	-92	-799	-3606	-405	-144	31.42	20.11	(5+6)-I-3	7.2
4	-6579	31	-757	-3608	-406	-105	31.42	20.11	(5+6)-I-3	7.3
5	-6175	165	-1043	-3895	-477	-206	31.42	20.11	(5+6)-I-3	6.6
6	-6057	108	-972	-3929	-448	-186	31.42	20.11	(5+6)-I-3	6.5
7	-6101	135	-838	-3949	-431	-149	31.42	20.11	(5+6)-I-3	6.6
8	-6248	214	-789	-3950	-424	-101	31.42	20.11	(5+6)-I-3	6.7
9	-6780	2110	-2585	-5098	-835	-101	31.42	20.11	3	5.2
10	-6688	2039	-2322	-5120	-729	-162	31.42	20.11	3	5.1
11	-6702	2023	-2001	-5141	-645	-170	31.42	20.11	3	5.1
12	-6758	2027	-1693	-5144	-601	-141	31.42	20.11	3	5.1
13	-6467	2620	-2544	-6375	-1041	-117	31.42	20.11	3	4.2
14	-6413	2545	-2301	-6416	-907	-182	31.42	20.11	3	4.1
15	-6439	2514	-1998	-6453	-798	-182	31.42	20.11	3	4.1
16	-6485	2495	-1683	-6466	-738	-139	31.42	20.11	3	4.1
										Massimi/minimi
1							31.42			
1								20.11		
15										4.1

Muro : 142 - Nodi: [217-179-184-216], Pann.X=4, Pann.Y=4Spess.=50 cm, Terreno=--,Criterio=CLS_Muri_ND,
Materiale=C35/45, $\zeta_e=9.270$ [(5+6)-I-1] : **Verificato**

Armatura a maglia doppia

Pannello	Nx	Ny	Nxy	Mx	My	Mxy	Ax	Ay	C	Cs
	kg	kg	kg	kg*m	kg*m	kg*m	cmq	cmq		
1	-9600	-1286	1876	-7754	-940	-617	31.42	20.11	2	3.3
2	-8889	-1416	2027	-9513	-1149	-413	31.42	20.11	2	2.8
3	-9730	-1517	2368	-10993	-1342	-192	31.42	20.11	2	2.5
4	-13487	-1578	2890	-12352	-1534	-54	31.42	20.11	2	2.3
5	-9162	-1458	1978	-5449	-588	-907	31.42	20.11	2	4.3
6	-8985	-1789	2007	-6926	-745	-654	31.42	20.11	2	3.6
7	-9607	-1945	2542	-8185	-925	-401	31.42	20.11	2	3.2
8	-12320	-1637	2745	-9280	-1125	-238	31.42	20.11	2	3.0
9	-16955	3410	-3094	-273	-507	2542	31.42	20.11	3	5.2
10	-8734	-2138	2054	-4691	-377	-918	31.42	20.11	2	4.9
11	-9425	-2245	2560	-5717	-545	-632	31.42	20.11	2	4.3
12	-11552	-1829	2589	-6592	-749	-424	31.42	20.11	2	4.0
13	-15704	5011	-2563	-1860	-878	2687	31.42	20.11	3	4.4
14	-13833	3017	-3919	-1390	-771	2089	31.42	20.11	3	5.6
15	-9181	-2509	2523	-3579	-199	-825	31.42	20.11	2	6.3
16	-10880	-2096	2462	-4263	-401	-580	31.42	20.11	2	5.8
										Massimi/minimi
1							31.42			
1								20.11		
4										2.3

Muro : 143 - Nodi: [216-184-181-218], Pann.X=4, Pann.Y=4Spess.=50 cm, Terreno=--,Criterio=CLS_Muri_ND,
Materiale=C35/45, $\zeta_e=10.645$ [(5+6)-I-1] : **Verificato**

Armatura a maglia doppia

Pannello	Nx	Ny	Nxy	Mx	My	Mxy	Ax	Ay	C	Cs
	kg	kg	kg	kg*m	kg*m	kg*m	cmq	cmq		
1	-14046	-1477	1199	-13097	-1633	-129	31.42	20.11	2	2.2
2	-11000	-1747	867	-13208	-1640	-111	31.42	20.11	2	2.1
3	-10621	-1765	1907	-13427	-1665	-16	31.42	20.11	2	2.1
4	-13044	-1599	1933	-13825	-1722	37	31.42	20.11	2	2.0

Pannello	Nx	Ny	Nxy	Mx	My	Mxy	Ax	Ay	C	Cs
5	-12848	-1536	1285	-9913	-1226	-197	31.42	20.11	2	2.8
6	-11071	-2069	1004	-10134	-1232	-162	31.42	20.11	2	2.7
7	-10746	-2162	1822	-10363	-1254	-98	31.42	20.11	2	2.7
8	-12172	-1771	1838	-10637	-1308	-50	31.42	20.11	2	2.6
9	-11989	-1765	1465	-7127	-854	-307	31.42	20.11	2	3.8
10	-10866	-2265	1209	-7383	-860	-245	31.42	20.11	2	3.7
11	-10610	-2385	1708	-7608	-880	-185	31.42	20.11	2	3.6
12	-11481	-2051	1693	-7819	-933	-128	31.42	20.11	2	3.5
13	-11257	-2053	1619	-4706	-508	-420	31.42	20.11	2	5.5
14	-10559	-2439	1382	-4955	-522	-335	31.42	20.11	2	5.3
15	-10362	-2559	1635	-5165	-543	-264	31.42	20.11	2	5.1
16	-10871	-2341	1582	-5341	-589	-193	31.42	20.11	2	5.0
Massimi/minimi										
1							31.42			
1								20.11		
4										2.0

Muro : 144 - Nodi: [69-191-192-279], Pann.X=4, Pann.Y=4Spess.=50 cm, Terreno=--,Criterio=CLS_Muri_ND,
Materiale=C35/45,ζ_e=10.309 [(5+6)-I-1] : **Verificato**

Armatura a maglia doppia

Pannello	Nx kg	Ny kg	Nxy kg	Mx kg*m	My kg*m	Mxy kg*m	Ax cmq	Ay cmq	C	Cs
1	-12086	-1463	-2784	-11466	-1412	226	31.42	20.11	2	2.4
2	-10140	-1599	-2824	-10700	-1312	291	31.42	20.11	2	2.5
3	-9911	-1551	-1937	-9962	-1217	395	31.42	20.11	2	2.7
4	-10919	-1320	-2243	-9233	-1125	469	31.42	20.11	2	2.9
5	-11314	-1657	-2714	-8518	-997	447	31.42	20.11	2	3.1
6	-10103	-1939	-2700	-7920	-908	530	31.42	20.11	2	3.3
7	-9813	-1842	-2169	-7292	-821	631	31.42	20.11	2	3.5
8	-10133	-1490	-2309	-6631	-739	728	31.42	20.11	2	3.8
9	-10709	-1948	-2600	-5957	-620	681	31.42	20.11	2	4.2
10	-9903	-2148	-2606	-5480	-537	789	31.42	20.11	2	4.4
11	-9554	-2091	-2340	-4966	-459	904	31.42	20.11	2	4.7
12	-9496	-1851	-2416	-4415	-391	1026	31.42	20.11	2	5.1
13	-10179	-2261	-2528	-3750	-270	879	31.42	20.11	2	6.0
14	-9603	-2381	-2550	-3374	-197	1005	31.42	20.11	2	6.3
15	-9223	-2364	-2431	-2971	-129	1136	31.42	20.11	2	6.7
16	-8182	2302	3943	-328	-461	-2089	31.42	20.11	3	6.4
Massimi/minimi										
1							31.42			
1								20.11		
1										2.4

Muro : 145 - Nodi: [191-132-140-192], Pann.X=4, Pann.Y=4Spess.=50 cm, Terreno=--,Criterio=CLS_Muri_ND,
Materiale=C35/45,ζ_e=28.523 [(5+6)-I-1] : **Verificato**

Armatura a maglia doppia

Pannello	Nx kg	Ny kg	Nxy kg	Mx kg*m	My kg*m	Mxy kg*m	Ax cmq	Ay cmq	C	Cs
1	-7636	1989	2419	-1758	-668	-1583	31.42	20.11	3	7.2
2	-7686	2258	2898	-1875	-717	-1769	31.42	20.11	3	6.5
3	-7835	2646	3351	-1988	-769	-1966	31.42	20.11	3	5.9
4	-7942	3097	3702	-2088	-814	-2171	31.42	20.11	3	5.4
5	-7477	2608	2273	-3464	-995	-1619	31.42	20.11	3	5.4
6	-7543	2928	2698	-3493	-1040	-1799	31.42	20.11	3	5.1
7	-7645	3344	3097	-3497	-1084	-1987	31.42	20.11	3	5.0
8	-7702	3833	3421	-3467	-1114	-2178	31.42	20.11	3	4.8
9	-7298	3190	2100	-4804	-1271	-1618	31.42	20.11	3	4.2
10	-7365	3545	2479	-4752	-1310	-1782	31.42	20.11	3	4.2
11	-7433	3982	2828	-4656	-1345	-1951	31.42	20.11	3	4.1
12	-7449	4496	3114	-4509	-1358	-2119	31.42	20.11	3	4.1
13	-7098	3730	1909	-5814	-1494	-1581	31.42	20.11	3	3.7
14	-7159	4106	2248	-5688	-1526	-1722	31.42	20.11	3	3.7
15	-7196	4555	2551	-5503	-1550	-1864	31.42	20.11	3	3.7
16	-7173	5080	2793	-5252	-1546	-2000	31.42	20.11	3	3.7
Massimi/minimi										
1							31.42			
1								20.11		
14										3.7

**POTENZIAMENTO DELL'IMPIANTO DI DEPURAZIONE E
DEL RECAPITO FINALE DI SQUINZANO (LE)
PROGETTO DEFINITIVO
Tabulati di calcolo strutturale-Equalizzazione**

R.37.7

Maggio 2021

Pagina 191 di
338

Muro : 146 - Nodi: [220-189-191-69], Pann.X=4, Pann.Y=4Spess.=50 cm, Terreno=--,Criterio=CLS_Muri_ND,
Materiale=C35/45, $\zeta_e=10.091$ [(5+6)-I-1] : **Verificato**

Armatura a maglia doppia

Pannello	Nx kg	Ny kg	Nxy kg	Mx kg*m	My kg*m	Mxy kg*m	Ax cmq	Ay cmq	C	Cs
1	-13881	-1505	-2496	-13381	-1664	97	31.42	20.11	2	2.1
2	-11394	-1749	-2713	-12886	-1599	107	31.42	20.11	2	2.2
3	-11157	-1739	-1725	-12429	-1537	185	31.42	20.11	2	2.2
4	-12586	-1507	-2080	-12042	-1487	233	31.42	20.11	2	2.3
5	-12772	-1619	-2347	-10155	-1244	222	31.42	20.11	2	2.7
6	-11356	-2061	-2538	-9801	-1184	258	31.42	20.11	2	2.8
7	-11113	-2007	-1972	-9418	-1123	323	31.42	20.11	2	2.9
8	-11745	-1633	-2138	-9016	-1069	388	31.42	20.11	2	3.0
9	-11968	-1872	-2169	-7335	-858	343	31.42	20.11	2	3.7
10	-11123	-2190	-2375	-7060	-799	413	31.42	20.11	2	3.7
11	-10860	-2189	-2146	-6740	-740	493	31.42	20.11	2	3.9
12	-11070	-1938	-2250	-6377	-688	582	31.42	20.11	2	4.0
13	-11268	-2148	-2039	-4887	-492	447	31.42	20.11	2	5.2
14	-10758	-2353	-2269	-4663	-442	544	31.42	20.11	2	5.4
15	-10513	-2377	-2230	-4398	-387	647	31.42	20.11	2	5.5
16	-10498	-2251	-2321	-4092	-334	758	31.42	20.11	2	5.7
Massimi/minimi										
1							31.42			
1								20.11		
1										2.1

Muro : 147 - Nodi: [189-138-132-191], Pann.X=4, Pann.Y=4Spess.=50 cm, Terreno=--,Criterio=CLS_Muri_ND,
Materiale=C35/45, $\zeta_e=11.585$ [(5+6)-I-1] : **Verificato**

Armatura a maglia doppia

Pannello	Nx kg	Ny kg	Nxy kg	Mx kg*m	My kg*m	Mxy kg*m	Ax cmq	Ay cmq	C	Cs
1	-10624	-2440	-1958	-2779	-151	537	31.42	20.11	2	8.4
2	-10316	-2564	-2200	-2594	-111	652	31.42	20.11	2	8.6
3	-10106	-2599	-2262	-2378	-62	776	31.42	20.11	2	8.8
4	-7616	1782	2007	-1642	-627	-1408	31.42	20.11	3	8.0
5	-7253	1818	861	-3245	-890	-965	31.42	20.11	3	6.5
6	-7267	1937	1154	-3303	-907	-1113	31.42	20.11	3	6.2
7	-7337	2120	1508	-3362	-929	-1280	31.42	20.11	3	5.9
8	-7423	2350	1878	-3418	-958	-1448	31.42	20.11	3	5.6
9	-6981	2282	794	-4770	-1189	-984	31.42	20.11	3	4.7
10	-7043	2437	1060	-4798	-1201	-1133	31.42	20.11	3	4.6
11	-7131	2643	1382	-4818	-1216	-1297	31.42	20.11	3	4.4
12	-7225	2896	1730	-4823	-1239	-1457	31.42	20.11	3	4.3
13	-6700	2725	707	-5946	-1446	-990	31.42	20.11	3	3.9
14	-6800	2909	950	-5947	-1449	-1138	31.42	20.11	3	3.8
15	-6910	3138	1243	-5932	-1455	-1294	31.42	20.11	3	3.8
16	-7015	3412	1568	-5892	-1469	-1440	31.42	20.11	3	3.7
Massimi/minimi										
1							31.42			
1								20.11		
16										3.7

Muro : 148 - Nodi: [279-192-188-287], Pann.X=4, Pann.Y=4Spess.=50 cm, Terreno=--,Criterio=CLS_Muri_ND,
Materiale=C35/45, $\zeta_e=8.193$ [(5+6)-I-1] : **Verificato**

Armatura a maglia doppia

Pannello	Nx kg	Ny kg	Nxy kg	Mx kg*m	My kg*m	Mxy kg*m	Ax cmq	Ay cmq	C	Cs
1	-10010	-1248	-2869	-8216	-998	496	31.42	20.11	2	3.2
2	-8100	-371	5530	5761	666	-1807	31.42	20.11	3	3.6
3	-8791	-262	6277	4458	513	-1933	31.42	20.11	3	4.3
4	-6226	-941	-1414	-4339	-551	714	31.42	20.11	2	5.3
5	-9304	-1502	-2817	-5803	-635	823	31.42	20.11	2	4.2
6	-7549	-1709	-2701	-4812	-513	930	31.42	20.11	2	4.7
7	-6490	-1619	-2010	-3808	-421	1019	31.42	20.11	2	5.6
8	-8500	2152	5534	1189	100	-2368	31.42	20.11	3	6.6
9	-8754	-1868	-2724	-3770	-311	1158	31.42	20.11	2	5.6
10	-7393	-2074	-2633	-3039	-232	1283	31.42	20.11	2	6.3

Pannello	Nx	Ny	Nxy	Mx	My	Mxy	Ax	Ay	C	Cs
11	-8161	2879	5512	327	-177	-2563	31.42	20.11	3	5.9
12	-7710	3770	5185	-177	-83	-2646	31.42	20.11	3	5.8
13	-8069	2693	4305	-592	-503	-2315	31.42	20.11	3	5.7
14	-7892	3269	4779	-860	-506	-2545	31.42	20.11	3	5.2
15	-7762	4151	5029	-1081	-430	-2719	31.42	20.11	3	5.0
16	-7012	5102	4772	-1196	-194	-2759	31.42	20.11	3	5.3
Massimi/minimi										
1							31.42			
1								20.11		
1										3.2

Muro : 149 - Nodi: [192-140-135-188], Pann.X=4, Pann.Y=4Spess.=50 cm, Terreno=--,Criterio=CLS_Muri_ND,
Materiale=C35/45, $\zeta_e=8.857$ [(5+6)-I-1] : **Verificato**

Armatura a maglia doppia

Pannello	Nx	Ny	Nxy	Mx	My	Mxy	Ax	Ay	C	Cs
	kg	kg	kg	kg*m	kg*m	kg*m	cmq	cmq		
1	-7864	3611	4037	-2168	-831	-2390	31.42	20.11	3	4.9
2	-7673	4311	4386	-2200	-785	-2600	31.42	20.11	3	4.7
3	-7347	5235	4533	-2139	-619	-2739	31.42	20.11	3	4.6
4	-6392	6207	4327	-1930	-234	-2720	31.42	20.11	3	5.2
5	-7622	4426	3711	-3380	-1103	-2376	31.42	20.11	3	4.5
6	-7391	5199	3961	-3204	-1003	-2553	31.42	20.11	3	4.4
7	-6921	6138	4036	-2903	-743	-2641	31.42	20.11	3	4.6
8	-5831	7108	3870	-2432	-204	-2557	31.42	20.11	3	5.4
9	-7344	5133	3352	-4274	-1316	-2285	31.42	20.11	3	4.1
10	-7062	5939	3523	-3919	-1158	-2417	31.42	20.11	3	4.3
11	-6487	6870	3547	-3421	-802	-2449	31.42	20.11	3	4.6
12	-5315	7820	3412	-2745	-113	-2300	31.42	20.11	3	5.3
13	-7033	5732	2978	-4891	-1471	-2127	31.42	20.11	3	3.9
14	-6699	6539	3085	-4387	-1254	-2209	31.42	20.11	3	4.1
15	-6048	7441	3073	-3732	-802	-2183	31.42	20.11	3	4.6
16	-4832	8355	2964	-2903	30	-1976	31.42	20.11	3	5.5
Massimi/minimi										
1							31.42			
1								20.11		
13										3.9

Muro : 150 - Nodi: [287-188-167-10], Pann.X=4, Pann.Y=4Spess.=50 cm, Terreno=--,Criterio=CLS_Muri_ND,
Materiale=C35/45, $\zeta_e=7.331$ [(5+6)-I-1] : **Verificato**

Armatura a maglia doppia

Pannello	Nx	Ny	Nxy	Mx	My	Mxy	Ax	Ay	C	Cs
	kg	kg	kg	kg*m	kg*m	kg*m	cmq	cmq		
1	-5430	-738	-1096	-3257	-458	629	31.42	20.11	2	6.9
2	-4486	593	4623	581	193	-1841	31.42	20.11	3	8.1
3	-867	1025	4189	-381	226	-1369	31.42	20.11	3	10
4	2575	1738	4063	-1308	493	-572	31.42	20.11	3	13
5	-6644	2523	4786	393	164	-2330	31.42	20.11	3	6.5
6	-3878	2790	4346	-171	360	-2098	31.42	20.11	3	6.6
7	-272	3038	4034	-559	783	-1539	31.42	20.11	3	6.9
8	4014	3486	3442	-749	1813	-724	31.42	20.11	3	6.3
9	-5880	4304	4586	-517	167	-2555	31.42	20.11	3	5.8
10	-3213	4594	4165	-650	614	-2246	31.42	20.11	3	5.5
11	342	4828	3836	-588	1431	-1581	31.42	20.11	3	5.2
12	4833	4835	3482	-404	3038	-738	31.42	20.11	3	4.2
13	-5176	5738	4315	-1156	252	-2603	31.42	20.11	3	5.4
14	-2599	6099	3973	-954	954	-2215	31.42	20.11	3	4.9
15	888	6296	3755	-581	2146	-1472	31.42	20.11	3	4.2
16	5356	6220	3652	-172	4231	-670	31.42	20.11	3	3.1
Massimi/minimi										
1							31.42			
1								20.11		
16										3.1

Muro : 151 - Nodi: [188-135-118-167], Pann.X=4, Pann.Y=4Spess.=50 cm, Terreno=--,Criterio=CLS_Muri_ND,
Materiale=C35/45, $\zeta_e=8.699$ [(5+6)-II-2] : **Verificato**

Armatura a maglia doppia

**POTENZIAMENTO DELL'IMPIANTO DI DEPURAZIONE E
DEL RECAPITO FINALE DI SQUINZANO (LE)
PROGETTO DEFINITIVO
Tabulati di calcolo strutturale-Equalizzazione**

R.37.7

Maggio 2021

Pagina 193 di
338

Pannello	Nx	Ny	Nxy	Mx	My	Mxy	Ax	Ay	C	Cs
	kg	kg	kg	kg*m	kg*m	kg*m	cmq	cmq		
1	-4547	6904	3993	-1588	413	-2495	31.42	20.11	3	5.2
2	-2058	7321	3765	-1135	1365	-2043	31.42	20.11	3	4.4
3	1326	7548	3693	-549	2891	-1261	31.42	20.11	3	3.6
4	5697	7518	3803	11	5372	-554	31.42	20.11	3	2.6
5	-3992	7836	3640	-1858	639	-2269	31.42	20.11	3	5.2
6	-1596	8299	3527	-1225	1821	-1774	31.42	20.11	3	4.2
7	1654	8583	3597	-493	3636	-987	31.42	20.11	3	3.2
8	5886	8631	3902	173	6437	-409	31.42	20.11	3	2.2
9	-3503	8556	3269	-1999	914	-1960	31.42	20.11	3	5.2
10	-1211	9051	3258	-1240	2300	-1441	31.42	20.11	3	4.0
11	1881	9387	3459	-411	4355	-675	31.42	20.11	3	2.9
12	5925	9506	3947	325	7406	-247	31.42	20.11	3	1.9
13	-3068	9079	2891	-2037	1225	-1596	31.42	20.11	3	5.2
14	-894	9587	2968	-1195	2786	-1070	31.42	20.11	3	3.8
15	2014	9957	3285	-309	5031	-343	31.42	20.11	3	2.7
16	5820	10128	3946	471	8264	-77	31.42	20.11	3	1.7
Massimi/minimi										
1							31.42			
1								20.11		
16										1.7

Muro : 152 - Nodi: [222-177-189-220], Pann.X=4, Pann.Y=4Spess.=50 cm, Terreno=--,Criterio=CLS_Muri_ND,
Materiale=C35/45,ζ_e=8.954 [(5+6)-I-1] : **Verificato**

Armatura a maglia doppia

Pannello	Nx	Ny	Nxy	Mx	My	Mxy	Ax	Ay	C	Cs
	kg	kg	kg	kg*m	kg*m	kg*m	cmq	cmq		
1	-13666	-1670	-1296	-13983	-1757	-150	31.42	20.11	2	2.0
2	-10289	-1622	-947	-13655	-1695	-104	31.42	20.11	2	2.0
3	-10273	-1630	-893	-13570	-1677	23	31.42	20.11	2	2.0
4	-13536	-1684	-767	-13575	-1687	147	31.42	20.11	2	2.1
5	-12667	-1718	-1157	-10793	-1375	-101	31.42	20.11	2	2.6
6	-10295	-2058	-1110	-10582	-1288	-85	31.42	20.11	2	2.6
7	-10364	-2058	-753	-10487	-1254	32	31.42	20.11	2	2.6
8	-12696	-1742	-887	-10388	-1263	166	31.42	20.11	2	2.7
9	-11881	-1897	-1004	-7958	-1032	-69	31.42	20.11	2	3.5
10	-10081	-2369	-1125	-7824	-925	-61	31.42	20.11	2	3.5
11	-10136	-2376	-740	-7730	-871	46	31.42	20.11	2	3.6
12	-11891	-1946	-1020	-7577	-873	211	31.42	20.11	2	3.6
13	-11177	-2139	-877	-5455	-727	-50	31.42	20.11	2	5.1
14	-9798	-2620	-1081	-5372	-604	-43	31.42	20.11	2	5.1
15	-9827	-2642	-778	-5290	-526	64	31.42	20.11	2	5.2
16	-11157	-2219	-1129	-5119	-510	265	31.42	20.11	2	5.2
Massimi/minimi										
1							31.42			
1								20.11		
1										2.0

Muro : 153 - Nodi: [177-137-138-189], Pann.X=4, Pann.Y=4Spess.=50 cm, Terreno=--,Criterio=CLS_Muri_ND,
Materiale=C35/45,ζ_e=11.764 [(5+6)-I-1] : **Verificato**

Armatura a maglia doppia

Pannello	Nx	Ny	Nxy	Mx	My	Mxy	Ax	Ay	C	Cs
	kg	kg	kg	kg*m	kg*m	kg*m	cmq	cmq		
1	-6499	-13	-936	-3561	-399	-25	31.42	20.11	(5+6)-I-3	7.5
2	-6032	-223	-729	-3442	-393	42	31.42	20.11	(5+6)-I-3	7.7
3	-6103	-205	-354	-3286	-417	56	31.42	20.11	(5+6)-I-3	8.1
4	-10482	-2520	-1218	-2990	-176	318	31.42	20.11	2	8.4
5	-6176	164	-891	-3905	-419	-8	31.42	20.11	(5+6)-I-3	6.9
6	-5811	-28	-700	-3793	-428	73	31.42	20.11	(5+6)-I-3	7.0
7	-5863	-23	-388	-3638	-464	92	31.42	20.11	(5+6)-I-3	7.2
8	-7146	1635	549	-3189	-839	-676	31.42	20.11	3	7.0
9	-6673	1937	-1265	-5083	-621	-76	31.42	20.11	3	5.2
10	-6440	1780	-610	-4942	-779	-94	31.42	20.11	3	5.4
11	-6504	1812	21	-4802	-988	-308	31.42	20.11	3	5.3
12	-6825	2061	481	-4752	-1139	-679	31.42	20.11	3	5.0
13	-6408	2389	-1224	-6400	-764	-48	31.42	20.11	3	4.2
14	-6191	2219	-586	-6232	-971	-49	31.42	20.11	3	4.3
15	-6221	2231	-15	-6053	-1230	-276	31.42	20.11	3	4.3
16	-6506	2474	407	-5961	-1401	-672	31.42	20.11	3	4.1

Pannello	Nx	Ny	Nxy	Mx	My	Mxy	Ax	Ay	C	Cs
										Massimi/minimi
1							31.42			
1								20.11		
16										4.1

Muro : 154 - Nodi: [229-230-237-232], Pann.X=4, Pann.Y=4Spess.=50 cm, Terreno=--,Criterio=CLS_Muri_ND,
Materiale=C35/45, $\zeta_e=10.975$ [(5+6)-I-3] : **Verificato**

Armatura a maglia doppia

Pannello	Nx	Ny	Nxy	Mx	My	Mxy	Ax	Ay	C	Cs
	kg	kg	kg	kg*m	kg*m	kg*m	cmq	cmq		
1	3668	10019	943	396	-1772	851	20.11	31.42	3	9.0
2	6758	10179	1820	1723	-1100	907	20.11	31.42	3	5.8
3	8224	9835	2015	3022	-676	821	20.11	31.42	3	3.9
4	9274	9229	1974	4275	-389	658	20.11	31.42	3	3.0
5	1408	-4218	629	121	-362	2292	20.11	31.42	3	6.8
6	5027	-3830	1397	394	-901	2496	20.11	31.42	3	5.4
7	7427	-3113	2151	754	-1169	2527	20.11	31.42	3	4.6
8	9001	-2376	2646	1211	-1300	2382	20.11	31.42	3	4.1
9	-912	-5172	1984	-518	-3992	-657	20.11	31.42	2	5.8
10	3332	-10969	343	-9	-257	2899	20.11	31.42	3	5.5
11	5817	-10120	1031	-83	-1216	3052	20.11	31.42	3	4.9
12	7749	-9264	1642	-81	-1867	3046	20.11	31.42	3	4.8
13	-1065	-8223	2616	-719	-5855	-669	20.11	31.42	2	4.2
14	-1334	-7626	2571	-458	-3963	-1041	20.11	31.42	2	5.4
15	4641	-14325	1	-442	-914	2989	20.11	31.42	3	4.6
16	6537	-13309	392	-669	-2021	3072	20.11	31.42	3	4.1
										Massimi/minimi
1							20.11			
1								31.42		
4										3.0

Muro : 155 - Nodi: [229-232-233-228], Pann.X=4, Pann.Y=4Spess.=50 cm, Terreno=--,Criterio=CLS_Muri_ND,
Materiale=C35/45, $\zeta_e=6.021$ [(5+6)-II-2] : **Verificato**

Armatura a maglia doppia

Pannello	Nx	Ny	Nxy	Mx	My	Mxy	Ax	Ay	C	Cs
	kg	kg	kg	kg*m	kg*m	kg*m	cmq	cmq		
1	10271	4261	-1236	-2100	375	1498	31.42	20.11	3	6.6
2	-893	2288	-187	-229	177	2856	31.42	20.11	3	5.3
3	-5343	-879	5210	-4640	-614	-1293	31.42	20.11	2	4.5
4	-8137	-1029	5513	-6961	-869	-1344	31.42	20.11	2	3.3
5	11107	7887	271	-1061	1763	1688	31.42	20.11	3	4.4
6	-194	6039	372	-332	601	3325	31.42	20.11	3	3.9
7	-7394	4600	48	1022	294	3819	31.42	20.11	3	3.8
8	-7444	-1400	5478	-5239	-655	-1963	31.42	20.11	2	3.8
9	11119	9883	785	-453	3091	1801	31.42	20.11	3	3.0
10	286	8816	1174	-332	1130	3639	31.42	20.11	3	3.1
11	-6762	7420	755	290	366	4289	31.42	20.11	3	3.3
12	-11366	6273	47	1229	48	4426	31.42	20.11	3	3.4
13	10704	11317	981	-93	4385	1859	31.42	20.11	3	2.3
14	712	10689	1775	-327	1764	3768	31.42	20.11	3	2.6
15	-6078	9539	1421	-200	524	4556	31.42	20.11	3	2.9
16	-10458	8327	633	246	-69	4790	31.42	20.11	3	3.1
										Massimi/minimi
1							31.42			
1								20.11		
13										2.3

Muro : 156 - Nodi: [230-236-141-237], Pann.X=4, Pann.Y=4Spess.=50 cm, Terreno=--,Criterio=CLS_Muri_ND,
Materiale=C35/45, $\zeta_e=9.282$ [(5+6)-I-3] : **Verificato**

Armatura a maglia doppia

Pannello	Nx	Ny	Nxy	Mx	My	Mxy	Ax	Ay	C	Cs
	kg	kg	kg	kg*m	kg*m	kg*m	cmq	cmq		
1	-1285	-9508	1963	-940	-7752	-622	20.11	31.42	2	3.3
2	-1475	-9077	2045	-588	-5447	-913	20.11	31.42	2	4.3
3	3494	-16371	-2146	-494	-229	2562	20.11	31.42	3	5.2
4	5108	-15165	-1646	-862	-1820	2709	20.11	31.42	3	4.4

Pannello	Nx	Ny	Nxy	Mx	My	Mxy	Ax	Ay	C	Cs
5	-1416	-8924	2085	-1148	-9504	-423	20.11	31.42	2	2.8
6	-1777	-9019	2069	-744	-6918	-661	20.11	31.42	2	3.6
7	-2122	-8759	2112	-375	-4683	-923	20.11	31.42	2	4.9
8	3205	-13418	-2887	-756	-1344	2120	20.11	31.42	3	5.6
9	-1513	-9788	2380	-1339	-10977	-197	20.11	31.42	2	2.5
10	-1923	-9656	2544	-922	-8171	-406	20.11	31.42	2	3.2
11	-2220	-9452	2564	-542	-5705	-636	20.11	31.42	2	4.4
12	-2487	-9191	2531	-196	-3569	-829	20.11	31.42	2	6.3
13	-1574	-13233	2879	-1531	-12330	-59	20.11	31.42	2	2.3
14	-1650	-12147	2748	-1121	-9261	-241	20.11	31.42	2	3.0
15	-1844	-11423	2602	-744	-6577	-426	20.11	31.42	2	4.0
16	-2106	-10780	2482	-396	-4250	-581	20.11	31.42	2	5.8
Massimi/minimi										
1							20.11			
1								31.42		
13										2.3

Muro : 157 - Nodi: [236-238-143-141], Pann.X=4, Pann.Y=4Spess.=50 cm, Terreno=--,Criterio=CLS_Muri_ND,
Materiale=C35/45, $\zeta_e=11.358$ [(5+6)-I-3] : **Verificato**

Armatura a maglia doppia

Pannello	Nx kg	Ny kg	Nxy kg	Mx kg*m	My kg*m	Mxy kg*m	Ax cmq	Ay cmq	C	Cs
1	-1468	-13930	1327	-1629	-13068	-125	20.11	31.42	2	2.2
2	-1535	-12734	1399	-1221	-9892	-196	20.11	31.42	2	2.8
3	-1768	-11886	1561	-848	-7111	-307	20.11	31.42	2	3.8
4	-2055	-11166	1703	-502	-4693	-420	20.11	31.42	2	5.5
5	-1736	-10982	964	-1638	-13192	-106	20.11	31.42	2	2.1
6	-2049	-11040	1104	-1229	-10119	-159	20.11	31.42	2	2.7
7	-2245	-10826	1307	-856	-7370	-243	20.11	31.42	2	3.7
8	-2420	-10515	1475	-519	-4944	-335	20.11	31.42	2	5.3
9	-1756	-10613	1988	-1664	-13419	-10	20.11	31.42	2	2.1
10	-2146	-10727	1905	-1252	-10355	-94	20.11	31.42	2	2.7
11	-2363	-10588	1793	-879	-7600	-183	20.11	31.42	2	3.6
12	-2533	-10337	1721	-542	-5157	-263	20.11	31.42	2	5.1
13	-1591	-13025	2017	-1722	-13821	42	20.11	31.42	2	2.0
14	-1758	-12151	1922	-1308	-10633	-46	20.11	31.42	2	2.6
15	-2031	-11461	1776	-932	-7814	-125	20.11	31.42	2	3.5
16	-2315	-10850	1665	-588	-5335	-190	20.11	31.42	2	5.0
Massimi/minimi										
1							20.11			
1								31.42		
13										2.0

Muro : 158 - Nodi: [228-233-149-244], Pann.X=4, Pann.Y=4Spess.=50 cm, Terreno=--,Criterio=CLS_Muri_ND,
Materiale=C35/45, $\zeta_e=6.811$ [(5+6)-II-2] : **Verificato**

Armatura a maglia doppia

Pannello	Nx kg	Ny kg	Nxy kg	Mx kg*m	My kg*m	Mxy kg*m	Ax cmq	Ay cmq	C	Cs
1	-9333	-1208	4750	-9135	-1117	-1358	31.42	20.11	2	2.6
2	-8721	-1463	4536	-11097	-1347	-1259	31.42	20.11	2	2.2
3	-9680	-1550	5189	-13052	-1587	-1096	31.42	20.11	2	2.0
4	-12943	-1429	4969	-14969	-1829	-972	31.42	20.11	2	1.8
5	-8591	-1485	4881	-7012	-803	-1930	31.42	20.11	2	3.1
6	-8605	-1870	4700	-8703	-966	-1811	31.42	20.11	2	2.6
7	-9529	-1934	5134	-10355	-1156	-1643	31.42	20.11	2	2.3
8	-11775	-1473	4770	-11919	-1358	-1474	31.42	20.11	2	2.1
9	-7911	-1979	5003	-5247	-531	-2573	31.42	20.11	2	3.5
10	-8295	-2210	4831	-6646	-619	-2437	31.42	20.11	2	3.0
11	-9221	-2148	4979	-8011	-755	-2246	31.42	20.11	2	2.7
12	-10833	-1715	4560	-9299	-917	-2024	31.42	20.11	2	2.5
13	-12692	7039	-382	918	-332	4712	31.42	20.11	3	3.0
14	-13023	5581	-1035	1718	-407	4455	31.42	20.11	3	3.2
15	-8793	-2384	4819	-6010	-379	-2768	31.42	20.11	2	3.1
16	-10006	-2016	4392	-7064	-492	-2506	31.42	20.11	2	2.9
Massimi/minimi										
1							31.42			
1								20.11		
4										1.8

Muro : 159 - Nodi: [244-149-150-247], Pann.X=4, Pann.Y=4Spess.=50 cm, Terreno=--,Criterio=CLS_Muri_ND,
Materiale=C35/45, $\zeta_e=10.805$ [(5+6)-II-2] : **Verificato**

Armatura a maglia doppia

Pannello	Nx kg	Ny kg	Nxy kg	Mx kg*m	My kg*m	Mxy kg*m	Ax cmq	Ay cmq	C	Cs
1	-13697	-1497	3124	-16489	-2018	-937	31.42	20.11	2	1.6
2	-11413	-1770	2566	-17610	-2153	-802	31.42	20.11	2	1.5
3	-11577	-1812	3404	-18726	-2293	-603	31.42	20.11	2	1.5
4	-14757	-1611	3134	-19863	-2442	-464	31.42	20.11	2	1.4
5	-12487	-1437	3307	-13251	-1520	-1318	31.42	20.11	2	1.9
6	-11312	-1993	2756	-14344	-1640	-1134	31.42	20.11	2	1.8
7	-11537	-2067	3289	-15343	-1766	-930	31.42	20.11	2	1.7
8	-13550	-1516	2913	-16251	-1901	-749	31.42	20.11	2	1.7
9	-11473	-1656	3484	-10445	-1050	-1784	31.42	20.11	2	2.3
10	-10980	-2063	2966	-11438	-1151	-1539	31.42	20.11	2	2.2
11	-11274	-2088	3114	-12316	-1264	-1296	31.42	20.11	2	2.1
12	-12568	-1636	2687	-13073	-1387	-1053	31.42	20.11	2	2.0
13	-10604	-1919	3583	-8030	-595	-2213	31.42	20.11	2	2.7
14	-10527	-2129	3092	-8894	-682	-1916	31.42	20.11	2	2.6
15	-10859	-2102	2978	-9651	-780	-1623	31.42	20.11	2	2.5
16	-11716	-1788	2529	-10294	-886	-1323	31.42	20.11	2	2.4
Massimi/minimi										
1							31.42			
1								20.11		
4										1.4

Muro : 160 - Nodi: [247-150-165-231], Pann.X=4, Pann.Y=4Spess.=50 cm, Terreno=--,Criterio=CLS_Muri_ND,
Materiale=C35/45, $\zeta_e=17.267$ [(5+6)-II-2] : **Verificato**

Armatura a maglia doppia

Pannello	Nx kg	Ny kg	Nxy kg	Mx kg*m	My kg*m	Mxy kg*m	Ax cmq	Ay cmq	C	Cs
1	-15227	-1620	1201	-20602	-2536	-445	31.42	20.11	2	1.4
2	-12707	-1895	647	-20936	-2576	-339	31.42	20.11	2	1.3
3	-12795	-1903	1559	-21296	-2622	-176	31.42	20.11	2	1.3
4	-15676	-1635	1061	-21684	-2673	-76	31.42	20.11	2	1.3
5	-13951	-1468	1407	-16904	-1989	-607	31.42	20.11	2	1.6
6	-12602	-2034	874	-17309	-2032	-457	31.42	20.11	2	1.6
7	-12699	-2049	1352	-17632	-2076	-292	31.42	20.11	2	1.6
8	-14341	-1460	827	-17874	-2117	-148	31.42	20.11	2	1.6
9	-12910	-1584	1607	-13647	-1469	-825	31.42	20.11	2	2.0
10	-12254	-1977	1091	-14045	-1510	-614	31.42	20.11	2	1.9
11	-12363	-1972	1134	-14332	-1551	-409	31.42	20.11	2	1.9
12	-13275	-1546	602	-14508	-1589	-204	31.42	20.11	2	1.9
13	-12023	-1726	1720	-10792	-961	-1034	31.42	20.11	2	2.4
14	-11763	-1931	1214	-11151	-1004	-769	31.42	20.11	2	2.4
15	-11873	-1913	994	-11403	-1042	-510	31.42	20.11	2	2.4
16	-12363	-1665	465	-11547	-1072	-249	31.42	20.11	2	2.4
Massimi/minimi										
1							31.42			
1								20.11		
3										1.3

Muro : 161 - Nodi: [186-190-201-197], Pann.X=4, Pann.Y=4Spess.=50 cm, Terreno=--,Criterio=CLS_Muri_ND,
Materiale=C35/45, $\zeta_e=21.553$ [(5+6)-I-3] : **Verificato**

Armatura a maglia doppia

Pannello	Nx kg	Ny kg	Nxy kg	Mx kg*m	My kg*m	Mxy kg*m	Ax cmq	Ay cmq	C	Cs
1	9909	-10252	895	-1772	-5169	2038	20.11	31.42	3	3.8
2	10386	-9349	1278	-1786	-5182	1729	20.11	31.42	3	4.0
3	10758	-8468	1598	-1756	-5048	1394	20.11	31.42	3	4.3
4	11048	-7611	1853	-1689	-4793	1047	20.11	31.42	3	4.7
5	8342	-10360	-657	-2112	-6254	1820	20.11	31.42	3	3.4
6	9016	-9633	-279	-2221	-6426	1596	20.11	31.42	3	3.4
7	9600	-8887	54	-2282	-6406	1339	20.11	31.42	3	3.6
8	10110	-8128	339	-2303	-6222	1057	20.11	31.42	3	3.8
9	7084	-9696	-1448	-1991	-6937	1487	20.11	31.42	3	3.3
10	7859	-9150	-1184	-2116	-7269	1339	20.11	31.42	3	3.2

Pannello	Nx	Ny	Nxy	Mx	My	Mxy	Ax	Ay	C	Cs
11	8571	-8573	-939	-2191	-7380	1158	20.11	31.42	3	3.2
12	9227	-7972	-719	-2218	-7299	948	20.11	31.42	3	3.3
13	6272	-9015	-1743	-1758	-7305	1218	20.11	31.42	3	3.2
14	7063	-8561	-1562	-1870	-7765	1145	20.11	31.42	3	3.1
15	7823	-8099	-1382	-1928	-7988	1048	20.11	31.42	3	3.0
16	8556	-7632	-1212	-1933	-8005	929	20.11	31.42	3	3.1
Massimi/minimi										
1							20.11			
1								31.42		
15										3.0

Muro : 162 - Nodi: [185-186-197-202], Pann.X=4, Pann.Y=4Spess.=50 cm, Terreno=--,Criterio=CLS_Muri_ND,
Materiale=C35/45, $\zeta_e=16.936$ [(5+6)-I-3] : **Verificato**

Armatura a maglia doppia

Pannello	Nx	Ny	Nxy	Mx	My	Mxy	Ax	Ay	C	Cs
	kg	kg	kg	kg*m	kg*m	kg*m	cmq	cmq		
1	11992	5709	1611	9119	491	-464	20.11	31.42	3	1.5
2	11982	4972	1570	9749	631	-679	20.11	31.42	3	1.4
3	11803	4220	1522	10268	761	-878	20.11	31.42	3	1.3
4	11480	3457	1460	10685	882	-1059	20.11	31.42	3	1.2
5	11999	-665	3363	3954	-1016	585	20.11	31.42	3	3.1
6	12017	-576	3399	4464	-854	186	20.11	31.42	3	3.0
7	11894	-522	3404	4937	-673	-195	20.11	31.42	3	2.8
8	11651	-492	3368	5370	-481	-550	20.11	31.42	3	2.4
9	11709	-5398	3399	929	-2567	1509	20.11	31.42	3	5.8
10	11835	-4787	3558	1246	-2413	1085	20.11	31.42	3	6.1
11	11834	-4223	3659	1575	-2203	666	20.11	31.42	3	6.3
12	11734	-3700	3697	1906	-1951	262	20.11	31.42	3	6.6
13	11080	-8461	2480	-777	-3901	1954	20.11	31.42	3	4.7
14	11360	-7600	2761	-635	-3800	1569	20.11	31.42	3	5.1
15	11523	-6783	2975	-459	-3601	1172	20.11	31.42	3	5.7
16	11596	-6008	3120	-257	-3325	777	20.11	31.42	3	6.6
Massimi/minimi										
1							20.11			
1								31.42		
4										1.2

Muro : 163 - Nodi: [185-202-199-193], Pann.X=4, Pann.Y=4Spess.=50 cm, Terreno=--,Criterio=CLS_Muri_ND,
Materiale=C35/45, $\zeta_e=6.619$ [(5+6)-I-1] : **Verificato**

Armatura a maglia doppia

Pannello	Nx	Ny	Nxy	Mx	My	Mxy	Ax	Ay	C	Cs
	kg	kg	kg	kg*m	kg*m	kg*m	cmq	cmq		
1	6938	13913	1373	757	9468	1771	31.42	20.11	3	1.2
2	1222	13724	3088	-73	5114	3273	31.42	20.11	3	1.6
3	-3337	13332	3606	-875	2231	4123	31.42	20.11	3	2.2
4	-6607	12667	3401	-1584	376	4674	31.42	20.11	3	2.8
5	6107	13743	1441	881	10127	1725	31.42	20.11	3	1.2
6	1094	13600	3205	38	5679	3099	31.42	20.11	3	1.6
7	-3003	13310	3840	-799	2636	3895	31.42	20.11	3	2.1
8	-6012	12782	3763	-1571	607	4457	31.42	20.11	3	2.8
9	5284	13408	1497	998	10666	1678	31.42	20.11	3	1.1
10	927	13322	3282	163	6192	2929	31.42	20.11	3	1.5
11	-2730	13138	4011	-681	3036	3662	31.42	20.11	3	2.1
12	-5475	12745	4052	-1482	861	4223	31.42	20.11	3	2.8
13	4484	12940	1538	1108	11094	1635	31.42	20.11	3	1.1
14	734	12921	3315	299	6650	2767	31.42	20.11	3	1.5
15	-2511	12844	4122	-529	3422	3435	31.42	20.11	3	2.0
16	-4992	12582	4271	-1332	1130	3984	31.42	20.11	3	2.7
Massimi/minimi										
1							31.42			
1								20.11		
13										1.1

Muro : 164 - Nodi: [190-194-200-201], Pann.X=4, Pann.Y=4Spess.=50 cm, Terreno=--,Criterio=CLS_Muri_ND,
Materiale=C35/45, $\zeta_e=21.971$ [(5+6)-I-1] : **Verificato**

Armatura a maglia doppia

Pannello	Nx	Ny	Nxy	Mx	My	Mxy	Ax	Ay	C	Cs
	kg	kg	kg	kg*m	kg*m	kg*m	cmq	cmq		
1	5766	-8385	-1820	-1625	-7423	1053	20.11	31.42	3	3.2
2	6543	-7972	-1651	-1740	-7955	1035	20.11	31.42	3	3.0
3	7307	-7559	-1479	-1805	-8239	1004	20.11	31.42	3	2.9
4	8058	-7148	-1304	-1818	-8306	964	20.11	31.42	3	2.9
5	5402	-7823	-1796	-1576	-7411	934	20.11	31.42	3	3.3
6	6166	-7436	-1637	-1708	-7972	943	20.11	31.42	3	3.1
7	6918	-7040	-1471	-1795	-8277	945	20.11	31.42	3	2.9
8	7658	-6640	-1298	-1839	-8354	946	20.11	31.42	3	2.9
9	5084	-7291	-1722	-1555	-7358	782	20.11	31.42	3	3.3
10	5826	-6914	-1591	-1710	-7937	805	20.11	31.42	3	3.1
11	6558	-6522	-1448	-1829	-8250	826	20.11	31.42	3	3.0
12	7279	-6118	-1296	-1913	-8328	849	20.11	31.42	3	2.9
13	4839	-6859	-1639	-1540	-7292	596	20.11	31.42	3	3.4
14	5554	-6479	-1540	-1715	-7882	618	20.11	31.42	3	3.2
15	6262	-6085	-1429	-1860	-8201	638	20.11	31.42	3	3.0
16	6964	-5676	-1310	-1981	-8275	658	20.11	31.42	3	3.0
Massimi/minimi										
1							20.11			
1								31.42		
8										2.9

Muro : 165 - Nodi: [193-199-195-187], Pann.X=4, Pann.Y=4Spess.=50 cm, Terreno=--,Criterio=CLS_Muri_ND,
Materiale=C35/45,ζ=35.461 [(5+6)-II-2] : **Verificato**

Armatura a maglia doppia

Pannello	Nx	Ny	Nxy	Mx	My	Mxy	Ax	Ay	C	Cs
	kg	kg	kg	kg*m	kg*m	kg*m	cmq	cmq		
1	-8658	11764	2851	-2133	-804	4927	31.42	20.11	3	2.5
2	-9716	10726	2227	-2511	-1543	4941	31.42	20.11	3	2.2
3	-10091	9687	1672	-2737	-1996	4772	31.42	20.11	3	2.2
4	-10053	8745	1208	-2840	-2260	4472	31.42	20.11	3	2.2
5	-7958	12028	3310	-2209	-731	4752	31.42	20.11	3	2.6
6	-9011	11133	2725	-2694	-1601	4817	31.42	20.11	3	2.2
7	-9422	10210	2150	-3033	-2156	4697	31.42	20.11	3	2.1
8	-9419	9346	1636	-3248	-2500	4436	31.42	20.11	3	2.1
9	-7292	12139	3694	-2174	-619	4549	31.42	20.11	3	2.7
10	-8312	11391	3155	-2732	-1613	4657	31.42	20.11	3	2.3
11	-8736	10596	2576	-3154	-2271	4582	31.42	20.11	3	2.1
12	-8761	9833	2026	-3456	-2695	4360	31.42	20.11	3	2.1
13	-6662	12121	4003	-2049	-476	4330	31.42	20.11	3	2.9
14	-7623	11521	3513	-2650	-1587	4474	31.42	20.11	3	2.4
15	-8041	10864	2939	-3129	-2344	4439	31.42	20.11	3	2.1
16	-8085	10219	2366	-3493	-2849	4255	31.42	20.11	3	2.0
Massimi/minimi										
1							31.42			
1								20.11		
16										2.0

Muro : 166 - Nodi: [187-195-203-198], Pann.X=4, Pann.Y=4Spess.=50 cm, Terreno=--,Criterio=CLS_Muri_ND,
Materiale=C35/45,ζ=34.700 [(5+6)-II-2] : **Verificato**

Armatura a maglia doppia

Pannello	Nx	Ny	Nxy	Mx	My	Mxy	Ax	Ay	C	Cs
	kg	kg	kg	kg*m	kg*m	kg*m	cmq	cmq		
1	-9753	7923	820	-2852	-2401	4078	31.42	20.11	3	2.3
2	-9287	7216	520	-2804	-2461	3618	31.42	20.11	3	2.5
3	-8767	6634	319	-2719	-2471	3112	31.42	20.11	3	2.7
4	-8283	6184	196	-2619	-2455	2574	31.42	20.11	3	3.1
5	-9156	8578	1194	-3365	-2700	4071	31.42	20.11	3	2.2
6	-8737	7915	836	-3412	-2805	3631	31.42	20.11	3	2.3
7	-8263	7367	572	-3410	-2849	3137	31.42	20.11	3	2.5
8	-7812	6937	388	-3380	-2857	2605	31.42	20.11	3	2.8
9	-8534	9144	1537	-3657	-2958	4027	31.42	20.11	3	2.1
10	-8160	8545	1127	-3782	-3111	3611	31.42	20.11	3	2.2
11	-7730	8047	808	-3849	-3190	3133	31.42	20.11	3	2.4
12	-7314	7653	569	-3878	-3224	2610	31.42	20.11	3	2.6
13	-7890	9629	1839	-3760	-3176	3954	31.42	20.11	3	2.1
14	-7558	9112	1386	-3946	-3378	3563	31.42	20.11	3	2.1
15	-7172	8679	1018	-4070	-3496	3105	31.42	20.11	3	2.3
16	-6793	8334	732	-4148	-3557	2595	31.42	20.11	3	2.4

**POTENZIAMENTO DELL'IMPIANTO DI DEPURAZIONE E
DEL RECAPITO FINALE DI SQUINZANO (LE)
PROGETTO DEFINITIVO
Tabulati di calcolo strutturale-Equalizzazione**

R.37.7

Maggio 2021

Pagina 199 di
338

Pannello	Nx	Ny	Nxy	Mx	My	Mxy	Ax	Ay	C	Cs
Massimi/minimi										
1							31.42			
1								20.11		
13										2.1

Muro : 167 - Nodi: [198-203-94-207], Pann.X=4, Pann.Y=4Spess.=50 cm, Terreno=--,Criterio=CLS_Muri_ND,
Materiale=C35/45, $\zeta_e=40.434$ [(5+6)-II-2] : **Verificato**

Armatura a maglia doppia

Pannello	Nx	Ny	Nxy	Mx	My	Mxy	Ax	Ay	C	Cs
	kg	kg	kg	kg*m	kg*m	kg*m	cmq	cmq		
1	-7889	5862	124	-2524	-2428	2045	31.42	20.11	3	3.5
2	-7582	5637	90	-2446	-2402	1532	31.42	20.11	3	3.9
3	-7358	5483	84	-2385	-2379	1011	31.42	20.11	3	4.6
4	-7233	5398	94	-2348	-2365	492	31.42	20.11	3	5.4
5	-7439	6627	267	-3339	-2846	2074	31.42	20.11	3	3.1
6	-7150	6410	192	-3300	-2830	1557	31.42	20.11	3	3.5
7	-6940	6263	148	-3267	-2815	1029	31.42	20.11	3	4.0
8	-6820	6181	123	-3247	-2805	500	31.42	20.11	3	4.7
9	-6967	7366	403	-3884	-3231	2084	31.42	20.11	3	2.8
10	-6698	7166	289	-3879	-3227	1567	31.42	20.11	3	3.2
11	-6503	7031	209	-3871	-3219	1037	31.42	20.11	3	3.6
12	-6390	6956	150	-3864	-3213	504	31.42	20.11	3	4.1
13	-6474	8083	525	-4192	-3584	2077	31.42	20.11	3	2.6
14	-6227	7908	376	-4215	-3593	1564	31.42	20.11	3	2.9
15	-6047	7789	263	-4228	-3594	1036	31.42	20.11	3	3.3
16	-5944	7724	174	-4233	-3592	504	31.42	20.11	3	3.7
Massimi/minimi										
1							31.42			
1								20.11		
13										2.6

Muro : 168 - Nodi: [194-196-205-200], Pann.X=4, Pann.Y=4Spess.=50 cm, Terreno=--,Criterio=CLS_Muri_ND,
Materiale=C35/45, $\zeta_e=17.227$ [(5+6)-I-1] : **Verificato**

Armatura a maglia doppia

Pannello	Nx	Ny	Nxy	Mx	My	Mxy	Ax	Ay	C	Cs
	kg	kg	kg	kg*m	kg*m	kg*m	cmq	cmq		
1	4688	-6583	-1578	-1511	-7247	425	20.11	31.42	3	3.5
2	5381	-6201	-1502	-1695	-7846	436	20.11	31.42	3	3.3
3	6072	-5808	-1417	-1854	-8170	444	20.11	31.42	3	3.1
4	6759	-5401	-1325	-1993	-8244	449	20.11	31.42	3	3.1
5	4593	-6407	-1526	-1467	-7229	289	20.11	31.42	3	3.6
6	5274	-6030	-1467	-1650	-7836	287	20.11	31.42	3	3.3
7	5954	-5642	-1401	-1810	-8167	280	20.11	31.42	3	3.2
8	6632	-5242	-1329	-1952	-8247	269	20.11	31.42	3	3.1
9	4521	-6273	-1464	-1400	-7228	158	20.11	31.42	3	3.7
10	5193	-5905	-1421	-1575	-7847	142	20.11	31.42	3	3.4
11	5864	-5527	-1372	-1728	-8188	119	20.11	31.42	3	3.2
12	6534	-5138	-1319	-1863	-8277	87	20.11	31.42	3	3.2
13	4470	-6180	-1387	-1311	-7245	45	20.11	31.42	3	3.7
14	5136	-5826	-1357	-1472	-7878	17	20.11	31.42	3	3.4
15	5801	-5462	-1325	-1609	-8233	-22	20.11	31.42	3	3.2
16	6465	-5087	-1290	-1725	-8336	-72	20.11	31.42	3	3.2
Massimi/minimi										
1							20.11			
1								31.42		
4										3.1

Muro : 169 - Nodi: [196-204-206-205], Pann.X=4, Pann.Y=4Spess.=50 cm, Terreno=--,Criterio=CLS_Muri_ND,
Materiale=C35/45, $\zeta_e=16.683$ [(5+6)-I-1] : **Verificato**

Armatura a maglia doppia

Pannello	Nx	Ny	Nxy	Mx	My	Mxy	Ax	Ay	C	Cs
	kg	kg	kg	kg*m	kg*m	kg*m	cmq	cmq		
1	4429	-6112	-1255	-1179	-7291	-59	20.11	31.42	3	3.7
2	5094	-5782	-1242	-1313	-7945	-99	20.11	31.42	3	3.3
3	5758	-5442	-1229	-1418	-8322	-152	20.11	31.42	3	3.2
4	6417	-5092	-1216	-1499	-8450	-219	20.11	31.42	3	3.1

**POTENZIAMENTO DELL'IMPIANTO DI DEPURAZIONE E
DEL RECAPITO FINALE DI SQUINZANO (LE)
PROGETTO DEFINITIVO
Tabulati di calcolo strutturale-Equalizzazione**

R.37.7

Maggio 2021

Pagina 200 di
338

Pannello	Nx	Ny	Nxy	Mx	My	Mxy	Ax	Ay	C	Cs
5	4418	-6104	-1035	-1012	-7361	-123	20.11	31.42	3	3.6
6	5087	-5807	-1040	-1108	-8041	-166	20.11	31.42	3	3.3
7	5753	-5503	-1046	-1167	-8449	-223	20.11	31.42	3	3.1
8	6415	-5191	-1055	-1193	-8611	-296	20.11	31.42	3	3.0
9	4440	-6161	-752	-872	-7425	-111	20.11	31.42	3	3.6
10	5112	-5890	-765	-933	-8130	-142	20.11	31.42	3	3.3
11	5784	-5618	-780	-950	-8566	-184	20.11	31.42	3	3.1
12	6453	-5347	-797	-923	-8761	-238	20.11	31.42	3	3.0
13	4466	-6231	-439	-794	-7462	-49	20.11	31.42	3	3.6
14	5135	-5969	-443	-833	-8182	-58	20.11	31.42	3	3.3
15	5809	-5716	-445	-823	-8637	-72	20.11	31.42	3	3.1
16	6485	-5473	-448	-764	-8855	-92	20.11	31.42	3	3.0
Massimi/minimi										
1							20.11			
1								31.42		
12										3.0

Muro : 170 - Nodi: [207-94-100-99], Pann.X=4, Pann.Y=4Spess.=50 cm, Terreno=--,Criterio=CLS_Muri_ND,
Materiale=C35/45, $\zeta_e=40.971$ [(5+6)-II-2] : **Verificato**

Armatura a maglia doppia

Pannello	Nx kg	Ny kg	Nxy kg	Mx kg*m	My kg*m	Mxy kg*m	Ax cmq	Ay cmq	C	Cs
1	-7203	5375	112	-2339	-2362	-87	31.42	20.11	3	6.4
2	-7313	5439	128	-2365	-2373	-719	31.42	20.11	3	5.0
3	-7569	5601	117	-2427	-2397	-1344	31.42	20.11	3	4.1
4	-7941	5857	56	-2518	-2428	-1952	31.42	20.11	3	3.5
5	-6793	6161	104	-3241	-2802	-89	31.42	20.11	3	5.3
6	-6896	6224	77	-3256	-2811	-732	31.42	20.11	3	4.3
7	-7132	6379	22	-3291	-2828	-1367	31.42	20.11	3	3.7
8	-7481	6626	-82	-3338	-2846	-1982	31.42	20.11	3	3.2
9	-6364	6939	95	-3862	-3212	-90	31.42	20.11	3	4.6
10	-6460	6999	28	-3868	-3217	-739	31.42	20.11	3	3.8
11	-6678	7143	-68	-3878	-3227	-1377	31.42	20.11	3	3.3
12	-7001	7373	-213	-3887	-3232	-1992	31.42	20.11	3	2.9
13	-5920	7711	86	-4234	-3592	-90	31.42	20.11	3	4.1
14	-6007	7766	-16	-4232	-3594	-739	31.42	20.11	3	3.5
15	-6205	7894	-149	-4222	-3595	-1376	31.42	20.11	3	3.0
16	-6502	8100	-334	-4198	-3587	-1987	31.42	20.11	3	2.7
Massimi/minimi										
1							31.42			
1								20.11		
16										2.7

Muro : 171 - Nodi: [99-100-98-101], Pann.X=4, Pann.Y=4Spess.=50 cm, Terreno=--,Criterio=CLS_Muri_ND,
Materiale=C35/45, $\zeta_e=32.408$ [(5+6)-II-2] : **Verificato**

Armatura a maglia doppia

Pannello	Nx kg	Ny kg	Nxy kg	Mx kg*m	My kg*m	Mxy kg*m	Ax cmq	Ay cmq	C	Cs
1	-8457	6274	-65	-2645	-2458	-2644	31.42	20.11	3	3.0
2	-9175	6977	-260	-2781	-2463	-3393	31.42	20.11	3	2.6
3	-9995	8012	-632	-2862	-2396	-4058	31.42	20.11	3	2.3
4	-10570	9330	-1324	-2813	-2174	-4591	31.42	20.11	3	2.2
5	-7977	7037	-264	-3392	-2856	-2675	31.42	20.11	3	2.8
6	-8657	7716	-560	-3422	-2824	-3413	31.42	20.11	3	2.4
7	-9386	8684	-1043	-3371	-2696	-4051	31.42	20.11	3	2.2
8	-9849	9888	-1802	-3171	-2381	-4537	31.42	20.11	3	2.1
9	-7469	7759	-455	-3879	-3219	-2680	31.42	20.11	3	2.6
10	-8101	8389	-841	-3820	-3146	-3401	31.42	20.11	3	2.3
11	-8746	9261	-1416	-3660	-2954	-4006	31.42	20.11	3	2.1
12	-9118	10325	-2228	-3341	-2543	-4444	31.42	20.11	3	2.1
13	-6936	8445	-630	-4139	-3548	-2664	31.42	20.11	3	2.4
14	-7514	9001	-1092	-4006	-3431	-3361	31.42	20.11	3	2.2
15	-8081	9755	-1741	-3761	-3172	-3932	31.42	20.11	3	2.1
16	-8380	10658	-2595	-3351	-2664	-4321	31.42	20.11	3	2.1
Massimi/minimi										
1							31.42			
1								20.11		
15										2.1

Muro : 172 - Nodi: [201-200-16-17], Pann.X=4, Pann.Y=4Spess.=50 cm, Terreno=--,Criterio=CLS_Muri_ND,
Materiale=C35/45, $\zeta_e=20.417$ [(5+6)-I-3] : **Verificato**

Armatura a maglia doppia

Pannello	Nx	Ny	Nxy	Mx	My	Mxy	Ax	Ay	C	Cs
	kg	kg	kg	kg*m	kg*m	kg*m	cmq	cmq		
1	8798	-6744	-1129	-1780	-8185	919	20.11	31.42	3	3.0
2	9528	-6350	-955	-1688	-7906	875	20.11	31.42	3	3.1
3	10252	-5975	-781	-1539	-7498	835	20.11	31.42	3	3.2
4	10973	-5629	-605	-1328	-6993	806	20.11	31.42	3	3.4
5	8388	-6234	-1117	-1840	-8233	950	20.11	31.42	3	2.9
6	9107	-5826	-928	-1799	-7941	962	20.11	31.42	3	3.0
7	9814	-5415	-731	-1715	-7506	990	20.11	31.42	3	3.2
8	10510	-5001	-521	-1590	-6954	1041	20.11	31.42	3	3.3
9	7991	-5699	-1135	-1966	-8195	878	20.11	31.42	3	3.0
10	8691	-5267	-967	-1992	-7880	917	20.11	31.42	3	3.0
11	9381	-4818	-794	-1996	-7406	972	20.11	31.42	3	3.2
12	10061	-4350	-616	-1983	-6800	1049	20.11	31.42	3	3.4
13	7659	-5252	-1183	-2081	-8131	682	20.11	31.42	3	3.0
14	8349	-4811	-1051	-2167	-7796	713	20.11	31.42	3	3.1
15	9034	-4355	-917	-2244	-7294	753	20.11	31.42	3	3.3
16	9719	-3881	-785	-2321	-6651	806	20.11	31.42	3	3.6
Massimi/minimi										
1							20.11			
1								31.42		
5										2.9

Muro : 173 - Nodi: [197-201-17-12], Pann.X=4, Pann.Y=4Spess.=50 cm, Terreno=--,Criterio=CLS_Muri_ND,
Materiale=C35/45, $\zeta_e=18.755$ [(5+6)-I-1] : **Verificato**

Armatura a maglia doppia

Pannello	Nx	Ny	Nxy	Mx	My	Mxy	Ax	Ay	C	Cs
	kg	kg	kg	kg*m	kg*m	kg*m	cmq	cmq		
1	11278	-6780	2041	-1594	-4439	698	20.11	31.42	3	5.3
2	11469	-5980	2164	-1477	-4009	357	20.11	31.42	3	6.2
3	11641	-5212	2225	-1348	-3523	33	20.11	31.42	3	7.5
4	11812	-4481	2227	-1213	-3001	-265	20.11	31.42	3	8.1
5	10560	-7362	574	-2288	-5899	758	20.11	31.42	3	4.1
6	10965	-6592	758	-2246	-5464	450	20.11	31.42	3	4.6
7	11341	-5825	893	-2186	-4937	139	20.11	31.42	3	5.3
8	11702	-5064	983	-2116	-4343	-167	20.11	31.42	3	5.9
9	9835	-7350	-531	-2201	-7056	713	20.11	31.42	3	3.5
10	10403	-6712	-380	-2144	-6676	456	20.11	31.42	3	3.8
11	10939	-6059	-268	-2054	-6185	179	20.11	31.42	3	4.2
12	11450	-5391	-196	-1936	-5605	-115	20.11	31.42	3	4.7
13	9265	-7165	-1056	-1883	-7844	793	20.11	31.42	3	3.1
14	9955	-6703	-922	-1779	-7535	641	20.11	31.42	3	3.3
15	10628	-6253	-814	-1616	-7107	475	20.11	31.42	3	3.6
16	11291	-5824	-738	-1394	-6587	295	20.11	31.42	3	3.9
Massimi/minimi										
1							20.11			
1								31.42		
13										3.1

Muro : 174 - Nodi: [202-18-20-199], Pann.X=4, Pann.Y=4Spess.=50 cm, Terreno=--,Criterio=CLS_Muri_ND,
Materiale=C35/45, $\zeta_e=22.196$ [(5+6)-II-2] : **Verificato**

Armatura a maglia doppia

Pannello	Nx	Ny	Nxy	Mx	My	Mxy	Ax	Ay	C	Cs
	kg	kg	kg	kg*m	kg*m	kg*m	cmq	cmq		
1	3725	12370	1559	1212	11422	1596	31.42	20.11	3	1.1
2	523	12426	3301	441	7055	2621	31.42	20.11	3	1.5
3	-2342	12456	4173	-352	3791	3222	31.42	20.11	3	2.0
4	-4560	12315	4421	-1135	1407	3752	31.42	20.11	3	2.7
5	3030	11730	1559	1310	11662	1564	31.42	20.11	3	1.1
6	300	11866	3239	587	7409	2494	31.42	20.11	3	1.4
7	-2219	11993	4169	-158	4139	3029	31.42	20.11	3	2.0
8	-4174	11963	4509	-905	1686	3534	31.42	20.11	3	2.7
9	2421	11053	1534	1403	11827	1538	31.42	20.11	3	1.1
10	67	11264	3132	733	7716	2388	31.42	20.11	3	1.4

Pannello	Nx	Ny	Nxy	Mx	My	Mxy	Ax	Ay	C	Cs
11	-2139	11471	4119	44	4464	2860	31.42	20.11	3	1.9
12	-3829	11532	4540	-654	1960	3336	31.42	20.11	3	2.7
13	1922	10367	1485	1491	11935	1518	31.42	20.11	3	1.1
14	-179	10638	2991	875	7981	2303	31.42	20.11	3	1.4
15	-2098	10891	4035	245	4764	2718	31.42	20.11	3	1.9
16	-3517	11026	4520	-397	2226	3164	31.42	20.11	3	2.7
Massimi/minimi										
1							31.42			
1								20.11		
9										1.1

Muro : 175 - Nodi: [202-197-12-18], Pann.X=4, Pann.Y=4Spess.=50 cm, Terreno=--,Criterio=CLS_Muri_ND,
Materiale=C35/45, $\zeta_e=9.869$ [(5+6)-I-1] : **Verificato**

Armatura a maglia doppia

Pannello	Nx	Ny	Nxy	Mx	My	Mxy	Ax	Ay	C	Cs
	kg	kg	kg	kg*m	kg*m	kg*m	cmq	cmq		
1	11040	2696	1376	11007	991	-1218	20.11	31.42	3	1.2
2	10514	1951	1262	11245	1087	-1355	20.11	31.42	3	1.1
3	9940	1243	1110	11413	1168	-1467	20.11	31.42	3	1.1
4	9363	596	912	11519	1228	-1555	20.11	31.42	3	1.1
5	11318	-474	3280	5760	-283	-871	20.11	31.42	3	2.2
6	10926	-460	3130	6108	-86	-1156	20.11	31.42	3	2.0
7	10512	-442	2907	6412	103	-1400	20.11	31.42	3	1.9
8	10121	-417	2602	6675	275	-1603	20.11	31.42	3	1.8
9	11565	-3215	3666	2232	-1669	-116	20.11	31.42	3	6.1
10	11356	-2765	3562	2548	-1370	-461	20.11	31.42	3	4.8
11	11141	-2350	3381	2848	-1065	-768	20.11	31.42	3	4.0
12	10950	-1974	3124	3130	-767	-1031	20.11	31.42	3	3.5
13	11608	-5277	3193	-38	-2989	395	20.11	31.42	3	7.9
14	11586	-4590	3193	191	-2611	36	20.11	31.42	3	10
15	11554	-3950	3121	423	-2207	-292	20.11	31.42	3	11
16	11535	-3359	2983	652	-1794	-582	20.11	31.42	3	11
Massimi/minimi										
1							20.11			
1								31.42		
4										1.1

Muro : 176 - Nodi: [195-14-19-203], Pann.X=4, Pann.Y=4Spess.=50 cm, Terreno=--,Criterio=CLS_Muri_ND,
Materiale=C35/45, $\zeta_e=27.470$ [(5+6)-II-2] : **Verificato**

Armatura a maglia doppia

Pannello	Nx	Ny	Nxy	Mx	My	Mxy	Ax	Ay	C	Cs
	kg	kg	kg	kg*m	kg*m	kg*m	cmq	cmq		
1	-7228	10043	2092	-3703	-3358	3860	31.42	20.11	3	2.0
2	-6936	9623	1603	-3935	-3611	3495	31.42	20.11	3	2.1
3	-6592	9270	1196	-4102	-3768	3057	31.42	20.11	3	2.2
4	-6251	8987	871	-4218	-3859	2563	31.42	20.11	3	2.3
5	-6552	10398	2288	-3514	-3508	3751	31.42	20.11	3	2.0
6	-6297	10089	1773	-3778	-3813	3411	31.42	20.11	3	2.0
7	-5994	9827	1336	-3976	-4010	2995	31.42	20.11	3	2.1
8	-5693	9616	980	-4121	-4132	2519	31.42	20.11	3	2.2
9	-5867	10706	2421	-3222	-3630	3635	31.42	20.11	3	2.0
10	-5646	10520	1888	-3503	-3987	3320	31.42	20.11	3	2.0
11	-5384	10360	1432	-3721	-4225	2925	31.42	20.11	3	2.0
12	-5122	10230	1056	-3884	-4378	2466	31.42	20.11	3	2.1
13	-5177	10982	2483	-2852	-3729	3519	31.42	20.11	3	2.0
14	-4989	10929	1945	-3138	-4137	3225	31.42	20.11	3	2.0
15	-4766	10879	1480	-3364	-4416	2850	31.42	20.11	3	2.0
16	-4543	10835	1095	-3537	-4601	2409	31.42	20.11	3	2.1
Massimi/minimi										
1							31.42			
1								20.11		
14										2.0

Muro : 177 - Nodi: [203-19-15-94], Pann.X=4, Pann.Y=4Spess.=50 cm, Terreno=--,Criterio=CLS_Muri_ND,
Materiale=C35/45, $\zeta_e=28.823$ [(5+6)-II-2] : **Verificato**

Armatura a maglia doppia

**POTENZIAMENTO DELL'IMPIANTO DI DEPURAZIONE E
DEL RECAPITO FINALE DI SQUINZANO (LE)
PROGETTO DEFINITIVO
Tabulati di calcolo strutturale-Equalizzazione**

R.37.7

Maggio 2021

Pagina 203 di
338

Pannello	Nx	Ny	Nxy	Mx	My	Mxy	Ax	Ay	C	Cs
	kg	kg	kg	kg*m	kg*m	kg*m	cmq	cmq		
1	-5963	8780	629	-4294	-3906	2056	31.42	20.11	3	2.5
2	-5739	8636	450	-4340	-3929	1552	31.42	20.11	3	2.7
3	-5577	8539	309	-4369	-3939	1029	31.42	20.11	3	3.0
4	-5482	8487	193	-4385	-3943	501	31.42	20.11	3	3.4
5	-5437	9462	711	-4219	-4201	2026	31.42	20.11	3	2.4
6	-5237	9354	507	-4284	-4238	1531	31.42	20.11	3	2.6
7	-5093	9283	344	-4326	-4258	1016	31.42	20.11	3	2.8
8	-5008	9246	207	-4349	-4267	495	31.42	20.11	3	3.1
9	-4899	10134	767	-3999	-4469	1987	31.42	20.11	3	2.3
10	-4725	10068	547	-4076	-4522	1504	31.42	20.11	3	2.4
11	-4598	10025	368	-4127	-4552	1000	31.42	20.11	3	2.6
12	-4525	10005	216	-4156	-4567	488	31.42	20.11	3	2.9
13	-4353	10804	796	-3661	-4715	1945	31.42	20.11	3	2.2
14	-4205	10783	567	-3745	-4784	1474	31.42	20.11	3	2.3
15	-4097	10771	379	-3802	-4825	981	31.42	20.11	3	2.5
16	-4035	10768	218	-3834	-4846	479	31.42	20.11	3	2.7
Massimi/minimi										
1							31.42			
1								20.11		
13										2.2

Muro : 178 - Nodi: [200-205-13-16], Pann.X=4, Pann.Y=4Spess.=50 cm, Terreno=--,Criterio=CLS_Muri_ND,
Materiale=C35/45,ζ_e=23.358 [(5+6)-I-1] : **Verificato**

Armatura a maglia doppia

Pannello	Nx	Ny	Nxy	Mx	My	Mxy	Ax	Ay	C	Cs
	kg	kg	kg	kg*m	kg*m	kg*m	cmq	cmq		
1	7443	-4980	-1227	-2117	-8097	455	20.11	31.42	3	3.1
2	8126	-4545	-1123	-2233	-7753	462	20.11	31.42	3	3.2
3	8811	-4096	-1018	-2347	-7239	472	20.11	31.42	3	3.4
4	9501	-3636	-913	-2467	-6581	486	20.11	31.42	3	3.7
5	7308	-4828	-1251	-2082	-8102	253	20.11	31.42	3	3.2
6	7985	-4402	-1168	-2206	-7759	235	20.11	31.42	3	3.3
7	8666	-3964	-1082	-2330	-7244	216	20.11	31.42	3	3.6
8	9356	-3516	-991	-2462	-6583	196	20.11	31.42	3	3.9
9	7203	-4736	-1261	-1986	-8140	48	20.11	31.42	3	3.3
10	7872	-4321	-1197	-2103	-7803	2	20.11	31.42	3	3.4
11	8545	-3895	-1128	-2221	-7292	-50	20.11	31.42	3	3.6
12	9226	-3458	-1051	-2348	-6634	-106	20.11	31.42	3	3.9
13	7126	-4700	-1251	-1829	-8213	-134	20.11	31.42	3	3.2
14	7787	-4299	-1207	-1924	-7888	-206	20.11	31.42	3	3.3
15	8448	-3886	-1156	-2020	-7387	-290	20.11	31.42	3	3.5
16	9113	-3460	-1095	-2124	-6736	-384	20.11	31.42	3	3.7
Massimi/minimi										
1							20.11			
1								31.42		
1										3.1

Muro : 179 - Nodi: [199-20-14-195], Pann.X=4, Pann.Y=4Spess.=50 cm, Terreno=--,Criterio=CLS_Muri_ND,
Materiale=C35/45,ζ_e=9.261 [(5+6)-I-3] : **Verificato**

Armatura a maglia doppia

Pannello	Nx	Ny	Nxy	Mx	My	Mxy	Ax	Ay	C	Cs
	kg	kg	kg	kg*m	kg*m	kg*m	cmq	cmq		
1	-6067	11993	4238	-1852	-309	4109	31.42	20.11	3	3.2
2	-6947	11541	3797	-2472	-1528	4280	31.42	20.11	3	2.5
3	-7341	11030	3235	-2984	-2381	4279	31.42	20.11	3	2.2
4	-7394	10518	2648	-3390	-2966	4130	31.42	20.11	3	2.0
5	-5505	11771	4402	-1602	-126	3893	31.42	20.11	3	3.5
6	-6286	11468	4005	-2220	-1444	4085	31.42	20.11	3	2.6
7	-6641	11110	3458	-2744	-2387	4112	31.42	20.11	3	2.2
8	-6694	10744	2863	-3173	-3051	3992	31.42	20.11	3	2.0
9	-4970	11465	4496	-1317	67	3692	31.42	20.11	3	3.8
10	-5639	11314	4136	-1914	-1341	3896	31.42	20.11	3	2.7
11	-5943	11119	3603	-2433	-2370	3945	31.42	20.11	3	2.3
12	-5990	10910	3007	-2868	-3110	3851	31.42	20.11	3	2.1
13	-4456	11081	4519	-1013	264	3511	31.42	20.11	3	3.8
14	-5003	11090	4183	-1576	-1225	3721	31.42	20.11	3	2.9
15	-5250	11070	3663	-2074	-2335	3785	31.42	20.11	3	2.3
16	-5284	11031	3071	-2499	-3147	3712	31.42	20.11	3	2.1

**POTENZIAMENTO DELL'IMPIANTO DI DEPURAZIONE E
DEL RECAPITO FINALE DI SQUINZANO (LE)
PROGETTO DEFINITIVO
Tabulati di calcolo strutturale-Equalizzazione**

R.37.7

Maggio 2021

Pagina 204 di
338

Pannello	Nx	Ny	Nxy	Mx	My	Mxy	Ax	Ay	C	Cs
										Massimi/minimi
1							31.42			
1								20.11		
4										2.0

Muro : 180 - Nodi: [205-206-21-13], Pann.X=4, Pann.Y=4Spess.=50 cm, Terreno=--,Criterio=CLS_Muri_ND,
Materiale=C35/45, $\zeta_e=17.977$ [(5+6)-I-1] : **Verificato**

Armatura a maglia doppia

Pannello	Nx	Ny	Nxy	Mx	My	Mxy	Ax	Ay	C	Cs
	kg	kg	kg	kg*m	kg*m	kg*m	cmq	cmq		
1	7073	-4730	-1201	-1560	-8351	-303	20.11	31.42	3	3.1
2	7724	-4353	-1183	-1608	-8053	-403	20.11	31.42	3	3.1
3	8369	-3962	-1160	-1650	-7578	-523	20.11	31.42	3	3.3
4	9011	-3553	-1127	-1694	-6950	-662	20.11	31.42	3	3.5
5	7071	-4870	-1067	-1188	-8552	-387	20.11	31.42	3	3.0
6	7718	-4538	-1080	-1157	-8298	-501	20.11	31.42	3	3.0
7	8354	-4192	-1095	-1103	-7872	-641	20.11	31.42	3	3.1
8	8975	-3826	-1109	-1033	-7297	-813	20.11	31.42	3	3.3
9	7119	-5077	-819	-853	-8743	-308	20.11	31.42	3	3.0
10	7778	-4808	-848	-740	-8537	-397	20.11	31.42	3	3.0
11	8426	-4538	-885	-582	-8171	-511	20.11	31.42	3	3.1
12	9058	-4264	-934	-379	-7670	-657	20.11	31.42	3	3.2
13	7161	-5243	-453	-653	-8865	-119	20.11	31.42	3	3.0
14	7836	-5029	-461	-487	-8696	-154	20.11	31.42	3	3.0
15	8507	-4834	-475	-263	-8376	-201	20.11	31.42	3	3.1
16	9170	-4666	-497	29	-7938	-262	20.11	31.42	3	3.3
										Massimi/minimi
1							20.11			
1								31.42		
9										3.0

Muro : 181 - Nodi: [100-23-24-98], Pann.X=4, Pann.Y=4Spess.=50 cm, Terreno=--,Criterio=CLS_Muri_ND,
Materiale=C35/45, $\zeta_e=25.895$ [(5+6)-II-2] : **Verificato**

Armatura a maglia doppia

Pannello	Nx	Ny	Nxy	Mx	My	Mxy	Ax	Ay	C	Cs
	kg	kg	kg	kg*m	kg*m	kg*m	cmq	cmq		
1	-6382	9099	-781	-4202	-3845	-2630	31.42	20.11	3	2.3
2	-6902	9562	-1305	-4012	-3682	-3302	31.42	20.11	3	2.1
3	-7397	10176	-2013	-3702	-3354	-3836	31.42	20.11	3	2.0
4	-7639	10899	-2896	-3229	-2748	-4180	31.42	20.11	3	2.1
5	-5809	9728	-903	-4098	-4112	-2583	31.42	20.11	3	2.2
6	-6270	10080	-1474	-3866	-3901	-3228	31.42	20.11	3	2.0
7	-6698	10538	-2224	-3512	-3503	-3727	31.42	20.11	3	2.0
8	-6896	11063	-3124	-3001	-2800	-4028	31.42	20.11	3	2.1
9	-5223	10340	-991	-3858	-4353	-2528	31.42	20.11	3	2.1
10	-5624	10567	-1594	-3599	-4093	-3145	31.42	20.11	3	2.0
11	-5991	10854	-2369	-3219	-3624	-3611	31.42	20.11	3	2.0
12	-6155	11166	-3274	-2693	-2827	-3875	31.42	20.11	3	2.1
13	-4629	10943	-1041	-3508	-4571	-2468	31.42	20.11	3	2.0
14	-4970	11036	-1658	-3236	-4261	-3058	31.42	20.11	3	2.0
15	-5280	11138	-2441	-2849	-3722	-3494	31.42	20.11	3	2.0
16	-5418	11222	-3340	-2328	-2833	-3727	31.42	20.11	3	2.2
										Massimi/minimi
1							31.42			
1								20.11		
14										2.0

Muro : 182 - Nodi: [94-15-23-100], Pann.X=4, Pann.Y=4Spess.=50 cm, Terreno=--,Criterio=CLS_Muri_ND,
Materiale=C35/45, $\zeta_e=28.535$ [(5+6)-II-2] : **Verificato**

Armatura a maglia doppia

Pannello	Nx	Ny	Nxy	Mx	My	Mxy	Ax	Ay	C	Cs
	kg	kg	kg	kg*m	kg*m	kg*m	cmq	cmq		
1	-5460	8478	78	-4388	-3944	-89	31.42	20.11	3	3.7
2	-5538	8526	-55	-4379	-3943	-734	31.42	20.11	3	3.2
3	-5718	8635	-220	-4352	-3935	-1366	31.42	20.11	3	2.8
4	-5987	8809	-440	-4303	-3911	-1968	31.42	20.11	3	2.5

Pannello	Nx	Ny	Nxy	Mx	My	Mxy	Ax	Ay	C	Cs
5	-4989	9242	70	-4355	-4270	-88	31.42	20.11	3	3.4
6	-5058	9282	-88	-4340	-4265	-725	31.42	20.11	3	3.0
7	-5217	9368	-278	-4300	-4247	-1348	31.42	20.11	3	2.6
8	-5456	9504	-525	-4231	-4207	-1940	31.42	20.11	3	2.4
9	-4507	10007	62	-4163	-4571	-87	31.42	20.11	3	3.1
10	-4567	10037	-113	-4144	-4562	-714	31.42	20.11	3	2.8
11	-4706	10099	-322	-4095	-4535	-1325	31.42	20.11	3	2.5
12	-4915	10191	-588	-4011	-4478	-1904	31.42	20.11	3	2.3
13	-4020	10776	55	-3842	-4851	-85	31.42	20.11	3	2.9
14	-4070	10797	-130	-3821	-4838	-700	31.42	20.11	3	2.6
15	-4188	10831	-348	-3766	-4801	-1299	31.42	20.11	3	2.4
16	-4366	10876	-624	-3674	-4726	-1863	31.42	20.11	3	2.2
Massimi/minimi										
1							31.42			
1								20.11		
16										2.2

Muro : 183 - Nodi: [97-107-108-96], Pann.X=4, Pann.Y=4Spess.=50 cm, Terreno=--,Criterio=CLS_Muri_ND,
Materiale=C35/45,ζ=28.742 [(5+6)-II-1] : **Verificato**

Armatura a maglia doppia

Pannello	Nx kg	Ny kg	Nxy kg	Mx kg*m	My kg*m	Mxy kg*m	Ax cmq	Ay cmq	C	Cs
1	-10192	7572	-3713	-1396	-1854	-383	31.42	20.11	3	6.8
2	-8837	6922	-4342	-1522	-2012	-843	31.42	20.11	3	5.3
3	-7626	6370	-4374	-1679	-2164	-1292	31.42	20.11	3	4.4
4	-6894	6116	-4041	-1860	-2289	-1733	31.42	20.11	3	3.8
5	-9290	8415	-3429	-2391	-2275	-420	31.42	20.11	3	5.5
6	-8250	7886	-4020	-2483	-2418	-893	31.42	20.11	3	4.5
7	-7292	7412	-4157	-2594	-2556	-1354	31.42	20.11	3	3.9
8	-6678	7159	-3982	-2718	-2672	-1803	31.42	20.11	3	3.4
9	-8448	9282	-3191	-3101	-2666	-445	31.42	20.11	3	4.7
10	-7642	8834	-3750	-3164	-2795	-925	31.42	20.11	3	4.0
11	-6886	8418	-3959	-3236	-2919	-1394	31.42	20.11	3	3.5
12	-6383	8164	-3907	-3312	-3023	-1847	31.42	20.11	3	3.1
13	-7651	10171	-2984	-3557	-3028	-461	31.42	20.11	3	4.2
14	-7022	9776	-3515	-3596	-3143	-944	31.42	20.11	3	3.6
15	-6428	9396	-3773	-3636	-3254	-1414	31.42	20.11	3	3.2
16	-6022	9134	-3817	-3671	-3344	-1867	31.42	20.11	3	2.8
Massimi/minimi										
1							31.42			
1								20.11		
16										2.8

Muro : 184 - Nodi: [95-102-103-106], Pann.X=4, Pann.Y=4Spess.=50 cm, Terreno=--,Criterio=CLS_Muri_ND,
Materiale=C35/45,ζ=40.346 [(5+6)-II-1] : **Verificato**

Armatura a maglia doppia

Pannello	Nx kg	Ny kg	Nxy kg	Mx kg*m	My kg*m	Mxy kg*m	Ax cmq	Ay cmq	C	Cs
1	11506	-7705	3888	-1013	-2059	4524	31.42	20.11	3	2.8
2	11797	-7103	4306	-966	-2150	4367	31.42	20.11	3	2.8
3	11940	-6534	4651	-879	-2129	4180	31.42	20.11	3	2.9
4	11955	-5998	4922	-759	-2017	3978	31.42	20.11	3	3.0
5	10555	-8545	3468	-1708	-2390	4502	31.42	20.11	3	2.7
6	10983	-7941	3926	-1782	-2587	4397	31.42	20.11	3	2.6
7	11271	-7347	4316	-1811	-2639	4256	31.42	20.11	3	2.6
8	11438	-6763	4632	-1799	-2571	4092	31.42	20.11	3	2.7
9	9583	-8714	3120	-2122	-2566	4312	31.42	20.11	3	2.7
10	10129	-8155	3571	-2292	-2874	4257	31.42	20.11	3	2.6
11	10553	-7585	3964	-2415	-3009	4164	31.42	20.11	3	2.5
12	10870	-7010	4287	-2495	-2998	4042	31.42	20.11	3	2.6
13	8670	-8463	2894	-2353	-2613	4002	31.42	20.11	3	2.8
14	9312	-7963	3310	-2595	-3032	3990	31.42	20.11	3	2.6
15	9857	-7444	3675	-2791	-3253	3939	31.42	20.11	3	2.5
16	10314	-6908	3977	-2944	-3307	3858	31.42	20.11	3	2.5
Massimi/minimi										
1							31.42			
1								20.11		
16										2.5

**POTENZIAMENTO DELL'IMPIANTO DI DEPURAZIONE E
DEL RECAPITO FINALE DI SQUINZANO (LE)
PROGETTO DEFINITIVO
Tabulati di calcolo strutturale-Equalizzazione**

R.37.7

Maggio 2021

Pagina 206 di
338

Muro : 185 - Nodi: [110-95-106-112], Pann.X=4, Pann.Y=4Spess.=50 cm, Terreno=--,Criterio=CLS_Muri_ND,
Materiale=C35/45, $\zeta_e=10.543$ [(5+6)-II-1] : **Verificato**

Armatura a maglia doppia

Pannello	Nx	Ny	Nxy	Mx	My	Mxy	Ax	Ay	C	Cs
	kg	kg	kg	kg*m	kg*m	kg*m	cmq	cmq		
1	13485	6497	2055	8871	679	1623	31.42	20.11	3	2.2
2	13349	5744	2105	9492	794	1581	31.42	20.11	3	2.1
3	13042	4986	2138	9993	902	1540	31.42	20.11	3	2.0
4	12594	4238	2151	10382	1003	1502	31.42	20.11	3	1.9
5	13313	1175	3698	4657	-121	3074	31.42	20.11	3	3.0
6	13231	1045	3806	5176	-20	2908	31.42	20.11	3	2.8
7	12989	876	3872	5645	96	2743	31.42	20.11	3	2.8
8	12616	679	3892	6061	223	2587	31.42	20.11	3	2.7
9	12945	-2991	4287	1884	-887	3842	31.42	20.11	3	3.7
10	12964	-2713	4503	2246	-824	3626	31.42	20.11	3	3.9
11	12830	-2491	4658	2604	-716	3403	31.42	20.11	3	3.8
12	12568	-2320	4752	2952	-574	3185	31.42	20.11	3	3.8
13	12330	-5921	4240	108	-1554	4323	31.42	20.11	3	3.0
14	12481	-5414	4571	303	-1556	4122	31.42	20.11	3	3.1
15	12479	-4959	4832	524	-1480	3901	31.42	20.11	3	3.3
16	12349	-4551	5022	762	-1342	3676	31.42	20.11	3	3.5
Massimi/minimi										
1							31.42			
1								20.11		
4										1.9

Muro : 186 - Nodi: [102-96-108-103], Pann.X=4, Pann.Y=4Spess.=50 cm, Terreno=--,Criterio=CLS_Muri_ND,
Materiale=C35/45, $\zeta_e=39.672$ [(5+6)-II-1] : **Verificato**

Armatura a maglia doppia

Pannello	Nx	Ny	Nxy	Mx	My	Mxy	Ax	Ay	C	Cs
	kg	kg	kg	kg*m	kg*m	kg*m	cmq	cmq		
1	7848	-7972	2806	-2461	-2561	3609	31.42	20.11	3	3.0
2	8573	-7543	3175	-2756	-3085	3632	31.42	20.11	3	2.7
3	9228	-7089	3495	-3007	-3391	3616	31.42	20.11	3	2.6
4	9816	-6610	3757	-3217	-3512	3569	31.42	20.11	3	2.6
5	7130	-7388	2883	-2487	-2437	3164	31.42	20.11	3	3.3
6	7940	-7044	3191	-2819	-3057	3212	31.42	20.11	3	2.9
7	8701	-6665	3450	-3111	-3446	3222	31.42	20.11	3	2.7
8	9413	-6251	3652	-3364	-3633	3203	31.42	20.11	3	2.6
9	6554	-6887	3146	-2458	-2263	2689	31.42	20.11	3	3.7
10	7454	-6628	3366	-2815	-2972	2753	31.42	20.11	3	3.2
11	8317	-6319	3539	-3135	-3437	2782	31.42	20.11	3	2.9
12	9141	-5962	3662	-3418	-3687	2784	31.42	20.11	3	2.8
13	6188	-6665	3572	-2388	-2061	2199	31.42	20.11	3	4.2
14	7174	-6463	3667	-2761	-2850	2271	31.42	20.11	3	3.5
15	8126	-6192	3725	-3099	-3384	2312	31.42	20.11	3	3.2
16	9041	-5861	3745	-3405	-3693	2326	31.42	20.11	3	3.0
Massimi/minimi										
1							31.42			
1								20.11		
4										2.6

Muro : 187 - Nodi: [109-111-107-97], Pann.X=4, Pann.Y=4Spess.=50 cm, Terreno=--,Criterio=CLS_Muri_ND,
Materiale=C35/45, $\zeta_e=28.699$ [(5+6)-II-1] : **Verificato**

Armatura a maglia doppia

Pannello	Nx	Ny	Nxy	Mx	My	Mxy	Ax	Ay	C	Cs
	kg	kg	kg	kg*m	kg*m	kg*m	cmq	cmq		
1	-10302	7233	695	-1265	-1613	1866	31.42	20.11	3	4.4
2	-10717	7514	123	-1220	-1586	1319	31.42	20.11	3	5.2
3	-11208	7889	-931	-1231	-1611	741	31.42	20.11	3	6.4
4	-11150	7980	-2422	-1296	-1707	150	31.42	20.11	3	8.1
5	-9689	8343	640	-2245	-2019	1884	31.42	20.11	3	3.8
6	-9939	8534	-19	-2235	-2009	1321	31.42	20.11	3	4.5
7	-10215	8772	-1036	-2259	-2045	728	31.42	20.11	3	5.4
8	-10062	8773	-2332	-2315	-2140	124	31.42	20.11	3	6.6
9	-9023	9417	609	-2940	-2396	1885	31.42	20.11	3	3.4
10	-9147	9534	-112	-2959	-2402	1315	31.42	20.11	3	4.0

Pannello	Nx	Ny	Nxy	Mx	My	Mxy	Ax	Ay	C	Cs
11	-9275	9669	-1088	-2994	-2448	715	31.42	20.11	3	4.6
12	-9075	9606	-2236	-3043	-2542	105	31.42	20.11	3	5.5
13	-8317	10462	597	-3383	-2742	1873	31.42	20.11	3	3.1
14	-8350	10526	-166	-3426	-2766	1302	31.42	20.11	3	3.6
15	-8378	10583	-1101	-3470	-2820	701	31.42	20.11	3	4.1
16	-8161	10475	-2133	-3514	-2913	90	31.42	20.11	3	4.8
Massimi/minimi										
1							31.42			
1								20.11		
13										3.1

Muro : 188 - Nodi: [104-105-111-109], Pann.X=4, Pann.Y=4Spess.=50 cm, Terreno=--,Criterio=CLS_Muri_ND,
Materiale=C35/45, $\zeta_e=23.242$ [(5+6)-II-1] : **Verificato**

Armatura a maglia doppia

Pannello	Nx	Ny	Nxy	Mx	My	Mxy	Ax	Ay	C	Cs
	kg	kg	kg	kg*m	kg*m	kg*m	cmq	cmq		
1	-14066	10895	4454	-1841	-1629	4146	31.42	20.11	3	2.5
2	-12892	9394	2348	-1731	-1758	3665	31.42	20.11	3	2.7
3	-11251	8013	1361	-1549	-1758	3105	31.42	20.11	3	3.1
4	-10335	7300	1003	-1377	-1683	2471	31.42	20.11	3	3.6
5	-12769	11470	4853	-2349	-1849	4142	31.42	20.11	3	2.4
6	-11937	10247	2862	-2401	-2048	3696	31.42	20.11	3	2.5
7	-10615	9081	1721	-2357	-2097	3143	31.42	20.11	3	2.8
8	-9796	8438	1128	-2290	-2062	2502	31.42	20.11	3	3.3
9	-11558	11977	5174	-2652	-2023	4093	31.42	20.11	3	2.3
10	-10969	11018	3279	-2836	-2300	3686	31.42	20.11	3	2.4
11	-9906	10073	2028	-2906	-2402	3148	31.42	20.11	3	2.6
12	-9183	9524	1244	-2928	-2410	2508	31.42	20.11	3	3.0
13	-10415	12423	5413	-2781	-2157	4010	31.42	20.11	3	2.3
14	-9996	11724	3601	-3067	-2516	3642	31.42	20.11	3	2.3
15	-9142	11002	2276	-3229	-2676	3125	31.42	20.11	3	2.5
16	-8510	10563	1345	-3324	-2727	2494	31.42	20.11	3	2.8
Massimi/minimi										
1							31.42			
1								20.11		
13										2.3

Muro : 189 - Nodi: [107-33-31-108], Pann.X=4, Pann.Y=4Spess.=50 cm, Terreno=--,Criterio=CLS_Muri_ND,
Materiale=C35/45, $\zeta_e=20.135$ [(5+6)-II-1] : **Verificato**

Armatura a maglia doppia

Pannello	Nx	Ny	Nxy	Mx	My	Mxy	Ax	Ay	C	Cs
	kg	kg	kg	kg*m	kg*m	kg*m	cmq	cmq		
1	-6888	11083	-2795	-3790	-3362	-469	31.42	20.11	3	3.7
2	-6396	10717	-3302	-3810	-3466	-950	31.42	20.11	3	3.3
3	-5931	10355	-3592	-3823	-3562	-1420	31.42	20.11	3	2.9
4	-5609	10076	-3708	-3825	-3638	-1868	31.42	20.11	3	2.6
5	-6153	12018	-2616	-3831	-3670	-472	31.42	20.11	3	3.4
6	-5769	11665	-3098	-3836	-3763	-948	31.42	20.11	3	3.0
7	-5407	11304	-3409	-3827	-3845	-1413	31.42	20.11	3	2.7
8	-5155	10997	-3577	-3803	-3905	-1855	31.42	20.11	3	2.5
9	-5442	12980	-2438	-3710	-3954	-469	31.42	20.11	3	3.2
10	-5144	12626	-2895	-3703	-4036	-938	31.42	20.11	3	2.8
11	-4866	12250	-3215	-3678	-4106	-1396	31.42	20.11	3	2.6
12	-4672	11906	-3418	-3634	-4149	-1830	31.42	20.11	3	2.4
13	-4754	13973	-2257	-3457	-4217	-462	31.42	20.11	3	2.9
14	-4525	13604	-2686	-3441	-4289	-924	31.42	20.11	3	2.7
15	-4313	13202	-3004	-3404	-4345	-1373	31.42	20.11	3	2.4
16	-4167	12809	-3228	-3346	-4371	-1798	31.42	20.11	3	2.3
Massimi/minimi										
1							31.42			
1								20.11		
16										2.3

Muro : 190 - Nodi: [106-103-39-32], Pann.X=4, Pann.Y=4Spess.=50 cm, Terreno=--,Criterio=CLS_Muri_ND,
Materiale=C35/45, $\zeta_e=17.595$ [(5+6)-II-1] : **Verificato**

Armatura a maglia doppia

**POTENZIAMENTO DELL'IMPIANTO DI DEPURAZIONE E
DEL RECAPITO FINALE DI SQUINZANO (LE)
PROGETTO DEFINITIVO
Tabulati di calcolo strutturale-Equalizzazione**

R.37.7

Maggio 2021

Pagina 208 di
338

Pannello	Nx	Ny	Nxy	Mx	My	Mxy	Ax	Ay	C	Cs
	kg	kg	kg	kg*m	kg*m	kg*m	cmq	cmq		
1	11860	-5492	5118	-614	-1832	3771	31.42	20.11	3	3.2
2	11666	-5013	5238	-450	-1595	3570	31.42	20.11	3	3.4
3	-6070	-2818	1701	-34	575	-4171	31.42	20.11	2	3.6
4	-5999	-2511	1334	-125	471	-4076	31.42	20.11	2	3.8
5	11499	-6192	4869	-1753	-2406	3916	31.42	20.11	3	2.8
6	11467	-5633	5024	-1681	-2168	3737	31.42	20.11	3	3.0
7	11351	-5083	5093	-1589	-1876	3564	31.42	20.11	3	3.3
8	-5315	-2802	1518	1039	828	-4141	31.42	20.11	2	3.5
9	11092	-6431	4533	-2537	-2868	3903	31.42	20.11	3	2.7
10	11232	-5850	4697	-2549	-2644	3754	31.42	20.11	3	2.8
11	11299	-5267	4770	-2535	-2350	3604	31.42	20.11	3	3.0
12	11305	-4683	4747	-2502	-2006	3461	31.42	20.11	3	3.2
13	10693	-6357	4207	-3060	-3221	3754	31.42	20.11	3	2.6
14	11003	-5794	4356	-3143	-3023	3638	31.42	20.11	3	2.7
15	11255	-5221	4418	-3198	-2737	3515	31.42	20.11	3	2.8
16	11459	-4641	4386	-3232	-2388	3393	31.42	20.11	3	3.1
Massimi/minimi										
1							31.42			
1								20.11		
13										2.6

Muro : 191 - Nodi: [112-106-32-47], Pann.X=4, Pann.Y=4Spess.=50 cm, Terreno=--,Criterio=CLS_Muri_ND,
Materiale=C35/45,ζ_e=17.722 [(5+6)-I-1] : **Verificato**

Armatura a maglia doppia

Pannello	Nx	Ny	Nxy	Mx	My	Mxy	Ax	Ay	C	Cs
	kg	kg	kg	kg*m	kg*m	kg*m	cmq	cmq		
1	12037	3518	2142	10669	1099	1470	31.42	20.11	3	1.9
2	11401	2849	2107	10864	1187	1445	31.42	20.11	3	1.9
3	10717	2254	2046	10983	1271	1427	31.42	20.11	3	1.9
4	10011	1755	1960	11039	1349	1415	31.42	20.11	3	1.9
5	12140	461	3861	6425	357	2446	31.42	20.11	3	2.6
6	11587	228	3780	6738	494	2324	31.42	20.11	3	2.6
7	10982	-18	3653	7005	631	2222	31.42	20.11	3	2.5
8	10336	-279	3490	7230	765	2141	31.42	20.11	3	2.5
9	12203	-2193	4785	3284	-407	2979	31.42	20.11	3	3.7
10	11754	-2109	4761	3598	-223	2793	31.42	20.11	3	3.7
11	11232	-2064	4688	3890	-30	2631	31.42	20.11	3	3.6
12	10639	-2053	4576	4159	162	2494	31.42	20.11	3	3.5
13	12111	-4188	5145	1010	-1156	3455	31.42	20.11	3	3.8
14	-6856	-2931	1868	-1311	276	-4039	31.42	20.11	2	4.0
15	-6830	-2651	1484	-1500	182	-3948	31.42	20.11	2	4.2
16	-6736	-2364	1108	-1685	70	-3858	31.42	20.11	2	4.4
Massimi/minimi										
1							31.42			
1								20.11		
3										1.9

Muro : 192 - Nodi: [103-108-31-39], Pann.X=4, Pann.Y=4Spess.=50 cm, Terreno=--,Criterio=CLS_Muri_ND,
Materiale=C35/45,ζ_e=31.492 [(5+6)-II-1] : **Verificato**

Armatura a maglia doppia

Pannello	Nx	Ny	Nxy	Mx	My	Mxy	Ax	Ay	C	Cs
	kg	kg	kg	kg*m	kg*m	kg*m	cmq	cmq		
1	10343	-6108	3951	-3391	-3476	3498	31.42	20.11	3	2.6
2	10816	-5585	4069	-3532	-3310	3412	31.42	20.11	3	2.7
3	11243	-5046	4105	-3645	-3042	3315	31.42	20.11	3	2.8
4	11635	-4493	4055	-3735	-2696	3216	31.42	20.11	3	3.0
5	10077	-5805	3792	-3582	-3647	3160	31.42	20.11	3	2.6
6	10699	-5331	3864	-3768	-3519	3100	31.42	20.11	3	2.7
7	11286	-4832	3864	-3927	-3273	3027	31.42	20.11	3	2.8
8	11847	-4315	3785	-4063	-2938	2949	31.42	20.11	3	3.0
9	9927	-5563	3730	-3669	-3752	2762	31.42	20.11	3	2.7
10	10679	-5127	3741	-3890	-3661	2722	31.42	20.11	3	2.8
11	11405	-4661	3692	-4085	-3442	2670	31.42	20.11	3	2.9
12	12111	-4171	3578	-4257	-3121	2610	31.42	20.11	3	3.1
13	9925	-5479	3726	-3680	-3806	2319	31.42	20.11	3	2.9
14	10780	-5055	3665	-3928	-3752	2295	31.42	20.11	3	2.9
15	11615	-4597	3559	-4150	-3559	2259	31.42	20.11	3	3.0
16	12438	-4114	3404	-4351	-3255	2215	31.42	20.11	3	3.2

**POTENZIAMENTO DELL'IMPIANTO DI DEPURAZIONE E
DEL RECAPITO FINALE DI SQUINZANO (LE)
PROGETTO DEFINITIVO
Tabulati di calcolo strutturale-Equalizzazione**

R.37.7

Maggio 2021

Pagina 209 di
338

Pannello	Nx	Ny	Nxy	Mx	My	Mxy	Ax	Ay	C	Cs
										Massimi/minimi
1							31.42			
1								20.11		
1										2.6

Muro : 193 - Nodi: [105-46-40-111], Pann.X=4, Pann.Y=4Spess.=50 cm, Terreno=--,Criterio=CLS_Muri_ND,
Materiale=C35/45, $\zeta_e=18.166$ [(5+6)-II-1] : **Verificato**

Armatura a maglia doppia

Pannello	Nx	Ny	Nxy	Mx	My	Mxy	Ax	Ay	C	Cs
	kg	kg	kg	kg*m	kg*m	kg*m	cmq	cmq		
1	-9325	12820	5569	-2764	-2254	3903	31.42	20.11	3	2.3
2	-9026	12380	3832	-3126	-2698	3573	31.42	20.11	3	2.2
3	-8338	11882	2462	-3358	-2918	3081	31.42	20.11	3	2.4
4	-7791	11568	1425	-3511	-3015	2464	31.42	20.11	3	2.6
5	-8279	13179	5636	-2629	-2320	3781	31.42	20.11	3	2.3
6	-8061	13001	3970	-3040	-2850	3487	31.42	20.11	3	2.2
7	-7508	12730	2583	-3324	-3133	3021	31.42	20.11	3	2.3
8	-7038	12551	1477	-3518	-3276	2422	31.42	20.11	3	2.5
9	-7270	13513	5610	-2401	-2359	3652	31.42	20.11	3	2.3
10	-7109	13605	4017	-2839	-2975	3391	31.42	20.11	3	2.2
11	-6664	13563	2637	-3155	-3322	2951	31.42	20.11	3	2.2
12	-6266	13527	1498	-3378	-3512	2372	31.42	20.11	3	2.4
13	-6298	13837	5486	-2105	-2379	3524	31.42	20.11	3	2.3
14	-6173	14208	3972	-2550	-3078	3291	31.42	20.11	3	2.1
15	-5816	14398	2623	-2880	-3488	2875	31.42	20.11	3	2.1
16	-5485	14511	1483	-3118	-3725	2317	31.42	20.11	3	2.3
										Massimi/minimi
1							31.42			
1								20.11		
15										2.1

Muro : 194 - Nodi: [111-40-33-107], Pann.X=4, Pann.Y=4Spess.=50 cm, Terreno=--,Criterio=CLS_Muri_ND,
Materiale=C35/45, $\zeta_e=19.893$ [(5+6)-II-1] : **Verificato**

Armatura a maglia doppia

Pannello	Nx	Ny	Nxy	Mx	My	Mxy	Ax	Ay	C	Cs
	kg	kg	kg	kg*m	kg*m	kg*m	cmq	cmq		
1	-7583	11489	595	-3606	-3059	1850	31.42	20.11	3	2.9
2	-7554	11518	-192	-3669	-3100	1283	31.42	20.11	3	3.3
3	-7519	11519	-1086	-3719	-3163	686	31.42	20.11	3	3.7
4	-7304	11377	-2026	-3760	-3255	79	31.42	20.11	3	4.3
5	-6829	12510	595	-3641	-3350	1820	31.42	20.11	3	2.7
6	-6763	12519	-199	-3718	-3408	1261	31.42	20.11	3	3.0
7	-6691	12482	-1052	-3774	-3479	672	31.42	20.11	3	3.4
8	-6491	12312	-1914	-3812	-3571	72	31.42	20.11	3	3.9
9	-6067	13535	592	-3520	-3616	1784	31.42	20.11	3	2.6
10	-5982	13540	-194	-3606	-3691	1236	31.42	20.11	3	2.8
11	-5893	13476	-1002	-3665	-3770	657	31.42	20.11	3	3.1
12	-5714	13283	-1794	-3699	-3862	67	31.42	20.11	3	3.5
13	-5304	14580	579	-3270	-3859	1745	31.42	20.11	3	2.4
14	-5214	14589	-183	-3361	-3951	1210	31.42	20.11	3	2.6
15	-5124	14507	-941	-3421	-4039	643	31.42	20.11	3	2.9
16	-4969	14292	-1667	-3452	-4131	64	31.42	20.11	3	3.3
										Massimi/minimi
1							31.42			
1								20.11		
13										2.4

Muro : 195 - Nodi: [101-98-113-120], Pann.X=4, Pann.Y=4Spess.=50 cm, Terreno=--,Criterio=CLS_Muri_ND,
Materiale=C35/45, $\zeta_e=8.601$ [(5+6)-I-1] : **Verificato**

Armatura a maglia doppia

Pannello	Nx	Ny	Nxy	Mx	My	Mxy	Ax	Ay	C	Cs
	kg	kg	kg	kg*m	kg*m	kg*m	cmq	cmq		
1	-10511	10355	-1983	-2677	-1861	-4862	31.42	20.11	3	2.2
2	-10187	10958	-2421	-2523	-1570	-4929	31.42	20.11	3	2.2
3	-9593	11547	-2864	-2318	-1176	-4944	31.42	20.11	3	2.3
4	-8683	12104	-3287	-2056	-652	-4889	31.42	20.11	3	2.6

Pannello	Nx	Ny	Nxy	Mx	My	Mxy	Ax	Ay	C	Cs
5	-9741	10813	-2475	-2922	-1980	-4765	31.42	20.11	3	2.1
6	-9411	11351	-2903	-2701	-1624	-4805	31.42	20.11	3	2.2
7	-8830	11867	-3324	-2432	-1156	-4789	31.42	20.11	3	2.4
8	-7959	12343	-3707	-2109	-549	-4705	31.42	20.11	3	2.7
9	-8977	11133	-2908	-3005	-2052	-4629	31.42	20.11	3	2.1
10	-8650	11596	-3322	-2736	-1633	-4644	31.42	20.11	3	2.3
11	-8094	12031	-3714	-2421	-1094	-4602	31.42	20.11	3	2.5
12	-7276	12425	-4056	-2059	-409	-4494	31.42	20.11	3	2.9
13	-8222	11333	-3275	-2952	-2084	-4467	31.42	20.11	3	2.2
14	-7908	11714	-3672	-2651	-1603	-4460	31.42	20.11	3	2.3
15	-7389	12066	-4034	-2309	-998	-4396	31.42	20.11	3	2.6
16	-6633	12375	-4332	-1925	-241	-4270	31.42	20.11	3	3.1
Massimi/minimi										
1							31.42			
1								20.11		
5										2.1

Muro : 196 - Nodi: [98-24-53-113], Pann.X=4, Pann.Y=4Spess.=50 cm, Terreno=--,Criterio=CLS_Muri_ND,
Materiale=C35/45, $\zeta_e=9.354$ [(5+6)-I-1] : **Verificato**

Armatura a maglia doppia

Pannello	Nx kg	Ny kg	Nxy kg	Mx kg*m	My kg*m	Mxy kg*m	Ax cmq	Ay cmq	C	Cs
1	-7477	11431	-3571	-2791	-2081	-4290	31.42	20.11	3	2.2
2	-7186	11724	-3949	-2472	-1542	-4265	31.42	20.11	3	2.4
3	-6713	11990	-4281	-2116	-873	-4183	31.42	20.11	3	2.8
4	-6031	12215	-4537	-1725	-51	-4044	31.42	20.11	3	3.4
5	-6744	11442	-3790	-2543	-2049	-4109	31.42	20.11	3	2.3
6	-6485	11644	-4150	-2218	-1455	-4068	31.42	20.11	3	2.6
7	-6067	11821	-4455	-1863	-728	-3974	31.42	20.11	3	3.0
8	-5467	11963	-4674	-1477	152	-3826	31.42	20.11	3	3.6
9	-6022	11380	-3929	-2232	-1995	-3930	31.42	20.11	3	2.4
10	-5801	11485	-4273	-1913	-1349	-3879	31.42	20.11	3	2.7
11	-5446	11569	-4555	-1567	-570	-3776	31.42	20.11	3	3.3
12	-4935	11627	-4744	-1196	363	-3623	31.42	20.11	3	3.6
13	-5311	11259	-3980	-1879	-1925	-3762	31.42	20.11	3	2.5
14	-5133	11259	-4312	-1574	-1231	-3703	31.42	20.11	3	2.9
15	-4845	11245	-4578	-1248	-404	-3595	31.42	20.11	3	3.6
16	-4429	11214	-4746	-900	575	-3441	31.42	20.11	3	3.6
Massimi/minimi										
1							31.42			
1								20.11		
1										2.2

Muro : 197 - Nodi: [117-121-105-104], Pann.X=4, Pann.Y=4Spess.=50 cm, Terreno=--,Criterio=CLS_Muri_ND,
Materiale=C35/45, $\zeta_e=10.071$ [(5+6)-I-1] : **Verificato**

Armatura a maglia doppia

Pannello	Nx kg	Ny kg	Nxy kg	Mx kg*m	My kg*m	Mxy kg*m	Ax cmq	Ay cmq	C	Cs
1	-9716	11828	8532	-1502	-576	4474	31.42	20.11	3	2.8
2	-11311	11787	8056	-1664	-965	4514	31.42	20.11	3	2.6
3	-12638	11734	7312	-1775	-1240	4488	31.42	20.11	3	2.5
4	-13587	11591	6330	-1841	-1433	4412	31.42	20.11	3	2.4
5	-9016	12298	8576	-1670	-505	4351	31.42	20.11	3	2.9
6	-10400	12265	8100	-1902	-974	4417	31.42	20.11	3	2.6
7	-11521	12202	7403	-2085	-1321	4418	31.42	20.11	3	2.5
8	-12313	12056	6520	-2225	-1575	4368	31.42	20.11	3	2.4
9	-8308	12595	8592	-1718	-398	4192	31.42	20.11	3	3.1
10	-9508	12593	8133	-1999	-942	4280	31.42	20.11	3	2.7
11	-10463	12550	7484	-2235	-1357	4306	31.42	20.11	3	2.5
12	-11133	12435	6683	-2430	-1671	4280	31.42	20.11	3	2.4
13	-7609	12750	8568	-1668	-262	4013	31.42	20.11	3	3.3
14	-8645	12797	8135	-1980	-875	4119	31.42	20.11	3	2.8
15	-9458	12800	7533	-2252	-1354	4166	31.42	20.11	3	2.5
16	-10027	12738	6800	-2486	-1724	4161	31.42	20.11	3	2.4
Massimi/minimi										
1							31.42			
1								20.11		
12										2.4

**POTENZIAMENTO DELL'IMPIANTO DI DEPURAZIONE E
DEL RECAPITO FINALE DI SQUINZANO (LE)
PROGETTO DEFINITIVO
Tabulati di calcolo strutturale-Equalizzazione**

R.37.7

Maggio 2021

Pagina 211 di
338

Muro : 198 - Nodi: [121-57-46-105], Pann.X=4, Pann.Y=4Spess.=50 cm, Terreno=--,Criterio=CLS_Muri_ND,
Materiale=C35/45, $\zeta_e=8.957$ [(5+6)-II-1] : **Verificato**

Armatura a maglia doppia

Pannello	Nx kg	Ny kg	Nxy kg	Mx kg*m	My kg*m	Mxy kg*m	Ax cmq	Ay cmq	C	Cs
1	-6926	12791	8492	-1540	-103	3825	31.42	20.11	3	3.6
2	-7811	12900	8090	-1867	-779	3944	31.42	20.11	3	3.0
3	-8499	12967	7532	-2160	-1317	4008	31.42	20.11	3	2.6
4	-8979	12976	6856	-2419	-1743	4021	31.42	20.11	3	2.4
5	-6265	12737	8357	-1352	71	3639	31.42	20.11	3	3.8
6	-7008	12921	7986	-1682	-661	3767	31.42	20.11	3	3.2
7	-7580	13067	7468	-1982	-1255	3844	31.42	20.11	3	2.7
8	-7980	13163	6839	-2253	-1732	3871	31.42	20.11	3	2.5
9	-5625	12605	8154	-1122	255	3461	31.42	20.11	3	3.8
10	-6233	12876	7810	-1443	-527	3594	31.42	20.11	3	3.4
11	-6698	13114	7326	-1741	-1172	3681	31.42	20.11	3	2.9
12	-7022	13310	6739	-2013	-1698	3719	31.42	20.11	3	2.6
13	-5003	12405	7875	-866	442	3300	31.42	20.11	3	3.8
14	-5482	12776	7551	-1171	-385	3434	31.42	20.11	3	3.7
15	-5846	13122	7097	-1456	-1075	3526	31.42	20.11	3	3.0
16	-6100	13432	6546	-1720	-1646	3572	31.42	20.11	3	2.7
Massimi/minimi										
1							31.42			
1								20.11		
4										2.4

Muro : 199 - Nodi: [120-113-114-119], Pann.X=4, Pann.Y=4Spess.=50 cm, Terreno=--,Criterio=CLS_Muri_ND,
Materiale=C35/45, $\zeta_e=6.248$ [(5+6)-II-2] : **Verificato**

Armatura a maglia doppia

Pannello	Nx kg	Ny kg	Nxy kg	Mx kg*m	My kg*m	Mxy kg*m	Ax cmq	Ay cmq	C	Cs
1	-6881	12765	-3749	-1597	343	-4655	31.42	20.11	3	2.8
2	-3518	13396	-3979	-888	2203	-4103	31.42	20.11	3	2.2
3	1126	13765	-3465	-84	5094	-3260	31.42	20.11	3	1.7
4	6915	13938	-1738	747	9457	-1746	31.42	20.11	3	1.2
5	-6267	12888	-4091	-1582	573	-4438	31.42	20.11	3	2.8
6	-3175	13380	-4197	-810	2607	-3875	31.42	20.11	3	2.1
7	997	13642	-3571	28	5655	-3086	31.42	20.11	3	1.6
8	6076	13765	-1798	871	10111	-1700	31.42	20.11	3	1.2
9	-5707	12854	-4360	-1492	827	-4204	31.42	20.11	3	2.8
10	-2891	13211	-4353	-691	3004	-3643	31.42	20.11	3	2.1
11	831	13365	-3636	153	6164	-2916	31.42	20.11	3	1.5
12	5246	13427	-1845	987	10645	-1654	31.42	20.11	3	1.1
13	-5200	12692	-4560	-1341	1095	-3966	31.42	20.11	3	2.8
14	-2661	12919	-4446	-539	3388	-3416	31.42	20.11	3	2.1
15	640	12964	-3654	288	6618	-2755	31.42	20.11	3	1.5
16	4440	12955	-1874	1096	11068	-1612	31.42	20.11	3	1.1
Massimi/minimi										
1							31.42			
1								20.11		
16										1.1

Muro : 200 - Nodi: [113-53-51-114], Pann.X=4, Pann.Y=4Spess.=50 cm, Terreno=--,Criterio=CLS_Muri_ND,
Materiale=C35/45, $\zeta_e=21.756$ [(5+6)-II-2] : **Verificato**

Armatura a maglia doppia

Pannello	Nx kg	Ny kg	Nxy kg	Mx kg*m	My kg*m	Mxy kg*m	Ax cmq	Ay cmq	C	Cs
1	-4744	12426	-4692	-1145	1371	-3734	31.42	20.11	3	2.8
2	-2479	12531	-4480	-362	3755	-3203	31.42	20.11	3	2.0
3	432	12469	-3625	430	7019	-2609	31.42	20.11	3	1.5
4	3676	12382	-1881	1199	11390	-1574	31.42	20.11	3	1.1
5	-4335	12073	-4763	-914	1649	-3516	31.42	20.11	3	2.7
6	-2343	12069	-4460	-168	4101	-3010	31.42	20.11	3	2.0
7	212	11907	-3546	575	7370	-2482	31.42	20.11	3	1.4
8	2976	11740	-1865	1295	11623	-1543	31.42	20.11	3	1.1
9	-3967	11642	-4777	-664	1922	-3319	31.42	20.11	3	2.7
10	-2249	11546	-4392	33	4423	-2842	31.42	20.11	3	2.0

Pannello	Nx	Ny	Nxy	Mx	My	Mxy	Ax	Ay	C	Cs
11	-17	11304	-3423	721	7673	-2377	31.42	20.11	3	1.4
12	2363	11060	-1824	1387	11783	-1518	31.42	20.11	3	1.1
13	-3633	11136	-4741	-407	2186	-3146	31.42	20.11	3	2.7
14	-2194	10966	-4291	234	4721	-2700	31.42	20.11	3	1.9
15	-258	10676	-3264	863	7934	-2292	31.42	20.11	3	1.4
16	1860	10370	-1758	1474	11884	-1500	31.42	20.11	3	1.1
Massimi/minimi										
1							31.42			
1								20.11		
12										1.1

Muro : 201 - Nodi: [118-122-121-117], Pann.X=4, Pann.Y=4Spess.=50 cm, Terreno=--,Criterio=CLS_Muri_ND,
Materiale=C35/45, $\zeta_e=7.120$ [(5+6)-II-1] : **Verificato**

Armatura a maglia doppia

Pannello	Nx	Ny	Nxy	Mx	My	Mxy	Ax	Ay	C	Cs
	kg	kg	kg	kg*m	kg*m	kg*m	cmq	cmq		
1	6049	12788	5780	615	8085	1379	31.42	20.11	3	1.5
2	740	12541	7598	-65	4252	3034	31.42	20.11	3	1.9
3	-3633	12231	8516	-679	1763	3780	31.42	20.11	3	2.5
4	-7257	11960	8768	-1191	213	4270	31.42	20.11	3	3.2
5	5255	12743	5844	709	8726	1359	31.42	20.11	3	1.4
6	488	12633	7705	3	4765	2910	31.42	20.11	3	1.8
7	-3503	12488	8629	-673	2117	3615	31.42	20.11	3	2.5
8	-6815	12363	8846	-1274	403	4118	31.42	20.11	3	3.1
9	4439	12518	5853	802	9254	1338	31.42	20.11	3	1.3
10	227	12548	7732	92	5236	2778	31.42	20.11	3	1.8
11	-3368	12567	8661	-613	2470	3432	31.42	20.11	3	2.4
12	-6356	12583	8867	-1267	619	3939	31.42	20.11	3	3.1
13	3619	12143	5806	892	9676	1319	31.42	20.11	3	1.3
14	-38	12314	7680	197	5660	2648	31.42	20.11	3	1.7
15	-3234	12495	8614	-511	2816	3246	31.42	20.11	3	2.3
16	-5895	12652	8829	-1186	851	3745	31.42	20.11	3	3.1
Massimi/minimi										
1							31.42			
1								20.11		
13										1.3

Muro : 202 - Nodi: [122-50-57-121], Pann.X=4, Pann.Y=4Spess.=50 cm, Terreno=--,Criterio=CLS_Muri_ND,
Materiale=C35/45, $\zeta_e=10.895$ [(5+6)-I-3] : **Verificato**

Armatura a maglia doppia

Pannello	Nx	Ny	Nxy	Mx	My	Mxy	Ax	Ay	C	Cs
	kg	kg	kg	kg*m	kg*m	kg*m	cmq	cmq		
1	2817	11649	5707	977	9998	1304	31.42	20.11	3	1.3
2	-301	11962	7548	313	6036	2526	31.42	20.11	3	1.7
3	-3107	12300	8491	-375	3150	3065	31.42	20.11	3	2.3
4	-5441	12597	8727	-1048	1094	3550	31.42	20.11	3	3.0
5	2058	11071	5555	1059	10231	1295	31.42	20.11	3	1.2
6	-563	11521	7339	437	6366	2419	31.42	20.11	3	1.6
7	-2991	12008	8294	-217	3467	2897	31.42	20.11	3	2.2
8	-5002	12441	8561	-867	1341	3361	31.42	20.11	3	3.0
9	1371	10441	5354	1136	10388	1293	31.42	20.11	3	1.2
10	-821	11020	7057	564	6651	2329	31.42	20.11	3	1.6
11	-2891	11638	8030	-43	3763	2749	31.42	20.11	3	2.2
12	-4579	12199	8329	-657	1586	3188	31.42	20.11	3	3.0
13	780	9788	5104	1210	10482	1297	31.42	20.11	3	1.2
14	-1081	10477	6713	691	6894	2257	31.42	20.11	3	1.6
15	-2805	11196	7706	135	4039	2622	31.42	20.11	3	2.2
16	-4171	11879	8030	-432	1825	3034	31.42	20.11	3	2.9
Massimi/minimi										
1							31.42			
1								20.11		
9										1.2

Muro : 203 - Nodi: [204-123-115-206], Pann.X=4, Pann.Y=4Spess.=50 cm, Terreno=--,Criterio=CLS_Muri_ND,
Materiale=C35/45, $\zeta_e=16.907$ [(5+6)-I-1] : **Verificato**

Armatura a maglia doppia

**POTENZIAMENTO DELL'IMPIANTO DI DEPURAZIONE E
DEL RECAPITO FINALE DI SQUINZANO (LE)
PROGETTO DEFINITIVO
Tabulati di calcolo strutturale-Equalizzazione**

R.37.7

Maggio 2021

Pagina 213 di
338

Pannello	Nx	Ny	Nxy	Mx	My	Mxy	Ax	Ay	C	Cs
	kg	kg	kg	kg*m	kg*m	kg*m	cmq	cmq		
1	4423	-6213	12	-833	-7411	73	20.11	31.42	3	3.6
2	5086	-5946	37	-880	-8123	104	20.11	31.42	3	3.3
3	5753	-5685	65	-880	-8569	142	20.11	31.42	3	3.1
4	6420	-5433	96	-832	-8776	188	20.11	31.42	3	3.0
5	4312	-6090	554	-1108	-7251	88	20.11	31.42	3	3.7
6	4969	-5794	571	-1224	-7922	145	20.11	31.42	3	3.3
7	5622	-5486	590	-1305	-8321	217	20.11	31.42	3	3.1
8	6270	-5167	612	-1354	-8474	306	20.11	31.42	3	3.0
9	4358	-6264	955	-1452	-7081	-170	20.11	31.42	3	3.7
10	5012	-5919	912	-1636	-7699	-129	20.11	31.42	3	3.4
11	5659	-5557	870	-1794	-8041	-76	20.11	31.42	3	3.3
12	6299	-5178	828	-1933	-8134	-11	20.11	31.42	3	3.3
13	4674	-6891	1142	-1688	-7011	-620	20.11	31.42	3	3.6
14	5334	-6496	1036	-1891	-7583	-609	20.11	31.42	3	3.3
15	5984	-6087	927	-2067	-7886	-590	20.11	31.42	3	3.2
16	6623	-5663	816	-2220	-7947	-567	20.11	31.42	3	3.2
Massimi/minimi										
1							20.11			
1								31.42		
4										3.0

Muro : 204 - Nodi: [206-115-59-21], Pann.X=4, Pann.Y=4Spess.=50 cm, Terreno=--,Criterio=CLS_Muri_ND,
Materiale=C35/45,ζ_e=19.016 [(5+6)-I-1] : **Verificato**

Armatura a maglia doppia

Pannello	Nx	Ny	Nxy	Mx	My	Mxy	Ax	Ay	C	Cs
	kg	kg	kg	kg*m	kg*m	kg*m	cmq	cmq		
1	7086	-5190	134	-734	-8772	244	20.11	31.42	3	3.0
2	7749	-4957	178	-585	-8584	312	20.11	31.42	3	3.0
3	8405	-4737	232	-380	-8242	396	20.11	31.42	3	3.1
4	9050	-4533	299	-114	-7773	499	20.11	31.42	3	3.2
5	6910	-4836	638	-1375	-8407	414	20.11	31.42	3	3.0
6	7541	-4490	667	-1373	-8145	543	20.11	31.42	3	3.1
7	8162	-4126	699	-1353	-7714	697	20.11	31.42	3	3.2
8	8769	-3740	732	-1323	-7137	880	20.11	31.42	3	3.3
9	6934	-4783	787	-2057	-8003	64	20.11	31.42	3	3.3
10	7563	-4371	747	-2173	-7675	150	20.11	31.42	3	3.4
11	8192	-3944	705	-2289	-7175	244	20.11	31.42	3	3.6
12	8823	-3504	661	-2411	-6528	346	20.11	31.42	3	3.8
13	7252	-5223	706	-2355	-7792	-541	20.11	31.42	3	3.2
14	7873	-4767	598	-2479	-7449	-518	20.11	31.42	3	3.3
15	8491	-4295	496	-2596	-6945	-498	20.11	31.42	3	3.6
16	9109	-3809	401	-2713	-6306	-485	20.11	31.42	3	3.9
Massimi/minimi										
1							20.11			
1								31.42		
1										3.0

Muro : 205 - Nodi: [123-127-116-115], Pann.X=4, Pann.Y=4Spess.=50 cm, Terreno=--,Criterio=CLS_Muri_ND,
Materiale=C35/45,ζ_e=21.955 [(5+6)-I-3] : **Verificato**

Armatura a maglia doppia

Pannello	Nx	Ny	Nxy	Mx	My	Mxy	Ax	Ay	C	Cs
	kg	kg	kg	kg*m	kg*m	kg*m	cmq	cmq		
1	5033	-7513	1187	-1763	-7012	-974	20.11	31.42	3	3.4
2	5713	-7109	1042	-1950	-7554	-973	20.11	31.42	3	3.2
3	6374	-6690	889	-2101	-7836	-965	20.11	31.42	3	3.1
4	7017	-6257	731	-2220	-7885	-955	20.11	31.42	3	3.1
5	5301	-7916	1210	-1778	-7015	-1128	20.11	31.42	3	3.4
6	5997	-7513	1038	-1946	-7536	-1117	20.11	31.42	3	3.1
7	6669	-7097	860	-2073	-7803	-1098	20.11	31.42	3	3.0
8	7318	-6667	678	-2160	-7847	-1074	20.11	31.42	3	3.0
9	5617	-8341	1228	-1795	-6993	-1286	20.11	31.42	3	3.3
10	6325	-7932	1032	-1944	-7485	-1256	20.11	31.42	3	3.1
11	7003	-7511	832	-2045	-7733	-1214	20.11	31.42	3	3.0
12	7654	-7082	633	-2099	-7766	-1164	20.11	31.42	3	3.0
13	5978	-8759	1223	-1821	-6930	-1425	20.11	31.42	3	3.3
14	6689	-8330	1004	-1952	-7384	-1367	20.11	31.42	3	3.1
15	7364	-7893	790	-2031	-7603	-1291	20.11	31.42	3	3.1
16	8005	-7451	583	-2057	-7618	-1202	20.11	31.42	3	3.1

**POTENZIAMENTO DELL'IMPIANTO DI DEPURAZIONE E
DEL RECAPITO FINALE DI SQUINZANO (LE)
PROGETTO DEFINITIVO
Tabulati di calcolo strutturale-Equalizzazione**

R.37.7

Maggio 2021

Pagina 214 di
338

Pannello	Nx	Ny	Nxy	Mx	My	Mxy	Ax	Ay	C	Cs
										Massimi/minimi
1							20.11			
1								31.42		
8										3.0

Muro : 206 - Nodi: [115-116-62-59], Pann.X=4, Pann.Y=4Spess.=50 cm, Terreno=--,Criterio=CLS_Muri_ND,
Materiale=C35/45, $\zeta_e=17.452$ [(5+6)-I-3] : **Verificato**

Armatura a maglia doppia

Pannello	Nx	Ny	Nxy	Mx	My	Mxy	Ax	Ay	C	Cs
	kg	kg	kg	kg*m	kg*m	kg*m	cmq	cmq		
1	7643	-5808	571	-2310	-7730	-948	20.11	31.42	3	3.1
2	8253	-5344	413	-2376	-7397	-947	20.11	31.42	3	3.2
3	8848	-4862	258	-2422	-6913	-958	20.11	31.42	3	3.4
4	9431	-4360	113	-2455	-6303	-986	20.11	31.42	3	3.6
5	7946	-6226	494	-2209	-7696	-1052	20.11	31.42	3	3.1
6	8553	-5773	310	-2223	-7377	-1037	20.11	31.42	3	3.2
7	9140	-5308	128	-2206	-6918	-1036	20.11	31.42	3	3.4
8	9708	-4829	-52	-2160	-6342	-1056	20.11	31.42	3	3.6
9	8280	-6649	436	-2108	-7615	-1112	20.11	31.42	3	3.1
10	8885	-6214	243	-2070	-7308	-1064	20.11	31.42	3	3.2
11	9471	-5782	53	-1987	-6873	-1027	20.11	31.42	3	3.4
12	10039	-5355	-137	-1859	-6338	-1011	20.11	31.42	3	3.6
13	8619	-7011	388	-2032	-7459	-1105	20.11	31.42	3	3.2
14	9209	-6581	207	-1953	-7155	-1005	20.11	31.42	3	3.3
15	9782	-6168	41	-1819	-6736	-909	20.11	31.42	3	3.5
16	10344	-5786	-110	-1625	-6231	-823	20.11	31.42	3	3.8
										Massimi/minimi
1							20.11			
1								31.42		
5										3.1

Muro : 207 - Nodi: [127-128-130-116], Pann.X=4, Pann.Y=4Spess.=50 cm, Terreno=--,Criterio=CLS_Muri_ND,
Materiale=C35/45, $\zeta_e=19.110$ [(5+6)-I-3] : **Verificato**

Armatura a maglia doppia

Pannello	Nx	Ny	Nxy	Mx	My	Mxy	Ax	Ay	C	Cs
	kg	kg	kg	kg*m	kg*m	kg*m	cmq	cmq		
1	6380	-9133	1171	-1855	-6811	-1552	20.11	31.42	3	3.3
2	7084	-8672	932	-1972	-7216	-1458	20.11	31.42	3	3.2
3	7740	-8200	704	-2034	-7396	-1341	20.11	31.42	3	3.1
4	8355	-7724	494	-2042	-7382	-1204	20.11	31.42	3	3.2
5	6829	-9441	1049	-1892	-6623	-1671	20.11	31.42	3	3.3
6	7511	-8930	784	-1996	-6968	-1537	20.11	31.42	3	3.2
7	8132	-8406	540	-2045	-7099	-1374	20.11	31.42	3	3.2
8	8700	-7874	325	-2041	-7045	-1187	20.11	31.42	3	3.3
9	7334	-9656	830	-1911	-6356	-1784	20.11	31.42	3	3.4
10	7978	-9082	536	-2001	-6632	-1607	20.11	31.42	3	3.3
11	8549	-8494	272	-2038	-6705	-1398	20.11	31.42	3	3.4
12	9053	-7897	45	-2023	-6605	-1162	20.11	31.42	3	3.5
13	7893	-9725	496	-1883	-6002	-1884	20.11	31.42	3	3.5
14	8487	-9087	177	-1952	-6201	-1664	20.11	31.42	3	3.5
15	8994	-8438	-107	-1969	-6214	-1410	20.11	31.42	3	3.6
16	9424	-7781	-347	-1939	-6067	-1130	20.11	31.42	3	3.8
										Massimi/minimi
1							20.11			
1								31.42		
3										3.1

Muro : 208 - Nodi: [116-130-67-62], Pann.X=4, Pann.Y=4Spess.=50 cm, Terreno=--,Criterio=CLS_Muri_ND,
Materiale=C35/45, $\zeta_e=15.852$ [(5+6)-I-3] : **Verificato**

Armatura a maglia doppia

Pannello	Nx	Ny	Nxy	Mx	My	Mxy	Ax	Ay	C	Cs
	kg	kg	kg	kg*m	kg*m	kg*m	cmq	cmq		
1	8933	-7250	309	-1994	-7203	-1052	20.11	31.42	3	3.3
2	9483	-6787	153	-1892	-6889	-891	20.11	31.42	3	3.5
3	10010	-6343	31	-1733	-6468	-723	20.11	31.42	3	3.8
4	10524	-5931	-52	-1513	-5970	-552	20.11	31.42	3	4.1

Pannello	Nx	Ny	Nxy	Mx	My	Mxy	Ax	Ay	C	Cs
5	9221	-7340	144	-1983	-6836	-980	20.11	31.42	3	3.5
6	9702	-6809	5	-1875	-6499	-758	20.11	31.42	3	3.7
7	10151	-6285	-86	-1716	-6061	-523	20.11	31.42	3	4.1
8	10572	-5772	-123	-1508	-5549	-276	20.11	31.42	3	4.6
9	9500	-7293	-140	-1960	-6360	-906	20.11	31.42	3	3.7
10	9898	-6686	-277	-1853	-5996	-633	20.11	31.42	3	4.1
11	10254	-6076	-364	-1707	-5536	-348	20.11	31.42	3	4.6
12	10576	-5461	-397	-1528	-5003	-52	20.11	31.42	3	5.3
13	9788	-7118	-540	-1867	-5788	-832	20.11	31.42	3	4.1
14	10098	-6452	-683	-1758	-5399	-522	20.11	31.42	3	4.6
15	10365	-5783	-775	-1621	-4924	-205	20.11	31.42	3	5.2
16	10599	-5111	-818	-1464	-4384	114	20.11	31.42	3	5.9
Massimi/minimi										
1							20.11			
1								31.42		
1										3.3

Muro : 209 - Nodi: [128-131-129-130], Pann.X=4, Pann.Y=4Spess.=50 cm, Terreno=--,Criterio=CLS_Muri_ND,
Materiale=C35/45,ζ=10.086 [(5+6)-I-3] : **Verificato**

Armatura a maglia doppia

Pannello	Nx kg	Ny kg	Nxy kg	Mx kg*m	My kg*m	Mxy kg*m	Ax cmq	Ay cmq	C	Cs
1	8543	-9560	24	-1751	-5509	-1963	20.11	31.42	3	3.7
2	9072	-8870	-319	-1785	-5625	-1694	20.11	31.42	3	3.8
3	9498	-8171	-617	-1768	-5574	-1393	20.11	31.42	3	3.9
4	9836	-7470	-865	-1708	-5383	-1070	20.11	31.42	3	4.2
5	9287	-9022	-574	-1428	-4847	-1982	20.11	31.42	3	4.0
6	9724	-8297	-930	-1400	-4875	-1658	20.11	31.42	3	4.2
7	10045	-7573	-1230	-1325	-4764	-1309	20.11	31.42	3	4.5
8	10271	-6856	-1470	-1212	-4537	-944	20.11	31.42	3	4.9
9	10049	-7972	-1228	-809	-4021	-1883	20.11	31.42	3	4.6
10	10367	-7246	-1568	-689	-3972	-1507	20.11	31.42	3	5.0
11	10560	-6539	-1842	-531	-3815	-1113	20.11	31.42	3	5.5
12	10656	-5855	-2047	-344	-3571	-716	20.11	31.42	3	6.3
13	10738	-6181	-1832	264	-3021	-1598	20.11	31.42	3	5.8
14	10926	-5536	-2109	506	-2914	-1181	20.11	31.42	3	6.6
15	10985	-4932	-2323	770	-2732	-759	20.11	31.42	3	7.7
16	10942	-4362	-2470	1046	-2494	-345	20.11	31.42	3	9.4
Massimi/minimi										
1							20.11			
1								31.42		
1										3.7

Muro : 210 - Nodi: [130-129-60-67], Pann.X=4, Pann.Y=4Spess.=50 cm, Terreno=--,Criterio=CLS_Muri_ND,
Materiale=C35/45,ζ=9.268 [(5+6)-I-1] : **Verificato**

Armatura a maglia doppia

Pannello	Nx kg	Ny kg	Nxy kg	Mx kg*m	My kg*m	Mxy kg*m	Ax cmq	Ay cmq	C	Cs
1	10105	-6769	-1060	-1611	-5076	-735	20.11	31.42	3	4.7
2	10318	-6072	-1200	-1485	-4675	-396	20.11	31.42	3	5.3
3	10491	-5381	-1288	-1338	-4203	-60	20.11	31.42	3	6.3
4	10639	-4698	-1328	-1181	-3677	265	20.11	31.42	3	6.8
5	10424	-6152	-1648	-1069	-4217	-577	20.11	31.42	3	5.6
6	10525	-5463	-1765	-904	-3823	-216	20.11	31.42	3	6.6
7	10592	-4794	-1824	-725	-3376	130	20.11	31.42	3	7.6
8	10646	-4148	-1831	-542	-2893	452	20.11	31.42	3	7.9
9	10678	-5196	-2184	-135	-3258	-325	20.11	31.42	3	7.5
10	10652	-4565	-2253	86	-2895	48	20.11	31.42	3	9.1
11	10602	-3966	-2256	312	-2497	395	20.11	31.42	3	9.2
12	10549	-3402	-2199	536	-2080	709	20.11	31.42	3	9.5
13	-6916	-3542	-999	-1313	1361	519	20.11	31.42	2	9.9
14	10657	-3319	-2552	1608	-1900	422	20.11	31.42	3	7.1
15	10472	-2848	-2484	1880	-1573	757	20.11	31.42	3	5.5
16	10297	-2414	-2347	2139	-1243	1052	20.11	31.42	3	4.6
Massimi/minimi										
1							20.11			
1								31.42		
16										4.6

Muro : 211 - Nodi: [131-110-112-129], Pann.X=4, Pann.Y=4Spess.=50 cm, Terreno=--,Criterio=CLS_Muri_ND,
Materiale=C35/45, $\zeta_e=17.742$ [(5+6)-I-3] : **Verificato**

Armatura a maglia doppia

Pannello	Nx	Ny	Nxy	Mx	My	Mxy	Ax	Ay	C	Cs
	kg	kg	kg	kg*m	kg*m	kg*m	cmq	cmq		
1	11202	-3811	-2139	1738	-2017	-1162	20.11	31.42	3	4.9
2	11295	-3364	-2333	2105	-1879	-734	20.11	31.42	3	5.0
3	11251	-2963	-2478	2469	-1697	-311	20.11	31.42	3	5.2
4	11094	-2596	-2568	2823	-1481	94	20.11	31.42	3	4.9
5	11457	-1108	-2033	3595	-1082	-617	20.11	31.42	3	3.4
6	11500	-949	-2152	4070	-937	-213	20.11	31.42	3	3.3
7	11391	-830	-2242	4512	-770	177	20.11	31.42	3	3.0
8	11153	-739	-2291	4915	-589	544	20.11	31.42	3	2.6
9	11593	2227	-1407	6185	-130	82	20.11	31.42	3	2.3
10	11615	1988	-1463	6751	7	414	20.11	31.42	3	2.0
11	11467	1717	-1506	7240	147	727	20.11	31.42	3	1.8
12	11172	1425	-1525	7655	285	1018	20.11	31.42	3	1.7
13	11632	6183	-116	9781	705	439	20.11	31.42	3	1.4
14	11654	5458	-112	10387	831	599	20.11	31.42	3	1.3
15	11488	4694	-107	10865	944	750	20.11	31.42	3	1.2
16	11164	3899	-95	11224	1045	887	20.11	31.42	3	1.2
Massimi/minimi										
1							20.11			
1								31.42		
16										1.2

Muro : 212 - Nodi: [129-112-47-60], Pann.X=4, Pann.Y=4Spess.=50 cm, Terreno=--,Criterio=CLS_Muri_ND,
Materiale=C35/45, $\zeta_e=16.890$ [(5+6)-II-1] : **Verificato**

Armatura a maglia doppia

Pannello	Nx	Ny	Nxy	Mx	My	Mxy	Ax	Ay	C	Cs
	kg	kg	kg	kg*m	kg*m	kg*m	cmq	cmq		
1	10852	-2258	-2595	3161	-1243	474	20.11	31.42	3	4.0
2	10556	-1943	-2550	3477	-993	820	20.11	31.42	3	3.4
3	10240	-1651	-2429	3770	-740	1128	20.11	31.42	3	3.0
4	9940	-1384	-2229	4036	-496	1393	20.11	31.42	3	2.7
5	10817	-665	-2288	5277	-401	882	20.11	31.42	3	2.3
6	10413	-600	-2222	5596	-211	1185	20.11	31.42	3	2.1
7	9978	-538	-2084	5873	-29	1450	20.11	31.42	3	2.0
8	9556	-474	-1864	6109	138	1673	20.11	31.42	3	1.9
9	10761	1122	-1510	7998	419	1281	20.11	31.42	3	1.6
10	10265	824	-1449	8274	545	1513	20.11	31.42	3	1.5
11	9723	545	-1332	8487	658	1712	20.11	31.42	3	1.4
12	9177	301	-1147	8645	750	1876	20.11	31.42	3	1.4
13	10709	3086	-70	11475	1131	1010	20.11	31.42	3	1.2
14	10157	2273	-25	11630	1203	1117	20.11	31.42	3	1.1
15	9543	1480	46	11705	1258	1206	20.11	31.42	3	1.1
16	8911	736	147	11712	1292	1278	20.11	31.42	3	1.1
Massimi/minimi										
1							20.11			
1								31.42		
15										1.1

Muro : 213 - Nodi: [124-136-133-125], Pann.X=4, Pann.Y=4Spess.=50 cm, Terreno=--,Criterio=CLS_Muri_ND,
Materiale=C35/45, $\zeta_e=16.457$ [(5+6)-I-3] : **Verificato**

Armatura a maglia doppia

Pannello	Nx	Ny	Nxy	Mx	My	Mxy	Ax	Ay	C	Cs
	kg	kg	kg	kg*m	kg*m	kg*m	cmq	cmq		
1	-6668	3613	-2807	-7288	-1539	351	31.42	20.11	3	3.5
2	-6478	3464	-2763	-7268	-1495	213	31.42	20.11	3	3.6
3	-6331	3337	-2707	-7266	-1428	79	31.42	20.11	3	3.7
4	-6227	3233	-2632	-7282	-1341	-37	31.42	20.11	3	3.7
5	-6280	4182	-2692	-7882	-1724	363	31.42	20.11	3	3.3
6	-6096	4012	-2665	-7871	-1679	212	31.42	20.11	3	3.3
7	-5961	3869	-2625	-7880	-1606	65	31.42	20.11	3	3.4
8	-5872	3751	-2566	-7909	-1503	-63	31.42	20.11	3	3.4
9	-5880	4748	-2562	-8201	-1884	372	31.42	20.11	3	3.1
10	-5703	4559	-2555	-8197	-1841	206	31.42	20.11	3	3.2

Pannello	Nx	Ny	Nxy	Mx	My	Mxy	Ax	Ay	C	Cs
11	-5580	4399	-2533	-8216	-1759	42	31.42	20.11	3	3.3
12	-5506	4267	-2491	-8259	-1640	-101	31.42	20.11	3	3.2
13	-5466	5311	-2419	-8272	-2024	378	31.42	20.11	3	3.1
14	-5298	5104	-2433	-8273	-1984	195	31.42	20.11	3	3.2
15	-5186	4928	-2431	-8301	-1895	12	31.42	20.11	3	3.2
16	-5129	4781	-2408	-8357	-1758	-149	31.42	20.11	3	3.1
Massimi/minimi										
1							31.42			
1								20.11		
13										3.1

Muro : 214 - Nodi: [134-142-136-124], Pann.X=4, Pann.Y=4Spess.=50 cm, Terreno=--,Criterio=CLS_Muri_ND,
Materiale=C35/45, $\zeta_e=20.199$ [(5+6)-I-3] : **Verificato**

Armatura a maglia doppia

Pannello	Nx	Ny	Nxy	Mx	My	Mxy	Ax	Ay	C	Cs
	kg	kg	kg	kg*m	kg*m	kg*m	cmq	cmq		
1	-8577	5024	-2944	-7463	-1650	997	31.42	20.11	3	3.2
2	-7983	4572	-2959	-7452	-1601	873	31.42	20.11	3	3.3
3	-7421	4166	-2915	-7399	-1581	717	31.42	20.11	3	3.4
4	-6963	3835	-2854	-7333	-1567	526	31.42	20.11	3	3.5
5	-8144	5718	-2734	-7991	-1767	978	31.42	20.11	3	3.0
6	-7580	5242	-2759	-8009	-1735	882	31.42	20.11	3	3.1
7	-7032	4804	-2743	-7974	-1738	740	31.42	20.11	3	3.1
8	-6574	4435	-2715	-7919	-1743	549	31.42	20.11	3	3.2
9	-7712	6399	-2517	-8272	-1833	947	31.42	20.11	3	3.0
10	-7170	5901	-2547	-8310	-1824	885	31.42	20.11	3	3.0
11	-6629	5433	-2554	-8284	-1858	762	31.42	20.11	3	3.0
12	-6171	5028	-2559	-8233	-1890	569	31.42	20.11	3	3.1
13	-7284	7067	-2292	-8336	-1848	907	31.42	20.11	3	2.9
14	-6754	6549	-2323	-8384	-1869	886	31.42	20.11	3	2.9
15	-6212	6051	-2351	-8357	-1943	785	31.42	20.11	3	3.0
16	-5753	5615	-2389	-8303	-2012	590	31.42	20.11	3	3.0
Massimi/minimi										
1							31.42			
1								20.11		
14										2.9

Muro : 215 - Nodi: [119-114-139-126], Pann.X=4, Pann.Y=4Spess.=50 cm, Terreno=--,Criterio=CLS_Muri_ND,
Materiale=C35/45, $\zeta_e=17.002$ [(5+6)-I-1] : **Verificato**

Armatura a maglia doppia

Pannello	Nx	Ny	Nxy	Mx	My	Mxy	Ax	Ay	C	Cs
	kg	kg	kg	kg*m	kg*m	kg*m	cmq	cmq		
1	5710	12011	1229	487	9108	-453	31.42	20.11	3	1.5
2	-815	11989	2905	-1025	3936	571	31.42	20.11	3	3.1
3	-5649	11651	2852	-2580	906	1489	31.42	20.11	3	5.9
4	-8772	10959	1838	-3919	-802	1929	31.42	20.11	3	4.7
5	4997	11995	1196	628	9733	-669	31.42	20.11	3	1.4
6	-694	11997	2957	-861	4442	170	31.42	20.11	3	3.1
7	-5002	11762	3034	-2425	1221	1064	31.42	20.11	3	6.2
8	-7873	11218	2148	-3817	-662	1542	31.42	20.11	3	5.1
9	4266	11811	1159	759	10247	-870	31.42	20.11	3	1.3
10	-611	11862	2980	-680	4911	-212	31.42	20.11	3	2.8
11	-4405	11744	3161	-2214	1547	643	31.42	20.11	3	6.5
12	-7020	11358	2395	-3617	-488	1144	31.42	20.11	3	5.7
13	3522	11481	1110	879	10658	-1051	31.42	20.11	3	1.2
14	-555	11608	2965	-488	5340	-568	31.42	20.11	3	2.4
15	-3852	11627	3227	-1962	1875	238	31.42	20.11	3	6.7
16	-6213	11408	2574	-3339	-288	747	31.42	20.11	3	6.6
Massimi/minimi										
1							31.42			
1								20.11		
13										1.2

Muro : 216 - Nodi: [126-139-142-134], Pann.X=4, Pann.Y=4Spess.=50 cm, Terreno=--,Criterio=CLS_Muri_ND,
Materiale=C35/45, $\zeta_e=21.511$ [(5+6)-I-1] : **Verificato**

Armatura a maglia doppia

**POTENZIAMENTO DELL'IMPIANTO DI DEPURAZIONE E
DEL RECAPITO FINALE DI SQUINZANO (LE)
PROGETTO DEFINITIVO
Tabulati di calcolo strutturale-Equalizzazione**

R.37.7

Maggio 2021

Pagina 218 di
338

Pannello	Nx	Ny	Nxy	Mx	My	Mxy	Ax	Ay	C	Cs
	kg	kg	kg	kg*m	kg*m	kg*m	cmq	cmq		
1	-10580	9686	132	-5194	-1797	2007	31.42	20.11	3	3.9
2	-10652	7979	-1537	-6284	-2137	1782	31.42	20.11	3	3.5
3	-9950	6583	-2419	-6972	-2015	1443	31.42	20.11	3	3.3
4	-9242	5641	-2800	-7343	-1782	1167	31.42	20.11	3	3.2
5	-9641	10134	553	-5205	-1813	1696	31.42	20.11	3	4.0
6	-9899	8614	-1120	-6454	-2247	1557	31.42	20.11	3	3.5
7	-9381	7305	-2118	-7301	-2142	1294	31.42	20.11	3	3.2
8	-8764	6361	-2581	-7800	-1896	1093	31.42	20.11	3	3.1
9	-8726	10476	912	-5069	-1784	1361	31.42	20.11	3	4.3
10	-9126	9159	-744	-6432	-2310	1299	31.42	20.11	3	3.6
11	-8782	7965	-1830	-7409	-2218	1112	31.42	20.11	3	3.2
12	-8280	7052	-2358	-8020	-1956	996	31.42	20.11	3	3.0
13	-7837	10736	1208	-4812	-1719	1012	31.42	20.11	3	4.7
14	-8340	9629	-414	-6245	-2332	1016	31.42	20.11	3	3.8
15	-8157	8569	-1565	-7326	-2246	901	31.42	20.11	3	3.3
16	-7792	7717	-2140	-8033	-1962	877	31.42	20.11	3	3.1
Massimi/minimi										
1							31.42			
1								20.11		
12										3.0

Muro : 217 - Nodi: [125-133-144-137], Pann.X=4, Pann.Y=4Spess.=50 cm, Terreno=--,Criterio=CLS_Muri_ND,
Materiale=C35/45,ζ_e=16.580 [(5+6)-I-3] : **Verificato**

Armatura a maglia doppia

Pannello	Nx	Ny	Nxy	Mx	My	Mxy	Ax	Ay	C	Cs
	kg	kg	kg	kg*m	kg*m	kg*m	cmq	cmq		
1	-6147	3129	-2500	-7324	-1209	-144	31.42	20.11	3	3.6
2	-6127	3047	-2276	-7388	-1043	-211	31.42	20.11	3	3.5
3	-6172	3004	-1987	-7444	-904	-200	31.42	20.11	3	3.5
4	-6221	2967	-1664	-7470	-825	-140	31.42	20.11	3	3.5
5	-5818	3636	-2451	-7972	-1344	-182	31.42	20.11	3	3.3
6	-5833	3545	-2248	-8062	-1140	-251	31.42	20.11	3	3.2
7	-5904	3492	-1969	-8142	-965	-228	31.42	20.11	3	3.2
8	-5965	3440	-1638	-8184	-863	-145	31.42	20.11	3	3.2
9	-5478	4140	-2397	-8344	-1450	-233	31.42	20.11	3	3.1
10	-5530	4039	-2216	-8465	-1199	-305	31.42	20.11	3	3.1
11	-5635	3977	-1947	-8573	-981	-266	31.42	20.11	3	3.0
12	-5717	3914	-1606	-8634	-852	-154	31.42	20.11	3	3.1
13	-5127	4638	-2337	-8467	-1531	-298	31.42	20.11	3	3.1
14	-5219	4526	-2180	-8622	-1225	-375	31.42	20.11	3	3.0
15	-5366	4457	-1921	-8764	-953	-317	31.42	20.11	3	3.0
16	-5479	4386	-1567	-8849	-791	-170	31.42	20.11	3	3.0
Massimi/minimi										
1							31.42			
1								20.11		
15										3.0

Muro : 218 - Nodi: [142-68-64-136], Pann.X=4, Pann.Y=4Spess.=50 cm, Terreno=--,Criterio=CLS_Muri_ND,
Materiale=C35/45,ζ_e=19.827 [(5+6)-I-1] : **Verificato**

Armatura a maglia doppia

Pannello	Nx	Ny	Nxy	Mx	My	Mxy	Ax	Ay	C	Cs
	kg	kg	kg	kg*m	kg*m	kg*m	cmq	cmq		
1	-6861	7726	-2064	-8211	-1811	862	31.42	20.11	3	3.0
2	-6334	7187	-2087	-8260	-1872	890	31.42	20.11	3	3.0
3	-5783	6660	-2135	-8221	-1998	813	31.42	20.11	3	3.0
4	-5320	6196	-2206	-8156	-2113	615	31.42	20.11	3	3.1
5	-6451	8376	-1831	-7929	-1720	817	31.42	20.11	3	3.1
6	-5912	7816	-1838	-7964	-1831	902	31.42	20.11	3	3.0
7	-5339	7259	-1906	-7902	-2025	853	31.42	20.11	3	3.1
8	-4871	6772	-2013	-7817	-2200	646	31.42	20.11	3	3.2
9	-6060	9022	-1593	-7519	-1572	778	31.42	20.11	3	3.2
10	-5488	8435	-1576	-7526	-1749	930	31.42	20.11	3	3.2
11	-4879	7848	-1666	-7426	-2030	908	31.42	20.11	3	3.2
12	-4405	7345	-1811	-7312	-2278	687	31.42	20.11	3	3.3
13	-5699	9667	-1349	-7010	-1362	749	31.42	20.11	3	3.5
14	-5061	9043	-1296	-6971	-1625	981	31.42	20.11	3	3.4
15	-4400	8428	-1417	-6816	-2019	986	31.42	20.11	3	3.4
16	-3923	7917	-1606	-6666	-2356	740	31.42	20.11	3	3.6

Pannello	Nx	Ny	Nxy	Mx	My	Mxy	Ax	Ay	C	Cs
										Massimi/minimi
1							31.42			
1								20.11		
2										3.0

Muro : 219 - Nodi: [136-64-61-133], Pann.X=4, Pann.Y=4Spess.=50 cm, Terreno=--,Criterio=CLS_Muri_ND,
Materiale=C35/45, $\zeta_e=23.560$ [(5+6)-I-3] : **Verificato**

Armatura a maglia doppia

Pannello	Nx	Ny	Nxy	Mx	My	Mxy	Ax	Ay	C	Cs
	kg	kg	kg	kg*m	kg*m	kg*m	cmq	cmq		
1	-5038	5871	-2265	-8120	-2150	384	31.42	20.11	3	3.1
2	-4879	5648	-2300	-8124	-2115	181	31.42	20.11	3	3.2
3	-4780	5455	-2318	-8160	-2018	-26	31.42	20.11	3	3.3
4	-4738	5292	-2315	-8230	-1861	-209	31.42	20.11	3	3.2
5	-4596	6429	-2101	-7773	-2267	392	31.42	20.11	3	3.3
6	-4447	6192	-2156	-7777	-2240	164	31.42	20.11	3	3.4
7	-4361	5982	-2193	-7819	-2136	-70	31.42	20.11	3	3.4
8	-4335	5801	-2210	-7901	-1958	-280	31.42	20.11	3	3.3
9	-4140	6990	-1928	-7255	-2382	403	31.42	20.11	3	3.5
10	-4003	6740	-2001	-7258	-2365	146	31.42	20.11	3	3.6
11	-3929	6513	-2056	-7305	-2255	-121	31.42	20.11	3	3.6
12	-3917	6311	-2092	-7397	-2054	-362	31.42	20.11	3	3.4
13	-3672	7557	-1749	-6595	-2502	419	31.42	20.11	3	3.8
14	-3549	7297	-1837	-6595	-2497	127	31.42	20.11	3	3.9
15	-3488	7052	-1905	-6644	-2382	-176	31.42	20.11	3	3.9
16	-3488	6824	-1957	-6744	-2157	-454	31.42	20.11	3	3.7
										Massimi/minimi
1							31.42			
1								20.11		
1										3.1

Muro : 220 - Nodi: [139-83-68-142], Pann.X=4, Pann.Y=4Spess.=50 cm, Terreno=--,Criterio=CLS_Muri_ND,
Materiale=C35/45, $\zeta_e=18.353$ [(5+6)-I-3] : **Verificato**

Armatura a maglia doppia

Pannello	Nx	Ny	Nxy	Mx	My	Mxy	Ax	Ay	C	Cs
	kg	kg	kg	kg*m	kg*m	kg*m	cmq	cmq		
1	-6976	10935	1440	-4456	-1626	662	31.42	20.11	3	5.3
2	-7547	10039	-132	-5921	-2319	717	31.42	20.11	3	4.1
3	-7513	9125	-1328	-7080	-2231	665	31.42	20.11	3	3.5
4	-7304	8358	-1933	-7870	-1914	740	31.42	20.11	3	3.2
5	-6147	11097	1610	-4025	-1511	320	31.42	20.11	3	6.2
6	-6753	10406	103	-5483	-2278	407	31.42	20.11	3	4.6
7	-6853	9642	-1123	-6698	-2176	408	31.42	20.11	3	3.8
8	-6822	8981	-1743	-7558	-1810	588	31.42	20.11	3	3.3
9	-5353	11240	1718	-3537	-1382	-5	31.42	20.11	3	7.6
10	-5961	10744	292	-4955	-2219	96	31.42	20.11	3	5.3
11	-6178	10128	-955	-6204	-2086	131	31.42	20.11	3	4.3
12	-6353	9591	-1575	-7127	-1649	422	31.42	20.11	3	3.6
13	-4597	11383	1770	-3015	-1249	-304	31.42	20.11	3	8.0
14	-5176	11069	438	-4358	-2150	-211	31.42	20.11	3	5.9
15	-5489	10592	-822	-5622	-1970	-163	31.42	20.11	3	4.6
16	-5906	10191	-1434	-6605	-1428	242	31.42	20.11	3	3.9
										Massimi/minimi
1							31.42			
1								20.11		
4										3.2

Muro : 221 - Nodi: [114-51-83-139], Pann.X=4, Pann.Y=4Spess.=50 cm, Terreno=--,Criterio=CLS_Muri_ND,
Materiale=C35/45, $\zeta_e=9.595$ [(5+6)-I-3] : **Verificato**

Armatura a maglia doppia

Pannello	Nx	Ny	Nxy	Mx	My	Mxy	Ax	Ay	C	Cs
	kg	kg	kg	kg*m	kg*m	kg*m	cmq	cmq		
1	2777	11035	1042	988	10974	-1212	31.42	20.11	3	1.2
2	-514	11262	2900	-290	5727	-891	31.42	20.11	3	2.2
3	-3340	11440	3227	-1680	2199	-141	31.42	20.11	3	6.1
4	-5451	11397	2684	-3003	-71	364	31.42	20.11	3	8.0

Pannello	Nx	Ny	Nxy	Mx	My	Mxy	Ax	Ay	C	Cs
5	2047	10503	946	1085	11207	-1350	31.42	20.11	3	1.2
6	-480	10859	2775	-93	6070	-1177	31.42	20.11	3	2.0
7	-2865	11215	3155	-1380	2511	-488	31.42	20.11	3	4.8
8	-4737	11351	2723	-2624	156	3	31.42	20.11	3	10
9	1350	9922	814	1165	11368	-1464	31.42	20.11	3	1.1
10	-445	10434	2579	96	6370	-1422	31.42	20.11	3	1.9
11	-2429	10982	3009	-1074	2809	-796	31.42	20.11	3	4.0
12	-4071	11297	2693	-2219	386	-325	31.42	20.11	3	10
13	712	9339	637	1225	11469	-1554	31.42	20.11	3	1.1
14	-407	10031	2303	268	6629	-1626	31.42	20.11	3	1.8
15	-2033	10775	2789	-776	3088	-1060	31.42	20.11	3	3.5
16	-3456	11257	2598	-1806	613	-616	31.42	20.11	3	1.1
Massimi/minimi										
1							31.42			
1								20.11		
13										1.1

Muro : 222 - Nodi: [133-61-81-144], Pann.X=4, Pann.Y=4Spess.=50 cm, Terreno=--,Criterio=CLS_Muri_ND,
Materiale=C35/45, $\zeta_e=16.561 [(5+6)-I-3]$: **Verificato**

Armatura a maglia doppia

Pannello	Nx kg	Ny kg	Nxy kg	Mx kg*m	My kg*m	Mxy kg*m	Ax cmq	Ay cmq	C	Cs
1	-4763	5132	-2270	-8365	-1592	-379	31.42	20.11	3	3.1
2	-4897	5005	-2140	-8560	-1220	-464	31.42	20.11	3	3.0
3	-5098	4931	-1894	-8742	-882	-384	31.42	20.11	3	2.9
4	-5253	4856	-1525	-8856	-679	-193	31.42	20.11	3	3.0
5	-4384	5619	-2192	-8063	-1640	-478	31.42	20.11	3	3.1
6	-4564	5473	-2095	-8302	-1188	-575	31.42	20.11	3	3.0
7	-4829	5396	-1866	-8534	-768	-470	31.42	20.11	3	3.0
8	-5041	5321	-1478	-8684	-511	-225	31.42	20.11	3	3.0
9	-3989	6100	-2103	-7585	-1682	-595	31.42	20.11	3	3.2
10	-4216	5929	-2045	-7874	-1133	-713	31.42	20.11	3	3.1
11	-4558	5848	-1839	-8166	-609	-581	31.42	20.11	3	3.0
12	-4848	5779	-1430	-8363	-285	-268	31.42	20.11	3	3.1
13	-3577	6577	-1997	-6954	-1726	-732	31.42	20.11	3	3.4
14	-3848	6369	-1986	-7297	-1063	-883	31.42	20.11	3	3.2
15	-4283	6282	-1817	-7664	-404	-725	31.42	20.11	3	3.2
16	-4681	6228	-1383	-7925	9	-327	31.42	20.11	3	3.2
Massimi/minimi										
1							31.42			
1								20.11		
3										2.9

Muro : 223 - Nodi: [132-146-145-140], Pann.X=4, Pann.Y=4Spess.=50 cm, Terreno=--,Criterio=CLS_Muri_ND,
Materiale=C35/45, $\zeta_e=19.557 [(5+6)-I-1]$: **Verificato**

Armatura a maglia doppia

Pannello	Nx kg	Ny kg	Nxy kg	Mx kg*m	My kg*m	Mxy kg*m	Ax cmq	Ay cmq	C	Cs
1	-6879	4227	1708	-6528	-1664	-1513	31.42	20.11	3	3.4
2	-6928	4611	2011	-6336	-1687	-1623	31.42	20.11	3	3.4
3	-6934	5060	2272	-6074	-1701	-1731	31.42	20.11	3	3.5
4	-6873	5581	2471	-5733	-1678	-1831	31.42	20.11	3	3.6
5	-6645	4679	1503	-6978	-1781	-1418	31.42	20.11	3	3.2
6	-6676	5060	1775	-6731	-1794	-1492	31.42	20.11	3	3.3
7	-6649	5497	1999	-6402	-1797	-1560	31.42	20.11	3	3.4
8	-6549	6000	2156	-5987	-1756	-1620	31.42	20.11	3	3.6
9	-6396	5086	1300	-7199	-1844	-1301	31.42	20.11	3	3.2
10	-6406	5453	1546	-6905	-1847	-1332	31.42	20.11	3	3.3
11	-6342	5867	1738	-6521	-1840	-1357	31.42	20.11	3	3.4
12	-6201	6340	1857	-6046	-1784	-1375	31.42	20.11	3	3.6
13	-6138	5449	1103	-7220	-1854	-1166	31.42	20.11	3	3.2
14	-6121	5793	1332	-6889	-1847	-1148	31.42	20.11	3	3.4
15	-6016	6172	1495	-6460	-1833	-1127	31.42	20.11	3	3.5
16	-5831	6605	1580	-5938	-1764	-1103	31.42	20.11	3	3.8
Massimi/minimi										
1							31.42			
1								20.11		
9										3.2

Muro : 224 - Nodi: [146-86-84-145], Pann.X=4, Pann.Y=4Spess.=50 cm, Terreno=--,Criterio=CLS_Muri_ND,
Materiale=C35/45, $\zeta_e=17.106$ [(5+6)-I-1] : **Verificato**

Armatura a maglia doppia

Pannello	Nx kg	Ny kg	Nxy kg	Mx kg*m	My kg*m	Mxy kg*m	Ax cmq	Ay cmq	C	Cs
1	-5876	5772	919	-7072	-1810	-1017	31.42	20.11	3	3.3
2	-5824	6082	1138	-6711	-1795	-946	31.42	20.11	3	3.5
3	-5671	6416	1277	-6247	-1778	-877	31.42	20.11	3	3.8
4	-5442	6800	1330	-5690	-1702	-813	31.42	20.11	3	4.1
5	-5615	6055	752	-6784	-1711	-859	31.42	20.11	3	3.5
6	-5519	6321	970	-6402	-1693	-729	31.42	20.11	3	3.8
7	-5309	6601	1088	-5910	-1680	-610	31.42	20.11	3	4.1
8	-5033	6931	1109	-5328	-1605	-509	31.42	20.11	3	4.6
9	-5363	6304	607	-6387	-1555	-695	31.42	20.11	3	3.8
10	-5208	6513	834	-5988	-1540	-498	31.42	20.11	3	4.1
11	-4930	6729	933	-5473	-1542	-330	31.42	20.11	3	4.6
12	-4605	7002	919	-4874	-1478	-198	31.42	20.11	3	5.3
13	-5132	6520	490	-5908	-1339	-527	31.42	20.11	3	4.2
14	-4895	6659	739	-5495	-1338	-256	31.42	20.11	3	4.6
15	-4530	6803	813	-4959	-1372	-39	31.42	20.11	3	5.3
16	-4156	7019	758	-4351	-1331	116	31.42	20.11	3	5.9
Massimi/minimi										
1							31.42			
1								20.11		
1										3.3

Muro : 225 - Nodi: [138-147-146-132], Pann.X=4, Pann.Y=4Spess.=50 cm, Terreno=--,Criterio=CLS_Muri_ND,
Materiale=C35/45, $\zeta_e=21.591$ [(5+6)-I-1] : **Verificato**

Armatura a maglia doppia

Pannello	Nx kg	Ny kg	Nxy kg	Mx kg*m	My kg*m	Mxy kg*m	Ax cmq	Ay cmq	C	Cs
1	-6409	3146	606	-6802	-1664	-987	31.42	20.11	3	3.5
2	-6541	3353	826	-6781	-1654	-1128	31.42	20.11	3	3.4
3	-6674	3603	1093	-6737	-1647	-1272	31.42	20.11	3	3.4
4	-6793	3894	1394	-6658	-1649	-1398	31.42	20.11	3	3.4
5	-6107	3544	493	-7367	-1844	-976	31.42	20.11	3	3.2
6	-6268	3770	690	-7331	-1817	-1109	31.42	20.11	3	3.2
7	-6425	4036	934	-7264	-1791	-1236	31.42	20.11	3	3.2
8	-6558	4340	1213	-7152	-1778	-1336	31.42	20.11	3	3.2
9	-5791	3918	372	-7671	-1990	-962	31.42	20.11	3	3.1
10	-5981	4158	545	-7625	-1939	-1084	31.42	20.11	3	3.1
11	-6165	4438	767	-7544	-1890	-1189	31.42	20.11	3	3.1
12	-6312	4749	1028	-7408	-1856	-1258	31.42	20.11	3	3.1
13	-5461	4268	245	-7741	-2105	-947	31.42	20.11	3	3.1
14	-5681	4517	392	-7694	-2022	-1057	31.42	20.11	3	3.1
15	-5894	4807	595	-7606	-1942	-1137	31.42	20.11	3	3.1
16	-6059	5122	843	-7455	-1882	-1168	31.42	20.11	3	3.1
Massimi/minimi										
1							31.42			
1								20.11		
14										3.1

Muro : 226 - Nodi: [147-85-86-146], Pann.X=4, Pann.Y=4Spess.=50 cm, Terreno=--,Criterio=CLS_Muri_ND,
Materiale=C35/45, $\zeta_e=17.626$ [(5+6)-I-1] : **Verificato**

Armatura a maglia doppia

Pannello	Nx kg	Ny kg	Nxy kg	Mx kg*m	My kg*m	Mxy kg*m	Ax cmq	Ay cmq	C	Cs
1	-5115	4593	115	-7605	-2191	-936	31.42	20.11	3	3.1
2	-5366	4848	235	-7566	-2069	-1032	31.42	20.11	3	3.1
3	-5615	5145	419	-7481	-1948	-1084	31.42	20.11	3	3.1
4	-5802	5460	660	-7325	-1857	-1072	31.42	20.11	3	3.2
5	-4750	4891	-16	-7291	-2252	-933	31.42	20.11	3	3.2
6	-5038	5148	73	-7268	-2080	-1017	31.42	20.11	3	3.2
7	-5330	5452	240	-7197	-1910	-1037	31.42	20.11	3	3.3
8	-5548	5766	483	-7046	-1779	-974	31.42	20.11	3	3.3
9	-4364	5164	-143	-6824	-2295	-944	31.42	20.11	3	3.4
10	-4692	5417	-90	-6827	-2061	-1016	31.42	20.11	3	3.4

Pannello	Nx	Ny	Nxy	Mx	My	Mxy	Ax	Ay	C	Cs
11	-5042	5727	58	-6783	-1827	-1002	31.42	20.11	3	3.4
12	-5304	6042	312	-6649	-1647	-881	31.42	20.11	3	3.6
13	-3955	5412	-262	-6229	-2325	-972	31.42	20.11	3	3.7
14	-4327	5653	-253	-6269	-2014	-1037	31.42	20.11	3	3.6
15	-4751	5970	-129	-6266	-1698	-987	31.42	20.11	3	3.7
16	-5081	6290	147	-6163	-1455	-798	31.42	20.11	3	3.8
Massimi/minimi										
1							31.42			
1								20.11		
2										3.1

Muro : 227 - Nodi: [140-145-148-135], Pann.X=4, Pann.Y=4Spess.=50 cm, Terreno=--,Criterio=CLS_Muri_ND,
Materiale=C35/45, $\zeta_e=9.989$ [(5+6)-I-1] : **Verificato**

Armatura a maglia doppia

Pannello	Nx	Ny	Nxy	Mx	My	Mxy	Ax	Ay	C	Cs
	kg	kg	kg	kg*m	kg*m	kg*m	cmq	cmq		
1	-6693	6225	2606	-5267	-1570	-1914	31.42	20.11	3	3.8
2	-6309	7008	2661	-4645	-1293	-1944	31.42	20.11	3	4.1
3	-5605	7865	2622	-3871	-747	-1864	31.42	20.11	3	4.7
4	-4376	8726	2535	-2935	217	-1606	31.42	20.11	3	5.9
5	-6327	6618	2246	-5436	-1615	-1658	31.42	20.11	3	3.8
6	-5899	7359	2259	-4724	-1280	-1638	31.42	20.11	3	4.2
7	-5160	8155	2202	-3867	-646	-1507	31.42	20.11	3	5.0
8	-3941	8948	2134	-2863	438	-1209	31.42	20.11	3	6.5
9	-5938	6918	1907	-5430	-1611	-1369	31.42	20.11	3	4.0
10	-5473	7604	1886	-4654	-1221	-1302	31.42	20.11	3	4.5
11	-4715	8328	1819	-3746	-506	-1130	31.42	20.11	3	5.5
12	-3523	9038	1770	-2708	682	-802	31.42	20.11	3	7.5
13	-5530	7133	1594	-5276	-1565	-1056	31.42	20.11	3	4.2
14	-5037	7755	1548	-4460	-1124	-950	31.42	20.11	3	4.9
15	-4274	8399	1477	-3528	-336	-744	31.42	20.11	3	6.2
16	-3123	9016	1451	-2488	942	-399	31.42	20.11	3	9.1
Massimi/minimi										
1							31.42			
1								20.11		
1										3.8

Muro : 228 - Nodi: [145-84-80-148], Pann.X=4, Pann.Y=4Spess.=50 cm, Terreno=--,Criterio=CLS_Muri_ND,
Materiale=C35/45, $\zeta_e=9.604$ [(5+6)-I-3] : **Verificato**

Armatura a maglia doppia

Pannello	Nx	Ny	Nxy	Mx	My	Mxy	Ax	Ay	C	Cs
	kg	kg	kg	kg*m	kg*m	kg*m	cmq	cmq		
1	-5106	7273	1312	-4999	-1481	-730	31.42	20.11	3	4.7
2	-4595	7827	1247	-4166	-996	-592	31.42	20.11	3	5.6
3	-3839	8387	1181	-3236	-144	-363	31.42	20.11	3	7.4
4	-3556	-7154	-873	1338	-1412	487	31.42	20.11	2	9.6
5	-4668	7347	1061	-4622	-1368	-398	31.42	20.11	3	5.3
6	-4150	7833	983	-3792	-846	-239	31.42	20.11	3	6.6
7	-3415	8312	931	-2887	62	3	31.42	20.11	3	9.1
8	-2377	8729	970	-1914	1478	357	31.42	20.11	3	8.1
9	-4218	7363	841	-4168	-1234	-68	31.42	20.11	3	6.3
10	-3707	7788	755	-3360	-681	102	31.42	20.11	3	7.6
11	-3006	8193	725	-2498	276	347	31.42	20.11	3	9.3
12	-2039	8515	612	-1590	1740	690	31.42	20.11	3	6.1
13	-3757	7332	648	-3657	-1089	253	31.42	20.11	3	6.8
14	-3269	7706	557	-2887	-510	421	31.42	20.11	3	8.0
15	-2619	8048	557	-2088	488	659	31.42	20.11	3	9.6
16	-1732	8290	704	-1261	1992	986	31.42	20.11	3	5.0
Massimi/minimi										
1							31.42			
1								20.11		
1										4.7

Muro : 229 - Nodi: [135-148-122-118], Pann.X=4, Pann.Y=4Spess.=50 cm, Terreno=--,Criterio=CLS_Muri_ND,
Materiale=C35/45, $\zeta_e=17.459$ [(5+6)-I-1] : **Verificato**

Armatura a maglia doppia

Pannello	Nx	Ny	Nxy	Mx	My	Mxy	Ax	Ay	C	Cs
	kg	kg	kg	kg*m	kg*m	kg*m	cmq	cmq		
1	-2678	9418	2519	-1990	1559	-1199	31.42	20.11	3	5.3
2	-637	9919	2669	-1102	3262	-680	31.42	20.11	3	3.7
3	2064	10300	3089	-189	5653	-7	31.42	20.11	3	2.6
4	5580	10506	3907	610	9004	94	31.42	20.11	3	1.6
5	-2326	9589	2164	-1877	1904	-788	31.42	20.11	3	5.5
6	-432	10061	2377	-972	3720	-287	31.42	20.11	3	3.6
7	2038	10434	2885	-58	6212	324	31.42	20.11	3	2.2
8	5220	10657	3840	742	9622	262	31.42	20.11	3	1.5
9	-2005	9610	1840	-1712	2251	-377	31.42	20.11	3	5.6
10	-269	10036	2103	-814	4151	97	31.42	20.11	3	3.4
11	1948	10381	2685	80	6704	640	31.42	20.11	3	2.0
12	4758	10607	3753	864	10121	422	31.42	20.11	3	1.4
13	-1709	9505	1558	-1507	2592	21	31.42	20.11	3	5.6
14	-141	9866	1862	-637	4549	462	31.42	20.11	3	2.9
15	1807	10167	2499	222	7128	935	31.42	20.11	3	1.8
16	4215	10383	3653	976	10507	573	31.42	20.11	3	1.3
Massimi/minimi										
1							31.42			
1								20.11		
16										1.3

Muro : 230 - Nodi: [148-80-50-122], Pann.X=4, Pann.Y=4Spess.=50 cm, Terreno=--,Criterio=CLS_Muri_ND,
Materiale=C35/45,ζ_e=16.685 [(5+6)-I-3] : **Verificato**

Armatura a maglia doppia

Pannello	Nx	Ny	Nxy	Mx	My	Mxy	Ax	Ay	C	Cs
	kg	kg	kg	kg*m	kg*m	kg*m	cmq	cmq		
1	-1436	9298	1325	-1273	2920	397	31.42	20.11	3	4.4
2	-40	9582	1663	-447	4910	801	31.42	20.11	3	2.6
3	1631	9823	2337	362	7485	1204	31.42	20.11	3	1.7
4	3613	10017	3548	1077	10790	710	31.42	20.11	3	1.3
5	-1185	9020	1151	-1024	3231	743	31.42	20.11	3	3.7
6	44	9213	1516	-253	5233	1107	31.42	20.11	3	2.3
7	1435	9379	2209	496	7778	1443	31.42	20.11	3	1.6
8	2976	9538	3444	1163	10980	833	31.42	20.11	3	1.2
9	-955	8704	1039	-769	3520	1052	31.42	20.11	3	3.3
10	115	8798	1430	-64	5516	1376	31.42	20.11	3	2.2
11	1238	8875	2125	619	8012	1650	31.42	20.11	3	1.5
12	2331	8985	3348	1234	11091	940	31.42	20.11	3	1.2
13	-753	8385	990	-521	3785	1321	31.42	20.11	3	2.9
14	177	8380	1412	110	5760	1606	31.42	20.11	3	2.0
15	1058	8353	2095	723	8191	1823	31.42	20.11	3	1.5
16	1709	8399	3266	1283	11136	1031	31.42	20.11	3	1.2
Massimi/minimi										
1							31.42			
1								20.11		
16										1.2

Muro : 231 - Nodi: [137-144-147-138], Pann.X=4, Pann.Y=4Spess.=50 cm, Terreno=--,Criterio=CLS_Muri_ND,
Materiale=C35/45,ζ_e=17.396 [(5+6)-I-3] : **Verificato**

Armatura a maglia doppia

Pannello	Nx	Ny	Nxy	Mx	My	Mxy	Ax	Ay	C	Cs
	kg	kg	kg	kg*m	kg*m	kg*m	cmq	cmq		
1	-6150	2841	-1179	-7398	-858	-17	31.42	20.11	3	3.6
2	-5929	2650	-557	-7199	-1121	5	31.42	20.11	3	3.7
3	-5923	2638	-46	-6976	-1438	-235	31.42	20.11	3	3.7
4	-6182	2872	330	-6845	-1628	-657	31.42	20.11	3	3.6
5	-5897	3292	-1128	-8105	-904	21	31.42	20.11	3	3.3
6	-5654	3070	-522	-7868	-1232	72	31.42	20.11	3	3.4
7	-5610	3030	-71	-7599	-1616	-183	31.42	20.11	3	3.5
8	-5850	3254	250	-7432	-1825	-635	31.42	20.11	3	3.3
9	-5649	3740	-1069	-8547	-902	64	31.42	20.11	3	3.1
10	-5368	3480	-479	-8266	-1309	151	31.42	20.11	3	3.2
11	-5281	3409	-91	-7946	-1768	-122	31.42	20.11	3	3.3
12	-5506	3619	169	-7749	-1995	-608	31.42	20.11	3	3.2
13	-5407	4184	-1000	-8751	-851	115	31.42	20.11	3	3.0
14	-5069	3877	-427	-8420	-1354	247	31.42	20.11	3	3.1
15	-4936	3773	-105	-8046	-1901	-50	31.42	20.11	3	3.3
16	-5148	3966	89	-7824	-2142	-578	31.42	20.11	3	3.2

**POTENZIAMENTO DELL'IMPIANTO DI DEPURAZIONE E
DEL RECAPITO FINALE DI SQUINZANO (LE)
PROGETTO DEFINITIVO
Tabulati di calcolo strutturale-Equalizzazione**

R.37.7

Maggio 2021

Pagina 224 di
338

Pannello	Nx	Ny	Nxy	Mx	My	Mxy	Ax	Ay	C	Cs
										Massimi/minimi
1							31.42			
1								20.11		
13										3.0

Muro : 232 - Nodi: [144-81-85-147], Pann.X=4, Pann.Y=4Spess.=50 cm, Terreno=--,Criterio=CLS_Muri_ND,
Materiale=C35/45, $\zeta_e=19.875$ [(5+6)-I-3] : **Verificato**

Armatura a maglia doppia

Pannello	Nx	Ny	Nxy	Mx	My	Mxy	Ax	Ay	C	Cs
	kg	kg	kg	kg*m	kg*m	kg*m	cmq	cmq		
1	-5172	4622	-920	-8746	-751	176	31.42	20.11	3	3.0
2	-4755	4261	-365	-8355	-1371	360	31.42	20.11	3	3.1
3	-4574	4124	-112	-7922	-2020	31	31.42	20.11	3	3.4
4	-4774	4295	11	-7684	-2272	-549	31.42	20.11	3	3.2
5	-4947	5052	-825	-8558	-598	249	31.42	20.11	3	3.0
6	-4426	4629	-292	-8096	-1365	494	31.42	20.11	3	3.1
7	-4196	4462	-114	-7602	-2130	121	31.42	20.11	3	3.4
8	-4383	4608	-63	-7355	-2390	-522	31.42	20.11	3	3.4
9	-4733	5471	-713	-8216	-391	336	31.42	20.11	3	3.1
10	-4077	4979	-208	-7668	-1341	652	31.42	20.11	3	3.2
11	-3800	4791	-111	-7109	-2241	219	31.42	20.11	3	3.6
12	-3975	4907	-129	-6864	-2503	-500	31.42	20.11	3	3.6
13	-4534	5875	-581	-7748	-122	443	31.42	20.11	3	3.3
14	-3705	5311	-117	-7096	-1307	838	31.42	20.11	3	3.3
15	-3391	5114	-104	-6471	-2358	324	31.42	20.11	3	3.9
16	-3549	5195	-185	-6237	-2616	-486	31.42	20.11	3	3.9
										Massimi/minimi
1							31.42			
1								20.11		
1										3.0

Muro : 233 - Nodi: [17-16-29-25], Pann.X=4, Pann.Y=4Spess.=50 cm, Terreno=--,Criterio=CLS_Muri_ND,
Materiale=C35/45, $\zeta_e=12.167$ [(5+6)-I-3] : **Verificato**

Armatura a maglia doppia

Pannello	Nx	Ny	Nxy	Mx	My	Mxy	Ax	Ay	C	Cs
	kg	kg	kg	kg*m	kg*m	kg*m	cmq	cmq		
1	11692	-5324	-424	-1047	-6420	795	20.11	31.42	3	3.7
2	12410	-5077	-229	-683	-5816	812	20.11	31.42	3	4.0
3	13122	-4912	-8	-212	-5216	877	20.11	31.42	3	4.4
4	13814	-4864	262	415	-4665	1025	20.11	31.42	3	4.7
5	11191	-4580	-298	-1423	-6310	1126	20.11	31.42	3	3.6
6	11849	-4142	-57	-1216	-5596	1260	20.11	31.42	3	3.9
7	12473	-3665	202	-977	-4825	1465	20.11	31.42	3	4.2
8	13042	-3112	473	-728	-3995	1767	20.11	31.42	3	4.6
9	10729	-3858	-440	-1963	-6082	1153	20.11	31.42	3	3.7
10	11389	-3335	-273	-1946	-5271	1291	20.11	31.42	3	4.0
11	12047	-2777	-130	-1953	-4384	1464	20.11	31.42	3	4.1
12	12728	-2190	-35	-2008	-3434	1662	20.11	31.42	3	3.8
13	10407	-3391	-659	-2406	-5891	872	20.11	31.42	3	3.9
14	11109	-2886	-546	-2510	-5039	950	20.11	31.42	3	4.1
15	11837	-2373	-453	-2641	-4122	1038	20.11	31.42	3	3.9
16	12613	-1861	-384	-2808	-3170	1127	20.11	31.42	3	3.6
										Massimi/minimi
1							20.11			
1								31.42		
16										3.6

Muro : 234 - Nodi: [12-17-25-26], Pann.X=4, Pann.Y=4Spess.=50 cm, Terreno=--,Criterio=CLS_Muri_ND,
Materiale=C35/45, $\zeta_e=12.433$ [(5+6)-I-1] : **Verificato**

Armatura a maglia doppia

Pannello	Nx	Ny	Nxy	Mx	My	Mxy	Ax	Ay	C	Cs
	kg	kg	kg	kg*m	kg*m	kg*m	cmq	cmq		
1	11999	-3789	2174	-1080	-2465	-532	20.11	31.42	3	8.8
2	12214	-3139	2068	-955	-1936	-759	20.11	31.42	3	8.2
3	12469	-2534	1911	-845	-1434	-942	20.11	31.42	3	7.9
4	12769	-1969	1698	-756	-982	-1077	20.11	31.42	3	7.6

Pannello	Nx	Ny	Nxy	Mx	My	Mxy	Ax	Ay	C	Cs
5	12066	-4314	1031	-2046	-3701	-460	20.11	31.42	3	5.6
6	12452	-3581	1041	-1988	-3033	-732	20.11	31.42	3	5.2
7	12882	-2873	1017	-1950	-2362	-971	20.11	31.42	3	4.8
8	13385	-2197	958	-1940	-1715	-1167	20.11	31.42	3	4.5
9	11944	-4706	-163	-1801	-4958	-426	20.11	31.42	3	5.0
10	12431	-3997	-161	-1663	-4262	-756	20.11	31.42	3	5.3
11	12923	-3259	-179	-1540	-3529	-1103	20.11	31.42	3	5.3
12	13448	-2487	-193	-1465	-2766	-1464	20.11	31.42	3	4.7
13	11946	-5425	-701	-1106	-6004	100	20.11	31.42	3	4.4
14	12593	-5067	-709	-745	-5387	-117	20.11	31.42	3	4.9
15	13224	-4757	-771	-300	-4765	-368	20.11	31.42	3	5.2
16	13817	-4486	-899	245	-4174	-682	20.11	31.42	3	5.5
Massimi/minimi										
1							20.11			
1								31.42		
13										4.4

Muro : 235 - Nodi: [18-28-27-20], Pann.X=4, Pann.Y=4Spess.=50 cm, Terreno=--,Criterio=CLS_Muri_ND,
Materiale=C35/45, $\zeta_c=17.638 [(5+6)-I-3]$: **Verificato**

Armatura a maglia doppia

Pannello	Nx kg	Ny kg	Nxy kg	Mx kg*m	My kg*m	Mxy kg*m	Ax cmq	Ay cmq	C	Cs
1	1548	9689	1413	1572	12000	1503	31.42	20.11	3	1.1
2	-444	9986	2835	1008	8209	2238	31.42	20.11	3	1.4
3	-2087	10240	3933	433	5040	2603	31.42	20.11	3	1.9
4	-3224	10432	4453	-149	2479	3019	31.42	20.11	3	2.6
5	1294	9015	1325	1643	12039	1487	31.42	20.11	3	1.1
6	-736	9280	2696	1121	8406	2186	31.42	20.11	3	1.4
7	-2091	9482	3827	593	5293	2513	31.42	20.11	3	1.9
8	-2932	9734	4333	74	2719	2905	31.42	20.11	3	2.6
9	1124	8294	1234	1691	12072	1463	31.42	20.11	3	1.1
10	-1057	8437	2616	1199	8581	2142	31.42	20.11	3	1.4
11	-2077	8549	3723	707	5526	2448	31.42	20.11	3	1.9
12	-2618	8906	4141	252	2944	2822	31.42	20.11	3	2.6
13	941	7397	1160	1692	12120	1419	31.42	20.11	3	1.1
14	-1377	7293	2640	1215	8748	2093	31.42	20.11	3	1.4
15	-1999	7355	3591	749	5744	2407	31.42	20.11	3	1.9
16	-2257	7931	3834	364	3153	2774	31.42	20.11	3	2.5
Massimi/minimi										
1							31.42			
1								20.11		
1										1.1

Muro : 236 - Nodi: [18-12-26-28], Pann.X=4, Pann.Y=4Spess.=50 cm, Terreno=--,Criterio=CLS_Muri_ND,
Materiale=C35/45, $\zeta_c=8.998 [(5+6)-I-1]$: **Verificato**

Armatura a maglia doppia

Pannello	Nx kg	Ny kg	Nxy kg	Mx kg*m	My kg*m	Mxy kg*m	Ax cmq	Ay cmq	C	Cs
1	8843	41	659	11574	1261	-1618	20.11	31.42	3	1.1
2	8457	-385	347	11584	1256	-1656	20.11	31.42	3	1.1
3	8316	-645	-24	11546	1198	-1667	20.11	31.42	3	1.1
4	8567	-728	-432	11452	1069	-1649	20.11	31.42	3	1.1
5	9802	-389	2212	6898	417	-1763	20.11	31.42	3	1.7
6	9613	-368	1742	7084	517	-1880	20.11	31.42	3	1.6
7	9607	-379	1220	7237	558	-1953	20.11	31.42	3	1.6
8	9815	-446	706	7363	523	-1973	20.11	31.42	3	1.6
9	10816	-1641	2797	3391	-490	-1248	20.11	31.42	3	3.1
10	10760	-1358	2415	3630	-248	-1414	20.11	31.42	3	2.9
11	10794	-1129	2002	3846	-56	-1527	20.11	31.42	3	2.7
12	10901	-948	1585	4038	75	-1580	20.11	31.42	3	2.6
13	11548	-2819	2783	872	-1389	-829	20.11	31.42	3	8.4
14	11604	-2333	2533	1078	-1007	-1027	20.11	31.42	3	6.8
15	11708	-1900	2239	1265	-665	-1172	20.11	31.42	3	5.8
16	11851	-1512	1909	1430	-380	-1261	20.11	31.42	3	5.3
Massimi/minimi										
1							20.11			
1								31.42		
1										1.1

Muro : 237 - Nodi: [14-22-34-19], Pann.X=4, Pann.Y=4Spess.=50 cm, Terreno=--,Criterio=CLS_Muri_ND,
Materiale=C35/45, $\zeta_e=22.535$ [(5+6)-II-2] : **Verificato**

Armatura a maglia doppia

Pannello	Nx kg	Ny kg	Nxy kg	Mx kg*m	My kg*m	Mxy kg*m	Ax cmq	Ay cmq	C	Cs
1	-4489	11239	2471	-2429	-3810	3407	31.42	20.11	3	2.0
2	-4332	11328	1939	-2708	-4269	3132	31.42	20.11	3	1.9
3	-4147	11394	1478	-2932	-4588	2775	31.42	20.11	3	1.9
4	-3962	11442	1094	-3106	-4804	2351	31.42	20.11	3	2.0
5	-3807	11495	2379	-1979	-3879	3306	31.42	20.11	3	2.0
6	-3680	11732	1868	-2240	-4386	3045	31.42	20.11	3	1.9
7	-3531	11917	1423	-2452	-4744	2704	31.42	20.11	3	1.9
8	-3383	12060	1052	-2619	-4992	2295	31.42	20.11	3	1.9
9	-3138	11766	2204	-1525	-3940	3219	31.42	20.11	3	2.0
10	-3039	12155	1728	-1758	-4493	2969	31.42	20.11	3	1.9
11	-2924	12462	1314	-1950	-4890	2640	31.42	20.11	3	1.9
12	-2812	12699	969	-2101	-5169	2244	31.42	20.11	3	1.9
13	-2488	12071	1944	-1090	-3998	3149	31.42	20.11	3	2.0
14	-2416	12614	1519	-1286	-4597	2906	31.42	20.11	3	1.9
15	-2333	13041	1151	-1449	-5030	2586	31.42	20.11	3	1.8
16	-2255	13371	845	-1578	-5338	2201	31.42	20.11	3	1.8
Massimi/minimi										
1							31.42			
1								20.11		
15										1.8

Muro : 238 - Nodi: [19-34-36-15], Pann.X=4, Pann.Y=4Spess.=50 cm, Terreno=--,Criterio=CLS_Muri_ND,
Materiale=C35/45, $\zeta_e=22.708$ [(5+6)-II-2] : **Verificato**

Armatura a maglia doppia

Pannello	Nx kg	Ny kg	Nxy kg	Mx kg*m	My kg*m	Mxy kg*m	Ax cmq	Ay cmq	C	Cs
1	-3805	11477	795	-3232	-4942	1901	31.42	20.11	3	2.1
2	-3683	11503	565	-3319	-5026	1443	31.42	20.11	3	2.2
3	-3593	11524	376	-3379	-5078	960	31.42	20.11	3	2.4
4	-3541	11540	213	-3412	-5105	469	31.42	20.11	3	2.6
5	-3258	12164	763	-2741	-5153	1859	31.42	20.11	3	2.0
6	-3161	12237	541	-2826	-5253	1412	31.42	20.11	3	2.1
7	-3090	12290	358	-2884	-5316	941	31.42	20.11	3	2.3
8	-3049	12326	202	-2918	-5349	460	31.42	20.11	3	2.4
9	-2718	12870	701	-2213	-5352	1820	31.42	20.11	3	1.9
10	-2645	12990	496	-2291	-5468	1383	31.42	20.11	3	2.0
11	-2592	13075	327	-2345	-5542	922	31.42	20.11	3	2.2
12	-2560	13129	183	-2376	-5581	451	31.42	20.11	3	2.3
13	-2190	13607	609	-1673	-5544	1786	31.42	20.11	3	1.9
14	-2140	13770	430	-1741	-5676	1357	31.42	20.11	3	2.0
15	-2102	13884	282	-1788	-5759	905	31.42	20.11	3	2.1
16	-2080	13957	157	-1815	-5805	443	31.42	20.11	3	2.2
Massimi/minimi										
1							31.42			
1								20.11		
13										1.9

Muro : 239 - Nodi: [16-13-35-29], Pann.X=4, Pann.Y=4Spess.=50 cm, Terreno=--,Criterio=CLS_Muri_ND,
Materiale=C35/45, $\zeta_e=24.545$ [(5+6)-I-3] : **Verificato**

Armatura a maglia doppia

Pannello	Nx kg	Ny kg	Nxy kg	Mx kg*m	My kg*m	Mxy kg*m	Ax cmq	Ay cmq	C	Cs
1	10204	-3165	-810	-2599	-5807	506	20.11	31.42	3	4.2
2	10928	-2690	-712	-2751	-4944	530	20.11	31.42	3	4.4
3	11682	-2216	-621	-2927	-4025	557	20.11	31.42	3	4.1
4	12476	-1748	-532	-3132	-3081	584	20.11	31.42	3	3.8
5	10059	-3062	-898	-2608	-5805	178	20.11	31.42	3	4.4
6	10785	-2605	-802	-2773	-4940	161	20.11	31.42	3	4.9
7	11538	-2152	-702	-2962	-4019	146	20.11	31.42	3	4.6
8	12323	-1706	-595	-3179	-3075	134	20.11	31.42	3	4.3
9	9920	-3015	-965	-2489	-5856	-165	20.11	31.42	3	4.4
10	10634	-2569	-867	-2651	-4988	-225	20.11	31.42	3	5.0

Pannello	Nx	Ny	Nxy	Mx	My	Mxy	Ax	Ay	C	Cs
11	11374	-2126	-758	-2839	-4061	-282	20.11	31.42	3	4.6
12	12143	-1689	-636	-3055	-3110	-334	20.11	31.42	3	4.2
13	9788	-3025	-1019	-2243	-5961	-485	20.11	31.42	3	4.1
14	10478	-2582	-925	-2384	-5091	-589	20.11	31.42	3	4.6
15	11193	-2137	-810	-2555	-4155	-693	20.11	31.42	3	4.4
16	11938	-1695	-673	-2759	-3189	-788	20.11	31.42	3	4.0
Massimi/minimi										
1							20.11			
1								31.42		
4										3.8

Muro : 240 - Nodi: [20-27-22-14], Pann.X=4, Pann.Y=4Spess.=50 cm, Terreno=--,Criterio=CLS_Muri_ND,
Materiale=C35/45, $\zeta_e=11.613$ [(5+6)-I-3] : **Verificato**

Armatura a maglia doppia

Pannello	Nx	Ny	Nxy	Mx	My	Mxy	Ax	Ay	C	Cs
	kg	kg	kg	kg*m	kg*m	kg*m	cmq	cmq		
1	-3955	10619	4466	-708	459	3354	31.42	20.11	3	3.8
2	-4375	10806	4141	-1226	-1103	3566	31.42	20.11	3	3.1
3	-4561	10978	3632	-1689	-2287	3640	31.42	20.11	3	2.4
4	-4580	11123	3050	-2090	-3168	3583	31.42	20.11	3	2.1
5	-3455	10082	4326	-422	649	3226	31.42	20.11	3	3.8
6	-3752	10475	3998	-883	-979	3435	31.42	20.11	3	3.3
7	-3879	10859	3501	-1299	-2232	3514	31.42	20.11	3	2.5
8	-3884	11204	2937	-1666	-3178	3467	31.42	20.11	3	2.2
9	-2947	9471	4078	-173	829	3131	31.42	20.11	3	3.7
10	-3134	10111	3740	-567	-859	3332	31.42	20.11	3	3.5
11	-3207	10732	3260	-928	-2177	3412	31.42	20.11	3	2.6
12	-3200	11290	2727	-1248	-3184	3371	31.42	20.11	3	2.2
13	-2421	8797	3691	19	995	3071	31.42	20.11	3	3.7
14	-2517	9731	3348	-301	-749	3261	31.42	20.11	3	3.7
15	-2548	10617	2899	-596	-2125	3336	31.42	20.11	3	2.6
16	-2534	11404	2413	-860	-3190	3297	31.42	20.11	3	2.2
Massimi/minimi										
1							31.42			
1								20.11		
4										2.1

Muro : 241 - Nodi: [13-21-30-35], Pann.X=4, Pann.Y=4Spess.=50 cm, Terreno=--,Criterio=CLS_Muri_ND,
Materiale=C35/45, $\zeta_e=9.529$ [(5+6)-I-1] : **Verificato**

Armatura a maglia doppia

Pannello	Nx	Ny	Nxy	Mx	My	Mxy	Ax	Ay	C	Cs
	kg	kg	kg	kg*m	kg*m	kg*m	cmq	cmq		
1	9650	-3126	-1078	-1751	-6192	-819	20.11	31.42	3	3.8
2	10294	-2682	-1006	-1832	-5328	-990	20.11	31.42	3	4.2
3	10953	-2224	-900	-1948	-4384	-1168	20.11	31.42	3	4.6
4	11645	-1759	-755	-2109	-3389	-1341	20.11	31.42	3	4.1
5	9577	-3433	-1116	-957	-6592	-1022	20.11	31.42	3	3.5
6	10158	-3006	-1108	-890	-5775	-1271	20.11	31.42	3	3.7
7	10721	-2536	-1068	-854	-4855	-1560	20.11	31.42	3	4.1
8	11284	-2026	-971	-881	-3841	-1876	20.11	31.42	3	4.6
9	9665	-3979	-997	-128	-7059	-846	20.11	31.42	3	3.4
10	10235	-3672	-1076	171	-6358	-1095	20.11	31.42	3	3.6
11	10751	-3318	-1172	510	-5575	-1430	20.11	31.42	3	3.8
12	11186	-2875	-1276	863	-4698	-1884	20.11	31.42	3	4.0
13	9822	-4533	-531	399	-7414	-344	20.11	31.42	3	3.4
14	10455	-4448	-585	868	-6843	-455	20.11	31.42	3	3.6
15	11058	-4432	-667	1472	-6268	-617	20.11	31.42	3	3.9
16	11614	-4519	-799	2281	-5736	-875	20.11	31.42	3	4.0
Massimi/minimi										
1							20.11			
1								31.42		
9										3.4

Muro : 242 - Nodi: [23-37-38-24], Pann.X=4, Pann.Y=4Spess.=50 cm, Terreno=--,Criterio=CLS_Muri_ND,
Materiale=C35/45, $\zeta_e=21.556$ [(5+6)-II-2] : **Verificato**

Armatura a maglia doppia

Pannello	Nx	Ny	Nxy	Mx	My	Mxy	Ax	Ay	C	Cs
	kg	kg	kg	kg*m	kg*m	kg*m	cmq	cmq		
1	-4032	11548	-1050	-3077	-4769	-2407	31.42	20.11	3	2.0
2	-4314	11498	-1664	-2805	-4410	-2972	31.42	20.11	3	1.9
3	-4571	11406	-2438	-2426	-3802	-3382	31.42	20.11	3	2.0
4	-4688	11247	-3316	-1929	-2825	-3590	31.42	20.11	3	2.2
5	-3438	12165	-1016	-2590	-4952	-2348	31.42	20.11	3	1.9
6	-3663	11969	-1609	-2331	-4543	-2892	31.42	20.11	3	1.9
7	-3870	11674	-2354	-1976	-3869	-3280	31.42	20.11	3	2.0
8	-3969	11257	-3196	-1519	-2808	-3469	31.42	20.11	3	2.3
9	-2852	12805	-940	-2075	-5123	-2295	31.42	20.11	3	1.9
10	-3023	12463	-1492	-1840	-4667	-2821	31.42	20.11	3	1.9
11	-3183	11960	-2186	-1523	-3929	-3193	31.42	20.11	3	2.0
12	-3266	11272	-2972	-1121	-2787	-3371	31.42	20.11	3	2.3
13	-2278	13481	-823	-1555	-5288	-2251	31.42	20.11	3	1.8
14	-2397	12995	-1312	-1356	-4785	-2762	31.42	20.11	3	1.8
15	-2516	12284	-1931	-1088	-3988	-3123	31.42	20.11	3	2.0
16	-2588	11315	-2637	-757	-2768	-3297	31.42	20.11	3	2.4
Massimi/minimi										
1							31.42			
1								20.11		
13										1.8

Muro : 243 - Nodi: [15-36-37-23], Pann.X=4, Pann.Y=4Spess.=50 cm, Terreno=--,Criterio=CLS_Muri_ND,
Materiale=C35/45,ζ_e=22.193 [(5+6)-II-2] : **Verificato**

Armatura a maglia doppia

Pannello	Nx	Ny	Nxy	Mx	My	Mxy	Ax	Ay	C	Cs
	kg	kg	kg	kg*m	kg*m	kg*m	cmq	cmq		
1	-3529	11555	48	-3421	-5112	-83	31.42	20.11	3	2.7
2	-3571	11566	-138	-3399	-5095	-686	31.42	20.11	3	2.5
3	-3667	11571	-358	-3341	-5047	-1271	31.42	20.11	3	2.3
4	-3814	11568	-634	-3245	-4955	-1821	31.42	20.11	3	2.1
5	-3039	12347	42	-2926	-5358	-81	31.42	20.11	3	2.6
6	-3072	12348	-138	-2904	-5337	-671	31.42	20.11	3	2.3
7	-3148	12326	-349	-2847	-5278	-1244	31.42	20.11	3	2.2
8	-3264	12273	-615	-2753	-5169	-1780	31.42	20.11	3	2.0
9	-2553	13157	36	-2384	-5592	-80	31.42	20.11	3	2.5
10	-2577	13150	-129	-2364	-5566	-658	31.42	20.11	3	2.2
11	-2634	13100	-324	-2311	-5498	-1218	31.42	20.11	3	2.1
12	-2721	13000	-569	-2223	-5371	-1743	31.42	20.11	3	2.0
13	-2075	13991	31	-1822	-5817	-78	31.42	20.11	3	2.3
14	-2092	13976	-113	-1805	-5787	-646	31.42	20.11	3	2.1
15	-2131	13901	-282	-1758	-5709	-1195	31.42	20.11	3	2.0
16	-2189	13757	-497	-1682	-5566	-1710	31.42	20.11	3	1.9
Massimi/minimi										
1							31.42			
1								20.11		
16										1.9

Muro : 244 - Nodi: [33-43-42-31], Pann.X=4, Pann.Y=4Spess.=50 cm, Terreno=--,Criterio=CLS_Muri_ND,
Materiale=C35/45,ζ_e=15.803 [(5+6)-II-1] : **Verificato**

Armatura a maglia doppia

Pannello	Nx	Ny	Nxy	Mx	My	Mxy	Ax	Ay	C	Cs
	kg	kg	kg	kg*m	kg*m	kg*m	cmq	cmq		
1	-4087	15002	-2065	-3099	-4462	-453	31.42	20.11	3	2.8
2	-3915	14608	-2463	-3076	-4525	-905	31.42	20.11	3	2.5
3	-3758	14168	-2770	-3033	-4567	-1346	31.42	20.11	3	2.3
4	-3651	13716	-3001	-2967	-4576	-1761	31.42	20.11	3	2.2
5	-3444	16072	-1859	-2664	-4691	-442	31.42	20.11	3	2.6
6	-3318	15643	-2220	-2638	-4745	-885	31.42	20.11	3	2.4
7	-3205	15155	-2507	-2592	-4775	-1317	31.42	20.11	3	2.2
8	-3129	14636	-2733	-2523	-4767	-1723	31.42	20.11	3	2.1
9	-2827	17190	-1634	-2178	-4908	-430	31.42	20.11	3	2.4
10	-2739	16716	-1952	-2152	-4954	-865	31.42	20.11	3	2.3
11	-2661	16171	-2210	-2106	-4971	-1288	31.42	20.11	3	2.1
12	-2609	15576	-2419	-2040	-4947	-1686	31.42	20.11	3	2.0
13	-2239	18365	-1384	-1669	-5117	-419	31.42	20.11	3	2.3
14	-2180	17836	-1654	-1645	-5155	-846	31.42	20.11	3	2.2
15	-2132	17224	-1875	-1603	-5161	-1261	31.42	20.11	3	2.0
16	-2098	16546	-2057	-1544	-5121	-1652	31.42	20.11	3	1.9

Pannello	Nx	Ny	Nxy	Mx	My	Mxy	Ax	Ay	C	Cs
										Massimi/minimi
1							31.42			
1								20.11		
16										1.9

Muro : 245 - Nodi: [32-39-48-41], Pann.X=4, Pann.Y=4Spess.=50 cm, Terreno=--,Criterio=CLS_Muri_ND,
Materiale=C35/45, $\zeta_e=15.825$ [(5+6)-II-1] : **Verificato**

Armatura a maglia doppia

Pannello	Nx	Ny	Nxy	Mx	My	Mxy	Ax	Ay	C	Cs
	kg	kg	kg	kg*m	kg*m	kg*m	cmq	cmq		
1	-5864	-2219	985	-218	352	-3982	31.42	20.11	2	4.0
2	-5669	-1942	660	-309	233	-3897	31.42	20.11	2	4.1
3	-5420	-1682	375	-397	130	-3824	31.42	20.11	2	4.3
4	-5133	-1440	145	-478	57	-3770	31.42	20.11	2	4.4
5	-5224	-2479	1204	1026	709	-4050	31.42	20.11	2	3.6
6	-5091	-2173	917	1008	577	-3965	31.42	20.11	2	3.8
7	-4926	-1883	663	990	447	-3891	31.42	20.11	2	3.9
8	-4744	-1606	451	974	332	-3833	31.42	20.11	2	4.1
9	-4658	-2768	1349	1947	1017	-3988	31.42	20.11	2	3.5
10	-4577	-2417	1095	1996	875	-3908	31.42	20.11	2	3.6
11	-4473	-2080	865	2039	723	-3838	31.42	20.11	2	3.8
12	-4358	-1754	661	2081	571	-3780	31.42	20.11	2	3.9
13	11627	-4055	4252	-3249	-1999	3277	31.42	20.11	3	3.3
14	-4117	-2646	1173	2723	1128	-3742	31.42	20.11	2	3.5
15	11907	-2881	3659	-3258	-1193	3086	31.42	20.11	3	3.7
16	12050	-2299	3189	-3260	-823	3018	31.42	20.11	3	3.7
										Massimi/minimi
1							31.42			
1								20.11		
13										3.3

Muro : 246 - Nodi: [47-32-41-49], Pann.X=4, Pann.Y=4Spess.=50 cm, Terreno=--,Criterio=CLS_Muri_ND,
Materiale=C35/45, $\zeta_e=18.247$ [(5+6)-II-1] : **Verificato**

Armatura a maglia doppia

Pannello	Nx	Ny	Nxy	Mx	My	Mxy	Ax	Ay	C	Cs
	kg	kg	kg	kg*m	kg*m	kg*m	cmq	cmq		
1	9299	1365	1851	11048	1420	1408	31.42	20.11	3	1.9
2	8571	1079	1728	11026	1482	1400	31.42	20.11	3	1.9
3	7768	857	1605	10993	1524	1384	31.42	20.11	3	2.0
4	6743	606	1504	10972	1525	1346	31.42	20.11	3	2.0
5	9648	-559	3311	7417	889	2080	31.42	20.11	3	2.5
6	8883	-864	3148	7574	996	2032	31.42	20.11	3	2.5
7	7956	-1188	3041	7710	1071	1991	31.42	20.11	3	2.5
8	6705	-1499	3026	7838	1092	1946	31.42	20.11	3	2.5
9	9959	-2066	4440	4406	343	2384	31.42	20.11	3	3.5
10	9154	-2083	4293	4630	499	2300	31.42	20.11	3	3.4
11	8159	-2073	4136	4837	611	2239	31.42	20.11	3	3.4
12	6892	-1988	3937	5030	657	2202	31.42	20.11	3	3.4
13	-6570	-2074	741	-1864	-48	-3772	31.42	20.11	2	4.5
14	-6323	-1788	385	-2035	-154	-3694	31.42	20.11	2	4.4
15	-5986	-1518	54	-2195	-231	-3627	31.42	20.11	2	4.4
16	-5561	-1274	-224	-2346	-261	-3577	31.42	20.11	2	4.4
										Massimi/minimi
1							31.42			
1								20.11		
1										1.9

Muro : 247 - Nodi: [39-31-42-48], Pann.X=4, Pann.Y=4Spess.=50 cm, Terreno=--,Criterio=CLS_Muri_ND,
Materiale=C35/45, $\zeta_e=26.103$ [(5+6)-II-1] : **Verificato**

Armatura a maglia doppia

Pannello	Nx	Ny	Nxy	Mx	My	Mxy	Ax	Ay	C	Cs
	kg	kg	kg	kg*m	kg*m	kg*m	cmq	cmq		
1	12001	-3932	3911	-3807	-2298	3118	31.42	20.11	3	3.2
2	12354	-3366	3671	-3866	-1872	3028	31.42	20.11	3	3.4
3	12707	-2801	3330	-3918	-1441	2950	31.42	20.11	3	3.4
4	13074	-2242	2885	-3969	-1029	2886	31.42	20.11	3	3.4

Pannello	Nx	Ny	Nxy	Mx	My	Mxy	Ax	Ay	C	Cs
5	12391	-3785	3626	-4180	-2539	2869	31.42	20.11	3	3.2
6	12928	-3247	3382	-4284	-2100	2793	31.42	20.11	3	3.3
7	13471	-2708	3051	-4378	-1648	2725	31.42	20.11	3	3.2
8	14031	-2175	2631	-4469	-1204	2667	31.42	20.11	3	3.2
9	12806	-3665	3396	-4411	-2726	2547	31.42	20.11	3	3.3
10	13501	-3149	3143	-4550	-2282	2485	31.42	20.11	3	3.3
11	14205	-2631	2818	-4680	-1814	2428	31.42	20.11	3	3.2
12	14930	-2116	2417	-4804	-1348	2378	31.42	20.11	3	3.2
13	13256	-3615	3197	-4534	-2867	2166	31.42	20.11	3	3.4
14	14080	-3106	2935	-4702	-2422	2117	31.42	20.11	3	3.4
15	14918	-2595	2613	-4860	-1945	2070	31.42	20.11	3	3.3
16	15780	-2089	2230	-5013	-1461	2029	31.42	20.11	3	3.2
Massimi/minimi										
1							31.42			
1								20.11		
12										3.2

Muro : 248 - Nodi: [46-44-45-40], Pann.X=4, Pann.Y=4Spess.=50 cm, Terreno=--,Criterio=CLS_Muri_ND,
Materiale=C35/45,ζ_e=14.860 [(5+6)-II-1] : **Verificato**

Armatura a maglia doppia

Pannello	Nx kg	Ny kg	Nxy kg	Mx kg*m	My kg*m	Mxy kg*m	Ax cmq	Ay cmq	C	Cs
1	-5360	14168	5257	-1766	-2383	3403	31.42	20.11	3	2.4
2	-5260	14829	3832	-2197	-3163	3192	31.42	20.11	3	2.1
3	-4977	15255	2538	-2526	-3636	2799	31.42	20.11	3	2.1
4	-4707	15522	1430	-2766	-3920	2261	31.42	20.11	3	2.2
5	-4458	14525	4916	-1405	-2377	3295	31.42	20.11	3	2.4
6	-4376	15488	3595	-1807	-3235	3101	31.42	20.11	3	2.1
7	-4155	16152	2384	-2119	-3770	2726	31.42	20.11	3	2.0
8	-3942	16575	1338	-2350	-4099	2208	31.42	20.11	3	2.1
9	-3597	14928	4455	-1048	-2367	3204	31.42	20.11	3	2.4
10	-3528	16205	3260	-1404	-3299	3021	31.42	20.11	3	2.1
11	-3360	17110	2158	-1686	-3893	2661	31.42	20.11	3	2.0
12	-3200	17689	1205	-1897	-4267	2159	31.42	20.11	3	2.0
13	-2788	15403	3867	-716	-2357	3134	31.42	20.11	3	2.4
14	-2722	17006	2823	-1012	-3361	2956	31.42	20.11	3	2.1
15	-2597	18150	1862	-1252	-4010	2606	31.42	20.11	3	1.9
16	-2488	18880	1033	-1431	-4427	2118	31.42	20.11	3	1.9
Massimi/minimi										
1							31.42			
1								20.11		
16										1.9

Muro : 249 - Nodi: [40-45-43-33], Pann.X=4, Pann.Y=4Spess.=50 cm, Terreno=--,Criterio=CLS_Muri_ND,
Materiale=C35/45,ζ_e=15.300 [(5+6)-II-1] : **Verificato**

Armatura a maglia doppia

Pannello	Nx kg	Ny kg	Nxy kg	Mx kg*m	My kg*m	Mxy kg*m	Ax cmq	Ay cmq	C	Cs
1	-4551	15656	554	-2920	-4084	1706	31.42	20.11	3	2.3
2	-4466	15677	-168	-3012	-4192	1184	31.42	20.11	3	2.5
3	-4382	15581	-870	-3071	-4288	629	31.42	20.11	3	2.7
4	-4255	15344	-1530	-3099	-4381	62	31.42	20.11	3	3.0
5	-3814	16778	515	-2499	-4292	1668	31.42	20.11	3	2.2
6	-3741	16815	-153	-2587	-4416	1159	31.42	20.11	3	2.4
7	-3670	16708	-790	-2643	-4521	617	31.42	20.11	3	2.6
8	-3570	16444	-1381	-2667	-4615	63	31.42	20.11	3	2.8
9	-3101	17961	459	-2032	-4488	1634	31.42	20.11	3	2.1
10	-3045	18013	-138	-2113	-4628	1136	31.42	20.11	3	2.2
11	-2991	17894	-700	-2163	-4741	607	31.42	20.11	3	2.4
12	-2918	17601	-1216	-2184	-4836	64	31.42	20.11	3	2.6
13	-2422	19217	390	-1546	-4676	1604	31.42	20.11	3	2.0
14	-2384	19283	-122	-1617	-4831	1117	31.42	20.11	3	2.1
15	-2348	19149	-599	-1660	-4952	599	31.42	20.11	3	2.3
16	-2300	18822	-1033	-1675	-5049	67	31.42	20.11	3	2.5
Massimi/minimi										
1							31.42			
1								20.11		
13										2.0

Muro : 250 - Nodi: [24-38-55-53], Pann.X=4, Pann.Y=4Spess.=50 cm, Terreno=--,Criterio=CLS_Muri_ND,
Materiale=C35/45, $\zeta_e=11.430$ [(5+6)-I-1] : **Verificato**

Armatura a maglia doppia

Pannello	Nx kg	Ny kg	Nxy kg	Mx kg*m	My kg*m	Mxy kg*m	Ax cmq	Ay cmq	C	Cs
1	-4610	11092	-3938	-1506	-1845	-3610	31.42	20.11	3	2.6
2	-4475	10978	-4260	-1224	-1106	-3547	31.42	20.11	3	3.1
3	-4256	10854	-4516	-923	-235	-3437	31.42	20.11	3	3.9
4	-3939	10725	-4676	-605	784	-3285	31.42	20.11	3	3.5
5	-3918	10895	-3793	-1135	-1761	-3480	31.42	20.11	3	2.7
6	-3824	10653	-4104	-881	-981	-3415	31.42	20.11	3	3.3
7	-3671	10404	-4358	-613	-70	-3306	31.42	20.11	3	4.3
8	-3451	10157	-4521	-330	986	-3159	31.42	20.11	3	3.5
9	-3237	10684	-3533	-787	-1676	-3377	31.42	20.11	3	2.9
10	-3179	10300	-3832	-567	-859	-3312	31.42	20.11	3	3.5
11	-3085	9902	-4083	-336	88	-3206	31.42	20.11	3	4.4
12	-2952	9511	-4259	-94	1176	-3065	31.42	20.11	3	3.5
13	-2576	10487	-3149	-483	-1597	-3301	31.42	20.11	3	3.0
14	-2541	9935	-3426	-302	-745	-3238	31.42	20.11	3	3.7
15	-2493	9365	-3667	-112	233	-3138	31.42	20.11	3	4.4
16	-2428	8791	-3856	85	1351	-3005	31.42	20.11	3	3.4
Massimi/minimi										
1							31.42			
1								20.11		
1										2.6

Muro : 251 - Nodi: [57-56-44-46], Pann.X=4, Pann.Y=4Spess.=50 cm, Terreno=--,Criterio=CLS_Muri_ND,
Materiale=C35/45, $\zeta_e=10.397$ [(5+6)-II-1] : **Verificato**

Armatura a maglia doppia

Pannello	Nx kg	Ny kg	Nxy kg	Mx kg*m	My kg*m	Mxy kg*m	Ax cmq	Ay cmq	C	Cs
1	-4394	12144	7507	-604	629	3159	31.42	20.11	3	3.7
2	-4750	12634	7196	-885	-238	3292	31.42	20.11	3	4.0
3	-5021	13105	6765	-1150	-970	3386	31.42	20.11	3	3.2
4	-5210	13543	6248	-1398	-1583	3437	31.42	20.11	3	2.8
5	-3789	11828	7032	-352	809	3043	31.42	20.11	3	3.7
6	-2208	-5657	294	436	355	-3897	31.42	20.11	2	4.2
7	-4219	13077	6316	-842	-862	3266	31.42	20.11	3	3.4
8	-4351	13660	5833	-1067	-1515	3319	31.42	20.11	3	2.9
9	-3179	11466	6421	-130	980	2955	31.42	20.11	3	3.6
10	-1893	-5498	74	306	302	-3824	31.42	20.11	2	4.3
11	-3442	13059	5733	-555	-757	3170	31.42	20.11	3	3.5
12	-3527	13803	5288	-751	-1445	3223	31.42	20.11	3	3.0
13	-2554	11067	5640	42	1137	2897	31.42	20.11	3	3.6
14	-1602	-5302	-87	201	253	-3768	31.42	20.11	2	4.4
15	-1682	-5149	42	365	1113	-3786	31.42	20.11	2	3.6
16	-2745	14005	4602	-470	-1379	3151	31.42	20.11	3	3.0
Massimi/minimi										
1							31.42			
1								20.11		
4										2.8

Muro : 252 - Nodi: [50-54-56-57], Pann.X=4, Pann.Y=4Spess.=50 cm, Terreno=--,Criterio=CLS_Muri_ND,
Materiale=C35/45, $\zeta_e=11.852$ [(5+6)-II-1] : **Verificato**

Armatura a maglia doppia

Pannello	Nx kg	Ny kg	Nxy kg	Mx kg*m	My kg*m	Mxy kg*m	Ax cmq	Ay cmq	C	Cs
1	301	9130	4811	1280	10528	1306	31.42	20.11	3	1.2
2	-1345	9893	6328	813	7102	2204	31.42	20.11	3	1.6
3	-2728	10676	7334	307	4291	2520	31.42	20.11	3	2.1
4	-3768	11479	7658	-207	2055	2903	31.42	20.11	3	2.9
5	-66	8461	4481	1343	10543	1316	31.42	20.11	3	1.3
6	-1619	9239	5930	922	7279	2163	31.42	20.11	3	1.6
7	-2643	10047	6921	460	4522	2441	31.42	20.11	3	2.1
8	-3358	10991	7202	1	2272	2799	31.42	20.11	3	2.8
9	-356	7722	4129	1391	10547	1319	31.42	20.11	3	1.3
10	-1893	8434	5555	1006	7435	2128	31.42	20.11	3	1.6

Pannello	Nx	Ny	Nxy	Mx	My	Mxy	Ax	Ay	C	Cs
11	-2520	9253	6461	576	4734	2384	31.42	20.11	3	2.1
12	-2921	10400	6633	173	2474	2723	31.42	20.11	3	2.8
13	-660	6764	3774	1406	10564	1303	31.42	20.11	3	1.3
14	-2132	7323	5234	1043	7582	2088	31.42	20.11	3	1.6
15	-2316	8223	5911	630	4930	2348	31.42	20.11	3	2.1
16	-2440	9703	5903	289	2661	2677	31.42	20.11	3	2.7
Massimi/minimi										
1							31.42			
1								20.11		
1										1.2

Muro : 253 - Nodi: [53-55-58-51], Pann.X=4, Pann.Y=4Spess.=50 cm, Terreno=--,Criterio=CLS_Muri_ND,
Materiale=C35/45, $\zeta_e=16.723$ [(5+6)-I-1] : **Verificato**

Armatura a maglia doppia

Pannello	Nx	Ny	Nxy	Mx	My	Mxy	Ax	Ay	C	Cs
	kg	kg	kg	kg*m	kg*m	kg*m	cmq	cmq		
1	-3319	10546	-4655	-158	2439	-3002	31.42	20.11	3	2.7
2	-2170	10315	-4170	422	4994	-2585	31.42	20.11	3	1.9
3	-518	10023	-3091	995	8157	-2228	31.42	20.11	3	1.4
4	1480	9689	-1667	1555	11943	-1486	31.42	20.11	3	1.1
5	-3006	9852	-4516	65	2677	-2888	31.42	20.11	3	2.6
6	-2159	9558	-4044	583	5244	-2497	31.42	20.11	3	1.9
7	-805	9314	-2933	1108	8351	-2177	31.42	20.11	3	1.4
8	1221	9011	-1560	1624	11976	-1473	31.42	20.11	3	1.1
9	-2671	9031	-4303	245	2900	-2806	31.42	20.11	3	2.6
10	-2130	8626	-3917	698	5475	-2433	31.42	20.11	3	1.9
11	-1120	8469	-2832	1186	8522	-2133	31.42	20.11	3	1.4
12	1046	8285	-1449	1672	12002	-1451	31.42	20.11	3	1.1
13	-2289	8067	-3970	360	3106	-2758	31.42	20.11	3	2.6
14	-2037	7435	-3759	741	5691	-2393	31.42	20.11	3	1.9
15	-1434	7321	-2833	1204	8685	-2086	31.42	20.11	3	1.4
16	854	7381	-1354	1674	12044	-1408	31.42	20.11	3	1.1
Massimi/minimi										
1							31.42			
1								20.11		
4										1.1

Muro : 254 - Nodi: [21-59-52-30], Pann.X=4, Pann.Y=4Spess.=50 cm, Terreno=--,Criterio=CLS_Muri_ND,
Materiale=C35/45, $\zeta_e=8.999$ [(5+6)-I-1] : **Verificato**

Armatura a maglia doppia

Pannello	Nx	Ny	Nxy	Mx	My	Mxy	Ax	Ay	C	Cs
	kg	kg	kg	kg*m	kg*m	kg*m	cmq	cmq		
1	9677	-4349	382	219	-7206	630	20.11	31.42	3	3.4
2	10276	-4185	486	630	-6572	800	20.11	31.42	3	3.6
3	10827	-4039	619	1131	-5903	1029	20.11	31.42	3	3.8
4	11300	-3893	791	1735	-5243	1355	20.11	31.42	3	4.0
5	9361	-3327	760	-1292	-6437	1095	20.11	31.42	3	3.5
6	9938	-2879	775	-1275	-5632	1347	20.11	31.42	3	3.8
7	10503	-2392	764	-1292	-4736	1636	20.11	31.42	3	4.1
8	11073	-1874	705	-1373	-3754	1957	20.11	31.42	3	4.3
9	9463	-3054	611	-2548	-5762	452	20.11	31.42	3	4.2
10	10122	-2600	552	-2707	-4904	557	20.11	31.42	3	4.5
11	10808	-2147	481	-2893	-3984	654	20.11	31.42	3	4.1
12	11533	-1702	395	-3109	-3041	736	20.11	31.42	3	3.7
13	9736	-3312	318	-2838	-5560	-482	20.11	31.42	3	4.4
14	10381	-2810	251	-2976	-4734	-488	20.11	31.42	3	4.2
15	11056	-2310	204	-3134	-3857	-502	20.11	31.42	3	4.0
16	11776	-1815	176	-3316	-2959	-521	20.11	31.42	3	3.7
Massimi/minimi										
1							20.11			
1								31.42		
1										3.4

Muro : 255 - Nodi: [59-62-65-52], Pann.X=4, Pann.Y=4Spess.=50 cm, Terreno=--,Criterio=CLS_Muri_ND,
Materiale=C35/45, $\zeta_e=13.888$ [(5+6)-I-1] : **Verificato**

Armatura a maglia doppia

Pannello	Nx	Ny	Nxy	Mx	My	Mxy	Ax	Ay	C	Cs
	kg	kg	kg	kg*m	kg*m	kg*m	cmq	cmq		
1	10003	-3837	-18	-2482	-5590	-1036	20.11	31.42	3	4.0
2	10572	-3289	-125	-2516	-4796	-1109	20.11	31.42	3	4.0
3	11152	-2717	-193	-2571	-3941	-1207	20.11	31.42	3	3.8
4	11771	-2122	-204	-2662	-3048	-1322	20.11	31.42	3	3.6
5	10256	-4329	-226	-2093	-5675	-1106	20.11	31.42	3	3.9
6	10780	-3799	-391	-2014	-4935	-1195	20.11	31.42	3	4.3
7	11280	-3223	-534	-1937	-4139	-1333	20.11	31.42	3	4.4
8	11771	-2588	-625	-1891	-3291	-1526	20.11	31.42	3	4.2
9	10589	-4934	-331	-1684	-5728	-1025	20.11	31.42	3	4.0
10	11115	-4515	-536	-1462	-5069	-1084	20.11	31.42	3	4.3
11	11603	-4079	-762	-1195	-4382	-1210	20.11	31.42	3	4.7
12	-7393	-3920	-2245	729	3595	1656	20.11	31.42	2	5.0
13	10901	-5449	-250	-1366	-5670	-755	20.11	31.42	3	4.2
14	11457	-5181	-385	-1030	-5085	-714	20.11	31.42	3	4.6
15	12013	-5012	-532	-597	-4513	-714	20.11	31.42	3	5.1
16	-7098	-5583	-1738	51	4064	1052	20.11	31.42	2	5.2
Massimi/minimi										
1							20.11			
1								31.42		
4										3.6

Muro : 256 - Nodi: [62-67-66-65], Pann.X=4, Pann.Y=4Spess.=50 cm, Terreno=--,Criterio=CLS_Muri_ND,
Materiale=C35/45,ζ_e=8.588 [(5+6)-I-1] : **Verificato**

Armatura a maglia doppia

Pannello	Nx	Ny	Nxy	Mx	My	Mxy	Ax	Ay	C	Cs
	kg	kg	kg	kg*m	kg*m	kg*m	cmq	cmq		
1	11029	-5567	-89	-1227	-5425	-378	20.11	31.42	3	4.6
2	11534	-5273	-70	-864	-4862	-200	20.11	31.42	3	5.3
3	-7065	-5385	-795	360	4012	350	20.11	31.42	2	6.1
4	-7455	-5564	-375	-120	3952	140	20.11	31.42	2	6.6
5	10969	-5271	-99	-1251	-4986	-15	20.11	31.42	3	5.4
6	11339	-4778	-4	-946	-4396	268	20.11	31.42	3	5.7
7	11672	-4276	172	-595	-3798	585	20.11	31.42	3	6.1
8	11942	-3728	435	-208	-3201	964	20.11	31.42	3	6.4
9	10867	-4838	-376	-1324	-4418	256	20.11	31.42	3	5.7
10	11130	-4195	-305	-1104	-3797	576	20.11	31.42	3	6.1
11	11371	-3519	-195	-886	-3153	911	20.11	31.42	3	6.5
12	11609	-2796	-79	-698	-2487	1260	20.11	31.42	3	7.0
13	10810	-4433	-817	-1297	-3795	432	20.11	31.42	3	6.3
14	11013	-3747	-781	-1135	-3177	743	20.11	31.42	3	6.8
15	11228	-3053	-722	-992	-2543	1040	20.11	31.42	3	7.0
16	11490	-2354	-659	-886	-1911	1313	20.11	31.42	3	6.5
Massimi/minimi										
1							20.11			
1								31.42		
1										4.6

Muro : 257 - Nodi: [67-60-63-66], Pann.X=4, Pann.Y=4Spess.=50 cm, Terreno=--,Criterio=CLS_Muri_ND,
Materiale=C35/45,ζ_e=7.935 [(5+6)-I-1] : **Verificato**

Armatura a maglia doppia

Pannello	Nx	Ny	Nxy	Mx	My	Mxy	Ax	Ay	C	Cs
	kg	kg	kg	kg*m	kg*m	kg*m	cmq	cmq		
1	10778	-4025	-1326	-1024	-3117	574	20.11	31.42	3	7.2
2	10925	-3364	-1288	-876	-2541	858	20.11	31.42	3	7.8
3	11101	-2719	-1220	-751	-1968	1110	20.11	31.42	3	7.7
4	11330	-2096	-1124	-657	-1421	1319	20.11	31.42	3	7.2
5	10702	-3528	-1791	-363	-2391	745	20.11	31.42	3	8.4
6	10777	-2938	-1710	-197	-1891	1000	20.11	31.42	3	9.1
7	10883	-2380	-1591	-52	-1410	1210	20.11	31.42	3	10
8	11030	-1853	-1431	65	-970	1370	20.11	31.42	3	10
9	10512	-2877	-2090	751	-1662	982	20.11	31.42	3	8.4
10	10506	-2394	-1936	950	-1257	1209	20.11	31.42	3	6.7
11	10536	-1952	-1746	1128	-884	1385	20.11	31.42	3	5.8
12	10601	-1548	-1521	1279	-560	1505	20.11	31.42	3	5.2
13	10157	-2025	-2149	2382	-924	1300	20.11	31.42	3	4.0
14	10071	-1683	-1902	2604	-631	1498	20.11	31.42	3	3.6
15	10045	-1389	-1626	2804	-378	1640	20.11	31.42	3	3.3
16	10067	-1139	-1338	2977	-179	1722	20.11	31.42	3	3.1

Pannello	Nx	Ny	Nxy	Mx	My	Mxy	Ax	Ay	C	Cs
										Massimi/minimi
1							20.11			
1								31.42		
16										3.1

Muro : 258 - Nodi: [60-47-49-63], Pann.X=4, Pann.Y=4Spess.=50 cm, Terreno=--,Criterio=CLS_Muri_ND,
Materiale=C35/45, $\zeta_e=10.918$ [(5+6)-I-1] : **Verificato**

Armatura a maglia doppia

Pannello	Nx	Ny	Nxy	Mx	My	Mxy	Ax	Ay	C	Cs
	kg	kg	kg	kg*m	kg*m	kg*m	cmq	cmq		
1	9694	-1148	-1956	4275	-274	1611	20.11	31.42	3	2.5
2	9535	-952	-1623	4488	-85	1779	20.11	31.42	3	2.3
3	9484	-805	-1261	4675	56	1893	20.11	31.42	3	2.2
4	9529	-708	-911	4837	140	1946	20.11	31.42	3	2.2
5	9196	-410	-1560	6306	278	1854	20.11	31.42	3	1.8
6	8954	-357	-1177	6468	377	1991	20.11	31.42	3	1.8
7	8882	-332	-743	6599	423	2079	20.11	31.42	3	1.7
8	9001	-351	-320	6704	403	2113	20.11	31.42	3	1.7
9	8685	107	-883	8751	812	2006	20.11	31.42	3	1.4
10	8321	-30	-532	8812	832	2100	20.11	31.42	3	1.4
11	8180	-116	-96	8832	791	2157	20.11	31.42	3	1.4
12	8366	-179	382	8812	672	2169	20.11	31.42	3	1.4
13	8317	75	285	11662	1298	1332	20.11	31.42	3	1.2
14	7838	-453	461	11562	1268	1368	20.11	31.42	3	1.2
15	7584	-780	674	11407	1186	1385	20.11	31.42	3	1.2
16	7730	-827	917	11183	1038	1383	20.11	31.42	3	1.2
										Massimi/minimi
1							20.11			
1								31.42		
13										1.2

Muro : 259 - Nodi: [68-79-82-64], Pann.X=4, Pann.Y=4Spess.=50 cm, Terreno=--,Criterio=CLS_Muri_ND,
Materiale=C35/45, $\zeta_e=12.724$ [(5+6)-I-1] : **Verificato**

Armatura a maglia doppia

Pannello	Nx	Ny	Nxy	Mx	My	Mxy	Ax	Ay	C	Cs
	kg	kg	kg	kg*m	kg*m	kg*m	cmq	cmq		
1	-5379	10312	-1095	-6435	-1083	738	31.42	20.11	3	3.7
2	-4628	9638	-998	-6325	-1459	1066	31.42	20.11	3	3.6
3	-3899	8999	-1164	-6095	-1999	1091	31.42	20.11	3	3.7
4	-3425	8495	-1401	-5903	-2443	807	31.42	20.11	3	3.9
5	-5120	10958	-822	-5828	-720	756	31.42	20.11	3	4.1
6	-4179	10213	-676	-5608	-1254	1201	31.42	20.11	3	3.9
7	-3367	9562	-914	-5283	-1984	1229	31.42	20.11	3	4.1
8	-2913	9087	-1204	-5049	-2547	886	31.42	20.11	3	4.3
9	-4945	11601	-518	-5226	-250	820	31.42	20.11	3	4.4
10	-3693	10756	-331	-4834	-1015	1406	31.42	20.11	3	4.2
11	-2802	10127	-681	-4393	-1992	1402	31.42	20.11	3	4.3
12	-2394	9707	-1020	-4130	-2679	974	31.42	20.11	3	4.0
13	-5541	-6635	1700	4591	-429	-1080	31.42	20.11	2	4.7
14	-3132	11247	32	-4002	-768	1708	31.42	20.11	3	4.6
15	-2207	10716	-491	-3440	-2048	1601	31.42	20.11	3	4.0
16	-1877	10378	-853	-3176	-2846	1063	31.42	20.11	3	3.7
										Massimi/minimi
1							31.42			
1								20.11		
2										3.6

Muro : 260 - Nodi: [64-82-90-61], Pann.X=4, Pann.Y=4Spess.=50 cm, Terreno=--,Criterio=CLS_Muri_ND,
Materiale=C35/45, $\zeta_e=22.313$ [(5+6)-I-1] : **Verificato**

Armatura a maglia doppia

Pannello	Nx	Ny	Nxy	Mx	My	Mxy	Ax	Ay	C	Cs
	kg	kg	kg	kg*m	kg*m	kg*m	cmq	cmq		
1	-3196	8138	-1566	-5818	-2635	439	31.42	20.11	3	4.2
2	-3089	7869	-1664	-5815	-2643	110	31.42	20.11	3	4.4
3	-3040	7605	-1739	-5863	-2523	-234	31.42	20.11	3	4.3
4	-3048	7347	-1801	-5967	-2276	-554	31.42	20.11	3	4.0

Pannello	Nx	Ny	Nxy	Mx	My	Mxy	Ax	Ay	C	Cs
5	-2714	8740	-1383	-4953	-2787	464	31.42	20.11	3	4.6
6	-2627	8463	-1481	-4947	-2809	94	31.42	20.11	3	5.1
7	-2589	8178	-1555	-4993	-2686	-293	31.42	20.11	3	5.0
8	-2601	7886	-1620	-5095	-2418	-657	31.42	20.11	3	4.6
9	-2234	9375	-1199	-4031	-2964	491	31.42	20.11	3	4.3
10	-2168	9087	-1288	-4024	-2998	80	31.42	20.11	3	4.8
11	-2141	8777	-1351	-4065	-2874	-349	31.42	20.11	3	4.6
12	-2152	8449	-1410	-4158	-2588	-760	31.42	20.11	3	4.5
13	-1762	10051	-1011	-3086	-3170	519	31.42	20.11	3	4.0
14	-1718	9744	-1081	-3079	-3215	68	31.42	20.11	3	4.5
15	-1701	9407	-1128	-3113	-3090	-400	31.42	20.11	3	4.2
16	-1705	9043	-1171	-3190	-2793	-855	31.42	20.11	3	4.1
Massimi/minimi										
1							31.42			
1								20.11		
13										4.0

Muro : 261 - Nodi: [83-91-79-68], Pann.X=4, Pann.Y=4Spess.=50 cm, Terreno=--,Criterio=CLS_Muri_ND,
Materiale=C35/45, $\zeta_e=10.493 [(5+6)-I-3]$: **Verificato**

Armatura a maglia doppia

Pannello	Nx kg	Ny kg	Nxy kg	Mx kg*m	My kg*m	Mxy kg*m	Ax cmq	Ay cmq	C	Cs
1	-3881	11544	1769	-2477	-1117	-571	31.42	20.11	3	8.4
2	-4404	11399	544	-3714	-2082	-504	31.42	20.11	3	5.5
3	-4784	11041	-724	-4973	-1836	-475	31.42	20.11	3	4.9
4	-5491	10786	-1328	-6019	-1141	46	31.42	20.11	3	4.4
5	-3211	11736	1718	-1946	-994	-799	31.42	20.11	3	7.9
6	-3650	11754	616	-3045	-2025	-776	31.42	20.11	3	5.1
7	-4058	11485	-655	-4274	-1698	-805	31.42	20.11	3	5.2
8	-5118	11375	-1262	-5399	-781	-170	31.42	20.11	3	4.8
9	-2585	11970	1616	-1443	-886	-982	31.42	20.11	3	7.6
10	-2923	12157	656	-2372	-1988	-1016	31.42	20.11	3	4.7
11	-3303	11940	-602	-3540	-1577	-1152	31.42	20.11	3	5.2
12	-4795	11952	-1246	-4775	-336	-421	31.42	20.11	3	5.1
13	-2002	12254	1460	-989	-798	-1117	31.42	20.11	3	7.4
14	-2230	12636	663	-1722	-1979	-1211	31.42	20.11	3	4.4
15	-2517	12430	-541	-2774	-1502	-1513	31.42	20.11	3	4.7
16	-4513	12495	-1291	-4183	208	-734	31.42	20.11	3	5.4
Massimi/minimi										
1							31.42			
1								20.11		
14										4.4

Muro : 262 - Nodi: [51-58-91-83], Pann.X=4, Pann.Y=4Spess.=50 cm, Terreno=--,Criterio=CLS_Muri_ND,
Materiale=C35/45, $\zeta_e=8.782 [(5+6)-I-3]$: **Verificato**

Armatura a maglia doppia

Pannello	Nx kg	Ny kg	Nxy kg	Mx kg*m	My kg*m	Mxy kg*m	Ax cmq	Ay cmq	C	Cs
1	163	8812	408	1258	11518	-1618	31.42	20.11	3	1.1
2	-368	9701	1944	410	6848	-1787	31.42	20.11	3	1.7
3	-1684	10625	2501	-499	3346	-1278	31.42	20.11	3	3.1
4	-2896	11250	2445	-1399	831	-863	31.42	20.11	3	8.5
5	-260	8419	120	1252	11521	-1658	31.42	20.11	3	1.1
6	-339	9501	1507	510	7030	-1905	31.42	20.11	3	1.6
7	-1388	10555	2159	-257	3582	-1445	31.42	20.11	3	2.9
8	-2392	11288	2241	-1016	1035	-1062	31.42	20.11	3	6.8
9	-521	8269	-224	1194	11477	-1672	31.42	20.11	3	1.1
10	-346	9485	1019	550	7179	-1978	31.42	20.11	3	1.6
11	-1148	10575	1788	-64	3796	-1558	31.42	20.11	3	2.7
12	-1942	11374	1996	-673	1221	-1208	31.42	20.11	3	5.9
13	-607	8512	-606	1064	11377	-1655	31.42	20.11	3	1.1
14	-412	9684	539	515	7301	-1999	31.42	20.11	3	1.6
15	-959	10670	1414	68	3987	-1611	31.42	20.11	3	2.6
16	-1540	11502	1715	-387	1384	-1297	31.42	20.11	3	5.3
Massimi/minimi										
1							31.42			
1								20.11		
1										1.1

Muro : 263 - Nodi: [61-90-92-81], Pann.X=4, Pann.Y=4Spess.=50 cm, Terreno=--,Criterio=CLS_Muri_ND,
Materiale=C35/45, $\zeta_e=9.281$ [(5+6)-I-3] : **Verificato**

Armatura a maglia doppia

Pannello	Nx kg	Ny kg	Nxy kg	Mx kg*m	My kg*m	Mxy kg*m	Ax cmq	Ay cmq	C	Cs
1	-3147	7051	-1867	-6195	-1782	-888	31.42	20.11	3	3.7
2	-3452	6790	-1914	-6591	-986	-1090	31.42	20.11	3	3.4
3	-3997	6690	-1801	-7053	-152	-912	31.42	20.11	3	3.3
4	-4547	6662	-1340	-7402	381	-406	31.42	20.11	3	3.4
5	-2699	7530	-1707	-5330	-1863	-1058	31.42	20.11	3	4.1
6	-3022	7189	-1818	-5772	-917	-1337	31.42	20.11	3	3.7
7	-3687	7060	-1793	-6351	149	-1159	31.42	20.11	3	3.5
8	-4461	7076	-1307	-6831	852	-515	31.42	20.11	3	3.6
9	-2237	8024	-1507	-4384	-1978	-1235	31.42	20.11	3	4.7
10	-2549	7569	-1683	-4852	-880	-1625	31.42	20.11	3	4.1
11	-3330	7375	-1793	-5568	490	-1492	31.42	20.11	3	3.7
12	-4443	7458	-1295	-6257	1459	-675	31.42	20.11	3	3.8
13	-1767	8551	-1259	-3388	-2139	-1407	31.42	20.11	3	4.2
14	-2035	7950	-1482	-3838	-906	-1940	31.42	20.11	3	4.5
15	-2885	7608	-1793	-4692	844	-1945	31.42	20.11	3	4.0
16	-4523	7791	-1322	-5727	2270	-932	31.42	20.11	3	4.0
Massimi/minimi										
1							31.42			
1								20.11		
3										3.3

Muro : 264 - Nodi: [86-87-93-84], Pann.X=4, Pann.Y=4Spess.=50 cm, Terreno=--,Criterio=CLS_Muri_ND,
Materiale=C35/45, $\zeta_e=8.504$ [(5+6)-I-3] : **Verificato**

Armatura a maglia doppia

Pannello	Nx kg	Ny kg	Nxy kg	Mx kg*m	My kg*m	Mxy kg*m	Ax cmq	Ay cmq	C	Cs
1	-4936	6707	408	-5379	-1057	-357	31.42	20.11	3	4.7
2	-4579	6758	691	-4948	-1087	2	31.42	20.11	3	5.4
3	-4103	6820	732	-4389	-1175	265	31.42	20.11	3	5.7
4	-3681	6987	623	-3776	-1174	430	31.42	20.11	3	6.3
5	-4794	6866	372	-4830	-697	-182	31.42	20.11	3	5.3
6	-4253	6802	702	-4371	-788	281	31.42	20.11	3	5.7
7	-3638	6781	685	-3780	-962	582	31.42	20.11	3	6.1
8	-3179	6915	505	-3167	-1020	738	31.42	20.11	3	6.7
9	-5356	-7441	-773	4008	359	352	31.42	20.11	2	6.1
10	-3900	6776	782	-3782	-442	596	31.42	20.11	3	6.1
11	-3120	6684	662	-3144	-751	914	31.42	20.11	3	6.5
12	-2646	6818	393	-2541	-885	1035	31.42	20.11	3	7.3
13	-5544	-7856	-356	3948	-123	142	31.42	20.11	2	6.6
14	-3480	6649	939	-3193	-59	973	31.42	20.11	3	6.3
15	-2532	6544	633	-2484	-569	1263	31.42	20.11	3	7.0
16	-2087	6728	268	-1913	-787	1307	31.42	20.11	3	7.3
Massimi/minimi										
1							31.42			
1								20.11		
1										4.7

Muro : 265 - Nodi: [85-89-87-86], Pann.X=4, Pann.Y=4Spess.=50 cm, Terreno=--,Criterio=CLS_Muri_ND,
Materiale=C35/45, $\zeta_e=13.645$ [(5+6)-I-1] : **Verificato**

Armatura a maglia doppia

Pannello	Nx kg	Ny kg	Nxy kg	Mx kg*m	My kg*m	Mxy kg*m	Ax cmq	Ay cmq	C	Cs
1	-3518	5634	-366	-5530	-2350	-1023	31.42	20.11	3	4.0
2	-3933	5851	-414	-5616	-1945	-1089	31.42	20.11	3	4.0
3	-4457	6176	-325	-5672	-1523	-1004	31.42	20.11	3	4.0
4	-4892	6513	-15	-5618	-1198	-732	31.42	20.11	3	4.2
5	-3049	5836	-444	-4748	-2382	-1098	31.42	20.11	3	4.4
6	-3500	6007	-566	-4890	-1864	-1180	31.42	20.11	3	4.4
7	-4153	6336	-536	-5027	-1302	-1066	31.42	20.11	3	4.4
8	-4758	6711	-179	-5047	-864	-694	31.42	20.11	3	4.6
9	-2548	6031	-480	-3905	-2434	-1197	31.42	20.11	3	4.2
10	-3011	6117	-696	-4105	-1787	-1320	31.42	20.11	3	4.9

Pannello	Nx	Ny	Nxy	Mx	My	Mxy	Ax	Ay	C	Cs
11	-3821	6434	-771	-4351	-1035	-1194	31.42	20.11	3	4.8
12	-4710	6881	-360	-4487	-431	-697	31.42	20.11	3	5.1
13	-2016	6245	-456	-3022	-2523	-1314	31.42	20.11	3	4.0
14	-2450	6192	-771	-3267	-1739	-1515	31.42	20.11	3	4.7
15	-3903	-7795	-2255	3593	737	1662	31.42	20.11	2	5.0
16	-5564	-7501	-1734	4061	54	1056	31.42	20.11	2	5.2
Massimi/minimi										
1							31.42			
1								20.11		
2										4.0

Muro : 266 - Nodi: [84-93-88-80], Pann.X=4, Pann.Y=4Spess.=50 cm, Terreno=--,Criterio=CLS_Muri_ND,
Materiale=C35/45, $\zeta_e=7.717$ [(5+6)-I-3] : **Verificato**

Armatura a maglia doppia

Pannello	Nx	Ny	Nxy	Mx	My	Mxy	Ax	Ay	C	Cs
	kg	kg	kg	kg*m	kg*m	kg*m	cmq	cmq		
1	-3286	7264	476	-3108	-942	558	31.42	20.11	3	7.2
2	-2838	7598	383	-2393	-343	712	31.42	20.11	3	8.5
3	-2256	7893	420	-1673	693	933	31.42	20.11	3	9.2
4	-1462	8077	636	-941	2228	1238	31.42	20.11	3	4.3
5	-2806	7172	319	-2540	-805	841	31.42	20.11	3	7.8
6	-2418	7475	228	-1897	-187	967	31.42	20.11	3	9.2
7	-1921	7736	303	-1269	884	1162	31.42	20.11	3	7.4
8	-1235	7892	592	-646	2446	1440	31.42	20.11	3	3.9
9	-2322	7070	173	-1972	-688	1092	31.42	20.11	3	8.5
10	-2010	7346	88	-1419	-50	1179	31.42	20.11	3	10
11	-1612	7580	197	-896	1055	1341	31.42	20.11	3	6.3
12	-1052	7737	550	-390	2643	1588	31.42	20.11	3	3.6
13	-1836	6980	35	-1428	-602	1302	31.42	20.11	3	8.0
14	-1613	7215	-33	-980	60	1341	31.42	20.11	3	11
15	-1325	7417	97	-571	1201	1465	31.42	20.11	3	5.7
16	-905	7594	485	-187	2814	1676	31.42	20.11	3	3.4
Massimi/minimi										
1							31.42			
1								20.11		
16										3.4

Muro : 267 - Nodi: [80-88-54-50], Pann.X=4, Pann.Y=4Spess.=50 cm, Terreno=--,Criterio=CLS_Muri_ND,
Materiale=C35/45, $\zeta_e=11.084$ [(5+6)-I-3] : **Verificato**

Armatura a maglia doppia

Pannello	Nx	Ny	Nxy	Mx	My	Mxy	Ax	Ay	C	Cs
	kg	kg	kg	kg*m	kg*m	kg*m	cmq	cmq		
1	-585	8103	998	-293	4025	1545	31.42	20.11	3	2.7
2	227	8009	1464	259	5968	1794	31.42	20.11	3	1.9
3	909	7872	2130	796	8321	1962	31.42	20.11	3	1.5
4	1147	7837	3205	1306	11125	1104	31.42	20.11	3	1.2
5	-464	7890	1043	-99	4240	1719	31.42	20.11	3	2.5
6	251	7745	1578	366	6141	1939	31.42	20.11	3	1.9
7	801	7508	2239	826	8406	2065	31.42	20.11	3	1.4
8	696	7378	3167	1291	11064	1162	31.42	20.11	3	1.2
9	-400	7764	1090	47	4431	1840	31.42	20.11	3	2.4
10	230	7643	1722	418	6283	2036	31.42	20.11	3	1.8
11	725	7365	2418	794	8449	2131	31.42	20.11	3	1.4
12	428	7139	3152	1224	10949	1202	31.42	20.11	3	1.3
13	-396	7712	1086	134	4597	1901	31.42	20.11	3	2.3
14	139	7728	1823	401	6399	2078	31.42	20.11	3	1.8
15	647	7558	2628	677	8452	2152	31.42	20.11	3	1.4
16	426	7310	3155	1086	10764	1225	31.42	20.11	3	1.3
Massimi/minimi										
1							31.42			
1								20.11		
4										1.2

Muro : 268 - Nodi: [81-92-89-85], Pann.X=4, Pann.Y=4Spess.=50 cm, Terreno=--,Criterio=CLS_Muri_ND,
Materiale=C35/45, $\zeta_e=9.203$ [(5+6)-I-3] : **Verificato**

Armatura a maglia doppia

**POTENZIAMENTO DELL'IMPIANTO DI DEPURAZIONE E
DEL RECAPITO FINALE DI SQUINZANO (LE)
PROGETTO DEFINITIVO
Tabulati di calcolo strutturale-Equalizzazione**

R.37.7

Maggio 2021

Pagina 238 di
338

Pannello	Nx	Ny	Nxy	Mx	My	Mxy	Ax	Ay	C	Cs
	kg	kg	kg	kg*m	kg*m	kg*m	cmq	cmq		
1	-4353	6257	-424	-7183	214	576	31.42	20.11	3	3.4
2	-3303	5621	-21	-6400	-1272	1056	31.42	20.11	3	3.5
3	-2969	5438	-96	-5713	-2491	431	31.42	20.11	3	4.3
4	-3109	5480	-224	-5503	-2737	-483	31.42	20.11	3	4.4
5	-4191	6608	-237	-6551	627	748	31.42	20.11	3	3.6
6	-2865	5911	70	-5600	-1250	1309	31.42	20.11	3	3.8
7	-2539	5772	-89	-4862	-2646	537	31.42	20.11	3	4.9
8	-2659	5770	-244	-4687	-2871	-489	31.42	20.11	3	4.6
9	-4046	6908	-12	-5885	1130	979	31.42	20.11	3	3.9
10	-2386	6184	146	-4709	-1264	1599	31.42	20.11	3	4.2
11	-2108	6124	-86	-3951	-2828	635	31.42	20.11	3	4.4
12	-2205	6077	-237	-3820	-3026	-504	31.42	20.11	3	4.4
13	-3896	7128	262	-5229	1737	1307	31.42	20.11	3	4.1
14	-1873	6457	183	-3733	-1342	1921	31.42	20.11	3	4.6
15	-1683	6505	-87	-3015	-3040	716	31.42	20.11	3	4.1
16	-1754	6411	-203	-2931	-3205	-524	31.42	20.11	3	4.1
Massimi/minimi										
1							31.42			
1								20.11		
1										3.4

Muro : 269 - Nodi: [87-7072-7081-93], Pann.X=4, Pann.Y=4Spess.=50 cm, Terreno=--,Criterio=CLS_Muri_ND,
Materiale=C35/45, $\zeta_e=7.655$ [(5+6)-I-3] : **Verificato**

Armatura a maglia doppia

Pannello	Nx	Ny	Nxy	Mx	My	Mxy	Ax	Ay	C	Cs
	kg	kg	kg	kg*m	kg*m	kg*m	cmq	cmq		
1	-5988	-8342	196	4053	-778	-177	31.42	20.11	2	6.4
2	-2917	6395	1137	-2616	303	1417	31.42	20.11	3	6.5
3	-1891	6409	554	-1832	-457	1586	31.42	20.11	3	7.5
4	-1550	6692	130	-1334	-739	1521	31.42	20.11	3	6.8
5	-5576	6870	1230	-3343	2062	985	31.42	20.11	3	5.0
6	-2113	5994	1276	-1972	540	1922	31.42	20.11	3	6.3
7	-1274	6416	366	-1179	-433	1818	31.42	20.11	3	6.8
8	-1061	6761	-4	-822	-741	1644	31.42	20.11	3	6.4
9	-6262	6004	2078	-3353	3263	1873	31.42	20.11	3	3.0
10	-997	5757	1013	-1041	534	2250	31.42	20.11	3	5.6
11	-699	6750	84	-539	-456	1810	31.42	20.11	3	6.7
12	-632	6942	-76	-376	-779	1578	31.42	20.11	3	6.5
13	-6675	3423	3448	-2685	3666	2265	31.42	20.11	3	2.7
14	-119	6967	-32	-30	755	1248	31.42	20.11	3	7.6
15	-3	7199	26	-124	-439	1111	31.42	20.11	3	9.8
16	-172	7145	-24	-63	-771	875	31.42	20.11	3	9.2
Massimi/minimi										
1							31.42			
1								20.11		
13										2.7

Muro : 270 - Nodi: [89-7063-7072-87], Pann.X=4, Pann.Y=4Spess.=50 cm, Terreno=--,Criterio=CLS_Muri_ND,
Materiale=C35/45, $\zeta_e=11.869$ [(5+6)-I-1] : **Verificato**

Armatura a maglia doppia

Pannello	Nx	Ny	Nxy	Mx	My	Mxy	Ax	Ay	C	Cs
	kg	kg	kg	kg*m	kg*m	kg*m	cmq	cmq		
1	-1497	6505	-364	-2170	-2654	-1423	31.42	20.11	3	3.8
2	-1831	6265	-744	-2421	-1756	-1734	31.42	20.11	3	4.4
3	-3289	-8450	-2351	3204	493	2091	31.42	20.11	2	5.0
4	-6003	-7948	-1881	4141	-582	1295	31.42	20.11	2	5.0
5	-1016	6861	-222	-1379	-2824	-1488	31.42	20.11	3	3.5
6	-1230	6471	-558	-1567	-1848	-1909	31.42	20.11	3	4.1
7	-2380	-9262	-2325	2614	365	2678	31.42	20.11	2	5.0
8	-6702	-8611	-2254	4511	-1499	1842	31.42	20.11	2	4.3
9	-517	7293	-102	-652	-3007	-1427	31.42	20.11	3	3.4
10	-623	6983	-222	-725	-1967	-1885	31.42	20.11	3	4.0
11	-1111	-9863	-1734	1419	527	3097	31.42	20.11	2	5.2
12	-6282	6060	-2194	-3386	3005	-2180	31.42	20.11	3	3.0
13	-166	7833	-58	-105	-3010	-835	31.42	20.11	3	3.9
14	-12	7641	-56	-160	-1988	-1161	31.42	20.11	3	4.8
15	-109	7208	10	-53	-120	-1393	31.42	20.11	3	10
16	-6668	3494	-3480	-2679	3484	-2388	31.42	20.11	3	2.7

Pannello	Nx	Ny	Nxy	Mx	My	Mxy	Ax	Ay	C	Cs
										Massimi/minimi
1							31.42			
1								20.11		
16										2.7

Muro : 271 - Nodi: [93-7081-7090-88], Pann.X=4, Pann.Y=4Spess.=50 cm, Terreno=--,Criterio=CLS_Muri_ND,
Materiale=C35/45, $\zeta_e=7.950$ [(5+6)-I-3] : **Verificato**

Armatura a maglia doppia

Pannello	Nx	Ny	Nxy	Mx	My	Mxy	Ax	Ay	C	Cs
	kg	kg	kg	kg*m	kg*m	kg*m	cmq	cmq		
1	-1392	6924	-78	-955	-554	1450	31.42	20.11	3	7.6
2	-1247	7091	-123	-621	137	1440	31.42	20.11	3	9.6
3	-1061	7241	11	-325	1313	1528	31.42	20.11	3	5.3
4	-777	7434	390	-56	2952	1704	31.42	20.11	3	3.3
5	-974	6902	-149	-566	-542	1515	31.42	20.11	3	7.4
6	-889	6963	-169	-348	183	1466	31.42	20.11	3	9.2
7	-801	7035	-51	-157	1393	1522	31.42	20.11	3	5.2
8	-645	7220	274	11	3056	1663	31.42	20.11	3	3.2
9	-556	6895	-174	-251	-545	1419	31.42	20.11	3	7.8
10	-469	6811	-158	-147	211	1350	31.42	20.11	3	9.8
11	-500	6757	-68	-52	1446	1381	31.42	20.11	3	5.4
12	-472	6897	148	30	3133	1483	31.42	20.11	3	3.3
13	-191	6962	-79	-49	-545	779	31.42	20.11	3	12
14	-185	6668	-42	-24	222	783	31.42	20.11	3	15
15	-214	6437	-23	-7	1473	781	31.42	20.11	3	6.8
16	-240	6425	49	18	3167	840	31.42	20.11	3	3.8
										Massimi/minimi
1							31.42			
1								20.11		
8										3.2

Muro : 272 - Nodi: [92-7054-7063-89], Pann.X=4, Pann.Y=4Spess.=50 cm, Terreno=--,Criterio=CLS_Muri_ND,
Materiale=C35/45, $\zeta_e=8.056$ [(5+6)-I-3] : **Verificato**

Armatura a maglia doppia

Pannello	Nx	Ny	Nxy	Mx	My	Mxy	Ax	Ay	C	Cs
	kg	kg	kg	kg*m	kg*m	kg*m	cmq	cmq		
1	-3702	7219	572	-4663	2414	1753	31.42	20.11	3	3.6
2	-1363	6751	157	-2721	-1506	2225	31.42	20.11	3	4.1
3	-1279	6898	-87	-2148	-3265	771	31.42	20.11	3	3.8
4	-1323	6761	-151	-2095	-3399	-544	31.42	20.11	3	3.9
5	-3312	7138	916	-4234	3132	2347	31.42	20.11	3	2.8
6	-959	7124	49	-1665	-1758	2430	31.42	20.11	3	3.6
7	-939	7291	-77	-1383	-3494	795	31.42	20.11	3	3.5
8	-929	7128	-96	-1331	-3594	-555	31.42	20.11	3	3.7
9	-2287	6871	1268	-3870	3773	3013	31.42	20.11	3	2.2
10	-682	7692	-124	-544	-1996	2270	31.42	20.11	3	3.5
11	-701	7668	-38	-726	-3720	784	31.42	20.11	3	3.3
12	-621	7530	-60	-626	-3770	-530	31.42	20.11	3	3.5
13	-1753	6805	1612	-2825	3930	2946	31.42	20.11	3	2.2
14	-310	8344	-32	83	-2035	1156	31.42	20.11	3	4.7
15	-213	8061	-8	-193	-3752	422	31.42	20.11	3	3.6
16	-185	7928	-12	-116	-3840	-323	31.42	20.11	3	3.6
										Massimi/minimi
1							31.42			
1								20.11		
13										2.2

Muro : 273 - Nodi: [88-7090-7099-54], Pann.X=4, Pann.Y=4Spess.=50 cm, Terreno=--,Criterio=CLS_Muri_ND,
Materiale=C35/45, $\zeta_e=7.474$ [(5+6)-I-3] : **Verificato**

Armatura a maglia doppia

Pannello	Nx	Ny	Nxy	Mx	My	Mxy	Ax	Ay	C	Cs
	kg	kg	kg	kg*m	kg*m	kg*m	cmq	cmq		
1	-427	7677	988	158	4732	1899	31.42	20.11	3	2.3
2	-27	7939	1778	320	6489	2056	31.42	20.11	3	1.8
3	501	8099	2735	476	8419	2116	31.42	20.11	3	1.4
4	823	8030	3119	878	10476	1206	31.42	20.11	3	1.3

Pannello	Nx	Ny	Nxy	Mx	My	Mxy	Ax	Ay	C	Cs
5	-453	7572	787	134	4838	1827	31.42	20.11	3	2.3
6	-202	8107	1498	207	6555	1960	31.42	20.11	3	1.8
7	233	8858	2553	230	8357	1995	31.42	20.11	3	1.4
8	1547	9326	2914	606	10029	1168	31.42	20.11	3	1.3
9	-420	7322	505	80	4917	1611	31.42	20.11	3	2.3
10	-363	8081	975	99	6607	1718	31.42	20.11	3	1.8
11	-287	9519	1835	28	8275	1708	31.42	20.11	3	1.5
12	2895	10631	2345	273	9359	1012	31.42	20.11	3	1.4
13	-264	6818	186	27	4949	895	31.42	20.11	3	2.6
14	-293	7640	357	20	6632	957	31.42	20.11	3	2.0
15	-246	9083	490	-25	8258	942	31.42	20.11	3	1.6
16	1672	12429	1844	24	8799	496	31.42	20.11	3	1.5
Massimi/minimi										
1							31.42			
1								20.11		
4										1.3

Muro : 274 - Nodi: [91-7018-7027-79], Pann.X=4, Pann.Y=4Spess.=50 cm, Terreno=--,Criterio=CLS_Muri_ND,
Materiale=C35/45, $\zeta_e=13.014$ [(5+6)-I-3] : **Verificato**

Armatura a maglia doppia

Pannello	Nx kg	Ny kg	Nxy kg	Mx kg*m	My kg*m	Mxy kg*m	Ax cmq	Ay cmq	C	Cs
1	-1519	12570	1254	-623	-737	-1195	31.42	20.11	3	7.3
2	-1657	13187	630	-1160	-1996	-1341	31.42	20.11	3	4.2
3	-1796	12983	-440	-2013	-1509	-1843	31.42	20.11	3	4.2
4	-4829	-8002	-493	4036	-805	924	31.42	20.11	2	5.4
5	-1050	12913	998	-343	-699	-1207	31.42	20.11	3	7.3
6	-1132	13812	542	-703	-2033	-1393	31.42	20.11	3	4.0
7	-1149	13674	-260	-1236	-1614	-2077	31.42	20.11	3	3.7
8	-3917	13214	-1566	-3322	1501	-1637	31.42	20.11	3	4.4
9	-678	13312	681	-126	-676	-1086	31.42	20.11	3	7.9
10	-757	14520	365	-352	-2097	-1326	31.42	20.11	3	4.0
11	-723	14698	20	-410	-1739	-1991	31.42	20.11	3	3.6
12	-2997	13277	-1760	-3017	2131	-2229	31.42	20.11	3	3.2
13	-201	13744	247	-12	-662	-618	31.42	20.11	3	11
14	-224	15332	109	-104	-2078	-760	31.42	20.11	3	4.7
15	-269	16012	73	61	-1730	-1000	31.42	20.11	3	4.9
16	-2301	13512	-1975	-2151	2299	-2211	31.42	20.11	3	3.1
Massimi/minimi										
1							31.42			
1								20.11		
16										3.1

Muro : 275 - Nodi: [79-7027-7036-82], Pann.X=4, Pann.Y=4Spess.=50 cm, Terreno=--,Criterio=CLS_Muri_ND,
Materiale=C35/45, $\zeta_e=10.631$ [(5+6)-I-1] : **Verificato**

Armatura a maglia doppia

Pannello	Nx kg	Ny kg	Nxy kg	Mx kg*m	My kg*m	Mxy kg*m	Ax cmq	Ay cmq	C	Cs
1	-5887	-7019	1832	4616	-1146	-1433	31.42	20.11	2	4.4
2	-2691	-7442	2050	3147	300	-2247	31.42	20.11	2	4.9
3	-1615	11340	-374	-2495	-2162	1783	31.42	20.11	3	3.6
4	-1399	11079	-706	-2271	-3040	1136	31.42	20.11	3	3.4
5	-5413	13161	786	-3849	2232	1768	31.42	20.11	3	3.5
6	-1566	12002	559	-2159	-547	2493	31.42	20.11	3	4.7
7	-1097	12083	-335	-1589	-2322	1891	31.42	20.11	3	3.4
8	-978	11817	-556	-1445	-3250	1175	31.42	20.11	3	3.2
9	-6094	13006	1577	-3379	3498	2548	31.42	20.11	3	2.3
10	-622	12668	379	-993	-673	2606	31.42	20.11	3	4.3
11	-574	13019	-298	-757	-2500	1820	31.42	20.11	3	3.2
12	-538	12594	-365	-687	-3447	1104	31.42	20.11	3	3.1
13	-6143	11179	3106	-2136	4245	2337	31.42	20.11	3	2.2
14	-112	14416	-263	-62	-563	1431	31.42	20.11	3	6.8
15	-75	14017	-61	-159	-2531	1110	31.42	20.11	3	3.8
16	-172	13414	-117	-129	-3506	613	31.42	20.11	3	3.4
Massimi/minimi										
1							31.42			
1								20.11		
13										2.2

Muro : 276 - Nodi : [82-7036-7045-90], Pann.X=4, Pann.Y=4Spess.=50 cm, Terreno=--,Criterio=CLS_Muri_ND,
Materiale=C35/45, $\zeta_e=21.517$ [(5+6)-I-1] : **Verificato**

Armatura a maglia doppia

Pannello	Nx kg	Ny kg	Nxy kg	Mx kg*m	My kg*m	Mxy kg*m	Ax cmq	Ay cmq	C	Cs
1	-1329	10734	-822	-2199	-3392	540	31.42	20.11	3	3.7
2	-1304	10400	-869	-2194	-3445	58	31.42	20.11	3	4.1
3	-1296	10037	-897	-2220	-3321	-439	31.42	20.11	3	3.9
4	-1300	9646	-921	-2277	-3018	-928	31.42	20.11	3	3.7
5	-931	11419	-624	-1394	-3620	545	31.42	20.11	3	3.4
6	-916	11044	-648	-1395	-3677	49	31.42	20.11	3	3.9
7	-917	10650	-663	-1412	-3555	-459	31.42	20.11	3	3.6
8	-915	10236	-668	-1444	-3251	-965	31.42	20.11	3	3.4
9	-554	12128	-401	-665	-3824	505	31.42	20.11	3	3.3
10	-537	11716	-400	-669	-3891	40	31.42	20.11	3	3.6
11	-560	11280	-411	-678	-3770	-440	31.42	20.11	3	3.4
12	-555	10848	-409	-691	-3458	-912	31.42	20.11	3	3.3
13	-181	12851	-159	-130	-3874	269	31.42	20.11	3	3.4
14	-141	12393	-126	-133	-3954	24	31.42	20.11	3	3.5
15	-217	11951	-111	-135	-3834	-265	31.42	20.11	3	3.5
16	-207	11478	-122	-136	-3510	-497	31.42	20.11	3	3.6
Massimi/minimi										
1							31.42			
1								20.11		
9										3.3

Muro : 277 - Nodi : [58-7009-7018-91], Pann.X=4, Pann.Y=4Spess.=50 cm, Terreno=--,Criterio=CLS_Muri_ND,
Materiale=C35/45, $\zeta_e=11.500$ [(5+6)-I-3] : **Verificato**

Armatura a maglia doppia

Pannello	Nx kg	Ny kg	Nxy kg	Mx kg*m	My kg*m	Mxy kg*m	Ax cmq	Ay cmq	C	Cs
1	-460	9229	-936	864	11202	-1591	31.42	20.11	3	1.2
2	-484	10007	189	403	7400	-1965	31.42	20.11	3	1.6
3	-816	10788	1076	128	4143	-1604	31.42	20.11	3	2.5
4	-1209	11653	1415	-184	1514	-1329	31.42	20.11	3	5.0
5	-405	10368	-1072	604	10926	-1492	31.42	20.11	3	1.2
6	-521	10304	48	246	7484	-1858	31.42	20.11	3	1.6
7	-683	10888	769	129	4266	-1538	31.42	20.11	3	2.5
8	-889	11798	1092	-62	1614	-1298	31.42	20.11	3	4.9
9	-745	11485	-813	319	10539	-1268	31.42	20.11	3	1.2
10	-203	10356	40	94	7550	-1604	31.42	20.11	3	1.6
11	-350	10904	465	86	4366	-1356	31.42	20.11	3	2.5
12	-511	11905	730	-10	1693	-1141	31.42	20.11	3	5.0
13	-1042	10724	129	115	10217	-663	31.42	20.11	3	1.3
14	-161	10374	-112	-1	7606	-898	31.42	20.11	3	1.7
15	-144	10789	163	27	4391	-751	31.42	20.11	3	2.8
16	-155	12010	270	13	1716	-609	31.42	20.11	3	6.1
Massimi/minimi										
1							31.42			
1								20.11		
1										1.2

Muro : 278 - Nodi : [90-7045-7054-92], Pann.X=4, Pann.Y=4Spess.=50 cm, Terreno=--,Criterio=CLS_Muri_ND,
Materiale=C35/45, $\zeta_e=8.131$ [(5+6)-I-3] : **Verificato**

Armatura a maglia doppia

Pannello	Nx kg	Ny kg	Nxy kg	Mx kg*m	My kg*m	Mxy kg*m	Ax cmq	Ay cmq	C	Cs
1	-1335	9102	-982	-2432	-2334	-1545	31.42	20.11	3	3.8
2	-1508	8350	-1202	-2805	-1010	-2222	31.42	20.11	3	4.6
3	-2288	7736	-1758	-3726	1122	-2493	31.42	20.11	3	4.2
4	-4791	8024	-1411	-5292	3328	-1356	31.42	20.11	3	3.2
5	-941	9680	-698	-1552	-2552	-1624	31.42	20.11	3	3.5
6	-1037	8853	-836	-1794	-1175	-2394	31.42	20.11	3	4.2
7	-1487	7772	-1598	-2599	1194	-3050	31.42	20.11	3	3.5
8	-5262	8068	-1619	-4912	4722	-2062	31.42	20.11	3	2.2
9	-507	10274	-425	-738	-2759	-1543	31.42	20.11	3	3.4
10	-535	9523	-431	-856	-1370	-2325	31.42	20.11	3	4.0

Pannello	Nx	Ny	Nxy	Mx	My	Mxy	Ax	Ay	C	Cs
11	-615	8077	-1025	-1192	1060	-3227	31.42	20.11	3	3.5
12	-6078	7519	-2091	-4351	6414	-3119	31.42	20.11	3	1.6
13	-123	10896	-154	-136	-2820	-862	31.42	20.11	3	3.9
14	26	10189	-150	-182	-1400	-1423	31.42	20.11	3	5.2
15	-198	9422	68	-59	1210	-1766	31.42	20.11	3	4.9
16	-6125	5162	-3307	-2781	7438	-2952	31.42	20.11	3	1.5
Massimi/minimi										
1							31.42			
1								20.11		
16										1.5

Muro : 279 - Nodi: [66-63-7082-7073], Pann.X=4, Pann.Y=4Spess.=50 cm, Terreno=--,Criterio=CLS_Muri_ND,
Materiale=C35/45, $\zeta_e=7.874$ [(5+6)-I-1] : **Verificato**

Armatura a maglia doppia

Pannello	Nx	Ny	Nxy	Mx	My	Mxy	Ax	Ay	C	Cs
	kg	kg	kg	kg*m	kg*m	kg*m	cmq	cmq		
1	11623	-1547	-997	-604	-948	1465	20.11	31.42	3	6.9
2	11973	-1048	-824	-587	-559	1528	20.11	31.42	3	6.7
3	12391	-581	-587	-586	-248	1430	20.11	31.42	3	7.0
4	12904	-159	-244	-585	-48	784	20.11	31.42	3	10
5	11213	-1389	-1231	147	-612	1466	20.11	31.42	3	8.9
6	11420	-955	-985	198	-341	1488	20.11	31.42	3	8.5
7	11657	-504	-662	229	-143	1368	20.11	31.42	3	8.9
8	11902	-47	-216	241	-22	792	20.11	31.42	3	14
9	10684	-1192	-1273	1396	-317	1563	20.11	31.42	3	4.9
10	10765	-859	-996	1480	-151	1552	20.11	31.42	3	4.8
11	10824	-512	-652	1535	-49	1405	20.11	31.42	3	4.9
12	10859	-166	-212	1562	-6	793	20.11	31.42	3	6.1
13	10103	-920	-1063	3116	-50	1744	20.11	31.42	3	3.0
14	10115	-711	-796	3220	15	1697	20.11	31.42	3	3.0
15	10065	-477	-508	3298	32	1511	20.11	31.42	3	3.0
16	9928	-243	-168	3332	18	854	20.11	31.42	3	3.5
Massimi/minimi										
1							20.11			
1								31.42		
14										3.0

Muro : 280 - Nodi: [52-65-7064-7055], Pann.X=4, Pann.Y=4Spess.=50 cm, Terreno=--,Criterio=CLS_Muri_ND,
Materiale=C35/45, $\zeta_e=10.350$ [(5+6)-I-3] : **Verificato**

Armatura a maglia doppia

Pannello	Nx	Ny	Nxy	Mx	My	Mxy	Ax	Ay	C	Cs
	kg	kg	kg	kg*m	kg*m	kg*m	cmq	cmq		
1	12444	-1564	-152	-2795	-2188	-1429	20.11	31.42	3	3.3
2	13206	-1045	-57	-2967	-1390	-1492	20.11	31.42	3	3.1
3	14067	-525	12	-3151	-657	-1430	20.11	31.42	3	3.0
4	15066	-158	-45	-3154	-106	-837	20.11	31.42	3	3.4
5	12265	-1911	-617	-1909	-2437	-1743	20.11	31.42	3	3.9
6	12891	-1267	-457	-2002	-1577	-1917	20.11	31.42	3	3.6
7	13854	-642	-156	-2122	-729	-1891	20.11	31.42	3	3.4
8	15000	-4	-45	-2143	-160	-1165	20.11	31.42	3	4.1
9	-8021	-3300	-2343	486	3206	2085	20.11	31.42	2	5.0
10	-8804	-2385	-2319	360	2615	2673	20.11	31.42	2	5.0
11	12806	-1014	-1112	-484	-1160	-2497	20.11	31.42	3	4.7
12	14633	-110	15	-282	-54	-1398	20.11	31.42	3	8.1
13	-7517	-6014	-1885	-584	4143	1291	20.11	31.42	2	5.0
14	-8152	-6708	-2257	-1500	4514	1839	20.11	31.42	2	4.3
15	12952	-6284	-2227	2842	-3388	-2190	20.11	31.42	3	2.8
16	10908	-6677	-3488	3315	-2680	-2397	20.11	31.42	3	2.5
Massimi/minimi										
1							20.11			
1								31.42		
16										2.5

Muro : 281 - Nodi: [63-49-7091-7082], Pann.X=4, Pann.Y=4Spess.=50 cm, Terreno=--,Criterio=CLS_Muri_ND,
Materiale=C35/45, $\zeta_e=7.807$ [(5+6)-I-1] : **Verificato**

Armatura a maglia doppia

Pannello	Nx	Ny	Nxy	Mx	My	Mxy	Ax	Ay	C	Cs
	kg	kg	kg	kg*m	kg*m	kg*m	cmq	cmq		
1	9610	-639	-627	4969	161	1938	20.11	31.42	3	2.1
2	9654	-562	-414	5071	136	1860	20.11	31.42	3	2.1
3	9605	-440	-235	5147	81	1637	20.11	31.42	3	2.2
4	9405	-254	-73	5178	27	910	20.11	31.42	3	2.4
5	9246	-415	-15	6783	321	2086	20.11	31.42	3	1.7
6	9451	-459	107	6841	209	1986	20.11	31.42	3	1.7
7	9489	-428	95	6887	100	1741	20.11	31.42	3	1.7
8	9306	-211	35	6908	19	969	20.11	31.42	3	1.9
9	8877	-279	766	8761	477	2128	20.11	31.42	3	1.4
10	9566	-430	877	8685	243	2009	20.11	31.42	3	1.4
11	9860	-437	520	8597	45	1729	20.11	31.42	3	1.4
12	9564	-220	44	8566	-18	954	20.11	31.42	3	1.5
13	8394	-490	1126	10865	828	1345	20.11	31.42	3	1.2
14	9587	122	1203	10405	567	1287	20.11	31.42	3	1.3
15	10938	917	1023	9760	279	1128	20.11	31.42	3	1.3
16	10551	517	398	9249	45	592	20.11	31.42	3	1.5
Massimi/minimi										
1							20.11			
1								31.42		
13										1.2

Muro : 282 - Nodi: [30-52-7055-7046], Pann.X=4, Pann.Y=4Spess.=50 cm, Terreno=--,Criterio=CLS_Muri_ND,
Materiale=C35/45,ζ_e=7.870 [(5+6)-I-1] : **Verificato**

Armatura a maglia doppia

Pannello	Nx	Ny	Nxy	Mx	My	Mxy	Ax	Ay	C	Cs
	kg	kg	kg	kg*m	kg*m	kg*m	cmq	cmq		
1	11632	-3691	995	2411	-4674	1801	20.11	31.42	3	3.4
2	11781	-3306	1231	3127	-4241	2393	20.11	31.42	3	2.6
3	11744	-2291	1465	3769	-3874	3055	20.11	31.42	3	2.1
4	11901	-1765	1675	3928	-2824	2966	20.11	31.42	3	2.1
5	11653	-1360	577	-1540	-2737	2261	20.11	31.42	3	3.7
6	12299	-957	364	-1795	-1675	2465	20.11	31.42	3	3.3
7	13142	-688	73	-2035	-549	2303	20.11	31.42	3	3.2
8	14077	-336	19	-2075	82	1176	20.11	31.42	3	4.2
9	12260	-1291	303	-3338	-2166	791	20.11	31.42	3	3.4
10	12976	-936	216	-3570	-1396	816	20.11	31.42	3	3.2
11	13684	-684	142	-3798	-732	803	20.11	31.42	3	3.0
12	14418	-187	59	-3830	-194	434	20.11	31.42	3	3.2
13	12508	-1364	162	-3513	-2114	-540	20.11	31.42	3	3.5
14	13251	-942	144	-3710	-1344	-550	20.11	31.42	3	3.3
15	14046	-606	97	-3889	-632	-524	20.11	31.42	3	3.1
16	14836	-173	44	-3959	-117	-320	20.11	31.42	3	3.2
Massimi/minimi										
1							20.11			
1								31.42		
4										2.1

Muro : 283 - Nodi: [65-66-7073-7064], Pann.X=4, Pann.Y=4Spess.=50 cm, Terreno=--,Criterio=CLS_Muri_ND,
Materiale=C35/45,ζ_e=7.644 [(5+6)-I-1] : **Verificato**

Armatura a maglia doppia

Pannello	Nx	Ny	Nxy	Mx	My	Mxy	Ax	Ay	C	Cs
	kg	kg	kg	kg*m	kg*m	kg*m	cmq	cmq		
1	-7916	-6000	180	-773	4057	-178	20.11	31.42	2	6.4
2	13191	-5640	1062	1907	-3346	974	20.11	31.42	3	4.8
3	12816	-6288	1985	3110	-3354	1863	20.11	31.42	3	2.8
4	10746	-6660	3398	3520	-2684	2256	20.11	31.42	3	2.5
5	12106	-3064	741	158	-2619	1410	20.11	31.42	3	6.5
6	12137	-2185	989	398	-1972	1915	20.11	31.42	3	6.1
7	12386	-1034	839	395	-1040	2244	20.11	31.42	3	5.3
8	14121	-75	-98	616	-29	1244	20.11	31.42	3	7.4
9	11875	-2049	-9	-582	-1831	1584	20.11	31.42	3	6.5
10	12301	-1349	-48	-554	-1177	1816	20.11	31.42	3	5.9
11	13091	-699	-177	-574	-537	1808	20.11	31.42	3	5.8
12	14092	-40	-56	-556	-123	1110	20.11	31.42	3	8.2
13	11834	-1712	-604	-833	-1330	1527	20.11	31.42	3	6.0
14	12303	-1140	-543	-831	-818	1649	20.11	31.42	3	5.7
15	12916	-629	-407	-866	-373	1582	20.11	31.42	3	5.7
16	13646	-197	-136	-856	-62	876	20.11	31.42	3	8.0

**POTENZIAMENTO DELL'IMPIANTO DI DEPURAZIONE E
DEL RECAPITO FINALE DI SQUINZANO (LE)
PROGETTO DEFINITIVO
Tabulati di calcolo strutturale-Equalizzazione**

R.37.7

Maggio 2021

Pagina 244 di
338

Pannello	Nx	Ny	Nxy	Mx	My	Mxy	Ax	Ay	C	Cs
Massimi/minimi										
1							20.11			
1								31.42		
4										2.5

Muro : 284 - Nodi: [28-7001-7002-27], Pann.X=4, Pann.Y=4Spess.=50 cm, Terreno=--,Criterio=CLS_Muri_ND,
Materiale=C35/45, $\zeta_e=10.173$ [(5+6)-I-3] : **Verificato**

Armatura a maglia doppia

Pannello	Nx	Ny	Nxy	Mx	My	Mxy	Ax	Ay	C	Cs
	kg	kg	kg	kg*m	kg*m	kg*m	cmq	cmq		
1	633	6056	1160	1614	12211	1319	31.42	20.11	3	1.1
2	-1597	5682	2756	1133	8912	2030	31.42	20.11	3	1.4
3	-1795	5897	3363	696	5943	2383	31.42	20.11	3	1.9
4	-1844	6868	3379	391	3336	2753	31.42	20.11	3	2.5
5	-104	3940	1213	1408	12373	1162	31.42	20.11	3	1.2
6	-1570	3399	2859	928	9094	1936	31.42	20.11	3	1.4
7	-1487	4229	2912	550	6121	2354	31.42	20.11	3	1.9
8	-1394	5779	2735	340	3491	2722	31.42	20.11	3	2.5
9	-2064	358	1181	1033	12638	872	31.42	20.11	3	1.2
10	-698	28	2570	568	9292	1757	31.42	20.11	3	1.5
11	-847	2336	2088	336	6264	2208	31.42	20.11	3	1.9
12	-886	4633	1856	235	3606	2525	31.42	20.11	3	2.6
13	1457	1095	-1446	-414	-13009	-490	31.42	20.11	2	1.2
14	-722	-3290	892	155	9291	1088	31.42	20.11	3	1.7
15	71	364	744	137	6329	1341	31.42	20.11	3	2.2
16	-284	3553	722	114	3663	1419	31.42	20.11	3	3.1
Massimi/minimi										
1							31.42			
1								20.11		
1										1.1

Muro : 285 - Nodi: [25-29-7028-7019], Pann.X=4, Pann.Y=4Spess.=50 cm, Terreno=--,Criterio=CLS_Muri_ND,
Materiale=C35/45, $\zeta_e=10.122$ [(5+6)-I-3] : **Verificato**

Armatura a maglia doppia

Pannello	Nx	Ny	Nxy	Mx	My	Mxy	Ax	Ay	C	Cs
	kg	kg	kg	kg*m	kg*m	kg*m	cmq	cmq		
1	-6972	-5885	1844	-1142	4616	-1435	20.11	31.42	2	4.4
2	14858	-5401	1029	2274	-3845	1821	20.11	31.42	3	3.3
3	14752	-6086	1727	3544	-3377	2596	20.11	31.42	3	2.2
4	12977	-6151	3154	4295	-2134	2361	20.11	31.42	3	2.1
5	-7386	-2689	2064	304	3147	-2249	20.11	31.42	2	4.9
6	13934	-1558	813	-504	-2155	2551	20.11	31.42	3	4.5
7	14660	-620	535	-630	-991	2659	20.11	31.42	3	4.1
8	16473	-134	-218	-520	-61	1462	20.11	31.42	3	6.7
9	13437	-1602	-14	-2122	-2490	1845	20.11	31.42	3	3.5
10	14258	-1088	-71	-2281	-1586	1951	20.11	31.42	3	3.2
11	15270	-565	-137	-2458	-756	1875	20.11	31.42	3	3.1
12	16339	-52	-13	-2489	-159	1142	20.11	31.42	3	3.6
13	13413	-1388	-335	-3001	-2267	1199	20.11	31.42	3	3.3
14	14243	-970	-284	-3211	-1442	1236	20.11	31.42	3	3.1
15	15109	-528	-196	-3407	-686	1161	20.11	31.42	3	3.0
16	16015	-161	-59	-3466	-129	644	20.11	31.42	3	3.2
Massimi/minimi										
1							20.11			
1								31.42		
4										2.1

Muro : 286 - Nodi: [26-25-7019-7010], Pann.X=4, Pann.Y=4Spess.=50 cm, Terreno=--,Criterio=CLS_Muri_ND,
Materiale=C35/45, $\zeta_e=9.530$ [(5+6)-I-1] : **Verificato**

Armatura a maglia doppia

Pannello	Nx	Ny	Nxy	Mx	My	Mxy	Ax	Ay	C	Cs
	kg	kg	kg	kg*m	kg*m	kg*m	cmq	cmq		
1	13097	-1493	1437	-694	-618	-1155	20.11	31.42	3	7.5
2	13447	-1036	1130	-655	-340	-1168	20.11	31.42	3	7.6
3	13846	-671	761	-631	-124	-1051	20.11	31.42	3	8.2
4	14273	-208	274	-617	-11	-598	20.11	31.42	3	11

Pannello	Nx	Ny	Nxy	Mx	My	Mxy	Ax	Ay	C	Cs
5	13953	-1633	860	-1956	-1154	-1296	20.11	31.42	3	4.2
6	14589	-1118	709	-1992	-699	-1349	20.11	31.42	3	4.1
7	15302	-752	467	-2055	-350	-1285	20.11	31.42	3	4.0
8	16113	-242	140	-2036	-104	-736	20.11	31.42	3	4.8
9	14029	-1776	-167	-1471	-2007	-1794	20.11	31.42	3	4.2
10	14743	-1135	-61	-1575	-1232	-2029	20.11	31.42	3	3.8
11	15784	-712	141	-1699	-408	-1946	20.11	31.42	3	3.7
12	17110	-252	110	-1689	62	-974	20.11	31.42	3	4.9
13	-7964	-4827	-485	-801	4036	922	20.11	31.42	2	5.4
14	14618	-3905	-1339	1539	-3319	-1586	20.11	31.42	3	4.4
15	14715	-2986	-1620	2168	-3015	-2184	20.11	31.42	3	3.1
16	14978	-2293	-1928	2334	-2151	-2188	20.11	31.42	3	3.0
Massimi/minimi										
1							20.11			
1								31.42		
16										3.0

Muro : 287 - Nodi: [35-30-7046-7037], Pann.X=4, Pann.Y=4Spess.=50 cm, Terreno=--,Criterio=CLS_Muri_ND,
Materiale=C35/45, $\zeta_e=8.277 [(5+6)-I-1]$: **Verificato**

Armatura a maglia doppia

Pannello	Nx kg	Ny kg	Nxy kg	Mx kg*m	My kg*m	Mxy kg*m	Ax cmq	Ay cmq	C	Cs
1	12351	-1325	-583	-2305	-2433	-1480	20.11	31.42	3	3.7
2	13075	-935	-405	-2523	-1552	-1561	20.11	31.42	3	3.4
3	13816	-508	-242	-2730	-738	-1485	20.11	31.42	3	3.3
4	14579	-134	-94	-2792	-137	-830	20.11	31.42	3	3.8
5	11856	-1498	-796	-986	-2808	-2159	20.11	31.42	3	4.5
6	12521	-1031	-538	-1152	-1796	-2332	20.11	31.42	3	4.0
7	13352	-539	-248	-1347	-857	-2269	20.11	31.42	3	3.8
8	14187	5	-102	-1378	-182	-1389	20.11	31.42	3	4.9
9	11503	-2276	-1348	1138	-3731	-2433	20.11	31.42	3	4.0
10	11719	-1477	-1297	1209	-2602	-2991	20.11	31.42	3	3.4
11	12205	-600	-842	1074	-1194	-3173	20.11	31.42	3	3.3
12	13729	-175	121	1224	-59	-1735	20.11	31.42	3	4.7
13	12054	-4779	-995	3336	-5299	-1301	20.11	31.42	3	3.1
14	12299	-5256	-1314	4728	-4917	-2009	20.11	31.42	3	2.1
15	11945	-6071	-1902	6415	-4354	-3072	20.11	31.42	3	1.5
16	9785	-6120	-3238	7433	-2783	-2929	20.11	31.42	3	1.4
Massimi/minimi										
1							20.11			
1								31.42		
16										1.4

Muro : 288 - Nodi: [36-7005-7006-37], Pann.X=4, Pann.Y=4Spess.=50 cm, Terreno=--,Criterio=CLS_Muri_ND,
Materiale=C35/45, $\zeta_e=19.920 [(5+6)-II-2]$: **Verificato**

Armatura a maglia doppia

Pannello	Nx kg	Ny kg	Nxy kg	Mx kg*m	My kg*m	Mxy kg*m	Ax cmq	Ay cmq	C	Cs
1	-1630	14809	25	-1292	-6026	-77	31.42	20.11	3	2.2
2	-1641	14787	-91	-1279	-5992	-634	31.42	20.11	3	2.0
3	-1667	14695	-230	-1241	-5904	-1173	31.42	20.11	3	1.9
4	-1709	14517	-406	-1179	-5747	-1679	31.42	20.11	3	1.8
5	-1221	15610	20	-807	-6216	-75	31.42	20.11	3	2.1
6	-1226	15582	-65	-800	-6179	-618	31.42	20.11	3	2.0
7	-1237	15475	-172	-773	-6082	-1140	31.42	20.11	3	1.9
8	-1261	15272	-302	-727	-5913	-1631	31.42	20.11	3	1.8
9	-826	16442	17	-356	-6379	-68	31.42	20.11	3	2.0
10	-836	16406	-35	-354	-6344	-564	31.42	20.11	3	1.9
11	-819	16288	-112	-344	-6234	-1042	31.42	20.11	3	1.8
12	-823	16066	-187	-319	-6044	-1475	31.42	20.11	3	1.8
13	-460	17284	-12	-15	-6432	-35	31.42	20.11	3	2.0
14	-440	17281	-25	-13	-6387	-327	31.42	20.11	3	1.9
15	-478	17171	-25	-14	-6286	-615	31.42	20.11	3	1.9
16	-481	16924	-42	-9	-6095	-815	31.42	20.11	3	1.9
Massimi/minimi										
1							31.42			
1								20.11		
12										1.8

Muro : 289 - Nodi: [27-7002-7003-22], Pann.X=4, Pann.Y=4Spess.=50 cm, Terreno=--,Criterio=CLS_Muri_ND,
Materiale=C35/45, $\zeta_e=11.761$ [(5+6)-I-3] : **Verificato**

Armatura a maglia doppia

Pannello	Nx kg	Ny kg	Nxy kg	Mx kg*m	My kg*m	Mxy kg*m	Ax cmq	Ay cmq	C	Cs
1	-1909	8117	3166	131	1137	3038	31.42	20.11	3	3.6
2	-1948	9380	2837	-110	-658	3214	31.42	20.11	3	3.8
3	-1949	10544	2438	-337	-2085	3281	31.42	20.11	3	2.7
4	-1934	11562	2016	-539	-3201	3240	31.42	20.11	3	2.2
5	-1389	7456	2499	167	1254	2991	31.42	20.11	3	3.6
6	-1158	-4941	267	180	969	-3593	31.42	20.11	2	3.9
7	-1394	10528	1885	-149	-2059	3207	31.42	20.11	3	2.7
8	-1387	11775	1548	-287	-3219	3161	31.42	20.11	3	2.2
9	-868	6820	1641	138	1356	2759	31.42	20.11	3	3.7
10	-906	-4919	145	137	949	-3310	31.42	20.11	2	4.2
11	-894	10609	1217	-12	-2056	2952	31.42	20.11	3	2.9
12	-894	12081	990	-81	-3249	2883	31.42	20.11	3	2.3
13	-577	6349	624	81	1379	1543	31.42	20.11	3	5.3
14	-582	-4980	35	107	962	-1960	31.42	20.11	2	6.1
15	-244	10757	388	63	-2028	1748	31.42	20.11	3	3.8
16	-383	12461	379	47	-3239	1596	31.42	20.11	3	2.9
Massimi/minimi										
1							31.42			
1								20.11		
4										2.2

Muro : 290 - Nodi: [34-7004-7005-36], Pann.X=4, Pann.Y=4Spess.=50 cm, Terreno=--,Criterio=CLS_Muri_ND,
Materiale=C35/45, $\zeta_e=20.546$ [(5+6)-II-2] : **Verificato**

Armatura a maglia doppia

Pannello	Nx kg	Ny kg	Nxy kg	Mx kg*m	My kg*m	Mxy kg*m	Ax cmq	Ay cmq	C	Cs
1	-1705	14343	497	-1173	-5723	1754	31.42	20.11	3	1.8
2	-1672	14542	350	-1227	-5868	1334	31.42	20.11	3	1.9
3	-1647	14681	229	-1265	-5961	890	31.42	20.11	3	2.0
4	-1633	14769	127	-1286	-6013	436	31.42	20.11	3	2.1
5	-1263	15078	372	-722	-5887	1707	31.42	20.11	3	1.8
6	-1244	15304	262	-762	-6043	1297	31.42	20.11	3	1.8
7	-1229	15462	168	-789	-6145	867	31.42	20.11	3	1.9
8	-1223	15565	93	-802	-6203	425	31.42	20.11	3	2.0
9	-834	15854	234	-314	-6020	1548	31.42	20.11	3	1.8
10	-835	16098	167	-337	-6191	1184	31.42	20.11	3	1.8
11	-830	16275	97	-347	-6308	793	31.42	20.11	3	1.9
12	-820	16386	53	-352	-6366	387	31.42	20.11	3	2.0
13	-478	16688	65	-6	-6067	848	31.42	20.11	3	1.9
14	-477	16968	40	-12	-6242	696	31.42	20.11	3	1.9
15	-441	17140	38	-13	-6352	462	31.42	20.11	3	1.9
16	-461	17237	37	-14	-6412	215	31.42	20.11	3	2.0
Massimi/minimi										
1							31.42			
1								20.11		
9										1.8

Muro : 291 - Nodi: [28-26-7010-7001], Pann.X=4, Pann.Y=4Spess.=50 cm, Terreno=--,Criterio=CLS_Muri_ND,
Materiale=C35/45, $\zeta_e=11.697$ [(5+6)-I-1] : **Verificato**

Armatura a maglia doppia

Pannello	Nx kg	Ny kg	Nxy kg	Mx kg*m	My kg*m	Mxy kg*m	Ax cmq	Ay cmq	C	Cs
1	9293	-578	-788	11284	869	-1584	20.11	31.42	3	1.1
2	10440	-529	-953	11015	611	-1485	20.11	31.42	3	1.2
3	11560	-926	-724	10636	327	-1262	20.11	31.42	3	1.2
4	10703	-1129	231	10319	119	-663	20.11	31.42	3	1.3
5	10145	-511	323	7464	411	-1938	20.11	31.42	3	1.5
6	10447	-536	150	7551	253	-1833	20.11	31.42	3	1.5
7	10507	-184	102	7620	97	-1581	20.11	31.42	3	1.6
8	10560	-156	-106	7676	0	-884	20.11	31.42	3	1.7
9	11030	-807	1204	4197	134	-1573	20.11	31.42	3	2.5
10	11141	-680	855	4322	134	-1507	20.11	31.42	3	2.5

Pannello	Nx	Ny	Nxy	Mx	My	Mxy	Ax	Ay	C	Cs
11	11166	-334	513	4423	88	-1327	20.11	31.42	3	2.5
12	11058	-126	179	4449	27	-734	20.11	31.42	3	2.8
13	12012	-1188	1561	1562	-179	-1293	20.11	31.42	3	5.0
14	12165	-878	1193	1662	-58	-1263	20.11	31.42	3	4.8
15	12274	-500	790	1743	-8	-1110	20.11	31.42	3	4.9
16	12378	-149	290	1766	14	-591	20.11	31.42	3	6.0
Massimi/minimi										
1							20.11			
1								31.42		
1										1.1

Muro : 292 - Nodi: [29-35-7037-7028], Pann.X=4, Pann.Y=4Spess.=50 cm, Terreno=--,Criterio=CLS_Muri_ND,
Materiale=C35/45, $\zeta_e=24.080$ [(5+6)-I-3] : **Verificato**

Armatura a maglia doppia

Pannello	Nx	Ny	Nxy	Mx	My	Mxy	Ax	Ay	C	Cs
	kg	kg	kg	kg*m	kg*m	kg*m	cmq	cmq		
1	13270	-1319	-444	-3355	-2195	604	20.11	31.42	3	3.5
2	14057	-924	-347	-3582	-1392	608	20.11	31.42	3	3.3
3	14868	-551	-228	-3786	-664	562	20.11	31.42	3	3.1
4	15695	-185	-103	-3836	-130	300	20.11	31.42	3	3.2
5	13101	-1295	-485	-3409	-2192	123	20.11	31.42	3	3.9
6	13857	-911	-366	-3640	-1394	112	20.11	31.42	3	3.7
7	14638	-540	-227	-3854	-669	98	20.11	31.42	3	3.4
8	15434	-155	-78	-3917	-133	58	20.11	31.42	3	3.4
9	12903	-1285	-508	-3286	-2218	-374	20.11	31.42	3	3.8
10	13638	-908	-377	-3520	-1411	-395	20.11	31.42	3	3.5
11	14391	-547	-238	-3735	-678	-381	20.11	31.42	3	3.3
12	15181	-201	-62	-3799	-135	-231	20.11	31.42	3	3.3
13	12680	-1289	-528	-2985	-2276	-863	20.11	31.42	3	3.6
14	13405	-908	-379	-3218	-1444	-901	20.11	31.42	3	3.4
15	14146	-545	-231	-3426	-691	-854	20.11	31.42	3	3.2
16	14908	-202	-61	-3477	-137	-466	20.11	31.42	3	3.4
Massimi/minimi										
1							20.11			
1								31.42		
3										3.1

Muro : 293 - Nodi: [22-7003-7004-34], Pann.X=4, Pann.Y=4Spess.=50 cm, Terreno=--,Criterio=CLS_Muri_ND,
Materiale=C35/45, $\zeta_e=19.996$ [(5+6)-II-2] : **Verificato**

Armatura a maglia doppia

Pannello	Nx	Ny	Nxy	Mx	My	Mxy	Ax	Ay	C	Cs
	kg	kg	kg	kg*m	kg*m	kg*m	cmq	cmq		
1	-1904	12415	1617	-715	-4057	3092	31.42	20.11	3	2.0
2	-1855	13101	1259	-869	-4695	2852	31.42	20.11	3	1.8
3	-1798	13640	949	-998	-5160	2539	31.42	20.11	3	1.8
4	-1747	14052	693	-1099	-5496	2163	31.42	20.11	3	1.8
5	-1373	12800	1236	-406	-4115	3013	31.42	20.11	3	2.0
6	-1345	13618	959	-513	-4787	2777	31.42	20.11	3	1.8
7	-1311	14258	716	-604	-5281	2472	31.42	20.11	3	1.8
8	-1284	14742	519	-672	-5641	2106	31.42	20.11	3	1.8
9	-869	13262	788	-153	-4157	2743	31.42	20.11	3	2.0
10	-862	14200	613	-209	-4859	2541	31.42	20.11	3	1.9
11	-865	14945	445	-249	-5398	2260	31.42	20.11	3	1.8
12	-850	15491	320	-282	-5771	1913	31.42	20.11	3	1.7
13	-515	13853	271	24	-4182	1515	31.42	20.11	3	2.4
14	-544	14930	181	13	-4895	1497	31.42	20.11	3	2.1
15	-373	15705	147	10	-5415	1326	31.42	20.11	3	2.0
16	-435	16277	132	3	-5804	1052	31.42	20.11	3	1.9
Massimi/minimi										
1							31.42			
1								20.11		
12										1.7

Muro : 294 - Nodi: [37-7006-7007-38], Pann.X=4, Pann.Y=4Spess.=50 cm, Terreno=--,Criterio=CLS_Muri_ND,
Materiale=C35/45, $\zeta_e=19.792$ [(5+6)-II-2] : **Verificato**

Armatura a maglia doppia

Pannello	Nx	Ny	Nxy	Mx	My	Mxy	Ax	Ay	C	Cs
	kg	kg	kg	kg*m	kg*m	kg*m	cmq	cmq		
1	-1771	14171	-676	-1080	-5441	-2211	31.42	20.11	3	1.8
2	-1848	13556	-1085	-925	-4896	-2711	31.42	20.11	3	1.8
3	-1925	12648	-1610	-715	-4046	-3065	31.42	20.11	3	2.0
4	-1969	11401	-2212	-461	-2757	-3242	31.42	20.11	3	2.4
5	-1295	14872	-507	-658	-5581	-2150	31.42	20.11	3	1.8
6	-1337	14147	-820	-553	-5002	-2639	31.42	20.11	3	1.8
7	-1384	13060	-1234	-406	-4102	-2985	31.42	20.11	3	2.0
8	-1422	11554	-1707	-238	-2757	-3169	31.42	20.11	3	2.4
9	-845	15633	-315	-273	-5707	-1947	31.42	20.11	3	1.7
10	-864	14814	-512	-223	-5109	-2415	31.42	20.11	3	1.8
11	-885	13559	-788	-152	-4137	-2729	31.42	20.11	3	2.0
12	-920	11794	-1104	-72	-2765	-2897	31.42	20.11	3	2.5
13	-417	16440	-132	7	-5740	-1090	31.42	20.11	3	1.9
14	-335	15577	-172	19	-5108	-1421	31.42	20.11	3	2.1
15	-579	14196	-235	20	-4178	-1624	31.42	20.11	3	2.4
16	-531	12146	-393	30	-2764	-1623	31.42	20.11	3	3.2
Massimi/minimi										
1							31.42			
1								20.11		
9										1.7

Muro : 295 - Nodi: [43-7095-7094-42], Pann.X=4, Pann.Y=4Spess.=50 cm, Terreno=--,Criterio=CLS_Muri_ND,
Materiale=C35/45,ζ_e=14.330 [(5+6)-II-1] : **Verificato**

Armatura a maglia doppia

Pannello	Nx	Ny	Nxy	Mx	My	Mxy	Ax	Ay	C	Cs
	kg	kg	kg	kg*m	kg*m	kg*m	cmq	cmq		
1	-1705	19538	-1120	-1186	-5311	-407	31.42	20.11	3	2.2
2	-1669	18948	-1337	-1166	-5341	-827	31.42	20.11	3	2.1
3	-1644	18264	-1517	-1132	-5337	-1235	31.42	20.11	3	1.9
4	-1624	17503	-1665	-1083	-5284	-1620	31.42	20.11	3	1.9
5	-1233	20711	-840	-743	-5488	-393	31.42	20.11	3	2.1
6	-1210	20050	-1001	-730	-5511	-802	31.42	20.11	3	2.0
7	-1204	19288	-1140	-705	-5497	-1197	31.42	20.11	3	1.9
8	-1192	18443	-1248	-669	-5433	-1572	31.42	20.11	3	1.8
9	-778	21940	-529	-330	-5639	-355	31.42	20.11	3	2.0
10	-773	21210	-620	-325	-5661	-730	31.42	20.11	3	1.9
11	-796	20349	-722	-315	-5633	-1089	31.42	20.11	3	1.8
12	-774	19423	-793	-293	-5555	-1423	31.42	20.11	3	1.8
13	-392	23235	-214	-19	-5682	-196	31.42	20.11	3	2.0
14	-328	22438	-198	-18	-5702	-423	31.42	20.11	3	1.9
15	-494	21532	-203	-17	-5680	-639	31.42	20.11	3	1.9
16	-460	20466	-259	-11	-5597	-778	31.42	20.11	3	1.9
Massimi/minimi										
1							31.42			
1								20.11		
12										1.8

Muro : 296 - Nodi: [44-7097-7096-45], Pann.X=4, Pann.Y=4Spess.=50 cm, Terreno=--,Criterio=CLS_Muri_ND,
Materiale=C35/45,ζ_e=13.462 [(5+6)-II-1] : **Verificato**

Armatura a maglia doppia

Pannello	Nx	Ny	Nxy	Mx	My	Mxy	Ax	Ay	C	Cs
	kg	kg	kg	kg*m	kg*m	kg*m	cmq	cmq		
1	-2063	15945	3184	-443	-2354	3081	31.42	20.11	3	2.4
2	-2029	17869	2317	-671	-3422	2901	31.42	20.11	3	2.0
3	-1952	19240	1518	-861	-4119	2558	31.42	20.11	3	1.9
4	-1881	20108	836	-1000	-4575	2081	31.42	20.11	3	1.9
5	-1443	16575	2421	-235	-2359	3008	31.42	20.11	3	2.5
6	-1404	18797	1755	-386	-3479	2823	31.42	20.11	3	2.0
7	-1357	20375	1136	-520	-4223	2489	31.42	20.11	3	1.8
8	-1321	21363	620	-614	-4710	2024	31.42	20.11	3	1.8
9	-875	17338	1544	-78	-2370	2747	31.42	20.11	3	2.5
10	-838	19855	1116	-150	-3515	2579	31.42	20.11	3	2.0
11	-835	21632	703	-214	-4327	2276	31.42	20.11	3	1.8
12	-818	22729	381	-260	-4831	1832	31.42	20.11	3	1.8
13	-513	18246	546	20	-2372	1538	31.42	20.11	3	3.3
14	-583	21125	325	12	-3555	1533	31.42	20.11	3	2.4
15	-233	23049	245	11	-4327	1338	31.42	20.11	3	2.1
16	-354	24177	172	0	-4862	1025	31.42	20.11	3	2.0

**POTENZIAMENTO DELL'IMPIANTO DI DEPURAZIONE E
DEL RECAPITO FINALE DI SQUINZANO (LE)
PROGETTO DEFINITIVO
Tabulati di calcolo strutturale-Equalizzazione**

R.37.7

Maggio 2021

Pagina 249 di
338

Pannello	Nx	Ny	Nxy	Mx	My	Mxy	Ax	Ay	C	Cs
Massimi/minimi										
1							31.42			
1								20.11		
12										1.8

Muro : 297 - Nodi: [41-48-7093-7092], Pann.X=4, Pann.Y=4Spess.=50 cm, Terreno=--,Criterio=CLS_Muri_ND,
Materiale=C35/45, $\zeta_e=13.612$ [(5+6)-II-1] : **Verificato**

Armatura a maglia doppia

Pannello	Nx	Ny	Nxy	Mx	My	Mxy	Ax	Ay	C	Cs
	kg	kg	kg	kg*m	kg*m	kg*m	cmq	cmq		
1	-4850	-1217	-8	-548	22	-3728	31.42	20.11	2	4.5
2	-4593	-1028	-82	-607	18	-3657	31.42	20.11	2	4.6
3	-4384	-826	-82	-666	46	-3354	31.42	20.11	2	5.0
4	-4320	-481	-51	-671	77	-1865	31.42	20.11	2	8.6
5	-4575	-1343	290	963	242	-3785	31.42	20.11	2	4.2
6	-4432	-1105	175	955	173	-3706	31.42	20.11	2	4.4
7	-4333	-866	85	938	127	-3412	31.42	20.11	2	4.8
8	-4331	-507	12	952	93	-2019	31.42	20.11	2	7.9
9	-4252	-1445	489	2121	435	-3730	31.42	20.11	2	4.1
10	-4163	-1154	344	2160	310	-3647	31.42	20.11	2	4.3
11	-4106	-833	202	2210	187	-3351	31.42	20.11	2	4.8
12	10887	-158	455	-2202	52	1599	31.42	20.11	3	6.2
13	12211	-1760	2630	-3267	-516	2966	31.42	20.11	3	3.7
14	12402	-1264	1997	-3280	-277	2893	31.42	20.11	3	3.8
15	12664	-817	1263	-3307	-83	2638	31.42	20.11	3	3.9
16	12959	-316	473	-3297	37	1460	31.42	20.11	3	4.9
Massimi/minimi										
1							31.42			
1								20.11		
13										3.7

Muro : 298 - Nodi: [49-41-7092-7091], Pann.X=4, Pann.Y=4Spess.=50 cm, Terreno=--,Criterio=CLS_Muri_ND,
Materiale=C35/45, $\zeta_e=13.769$ [(5+6)-I-3] : **Verificato**

Armatura a maglia doppia

Pannello	Nx	Ny	Nxy	Mx	My	Mxy	Ax	Ay	C	Cs
	kg	kg	kg	kg*m	kg*m	kg*m	cmq	cmq		
1	5253	202	1457	10999	1459	1251	31.42	20.11	3	2.0
2	-5943	-1589	-495	-11993	-1404	-1533	31.42	20.11	2	2.0
3	-3889	779	-606	-12537	-1021	-1213	31.42	20.11	2	1.9
4	2656	1998	-1614	-12870	-394	-525	31.42	20.11	2	1.9
5	4986	-1692	3088	7970	1025	1885	31.42	20.11	3	2.5
6	-4880	-566	-1408	-8157	-838	-2637	31.42	20.11	2	2.5
7	-2825	-928	-1551	-8428	-455	-2396	31.42	20.11	2	2.4
8	-1112	-438	-497	-8451	-16	-1468	31.42	20.11	2	2.6
9	-5424	-915	-820	-4904	-562	-3205	31.42	20.11	2	3.3
10	-4603	-722	-928	-5087	-405	-3140	31.42	20.11	2	3.2
11	-3701	-768	-775	-5231	-190	-2913	31.42	20.11	2	3.2
12	-2930	-863	-340	-5302	11	-1752	31.42	20.11	2	3.7
13	-5092	-1073	-399	-2481	-235	-3539	31.42	20.11	2	4.4
14	-4635	-911	-445	-2599	-164	-3476	31.42	20.11	2	4.4
15	-4196	-765	-370	-2682	-63	-3197	31.42	20.11	2	4.5
16	3028	-215	764	3068	99	1298	31.42	20.11	3	5.8
Massimi/minimi										
1							31.42			
1								20.11		
4										1.9

Muro : 299 - Nodi: [38-7007-7008-55], Pann.X=4, Pann.Y=4Spess.=50 cm, Terreno=--,Criterio=CLS_Muri_ND,
Materiale=C35/45, $\zeta_e=11.236$ [(5+6)-I-1] : **Verificato**

Armatura a maglia doppia

Pannello	Nx	Ny	Nxy	Mx	My	Mxy	Ax	Ay	C	Cs
	kg	kg	kg	kg*m	kg*m	kg*m	cmq	cmq		
1	-1958	10311	-2654	-253	-1529	-3247	31.42	20.11	3	3.0
2	-1949	9596	-2902	-113	-651	-3188	31.42	20.11	3	3.8
3	-1934	8843	-3122	34	355	-3096	31.42	20.11	3	4.3
4	-1920	8070	-3307	183	1499	-2974	31.42	20.11	3	3.4

Pannello	Nx	Ny	Nxy	Mx	My	Mxy	Ax	Ay	C	Cs
5	-1416	10221	-2054	-97	-1477	-3173	31.42	20.11	3	3.1
6	-1156	-4956	-244	181	942	3587	31.42	20.11	2	3.9
7	-1406	8351	-2451	106	454	-3043	31.42	20.11	3	4.3
8	-1393	7335	-2605	208	1620	-2932	31.42	20.11	3	3.3
9	-931	10235	-1325	15	-1469	-2899	31.42	20.11	3	3.3
10	-866	-4937	-131	118	945	3312	31.42	20.11	2	4.2
11	-909	7881	-1604	109	540	-2822	31.42	20.11	3	4.5
12	-871	6594	-1710	166	1734	-2709	31.42	20.11	3	3.4
13	-437	10243	-486	58	-1459	-1588	31.42	20.11	3	4.8
14	-554	-4994	-29	92	929	1942	31.42	20.11	2	6.2
15	-579	7687	-529	83	567	-1663	31.42	20.11	3	6.8
16	-529	6161	-656	104	1771	-1495	31.42	20.11	3	4.7
Massimi/minimi										
1							31.42			
1								20.11		
1										3.0

Muro : 300 - Nodi: [48-42-7094-7093], Pann.X=4, Pann.Y=4Spess.=50 cm, Terreno=--,Criterio=CLS_Muri_ND,
Materiale=C35/45, $\zeta_e=20.867 [(5+6)-I-3]$: **Verificato**

Armatura a maglia doppia

Pannello	Nx kg	Ny kg	Nxy kg	Mx kg*m	My kg*m	Mxy kg*m	Ax cmq	Ay cmq	C	Cs
1	13450	-1725	2367	-4019	-675	2834	31.42	20.11	3	3.4
2	13842	-1249	1789	-4070	-385	2760	31.42	20.11	3	3.4
3	14278	-780	1132	-4108	-148	2511	31.42	20.11	3	3.4
4	14827	-493	397	-4129	16	1387	31.42	20.11	3	4.1
5	14590	-1679	2150	-4556	-813	2617	31.42	20.11	3	3.2
6	15152	-1224	1621	-4639	-481	2546	31.42	20.11	3	3.2
7	15745	-780	1025	-4703	-199	2328	31.42	20.11	3	3.2
8	16479	-563	306	-4735	6	1371	31.42	20.11	3	3.7
9	15646	-1635	1967	-4921	-928	2333	31.42	20.11	3	3.1
10	16359	-1193	1477	-5029	-563	2269	31.42	20.11	3	3.1
11	17121	-783	921	-5135	-235	2072	31.42	20.11	3	3.1
12	17911	-262	292	-5150	4	1215	31.42	20.11	3	3.5
13	16631	-1617	1808	-5154	-1017	1991	31.42	20.11	3	3.1
14	17472	-1185	1354	-5286	-624	1936	31.42	20.11	3	3.1
15	18356	-771	848	-5404	-265	1756	31.42	20.11	3	3.1
16	19253	-357	320	-5433	-3	964	31.42	20.11	3	3.4
Massimi/minimi										
1							31.42			
1								20.11		
10										3.1

Muro : 301 - Nodi: [45-7096-7095-43], Pann.X=4, Pann.Y=4Spess.=50 cm, Terreno=--,Criterio=CLS_Muri_ND,
Materiale=C35/45, $\zeta_e=13.582 [(5+6)-II-1]$: **Verificato**

Armatura a maglia doppia

Pannello	Nx kg	Ny kg	Nxy kg	Mx kg*m	My kg*m	Mxy kg*m	Ax cmq	Ay cmq	C	Cs
1	-1831	20503	311	-1090	-4851	1576	31.42	20.11	3	1.9
2	-1800	20572	-104	-1147	-5018	1098	31.42	20.11	3	2.0
3	-1778	20416	-492	-1182	-5146	592	31.42	20.11	3	2.2
4	-1746	20048	-840	-1192	-5245	70	31.42	20.11	3	2.3
5	-1294	21799	227	-677	-5010	1532	31.42	20.11	3	1.8
6	-1274	21867	-81	-719	-5187	1069	31.42	20.11	3	1.9
7	-1272	21687	-377	-743	-5323	579	31.42	20.11	3	2.0
8	-1256	21277	-636	-749	-5424	72	31.42	20.11	3	2.2
9	-780	23180	137	-302	-5135	1386	31.42	20.11	3	1.8
10	-778	23247	-42	-325	-5332	979	31.42	20.11	3	1.9
11	-828	23037	-246	-333	-5478	531	31.42	20.11	3	2.0
12	-812	22587	-413	-334	-5576	68	31.42	20.11	3	2.1
13	-434	24691	8	-15	-5183	766	31.42	20.11	3	1.9
14	-406	24771	-25	-19	-5381	578	31.42	20.11	3	1.9
15	-414	24518	-47	-18	-5519	309	31.42	20.11	3	2.0
16	-433	23947	-115	-20	-5626	36	31.42	20.11	3	2.0
Massimi/minimi										
1							31.42			
1								20.11		
9										1.8

Muro : 302 - Nodi: [56-7098-7097-44], Pann.X=4, Pann.Y=4Spess.=50 cm, Terreno=--,Criterio=CLS_Muri_ND,
Materiale=C35/45, $\zeta_e=10.805$ [(5+6)-II-1] : **Verificato**

Armatura a maglia doppia

Pannello	Nx	Ny	Nxy	Mx	My	Mxy	Ax	Ay	C	Cs
	kg	kg	kg	kg*m	kg*m	kg*m	cmq	cmq		
1	-1963	10697	4705	140	1269	2864	31.42	20.11		3
2	-1980	11933	4446	5	282	2971	31.42	20.11		3
3	-1394	-5019	-49	265	1102	-3740	31.42	20.11		2
4	-2025	14239	3803	-255	-1322	3097	31.42	20.11		3
5	-1358	10304	3619	171	1376	2819	31.42	20.11		3
6	-1385	11814	3427	78	370	2916	31.42	20.11		3
7	-1119	-4905	-87	187	1099	-3664	31.42	20.11		2
8	-1419	14590	2895	-107	-1279	3023	31.42	20.11		3
9	-764	9888	2329	141	1479	2599	31.42	20.11		3
10	-819	11730	2216	89	446	2699	31.42	20.11		3
11	-815	-4843	-81	114	1107	-3385	31.42	20.11		2
12	-901	15110	1828	2	-1277	2758	31.42	20.11		3
13	-518	10077	889	90	1512	1431	31.42	20.11		3
14	-570	12132	743	70	469	1587	31.42	20.11		3
15	-513	-4833	-41	81	1093	-1985	31.42	20.11		2
16	-503	-4883	-13	106	1939	-1821	31.42	20.11		2
Massimi/minimi										
1							31.42			
1								20.11		
4										3.1

Muro : 303 - Nodi: [54-7099-7098-56], Pann.X=4, Pann.Y=4Spess.=50 cm, Terreno=--,Criterio=CLS_Muri_ND,
Materiale=C35/45, $\zeta_e=8.782$ [(5+6)-I-1] : **Verificato**

Armatura a maglia doppia

Pannello	Nx	Ny	Nxy	Mx	My	Mxy	Ax	Ay	C	Cs
	kg	kg	kg	kg*m	kg*m	kg*m	cmq	cmq		
1	-1110	5338	3449	1364	10634	1224	31.42	20.11		3
2	-2228	5761	4960	999	7728	2029	31.42	20.11		3
3	-1989	6975	5216	598	5108	2325	31.42	20.11		3
4	-1938	8961	5001	326	2823	2655	31.42	20.11		3
5	-1619	-5965	-501	-1421	-12204	-1533	31.42	20.11		2
6	-581	-4903	-1472	-842	-8301	-2630	31.42	20.11		2
7	-1590	5596	4252	476	5269	2293	31.42	20.11		3
8	-1389	8214	3897	293	2961	2625	31.42	20.11		3
9	796	-3844	-614	-1033	-12741	-1209	31.42	20.11		2
10	-935	-2777	-1601	-458	-8570	-2390	31.42	20.11		2
11	-733	4035	2890	290	5395	2141	31.42	20.11		3
12	-790	7456	2553	205	3072	2438	31.42	20.11		3
13	2039	2863	-1640	-400	-13071	-520	31.42	20.11		2
14	-423	-984	-509	-17	-8592	-1465	31.42	20.11		2
15	412	2513	1058	113	5453	1297	31.42	20.11		3
16	-171	6867	1024	106	3121	1363	31.42	20.11		3
Massimi/minimi										
1							31.42			
1								20.11		
13										1.2

Muro : 304 - Nodi: [55-7008-7009-58], Pann.X=4, Pann.Y=4Spess.=50 cm, Terreno=--,Criterio=CLS_Muri_ND,
Materiale=C35/45, $\zeta_e=9.854$ [(5+6)-I-1] : **Verificato**

Armatura a maglia doppia

Pannello	Nx	Ny	Nxy	Mx	My	Mxy	Ax	Ay	C	Cs
	kg	kg	kg	kg*m	kg*m	kg*m	cmq	cmq		
1	-1869	7023	-3486	389	3285	-2739	31.42	20.11		3
2	-1820	5984	-3502	690	5887	-2371	31.42	20.11		3
3	-1644	5705	-2924	1124	8846	-2024	31.42	20.11		3
4	536	6028	-1331	1598	12130	-1310	31.42	20.11		3
5	-1404	5950	-2811	342	3439	-2713	31.42	20.11		3
6	-1503	4330	-3017	544	6065	-2343	31.42	20.11		3
7	-1603	3416	-2999	922	9025	-1929	31.42	20.11		3
8	-219	3898	-1359	1395	12289	-1155	31.42	20.11		3
9	-875	4824	-1903	237	3562	-2525	31.42	20.11		3
10	-850	2457	-2155	330	6205	-2195	31.42	20.11		3

Pannello	Nx	Ny	Nxy	Mx	My	Mxy	Ax	Ay	C	Cs
11	-694	37	-2666	566	9221	-1751	31.42	20.11	3	1.5
12	-2233	298	-1294	1027	12553	-865	31.42	20.11	3	1.2
13	-286	3803	-756	122	3617	-1416	31.42	20.11	3	3.2
14	91	513	-769	134	6269	-1334	31.42	20.11	3	2.2
15	-721	-3254	-916	155	9218	-1084	31.42	20.11	3	1.7
16	1453	1102	1439	-414	-13011	491	31.42	20.11	2	1.2
Massimi/minimi										
1							31.42			
1								20.11		
4										1.1

Verifiche stato limite di esercizio

Verifica dei Muri (Stati limite esercizio)

Scenario di calcolo: **Set_NT_2018 A2_SLV_SLD_STR_GEO**

Simbologia

P.	Numero pannello
Nx [daN/cm ²]	Sforzo normale in direzione x
Ny [daN/cm ²]	Sforzo normale in direzione y
Nxy [daN/cm ²]	Sforzo tagliante in direzione xy
Mx [kg]	Momento flettente in direzione x
My [kg]	Momento flettente in direzione y
Mxy [kg]	Momento torcente
Afx [cm ² /m]	Area acciaio in direzione x per metro lineare
Afy [cm ² /m]	Area acciaio in direzione y per metro lineare
σc [daN/cm ²]	Tensione nel calcestruzzo compresso
σf [daN/cm ²]	Tensione nell'acciaio
σct [daN/cm ²]	Tensione nel calcestruzzo teso
σsct [daN/cm ²]	Tensione nel calcestruzzo teso (quando richiesto dalla verifica)
σsca [daN/cm ²]	Tensione ammissibile nel calcestruzzo
σsfa [daN/cm ²]	Tensione ammissibile nell'acciaio
σscta [daN/cm ²]	Tensione ammissibile nel calcestruzzo teso
Cbc	Combinazione generatore della tensione nel cls compresso
Cbct	Combinazione generatore della tensione nel cls teso
Cbf	Combinazione generatore della tensione nell'acciaio
Cb	Combinazione
σsfmed [daN/cm ²]	Tensione media dell'acciaio
Wd [mm]	Apertura delle fessure
Wk [mm]	Apertura caratteristica delle fessure
Wamm_Freq [mm]	Apertura ammissibile delle fessure per combinazione Frequente
Wamm_Qp [mm]	Apertura ammissibile delle fessure per combinazione Quasi Permanente
Wamm_Rara [mm]	Apertura ammissibile delle fessure per combinazione Rara
Cs	Coefficiente di sicurezza definito come minimo di σ_{Amm}/σ tra acciaio e calcestruzzo oppure W_{amm}/W_k

Muro [Platea]: 1 - Nodi: [269-274-261-260] Pann=32 Spess.=60 cm, Terreno=Terreno1, , Criterio=CLS_Platee_ND, Materiale=C35/45

Armatura a maglia doppia, Stampa elementi piu' gravosi

Combinazione Rara: σ_{ca} [daN/cm²]=224 σ_{fa} [daN/cm²]=3600

P.	Afx	Afy	σ_c	σ_f	Cbc	Cbf	Ver	Cs
	cmq/m	cmq/m	daN/cm ²	daN/cm ²				
17	31.42	31.42	-2	1	11	11	Si	92
29	31.42	31.42	-2	10	11	10	Si	>100

Combinazione QP: σ_{ca} [daN/cm²]=168 σ_{fa} [daN/cm²]=3600

P.	Afx	Afy	σ_c	σ_f	Cbc	Cbf	Ver	Cs
	cmq/m	cmq/m	daN/cm ²	daN/cm ²				
28	31.42	31.42	-5	13	13	13	Si	35
29	31.42	31.42	-5	13	13	13	Si	35

Verifica aperture fessure: Wamm Freq[mm]=0.300 Wamm Qp[mm]=0.200

P.	Nx	Ny	Nxy	Mx	My	Mxy	σ_{fmed}	Wd	Wk	Cb	Ver	Cs
	daN/cm ²	daN/cm ²	daN/cm ²	kg	kg	kg	daN/cm ²	mm	mm			
29	-2.03	-0.54	-0.25	1950	399	29	13	0.001	0.001	13 (Qp)	Si	>100
29	-2.07	-0.55	-0.25	1982	405	31	13	0.001	0.001	12 (Fr)	Si	>100

Muro [Platea]: 2 - Nodi: [220-214-213-222] Pann=16 Spess.=60 cm, Terreno=Terreno1, , Criterio=CLS_Platee_ND, Materiale=C35/45

Armatura a maglia doppia, Stampa elementi piu' gravosi

Combinazione Rara: σ_{ca} [daN/cm²]=224 σ_{fa} [daN/cm²]=3600

P.	Afx	Afy	σ_c	σ_f	Cbc	Cbf	Ver	Cs
	cmq/m	cmq/m	daN/cm ²	daN/cm ²				
2	31.42	31.42	-10	1242	11	11	Si	2.9
3	31.42	31.42	-10	1249	11	11	Si	2.9

Combinazione QP: σ_{ca} [daN/cm²]=168 σ_{fa} [daN/cm²]=3600

P.	Afx	Afy	σ_c	σ_f	Cbc	Cbf	Ver	Cs
	cmq/m	cmq/m	daN/cm ²	daN/cm ²				
15	31.42	31.42	-7	110	13	13	Si	23
14	31.42	31.42	-7	112	13	13	Si	23

Verifica aperture fessure: Wamm Freq[mm]=0.300 Wamm Qp[mm]=0.200

P.	Nx	Ny	Nxy	Mx	My	Mxy	σ_{fmed}	Wd	Wk	Cb	Ver	Cs
	daN/cm ²	daN/cm ²	daN/cm ²	kg	kg	kg	daN/cm ²	mm	mm			
14	-1.58	-0.59	0.34	2863	641	-286	112	0.011	0.011	13 (Qp)	Si	18
14	-1.58	-0.60	0.34	2919	652	-291	118	0.012	0.012	12 (Fr)	Si	25

Muro [Platea]: 3 - Nodi: [214-272-268-213] Pann=15 Spess.=60 cm, Terreno=Terreno1, , Criterio=CLS_Platee_ND, Materiale=C35/45

Armatura a maglia doppia, Stampa elementi piu' gravosi

Combinazione Rara: σ_{ca} [daN/cm²]=224 σ_{fa} [daN/cm²]=3600

P.	Afx	Afy	σ_c	σ_f	Cbc	Cbf	Ver	Cs
	cmq/m	cmq/m	daN/cm ²	daN/cm ²				
15	31.42	31.42	-4	22	10	11	Si	53
2	31.42	31.42	-3	118	11	11	Si	30

Combinazione QP: σ_{ca} [daN/cm²]=168 σ_{fa} [daN/cm²]=3600

P.	Afx	Afy	σ_c	σ_f	Cbc	Cbf	Ver	Cs
	cmq/m	cmq/m	daN/cm ²	daN/cm ²				
6	31.42	31.42	-5	-2	13	13	Si	34
1	31.42	31.42	-4	-3	13	13	Si	40

Verifica aperture fessure: Wamm Freq[mm]=0.300 Wamm Qp[mm]=0.200

P.	Nx	Ny	Nxy	Mx	My	Mxy	σ_{fmed}	Wd	Wk	Cb	Ver	Cs
	daN/cm ²	daN/cm ²	daN/cm ²	kg	kg	kg	daN/cm ²	mm	mm			
1	-2.40	-0.89	0.35	1414	539	-230	0	0.000	0.000	13 (Qp)	Si	>100
1	-2.43	-0.90	0.36	1442	546	-234	0	0.000	0.000	12 (Fr)	Si	>100

Muro [Platea]: 4 - Nodi: [272-278-265-268] Pann=48 Spess.=60 cm, Terreno=Terreno1, , Criterio=CLS_Platee_ND, Materiale=C35/45

Armatura a maglia doppia, Stampa elementi piu' gravosi

Combinazione Rara: σ_{ca} [daN/cm²]=224 σ_{fa} [daN/cm²]=3600

P.	Afx	Afy	σ_c	σ_f	Cbc	Cbf	Ver	Cs
	cmq/m	cmq/m	daN/cm ²	daN/cm ²				
6	31.42	31.42	-5	11	10	10	Si	46

P.	Afx	Afy	σ_c	σ_f	Cbc	Cbf	Ver	Cs
5	31.42	31.42	-5	12	10	10	Si	47

Combinazione QP: $\sigma_{ca}[\text{daN/cm}^2]=168$ $\sigma_{fa}[\text{daN/cm}^2]=3600$

P.	Afx	Afy	σ_c	σ_f	Cbc	Cbf	Ver	Cs
	cmq/m	cmq/m	daN/cm ²	daN/cm ²				
7	31.42	31.42	-5	11	13	13	Si	33
5	31.42	31.42	-5	19	13	13	Si	33

Verifica aperture fessure:Wamm Freq[mm]=0.300 Wamm Qp[mm]=0.200

P.	Nx	Ny	Nxy	Mx	My	Mxy	σ_{fmed}	Wd	Wk	Cb	Ver	Cs
	daN/cm ²	daN/cm ²	daN/cm ²	kg	kg	kg	daN/cm ²	mm	mm			
5	-2.00	-0.74	0.29	2048	562	-126	19	0.001	0.001	13 (Qp)	Si	>100
5	-2.04	-0.75	0.30	2077	569	-129	19	0.001	0.001	12 (Fr)	Si	>100

Muro [Platea]: 5 - Nodi: [278-277-249-265]Pann=32Spess.=60 cm, Terreno=Terreno1, ,Criterio=CLS_Platee_ND,
Materiale=C35/45

Armatura a maglia doppia, Stampa elementi piu' gravosi

Combinazione Rara: $\sigma_{ca}[\text{daN/cm}^2]=224$ $\sigma_{fa}[\text{daN/cm}^2]=3600$

P.	Afx	Afy	σ_c	σ_f	Cbc	Cbf	Ver	Cs
	cmq/m	cmq/m	daN/cm ²	daN/cm ²				
8	31.42	31.42	-2	-2	11	11	Si	98
5	31.42	31.42	-2	4	11	10	Si	>100

Combinazione QP: $\sigma_{ca}[\text{daN/cm}^2]=168$ $\sigma_{fa}[\text{daN/cm}^2]=3600$

P.	Afx	Afy	σ_c	σ_f	Cbc	Cbf	Ver	Cs
	cmq/m	cmq/m	daN/cm ²	daN/cm ²				
6	31.42	31.42	-3	5	13	13	Si	66
5	31.42	31.42	-3	5	13	13	Si	67

Verifica aperture fessure:Wamm Freq[mm]=0.300 Wamm Qp[mm]=0.200

P.	Nx	Ny	Nxy	Mx	My	Mxy	σ_{fmed}	Wd	Wk	Cb	Ver	Cs
	daN/cm ²	daN/cm ²	daN/cm ²	kg	kg	kg	daN/cm ²	mm	mm			
5	-1.10	-0.62	0.07	996	409	44	5	0.000	0.000	13 (Qp)	Si	>100
5	-1.13	-0.63	0.07	1016	415	44	5	0.000	0.000	12 (Fr)	Si	>100

Muro [Platea]: 6 - Nodi: [277-269-260-249]Pann=32Spess.=60 cm, Terreno=Terreno1, ,Criterio=CLS_Platee_ND,
Materiale=C35/45

Armatura a maglia doppia, Stampa elementi piu' gravosi

Combinazione Rara: $\sigma_{ca}[\text{daN/cm}^2]=224$ $\sigma_{fa}[\text{daN/cm}^2]=3600$

P.	Afx	Afy	σ_c	σ_f	Cbc	Cbf	Ver	Cs
	cmq/m	cmq/m	daN/cm ²	daN/cm ²				
32	31.42	31.42	-2	-1	11	10	Si	97
27	31.42	31.42	-2	5	11	10	Si	>100

Combinazione QP: $\sigma_{ca}[\text{daN/cm}^2]=168$ $\sigma_{fa}[\text{daN/cm}^2]=3600$

P.	Afx	Afy	σ_c	σ_f	Cbc	Cbf	Ver	Cs
	cmq/m	cmq/m	daN/cm ²	daN/cm ²				
28	31.42	31.42	-3	6	13	13	Si	58
27	31.42	31.42	-3	6	13	13	Si	58

Verifica aperture fessure:Wamm Freq[mm]=0.300 Wamm Qp[mm]=0.200

P.	Nx	Ny	Nxy	Mx	My	Mxy	σ_{fmed}	Wd	Wk	Cb	Ver	Cs
	daN/cm ²	daN/cm ²	daN/cm ²	kg	kg	kg	daN/cm ²	mm	mm			
27	-1.26	-0.70	-0.36	1154	482	85	6	0.000	0.000	13 (Qp)	Si	>100
27	-1.29	-0.71	-0.36	1176	489	86	6	0.000	0.000	12 (Fr)	Si	>100

Muro [Platea]: 7 - Nodi: [274-276-259-261]Pann=32Spess.=60 cm, Terreno=Terreno1, ,Criterio=CLS_Platee_ND,
Materiale=C35/45

Armatura a maglia doppia, Stampa elementi piu' gravosi

Combinazione Rara: $\sigma_{ca}[\text{daN/cm}^2]=224$ $\sigma_{fa}[\text{daN/cm}^2]=3600$

P.	Afx	Afy	σ_c	σ_f	Cbc	Cbf	Ver	Cs
	cmq/m	cmq/m	daN/cm ²	daN/cm ²				
17	31.42	31.42	-5	2	10	11	Si	44
4	31.42	31.42	-4	90	11	11	Si	40

Combinazione QP: $\sigma_{ca}[\text{daN/cm}^2]=168$ $\sigma_{fa}[\text{daN/cm}^2]=3600$

P.	Afx	Afy	σ_c	σ_f	Cbc	Cbf	Ver	Cs
	cmq/m	cmq/m	daN/cm ²	daN/cm ²				
17	31.42	31.42	-5	2	13	13	Si	31
9	31.42	31.42	-5	3	13	13	Si	32

Verifica aperture fessure:Wamm Freq[mm]=0.300 Wamm Qp[mm]=0.200

P.	Nx	Ny	Nxy	Mx	My	Mxy	σ_{fmed}	Wd	Wk	Cb	Ver	Cs
	daN/cm ²	daN/cm ²	daN/cm ²	kg	kg	kg	daN/cm ²	mm	mm			
9	-2.86	-0.71	-0.28	1787	626	103	3	0.000	0.000	13 (Qp)	Si	>100
9	-2.91	-0.72	-0.28	1817	634	107	3	0.000	0.000	12 (Fr)	Si	>100

Muro [Platea]: 8 - Nodi: [276-208-253-259]Pann=30Spess.=60 cm, Terreno=Terreno1, ,Criterio=CLS_Platee_ND, Materiale=C35/45

Armatura a maglia doppia, Stampa elementi piu' gravosi

Combinazione Rara: σ_{ca} [daN/cm²]=224 σ_{fa} [daN/cm²]=3600

P.	Afx	Afy	σ_c	σ_f	Cbc	Cbf	Ver	Cs
	cmq/m	cmq/m	daN/cm ²	daN/cm ²				
10	31.42	31.42	-10	1225	11	11	Si	2.9

Combinazione QP: σ_{ca} [daN/cm²]=168 σ_{fa} [daN/cm²]=3600

P.	Afx	Afy	σ_c	σ_f	Cbc	Cbf	Ver	Cs
	cmq/m	cmq/m	daN/cm ²	daN/cm ²				
3	31.42	31.42	-8	128	13	13	Si	21

Verifica aperture fessure:Wamm Freq[mm]=0.300 Wamm Qp[mm]=0.200

P.	Nx	Ny	Nxy	Mx	My	Mxy	σ_{fmed}	Wd	Wk	Cb	Ver	Cs
	daN/cm ²	daN/cm ²	daN/cm ²	kg	kg	kg	daN/cm ²	mm	mm			
3	-1.68	-0.47	-0.07	3130	580	113	128	0.013	0.013	13 (Qp)	Si	15
3	-1.69	-0.48	-0.08	3192	590	116	134	0.014	0.014	12 (Fr)	Si	22

Muro [Platea]: 9 - Nodi: [222-213-210-223]Pann=16Spess.=60 cm, Terreno=Terreno1, ,Criterio=CLS_Platee_ND, Materiale=C35/45

Armatura a maglia doppia, Stampa elementi piu' gravosi

Combinazione Rara: σ_{ca} [daN/cm²]=224 σ_{fa} [daN/cm²]=3600

P.	Afx	Afy	σ_c	σ_f	Cbc	Cbf	Ver	Cs
	cmq/m	cmq/m	daN/cm ²	daN/cm ²				
15	31.42	31.42	-7	567	10	11	Si	6.3
1	31.42	31.42	-3	1256	10	11	Si	2.9

Combinazione QP: σ_{ca} [daN/cm²]=168 σ_{fa} [daN/cm²]=3600

P.	Afx	Afy	σ_c	σ_f	Cbc	Cbf	Ver	Cs
	cmq/m	cmq/m	daN/cm ²	daN/cm ²				
15	31.42	31.42	-6	55	13	13	Si	26

Verifica aperture fessure:Wamm Freq[mm]=0.300 Wamm Qp[mm]=0.200

P.	Nx	Ny	Nxy	Mx	My	Mxy	σ_{fmed}	Wd	Wk	Cb	Ver	Cs
	daN/cm ²	daN/cm ²	daN/cm ²	kg	kg	kg	daN/cm ²	mm	mm			
15	-1.94	-0.40	0.22	2594	424	-115	55	0.005	0.005	13 (Qp)	Si	44
15	-1.95	-0.40	0.22	2643	430	-116	58	0.005	0.005	12 (Fr)	Si	62

Muro [Platea]: 10 - Nodi: [213-268-264-210]Pann=8Spess.=60 cm, Terreno=Terreno1, ,Criterio=CLS_Platee_ND, Materiale=C35/45

Armatura a maglia doppia, Stampa elementi piu' gravosi

Combinazione Rara: σ_{ca} [daN/cm²]=224 σ_{fa} [daN/cm²]=3600

P.	Afx	Afy	σ_c	σ_f	Cbc	Cbf	Ver	Cs
	cmq/m	cmq/m	daN/cm ²	daN/cm ²				
4	31.42	31.42	-5	1	10	11	Si	48
6	31.42	31.42	-2	54	11	11	Si	67

Combinazione QP: σ_{ca} [daN/cm²]=168 σ_{fa} [daN/cm²]=3600

P.	Afx	Afy	σ_c	σ_f	Cbc	Cbf	Ver	Cs
	cmq/m	cmq/m	daN/cm ²	daN/cm ²				
4	31.42	31.42	-5	-1	13	13	Si	33
1	31.42	31.42	-5	-1	13	13	Si	33

Verifica aperture fessure:Wamm Freq[mm]=0.300 Wamm Qp[mm]=0.200

P.	Nx	Ny	Nxy	Mx	My	Mxy	σ_{fmed}	Wd	Wk	Cb	Ver	Cs
	daN/cm ²	daN/cm ²	daN/cm ²	kg	kg	kg	daN/cm ²	mm	mm			
1	-2.82	-0.38	0.13	1694	209	-73	0	0.000	0.000	13 (Qp)	Si	>100
1	-2.86	-0.38	0.13	1716	210	-74	0	0.000	0.000	12 (Fr)	Si	>100

Muro [Platea]: 11 - Nodi: [268-265-270-264]Pann=24Spess.=60 cm, Terreno=Terreno1, ,Criterio=CLS_Platee_ND, Materiale=C35/45

Armatura a maglia doppia, Stampa elementi piu' gravosi

Combinazione Rara: σ_{ca} [daN/cm²]=224 σ_{fa} [daN/cm²]=3600

P.	Afx	Afy	σ_c	σ_f	Cbc	Cbf	Ver	Cs
	cmq/m	cmq/m	daN/cm ²	daN/cm ²				
15	31.42	31.42	-2	-1	11	11	Si	91
2	31.42	31.42	-1	4	11	10	Si	>100

Combinazione QP: σ_{ca} [daN/cm²]=168 σ_{fa} [daN/cm²]=3600

P.	Afx	Afy	σ_c	σ_f	Cbc	Cbf	Ver	Cs
	cmq/m	cmq/m	daN/cm ²	daN/cm ²				
3	31.42	31.42	-5	7	13	13	Si	33
2	31.42	31.42	-5	7	13	13	Si	33

Verifica aperture fessure:Wamm Freq[mm]=0.300 Wamm Qp[mm]=0.200

P.	Nx	Ny	Nxy	Mx	My	Mxy	σ_{fmed}	Wd	Wk	Cb	Ver	Cs
	daN/cm ²	daN/cm ²	daN/cm ²	kg	kg	kg	daN/cm ²	mm	mm			
2	-2.34	-0.45	0.17	2014	341	-104	7	0.000	0.000	13 (Qp)	Si	>100
2	-2.38	-0.46	0.17	2044	345	-106	7	0.000	0.000	12 (Fr)	Si	>100

Muro [Platea]: 12 - Nodi: [265-249-257-270]Pann=16Spess.=60 cm, Terreno=Terreno1, ,Criterio=CLS_Platee_ND, Materiale=C35/45

Armatura a maglia doppia, Stampa elementi piu' gravosi

Combinazione Rara: σ_{ca} [daN/cm²]=224 σ_{fa} [daN/cm²]=3600

P.	Afx	Afy	σ_c	σ_f	Cbc	Cbf	Ver	Cs
	cmq/m	cmq/m	daN/cm ²	daN/cm ²				
4	31.42	31.42	-2	-1	11	11	Si	96
2	31.42	31.42	-2	2	11	10	Si	96

Combinazione QP: σ_{ca} [daN/cm²]=168 σ_{fa} [daN/cm²]=3600

P.	Afx	Afy	σ_c	σ_f	Cbc	Cbf	Ver	Cs
	cmq/m	cmq/m	daN/cm ²	daN/cm ²				
3	31.42	31.42	-3	3	13	13	Si	63
2	31.42	31.42	-3	3	13	13	Si	64

Verifica aperture fessure:Wamm Freq[mm]=0.300 Wamm Qp[mm]=0.200

P.	Nx	Ny	Nxy	Mx	My	Mxy	σ_{fmed}	Wd	Wk	Cb	Ver	Cs
	daN/cm ²	daN/cm ²	daN/cm ²	kg	kg	kg	daN/cm ²	mm	mm			
2	-1.20	-0.33	0.05	1020	218	-30	3	0.000	0.000	13 (Qp)	Si	>100
2	-1.23	-0.33	0.05	1041	222	-31	3	0.000	0.000	12 (Fr)	Si	>100

Muro [Platea]: 13 - Nodi: [249-260-255-257]Pann=16Spess.=60 cm, Terreno=Terreno1, ,Criterio=CLS_Platee_ND, Materiale=C35/45

Armatura a maglia doppia, Stampa elementi piu' gravosi

Combinazione Rara: σ_{ca} [daN/cm²]=224 σ_{fa} [daN/cm²]=3600

P.	Afx	Afy	σ_c	σ_f	Cbc	Cbf	Ver	Cs
	cmq/m	cmq/m	daN/cm ²	daN/cm ²				
15	31.42	31.42	-2	2	11	10	Si	96
14	31.42	31.42	-2	2	11	10	Si	96

Combinazione QP: σ_{ca} [daN/cm²]=168 σ_{fa} [daN/cm²]=3600

P.	Afx	Afy	σ_c	σ_f	Cbc	Cbf	Ver	Cs
	cmq/m	cmq/m	daN/cm ²	daN/cm ²				
15	31.42	31.42	-3	3	13	13	Si	61
14	31.42	31.42	-3	3	13	13	Si	61

Verifica aperture fessure:Wamm Freq[mm]=0.300 Wamm Qp[mm]=0.200

P.	Nx	Ny	Nxy	Mx	My	Mxy	σ_{fmed}	Wd	Wk	Cb	Ver	Cs
	daN/cm ²	daN/cm ²	daN/cm ²	kg	kg	kg	daN/cm ²	mm	mm			
14	-1.27	-0.27	-0.10	1068	183	56	3	0.000	0.000	13 (Qp)	Si	>100
14	-1.29	-0.27	-0.10	1089	187	57	3	0.000	0.000	12 (Fr)	Si	>100

Muro [Platea]: 14 - Nodi: [260-261-254-255]Pann=16Spess.=60 cm, Terreno=Terreno1, ,Criterio=CLS_Platee_ND, Materiale=C35/45

Armatura a maglia doppia, Stampa elementi piu' gravosi

Combinazione Rara: σ_{ca} [daN/cm²]=224 σ_{fa} [daN/cm²]=3600

P.	Afx	Afy	σ_c	σ_f	Cbc	Cbf	Ver	Cs
	cmq/m	cmq/m	daN/cm ²	daN/cm ²				
7	31.42	31.42	-2	-1	11	11	Si	92
14	31.42	31.42	-2	6	11	10	Si	>100

Combinazione QP: σ_{ca} [daN/cm²]=168 σ_{fa} [daN/cm²]=3600

P.	Afx	Afy	σ_c	σ_f	Cbc	Cbf	Ver	Cs
	cmq/m	cmq/m	daN/cm ²	daN/cm ²				

P.	Afx	Afy	σ_c	σ_f	Cbc	Cbf	Ver	Cs
14	31.42	31.42	-5	8	13	13	Si	36

Verifica aperture fessure:Wamm Freq[mm]=0.300 Wamm Qp[mm]=0.200

P.	Nx	Ny	Nxy	Mx	My	Mxy	σ_{fmed}	Wd	Wk	Cb	Ver	Cs
	daN/cm ²	daN/cm ²	daN/cm ²	kg	kg	kg	daN/cm ²	mm	mm			
14	-2.07	-0.34	-0.12	1836	271	65	8	0.000	0.000	13 (Qp)	Si	>100
14	-2.11	-0.35	-0.12	1867	275	66	8	0.000	0.000	12 (Fr)	Si	>100

Muro [Platea]: 15 - Nodi: [261-259-245-254]Pann=16Spess.=60 cm, Terreno=Terreno1, ,Criterio=CLS_Platee_ND, Materiale=C35/45

Armatura a maglia doppia, Stampa elementi piu' gravosi

Combinazione Rara: σ_{ca} [daN/cm²]=224 σ_{fa} [daN/cm²]=3600

P.	Afx	Afy	σ_c	σ_f	Cbc	Cbf	Ver	Cs
	cmq/m	cmq/m	daN/cm ²	daN/cm ²				
2	31.42	31.42	-3	42	11	11	Si	71

Combinazione QP: σ_{ca} [daN/cm²]=168 σ_{fa} [daN/cm²]=3600

P.	Afx	Afy	σ_c	σ_f	Cbc	Cbf	Ver	Cs
	cmq/m	cmq/m	daN/cm ²	daN/cm ²				
9	31.42	31.42	-5	-1	13	13	Si	32
1	31.42	31.42	-4	-2	13	13	Si	37

Verifica aperture fessure:Wamm Freq[mm]=0.300 Wamm Qp[mm]=0.200

P.	Nx	Ny	Nxy	Mx	My	Mxy	σ_{fmed}	Wd	Wk	Cb	Ver	Cs
	daN/cm ²	daN/cm ²	daN/cm ²	kg	kg	kg	daN/cm ²	mm	mm			
1	-2.66	-0.37	-0.16	1424	203	38	0	0.000	0.000	13 (Qp)	Si	>100
1	-2.70	-0.38	-0.16	1452	206	39	0	0.000	0.000	12 (Fr)	Si	>100

Muro [Platea]: 16 - Nodi: [259-253-256-245]Pann=16Spess.=60 cm, Terreno=Terreno1, ,Criterio=CLS_Platee_ND, Materiale=C35/45

Armatura a maglia doppia, Stampa elementi piu' gravosi

Combinazione Rara: σ_{ca} [daN/cm²]=224 σ_{fa} [daN/cm²]=3600

P.	Afx	Afy	σ_c	σ_f	Cbc	Cbf	Ver	Cs
	cmq/m	cmq/m	daN/cm ²	daN/cm ²				
2	31.42	31.42	-7	567	10	11	Si	6.4
13	31.42	31.42	-3	1253	10	11	Si	2.9

Combinazione QP: σ_{ca} [daN/cm²]=168 σ_{fa} [daN/cm²]=3600

P.	Afx	Afy	σ_c	σ_f	Cbc	Cbf	Ver	Cs
	cmq/m	cmq/m	daN/cm ²	daN/cm ²				
2	31.42	31.42	-6	54	13	13	Si	26
3	31.42	31.42	-6	54	13	13	Si	26

Verifica aperture fessure:Wamm Freq[mm]=0.300 Wamm Qp[mm]=0.200

P.	Nx	Ny	Nxy	Mx	My	Mxy	σ_{fmed}	Wd	Wk	Cb	Ver	Cs
	daN/cm ²	daN/cm ²	daN/cm ²	kg	kg	kg	daN/cm ²	mm	mm			
3	-1.98	-0.38	-0.13	2629	417	51	54	0.004	0.004	13 (Qp)	Si	45
3	-2.00	-0.38	-0.13	2680	424	51	57	0.005	0.005	12 (Fr)	Si	63

Muro [Platea]: 17 - Nodi: [223-210-212-218]Pann=16Spess.=60 cm, Terreno=Terreno1, ,Criterio=CLS_Platee_ND, Materiale=C35/45

Armatura a maglia doppia, Stampa elementi piu' gravosi

Combinazione Rara: σ_{ca} [daN/cm²]=224 σ_{fa} [daN/cm²]=3600

P.	Afx	Afy	σ_c	σ_f	Cbc	Cbf	Ver	Cs
	cmq/m	cmq/m	daN/cm ²	daN/cm ²				
15	31.42	31.42	-6	452	10	11	Si	8.0
1	31.42	31.42	-3	1256	10	11	Si	2.9

Combinazione QP: σ_{ca} [daN/cm²]=168 σ_{fa} [daN/cm²]=3600

P.	Afx	Afy	σ_c	σ_f	Cbc	Cbf	Ver	Cs
	cmq/m	cmq/m	daN/cm ²	daN/cm ²				
15	31.42	31.42	-6	32	13	13	Si	28

Verifica aperture fessure:Wamm Freq[mm]=0.300 Wamm Qp[mm]=0.200

P.	Nx	Ny	Nxy	Mx	My	Mxy	σ_{fmed}	Wd	Wk	Cb	Ver	Cs
	daN/cm ²	daN/cm ²	daN/cm ²	kg	kg	kg	daN/cm ²	mm	mm			
15	-2.18	-0.40	0.18	2457	369	-41	32	0.002	0.002	13 (Qp)	Si	89
15	-2.19	-0.40	0.18	2500	374	-40	33	0.002	0.002	12 (Fr)	Si	>100

Muro [Platea]: 18 - Nodi: [210-264-273-212]Pann=8Spess.=60 cm, Terreno=Terreno1, ,Criterio=CLS_Platee_ND,
Materiale=C35/45

Armatura a maglia doppia, Stampa elementi piu' gravosi

Combinazione Rara: σ_{ca} [daN/cm²]=224 σ_{fa} [daN/cm²]=3600

P.	Afx	Afy	σ_c	σ_f	Cbc	Cbf	Ver	Cs
	cmq/m	cmq/m	daN/cm ²	daN/cm ²				
4	31.42	31.42	-5	-0	10	11	Si	46
6	31.42	31.42	-2	41	11	11	Si	87

Combinazione QP: σ_{ca} [daN/cm²]=168 σ_{fa} [daN/cm²]=3600

P.	Afx	Afy	σ_c	σ_f	Cbc	Cbf	Ver	Cs
	cmq/m	cmq/m	daN/cm ²	daN/cm ²				
4	31.42	31.42	-5	-0	13	13	Si	32
1	31.42	31.42	-5	-2	13	13	Si	33

Verifica aperture fessure:Wamm Freq[mm]=0.300 Wamm Qp[mm]=0.200

P.	Nx	Ny	Nxy	Mx	My	Mxy	σ_{fmed}	Wd	Wk	Cb	Ver	Cs
	daN/cm ²	daN/cm ²	daN/cm ²	kg	kg	kg	daN/cm ²	mm	mm			
1	-2.90	-0.41	0.09	1726	194	-73	0	0.000	0.000	13 (Qp)	Si	>100
1	-2.94	-0.41	0.09	1749	194	-74	0	0.000	0.000	12 (Fr)	Si	>100

Muro [Platea]: 19 - Nodi: [264-270-271-273]Pann=24Spess.=60 cm, Terreno=Terreno1, ,Criterio=CLS_Platee_ND,
Materiale=C35/45

Armatura a maglia doppia, Stampa elementi piu' gravosi

Combinazione Rara: σ_{ca} [daN/cm²]=224 σ_{fa} [daN/cm²]=3600

P.	Afx	Afy	σ_c	σ_f	Cbc	Cbf	Ver	Cs
	cmq/m	cmq/m	daN/cm ²	daN/cm ²				
15	31.42	31.42	-2	-1	11	11	Si	90
12	31.42	31.42	-2	1	11	11	Si	94

Combinazione QP: σ_{ca} [daN/cm²]=168 σ_{fa} [daN/cm²]=3600

P.	Afx	Afy	σ_c	σ_f	Cbc	Cbf	Ver	Cs
	cmq/m	cmq/m	daN/cm ²	daN/cm ²				
3	31.42	31.42	-5	1	13	13	Si	32
12	31.42	31.42	-4	3	13	13	Si	41

Verifica aperture fessure:Wamm Freq[mm]=0.300 Wamm Qp[mm]=0.200

P.	Nx	Ny	Nxy	Mx	My	Mxy	σ_{fmed}	Wd	Wk	Cb	Ver	Cs
	daN/cm ²	daN/cm ²	daN/cm ²	kg	kg	kg	daN/cm ²	mm	mm			
12	-2.27	-0.53	-0.19	1423	512	-206	3	0.000	0.000	13 (Qp)	Si	>100
12	-2.32	-0.54	-0.20	1449	520	-208	4	0.000	0.000	12 (Fr)	Si	>100

Muro [Platea]: 20 - Nodi: [270-257-241-271]Pann=16Spess.=60 cm, Terreno=Terreno1, ,Criterio=CLS_Platee_ND,
Materiale=C35/45

Armatura a maglia doppia, Stampa elementi piu' gravosi

Combinazione Rara: σ_{ca} [daN/cm²]=224 σ_{fa} [daN/cm²]=3600

P.	Afx	Afy	σ_c	σ_f	Cbc	Cbf	Ver	Cs
	cmq/m	cmq/m	daN/cm ²	daN/cm ²				
2	31.42	31.42	-2	0	11	10	Si	96
3	31.42	31.42	-2	1	11	10	Si	96

Combinazione QP: σ_{ca} [daN/cm²]=168 σ_{fa} [daN/cm²]=3600

P.	Afx	Afy	σ_c	σ_f	Cbc	Cbf	Ver	Cs
	cmq/m	cmq/m	daN/cm ²	daN/cm ²				
3	31.42	31.42	-3	1	13	13	Si	63
8	31.42	31.42	-2	5	13	13	Si	76

Verifica aperture fessure:Wamm Freq[mm]=0.300 Wamm Qp[mm]=0.200

P.	Nx	Ny	Nxy	Mx	My	Mxy	σ_{fmed}	Wd	Wk	Cb	Ver	Cs
	daN/cm ²	daN/cm ²	daN/cm ²	kg	kg	kg	daN/cm ²	mm	mm			
8	-1.23	-0.48	-0.09	756	491	-74	5	0.000	0.000	13 (Qp)	Si	>100
8	-1.26	-0.49	-0.09	772	499	-75	5	0.000	0.000	12 (Fr)	Si	>100

Muro [Platea]: 21 - Nodi: [257-255-242-241]Pann=16Spess.=60 cm, Terreno=Terreno1, ,Criterio=CLS_Platee_ND,
Materiale=C35/45

Armatura a maglia doppia, Stampa elementi piu' gravosi

Combinazione Rara: σ_{ca} [daN/cm²]=224 σ_{fa} [daN/cm²]=3600

P.	Afx	Afy	σ_c	σ_f	Cbc	Cbf	Ver	Cs
	cmq/m	cmq/m	daN/cm ²	daN/cm ²				
14	31.42	31.42	-2	1	11	10	Si	96

P.	Afx	Afy	σ_c	σ_f	Cbc	Cbf	Ver	Cs
15	31.42	31.42	-2	1	11	10	Si	97

Combinazione QP: σ_{ca} [daN/cm²]=168 σ_{fa} [daN/cm²]=3600

P.	Afx	Afy	σ_c	σ_f	Cbc	Cbf	Ver	Cs
	cmq/m	cmq/m	daN/cm ²	daN/cm ²				
15	31.42	31.42	-3	1	13	13	Si	61
12	31.42	31.42	-2	4	13	13	Si	73

Verifica aperture fessure:Wamm Freq[mm]=0.300 Wamm Qp[mm]=0.200

P.	Nx	Ny	Nxy	Mx	My	Mxy	σ_{fmed}	Wd	Wk	Cb	Ver	Cs
	daN/cm ²	daN/cm ²	daN/cm ²	kg	kg	kg	daN/cm ²	mm	mm			
12	-1.28	-0.46	0.07	792	466	75	4	0.000	0.000	13 (Qp)	Si	>100
12	-1.30	-0.47	0.07	809	473	76	4	0.000	0.000	12 (Fr)	Si	>100

Muro [Platea]: 22 - Nodi: [255-254-246-242]Pann=16Spess.=60 cm, Terreno=Terreno1, ,Criterio=CLS_Platee_ND, Materiale=C35/45

Armatura a maglia doppia, Stampa elementi piu' gravosi

Combinazione Rara: σ_{ca} [daN/cm²]=224 σ_{fa} [daN/cm²]=3600

P.	Afx	Afy	σ_c	σ_f	Cbc	Cbf	Ver	Cs
	cmq/m	cmq/m	daN/cm ²	daN/cm ²				
7	31.42	31.42	-2	-1	11	11	Si	92
15	31.42	31.42	-2	2	11	10	Si	>100

Combinazione QP: σ_{ca} [daN/cm²]=168 σ_{fa} [daN/cm²]=3600

P.	Afx	Afy	σ_c	σ_f	Cbc	Cbf	Ver	Cs
	cmq/m	cmq/m	daN/cm ²	daN/cm ²				
15	31.42	31.42	-5	3	13	13	Si	37
12	31.42	31.42	-4	3	13	13	Si	44

Verifica aperture fessure:Wamm Freq[mm]=0.300 Wamm Qp[mm]=0.200

P.	Nx	Ny	Nxy	Mx	My	Mxy	σ_{fmed}	Wd	Wk	Cb	Ver	Cs
	daN/cm ²	daN/cm ²	daN/cm ²	kg	kg	kg	daN/cm ²	mm	mm			
12	-2.09	-0.49	0.16	1323	473	154	3	0.000	0.000	13 (Qp)	Si	>100
12	-2.13	-0.50	0.17	1348	480	155	3	0.000	0.000	12 (Fr)	Si	>100

Muro [Platea]: 23 - Nodi: [254-245-248-246]Pann=16Spess.=60 cm, Terreno=Terreno1, ,Criterio=CLS_Platee_ND, Materiale=C35/45

Armatura a maglia doppia, Stampa elementi piu' gravosi

Combinazione Rara: σ_{ca} [daN/cm²]=224 σ_{fa} [daN/cm²]=3600

P.	Afx	Afy	σ_c	σ_f	Cbc	Cbf	Ver	Cs
	cmq/m	cmq/m	daN/cm ²	daN/cm ²				
16	31.42	31.42	-5	4	10	11	Si	47
3	31.42	31.42	-3	22	11	11	Si	80

Combinazione QP: σ_{ca} [daN/cm²]=168 σ_{fa} [daN/cm²]=3600

P.	Afx	Afy	σ_c	σ_f	Cbc	Cbf	Ver	Cs
	cmq/m	cmq/m	daN/cm ²	daN/cm ²				
11	31.42	31.42	-5	-1	13	13	Si	32
8	31.42	31.42	-5	2	13	13	Si	33

Verifica aperture fessure:Wamm Freq[mm]=0.300 Wamm Qp[mm]=0.200

P.	Nx	Ny	Nxy	Mx	My	Mxy	σ_{fmed}	Wd	Wk	Cb	Ver	Cs
	daN/cm ²	daN/cm ²	daN/cm ²	kg	kg	kg	daN/cm ²	mm	mm			
8	-2.78	-0.51	0.05	1716	437	74	2	0.000	0.000	13 (Qp)	Si	>100
8	-2.83	-0.51	0.05	1746	442	72	2	0.000	0.000	12 (Fr)	Si	>100

Muro [Platea]: 24 - Nodi: [245-256-238-248]Pann=16Spess.=60 cm, Terreno=Terreno1, ,Criterio=CLS_Platee_ND, Materiale=C35/45

Armatura a maglia doppia, Stampa elementi piu' gravosi

Combinazione Rara: σ_{ca} [daN/cm²]=224 σ_{fa} [daN/cm²]=3600

P.	Afx	Afy	σ_c	σ_f	Cbc	Cbf	Ver	Cs
	cmq/m	cmq/m	daN/cm ²	daN/cm ²				
3	31.42	31.42	-6	452	10	11	Si	8.0
13	31.42	31.42	-2	1255	10	11	Si	2.9

Combinazione QP: σ_{ca} [daN/cm²]=168 σ_{fa} [daN/cm²]=3600

P.	Afx	Afy	σ_c	σ_f	Cbc	Cbf	Ver	Cs
	cmq/m	cmq/m	daN/cm ²	daN/cm ²				
3	31.42	31.42	-6	31	13	13	Si	28

Verifica aperture fessure:Wamm Freq[mm]=0.300 Wamm Qp[mm]=0.200

P.	Nx	Ny	Nxy	Mx	My	Mxy	σ_{fmed}	Wd	Wk	Cb	Ver	Cs
	daN/cm ²	daN/cm ²	daN/cm ²	kg	kg	kg	daN/cm ²	mm	mm			
3	-2.19	-0.40	-0.11	2457	368	-4	31	0.002	0.002	13 (Qp)	Si	92
3	-2.21	-0.40	-0.11	2500	373	-5	32	0.002	0.002	12 (Fr)	Si	>100

Muro [Platea]: 25 - Nodi: [218-212-215-216]Pann=16Spess.=60 cm, Terreno=Terreno1, ,Criterio=CLS_Platee_ND, Materiale=C35/45

Armatura a maglia doppia, Stampa elementi piu' gravosi

Combinazione Rara: σ_{ca} [daN/cm²]=224 σ_{fa} [daN/cm²]=3600

P.	Afx	Afy	σ_c	σ_f	Cbc	Cbf	Ver	Cs
	cmq/m	cmq/m	daN/cm ²	daN/cm ²				
15	31.42	31.42	-7	554	10	11	Si	6.5
1	31.42	31.42	-1	1216	11	11	Si	3.0

Combinazione QP: σ_{ca} [daN/cm²]=168 σ_{fa} [daN/cm²]=3600

P.	Afx	Afy	σ_c	σ_f	Cbc	Cbf	Ver	Cs
	cmq/m	cmq/m	daN/cm ²	daN/cm ²				
15	31.42	31.42	-7	78	13	13	Si	24

Verifica aperture fessure:Wamm Freq[mm]=0.300 Wamm Qp[mm]=0.200

P.	Nx	Ny	Nxy	Mx	My	Mxy	σ_{fmed}	Wd	Wk	Cb	Ver	Cs
	daN/cm ²	daN/cm ²	daN/cm ²	kg	kg	kg	daN/cm ²	mm	mm			
15	-1.88	-0.69	0.07	2818	653	59	78	0.007	0.007	13 (Qp)	Si	28
15	-1.89	-0.70	0.07	2869	663	62	81	0.007	0.007	12 (Fr)	Si	40

Muro [Platea]: 26 - Nodi: [212-273-267-215]Pann=8Spess.=60 cm, Terreno=Terreno1, ,Criterio=CLS_Platee_ND, Materiale=C35/45

Armatura a maglia doppia, Stampa elementi piu' gravosi

Combinazione Rara: σ_{ca} [daN/cm²]=224 σ_{fa} [daN/cm²]=3600

P.	Afx	Afy	σ_c	σ_f	Cbc	Cbf	Ver	Cs
	cmq/m	cmq/m	daN/cm ²	daN/cm ²				
8	31.42	31.42	-5	11	10	11	Si	44
6	31.42	31.42	-2	50	11	11	Si	72

Combinazione QP: σ_{ca} [daN/cm²]=168 σ_{fa} [daN/cm²]=3600

P.	Afx	Afy	σ_c	σ_f	Cbc	Cbf	Ver	Cs
	cmq/m	cmq/m	daN/cm ²	daN/cm ²				
8	31.42	31.42	-5	-1	13	13	Si	32
1	31.42	31.42	-5	-4	13	13	Si	33

Verifica aperture fessure:Wamm Freq[mm]=0.300 Wamm Qp[mm]=0.200

P.	Nx	Ny	Nxy	Mx	My	Mxy	σ_{fmed}	Wd	Wk	Cb	Ver	Cs
	daN/cm ²	daN/cm ²	daN/cm ²	kg	kg	kg	daN/cm ²	mm	mm			
1	-2.91	-0.61	-0.07	1706	261	-2	0	0.000	0.000	13 (Qp)	Si	>100
1	-2.96	-0.61	-0.08	1728	263	-1	0	0.000	0.000	12 (Fr)	Si	>100

Muro [Platea]: 27 - Nodi: [273-271-258-267]Pann=24Spess.=60 cm, Terreno=Terreno1, ,Criterio=CLS_Platee_ND, Materiale=C35/45

Armatura a maglia doppia, Stampa elementi piu' gravosi

Combinazione Rara: σ_{ca} [daN/cm²]=224 σ_{fa} [daN/cm²]=3600

P.	Afx	Afy	σ_c	σ_f	Cbc	Cbf	Ver	Cs
	cmq/m	cmq/m	daN/cm ²	daN/cm ²				
3	31.42	31.42	-5	0	10	10	Si	45
12	31.42	31.42	-4	1	10	11	Si	53

Combinazione QP: σ_{ca} [daN/cm²]=168 σ_{fa} [daN/cm²]=3600

P.	Afx	Afy	σ_c	σ_f	Cbc	Cbf	Ver	Cs
	cmq/m	cmq/m	daN/cm ²	daN/cm ²				
2	31.42	31.42	-5	3	13	13	Si	32
16	31.42	31.42	-4	11	13	13	Si	45

Verifica aperture fessure:Wamm Freq[mm]=0.300 Wamm Qp[mm]=0.200

P.	Nx	Ny	Nxy	Mx	My	Mxy	σ_{fmed}	Wd	Wk	Cb	Ver	Cs
	daN/cm ²	daN/cm ²	daN/cm ²	kg	kg	kg	daN/cm ²	mm	mm			
16	-2.09	-1.09	-0.28	1287	1125	-97	11	0.001	0.001	13 (Qp)	Si	>100
16	-2.12	-1.11	-0.29	1310	1141	-96	11	0.001	0.001	12 (Fr)	Si	>100

Muro [Platea]: 28 - Nodi: [271-241-240-258]Pann=16Spess.=60 cm, Terreno=Terreno1, ,Criterio=CLS_Platee_ND, Materiale=C35/45

Armatura a maglia doppia, Stampa elementi piu' gravosi

Combinazione Rara: $\sigma_{ca}[\text{daN/cm}^2]=224$ $\sigma_{fa}[\text{daN/cm}^2]=3600$

P.	Afx	Afy	σ_c	σ_f	Cbc	Cbf	Ver	Cs
	cmq/m	cmq/m	daN/cm ²	daN/cm ²				
4	31.42	31.42	-3	1	10	10	Si	79

Combinazione QP: $\sigma_{ca}[\text{daN/cm}^2]=168$ $\sigma_{fa}[\text{daN/cm}^2]=3600$

P.	Afx	Afy	σ_c	σ_f	Cbc	Cbf	Ver	Cs
	cmq/m	cmq/m	daN/cm ²	daN/cm ²				
3	31.42	31.42	-3	2	13	13	Si	59
8	31.42	31.42	-3	11	13	13	Si	60

Verifica aperture fessure:Wamm Freq[mm]=0.300 Wamm Qp[mm]=0.200

P.	Nx	Ny	Nxy	Mx	My	Mxy	σ_{fmed}	Wd	Wk	Cb	Ver	Cs
	daN/cm ²	daN/cm ²	daN/cm ²	kg	kg	kg	daN/cm ²	mm	mm			
8	-1.32	-1.09	-0.14	853	1142	-21	11	0.001	0.001	13 (Qp)	Si	>100
8	-1.35	-1.11	-0.15	870	1158	-21	11	0.001	0.001	12 (Fr)	Si	>100

Muro [Platea]: 29 - Nodi: [241-242-243-240]Pann=16Spess.=60 cm, Terreno=Terreno1, ,Criterio=CLS_Platee_ND, Materiale=C35/45

Armatura a maglia doppia, Stampa elementi piu' gravosi

Combinazione Rara: $\sigma_{ca}[\text{daN/cm}^2]=224$ $\sigma_{fa}[\text{daN/cm}^2]=3600$

P.	Afx	Afy	σ_c	σ_f	Cbc	Cbf	Ver	Cs
	cmq/m	cmq/m	daN/cm ²	daN/cm ²				
16	31.42	31.42	-3	1	10	10	Si	79
15	31.42	31.42	-2	1	11	10	Si	>100

Combinazione QP: $\sigma_{ca}[\text{daN/cm}^2]=168$ $\sigma_{fa}[\text{daN/cm}^2]=3600$

P.	Afx	Afy	σ_c	σ_f	Cbc	Cbf	Ver	Cs
	cmq/m	cmq/m	daN/cm ²	daN/cm ²				
15	31.42	31.42	-3	2	13	13	Si	58
12	31.42	31.42	-3	9	13	13	Si	62

Verifica aperture fessure:Wamm Freq[mm]=0.300 Wamm Qp[mm]=0.200

P.	Nx	Ny	Nxy	Mx	My	Mxy	σ_{fmed}	Wd	Wk	Cb	Ver	Cs
	daN/cm ²	daN/cm ²	daN/cm ²	kg	kg	kg	daN/cm ²	mm	mm			
12	-1.35	-1.10	0.14	872	1089	16	9	0.001	0.001	13 (Qp)	Si	>100
12	-1.38	-1.11	0.14	889	1105	16	9	0.001	0.001	12 (Fr)	Si	>100

Muro [Platea]: 30 - Nodi: [242-246-234-243]Pann=16Spess.=60 cm, Terreno=Terreno1, ,Criterio=CLS_Platee_ND, Materiale=C35/45

Armatura a maglia doppia, Stampa elementi piu' gravosi

Combinazione Rara: $\sigma_{ca}[\text{daN/cm}^2]=224$ $\sigma_{fa}[\text{daN/cm}^2]=3600$

P.	Afx	Afy	σ_c	σ_f	Cbc	Cbf	Ver	Cs
	cmq/m	cmq/m	daN/cm ²	daN/cm ²				
16	31.42	31.42	-4	-1	10	11	Si	51
15	31.42	31.42	-2	3	11	10	Si	>100

Combinazione QP: $\sigma_{ca}[\text{daN/cm}^2]=168$ $\sigma_{fa}[\text{daN/cm}^2]=3600$

P.	Afx	Afy	σ_c	σ_f	Cbc	Cbf	Ver	Cs
	cmq/m	cmq/m	daN/cm ²	daN/cm ²				
14	31.42	31.42	-5	5	13	13	Si	36
12	31.42	31.42	-4	7	13	13	Si	43

Verifica aperture fessure:Wamm Freq[mm]=0.300 Wamm Qp[mm]=0.200

P.	Nx	Ny	Nxy	Mx	My	Mxy	σ_{fmed}	Wd	Wk	Cb	Ver	Cs
	daN/cm ²	daN/cm ²	daN/cm ²	kg	kg	kg	daN/cm ²	mm	mm			
12	-2.09	-1.06	0.29	1371	1020	22	7	0.000	0.000	13 (Qp)	Si	>100
12	-2.13	-1.08	0.30	1396	1034	21	7	0.000	0.000	12 (Fr)	Si	>100

Muro [Platea]: 31 - Nodi: [246-248-250-234]Pann=16Spess.=60 cm, Terreno=Terreno1, ,Criterio=CLS_Platee_ND, Materiale=C35/45

Armatura a maglia doppia, Stampa elementi piu' gravosi

Combinazione Rara: $\sigma_{ca}[\text{daN/cm}^2]=224$ $\sigma_{fa}[\text{daN/cm}^2]=3600$

P.	Afx	Afy	σ_c	σ_f	Cbc	Cbf	Ver	Cs
	cmq/m	cmq/m	daN/cm ²	daN/cm ²				
12	31.42	31.42	-5	2	10	11	Si	45
3	31.42	31.42	-3	43	11	11	Si	71

Combinazione QP: $\sigma_{ca}[\text{daN/cm}^2]=168$ $\sigma_{fa}[\text{daN/cm}^2]=3600$

P.	Afx	Afy	σ_c	σ_f	Cbc	Cbf	Ver	Cs
	cmq/m	cmq/m	daN/cm ²	daN/cm ²				

P.	Afx	Afy	σ_c	σ_f	Cbc	Cbf	Ver	Cs
12	31.42	31.42	-5	3	13	13	Si	32
8	31.42	31.42	-5	4	13	13	Si	33

Verifica aperture fessure:Wamm Freq[mm]=0.300 Wamm Qp[mm]=0.200

P.	Nx	Ny	Nxy	Mx	My	Mxy	σ_{fmed}	Wd	Wk	Cb	Ver	Cs
	daN/cm ²	daN/cm ²	daN/cm ²	kg	kg	kg	daN/cm ²	mm	mm			
8	-2.75	-0.97	0.21	1735	855	-82	4	0.000	0.000	13 (Qp)	Si	>100
8	-2.79	-0.98	0.21	1764	866	-87	4	0.000	0.000	12 (Fr)	Si	>100

Muro [Platea]: 32 - Nodi: [248-238-236-250]Pann=16Spess.=60 cm, Terreno=Terreno1, ,Criterio=CLS_Platee_ND, Materiale=C35/45

Armatura a maglia doppia, Stampa elementi piu' gravosi

Combinazione Rara: σ_{ca} [daN/cm²]=224 σ_{fa} [daN/cm²]=3600

P.	Afx	Afy	σ_c	σ_f	Cbc	Cbf	Ver	Cs
	cmq/m	cmq/m	daN/cm ²	daN/cm ²				
3	31.42	31.42	-7	558	10	11	Si	6.5
13	31.42	31.42	-1	1216	11	11	Si	3.0

Combinazione QP: σ_{ca} [daN/cm²]=168 σ_{fa} [daN/cm²]=3600

P.	Afx	Afy	σ_c	σ_f	Cbc	Cbf	Ver	Cs
	cmq/m	cmq/m	daN/cm ²	daN/cm ²				
3	31.42	31.42	-7	79	13	13	Si	24

Verifica aperture fessure:Wamm Freq[mm]=0.300 Wamm Qp[mm]=0.200

P.	Nx	Ny	Nxy	Mx	My	Mxy	σ_{fmed}	Wd	Wk	Cb	Ver	Cs
	daN/cm ²	daN/cm ²	daN/cm ²	kg	kg	kg	daN/cm ²	mm	mm			
3	-1.85	-0.69	-0.00	2809	657	-97	79	0.007	0.007	13 (Qp)	Si	28
3	-1.86	-0.70	-0.00	2860	667	-101	83	0.008	0.008	12 (Fr)	Si	39

Muro [Platea]: 33 - Nodi: [216-215-211-217]Pann=16Spess.=60 cm, Terreno=Terreno1, ,Criterio=CLS_Platee_ND, Materiale=C35/45

Armatura a maglia doppia, Stampa elementi piu' gravosi

Combinazione Rara: σ_{ca} [daN/cm²]=224 σ_{fa} [daN/cm²]=3600

P.	Afx	Afy	σ_c	σ_f	Cbc	Cbf	Ver	Cs
	cmq/m	cmq/m	daN/cm ²	daN/cm ²				
2	31.42	31.42	-9	1034	11	11	Si	3.5
1	31.42	31.42	-1	1090	11	11	Si	3.3

Combinazione QP: σ_{ca} [daN/cm²]=168 σ_{fa} [daN/cm²]=3600

P.	Afx	Afy	σ_c	σ_f	Cbc	Cbf	Ver	Cs
	cmq/m	cmq/m	daN/cm ²	daN/cm ²				
14	31.42	31.42	-9	203	13	13	Si	18
15	31.42	31.42	-9	227	13	13	Si	16

Verifica aperture fessure:Wamm Freq[mm]=0.300 Wamm Qp[mm]=0.200

P.	Nx	Ny	Nxy	Mx	My	Mxy	σ_{fmed}	Wd	Wk	Cb	Ver	Cs
	daN/cm ²	daN/cm ²	daN/cm ²	kg	kg	kg	daN/cm ²	mm	mm			
15	-1.09	-1.52	-0.87	3298	1338	748	227	0.024	0.024	13 (Qp)	Si	8.4
15	-1.10	-1.54	-0.89	3354	1358	762	233	0.024	0.024	12 (Fr)	Si	12

Muro [Platea]: 34 - Nodi: [217-211-209-221]Pann=16Spess.=60 cm, Terreno=Terreno1, ,Criterio=CLS_Platee_ND, Materiale=C35/45

Armatura a maglia doppia, Stampa elementi piu' gravosi

Combinazione Rara: σ_{ca} [daN/cm²]=224 σ_{fa} [daN/cm²]=3600

P.	Afx	Afy	σ_c	σ_f	Cbc	Cbf	Ver	Cs
	cmq/m	cmq/m	daN/cm ²	daN/cm ²				
14	31.42	31.42	-4	142	10	11	Si	25
16	31.42	31.42	-2	610	10	11	Si	5.9

Combinazione QP: σ_{ca} [daN/cm²]=168 σ_{fa} [daN/cm²]=3600

P.	Afx	Afy	σ_c	σ_f	Cbc	Cbf	Ver	Cs
	cmq/m	cmq/m	daN/cm ²	daN/cm ²				
14	31.42	31.42	-4	77	13	13	Si	39
1	31.42	31.42	-3	140	13	13	Si	26

Verifica aperture fessure:Wamm Freq[mm]=0.300 Wamm Qp[mm]=0.200

P.	Nx	Ny	Nxy	Mx	My	Mxy	σ_{fmed}	Wd	Wk	Cb	Ver	Cs
	daN/cm ²	daN/cm ²	daN/cm ²	kg	kg	kg	daN/cm ²	mm	mm			
1	-0.09	-1.14	-1.70	-1245	-15	651	140	0.015	0.015	13 (Qp)	Si	14
1	-0.07	-1.15	-1.73	-1274	-17	660	146	0.015	0.015	12 (Fr)	Si	20

Muro [Platea]: 35 - Nodi: [215-267-275-211]Pann=8Spess.=60 cm, Terreno=Terreno1, ,Criterio=CLS_Platee_ND,
Materiale=C35/45

Armatura a maglia doppia, Stampa elementi piu' gravosi

Combinazione Rara: σ_{ca} [daN/cm²]=224 σ_{fa} [daN/cm²]=3600

P.	Afx	Afy	σ_c	σ_f	Cbc	Cbf	Ver	Cs
	cmq/m	cmq/m	daN/cm ²	daN/cm ²				
5	31.42	31.42	-5	16	10	11	Si	45
6	31.42	31.42	-5	46	10	11	Si	48

Combinazione QP: σ_{ca} [daN/cm²]=168 σ_{fa} [daN/cm²]=3600

P.	Afx	Afy	σ_c	σ_f	Cbc	Cbf	Ver	Cs
	cmq/m	cmq/m	daN/cm ²	daN/cm ²				
5	31.42	31.42	-5	-6	13	13	Si	33
1	31.42	31.42	-5	-6	13	13	Si	34

Verifica aperture fessure:Wamm Freq[mm]=0.300 Wamm Qp[mm]=0.200

P.	Nx	Ny	Nxy	Mx	My	Mxy	σ_{fmed}	Wd	Wk	Cb	Ver	Cs
	daN/cm ²	daN/cm ²	daN/cm ²	kg	kg	kg	daN/cm ²	mm	mm			
1	-2.91	-1.15	-0.53	1611	559	235	0	0.000	0.000	13 (Qp)	Si	>100
1	-2.96	-1.16	-0.54	1631	565	242	0	0.000	0.000	12 (Fr)	Si	>100

Muro [Platea]: 36 - Nodi: [211-275-266-209]Pann=15Spess.=60 cm, Terreno=Terreno1, ,Criterio=CLS_Platee_ND,
Materiale=C35/45

Armatura a maglia doppia, Stampa elementi piu' gravosi

Combinazione Rara: σ_{ca} [daN/cm²]=224 σ_{fa} [daN/cm²]=3600

P.	Afx	Afy	σ_c	σ_f	Cbc	Cbf	Ver	Cs
	cmq/m	cmq/m	daN/cm ²	daN/cm ²				
5	31.42	31.42	-5	1059	10	11	Si	3.4
4	31.42	31.42	-3	1187	10	11	Si	3.0

Combinazione QP: σ_{ca} [daN/cm²]=168 σ_{fa} [daN/cm²]=3600

P.	Afx	Afy	σ_c	σ_f	Cbc	Cbf	Ver	Cs
	cmq/m	cmq/m	daN/cm ²	daN/cm ²				
11	31.42	31.42	-5	3	13	13	Si	35
4	31.42	31.42	-3	94	13	13	Si	38

Verifica aperture fessure:Wamm Freq[mm]=0.300 Wamm Qp[mm]=0.200

P.	Nx	Ny	Nxy	Mx	My	Mxy	σ_{fmed}	Wd	Wk	Cb	Ver	Cs
	daN/cm ²	daN/cm ²	daN/cm ²	kg	kg	kg	daN/cm ²	mm	mm			
4	-1.20	-0.24	-1.37	-198	-1089	41	94	0.010	0.010	13 (Qp)	Si	20
4	-1.21	-0.23	-1.39	-202	-1114	41	99	0.010	0.010	12 (Fr)	Si	29

Muro [Platea]: 37 - Nodi: [267-258-263-275]Pann=42Spess.=60 cm, Terreno=Terreno1, ,Criterio=CLS_Platee_ND,
Materiale=C35/45

Armatura a maglia doppia, Stampa elementi piu' gravosi

Combinazione Rara: σ_{ca} [daN/cm²]=224 σ_{fa} [daN/cm²]=3600

P.	Afx	Afy	σ_c	σ_f	Cbc	Cbf	Ver	Cs
	cmq/m	cmq/m	daN/cm ²	daN/cm ²				
6	31.42	31.42	-5	39	10	11	Si	45
7	31.42	31.42	-5	40	10	11	Si	48

Combinazione QP: σ_{ca} [daN/cm²]=168 σ_{fa} [daN/cm²]=3600

P.	Afx	Afy	σ_c	σ_f	Cbc	Cbf	Ver	Cs
	cmq/m	cmq/m	daN/cm ²	daN/cm ²				
6	31.42	31.42	-6	-6	13	13	Si	30
11	31.42	31.42	-5	0	13	13	Si	35

Verifica aperture fessure:Wamm Freq[mm]=0.300 Wamm Qp[mm]=0.200

P.	Nx	Ny	Nxy	Mx	My	Mxy	σ_{fmed}	Wd	Wk	Cb	Ver	Cs
	daN/cm ²	daN/cm ²	daN/cm ²	kg	kg	kg	daN/cm ²	mm	mm			
11	-2.37	-1.89	-0.64	1795	1178	157	0	0.000	0.000	13 (Qp)	Si	>100
11	-2.41	-1.92	-0.65	1821	1194	163	0	0.000	0.000	12 (Fr)	Si	>100

Muro [Platea]: 38 - Nodi: [275-263-262-266]Pann=24Spess.=60 cm, Terreno=Terreno1, ,Criterio=CLS_Platee_ND,
Materiale=C35/45

Armatura a maglia doppia, Stampa elementi piu' gravosi

Combinazione Rara: σ_{ca} [daN/cm²]=224 σ_{fa} [daN/cm²]=3600

P.	Afx	Afy	σ_c	σ_f	Cbc	Cbf	Ver	Cs
	cmq/m	cmq/m	daN/cm ²	daN/cm ²				

P.	Afx	Afy	σ_c	σ_f	Cbc	Cbf	Ver	Cs
18	31.42	31.42	-10	1573	11	11	Si	2.3
24	31.42	31.42	-1	1708	11	11	Si	2.1

Combinazione QP: σ_{ca} [daN/cm²]=168 σ_{fa} [daN/cm²]=3600

P.	Afx	Afy	σ_c	σ_f	Cbc	Cbf	Ver	Cs
	cmq/m	cmq/m	daN/cm ²	daN/cm ²				
13	31.42	31.42	-7	72	13	13	Si	23
7	31.42	31.42	-7	83	13	13	Si	23

Verifica aperture fessure:Wamm Freq[mm]=0.300 Wamm Qp[mm]=0.200

P.	Nx	Ny	Nxy	Mx	My	Mxy	σ_{fmed}	Wd	Wk	Cb	Ver	Cs
	daN/cm ²	daN/cm ²	daN/cm ²	kg	kg	kg	daN/cm ²	mm	mm			
7	-1.84	-1.90	-0.80	1397	2895	583	83	0.008	0.008	13 (Qp)	Si	26
7	-1.86	-1.91	-0.81	1419	2938	593	85	0.008	0.008	12 (Fr)	Si	38

Muro [Platea]: 39 - Nodi: [258-240-239-263]Pann=32Spess.=60 cm, Terreno=Terreno1, ,Criterio=CLS_Platee_ND, Materiale=C35/45

Armatura a maglia doppia, Stampa elementi piu' gravosi

Combinazione Rara: σ_{ca} [daN/cm²]=224 σ_{fa} [daN/cm²]=3600

P.	Afx	Afy	σ_c	σ_f	Cbc	Cbf	Ver	Cs
	cmq/m	cmq/m	daN/cm ²	daN/cm ²				
32	31.42	31.42	-5	65	10	11	Si	43
24	31.42	31.42	-3	92	11	11	Si	39

Combinazione QP: σ_{ca} [daN/cm²]=168 σ_{fa} [daN/cm²]=3600

P.	Afx	Afy	σ_c	σ_f	Cbc	Cbf	Ver	Cs
	cmq/m	cmq/m	daN/cm ²	daN/cm ²				
32	31.42	31.42	-6	-4	13	13	Si	28
4	31.42	31.42	-4	1	13	13	Si	40

Verifica aperture fessure:Wamm Freq[mm]=0.300 Wamm Qp[mm]=0.200

P.	Nx	Ny	Nxy	Mx	My	Mxy	σ_{fmed}	Wd	Wk	Cb	Ver	Cs
	daN/cm ²	daN/cm ²	daN/cm ²	kg	kg	kg	daN/cm ²	mm	mm			
4	-1.41	-2.30	-0.45	1098	1432	-104	1	0.000	0.000	13 (Qp)	Si	>100
4	-1.44	-2.33	-0.45	1117	1453	-104	1	0.000	0.000	12 (Fr)	Si	>100

Muro [Platea]: 40 - Nodi: [263-239-231-262]Pann=24Spess.=60 cm, Terreno=Terreno1, ,Criterio=CLS_Platee_ND, Materiale=C35/45

Armatura a maglia doppia, Stampa elementi piu' gravosi

Combinazione Rara: σ_{ca} [daN/cm²]=224 σ_{fa} [daN/cm²]=3600

P.	Afx	Afy	σ_c	σ_f	Cbc	Cbf	Ver	Cs
	cmq/m	cmq/m	daN/cm ²	daN/cm ²				
12	31.42	31.42	-8	1809	11	11	Si	2.0
24	31.42	31.42	-1	1874	11	11	Si	1.9

Combinazione QP: σ_{ca} [daN/cm²]=168 σ_{fa} [daN/cm²]=3600

P.	Afx	Afy	σ_c	σ_f	Cbc	Cbf	Ver	Cs
	cmq/m	cmq/m	daN/cm ²	daN/cm ²				
7	31.42	31.42	-7	29	13	13	Si	24

Verifica aperture fessure:Wamm Freq[mm]=0.300 Wamm Qp[mm]=0.200

P.	Nx	Ny	Nxy	Mx	My	Mxy	σ_{fmed}	Wd	Wk	Cb	Ver	Cs
	daN/cm ²	daN/cm ²	daN/cm ²	kg	kg	kg	daN/cm ²	mm	mm			
7	-1.12	-2.64	-0.10	834	2800	124	29	0.002	0.002	13 (Qp)	Si	>100
7	-1.14	-2.67	-0.10	848	2841	126	30	0.002	0.002	12 (Fr)	Si	>100

Muro [Platea]: 41 - Nodi: [240-243-251-239]Pann=32Spess.=60 cm, Terreno=Terreno1, ,Criterio=CLS_Platee_ND, Materiale=C35/45

Armatura a maglia doppia, Stampa elementi piu' gravosi

Combinazione Rara: σ_{ca} [daN/cm²]=224 σ_{fa} [daN/cm²]=3600

P.	Afx	Afy	σ_c	σ_f	Cbc	Cbf	Ver	Cs
	cmq/m	cmq/m	daN/cm ²	daN/cm ²				
8	31.42	31.42	-5	58	10	11	Si	43
16	31.42	31.42	-3	74	11	11	Si	48

Combinazione QP: σ_{ca} [daN/cm²]=168 σ_{fa} [daN/cm²]=3600

P.	Afx	Afy	σ_c	σ_f	Cbc	Cbf	Ver	Cs
	cmq/m	cmq/m	daN/cm ²	daN/cm ²				
8	31.42	31.42	-6	-4	13	13	Si	28
28	31.42	31.42	-4	0	13	13	Si	40

Verifica aperture fessure:Wamm Freq[mm]=0.300 Wamm Qp[mm]=0.200

P.	Nx	Ny	Nxy	Mx	My	Mxy	σ_{fmed}	Wd	Wk	Cb	Ver	Cs
	daN/cm ²	daN/cm ²	daN/cm ²	kg	kg	kg	daN/cm ²	mm	mm			
28	-1.40	-2.30	0.43	1061	1430	105	0	0.000	0.000	13 (Qp)	Si	>100
28	-1.42	-2.33	0.44	1080	1450	104	0	0.000	0.000	12 (Fr)	Si	>100

Muro [Platea]: 42 - Nodi: [239-251-247-231]Pann=24Spess.=60 cm, Terreno=Terreno1, ,Criterio=CLS_Platee_ND, Materiale=C35/45

Armatura a maglia doppia, Stampa elementi piu' gravosi

Combinazione Rara: σ_{ca} [daN/cm²]=224 σ_{fa} [daN/cm²]=3600

P.	Afx	Afy	σ_c	σ_f	Cbc	Cbf	Ver	Cs
	cmq/m	cmq/m	daN/cm ²	daN/cm ²				
7	31.42	31.42	-6	601	10	11	Si	6.0
6	31.42	31.42	-1	1886	11	11	Si	1.9

Combinazione QP: σ_{ca} [daN/cm²]=168 σ_{fa} [daN/cm²]=3600

P.	Afx	Afy	σ_c	σ_f	Cbc	Cbf	Ver	Cs
	cmq/m	cmq/m	daN/cm ²	daN/cm ²				
7	31.42	31.42	-7	19	13	13	Si	25
13	31.42	31.42	-7	20	13	13	Si	25

Verifica aperture fessure:Wamm Freq[mm]=0.300 Wamm Qp[mm]=0.200

P.	Nx	Ny	Nxy	Mx	My	Mxy	σ_{fmed}	Wd	Wk	Cb	Ver	Cs
	daN/cm ²	daN/cm ²	daN/cm ²	kg	kg	kg	daN/cm ²	mm	mm			
13	-1.09	-2.74	0.19	778	2681	-172	20	0.001	0.001	13 (Qp)	Si	>100
13	-1.11	-2.77	0.19	791	2720	-175	21	0.001	0.001	12 (Fr)	Si	>100

Muro [Platea]: 43 - Nodi: [243-234-235-251]Pann=32Spess.=60 cm, Terreno=Terreno1, ,Criterio=CLS_Platee_ND, Materiale=C35/45

Armatura a maglia doppia, Stampa elementi piu' gravosi

Combinazione Rara: σ_{ca} [daN/cm²]=224 σ_{fa} [daN/cm²]=3600

P.	Afx	Afy	σ_c	σ_f	Cbc	Cbf	Ver	Cs
	cmq/m	cmq/m	daN/cm ²	daN/cm ²				
8	31.42	31.42	-5	37	10	11	Si	45
16	31.42	31.42	-5	51	10	11	Si	47

Combinazione QP: σ_{ca} [daN/cm²]=168 σ_{fa} [daN/cm²]=3600

P.	Afx	Afy	σ_c	σ_f	Cbc	Cbf	Ver	Cs
	cmq/m	cmq/m	daN/cm ²	daN/cm ²				
8	31.42	31.42	-6	-6	13	13	Si	30
27	31.42	31.42	-4	2	13	13	Si	39

Verifica aperture fessure:Wamm Freq[mm]=0.300 Wamm Qp[mm]=0.200

P.	Nx	Ny	Nxy	Mx	My	Mxy	σ_{fmed}	Wd	Wk	Cb	Ver	Cs
	daN/cm ²	daN/cm ²	daN/cm ²	kg	kg	kg	daN/cm ²	mm	mm			
27	-2.10	-1.89	0.57	1652	1165	-63	2	0.000	0.000	13 (Qp)	Si	>100
27	-2.13	-1.92	0.58	1678	1181	-67	2	0.000	0.000	12 (Fr)	Si	>100

Muro [Platea]: 44 - Nodi: [251-235-244-247]Pann=24Spess.=60 cm, Terreno=Terreno1, ,Criterio=CLS_Platee_ND, Materiale=C35/45

Armatura a maglia doppia, Stampa elementi piu' gravosi

Combinazione Rara: σ_{ca} [daN/cm²]=224 σ_{fa} [daN/cm²]=3600

P.	Afx	Afy	σ_c	σ_f	Cbc	Cbf	Ver	Cs
	cmq/m	cmq/m	daN/cm ²	daN/cm ²				
18	31.42	31.42	-7	1544	11	11	Si	2.3
6	31.42	31.42	-1	1734	11	11	Si	2.1

Combinazione QP: σ_{ca} [daN/cm²]=168 σ_{fa} [daN/cm²]=3600

P.	Afx	Afy	σ_c	σ_f	Cbc	Cbf	Ver	Cs
	cmq/m	cmq/m	daN/cm ²	daN/cm ²				
7	31.42	31.42	-7	33	13	13	Si	25
13	31.42	31.42	-7	37	13	13	Si	26

Verifica aperture fessure:Wamm Freq[mm]=0.300 Wamm Qp[mm]=0.200

P.	Nx	Ny	Nxy	Mx	My	Mxy	σ_{fmed}	Wd	Wk	Cb	Ver	Cs
	daN/cm ²	daN/cm ²	daN/cm ²	kg	kg	kg	daN/cm ²	mm	mm			
23	-0.55	-1.36	0.25	939	616	-1323	33	0.003	0.003	13 (Qp)	Si	62
23	-0.56	-1.37	0.26	953	615	-1345	34	0.003	0.003	12 (Fr)	Si	92

Muro [Platea]: 45 - Nodi: [234-250-252-235]Pann=32Spess.=60 cm, Terreno=Terreno1, ,Criterio=CLS_Platee_ND, Materiale=C35/45

Armatura a maglia doppia, Stampa elementi piu' gravosi

Combinazione Rara: $\sigma_{ca}[\text{daN/cm}^2]=224$ $\sigma_{fa}[\text{daN/cm}^2]=3600$

P.	Afx	Afy	σ_c	σ_f	Cbc	Cbf	Ver	Cs
	cmq/m	cmq/m	daN/cm ²	daN/cm ²				
17	31.42	31.42	-5	-3	10	11	Si	46
4	31.42	31.42	-4	56	10	11	Si	53

Combinazione QP: $\sigma_{ca}[\text{daN/cm}^2]=168$ $\sigma_{fa}[\text{daN/cm}^2]=3600$

P.	Afx	Afy	σ_c	σ_f	Cbc	Cbf	Ver	Cs
	cmq/m	cmq/m	daN/cm ²	daN/cm ²				
17	31.42	31.42	-5	-8	13	13	Si	33
1	31.42	31.42	-5	-8	13	13	Si	36

Verifica aperture fessure:Wamm Freq[mm]=0.300 Wamm Qp[mm]=0.200

P.	Nx	Ny	Nxy	Mx	My	Mxy	σ_{fmed}	Wd	Wk	Cb	Ver	Cs
	daN/cm ²	daN/cm ²	daN/cm ²	kg	kg	kg	daN/cm ²	mm	mm			
1	-2.62	-1.41	0.19	1530	646	-188	0	0.000	0.000	13 (Qp)	Si	>100
1	-2.66	-1.43	0.20	1557	655	-192	0	0.000	0.000	12 (Fr)	Si	>100

Muro [Platea]: 46 - Nodi: [235-252-228-244]Pann=24Spess.=60 cm, Terreno=Terreno1, ,Criterio=CLS_Platee_ND, Materiale=C35/45

Armatura a maglia doppia, Stampa elementi piu' gravosi

Combinazione Rara: $\sigma_{ca}[\text{daN/cm}^2]=224$ $\sigma_{fa}[\text{daN/cm}^2]=3600$

P.	Afx	Afy	σ_c	σ_f	Cbc	Cbf	Ver	Cs
	cmq/m	cmq/m	daN/cm ²	daN/cm ²				
12	31.42	31.42	-6	1176	11	11	Si	3.1
6	31.42	31.42	-4	1344	10	11	Si	2.7

Combinazione QP: $\sigma_{ca}[\text{daN/cm}^2]=168$ $\sigma_{fa}[\text{daN/cm}^2]=3600$

P.	Afx	Afy	σ_c	σ_f	Cbc	Cbf	Ver	Cs
	cmq/m	cmq/m	daN/cm ²	daN/cm ²				
7	31.42	31.42	-6	51	13	13	Si	28
23	31.42	31.42	-3	83	13	13	Si	43

Verifica aperture fessure:Wamm Freq[mm]=0.300 Wamm Qp[mm]=0.200

P.	Nx	Ny	Nxy	Mx	My	Mxy	σ_{fmed}	Wd	Wk	Cb	Ver	Cs
	daN/cm ²	daN/cm ²	daN/cm ²	kg	kg	kg	daN/cm ²	mm	mm			
23	-0.38	-0.86	1.17	1184	385	-1960	83	0.009	0.009	13 (Qp)	Si	23
23	-0.38	-0.86	1.18	1201	385	-1989	85	0.009	0.009	12 (Fr)	Si	34

Muro [Platea]: 47 - Nodi: [252-230-229-228]Pann=22Spess.=60 cm, Terreno=Terreno1, ,Criterio=CLS_Platee_ND, Materiale=C35/45

Armatura a maglia doppia, Stampa elementi piu' gravosi

Combinazione Rara: $\sigma_{ca}[\text{daN/cm}^2]=224$ $\sigma_{fa}[\text{daN/cm}^2]=3600$

P.	Afx	Afy	σ_c	σ_f	Cbc	Cbf	Ver	Cs
	cmq/m	cmq/m	daN/cm ²	daN/cm ²				
3	31.42	31.42	-5	155	10	11	Si	23
13	31.42	31.42	-3	672	10	11	Si	5.4

Combinazione QP: $\sigma_{ca}[\text{daN/cm}^2]=168$ $\sigma_{fa}[\text{daN/cm}^2]=3600$

P.	Afx	Afy	σ_c	σ_f	Cbc	Cbf	Ver	Cs
	cmq/m	cmq/m	daN/cm ²	daN/cm ²				
3	31.42	31.42	-5	97	13	13	Si	33
7	31.42	31.42	-3	129	13	13	Si	28

Verifica aperture fessure:Wamm Freq[mm]=0.300 Wamm Qp[mm]=0.200

P.	Nx	Ny	Nxy	Mx	My	Mxy	σ_{fmed}	Wd	Wk	Cb	Ver	Cs
	daN/cm ²	daN/cm ²	daN/cm ²	kg	kg	kg	daN/cm ²	mm	mm			
7	-0.11	-1.10	1.69	-1187	33	-685	129	0.013	0.013	13 (Qp)	Si	15
7	-0.10	-1.11	1.72	-1216	31	-694	134	0.014	0.014	12 (Fr)	Si	21

Muro [Platea]: 48 - Nodi: [250-236-230-252]Pann=30Spess.=60 cm, Terreno=Terreno1, ,Criterio=CLS_Platee_ND, Materiale=C35/45

Armatura a maglia doppia, Stampa elementi piu' gravosi

Combinazione Rara: $\sigma_{ca}[\text{daN/cm}^2]=224$ $\sigma_{fa}[\text{daN/cm}^2]=3600$

P.	Afx	Afy	σ_c	σ_f	Cbc	Cbf	Ver	Cs
	cmq/m	cmq/m	daN/cm ²	daN/cm ²				
3	31.42	31.42	-9	610	10	11	Si	5.9
9	31.42	31.42	-1	1085	11	11	Si	3.3

Combinazione QP: $\sigma_{ca}[\text{daN/cm}^2]=168$ $\sigma_{fa}[\text{daN/cm}^2]=3600$

P.	Afx	Afy	σ_c	σ_f	Cbc	Cbf	Ver	Cs
	cmq/m	cmq/m	daN/cm ²	daN/cm ²				
3	31.42	31.42	-9	222	13	13	Si	16
2	31.42	31.42	-9	238	13	13	Si	15

Verifica aperture fessure:Wamm Freq[mm]=0.300 Wamm Qp[mm]=0.200

P.	Nx	Ny	Nxy	Mx	My	Mxy	σ_{fmed}	Wd	Wk	Cb	Ver	Cs
	daN/cm ²	daN/cm ²	daN/cm ²	kg	kg	kg	daN/cm ²	mm	mm			
2	-1.06	-1.39	0.81	3354	1232	-731	238	0.025	0.025	13 (Qp)	Si	8.0
2	-1.07	-1.41	0.83	3412	1250	-745	245	0.026	0.026	12 (Fr)	Si	12

Muro [Platea]: 49 - Nodi: [10-1-284-287]Pann=16Spess.=60 cm, Terreno=Terreno1, ,Criterio=CLS_Platee_ND,
Materiale=C35/45

Armatura a maglia doppia, Stampa elementi piu' gravosi

Combinazione Rara: $\sigma_{ca}[\text{daN/cm}^2]=224$ $\sigma_{fa}[\text{daN/cm}^2]=3600$

P.	Afx	Afy	σ_c	σ_f	Cbc	Cbf	Ver	Cs
	cmq/m	cmq/m	daN/cm ²	daN/cm ²				
12	31.42	31.42	-2	232	10	11	Si	16
13	31.42	31.42	-2	722	10	11	Si	5.0

Combinazione QP: $\sigma_{ca}[\text{daN/cm}^2]=168$ $\sigma_{fa}[\text{daN/cm}^2]=3600$

P.	Afx	Afy	σ_c	σ_f	Cbc	Cbf	Ver	Cs
	cmq/m	cmq/m	daN/cm ²	daN/cm ²				
12	31.42	31.42	-2	57	13	13	Si	63
1	31.42	31.42	-1	73	13	13	Si	50

Verifica aperture fessure:Wamm Freq[mm]=0.300 Wamm Qp[mm]=0.200

P.	Nx	Ny	Nxy	Mx	My	Mxy	σ_{fmed}	Wd	Wk	Cb	Ver	Cs
	daN/cm ²	daN/cm ²	daN/cm ²	kg	kg	kg	daN/cm ²	mm	mm			
1	0.35	-0.05	0.39	-43	287	-236	73	0.012	0.012	13 (Qp)	Si	17
1	0.37	-0.06	0.40	-50	299	-240	76	0.013	0.013	12 (Fr)	Si	24

Muro [Platea]: 50 - Nodi: [287-284-78-279]Pann=16Spess.=60 cm, Terreno=Terreno1, ,Criterio=CLS_Platee_ND,
Materiale=C35/45

Armatura a maglia doppia, Stampa elementi piu' gravosi

Combinazione Rara: $\sigma_{ca}[\text{daN/cm}^2]=224$ $\sigma_{fa}[\text{daN/cm}^2]=3600$

P.	Afx	Afy	σ_c	σ_f	Cbc	Cbf	Ver	Cs
	cmq/m	cmq/m	daN/cm ²	daN/cm ²				
15	31.42	31.42	-4	259	10	11	Si	14
4	31.42	31.42	-2	755	10	11	Si	4.8

Combinazione QP: $\sigma_{ca}[\text{daN/cm}^2]=168$ $\sigma_{fa}[\text{daN/cm}^2]=3600$

P.	Afx	Afy	σ_c	σ_f	Cbc	Cbf	Ver	Cs
	cmq/m	cmq/m	daN/cm ²	daN/cm ²				
15	31.42	31.42	-4	32	13	13	Si	39
5	31.42	31.42	-2	49	13	13	Si	73

Verifica aperture fessure:Wamm Freq[mm]=0.300 Wamm Qp[mm]=0.200

P.	Nx	Ny	Nxy	Mx	My	Mxy	σ_{fmed}	Wd	Wk	Cb	Ver	Cs
	daN/cm ²	daN/cm ²	daN/cm ²	kg	kg	kg	daN/cm ²	mm	mm			
5	-0.73	-0.17	0.86	559	634	-1268	49	0.005	0.005	13 (Qp)	Si	39
5	-0.73	-0.17	0.87	560	644	-1292	50	0.005	0.005	12 (Fr)	Si	57

Muro [Platea]: 51 - Nodi: [279-78-219-69]Pann=16Spess.=60 cm, Terreno=Terreno1, ,Criterio=CLS_Platee_ND,
Materiale=C35/45

Armatura a maglia doppia, Stampa elementi piu' gravosi

Combinazione Rara: $\sigma_{ca}[\text{daN/cm}^2]=224$ $\sigma_{fa}[\text{daN/cm}^2]=3600$

P.	Afx	Afy	σ_c	σ_f	Cbc	Cbf	Ver	Cs
	cmq/m	cmq/m	daN/cm ²	daN/cm ²				
15	31.42	31.42	-5	376	10	11	Si	9.6
4	31.42	31.42	-1	1030	11	11	Si	3.5

Combinazione QP: $\sigma_{ca}[\text{daN/cm}^2]=168$ $\sigma_{fa}[\text{daN/cm}^2]=3600$

P.	Afx	Afy	σ_c	σ_f	Cbc	Cbf	Ver	Cs
	cmq/m	cmq/m	daN/cm ²	daN/cm ²				
15	31.42	31.42	-5	27	13	13	Si	35
5	31.42	31.42	-2	64	13	13	Si	56

Verifica aperture fessure:Wamm Freq[mm]=0.300 Wamm Qp[mm]=0.200

P.	Nx	Ny	Nxy	Mx	My	Mxy	σ_{fmed}	Wd	Wk	Cb	Ver	Cs
	daN/cm ²	daN/cm ²	daN/cm ²	kg	kg	kg	daN/cm ²	mm	mm			
5	-1.23	-0.06	0.56	859	599	-1171	64	0.007	0.007	13 (Op)	Si	30
5	-1.22	-0.06	0.57	859	609	-1194	66	0.007	0.007	12 (Fr)	Si	44

Muro [Platea]: 52 - Nodi: [69-219-214-220] Pann=16Spess.=60 cm, Terreno=Terrenol, ,Criterio=CLS_Platee_ND, Materiale=C35/45

Armatura a maglia doppia, Stampa elementi piu' gravosi

Combinazione Rara: σ_{ca} [daN/cm²]=224 σ_{fa} [daN/cm²]=3600

P.	Afx	Afy	σ_c	σ_f	Cbc	Cbf	Ver	Cs
	cmq/m	cmq/m	daN/cm ²	daN/cm ²				
15	31.42	31.42	-6	453	10	11	Si	7.9
4	31.42	31.42	-1	1208	11	11	Si	3.0

Combinazione QP: σ_{ca} [daN/cm²]=168 σ_{fa} [daN/cm²]=3600

P.	Afx	Afy	σ_c	σ_f	Cbc	Cbf	Ver	Cs
	cmq/m	cmq/m	daN/cm ²	daN/cm ²				
15	31.42	31.42	-5	36	13	13	Si	31
5	31.42	31.42	-3	40	13	13	Si	67

Verifica aperture fessure:Wamm Freq[mm]=0.300 Wamm Qp[mm]=0.200

P.	Nx	Ny	Nxy	Mx	My	Mxy	σ_{fmed}	Wd	Wk	Cb	Ver	Cs
	daN/cm ²	daN/cm ²	daN/cm ²	kg	kg	kg	daN/cm ²	mm	mm			
5	-1.34	-0.14	0.34	885	512	-1084	40	0.004	0.004	13 (Op)	Si	47
5	-1.34	-0.13	0.34	883	517	-1106	42	0.004	0.004	12 (Fr)	Si	69

Muro [Platea]: 53 - Nodi: [1-9-283-284] Pann=16Spess.=60 cm, Terreno=Terrenol, ,Criterio=CLS_Platee_ND, Materiale=C35/45

Armatura a maglia doppia, Stampa elementi piu' gravosi

Combinazione Rara: σ_{ca} [daN/cm²]=224 σ_{fa} [daN/cm²]=3600

P.	Afx	Afy	σ_c	σ_f	Cbc	Cbf	Ver	Cs
	cmq/m	cmq/m	daN/cm ²	daN/cm ²				
9	31.42	31.42	-5	1241	11	11	Si	2.9
13	31.42	31.42	0	1739	9	11	Si	2.1

Combinazione QP: σ_{ca} [daN/cm²]=168 σ_{fa} [daN/cm²]=3600

P.	Afx	Afy	σ_c	σ_f	Cbc	Cbf	Ver	Cs
	cmq/m	cmq/m	daN/cm ²	daN/cm ²				
9	31.42	31.42	-4	199	13	13	Si	18
13	31.42	31.42	0	567	13	13	Si	6.3

Verifica aperture fessure:Wamm Freq[mm]=0.300 Wamm Qp[mm]=0.200

P.	Nx	Ny	Nxy	Mx	My	Mxy	σ_{fmed}	Wd	Wk	Cb	Ver	Cs
	daN/cm ²	daN/cm ²	daN/cm ²	kg	kg	kg	daN/cm ²	mm	mm			
13	1.11	1.68	-0.94	-1067	-1972	1133	567	0.061	0.061	13 (Op)	Si	3.3
13	1.12	1.71	-0.95	-1076	-2011	1148	579	0.062	0.062	12 (Fr)	Si	4.8

Muro [Platea]: 54 - Nodi: [284-283-74-78] Pann=16Spess.=60 cm, Terreno=Terrenol, ,Criterio=CLS_Platee_ND, Materiale=C35/45

Armatura a maglia doppia, Stampa elementi piu' gravosi

Combinazione Rara: σ_{ca} [daN/cm²]=224 σ_{fa} [daN/cm²]=3600

P.	Afx	Afy	σ_c	σ_f	Cbc	Cbf	Ver	Cs
	cmq/m	cmq/m	daN/cm ²	daN/cm ²				
4	31.42	31.42	-4	20	10	11	Si	60
9	31.42	31.42	-2	129	11	11	Si	28

Combinazione QP: σ_{ca} [daN/cm²]=168 σ_{fa} [daN/cm²]=3600

P.	Afx	Afy	σ_c	σ_f	Cbc	Cbf	Ver	Cs
	cmq/m	cmq/m	daN/cm ²	daN/cm ²				
4	31.42	31.42	-4	3	13	13	Si	42
12	31.42	31.42	-4	52	13	13	Si	45

Verifica aperture fessure:Wamm Freq[mm]=0.300 Wamm Qp[mm]=0.200

P.	Nx	Ny	Nxy	Mx	My	Mxy	σ_{fmed}	Wd	Wk	Cb	Ver	Cs
	daN/cm ²	daN/cm ²	daN/cm ²	kg	kg	kg	daN/cm ²	mm	mm			
12	-2.07	0.08	0.59	1246	301	-576	52	0.005	0.005	13 (Op)	Si	37
12	-2.10	0.08	0.61	1267	314	-584	53	0.006	0.006	12 (Fr)	Si	54

Muro [Platea]: 55 - Nodi: [78-74-224-219] Pann=13Spess.=60 cm, Terreno=Terrenol, ,Criterio=CLS_Platee_ND, Materiale=C35/45

Armatura a maglia doppia, Stampa elementi piu' gravosi

Combinazione Rara: $\sigma_{ca}[\text{daN/cm}^2]=224$ $\sigma_{fa}[\text{daN/cm}^2]=3600$

P.	Afx	Afy	σ_c	σ_f	Cbc	Cbf	Ver	Cs
	cmq/m	cmq/m	daN/cm ²	daN/cm ²				
6	31.42	31.42	-4	4	10	11	Si	58
2	31.42	31.42	-1	152	11	11	Si	24

Combinazione QP: $\sigma_{ca}[\text{daN/cm}^2]=168$ $\sigma_{fa}[\text{daN/cm}^2]=3600$

P.	Afx	Afy	σ_c	σ_f	Cbc	Cbf	Ver	Cs
	cmq/m	cmq/m	daN/cm ²	daN/cm ²				
8	31.42	31.42	-4	5	13	13	Si	40
2	31.42	31.42	-3	164	13	13	Si	22

Verifica aperture fessure:Wamm Freq[mm]=0.300 Wamm Qp[mm]=0.200

P.	Nx	Ny	Nxy	Mx	My	Mxy	σ_{fmed}	Wd	Wk	Cb	Ver	Cs
	daN/cm ²	daN/cm ²	daN/cm ²	kg	kg	kg	daN/cm ²	mm	mm			
2	-1.90	0.43	0.96	670	-662	-289	84	0.008	0.008	13 (Qp)	Si	26
2	-1.93	0.43	0.97	689	-668	-291	85	0.008	0.008	12 (Fr)	Si	38

Muro [Platea]: 56 - Nodi: [219-224-272-214]Pann=8Spess.=60 cm, Terreno=Terreno1, ,Criterio=CLS_Platee_ND, Materiale=C35/45

Armatura a maglia doppia, Stampa elementi piu' gravosi

Combinazione Rara: $\sigma_{ca}[\text{daN/cm}^2]=224$ $\sigma_{fa}[\text{daN/cm}^2]=3600$

P.	Afx	Afy	σ_c	σ_f	Cbc	Cbf	Ver	Cs
	cmq/m	cmq/m	daN/cm ²	daN/cm ²				
4	31.42	31.42	-4	-1	10	11	Si	53
7	31.42	31.42	-2	40	11	11	Si	91

Combinazione QP: $\sigma_{ca}[\text{daN/cm}^2]=168$ $\sigma_{fa}[\text{daN/cm}^2]=3600$

P.	Afx	Afy	σ_c	σ_f	Cbc	Cbf	Ver	Cs
	cmq/m	cmq/m	daN/cm ²	daN/cm ²				
4	31.42	31.42	-5	-1	13	13	Si	37
1	31.42	31.42	-4	-4	13	13	Si	41

Verifica aperture fessure:Wamm Freq[mm]=0.300 Wamm Qp[mm]=0.200

P.	Nx	Ny	Nxy	Mx	My	Mxy	σ_{fmed}	Wd	Wk	Cb	Ver	Cs
	daN/cm ²	daN/cm ²	daN/cm ²	kg	kg	kg	daN/cm ²	mm	mm			
1	-2.30	-0.69	0.91	1400	282	-579	0	0.000	0.000	13 (Qp)	Si	>100
1	-2.34	-0.69	0.93	1418	284	-589	0	0.000	0.000	12 (Fr)	Si	>100

Muro [Platea]: 57 - Nodi: [74-281-77-224]Pann=16Spess.=60 cm, Terreno=Terreno1, ,Criterio=CLS_Platee_ND, Materiale=C35/45

Armatura a maglia doppia, Stampa elementi piu' gravosi

Combinazione Rara: $\sigma_{ca}[\text{daN/cm}^2]=224$ $\sigma_{fa}[\text{daN/cm}^2]=3600$

P.	Afx	Afy	σ_c	σ_f	Cbc	Cbf	Ver	Cs
	cmq/m	cmq/m	daN/cm ²	daN/cm ²				
8	31.42	31.42	-3	142	10	11	Si	25
13	31.42	31.42	-2	230	11	11	Si	16

Combinazione QP: $\sigma_{ca}[\text{daN/cm}^2]=168$ $\sigma_{fa}[\text{daN/cm}^2]=3600$

P.	Afx	Afy	σ_c	σ_f	Cbc	Cbf	Ver	Cs
	cmq/m	cmq/m	daN/cm ²	daN/cm ²				
5	31.42	31.42	-5	243	13	13	Si	15
13	31.42	31.42	-2	310	13	13	Si	12

Verifica aperture fessure:Wamm Freq[mm]=0.300 Wamm Qp[mm]=0.200

P.	Nx	Ny	Nxy	Mx	My	Mxy	σ_{fmed}	Wd	Wk	Cb	Ver	Cs
	daN/cm ²	daN/cm ²	daN/cm ²	kg	kg	kg	daN/cm ²	mm	mm			
13	-0.58	0.68	0.44	-21	-1451	96	310	0.032	0.032	13 (Qp)	Si	6.2
13	-0.60	0.69	0.45	-18	-1469	97	313	0.033	0.033	12 (Fr)	Si	9.2

Muro [Platea]: 58 - Nodi: [224-77-278-272]Pann=23Spess.=60 cm, Terreno=Terreno1, ,Criterio=CLS_Platee_ND, Materiale=C35/45

Armatura a maglia doppia, Stampa elementi piu' gravosi

Combinazione Rara: $\sigma_{ca}[\text{daN/cm}^2]=224$ $\sigma_{fa}[\text{daN/cm}^2]=3600$

P.	Afx	Afy	σ_c	σ_f	Cbc	Cbf	Ver	Cs
	cmq/m	cmq/m	daN/cm ²	daN/cm ²				
4	31.42	31.42	-4	-0	10	11	Si	55
1	31.42	31.42	-3	7	10	11	Si	82

Combinazione QP: $\sigma_{ca}[\text{daN/cm}^2]=168$ $\sigma_{fa}[\text{daN/cm}^2]=3600$

P.	Afx	Afy	σ_c	σ_f	Cbc	Cbf	Ver	Cs
	cmq/m	cmq/m	daN/cm ²	daN/cm ²				
4	31.42	31.42	-4	2	13	13	Si	41
2	31.42	31.42	-3	13	13	13	Si	53

Verifica aperture fessure:Wamm Freq[mm]=0.300 Wamm Qp[mm]=0.200

P.	Nx	Ny	Nxy	Mx	My	Mxy	σ_{fmed}	Wd	Wk	Cb	Ver	Cs
	daN/cm ²	daN/cm ²	daN/cm ²	kg	kg	kg	daN/cm ²	mm	mm			
2	-1.70	-0.78	0.14	1115	902	-403	13	0.001	0.001	13 (Qp)	Si	>100
2	-1.73	-0.79	0.15	1137	913	-409	13	0.001	0.001	12 (Fr)	Si	>100

Muro [Platea]: 59 - Nodi: [281-76-70-77]Pann=16Spess.=60 cm, Terreno=Terrenol, ,Criterio=CLS_Platee_ND, Materiale=C35/45

Armatura a maglia doppia, Stampa elementi piu' gravosi

Combinazione Rara: σ_{ca} [daN/cm²]=224 σ_{fa} [daN/cm²]=3600

P.	Afx	Afy	σ_c	σ_f	Cbc	Cbf	Ver	Cs
	cmq/m	cmq/m	daN/cm ²	daN/cm ²				
9	31.42	31.42	-5	290	11	11	Si	12

Combinazione QP: σ_{ca} [daN/cm²]=168 σ_{fa} [daN/cm²]=3600

P.	Afx	Afy	σ_c	σ_f	Cbc	Cbf	Ver	Cs
	cmq/m	cmq/m	daN/cm ²	daN/cm ²				
9	31.42	31.42	-6	362	13	13	Si	10.0
13	31.42	31.42	-3	371	13	13	Si	9.7

Verifica aperture fessure:Wamm Freq[mm]=0.300 Wamm Qp[mm]=0.200

P.	Nx	Ny	Nxy	Mx	My	Mxy	σ_{fmed}	Wd	Wk	Cb	Ver	Cs
	daN/cm ²	daN/cm ²	daN/cm ²	kg	kg	kg	daN/cm ²	mm	mm			
13	1.18	0.22	0.33	-1164	-1400	44	371	0.043	0.043	13 (Qp)	Si	4.7
13	1.19	0.22	0.34	-1173	-1417	44	373	0.043	0.043	12 (Fr)	Si	7.0

Muro [Platea]: 60 - Nodi: [77-70-277-278]Pann=16Spess.=60 cm, Terreno=Terrenol, ,Criterio=CLS_Platee_ND, Materiale=C35/45

Armatura a maglia doppia, Stampa elementi piu' gravosi

Combinazione Rara: σ_{ca} [daN/cm²]=224 σ_{fa} [daN/cm²]=3600

P.	Afx	Afy	σ_c	σ_f	Cbc	Cbf	Ver	Cs
	cmq/m	cmq/m	daN/cm ²	daN/cm ²				
12	31.42	31.42	-2	5	11	11	Si	>100
8	31.42	31.42	-2	6	11	11	Si	>100

Combinazione QP: σ_{ca} [daN/cm²]=168 σ_{fa} [daN/cm²]=3600

P.	Afx	Afy	σ_c	σ_f	Cbc	Cbf	Ver	Cs
	cmq/m	cmq/m	daN/cm ²	daN/cm ²				
8	31.42	31.42	-2	6	13	13	Si	75

Verifica aperture fessure:Wamm Freq[mm]=0.300 Wamm Qp[mm]=0.200

P.	Nx	Ny	Nxy	Mx	My	Mxy	σ_{fmed}	Wd	Wk	Cb	Ver	Cs
	daN/cm ²	daN/cm ²	daN/cm ²	kg	kg	kg	daN/cm ²	mm	mm			
8	-0.74	-0.95	-0.06	457	900	-3	6	0.000	0.000	13 (Qp)	Si	>100
8	-0.76	-0.96	-0.06	468	912	-4	6	0.000	0.000	12 (Fr)	Si	>100

Muro [Platea]: 61 - Nodi: [11-5-6-286]Pann=16Spess.=60 cm, Terreno=Terrenol, ,Criterio=CLS_Platee_ND, Materiale=C35/45

Armatura a maglia doppia, Stampa elementi piu' gravosi

Combinazione Rara: σ_{ca} [daN/cm²]=224 σ_{fa} [daN/cm²]=3600

P.	Afx	Afy	σ_c	σ_f	Cbc	Cbf	Ver	Cs
	cmq/m	cmq/m	daN/cm ²	daN/cm ²				
5	31.42	31.42	-7	2070	11	11	Si	1.7
1	31.42	31.42	-0	2471	11	11	Si	1.5

Combinazione QP: σ_{ca} [daN/cm²]=168 σ_{fa} [daN/cm²]=3600

P.	Afx	Afy	σ_c	σ_f	Cbc	Cbf	Ver	Cs
	cmq/m	cmq/m	daN/cm ²	daN/cm ²				
8	31.42	31.42	-6	66	13	13	Si	30
1	31.42	31.42	-2	534	13	13	Si	6.7

Verifica aperture fessure:Wamm Freq[mm]=0.300 Wamm Qp[mm]=0.200

P.	Nx	Ny	Nxy	Mx	My	Mxy	σ_{fmed}	Wd	Wk	Cb	Ver	Cs
	daN/cm ²	daN/cm ²	daN/cm ²	kg	kg	kg	daN/cm ²	mm	mm			
1	1.24	1.42	1.68	-809	-2107	-1733	337	0.044	0.044	13 (Qp)	Si	4.6
1	1.25	1.46	1.69	-818	-2154	-1756	341	0.044	0.044	12 (Fr)	Si	6.8

Muro [Platea]: 62 - Nodi: [286-6-75-76]Pann=16Spess.=60 cm, Terreno=Terreno1, ,Criterio=CLS_Platee_ND, Materiale=C35/45

Armatura a maglia doppia, Stampa elementi piu' gravosi

Combinazione Rara: σ_{ca} [daN/cm²]=224 σ_{fa} [daN/cm²]=3600

P.	Afx	Afy	σ_c	σ_f	Cbc	Cbf	Ver	Cs
	cmq/m	cmq/m	daN/cm ²	daN/cm ²				
15	31.42	31.42	-4	94	10	11	Si	38
13	31.42	31.42	-3	441	10	11	Si	8.2

Combinazione QP: σ_{ca} [daN/cm²]=168 σ_{fa} [daN/cm²]=3600

P.	Afx	Afy	σ_c	σ_f	Cbc	Cbf	Ver	Cs
	cmq/m	cmq/m	daN/cm ²	daN/cm ²				
5	31.42	31.42	-4	42	13	13	Si	38
15	31.42	31.42	-4	78	13	13	Si	38

Verifica aperture fessure:Wamm Freq[mm]=0.300 Wamm Qp[mm]=0.200

P.	Nx	Ny	Nxy	Mx	My	Mxy	σ_{fmed}	Wd	Wk	Cb	Ver	Cs
	daN/cm ²	daN/cm ²	daN/cm ²	kg	kg	kg	daN/cm ²	mm	mm			
15	-0.86	-1.50	0.38	1722	1028	-435	78	0.008	0.008	13 (Qp)	Si	25
15	-0.88	-1.52	0.39	1744	1041	-438	79	0.008	0.008	12 (Fr)	Si	37

Muro [Platea]: 63 - Nodi: [76-75-226-70]Pann=16Spess.=60 cm, Terreno=Terreno1, ,Criterio=CLS_Platee_ND, Materiale=C35/45

Armatura a maglia doppia, Stampa elementi piu' gravosi

Combinazione Rara: σ_{ca} [daN/cm²]=224 σ_{fa} [daN/cm²]=3600

P.	Afx	Afy	σ_c	σ_f	Cbc	Cbf	Ver	Cs
	cmq/m	cmq/m	daN/cm ²	daN/cm ²				
15	31.42	31.42	-4	13	10	11	Si	55
1	31.42	31.42	-1	114	11	11	Si	32

Combinazione QP: σ_{ca} [daN/cm²]=168 σ_{fa} [daN/cm²]=3600

P.	Afx	Afy	σ_c	σ_f	Cbc	Cbf	Ver	Cs
	cmq/m	cmq/m	daN/cm ²	daN/cm ²				
14	31.42	31.42	-5	61	13	13	Si	37

Verifica aperture fessure:Wamm Freq[mm]=0.300 Wamm Qp[mm]=0.200

P.	Nx	Ny	Nxy	Mx	My	Mxy	σ_{fmed}	Wd	Wk	Cb	Ver	Cs
	daN/cm ²	daN/cm ²	daN/cm ²	kg	kg	kg	daN/cm ²	mm	mm			
14	-1.09	-1.16	-0.43	1802	794	322	61	0.006	0.006	13 (Qp)	Si	34
14	-1.11	-1.17	-0.44	1828	805	326	61	0.006	0.006	12 (Fr)	Si	51

Muro [Platea]: 64 - Nodi: [70-226-269-277]Pann=16Spess.=60 cm, Terreno=Terreno1, ,Criterio=CLS_Platee_ND, Materiale=C35/45

Armatura a maglia doppia, Stampa elementi piu' gravosi

Combinazione Rara: σ_{ca} [daN/cm²]=224 σ_{fa} [daN/cm²]=3600

P.	Afx	Afy	σ_c	σ_f	Cbc	Cbf	Ver	Cs
	cmq/m	cmq/m	daN/cm ²	daN/cm ²				
14	31.42	31.42	-3	1	10	11	Si	71

Combinazione QP: σ_{ca} [daN/cm²]=168 σ_{fa} [daN/cm²]=3600

P.	Afx	Afy	σ_c	σ_f	Cbc	Cbf	Ver	Cs
	cmq/m	cmq/m	daN/cm ²	daN/cm ²				
14	31.42	31.42	-3	13	13	13	Si	54

Verifica aperture fessure:Wamm Freq[mm]=0.300 Wamm Qp[mm]=0.200

P.	Nx	Ny	Nxy	Mx	My	Mxy	σ_{fmed}	Wd	Wk	Cb	Ver	Cs
	daN/cm ²	daN/cm ²	daN/cm ²	kg	kg	kg	daN/cm ²	mm	mm			
14	-1.21	-1.14	-0.52	1277	761	301	13	0.001	0.001	13 (Qp)	Si	>100
14	-1.24	-1.15	-0.53	1299	771	306	13	0.001	0.001	12 (Fr)	Si	>100

Muro [Platea]: 65 - Nodi: [5-2-285-6]Pann=16Spess.=60 cm, Terreno=Terreno1, ,Criterio=CLS_Platee_ND, Materiale=C35/45

Armatura a maglia doppia, Stampa elementi piu' gravosi

Combinazione Rara: σ_{ca} [daN/cm²]=224 σ_{fa} [daN/cm²]=3600

P.	Afx	Afy	σ_c	σ_f	Cbc	Cbf	Ver	Cs
	cmq/m	cmq/m	daN/cm ²	daN/cm ²				
12	31.42	31.42	-6	831	10	11	Si	4.3
1	31.42	31.42	-3	1801	10	11	Si	2.0

Combinazione QP: σ_{ca} [daN/cm²]=168 σ_{fa} [daN/cm²]=3600

P.	Afx	Afy	σ_c	σ_f	Cbc	Cbf	Ver	Cs
	cmq/m	cmq/m	daN/cm ²	daN/cm ²				
12	31.42	31.42	-6	119	13	13	Si	27

Verifica aperture fessure:Wamm Freq[mm]=0.300 Wamm Qp[mm]=0.200

P.	Nx	Ny	Nxy	Mx	My	Mxy	σ_{fmed}	Wd	Wk	Cb	Ver	Cs
	daN/cm ²	daN/cm ²	daN/cm ²	kg	kg	kg	daN/cm ²	mm	mm			
12	-1.04	-1.15	0.01	884	2435	159	119	0.012	0.012	13 (Qp)	Si	16
12	-1.05	-1.15	0.01	897	2467	164	122	0.013	0.013	12 (Fr)	Si	23

Muro [Platea]: 66 - Nodi: [6-285-73-75]Pann=16Spess.=60 cm, Terreno=Terrenol, ,Criterio=CLS_Platee_ND,
Materiale=C35/45

Armatura a maglia doppia, Stampa elementi piu' gravosi

Combinazione Rara: σ_{ca} [daN/cm²]=224 σ_{fa} [daN/cm²]=3600

P.	Afx	Afy	σ_c	σ_f	Cbc	Cbf	Ver	Cs
	cmq/m	cmq/m	daN/cm ²	daN/cm ²				
5	31.42	31.42	-5	427	11	11	Si	8.4
1	31.42	31.42	-3	439	10	11	Si	8.2

Combinazione QP: σ_{ca} [daN/cm²]=168 σ_{fa} [daN/cm²]=3600

P.	Afx	Afy	σ_c	σ_f	Cbc	Cbf	Ver	Cs
	cmq/m	cmq/m	daN/cm ²	daN/cm ²				
16	31.42	31.42	-4	-2	13	13	Si	40
15	31.42	31.42	-4	5	13	13	Si	42

Verifica aperture fessure:Wamm Freq[mm]=0.300 Wamm Qp[mm]=0.200

P.	Nx	Ny	Nxy	Mx	My	Mxy	σ_{fmed}	Wd	Wk	Cb	Ver	Cs
	daN/cm ²	daN/cm ²	daN/cm ²	kg	kg	kg	daN/cm ²	mm	mm			
15	-1.83	-2.05	-0.33	1564	1403	315	5	0.000	0.000	13 (Qp)	Si	>100
15	-1.86	-2.07	-0.33	1587	1421	323	5	0.000	0.000	12 (Fr)	Si	>100

Muro [Platea]: 67 - Nodi: [75-73-227-226]Pann=16Spess.=60 cm, Terreno=Terrenol, ,Criterio=CLS_Platee_ND,
Materiale=C35/45

Armatura a maglia doppia, Stampa elementi piu' gravosi

Combinazione Rara: σ_{ca} [daN/cm²]=224 σ_{fa} [daN/cm²]=3600

P.	Afx	Afy	σ_c	σ_f	Cbc	Cbf	Ver	Cs
	cmq/m	cmq/m	daN/cm ²	daN/cm ²				
15	31.42	31.42	-5	-0	10	11	Si	47
8	31.42	31.42	-4	11	10	11	Si	61

Combinazione QP: σ_{ca} [daN/cm²]=168 σ_{fa} [daN/cm²]=3600

P.	Afx	Afy	σ_c	σ_f	Cbc	Cbf	Ver	Cs
	cmq/m	cmq/m	daN/cm ²	daN/cm ²				
15	31.42	31.42	-5	4	13	13	Si	34
14	31.42	31.42	-5	4	13	13	Si	35

Verifica aperture fessure:Wamm Freq[mm]=0.300 Wamm Qp[mm]=0.200

P.	Nx	Ny	Nxy	Mx	My	Mxy	σ_{fmed}	Wd	Wk	Cb	Ver	Cs
	daN/cm ²	daN/cm ²	daN/cm ²	kg	kg	kg	daN/cm ²	mm	mm			
14	-2.26	-1.63	-0.56	1856	1080	248	4	0.000	0.000	13 (Qp)	Si	>100
14	-2.30	-1.65	-0.56	1883	1094	254	4	0.000	0.000	12 (Fr)	Si	>100

Muro [Platea]: 68 - Nodi: [226-227-274-269]Pann=16Spess.=60 cm, Terreno=Terrenol, ,Criterio=CLS_Platee_ND,
Materiale=C35/45

Armatura a maglia doppia, Stampa elementi piu' gravosi

Combinazione Rara: σ_{ca} [daN/cm²]=224 σ_{fa} [daN/cm²]=3600

P.	Afx	Afy	σ_c	σ_f	Cbc	Cbf	Ver	Cs
	cmq/m	cmq/m	daN/cm ²	daN/cm ²				
13	31.42	31.42	-5	-3	10	11	Si	48
14	31.42	31.42	-2	2	11	10	Si	100

Combinazione QP: σ_{ca} [daN/cm²]=168 σ_{fa} [daN/cm²]=3600

P.	Afx	Afy	σ_c	σ_f	Cbc	Cbf	Ver	Cs
	cmq/m	cmq/m	daN/cm ²	daN/cm ²				
14	31.42	31.42	-5	3	13	13	Si	34

Verifica aperture fessure:Wamm Freq[mm]=0.300 Wamm Qp[mm]=0.200

P.	Nx	Ny	Nxy	Mx	My	Mxy	σ_{fmed}	Wd	Wk	Cb	Ver	Cs
	daN/cm ²	daN/cm ²	daN/cm ²	kg	kg	kg	daN/cm ²	mm	mm			
14	-2.34	-1.13	-0.51	1887	775	191	3	0.000	0.000	13 (Qp)	Si	>100
14	-2.38	-1.15	-0.52	1917	785	196	3	0.000	0.000	12 (Fr)	Si	>100

Muro [Platea]: 69 - Nodi: [2-3-282-285]Pann=16Spess.=60 cm, Terreno=Terrenol, ,Criterio=CLS_Platee_ND,
Materiale=C35/45

Armatura a maglia doppia, Stampa elementi piu' gravosi

Combinazione Rara: σ_{ca} [daN/cm²]=224 σ_{fa} [daN/cm²]=3600

P.	Afx	Afy	σ_c	σ_f	Cbc	Cbf	Ver	Cs
	cmq/m	cmq/m	daN/cm ²	daN/cm ²				
8	31.42	31.42	-6	632	10	11	Si	5.7
1	31.42	31.42	-4	1374	10	11	Si	2.6

Combinazione QP: σ_{ca} [daN/cm²]=168 σ_{fa} [daN/cm²]=3600

P.	Afx	Afy	σ_c	σ_f	Cbc	Cbf	Ver	Cs
	cmq/m	cmq/m	daN/cm ²	daN/cm ²				
8	31.42	31.42	-6	152	13	13	Si	24
12	31.42	31.42	-6	159	13	13	Si	23

Verifica aperture fessure:Wamm Freq[mm]=0.300 Wamm Qp[mm]=0.200

P.	Nx	Ny	Nxy	Mx	My	Mxy	σ_{fmed}	Wd	Wk	Cb	Ver	Cs
	daN/cm ²	daN/cm ²	daN/cm ²	kg	kg	kg	daN/cm ²	mm	mm			
12	-1.36	-0.78	-1.21	1117	2335	918	159	0.017	0.017	13 (Qp)	Si	12
12	-1.38	-0.78	-1.23	1133	2366	933	163	0.017	0.017	12 (Fr)	Si	18

Muro [Platea]: 70 - Nodi: [285-282-72-73]Pann=16Spess.=60 cm, Terreno=Terrenol, ,Criterio=CLS_Platee_ND,
Materiale=C35/45

Armatura a maglia doppia, Stampa elementi piu' gravosi

Combinazione Rara: σ_{ca} [daN/cm²]=224 σ_{fa} [daN/cm²]=3600

P.	Afx	Afy	σ_c	σ_f	Cbc	Cbf	Ver	Cs
	cmq/m	cmq/m	daN/cm ²	daN/cm ²				
12	31.42	31.42	-4	104	10	11	Si	35
1	31.42	31.42	-3	307	10	11	Si	12

Combinazione QP: σ_{ca} [daN/cm²]=168 σ_{fa} [daN/cm²]=3600

P.	Afx	Afy	σ_c	σ_f	Cbc	Cbf	Ver	Cs
	cmq/m	cmq/m	daN/cm ²	daN/cm ²				
12	31.42	31.42	-5	2	13	13	Si	36

Verifica aperture fessure:Wamm Freq[mm]=0.300 Wamm Qp[mm]=0.200

P.	Nx	Ny	Nxy	Mx	My	Mxy	σ_{fmed}	Wd	Wk	Cb	Ver	Cs
	daN/cm ²	daN/cm ²	daN/cm ²	kg	kg	kg	daN/cm ²	mm	mm			
12	-2.53	-1.60	-1.05	1610	1268	540	2	0.000	0.000	13 (Qp)	Si	>100
12	-2.56	-1.62	-1.07	1633	1285	549	2	0.000	0.000	12 (Fr)	Si	>100

Muro [Platea]: 71 - Nodi: [73-72-225-227]Pann=16Spess.=60 cm, Terreno=Terrenol, ,Criterio=CLS_Platee_ND,
Materiale=C35/45

Armatura a maglia doppia, Stampa elementi piu' gravosi

Combinazione Rara: σ_{ca} [daN/cm²]=224 σ_{fa} [daN/cm²]=3600

P.	Afx	Afy	σ_c	σ_f	Cbc	Cbf	Ver	Cs
	cmq/m	cmq/m	daN/cm ²	daN/cm ²				
12	31.42	31.42	-5	-0	10	11	Si	44
3	31.42	31.42	-5	15	10	11	Si	48

Combinazione QP: σ_{ca} [daN/cm²]=168 σ_{fa} [daN/cm²]=3600

P.	Afx	Afy	σ_c	σ_f	Cbc	Cbf	Ver	Cs
	cmq/m	cmq/m	daN/cm ²	daN/cm ²				
12	31.42	31.42	-5	-7	13	13	Si	32
1	31.42	31.42	-5	-4	13	13	Si	37

Verifica aperture fessure:Wamm Freq[mm]=0.300 Wamm Qp[mm]=0.200

P.	Nx	Ny	Nxy	Mx	My	Mxy	σ_{fmed}	Wd	Wk	Cb	Ver	Cs
	daN/cm ²	daN/cm ²	daN/cm ²	kg	kg	kg	daN/cm ²	mm	mm			
1	-2.56	-1.76	-0.60	1535	1116	380	0	0.000	0.000	13 (Qp)	Si	>100
1	-2.59	-1.78	-0.61	1559	1129	388	0	0.000	0.000	12 (Fr)	Si	>100

Muro [Platea]: 72 - Nodi: [227-225-276-274]Pann=16Spess.=60 cm, Terreno=Terrenol, ,Criterio=CLS_Platee_ND,
Materiale=C35/45

Armatura a maglia doppia, Stampa elementi piu' gravosi

Combinazione Rara: σ_{ca} [daN/cm²]=224 σ_{fa} [daN/cm²]=3600

P.	Afx	Afy	σ_c	σ_f	Cbc	Cbf	Ver	Cs
	cmq/m	cmq/m	daN/cm ²	daN/cm ²				
10	31.42	31.42	-5	-1	10	11	Si	43

P.	Afx	Afy	σ_c	σ_f	Cbc	Cbf	Ver	Cs
3	31.42	31.42	-3	26	11	11	Si	75

Combinazione QP: $\sigma_{ca}[\text{daN/cm}^2]=168$ $\sigma_{fa}[\text{daN/cm}^2]=3600$

P.	Afx	Afy	σ_c	σ_f	Cbc	Cbf	Ver	Cs
	cmq/m	cmq/m	daN/cm ²	daN/cm ²				
10	31.42	31.42	-5	-1	13	13	Si	31
5	31.42	31.42	-5	2	13	13	Si	32

Verifica aperture fessure: Wamm Freq[mm]=0.300 Wamm Qp[mm]=0.200

P.	Nx	Ny	Nxy	Mx	My	Mxy	σ_{fmed}	Wd	Wk	Cb	Ver	Cs
	daN/cm ²	daN/cm ²	daN/cm ²	kg	kg	kg	daN/cm ²	mm	mm			
5	-2.89	-1.08	-0.48	1828	889	270	2	0.000	0.000	13 (Qp)	Si	>100
5	-2.94	-1.10	-0.48	1857	900	278	2	0.000	0.000	12 (Fr)	Si	>100

Muro [Platea]: 73 - Nodi: [3-4-8-282] Pann=16Spess.=60 cm, Terreno=Terreno1, , Criterio=CLS_Platee_ND, Materiale=C35/45

Armatura a maglia doppia, Stampa elementi piu' gravosi

Combinazione Rara: $\sigma_{ca}[\text{daN/cm}^2]=224$ $\sigma_{fa}[\text{daN/cm}^2]=3600$

P.	Afx	Afy	σ_c	σ_f	Cbc	Cbf	Ver	Cs
	cmq/m	cmq/m	daN/cm ²	daN/cm ²				
8	31.42	31.42	-3	211	10	11	Si	17
1	31.42	31.42	-2	674	10	11	Si	5.3

Combinazione QP: $\sigma_{ca}[\text{daN/cm}^2]=168$ $\sigma_{fa}[\text{daN/cm}^2]=3600$

P.	Afx	Afy	σ_c	σ_f	Cbc	Cbf	Ver	Cs
	cmq/m	cmq/m	daN/cm ²	daN/cm ²				
8	31.42	31.42	-3	54	13	13	Si	57
5	31.42	31.42	-3	94	13	13	Si	38

Verifica aperture fessure: Wamm Freq[mm]=0.300 Wamm Qp[mm]=0.200

P.	Nx	Ny	Nxy	Mx	My	Mxy	σ_{fmed}	Wd	Wk	Cb	Ver	Cs
	daN/cm ²	daN/cm ²	daN/cm ²	kg	kg	kg	daN/cm ²	mm	mm			
13	0.31	0.20	-0.58	162	180	300	79	0.011	0.011	13 (Qp)	Si	19
13	0.32	0.19	-0.58	157	189	304	81	0.011	0.011	12 (Fr)	Si	27

Muro [Platea]: 74 - Nodi: [282-8-280-72] Pann=16Spess.=60 cm, Terreno=Terreno1, , Criterio=CLS_Platee_ND, Materiale=C35/45

Armatura a maglia doppia, Stampa elementi piu' gravosi

Combinazione Rara: $\sigma_{ca}[\text{daN/cm}^2]=224$ $\sigma_{fa}[\text{daN/cm}^2]=3600$

P.	Afx	Afy	σ_c	σ_f	Cbc	Cbf	Ver	Cs
	cmq/m	cmq/m	daN/cm ²	daN/cm ²				
3	31.42	31.42	-6	270	10	11	Si	13
16	31.42	31.42	-3	777	10	11	Si	4.6

Combinazione QP: $\sigma_{ca}[\text{daN/cm}^2]=168$ $\sigma_{fa}[\text{daN/cm}^2]=3600$

P.	Afx	Afy	σ_c	σ_f	Cbc	Cbf	Ver	Cs
	cmq/m	cmq/m	daN/cm ²	daN/cm ²				
3	31.42	31.42	-6	103	13	13	Si	27

Verifica aperture fessure: Wamm Freq[mm]=0.300 Wamm Qp[mm]=0.200

P.	Nx	Ny	Nxy	Mx	My	Mxy	σ_{fmed}	Wd	Wk	Cb	Ver	Cs
	daN/cm ²	daN/cm ²	daN/cm ²	kg	kg	kg	daN/cm ²	mm	mm			
3	-1.27	-1.46	-1.60	2422	1114	966	103	0.011	0.011	13 (Qp)	Si	19
3	-1.28	-1.48	-1.63	2460	1128	983	106	0.011	0.011	12 (Fr)	Si	28

Muro [Platea]: 75 - Nodi: [72-280-71-225] Pann=16Spess.=60 cm, Terreno=Terreno1, , Criterio=CLS_Platee_ND, Materiale=C35/45

Armatura a maglia doppia, Stampa elementi piu' gravosi

Combinazione Rara: $\sigma_{ca}[\text{daN/cm}^2]=224$ $\sigma_{fa}[\text{daN/cm}^2]=3600$

P.	Afx	Afy	σ_c	σ_f	Cbc	Cbf	Ver	Cs
	cmq/m	cmq/m	daN/cm ²	daN/cm ²				
3	31.42	31.42	-7	402	10	11	Si	9.0
16	31.42	31.42	-1	1054	11	11	Si	3.4

Combinazione QP: $\sigma_{ca}[\text{daN/cm}^2]=168$ $\sigma_{fa}[\text{daN/cm}^2]=3600$

P.	Afx	Afy	σ_c	σ_f	Cbc	Cbf	Ver	Cs
	cmq/m	cmq/m	daN/cm ²	daN/cm ²				
3	31.42	31.42	-7	71	13	13	Si	25
2	31.42	31.42	-7	77	13	13	Si	25

Verifica aperture fessure: Wamm_Freq[mm]=0.300 Wamm_Qp[mm]=0.200

P.	Nx	Ny	Nxy	Mx	My	Mxy	σ_{fmed}	Wd	Wk	Cb	Ver	Cs
	daN/cm ²	daN/cm ²	daN/cm ²	kg	kg	kg	daN/cm ²	mm	mm			
2	-1.74	-1.15	-0.79	2668	934	613	77	0.007	0.007	13 (Qp)	Si	28
2	-1.75	-1.16	-0.81	2712	946	625	80	0.007	0.007	12 (Fr)	Si	41

Muro [Platea]: 76 - Nodi: [225-71-208-276] Pann=16Spess.=60 cm, Terreno=Terreno1, ,Criterio=CLS_Platee_ND, Materiale=C35/45

Armatura a maglia doppia, Stampa elementi piu' gravosi

Combinazione Rara: σ_{ca} [daN/cm²]=224 σ_{fa} [daN/cm²]=3600

P.	Afx	Afy	σ_c	σ_f	Cbc	Cbf	Ver	Cs
	cmq/m	cmq/m	daN/cm ²	daN/cm ²				
2	31.42	31.42	-7	463	10	11	Si	7.8
16	31.42	31.42	-1	1218	11	11	Si	3.0

Combinazione QP: σ_{ca} [daN/cm²]=168 σ_{fa} [daN/cm²]=3600

P.	Afx	Afy	σ_c	σ_f	Cbc	Cbf	Ver	Cs
	cmq/m	cmq/m	daN/cm ²	daN/cm ²				
2	31.42	31.42	-7	58	13	13	Si	25

Verifica aperture fessure:Wamm Freq[mm]=0.300 Wamm Qp[mm]=0.200

P.	Nx	Ny	Nxy	Mx	My	Mxy	σ_{fmed}	Wd	Wk	Cb	Ver	Cs
	daN/cm ²	daN/cm ²	daN/cm ²	kg	kg	kg	daN/cm ²	mm	mm			
2	-2.02	-0.77	-0.36	2717	670	331	58	0.005	0.005	13 (Qp)	Si	41
2	-2.03	-0.77	-0.37	2764	679	338	61	0.005	0.005	12 (Fr)	Si	58

Muro [Platea]: 77 - Nodi: [155-156-157-158] Pann=16Spess.=60 cm, Terreno=Terreno1, ,Criterio=CLS_Platee_ND, Materiale=C35/45

Armatura a maglia doppia, Stampa elementi piu' gravosi

Combinazione Rara: σ_{ca} [daN/cm²]=224 σ_{fa} [daN/cm²]=3600

P.	Afx	Afy	σ_c	σ_f	Cbc	Cbf	Ver	Cs
	cmq/m	cmq/m	daN/cm ²	daN/cm ²				
3	31.42	31.42	-2	9	11	11	Si	>100
16	31.42	31.42	-2	55	11	11	Si	66

Combinazione QP: σ_{ca} [daN/cm²]=168 σ_{fa} [daN/cm²]=3600

P.	Afx	Afy	σ_c	σ_f	Cbc	Cbf	Ver	Cs
	cmq/m	cmq/m	daN/cm ²	daN/cm ²				
8	31.42	31.42	-3	5	13	13	Si	52
16	31.42	31.42	-3	12	13	13	Si	53

Verifica aperture fessure:Wamm Freq[mm]=0.300 Wamm Qp[mm]=0.200

P.	Nx	Ny	Nxy	Mx	My	Mxy	σ_{fmed}	Wd	Wk	Cb	Ver	Cs
	daN/cm ²	daN/cm ²	daN/cm ²	kg	kg	kg	daN/cm ²	mm	mm			
16	-0.07	-1.69	-0.06	-192	1105	68	12	0.001	0.001	13 (Qp)	Si	>100
16	-0.07	-1.71	-0.06	-196	1119	69	13	0.001	0.001	12 (Fr)	Si	>100

Muro [Platea]: 78 - Nodi: [153-151-156-155] Pann=16Spess.=60 cm, Terreno=Terreno1, ,Criterio=CLS_Platee_ND, Materiale=C35/45

Armatura a maglia doppia, Stampa elementi piu' gravosi

Combinazione Rara: σ_{ca} [daN/cm²]=224 σ_{fa} [daN/cm²]=3600

P.	Afx	Afy	σ_c	σ_f	Cbc	Cbf	Ver	Cs
	cmq/m	cmq/m	daN/cm ²	daN/cm ²				
9	31.42	31.42	-5	289	11	11	Si	12
13	31.42	31.42	-2	543	11	11	Si	6.6

Combinazione QP: σ_{ca} [daN/cm²]=168 σ_{fa} [daN/cm²]=3600

P.	Afx	Afy	σ_c	σ_f	Cbc	Cbf	Ver	Cs
	cmq/m	cmq/m	daN/cm ²	daN/cm ²				
9	31.42	31.42	-10	689	13	13	Si	5.2
13	31.42	31.42	-3	925	13	13	Si	3.9

Verifica aperture fessure:Wamm Freq[mm]=0.300 Wamm Qp[mm]=0.200

P.	Nx	Ny	Nxy	Mx	My	Mxy	σ_{fmed}	Wd	Wk	Cb	Ver	Cs
	daN/cm ²	daN/cm ²	daN/cm ²	kg	kg	kg	daN/cm ²	mm	mm			
9	0.20	0.84	0.33	-579	-4285	-315	689	0.072	0.072	13 (Qp)	Si	2.8
9	0.21	0.85	0.33	-587	-4345	-319	698	0.073	0.073	12 (Fr)	Si	4.1

Muro : 79 - Nodi: [158-157-76-281], Pann.X=4, Pann.Y=4Spess.=50 cm, Terreno=--,Criterio=CLS_Muri_ND, Materiale=C35/45

Armatura a maglia doppia, Stampa elementi piu' gravosi

Combinazione Rara: σ_{ca} [daN/cm²]=224 σ_{fa} [daN/cm²]=3600

P.	Afx	Afy	σ_c	σ_f	Cbc	Cbf	Ver	Cs
	cmq/m	cmq/m	daN/cm ²	daN/cm ²				
16	20.11	31.42	-13	714	11	11	Si	5.0

Combinazione QP: σ_{ca} [daN/cm²]=168 σ_{fa} [daN/cm²]=3600

P.	Afx	Afy	σ_c	σ_f	Cbc	Cbf	Ver	Cs
	cmq/m	cmq/m	daN/cm ²	daN/cm ²				
16	20.11	31.42	-17	994	13	13	Si	3.6

Verifica aperture fessure:Wamm Freq[mm]=0.300 Wamm Qp[mm]=0.200

P.	Nx	Ny	Nxy	Mx	My	Mxy	σ_{fmed}	Wd	Wk	Cb	Ver	Cs
	daN/cm ²	daN/cm ²	daN/cm ²	kg	kg	kg	daN/cm ²	mm	mm			
16	0.26	1.17	-0.11	-648	-5293	-22	994	0.104	0.104	13 (Qp)	Si	1.9
16	0.27	1.19	-0.12	-656	-5360	-23	1006	0.105	0.105	12 (Fr)	Si	2.9

Muro : 80 - Nodi: [156-151-11-286], Pann.X=4, Pann.Y=4Spess.=50 cm, Terreno=--,Criterio=CLS_Muri_ND, Materiale=C35/45

Armatura a maglia doppia, Stampa elementi piu' gravosi

Combinazione Rara: σ_{ca} [daN/cm²]=224 σ_{fa} [daN/cm²]=3600

P.	Afx	Afy	σ_c	σ_f	Cbc	Cbf	Ver	Cs
	cmq/m	cmq/m	daN/cm ²	daN/cm ²				
8	31.42	31.42	-6	-18	10	11	Si	39
12	31.42	31.42	0	916	9	10	Si	3.9

Combinazione QP: σ_{ca} [daN/cm²]=168 σ_{fa} [daN/cm²]=3600

P.	Afx	Afy	σ_c	σ_f	Cbc	Cbf	Ver	Cs
	cmq/m	cmq/m	daN/cm ²	daN/cm ²				
3	31.42	31.42	-6	91	13	13	Si	26
12	31.42	31.42	0	934	13	13	Si	3.9

Verifica aperture fessure:Wamm Freq[mm]=0.300 Wamm Qp[mm]=0.200

P.	Nx	Ny	Nxy	Mx	My	Mxy	σ_{fmed}	Wd	Wk	Cb	Ver	Cs
	daN/cm ²	daN/cm ²	daN/cm ²	kg	kg	kg	daN/cm ²	mm	mm			
12	5.77	3.74	-5.20	100	164	-279	934	0.165	0.165	13 (Qp)	Si	1.2
12	5.85	3.79	-5.27	102	168	-286	947	0.167	0.167	12 (Fr)	Si	1.8

Muro : 81 - Nodi: [157-156-286-76], Pann.X=4, Pann.Y=4Spess.=50 cm, Terreno=--,Criterio=CLS_Muri_ND, Materiale=C35/45

Armatura a maglia doppia, Stampa elementi piu' gravosi

Combinazione Rara: σ_{ca} [daN/cm²]=224 σ_{fa} [daN/cm²]=3600

P.	Afx	Afy	σ_c	σ_f	Cbc	Cbf	Ver	Cs
	cmq/m	cmq/m	daN/cm ²	daN/cm ²				
16	31.42	31.42	-3	52	11	11	Si	69
4	31.42	31.42	0	488	9	11	Si	7.4

Combinazione QP: σ_{ca} [daN/cm²]=168 σ_{fa} [daN/cm²]=3600

P.	Afx	Afy	σ_c	σ_f	Cbc	Cbf	Ver	Cs
	cmq/m	cmq/m	daN/cm ²	daN/cm ²				
8	31.42	31.42	-4	370	13	13	Si	9.7
4	31.42	31.42	0	851	13	13	Si	4.2

Verifica aperture fessure:Wamm Freq[mm]=0.300 Wamm Qp[mm]=0.200

P.	Nx	Ny	Nxy	Mx	My	Mxy	σ_{fmed}	Wd	Wk	Cb	Ver	Cs
	daN/cm ²	daN/cm ²	daN/cm ²	kg	kg	kg	daN/cm ²	mm	mm			
4	0.72	3.11	-4.54	-262	-2281	84	851	0.093	0.093	13 (Qp)	Si	2.2
4	0.73	3.15	-4.60	-264	-2301	87	860	0.094	0.094	12 (Fr)	Si	3.2

Muro [Platea]: 82 - Nodi: [152-155-158-159]Pann=16Spess.=60 cm, Terreno=Terreno1, ,Criterio=CLS_Platee_ND, Materiale=C35/45

Armatura a maglia doppia, Stampa elementi piu' gravosi

Combinazione Rara: σ_{ca} [daN/cm²]=224 σ_{fa} [daN/cm²]=3600

P.	Afx	Afy	σ_c	σ_f	Cbc	Cbf	Ver	Cs
	cmq/m	cmq/m	daN/cm ²	daN/cm ²				
3	31.42	31.42	-2	105	11	11	Si	34
4	31.42	31.42	-2	159	11	11	Si	23

Combinazione QP: σ_{ca} [daN/cm²]=168 σ_{fa} [daN/cm²]=3600

P.	Afx	Afy	σ_c	σ_f	Cbc	Cbf	Ver	Cs
	cmq/m	cmq/m	daN/cm ²	daN/cm ²				
12	31.42	31.42	-4	22	13	13	Si	48
4	31.42	31.42	-3	167	13	13	Si	22

Verifica aperture fessure:Wamm_Freq[mm]=0.300 Wamm_Qp[mm]=0.200

P.	Nx	Ny	Nxy	Mx	My	Mxy	σ_{fmed}	Wd	Wk	Cb	Ver	Cs
	daN/cm ²	daN/cm ²	daN/cm ²	kg	kg	kg	daN/cm ²	mm	mm			
3	-0.06	-1.12	0.08	-782	643	-327	87	0.009	0.009	13 (Op)	Si	22
3	-0.06	-1.13	0.09	-797	650	-332	89	0.009	0.009	12 (Fr)	Si	32

Muro [Platea]: 83 - Nodi: [160-153-155-152] Pann=16Spess.=60 cm, Terreno=Terreno1, ,Criterio=CLS_Platee_ND, Materiale=C35/45

Armatura a maglia doppia, Stampa elementi piu' gravosi

Combinazione Rara: σ_{ca} [daN/cm²]=224 σ_{fa} [daN/cm²]=3600

P.	Afx	Afy	σ_c	σ_f	Cbc	Cbf	Ver	Cs
	cmq/m	cmq/m	daN/cm ²	daN/cm ²				
9	31.42	31.42	-5	277	11	11	Si	13
13	31.42	31.42	-3	382	11	11	Si	9.4

Combinazione QP: σ_{ca} [daN/cm²]=168 σ_{fa} [daN/cm²]=3600

P.	Afx	Afy	σ_c	σ_f	Cbc	Cbf	Ver	Cs
	cmq/m	cmq/m	daN/cm ²	daN/cm ²				
9	31.42	31.42	-7	581	13	13	Si	6.2
13	31.42	31.42	-3	614	13	13	Si	5.9

Verifica aperture fessure:Wamm Freq[mm]=0.300 Wamm Qp[mm]=0.200

P.	Nx	Ny	Nxy	Mx	My	Mxy	σ_{fmed}	Wd	Wk	Cb	Ver	Cs
	daN/cm ²	daN/cm ²	daN/cm ²	kg	kg	kg	daN/cm ²	mm	mm			
9	0.28	0.96	0.36	-580	-3223	14	581	0.061	0.061	13 (Op)	Si	3.3
9	0.28	0.97	0.36	-588	-3266	14	588	0.061	0.061	12 (Fr)	Si	4.9

Muro : 84 - Nodi: [159-158-281-74], Pann.X=4, Pann.Y=4Spess.=50 cm, Terreno=--,Criterio=CLS_Muri_ND, Materiale=C35/45

Armatura a maglia doppia, Stampa elementi piu' gravosi

Combinazione Rara: σ_{ca} [daN/cm²]=224 σ_{fa} [daN/cm²]=3600

P.	Afx	Afy	σ_c	σ_f	Cbc	Cbf	Ver	Cs
	cmq/m	cmq/m	daN/cm ²	daN/cm ²				
16	20.11	31.42	-9	539	11	11	Si	6.7

Combinazione QP: σ_{ca} [daN/cm²]=168 σ_{fa} [daN/cm²]=3600

P.	Afx	Afy	σ_c	σ_f	Cbc	Cbf	Ver	Cs
	cmq/m	cmq/m	daN/cm ²	daN/cm ²				
16	20.11	31.42	-12	701	13	13	Si	5.1

Verifica aperture fessure:Wamm Freq[mm]=0.300 Wamm Qp[mm]=0.200

P.	Nx	Ny	Nxy	Mx	My	Mxy	σ_{fmed}	Wd	Wk	Cb	Ver	Cs
	daN/cm ²	daN/cm ²	daN/cm ²	kg	kg	kg	daN/cm ²	mm	mm			
16	0.09	0.90	1.42	-468	-3659	9	701	0.073	0.073	13 (Op)	Si	2.7
16	0.09	0.91	1.45	-473	-3702	8	709	0.074	0.074	12 (Fr)	Si	4.0

Muro : 85 - Nodi: [153-7-11-151], Pann.X=4, Pann.Y=4Spess.=50 cm, Terreno=--,Criterio=CLS_Muri_ND, Materiale=C35/45

Armatura a maglia doppia, Stampa elementi piu' gravosi

Combinazione Rara: σ_{ca} [daN/cm²]=224 σ_{fa} [daN/cm²]=3600

P.	Afx	Afy	σ_c	σ_f	Cbc	Cbf	Ver	Cs
	cmq/m	cmq/m	daN/cm ²	daN/cm ²				
15	31.42	20.11	-40	1484	11	11	Si	2.4
14	31.42	20.11	-39	1488	11	11	Si	2.4

Combinazione QP: σ_{ca} [daN/cm²]=168 σ_{fa} [daN/cm²]=3600

P.	Afx	Afy	σ_c	σ_f	Cbc	Cbf	Ver	Cs
	cmq/m	cmq/m	daN/cm ²	daN/cm ²				
16	31.42	20.11	-20	448	13	13	Si	8.0

Verifica aperture fessure:Wamm Freq[mm]=0.300 Wamm Qp[mm]=0.200

P.	Nx	Ny	Nxy	Mx	My	Mxy	σ_{fmed}	Wd	Wk	Cb	Ver	Cs
	daN/cm ²	daN/cm ²	daN/cm ²	kg	kg	kg	daN/cm ²	mm	mm			
16	-2.84	-0.31	0.59	5511	711	478	448	0.044	0.044	13 (Op)	Si	4.5
16	-2.88	-0.31	0.60	5556	718	486	448	0.044	0.044	12 (Fr)	Si	6.8

Muro : 86 - Nodi: [160-9-7-153], Pann.X=4, Pann.Y=4Spess.=50 cm, Terreno=--,Criterio=CLS_Muri_ND, Materiale=C35/45

Armatura a maglia doppia, Stampa elementi piu' gravosi

Combinazione Rara: σ_{ca} [daN/cm²]=224 σ_{fa} [daN/cm²]=3600

P.	Afx	Afy	σ_c	σ_f	Cbc	Cbf	Ver	Cs
	cmq/m	cmq/m	daN/cm ²	daN/cm ²				
16	31.42	20.11	-37	1426	11	11	Si	2.5

Combinazione QP: $\sigma_{ca}[\text{daN/cm}^2]=168$ $\sigma_{fa}[\text{daN/cm}^2]=3600$

P.	Afx	Afy	σ_c	σ_f	Cbc	Cbf	Ver	Cs
	cmq/m	cmq/m	daN/cm ²	daN/cm ²				
4	31.42	20.11	-13	342	13	13	Si	11

Verifica aperture fessure:Wamm Freq[mm]=0.300 Wamm Qp[mm]=0.200

P.	Nx	Ny	Nxy	Mx	My	Mxy	σ_{fmed}	Wd	Wk	Cb	Ver	Cs
	daN/cm ²	daN/cm ²	daN/cm ²	kg	kg	kg	daN/cm ²	mm	mm			
4	-1.52	-0.21	-0.20	-3648	-469	14	342	0.035	0.035	13 (Qp)	Si	5.7
4	-1.55	-0.22	-0.20	-3701	-476	14	347	0.035	0.035	12 (Fr)	Si	8.5

Muro : 87 - Nodi: [152-283-9-160], Pann.X=4, Pann.Y=4Spess.=50 cm, Terreno=--,Criterio=CLS_Muri_ND, Materiale=C35/45

Armatura a maglia doppia, Stampa elementi piu' gravosi

Combinazione Rara: $\sigma_{ca}[\text{daN/cm}^2]=224$ $\sigma_{fa}[\text{daN/cm}^2]=3600$

P.	Afx	Afy	σ_c	σ_f	Cbc	Cbf	Ver	Cs
	cmq/m	cmq/m	daN/cm ²	daN/cm ²				
16	31.42	31.42	-6	26	10	11	Si	39
4	31.42	31.42	0	385	9	11	Si	9.4

Combinazione QP: $\sigma_{ca}[\text{daN/cm}^2]=168$ $\sigma_{fa}[\text{daN/cm}^2]=3600$

P.	Afx	Afy	σ_c	σ_f	Cbc	Cbf	Ver	Cs
	cmq/m	cmq/m	daN/cm ²	daN/cm ²				
15	31.42	31.42	-6	291	13	13	Si	12
4	31.42	31.42	0	388	13	13	Si	9.3

Verifica aperture fessure:Wamm Freq[mm]=0.300 Wamm Qp[mm]=0.200

P.	Nx	Ny	Nxy	Mx	My	Mxy	σ_{fmed}	Wd	Wk	Cb	Ver	Cs
	daN/cm ²	daN/cm ²	daN/cm ²	kg	kg	kg	daN/cm ²	mm	mm			
4	2.06	0.59	-4.31	386	13	444	388	0.059	0.059	13 (Qp)	Si	3.4
4	2.09	0.59	-4.37	390	13	451	394	0.060	0.060	12 (Fr)	Si	5.0

Muro : 88 - Nodi: [159-74-283-152], Pann.X=4, Pann.Y=4Spess.=50 cm, Terreno=--,Criterio=CLS_Muri_ND, Materiale=C35/45

Armatura a maglia doppia, Stampa elementi piu' gravosi

Combinazione Rara: $\sigma_{ca}[\text{daN/cm}^2]=224$ $\sigma_{fa}[\text{daN/cm}^2]=3600$

P.	Afx	Afy	σ_c	σ_f	Cbc	Cbf	Ver	Cs
	cmq/m	cmq/m	daN/cm ²	daN/cm ²				
13	31.42	31.42	-6	527	11	11	Si	6.8

Combinazione QP: $\sigma_{ca}[\text{daN/cm}^2]=168$ $\sigma_{fa}[\text{daN/cm}^2]=3600$

P.	Afx	Afy	σ_c	σ_f	Cbc	Cbf	Ver	Cs
	cmq/m	cmq/m	daN/cm ²	daN/cm ²				
14	31.42	31.42	-6	346	13	13	Si	10
13	31.42	31.42	-5	791	13	13	Si	4.5

Verifica aperture fessure:Wamm Freq[mm]=0.300 Wamm Qp[mm]=0.200

P.	Nx	Ny	Nxy	Mx	My	Mxy	σ_{fmed}	Wd	Wk	Cb	Ver	Cs
	daN/cm ²	daN/cm ²	daN/cm ²	kg	kg	kg	daN/cm ²	mm	mm			
9	1.75	-0.10	-3.53	1164	110	124	460	0.052	0.052	13 (Qp)	Si	3.9
9	1.76	-0.10	-3.58	1197	113	126	467	0.052	0.052	12 (Fr)	Si	5.7

Muro : 89 - Nodi: [237-141-190-186], Pann.X=4, Pann.Y=4Spess.=50 cm, Terreno=--,Criterio=CLS_Muri_ND, Materiale=C35/45

Armatura a maglia doppia, Stampa elementi piu' gravosi

Combinazione Rara: $\sigma_{ca}[\text{daN/cm}^2]=224$ $\sigma_{fa}[\text{daN/cm}^2]=3600$

P.	Afx	Afy	σ_c	σ_f	Cbc	Cbf	Ver	Cs
	cmq/m	cmq/m	daN/cm ²	daN/cm ²				
6	20.11	31.42	-7	157	10	10	Si	23
4	20.11	31.42	-4	226	11	10	Si	16

Combinazione QP: $\sigma_{ca}[\text{daN/cm}^2]=168$ $\sigma_{fa}[\text{daN/cm}^2]=3600$

P.	Afx	Afy	σ_c	σ_f	Cbc	Cbf	Ver	Cs
	cmq/m	cmq/m	daN/cm ²	daN/cm ²				
16	20.11	31.42	-8	193	13	13	Si	19
4	20.11	31.42	-6	275	13	13	Si	13

Verifica aperture fessure:Wamm Freq[mm]=0.300 Wamm Qp[mm]=0.200

P.	Nx	Ny	Nxy	Mx	My	Mxy	σ_{fmed}	Wd	Wk	Cb	Ver	Cs
	daN/cm ²	daN/cm ²	daN/cm ²	kg	kg	kg	daN/cm ²	mm	mm			
12	0.34	-1.35	0.03	-549	-2221	362	215	0.027	0.027	13 (Qp)	Si	7.5
12	0.33	-1.39	0.00	-552	-2243	360	214	0.026	0.026	12 (Fr)	Si	11

Muro : 90 - Nodi: [232-237-186-185], Pann.X=4, Pann.Y=4Spess.=50 cm, Terreno=--,Criterio=CLS_Muri_ND, Materiale=C35/45

Armatura a maglia doppia, Stampa elementi piu' gravosi

Combinazione Rara: $\sigma_{ca}[\text{daN/cm}^2]=224$ $\sigma_{fa}[\text{daN/cm}^2]=3600$

P.	Afx	Afy	σ_c	σ_f	Cbc	Cbf	Ver	Cs
	cmq/m	cmq/m	daN/cm ²	daN/cm ²				
4	20.11	31.42	-14	583	11	11	Si	6.2

Combinazione QP: $\sigma_{ca}[\text{daN/cm}^2]=168$ $\sigma_{fa}[\text{daN/cm}^2]=3600$

P.	Afx	Afy	σ_c	σ_f	Cbc	Cbf	Ver	Cs
	cmq/m	cmq/m	daN/cm ²	daN/cm ²				
4	20.11	31.42	-9	702	13	13	Si	5.1

Verifica aperture fessure:Wamm Freq[mm]=0.300 Wamm Qp[mm]=0.200

P.	Nx	Ny	Nxy	Mx	My	Mxy	σ_{fmed}	Wd	Wk	Cb	Ver	Cs
	daN/cm ²	daN/cm ²	daN/cm ²	kg	kg	kg	daN/cm ²	mm	mm			
4	0.72	0.37	0.15	2213	50	-24	702	0.086	0.086	13 (Qp)	Si	2.3
4	0.72	0.38	0.14	2227	50	-27	705	0.087	0.087	12 (Fr)	Si	3.5

Muro : 91 - Nodi: [232-185-193-233], Pann.X=4, Pann.Y=4Spess.=50 cm, Terreno=--,Criterio=CLS_Muri_ND, Materiale=C35/45

Armatura a maglia doppia, Stampa elementi piu' gravosi

Combinazione Rara: $\sigma_{ca}[\text{daN/cm}^2]=224$ $\sigma_{fa}[\text{daN/cm}^2]=3600$

P.	Afx	Afy	σ_c	σ_f	Cbc	Cbf	Ver	Cs
	cmq/m	cmq/m	daN/cm ²	daN/cm ²				
13	31.42	20.11	-14	537	11	11	Si	6.7

Combinazione QP: $\sigma_{ca}[\text{daN/cm}^2]=168$ $\sigma_{fa}[\text{daN/cm}^2]=3600$

P.	Afx	Afy	σ_c	σ_f	Cbc	Cbf	Ver	Cs
	cmq/m	cmq/m	daN/cm ²	daN/cm ²				
13	31.42	20.11	-9	747	13	13	Si	4.8

Verifica aperture fessure:Wamm Freq[mm]=0.300 Wamm Qp[mm]=0.200

P.	Nx	Ny	Nxy	Mx	My	Mxy	σ_{fmed}	Wd	Wk	Cb	Ver	Cs
	daN/cm ²	daN/cm ²	daN/cm ²	kg	kg	kg	daN/cm ²	mm	mm			
13	0.44	0.78	0.22	108	2339	260	747	0.092	0.092	13 (Qp)	Si	2.2
13	0.44	0.79	0.23	108	2353	261	751	0.093	0.093	12 (Fr)	Si	3.2

Muro : 92 - Nodi: [141-143-194-190], Pann.X=4, Pann.Y=4Spess.=50 cm, Terreno=--,Criterio=CLS_Muri_ND, Materiale=C35/45

Armatura a maglia doppia, Stampa elementi piu' gravosi

Combinazione Rara: $\sigma_{ca}[\text{daN/cm}^2]=224$ $\sigma_{fa}[\text{daN/cm}^2]=3600$

P.	Afx	Afy	σ_c	σ_f	Cbc	Cbf	Ver	Cs
	cmq/m	cmq/m	daN/cm ²	daN/cm ²				
15	20.11	31.42	-8	171	10	10	Si	21
16	20.11	31.42	-3	180	11	10	Si	20

Combinazione QP: $\sigma_{ca}[\text{daN/cm}^2]=168$ $\sigma_{fa}[\text{daN/cm}^2]=3600$

P.	Afx	Afy	σ_c	σ_f	Cbc	Cbf	Ver	Cs
	cmq/m	cmq/m	daN/cm ²	daN/cm ²				
12	20.11	31.42	-9	204	13	13	Si	18
16	20.11	31.42	-9	208	13	13	Si	17

Verifica aperture fessure:Wamm Freq[mm]=0.300 Wamm Qp[mm]=0.200

P.	Nx	Ny	Nxy	Mx	My	Mxy	σ_{fmed}	Wd	Wk	Cb	Ver	Cs
	daN/cm ²	daN/cm ²	daN/cm ²	kg	kg	kg	daN/cm ²	mm	mm			
4	0.25	-1.28	-0.03	-488	-2389	244	178	0.022	0.022	13 (Qp)	Si	9.1
4	0.25	-1.33	-0.05	-489	-2416	246	177	0.022	0.022	12 (Fr)	Si	14

Muro : 93 - Nodi: [233-193-187-149], Pann.X=4, Pann.Y=4Spess.=50 cm, Terreno=--,Criterio=CLS_Muri_ND, Materiale=C35/45

Armatura a maglia doppia, Stampa elementi piu' gravosi

Combinazione Rara: $\sigma_{ca}[\text{daN/cm}^2]=224$ $\sigma_{fa}[\text{daN/cm}^2]=3600$

P.	Afx	Afy	σ_c	σ_f	Cbc	Cbf	Ver	Cs
	cmq/m	cmq/m	daN/cm ²	daN/cm ²				
4	31.42	20.11	-13	343	11	11	Si	11

Combinazione QP: $\sigma_{ca}[\text{daN/cm}^2]=168$ $\sigma_{fa}[\text{daN/cm}^2]=3600$

P.	Afx	Afy	σ_c	σ_f	Cbc	Cbf	Ver	Cs
	cmq/m	cmq/m	daN/cm ²	daN/cm ²				
16	31.42	20.11	-5	271	13	13	Si	13
15	31.42	20.11	-5	277	13	13	Si	13

Verifica aperture fessure:Wamm_Freq[mm]=0.300 Wamm_Qp[mm]=0.200

P.	Nx	Ny	Nxy	Mx	My	Mxy	σ_{fmed}	Wd	Wk	Cb	Ver	Cs
	daN/cm ²	daN/cm ²	daN/cm ²	kg	kg	kg	daN/cm ²	mm	mm			
13	-1.15	0.73	0.46	-1021	-318	907	258	0.039	0.039	13 (Op)	Si	5.1
13	-1.18	0.74	0.48	-1023	-317	917	260	0.040	0.040	12 (Fr)	Si	7.5

Muro : 94 - Nodi: [149-187-198-150], Pann.X=4, Pann.Y=4Spess.=50 cm, Terreno=--,Criterio=CLS_Muri_ND, Materiale=C35/45

Armatura a maglia doppia, Stampa elementi piu' gravosi

Combinazione Rara: σ_{ca} [daN/cm²]=224 σ_{fa} [daN/cm²]=3600

P.	Afx	Afy	σ_c	σ_f	Cbc	Cbf	Ver	Cs
	cmq/m	cmq/m	daN/cm ²	daN/cm ²				
4	31.42	20.11	-19	586	11	11	Si	6.1

Combinazione QP: σ_{ca} [daN/cm²]=168 σ_{fa} [daN/cm²]=3600

P.	Afx	Afy	σ_c	σ_f	Cbc	Cbf	Ver	Cs
	cmq/m	cmq/m	daN/cm ²	daN/cm ²				
16	31.42	20.11	-6	227	13	13	Si	16
13	31.42	20.11	-5	260	13	13	Si	14

Verifica aperture fessure:Wamm Freq[mm]=0.300 Wamm Qp[mm]=0.200

P.	Nx	Ny	Nxy	Mx	My	Mxy	σ_{fmed}	Wd	Wk	Cb	Ver	Cs
	daN/cm ²	daN/cm ²	daN/cm ²	kg	kg	kg	daN/cm ²	mm	mm			
14	-1.37	0.40	0.19	-1563	-618	656	248	0.031	0.031	13 (Op)	Si	6.5
14	-1.40	0.41	0.20	-1565	-623	664	251	0.031	0.031	12 (Fr)	Si	9.7

Muro : 95 - Nodi: [150-198-207-165], Pann.X=4, Pann.Y=4Spess.=50 cm, Terreno=--,Criterio=CLS_Muri_ND, Materiale=C35/45

Armatura a maglia doppia, Stampa elementi piu' gravosi

Combinazione Rara: σ_{ca} [daN/cm²]=224 σ_{fa} [daN/cm²]=3600

P.	Afx	Afy	σ_c	σ_f	Cbc	Cbf	Ver	Cs
	cmq/m	cmq/m	daN/cm ²	daN/cm ²				
4	31.42	20.11	-22	685	11	11	Si	5.3

Combinazione QP: σ_{ca} [daN/cm²]=168 σ_{fa} [daN/cm²]=3600

P.	Afx	Afy	σ_c	σ_f	Cbc	Cbf	Ver	Cs
	cmq/m	cmq/m	daN/cm ²	daN/cm ²				
15	31.42	20.11	-6	210	13	13	Si	17
13	31.42	20.11	-6	220	13	13	Si	16

Verifica aperture fessure:Wamm Freq[mm]=0.300 Wamm Qp[mm]=0.200

P.	Nx	Ny	Nxy	Mx	My	Mxy	σ_{fmed}	Wd	Wk	Cb	Ver	Cs
	daN/cm ²	daN/cm ²	daN/cm ²	kg	kg	kg	daN/cm ²	mm	mm			
13	-1.29	0.31	0.10	-1610	-602	370	220	0.027	0.027	13 (Op)	Si	7.4
13	-1.32	0.32	0.10	-1612	-607	375	223	0.027	0.027	12 (Fr)	Si	11

Muro : 96 - Nodi: [143-161-196-194], Pann.X=4, Pann.Y=4Spess.=50 cm, Terreno=--,Criterio=CLS_Muri_ND, Materiale=C35/45

Armatura a maglia doppia, Stampa elementi piu' gravosi

Combinazione Rara: σ_{ca} [daN/cm²]=224 σ_{fa} [daN/cm²]=3600

P.	Afx	Afy	σ_c	σ_f	Cbc	Cbf	Ver	Cs
	cmq/m	cmq/m	daN/cm ²	daN/cm ²				
13	20.11	31.42	-9	162	11	11	Si	22
16	20.11	31.42	-3	190	11	10	Si	19

Combinazione QP: σ_{ca} [daN/cm²]=168 σ_{fa} [daN/cm²]=3600

P.	Afx	Afy	σ_c	σ_f	Cbc	Cbf	Ver	Cs
	cmq/m	cmq/m	daN/cm ²	daN/cm ²				
4	20.11	31.42	-9	210	13	13	Si	17
16	20.11	31.42	-9	215	13	13	Si	17

Verifica aperture fessure:Wamm Freq[mm]=0.300 Wamm Qp[mm]=0.200

P.	Nx	Ny	Nxy	Mx	My	Mxy	σ_{fmed}	Wd	Wk	Cb	Ver	Cs
	daN/cm ²	daN/cm ²	daN/cm ²	kg	kg	kg	daN/cm ²	mm	mm			
16	0.16	-1.08	-0.08	-391	-2400	29	215	0.022	0.022	13 (Op)	Si	9.2
16	0.14	-1.12	-0.09	-398	-2427	29	214	0.022	0.022	12 (Fr)	Si	14

Muro : 97 - Nodi: [238-256-161-143], Pann.X=4, Pann.Y=4Spess.=50 cm, Terreno=--,Criterio=CLS_Muri_ND, Materiale=C35/45

Armatura a maglia doppia, Stampa elementi piu' gravosi

Combinazione Rara: σ_{ca} [daN/cm²]=224 σ_{fa} [daN/cm²]=3600

P.	Afx	Afy	σ_c	σ_f	Cbc	Cbf	Ver	Cs
	cmq/m	cmq/m	daN/cm ²	daN/cm ²				
13	20.11	31.42	-34	1188	11	11	Si	3.0
9	20.11	31.42	-34	1207	11	11	Si	3.0

Combinazione QP: σ_{ca} [daN/cm²]=168 σ_{fa} [daN/cm²]=3600

P.	Afx	Afy	σ_c	σ_f	Cbc	Cbf	Ver	Cs
	cmq/m	cmq/m	daN/cm ²	daN/cm ²				
4	20.11	31.42	-4	49	13	13	Si	38

Verifica aperture fessure:Wamm Freq[mm]=0.300 Wamm Qp[mm]=0.200

P.	Nx	Ny	Nxy	Mx	My	Mxy	σ_{fmed}	Wd	Wk	Cb	Ver	Cs
	daN/cm ²	daN/cm ²	daN/cm ²	kg	kg	kg	daN/cm ²	mm	mm			
4	-0.01	-1.40	-0.07	-220	-1280	79	49	0.006	0.006	13 (Qp)	Si	33
4	-0.02	-1.44	-0.07	-228	-1329	81	48	0.006	0.006	12 (Fr)	Si	51

Muro : 98 - Nodi: [256-253-154-161], Pann.X=4, Pann.Y=4Spess.=50 cm, Terreno=--,Criterio=CLS_Muri_ND, Materiale=C35/45

Armatura a maglia doppia, Stampa elementi piu' gravosi

Combinazione Rara: σ_{ca} [daN/cm²]=224 σ_{fa} [daN/cm²]=3600

P.	Afx	Afy	σ_c	σ_f	Cbc	Cbf	Ver	Cs
	cmq/m	cmq/m	daN/cm ²	daN/cm ²				
13	20.11	31.42	-34	1171	11	11	Si	3.1
5	20.11	31.42	-33	1215	11	11	Si	3.0

Combinazione QP: σ_{ca} [daN/cm²]=168 σ_{fa} [daN/cm²]=3600

P.	Afx	Afy	σ_c	σ_f	Cbc	Cbf	Ver	Cs
	cmq/m	cmq/m	daN/cm ²	daN/cm ²				
4	20.11	31.42	-4	36	13	13	Si	40
16	20.11	31.42	-4	36	13	13	Si	41

Verifica aperture fessure:Wamm Freq[mm]=0.300 Wamm Qp[mm]=0.200

P.	Nx	Ny	Nxy	Mx	My	Mxy	σ_{fmed}	Wd	Wk	Cb	Ver	Cs
	daN/cm ²	daN/cm ²	daN/cm ²	kg	kg	kg	daN/cm ²	mm	mm			
16	-0.01	-1.33	-0.02	-164	-1193	-25	36	0.004	0.004	13 (Qp)	Si	45
16	-0.02	-1.38	-0.02	-171	-1243	-26	36	0.004	0.004	12 (Fr)	Si	68

Muro : 99 - Nodi: [161-154-204-196], Pann.X=4, Pann.Y=4Spess.=50 cm, Terreno=--,Criterio=CLS_Muri_ND, Materiale=C35/45

Armatura a maglia doppia, Stampa elementi piu' gravosi

Combinazione Rara: σ_{ca} [daN/cm²]=224 σ_{fa} [daN/cm²]=3600

P.	Afx	Afy	σ_c	σ_f	Cbc	Cbf	Ver	Cs
	cmq/m	cmq/m	daN/cm ²	daN/cm ²				
1	20.11	31.42	-9	164	11	11	Si	22
4	20.11	31.42	-3	190	11	10	Si	19

Combinazione QP: σ_{ca} [daN/cm²]=168 σ_{fa} [daN/cm²]=3600

P.	Afx	Afy	σ_c	σ_f	Cbc	Cbf	Ver	Cs
	cmq/m	cmq/m	daN/cm ²	daN/cm ²				
12	20.11	31.42	-9	219	13	13	Si	16
8	20.11	31.42	-9	219	13	13	Si	16

Verifica aperture fessure:Wamm Freq[mm]=0.300 Wamm Qp[mm]=0.200

P.	Nx	Ny	Nxy	Mx	My	Mxy	σ_{fmed}	Wd	Wk	Cb	Ver	Cs
	daN/cm ²	daN/cm ²	daN/cm ²	kg	kg	kg	daN/cm ²	mm	mm			
8	0.16	-1.06	-0.07	-336	-2407	-8	219	0.022	0.022	13 (Qp)	Si	9.0
8	0.14	-1.10	-0.08	-341	-2435	-10	217	0.022	0.022	12 (Fr)	Si	14

Muro : 100 - Nodi: [231-165-168-262], Pann.X=4, Pann.Y=4Spess.=50 cm, Terreno=--,Criterio=CLS_Muri_ND, Materiale=C35/45

Armatura a maglia doppia, Stampa elementi piu' gravosi

Combinazione Rara: σ_{ca} [daN/cm²]=224 σ_{fa} [daN/cm²]=3600

P.	Afx	Afy	σ_c	σ_f	Cbc	Cbf	Ver	Cs
	cmq/m	cmq/m	daN/cm ²	daN/cm ²				
1	31.42	20.11	-51	1903	11	11	Si	1.9
2	31.42	20.11	-50	1933	11	11	Si	1.9

Combinazione QP: σ_{ca} [daN/cm²]=168 σ_{fa} [daN/cm²]=3600

P.	Afx	Afy	σ_c	σ_f	Cbc	Cbf	Ver	Cs
	cmq/m	cmq/m	daN/cm ²	daN/cm ²				
2	31.42	20.11	-6	76	13	13	Si	27

Verifica aperture fessure:Wamm Freq[mm]=0.300 Wamm Qp[mm]=0.200

P.	Nx	Ny	Nxy	Mx	My	Mxy	σ_{fmed}	Wd	Wk	Cb	Ver	Cs
	daN/cm ²	daN/cm ²	daN/cm ²	kg	kg	kg	daN/cm ²	mm	mm			
16	-1.64	0.06	-0.03	-389	-230	-318	68	0.008	0.008	13 (Qp)	Si	24
16	-1.67	0.06	-0.04	-398	-233	-322	70	0.009	0.009	12 (Fr)	Si	35

Muro : 101 - Nodi: [165-207-99-168], Pann.X=4, Pann.Y=4Spess.=50 cm, Terreno=--,Criterio=CLS_Muri_ND, Materiale=C35/45

Armatura a maglia doppia, Stampa elementi piu' gravosi

Combinazione Rara: $\sigma_{ca}[\text{daN/cm}^2]=224$ $\sigma_{fa}[\text{daN/cm}^2]=3600$

P.	Afx	Afy	σ_c	σ_f	Cbc	Cbf	Ver	Cs
	cmq/m	cmq/m	daN/cm ²	daN/cm ²				
1	31.42	20.11	-22	689	11	11	Si	5.2

Combinazione QP: $\sigma_{ca}[\text{daN/cm}^2]=168$ $\sigma_{fa}[\text{daN/cm}^2]=3600$

P.	Afx	Afy	σ_c	σ_f	Cbc	Cbf	Ver	Cs
	cmq/m	cmq/m	daN/cm ²	daN/cm ²				
13	31.42	20.11	-6	206	13	13	Si	17
16	31.42	20.11	-6	219	13	13	Si	16

Verifica aperture fessure:Wamm Freq[mm]=0.300 Wamm Qp[mm]=0.200

P.	Nx	Ny	Nxy	Mx	My	Mxy	σ_{fmed}	Wd	Wk	Cb	Ver	Cs
	daN/cm ²	daN/cm ²	daN/cm ²	kg	kg	kg	daN/cm ²	mm	mm			
16	-1.29	0.31	-0.08	-1603	-597	-345	219	0.027	0.027	13 (Qp)	Si	7.4
16	-1.32	0.32	-0.09	-1605	-602	-349	222	0.027	0.027	12 (Fr)	Si	11

Muro : 102 - Nodi: [262-168-162-266], Pann.X=4, Pann.Y=4Spess.=50 cm, Terreno=--,Criterio=CLS_Muri_ND, Materiale=C35/45

Armatura a maglia doppia, Stampa elementi piu' gravosi

Combinazione Rara: $\sigma_{ca}[\text{daN/cm}^2]=224$ $\sigma_{fa}[\text{daN/cm}^2]=3600$

P.	Afx	Afy	σ_c	σ_f	Cbc	Cbf	Ver	Cs
	cmq/m	cmq/m	daN/cm ²	daN/cm ²				
1	31.42	20.11	-47	1698	11	11	Si	2.1

Combinazione QP: $\sigma_{ca}[\text{daN/cm}^2]=168$ $\sigma_{fa}[\text{daN/cm}^2]=3600$

P.	Afx	Afy	σ_c	σ_f	Cbc	Cbf	Ver	Cs
	cmq/m	cmq/m	daN/cm ²	daN/cm ²				
1	31.42	20.11	-5	16	13	13	Si	34
16	31.42	20.11	-3	139	13	13	Si	26

Verifica aperture fessure:Wamm Freq[mm]=0.300 Wamm Qp[mm]=0.200

P.	Nx	Ny	Nxy	Mx	My	Mxy	σ_{fmed}	Wd	Wk	Cb	Ver	Cs
	daN/cm ²	daN/cm ²	daN/cm ²	kg	kg	kg	daN/cm ²	mm	mm			
15	-1.67	0.12	-0.05	-626	-262	-727	92	0.011	0.011	13 (Qp)	Si	18
15	-1.70	0.12	-0.05	-636	-265	-735	93	0.011	0.011	12 (Fr)	Si	26

Muro : 103 - Nodi: [168-99-101-162], Pann.X=4, Pann.Y=4Spess.=50 cm, Terreno=--,Criterio=CLS_Muri_ND, Materiale=C35/45

Armatura a maglia doppia, Stampa elementi piu' gravosi

Combinazione Rara: $\sigma_{ca}[\text{daN/cm}^2]=224$ $\sigma_{fa}[\text{daN/cm}^2]=3600$

P.	Afx	Afy	σ_c	σ_f	Cbc	Cbf	Ver	Cs
	cmq/m	cmq/m	daN/cm ²	daN/cm ²				
1	31.42	20.11	-19	570	11	11	Si	6.3

Combinazione QP: $\sigma_{ca}[\text{daN/cm}^2]=168$ $\sigma_{fa}[\text{daN/cm}^2]=3600$

P.	Afx	Afy	σ_c	σ_f	Cbc	Cbf	Ver	Cs
	cmq/m	cmq/m	daN/cm ²	daN/cm ²				
13	31.42	20.11	-6	226	13	13	Si	16
16	31.42	20.11	-5	280	13	13	Si	13

Verifica aperture fessure:Wamm Freq[mm]=0.300 Wamm Qp[mm]=0.200

P.	Nx	Ny	Nxy	Mx	My	Mxy	σ_{fmed}	Wd	Wk	Cb	Ver	Cs
	daN/cm ²	daN/cm ²	daN/cm ²	kg	kg	kg	daN/cm ²	mm	mm			
14	-1.34	0.38	-0.17	-1570	-602	-605	237	0.029	0.029	13 (Qp)	Si	6.9
14	-1.37	0.38	-0.17	-1572	-606	-613	240	0.030	0.030	12 (Fr)	Si	10

Muro : 104 - Nodi: [163-97-96-169], Pann.X=4, Pann.Y=4Spess.=50 cm, Terreno=--,Criterio=CLS_Muri_ND, Materiale=C35/45

Armatura a maglia doppia, Stampa elementi piu' gravosi

Combinazione Rara: $\sigma_{ca}[\text{daN/cm}^2]=224$ $\sigma_{fa}[\text{daN/cm}^2]=3600$

P.	Afx	Afy	σ_c	σ_f	Cbc	Cbf	Ver	Cs
	cmq/m	cmq/m	daN/cm ²	daN/cm ²				
2	31.42	20.11	-21	649	11	11	Si	5.5
3	31.42	20.11	-21	650	11	11	Si	5.5

Combinazione QP: $\sigma_{ca}[\text{daN/cm}^2]=168$ $\sigma_{fa}[\text{daN/cm}^2]=3600$

P.	Afx	Afy	σ_c	σ_f	Cbc	Cbf	Ver	Cs
	cmq/m	cmq/m	daN/cm ²	daN/cm ²				

P.	Afx	Afy	σ_c	σ_f	Cbc	Cbf	Ver	Cs
16	31.42	20.11	-5	229	13	13	Si	16

Verifica aperture fessure:Wamm Freq[mm]=0.300 Wamm Qp[mm]=0.200

P.	Nx	Ny	Nxy	Mx	My	Mxy	σ_{fmed}	Wd	Wk	Cb	Ver	Cs
	daN/cm ²	daN/cm ²	daN/cm ²	kg	kg	kg	daN/cm ²	mm	mm			
16	-1.23	0.32	-0.40	-1315	-632	-159	229	0.028	0.028	13 (Qp)	Si	7.1
16	-1.25	0.33	-0.41	-1314	-638	-160	233	0.029	0.029	12 (Fr)	Si	10

Muro : 105 - Nodi: [170-164-102-95], Pann.X=4, Pann.Y=4Spess.=50 cm, Terreno=--,Criterio=CLS_Muri_ND, Materiale=C35/45

Armatura a maglia doppia, Stampa elementi piu' gravosi

Combinazione Rara: σ_{ca} [daN/cm²]=224 σ_{fa} [daN/cm²]=3600

P.	Afx	Afy	σ_c	σ_f	Cbc	Cbf	Ver	Cs
	cmq/m	cmq/m	daN/cm ²	daN/cm ²				
13	31.42	20.11	-16	548	11	11	Si	6.6

Combinazione QP: σ_{ca} [daN/cm²]=168 σ_{fa} [daN/cm²]=3600

P.	Afx	Afy	σ_c	σ_f	Cbc	Cbf	Ver	Cs
	cmq/m	cmq/m	daN/cm ²	daN/cm ²				
16	31.42	20.11	-5	182	13	13	Si	20
12	31.42	20.11	-5	186	13	13	Si	19

Verifica aperture fessure:Wamm Freq[mm]=0.300 Wamm Qp[mm]=0.200

P.	Nx	Ny	Nxy	Mx	My	Mxy	σ_{fmed}	Wd	Wk	Cb	Ver	Cs
	daN/cm ²	daN/cm ²	daN/cm ²	kg	kg	kg	daN/cm ²	mm	mm			
4	0.70	-1.08	0.54	-405	-1011	689	174	0.021	0.021	13 (Qp)	Si	9.7
4	0.71	-1.09	0.56	-406	-1013	694	176	0.021	0.021	12 (Fr)	Si	14

Muro : 106 - Nodi: [171-170-95-110], Pann.X=4, Pann.Y=4Spess.=50 cm, Terreno=--,Criterio=CLS_Muri_ND, Materiale=C35/45

Armatura a maglia doppia, Stampa elementi piu' gravosi

Combinazione Rara: σ_{ca} [daN/cm²]=224 σ_{fa} [daN/cm²]=3600

P.	Afx	Afy	σ_c	σ_f	Cbc	Cbf	Ver	Cs
	cmq/m	cmq/m	daN/cm ²	daN/cm ²				
4	31.42	20.11	-12	352	11	11	Si	10

Combinazione QP: σ_{ca} [daN/cm²]=168 σ_{fa} [daN/cm²]=3600

P.	Afx	Afy	σ_c	σ_f	Cbc	Cbf	Ver	Cs
	cmq/m	cmq/m	daN/cm ²	daN/cm ²				
4	31.42	20.11	-6	439	13	13	Si	8.2

Verifica aperture fessure:Wamm Freq[mm]=0.300 Wamm Qp[mm]=0.200

P.	Nx	Ny	Nxy	Mx	My	Mxy	σ_{fmed}	Wd	Wk	Cb	Ver	Cs
	daN/cm ²	daN/cm ²	daN/cm ²	kg	kg	kg	daN/cm ²	mm	mm			
4	0.74	0.38	0.27	2110	79	167	439	0.046	0.046	13 (Qp)	Si	4.4
4	0.74	0.38	0.29	2119	78	167	441	0.046	0.046	12 (Fr)	Si	6.5

Muro : 107 - Nodi: [11-163-169-5], Pann.X=4, Pann.Y=4Spess.=50 cm, Terreno=--,Criterio=CLS_Muri_ND, Materiale=C35/45

Armatura a maglia doppia, Stampa elementi piu' gravosi

Combinazione Rara: σ_{ca} [daN/cm²]=224 σ_{fa} [daN/cm²]=3600

P.	Afx	Afy	σ_c	σ_f	Cbc	Cbf	Ver	Cs
	cmq/m	cmq/m	daN/cm ²	daN/cm ²				
1	31.42	20.11	-56	2041	11	11	Si	1.8

Combinazione QP: σ_{ca} [daN/cm²]=168 σ_{fa} [daN/cm²]=3600

P.	Afx	Afy	σ_c	σ_f	Cbc	Cbf	Ver	Cs
	cmq/m	cmq/m	daN/cm ²	daN/cm ²				
1	31.42	20.11	-7	29	13	13	Si	25
13	31.42	20.11	-3	83	13	13	Si	44

Verifica aperture fessure:Wamm Freq[mm]=0.300 Wamm Qp[mm]=0.200

P.	Nx	Ny	Nxy	Mx	My	Mxy	σ_{fmed}	Wd	Wk	Cb	Ver	Cs
	daN/cm ²	daN/cm ²	daN/cm ²	kg	kg	kg	daN/cm ²	mm	mm			
13	-2.24	0.24	-0.49	384	-99	227	83	0.013	0.013	13 (Qp)	Si	16
13	-2.28	0.24	-0.50	384	-101	230	85	0.013	0.013	12 (Fr)	Si	23

Muro : 108 - Nodi: [4-3-170-171], Pann.X=4, Pann.Y=4Spess.=50 cm, Terreno=--,Criterio=CLS_Muri_ND, Materiale=C35/45

Armatura a maglia doppia, Stampa elementi piu' gravosi

Combinazione Rara: σ_{ca} [daN/cm²]=224 σ_{fa} [daN/cm²]=3600

P.	Afx	Afy	σ_c	σ_f	Cbc	Cbf	Ver	Cs
	cmq/m	cmq/m	daN/cm ²	daN/cm ²				

P.	Afx	Afy	σ_c	σ_f	Cbc	Cbf	Ver	Cs
13	31.42	20.11	-21	856	11	11	Si	4.2

Combinazione QP: $\sigma_{ca}[\text{daN/cm}^2]=168$ $\sigma_{fa}[\text{daN/cm}^2]=3600$

P.	Afx	Afy	σ_c	σ_f	Cbc	Cbf	Ver	Cs
	cmq/m	cmq/m	daN/cm ²	daN/cm ²				
4	31.42	20.11	-3	307	13	13	Si	12
1	31.42	20.11	-2	459	13	13	Si	7.8

Verifica aperture fessure:Wamm Freq[mm]=0.300 Wamm Qp[mm]=0.200

P.	Nx	Ny	Nxy	Mx	My	Mxy	σ_{fmed}	Wd	Wk	Cb	Ver	Cs
	daN/cm ²	daN/cm ²	daN/cm ²	kg	kg	kg	daN/cm ²	mm	mm			
2	0.59	0.95	0.25	505	-553	377	371	0.052	0.052	13 (Qp)	Si	3.9
2	0.60	0.97	0.27	507	-558	377	377	0.053	0.053	12 (Fr)	Si	5.7

Muro : 109 - Nodi: [3-2-164-170], Pann.X=4, Pann.Y=4Spess.=50 cm, Terreno=--,Criterio=CLS_Muri_ND, Materiale=C35/45

Armatura a maglia doppia, Stampa elementi piu' gravosi

Combinazione Rara: $\sigma_{ca}[\text{daN/cm}^2]=224$ $\sigma_{fa}[\text{daN/cm}^2]=3600$

P.	Afx	Afy	σ_c	σ_f	Cbc	Cbf	Ver	Cs
	cmq/m	cmq/m	daN/cm ²	daN/cm ²				
13	31.42	20.11	-45	1994	11	11	Si	1.8

Combinazione QP: $\sigma_{ca}[\text{daN/cm}^2]=168$ $\sigma_{fa}[\text{daN/cm}^2]=3600$

P.	Afx	Afy	σ_c	σ_f	Cbc	Cbf	Ver	Cs
	cmq/m	cmq/m	daN/cm ²	daN/cm ²				
13	31.42	20.11	-3	-1	13	13	Si	52
4	31.42	20.11	-3	117	13	13	Si	31

Verifica aperture fessure:Wamm Freq[mm]=0.300 Wamm Qp[mm]=0.200

P.	Nx	Ny	Nxy	Mx	My	Mxy	σ_{fmed}	Wd	Wk	Cb	Ver	Cs
	daN/cm ²	daN/cm ²	daN/cm ²	kg	kg	kg	daN/cm ²	mm	mm			
4	0.45	-1.46	0.37	-289	-770	900	117	0.013	0.013	13 (Qp)	Si	15
4	0.46	-1.48	0.39	-291	-779	906	118	0.013	0.013	12 (Fr)	Si	22

Muro : 110 - Nodi: [2-5-169-164], Pann.X=4, Pann.Y=4Spess.=50 cm, Terreno=--,Criterio=CLS_Muri_ND, Materiale=C35/45

Armatura a maglia doppia, Stampa elementi piu' gravosi

Combinazione Rara: $\sigma_{ca}[\text{daN/cm}^2]=224$ $\sigma_{fa}[\text{daN/cm}^2]=3600$

P.	Afx	Afy	σ_c	σ_f	Cbc	Cbf	Ver	Cs
	cmq/m	cmq/m	daN/cm ²	daN/cm ²				
13	31.42	22.00	-58	2539	11	11	Si	1.4

Combinazione QP: $\sigma_{ca}[\text{daN/cm}^2]=168$ $\sigma_{fa}[\text{daN/cm}^2]=3600$

P.	Afx	Afy	σ_c	σ_f	Cbc	Cbf	Ver	Cs
	cmq/m	cmq/m	daN/cm ²	daN/cm ²				
13	31.42	22.00	-5	33	13	13	Si	35
4	31.42	20.11	-3	77	13	13	Si	47

Verifica aperture fessure:Wamm Freq[mm]=0.300 Wamm Qp[mm]=0.200

P.	Nx	Ny	Nxy	Mx	My	Mxy	σ_{fmed}	Wd	Wk	Cb	Ver	Cs
	daN/cm ²	daN/cm ²	daN/cm ²	kg	kg	kg	daN/cm ²	mm	mm			
4	0.16	-1.56	0.25	-339	-646	445	77	0.008	0.008	13 (Qp)	Si	25
4	0.16	-1.59	0.27	-343	-657	449	78	0.008	0.008	12 (Fr)	Si	37

Muro : 111 - Nodi: [164-169-96-102], Pann.X=4, Pann.Y=4Spess.=50 cm, Terreno=--,Criterio=CLS_Muri_ND, Materiale=C35/45

Armatura a maglia doppia, Stampa elementi piu' gravosi

Combinazione Rara: $\sigma_{ca}[\text{daN/cm}^2]=224$ $\sigma_{fa}[\text{daN/cm}^2]=3600$

P.	Afx	Afy	σ_c	σ_f	Cbc	Cbf	Ver	Cs
	cmq/m	cmq/m	daN/cm ²	daN/cm ²				
13	31.42	20.11	-24	922	11	11	Si	3.9

Combinazione QP: $\sigma_{ca}[\text{daN/cm}^2]=168$ $\sigma_{fa}[\text{daN/cm}^2]=3600$

P.	Afx	Afy	σ_c	σ_f	Cbc	Cbf	Ver	Cs
	cmq/m	cmq/m	daN/cm ²	daN/cm ²				
8	31.42	20.11	-6	166	13	13	Si	22
4	31.42	20.11	-6	174	13	13	Si	21

Verifica aperture fessure:Wamm Freq[mm]=0.300 Wamm Qp[mm]=0.200

P.	Nx	Ny	Nxy	Mx	My	Mxy	σ_{fmed}	Wd	Wk	Cb	Ver	Cs
	daN/cm ²	daN/cm ²	daN/cm ²	kg	kg	kg	daN/cm ²	mm	mm			
4	0.44	-1.25	0.38	-677	-1438	477	174	0.018	0.018	13 (Qp)	Si	11
4	0.45	-1.27	0.39	-682	-1441	481	177	0.018	0.018	12 (Fr)	Si	16

Muro : 112 - Nodi: [7-173-163-11], Pann.X=4, Pann.Y=4Spess.=50 cm, Terreno=--,Criterio=CLS_Muri_ND, Materiale=C35/45

Armatura a maglia doppia, Stampa elementi piu' gravosi

Combinazione Rara: $\sigma_{ca}[\text{daN/cm}^2]=224$ $\sigma_{fa}[\text{daN/cm}^2]=3600$

P.	Afx	Afy	σ_c	σ_f	Cbc	Cbf	Ver	Cs
	cmq/m	cmq/m	daN/cm ²	daN/cm ²				
4	31.42	20.11	-47	1793	11	11	Si	2.0

Combinazione QP: $\sigma_{ca}[\text{daN/cm}^2]=168$ $\sigma_{fa}[\text{daN/cm}^2]=3600$

P.	Afx	Afy	σ_c	σ_f	Cbc	Cbf	Ver	Cs
	cmq/m	cmq/m	daN/cm ²	daN/cm ²				
3	31.42	20.11	-16	334	13	13	Si	11

Verifica aperture fessure:Wamm Freq[mm]=0.300 Wamm Qp[mm]=0.200

P.	Nx	Ny	Nxy	Mx	My	Mxy	σ_{fmed}	Wd	Wk	Cb	Ver	Cs
	daN/cm ²	daN/cm ²	daN/cm ²	kg	kg	kg	daN/cm ²	mm	mm			
2	-1.90	-0.13	0.27	3869	516	298	325	0.032	0.032	13 (Qp)	Si	6.2
2	-1.93	-0.13	0.28	3887	519	302	324	0.032	0.032	12 (Fr)	Si	9.3

Muro : 113 - Nodi: [173-109-97-163], Pann.X=4, Pann.Y=4Spess.=50 cm, Terreno=--,Criterio=CLS_Muri_ND, Materiale=C35/45

Armatura a maglia doppia, Stampa elementi piu' gravosi

Combinazione Rara: $\sigma_{ca}[\text{daN/cm}^2]=224$ $\sigma_{fa}[\text{daN/cm}^2]=3600$

P.	Afx	Afy	σ_c	σ_f	Cbc	Cbf	Ver	Cs
	cmq/m	cmq/m	daN/cm ²	daN/cm ²				
4	31.42	20.11	-20	643	11	11	Si	5.6

Combinazione QP: $\sigma_{ca}[\text{daN/cm}^2]=168$ $\sigma_{fa}[\text{daN/cm}^2]=3600$

P.	Afx	Afy	σ_c	σ_f	Cbc	Cbf	Ver	Cs
	cmq/m	cmq/m	daN/cm ²	daN/cm ²				
16	31.42	20.11	-4	175	13	13	Si	21

Verifica aperture fessure:Wamm Freq[mm]=0.300 Wamm Qp[mm]=0.200

P.	Nx	Ny	Nxy	Mx	My	Mxy	σ_{fmed}	Wd	Wk	Cb	Ver	Cs
	daN/cm ²	daN/cm ²	daN/cm ²	kg	kg	kg	daN/cm ²	mm	mm			
16	-1.60	0.48	-0.10	-994	-232	39	175	0.026	0.026	13 (Qp)	Si	7.7
16	-1.62	0.49	-0.10	-989	-232	39	178	0.027	0.027	12 (Fr)	Si	11

Muro : 114 - Nodi: [9-172-173-7], Pann.X=4, Pann.Y=4Spess.=50 cm, Terreno=--,Criterio=CLS_Muri_ND, Materiale=C35/45

Armatura a maglia doppia, Stampa elementi piu' gravosi

Combinazione Rara: $\sigma_{ca}[\text{daN/cm}^2]=224$ $\sigma_{fa}[\text{daN/cm}^2]=3600$

P.	Afx	Afy	σ_c	σ_f	Cbc	Cbf	Ver	Cs
	cmq/m	cmq/m	daN/cm ²	daN/cm ²				
4	31.42	20.11	-42	1654	11	11	Si	2.2

Combinazione QP: $\sigma_{ca}[\text{daN/cm}^2]=168$ $\sigma_{fa}[\text{daN/cm}^2]=3600$

P.	Afx	Afy	σ_c	σ_f	Cbc	Cbf	Ver	Cs
	cmq/m	cmq/m	daN/cm ²	daN/cm ²				
4	31.42	20.11	-12	282	13	13	Si	13

Verifica aperture fessure:Wamm Freq[mm]=0.300 Wamm Qp[mm]=0.200

P.	Nx	Ny	Nxy	Mx	My	Mxy	σ_{fmed}	Wd	Wk	Cb	Ver	Cs
	daN/cm ²	daN/cm ²	daN/cm ²	kg	kg	kg	daN/cm ²	mm	mm			
4	-1.67	-0.15	0.16	3373	428	183	282	0.028	0.028	13 (Qp)	Si	7.1
4	-1.70	-0.15	0.17	3383	429	185	280	0.028	0.028	12 (Fr)	Si	11

Muro : 115 - Nodi: [172-104-109-173], Pann.X=4, Pann.Y=4Spess.=50 cm, Terreno=--,Criterio=CLS_Muri_ND, Materiale=C35/45

Armatura a maglia doppia, Stampa elementi piu' gravosi

Combinazione Rara: $\sigma_{ca}[\text{daN/cm}^2]=224$ $\sigma_{fa}[\text{daN/cm}^2]=3600$

P.	Afx	Afy	σ_c	σ_f	Cbc	Cbf	Ver	Cs
	cmq/m	cmq/m	daN/cm ²	daN/cm ²				
4	31.42	20.11	-16	515	11	11	Si	7.0

Combinazione QP: $\sigma_{ca}[\text{daN/cm}^2]=168$ $\sigma_{fa}[\text{daN/cm}^2]=3600$

P.	Afx	Afy	σ_c	σ_f	Cbc	Cbf	Ver	Cs
	cmq/m	cmq/m	daN/cm ²	daN/cm ²				
13	31.42	20.11	-3	246	13	13	Si	15

Verifica aperture fessure:Wamm Freq[mm]=0.300 Wamm Qp[mm]=0.200

P.	Nx	Ny	Nxy	Mx	My	Mxy	σ_{fmed}	Wd	Wk	Cb	Ver	Cs
	daN/cm ²	daN/cm ²	daN/cm ²	kg	kg	kg	daN/cm ²	mm	mm			
13	-1.84	0.71	0.44	-796	-284	590	246	0.038	0.038	13 (Op)	Si	5.2
13	-1.87	0.72	0.45	-791	-284	595	249	0.039	0.039	12 (Fr)	Si	7.7

Muro : 116 - Nodi: [1-166-172-9], Pann.X=4, Pann.Y=4Spess.=50 cm, Terreno=--,Criterio=CLS_Muri_ND, Materiale=C35/45

Armatura a maglia doppia, Stampa elementi piu' gravosi

Combinazione Rara: σ_{ca} [daN/cm²]=224 σ_{fa} [daN/cm²]=3600

P.	Afx	Afy	σ_c	σ_f	Cbc	Cbf	Ver	Cs
	cmq/m	cmq/m	daN/cm ²	daN/cm ²				
4	31.42	20.11	-33	985	11	11	Si	3.7

Combinazione QP: σ_{ca} [daN/cm²]=168 σ_{fa} [daN/cm²]=3600

P.	Afx	Afy	σ_c	σ_f	Cbc	Cbf	Ver	Cs
	cmq/m	cmq/m	daN/cm ²	daN/cm ²				
4	31.42	20.11	-8	-1	13	13	Si	22
16	31.42	20.11	-3	181	13	13	Si	20

Verifica aperture fessure:Wamm Freq[mm]=0.300 Wamm Qp[mm]=0.200

P.	Nx	Ny	Nxy	Mx	My	Mxy	σ_{fmed}	Wd	Wk	Cb	Ver	Cs
	daN/cm ²	daN/cm ²	daN/cm ²	kg	kg	kg	daN/cm ²	mm	mm			
16	-2.81	0.61	0.72	93	-123	518	181	0.033	0.033	13 (Op)	Si	6.1
16	-2.86	0.62	0.74	93	-124	521	184	0.033	0.033	12 (Fr)	Si	9.0

Muro : 117 - Nodi: [266-162-174-209], Pann.X=4, Pann.Y=4Spess.=50 cm, Terreno=--,Criterio=CLS_Muri_ND, Materiale=C35/45

Armatura a maglia doppia, Stampa elementi piu' gravosi

Combinazione Rara: σ_{ca} [daN/cm²]=224 σ_{fa} [daN/cm²]=3600

P.	Afx	Afy	σ_c	σ_f	Cbc	Cbf	Ver	Cs
	cmq/m	cmq/m	daN/cm ²	daN/cm ²				
1	31.42	20.11	-30	1038	11	11	Si	3.5

Combinazione QP: σ_{ca} [daN/cm²]=168 σ_{fa} [daN/cm²]=3600

P.	Afx	Afy	σ_c	σ_f	Cbc	Cbf	Ver	Cs
	cmq/m	cmq/m	daN/cm ²	daN/cm ²				
13	31.42	20.11	-3	166	13	13	Si	22
16	31.42	20.11	-3	188	13	13	Si	19

Verifica aperture fessure:Wamm Freq[mm]=0.300 Wamm Qp[mm]=0.200

P.	Nx	Ny	Nxy	Mx	My	Mxy	σ_{fmed}	Wd	Wk	Cb	Ver	Cs
	daN/cm ²	daN/cm ²	daN/cm ²	kg	kg	kg	daN/cm ²	mm	mm			
16	-1.58	0.49	-0.34	-839	-267	-1119	188	0.027	0.027	13 (Op)	Si	7.4
16	-1.61	0.50	-0.35	-849	-269	-1129	190	0.027	0.027	12 (Fr)	Si	11

Muro : 118 - Nodi: [162-101-120-174], Pann.X=4, Pann.Y=4Spess.=50 cm, Terreno=--,Criterio=CLS_Muri_ND, Materiale=C35/45

Armatura a maglia doppia, Stampa elementi piu' gravosi

Combinazione Rara: σ_{ca} [daN/cm²]=224 σ_{fa} [daN/cm²]=3600

P.	Afx	Afy	σ_c	σ_f	Cbc	Cbf	Ver	Cs
	cmq/m	cmq/m	daN/cm ²	daN/cm ²				
1	31.42	20.11	-10	232	11	11	Si	16
14	31.42	20.11	-2	256	11	10	Si	14

Combinazione QP: σ_{ca} [daN/cm²]=168 σ_{fa} [daN/cm²]=3600

P.	Afx	Afy	σ_c	σ_f	Cbc	Cbf	Ver	Cs
	cmq/m	cmq/m	daN/cm ²	daN/cm ²				
13	31.42	20.11	-4	291	13	13	Si	12

Verifica aperture fessure:Wamm Freq[mm]=0.300 Wamm Qp[mm]=0.200

P.	Nx	Ny	Nxy	Mx	My	Mxy	σ_{fmed}	Wd	Wk	Cb	Ver	Cs
	daN/cm ²	daN/cm ²	daN/cm ²	kg	kg	kg	daN/cm ²	mm	mm			
16	-1.16	0.76	-0.51	-986	-304	-893	263	0.041	0.041	13 (Op)	Si	4.9
16	-1.18	0.77	-0.52	-988	-303	-902	265	0.042	0.042	12 (Fr)	Si	7.2

Muro : 119 - Nodi: [166-117-104-172], Pann.X=4, Pann.Y=4Spess.=50 cm, Terreno=--,Criterio=CLS_Muri_ND, Materiale=C35/45

Armatura a maglia doppia, Stampa elementi piu' gravosi

Combinazione Rara: σ_{ca} [daN/cm²]=224 σ_{fa} [daN/cm²]=3600

P.	Afx	Afy	σ_c	σ_f	Cbc	Cbf	Ver	Cs
	cmq/m	cmq/m	daN/cm ²	daN/cm ²				

P.	Afx	Afy	σ_c	σ_f	Cbc	Cbf	Ver	Cs
4	31.42	20.11	-9	150	11	11	Si	24
14	31.42	20.11	-1	253	11	10	Si	14

Combinazione QP: $\sigma_{ca}[\text{daN/cm}^2]=168$ $\sigma_{fa}[\text{daN/cm}^2]=3600$

P.	Afx	Afy	σ_c	σ_f	Cbc	Cbf	Ver	Cs
	cmq/m	cmq/m	daN/cm ²	daN/cm ²				
16	31.42	20.11	-3	276	13	13	Si	13
15	31.42	20.11	-3	279	13	13	Si	13

Verifica aperture fessure:Wamm Freq[mm]=0.300 Wamm Qp[mm]=0.200

P.	Nx	Ny	Nxy	Mx	My	Mxy	σ_{fmed}	Wd	Wk	Cb	Ver	Cs
	daN/cm ²	daN/cm ²	daN/cm ²	kg	kg	kg	daN/cm ²	mm	mm			
16	-1.81	0.78	0.67	-775	-336	626	276	0.042	0.042	13 (Qp)	Si	4.7
16	-1.84	0.79	0.69	-771	-336	632	279	0.043	0.043	12 (Fr)	Si	7.0

Muro : 120 - Nodi: [167-118-117-166], Pann.X=4, Pann.Y=4Spess.=50 cm, Terreno=--,Criterio=CLS_Muri_ND, Materiale=C35/45

Armatura a maglia doppia, Stampa elementi piu' gravosi

Combinazione Rara: $\sigma_{ca}[\text{daN/cm}^2]=224$ $\sigma_{fa}[\text{daN/cm}^2]=3600$

P.	Afx	Afy	σ_c	σ_f	Cbc	Cbf	Ver	Cs
	cmq/m	cmq/m	daN/cm ²	daN/cm ²				
13	31.42	20.11	-15	570	11	11	Si	6.3

Combinazione QP: $\sigma_{ca}[\text{daN/cm}^2]=168$ $\sigma_{fa}[\text{daN/cm}^2]=3600$

P.	Afx	Afy	σ_c	σ_f	Cbc	Cbf	Ver	Cs
	cmq/m	cmq/m	daN/cm ²	daN/cm ²				
13	31.42	20.11	-6	565	13	13	Si	6.4

Verifica aperture fessure:Wamm Freq[mm]=0.300 Wamm Qp[mm]=0.200

P.	Nx	Ny	Nxy	Mx	My	Mxy	σ_{fmed}	Wd	Wk	Cb	Ver	Cs
	daN/cm ²	daN/cm ²	daN/cm ²	kg	kg	kg	daN/cm ²	mm	mm			
13	0.32	0.66	0.60	59	1694	14	565	0.070	0.070	13 (Qp)	Si	2.9
13	0.32	0.67	0.62	58	1699	11	567	0.070	0.070	12 (Fr)	Si	4.3

Muro : 121 - Nodi: [174-120-119-176], Pann.X=4, Pann.Y=4Spess.=50 cm, Terreno=--,Criterio=CLS_Muri_ND, Materiale=C35/45

Armatura a maglia doppia, Stampa elementi piu' gravosi

Combinazione Rara: $\sigma_{ca}[\text{daN/cm}^2]=224$ $\sigma_{fa}[\text{daN/cm}^2]=3600$

P.	Afx	Afy	σ_c	σ_f	Cbc	Cbf	Ver	Cs
	cmq/m	cmq/m	daN/cm ²	daN/cm ²				
16	31.42	20.11	-14	536	11	11	Si	6.7

Combinazione QP: $\sigma_{ca}[\text{daN/cm}^2]=168$ $\sigma_{fa}[\text{daN/cm}^2]=3600$

P.	Afx	Afy	σ_c	σ_f	Cbc	Cbf	Ver	Cs
	cmq/m	cmq/m	daN/cm ²	daN/cm ²				
16	31.42	20.11	-9	748	13	13	Si	4.8

Verifica aperture fessure:Wamm Freq[mm]=0.300 Wamm Qp[mm]=0.200

P.	Nx	Ny	Nxy	Mx	My	Mxy	σ_{fmed}	Wd	Wk	Cb	Ver	Cs
	daN/cm ²	daN/cm ²	daN/cm ²	kg	kg	kg	daN/cm ²	mm	mm			
16	0.44	0.78	-0.26	104	2340	-247	748	0.092	0.092	13 (Qp)	Si	2.2
16	0.45	0.79	-0.27	103	2354	-248	752	0.093	0.093	12 (Fr)	Si	3.2

Muro : 122 - Nodi: [10-167-166-1], Pann.X=4, Pann.Y=4Spess.=50 cm, Terreno=--,Criterio=CLS_Muri_ND, Materiale=C35/45

Armatura a maglia doppia, Stampa elementi piu' gravosi

Combinazione Rara: $\sigma_{ca}[\text{daN/cm}^2]=224$ $\sigma_{fa}[\text{daN/cm}^2]=3600$

P.	Afx	Afy	σ_c	σ_f	Cbc	Cbf	Ver	Cs
	cmq/m	cmq/m	daN/cm ²	daN/cm ²				
4	31.42	20.11	-18	591	11	11	Si	6.1

Combinazione QP: $\sigma_{ca}[\text{daN/cm}^2]=168$ $\sigma_{fa}[\text{daN/cm}^2]=3600$

P.	Afx	Afy	σ_c	σ_f	Cbc	Cbf	Ver	Cs
	cmq/m	cmq/m	daN/cm ²	daN/cm ²				
13	31.42	20.11	-3	381	13	13	Si	9.4

Verifica aperture fessure:Wamm Freq[mm]=0.300 Wamm Qp[mm]=0.200

P.	Nx	Ny	Nxy	Mx	My	Mxy	σ_{fmed}	Wd	Wk	Cb	Ver	Cs
	daN/cm ²	daN/cm ²	daN/cm ²	kg	kg	kg	daN/cm ²	mm	mm			
13	0.72	0.63	0.57	-89	944	99	381	0.047	0.047	13 (Qp)	Si	4.3
13	0.74	0.64	0.59	-90	948	96	384	0.047	0.047	12 (Fr)	Si	6.3

Muro : 123 - Nodi: [209-174-176-221], Pann.X=4, Pann.Y=4Spess.=50 cm, Terreno=--,Criterio=CLS_Muri_ND, Materiale=C35/45

Armatura a maglia doppia, Stampa elementi piu' gravosi

Combinazione Rara: $\sigma_{ca}[\text{daN/cm}^2]=224$ $\sigma_{fa}[\text{daN/cm}^2]=3600$

P.	Afx	Afy	σ_c	σ_f	Cbc	Cbf	Ver	Cs
	cmq/m	cmq/m	daN/cm ²	daN/cm ²				
1	31.42	20.11	-17	565	11	11	Si	6.4

Combinazione QP: $\sigma_{ca}[\text{daN/cm}^2]=168$ $\sigma_{fa}[\text{daN/cm}^2]=3600$

P.	Afx	Afy	σ_c	σ_f	Cbc	Cbf	Ver	Cs
	cmq/m	cmq/m	daN/cm ²	daN/cm ²				
16	31.42	20.11	-5	530	13	13	Si	6.8

Verifica aperture fessure:Wamm Freq[mm]=0.300 Wamm Qp[mm]=0.200

P.	Nx	Ny	Nxy	Mx	My	Mxy	σ_{fmed}	Wd	Wk	Cb	Ver	Cs
	daN/cm ²	daN/cm ²	daN/cm ²	kg	kg	kg	daN/cm ²	mm	mm			
16	0.87	0.80	-0.27	-220	1394	-387	530	0.065	0.065	13 (Qp)	Si	3.1
16	0.88	0.81	-0.29	-223	1404	-388	535	0.066	0.066	12 (Fr)	Si	4.6

Muro : 124 - Nodi: [253-208-178-154], Pann.X=4, Pann.Y=4Spess.=50 cm, Terreno=--,Criterio=CLS_Muri_ND, Materiale=C35/45

Armatura a maglia doppia, Stampa elementi piu' gravosi

Combinazione Rara: $\sigma_{ca}[\text{daN/cm}^2]=224$ $\sigma_{fa}[\text{daN/cm}^2]=3600$

P.	Afx	Afy	σ_c	σ_f	Cbc	Cbf	Ver	Cs
	cmq/m	cmq/m	daN/cm ²	daN/cm ²				
1	20.11	31.42	-34	1168	11	11	Si	3.1
5	20.11	31.42	-33	1196	11	11	Si	3.0

Combinazione QP: $\sigma_{ca}[\text{daN/cm}^2]=168$ $\sigma_{fa}[\text{daN/cm}^2]=3600$

P.	Afx	Afy	σ_c	σ_f	Cbc	Cbf	Ver	Cs
	cmq/m	cmq/m	daN/cm ²	daN/cm ²				
16	20.11	31.42	-4	50	13	13	Si	42

Verifica aperture fessure:Wamm Freq[mm]=0.300 Wamm Qp[mm]=0.200

P.	Nx	Ny	Nxy	Mx	My	Mxy	σ_{fmed}	Wd	Wk	Cb	Ver	Cs
	daN/cm ²	daN/cm ²	daN/cm ²	kg	kg	kg	daN/cm ²	mm	mm			
16	-0.01	-1.44	0.06	-219	-1166	-138	50	0.006	0.006	13 (Qp)	Si	33
16	-0.02	-1.48	0.07	-226	-1211	-140	49	0.006	0.006	12 (Fr)	Si	50

Muro : 125 - Nodi: [154-178-123-204], Pann.X=4, Pann.Y=4Spess.=50 cm, Terreno=--,Criterio=CLS_Muri_ND, Materiale=C35/45

Armatura a maglia doppia, Stampa elementi piu' gravosi

Combinazione Rara: $\sigma_{ca}[\text{daN/cm}^2]=224$ $\sigma_{fa}[\text{daN/cm}^2]=3600$

P.	Afx	Afy	σ_c	σ_f	Cbc	Cbf	Ver	Cs
	cmq/m	cmq/m	daN/cm ²	daN/cm ²				
1	20.11	31.42	-8	150	11	11	Si	24
8	20.11	31.42	-3	185	11	10	Si	19

Combinazione QP: $\sigma_{ca}[\text{daN/cm}^2]=168$ $\sigma_{fa}[\text{daN/cm}^2]=3600$

P.	Afx	Afy	σ_c	σ_f	Cbc	Cbf	Ver	Cs
	cmq/m	cmq/m	daN/cm ²	daN/cm ²				
4	20.11	31.42	-9	214	13	13	Si	17

Verifica aperture fessure:Wamm Freq[mm]=0.300 Wamm Qp[mm]=0.200

P.	Nx	Ny	Nxy	Mx	My	Mxy	σ_{fmed}	Wd	Wk	Cb	Ver	Cs
	daN/cm ²	daN/cm ²	daN/cm ²	kg	kg	kg	daN/cm ²	mm	mm			
4	0.16	-1.07	-0.03	-301	-2386	6	214	0.022	0.022	13 (Qp)	Si	9.2
4	0.15	-1.12	-0.03	-303	-2413	6	212	0.021	0.021	12 (Fr)	Si	14

Muro : 126 - Nodi: [208-71-175-178], Pann.X=4, Pann.Y=4Spess.=50 cm, Terreno=--,Criterio=CLS_Muri_ND, Materiale=C35/45

Armatura a maglia doppia, Stampa elementi piu' gravosi

Combinazione Rara: $\sigma_{ca}[\text{daN/cm}^2]=224$ $\sigma_{fa}[\text{daN/cm}^2]=3600$

P.	Afx	Afy	σ_c	σ_f	Cbc	Cbf	Ver	Cs
	cmq/m	cmq/m	daN/cm ²	daN/cm ²				
1	20.11	31.42	-32	1102	11	11	Si	3.3

Combinazione QP: $\sigma_{ca}[\text{daN/cm}^2]=168$ $\sigma_{fa}[\text{daN/cm}^2]=3600$

P.	Afx	Afy	σ_c	σ_f	Cbc	Cbf	Ver	Cs
	cmq/m	cmq/m	daN/cm ²	daN/cm ²				

P.	Afx	Afy	σ_c	σ_f	Cbc	Cbf	Ver	Cs
16	20.11	31.42	-4	77	13	13	Si	39

Verifica aperture fessure:Wamm Freq[mm]=0.300 Wamm Qp[mm]=0.200

P.	Nx	Ny	Nxy	Mx	My	Mxy	σ_{fmed}	Wd	Wk	Cb	Ver	Cs
	daN/cm ²	daN/cm ²	daN/cm ²	kg	kg	kg	daN/cm ²	mm	mm			
16	0.04	-1.60	0.03	-282	-1257	-338	77	0.010	0.010	13 (Qp)	Si	21
16	0.04	-1.64	0.04	-288	-1301	-340	77	0.010	0.010	12 (Fr)	Si	31

Muro : 127 - Nodi: [178-175-127-123], Pann.X=4, Pann.Y=4Spess.=50 cm, Terreno=--,Criterio=CLS_Muri_ND, Materiale=C35/45

Armatura a maglia doppia, Stampa elementi piu' gravosi

Combinazione Rara: σ_{ca} [daN/cm²]=224 σ_{fa} [daN/cm²]=3600

P.	Afx	Afy	σ_c	σ_f	Cbc	Cbf	Ver	Cs
	cmq/m	cmq/m	daN/cm ²	daN/cm ²				
1	20.11	31.42	-7	105	11	11	Si	31
4	20.11	31.42	-4	149	11	10	Si	24

Combinazione QP: σ_{ca} [daN/cm²]=168 σ_{fa} [daN/cm²]=3600

P.	Afx	Afy	σ_c	σ_f	Cbc	Cbf	Ver	Cs
	cmq/m	cmq/m	daN/cm ²	daN/cm ²				
4	20.11	31.42	-8	177	13	13	Si	20
16	20.11	31.42	-8	189	13	13	Si	19

Verifica aperture fessure:Wamm Freq[mm]=0.300 Wamm Qp[mm]=0.200

P.	Nx	Ny	Nxy	Mx	My	Mxy	σ_{fmed}	Wd	Wk	Cb	Ver	Cs
	daN/cm ²	daN/cm ²	daN/cm ²	kg	kg	kg	daN/cm ²	mm	mm			
16	0.27	-1.31	-0.04	-511	-2187	-299	189	0.023	0.023	13 (Qp)	Si	8.6
16	0.27	-1.36	-0.02	-512	-2211	-300	188	0.023	0.023	12 (Fr)	Si	13

Muro : 128 - Nodi: [71-280-180-175], Pann.X=4, Pann.Y=4Spess.=50 cm, Terreno=--,Criterio=CLS_Muri_ND, Materiale=C35/45

Armatura a maglia doppia, Stampa elementi piu' gravosi

Combinazione Rara: σ_{ca} [daN/cm²]=224 σ_{fa} [daN/cm²]=3600

P.	Afx	Afy	σ_c	σ_f	Cbc	Cbf	Ver	Cs
	cmq/m	cmq/m	daN/cm ²	daN/cm ²				
1	20.11	31.42	-28	941	11	11	Si	3.8

Combinazione QP: σ_{ca} [daN/cm²]=168 σ_{fa} [daN/cm²]=3600

P.	Afx	Afy	σ_c	σ_f	Cbc	Cbf	Ver	Cs
	cmq/m	cmq/m	daN/cm ²	daN/cm ²				
8	20.11	31.42	-4	90	13	13	Si	38
16	20.11	31.42	-4	122	13	13	Si	30

Verifica aperture fessure:Wamm Freq[mm]=0.300 Wamm Qp[mm]=0.200

P.	Nx	Ny	Nxy	Mx	My	Mxy	σ_{fmed}	Wd	Wk	Cb	Ver	Cs
	daN/cm ²	daN/cm ²	daN/cm ²	kg	kg	kg	daN/cm ²	mm	mm			
16	0.17	-1.68	-0.00	-330	-1244	-586	122	0.015	0.015	13 (Qp)	Si	13
16	0.17	-1.72	0.02	-335	-1280	-587	122	0.015	0.015	12 (Fr)	Si	20

Muro : 129 - Nodi: [175-180-128-127], Pann.X=4, Pann.Y=4Spess.=50 cm, Terreno=--,Criterio=CLS_Muri_ND, Materiale=C35/45

Armatura a maglia doppia, Stampa elementi piu' gravosi

Combinazione Rara: σ_{ca} [daN/cm²]=224 σ_{fa} [daN/cm²]=3600

P.	Afx	Afy	σ_c	σ_f	Cbc	Cbf	Ver	Cs
	cmq/m	cmq/m	daN/cm ²	daN/cm ²				
10	20.11	31.42	-6	141	10	10	Si	25
16	20.11	31.42	-5	183	11	10	Si	20

Combinazione QP: σ_{ca} [daN/cm²]=168 σ_{fa} [daN/cm²]=3600

P.	Afx	Afy	σ_c	σ_f	Cbc	Cbf	Ver	Cs
	cmq/m	cmq/m	daN/cm ²	daN/cm ²				
4	20.11	31.42	-8	199	13	13	Si	18
16	20.11	31.42	-7	234	13	13	Si	15

Verifica aperture fessure:Wamm Freq[mm]=0.300 Wamm Qp[mm]=0.200

P.	Nx	Ny	Nxy	Mx	My	Mxy	σ_{fmed}	Wd	Wk	Cb	Ver	Cs
	daN/cm ²	daN/cm ²	daN/cm ²	kg	kg	kg	daN/cm ²	mm	mm			
8	0.34	-1.35	-0.07	-532	-2071	-363	211	0.026	0.026	13 (Qp)	Si	7.7
8	0.33	-1.40	-0.05	-533	-2092	-361	210	0.026	0.026	12 (Fr)	Si	12

Muro : 130 - Nodi: [280-8-183-180], Pann.X=4, Pann.Y=4Spess.=50 cm, Terreno=--,Criterio=CLS_Muri_ND, Materiale=C35/45

Armatura a maglia doppia, Stampa elementi piu' gravosi

Combinazione Rara: $\sigma_{ca}[\text{daN/cm}^2]=224$ $\sigma_{fa}[\text{daN/cm}^2]=3600$

P.	Afx	Afy	σ_c	σ_f	Cbc	Cbf	Ver	Cs
	cmq/m	cmq/m	daN/cm ²	daN/cm ²				
1	20.11	31.42	-20	651	11	11	Si	5.5

Combinazione QP: $\sigma_{ca}[\text{daN/cm}^2]=168$ $\sigma_{fa}[\text{daN/cm}^2]=3600$

P.	Afx	Afy	σ_c	σ_f	Cbc	Cbf	Ver	Cs
	cmq/m	cmq/m	daN/cm ²	daN/cm ²				
4	20.11	31.42	-4	132	13	13	Si	27
16	20.11	31.42	-3	163	13	13	Si	22

Verifica aperture fessure:Wamm Freq[mm]=0.300 Wamm Qp[mm]=0.200

P.	Nx	Ny	Nxy	Mx	My	Mxy	σ_{fmed}	Wd	Wk	Cb	Ver	Cs
	daN/cm ²	daN/cm ²	daN/cm ²	kg	kg	kg	daN/cm ²	mm	mm			
16	0.48	-1.24	-0.11	-178	-946	-843	163	0.026	0.026	13 (Qp)	Si	7.7
16	0.48	-1.26	-0.09	-181	-967	-845	163	0.026	0.026	12 (Fr)	Si	12

Muro : 131 - Nodi: [180-183-131-128], Pann.X=4, Pann.Y=4Spess.=50 cm, Terreno=--,Criterio=CLS_Muri_ND, Materiale=C35/45

Armatura a maglia doppia, Stampa elementi piu' gravosi

Combinazione Rara: $\sigma_{ca}[\text{daN/cm}^2]=224$ $\sigma_{fa}[\text{daN/cm}^2]=3600$

P.	Afx	Afy	σ_c	σ_f	Cbc	Cbf	Ver	Cs
	cmq/m	cmq/m	daN/cm ²	daN/cm ²				
4	20.11	31.42	-4	196	11	10	Si	18
11	20.11	31.42	-3	207	11	10	Si	17

Combinazione QP: $\sigma_{ca}[\text{daN/cm}^2]=168$ $\sigma_{fa}[\text{daN/cm}^2]=3600$

P.	Afx	Afy	σ_c	σ_f	Cbc	Cbf	Ver	Cs
	cmq/m	cmq/m	daN/cm ²	daN/cm ²				
4	20.11	31.42	-6	243	13	13	Si	15
8	20.11	31.42	-5	245	13	13	Si	15

Verifica aperture fessure:Wamm Freq[mm]=0.300 Wamm Qp[mm]=0.200

P.	Nx	Ny	Nxy	Mx	My	Mxy	σ_{fmed}	Wd	Wk	Cb	Ver	Cs
	daN/cm ²	daN/cm ²	daN/cm ²	kg	kg	kg	daN/cm ²	mm	mm			
16	0.66	-0.88	-0.28	-110	-974	-426	191	0.036	0.036	13 (Qp)	Si	5.6
16	0.66	-0.90	-0.26	-111	-982	-421	191	0.035	0.035	12 (Fr)	Si	8.5

Muro : 132 - Nodi: [183-171-110-131], Pann.X=4, Pann.Y=4Spess.=50 cm, Terreno=--,Criterio=CLS_Muri_ND, Materiale=C35/45

Armatura a maglia doppia, Stampa elementi piu' gravosi

Combinazione Rara: $\sigma_{ca}[\text{daN/cm}^2]=224$ $\sigma_{fa}[\text{daN/cm}^2]=3600$

P.	Afx	Afy	σ_c	σ_f	Cbc	Cbf	Ver	Cs
	cmq/m	cmq/m	daN/cm ²	daN/cm ²				
16	20.11	31.42	-16	689	11	11	Si	5.2

Combinazione QP: $\sigma_{ca}[\text{daN/cm}^2]=168$ $\sigma_{fa}[\text{daN/cm}^2]=3600$

P.	Afx	Afy	σ_c	σ_f	Cbc	Cbf	Ver	Cs
	cmq/m	cmq/m	daN/cm ²	daN/cm ²				
16	20.11	31.42	-9	718	13	13	Si	5.0

Verifica aperture fessure:Wamm Freq[mm]=0.300 Wamm Qp[mm]=0.200

P.	Nx	Ny	Nxy	Mx	My	Mxy	σ_{fmed}	Wd	Wk	Cb	Ver	Cs
	daN/cm ²	daN/cm ²	daN/cm ²	kg	kg	kg	daN/cm ²	mm	mm			
16	0.68	0.41	-0.00	2320	109	-26	718	0.089	0.089	13 (Qp)	Si	2.3
16	0.69	0.41	0.01	2332	109	-27	721	0.089	0.089	12 (Fr)	Si	3.4

Muro : 133 - Nodi: [8-4-171-183], Pann.X=4, Pann.Y=4Spess.=50 cm, Terreno=--,Criterio=CLS_Muri_ND, Materiale=C35/45

Armatura a maglia doppia, Stampa elementi piu' gravosi

Combinazione Rara: $\sigma_{ca}[\text{daN/cm}^2]=224$ $\sigma_{fa}[\text{daN/cm}^2]=3600$

P.	Afx	Afy	σ_c	σ_f	Cbc	Cbf	Ver	Cs
	cmq/m	cmq/m	daN/cm ²	daN/cm ²				
1	20.11	31.42	-8	232	11	11	Si	15
16	20.11	31.42	-6	303	11	11	Si	12

Combinazione QP: $\sigma_{ca}[\text{daN/cm}^2]=168$ $\sigma_{fa}[\text{daN/cm}^2]=3600$

P.	Afx	Afy	σ_c	σ_f	Cbc	Cbf	Ver	Cs
	cmq/m	cmq/m	daN/cm ²	daN/cm ²				
16	20.11	31.42	-5	503	13	13	Si	7.2

Verifica aperture fessure:Wamm Freq[mm]=0.300 Wamm Qp[mm]=0.200

P.	Nx	Ny	Nxy	Mx	My	Mxy	σ_{fmed}	Wd	Wk	Cb	Ver	Cs
	daN/cm ²	daN/cm ²	daN/cm ²	kg	kg	kg	daN/cm ²	mm	mm			
16	0.65	0.76	-0.04	1437	-201	-203	503	0.062	0.062	13 (Qp)	Si	3.2
16	0.66	0.76	-0.02	1448	-207	-207	506	0.062	0.062	12 (Fr)	Si	4.8

Muro : 134 - Nodi: [176-119-126-179], Pann.X=4, Pann.Y=4Spess.=50 cm, Terreno=--,Criterio=CLS_Muri_ND,
Materiale=C35/45

Armatura a maglia doppia, Stampa elementi piu' gravosi

Combinazione Rara: σ_{ca} [daN/cm²]=224 σ_{fa} [daN/cm²]=3600

P.	Afx	Afy	σ_c	σ_f	Cbc	Cbf	Ver	Cs
	cmq/m	cmq/m	daN/cm ²	daN/cm ²				
13	31.42	20.11	-14	583	11	11	Si	6.2

Combinazione QP: σ_{ca} [daN/cm²]=168 σ_{fa} [daN/cm²]=3600

P.	Afx	Afy	σ_c	σ_f	Cbc	Cbf	Ver	Cs
	cmq/m	cmq/m	daN/cm ²	daN/cm ²				
13	31.42	20.11	-9	703	13	13	Si	5.1

Verifica aperture fessure:Wamm Freq[mm]=0.300 Wamm Qp[mm]=0.200

P.	Nx	Ny	Nxy	Mx	My	Mxy	σ_{fmed}	Wd	Wk	Cb	Ver	Cs
	daN/cm ²	daN/cm ²	daN/cm ²	kg	kg	kg	daN/cm ²	mm	mm			
13	0.37	0.72	0.11	47	2213	-18	703	0.087	0.087	13 (Qp)	Si	2.3
13	0.38	0.72	0.11	48	2227	-20	706	0.087	0.087	12 (Fr)	Si	3.4

Muro : 135 - Nodi: [181-124-125-182], Pann.X=4, Pann.Y=4Spess.=50 cm, Terreno=--,Criterio=CLS_Muri_ND,
Materiale=C35/45

Armatura a maglia doppia, Stampa elementi piu' gravosi

Combinazione Rara: σ_{ca} [daN/cm²]=224 σ_{fa} [daN/cm²]=3600

P.	Afx	Afy	σ_c	σ_f	Cbc	Cbf	Ver	Cs
	cmq/m	cmq/m	daN/cm ²	daN/cm ²				
4	31.42	20.11	-9	162	11	11	Si	22
16	31.42	20.11	-3	191	11	10	Si	19

Combinazione QP: σ_{ca} [daN/cm²]=168 σ_{fa} [daN/cm²]=3600

P.	Afx	Afy	σ_c	σ_f	Cbc	Cbf	Ver	Cs
	cmq/m	cmq/m	daN/cm ²	daN/cm ²				
13	31.42	20.11	-9	212	13	13	Si	17
16	31.42	20.11	-9	217	13	13	Si	17

Verifica aperture fessure:Wamm Freq[mm]=0.300 Wamm Qp[mm]=0.200

P.	Nx	Ny	Nxy	Mx	My	Mxy	σ_{fmed}	Wd	Wk	Cb	Ver	Cs
	daN/cm ²	daN/cm ²	daN/cm ²	kg	kg	kg	daN/cm ²	mm	mm			
16	-1.09	0.07	-0.19	-2420	-404	-7	217	0.022	0.022	13 (Qp)	Si	9.1
16	-1.12	0.05	-0.20	-2447	-411	-8	216	0.022	0.022	12 (Fr)	Si	14

Muro : 136 - Nodi: [184-134-124-181], Pann.X=4, Pann.Y=4Spess.=50 cm, Terreno=--,Criterio=CLS_Muri_ND,
Materiale=C35/45

Armatura a maglia doppia, Stampa elementi piu' gravosi

Combinazione Rara: σ_{ca} [daN/cm²]=224 σ_{fa} [daN/cm²]=3600

P.	Afx	Afy	σ_c	σ_f	Cbc	Cbf	Ver	Cs
	cmq/m	cmq/m	daN/cm ²	daN/cm ²				
12	31.42	20.11	-8	173	10	10	Si	21
16	31.42	20.11	-3	182	11	10	Si	20

Combinazione QP: σ_{ca} [daN/cm²]=168 σ_{fa} [daN/cm²]=3600

P.	Afx	Afy	σ_c	σ_f	Cbc	Cbf	Ver	Cs
	cmq/m	cmq/m	daN/cm ²	daN/cm ²				
15	31.42	20.11	-9	205	13	13	Si	18
16	31.42	20.11	-9	210	13	13	Si	17

Verifica aperture fessure:Wamm Freq[mm]=0.300 Wamm Qp[mm]=0.200

P.	Nx	Ny	Nxy	Mx	My	Mxy	σ_{fmed}	Wd	Wk	Cb	Ver	Cs
	daN/cm ²	daN/cm ²	daN/cm ²	kg	kg	kg	daN/cm ²	mm	mm			
16	-1.15	0.11	-0.16	-2429	-455	103	210	0.021	0.021	13 (Qp)	Si	9.5
16	-1.19	0.09	-0.17	-2455	-461	106	208	0.021	0.021	12 (Fr)	Si	14

Muro : 137 - Nodi: [223-182-177-222], Pann.X=4, Pann.Y=4Spess.=50 cm, Terreno=--,Criterio=CLS_Muri_ND,
Materiale=C35/45

Armatura a maglia doppia, Stampa elementi piu' gravosi

Combinazione Rara: $\sigma_{ca}[\text{daN/cm}^2]=224$ $\sigma_{fa}[\text{daN/cm}^2]=3600$

P.	Afx	Afy	σ_c	σ_f	Cbc	Cbf	Ver	Cs
	cmq/m	cmq/m	daN/cm ²	daN/cm ²				
4	31.42	20.11	-34	1171	11	11	Si	3.1
2	31.42	20.11	-33	1216	11	11	Si	3.0

Combinazione QP: $\sigma_{ca}[\text{daN/cm}^2]=168$ $\sigma_{fa}[\text{daN/cm}^2]=3600$

P.	Afx	Afy	σ_c	σ_f	Cbc	Cbf	Ver	Cs
	cmq/m	cmq/m	daN/cm ²	daN/cm ²				
13	31.42	20.11	-4	36	13	13	Si	39
14	31.42	20.11	-4	39	13	13	Si	39

Verifica aperture fessure:Wamm Freq[mm]=0.300 Wamm Qp[mm]=0.200

P.	Nx	Ny	Nxy	Mx	My	Mxy	σ_{fmed}	Wd	Wk	Cb	Ver	Cs
	daN/cm ²	daN/cm ²	daN/cm ²	kg	kg	kg	daN/cm ²	mm	mm			
16	-1.34	-0.06	-0.14	-1223	-179	-76	29	0.004	0.004	13 (Qp)	Si	57
16	-1.38	-0.07	-0.14	-1273	-185	-77	28	0.003	0.003	12 (Fr)	Si	87

Muro : 138 - Nodi : [221-176-179-217], Pann.X=4, Pann.Y=4Spess.=50 cm, Terreno=--,Criterio=CLS_Muri_ND,
Materiale=C35/45

Armatura a maglia doppia, Stampa elementi piu' gravosi

Combinazione Rara: $\sigma_{ca}[\text{daN/cm}^2]=224$ $\sigma_{fa}[\text{daN/cm}^2]=3600$

P.	Afx	Afy	σ_c	σ_f	Cbc	Cbf	Ver	Cs
	cmq/m	cmq/m	daN/cm ²	daN/cm ²				
4	31.42	20.11	-15	438	11	11	Si	8.2

Combinazione QP: $\sigma_{ca}[\text{daN/cm}^2]=168$ $\sigma_{fa}[\text{daN/cm}^2]=3600$

P.	Afx	Afy	σ_c	σ_f	Cbc	Cbf	Ver	Cs
	cmq/m	cmq/m	daN/cm ²	daN/cm ²				
13	31.42	20.11	-4	491	13	13	Si	7.3

Verifica aperture fessure:Wamm Freq[mm]=0.300 Wamm Qp[mm]=0.200

P.	Nx	Ny	Nxy	Mx	My	Mxy	σ_{fmed}	Wd	Wk	Cb	Ver	Cs
	daN/cm ²	daN/cm ²	daN/cm ²	kg	kg	kg	daN/cm ²	mm	mm			
13	0.69	0.73	0.15	-294	1298	270	491	0.061	0.061	13 (Qp)	Si	3.3
13	0.70	0.74	0.14	-300	1309	272	495	0.061	0.061	12 (Fr)	Si	4.9

Muro : 139 - Nodi : [218-181-182-223], Pann.X=4, Pann.Y=4Spess.=50 cm, Terreno=--,Criterio=CLS_Muri_ND,
Materiale=C35/45

Armatura a maglia doppia, Stampa elementi piu' gravosi

Combinazione Rara: $\sigma_{ca}[\text{daN/cm}^2]=224$ $\sigma_{fa}[\text{daN/cm}^2]=3600$

P.	Afx	Afy	σ_c	σ_f	Cbc	Cbf	Ver	Cs
	cmq/m	cmq/m	daN/cm ²	daN/cm ²				
4	31.42	20.11	-34	1188	11	11	Si	3.0
3	31.42	20.11	-34	1207	11	11	Si	3.0

Combinazione QP: $\sigma_{ca}[\text{daN/cm}^2]=168$ $\sigma_{fa}[\text{daN/cm}^2]=3600$

P.	Afx	Afy	σ_c	σ_f	Cbc	Cbf	Ver	Cs
	cmq/m	cmq/m	daN/cm ²	daN/cm ²				
13	31.42	20.11	-5	41	13	13	Si	37

Verifica aperture fessure:Wamm Freq[mm]=0.300 Wamm Qp[mm]=0.200

P.	Nx	Ny	Nxy	Mx	My	Mxy	σ_{fmed}	Wd	Wk	Cb	Ver	Cs
	daN/cm ²	daN/cm ²	daN/cm ²	kg	kg	kg	daN/cm ²	mm	mm			
13	-1.41	-0.05	-0.19	-1311	-228	47	41	0.005	0.005	13 (Qp)	Si	39
13	-1.45	-0.07	-0.20	-1361	-236	49	41	0.005	0.005	12 (Fr)	Si	60

Muro : 140 - Nodi : [179-126-134-184], Pann.X=4, Pann.Y=4Spess.=50 cm, Terreno=--,Criterio=CLS_Muri_ND,
Materiale=C35/45

Armatura a maglia doppia, Stampa elementi piu' gravosi

Combinazione Rara: $\sigma_{ca}[\text{daN/cm}^2]=224$ $\sigma_{fa}[\text{daN/cm}^2]=3600$

P.	Afx	Afy	σ_c	σ_f	Cbc	Cbf	Ver	Cs
	cmq/m	cmq/m	daN/cm ²	daN/cm ²				
6	31.42	20.11	-7	154	10	10	Si	23
13	31.42	20.11	-4	224	11	10	Si	16

Combinazione QP: $\sigma_{ca}[\text{daN/cm}^2]=168$ $\sigma_{fa}[\text{daN/cm}^2]=3600$

P.	Afx	Afy	σ_c	σ_f	Cbc	Cbf	Ver	Cs
	cmq/m	cmq/m	daN/cm ²	daN/cm ²				
16	31.42	20.11	-8	184	13	13	Si	20
13	31.42	20.11	-6	274	13	13	Si	13

Verifica aperture fessure:Wamm Freq[mm]=0.300 Wamm Qp[mm]=0.200

P.	Nx	Ny	Nxy	Mx	My	Mxy	σ_{fmed}	Wd	Wk	Cb	Ver	Cs
	daN/cm ²	daN/cm ²	daN/cm ²	kg	kg	kg	daN/cm ²	mm	mm			
10	-1.50	0.36	-0.04	-1987	-552	492	222	0.027	0.027	13 (Qp)	Si	7.3
10	-1.54	0.36	-0.07	-2011	-556	490	222	0.027	0.027	12 (Fr)	Si	11

Muro : 141 - Nodi: [182-125-137-177], Pann.X=4, Pann.Y=4Spess.=50 cm, Terreno=--,Criterio=CLS_Muri_ND, Materiale=C35/45

Armatura a maglia doppia, Stampa elementi piu' gravosi

Combinazione Rara: σ_{ca} [daN/cm²]=224 σ_{fa} [daN/cm²]=3600

P.	Afx	Afy	σ_c	σ_f	Cbc	Cbf	Ver	Cs
	cmq/m	cmq/m	daN/cm ²	daN/cm ²				
1	31.42	20.11	-9	164	11	11	Si	22
13	31.42	20.11	-3	192	11	10	Si	19

Combinazione QP: σ_{ca} [daN/cm²]=168 σ_{fa} [daN/cm²]=3600

P.	Afx	Afy	σ_c	σ_f	Cbc	Cbf	Ver	Cs
	cmq/m	cmq/m	daN/cm ²	daN/cm ²				
14	31.42	20.11	-9	220	13	13	Si	16

Verifica aperture fessure:Wamm Freq[mm]=0.300 Wamm Qp[mm]=0.200

P.	Nx	Ny	Nxy	Mx	My	Mxy	σ_{fmed}	Wd	Wk	Cb	Ver	Cs
	daN/cm ²	daN/cm ²	daN/cm ²	kg	kg	kg	daN/cm ²	mm	mm			
14	-1.06	0.05	-0.18	-2423	-351	-48	220	0.022	0.022	13 (Qp)	Si	8.9
14	-1.10	0.03	-0.19	-2450	-355	-51	219	0.022	0.022	12 (Fr)	Si	14

Muro : 142 - Nodi: [217-179-184-216], Pann.X=4, Pann.Y=4Spess.=50 cm, Terreno=--,Criterio=CLS_Muri_ND, Materiale=C35/45

Armatura a maglia doppia, Stampa elementi piu' gravosi

Combinazione Rara: σ_{ca} [daN/cm²]=224 σ_{fa} [daN/cm²]=3600

P.	Afx	Afy	σ_c	σ_f	Cbc	Cbf	Ver	Cs
	cmq/m	cmq/m	daN/cm ²	daN/cm ²				
4	31.42	20.11	-30	999	11	11	Si	3.6

Combinazione QP: σ_{ca} [daN/cm²]=168 σ_{fa} [daN/cm²]=3600

P.	Afx	Afy	σ_c	σ_f	Cbc	Cbf	Ver	Cs
	cmq/m	cmq/m	daN/cm ²	daN/cm ²				
15	31.42	20.11	-5	81	13	13	Si	34
13	31.42	20.11	-5	173	13	13	Si	21

Verifica aperture fessure:Wamm Freq[mm]=0.300 Wamm Qp[mm]=0.200

P.	Nx	Ny	Nxy	Mx	My	Mxy	σ_{fmed}	Wd	Wk	Cb	Ver	Cs
	daN/cm ²	daN/cm ²	daN/cm ²	kg	kg	kg	daN/cm ²	mm	mm			
9	-2.02	0.20	-0.11	-1162	-306	764	123	0.015	0.015	13 (Qp)	Si	13
9	-2.05	0.20	-0.14	-1199	-313	768	124	0.015	0.015	12 (Fr)	Si	20

Muro : 143 - Nodi: [216-184-181-218], Pann.X=4, Pann.Y=4Spess.=50 cm, Terreno=--,Criterio=CLS_Muri_ND, Materiale=C35/45

Armatura a maglia doppia, Stampa elementi piu' gravosi

Combinazione Rara: σ_{ca} [daN/cm²]=224 σ_{fa} [daN/cm²]=3600

P.	Afx	Afy	σ_c	σ_f	Cbc	Cbf	Ver	Cs
	cmq/m	cmq/m	daN/cm ²	daN/cm ²				
4	31.42	20.11	-33	1160	11	11	Si	3.1
3	31.42	20.11	-32	1169	11	11	Si	3.1

Combinazione QP: σ_{ca} [daN/cm²]=168 σ_{fa} [daN/cm²]=3600

P.	Afx	Afy	σ_c	σ_f	Cbc	Cbf	Ver	Cs
	cmq/m	cmq/m	daN/cm ²	daN/cm ²				
13	31.42	20.11	-5	71	13	13	Si	34

Verifica aperture fessure:Wamm Freq[mm]=0.300 Wamm Qp[mm]=0.200

P.	Nx	Ny	Nxy	Mx	My	Mxy	σ_{fmed}	Wd	Wk	Cb	Ver	Cs
	daN/cm ²	daN/cm ²	daN/cm ²	kg	kg	kg	daN/cm ²	mm	mm			
13	-1.62	0.01	-0.21	-1433	-294	226	71	0.009	0.009	13 (Qp)	Si	23
13	-1.67	0.00	-0.23	-1482	-300	229	72	0.009	0.009	12 (Fr)	Si	34

Muro : 144 - Nodi: [69-191-192-279], Pann.X=4, Pann.Y=4Spess.=50 cm, Terreno=--,Criterio=CLS_Muri_ND, Materiale=C35/45

Armatura a maglia doppia, Stampa elementi piu' gravosi

Combinazione Rara: σ_{ca} [daN/cm²]=224 σ_{fa} [daN/cm²]=3600

P.	Afx	Afy	σ_c	σ_f	Cbc	Cbf	Ver	Cs
	cmq/m	cmq/m	daN/cm ²	daN/cm ²				
1	31.42	20.11	-28	933	11	11	Si	3.9

Combinazione QP: σ_{ca} [daN/cm²]=168 σ_{fa} [daN/cm²]=3600

P.	Afx	Afy	σ_c	σ_f	Cbc	Cbf	Ver	Cs
	cmq/m	cmq/m	daN/cm ²	daN/cm ²				
13	31.42	20.11	-3	47	13	13	Si	50
16	31.42	20.11	-3	72	13	13	Si	50

Verifica aperture fessure:Wamm Freq[mm]=0.300 Wamm Qp[mm]=0.200

P.	Nx	Ny	Nxy	Mx	My	Mxy	σ_{fmed}	Wd	Wk	Cb	Ver	Cs
	daN/cm ²	daN/cm ²	daN/cm ²	kg	kg	kg	daN/cm ²	mm	mm			
16	-1.26	0.07	0.15	-895	-226	-544	72	0.009	0.009	13 (Qp)	Si	23
16	-1.29	0.07	0.18	-928	-230	-545	72	0.009	0.009	12 (Fr)	Si	34

Muro : 145 - Nodi: [191-132-140-192], Pann.X=4, Pann.Y=4Spess.=50 cm, Terreno=--,Criterio=CLS_Muri_ND, Materiale=C35/45

Armatura a maglia doppia, Stampa elementi piu' gravosi

Combinazione Rara: σ_{ca} [daN/cm²]=224 σ_{fa} [daN/cm²]=3600

P.	Afx	Afy	σ_c	σ_f	Cbc	Cbf	Ver	Cs
	cmq/m	cmq/m	daN/cm ²	daN/cm ²				
7	31.42	20.11	-6	85	10	10	Si	40
16	31.42	20.11	-5	115	11	10	Si	31

Combinazione QP: σ_{ca} [daN/cm²]=168 σ_{fa} [daN/cm²]=3600

P.	Afx	Afy	σ_c	σ_f	Cbc	Cbf	Ver	Cs
	cmq/m	cmq/m	daN/cm ²	daN/cm ²				
13	31.42	20.11	-7	149	13	13	Si	24
16	31.42	20.11	-6	161	13	13	Si	22

Verifica aperture fessure:Wamm Freq[mm]=0.300 Wamm Qp[mm]=0.200

P.	Nx	Ny	Nxy	Mx	My	Mxy	σ_{fmed}	Wd	Wk	Cb	Ver	Cs
	daN/cm ²	daN/cm ²	daN/cm ²	kg	kg	kg	daN/cm ²	mm	mm			
16	-1.06	0.23	0.05	-1712	-439	-394	161	0.020	0.020	13 (Qp)	Si	10
16	-1.09	0.22	0.08	-1728	-440	-390	159	0.020	0.020	12 (Fr)	Si	15

Muro : 146 - Nodi: [220-189-191-69], Pann.X=4, Pann.Y=4Spess.=50 cm, Terreno=--,Criterio=CLS_Muri_ND, Materiale=C35/45

Armatura a maglia doppia, Stampa elementi piu' gravosi

Combinazione Rara: σ_{ca} [daN/cm²]=224 σ_{fa} [daN/cm²]=3600

P.	Afx	Afy	σ_c	σ_f	Cbc	Cbf	Ver	Cs
	cmq/m	cmq/m	daN/cm ²	daN/cm ²				
1	31.42	20.11	-32	1096	11	11	Si	3.3

Combinazione QP: σ_{ca} [daN/cm²]=168 σ_{fa} [daN/cm²]=3600

P.	Afx	Afy	σ_c	σ_f	Cbc	Cbf	Ver	Cs
	cmq/m	cmq/m	daN/cm ²	daN/cm ²				
13	31.42	20.11	-4	41	13	13	Si	47
16	31.42	20.11	-3	44	13	13	Si	49

Verifica aperture fessure:Wamm Freq[mm]=0.300 Wamm Qp[mm]=0.200

P.	Nx	Ny	Nxy	Mx	My	Mxy	σ_{fmed}	Wd	Wk	Cb	Ver	Cs
	daN/cm ²	daN/cm ²	daN/cm ²	kg	kg	kg	daN/cm ²	mm	mm			
16	-1.32	-0.02	0.01	-986	-211	-360	44	0.005	0.005	13 (Qp)	Si	37
16	-1.36	-0.03	0.03	-1027	-216	-363	44	0.005	0.005	12 (Fr)	Si	55

Muro : 147 - Nodi: [189-138-132-191], Pann.X=4, Pann.Y=4Spess.=50 cm, Terreno=--,Criterio=CLS_Muri_ND, Materiale=C35/45

Armatura a maglia doppia, Stampa elementi piu' gravosi

Combinazione Rara: σ_{ca} [daN/cm²]=224 σ_{fa} [daN/cm²]=3600

P.	Afx	Afy	σ_c	σ_f	Cbc	Cbf	Ver	Cs
	cmq/m	cmq/m	daN/cm ²	daN/cm ²				
1	31.42	20.11	-7	101	11	11	Si	32
13	31.42	20.11	-4	145	11	10	Si	25

Combinazione QP: σ_{ca} [daN/cm²]=168 σ_{fa} [daN/cm²]=3600

P.	Afx	Afy	σ_c	σ_f	Cbc	Cbf	Ver	Cs
	cmq/m	cmq/m	daN/cm ²	daN/cm ²				
13	31.42	20.11	-8	173	13	13	Si	21

Verifica aperture fessure:Wamm_Freq[mm]=0.300 Wamm_Qp[mm]=0.200

P.	Nx	Ny	Nxy	Mx	My	Mxy	σ_{med}	Wd	Wk	Cb	Ver	Cs
	daN/cm ²	daN/cm ²	daN/cm ²	kg	kg	kg	daN/cm ²	mm	mm			
13	-1.11	0.06	-0.07	-2145	-432	-210	173	0.017	0.017	13 (Op)	Si	12
13	-1.15	0.04	-0.06	-2168	-436	-213	172	0.017	0.017	12 (Fr)	Si	18

Muro : 148 - Nodi: [279-192-188-287], Pann.X=4, Pann.Y=4Spess.=50 cm, Terreno=--,Criterio=CLS_Muri_ND, Materiale=C35/45

Armatura a maglia doppia, Stampa elementi piu' gravosi

Combinazione Rara: σ_{ca} [daN/cm²]=224 σ_{fa} [daN/cm²]=3600

P.	Afx	Afy	σ_c	σ_f	Cbc	Cbf	Ver	Cs
	cmq/m	cmq/m	daN/cm ²	daN/cm ²				
1	31.42	20.11	-20	640	11	11	Si	5.6

Combinazione QP: σ_{ca} [daN/cm²]=168 σ_{fa} [daN/cm²]=3600

P.	Afx	Afy	σ_c	σ_f	Cbc	Cbf	Ver	Cs
	cmq/m	cmq/m	daN/cm ²	daN/cm ²				
13	31.42	20.11	-3	81	13	13	Si	44
16	31.42	20.11	-3	118	13	13	Si	30

Verifica aperture fessure:Wamm Freq[mm]=0.300 Wamm Qp[mm]=0.200

P.	Nx	Ny	Nxy	Mx	My	Mxy	σ_{med}	Wd	Wk	Cb	Ver	Cs
	daN/cm ²	daN/cm ²	daN/cm ²	kg	kg	kg	daN/cm ²	mm	mm			
16	-0.96	0.32	0.27	-726	-155	-766	118	0.018	0.018	13 (Op)	Si	11
16	-0.98	0.32	0.30	-745	-158	-768	119	0.018	0.018	12 (Fr)	Si	17

Muro : 149 - Nodi: [192-140-135-188], Pann.X=4, Pann.Y=4Spess.=50 cm, Terreno=--,Criterio=CLS_Muri_ND, Materiale=C35/45

Armatura a maglia doppia, Stampa elementi piu' gravosi

Combinazione Rara: σ_{ca} [daN/cm²]=224 σ_{fa} [daN/cm²]=3600

P.	Afx	Afy	σ_c	σ_f	Cbc	Cbf	Ver	Cs
	cmq/m	cmq/m	daN/cm ²	daN/cm ²				
13	31.42	20.11	-5	130	11	10	Si	28
12	31.42	20.11	-2	160	11	10	Si	22

Combinazione QP: σ_{ca} [daN/cm²]=168 σ_{fa} [daN/cm²]=3600

P.	Afx	Afy	σ_c	σ_f	Cbc	Cbf	Ver	Cs
	cmq/m	cmq/m	daN/cm ²	daN/cm ²				
13	31.42	20.11	-6	171	13	13	Si	21
14	31.42	20.11	-5	178	13	13	Si	20

Verifica aperture fessure:Wamm Freq[mm]=0.300 Wamm Qp[mm]=0.200

P.	Nx	Ny	Nxy	Mx	My	Mxy	σ_{med}	Wd	Wk	Cb	Ver	Cs
	daN/cm ²	daN/cm ²	daN/cm ²	kg	kg	kg	daN/cm ²	mm	mm			
16	-0.71	0.47	0.12	-914	-141	-425	152	0.025	0.025	13 (Op)	Si	7.9
16	-0.72	0.47	0.14	-921	-142	-420	151	0.025	0.025	12 (Fr)	Si	12

Muro : 150 - Nodi: [287-188-167-10], Pann.X=4, Pann.Y=4Spess.=50 cm, Terreno=--,Criterio=CLS_Muri_ND, Materiale=C35/45

Armatura a maglia doppia, Stampa elementi piu' gravosi

Combinazione Rara: σ_{ca} [daN/cm²]=224 σ_{fa} [daN/cm²]=3600

P.	Afx	Afy	σ_c	σ_f	Cbc	Cbf	Ver	Cs
	cmq/m	cmq/m	daN/cm ²	daN/cm ²				
1	31.42	20.11	-8	228	11	11	Si	16
16	31.42	20.11	-7	322	11	11	Si	11

Combinazione QP: σ_{ca} [daN/cm²]=168 σ_{fa} [daN/cm²]=3600

P.	Afx	Afy	σ_c	σ_f	Cbc	Cbf	Ver	Cs
	cmq/m	cmq/m	daN/cm ²	daN/cm ²				
16	31.42	20.11	-4	394	13	13	Si	9.1

Verifica aperture fessure:Wamm Freq[mm]=0.300 Wamm Qp[mm]=0.200

P.	Nx	Ny	Nxy	Mx	My	Mxy	σ_{med}	Wd	Wk	Cb	Ver	Cs
	daN/cm ²	daN/cm ²	daN/cm ²	kg	kg	kg	daN/cm ²	mm	mm			
16	0.38	0.48	0.32	-206	1159	-350	394	0.049	0.049	13 (Op)	Si	4.1
16	0.38	0.48	0.34	-212	1168	-356	396	0.049	0.049	12 (Fr)	Si	6.1

Muro : 151 - Nodi: [188-135-118-167], Pann.X=4, Pann.Y=4Spess.=50 cm, Terreno=--,Criterio=CLS_Muri_ND, Materiale=C35/45

Armatura a maglia doppia, Stampa elementi piu' gravosi

Combinazione Rara: σ_{ca} [daN/cm²]=224 σ_{fa} [daN/cm²]=3600

P.	Afx	Afy	σ_c	σ_f	Cbc	Cbf	Ver	Cs
	cmq/m	cmq/m	daN/cm ²	daN/cm ²				
16	31.42	20.11	-17	720	11	11	Si	5.0

Combinazione QP: σ_{ca} [daN/cm²]=168 σ_{fa} [daN/cm²]=3600

P.	Afx	Afy	σ_c	σ_f	Cbc	Cbf	Ver	Cs
	cmq/m	cmq/m	daN/cm ²	daN/cm ²				
16	31.42	20.11	-8	592	13	13	Si	6.1

Verifica aperture fessure:Wamm Freq[mm]=0.300 Wamm Qp[mm]=0.200

P.	Nx	Ny	Nxy	Mx	My	Mxy	σ_{fmed}	Wd	Wk	Cb	Ver	Cs
	daN/cm ²	daN/cm ²	daN/cm ²	kg	kg	kg	daN/cm ²	mm	mm			
16	0.30	0.56	0.35	59	1913	-198	592	0.073	0.073	13 (Qp)	Si	2.7
16	0.30	0.56	0.37	59	1921	-202	594	0.073	0.073	12 (Fr)	Si	4.1

Muro : 152 - Nodi: [222-177-189-220], Pann.X=4, Pann.Y=4Spess.=50 cm, Terreno=--,Criterio=CLS_Muri_ND, Materiale=C35/45

Armatura a maglia doppia, Stampa elementi piu' gravosi

Combinazione Rara: σ_{ca} [daN/cm²]=224 σ_{fa} [daN/cm²]=3600

P.	Afx	Afy	σ_c	σ_f	Cbc	Cbf	Ver	Cs
	cmq/m	cmq/m	daN/cm ²	daN/cm ²				
1	31.42	20.11	-34	1163	11	11	Si	3.1
2	31.42	20.11	-33	1196	11	11	Si	3.0

Combinazione QP: σ_{ca} [daN/cm²]=168 σ_{fa} [daN/cm²]=3600

P.	Afx	Afy	σ_c	σ_f	Cbc	Cbf	Ver	Cs
	cmq/m	cmq/m	daN/cm ²	daN/cm ²				
13	31.42	20.11	-4	29	13	13	Si	41
16	31.42	20.11	-4	35	13	13	Si	46

Verifica aperture fessure:Wamm Freq[mm]=0.300 Wamm Qp[mm]=0.200

P.	Nx	Ny	Nxy	Mx	My	Mxy	σ_{fmed}	Wd	Wk	Cb	Ver	Cs
	daN/cm ²	daN/cm ²	daN/cm ²	kg	kg	kg	daN/cm ²	mm	mm			
16	-1.36	-0.06	-0.03	-1054	-203	-200	35	0.004	0.004	13 (Qp)	Si	46
16	-1.40	-0.07	-0.02	-1099	-210	-203	34	0.004	0.004	12 (Fr)	Si	71

Muro : 153 - Nodi: [177-137-138-189], Pann.X=4, Pann.Y=4Spess.=50 cm, Terreno=--,Criterio=CLS_Muri_ND, Materiale=C35/45

Armatura a maglia doppia, Stampa elementi piu' gravosi

Combinazione Rara: σ_{ca} [daN/cm²]=224 σ_{fa} [daN/cm²]=3600

P.	Afx	Afy	σ_c	σ_f	Cbc	Cbf	Ver	Cs
	cmq/m	cmq/m	daN/cm ²	daN/cm ²				
1	31.42	20.11	-8	148	11	11	Si	24
14	31.42	20.11	-3	183	11	10	Si	20

Combinazione QP: σ_{ca} [daN/cm²]=168 σ_{fa} [daN/cm²]=3600

P.	Afx	Afy	σ_c	σ_f	Cbc	Cbf	Ver	Cs
	cmq/m	cmq/m	daN/cm ²	daN/cm ²				
13	31.42	20.11	-9	214	13	13	Si	17

Verifica aperture fessure:Wamm Freq[mm]=0.300 Wamm Qp[mm]=0.200

P.	Nx	Ny	Nxy	Mx	My	Mxy	σ_{fmed}	Wd	Wk	Cb	Ver	Cs
	daN/cm ²	daN/cm ²	daN/cm ²	kg	kg	kg	daN/cm ²	mm	mm			
13	-1.07	0.04	-0.15	-2381	-315	-37	214	0.022	0.022	13 (Qp)	Si	9.2
13	-1.11	0.03	-0.15	-2409	-317	-37	212	0.021	0.021	12 (Fr)	Si	14

Muro : 154 - Nodi: [229-230-237-232], Pann.X=4, Pann.Y=4Spess.=50 cm, Terreno=--,Criterio=CLS_Muri_ND, Materiale=C35/45

Armatura a maglia doppia, Stampa elementi piu' gravosi

Combinazione Rara: σ_{ca} [daN/cm²]=224 σ_{fa} [daN/cm²]=3600

P.	Afx	Afy	σ_c	σ_f	Cbc	Cbf	Ver	Cs
	cmq/m	cmq/m	daN/cm ²	daN/cm ²				
13	20.11	31.42	-15	439	11	11	Si	8.2

Combinazione QP: σ_{ca} [daN/cm²]=168 σ_{fa} [daN/cm²]=3600

P.	Afx	Afy	σ_c	σ_f	Cbc	Cbf	Ver	Cs
	cmq/m	cmq/m	daN/cm ²	daN/cm ²				
4	20.11	31.42	-4	489	13	13	Si	7.4

Verifica aperture fessure:Wamm Freq[mm]=0.300 Wamm Qp[mm]=0.200

P.	Nx	Ny	Nxy	Mx	My	Mxy	σ_{fmed}	Wd	Wk	Cb	Ver	Cs
	daN/cm ²	daN/cm ²	daN/cm ²	kg	kg	kg	daN/cm ²	mm	mm			
4	0.73	0.71	0.19	1294	-289	264	489	0.060	0.060	13 (Op)	Si	3.3
4	0.74	0.71	0.18	1305	-296	265	493	0.061	0.061	12 (Fr)	Si	4.9

Muro : 155 - Nodi: [229-232-233-228], Pann.X=4, Pann.Y=4Spess.=50 cm, Terreno=--,Criterio=CLS_Muri_ND, Materiale=C35/45

Armatura a maglia doppia, Stampa elementi piu' gravosi

Combinazione Rara: σ_{ca} [daN/cm²]=224 σ_{fa} [daN/cm²]=3600

P.	Afx	Afy	σ_c	σ_f	Cbc	Cbf	Ver	Cs
	cmq/m	cmq/m	daN/cm ²	daN/cm ²				
4	31.42	20.11	-17	550	11	11	Si	6.5

Combinazione QP: σ_{ca} [daN/cm²]=168 σ_{fa} [daN/cm²]=3600

P.	Afx	Afy	σ_c	σ_f	Cbc	Cbf	Ver	Cs
	cmq/m	cmq/m	daN/cm ²	daN/cm ²				
13	31.42	20.11	-5	528	13	13	Si	6.8

Verifica aperture fessure:Wamm Freq[mm]=0.300 Wamm Qp[mm]=0.200

P.	Nx	Ny	Nxy	Mx	My	Mxy	σ_{fmed}	Wd	Wk	Cb	Ver	Cs
	daN/cm ²	daN/cm ²	daN/cm ²	kg	kg	kg	daN/cm ²	mm	mm			
13	0.86	0.80	0.24	-217	1388	393	528	0.065	0.065	13 (Op)	Si	3.1
13	0.87	0.81	0.26	-220	1398	394	533	0.066	0.066	12 (Fr)	Si	4.6

Muro : 156 - Nodi: [230-236-141-237], Pann.X=4, Pann.Y=4Spess.=50 cm, Terreno=--,Criterio=CLS_Muri_ND, Materiale=C35/45

Armatura a maglia doppia, Stampa elementi piu' gravosi

Combinazione Rara: σ_{ca} [daN/cm²]=224 σ_{fa} [daN/cm²]=3600

P.	Afx	Afy	σ_c	σ_f	Cbc	Cbf	Ver	Cs
	cmq/m	cmq/m	daN/cm ²	daN/cm ²				
13	20.11	31.42	-30	1002	11	11	Si	3.6

Combinazione QP: σ_{ca} [daN/cm²]=168 σ_{fa} [daN/cm²]=3600

P.	Afx	Afy	σ_c	σ_f	Cbc	Cbf	Ver	Cs
	cmq/m	cmq/m	daN/cm ²	daN/cm ²				
12	20.11	31.42	-5	85	13	13	Si	34
4	20.11	31.42	-5	173	13	13	Si	21

Verifica aperture fessure:Wamm Freq[mm]=0.300 Wamm Qp[mm]=0.200

P.	Nx	Ny	Nxy	Mx	My	Mxy	σ_{fmed}	Wd	Wk	Cb	Ver	Cs
	daN/cm ²	daN/cm ²	daN/cm ²	kg	kg	kg	daN/cm ²	mm	mm			
3	0.21	-2.00	-0.05	-307	-1178	775	124	0.015	0.015	12 (Fr)	Si	20
8	0.14	-1.69	-0.09	-348	-1428	597	118	0.015	0.015	13 (Op)	Si	14

Muro : 157 - Nodi: [236-238-143-141], Pann.X=4, Pann.Y=4Spess.=50 cm, Terreno=--,Criterio=CLS_Muri_ND, Materiale=C35/45

Armatura a maglia doppia, Stampa elementi piu' gravosi

Combinazione Rara: σ_{ca} [daN/cm²]=224 σ_{fa} [daN/cm²]=3600

P.	Afx	Afy	σ_c	σ_f	Cbc	Cbf	Ver	Cs
	cmq/m	cmq/m	daN/cm ²	daN/cm ²				
13	20.11	31.42	-33	1160	11	11	Si	3.1
9	20.11	31.42	-32	1168	11	11	Si	3.1

Combinazione QP: σ_{ca} [daN/cm²]=168 σ_{fa} [daN/cm²]=3600

P.	Afx	Afy	σ_c	σ_f	Cbc	Cbf	Ver	Cs
	cmq/m	cmq/m	daN/cm ²	daN/cm ²				
4	20.11	31.42	-5	76	13	13	Si	35

Verifica aperture fessure:Wamm Freq[mm]=0.300 Wamm Qp[mm]=0.200

P.	Nx	Ny	Nxy	Mx	My	Mxy	σ_{fmed}	Wd	Wk	Cb	Ver	Cs
	daN/cm ²	daN/cm ²	daN/cm ²	kg	kg	kg	daN/cm ²	mm	mm			
4	0.03	-1.59	-0.09	-285	-1403	249	76	0.009	0.009	13 (Op)	Si	21
4	0.03	-1.64	-0.11	-291	-1451	251	76	0.009	0.009	12 (Fr)	Si	32

Muro : 158 - Nodi: [228-233-149-244], Pann.X=4, Pann.Y=4Spess.=50 cm, Terreno=--,Criterio=CLS_Muri_ND, Materiale=C35/45

Armatura a maglia doppia, Stampa elementi piu' gravosi

Combinazione Rara: σ_{ca} [daN/cm²]=224 σ_{fa} [daN/cm²]=3600

P.	Afx	Afy	σ_c	σ_f	Cbc	Cbf	Ver	Cs
	cmq/m	cmq/m	daN/cm ²	daN/cm ²				

P.	Afx	Afy	σ_c	σ_f	Cbc	Cbf	Ver	Cs
4	31.42	20.11	-36	1269	11	11	Si	2.8

Combinazione QP: $\sigma_{ca}[\text{daN/cm}^2]=168$ $\sigma_{fa}[\text{daN/cm}^2]=3600$

P.	Afx	Afy	σ_c	σ_f	Cbc	Cbf	Ver	Cs
	cmq/m	cmq/m	daN/cm ²	daN/cm ²				
4	31.42	20.11	-3	-1	13	13	Si	50
13	31.42	20.11	-3	179	13	13	Si	20

Verifica aperture fessure: Wamm Freq[mm]=0.300 Wamm Qp[mm]=0.200

P.	Nx	Ny	Nxy	Mx	My	Mxy	σ_{fmed}	Wd	Wk	Cb	Ver	Cs
	daN/cm ²	daN/cm ²	daN/cm ²	kg	kg	kg	daN/cm ²	mm	mm			
13	-1.57	0.47	0.26	-798	-250	1121	179	0.026	0.026	13 (Qp)	Si	7.8
13	-1.60	0.48	0.27	-808	-251	1132	180	0.026	0.026	12 (Fr)	Si	12

Muro : 159 - Nodi: [244-149-150-247], Pann.X=4, Pann.Y=4Spess.=50 cm, Terreno=--, Criterio=CLS_Muri_ND, Materiale=C35/45

Armatura a maglia doppia, Stampa elementi piu' gravosi

Combinazione Rara: $\sigma_{ca}[\text{daN/cm}^2]=224$ $\sigma_{fa}[\text{daN/cm}^2]=3600$

P.	Afx	Afy	σ_c	σ_f	Cbc	Cbf	Ver	Cs
	cmq/m	cmq/m	daN/cm ²	daN/cm ²				
4	31.42	20.11	-47	1732	11	11	Si	2.1

Combinazione QP: $\sigma_{ca}[\text{daN/cm}^2]=168$ $\sigma_{fa}[\text{daN/cm}^2]=3600$

P.	Afx	Afy	σ_c	σ_f	Cbc	Cbf	Ver	Cs
	cmq/m	cmq/m	daN/cm ²	daN/cm ²				
4	31.42	20.11	-5	20	13	13	Si	34
13	31.42	20.11	-3	112	13	13	Si	32

Verifica aperture fessure: Wamm Freq[mm]=0.300 Wamm Qp[mm]=0.200

P.	Nx	Ny	Nxy	Mx	My	Mxy	σ_{fmed}	Wd	Wk	Cb	Ver	Cs
	daN/cm ²	daN/cm ²	daN/cm ²	kg	kg	kg	daN/cm ²	mm	mm			
13	-1.76	0.17	0.12	-653	-295	744	112	0.014	0.014	13 (Qp)	Si	14
13	-1.78	0.17	0.13	-664	-298	752	114	0.014	0.014	12 (Fr)	Si	21

Muro : 160 - Nodi: [247-150-165-231], Pann.X=4, Pann.Y=4Spess.=50 cm, Terreno=--, Criterio=CLS_Muri_ND, Materiale=C35/45

Armatura a maglia doppia, Stampa elementi piu' gravosi

Combinazione Rara: $\sigma_{ca}[\text{daN/cm}^2]=224$ $\sigma_{fa}[\text{daN/cm}^2]=3600$

P.	Afx	Afy	σ_c	σ_f	Cbc	Cbf	Ver	Cs
	cmq/m	cmq/m	daN/cm ²	daN/cm ²				
4	31.42	20.11	-51	1899	11	11	Si	1.9
3	31.42	20.11	-50	1919	11	11	Si	1.9

Combinazione QP: $\sigma_{ca}[\text{daN/cm}^2]=168$ $\sigma_{fa}[\text{daN/cm}^2]=3600$

P.	Afx	Afy	σ_c	σ_f	Cbc	Cbf	Ver	Cs
	cmq/m	cmq/m	daN/cm ²	daN/cm ²				
3	31.42	20.11	-6	64	13	13	Si	28
13	31.42	20.11	-2	65	13	13	Si	55

Verifica aperture fessure: Wamm Freq[mm]=0.300 Wamm Qp[mm]=0.200

P.	Nx	Ny	Nxy	Mx	My	Mxy	σ_{fmed}	Wd	Wk	Cb	Ver	Cs
	daN/cm ²	daN/cm ²	daN/cm ²	kg	kg	kg	daN/cm ²	mm	mm			
13	-1.61	0.05	0.06	-406	-228	337	65	0.008	0.008	13 (Qp)	Si	25
13	-1.64	0.05	0.06	-416	-231	341	66	0.008	0.008	12 (Fr)	Si	37

Muro : 161 - Nodi: [186-190-201-197], Pann.X=4, Pann.Y=4Spess.=50 cm, Terreno=--, Criterio=CLS_Muri_ND, Materiale=C35/45

Armatura a maglia doppia, Stampa elementi piu' gravosi

Combinazione Rara: $\sigma_{ca}[\text{daN/cm}^2]=224$ $\sigma_{fa}[\text{daN/cm}^2]=3600$

P.	Afx	Afy	σ_c	σ_f	Cbc	Cbf	Ver	Cs
	cmq/m	cmq/m	daN/cm ²	daN/cm ²				
16	20.11	31.42	-11	311	11	11	Si	12

Combinazione QP: $\sigma_{ca}[\text{daN/cm}^2]=168$ $\sigma_{fa}[\text{daN/cm}^2]=3600$

P.	Afx	Afy	σ_c	σ_f	Cbc	Cbf	Ver	Cs
	cmq/m	cmq/m	daN/cm ²	daN/cm ²				
13	20.11	31.42	-9	212	13	13	Si	17
8	20.11	31.42	-6	283	13	13	Si	13

Verifica aperture fessure: Wamm_Freq[mm]=0.300 Wamm_Qp[mm]=0.200

P.	Nx	Ny	Nxy	Mx	My	Mxy	σ_{med}	Wd	Wk	Cb	Ver	Cs
	daN/cm ²	daN/cm ²	daN/cm ²	kg	kg	kg	daN/cm ²	mm	mm			
3	0.64	-1.06	0.29	-478	-1463	202	276	0.035	0.035	13 (Op)	Si	5.7
3	0.63	-1.08	0.27	-481	-1468	197	274	0.035	0.035	12 (Fr)	Si	8.6

Muro : 162 - Nodi: [185-186-197-202], Pann.X=4, Pann.Y=4Spess.=50 cm, Terreno=--,Criterio=CLS_Muri_ND, Materiale=C35/45

Armatura a maglia doppia, Stampa elementi piu' gravosi

Combinazione Rara: σ_{ca} [daN/cm²]=224 σ_{fa} [daN/cm²]=3600

P.	Afx	Afy	σ_c	σ_f	Cbc	Cbf	Ver	Cs
	cmq/m	cmq/m	daN/cm ²	daN/cm ²				
4	20.11	31.42	-21	930	11	11	Si	3.9

Combinazione QP: σ_{ca} [daN/cm²]=168 σ_{fa} [daN/cm²]=3600

P.	Afx	Afy	σ_c	σ_f	Cbc	Cbf	Ver	Cs
	cmq/m	cmq/m	daN/cm ²	daN/cm ²				
4	20.11	31.42	-10	721	13	13	Si	5.0
2	20.11	31.42	-9	732	13	13	Si	4.9

Verifica aperture fessure:Wamm Freq[mm]=0.300 Wamm Qp[mm]=0.200

P.	Nx	Ny	Nxy	Mx	My	Mxy	σ_{med}	Wd	Wk	Cb	Ver	Cs
	daN/cm ²	daN/cm ²	daN/cm ²	kg	kg	kg	daN/cm ²	mm	mm			
2	0.66	0.23	0.13	2398	130	-141	732	0.090	0.090	13 (Op)	Si	2.2
2	0.67	0.23	0.12	2412	132	-145	735	0.091	0.091	12 (Fr)	Si	3.3

Muro : 163 - Nodi: [185-202-199-193], Pann.X=4, Pann.Y=4Spess.=50 cm, Terreno=--,Criterio=CLS_Muri_ND, Materiale=C35/45

Armatura a maglia doppia, Stampa elementi piu' gravosi

Combinazione Rara: σ_{ca} [daN/cm²]=224 σ_{fa} [daN/cm²]=3600

P.	Afx	Afy	σ_c	σ_f	Cbc	Cbf	Ver	Cs
	cmq/m	cmq/m	daN/cm ²	daN/cm ²				
13	31.42	20.11	-22	925	11	11	Si	3.9

Combinazione QP: σ_{ca} [daN/cm²]=168 σ_{fa} [daN/cm²]=3600

P.	Afx	Afy	σ_c	σ_f	Cbc	Cbf	Ver	Cs
	cmq/m	cmq/m	daN/cm ²	daN/cm ²				
13	31.42	20.11	-10	760	13	13	Si	4.7
5	31.42	20.11	-10	775	13	13	Si	4.6

Verifica aperture fessure:Wamm Freq[mm]=0.300 Wamm Qp[mm]=0.200

P.	Nx	Ny	Nxy	Mx	My	Mxy	σ_{med}	Wd	Wk	Cb	Ver	Cs
	daN/cm ²	daN/cm ²	daN/cm ²	kg	kg	kg	daN/cm ²	mm	mm			
5	0.27	0.72	0.21	177	2525	205	775	0.095	0.095	13 (Op)	Si	2.1
5	0.26	0.72	0.22	178	2539	208	779	0.096	0.096	12 (Fr)	Si	3.1

Muro : 164 - Nodi: [190-194-200-201], Pann.X=4, Pann.Y=4Spess.=50 cm, Terreno=--,Criterio=CLS_Muri_ND, Materiale=C35/45

Armatura a maglia doppia, Stampa elementi piu' gravosi

Combinazione Rara: σ_{ca} [daN/cm²]=224 σ_{fa} [daN/cm²]=3600

P.	Afx	Afy	σ_c	σ_f	Cbc	Cbf	Ver	Cs
	cmq/m	cmq/m	daN/cm ²	daN/cm ²				
4	20.11	31.42	-11	320	11	11	Si	11

Combinazione QP: σ_{ca} [daN/cm²]=168 σ_{fa} [daN/cm²]=3600

P.	Afx	Afy	σ_c	σ_f	Cbc	Cbf	Ver	Cs
	cmq/m	cmq/m	daN/cm ²	daN/cm ²				
14	20.11	31.42	-9	239	13	13	Si	15
15	20.11	31.42	-9	242	13	13	Si	15

Verifica aperture fessure:Wamm Freq[mm]=0.300 Wamm Qp[mm]=0.200

P.	Nx	Ny	Nxy	Mx	My	Mxy	σ_{med}	Wd	Wk	Cb	Ver	Cs
	daN/cm ²	daN/cm ²	daN/cm ²	kg	kg	kg	daN/cm ²	mm	mm			
2	0.35	-1.19	-0.02	-518	-2469	219	211	0.026	0.026	12 (Fr)	Si	12
15	0.34	-0.94	-0.03	-511	-2459	131	205	0.025	0.025	13 (Op)	Si	7.9

Muro : 165 - Nodi: [193-199-195-187], Pann.X=4, Pann.Y=4Spess.=50 cm, Terreno=--,Criterio=CLS_Muri_ND, Materiale=C35/45

Armatura a maglia doppia, Stampa elementi piu' gravosi

Combinazione Rara: σ_{ca} [daN/cm²]=224 σ_{fa} [daN/cm²]=3600

P.	Afx	Afy	σ_c	σ_f	Cbc	Cbf	Ver	Cs
	cmq/m	cmq/m	daN/cm ²	daN/cm ²				
16	31.42	20.11	-6	191	11	11	Si	19
2	31.42	20.11	-2	244	11	10	Si	15

Combinazione QP: σ_{ca} [daN/cm²]=168 σ_{fa} [daN/cm²]=3600

P.	Afx	Afy	σ_c	σ_f	Cbc	Cbf	Ver	Cs
	cmq/m	cmq/m	daN/cm ²	daN/cm ²				
4	31.42	20.11	-5	292	13	13	Si	12
16	31.42	20.11	-5	325	13	13	Si	11

Verifica aperture fessure:Wamm Freq[mm]=0.300 Wamm Qp[mm]=0.200

P.	Nx	Ny	Nxy	Mx	My	Mxy	σ_{fmed}	Wd	Wk	Cb	Ver	Cs
	daN/cm ²	daN/cm ²	daN/cm ²	kg	kg	kg	daN/cm ²	mm	mm			
1	-1.06	0.74	0.49	-987	-296	818	256	0.040	0.040	13 (Qp)	Si	5.0
5	-1.00	0.75	0.53	-930	-262	735	251	0.041	0.041	12 (Fr)	Si	7.4

Muro : 166 - Nodi: [187-195-203-198], Pann.X=4, Pann.Y=4Spess.=50 cm, Terreno=--,Criterio=CLS_Muri_ND, Materiale=C35/45

Armatura a maglia doppia, Stampa elementi piu' gravosi

Combinazione Rara: σ_{ca} [daN/cm²]=224 σ_{fa} [daN/cm²]=3600

P.	Afx	Afy	σ_c	σ_f	Cbc	Cbf	Ver	Cs
	cmq/m	cmq/m	daN/cm ²	daN/cm ²				
16	31.42	20.11	-7	306	11	11	Si	12

Combinazione QP: σ_{ca} [daN/cm²]=168 σ_{fa} [daN/cm²]=3600

P.	Afx	Afy	σ_c	σ_f	Cbc	Cbf	Ver	Cs
	cmq/m	cmq/m	daN/cm ²	daN/cm ²				
8	31.42	20.11	-6	287	13	13	Si	13
15	31.42	20.11	-6	336	13	13	Si	11

Verifica aperture fessure:Wamm Freq[mm]=0.300 Wamm Qp[mm]=0.200

P.	Nx	Ny	Nxy	Mx	My	Mxy	σ_{fmed}	Wd	Wk	Cb	Ver	Cs
	daN/cm ²	daN/cm ²	daN/cm ²	kg	kg	kg	daN/cm ²	mm	mm			
12	-1.07	0.51	0.16	-1712	-778	430	312	0.039	0.039	13 (Qp)	Si	5.2
12	-1.10	0.52	0.17	-1708	-785	436	316	0.039	0.039	12 (Fr)	Si	7.7

Muro : 167 - Nodi: [198-203-94-207], Pann.X=4, Pann.Y=4Spess.=50 cm, Terreno=--,Criterio=CLS_Muri_ND, Materiale=C35/45

Armatura a maglia doppia, Stampa elementi piu' gravosi

Combinazione Rara: σ_{ca} [daN/cm²]=224 σ_{fa} [daN/cm²]=3600

P.	Afx	Afy	σ_c	σ_f	Cbc	Cbf	Ver	Cs
	cmq/m	cmq/m	daN/cm ²	daN/cm ²				
13	31.42	20.11	-7	313	11	11	Si	12
16	31.42	20.11	-7	319	11	11	Si	11

Combinazione QP: σ_{ca} [daN/cm²]=168 σ_{fa} [daN/cm²]=3600

P.	Afx	Afy	σ_c	σ_f	Cbc	Cbf	Ver	Cs
	cmq/m	cmq/m	daN/cm ²	daN/cm ²				
12	31.42	20.11	-6	302	13	13	Si	12
13	31.42	20.11	-6	333	13	13	Si	11

Verifica aperture fessure:Wamm Freq[mm]=0.300 Wamm Qp[mm]=0.200

P.	Nx	Ny	Nxy	Mx	My	Mxy	σ_{fmed}	Wd	Wk	Cb	Ver	Cs
	daN/cm ²	daN/cm ²	daN/cm ²	kg	kg	kg	daN/cm ²	mm	mm			
13	-0.97	0.55	0.13	-1684	-823	334	333	0.041	0.041	13 (Qp)	Si	4.9
14	-0.98	0.55	0.10	-1704	-833	258	337	0.041	0.041	12 (Fr)	Si	7.2

Muro : 168 - Nodi: [194-196-205-200], Pann.X=4, Pann.Y=4Spess.=50 cm, Terreno=--,Criterio=CLS_Muri_ND, Materiale=C35/45

Armatura a maglia doppia, Stampa elementi piu' gravosi

Combinazione Rara: σ_{ca} [daN/cm²]=224 σ_{fa} [daN/cm²]=3600

P.	Afx	Afy	σ_c	σ_f	Cbc	Cbf	Ver	Cs
	cmq/m	cmq/m	daN/cm ²	daN/cm ²				
16	20.11	31.42	-10	308	11	11	Si	12

Combinazione QP: σ_{ca} [daN/cm²]=168 σ_{fa} [daN/cm²]=3600

P.	Afx	Afy	σ_c	σ_f	Cbc	Cbf	Ver	Cs
	cmq/m	cmq/m	daN/cm ²	daN/cm ²				
14	20.11	31.42	-9	250	13	13	Si	14
15	20.11	31.42	-9	253	13	13	Si	14

Verifica aperture fessure:Wamm Freq[mm]=0.300 Wamm Qp[mm]=0.200

P.	Nx	Ny	Nxy	Mx	My	Mxy	σ_{fmed}	Wd	Wk	Cb	Ver	Cs
	daN/cm ²	daN/cm ²	daN/cm ²	kg	kg	kg	daN/cm ²	mm	mm			
15	0.31	-0.88	-0.07	-449	-2484	13	253	0.026	0.026	13 (Qp)	Si	7.6
15	0.28	-0.92	-0.08	-456	-2495	12	251	0.026	0.026	12 (Fr)	Si	12

Muro : 169 - Nodi: [196-204-206-205], Pann.X=4, Pann.Y=4Spess.=50 cm, Terreno=--,Criterio=CLS_Muri_ND, Materiale=C35/45

Armatura a maglia doppia, Stampa elementi piu' gravosi

Combinazione Rara: σ_{ca} [daN/cm²]=224 σ_{fa} [daN/cm²]=3600

P.	Afx	Afy	σ_c	σ_f	Cbc	Cbf	Ver	Cs
	cmq/m	cmq/m	daN/cm ²	daN/cm ²				
16	20.11	31.42	-11	346	11	11	Si	10

Combinazione QP: σ_{ca} [daN/cm²]=168 σ_{fa} [daN/cm²]=3600

P.	Afx	Afy	σ_c	σ_f	Cbc	Cbf	Ver	Cs
	cmq/m	cmq/m	daN/cm ²	daN/cm ²				
14	20.11	31.42	-9	254	13	13	Si	14
11	20.11	31.42	-9	260	13	13	Si	14

Verifica aperture fessure:Wamm Freq[mm]=0.300 Wamm Qp[mm]=0.200

P.	Nx	Ny	Nxy	Mx	My	Mxy	σ_{fmed}	Wd	Wk	Cb	Ver	Cs
	daN/cm ²	daN/cm ²	daN/cm ²	kg	kg	kg	daN/cm ²	mm	mm			
7	0.29	-0.93	-0.08	-365	-2530	-29	255	0.026	0.026	12 (Fr)	Si	11
11	0.31	-0.89	-0.06	-321	-2535	-23	260	0.027	0.027	13 (Qp)	Si	7.4

Muro : 170 - Nodi: [207-94-100-99], Pann.X=4, Pann.Y=4Spess.=50 cm, Terreno=--,Criterio=CLS_Muri_ND, Materiale=C35/45

Armatura a maglia doppia, Stampa elementi piu' gravosi

Combinazione Rara: σ_{ca} [daN/cm²]=224 σ_{fa} [daN/cm²]=3600

P.	Afx	Afy	σ_c	σ_f	Cbc	Cbf	Ver	Cs
	cmq/m	cmq/m	daN/cm ²	daN/cm ²				
16	31.42	20.11	-7	315	11	11	Si	11
13	31.42	20.11	-7	320	11	11	Si	11

Combinazione QP: σ_{ca} [daN/cm²]=168 σ_{fa} [daN/cm²]=3600

P.	Afx	Afy	σ_c	σ_f	Cbc	Cbf	Ver	Cs
	cmq/m	cmq/m	daN/cm ²	daN/cm ²				
9	31.42	20.11	-6	301	13	13	Si	12
16	31.42	20.11	-6	332	13	13	Si	11

Verifica aperture fessure:Wamm Freq[mm]=0.300 Wamm Qp[mm]=0.200

P.	Nx	Ny	Nxy	Mx	My	Mxy	σ_{fmed}	Wd	Wk	Cb	Ver	Cs
	daN/cm ²	daN/cm ²	daN/cm ²	kg	kg	kg	daN/cm ²	mm	mm			
15	-0.97	0.55	-0.08	-1708	-829	-218	335	0.041	0.041	12 (Fr)	Si	7.3
16	-0.97	0.55	-0.12	-1686	-817	-310	332	0.041	0.041	13 (Qp)	Si	4.9

Muro : 171 - Nodi: [99-100-98-101], Pann.X=4, Pann.Y=4Spess.=50 cm, Terreno=--,Criterio=CLS_Muri_ND, Materiale=C35/45

Armatura a maglia doppia, Stampa elementi piu' gravosi

Combinazione Rara: σ_{ca} [daN/cm²]=224 σ_{fa} [daN/cm²]=3600

P.	Afx	Afy	σ_c	σ_f	Cbc	Cbf	Ver	Cs
	cmq/m	cmq/m	daN/cm ²	daN/cm ²				
13	31.42	20.11	-7	306	11	11	Si	12

Combinazione QP: σ_{ca} [daN/cm²]=168 σ_{fa} [daN/cm²]=3600

P.	Afx	Afy	σ_c	σ_f	Cbc	Cbf	Ver	Cs
	cmq/m	cmq/m	daN/cm ²	daN/cm ²				
5	31.42	20.11	-6	286	13	13	Si	13
14	31.42	20.11	-6	335	13	13	Si	11

Verifica aperture fessure:Wamm Freq[mm]=0.300 Wamm Qp[mm]=0.200

P.	Nx	Ny	Nxy	Mx	My	Mxy	σ_{fmed}	Wd	Wk	Cb	Ver	Cs
	daN/cm ²	daN/cm ²	daN/cm ²	kg	kg	kg	daN/cm ²	mm	mm			
9	-1.07	0.51	-0.16	-1702	-769	-432	311	0.038	0.038	13 (Qp)	Si	5.2
9	-1.10	0.52	-0.17	-1698	-775	-438	315	0.039	0.039	12 (Fr)	Si	7.7

Muro : 172 - Nodi: [201-200-16-17], Pann.X=4, Pann.Y=4Spess.=50 cm, Terreno=--,Criterio=CLS_Muri_ND, Materiale=C35/45

Armatura a maglia doppia, Stampa elementi piu' gravosi

Combinazione Rara: σ_{ca} [daN/cm²]=224 σ_{fa} [daN/cm²]=3600

P.	Afx	Afy	σ_c	σ_f	Cbc	Cbf	Ver	Cs
	cmq/m	cmq/m	daN/cm ²	daN/cm ²				

P.	Afx	Afy	σ_c	σ_f	Cbc	Cbf	Ver	Cs
3	20.11	31.42	-12	391	11	11	Si	9.2
4	20.11	31.42	-12	392	11	11	Si	9.2

Combinazione QP: $\sigma_{ca}[\text{daN/cm}^2]=168$ $\sigma_{fa}[\text{daN/cm}^2]=3600$

P.	Afx	Afy	σ_c	σ_f	Cbc	Cbf	Ver	Cs
	cmq/m	cmq/m	daN/cm ²	daN/cm ²				
13	20.11	31.42	-8	234	13	13	Si	15
16	20.11	31.42	-6	271	13	13	Si	13

Verifica aperture fessure:Wamm Freq[mm]=0.300 Wamm Qp[mm]=0.200

P.	Nx	Ny	Nxy	Mx	My	Mxy	σ_{fmed}	Wd	Wk	Cb	Ver	Cs
	daN/cm ²	daN/cm ²	daN/cm ²	kg	kg	kg	daN/cm ²	mm	mm			
4	0.65	-0.73	0.05	-357	-1619	115	248	0.035	0.035	13 (Qp)	Si	5.7
4	0.64	-0.82	0.05	-342	-1599	116	243	0.035	0.035	12 (Fr)	Si	8.6

Muro : 173 - Nodi: [197-201-17-12], Pann.X=4, Pann.Y=4Spess.=50 cm, Terreno=--,Criterio=CLS_Muri_ND, Materiale=C35/45

Armatura a maglia doppia, Stampa elementi piu' gravosi

Combinazione Rara: $\sigma_{ca}[\text{daN/cm}^2]=224$ $\sigma_{fa}[\text{daN/cm}^2]=3600$

P.	Afx	Afy	σ_c	σ_f	Cbc	Cbf	Ver	Cs
	cmq/m	cmq/m	daN/cm ²	daN/cm ²				
14	20.11	31.42	-11	362	11	11	Si	9.9
15	20.11	31.42	-11	370	11	11	Si	9.7

Combinazione QP: $\sigma_{ca}[\text{daN/cm}^2]=168$ $\sigma_{fa}[\text{daN/cm}^2]=3600$

P.	Afx	Afy	σ_c	σ_f	Cbc	Cbf	Ver	Cs
	cmq/m	cmq/m	daN/cm ²	daN/cm ²				
13	20.11	31.42	-7	253	13	13	Si	14
5	20.11	31.42	-6	281	13	13	Si	13

Verifica aperture fessure:Wamm Freq[mm]=0.300 Wamm Qp[mm]=0.200

P.	Nx	Ny	Nxy	Mx	My	Mxy	σ_{fmed}	Wd	Wk	Cb	Ver	Cs
	daN/cm ²	daN/cm ²	daN/cm ²	kg	kg	kg	daN/cm ²	mm	mm			
16	0.65	-0.75	0.05	-363	-1520	17	250	0.035	0.035	13 (Qp)	Si	5.6
16	0.64	-0.83	0.03	-349	-1500	14	245	0.035	0.035	12 (Fr)	Si	8.6

Muro : 174 - Nodi: [202-18-20-199], Pann.X=4, Pann.Y=4Spess.=50 cm, Terreno=--,Criterio=CLS_Muri_ND, Materiale=C35/45

Armatura a maglia doppia, Stampa elementi piu' gravosi

Combinazione Rara: $\sigma_{ca}[\text{daN/cm}^2]=224$ $\sigma_{fa}[\text{daN/cm}^2]=3600$

P.	Afx	Afy	σ_c	σ_f	Cbc	Cbf	Ver	Cs
	cmq/m	cmq/m	daN/cm ²	daN/cm ²				
13	31.42	20.11	-27	1239	11	11	Si	2.9

Combinazione QP: $\sigma_{ca}[\text{daN/cm}^2]=168$ $\sigma_{fa}[\text{daN/cm}^2]=3600$

P.	Afx	Afy	σ_c	σ_f	Cbc	Cbf	Ver	Cs
	cmq/m	cmq/m	daN/cm ²	daN/cm ²				
1	31.42	20.11	-10	740	13	13	Si	4.9

Verifica aperture fessure:Wamm Freq[mm]=0.300 Wamm Qp[mm]=0.200

P.	Nx	Ny	Nxy	Mx	My	Mxy	σ_{fmed}	Wd	Wk	Cb	Ver	Cs
	daN/cm ²	daN/cm ²	daN/cm ²	kg	kg	kg	daN/cm ²	mm	mm			
1	0.06	0.58	0.18	237	2525	143	740	0.091	0.091	13 (Qp)	Si	2.2
1	0.06	0.58	0.19	237	2538	147	744	0.092	0.092	12 (Fr)	Si	3.3

Muro : 175 - Nodi: [202-197-12-18], Pann.X=4, Pann.Y=4Spess.=50 cm, Terreno=--,Criterio=CLS_Muri_ND, Materiale=C35/45

Armatura a maglia doppia, Stampa elementi piu' gravosi

Combinazione Rara: $\sigma_{ca}[\text{daN/cm}^2]=224$ $\sigma_{fa}[\text{daN/cm}^2]=3600$

P.	Afx	Afy	σ_c	σ_f	Cbc	Cbf	Ver	Cs
	cmq/m	cmq/m	daN/cm ²	daN/cm ²				
4	20.11	31.42	-26	1215	11	11	Si	3.0

Combinazione QP: $\sigma_{ca}[\text{daN/cm}^2]=168$ $\sigma_{fa}[\text{daN/cm}^2]=3600$

P.	Afx	Afy	σ_c	σ_f	Cbc	Cbf	Ver	Cs
	cmq/m	cmq/m	daN/cm ²	daN/cm ²				
1	20.11	31.42	-10	704	13	13	Si	5.1

Verifica aperture fessure:Wamm Freq[mm]=0.300 Wamm Qp[mm]=0.200

P.	Nx	Ny	Nxy	Mx	My	Mxy	σ_{fmed}	Wd	Wk	Cb	Ver	Cs
	daN/cm ²	daN/cm ²	daN/cm ²	kg	kg	kg	daN/cm ²	mm	mm			
1	0.54	0.04	0.10	2412	202	-277	704	0.087	0.087	13 (Qp)	Si	2.3
1	0.54	0.04	0.10	2426	204	-282	707	0.087	0.087	12 (Fr)	Si	3.4

Muro : 176 - Nodi: [195-14-19-203], Pann.X=4, Pann.Y=4Spess.=50 cm, Terreno=--,Criterio=CLS_Muri_ND, Materiale=C35/45

Armatura a maglia doppia, Stampa elementi piu' gravosi

Combinazione Rara: $\sigma_{ca}[\text{daN/cm}^2]=224$ $\sigma_{fa}[\text{daN/cm}^2]=3600$

P.	Afx	Afy	σ_c	σ_f	Cbc	Cbf	Ver	Cs
	cmq/m	cmq/m	daN/cm ²	daN/cm ²				
16	31.42	20.11	-10	491	11	11	Si	7.3

Combinazione QP: $\sigma_{ca}[\text{daN/cm}^2]=168$ $\sigma_{fa}[\text{daN/cm}^2]=3600$

P.	Afx	Afy	σ_c	σ_f	Cbc	Cbf	Ver	Cs
	cmq/m	cmq/m	daN/cm ²	daN/cm ²				
4	31.42	20.11	-6	356	13	13	Si	10
16	31.42	20.11	-4	407	13	13	Si	8.8

Verifica aperture fessure:Wamm Freq[mm]=0.300 Wamm Qp[mm]=0.200

P.	Nx	Ny	Nxy	Mx	My	Mxy	σ_{fmed}	Wd	Wk	Cb	Ver	Cs
	daN/cm ²	daN/cm ²	daN/cm ²	kg	kg	kg	daN/cm ²	mm	mm			
16	-0.64	0.77	0.18	-1086	-896	330	209	0.019	0.019	13 (Qp)	Si	10
16	-0.67	0.79	0.18	-1074	-904	336	213	0.020	0.020	12 (Fr)	Si	15

Muro : 177 - Nodi: [203-19-15-94], Pann.X=4, Pann.Y=4Spess.=50 cm, Terreno=--,Criterio=CLS_Muri_ND, Materiale=C35/45

Armatura a maglia doppia, Stampa elementi piu' gravosi

Combinazione Rara: $\sigma_{ca}[\text{daN/cm}^2]=224$ $\sigma_{fa}[\text{daN/cm}^2]=3600$

P.	Afx	Afy	σ_c	σ_f	Cbc	Cbf	Ver	Cs
	cmq/m	cmq/m	daN/cm ²	daN/cm ²				
16	31.42	20.11	-11	533	11	11	Si	6.8

Combinazione QP: $\sigma_{ca}[\text{daN/cm}^2]=168$ $\sigma_{fa}[\text{daN/cm}^2]=3600$

P.	Afx	Afy	σ_c	σ_f	Cbc	Cbf	Ver	Cs
	cmq/m	cmq/m	daN/cm ²	daN/cm ²				
4	31.42	20.11	-6	355	13	13	Si	10
16	31.42	20.11	-4	427	13	13	Si	8.4

Verifica aperture fessure:Wamm Freq[mm]=0.300 Wamm Qp[mm]=0.200

P.	Nx	Ny	Nxy	Mx	My	Mxy	σ_{fmed}	Wd	Wk	Cb	Ver	Cs
	daN/cm ²	daN/cm ²	daN/cm ²	kg	kg	kg	daN/cm ²	mm	mm			
16	-0.61	0.80	0.03	-1187	-952	73	219	0.020	0.020	13 (Qp)	Si	9.9
16	-0.63	0.81	0.03	-1175	-962	74	223	0.021	0.021	12 (Fr)	Si	15

Muro : 178 - Nodi: [200-205-13-16], Pann.X=4, Pann.Y=4Spess.=50 cm, Terreno=--,Criterio=CLS_Muri_ND, Materiale=C35/45

Armatura a maglia doppia, Stampa elementi piu' gravosi

Combinazione Rara: $\sigma_{ca}[\text{daN/cm}^2]=224$ $\sigma_{fa}[\text{daN/cm}^2]=3600$

P.	Afx	Afy	σ_c	σ_f	Cbc	Cbf	Ver	Cs
	cmq/m	cmq/m	daN/cm ²	daN/cm ²				
14	20.11	31.42	-11	368	11	11	Si	9.8
15	20.11	31.42	-11	373	11	11	Si	9.6

Combinazione QP: $\sigma_{ca}[\text{daN/cm}^2]=168$ $\sigma_{fa}[\text{daN/cm}^2]=3600$

P.	Afx	Afy	σ_c	σ_f	Cbc	Cbf	Ver	Cs
	cmq/m	cmq/m	daN/cm ²	daN/cm ²				
13	20.11	31.42	-8	239	13	13	Si	15
4	20.11	31.42	-6	272	13	13	Si	13

Verifica aperture fessure:Wamm Freq[mm]=0.300 Wamm Qp[mm]=0.200

P.	Nx	Ny	Nxy	Mx	My	Mxy	σ_{fmed}	Wd	Wk	Cb	Ver	Cs
	daN/cm ²	daN/cm ²	daN/cm ²	kg	kg	kg	daN/cm ²	mm	mm			
13	0.37	-0.78	-0.08	-468	-2269	-9	235	0.025	0.025	12 (Fr)	Si	12
16	0.56	-0.54	-0.06	-463	-1671	-52	252	0.031	0.031	13 (Qp)	Si	6.4

Muro : 179 - Nodi: [199-20-14-195], Pann.X=4, Pann.Y=4Spess.=50 cm, Terreno=--,Criterio=CLS_Muri_ND, Materiale=C35/45

Armatura a maglia doppia, Stampa elementi piu' gravosi

Combinazione Rara: $\sigma_{ca}[\text{daN/cm}^2]=224$ $\sigma_{fa}[\text{daN/cm}^2]=3600$

P.	Afx	Afy	σ_c	σ_f	Cbc	Cbf	Ver	Cs
	cmq/m	cmq/m	daN/cm ²	daN/cm ²				
16	31.42	20.11	-7	280	11	11	Si	13

Combinazione QP: $\sigma_{ca}[\text{daN/cm}^2]=168$ $\sigma_{fa}[\text{daN/cm}^2]=3600$

P.	Afx	Afy	σ_c	σ_f	Cbc	Cbf	Ver	Cs
	cmq/m	cmq/m	daN/cm ²	daN/cm ²				
4	31.42	20.11	-4	327	13	13	Si	11

Verifica aperture fessure:Wamm Freq[mm]=0.300 Wamm Qp[mm]=0.200

P.	Nx	Ny	Nxy	Mx	My	Mxy	σ_{fmed}	Wd	Wk	Cb	Ver	Cs
	daN/cm ²	daN/cm ²	daN/cm ²	kg	kg	kg	daN/cm ²	mm	mm			
3	-0.91	0.69	0.45	-1056	-542	561	303	0.038	0.038	13 (Qp)	Si	5.2
3	-0.93	0.70	0.46	-1050	-544	572	306	0.039	0.039	12 (Fr)	Si	7.8

Muro : 180 - Nodi: [205-206-21-13], Pann.X=4, Pann.Y=4Spess.=50 cm, Terreno=--,Criterio=CLS_Muri_ND, Materiale=C35/45

Armatura a maglia doppia, Stampa elementi piu' gravosi

Combinazione Rara: σ_{ca} [daN/cm²]=224 σ_{fa} [daN/cm²]=3600

P.	Afx	Afy	σ_c	σ_f	Cbc	Cbf	Ver	Cs
	cmq/m	cmq/m	daN/cm ²	daN/cm ²				
16	20.11	31.42	-13	454	11	11	Si	7.9

Combinazione QP: σ_{ca} [daN/cm²]=168 σ_{fa} [daN/cm²]=3600

P.	Afx	Afy	σ_c	σ_f	Cbc	Cbf	Ver	Cs
	cmq/m	cmq/m	daN/cm ²	daN/cm ²				
13	20.11	31.42	-8	248	13	13	Si	14

Verifica aperture fessure:Wamm Freq[mm]=0.300 Wamm Qp[mm]=0.200

P.	Nx	Ny	Nxy	Mx	My	Mxy	σ_{fmed}	Wd	Wk	Cb	Ver	Cs
	daN/cm ²	daN/cm ²	daN/cm ²	kg	kg	kg	daN/cm ²	mm	mm			
16	0.58	-0.65	-0.05	-84	-1852	-31	164	0.031	0.031	13 (Qp)	Si	6.5
16	0.56	-0.73	-0.06	-71	-1833	-32	156	0.030	0.030	12 (Fr)	Si	10.0

Muro : 181 - Nodi: [100-23-24-98], Pann.X=4, Pann.Y=4Spess.=50 cm, Terreno=--,Criterio=CLS_Muri_ND, Materiale=C35/45

Armatura a maglia doppia, Stampa elementi piu' gravosi

Combinazione Rara: σ_{ca} [daN/cm²]=224 σ_{fa} [daN/cm²]=3600

P.	Afx	Afy	σ_c	σ_f	Cbc	Cbf	Ver	Cs
	cmq/m	cmq/m	daN/cm ²	daN/cm ²				
13	31.42	20.11	-10	488	11	11	Si	7.4

Combinazione QP: σ_{ca} [daN/cm²]=168 σ_{fa} [daN/cm²]=3600

P.	Afx	Afy	σ_c	σ_f	Cbc	Cbf	Ver	Cs
	cmq/m	cmq/m	daN/cm ²	daN/cm ²				
1	31.42	20.11	-5	354	13	13	Si	10
13	31.42	20.11	-4	405	13	13	Si	8.9

Verifica aperture fessure:Wamm Freq[mm]=0.300 Wamm Qp[mm]=0.200

P.	Nx	Ny	Nxy	Mx	My	Mxy	σ_{fmed}	Wd	Wk	Cb	Ver	Cs
	daN/cm ²	daN/cm ²	daN/cm ²	kg	kg	kg	daN/cm ²	mm	mm			
12	-0.76	0.70	-0.42	-871	-568	-451	313	0.039	0.039	13 (Qp)	Si	5.1
12	-0.78	0.71	-0.43	-861	-572	-461	317	0.040	0.040	12 (Fr)	Si	7.6

Muro : 182 - Nodi: [94-15-23-100], Pann.X=4, Pann.Y=4Spess.=50 cm, Terreno=--,Criterio=CLS_Muri_ND, Materiale=C35/45

Armatura a maglia doppia, Stampa elementi piu' gravosi

Combinazione Rara: σ_{ca} [daN/cm²]=224 σ_{fa} [daN/cm²]=3600

P.	Afx	Afy	σ_c	σ_f	Cbc	Cbf	Ver	Cs
	cmq/m	cmq/m	daN/cm ²	daN/cm ²				
13	31.42	20.11	-11	534	11	11	Si	6.7

Combinazione QP: σ_{ca} [daN/cm²]=168 σ_{fa} [daN/cm²]=3600

P.	Afx	Afy	σ_c	σ_f	Cbc	Cbf	Ver	Cs
	cmq/m	cmq/m	daN/cm ²	daN/cm ²				
1	31.42	20.11	-6	355	13	13	Si	10
13	31.42	20.11	-4	427	13	13	Si	8.4

Verifica aperture fessure:Wamm Freq[mm]=0.300 Wamm Qp[mm]=0.200

P.	Nx	Ny	Nxy	Mx	My	Mxy	σ_{fmed}	Wd	Wk	Cb	Ver	Cs
	daN/cm ²	daN/cm ²	daN/cm ²	kg	kg	kg	daN/cm ²	mm	mm			
13	-0.61	0.80	-0.00	-1190	-953	-7	219	0.020	0.020	13 (Qp)	Si	9.9
13	-0.63	0.81	-0.00	-1178	-963	-7	223	0.021	0.021	12 (Fr)	Si	15

Muro : 183 - Nodi: [97-107-108-96], Pann.X=4, Pann.Y=4Spess.=50 cm, Terreno=--,Criterio=CLS_Muri_ND, Materiale=C35/45

Armatura a maglia doppia, Stampa elementi piu' gravosi

Combinazione Rara: σ_{ca} [daN/cm²]=224 σ_{fa} [daN/cm²]=3600

P.	Afx	Afy	σ_c	σ_f	Cbc	Cbf	Ver	Cs
	cmq/m	cmq/m	daN/cm ²	daN/cm ²				
13	31.42	20.11	-7	335	11	11	Si	11

Combinazione QP: σ_{ca} [daN/cm²]=168 σ_{fa} [daN/cm²]=3600

P.	Afx	Afy	σ_c	σ_f	Cbc	Cbf	Ver	Cs
	cmq/m	cmq/m	daN/cm ²	daN/cm ²				
12	31.42	20.11	-5	317	13	13	Si	11
16	31.42	20.11	-5	341	13	13	Si	11

Verifica aperture fessure:Wamm Freq[mm]=0.300 Wamm Qp[mm]=0.200

P.	Nx	Ny	Nxy	Mx	My	Mxy	σ_{fmed}	Wd	Wk	Cb	Ver	Cs
	daN/cm ²	daN/cm ²	daN/cm ²	kg	kg	kg	daN/cm ²	mm	mm			
13	-1.07	0.72	-0.20	-1382	-551	-89	313	0.040	0.040	13 (Qp)	Si	5.0
13	-1.09	0.74	-0.21	-1374	-554	-91	318	0.041	0.041	12 (Fr)	Si	7.4

Muro : 184 - Nodi: [95-102-103-106], Pann.X=4, Pann.Y=4Spess.=50 cm, Terreno=--,Criterio=CLS_Muri_ND, Materiale=C35/45

Armatura a maglia doppia, Stampa elementi piu' gravosi

Combinazione Rara: σ_{ca} [daN/cm²]=224 σ_{fa} [daN/cm²]=3600

P.	Afx	Afy	σ_c	σ_f	Cbc	Cbf	Ver	Cs
	cmq/m	cmq/m	daN/cm ²	daN/cm ²				
16	31.42	20.11	-4	117	11	11	Si	31
5	31.42	20.11	-2	166	11	10	Si	22

Combinazione QP: σ_{ca} [daN/cm²]=168 σ_{fa} [daN/cm²]=3600

P.	Afx	Afy	σ_c	σ_f	Cbc	Cbf	Ver	Cs
	cmq/m	cmq/m	daN/cm ²	daN/cm ²				
13	31.42	20.11	-6	196	13	13	Si	18
16	31.42	20.11	-5	220	13	13	Si	16

Verifica aperture fessure:Wamm Freq[mm]=0.300 Wamm Qp[mm]=0.200

P.	Nx	Ny	Nxy	Mx	My	Mxy	σ_{fmed}	Wd	Wk	Cb	Ver	Cs
	daN/cm ²	daN/cm ²	daN/cm ²	kg	kg	kg	daN/cm ²	mm	mm			
2	0.72	-0.91	0.58	-373	-925	518	173	0.021	0.021	13 (Qp)	Si	9.5
2	0.73	-0.93	0.60	-374	-925	523	174	0.021	0.021	12 (Fr)	Si	14

Muro : 185 - Nodi: [110-95-106-112], Pann.X=4, Pann.Y=4Spess.=50 cm, Terreno=--,Criterio=CLS_Muri_ND, Materiale=C35/45

Armatura a maglia doppia, Stampa elementi piu' gravosi

Combinazione Rara: σ_{ca} [daN/cm²]=224 σ_{fa} [daN/cm²]=3600

P.	Afx	Afy	σ_c	σ_f	Cbc	Cbf	Ver	Cs
	cmq/m	cmq/m	daN/cm ²	daN/cm ²				
4	31.42	20.11	-18	604	11	11	Si	6.0

Combinazione QP: σ_{ca} [daN/cm²]=168 σ_{fa} [daN/cm²]=3600

P.	Afx	Afy	σ_c	σ_f	Cbc	Cbf	Ver	Cs
	cmq/m	cmq/m	daN/cm ²	daN/cm ²				
4	31.42	20.11	-7	441	13	13	Si	8.2
2	31.42	20.11	-7	454	13	13	Si	7.9

Verifica aperture fessure:Wamm Freq[mm]=0.300 Wamm Qp[mm]=0.200

P.	Nx	Ny	Nxy	Mx	My	Mxy	σ_{fmed}	Wd	Wk	Cb	Ver	Cs
	daN/cm ²	daN/cm ²	daN/cm ²	kg	kg	kg	daN/cm ²	mm	mm			
2	0.68	0.22	0.25	2265	141	111	454	0.047	0.047	13 (Qp)	Si	4.2
2	0.68	0.22	0.27	2273	140	111	455	0.048	0.048	12 (Fr)	Si	6.3

Muro : 186 - Nodi: [102-96-108-103], Pann.X=4, Pann.Y=4Spess.=50 cm, Terreno=--,Criterio=CLS_Muri_ND, Materiale=C35/45

Armatura a maglia doppia, Stampa elementi piu' gravosi

Combinazione Rara: σ_{ca} [daN/cm²]=224 σ_{fa} [daN/cm²]=3600

P.	Afx	Afy	σ_c	σ_f	Cbc	Cbf	Ver	Cs
	cmq/m	cmq/m	daN/cm ²	daN/cm ²				
16	31.42	20.11	-5	187	11	11	Si	19
9	31.42	20.11	-3	188	11	10	Si	19

Combinazione QP: σ_{ca} [daN/cm²]=168 σ_{fa} [daN/cm²]=3600

P.	Afx	Afy	σ_c	σ_f	Cbc	Cbf	Ver	Cs
	cmq/m	cmq/m	daN/cm ²	daN/cm ²				
10	31.42	20.11	-6	195	13	13	Si	18
8	31.42	20.11	-6	225	13	13	Si	16

Verifica aperture fessure:Wamm Freq[mm]=0.300 Wamm Qp[mm]=0.200

P.	Nx	Ny	Nxy	Mx	My	Mxy	σ_{fmed}	Wd	Wk	Cb	Ver	Cs
	daN/cm ²	daN/cm ²	daN/cm ²	kg	kg	kg	daN/cm ²	mm	mm			
8	0.63	-0.93	0.43	-813	-1393	351	225	0.023	0.023	13 (Qp)	Si	8.5
12	0.63	-0.95	0.42	-821	-1419	313	227	0.024	0.024	12 (Fr)	Si	13

Muro : 187 - Nodi: [109-111-107-97], Pann.X=4, Pann.Y=4Spess.=50 cm, Terreno=--,Criterio=CLS_Muri_ND, Materiale=C35/45

Armatura a maglia doppia, Stampa elementi piu' gravosi

Combinazione Rara: $\sigma_{ca}[\text{daN/cm}^2]=224$ $\sigma_{fa}[\text{daN/cm}^2]=3600$

P.	Afx	Afy	σ_c	σ_f	Cbc	Cbf	Ver	Cs
	cmq/m	cmq/m	daN/cm ²	daN/cm ²				
13	31.42	20.11	-9	377	11	11	Si	9.5

Combinazione QP: $\sigma_{ca}[\text{daN/cm}^2]=168$ $\sigma_{fa}[\text{daN/cm}^2]=3600$

P.	Afx	Afy	σ_c	σ_f	Cbc	Cbf	Ver	Cs
	cmq/m	cmq/m	daN/cm ²	daN/cm ²				
16	31.42	20.11	-5	294	13	13	Si	12

Verifica aperture fessure:Wamm Freq[mm]=0.300 Wamm Qp[mm]=0.200

P.	Nx	Ny	Nxy	Mx	My	Mxy	σ_{fmed}	Wd	Wk	Cb	Ver	Cs
	daN/cm ²	daN/cm ²	daN/cm ²	kg	kg	kg	daN/cm ²	mm	mm			
16	-1.09	0.73	-0.11	-1358	-459	-20	294	0.040	0.040	13 (Qp)	Si	5.0
16	-1.11	0.75	-0.11	-1350	-461	-20	299	0.041	0.041	12 (Fr)	Si	7.3

Muro : 188 - Nodi: [104-105-111-109], Pann.X=4, Pann.Y=4Spess.=50 cm, Terreno=--,Criterio=CLS_Muri_ND, Materiale=C35/45

Armatura a maglia doppia, Stampa elementi piu' gravosi

Combinazione Rara: $\sigma_{ca}[\text{daN/cm}^2]=224$ $\sigma_{fa}[\text{daN/cm}^2]=3600$

P.	Afx	Afy	σ_c	σ_f	Cbc	Cbf	Ver	Cs
	cmq/m	cmq/m	daN/cm ²	daN/cm ²				
16	31.42	20.11	-9	369	11	11	Si	9.7

Combinazione QP: $\sigma_{ca}[\text{daN/cm}^2]=168$ $\sigma_{fa}[\text{daN/cm}^2]=3600$

P.	Afx	Afy	σ_c	σ_f	Cbc	Cbf	Ver	Cs
	cmq/m	cmq/m	daN/cm ²	daN/cm ²				
16	31.42	20.11	-4	242	13	13	Si	15
13	31.42	20.11	-3	289	13	13	Si	12

Verifica aperture fessure:Wamm Freq[mm]=0.300 Wamm Qp[mm]=0.200

P.	Nx	Ny	Nxy	Mx	My	Mxy	σ_{fmed}	Wd	Wk	Cb	Ver	Cs
	daN/cm ²	daN/cm ²	daN/cm ²	kg	kg	kg	daN/cm ²	mm	mm			
13	-1.23	0.82	0.55	-933	-346	470	289	0.045	0.045	13 (Qp)	Si	4.5
13	-1.26	0.84	0.57	-926	-346	477	293	0.045	0.045	12 (Fr)	Si	6.6

Muro : 189 - Nodi: [107-33-31-108], Pann.X=4, Pann.Y=4Spess.=50 cm, Terreno=--,Criterio=CLS_Muri_ND, Materiale=C35/45

Armatura a maglia doppia, Stampa elementi piu' gravosi

Combinazione Rara: $\sigma_{ca}[\text{daN/cm}^2]=224$ $\sigma_{fa}[\text{daN/cm}^2]=3600$

P.	Afx	Afy	σ_c	σ_f	Cbc	Cbf	Ver	Cs
	cmq/m	cmq/m	daN/cm ²	daN/cm ²				
13	31.42	20.11	-11	552	11	11	Si	6.5

Combinazione QP: $\sigma_{ca}[\text{daN/cm}^2]=168$ $\sigma_{fa}[\text{daN/cm}^2]=3600$

P.	Afx	Afy	σ_c	σ_f	Cbc	Cbf	Ver	Cs
	cmq/m	cmq/m	daN/cm ²	daN/cm ²				
4	31.42	20.11	-5	363	13	13	Si	9.9
16	31.42	20.11	-3	423	13	13	Si	8.5

Verifica aperture fessure:Wamm Freq[mm]=0.300 Wamm Qp[mm]=0.200

P.	Nx	Ny	Nxy	Mx	My	Mxy	σ_{fmed}	Wd	Wk	Cb	Ver	Cs
	daN/cm ²	daN/cm ²	daN/cm ²	kg	kg	kg	daN/cm ²	mm	mm			
13	-0.67	1.03	-0.16	-987	-633	-86	410	0.056	0.056	13 (Qp)	Si	3.6
13	-0.68	1.05	-0.16	-975	-638	-87	417	0.058	0.058	12 (Fr)	Si	5.2

Muro : 190 - Nodi: [106-103-39-32], Pann.X=4, Pann.Y=4Spess.=50 cm, Terreno=--,Criterio=CLS_Muri_ND, Materiale=C35/45

Armatura a maglia doppia, Stampa elementi piu' gravosi

Combinazione Rara: $\sigma_{ca}[\text{daN/cm}^2]=224$ $\sigma_{fa}[\text{daN/cm}^2]=3600$

P.	Afx	Afy	σ_c	σ_f	Cbc	Cbf	Ver	Cs
	cmq/m	cmq/m	daN/cm ²	daN/cm ²				
16	31.42	20.11	-6	178	11	11	Si	20

Combinazione QP: $\sigma_{ca}[\text{daN/cm}^2]=168$ $\sigma_{fa}[\text{daN/cm}^2]=3600$

P.	Afx	Afy	σ_c	σ_f	Cbc	Cbf	Ver	Cs
	cmq/m	cmq/m	daN/cm ²	daN/cm ²				
13	31.42	20.11	-5	222	13	13	Si	16
14	31.42	20.11	-4	223	13	13	Si	16

Verifica aperture fessure:Wamm Freq[mm]=0.300 Wamm Qp[mm]=0.200

P.	Nx	Ny	Nxy	Mx	My	Mxy	σ_{fmed}	Wd	Wk	Cb	Ver	Cs
	daN/cm ²	daN/cm ²	daN/cm ²	kg	kg	kg	daN/cm ²	mm	mm			
11	0.70	-0.68	0.53	-567	-759	256	199	0.021	0.021	13 (Op)	Si	9.5
11	0.71	-0.70	0.54	-571	-751	263	202	0.021	0.021	12 (Fr)	Si	14

Muro : 191 - Nodi: [112-106-32-47], Pann.X=4, Pann.Y=4Spess.=50 cm, Terreno=--,Criterio=CLS_Muri_ND, Materiale=C35/45

Armatura a maglia doppia, Stampa elementi piu' gravosi

Combinazione Rara: σ_{ca} [daN/cm²]=224 σ_{fa} [daN/cm²]=3600

P.	Afx	Afy	σ_c	σ_f	Cbc	Cbf	Ver	Cs
	cmq/m	cmq/m	daN/cm ²	daN/cm ²				
4	31.42	20.11	-22	804	11	11	Si	4.5

Combinazione QP: σ_{ca} [daN/cm²]=168 σ_{fa} [daN/cm²]=3600

P.	Afx	Afy	σ_c	σ_f	Cbc	Cbf	Ver	Cs
	cmq/m	cmq/m	daN/cm ²	daN/cm ²				
1	31.42	20.11	-7	426	13	13	Si	8.5

Verifica aperture fessure:Wamm Freq[mm]=0.300 Wamm Qp[mm]=0.200

P.	Nx	Ny	Nxy	Mx	My	Mxy	σ_{fmed}	Wd	Wk	Cb	Ver	Cs
	daN/cm ²	daN/cm ²	daN/cm ²	kg	kg	kg	daN/cm ²	mm	mm			
1	0.55	0.03	0.23	2219	190	50	426	0.044	0.044	13 (Op)	Si	4.5
1	0.55	0.03	0.24	2226	190	51	427	0.045	0.045	12 (Fr)	Si	6.7

Muro : 192 - Nodi: [103-108-31-39], Pann.X=4, Pann.Y=4Spess.=50 cm, Terreno=--,Criterio=CLS_Muri_ND, Materiale=C35/45

Armatura a maglia doppia, Stampa elementi piu' gravosi

Combinazione Rara: σ_{ca} [daN/cm²]=224 σ_{fa} [daN/cm²]=3600

P.	Afx	Afy	σ_c	σ_f	Cbc	Cbf	Ver	Cs
	cmq/m	cmq/m	daN/cm ²	daN/cm ²				
16	31.42	20.11	-8	314	11	11	Si	11

Combinazione QP: σ_{ca} [daN/cm²]=168 σ_{fa} [daN/cm²]=3600

P.	Afx	Afy	σ_c	σ_f	Cbc	Cbf	Ver	Cs
	cmq/m	cmq/m	daN/cm ²	daN/cm ²				
13	31.42	20.11	-6	235	13	13	Si	15
16	31.42	20.11	-4	268	13	13	Si	13

Verifica aperture fessure:Wamm Freq[mm]=0.300 Wamm Qp[mm]=0.200

P.	Nx	Ny	Nxy	Mx	My	Mxy	σ_{fmed}	Wd	Wk	Cb	Ver	Cs
	daN/cm ²	daN/cm ²	daN/cm ²	kg	kg	kg	daN/cm ²	mm	mm			
13	0.69	-0.86	0.38	-808	-1347	261	131	0.015	0.015	13 (Op)	Si	13
13	0.71	-0.88	0.39	-815	-1340	265	126	0.015	0.015	12 (Fr)	Si	21

Muro : 193 - Nodi: [105-46-40-111], Pann.X=4, Pann.Y=4Spess.=50 cm, Terreno=--,Criterio=CLS_Muri_ND, Materiale=C35/45

Armatura a maglia doppia, Stampa elementi piu' gravosi

Combinazione Rara: σ_{ca} [daN/cm²]=224 σ_{fa} [daN/cm²]=3600

P.	Afx	Afy	σ_c	σ_f	Cbc	Cbf	Ver	Cs
	cmq/m	cmq/m	daN/cm ²	daN/cm ²				
16	31.42	20.11	-12	546	11	11	Si	6.6

Combinazione QP: σ_{ca} [daN/cm²]=168 σ_{fa} [daN/cm²]=3600

P.	Afx	Afy	σ_c	σ_f	Cbc	Cbf	Ver	Cs
	cmq/m	cmq/m	daN/cm ²	daN/cm ²				
4	31.42	20.11	-4	269	13	13	Si	13
16	31.42	20.11	-3	343	13	13	Si	11

Verifica aperture fessure:Wamm Freq[mm]=0.300 Wamm Qp[mm]=0.200

P.	Nx	Ny	Nxy	Mx	My	Mxy	σ_{fmed}	Wd	Wk	Cb	Ver	Cs
	daN/cm ²	daN/cm ²	daN/cm ²	kg	kg	kg	daN/cm ²	mm	mm			
16	-0.68	1.01	0.19	-870	-376	246	343	0.055	0.055	13 (Op)	Si	3.7
16	-0.70	1.03	0.19	-858	-377	251	349	0.056	0.056	12 (Fr)	Si	5.4

Muro : 194 - Nodi: [111-40-33-107], Pann.X=4, Pann.Y=4Spess.=50 cm, Terreno=--,Criterio=CLS_Muri_ND, Materiale=C35/45

Armatura a maglia doppia, Stampa elementi piu' gravosi

Combinazione Rara: σ_{ca} [daN/cm²]=224 σ_{fa} [daN/cm²]=3600

P.	Afx	Afy	σ_c	σ_f	Cbc	Cbf	Ver	Cs
	cmq/m	cmq/m	daN/cm ²	daN/cm ²				
13	31.42	20.11	-12	568	11	11	Si	6.3
14	31.42	20.11	-12	575	11	11	Si	6.3

Combinazione QP: $\sigma_{ca}[\text{daN/cm}^2]=168$ $\sigma_{fa}[\text{daN/cm}^2]=3600$

P.	Afx	Afy	σ_c	σ_f	Cbc	Cbf	Ver	Cs
	cmq/m	cmq/m	daN/cm ²	daN/cm ²				
4	31.42	20.11	-5	321	13	13	Si	11
16	31.42	20.11	-3	398	13	13	Si	9.1

Verifica aperture fessure:Wamm Freq[mm]=0.300 Wamm Qp[mm]=0.200

P.	Nx	Ny	Nxy	Mx	My	Mxy	σ_{fmed}	Wd	Wk	Cb	Ver	Cs
	daN/cm ²	daN/cm ²	daN/cm ²	kg	kg	kg	daN/cm ²	mm	mm			
15	-0.67	1.05	-0.02	-973	-499	41	383	0.057	0.057	13 (Qp)	Si	3.5
15	-0.69	1.08	-0.02	-961	-502	42	390	0.058	0.058	12 (Fr)	Si	5.1

Muro : 195 - Nodi: [101-98-113-120], Pann.X=4, Pann.Y=4Spess.=50 cm, Terreno=--,Criterio=CLS_Muri_ND, Materiale=C35/45

Armatura a maglia doppia, Stampa elementi piu' gravosi

Combinazione Rara: $\sigma_{ca}[\text{daN/cm}^2]=224$ $\sigma_{fa}[\text{daN/cm}^2]=3600$

P.	Afx	Afy	σ_c	σ_f	Cbc	Cbf	Ver	Cs
	cmq/m	cmq/m	daN/cm ²	daN/cm ²				
13	31.42	20.11	-4	85	11	11	Si	43
2	31.42	20.11	-2	256	11	10	Si	14

Combinazione QP: $\sigma_{ca}[\text{daN/cm}^2]=168$ $\sigma_{fa}[\text{daN/cm}^2]=3600$

P.	Afx	Afy	σ_c	σ_f	Cbc	Cbf	Ver	Cs
	cmq/m	cmq/m	daN/cm ²	daN/cm ²				
1	31.42	20.11	-4	302	13	13	Si	12
9	31.42	20.11	-4	308	13	13	Si	12

Verifica aperture fessure:Wamm Freq[mm]=0.300 Wamm Qp[mm]=0.200

P.	Nx	Ny	Nxy	Mx	My	Mxy	σ_{fmed}	Wd	Wk	Cb	Ver	Cs
	daN/cm ²	daN/cm ²	daN/cm ²	kg	kg	kg	daN/cm ²	mm	mm			
4	-1.07	0.77	-0.53	-945	-274	-801	258	0.042	0.042	13 (Qp)	Si	4.8
4	-1.09	0.78	-0.54	-945	-274	-810	260	0.042	0.042	12 (Fr)	Si	7.1

Muro : 196 - Nodi: [98-24-53-113], Pann.X=4, Pann.Y=4Spess.=50 cm, Terreno=--,Criterio=CLS_Muri_ND, Materiale=C35/45

Armatura a maglia doppia, Stampa elementi piu' gravosi

Combinazione Rara: $\sigma_{ca}[\text{daN/cm}^2]=224$ $\sigma_{fa}[\text{daN/cm}^2]=3600$

P.	Afx	Afy	σ_c	σ_f	Cbc	Cbf	Ver	Cs
	cmq/m	cmq/m	daN/cm ²	daN/cm ²				
13	31.42	20.11	-4	112	11	11	Si	32
3	31.42	20.11	-2	191	11	10	Si	19

Combinazione QP: $\sigma_{ca}[\text{daN/cm}^2]=168$ $\sigma_{fa}[\text{daN/cm}^2]=3600$

P.	Afx	Afy	σ_c	σ_f	Cbc	Cbf	Ver	Cs
	cmq/m	cmq/m	daN/cm ²	daN/cm ²				
1	31.42	20.11	-3	295	13	13	Si	12

Verifica aperture fessure:Wamm Freq[mm]=0.300 Wamm Qp[mm]=0.200

P.	Nx	Ny	Nxy	Mx	My	Mxy	σ_{fmed}	Wd	Wk	Cb	Ver	Cs
	daN/cm ²	daN/cm ²	daN/cm ²	kg	kg	kg	daN/cm ²	mm	mm			
1	-0.91	0.71	-0.47	-987	-488	-544	295	0.039	0.039	13 (Qp)	Si	5.1
1	-0.93	0.72	-0.49	-980	-489	-554	298	0.040	0.040	12 (Fr)	Si	7.6

Muro : 197 - Nodi: [117-121-105-104], Pann.X=4, Pann.Y=4Spess.=50 cm, Terreno=--,Criterio=CLS_Muri_ND, Materiale=C35/45

Armatura a maglia doppia, Stampa elementi piu' gravosi

Combinazione Rara: $\sigma_{ca}[\text{daN/cm}^2]=224$ $\sigma_{fa}[\text{daN/cm}^2]=3600$

P.	Afx	Afy	σ_c	σ_f	Cbc	Cbf	Ver	Cs
	cmq/m	cmq/m	daN/cm ²	daN/cm ²				
16	31.42	20.11	-4	108	11	11	Si	33
2	31.42	20.11	-1	250	11	10	Si	14

Combinazione QP: $\sigma_{ca}[\text{daN/cm}^2]=168$ $\sigma_{fa}[\text{daN/cm}^2]=3600$

P.	Afx	Afy	σ_c	σ_f	Cbc	Cbf	Ver	Cs
	cmq/m	cmq/m	daN/cm ²	daN/cm ²				
4	31.42	20.11	-3	285	13	13	Si	13
12	31.42	20.11	-3	290	13	13	Si	12

Verifica aperture fessure:Wamm Freq[mm]=0.300 Wamm Qp[mm]=0.200

P.	Nx	Ny	Nxy	Mx	My	Mxy	σ_{fmed}	Wd	Wk	Cb	Ver	Cs
	daN/cm ²	daN/cm ²	daN/cm ²	kg	kg	kg	daN/cm ²	mm	mm			
16	-1.19	0.83	0.69	-829	-329	458	287	0.045	0.045	13 (Qp)	Si	4.4
16	-1.22	0.85	0.71	-822	-328	465	291	0.046	0.046	12 (Fr)	Si	6.5

Muro : 198 - Nodi: [121-57-46-105], Pann.X=4, Pann.Y=4Spess.=50 cm, Terreno=--,Criterio=CLS_Muri_ND, Materiale=C35/45

Armatura a maglia doppia, Stampa elementi piu' gravosi

Combinazione Rara: $\sigma_{ca}[\text{daN/cm}^2]=224$ $\sigma_{fa}[\text{daN/cm}^2]=3600$

P.	Afx	Afy	σ_c	σ_f	Cbc	Cbf	Ver	Cs
	cmq/m	cmq/m	daN/cm ²	daN/cm ²				
16	31.42	20.11	-5	139	11	11	Si	26

Combinazione QP: $\sigma_{ca}[\text{daN/cm}^2]=168$ $\sigma_{fa}[\text{daN/cm}^2]=3600$

P.	Afx	Afy	σ_c	σ_f	Cbc	Cbf	Ver	Cs
	cmq/m	cmq/m	daN/cm ²	daN/cm ²				
4	31.42	20.11	-3	282	13	13	Si	13

Verifica aperture fessure:Wamm Freq[mm]=0.300 Wamm Qp[mm]=0.200

P.	Nx	Ny	Nxy	Mx	My	Mxy	σ_{fmed}	Wd	Wk	Cb	Ver	Cs
	daN/cm ²	daN/cm ²	daN/cm ²	kg	kg	kg	daN/cm ²	mm	mm			
16	-0.72	0.85	0.62	-494	-190	263	257	0.046	0.046	13 (Qp)	Si	4.4
16	-0.74	0.86	0.63	-484	-189	272	261	0.046	0.046	12 (Fr)	Si	6.5

Muro : 199 - Nodi: [120-113-114-119], Pann.X=4, Pann.Y=4Spess.=50 cm, Terreno=--,Criterio=CLS_Muri_ND, Materiale=C35/45

Armatura a maglia doppia, Stampa elementi piu' gravosi

Combinazione Rara: $\sigma_{ca}[\text{daN/cm}^2]=224$ $\sigma_{fa}[\text{daN/cm}^2]=3600$

P.	Afx	Afy	σ_c	σ_f	Cbc	Cbf	Ver	Cs
	cmq/m	cmq/m	daN/cm ²	daN/cm ²				
16	31.42	20.11	-22	925	11	11	Si	3.9

Combinazione QP: $\sigma_{ca}[\text{daN/cm}^2]=168$ $\sigma_{fa}[\text{daN/cm}^2]=3600$

P.	Afx	Afy	σ_c	σ_f	Cbc	Cbf	Ver	Cs
	cmq/m	cmq/m	daN/cm ²	daN/cm ²				
16	31.42	20.11	-10	758	13	13	Si	4.7
8	31.42	20.11	-10	774	13	13	Si	4.7

Verifica aperture fessure:Wamm Freq[mm]=0.300 Wamm Qp[mm]=0.200

P.	Nx	Ny	Nxy	Mx	My	Mxy	σ_{fmed}	Wd	Wk	Cb	Ver	Cs
	daN/cm ²	daN/cm ²	daN/cm ²	kg	kg	kg	daN/cm ²	mm	mm			
8	0.27	0.72	-0.24	173	2521	-192	774	0.095	0.095	13 (Qp)	Si	2.1
8	0.26	0.72	-0.25	173	2535	-194	778	0.096	0.096	12 (Fr)	Si	3.1

Muro : 200 - Nodi: [113-53-51-114], Pann.X=4, Pann.Y=4Spess.=50 cm, Terreno=--,Criterio=CLS_Muri_ND, Materiale=C35/45

Armatura a maglia doppia, Stampa elementi piu' gravosi

Combinazione Rara: $\sigma_{ca}[\text{daN/cm}^2]=224$ $\sigma_{fa}[\text{daN/cm}^2]=3600$

P.	Afx	Afy	σ_c	σ_f	Cbc	Cbf	Ver	Cs
	cmq/m	cmq/m	daN/cm ²	daN/cm ²				
16	31.42	20.11	-27	1240	11	11	Si	2.9

Combinazione QP: $\sigma_{ca}[\text{daN/cm}^2]=168$ $\sigma_{fa}[\text{daN/cm}^2]=3600$

P.	Afx	Afy	σ_c	σ_f	Cbc	Cbf	Ver	Cs
	cmq/m	cmq/m	daN/cm ²	daN/cm ²				
4	31.42	20.11	-10	737	13	13	Si	4.9

Verifica aperture fessure:Wamm Freq[mm]=0.300 Wamm Qp[mm]=0.200

P.	Nx	Ny	Nxy	Mx	My	Mxy	σ_{fmed}	Wd	Wk	Cb	Ver	Cs
	daN/cm ²	daN/cm ²	daN/cm ²	kg	kg	kg	daN/cm ²	mm	mm			
4	0.06	0.58	-0.21	231	2513	-131	737	0.091	0.091	13 (Qp)	Si	2.2
4	0.05	0.58	-0.22	232	2526	-135	741	0.091	0.091	12 (Fr)	Si	3.3

Muro : 201 - Nodi: [118-122-121-117], Pann.X=4, Pann.Y=4Spess.=50 cm, Terreno=--,Criterio=CLS_Muri_ND, Materiale=C35/45

Armatura a maglia doppia, Stampa elementi piu' gravosi

Combinazione Rara: $\sigma_{ca}[\text{daN/cm}^2]=224$ $\sigma_{fa}[\text{daN/cm}^2]=3600$

P.	Afx	Afy	σ_c	σ_f	Cbc	Cbf	Ver	Cs
	cmq/m	cmq/m	daN/cm ²	daN/cm ²				
13	31.42	20.11	-23	968	11	11	Si	3.7

Combinazione QP: $\sigma_{ca}[\text{daN/cm}^2]=168$ $\sigma_{fa}[\text{daN/cm}^2]=3600$

P.	Afx	Afy	σ_c	σ_f	Cbc	Cbf	Ver	Cs
	cmq/m	cmq/m	daN/cm ²	daN/cm ²				
13	31.42	20.11	-7	579	13	13	Si	6.2
5	31.42	20.11	-7	591	13	13	Si	6.1

Verifica aperture fessure:Wamm Freq[mm]=0.300 Wamm Qp[mm]=0.200

P.	Nx	Ny	Nxy	Mx	My	Mxy	σ_{fmed}	Wd	Wk	Cb	Ver	Cs
	daN/cm ²	daN/cm ²	daN/cm ²	kg	kg	kg	daN/cm ²	mm	mm			
5	0.15	0.62	0.58	100	1847	-15	591	0.073	0.073	13 (Qp)	Si	2.7
5	0.15	0.62	0.60	98	1851	-17	593	0.073	0.073	12 (Fr)	Si	4.1

Muro : 202 - Nodi: [122-50-57-121], Pann.X=4, Pann.Y=4Spess.=50 cm, Terreno=--,Criterio=CLS_Muri_ND, Materiale=C35/45

Armatura a maglia doppia, Stampa elementi piu' gravosi

Combinazione Rara: σ_{ca} [daN/cm²]=224 σ_{fa} [daN/cm²]=3600

P.	Afx	Afy	σ_c	σ_f	Cbc	Cbf	Ver	Cs
	cmq/m	cmq/m	daN/cm ²	daN/cm ²				
13	31.42	20.11	-28	1277	11	11	Si	2.8

Combinazione QP: σ_{ca} [daN/cm²]=168 σ_{fa} [daN/cm²]=3600

P.	Afx	Afy	σ_c	σ_f	Cbc	Cbf	Ver	Cs
	cmq/m	cmq/m	daN/cm ²	daN/cm ²				
1	31.42	20.11	-7	560	13	13	Si	6.4

Verifica aperture fessure:Wamm Freq[mm]=0.300 Wamm Qp[mm]=0.200

P.	Nx	Ny	Nxy	Mx	My	Mxy	σ_{fmed}	Wd	Wk	Cb	Ver	Cs
	daN/cm ²	daN/cm ²	daN/cm ²	kg	kg	kg	daN/cm ²	mm	mm			
1	-0.05	0.51	0.53	131	1834	-40	560	0.069	0.069	13 (Qp)	Si	2.9
1	-0.06	0.51	0.55	129	1837	-40	561	0.069	0.069	12 (Fr)	Si	4.3

Muro : 203 - Nodi: [204-123-115-206], Pann.X=4, Pann.Y=4Spess.=50 cm, Terreno=--,Criterio=CLS_Muri_ND, Materiale=C35/45

Armatura a maglia doppia, Stampa elementi piu' gravosi

Combinazione Rara: σ_{ca} [daN/cm²]=224 σ_{fa} [daN/cm²]=3600

P.	Afx	Afy	σ_c	σ_f	Cbc	Cbf	Ver	Cs
	cmq/m	cmq/m	daN/cm ²	daN/cm ²				
4	20.11	31.42	-11	343	11	11	Si	10

Combinazione QP: σ_{ca} [daN/cm²]=168 σ_{fa} [daN/cm²]=3600

P.	Afx	Afy	σ_c	σ_f	Cbc	Cbf	Ver	Cs
	cmq/m	cmq/m	daN/cm ²	daN/cm ²				
2	20.11	31.42	-9	252	13	13	Si	14
3	20.11	31.42	-9	258	13	13	Si	14

Verifica aperture fessure:Wamm Freq[mm]=0.300 Wamm Qp[mm]=0.200

P.	Nx	Ny	Nxy	Mx	My	Mxy	σ_{fmed}	Wd	Wk	Cb	Ver	Cs
	daN/cm ²	daN/cm ²	daN/cm ²	kg	kg	kg	daN/cm ²	mm	mm			
3	0.31	-0.89	-0.02	-299	-2522	28	258	0.027	0.027	13 (Qp)	Si	7.4
3	0.29	-0.95	-0.01	-297	-2534	30	252	0.026	0.026	12 (Fr)	Si	11

Muro : 204 - Nodi: [206-115-59-21], Pann.X=4, Pann.Y=4Spess.=50 cm, Terreno=--,Criterio=CLS_Muri_ND, Materiale=C35/45

Armatura a maglia doppia, Stampa elementi piu' gravosi

Combinazione Rara: σ_{ca} [daN/cm²]=224 σ_{fa} [daN/cm²]=3600

P.	Afx	Afy	σ_c	σ_f	Cbc	Cbf	Ver	Cs
	cmq/m	cmq/m	daN/cm ²	daN/cm ²				
3	20.11	31.42	-13	438	11	11	Si	8.2
4	20.11	31.42	-13	444	11	11	Si	8.1

Combinazione QP: σ_{ca} [daN/cm²]=168 σ_{fa} [daN/cm²]=3600

P.	Afx	Afy	σ_c	σ_f	Cbc	Cbf	Ver	Cs
	cmq/m	cmq/m	daN/cm ²	daN/cm ²				
1	20.11	31.42	-8	246	13	13	Si	15
16	20.11	31.42	-6	262	13	13	Si	14

Verifica aperture fessure:Wamm Freq[mm]=0.300 Wamm Qp[mm]=0.200

P.	Nx	Ny	Nxy	Mx	My	Mxy	σ_{fmed}	Wd	Wk	Cb	Ver	Cs
	daN/cm ²	daN/cm ²	daN/cm ²	kg	kg	kg	daN/cm ²	mm	mm			
4	0.56	-0.63	0.01	-104	-1822	94	165	0.030	0.030	13 (Qp)	Si	6.6
4	0.54	-0.71	0.03	-93	-1804	97	157	0.029	0.029	12 (Fr)	Si	10

Muro : 205 - Nodi: [123-127-116-115], Pann.X=4, Pann.Y=4Spess.=50 cm, Terreno=--,Criterio=CLS_Muri_ND, Materiale=C35/45

Armatura a maglia doppia, Stampa elementi piu' gravosi

Combinazione Rara: σ_{ca} [daN/cm²]=224 σ_{fa} [daN/cm²]=3600

P.	Afx	Afy	σ_c	σ_f	Cbc	Cbf	Ver	Cs
	cmq/m	cmq/m	daN/cm ²	daN/cm ²				
12	20.11	31.42	-10	299	11	11	Si	12
8	20.11	31.42	-10	299	11	11	Si	12

Combinazione QP: σ_{ca} [daN/cm²]=168 σ_{fa} [daN/cm²]=3600

P.	Afx	Afy	σ_c	σ_f	Cbc	Cbf	Ver	Cs
	cmq/m	cmq/m	daN/cm ²	daN/cm ²				
2	20.11	31.42	-8	207	13	13	Si	17
16	20.11	31.42	-7	239	13	13	Si	15

Verifica aperture fessure:Wamm Freq[mm]=0.300 Wamm Qp[mm]=0.200

P.	Nx	Ny	Nxy	Mx	My	Mxy	σ_{fmed}	Wd	Wk	Cb	Ver	Cs
	daN/cm ²	daN/cm ²	daN/cm ²	kg	kg	kg	daN/cm ²	mm	mm			
4	0.36	-0.97	-0.05	-551	-2217	-159	221	0.027	0.027	12 (Fr)	Si	11
14	0.36	-1.17	-0.07	-548	-2235	-247	221	0.027	0.027	13 (Qp)	Si	7.3

Muro : 206 - Nodi: [115-116-62-59], Pann.X=4, Pann.Y=4Spess.=50 cm, Terreno=--,Criterio=CLS_Muri_ND, Materiale=C35/45

Armatura a maglia doppia, Stampa elementi piu' gravosi

Combinazione Rara: σ_{ca} [daN/cm²]=224 σ_{fa} [daN/cm²]=3600

P.	Afx	Afy	σ_c	σ_f	Cbc	Cbf	Ver	Cs
	cmq/m	cmq/m	daN/cm ²	daN/cm ²				
10	20.11	31.42	-11	350	11	11	Si	10
7	20.11	31.42	-11	358	11	11	Si	10

Combinazione QP: σ_{ca} [daN/cm²]=168 σ_{fa} [daN/cm²]=3600

P.	Afx	Afy	σ_c	σ_f	Cbc	Cbf	Ver	Cs
	cmq/m	cmq/m	daN/cm ²	daN/cm ²				
1	20.11	31.42	-7	235	13	13	Si	15
4	20.11	31.42	-5	258	13	13	Si	14

Verifica aperture fessure:Wamm Freq[mm]=0.300 Wamm Qp[mm]=0.200

P.	Nx	Ny	Nxy	Mx	My	Mxy	σ_{fmed}	Wd	Wk	Cb	Ver	Cs
	daN/cm ²	daN/cm ²	daN/cm ²	kg	kg	kg	daN/cm ²	mm	mm			
16	0.57	-0.75	-0.13	-388	-1424	-62	236	0.031	0.031	13 (Qp)	Si	6.4
16	0.56	-0.84	-0.13	-373	-1405	-62	231	0.031	0.031	12 (Fr)	Si	9.7

Muro : 207 - Nodi: [127-128-130-116], Pann.X=4, Pann.Y=4Spess.=50 cm, Terreno=--,Criterio=CLS_Muri_ND, Materiale=C35/45

Armatura a maglia doppia, Stampa elementi piu' gravosi

Combinazione Rara: σ_{ca} [daN/cm²]=224 σ_{fa} [daN/cm²]=3600

P.	Afx	Afy	σ_c	σ_f	Cbc	Cbf	Ver	Cs
	cmq/m	cmq/m	daN/cm ²	daN/cm ²				
4	20.11	31.42	-10	288	11	11	Si	12

Combinazione QP: σ_{ca} [daN/cm²]=168 σ_{fa} [daN/cm²]=3600

P.	Afx	Afy	σ_c	σ_f	Cbc	Cbf	Ver	Cs
	cmq/m	cmq/m	daN/cm ²	daN/cm ²				
1	20.11	31.42	-8	217	13	13	Si	17
15	20.11	31.42	-6	257	13	13	Si	14

Verifica aperture fessure:Wamm Freq[mm]=0.300 Wamm Qp[mm]=0.200

P.	Nx	Ny	Nxy	Mx	My	Mxy	σ_{fmed}	Wd	Wk	Cb	Ver	Cs
	daN/cm ²	daN/cm ²	daN/cm ²	kg	kg	kg	daN/cm ²	mm	mm			
1	0.35	-1.27	-0.07	-545	-2181	-298	217	0.027	0.027	13 (Qp)	Si	7.5
1	0.35	-1.32	-0.05	-544	-2198	-297	216	0.027	0.027	12 (Fr)	Si	11

Muro : 208 - Nodi: [116-130-67-62], Pann.X=4, Pann.Y=4Spess.=50 cm, Terreno=--,Criterio=CLS_Muri_ND, Materiale=C35/45

Armatura a maglia doppia, Stampa elementi piu' gravosi

Combinazione Rara: σ_{ca} [daN/cm²]=224 σ_{fa} [daN/cm²]=3600

P.	Afx	Afy	σ_c	σ_f	Cbc	Cbf	Ver	Cs
	cmq/m	cmq/m	daN/cm ²	daN/cm ²				
2	20.11	31.42	-11	330	11	11	Si	11
3	20.11	31.42	-11	335	11	11	Si	11

Combinazione QP: σ_{ca} [daN/cm²]=168 σ_{fa} [daN/cm²]=3600

P.	Afx	Afy	σ_c	σ_f	Cbc	Cbf	Ver	Cs
	cmq/m	cmq/m	daN/cm ²	daN/cm ²				
1	20.11	31.42	-7	246	13	13	Si	15
9	20.11	31.42	-6	251	13	13	Si	14

Verifica aperture fessure:Wamm Freq[mm]=0.300 Wamm Qp[mm]=0.200

P.	Nx	Ny	Nxy	Mx	My	Mxy	σ_{med}	Wd	Wk	Cb	Ver	Cs
	daN/cm ²	daN/cm ²	daN/cm ²	kg	kg	kg	daN/cm ²	mm	mm			
4	0.57	-0.76	-0.13	-367	-1356	-5	231	0.031	0.031	13 (Qp)	Si	6.4
4	0.57	-0.85	-0.12	-352	-1338	-2	226	0.031	0.031	12 (Fr)	Si	9.7

Muro : 209 - Nodi: [128-131-129-130], Pann.X=4, Pann.Y=4Spess.=50 cm, Terreno=--,Criterio=CLS_Muri_ND, Materiale=C35/45

Armatura a maglia doppia, Stampa elementi piu' gravosi

Combinazione Rara: σ_{ca} [daN/cm²]=224 σ_{fa} [daN/cm²]=3600

P.	Afx	Afy	σ_c	σ_f	Cbc	Cbf	Ver	Cs
	cmq/m	cmq/m	daN/cm ²	daN/cm ²				
4	20.11	31.42	-7	207	11	11	Si	17

Combinazione QP: σ_{ca} [daN/cm²]=168 σ_{fa} [daN/cm²]=3600

P.	Afx	Afy	σ_c	σ_f	Cbc	Cbf	Ver	Cs
	cmq/m	cmq/m	daN/cm ²	daN/cm ²				
1	20.11	31.42	-6	253	13	13	Si	14
2	20.11	31.42	-6	257	13	13	Si	14

Verifica aperture fessure:Wamm Freq[mm]=0.300 Wamm Qp[mm]=0.200

P.	Nx	Ny	Nxy	Mx	My	Mxy	σ_{med}	Wd	Wk	Cb	Ver	Cs
	daN/cm ²	daN/cm ²	daN/cm ²	kg	kg	kg	daN/cm ²	mm	mm			
13	0.66	-0.81	-0.30	-64	-920	-296	179	0.035	0.035	13 (Qp)	Si	5.6
13	0.66	-0.82	-0.28	-64	-926	-290	179	0.035	0.035	12 (Fr)	Si	8.5

Muro : 210 - Nodi: [130-129-60-67], Pann.X=4, Pann.Y=4Spess.=50 cm, Terreno=--,Criterio=CLS_Muri_ND, Materiale=C35/45

Armatura a maglia doppia, Stampa elementi piu' gravosi

Combinazione Rara: σ_{ca} [daN/cm²]=224 σ_{fa} [daN/cm²]=3600

P.	Afx	Afy	σ_c	σ_f	Cbc	Cbf	Ver	Cs
	cmq/m	cmq/m	daN/cm ²	daN/cm ²				
1	20.11	31.42	-7	214	11	11	Si	17

Combinazione QP: σ_{ca} [daN/cm²]=168 σ_{fa} [daN/cm²]=3600

P.	Afx	Afy	σ_c	σ_f	Cbc	Cbf	Ver	Cs
	cmq/m	cmq/m	daN/cm ²	daN/cm ²				
1	20.11	31.42	-5	240	13	13	Si	15

Verifica aperture fessure:Wamm Freq[mm]=0.300 Wamm Qp[mm]=0.200

P.	Nx	Ny	Nxy	Mx	My	Mxy	σ_{med}	Wd	Wk	Cb	Ver	Cs
	daN/cm ²	daN/cm ²	daN/cm ²	kg	kg	kg	daN/cm ²	mm	mm			
5	0.56	-0.81	-0.29	-323	-1119	36	217	0.030	0.030	13 (Qp)	Si	6.6
13	0.56	-0.57	-0.31	162	-604	192	178	0.030	0.030	12 (Fr)	Si	10.0

Muro : 211 - Nodi: [131-110-112-129], Pann.X=4, Pann.Y=4Spess.=50 cm, Terreno=--,Criterio=CLS_Muri_ND, Materiale=C35/45

Armatura a maglia doppia, Stampa elementi piu' gravosi

Combinazione Rara: σ_{ca} [daN/cm²]=224 σ_{fa} [daN/cm²]=3600

P.	Afx	Afy	σ_c	σ_f	Cbc	Cbf	Ver	Cs
	cmq/m	cmq/m	daN/cm ²	daN/cm ²				
16	20.11	31.42	-24	1064	11	11	Si	3.4

Combinazione QP: σ_{ca} [daN/cm²]=168 σ_{fa} [daN/cm²]=3600

P.	Afx	Afy	σ_c	σ_f	Cbc	Cbf	Ver	Cs
	cmq/m	cmq/m	daN/cm ²	daN/cm ²				
15	20.11	31.42	-10	733	13	13	Si	4.9
14	20.11	31.42	-10	740	13	13	Si	4.9

Verifica aperture fessure:Wamm Freq[mm]=0.300 Wamm Qp[mm]=0.200

P.	Nx	Ny	Nxy	Mx	My	Mxy	σ_{med}	Wd	Wk	Cb	Ver	Cs
	daN/cm ²	daN/cm ²	daN/cm ²	kg	kg	kg	daN/cm ²	mm	mm			
14	0.64	0.26	0.00	2462	175	53	740	0.091	0.091	13 (Qp)	Si	2.2
14	0.64	0.26	0.02	2472	176	53	742	0.092	0.092	12 (Fr)	Si	3.3

Muro : 212 - Nodi: [129-112-47-60], Pann.X=4, Pann.Y=4Spess.=50 cm, Terreno=--,Criterio=CLS_Muri_ND, Materiale=C35/45

Armatura a maglia doppia, Stampa elementi piu' gravosi

Combinazione Rara: σ_{ca} [daN/cm²]=224 σ_{fa} [daN/cm²]=3600

P.	Afx	Afy	σ_c	σ_f	Cbc	Cbf	Ver	Cs
	cmq/m	cmq/m	daN/cm ²	daN/cm ²				
16	20.11	31.42	-29	1354	11	11	Si	2.7

Combinazione QP: σ_{ca} [daN/cm²]=168 σ_{fa} [daN/cm²]=3600

P.	Afx	Afy	σ_c	σ_f	Cbc	Cbf	Ver	Cs
	cmq/m	cmq/m	daN/cm ²	daN/cm ²				
13	20.11	31.42	-10	690	13	13	Si	5.2

Verifica aperture fessure:Wamm Freq[mm]=0.300 Wamm Qp[mm]=0.200

P.	Nx	Ny	Nxy	Mx	My	Mxy	σ_{fmed}	Wd	Wk	Cb	Ver	Cs
	daN/cm ²	daN/cm ²	daN/cm ²	kg	kg	kg	daN/cm ²	mm	mm			
13	0.51	0.08	0.01	2382	223	151	690	0.085	0.085	13 (Qp)	Si	2.4
13	0.51	0.08	0.02	2389	225	152	692	0.085	0.085	12 (Fr)	Si	3.5

Muro : 213 - Nodi: [124-136-133-125], Pann.X=4, Pann.Y=4Spess.=50 cm, Terreno=--,Criterio=CLS_Muri_ND, Materiale=C35/45

Armatura a maglia doppia, Stampa elementi piu' gravosi

Combinazione Rara: σ_{ca} [daN/cm²]=224 σ_{fa} [daN/cm²]=3600

P.	Afx	Afy	σ_c	σ_f	Cbc	Cbf	Ver	Cs
	cmq/m	cmq/m	daN/cm ²	daN/cm ²				
16	31.42	20.11	-10	307	11	11	Si	12

Combinazione QP: σ_{ca} [daN/cm²]=168 σ_{fa} [daN/cm²]=3600

P.	Afx	Afy	σ_c	σ_f	Cbc	Cbf	Ver	Cs
	cmq/m	cmq/m	daN/cm ²	daN/cm ²				
8	31.42	20.11	-9	251	13	13	Si	14
12	31.42	20.11	-9	254	13	13	Si	14

Verifica aperture fessure:Wamm Freq[mm]=0.300 Wamm Qp[mm]=0.200

P.	Nx	Ny	Nxy	Mx	My	Mxy	σ_{fmed}	Wd	Wk	Cb	Ver	Cs
	daN/cm ²	daN/cm ²	daN/cm ²	kg	kg	kg	daN/cm ²	mm	mm			
12	-0.89	0.18	-0.17	-2496	-464	-21	254	0.027	0.027	13 (Qp)	Si	7.5
12	-0.92	0.15	-0.19	-2507	-471	-23	252	0.026	0.026	12 (Fr)	Si	11

Muro : 214 - Nodi: [134-142-136-124], Pann.X=4, Pann.Y=4Spess.=50 cm, Terreno=--,Criterio=CLS_Muri_ND, Materiale=C35/45

Armatura a maglia doppia, Stampa elementi piu' gravosi

Combinazione Rara: σ_{ca} [daN/cm²]=224 σ_{fa} [daN/cm²]=3600

P.	Afx	Afy	σ_c	σ_f	Cbc	Cbf	Ver	Cs
	cmq/m	cmq/m	daN/cm ²	daN/cm ²				
13	31.42	20.11	-11	318	11	11	Si	11

Combinazione QP: σ_{ca} [daN/cm²]=168 σ_{fa} [daN/cm²]=3600

P.	Afx	Afy	σ_c	σ_f	Cbc	Cbf	Ver	Cs
	cmq/m	cmq/m	daN/cm ²	daN/cm ²				
8	31.42	20.11	-9	241	13	13	Si	15
12	31.42	20.11	-9	243	13	13	Si	15

Verifica aperture fessure:Wamm Freq[mm]=0.300 Wamm Qp[mm]=0.200

P.	Nx	Ny	Nxy	Mx	My	Mxy	σ_{fmed}	Wd	Wk	Cb	Ver	Cs
	daN/cm ²	daN/cm ²	daN/cm ²	kg	kg	kg	daN/cm ²	mm	mm			
9	-1.08	0.33	-0.09	-2419	-533	177	208	0.026	0.026	13 (Qp)	Si	7.8
9	-1.14	0.32	-0.10	-2430	-529	178	206	0.025	0.025	12 (Fr)	Si	12

Muro : 215 - Nodi: [119-114-139-126], Pann.X=4, Pann.Y=4Spess.=50 cm, Terreno=--,Criterio=CLS_Muri_ND, Materiale=C35/45

Armatura a maglia doppia, Stampa elementi piu' gravosi

Combinazione Rara: σ_{ca} [daN/cm²]=224 σ_{fa} [daN/cm²]=3600

P.	Afx	Afy	σ_c	σ_f	Cbc	Cbf	Ver	Cs
	cmq/m	cmq/m	daN/cm ²	daN/cm ²				
13	31.42	20.11	-21	930	11	11	Si	3.9

Combinazione QP: σ_{ca} [daN/cm²]=168 σ_{fa} [daN/cm²]=3600

P.	Afx	Afy	σ_c	σ_f	Cbc	Cbf	Ver	Cs
	cmq/m	cmq/m	daN/cm ²	daN/cm ²				
13	31.42	20.11	-10	719	13	13	Si	5.0
5	31.42	20.11	-9	731	13	13	Si	4.9

Verifica aperture fessure:Wamm Freq[mm]=0.300 Wamm Qp[mm]=0.200

P.	Nx	Ny	Nxy	Mx	My	Mxy	σ_{fmed}	Wd	Wk	Cb	Ver	Cs
	daN/cm ²	daN/cm ²	daN/cm ²	kg	kg	kg	daN/cm ²	mm	mm			
5	0.23	0.67	0.10	129	2393	-136	731	0.090	0.090	13 (Qp)	Si	2.2
5	0.23	0.67	0.09	131	2407	-140	735	0.091	0.091	12 (Fr)	Si	3.3

Muro : 216 - Nodi: [126-139-142-134], Pann.X=4, Pann.Y=4Spess.=50 cm, Terreno=--,Criterio=CLS_Muri_ND,
Materiale=C35/45

Armatura a maglia doppia, Stampa elementi piu' gravosi

Combinazione Rara: σ_{ca} [daN/cm²]=224 σ_{fa} [daN/cm²]=3600

P.	Afx	Afy	σ_c	σ_f	Cbc	Cbf	Ver	Cs
	cmq/m	cmq/m	daN/cm ²	daN/cm ²				
16	31.42	20.11	-11	309	11	11	Si	12

Combinazione QP: σ_{ca} [daN/cm²]=168 σ_{fa} [daN/cm²]=3600

P.	Afx	Afy	σ_c	σ_f	Cbc	Cbf	Ver	Cs
	cmq/m	cmq/m	daN/cm ²	daN/cm ²				
4	31.42	20.11	-9	201	13	13	Si	18
1	31.42	20.11	-6	279	13	13	Si	13

Verifica aperture fessure:Wamm Freq[mm]=0.300 Wamm Qp[mm]=0.200

P.	Nx	Ny	Nxy	Mx	My	Mxy	σ_{fmed}	Wd	Wk	Cb	Ver	Cs
	daN/cm ²	daN/cm ²	daN/cm ²	kg	kg	kg	daN/cm ²	mm	mm			
9	-1.08	0.62	0.24	-1473	-490	188	273	0.034	0.034	13 (Qp)	Si	5.8
9	-1.10	0.61	0.21	-1478	-493	184	272	0.034	0.034	12 (Fr)	Si	8.9

Muro : 217 - Nodi: [125-133-144-137], Pann.X=4, Pann.Y=4Spess.=50 cm, Terreno=--,Criterio=CLS_Muri_ND,
Materiale=C35/45

Armatura a maglia doppia, Stampa elementi piu' gravosi

Combinazione Rara: σ_{ca} [daN/cm²]=224 σ_{fa} [daN/cm²]=3600

P.	Afx	Afy	σ_c	σ_f	Cbc	Cbf	Ver	Cs
	cmq/m	cmq/m	daN/cm ²	daN/cm ²				
16	31.42	20.11	-11	346	11	11	Si	10

Combinazione QP: σ_{ca} [daN/cm²]=168 σ_{fa} [daN/cm²]=3600

P.	Afx	Afy	σ_c	σ_f	Cbc	Cbf	Ver	Cs
	cmq/m	cmq/m	daN/cm ²	daN/cm ²				
7	31.42	20.11	-9	255	13	13	Si	14
11	31.42	20.11	-9	260	13	13	Si	14

Verifica aperture fessure:Wamm Freq[mm]=0.300 Wamm Qp[mm]=0.200

P.	Nx	Ny	Nxy	Mx	My	Mxy	σ_{fmed}	Wd	Wk	Cb	Ver	Cs
	daN/cm ²	daN/cm ²	daN/cm ²	kg	kg	kg	daN/cm ²	mm	mm			
10	-0.93	0.13	-0.19	-2537	-381	-66	255	0.026	0.026	12 (Fr)	Si	11
11	-0.90	0.15	-0.17	-2537	-336	-59	260	0.027	0.027	13 (Qp)	Si	7.4

Muro : 218 - Nodi: [142-68-64-136], Pann.X=4, Pann.Y=4Spess.=50 cm, Terreno=--,Criterio=CLS_Muri_ND, Materiale=C35/45

Armatura a maglia doppia, Stampa elementi piu' gravosi

Combinazione Rara: σ_{ca} [daN/cm²]=224 σ_{fa} [daN/cm²]=3600

P.	Afx	Afy	σ_c	σ_f	Cbc	Cbf	Ver	Cs
	cmq/m	cmq/m	daN/cm ²	daN/cm ²				
9	31.42	20.11	-12	390	11	11	Si	9.2
13	31.42	20.11	-12	391	11	11	Si	9.2

Combinazione QP: σ_{ca} [daN/cm²]=168 σ_{fa} [daN/cm²]=3600

P.	Afx	Afy	σ_c	σ_f	Cbc	Cbf	Ver	Cs
	cmq/m	cmq/m	daN/cm ²	daN/cm ²				
4	31.42	20.11	-8	227	13	13	Si	16
16	31.42	20.11	-6	234	13	13	Si	15

Verifica aperture fessure:Wamm Freq[mm]=0.300 Wamm Qp[mm]=0.200

P.	Nx	Ny	Nxy	Mx	My	Mxy	σ_{fmed}	Wd	Wk	Cb	Ver	Cs
	daN/cm ²	daN/cm ²	daN/cm ²	kg	kg	kg	daN/cm ²	mm	mm			
13	-0.74	0.54	-0.01	-1627	-374	91	224	0.030	0.030	13 (Qp)	Si	6.8
13	-0.83	0.53	-0.01	-1608	-359	92	219	0.029	0.029	12 (Fr)	Si	10

Muro : 219 - Nodi: [136-64-61-133], Pann.X=4, Pann.Y=4Spess.=50 cm, Terreno=--,Criterio=CLS_Muri_ND, Materiale=C35/45

Armatura a maglia doppia, Stampa elementi piu' gravosi

Combinazione Rara: σ_{ca} [daN/cm²]=224 σ_{fa} [daN/cm²]=3600

P.	Afx	Afy	σ_c	σ_f	Cbc	Cbf	Ver	Cs
	cmq/m	cmq/m	daN/cm ²	daN/cm ²				
8	31.42	20.11	-11	367	11	11	Si	9.8
12	31.42	20.11	-11	373	11	11	Si	9.7

Combinazione QP: σ_{ca} [daN/cm²]=168 σ_{fa} [daN/cm²]=3600

P.	Afx	Afy	σ_c	σ_f	Cbc	Cbf	Ver	Cs
	cmq/m	cmq/m	daN/cm ²	daN/cm ²				
4	31.42	20.11	-8	240	13	13	Si	15

Verifica aperture fessure:Wamm Freq[mm]=0.300 Wamm Qp[mm]=0.200

P.	Nx	Ny	Nxy	Mx	My	Mxy	σ_{fmed}	Wd	Wk	Cb	Ver	Cs
	daN/cm ²	daN/cm ²	daN/cm ²	kg	kg	kg	daN/cm ²	mm	mm			
9	-0.64	0.37	-0.11	-1867	-546	53	221	0.027	0.027	13 (Qp)	Si	7.3
13	-0.59	0.37	-0.09	-1628	-556	51	223	0.028	0.028	12 (Fr)	Si	11

Muro : 220 - Nodi: [139-83-68-142], Pann.X=4, Pann.Y=4Spess.=50 cm, Terreno=--,Criterio=CLS_Muri_ND, Materiale=C35/45

Armatura a maglia doppia, Stampa elementi piu' gravosi

Combinazione Rara: σ_{ca} [daN/cm²]=224 σ_{fa} [daN/cm²]=3600

P.	Afx	Afy	σ_c	σ_f	Cbc	Cbf	Ver	Cs
	cmq/m	cmq/m	daN/cm ²	daN/cm ²				
8	31.42	20.11	-11	361	11	11	Si	10.0
12	31.42	20.11	-11	370	11	11	Si	9.7

Combinazione QP: σ_{ca} [daN/cm²]=168 σ_{fa} [daN/cm²]=3600

P.	Afx	Afy	σ_c	σ_f	Cbc	Cbf	Ver	Cs
	cmq/m	cmq/m	daN/cm ²	daN/cm ²				
4	31.42	20.11	-7	236	13	13	Si	15
2	31.42	20.11	-6	272	13	13	Si	13

Verifica aperture fessure:Wamm Freq[mm]=0.300 Wamm Qp[mm]=0.200

P.	Nx	Ny	Nxy	Mx	My	Mxy	σ_{fmed}	Wd	Wk	Cb	Ver	Cs
	daN/cm ²	daN/cm ²	daN/cm ²	kg	kg	kg	daN/cm ²	mm	mm			
1	-0.88	0.60	0.27	-1213	-409	-10	250	0.033	0.033	13 (Qp)	Si	6.0
1	-0.90	0.59	0.25	-1213	-411	-15	247	0.033	0.033	12 (Fr)	Si	9.2

Muro : 221 - Nodi: [114-51-83-139], Pann.X=4, Pann.Y=4Spess.=50 cm, Terreno=--,Criterio=CLS_Muri_ND, Materiale=C35/45

Armatura a maglia doppia, Stampa elementi piu' gravosi

Combinazione Rara: σ_{ca} [daN/cm²]=224 σ_{fa} [daN/cm²]=3600

P.	Afx	Afy	σ_c	σ_f	Cbc	Cbf	Ver	Cs
	cmq/m	cmq/m	daN/cm ²	daN/cm ²				
13	31.42	20.11	-26	1215	11	11	Si	3.0

Combinazione QP: σ_{ca} [daN/cm²]=168 σ_{fa} [daN/cm²]=3600

P.	Afx	Afy	σ_c	σ_f	Cbc	Cbf	Ver	Cs
	cmq/m	cmq/m	daN/cm ²	daN/cm ²				
1	31.42	20.11	-10	701	13	13	Si	5.1

Verifica aperture fessure:Wamm Freq[mm]=0.300 Wamm Qp[mm]=0.200

P.	Nx	Ny	Nxy	Mx	My	Mxy	σ_{fmed}	Wd	Wk	Cb	Ver	Cs
	daN/cm ²	daN/cm ²	daN/cm ²	kg	kg	kg	daN/cm ²	mm	mm			
1	0.05	0.54	0.07	201	2400	-273	701	0.086	0.086	13 (Qp)	Si	2.3
1	0.05	0.54	0.07	204	2413	-278	704	0.087	0.087	12 (Fr)	Si	3.5

Muro : 222 - Nodi: [133-61-81-144], Pann.X=4, Pann.Y=4Spess.=50 cm, Terreno=--,Criterio=CLS_Muri_ND, Materiale=C35/45

Armatura a maglia doppia, Stampa elementi piu' gravosi

Combinazione Rara: σ_{ca} [daN/cm²]=224 σ_{fa} [daN/cm²]=3600

P.	Afx	Afy	σ_c	σ_f	Cbc	Cbf	Ver	Cs
	cmq/m	cmq/m	daN/cm ²	daN/cm ²				
16	31.42	20.11	-13	454	11	11	Si	7.9

Combinazione QP: σ_{ca} [daN/cm²]=168 σ_{fa} [daN/cm²]=3600

P.	Afx	Afy	σ_c	σ_f	Cbc	Cbf	Ver	Cs
	cmq/m	cmq/m	daN/cm ²	daN/cm ²				
4	31.42	20.11	-8	247	13	13	Si	15
3	31.42	20.11	-8	247	13	13	Si	15

Verifica aperture fessure:Wamm Freq[mm]=0.300 Wamm Qp[mm]=0.200

P.	Nx	Ny	Nxy	Mx	My	Mxy	σ_{fmed}	Wd	Wk	Cb	Ver	Cs
	daN/cm ²	daN/cm ²	daN/cm ²	kg	kg	kg	daN/cm ²	mm	mm			
2	-0.81	0.20	-0.19	-2327	-359	-90	240	0.025	0.025	12 (Fr)	Si	12
3	-0.78	0.22	-0.16	-2350	-294	-74	247	0.026	0.026	13 (Qp)	Si	7.8

Muro : 223 - Nodi: [132-146-145-140], Pann.X=4, Pann.Y=4Spess.=50 cm, Terreno=--,Criterio=CLS_Muri_ND, Materiale=C35/45

Armatura a maglia doppia, Stampa elementi piu' gravosi

Combinazione Rara: $\sigma_{ca}[\text{daN/cm}^2]=224$ $\sigma_{fa}[\text{daN/cm}^2]=3600$

P.	Afx	Afy	σ_c	σ_f	Cbc	Cbf	Ver	Cs
	cmq/m	cmq/m	daN/cm ²	daN/cm ²				
13	31.42	20.11	-10	295	11	11	Si	12

Combinazione QP: $\sigma_{ca}[\text{daN/cm}^2]=168$ $\sigma_{fa}[\text{daN/cm}^2]=3600$

P.	Afx	Afy	σ_c	σ_f	Cbc	Cbf	Ver	Cs
	cmq/m	cmq/m	daN/cm ²	daN/cm ²				
5	31.42	20.11	-7	173	13	13	Si	21
8	31.42	20.11	-6	175	13	13	Si	21

Verifica aperture fessure:Wamm Freq[mm]=0.300 Wamm Qp[mm]=0.200

P.	Nx	Ny	Nxy	Mx	My	Mxy	σ_{fmed}	Wd	Wk	Cb	Ver	Cs
	daN/cm ²	daN/cm ²	daN/cm ²	kg	kg	kg	daN/cm ²	mm	mm			
8	-0.95	0.26	0.01	-1735	-464	-264	175	0.022	0.022	13 (Qp)	Si	9.3
8	-0.98	0.25	0.03	-1743	-463	-259	173	0.021	0.021	12 (Fr)	Si	14

Muro : 224 - Nodi: [146-86-84-145], Pann.X=4, Pann.Y=4Spess.=50 cm, Terreno=--,Criterio=CLS_Muri_ND, Materiale=C35/45

Armatura a maglia doppia, Stampa elementi piu' gravosi

Combinazione Rara: $\sigma_{ca}[\text{daN/cm}^2]=224$ $\sigma_{fa}[\text{daN/cm}^2]=3600$

P.	Afx	Afy	σ_c	σ_f	Cbc	Cbf	Ver	Cs
	cmq/m	cmq/m	daN/cm ²	daN/cm ²				
5	31.42	20.11	-11	335	11	11	Si	11
9	31.42	20.11	-11	339	11	11	Si	11

Combinazione QP: $\sigma_{ca}[\text{daN/cm}^2]=168$ $\sigma_{fa}[\text{daN/cm}^2]=3600$

P.	Afx	Afy	σ_c	σ_f	Cbc	Cbf	Ver	Cs
	cmq/m	cmq/m	daN/cm ²	daN/cm ²				
1	31.42	20.11	-6	159	13	13	Si	23
4	31.42	20.11	-5	161	13	13	Si	22

Verifica aperture fessure:Wamm Freq[mm]=0.300 Wamm Qp[mm]=0.200

P.	Nx	Ny	Nxy	Mx	My	Mxy	σ_{fmed}	Wd	Wk	Cb	Ver	Cs
	daN/cm ²	daN/cm ²	daN/cm ²	kg	kg	kg	daN/cm ²	mm	mm			
4	-0.77	0.25	-0.05	-1472	-412	-46	161	0.020	0.020	13 (Qp)	Si	10
4	-0.81	0.24	-0.02	-1469	-409	-39	157	0.019	0.019	12 (Fr)	Si	15

Muro : 225 - Nodi: [138-147-146-132], Pann.X=4, Pann.Y=4Spess.=50 cm, Terreno=--,Criterio=CLS_Muri_ND, Materiale=C35/45

Armatura a maglia doppia, Stampa elementi piu' gravosi

Combinazione Rara: $\sigma_{ca}[\text{daN/cm}^2]=224$ $\sigma_{fa}[\text{daN/cm}^2]=3600$

P.	Afx	Afy	σ_c	σ_f	Cbc	Cbf	Ver	Cs
	cmq/m	cmq/m	daN/cm ²	daN/cm ²				
15	31.42	20.11	-10	305	11	11	Si	12
14	31.42	20.11	-10	305	11	11	Si	12

Combinazione QP: $\sigma_{ca}[\text{daN/cm}^2]=168$ $\sigma_{fa}[\text{daN/cm}^2]=3600$

P.	Afx	Afy	σ_c	σ_f	Cbc	Cbf	Ver	Cs
	cmq/m	cmq/m	daN/cm ²	daN/cm ²				
5	31.42	20.11	-8	206	13	13	Si	18
9	31.42	20.11	-8	209	13	13	Si	17

Verifica aperture fessure:Wamm Freq[mm]=0.300 Wamm Qp[mm]=0.200

P.	Nx	Ny	Nxy	Mx	My	Mxy	σ_{fmed}	Wd	Wk	Cb	Ver	Cs
	daN/cm ²	daN/cm ²	daN/cm ²	kg	kg	kg	daN/cm ²	mm	mm			
9	-0.92	0.11	-0.09	-2222	-489	-163	209	0.021	0.021	13 (Qp)	Si	9.3
9	-0.96	0.09	-0.09	-2231	-491	-166	205	0.021	0.021	12 (Fr)	Si	14

Muro : 226 - Nodi: [147-85-86-146], Pann.X=4, Pann.Y=4Spess.=50 cm, Terreno=--,Criterio=CLS_Muri_ND, Materiale=C35/45

Armatura a maglia doppia, Stampa elementi piu' gravosi

Combinazione Rara: $\sigma_{ca}[\text{daN/cm}^2]=224$ $\sigma_{fa}[\text{daN/cm}^2]=3600$

P.	Afx	Afy	σ_c	σ_f	Cbc	Cbf	Ver	Cs
	cmq/m	cmq/m	daN/cm ²	daN/cm ²				
7	31.42	20.11	-11	354	11	11	Si	10
10	31.42	20.11	-11	361	11	11	Si	10.0

Combinazione QP: $\sigma_{ca}[\text{daN/cm}^2]=168$ $\sigma_{fa}[\text{daN/cm}^2]=3600$

P.	Afx	Afy	σ_c	σ_f	Cbc	Cbf	Ver	Cs
	cmq/m	cmq/m	daN/cm ²	daN/cm ²				
1	31.42	20.11	-7	196	13	13	Si	18

Verifica aperture fessure:Wamm Freq[mm]=0.300 Wamm Qp[mm]=0.200

P.	Nx	Ny	Nxy	Mx	My	Mxy	σ_{med}	Wd	Wk	Cb	Ver	Cs
	daN/cm ²	daN/cm ²	daN/cm ²	kg	kg	kg	daN/cm ²	mm	mm			
1	-0.79	0.14	-0.11	-2020	-490	-132	196	0.020	0.020	13 (Qp)	Si	9.9
1	-0.83	0.12	-0.11	-2019	-491	-136	191	0.020	0.020	12 (Fr)	Si	15

Muro : 227 - Nodi: [140-145-148-135], Pann.X=4, Pann.Y=4Spess.=50 cm, Terreno=--,Criterio=CLS_Muri_ND, Materiale=C35/45

Armatura a maglia doppia, Stampa elementi piu' gravosi

Combinazione Rara: σ_{ca} [daN/cm²]=224 σ_{fa} [daN/cm²]=3600

P.	Afx	Afy	σ_c	σ_f	Cbc	Cbf	Ver	Cs
	cmq/m	cmq/m	daN/cm ²	daN/cm ²				
13	31.42	20.11	-7	211	11	11	Si	17

Combinazione QP: σ_{ca} [daN/cm²]=168 σ_{fa} [daN/cm²]=3600

P.	Afx	Afy	σ_c	σ_f	Cbc	Cbf	Ver	Cs
	cmq/m	cmq/m	daN/cm ²	daN/cm ²				
1	31.42	20.11	-6	179	13	13	Si	20
2	31.42	20.11	-5	183	13	13	Si	20

Verifica aperture fessure:Wamm Freq[mm]=0.300 Wamm Qp[mm]=0.200

P.	Nx	Ny	Nxy	Mx	My	Mxy	σ_{med}	Wd	Wk	Cb	Ver	Cs
	daN/cm ²	daN/cm ²	daN/cm ²	kg	kg	kg	daN/cm ²	mm	mm			
4	-0.65	0.47	0.09	-883	-107	-307	143	0.025	0.025	13 (Qp)	Si	7.9
4	-0.67	0.47	0.11	-889	-109	-301	142	0.025	0.025	12 (Fr)	Si	12

Muro : 228 - Nodi: [145-84-80-148], Pann.X=4, Pann.Y=4Spess.=50 cm, Terreno=--,Criterio=CLS_Muri_ND, Materiale=C35/45

Armatura a maglia doppia, Stampa elementi piu' gravosi

Combinazione Rara: σ_{ca} [daN/cm²]=224 σ_{fa} [daN/cm²]=3600

P.	Afx	Afy	σ_c	σ_f	Cbc	Cbf	Ver	Cs
	cmq/m	cmq/m	daN/cm ²	daN/cm ²				
1	31.42	20.11	-7	217	11	11	Si	17

Combinazione QP: σ_{ca} [daN/cm²]=168 σ_{fa} [daN/cm²]=3600

P.	Afx	Afy	σ_c	σ_f	Cbc	Cbf	Ver	Cs
	cmq/m	cmq/m	daN/cm ²	daN/cm ²				
1	31.42	20.11	-5	161	13	13	Si	22

Verifica aperture fessure:Wamm Freq[mm]=0.300 Wamm Qp[mm]=0.200

P.	Nx	Ny	Nxy	Mx	My	Mxy	σ_{med}	Wd	Wk	Cb	Ver	Cs
	daN/cm ²	daN/cm ²	daN/cm ²	kg	kg	kg	daN/cm ²	mm	mm			
4	-0.46	0.38	0.01	-616	77	148	113	0.020	0.020	13 (Qp)	Si	9.8
4	-0.47	0.37	0.03	-614	77	155	111	0.020	0.020	12 (Fr)	Si	15

Muro : 229 - Nodi: [135-148-122-118], Pann.X=4, Pann.Y=4Spess.=50 cm, Terreno=--,Criterio=CLS_Muri_ND, Materiale=C35/45

Armatura a maglia doppia, Stampa elementi piu' gravosi

Combinazione Rara: σ_{ca} [daN/cm²]=224 σ_{fa} [daN/cm²]=3600

P.	Afx	Afy	σ_c	σ_f	Cbc	Cbf	Ver	Cs
	cmq/m	cmq/m	daN/cm ²	daN/cm ²				
16	31.42	20.11	-25	1101	11	11	Si	3.3

Combinazione QP: σ_{ca} [daN/cm²]=168 σ_{fa} [daN/cm²]=3600

P.	Afx	Afy	σ_c	σ_f	Cbc	Cbf	Ver	Cs
	cmq/m	cmq/m	daN/cm ²	daN/cm ²				
12	31.42	20.11	-8	614	13	13	Si	5.9
8	31.42	20.11	-8	617	13	13	Si	5.8

Verifica aperture fessure:Wamm Freq[mm]=0.300 Wamm Qp[mm]=0.200

P.	Nx	Ny	Nxy	Mx	My	Mxy	σ_{med}	Wd	Wk	Cb	Ver	Cs
	daN/cm ²	daN/cm ²	daN/cm ²	kg	kg	kg	daN/cm ²	mm	mm			
8	0.22	0.54	0.35	127	2049	-112	617	0.076	0.076	13 (Qp)	Si	2.6
8	0.22	0.54	0.37	128	2055	-115	618	0.076	0.076	12 (Fr)	Si	3.9

Muro : 230 - Nodi: [148-80-50-122], Pann.X=4, Pann.Y=4Spess.=50 cm, Terreno=--,Criterio=CLS_Muri_ND, Materiale=C35/45

Armatura a maglia doppia, Stampa elementi piu' gravosi

Combinazione Rara: σ_{ca} [daN/cm²]=224 σ_{fa} [daN/cm²]=3600

P.	Afx	Afy	σ_c	σ_f	Cbc	Cbf	Ver	Cs
	cmq/m	cmq/m	daN/cm ²	daN/cm ²				
16	31.42	20.11	-30	1392	11	11	Si	2.6

Combinazione QP: σ_{ca} [daN/cm²]=168 σ_{fa} [daN/cm²]=3600

P.	Afx	Afy	σ_c	σ_f	Cbc	Cbf	Ver	Cs
	cmq/m	cmq/m	daN/cm ²	daN/cm ²				
4	31.42	20.11	-8	580	13	13	Si	6.2

Verifica aperture fessure:Wamm Freq[mm]=0.300 Wamm Qp[mm]=0.200

P.	Nx	Ny	Nxy	Mx	My	Mxy	σ_{fmed}	Wd	Wk	Cb	Ver	Cs
	daN/cm ²	daN/cm ²	daN/cm ²	kg	kg	kg	daN/cm ²	mm	mm			
4	0.10	0.44	0.33	189	1996	7	580	0.071	0.071	13 (Qp)	Si	2.8
4	0.11	0.43	0.34	191	1999	6	580	0.072	0.072	12 (Fr)	Si	4.2

Muro : 231 - Nodi: [137-144-147-138], Pann.X=4, Pann.Y=4Spess.=50 cm, Terreno=--,Criterio=CLS_Muri_ND, Materiale=C35/45

Armatura a maglia doppia, Stampa elementi piu' gravosi

Combinazione Rara: σ_{ca} [daN/cm²]=224 σ_{fa} [daN/cm²]=3600

P.	Afx	Afy	σ_c	σ_f	Cbc	Cbf	Ver	Cs
	cmq/m	cmq/m	daN/cm ²	daN/cm ²				
13	31.42	20.11	-11	343	11	11	Si	10

Combinazione QP: σ_{ca} [daN/cm²]=168 σ_{fa} [daN/cm²]=3600

P.	Afx	Afy	σ_c	σ_f	Cbc	Cbf	Ver	Cs
	cmq/m	cmq/m	daN/cm ²	daN/cm ²				
5	31.42	20.11	-9	251	13	13	Si	14
9	31.42	20.11	-9	256	13	13	Si	14

Verifica aperture fessure:Wamm Freq[mm]=0.300 Wamm Qp[mm]=0.200

P.	Nx	Ny	Nxy	Mx	My	Mxy	σ_{fmed}	Wd	Wk	Cb	Ver	Cs
	daN/cm ²	daN/cm ²	daN/cm ²	kg	kg	kg	daN/cm ²	mm	mm			
9	-0.90	0.13	-0.13	-2510	-310	-5	256	0.027	0.027	13 (Qp)	Si	7.5
9	-0.95	0.11	-0.12	-2522	-308	-4	250	0.026	0.026	12 (Fr)	Si	12

Muro : 232 - Nodi: [144-81-85-147], Pann.X=4, Pann.Y=4Spess.=50 cm, Terreno=--,Criterio=CLS_Muri_ND, Materiale=C35/45

Armatura a maglia doppia, Stampa elementi piu' gravosi

Combinazione Rara: σ_{ca} [daN/cm²]=224 σ_{fa} [daN/cm²]=3600

P.	Afx	Afy	σ_c	σ_f	Cbc	Cbf	Ver	Cs
	cmq/m	cmq/m	daN/cm ²	daN/cm ²				
9	31.42	20.11	-13	438	11	11	Si	8.2
13	31.42	20.11	-13	444	11	11	Si	8.1

Combinazione QP: σ_{ca} [daN/cm²]=168 σ_{fa} [daN/cm²]=3600

P.	Afx	Afy	σ_c	σ_f	Cbc	Cbf	Ver	Cs
	cmq/m	cmq/m	daN/cm ²	daN/cm ²				
1	31.42	20.11	-8	244	13	13	Si	15

Verifica aperture fessure:Wamm Freq[mm]=0.300 Wamm Qp[mm]=0.200

P.	Nx	Ny	Nxy	Mx	My	Mxy	σ_{fmed}	Wd	Wk	Cb	Ver	Cs
	daN/cm ²	daN/cm ²	daN/cm ²	kg	kg	kg	daN/cm ²	mm	mm			
1	-0.79	0.19	-0.11	-2333	-258	20	244	0.025	0.025	13 (Qp)	Si	7.9
1	-0.85	0.17	-0.10	-2334	-253	22	235	0.024	0.024	12 (Fr)	Si	12

Muro : 233 - Nodi: [17-16-29-25], Pann.X=4, Pann.Y=4Spess.=50 cm, Terreno=--,Criterio=CLS_Muri_ND, Materiale=C35/45

Armatura a maglia doppia, Stampa elementi piu' gravosi

Combinazione Rara: σ_{ca} [daN/cm²]=224 σ_{fa} [daN/cm²]=3600

P.	Afx	Afy	σ_c	σ_f	Cbc	Cbf	Ver	Cs
	cmq/m	cmq/m	daN/cm ²	daN/cm ²				
1	20.11	31.42	-11	386	11	11	Si	9.3

Combinazione QP: σ_{ca} [daN/cm²]=168 σ_{fa} [daN/cm²]=3600

P.	Afx	Afy	σ_c	σ_f	Cbc	Cbf	Ver	Cs
	cmq/m	cmq/m	daN/cm ²	daN/cm ²				
5	20.11	31.42	-5	254	13	13	Si	14
16	20.11	31.42	-2	328	13	13	Si	11

Verifica aperture fessure:Wamm Freq[mm]=0.300 Wamm Qp[mm]=0.200

P.	Nx	Ny	Nxy	Mx	My	Mxy	σ_{fmed}	Wd	Wk	Cb	Ver	Cs
	daN/cm ²	daN/cm ²	daN/cm ²	kg	kg	kg	daN/cm ²	mm	mm			
4	0.84	-0.54	0.09	-8	-768	112	211	0.045	0.045	13 (Qp)	Si	4.4
4	0.83	-0.70	0.12	18	-694	110	210	0.045	0.045	12 (Fr)	Si	6.7

Muro : 234 - Nodi: [12-17-25-26], Pann.X=4, Pann.Y=4Spess.=50 cm, Terreno=--,Criterio=CLS_Muri_ND, Materiale=C35/45

Armatura a maglia doppia, Stampa elementi piu' gravosi

Combinazione Rara: $\sigma_{ca}[\text{daN/cm}^2]=224$ $\sigma_{fa}[\text{daN/cm}^2]=3600$

P.	Afx	Afy	σ_c	σ_f	Cbc	Cbf	Ver	Cs
	cmq/m	cmq/m	daN/cm ²	daN/cm ²				
13	20.11	31.42	-11	361	11	11	Si	10.0

Combinazione QP: $\sigma_{ca}[\text{daN/cm}^2]=168$ $\sigma_{fa}[\text{daN/cm}^2]=3600$

P.	Afx	Afy	σ_c	σ_f	Cbc	Cbf	Ver	Cs
	cmq/m	cmq/m	daN/cm ²	daN/cm ²				
13	20.11	31.42	-5	243	13	13	Si	15
9	20.11	31.42	-4	256	13	13	Si	14

Verifica aperture fessure:Wamm Freq[mm]=0.300 Wamm Qp[mm]=0.200

P.	Nx	Ny	Nxy	Mx	My	Mxy	σ_{fmed}	Wd	Wk	Cb	Ver	Cs
	daN/cm ²	daN/cm ²	daN/cm ²	kg	kg	kg	daN/cm ²	mm	mm			
16	0.80	-0.51	-0.01	-24	-685	-157	205	0.043	0.043	13 (Qp)	Si	4.6
16	0.78	-0.64	-0.05	-3	-618	-154	195	0.042	0.042	12 (Fr)	Si	7.1

Muro : 235 - Nodi: [18-28-27-20], Pann.X=4, Pann.Y=4Spess.=50 cm, Terreno=--,Criterio=CLS_Muri_ND, Materiale=C35/45

Armatura a maglia doppia, Stampa elementi piu' gravosi

Combinazione Rara: $\sigma_{ca}[\text{daN/cm}^2]=224$ $\sigma_{fa}[\text{daN/cm}^2]=3600$

P.	Afx	Afy	σ_c	σ_f	Cbc	Cbf	Ver	Cs
	cmq/m	cmq/m	daN/cm ²	daN/cm ²				
13	31.42	20.11	-32	1510	11	11	Si	2.4

Combinazione QP: $\sigma_{ca}[\text{daN/cm}^2]=168$ $\sigma_{fa}[\text{daN/cm}^2]=3600$

P.	Afx	Afy	σ_c	σ_f	Cbc	Cbf	Ver	Cs
	cmq/m	cmq/m	daN/cm ²	daN/cm ²				
1	31.42	20.11	-9	601	13	13	Si	6.0

Verifica aperture fessure:Wamm Freq[mm]=0.300 Wamm Qp[mm]=0.200

P.	Nx	Ny	Nxy	Mx	My	Mxy	σ_{fmed}	Wd	Wk	Cb	Ver	Cs
	daN/cm ²	daN/cm ²	daN/cm ²	kg	kg	kg	daN/cm ²	mm	mm			
1	-0.08	0.36	0.14	256	2168	95	601	0.074	0.074	13 (Qp)	Si	2.7
1	-0.09	0.36	0.14	259	2183	102	604	0.075	0.075	12 (Fr)	Si	4.0

Muro : 236 - Nodi: [18-12-26-28], Pann.X=4, Pann.Y=4Spess.=50 cm, Terreno=--,Criterio=CLS_Muri_ND, Materiale=C35/45

Armatura a maglia doppia, Stampa elementi piu' gravosi

Combinazione Rara: $\sigma_{ca}[\text{daN/cm}^2]=224$ $\sigma_{fa}[\text{daN/cm}^2]=3600$

P.	Afx	Afy	σ_c	σ_f	Cbc	Cbf	Ver	Cs
	cmq/m	cmq/m	daN/cm ²	daN/cm ²				
4	20.11	31.42	-30	1367	11	11	Si	2.6

Combinazione QP: $\sigma_{ca}[\text{daN/cm}^2]=168$ $\sigma_{fa}[\text{daN/cm}^2]=3600$

P.	Afx	Afy	σ_c	σ_f	Cbc	Cbf	Ver	Cs
	cmq/m	cmq/m	daN/cm ²	daN/cm ²				
1	20.11	31.42	-9	576	13	13	Si	6.3

Verifica aperture fessure:Wamm Freq[mm]=0.300 Wamm Qp[mm]=0.200

P.	Nx	Ny	Nxy	Mx	My	Mxy	σ_{fmed}	Wd	Wk	Cb	Ver	Cs
	daN/cm ²	daN/cm ²	daN/cm ²	kg	kg	kg	daN/cm ²	mm	mm			
1	0.33	-0.10	0.06	2090	216	-383	576	0.071	0.071	13 (Qp)	Si	2.8
1	0.33	-0.11	0.05	2106	219	-389	579	0.071	0.071	12 (Fr)	Si	4.2

Muro : 237 - Nodi: [14-22-34-19], Pann.X=4, Pann.Y=4Spess.=50 cm, Terreno=--,Criterio=CLS_Muri_ND, Materiale=C35/45

Armatura a maglia doppia, Stampa elementi piu' gravosi

Combinazione Rara: $\sigma_{ca}[\text{daN/cm}^2]=224$ $\sigma_{fa}[\text{daN/cm}^2]=3600$

P.	Afx	Afy	σ_c	σ_f	Cbc	Cbf	Ver	Cs
	cmq/m	cmq/m	daN/cm ²	daN/cm ²				
16	31.42	20.11	-13	649	11	11	Si	5.5

Combinazione QP: $\sigma_{ca}[\text{daN/cm}^2]=168$ $\sigma_{fa}[\text{daN/cm}^2]=3600$

P.	Afx	Afy	σ_c	σ_f	Cbc	Cbf	Ver	Cs
	cmq/m	cmq/m	daN/cm ²	daN/cm ²				
4	31.42	20.11	-3	422	13	13	Si	8.5
16	31.42	20.11	-1	470	13	13	Si	7.7

Verifica aperture fessure:Wamm Freq[mm]=0.300 Wamm Qp[mm]=0.200

P.	Nx	Ny	Nxy	Mx	My	Mxy	σ_{fmed}	Wd	Wk	Cb	Ver	Cs
	daN/cm ²	daN/cm ²	daN/cm ²	kg	kg	kg	daN/cm ²	mm	mm			

P.	Nx	Ny	Nxy	Mx	My	Mxy	σ_{fmed}	Wd	Wk	Cb	Ver	Cs
13	-0.32	0.81	0.23	-246	-630	324	355	0.045	0.045	13 (Qp)	Si	4.4
13	-0.34	0.83	0.24	-228	-637	334	362	0.046	0.046	12 (Fr)	Si	6.5

Muro : 238 - Nodi: [19-34-36-15], Pann.X=4, Pann.Y=4Spess.=50 cm, Terreno=--,Criterio=CLS_Muri_ND, Materiale=C35/45

Armatura a maglia doppia, Stampa elementi piu' gravosi

Combinazione Rara: σ_{ca} [daN/cm²]=224 σ_{fa} [daN/cm²]=3600

P.	Afx	Afy	σ_c	σ_f	Cbc	Cbf	Ver	Cs
	cmq/m	cmq/m	daN/cm ²	daN/cm ²				
16	31.42	20.11	-14	721	11	11	Si	5.0

Combinazione QP: σ_{ca} [daN/cm²]=168 σ_{fa} [daN/cm²]=3600

P.	Afx	Afy	σ_c	σ_f	Cbc	Cbf	Ver	Cs
	cmq/m	cmq/m	daN/cm ²	daN/cm ²				
4	31.42	20.11	-4	449	13	13	Si	8.0
16	31.42	20.11	-2	519	13	13	Si	6.9

Verifica aperture fessure:Wamm Freq[mm]=0.300 Wamm Qp[mm]=0.200

P.	Nx	Ny	Nxy	Mx	My	Mxy	σ_{fmed}	Wd	Wk	Cb	Ver	Cs
	daN/cm ²	daN/cm ²	daN/cm ²	kg	kg	kg	daN/cm ²	mm	mm			
16	-0.30	1.09	0.02	-431	-1019	61	277	0.026	0.026	13 (Qp)	Si	7.6
16	-0.32	1.12	0.02	-413	-1031	63	283	0.027	0.027	12 (Fr)	Si	11

Muro : 239 - Nodi: [16-13-35-29], Pann.X=4, Pann.Y=4Spess.=50 cm, Terreno=--,Criterio=CLS_Muri_ND, Materiale=C35/45

Armatura a maglia doppia, Stampa elementi piu' gravosi

Combinazione Rara: σ_{ca} [daN/cm²]=224 σ_{fa} [daN/cm²]=3600

P.	Afx	Afy	σ_c	σ_f	Cbc	Cbf	Ver	Cs
	cmq/m	cmq/m	daN/cm ²	daN/cm ²				
13	20.11	31.42	-10	342	11	11	Si	11

Combinazione QP: σ_{ca} [daN/cm²]=168 σ_{fa} [daN/cm²]=3600

P.	Afx	Afy	σ_c	σ_f	Cbc	Cbf	Ver	Cs
	cmq/m	cmq/m	daN/cm ²	daN/cm ²				
13	20.11	31.42	-5	266	13	13	Si	14
4	20.11	31.42	-2	339	13	13	Si	11

Verifica aperture fessure:Wamm Freq[mm]=0.300 Wamm Qp[mm]=0.200

P.	Nx	Ny	Nxy	Mx	My	Mxy	σ_{fmed}	Wd	Wk	Cb	Ver	Cs
	daN/cm ²	daN/cm ²	daN/cm ²	kg	kg	kg	daN/cm ²	mm	mm			
4	0.81	-0.27	-0.01	-566	-641	74	339	0.045	0.045	13 (Qp)	Si	4.5
4	0.77	-0.28	-0.01	-570	-627	70	332	0.043	0.043	12 (Fr)	Si	7.0

Muro : 240 - Nodi: [20-27-22-14], Pann.X=4, Pann.Y=4Spess.=50 cm, Terreno=--,Criterio=CLS_Muri_ND, Materiale=C35/45

Armatura a maglia doppia, Stampa elementi piu' gravosi

Combinazione Rara: σ_{ca} [daN/cm²]=224 σ_{fa} [daN/cm²]=3600

P.	Afx	Afy	σ_c	σ_f	Cbc	Cbf	Ver	Cs
	cmq/m	cmq/m	daN/cm ²	daN/cm ²				
16	31.42	20.11	-8	346	11	11	Si	10

Combinazione QP: σ_{ca} [daN/cm²]=168 σ_{fa} [daN/cm²]=3600

P.	Afx	Afy	σ_c	σ_f	Cbc	Cbf	Ver	Cs
	cmq/m	cmq/m	daN/cm ²	daN/cm ²				
4	31.42	20.11	-2	313	13	13	Si	12

Verifica aperture fessure:Wamm Freq[mm]=0.300 Wamm Qp[mm]=0.200

P.	Nx	Ny	Nxy	Mx	My	Mxy	σ_{fmed}	Wd	Wk	Cb	Ver	Cs
	daN/cm ²	daN/cm ²	daN/cm ²	kg	kg	kg	daN/cm ²	mm	mm			
16	-0.32	0.73	0.27	-193	-470	307	295	0.040	0.040	13 (Qp)	Si	5.0
16	-0.34	0.74	0.28	-175	-475	319	300	0.041	0.041	12 (Fr)	Si	7.4

Muro : 241 - Nodi: [13-21-30-35], Pann.X=4, Pann.Y=4Spess.=50 cm, Terreno=--,Criterio=CLS_Muri_ND, Materiale=C35/45

Armatura a maglia doppia, Stampa elementi piu' gravosi

Combinazione Rara: σ_{ca} [daN/cm²]=224 σ_{fa} [daN/cm²]=3600

P.	Afx	Afy	σ_c	σ_f	Cbc	Cbf	Ver	Cs
	cmq/m	cmq/m	daN/cm ²	daN/cm ²				
13	20.11	31.42	-13	454	11	11	Si	7.9

Combinazione QP: σ_{ca} [daN/cm²]=168 σ_{fa} [daN/cm²]=3600

P.	Afx	Afy	σ_c	σ_f	Cbc	Cbf	Ver	Cs
	cmq/m	cmq/m	daN/cm ²	daN/cm ²				

P.	Afx	Afy	σ_c	σ_f	Cbc	Cbf	Ver	Cs
13	20.11	31.42	-6	165	13	13	Si	22
4	20.11	31.42	-2	286	13	13	Si	13

Verifica aperture fessure:Wamm Freq[mm]=0.300 Wamm Qp[mm]=0.200

P.	Nx	Ny	Nxy	Mx	My	Mxy	σ_{fmed}	Wd	Wk	Cb	Ver	Cs
	daN/cm ²	daN/cm ²	daN/cm ²	kg	kg	kg	daN/cm ²	mm	mm			
16	0.78	-0.51	-0.07	338	-997	-119	276	0.042	0.042	13 (Qp)	Si	4.7
16	0.75	-0.66	-0.10	363	-924	-117	276	0.041	0.041	12 (Fr)	Si	7.3

Muro : 242 - Nodi: [23-37-38-24], Pann.X=4, Pann.Y=4Spess.=50 cm, Terreno=--,Criterio=CLS_Muri_ND, Materiale=C35/45

Armatura a maglia doppia, Stampa elementi piu' gravosi

Combinazione Rara: σ_{ca} [daN/cm²]=224 σ_{fa} [daN/cm²]=3600

P.	Afx	Afy	σ_c	σ_f	Cbc	Cbf	Ver	Cs
	cmq/m	cmq/m	daN/cm ²	daN/cm ²				
13	31.42	20.11	-13	641	11	11	Si	5.6

Combinazione QP: σ_{ca} [daN/cm²]=168 σ_{fa} [daN/cm²]=3600

P.	Afx	Afy	σ_c	σ_f	Cbc	Cbf	Ver	Cs
	cmq/m	cmq/m	daN/cm ²	daN/cm ²				
1	31.42	20.11	-3	420	13	13	Si	8.6
13	31.42	20.11	-1	467	13	13	Si	7.7

Verifica aperture fessure:Wamm Freq[mm]=0.300 Wamm Qp[mm]=0.200

P.	Nx	Ny	Nxy	Mx	My	Mxy	σ_{fmed}	Wd	Wk	Cb	Ver	Cs
	daN/cm ²	daN/cm ²	daN/cm ²	kg	kg	kg	daN/cm ²	mm	mm			
15	-0.32	0.83	-0.23	-246	-628	-313	359	0.046	0.046	13 (Qp)	Si	4.4
15	-0.34	0.84	-0.24	-228	-635	-323	365	0.047	0.047	12 (Fr)	Si	6.4

Muro : 243 - Nodi: [15-36-37-23], Pann.X=4, Pann.Y=4Spess.=50 cm, Terreno=--,Criterio=CLS_Muri_ND, Materiale=C35/45

Armatura a maglia doppia, Stampa elementi piu' gravosi

Combinazione Rara: σ_{ca} [daN/cm²]=224 σ_{fa} [daN/cm²]=3600

P.	Afx	Afy	σ_c	σ_f	Cbc	Cbf	Ver	Cs
	cmq/m	cmq/m	daN/cm ²	daN/cm ²				
13	31.42	20.11	-14	723	11	11	Si	5.0

Combinazione QP: σ_{ca} [daN/cm²]=168 σ_{fa} [daN/cm²]=3600

P.	Afx	Afy	σ_c	σ_f	Cbc	Cbf	Ver	Cs
	cmq/m	cmq/m	daN/cm ²	daN/cm ²				
1	31.42	20.11	-4	450	13	13	Si	8.0
13	31.42	20.11	-2	520	13	13	Si	6.9

Verifica aperture fessure:Wamm Freq[mm]=0.300 Wamm Qp[mm]=0.200

P.	Nx	Ny	Nxy	Mx	My	Mxy	σ_{fmed}	Wd	Wk	Cb	Ver	Cs
	daN/cm ²	daN/cm ²	daN/cm ²	kg	kg	kg	daN/cm ²	mm	mm			
13	-0.30	1.10	-0.00	-433	-1021	-5	278	0.026	0.026	13 (Qp)	Si	7.6
13	-0.32	1.12	-0.00	-415	-1033	-5	283	0.027	0.027	12 (Fr)	Si	11

Muro : 244 - Nodi: [33-43-42-31], Pann.X=4, Pann.Y=4Spess.=50 cm, Terreno=--,Criterio=CLS_Muri_ND, Materiale=C35/45

Armatura a maglia doppia, Stampa elementi piu' gravosi

Combinazione Rara: σ_{ca} [daN/cm²]=224 σ_{fa} [daN/cm²]=3600

P.	Afx	Afy	σ_c	σ_f	Cbc	Cbf	Ver	Cs
	cmq/m	cmq/m	daN/cm ²	daN/cm ²				
13	31.42	20.11	-14	740	11	11	Si	4.9

Combinazione QP: σ_{ca} [daN/cm²]=168 σ_{fa} [daN/cm²]=3600

P.	Afx	Afy	σ_c	σ_f	Cbc	Cbf	Ver	Cs
	cmq/m	cmq/m	daN/cm ²	daN/cm ²				
1	31.42	20.11	-3	434	13	13	Si	8.3
14	31.42	20.11	-1	512	13	13	Si	7.0

Verifica aperture fessure:Wamm Freq[mm]=0.300 Wamm Qp[mm]=0.200

P.	Nx	Ny	Nxy	Mx	My	Mxy	σ_{fmed}	Wd	Wk	Cb	Ver	Cs
	daN/cm ²	daN/cm ²	daN/cm ²	kg	kg	kg	daN/cm ²	mm	mm			
13	-0.31	1.40	-0.10	-351	-663	-65	511	0.076	0.076	13 (Qp)	Si	2.6
13	-0.33	1.44	-0.10	-335	-670	-66	521	0.078	0.078	12 (Fr)	Si	3.8

Muro : 245 - Nodi: [32-39-48-41], Pann.X=4, Pann.Y=4Spess.=50 cm, Terreno=--,Criterio=CLS_Muri_ND, Materiale=C35/45

Armatura a maglia doppia, Stampa elementi piu' gravosi

Combinazione Rara: σ_{ca} [daN/cm²]=224 σ_{fa} [daN/cm²]=3600

P.	Afx	Afy	σ_c	σ_f	Cbc	Cbf	Ver	Cs
	cmq/m	cmq/m	daN/cm ²	daN/cm ²				
16	31.42	20.11	-7	226	11	11	Si	16

Combinazione QP: σ_{ca} [daN/cm²]=168 σ_{fa} [daN/cm²]=3600

P.	Afx	Afy	σ_c	σ_f	Cbc	Cbf	Ver	Cs
	cmq/m	cmq/m	daN/cm ²	daN/cm ²				
13	31.42	20.11	-2	216	13	13	Si	17

Verifica aperture fessure:Wamm Freq[mm]=0.300 Wamm Qp[mm]=0.200

P.	Nx	Ny	Nxy	Mx	My	Mxy	σ_{fmed}	Wd	Wk	Cb	Ver	Cs
	daN/cm ²	daN/cm ²	daN/cm ²	kg	kg	kg	daN/cm ²	mm	mm			
16	0.79	-0.30	0.33	-517	-170	155	206	0.023	0.023	13 (Qp)	Si	8.6
16	0.81	-0.32	0.33	-523	-154	163	210	0.024	0.024	12 (Fr)	Si	13

Muro : 246 - Nodi: [47-32-41-49], Pann.X=4, Pann.Y=4Spess.=50 cm, Terreno=--,Criterio=CLS_Muri_ND, Materiale=C35/45

Armatura a maglia doppia, Stampa elementi piu' gravosi

Combinazione Rara: σ_{ca} [daN/cm²]=224 σ_{fa} [daN/cm²]=3600

P.	Afx	Afy	σ_c	σ_f	Cbc	Cbf	Ver	Cs
	cmq/m	cmq/m	daN/cm ²	daN/cm ²				
4	31.42	20.11	-26	976	11	11	Si	3.7

Combinazione QP: σ_{ca} [daN/cm²]=168 σ_{fa} [daN/cm²]=3600

P.	Afx	Afy	σ_c	σ_f	Cbc	Cbf	Ver	Cs
	cmq/m	cmq/m	daN/cm ²	daN/cm ²				
1	31.42	20.11	-6	326	13	13	Si	11

Verifica aperture fessure:Wamm Freq[mm]=0.300 Wamm Qp[mm]=0.200

P.	Nx	Ny	Nxy	Mx	My	Mxy	σ_{fmed}	Wd	Wk	Cb	Ver	Cs
	daN/cm ²	daN/cm ²	daN/cm ²	kg	kg	kg	daN/cm ²	mm	mm			
1	0.33	-0.11	0.17	1794	195	9	326	0.034	0.034	13 (Qp)	Si	5.9
1	0.33	-0.12	0.18	1801	195	14	327	0.034	0.034	12 (Fr)	Si	8.8

Muro : 247 - Nodi: [39-31-42-48], Pann.X=4, Pann.Y=4Spess.=50 cm, Terreno=--,Criterio=CLS_Muri_ND, Materiale=C35/45

Armatura a maglia doppia, Stampa elementi piu' gravosi

Combinazione Rara: σ_{ca} [daN/cm²]=224 σ_{fa} [daN/cm²]=3600

P.	Afx	Afy	σ_c	σ_f	Cbc	Cbf	Ver	Cs
	cmq/m	cmq/m	daN/cm ²	daN/cm ²				
16	31.42	20.11	-10	421	11	11	Si	8.6

Combinazione QP: σ_{ca} [daN/cm²]=168 σ_{fa} [daN/cm²]=3600

P.	Afx	Afy	σ_c	σ_f	Cbc	Cbf	Ver	Cs
	cmq/m	cmq/m	daN/cm ²	daN/cm ²				
13	31.42	20.11	-3	278	13	13	Si	13
16	31.42	20.11	-1	309	13	13	Si	12

Verifica aperture fessure:Wamm Freq[mm]=0.300 Wamm Qp[mm]=0.200

P.	Nx	Ny	Nxy	Mx	My	Mxy	σ_{fmed}	Wd	Wk	Cb	Ver	Cs
	daN/cm ²	daN/cm ²	daN/cm ²	kg	kg	kg	daN/cm ²	mm	mm			
16	1.18	-0.30	0.22	-777	-301	181	309	0.035	0.035	13 (Qp)	Si	5.7
16	1.21	-0.32	0.22	-785	-285	185	315	0.036	0.036	12 (Fr)	Si	8.4

Muro : 248 - Nodi: [46-44-45-40], Pann.X=4, Pann.Y=4Spess.=50 cm, Terreno=--,Criterio=CLS_Muri_ND, Materiale=C35/45

Armatura a maglia doppia, Stampa elementi piu' gravosi

Combinazione Rara: σ_{ca} [daN/cm²]=224 σ_{fa} [daN/cm²]=3600

P.	Afx	Afy	σ_c	σ_f	Cbc	Cbf	Ver	Cs
	cmq/m	cmq/m	daN/cm ²	daN/cm ²				
16	31.42	20.11	-14	691	11	11	Si	5.2

Combinazione QP: σ_{ca} [daN/cm²]=168 σ_{fa} [daN/cm²]=3600

P.	Afx	Afy	σ_c	σ_f	Cbc	Cbf	Ver	Cs
	cmq/m	cmq/m	daN/cm ²	daN/cm ²				
4	31.42	20.11	-3	366	13	13	Si	9.8
16	31.42	20.11	-1	438	13	13	Si	8.2

Verifica aperture fessure:Wamm Freq[mm]=0.300 Wamm Qp[mm]=0.200

P.	Nx	Ny	Nxy	Mx	My	Mxy	σ_{fmed}	Wd	Wk	Cb	Ver	Cs
	daN/cm ²	daN/cm ²	daN/cm ²	kg	kg	kg	daN/cm ²	mm	mm			
16	-0.32	1.38	0.12	-297	-392	187	438	0.074	0.074	13 (Qp)	Si	2.7
16	-0.34	1.41	0.13	-281	-395	192	447	0.076	0.076	12 (Fr)	Si	4.0

Muro : 249 - Nodi: [40-45-43-33], Pann.X=4, Pann.Y=4Spess.=50 cm, Terreno=--,Criterio=CLS_Muri_ND, Materiale=C35/45

Armatura a maglia doppia, Stampa elementi piu' gravosi

Combinazione Rara: σ_{ca} [daN/cm²]=224 σ_{fa} [daN/cm²]=3600

P.	Afx	Afy	σ_c	σ_f	Cbc	Cbf	Ver	Cs
	cmq/m	cmq/m	daN/cm ²	daN/cm ²				
14	31.42	20.11	-15	747	11	11	Si	4.8
15	31.42	20.11	-15	752	11	11	Si	4.8

Combinazione QP: σ_{ca} [daN/cm²]=168 σ_{fa} [daN/cm²]=3600

P.	Afx	Afy	σ_c	σ_f	Cbc	Cbf	Ver	Cs
	cmq/m	cmq/m	daN/cm ²	daN/cm ²				
4	31.42	20.11	-3	423	13	13	Si	8.5
16	31.42	20.11	-1	505	13	13	Si	7.1

Verifica aperture fessure:Wamm Freq[mm]=0.300 Wamm Qp[mm]=0.200

P.	Nx	Ny	Nxy	Mx	My	Mxy	σ_{fmed}	Wd	Wk	Cb	Ver	Cs
	daN/cm ²	daN/cm ²	daN/cm ²	kg	kg	kg	daN/cm ²	mm	mm			
15	-0.31	1.45	-0.02	-352	-551	36	494	0.078	0.078	13 (Qp)	Si	2.6
15	-0.33	1.48	-0.02	-336	-556	37	505	0.080	0.080	12 (Fr)	Si	3.7

Muro : 250 - Nodi: [24-38-55-53], Pann.X=4, Pann.Y=4Spess.=50 cm, Terreno=--,Criterio=CLS_Muri_ND, Materiale=C35/45

Armatura a maglia doppia, Stampa elementi piu' gravosi

Combinazione Rara: σ_{ca} [daN/cm²]=224 σ_{fa} [daN/cm²]=3600

P.	Afx	Afy	σ_c	σ_f	Cbc	Cbf	Ver	Cs
	cmq/m	cmq/m	daN/cm ²	daN/cm ²				
13	31.42	20.11	-5	129	11	11	Si	28

Combinazione QP: σ_{ca} [daN/cm²]=168 σ_{fa} [daN/cm²]=3600

P.	Afx	Afy	σ_c	σ_f	Cbc	Cbf	Ver	Cs
	cmq/m	cmq/m	daN/cm ²	daN/cm ²				
1	31.42	20.11	-2	240	13	13	Si	15

Verifica aperture fessure:Wamm Freq[mm]=0.300 Wamm Qp[mm]=0.200

P.	Nx	Ny	Nxy	Mx	My	Mxy	σ_{fmed}	Wd	Wk	Cb	Ver	Cs
	daN/cm ²	daN/cm ²	daN/cm ²	kg	kg	kg	daN/cm ²	mm	mm			
1	-0.56	0.66	-0.44	-464	-313	-320	240	0.036	0.036	13 (Qp)	Si	5.6
1	-0.58	0.67	-0.45	-451	-314	-331	243	0.036	0.036	12 (Fr)	Si	8.3

Muro : 251 - Nodi: [57-56-44-46], Pann.X=4, Pann.Y=4Spess.=50 cm, Terreno=--,Criterio=CLS_Muri_ND, Materiale=C35/45

Armatura a maglia doppia, Stampa elementi piu' gravosi

Combinazione Rara: σ_{ca} [daN/cm²]=224 σ_{fa} [daN/cm²]=3600

P.	Afx	Afy	σ_c	σ_f	Cbc	Cbf	Ver	Cs
	cmq/m	cmq/m	daN/cm ²	daN/cm ²				
16	31.42	20.11	-5	162	11	11	Si	22

Combinazione QP: σ_{ca} [daN/cm²]=168 σ_{fa} [daN/cm²]=3600

P.	Afx	Afy	σ_c	σ_f	Cbc	Cbf	Ver	Cs
	cmq/m	cmq/m	daN/cm ²	daN/cm ²				
4	31.42	20.11	-1	247	13	13	Si	15

Verifica aperture fessure:Wamm Freq[mm]=0.300 Wamm Qp[mm]=0.200

P.	Nx	Ny	Nxy	Mx	My	Mxy	σ_{fmed}	Wd	Wk	Cb	Ver	Cs
	daN/cm ²	daN/cm ²	daN/cm ²	kg	kg	kg	daN/cm ²	mm	mm			
16	-0.33	0.89	0.41	-91	-18	153	225	0.048	0.048	13 (Qp)	Si	4.2
16	-0.35	0.91	0.42	-76	-19	164	230	0.049	0.049	12 (Fr)	Si	6.1

Muro : 252 - Nodi: [50-54-56-57], Pann.X=4, Pann.Y=4Spess.=50 cm, Terreno=--,Criterio=CLS_Muri_ND, Materiale=C35/45

Armatura a maglia doppia, Stampa elementi piu' gravosi

Combinazione Rara: σ_{ca} [daN/cm²]=224 σ_{fa} [daN/cm²]=3600

P.	Afx	Afy	σ_c	σ_f	Cbc	Cbf	Ver	Cs
	cmq/m	cmq/m	daN/cm ²	daN/cm ²				
13	31.42	20.11	-32	1538	11	11	Si	2.3

Combinazione QP: σ_{ca} [daN/cm²]=168 σ_{fa} [daN/cm²]=3600

P.	Afx	Afy	σ_c	σ_f	Cbc	Cbf	Ver	Cs
	cmq/m	cmq/m	daN/cm ²	daN/cm ²				
1	31.42	20.11	-6	425	13	13	Si	8.5

Verifica aperture fessure:Wamm_Freq[mm]=0.300 Wamm_Qp[mm]=0.200

P.	Nx	Ny	Nxy	Mx	My	Mxy	σ_{med}	Wd	Wk	Cb	Ver	Cs
	daN/cm ²	daN/cm ²	daN/cm ²	kg	kg	kg	daN/cm ²	mm	mm			
1	-0.21	0.30	0.42	125	1478	-41	425	0.052	0.052	13 (Qp)	Si	3.8
1	-0.23	0.30	0.44	125	1482	-37	426	0.052	0.052	12 (Fr)	Si	5.7

Muro : 253 - Nodi: [53-55-58-51], Pann.X=4, Pann.Y=4Spess.=50 cm, Terreno=--,Criterio=CLS_Muri_ND, Materiale=C35/45

Armatura a maglia doppia, Stampa elementi piu' gravosi

Combinazione Rara: σ_{ca} [daN/cm²]=224 σ_{fa} [daN/cm²]=3600

P.	Afx	Afy	σ_c	σ_f	Cbc	Cbf	Ver	Cs
	cmq/m	cmq/m	daN/cm ²	daN/cm ²				
16	31.42	20.11	-32	1511	11	11	Si	2.4

Combinazione QP: σ_{ca} [daN/cm²]=168 σ_{fa} [daN/cm²]=3600

P.	Afx	Afy	σ_c	σ_f	Cbc	Cbf	Ver	Cs
	cmq/m	cmq/m	daN/cm ²	daN/cm ²				
4	31.42	20.11	-9	595	13	13	Si	6.0

Verifica aperture fessure:Wamm Freq[mm]=0.300 Wamm Qp[mm]=0.200

P.	Nx	Ny	Nxy	Mx	My	Mxy	σ_{med}	Wd	Wk	Cb	Ver	Cs
	daN/cm ²	daN/cm ²	daN/cm ²	kg	kg	kg	daN/cm ²	mm	mm			
4	-0.09	0.36	-0.16	248	2145	-87	595	0.073	0.073	13 (Qp)	Si	2.7
4	-0.10	0.36	-0.16	251	2159	-94	599	0.074	0.074	12 (Fr)	Si	4.1

Muro : 254 - Nodi: [21-59-52-30], Pann.X=4, Pann.Y=4Spess.=50 cm, Terreno=--,Criterio=CLS_Muri_ND, Materiale=C35/45

Armatura a maglia doppia, Stampa elementi piu' gravosi

Combinazione Rara: σ_{ca} [daN/cm²]=224 σ_{fa} [daN/cm²]=3600

P.	Afx	Afy	σ_c	σ_f	Cbc	Cbf	Ver	Cs
	cmq/m	cmq/m	daN/cm ²	daN/cm ²				
1	20.11	31.42	-13	439	11	11	Si	8.2

Combinazione QP: σ_{ca} [daN/cm²]=168 σ_{fa} [daN/cm²]=3600

P.	Afx	Afy	σ_c	σ_f	Cbc	Cbf	Ver	Cs
	cmq/m	cmq/m	daN/cm ²	daN/cm ²				
1	20.11	31.42	-6	162	13	13	Si	22
16	20.11	31.42	-2	317	13	13	Si	11

Verifica aperture fessure:Wamm Freq[mm]=0.300 Wamm Qp[mm]=0.200

P.	Nx	Ny	Nxy	Mx	My	Mxy	σ_{med}	Wd	Wk	Cb	Ver	Cs
	daN/cm ²	daN/cm ²	daN/cm ²	kg	kg	kg	daN/cm ²	mm	mm			
4	0.75	-0.46	0.06	249	-930	223	246	0.040	0.040	13 (Qp)	Si	5.0
12	0.69	-0.27	0.01	-528	-620	147	301	0.038	0.038	12 (Fr)	Si	7.8

Muro : 255 - Nodi: [59-62-65-52], Pann.X=4, Pann.Y=4Spess.=50 cm, Terreno=--,Criterio=CLS_Muri_ND, Materiale=C35/45

Armatura a maglia doppia, Stampa elementi piu' gravosi

Combinazione Rara: σ_{ca} [daN/cm²]=224 σ_{fa} [daN/cm²]=3600

P.	Afx	Afy	σ_c	σ_f	Cbc	Cbf	Ver	Cs
	cmq/m	cmq/m	daN/cm ²	daN/cm ²				
13	20.11	31.42	-10	338	11	11	Si	11
9	20.11	31.42	-10	343	11	11	Si	11

Combinazione QP: σ_{ca} [daN/cm²]=168 σ_{fa} [daN/cm²]=3600

P.	Afx	Afy	σ_c	σ_f	Cbc	Cbf	Ver	Cs
	cmq/m	cmq/m	daN/cm ²	daN/cm ²				
1	20.11	31.42	-5	264	13	13	Si	14
4	20.11	31.42	-2	287	13	13	Si	13

Verifica aperture fessure:Wamm Freq[mm]=0.300 Wamm Qp[mm]=0.200

P.	Nx	Ny	Nxy	Mx	My	Mxy	σ_{med}	Wd	Wk	Cb	Ver	Cs
	daN/cm ²	daN/cm ²	daN/cm ²	kg	kg	kg	daN/cm ²	mm	mm			
4	0.69	-0.31	-0.07	-475	-583	-116	287	0.038	0.038	13 (Qp)	Si	5.3
16	0.68	-0.71	-0.16	-29	-558	-9	177	0.037	0.037	12 (Fr)	Si	8.2

Muro : 256 - Nodi: [62-67-66-65], Pann.X=4, Pann.Y=4Spess.=50 cm, Terreno=--,Criterio=CLS_Muri_ND, Materiale=C35/45

Armatura a maglia doppia, Stampa elementi piu' gravosi

Combinazione Rara: σ_{ca} [daN/cm²]=224 σ_{fa} [daN/cm²]=3600

P.	Afx	Afy	σ_c	σ_f	Cbc	Cbf	Ver	Cs
	cmq/m	cmq/m	daN/cm ²	daN/cm ²				
1	20.11	31.42	-10	323	11	11	Si	11

Combinazione QP: σ_{ca} [daN/cm²]=168 σ_{fa} [daN/cm²]=3600

P.	Afx	Afy	σ_c	σ_f	Cbc	Cbf	Ver	Cs
	cmq/m	cmq/m	daN/cm ²	daN/cm ²				
1	20.11	31.42	-4	220	13	13	Si	16

Verifica aperture fessure:Wamm Freq[mm]=0.300 Wamm Qp[mm]=0.200

P.	Nx	Ny	Nxy	Mx	My	Mxy	σ_{fmed}	Wd	Wk	Cb	Ver	Cs
	daN/cm ²	daN/cm ²	daN/cm ²	kg	kg	kg	daN/cm ²	mm	mm			
4	0.66	-0.56	-0.06	-12	-590	146	168	0.036	0.036	13 (Qp)	Si	5.6
4	0.65	-0.71	-0.03	15	-521	146	166	0.035	0.035	12 (Fr)	Si	8.5

Muro : 257 - Nodi: [67-60-63-66], Pann.X=4, Pann.Y=4Spess.=50 cm, Terreno=--,Criterio=CLS_Muri_ND, Materiale=C35/45

Armatura a maglia doppia, Stampa elementi piu' gravosi

Combinazione Rara: σ_{ca} [daN/cm²]=224 σ_{fa} [daN/cm²]=3600

P.	Afx	Afy	σ_c	σ_f	Cbc	Cbf	Ver	Cs
	cmq/m	cmq/m	daN/cm ²	daN/cm ²				
16	20.11	31.42	-7	125	11	11	Si	29
1	20.11	31.42	-6	171	11	11	Si	21

Combinazione QP: σ_{ca} [daN/cm²]=168 σ_{fa} [daN/cm²]=3600

P.	Afx	Afy	σ_c	σ_f	Cbc	Cbf	Ver	Cs
	cmq/m	cmq/m	daN/cm ²	daN/cm ²				
1	20.11	31.42	-2	176	13	13	Si	20
13	20.11	31.42	-1	192	13	13	Si	19

Verifica aperture fessure:Wamm Freq[mm]=0.300 Wamm Qp[mm]=0.200

P.	Nx	Ny	Nxy	Mx	My	Mxy	σ_{fmed}	Wd	Wk	Cb	Ver	Cs
	daN/cm ²	daN/cm ²	daN/cm ²	kg	kg	kg	daN/cm ²	mm	mm			
1	0.49	-0.55	-0.24	-224	-705	281	176	0.027	0.027	13 (Qp)	Si	7.5
1	0.47	-0.56	-0.22	-222	-691	284	171	0.026	0.026	12 (Fr)	Si	12

Muro : 258 - Nodi: [60-47-49-63], Pann.X=4, Pann.Y=4Spess.=50 cm, Terreno=--,Criterio=CLS_Muri_ND, Materiale=C35/45

Armatura a maglia doppia, Stampa elementi piu' gravosi

Combinazione Rara: σ_{ca} [daN/cm²]=224 σ_{fa} [daN/cm²]=3600

P.	Afx	Afy	σ_c	σ_f	Cbc	Cbf	Ver	Cs
	cmq/m	cmq/m	daN/cm ²	daN/cm ²				
16	20.11	31.42	-32	1502	11	11	Si	2.4

Combinazione QP: σ_{ca} [daN/cm²]=168 σ_{fa} [daN/cm²]=3600

P.	Afx	Afy	σ_c	σ_f	Cbc	Cbf	Ver	Cs
	cmq/m	cmq/m	daN/cm ²	daN/cm ²				
13	20.11	31.42	-8	521	13	13	Si	6.9

Verifica aperture fessure:Wamm Freq[mm]=0.300 Wamm Qp[mm]=0.200

P.	Nx	Ny	Nxy	Mx	My	Mxy	σ_{fmed}	Wd	Wk	Cb	Ver	Cs
	daN/cm ²	daN/cm ²	daN/cm ²	kg	kg	kg	daN/cm ²	mm	mm			
13	0.30	-0.08	0.02	1893	206	238	521	0.064	0.064	13 (Qp)	Si	3.1
13	0.29	-0.08	0.03	1901	209	241	522	0.064	0.064	12 (Fr)	Si	4.7

Muro : 259 - Nodi: [68-79-82-64], Pann.X=4, Pann.Y=4Spess.=50 cm, Terreno=--,Criterio=CLS_Muri_ND, Materiale=C35/45

Armatura a maglia doppia, Stampa elementi piu' gravosi

Combinazione Rara: σ_{ca} [daN/cm²]=224 σ_{fa} [daN/cm²]=3600

P.	Afx	Afy	σ_c	σ_f	Cbc	Cbf	Ver	Cs
	cmq/m	cmq/m	daN/cm ²	daN/cm ²				
1	31.42	20.11	-11	385	11	11	Si	9.3

Combinazione QP: σ_{ca} [daN/cm²]=168 σ_{fa} [daN/cm²]=3600

P.	Afx	Afy	σ_c	σ_f	Cbc	Cbf	Ver	Cs
	cmq/m	cmq/m	daN/cm ²	daN/cm ²				
2	31.42	20.11	-5	225	13	13	Si	16
16	31.42	20.11	-2	284	13	13	Si	13

Verifica aperture fessure:Wamm Freq[mm]=0.300 Wamm Qp[mm]=0.200

P.	Nx	Ny	Nxy	Mx	My	Mxy	σ_{fmed}	Wd	Wk	Cb	Ver	Cs
	daN/cm ²	daN/cm ²	daN/cm ²	kg	kg	kg	daN/cm ²	mm	mm			
13	-0.55	0.71	0.05	-772	-27	88	182	0.038	0.038	13 (Qp)	Si	5.3
13	-0.70	0.69	0.08	-697	-0	86	171	0.037	0.037	12 (Fr)	Si	8.1

Muro : 260 - Nodi: [64-82-90-61], Pann.X=4, Pann.Y=4Spess.=50 cm, Terreno=--,Criterio=CLS_Muri_ND, Materiale=C35/45

Armatura a maglia doppia, Stampa elementi piu' gravosi

Combinazione Rara: σ_{ca} [daN/cm²]=224 σ_{fa} [daN/cm²]=3600

P.	Afx	Afy	σ_c	σ_f	Cbc	Cbf	Ver	Cs
	cmq/m	cmq/m	daN/cm ²	daN/cm ²				
4	31.42	20.11	-10	342	11	11	Si	11

Combinazione QP: σ_{ca} [daN/cm²]=168 σ_{fa} [daN/cm²]=3600

P.	Afx	Afy	σ_c	σ_f	Cbc	Cbf	Ver	Cs
	cmq/m	cmq/m	daN/cm ²	daN/cm ²				
4	31.42	20.11	-5	215	13	13	Si	17
13	31.42	20.11	-2	291	13	13	Si	12

Verifica aperture fessure:Wamm Freq[mm]=0.300 Wamm Qp[mm]=0.200

P.	Nx	Ny	Nxy	Mx	My	Mxy	σ_{fmed}	Wd	Wk	Cb	Ver	Cs
	daN/cm ²	daN/cm ²	daN/cm ²	kg	kg	kg	daN/cm ²	mm	mm			
4	-0.48	0.40	-0.13	-1430	-480	-99	150	0.016	0.016	13 (Qp)	Si	13
4	-0.49	0.35	-0.14	-1417	-488	-99	146	0.015	0.015	12 (Fr)	Si	20

Muro : 261 - Nodi: [83-91-79-68], Pann.X=4, Pann.Y=4Spess.=50 cm, Terreno=--,Criterio=CLS_Muri_ND, Materiale=C35/45

Armatura a maglia doppia, Stampa elementi piu' gravosi

Combinazione Rara: σ_{ca} [daN/cm²]=224 σ_{fa} [daN/cm²]=3600

P.	Afx	Afy	σ_c	σ_f	Cbc	Cbf	Ver	Cs
	cmq/m	cmq/m	daN/cm ²	daN/cm ²				
4	31.42	20.11	-11	360	11	11	Si	10.0

Combinazione QP: σ_{ca} [daN/cm²]=168 σ_{fa} [daN/cm²]=3600

P.	Afx	Afy	σ_c	σ_f	Cbc	Cbf	Ver	Cs
	cmq/m	cmq/m	daN/cm ²	daN/cm ²				
4	31.42	20.11	-5	223	13	13	Si	16
3	31.42	20.11	-4	241	13	13	Si	15

Verifica aperture fessure:Wamm Freq[mm]=0.300 Wamm Qp[mm]=0.200

P.	Nx	Ny	Nxy	Mx	My	Mxy	σ_{fmed}	Wd	Wk	Cb	Ver	Cs
	daN/cm ²	daN/cm ²	daN/cm ²	kg	kg	kg	daN/cm ²	mm	mm			
16	-0.51	0.69	-0.04	-688	-41	-179	181	0.037	0.037	13 (Qp)	Si	5.4
16	-0.64	0.66	-0.09	-622	-20	-176	170	0.036	0.036	12 (Fr)	Si	8.4

Muro : 262 - Nodi: [51-58-91-83], Pann.X=4, Pann.Y=4Spess.=50 cm, Terreno=--,Criterio=CLS_Muri_ND, Materiale=C35/45

Armatura a maglia doppia, Stampa elementi piu' gravosi

Combinazione Rara: σ_{ca} [daN/cm²]=224 σ_{fa} [daN/cm²]=3600

P.	Afx	Afy	σ_c	σ_f	Cbc	Cbf	Ver	Cs
	cmq/m	cmq/m	daN/cm ²	daN/cm ²				
13	31.42	20.11	-30	1368	11	11	Si	2.6

Combinazione QP: σ_{ca} [daN/cm²]=168 σ_{fa} [daN/cm²]=3600

P.	Afx	Afy	σ_c	σ_f	Cbc	Cbf	Ver	Cs
	cmq/m	cmq/m	daN/cm ²	daN/cm ²				
1	31.42	20.11	-8	570	13	13	Si	6.3

Verifica aperture fessure:Wamm Freq[mm]=0.300 Wamm Qp[mm]=0.200

P.	Nx	Ny	Nxy	Mx	My	Mxy	σ_{fmed}	Wd	Wk	Cb	Ver	Cs
	daN/cm ²	daN/cm ²	daN/cm ²	kg	kg	kg	daN/cm ²	mm	mm			
1	-0.09	0.33	0.03	215	2067	-382	570	0.070	0.070	13 (Qp)	Si	2.8
1	-0.10	0.32	0.03	218	2082	-388	573	0.071	0.071	12 (Fr)	Si	4.2

Muro : 263 - Nodi: [61-90-92-81], Pann.X=4, Pann.Y=4Spess.=50 cm, Terreno=--,Criterio=CLS_Muri_ND, Materiale=C35/45

Armatura a maglia doppia, Stampa elementi piu' gravosi

Combinazione Rara: σ_{ca} [daN/cm²]=224 σ_{fa} [daN/cm²]=3600

P.	Afx	Afy	σ_c	σ_f	Cbc	Cbf	Ver	Cs
	cmq/m	cmq/m	daN/cm ²	daN/cm ²				
4	31.42	20.11	-13	454	11	11	Si	7.9

Combinazione QP: σ_{ca} [daN/cm²]=168 σ_{fa} [daN/cm²]=3600

P.	Afx	Afy	σ_c	σ_f	Cbc	Cbf	Ver	Cs
	cmq/m	cmq/m	daN/cm ²	daN/cm ²				
4	31.42	20.11	-6	163	13	13	Si	22
13	31.42	20.11	-2	223	13	13	Si	16

Verifica aperture fessure:Wamm Freq[mm]=0.300 Wamm Qp[mm]=0.200

P.	Nx	Ny	Nxy	Mx	My	Mxy	σ_{fmed}	Wd	Wk	Cb	Ver	Cs
	daN/cm ²	daN/cm ²	daN/cm ²	kg	kg	kg	daN/cm ²	mm	mm			
13	-0.27	0.50	-0.10	-694	-401	-224	223	0.028	0.028	13 (Qp)	Si	7.2
14	-0.32	0.40	-0.15	-722	-203	-290	148	0.022	0.022	12 (Fr)	Si	14

Muro : 264 - Nodi: [86-87-93-84], Pann.X=4, Pann.Y=4Spess.=50 cm, Terreno=--,Criterio=CLS_Muri_ND, Materiale=C35/45

Armatura a maglia doppia, Stampa elementi piu' gravosi

Combinazione Rara: $\sigma_{ca}[\text{daN/cm}^2]=224$ $\sigma_{fa}[\text{daN/cm}^2]=3600$

P.	Afx	Afy	σ_c	σ_f	Cbc	Cbf	Ver	Cs
	cmq/m	cmq/m	daN/cm ²	daN/cm ²				
1	31.42	20.11	-10	325	11	11	Si	11

Combinazione QP: $\sigma_{ca}[\text{daN/cm}^2]=168$ $\sigma_{fa}[\text{daN/cm}^2]=3600$

P.	Afx	Afy	σ_c	σ_f	Cbc	Cbf	Ver	Cs
	cmq/m	cmq/m	daN/cm ²	daN/cm ²				
1	31.42	20.11	-4	102	13	13	Si	35

Verifica aperture fessure:Wamm Freq[mm]=0.300 Wamm Qp[mm]=0.200

P.	Nx	Ny	Nxy	Mx	My	Mxy	σ_{fmed}	Wd	Wk	Cb	Ver	Cs
	daN/cm ²	daN/cm ²	daN/cm ²	kg	kg	kg	daN/cm ²	mm	mm			
3	-0.61	0.14	-0.02	-926	-230	182	90	0.011	0.011	12 (Fr)	Si	27
4	-0.52	0.16	-0.07	-833	-237	223	97	0.012	0.012	13 (Qp)	Si	17

Muro : 265 - Nodi: [85-89-87-86], Pann.X=4, Pann.Y=4Spess.=50 cm, Terreno=--,Criterio=CLS_Muri_ND, Materiale=C35/45

Armatura a maglia doppia, Stampa elementi piu' gravosi

Combinazione Rara: $\sigma_{ca}[\text{daN/cm}^2]=224$ $\sigma_{fa}[\text{daN/cm}^2]=3600$

P.	Afx	Afy	σ_c	σ_f	Cbc	Cbf	Ver	Cs
	cmq/m	cmq/m	daN/cm ²	daN/cm ²				
4	31.42	20.11	-10	340	11	11	Si	11
3	31.42	20.11	-10	345	11	11	Si	10

Combinazione QP: $\sigma_{ca}[\text{daN/cm}^2]=168$ $\sigma_{fa}[\text{daN/cm}^2]=3600$

P.	Afx	Afy	σ_c	σ_f	Cbc	Cbf	Ver	Cs
	cmq/m	cmq/m	daN/cm ²	daN/cm ²				
1	31.42	20.11	-4	147	13	13	Si	24

Verifica aperture fessure:Wamm Freq[mm]=0.300 Wamm Qp[mm]=0.200

P.	Nx	Ny	Nxy	Mx	My	Mxy	σ_{fmed}	Wd	Wk	Cb	Ver	Cs
	daN/cm ²	daN/cm ²	daN/cm ²	kg	kg	kg	daN/cm ²	mm	mm			
1	-0.52	0.17	-0.12	-1253	-441	-99	147	0.018	0.018	13 (Qp)	Si	11
1	-0.55	0.13	-0.14	-1234	-441	-100	137	0.017	0.017	12 (Fr)	Si	18

Muro : 266 - Nodi: [84-93-88-80], Pann.X=4, Pann.Y=4Spess.=50 cm, Terreno=--,Criterio=CLS_Muri_ND, Materiale=C35/45

Armatura a maglia doppia, Stampa elementi piu' gravosi

Combinazione Rara: $\sigma_{ca}[\text{daN/cm}^2]=224$ $\sigma_{fa}[\text{daN/cm}^2]=3600$

P.	Afx	Afy	σ_c	σ_f	Cbc	Cbf	Ver	Cs
	cmq/m	cmq/m	daN/cm ²	daN/cm ²				
16	31.42	20.11	-7	134	11	11	Si	27
1	31.42	20.11	-6	171	11	11	Si	21

Combinazione QP: $\sigma_{ca}[\text{daN/cm}^2]=168$ $\sigma_{fa}[\text{daN/cm}^2]=3600$

P.	Afx	Afy	σ_c	σ_f	Cbc	Cbf	Ver	Cs
	cmq/m	cmq/m	daN/cm ²	daN/cm ²				
1	31.42	20.11	-2	89	13	13	Si	40
4	31.42	20.11	-1	116	13	13	Si	31

Verifica aperture fessure:Wamm Freq[mm]=0.300 Wamm Qp[mm]=0.200

P.	Nx	Ny	Nxy	Mx	My	Mxy	σ_{fmed}	Wd	Wk	Cb	Ver	Cs
	daN/cm ²	daN/cm ²	daN/cm ²	kg	kg	kg	daN/cm ²	mm	mm			
8	-0.27	0.15	-0.03	-192	316	506	112	0.014	0.014	13 (Qp)	Si	14
8	-0.27	0.14	-0.02	-187	319	510	110	0.014	0.014	12 (Fr)	Si	22

Muro : 267 - Nodi: [80-88-54-50], Pann.X=4, Pann.Y=4Spess.=50 cm, Terreno=--,Criterio=CLS_Muri_ND, Materiale=C35/45

Armatura a maglia doppia, Stampa elementi piu' gravosi

Combinazione Rara: $\sigma_{ca}[\text{daN/cm}^2]=224$ $\sigma_{fa}[\text{daN/cm}^2]=3600$

P.	Afx	Afy	σ_c	σ_f	Cbc	Cbf	Ver	Cs
	cmq/m	cmq/m	daN/cm ²	daN/cm ²				
16	31.42	20.11	-33	1536	11	11	Si	2.3

Combinazione QP: $\sigma_{ca}[\text{daN/cm}^2]=168$ $\sigma_{fa}[\text{daN/cm}^2]=3600$

P.	Afx	Afy	σ_c	σ_f	Cbc	Cbf	Ver	Cs
	cmq/m	cmq/m	daN/cm ²	daN/cm ²				
4	31.42	20.11	-6	431	13	13	Si	8.4

Verifica aperture fessure:Wamm Freq[mm]=0.300 Wamm Qp[mm]=0.200

P.	Nx	Ny	Nxy	Mx	My	Mxy	σ_{fmed}	Wd	Wk	Cb	Ver	Cs
	daN/cm ²	daN/cm ²	daN/cm ²	kg	kg	kg	daN/cm ²	mm	mm			
4	0.01	0.24	0.28	199	1572	131	431	0.053	0.053	13 (Qp)	Si	3.8
4	0.00	0.24	0.29	202	1576	132	431	0.053	0.053	12 (Fr)	Si	5.6

Muro : 268 - Nodi : [81-92-89-85], Pann.X=4, Pann.Y=4Spess.=50 cm, Terreno=--,Criterio=CLS_Muri_ND, Materiale=C35/45

Armatura a maglia doppia, Stampa elementi piu' gravosi

Combinazione Rara: σ_{ca} [daN/cm²]=224 σ_{fa} [daN/cm²]=3600

P.	Afx	Afy	σ_c	σ_f	Cbc	Cbf	Ver	Cs
	cmq/m	cmq/m	daN/cm ²	daN/cm ²				
1	31.42	20.11	-13	440	11	11	Si	8.2

Combinazione QP: σ_{ca} [daN/cm²]=168 σ_{fa} [daN/cm²]=3600

P.	Afx	Afy	σ_c	σ_f	Cbc	Cbf	Ver	Cs
	cmq/m	cmq/m	daN/cm ²	daN/cm ²				
1	31.42	20.11	-6	160	13	13	Si	23
15	31.42	20.11	-2	186	13	13	Si	19

Verifica aperture fessure:Wamm Freq[mm]=0.300 Wamm Qp[mm]=0.200

P.	Nx	Ny	Nxy	Mx	My	Mxy	σ_{fmed}	Wd	Wk	Cb	Ver	Cs
	daN/cm ²	daN/cm ²	daN/cm ²	kg	kg	kg	daN/cm ²	mm	mm			
15	-0.26	0.28	-0.04	-620	-490	144	186	0.023	0.023	13 (Qp)	Si	8.7
15	-0.27	0.24	-0.04	-607	-494	141	176	0.022	0.022	12 (Fr)	Si	14

Muro : 269 - Nodi : [87-7072-7081-93], Pann.X=4, Pann.Y=4Spess.=50 cm, Terreno=--,Criterio=CLS_Muri_ND, Materiale=C35/45

Armatura a maglia doppia, Stampa elementi piu' gravosi

Combinazione Rara: σ_{ca} [daN/cm²]=224 σ_{fa} [daN/cm²]=3600

P.	Afx	Afy	σ_c	σ_f	Cbc	Cbf	Ver	Cs
	cmq/m	cmq/m	daN/cm ²	daN/cm ²				
13	31.42	20.11	-13	417	11	11	Si	8.6

Combinazione QP: σ_{ca} [daN/cm²]=168 σ_{fa} [daN/cm²]=3600

P.	Afx	Afy	σ_c	σ_f	Cbc	Cbf	Ver	Cs
	cmq/m	cmq/m	daN/cm ²	daN/cm ²				
13	31.42	20.11	-2	84	13	13	Si	43
9	31.42	20.11	-2	120	13	13	Si	30

Verifica aperture fessure:Wamm Freq[mm]=0.300 Wamm Qp[mm]=0.200

P.	Nx	Ny	Nxy	Mx	My	Mxy	σ_{fmed}	Wd	Wk	Cb	Ver	Cs
	daN/cm ²	daN/cm ²	daN/cm ²	kg	kg	kg	daN/cm ²	mm	mm			
5	-0.79	0.07	0.13	-163	349	209	100	0.012	0.012	12 (Fr)	Si	24
9	-0.59	0.02	0.16	-179	489	275	120	0.015	0.015	13 (Qp)	Si	14

Muro : 270 - Nodi : [89-7063-7072-87], Pann.X=4, Pann.Y=4Spess.=50 cm, Terreno=--,Criterio=CLS_Muri_ND, Materiale=C35/45

Armatura a maglia doppia, Stampa elementi piu' gravosi

Combinazione Rara: σ_{ca} [daN/cm²]=224 σ_{fa} [daN/cm²]=3600

P.	Afx	Afy	σ_c	σ_f	Cbc	Cbf	Ver	Cs
	cmq/m	cmq/m	daN/cm ²	daN/cm ²				
16	31.42	20.11	-13	415	11	11	Si	8.7

Combinazione QP: σ_{ca} [daN/cm²]=168 σ_{fa} [daN/cm²]=3600

P.	Afx	Afy	σ_c	σ_f	Cbc	Cbf	Ver	Cs
	cmq/m	cmq/m	daN/cm ²	daN/cm ²				
16	31.42	20.11	-2	86	13	13	Si	42
13	31.42	20.11	-1	176	13	13	Si	20

Verifica aperture fessure:Wamm Freq[mm]=0.300 Wamm Qp[mm]=0.200

P.	Nx	Ny	Nxy	Mx	My	Mxy	σ_{fmed}	Wd	Wk	Cb	Ver	Cs
	daN/cm ²	daN/cm ²	daN/cm ²	kg	kg	kg	daN/cm ²	mm	mm			
9	-0.08	0.26	-0.03	-96	-432	-114	166	0.021	0.021	13 (Qp)	Si	9.8
13	-0.02	0.28	-0.01	-15	-421	-59	170	0.021	0.021	12 (Fr)	Si	14

Muro : 271 - Nodi : [93-7081-7090-88], Pann.X=4, Pann.Y=4Spess.=50 cm, Terreno=--,Criterio=CLS_Muri_ND, Materiale=C35/45

Armatura a maglia doppia, Stampa elementi piu' gravosi

Combinazione Rara: σ_{ca} [daN/cm²]=224 σ_{fa} [daN/cm²]=3600

P.	Afx	Afy	σ_c	σ_f	Cbc	Cbf	Ver	Cs
	cmq/m	cmq/m	daN/cm ²	daN/cm ²				
12	31.42	20.11	-8	118	11	11	Si	29
4	31.42	20.11	-8	132	11	11	Si	27

Combinazione QP: σ_{ca} [daN/cm²]=168 σ_{fa} [daN/cm²]=3600

P.	Afx	Afy	σ_c	σ_f	Cbc	Cbf	Ver	Cs
	cmq/m	cmq/m	daN/cm ²	daN/cm ²				
12	31.42	20.11	-2	63	13	13	Si	57
4	31.42	20.11	-2	90	13	13	Si	40

Verifica aperture fessure:Wamm Freq[mm]=0.300 Wamm Qp[mm]=0.200

P.	Nx	Ny	Nxy	Mx	My	Mxy	σ_{fmed}	Wd	Wk	Cb	Ver	Cs
	daN/cm ²	daN/cm ²	daN/cm ²	kg	kg	kg	daN/cm ²	mm	mm			
4	-0.16	-0.05	-0.04	-19	426	558	90	0.011	0.011	13 (Qp)	Si	18
4	-0.16	-0.05	-0.04	-15	431	559	90	0.011	0.011	12 (Fr)	Si	27

Muro : 272 - Nodi : [92-7054-7063-89], Pann.X=4, Pann.Y=4Spess.=50 cm, Terreno=--,Criterio=CLS_Muri_ND, Materiale=C35/45

Armatura a maglia doppia, Stampa elementi piu' gravosi

Combinazione Rara: σ_{ca} [daN/cm²]=224 σ_{fa} [daN/cm²]=3600

P.	Afx	Afy	σ_c	σ_f	Cbc	Cbf	Ver	Cs
	cmq/m	cmq/m	daN/cm ²	daN/cm ²				
9	31.42	20.11	-11	431	11	11	Si	8.4

Combinazione QP: σ_{ca} [daN/cm²]=168 σ_{fa} [daN/cm²]=3600

P.	Afx	Afy	σ_c	σ_f	Cbc	Cbf	Ver	Cs
	cmq/m	cmq/m	daN/cm ²	daN/cm ²				
1	31.42	20.11	-3	185	13	13	Si	19
15	31.42	20.11	-2	235	13	13	Si	15

Verifica aperture fessure:Wamm Freq[mm]=0.300 Wamm Qp[mm]=0.200

P.	Nx	Ny	Nxy	Mx	My	Mxy	σ_{fmed}	Wd	Wk	Cb	Ver	Cs
	daN/cm ²	daN/cm ²	daN/cm ²	kg	kg	kg	daN/cm ²	mm	mm			
11	-0.11	0.35	-0.01	-109	-553	152	218	0.027	0.027	12 (Fr)	Si	11
13	-0.17	0.35	0.14	-196	606	357	232	0.029	0.029	13 (Qp)	Si	7.0

Muro : 273 - Nodi : [88-7090-7099-54], Pann.X=4, Pann.Y=4Spess.=50 cm, Terreno=--,Criterio=CLS_Muri_ND, Materiale=C35/45

Armatura a maglia doppia, Stampa elementi piu' gravosi

Combinazione Rara: σ_{ca} [daN/cm²]=224 σ_{fa} [daN/cm²]=3600

P.	Afx	Afy	σ_c	σ_f	Cbc	Cbf	Ver	Cs
	cmq/m	cmq/m	daN/cm ²	daN/cm ²				
4	31.42	20.11	-34	1508	11	11	Si	2.4

Combinazione QP: σ_{ca} [daN/cm²]=168 σ_{fa} [daN/cm²]=3600

P.	Afx	Afy	σ_c	σ_f	Cbc	Cbf	Ver	Cs
	cmq/m	cmq/m	daN/cm ²	daN/cm ²				
4	31.42	20.11	-4	216	13	13	Si	17

Verifica aperture fessure:Wamm Freq[mm]=0.300 Wamm Qp[mm]=0.200

P.	Nx	Ny	Nxy	Mx	My	Mxy	σ_{fmed}	Wd	Wk	Cb	Ver	Cs
	daN/cm ²	daN/cm ²	daN/cm ²	kg	kg	kg	daN/cm ²	mm	mm			
4	0.04	0.02	0.21	79	889	215	216	0.027	0.027	13 (Qp)	Si	7.5
4	0.03	0.02	0.22	82	900	217	219	0.027	0.027	12 (Fr)	Si	11

Muro : 274 - Nodi : [91-7018-7027-79], Pann.X=4, Pann.Y=4Spess.=50 cm, Terreno=--,Criterio=CLS_Muri_ND, Materiale=C35/45

Armatura a maglia doppia, Stampa elementi piu' gravosi

Combinazione Rara: σ_{ca} [daN/cm²]=224 σ_{fa} [daN/cm²]=3600

P.	Afx	Afy	σ_c	σ_f	Cbc	Cbf	Ver	Cs
	cmq/m	cmq/m	daN/cm ²	daN/cm ²				
12	31.42	20.11	-10	362	11	11	Si	10.0

Combinazione QP: σ_{ca} [daN/cm²]=168 σ_{fa} [daN/cm²]=3600

P.	Afx	Afy	σ_c	σ_f	Cbc	Cbf	Ver	Cs
	cmq/m	cmq/m	daN/cm ²	daN/cm ²				
4	31.42	20.11	-2	193	13	13	Si	19
15	31.42	20.11	-0	272	13	13	Si	13

Verifica aperture fessure:Wamm_Freq[mm]=0.300 Wamm_Qp[mm]=0.200

P.	Nx	Ny	Nxy	Mx	My	Mxy	σ_{med}	Wd	Wk	Cb	Ver	Cs
	daN/cm ²	daN/cm ²	daN/cm ²	kg	kg	kg	daN/cm ²	mm	mm			
15	-0.03	0.86	0.02	-25	-233	-213	272	0.047	0.047	13 (Op)	Si	4.3
15	-0.04	0.87	0.02	-55	-218	-213	268	0.047	0.047	12 (Fr)	Si	6.4

Muro : 275 - Nodi: [79-7027-7036-82], Pann.X=4, Pann.Y=4Spess.=50 cm, Terreno=--,Criterio=CLS_Muri_ND, Materiale=C35/45

Armatura a maglia doppia, Stampa elementi piu' gravosi

Combinazione Rara: σ_{ca} [daN/cm²]=224 σ_{fa} [daN/cm²]=3600

P.	Afx	Afy	σ_c	σ_f	Cbc	Cbf	Ver	Cs
	cmq/m	cmq/m	daN/cm ²	daN/cm ²				
13	31.42	20.11	-11	313	11	11	Si	12
5	31.42	20.11	-11	357	11	11	Si	10

Combinazione QP: σ_{ca} [daN/cm²]=168 σ_{fa} [daN/cm²]=3600

P.	Afx	Afy	σ_c	σ_f	Cbc	Cbf	Ver	Cs
	cmq/m	cmq/m	daN/cm ²	daN/cm ²				
1	31.42	20.11	-2	211	13	13	Si	17
16	31.42	20.11	-0	362	13	13	Si	9.9

Verifica aperture fessure:Wamm Freq[mm]=0.300 Wamm Qp[mm]=0.200

P.	Nx	Ny	Nxy	Mx	My	Mxy	σ_{med}	Wd	Wk	Cb	Ver	Cs
	daN/cm ²	daN/cm ²	daN/cm ²	kg	kg	kg	daN/cm ²	mm	mm			
15	-0.02	0.90	0.00	-18	-448	127	332	0.049	0.049	13 (Op)	Si	4.1
15	-0.01	0.88	0.00	-11	-440	112	326	0.048	0.048	12 (Fr)	Si	6.3

Muro : 276 - Nodi: [82-7036-7045-90], Pann.X=4, Pann.Y=4Spess.=50 cm, Terreno=--,Criterio=CLS_Muri_ND, Materiale=C35/45

Armatura a maglia doppia, Stampa elementi piu' gravosi

Combinazione Rara: σ_{ca} [daN/cm²]=224 σ_{fa} [daN/cm²]=3600

P.	Afx	Afy	σ_c	σ_f	Cbc	Cbf	Ver	Cs
	cmq/m	cmq/m	daN/cm ²	daN/cm ²				
14	31.42	20.11	-10	399	11	11	Si	9.0

Combinazione QP: σ_{ca} [daN/cm²]=168 σ_{fa} [daN/cm²]=3600

P.	Afx	Afy	σ_c	σ_f	Cbc	Cbf	Ver	Cs
	cmq/m	cmq/m	daN/cm ²	daN/cm ²				
4	31.42	20.11	-2	276	13	13	Si	13
13	31.42	20.11	-0	368	13	13	Si	9.8

Verifica aperture fessure:Wamm Freq[mm]=0.300 Wamm Qp[mm]=0.200

P.	Nx	Ny	Nxy	Mx	My	Mxy	σ_{med}	Wd	Wk	Cb	Ver	Cs
	daN/cm ²	daN/cm ²	daN/cm ²	kg	kg	kg	daN/cm ²	mm	mm			
13	-0.03	0.84	-0.01	-21	-651	21	368	0.047	0.047	13 (Op)	Si	4.3
13	-0.03	0.83	-0.01	-20	-650	18	365	0.046	0.046	12 (Fr)	Si	6.5

Muro : 277 - Nodi: [58-7009-7018-91], Pann.X=4, Pann.Y=4Spess.=50 cm, Terreno=--,Criterio=CLS_Muri_ND, Materiale=C35/45

Armatura a maglia doppia, Stampa elementi piu' gravosi

Combinazione Rara: σ_{ca} [daN/cm²]=224 σ_{fa} [daN/cm²]=3600

P.	Afx	Afy	σ_c	σ_f	Cbc	Cbf	Ver	Cs
	cmq/m	cmq/m	daN/cm ²	daN/cm ²				
5	31.42	20.11	-31	1304	11	11	Si	2.8
1	31.42	20.11	-31	1353	11	11	Si	2.7

Combinazione QP: σ_{ca} [daN/cm²]=168 σ_{fa} [daN/cm²]=3600

P.	Afx	Afy	σ_c	σ_f	Cbc	Cbf	Ver	Cs
	cmq/m	cmq/m	daN/cm ²	daN/cm ²				
1	31.42	20.11	-6	387	13	13	Si	9.3

Verifica aperture fessure:Wamm Freq[mm]=0.300 Wamm Qp[mm]=0.200

P.	Nx	Ny	Nxy	Mx	My	Mxy	σ_{med}	Wd	Wk	Cb	Ver	Cs
	daN/cm ²	daN/cm ²	daN/cm ²	kg	kg	kg	daN/cm ²	mm	mm			
1	-0.09	0.13	-0.02	88	1503	-409	387	0.048	0.048	13 (Op)	Si	4.2
1	-0.10	0.13	-0.02	90	1524	-415	392	0.048	0.048	12 (Fr)	Si	6.2

Muro : 278 - Nodi: [90-7045-7054-92], Pann.X=4, Pann.Y=4Spess.=50 cm, Terreno=--,Criterio=CLS_Muri_ND, Materiale=C35/45

Armatura a maglia doppia, Stampa elementi piu' gravosi

Combinazione Rara: σ_{ca} [daN/cm²]=224 σ_{fa} [daN/cm²]=3600

P.	Afx	Afy	σ_c	σ_f	Cbc	Cbf	Ver	Cs
	cmq/m	cmq/m	daN/cm ²	daN/cm ²				
16	31.42	20.11	-19	779	11	11	Si	4.6

Combinazione QP: σ_{ca} [daN/cm²]=168 σ_{fa} [daN/cm²]=3600

P.	Afx	Afy	σ_c	σ_f	Cbc	Cbf	Ver	Cs
	cmq/m	cmq/m	daN/cm ²	daN/cm ²				
16	31.42	20.11	-5	325	13	13	Si	11
12	31.42	20.11	-4	336	13	13	Si	11

Verifica aperture fessure:Wamm Freq[mm]=0.300 Wamm Qp[mm]=0.200

P.	Nx	Ny	Nxy	Mx	My	Mxy	σ_{fmed}	Wd	Wk	Cb	Ver	Cs
	daN/cm ²	daN/cm ²	daN/cm ²	kg	kg	kg	daN/cm ²	mm	mm			
12	-0.57	0.42	-0.19	-470	976	-388	336	0.041	0.041	13 (Qp)	Si	4.8
12	-0.85	0.32	-0.28	-276	979	-306	312	0.038	0.038	12 (Fr)	Si	7.8

Muro : 279 - Nodi: [66-63-7082-7073], Pann.X=4, Pann.Y=4Spess.=50 cm, Terreno=--,Criterio=CLS_Muri_ND, Materiale=C35/45

Armatura a maglia doppia, Stampa elementi piu' gravosi

Combinazione Rara: σ_{ca} [daN/cm²]=224 σ_{fa} [daN/cm²]=3600

P.	Afx	Afy	σ_c	σ_f	Cbc	Cbf	Ver	Cs
	cmq/m	cmq/m	daN/cm ²	daN/cm ²				
15	20.11	31.42	-7	109	11	11	Si	31
13	20.11	31.42	-7	122	11	11	Si	29

Combinazione QP: σ_{ca} [daN/cm²]=168 σ_{fa} [daN/cm²]=3600

P.	Afx	Afy	σ_c	σ_f	Cbc	Cbf	Ver	Cs
	cmq/m	cmq/m	daN/cm ²	daN/cm ²				
16	20.11	31.42	-3	143	13	13	Si	25
13	20.11	31.42	-2	178	13	13	Si	20

Verifica aperture fessure:Wamm Freq[mm]=0.300 Wamm Qp[mm]=0.200

P.	Nx	Ny	Nxy	Mx	My	Mxy	σ_{fmed}	Wd	Wk	Cb	Ver	Cs
	daN/cm ²	daN/cm ²	daN/cm ²	kg	kg	kg	daN/cm ²	mm	mm			
4	0.45	-0.02	-0.03	16	-2	220	116	0.024	0.024	13 (Qp)	Si	8.2
4	0.46	-0.02	-0.03	25	-1	215	119	0.025	0.025	12 (Fr)	Si	12

Muro : 280 - Nodi: [52-65-7064-7055], Pann.X=4, Pann.Y=4Spess.=50 cm, Terreno=--,Criterio=CLS_Muri_ND, Materiale=C35/45

Armatura a maglia doppia, Stampa elementi piu' gravosi

Combinazione Rara: σ_{ca} [daN/cm²]=224 σ_{fa} [daN/cm²]=3600

P.	Afx	Afy	σ_c	σ_f	Cbc	Cbf	Ver	Cs
	cmq/m	cmq/m	daN/cm ²	daN/cm ²				
16	20.11	31.42	-13	415	11	11	Si	8.7

Combinazione QP: σ_{ca} [daN/cm²]=168 σ_{fa} [daN/cm²]=3600

P.	Afx	Afy	σ_c	σ_f	Cbc	Cbf	Ver	Cs
	cmq/m	cmq/m	daN/cm ²	daN/cm ²				
13	20.11	31.42	-2	194	13	13	Si	19
4	20.11	31.42	-0	357	13	13	Si	10

Verifica aperture fessure:Wamm Freq[mm]=0.300 Wamm Qp[mm]=0.200

P.	Nx	Ny	Nxy	Mx	My	Mxy	σ_{fmed}	Wd	Wk	Cb	Ver	Cs
	daN/cm ²	daN/cm ²	daN/cm ²	kg	kg	kg	daN/cm ²	mm	mm			
4	0.95	-0.03	-0.01	-496	-16	-72	357	0.052	0.052	13 (Qp)	Si	3.9
4	0.94	-0.02	-0.01	-489	-15	-62	354	0.051	0.051	12 (Fr)	Si	5.8

Muro : 281 - Nodi: [63-49-7091-7082], Pann.X=4, Pann.Y=4Spess.=50 cm, Terreno=--,Criterio=CLS_Muri_ND, Materiale=C35/45

Armatura a maglia doppia, Stampa elementi piu' gravosi

Combinazione Rara: σ_{ca} [daN/cm²]=224 σ_{fa} [daN/cm²]=3600

P.	Afx	Afy	σ_c	σ_f	Cbc	Cbf	Ver	Cs
	cmq/m	cmq/m	daN/cm ²	daN/cm ²				
13	20.11	31.42	-33	1475	11	11	Si	2.4

Combinazione QP: σ_{ca} [daN/cm²]=168 σ_{fa} [daN/cm²]=3600

P.	Afx	Afy	σ_c	σ_f	Cbc	Cbf	Ver	Cs
	cmq/m	cmq/m	daN/cm ²	daN/cm ²				
13	20.11	31.42	-5	285	13	13	Si	13

Verifica aperture fessure:Wamm_Freq[mm]=0.300 Wamm_Qp[mm]=0.200

P.	Nx	Ny	Nxy	Mx	My	Mxy	σ_{fmed}	Wd	Wk	Cb	Ver	Cs
	daN/cm ²	daN/cm ²	daN/cm ²	kg	kg	kg	daN/cm ²	mm	mm			
13	0.07	-0.07	0.04	1135	64	281	285	0.035	0.035	13 (Op)	Si	5.7
13	0.07	-0.08	0.04	1149	66	284	289	0.036	0.036	12 (Fr)	Si	8.4

Muro : 282 - Nodi: [30-52-7055-7046], Pann.X=4, Pann.Y=4Spess.=50 cm, Terreno=--,Criterio=CLS_Muri_ND, Materiale=C35/45

Armatura a maglia doppia, Stampa elementi piu' gravosi

Combinazione Rara: σ_{ca} [daN/cm²]=224 σ_{fa} [daN/cm²]=3600

P.	Afx	Afy	σ_c	σ_f	Cbc	Cbf	Ver	Cs
	cmq/m	cmq/m	daN/cm ²	daN/cm ²				
3	20.11	31.42	-11	431	11	11	Si	8.4

Combinazione QP: σ_{ca} [daN/cm²]=168 σ_{fa} [daN/cm²]=3600

P.	Afx	Afy	σ_c	σ_f	Cbc	Cbf	Ver	Cs
	cmq/m	cmq/m	daN/cm ²	daN/cm ²				
1	20.11	31.42	-3	281	13	13	Si	13
16	20.11	31.42	-0	392	13	13	Si	9.2

Verifica aperture fessure:Wamm Freq[mm]=0.300 Wamm Qp[mm]=0.200

P.	Nx	Ny	Nxy	Mx	My	Mxy	σ_{fmed}	Wd	Wk	Cb	Ver	Cs
	daN/cm ²	daN/cm ²	daN/cm ²	kg	kg	kg	daN/cm ²	mm	mm			
12	0.98	-0.03	0.00	-596	-23	89	388	0.053	0.053	13 (Op)	Si	3.7
12	0.97	-0.03	0.00	-596	-15	88	386	0.053	0.053	12 (Fr)	Si	5.7

Muro : 283 - Nodi: [65-66-7073-7064], Pann.X=4, Pann.Y=4Spess.=50 cm, Terreno=--,Criterio=CLS_Muri_ND, Materiale=C35/45

Armatura a maglia doppia, Stampa elementi piu' gravosi

Combinazione Rara: σ_{ca} [daN/cm²]=224 σ_{fa} [daN/cm²]=3600

P.	Afx	Afy	σ_c	σ_f	Cbc	Cbf	Ver	Cs
	cmq/m	cmq/m	daN/cm ²	daN/cm ²				
4	20.11	31.42	-13	417	11	11	Si	8.6

Combinazione QP: σ_{ca} [daN/cm²]=168 σ_{fa} [daN/cm²]=3600

P.	Afx	Afy	σ_c	σ_f	Cbc	Cbf	Ver	Cs
	cmq/m	cmq/m	daN/cm ²	daN/cm ²				
1	20.11	31.42	-2	197	13	13	Si	18
3	20.11	31.42	-1	261	13	13	Si	14

Verifica aperture fessure:Wamm Freq[mm]=0.300 Wamm Qp[mm]=0.200

P.	Nx	Ny	Nxy	Mx	My	Mxy	σ_{fmed}	Wd	Wk	Cb	Ver	Cs
	daN/cm ²	daN/cm ²	daN/cm ²	kg	kg	kg	daN/cm ²	mm	mm			
1	0.67	-0.74	0.03	141	-339	178	200	0.036	0.036	12 (Fr)	Si	8.4
8	0.70	-0.01	-0.02	89	-35	240	195	0.037	0.037	13 (Op)	Si	5.3

Muro : 284 - Nodi: [28-7001-7002-27], Pann.X=4, Pann.Y=4Spess.=50 cm, Terreno=--,Criterio=CLS_Muri_ND, Materiale=C35/45

Armatura a maglia doppia, Stampa elementi piu' gravosi

Combinazione Rara: σ_{ca} [daN/cm²]=224 σ_{fa} [daN/cm²]=3600

P.	Afx	Afy	σ_c	σ_f	Cbc	Cbf	Ver	Cs
	cmq/m	cmq/m	daN/cm ²	daN/cm ²				
13	31.42	20.11	-36	2063	11	11	Si	1.7

Combinazione QP: σ_{ca} [daN/cm²]=168 σ_{fa} [daN/cm²]=3600

P.	Afx	Afy	σ_c	σ_f	Cbc	Cbf	Ver	Cs
	cmq/m	cmq/m	daN/cm ²	daN/cm ²				
1	31.42	20.11	-7	399	13	13	Si	9.0

Verifica aperture fessure:Wamm Freq[mm]=0.300 Wamm Qp[mm]=0.200

P.	Nx	Ny	Nxy	Mx	My	Mxy	σ_{fmed}	Wd	Wk	Cb	Ver	Cs
	daN/cm ²	daN/cm ²	daN/cm ²	kg	kg	kg	daN/cm ²	mm	mm			
1	-0.09	0.04	0.09	194	1642	47	399	0.049	0.049	13 (Op)	Si	4.1
1	-0.10	0.04	0.09	206	1666	59	405	0.050	0.050	12 (Fr)	Si	6.0

Muro : 285 - Nodi: [25-29-7028-7019], Pann.X=4, Pann.Y=4Spess.=50 cm, Terreno=--,Criterio=CLS_Muri_ND, Materiale=C35/45

Armatura a maglia doppia, Stampa elementi piu' gravosi

Combinazione Rara: σ_{ca} [daN/cm²]=224 σ_{fa} [daN/cm²]=3600

P.	Afx	Afy	σ_c	σ_f	Cbc	Cbf	Ver	Cs
	cmq/m	cmq/m	daN/cm ²	daN/cm ²				

P.	Afx	Afy	σ_c	σ_f	Cbc	Cbf	Ver	Cs
4	20.11	31.42	-11	316	11	11	Si	11
2	20.11	31.42	-11	357	11	11	Si	10

Combinazione QP: $\sigma_{ca}[\text{daN/cm}^2]=168$ $\sigma_{fa}[\text{daN/cm}^2]=3600$

P.	Afx	Afy	σ_c	σ_f	Cbc	Cbf	Ver	Cs
	cmq/m	cmq/m	daN/cm ²	daN/cm ²				
1	20.11	31.42	-2	250	13	13	Si	14
16	20.11	31.42	-0	413	13	13	Si	8.7

Verifica aperture fessure:Wamm Freq[mm]=0.300 Wamm Qp[mm]=0.200

P.	Nx	Ny	Nxy	Mx	My	Mxy	σ_{fmed}	Wd	Wk	Cb	Ver	Cs
	daN/cm ²	daN/cm ²	daN/cm ²	kg	kg	kg	daN/cm ²	mm	mm			
16	1.10	-0.02	0.00	-578	-21	80	413	0.060	0.060	13 (Qp)	Si	3.4
16	1.09	-0.02	0.00	-574	-21	74	410	0.059	0.059	12 (Fr)	Si	5.1

Muro : 286 - Nodi: [26-25-7019-7010], Pann.X=4, Pann.Y=4Spess.=50 cm, Terreno=--,Criterio=CLS_Muri_ND, Materiale=C35/45

Armatura a maglia doppia, Stampa elementi piu' gravosi

Combinazione Rara: $\sigma_{ca}[\text{daN/cm}^2]=224$ $\sigma_{fa}[\text{daN/cm}^2]=3600$

P.	Afx	Afy	σ_c	σ_f	Cbc	Cbf	Ver	Cs
	cmq/m	cmq/m	daN/cm ²	daN/cm ²				
15	20.11	31.42	-10	362	11	11	Si	10.0

Combinazione QP: $\sigma_{ca}[\text{daN/cm}^2]=168$ $\sigma_{fa}[\text{daN/cm}^2]=3600$

P.	Afx	Afy	σ_c	σ_f	Cbc	Cbf	Ver	Cs
	cmq/m	cmq/m	daN/cm ²	daN/cm ²				
13	20.11	31.42	-2	227	13	13	Si	16
12	20.11	31.42	-0	290	13	13	Si	12

Verifica aperture fessure:Wamm Freq[mm]=0.300 Wamm Qp[mm]=0.200

P.	Nx	Ny	Nxy	Mx	My	Mxy	σ_{fmed}	Wd	Wk	Cb	Ver	Cs
	daN/cm ²	daN/cm ²	daN/cm ²	kg	kg	kg	daN/cm ²	mm	mm			
12	0.96	-0.03	0.02	-214	-25	-202	290	0.052	0.052	13 (Qp)	Si	3.9
12	0.96	-0.04	0.02	-198	-54	-202	287	0.052	0.052	12 (Fr)	Si	5.8

Muro : 287 - Nodi: [35-30-7046-7037], Pann.X=4, Pann.Y=4Spess.=50 cm, Terreno=--,Criterio=CLS_Muri_ND, Materiale=C35/45

Armatura a maglia doppia, Stampa elementi piu' gravosi

Combinazione Rara: $\sigma_{ca}[\text{daN/cm}^2]=224$ $\sigma_{fa}[\text{daN/cm}^2]=3600$

P.	Afx	Afy	σ_c	σ_f	Cbc	Cbf	Ver	Cs
	cmq/m	cmq/m	daN/cm ²	daN/cm ²				
16	20.11	31.42	-19	796	11	11	Si	4.5

Combinazione QP: $\sigma_{ca}[\text{daN/cm}^2]=168$ $\sigma_{fa}[\text{daN/cm}^2]=3600$

P.	Afx	Afy	σ_c	σ_f	Cbc	Cbf	Ver	Cs
	cmq/m	cmq/m	daN/cm ²	daN/cm ²				
16	20.11	31.42	-4	427	13	13	Si	8.4
15	20.11	31.42	-2	435	13	13	Si	8.3

Verifica aperture fessure:Wamm Freq[mm]=0.300 Wamm Qp[mm]=0.200

P.	Nx	Ny	Nxy	Mx	My	Mxy	σ_{fmed}	Wd	Wk	Cb	Ver	Cs
	daN/cm ²	daN/cm ²	daN/cm ²	kg	kg	kg	daN/cm ²	mm	mm			
4	1.03	-0.02	-0.01	-454	-23	-121	367	0.056	0.056	13 (Qp)	Si	3.6
4	1.02	-0.02	-0.01	-451	-23	-115	363	0.055	0.055	12 (Fr)	Si	5.4

Muro : 288 - Nodi: [36-7005-7006-37], Pann.X=4, Pann.Y=4Spess.=50 cm, Terreno=--,Criterio=CLS_Muri_ND, Materiale=C35/45

Armatura a maglia doppia, Stampa elementi piu' gravosi

Combinazione Rara: $\sigma_{ca}[\text{daN/cm}^2]=224$ $\sigma_{fa}[\text{daN/cm}^2]=3600$

P.	Afx	Afy	σ_c	σ_f	Cbc	Cbf	Ver	Cs
	cmq/m	cmq/m	daN/cm ²	daN/cm ²				
13	31.42	20.11	-16	864	11	11	Si	4.2

Combinazione QP: $\sigma_{ca}[\text{daN/cm}^2]=168$ $\sigma_{fa}[\text{daN/cm}^2]=3600$

P.	Afx	Afy	σ_c	σ_f	Cbc	Cbf	Ver	Cs
	cmq/m	cmq/m	daN/cm ²	daN/cm ²				
1	31.42	20.11	-1	545	13	13	Si	6.6
13	31.42	20.11	-0	617	13	13	Si	5.8

Verifica aperture fessure:Wamm_Freq[mm]=0.300 Wamm_Qp[mm]=0.200

P.	Nx	Ny	Nxy	Mx	My	Mxy	σ_{fmed}	Wd	Wk	Cb	Ver	Cs
	daN/cm ²	daN/cm ²	daN/cm ²	kg	kg	kg	daN/cm ²	mm	mm			
13	-0.05	1.43	-0.00	9	-1071	-2	617	0.079	0.079	13 (Op)	Si	2.5
13	-0.06	1.47	-0.00	33	-1085	-2	629	0.081	0.081	12 (Fr)	Si	3.7

Muro : 289 - Nodi: [27-7002-7003-22], Pann.X=4, Pann.Y=4Spess.=50 cm, Terreno=--,Criterio=CLS_Muri_ND, Materiale=C35/45

Armatura a maglia doppia, Stampa elementi piu' gravosi

Combinazione Rara: σ_{ca} [daN/cm²]=224 σ_{fa} [daN/cm²]=3600

P.	Afx	Afy	σ_c	σ_f	Cbc	Cbf	Ver	Cs
	cmq/m	cmq/m	daN/cm ²	daN/cm ²				
16	31.42	20.11	-9	387	11	11	Si	9.3

Combinazione QP: σ_{ca} [daN/cm²]=168 σ_{fa} [daN/cm²]=3600

P.	Afx	Afy	σ_c	σ_f	Cbc	Cbf	Ver	Cs
	cmq/m	cmq/m	daN/cm ²	daN/cm ²				
13	31.42	20.11	-1	150	13	13	Si	24
16	31.42	20.11	-0	299	13	13	Si	12

Verifica aperture fessure:Wamm Freq[mm]=0.300 Wamm Qp[mm]=0.200

P.	Nx	Ny	Nxy	Mx	My	Mxy	σ_{fmed}	Wd	Wk	Cb	Ver	Cs
	daN/cm ²	daN/cm ²	daN/cm ²	kg	kg	kg	daN/cm ²	mm	mm			
16	-0.04	0.81	0.04	23	-402	146	299	0.044	0.044	13 (Op)	Si	4.5
16	-0.06	0.83	0.04	46	-409	151	306	0.045	0.045	12 (Fr)	Si	6.7

Muro : 290 - Nodi: [34-7004-7005-36], Pann.X=4, Pann.Y=4Spess.=50 cm, Terreno=--,Criterio=CLS_Muri_ND, Materiale=C35/45

Armatura a maglia doppia, Stampa elementi piu' gravosi

Combinazione Rara: σ_{ca} [daN/cm²]=224 σ_{fa} [daN/cm²]=3600

P.	Afx	Afy	σ_c	σ_f	Cbc	Cbf	Ver	Cs
	cmq/m	cmq/m	daN/cm ²	daN/cm ²				
16	31.42	20.11	-16	861	11	11	Si	4.2

Combinazione QP: σ_{ca} [daN/cm²]=168 σ_{fa} [daN/cm²]=3600

P.	Afx	Afy	σ_c	σ_f	Cbc	Cbf	Ver	Cs
	cmq/m	cmq/m	daN/cm ²	daN/cm ²				
4	31.42	20.11	-1	543	13	13	Si	6.6
16	31.42	20.11	-0	615	13	13	Si	5.9

Verifica aperture fessure:Wamm Freq[mm]=0.300 Wamm Qp[mm]=0.200

P.	Nx	Ny	Nxy	Mx	My	Mxy	σ_{fmed}	Wd	Wk	Cb	Ver	Cs
	daN/cm ²	daN/cm ²	daN/cm ²	kg	kg	kg	daN/cm ²	mm	mm			
16	-0.05	1.43	0.00	10	-1067	29	615	0.079	0.079	13 (Op)	Si	2.5
16	-0.07	1.46	0.01	33	-1081	30	627	0.081	0.081	12 (Fr)	Si	3.7

Muro : 291 - Nodi: [28-26-7010-7001], Pann.X=4, Pann.Y=4Spess.=50 cm, Terreno=--,Criterio=CLS_Muri_ND, Materiale=C35/45

Armatura a maglia doppia, Stampa elementi piu' gravosi

Combinazione Rara: σ_{ca} [daN/cm²]=224 σ_{fa} [daN/cm²]=3600

P.	Afx	Afy	σ_c	σ_f	Cbc	Cbf	Ver	Cs
	cmq/m	cmq/m	daN/cm ²	daN/cm ²				
2	20.11	31.42	-31	1304	11	11	Si	2.8
1	20.11	31.42	-31	1352	11	11	Si	2.7

Combinazione QP: σ_{ca} [daN/cm²]=168 σ_{fa} [daN/cm²]=3600

P.	Afx	Afy	σ_c	σ_f	Cbc	Cbf	Ver	Cs
	cmq/m	cmq/m	daN/cm ²	daN/cm ²				
1	20.11	31.42	-6	397	13	13	Si	9.1

Verifica aperture fessure:Wamm Freq[mm]=0.300 Wamm Qp[mm]=0.200

P.	Nx	Ny	Nxy	Mx	My	Mxy	σ_{fmed}	Wd	Wk	Cb	Ver	Cs
	daN/cm ²	daN/cm ²	daN/cm ²	kg	kg	kg	daN/cm ²	mm	mm			
1	0.13	-0.10	-0.00	1537	90	-407	397	0.049	0.049	13 (Op)	Si	4.1
1	0.13	-0.11	-0.01	1559	92	-413	402	0.050	0.050	12 (Fr)	Si	6.1

Muro : 292 - Nodi: [29-35-7037-7028], Pann.X=4, Pann.Y=4Spess.=50 cm, Terreno=--,Criterio=CLS_Muri_ND, Materiale=C35/45

Armatura a maglia doppia, Stampa elementi piu' gravosi

Combinazione Rara: σ_{ca} [daN/cm²]=224 σ_{fa} [daN/cm²]=3600

P.	Afx	Afy	σ_c	σ_f	Cbc	Cbf	Ver	Cs
	cmq/m	cmq/m	daN/cm ²	daN/cm ²				
8	20.11	31.42	-10	410	11	11	Si	8.8

Combinazione QP: σ_{ca} [daN/cm²]=168 σ_{fa} [daN/cm²]=3600

P.	Afx	Afy	σ_c	σ_f	Cbc	Cbf	Ver	Cs
	cmq/m	cmq/m	daN/cm ²	daN/cm ²				
13	20.11	31.42	-2	338	13	13	Si	11
4	20.11	31.42	-0	425	13	13	Si	8.5

Verifica aperture fessure:Wamm Freq[mm]=0.300 Wamm Qp[mm]=0.200

P.	Nx	Ny	Nxy	Mx	My	Mxy	σ_{fmed}	Wd	Wk	Cb	Ver	Cs
	daN/cm ²	daN/cm ²	daN/cm ²	kg	kg	kg	daN/cm ²	mm	mm			
4	1.09	-0.03	-0.00	-633	-21	35	425	0.059	0.059	13 (Qp)	Si	3.4
4	1.08	-0.03	-0.00	-632	-20	32	423	0.059	0.059	12 (Fr)	Si	5.1

Muro : 293 - Nodi: [22-7003-7004-34], Pann.X=4, Pann.Y=4Spess.=50 cm, Terreno=--,Criterio=CLS_Muri_ND, Materiale=C35/45

Armatura a maglia doppia, Stampa elementi piu' gravosi

Combinazione Rara: σ_{ca} [daN/cm²]=224 σ_{fa} [daN/cm²]=3600

P.	Afx	Afy	σ_c	σ_f	Cbc	Cbf	Ver	Cs
	cmq/m	cmq/m	daN/cm ²	daN/cm ²				
16	31.42	20.11	-14	762	11	11	Si	4.7

Combinazione QP: σ_{ca} [daN/cm²]=168 σ_{fa} [daN/cm²]=3600

P.	Afx	Afy	σ_c	σ_f	Cbc	Cbf	Ver	Cs
	cmq/m	cmq/m	daN/cm ²	daN/cm ²				
4	31.42	20.11	-1	487	13	13	Si	7.4
16	31.42	20.11	-0	544	13	13	Si	6.6

Verifica aperture fessure:Wamm Freq[mm]=0.300 Wamm Qp[mm]=0.200

P.	Nx	Ny	Nxy	Mx	My	Mxy	σ_{fmed}	Wd	Wk	Cb	Ver	Cs
	daN/cm ²	daN/cm ²	daN/cm ²	kg	kg	kg	daN/cm ²	mm	mm			
16	-0.04	1.28	0.02	13	-928	124	544	0.071	0.071	13 (Qp)	Si	2.8
16	-0.06	1.31	0.02	37	-940	127	555	0.072	0.072	12 (Fr)	Si	4.2

Muro : 294 - Nodi: [37-7006-7007-38], Pann.X=4, Pann.Y=4Spess.=50 cm, Terreno=--,Criterio=CLS_Muri_ND, Materiale=C35/45

Armatura a maglia doppia, Stampa elementi piu' gravosi

Combinazione Rara: σ_{ca} [daN/cm²]=224 σ_{fa} [daN/cm²]=3600

P.	Afx	Afy	σ_c	σ_f	Cbc	Cbf	Ver	Cs
	cmq/m	cmq/m	daN/cm ²	daN/cm ²				
13	31.42	20.11	-14	750	11	11	Si	4.8

Combinazione QP: σ_{ca} [daN/cm²]=168 σ_{fa} [daN/cm²]=3600

P.	Afx	Afy	σ_c	σ_f	Cbc	Cbf	Ver	Cs
	cmq/m	cmq/m	daN/cm ²	daN/cm ²				
1	31.42	20.11	-1	484	13	13	Si	7.4
13	31.42	20.11	-0	541	13	13	Si	6.7

Verifica aperture fessure:Wamm Freq[mm]=0.300 Wamm Qp[mm]=0.200

P.	Nx	Ny	Nxy	Mx	My	Mxy	σ_{fmed}	Wd	Wk	Cb	Ver	Cs
	daN/cm ²	daN/cm ²	daN/cm ²	kg	kg	kg	daN/cm ²	mm	mm			
13	-0.04	1.28	-0.02	14	-911	-123	541	0.071	0.071	13 (Qp)	Si	2.8
13	-0.06	1.31	-0.02	37	-923	-126	551	0.072	0.072	12 (Fr)	Si	4.1

Muro : 295 - Nodi: [43-7095-7094-42], Pann.X=4, Pann.Y=4Spess.=50 cm, Terreno=--,Criterio=CLS_Muri_ND, Materiale=C35/45

Armatura a maglia doppia, Stampa elementi piu' gravosi

Combinazione Rara: σ_{ca} [daN/cm²]=224 σ_{fa} [daN/cm²]=3600

P.	Afx	Afy	σ_c	σ_f	Cbc	Cbf	Ver	Cs
	cmq/m	cmq/m	daN/cm ²	daN/cm ²				
13	31.42	20.11	-16	874	11	11	Si	4.1

Combinazione QP: σ_{ca} [daN/cm²]=168 σ_{fa} [daN/cm²]=3600

P.	Afx	Afy	σ_c	σ_f	Cbc	Cbf	Ver	Cs
	cmq/m	cmq/m	daN/cm ²	daN/cm ²				
1	31.42	20.11	-1	539	13	13	Si	6.7
13	31.42	20.11	-0	627	13	13	Si	5.7

Verifica aperture fessure:Wamm_Freq[mm]=0.300 Wamm_Qp[mm]=0.200

P.	Nx	Ny	Nxy	Mx	My	Mxy	σ_{fmed}	Wd	Wk	Cb	Ver	Cs
	daN/cm ²	daN/cm ²	daN/cm ²	kg	kg	kg	daN/cm ²	mm	mm			
13	-0.04	1.85	-0.02	9	-688	-25	627	0.100	0.100	13 (Op)	Si	2.0
13	-0.06	1.89	-0.02	29	-696	-25	641	0.102	0.102	12 (Fr)	Si	2.9

Muro : 296 - Nodi: [44-7097-7096-45], Pann.X=4, Pann.Y=4Spess.=50 cm, Terreno=--,Criterio=CLS_Muri_ND, Materiale=C35/45

Armatura a maglia doppia, Stampa elementi piu' gravosi

Combinazione Rara: σ_{ca} [daN/cm²]=224 σ_{fa} [daN/cm²]=3600

P.	Afx	Afy	σ_c	σ_f	Cbc	Cbf	Ver	Cs
	cmq/m	cmq/m	daN/cm ²	daN/cm ²				
16	31.42	20.11	-16	785	11	11	Si	4.6

Combinazione QP: σ_{ca} [daN/cm²]=168 σ_{fa} [daN/cm²]=3600

P.	Afx	Afy	σ_c	σ_f	Cbc	Cbf	Ver	Cs
	cmq/m	cmq/m	daN/cm ²	daN/cm ²				
4	31.42	20.11	-1	464	13	13	Si	7.8
16	31.42	20.11	-0	550	13	13	Si	6.5

Verifica aperture fessure:Wamm Freq[mm]=0.300 Wamm Qp[mm]=0.200

P.	Nx	Ny	Nxy	Mx	My	Mxy	σ_{fmed}	Wd	Wk	Cb	Ver	Cs
	daN/cm ²	daN/cm ²	daN/cm ²	kg	kg	kg	daN/cm ²	mm	mm			
16	-0.04	1.82	0.02	12	-402	87	550	0.098	0.098	13 (Op)	Si	2.0
16	-0.05	1.86	0.02	32	-406	89	562	0.100	0.100	12 (Fr)	Si	3.0

Muro : 297 - Nodi: [41-48-7093-7092], Pann.X=4, Pann.Y=4Spess.=50 cm, Terreno=--,Criterio=CLS_Muri_ND, Materiale=C35/45

Armatura a maglia doppia, Stampa elementi piu' gravosi

Combinazione Rara: σ_{ca} [daN/cm²]=224 σ_{fa} [daN/cm²]=3600

P.	Afx	Afy	σ_c	σ_f	Cbc	Cbf	Ver	Cs
	cmq/m	cmq/m	daN/cm ²	daN/cm ²				
16	31.42	20.11	-7	258	11	11	Si	14

Combinazione QP: σ_{ca} [daN/cm²]=168 σ_{fa} [daN/cm²]=3600

P.	Afx	Afy	σ_c	σ_f	Cbc	Cbf	Ver	Cs
	cmq/m	cmq/m	daN/cm ²	daN/cm ²				
13	31.42	20.11	-0	204	13	13	Si	18
16	31.42	20.11	-0	207	13	13	Si	17

Verifica aperture fessure:Wamm Freq[mm]=0.300 Wamm Qp[mm]=0.200

P.	Nx	Ny	Nxy	Mx	My	Mxy	σ_{fmed}	Wd	Wk	Cb	Ver	Cs
	daN/cm ²	daN/cm ²	daN/cm ²	kg	kg	kg	daN/cm ²	mm	mm			
16	0.87	-0.03	0.05	-440	20	72	207	0.025	0.025	13 (Op)	Si	7.9
16	0.89	-0.05	0.05	-447	40	76	212	0.026	0.026	12 (Fr)	Si	11

Muro : 298 - Nodi: [49-41-7092-7091], Pann.X=4, Pann.Y=4Spess.=50 cm, Terreno=--,Criterio=CLS_Muri_ND, Materiale=C35/45

Armatura a maglia doppia, Stampa elementi piu' gravosi

Combinazione Rara: σ_{ca} [daN/cm²]=224 σ_{fa} [daN/cm²]=3600

P.	Afx	Afy	σ_c	σ_f	Cbc	Cbf	Ver	Cs
	cmq/m	cmq/m	daN/cm ²	daN/cm ²				
4	31.42	20.11	-29	1362	11	11	Si	2.6

Combinazione QP: σ_{ca} [daN/cm²]=168 σ_{fa} [daN/cm²]=3600

P.	Afx	Afy	σ_c	σ_f	Cbc	Cbf	Ver	Cs
	cmq/m	cmq/m	daN/cm ²	daN/cm ²				
1	31.42	20.11	-4	182	13	13	Si	20

Verifica aperture fessure:Wamm Freq[mm]=0.300 Wamm Qp[mm]=0.200

P.	Nx	Ny	Nxy	Mx	My	Mxy	σ_{fmed}	Wd	Wk	Cb	Ver	Cs
	daN/cm ²	daN/cm ²	daN/cm ²	kg	kg	kg	daN/cm ²	mm	mm			
1	0.00	-0.12	0.11	1184	127	-23	182	0.019	0.019	13 (Op)	Si	11
1	0.00	-0.14	0.11	1198	135	-14	184	0.019	0.019	12 (Fr)	Si	16

Muro : 299 - Nodi: [38-7007-7008-55], Pann.X=4, Pann.Y=4Spess.=50 cm, Terreno=--,Criterio=CLS_Muri_ND, Materiale=C35/45

Armatura a maglia doppia, Stampa elementi piu' gravosi

Combinazione Rara: σ_{ca} [daN/cm²]=224 σ_{fa} [daN/cm²]=3600

P.	Afx	Afy	σ_c	σ_f	Cbc	Cbf	Ver	Cs
	cmq/m	cmq/m	daN/cm ²	daN/cm ²				

**POTENZIAMENTO DELL'IMPIANTO DI DEPURAZIONE E
DEL RECAPITO FINALE DI SQUINZANO (LE)
PROGETTO DEFINITIVO
Tabulati di calcolo strutturale-Equalizzazione**

R.37.7

Maggio 2021

Pagina 337 di
338

P.	Afx	Afy	σ_c	σ_f	Cbc	Cbf	Ver	Cs
13	31.42	20.11	-5	141	11	11	Si	25
9	31.42	20.11	-5	142	11	11	Si	25

Combinazione QP: σ_{ca} [daN/cm²]=168 σ_{fa} [daN/cm²]=3600

P.	Afx	Afy	σ_c	σ_f	Cbc	Cbf	Ver	Cs
	cmq/m	cmq/m	daN/cm ²	daN/cm ²				
16	31.42	20.11	-2	158	13	13	Si	23
4	31.42	20.11	-1	182	13	13	Si	20

Verifica aperture fessure:Wamm Freq[mm]=0.300 Wamm Qp[mm]=0.200

P.	Nx	Ny	Nxy	Mx	My	Mxy	σ_{fmed}	Wd	Wk	Cb	Ver	Cs
	daN/cm ²	daN/cm ²	daN/cm ²	kg	kg	kg	daN/cm ²	mm	mm			
1	-0.24	0.59	-0.27	-36	-134	-229	179	0.032	0.032	13 (Qp)	Si	6.3
1	-0.26	0.60	-0.27	-16	-137	-242	183	0.032	0.032	12 (Fr)	Si	9.3

Muro : 300 - Nodi: [48-42-7094-7093], Pann.X=4, Pann.Y=4Spess.=50 cm, Terreno=--,Criterio=CLS_Muri_ND,
Materiale=C35/45

Armatura a maglia doppia, Stampa elementi piu' gravosi

Combinazione Rara: σ_{ca} [daN/cm²]=224 σ_{fa} [daN/cm²]=3600

P.	Afx	Afy	σ_c	σ_f	Cbc	Cbf	Ver	Cs
	cmq/m	cmq/m	daN/cm ²	daN/cm ²				
16	31.42	20.11	-12	498	11	11	Si	7.2

Combinazione QP: σ_{ca} [daN/cm²]=168 σ_{fa} [daN/cm²]=3600

P.	Afx	Afy	σ_c	σ_f	Cbc	Cbf	Ver	Cs
	cmq/m	cmq/m	daN/cm ²	daN/cm ²				
13	31.42	20.11	-1	320	13	13	Si	11
16	31.42	20.11	-0	359	13	13	Si	10

Verifica aperture fessure:Wamm Freq[mm]=0.300 Wamm Qp[mm]=0.200

P.	Nx	Ny	Nxy	Mx	My	Mxy	σ_{fmed}	Wd	Wk	Cb	Ver	Cs
	daN/cm ²	daN/cm ²	daN/cm ²	kg	kg	kg	daN/cm ²	mm	mm			
16	1.51	-0.04	0.03	-764	13	80	359	0.044	0.044	13 (Qp)	Si	4.5
16	1.55	-0.05	0.03	-774	32	83	367	0.045	0.045	12 (Fr)	Si	6.6

Muro : 301 - Nodi: [45-7096-7095-43], Pann.X=4, Pann.Y=4Spess.=50 cm, Terreno=--,Criterio=CLS_Muri_ND,
Materiale=C35/45

Armatura a maglia doppia, Stampa elementi piu' gravosi

Combinazione Rara: σ_{ca} [daN/cm²]=224 σ_{fa} [daN/cm²]=3600

P.	Afx	Afy	σ_c	σ_f	Cbc	Cbf	Ver	Cs
	cmq/m	cmq/m	daN/cm ²	daN/cm ²				
14	31.42	20.11	-17	864	11	11	Si	4.2
16	31.42	20.11	-17	881	11	11	Si	4.1

Combinazione QP: σ_{ca} [daN/cm²]=168 σ_{fa} [daN/cm²]=3600

P.	Afx	Afy	σ_c	σ_f	Cbc	Cbf	Ver	Cs
	cmq/m	cmq/m	daN/cm ²	daN/cm ²				
4	31.42	20.11	-1	534	13	13	Si	6.7
16	31.42	20.11	-0	627	13	13	Si	5.7

Verifica aperture fessure:Wamm Freq[mm]=0.300 Wamm Qp[mm]=0.200

P.	Nx	Ny	Nxy	Mx	My	Mxy	σ_{fmed}	Wd	Wk	Cb	Ver	Cs
	daN/cm ²	daN/cm ²	daN/cm ²	kg	kg	kg	daN/cm ²	mm	mm			
15	-0.04	1.92	0.00	9	-583	22	620	0.104	0.104	13 (Qp)	Si	1.9
15	-0.06	1.97	0.00	29	-589	22	633	0.106	0.106	12 (Fr)	Si	2.8

Muro : 302 - Nodi: [56-7098-7097-44], Pann.X=4, Pann.Y=4Spess.=50 cm, Terreno=--,Criterio=CLS_Muri_ND,
Materiale=C35/45

Armatura a maglia doppia, Stampa elementi piu' gravosi

Combinazione Rara: σ_{ca} [daN/cm²]=224 σ_{fa} [daN/cm²]=3600

P.	Afx	Afy	σ_c	σ_f	Cbc	Cbf	Ver	Cs
	cmq/m	cmq/m	daN/cm ²	daN/cm ²				
16	31.42	20.11	-6	183	11	11	Si	20
14	31.42	20.11	-1	195	11	10	Si	18

Combinazione QP: σ_{ca} [daN/cm²]=168 σ_{fa} [daN/cm²]=3600

P.	Afx	Afy	σ_c	σ_f	Cbc	Cbf	Ver	Cs
	cmq/m	cmq/m	daN/cm ²	daN/cm ²				
4	31.42	20.11	-0	230	13	13	Si	16
16	31.42	20.11	-0	270	13	13	Si	13

Verifica aperture fessure:Wamm Freq[mm]=0.300 Wamm Qp[mm]=0.200

P.	Nx	Ny	Nxy	Mx	My	Mxy	σ_{fmed}	Wd	Wk	Cb	Ver	Cs
	daN/cm ²	daN/cm ²	daN/cm ²	kg	kg	kg	daN/cm ²	mm	mm			
16	-0.04	1.01	0.06	23	73	68	270	0.055	0.055	13 (Qp)	Si	3.7
16	-0.06	1.04	0.06	43	71	73	276	0.056	0.056	12 (Fr)	Si	5.3

Muro : 303 - Nodi: [54-7099-7098-56], Pann.X=4, Pann.Y=4Spess.=50 cm, Terreno=--,Criterio=CLS_Muri_ND,
Materiale=C35/45

Armatura a maglia doppia, Stampa elementi piu' gravosi

Combinazione Rara: σ_{ca} [daN/cm²]=224 σ_{fa} [daN/cm²]=3600

P.	Afx	Afy	σ_c	σ_f	Cbc	Cbf	Ver	Cs
	cmq/m	cmq/m	daN/cm ²	daN/cm ²				
13	31.42	20.11	-37	2144	11	11	Si	1.7

Combinazione QP: σ_{ca} [daN/cm²]=168 σ_{fa} [daN/cm²]=3600

P.	Afx	Afy	σ_c	σ_f	Cbc	Cbf	Ver	Cs
	cmq/m	cmq/m	daN/cm ²	daN/cm ²				
1	31.42	20.11	-4	225	13	13	Si	16
2	31.42	20.11	-4	228	13	13	Si	16

Verifica aperture fessure:Wamm Freq[mm]=0.300 Wamm Qp[mm]=0.200

P.	Nx	Ny	Nxy	Mx	My	Mxy	σ_{fmed}	Wd	Wk	Cb	Ver	Cs
	daN/cm ²	daN/cm ²	daN/cm ²	kg	kg	kg	daN/cm ²	mm	mm			
2	-0.23	0.09	0.37	86	869	-46	228	0.028	0.028	13 (Qp)	Si	7.1
2	-0.25	0.10	0.38	98	878	-31	231	0.029	0.029	12 (Fr)	Si	11

Muro : 304 - Nodi: [55-7008-7009-58], Pann.X=4, Pann.Y=4Spess.=50 cm, Terreno=--,Criterio=CLS_Muri_ND,
Materiale=C35/45

Armatura a maglia doppia, Stampa elementi piu' gravosi

Combinazione Rara: σ_{ca} [daN/cm²]=224 σ_{fa} [daN/cm²]=3600

P.	Afx	Afy	σ_c	σ_f	Cbc	Cbf	Ver	Cs
	cmq/m	cmq/m	daN/cm ²	daN/cm ²				
16	31.42	20.11	-36	2064	11	11	Si	1.7

Combinazione QP: σ_{ca} [daN/cm²]=168 σ_{fa} [daN/cm²]=3600

P.	Afx	Afy	σ_c	σ_f	Cbc	Cbf	Ver	Cs
	cmq/m	cmq/m	daN/cm ²	daN/cm ²				
4	31.42	20.11	-7	390	13	13	Si	9.2

Verifica aperture fessure:Wamm Freq[mm]=0.300 Wamm Qp[mm]=0.200

P.	Nx	Ny	Nxy	Mx	My	Mxy	σ_{fmed}	Wd	Wk	Cb	Ver	Cs
	daN/cm ²	daN/cm ²	daN/cm ²	kg	kg	kg	daN/cm ²	mm	mm			
4	-0.10	0.04	-0.11	187	1608	-43	390	0.048	0.048	13 (Qp)	Si	4.2
4	-0.11	0.04	-0.11	199	1631	-55	396	0.049	0.049	12 (Fr)	Si	6.1